

Student **CONSULT**

WWW.STUDENTCONSULT.COM.BR

FRANK H. NETTER, MD

ATLAS DE ANATOMIA HUMANA

6ª EDIÇÃO

EDIÇÃO DE
25
ANIVERSÁRIO

SAUNDERS



ELSEVIER

Atlas de Anatomia Humana

SEXTA EDIÇÃO

Frank H. Netter, MD





Sumário

[Instruções para acesso on-line](#)

[Capa](#)

[Folha de rosto](#)

[Copyright](#)

[Colaboradores](#)

[Editores das Edições Anteriores](#)

[Conselho Consultivo Internacional](#)

[Atlas de Anatomia do Netter – Comemorando 25 anos](#)

[Sobre o autor](#)

[Dedicatória](#)

[Prefácio à Primeira Edição](#)

[Agradecimentos](#)

Nota do Revisor Científico

Ilustrador

Consultores

Seção 1: Cabeça e pescoço

Cabeça e Pescoço: Anatomia de Superfície

Nervos Cutâneos da Cabeça e do Pescoço

Artérias e Veias Superficiais da Face e do “Couro Cabeludo”

Crânio: Vista Anterior – Norma Frontal

Crânio: Radiografia Anteroposterior

Crânio: Vista Lateral – Norma Lateral

Crânio: Radiografia Lateral

Crânio: Corte Sagital Mediano

Calvária

Base Externa do Crânio: Vista Inferior – Norma Basilar

Ossos da Base Interna do Crânio: Vista Superior

Forames e Canais da Base Externa do Crânio: Vista Inferior

Forames e Canais da Base Interna do Crânio: Vista Superior

Crânio de Recém-nascido

Arcabouço Ósseo da Cabeça e do Pescoço

Fossas Pterigóideas: Vistas Posterior e Inferolateral

Mandíbula

Articulação Temporomandibular

Vértebras Cervicais: Atlas e Áxis

Vértebras Cervicais (continuação)

Vértebras Cervicais: Articulações “Uncovertebrais”

Ligamentos Craniocervicais Externos

Ligamentos Craniocervicais Internos

Ramos do Nervo Facial e Glândula Parótida

Músculos da Face: Vista Lateral

Lâminas Fasciais do Pescoço

Músculos do Pescoço: Vista Anterior

Músculos Infra-hióideos e Supra-hióideos

Músculos do Pescoço: Vista Lateral

Músculos Escalenos e Pré-vertebrais

Veias Superficiais e Nervos Cutâneos do Pescoço

Nervos e Vasos do Pescoço

Nervos e Vasos do Pescoço (continuação)

Artérias Carótidas

Nariz

Cavidade Nasal: Parede Lateral

Cavidade Nasal: Parede Lateral (continuação)

Cavidade Nasal: Parede Medial (Septo Nasal)

Nervos da Cavidade Nasal

Artérias da Cavidade Nasal: Septo Nasal Rebatido para Cima

Nervos da Cavidade Nasal: Septo Nasal Rebatido para Cima

Nariz e Seio Maxilar: Corte Transversal

Seios Paranasais

Seios Paranasais (continuação)

Seios Paranasais: Alterações com a Idade

Glândulas Salivares

Língua e Glândulas Salivares: Cortes

Músculos da Mastigação

Músculos da Mastigação (continuação)

Nervo Mandibular (V3)

Artéria Maxilar

Nervos Oftálmico (V1) e Maxilar (V2)

Inervação Autônoma da Cavidade Nasal

Fossa Pterigopalatina

Orientação dos Nervos e dos Vasos Sanguíneos da Base do Crânio

Inspeção da Cavidade Oral

Teto da Cavidade Oral

Assoalho da Cavidade Oral

Língua

Língua (continuação)

Inervação Sensitiva da Cavidade Oral e da Faringe

Dentes

Dentes (continuação)

Faringe: Corte Sagital Mediano

Músculos da Faringe: Corte Sagital

Faringe: Vista Posterior (Parede Posterior Aberta)

Músculos da Faringe: Vista Posterior (Parede Posterior Parcialmente Aberta)

Fauces

Junção Faringoesofágica

Músculos da Faringe: Vista Lateral

Nervos das Regiões Oral e Faríngea

Artérias das Regiões Oral e Faríngea

Veias das Regiões Oral e Faríngea

Vasos Linfáticos e Linfonodos da Cabeça e do Pescoço

Vasos Linfáticos e Linfonodos da Faringe e da Língua

Glândula Tireoide: Vista Anterior

Glândula Tireoide e Faringe: Vista Posterior

Glândulas Paratireoides

Cartilagens da Laringe

Músculos (Intrínsecos) da Laringe

Ação dos Músculos (Intrínsecos) da Laringe

Nervos da Laringe

Pálpebras

Aparelho Lacrimal

Fáscias da Órbita e do Bulbo do Olho

Músculos Extrínsecos do Bulbo do Olho

Artérias e Veias da Órbita e das Pálpebras

Nervos da Órbita

Bulbo do Olho

Câmaras Anterior e Posterior do Bulbo do Olho

Lente e Estruturas de Sustentação

Artérias e Veias (Intrínsecas) do Bulbo do Olho

Suprimento Vascular do Bulbo do Olho

Via da Recepção Sonora

Orelha Externa e Orelha Média (Cavidade Timpânica)

Orelha Média (Cavidade Timpânica)

Labirintos Ósseo e Membranáceo

Labirintos Ósseo e Membranáceo (continuação)

Orientação do Labirinto no Crânio

Tuba Auditiva

Meninges e Veias Diploicas

Artérias Meníngeas

Meninges e Veias Cerebrais Superficiais

Seios da Dura-máter (Venosos)

Seios da Dura-máter (Venosos) (continuação)

Cérebro: Vistas Laterais

Cérebro: Vistas Mediais

Cérebro: Vista Inferior

Ventrículos Encefálicos

Circulação do Líquido Cerebrospinal

Núcleos da Base

Tálamo

Hipocampo e Fórnice

Cerebelo

Tronco Encefálico

Quarto Ventrículo e Cerebelo

Núcleos dos Nervos Cranianos no Tronco Encefálico: Esquema

Núcleos dos Nervos Cranianos no Tronco Encefálico: Esquema (continuação)

Nervos Cranianos (Distribuição Motora e Sensitiva): Esquema

Nervo Olfatório (I): Esquema

Nervo Óptico (II) (Via Óptica): Esquema

Nervos Oculomotor (III), Troclear (IV) e Abducente (VI): Esquema

Nervo Trigêmeo (V): Esquema

Nervo Facial (VII): Esquema

Nervo Vestibulococlear (VIII): Esquema

Nervo Glossofaríngeo (IX): Esquema

Nervo Vago (X): Esquema

Nervo Acessório (XI): Esquema

Nervo Hipoglosso (XII): Esquema

Plexo Cervical: Esquema

Nervos Autônomos no Pescoço

Nervos Autônomos na Cabeça

Gânglio Ciliar: Esquema

Gânglios Pterigopalatino e Submandibular: Esquema

Gânglio Ótico: Esquema

Vias Gustatórias: Esquema

Artérias do Encéfalo e das Meninges

Artéria Carótida Interna na Parte Petrosa do Osso Temporal

Artérias para o Encéfalo: Esquema

Artérias do Encéfalo: Vistas Inferiores

Círculo Arterial do Cérebro (de Willis)

Artérias do Encéfalo: Vista e Corte Frontais

Artérias do Cérebro: Vistas Lateral e Medial

Artérias da Fossa Posterior do Crânio

Veias da Fossa Posterior do Crânio

Veias Profundas do Cérebro

Veias Subependimárias do Encéfalo

Hipotálamo e Hipófise

Artérias e Veias do Hipotálamo e da Hipófise

Imagens da Cabeça (VRM e ARM)

Imagens da Cabeça (RM)

Tabelas de Músculos

Seção 2: Dorso e medula espinal

Dorso: Anatomia de Superfície

Coluna Vertebral

Vértebras Torácicas

Vértebras Lombares

Vértebras: Imagens Radiológicas

Sacro e Cóccix

Ligamentos Vertebrais: Região Lombossacral

Ligamentos Vertebrais: Região Lombar

Medula Espinal e Ramos Anteriores In Situ

Relação das Raízes dos Nervos Espinais com as Vértebras

Dermátomos

Sistema Nervoso Simpático*: Esquema

Sistema Nervoso Parassimpático*: Esquema

Meninges Espinais e Raízes dos Nervos Espinais

Formação do Nervo Espinal: Cortes Transversais

Artérias da Medula Espinal: Esquema

Artérias da Medula Espinal: Distribuição Intrínseca

Veias da Medula Espinal e da Coluna Vertebral

Veias da Coluna Vertebral: Veias Vertebrais

Músculos do Dorso: Camada Superficial

Músculos do Dorso: Camada Média

Músculos do Dorso: Camada Profunda

Nervos do Dorso

Região Cervical Posterior (“Trígono Suboccipital”)

Região Lombar: Corte Transversal

Nervo Espinal Torácico Típico: Corte Transversal

Tabelas de Músculos

Seção 3: Tórax

Tórax: Anatomia de Superfície

Glândula Mamária

Artérias da Glândula Mamária

Vasos Linfáticos e Linfonodos da Glândula Mamária

Drenagem Linfática da Mama

Esqueleto do Tórax (Caixa Torácica)

Costelas e Articulações Associadas

Parede Anterior do Tórax

Parede Anterior do Tórax (continuação)

Parede Anterior do Tórax: Vista Interna

Nervos e Artérias Intercostais

Veias das Paredes do Tórax

Nervo Frênico

Diafragma: Superfície Torácica (Superior)

Diafragma: Superfície Abdominal (Inferior)

Topografia dos Pulmões: Vista Anterior

Topografia dos Pulmões: Vista Posterior

Pulmões In Situ: Vista Anterior

Pulmões: Vistas Mediais

Segmentos Broncopulmonares

Segmentos Broncopulmonares (continuação)

Traqueia e Brônquios Principais

Terminologia dos Brônquios: Esquema

Vias Aéreas Intrapulmonares: Esquema

Circulação Sanguínea Intrapulmonar: Esquema

Grandes Vasos do Mediastino Superior

Artérias e Veias Bronquiais

Vasos Linfáticos e Linfonodos dos Pulmões

Nervos Autônomos no Tórax

Inervação da Traqueia e da Árvore Bronquial: Esquema

Coração in Situ

Coração: Vista Anterior

Radiologia e Auscultação do Coração

Coração: Base e Face Diafragmática (Inferior)

Pericárdio

Mediastino: Corte Transversal

Tórax: Corte Frontal (Coronal) do Coração, Parte Ascendente da Aorta

Artérias Coronárias e Veias do Coração (Cardíacas)

Artérias Coronárias: Imagens

Átrio e Ventrículo Direitos

Átrio e Ventrículo Esquerdos

Valvas e Esqueleto Fibroso do Coração

Valvas e Esqueleto Fibroso do Coração (continuação)

Átrios, Ventrículos e Septo Interventricular

Complexo Estimulante (Sistema de Condução) do Coração

Nervos do Coração (Cardíacos)

Inervação do Coração: Esquema

Inervação dos Vasos Sanguíneos: Esquema

Circulações Pré-natal e Pós-natal

Mediastino: Vista Lateral Direita

Mediastino: Vista Lateral Esquerda

Esôfago in Situ

Topografia e Constrições do Esôfago

Musculatura do Esôfago

Junção Esofagogástrica

Artérias do Esôfago

Veias do Esôfago

Vasos Linfáticos e Linfonodos do Esôfago

Nervos do Esôfago

Imagens do Tórax: Cortes Transversais (“Axiais”)

Corte Transversal do Tórax no Nível de TIII

Corte Transversal do Tórax no Nível do Disco Intervertebral de TIII-IV

Corte Transversal do Tórax no Nível do Disco Intervertebral de TIV-V

Corte Transversal do Tórax no Nível de TVII

Tabela de Músculos

Abdome: Anatomia de Superfície

Arcabouço Ósseo do Abdome

Regiões e Planos do Abdome

Parede Anterior do Abdome: Dissecação Superficial

Parede Anterior do Abdome: Dissecação Média

Parede Anterior do Abdome: Dissecação Profunda

Bainha do Músculo Reto do Abdome: Cortes Transversais

Parede Anterior do Abdome: Vista Interna

Parede Posterolateral do Abdome

Artérias da Parede Anterior do Abdome

Veias da Parede Anterior do Abdome

Nervos da Parede Anterior do Abdome

Nervos Intercostais

Região Inguinal: Dissecações

Canal Inguinal e Funículo Espermático

“Bainha” Femoral e Canal Inguinal

Parede Posterior do Abdome: Vista Interna

Artérias da Parede Posterior do Abdome

Veias da Parede Posterior do Abdome

Vasos Linfáticos e Linfonodos da Parede Posterior do Abdome

Nervos da Parede Posterior do Abdome

Omento Maior e Vísceras Abdominais

Relações Peritoneais (Mesentéricas) dos Intestinos

Relações Peritoneais (Mesentéricas) dos Intestinos (continuação)

Bolsa Omental: Estômago Rebatido

Bolsa Omental: Corte Transversal

Peritônio da Parede Posterior do Abdome

Estômago in Situ

Túnica Mucosa do Estômago

Duodeno in Situ

Túnica Mucosa e Musculatura do Duodeno, do Jejuno e do Íleo

Região Ileocecal

Região Ileocecal (continuação)

Apêndice Vermiforme

Túnica Mucosa e Musculatura do Intestino Grosso

Faces e Leito do Fígado

Fígado in Situ: Vasos e Ductos

Estrutura do Fígado: Esquema

Vesícula Biliar, Ductos Bilíferos Extra-hepáticos e Ducto Pancreático

Pâncreas in Situ

Baço

Artérias do Estômago, do Fígado e do Baço

Artérias do Fígado, do Pâncreas, do Duodeno e do Baço

Arteriograma Celíaco e Angiograma por TC

Artérias do Duodeno e da Cabeça do Pâncreas

Artérias do Intestino Delgado

Artérias do Intestino Grosso

Veias do Estômago, do Duodeno, do Pâncreas e do Baço

Veias do Intestino Delgado

Veias do Intestino Grosso

Veias Tributárias da Veia Porta do Fígado: Anastomoses Portocava

Vasos Linfáticos e Linfonodos do Estômago

Vasos Linfáticos e Linfonodos do Pâncreas

Vasos Linfáticos e Linfonodos do Intestino Delgado

Vasos Linfáticos e Linfonodos do Intestino Grosso

Nervos, Plexos e Gânglios Autônomos do Abdome

Inervação Autônoma do Estômago e do Duodeno

Inervação Autônoma do Estômago e do Duodeno (continuação)

Inervação Autônoma do Esôfago, do Estômago e do Duodeno: Esquema

Inervação Autônoma do Intestino Delgado

Inervação Autônoma do Intestino Grosso

Inervação Autônoma dos Intestinos Delgado e Grosso: Esquema

Vias Reflexas Autônomas: Esquema

Plexos Autônomos Intrínsecos do Intestino: Esquema

Inervação Autônoma do Fígado e da Via Biliar (Bilífera): Esquema

Inervação Autônoma do Pâncreas: Esquema

Rins in Situ: Vistas Anteriores

Rins in Situ: Vistas Posteriores

Artéria e Veia Renais in Situ

Estrutura Macroscópica do Rim

Artérias Intrarrenais e Segmentos Renais

Ureteres no Abdome e na Pelve

Artérias dos Ureteres e da Bexiga Urinária

Fáscia Renal

Vasos Linfáticos e Linfonodos dos Rins e da Bexiga Urinária

Nervos Autônomos dos Rins, dos Ureteres e da Bexiga Urinária

Inervação Autônoma dos Rins e da Parte Superior dos Ureteres: Esquema

Nervos Autônomos das Glândulas Suprarrenais: Dissecação e Esquema

Artérias e Veias das Glândulas Suprarrenais in Situ

Parede do Abdome e Vísceras: Corte Sagital Paramediano

Imagens do Abdome: Cortes Transversais (“Axiais”)

Imagens do Abdome: Cortes Transversais (“Axiais”) (continuação)

Corte Transversal do Abdome no Nível de TX, Junção Esofagogástrica

Corte Transversal do Abdome no Nível de TXII, Inferior ao Processo Xifoide

Corte Transversal do Abdome no Nível de TXII-LI, Disco Intervertebral

Corte Transversal do Abdome no Nível de LI-II, Disco Intervertebral

Corte Transversal do Abdome no Nível de LIII-IV

Tabela de Músculos

Seção 5: Pelve e períneo

Pelve e Períneo: Anatomia de Superfície

Arcabouço Ósseo da Pelve

Radiografias das Pelves Feminina e Masculina

Diferenças Sexuais da Pelve: Medidas

Ossos e Ligamentos da Pelve

Ossos e Ligamentos da Pelve (continuação)

Diafragma da Pelve Feminina

Diafragma da Pelve Feminina (continuação)

Diafragma da Pelve Feminina (continuação)

Diafragma da Pelve Masculina

Diafragma da Pelve Masculina (continuação)

Vísceras Pélvicas e Períneo: Gênero Feminino

Conteúdo da Pelve Feminina

Vísceras Pélvicas Femininas

Fáscia da Pelve e Espaços Potenciais

Vísceras Pélvicas e Períneo: Gênero Masculino

Conteúdo da Pelve Masculina

Bexiga Urinária: Orientação e Sustentação

Esfincteres Femininos

Bexiga Urinária: Feminina e Masculina

Crescimento Uterino

Útero, Vagina e Estruturas de Sustentação

Útero: Ligamentos Fasciais

Útero e Anexos

Ligamentos Pélvicos

Períneo e Órgãos Genitais Femininos Externos (Pudendo ou “Vulva”)

Períneo Feminino (Dissecação Superficial)

Períneo Feminino (Dissecação Profunda)

Espaços do Períneo Feminino

Períneo e Órgãos Genitais Masculinos Externos (Dissecação Superficial)

Períneo e Órgãos Genitais Masculinos Externos (Dissecação Profunda)

Pênis

Espaços do Períneo Masculino

Próstata e Glândulas Seminais

Uretra Masculina

Descida dos Testículos

Escroto e Conteúdo

Homólogos dos Órgãos Genitais Externos

Homólogos dos Órgãos Genitais Internos

Testículo, Epidídimo e Ducto Deferente

Reto in Situ: Gêneros Masculino e Feminino

Fossa Isquioanal

Reto e Canal Anal

Musculatura Anorretal

Músculo Esfincter Externo do Ânus: Vista do Períneo

Espaços Reais e Potenciais do Períneo e da Pelve

Imagens da Pelve: Cortes Sagitais de Tomografia Computadorizada (TC)

Artérias do Reto e do Canal Anal: Gênero Masculino

Veias do Reto e do Canal Anal: Gênero Feminino

Artérias e Veias das Visceras Pélvicas Femininas

Artérias e Veias dos Testículos

Artérias da Pelve Feminina

Artérias e Veias da Pelve Masculina

Artérias e Veias do Períneo e do Útero

Artérias e Veias do Períneo Masculino

Vasos Linfáticos e Linfonodos da Pelve e dos Órgãos Genitais Femininos

Vasos Linfáticos e Linfonodos do Períneo Feminino

Vasos Linfáticos e Linfonodos da Pelve e dos Órgãos Genitais Masculinos

Nervos dos Órgãos Genitais Masculinos Externos

Nervos das Vísceras Pélvicas Masculinas

Nervos do Períneo Masculino

Nervos das Vísceras Pélvicas Femininas

Nervos do Períneo e dos Órgãos Genitais Femininos Externos

Vias Nervosas Relacionadas com o Parto

Inervação dos Órgãos Genitais Femininos: Esquema

Inervação dos Órgãos Genitais Masculinos: Esquema

Inervação da Bexiga Urinária e da Parte Inferior do Ureter: Esquema

Pelve Masculina: Corte Transversal da Junção Vesicoprostática

Corte Transversal da Vagina e da Uretra 1 Sínfise púbica

Tabelas de Músculos

Seção 6: Membro superior

Membro Superior: Anatomia de Superfície

Dermátomos do Membro Superior

Inervação Cutânea do Membro Superior

Nervos Cutâneos e Veias Superficiais do Ombro e do Braço

Nervos Cutâneos e Veias Superficiais do Antebraço e da Mão

Vasos Linfáticos e Linfonodos do Membro Superior

Clavícula e Articulação Esternoclavicular

Úmero e Escápula: Vistas Anteriores

Úmero e Escápula: Vistas Posteriores

Ombro: Radiografia Anteroposterior

Articulação do Ombro (Articulação Glenoumeral)

Músculos do Ombro

Axila: Parede Posterior e Plexo Braquial

Músculos do “Manguito” Rotador

Fáscias Peitoral, Clavipeitoral e da Axila

Dissecação das Regiões Escapulotorácica e Escapuloumeral

Artéria Axilar e Anastomoses ao Redor da Escápula

Axila (Dissecação): Vista Anterior

Plexo Braquial: Esquema

Músculos do Braço: Vistas Anteriores

Músculos do Braço: Vistas Posteriores

Artéria Braquial in Situ

Artérias do Braço e da Parte Proximal do Antebraço

Braço: Cortes Transversais Seriados

Ossos do Cotovelo

Cotovelo: Radiografias

Ligamentos do Cotovelo

Ossos do Antebraço

Músculos Individuais do Antebraço: Rotadores do Rádio

Músculos Individuais do Antebraço: Extensores da Mão e dos Dedos

Músculos Individuais do Antebraço: Flexores da Mão

Músculos Individuais do Antebraço: Flexores dos Dedos

Músculos do Antebraço (Camada Superficial): Vista Posterior

Músculos do Antebraço (Camada Profunda): Vista Posterior

Músculos do Antebraço (Camada Superficial): Vista Anterior

Músculos do Antebraço (Camada Média): Vista Anterior

Músculos do Antebraço (Camada Profunda): Vista Anterior

Artérias do Antebraço e da Mão

Antebraço: Cortes Transversais Seriados, Vista Anterior

Inserções dos Músculos do Antebraço: Vista Anterior

Inserções dos Músculos do Antebraço: Vista Posterior

Ossos Carpais

Movimentos no Punho

Ligamentos do Punho

Ligamentos do Punho (continuação)

Ossos da Mão

Punho e Mão: Radiografias

Ligamentos Metacarpofalângicos e Interfalângicos

Punho e Mão: Dissecações Superficiais da Palma da Mão

Punho e Mão: Dissecações Profundas da Palma da Mão

Músculos Lumbricais e Bolsas, Espaços e Bainhas: Esquema

Tendões dos Músculos Flexores, Artérias e Nervos no Punho e na Mão

Bolsas, Espaços e Bainhas dos Tendões na Mão

Tendões dos Músculos Flexores e Extensores dos Dedos

Músculos Intrínsecos da Mão

Artérias e Nervos da Mão: Vistas Anteriores (Palmares)

Punho e Mão: Dissecação Superficial da Região Lateral (Radial)

Punho e Mão: Dissecação Superficial da Região Posterior (Dorsal)

Punho e Mão: Dissecação Profunda da Região Posterior (Dorsal)

Tendões dos Músculos Extensores no Punho

Dedos

Inervação Cutânea do Punho e da Mão

Artérias e Nervos do Membro Superior

Nervos do Membro Superior

Nervo Musculocutâneo

Nervo Mediano

Nervo Ulnar

Nervo Radial no Braço e Nervos da Região Posterior do Ombro

Nervo Radial no Antebraço

Artrograma, Ressonância Magnética (RM) e Tomografia Computadorizada (TC) Computadorizada (TM) do Ombro

Tabelas de Músculos

Seção 7: Membro inferior

Membro Inferior: Anatomia de Superfície

Dermátomos do Membro Inferior

Nervos Cutâneos e Veias Superficiais do Membro Inferior: Vista Anterior

Nervos Cutâneos e Veias Superficiais do Membro Inferior: Vista Posterior

Vasos Linfáticos e Linfonodos do Membro Inferior

Osso do Quadril

Articulação do Quadril

Articulação do Quadril: Radiografia Anteroposterior

Fêmur

Inserções Ósseas dos Músculos do Quadril e da Coxa: Vista Anterior

Inserções Ósseas dos Músculos do Quadril e da Coxa: Vista Posterior

Músculos da Coxa: Vistas Anteriores

Músculos da Coxa: Vistas Anteriores (continuação)

Músculos do Quadril e da Coxa: Vista Lateral

Músculos do Quadril e da Coxa: Vistas Posteriores

Músculos Psoas e Íliaco

Plexos Lombossacral e Coccígeo

Plexo Lombar

Plexos Sacral e Coccígeo

Artérias e Nervos da Coxa: Vistas Anteriores

Artérias e Nervos da Coxa: Vista Anterior (continuação)

Artérias e Nervos da Coxa: Vista Posterior

Nervos do Quadril e da Região Glútea (Nádegas)

Artérias da Cabeça e do Colo do Fêmur

Coxa: Cortes Transversais Seriados

Joelho: Vistas Lateral e Medial

Joelho: Vistas Anteriores

Joelho: Vista Interna

Joelho: Ligamentos Cruzados e Colaterais

Joelho: Radiografia Anteroposterior e Vista Posterior

Joelho: Vistas Posterior e do Corte Sagital

Artérias da Coxa e do Joelho: Esquema

Tíbia e Fíbula

Tíbia e Fíbula (continuação)

Inserções dos Músculos da Perna

Músculos da Perna (Dissecação Superficial): Vista Posterior

Músculos da Perna (Dissecação Média): Vista Posterior

Músculos da Perna (Dissecação Profunda): Vista Posterior

Músculos da Perna: Vista Lateral

Músculos da Perna (Dissecação Superficial): Vista Anterior

Músculos da Perna (Dissecação Profunda): Vista Anterior

Artérias do Joelho, Perna e Pé

Perna: Cortes Transversais e Compartimentos Fasciais

Ossos do Pé

Ossos do Pé (continuação)

Calcâneo

Ligamentos e Tendões do Tornozelo e do Pé

Ligamentos e Tendões do Pé: Vista Inferior (Plantar)

Bainhas dos Tendões do Tornozelo e do Pé

Músculos do Dorso do Pé: Dissecação Superficial

Dorso do Pé: Dissecação Profunda

Planta do Pé: Dissecação Superficial

Músculos da Planta do Pé: Primeira Camada

Músculos da Planta do Pé: Segunda Camada

Músculos da Planta do Pé: Terceira Camada

Músculos Interósseos e Artérias Profundas do Pé

Músculos Interósseos do Pé

Nervo Femoral e Nervo Cutâneo Femoral Lateral

Nervo Obturatório

Nervo Isquiático e Nervo Cutâneo Femoral Posterior

Nervo Tibial

Nervo Fibular Comum

Radiografia, Artrograma e Ressonância Magnética (RM) do Quadril

Tornozelo: Radiografias

Tabelas de Músculos

Referências

Índice

Copyright

© 2015 Elsevier Editora Ltda.

Tradução autorizada do idioma inglês da edição publicada por Saunders – um selo editorial Elsevier Inc.

Todos os direitos reservados e protegidos pela Lei 9.610 de 19/02/1998.

Nenhuma parte deste livro, sem autorização prévia por escrito da editora, poderá ser reproduzida ou transmitida sejam quais forem os meios empregados: eletrônicos, mecânicos, fotográficos, gravação ou quaisquer outros.

ISBN: 978-85-352-7904-7

ISBN (versão eletrônica): 978-85-352-8268-9

Copyright © 2014 by Saunders, an imprint of Elsevier Inc.

This edition of Atlas of Human Anatomy, 6th edition by Frank H. Netter is published by arrangement with Saunders, Elsevier Inc. Elsevier Inc.

ISBN: 978-1-4557-5888-3

Capa

Mello e Mayer

Editoração Eletrônica

Thomson Digital

Elsevier Editora Ltda.

Conhecimento sem Fronteiras

Rua Sete de Setembro, n° 111 – 16° andar

20050-006 – Centro – Rio de Janeiro – RJ

Rua Quintana, n° 753 – 8° andar

04569-011 – Brooklin – São Paulo – SP

Serviço de Atendimento ao Cliente

0800 026 53 40

atendimento1@elsevier.com

Consulte nosso catálogo completo, os últimos lançamentos e os serviços

Nota

Como as novas pesquisas e a experiência ampliam o nosso conhecimento, pode haver necessidade de alteração dos métodos de pesquisa, das práticas profissionais ou do tratamento médico. Tanto médicos quanto pesquisadores devem sempre basear-se em sua própria experiência e conhecimento para avaliar e empregar quaisquer informações, métodos, substâncias ou experimentos descritos neste texto. Ao utilizar qualquer informação ou método, devem ser criteriosos com relação a sua própria segurança ou a segurança de outras pessoas, incluindo aquelas sobre as quais tenham responsabilidade profissional.

Com relação a qualquer fármaco ou produto farmacêutico especificado, aconselha-se o leitor a cercar-se da mais atual informação fornecida (i) a respeito dos procedimentos descritos, ou (ii) pelo fabricante de cada produto a ser administrado, de modo a certificar-se sobre a dose recomendada ou a fórmula, o método e a duração da administração, e as contraindicações. É responsabilidade do médico, com base em sua experiência pessoal e no conhecimento de seus pacientes, determinar as posologias e o melhor tratamento para cada paciente individualmente, e adotar todas as precauções de segurança apropriadas.

Para todos os efeitos legais, nem a Editora, nem autores, nem editores, nem tradutores, nem revisores ou colaboradores, assumem qualquer responsabilidade por qualquer efeito danoso e/ou malefício a pessoas ou propriedades envolvendo responsabilidade, negligência etc. de produtos, ou advindos de qualquer uso ou emprego de quaisquer métodos, produtos, instruções ou ideias contidos no material aqui publicado.

O Editor

CIP-BRASIL. CATALOGAÇÃO-NA-FONTE

SINDICATO NACIONAL DOS EDITORES DE LIVROS, RJ

N387a

6. ed.

Netter, Frank H. (Frank Henry), 1906-1991

Atlas de anatomia humana / Frank H. Netter. - 6. ed. - Rio de Janeiro :

Elsevier, 2014.

il. ; 28 cm.

Inclui índice

ISBN 978-85-352-7904-7

1. Anatomia humana - Atlas. I. Título.

CDD: 611.00222

CDU: 611(084)



Colaboradores

Revisão Científica

Eduardo Cotecchia Ribeiro

Mestre em Anatomia e Doutor em Ciências

Professor Associado da Disciplina de Anatomia Descritiva e Topográfica do

Departamento de Morfologia e Genética

Escola Paulista de Medicina da Universidade Federal de São Paulo

Tradução

Adilson Dias Salles. MD, PhD

Mestre em Anatomia Humana, Departamento de Anatomia, do Instituto de Ciências Biomédicas, da Universidade Federal do Rio de Janeiro

Doutor em Medicina, Faculdade de Medicina, da Universidade Federal do Rio de Janeiro

Professor Adjunto do Instituto de Ciências Biomédicas, da Universidade Federal do Rio de Janeiro

Pesquisador do Departamento de Antropologia, Museu Nacional, Universidade Federal do Rio de Janeiro

Editores das Edições Anteriores

Primeira Edição

Sharon Colacino, PhD

Segunda Edição

Arthur F. Dalley, II, PhD

Terceira Edição

John T. Hansen, PhD

Quarta Edição

John T. Hansen, PhD

Jennifer K. Brueckner, PhD

Stephen W. Carmichael, PhD, DSc

Thomas R. Gest, PhD

Noelle A. Granger, PhD

Anil H. Waljii, MD, PhD

Quinta Edição

John T. Hansen, PhD

Brion Benninger, MD, MS

Jennifer K. Brueckner, PhD

Stephen W. Carmichael, PhD, DSc

Noelle A. Granger, PhD

R. Shane Tubbs, MS, PA-C, PhD

Conselho Consultivo Internacional

Sadakazu Aiso, MD, PhD, Professor
Department of Anatomy
Keio University School of Medicine
Tokyo, Japan

Nihal Apaydin, MD, Associate Professor
Department of Anatomy
Ankara University Faculty of Medicine
Ankara, Turkey

Col. Rajan Bhatnagar, MD, Armed Forces Medical College
Wanowrie, Pune, India

Lucio Cocco, MD, Professor and Head
Cellular Signaling Laboratory
Department of Biomedical Sciences
University of Bologna
Bologna, Italy

Yu Enhua, MD, PhD, Professor
Department of Anatomy, Histology
and Embryology
Peking University Health Science
Center
Beijing, China

Quentin A. Fogg, PhD, William Hunter Senior Lecturer in
Anatomy
School of Life Sciences
University of Glasgow
Glasgow, UK

Victor J. Götzens, PhD, Professor of Human Anatomy and
Embryology
Department of Pathology and
Experimental Therapeutics
Faculty of Medicine
University of Barcelona

Barcelona, Spain

Sung-Tsang Hsieh, MD, PhD, Departments of Anatomy and Cell
Biology and Neurology
Institute of Brain and Mind Sciences
National Taiwan University
Taipei, Taiwan

Tang Jun Min, MD, Professor
Department of Anatomy, Histology,
and Embryology
Peking University Health Science
Center
Beijing, China

Rachel Koshi, MBBS, MS, PhD, Professor of Anatomy in Cell and
Developmental Biology
Weill Cornell Medical College in Qatar
Doha, Qatar

Marios Loukas, MD, PhD, Professor and Chair
Department of Anatomical Sciences
Dean of Research, School of Medicine
St. George's University
Grenada, West Indies

Lucia Manzoli, MD, Professor, Department of Anatomical
Sciences
University of Bologna
Bologna, Italy

Thazhumpal C. Mathew, MSc, PhD, FRCPath, Professor
Vice Dean for Research Training and
Consultation
Faculty of Allied Health Sciences,
Health Sciences Centre
Kuwait University
Kuwait City, Kuwait

Janusz Moryś, MD, PhD, Professor
Department of Anatomy and Neurobiology
Medical University of Gdansk
Gdansk, Poland

Eduardo Cotecchia Ribeiro, MS, PhD, Associate Professor of Descriptive and
Topographic Anatomy

Department of Morphology and
Genetics
Federal University of Sao Paulo
School of Medicine
Sao Paulo, Brazil

Jean-Pierre Richer, MD, PhD, Professeur d' Anatomie
Chirurgien des Hôpitaux
Université de Poitiers
Poitiers, France

Andreas H. Weiglein, MD, Professor
Vice Chair, Institute of Anatomy
Medical University of Graz
Graz, Austria

Atlas de Anatomia do Netter – Comemorando 25 anos

“Anatomia, é claro, não muda, mas o nosso entendimento da anatomia e o seu significado clínico, sim.”

- Frank H. Netter, MD

Se você estiver utilizando essa 6ª edição do *Atlas de Anatomia Humana*, impressa, em *e-book*, *on-line*, ou em iPad, os detalhes das figuras da morfologia humana permanecem tão relevantes quanto no primeiro lançamento. A publicação da 6ª edição celebra as bodas de prata do primeiro lançamento do *Atlas de Anatomia Humana* de Frank H. Netter, quando suas cores vibrantes e sua perspectiva clínica se tornaram um companheiro indispensável nas aulas de anatomia, nos laboratórios de dissecação e nos acervos dos profissionais clínicos, constituindo, para muitos, um legado de um dos educadores médicos mais influentes do mundo.

Anatomia continua a ser uma pedra angular da educação em saúde. Muitas vezes, é um dos primeiros tópicos ensinados nos currículos médicos ou em outras áreas da saúde. Anatomia é também centralizada na prática clínica, do exame físico e de imagem radiológica até a cirurgia e a reabilitação física. No entanto, mudanças no ensino anatômico e sua aplicação clínica, ao longo destes últimos 25 anos, têm sido significativas. A expansão dos currículos médicos e de todas as áreas da saúde levou a uma diminuição do número de horas dedicadas ao ensino da anatomia macroscópica. Alguns cursos interromperam a dissecação do corpo inteiro. Os avanços nas tecnologias de imagem têm proporcionado uma visão cada vez mais clara da anatomia viva e os modelos de anatomia em 3D continuam a evoluir. Da mesma forma, o *Atlas* evoluiu. Graças à grande orientação dos principais anatomistas clínicos e educadores especializados em anatomia, bem como as contribuições de médicos ilustradores talentosos, a 6ª edição apresenta novas ilustrações e imagens radiográficas modernas que proporcionam aos alunos uma visão do atual significado clínico e das perspectivas que esclareçam

relações anatômicas complexas. Esta edição também inclui as ilustrações das mais antigas edições do *Atlas*, como as representações do Dr. Netter, das variações anatômicas comuns (em edições eletrônicas e pacotes impresso-eletrônico), como um bônus de pranchas para auxiliar a fornecer uma visão mais abrangente que as horas nos laboratórios de dissecação podem não permitir. Pela primeira vez, o *Atlas* incorpora tabelas de músculos em apêndices de acesso-rápido ao final de cada seção para facilitar a consulta dos médicos, estudantes, educadores que disponham de pouco tempo. Recursos eletrônicos do StudentConsult.com e NetterReference.com incluem alguns modelos em 3D extraídos do *Netter's 3D Interactive Anatomy*, seleções de vídeos de dissecação do *Netter's Online Dissection Modules by UNC at Chapel Hill* e outros recursos de apoio. Além disso, todo o texto ao longo do *Atlas* foi meticulosamente atualizado para se manter de acordo com a versão mais recente da *Terminologia Anatômica*, pelo *Federal International Program for Anatomical Terminology (FIPAT) of the International Federation of Associations of Anatomists (IFAA)*.

A perspectiva visual única de Frank H. Netter é insuperável. Dr. Netter reuniu a mão de um mestre ilustrador médico, o cérebro de um médico e a alma de um artista para as suas descrições do corpo humano. Esta edição do 25º aniversário comemora o impacto duradouro de sua obra, que continua a ensinar e a inspirar.

Queremos ouvi-lo — sobre a história e o futuro do ensino de anatomia e da medicina e sobre o legado de Netter, convidando você a compartilhar conosco os seus pensamentos, inspirações, memórias, homenagens e opiniões, pelo e-mail: NetterAppFeedback@elsevier.com e no Facebook: www.facebook.com/NetterImages.





Sobre o autor



Frank H. Netter, MD Photograph by James L. Clayton

Frank H. Netter, MD

Frank H. Netter nasceu em Nova York em 1906. Estudou arte na *Art Students League* e na *National Academy of Design* antes de ingressar na escola de Medicina da Universidade de Nova York, onde obteve a graduação em 1931. Durante seus anos como estudante, os esboços do caderno do Dr. Netter atraíram a atenção dos membros da faculdade de Medicina e de outros médicos, permitindo que ele aumentasse a sua renda, ilustrando artigos e livros didáticos. Ele seguiu ilustrando como uma atividade paralela, tentando se dedicar à prática cirúrgica em 1933, mas, em última instância, optou por desistir dessa atividade, em favor de um compromisso, em tempo integral, com a arte. Após prestar o serviço militar no Exército dos Estados Unidos durante a Segunda Guerra Mundial, Dr. Netter iniciou sua longa colaboração com a *CIBA Pharmaceutical Company* (hoje *Novartis Pharmaceuticals*). Esta

parceria de 45 anos resultou na produção da extraordinária coleção de arte médica, tão familiar aos médicos e outros profissionais da área médica em todo o mundo.

A *Icon Learning Systems* adquiriu a coleção Netter em julho de 2000 e continuou a atualizar as figuras originais do Dr. Netter e adicionar figuras recém-encomendadas aos artistas treinados no estilo do Dr. Netter. Em 2005, a Elsevier Inc. comprou a coleção Netter e todas as publicações da *Icon Learning Systems*. Existem, atualmente, mais de 50 publicações que caracterizam a arte do Dr. Netter e que se encontram disponíveis pela Elsevier Inc.

Os trabalhos do Dr. Netter estão entre os melhores exemplos do uso de ilustração no ensino abordando conceitos médicos. O *13-book Netter Collection of Medical Illustrations*, que inclui a maior parte das mais de 20.000 figuras criadas pelo Dr. Netter, tornou-se — e continua sendo — um dos trabalhos médicos mais famosos já publicados. *Netter Atlas de Anatomia Humana*, publicado pela primeira vez em 1989, apresenta as imagens anatômicas da coleção Netter. Agora traduzido em 16 idiomas, é o atlas de anatomia de escolha entre os estudantes das profissões médicas e de saúde de todo o mundo.

As ilustrações Netter são apreciadas não apenas devido às suas qualidades estéticas, mas, mais importante, pelo seu conteúdo intelectual. Como o Dr. Netter escreveu em 1949: “o esclarecimento de um tema é o objetivo e a meta da ilustração. Não importa quanto esteja lindamente pintado, quanto delicado e sutilmente apresentado um tema possa estar. Tudo isso será de pouco valor como *ilustração médica*, se não servir para esclarecer alguma questão médica”. O planejamento, a concepção, o ponto de vista e a abordagem do Dr. Netter são o que tornam as suas pinturas tão intelectualmente valiosas.

Frank H. Netter, MD, médico e artista, morreu em 1991.

Dedicatória

À minha querida esposa, Vera

Prefácio à Primeira Edição

Eu já disse muitas vezes que a minha carreira como artista médico, por quase 50 anos, tem sido uma espécie de “desempenho de comando”, no sentido de que ele tem crescido em resposta aos desejos e às solicitações da profissão médica. Ao longo destes muitos anos, eu produzi quase 4.000 ilustrações, principalmente para a *Coleção CIBA* (agora *Netter*) de *Ilustrações Médicas*, mas também para *Simpósios Clínicos*. Estas imagens têm sido relacionadas com as variadas subdivisões do conhecimento médico, tais como anatomia geral, histologia, embriologia, fisiologia, patologia, meios diagnósticos, cirurgia, técnicas terapêuticas e manifestações clínicas de uma grande variedade de doenças. Com o passar dos anos, no entanto, vêm aumentando as solicitações de médicos e de estudantes para que se produza um atlas de anatomia puramente macroscópica. Assim, este atlas surgiu, não devido a qualquer inspiração de minha parte, mas sim, da mesma maneira que a maioria dos meus trabalhos anteriores, como uma realização dos desejos da profissão médica.

Ele envolveu a retomada de todas as ilustrações que eu tinha feito, ao longo de tantos anos, selecionando aquelas pertinentes à anatomia macroscópica, classificando e organizando as imagens, por sistemas e regiões, adaptando-as ao tamanho da página e ao espaço e organizando-as em sequência lógica. Anatomia dos cursos não se altera, mas a nossa compreensão da anatomia e da sua significação clínica se modifica com o tempo, assim como a terminologia e a nomenclatura anatômicas. Este processo exige, portanto, atualizações de muitas imagens antigas, para torná-las mais apropriadas a um alcance cada vez maior da prática médica e cirúrgica atuais. Além disso, descobri que havia lacunas na interpretação dos conhecimentos, a partir das representações nas ilustrações que eu tinha feito anteriormente, e isso exigiu a produção de uma série de novas imagens que foram incluídas neste volume.

Na produção de um atlas como este, é importante alcançar um meio termo entre a complexidade e a simplificação. Se as imagens forem muito complexas, elas podem ser confusas e de difícil leitura; se simplificadas, eles podem não estar adequadamente definidas ou podem até ser enganosas. Tenho,

portanto, lutado por uma representação média de realismo sem a confusão das minúcias. Espero que os estudantes e os membros das profissões médicas e paramédicas encontrem ilustrações compreensíveis, instrutivas e úteis.

Em um ponto, a editora e eu pensamos que poderia ser agradável incluir um prefácio de um verdadeiramente notável e anatomista de renome, mas há muitos nessa categoria que não poderíamos fazer uma escolha. Nós pensamos em homens como Vesalius, Leonardo da Vinci, William Hunter, e Henry Gray, que, claro, são, infelizmente, indisponíveis, mas eu me pergunto o que eles poderiam ter comentado sobre o atlas.

Frank H. Netter, MD

(1906-1991)

Agradecimentos

Brion Benninger, MD, MS

Eu gostaria de agradecer a minha esposa Alison e ao nosso filho Jack pela sagacidade, pelo carinho e pelo amor que me oferecem diariamente. Eu quero agradecer à Elsevier, especialmente à Marybeth Thiel, por sua visão e direção, permitindo que John Hansen, meus coeditores e Carlos Machado pudessem trabalhar em um ambiente tão rico. Quero agradecer, particularmente, aos meus primeiros mentores de Anatomia Clínica, Gerald Tressidor e Harold Ellis (Hospital Guy); Dean P. Crone e o Conselho Universitário pelo apoio contínuo; a todos os meus pacientes e estudantes do passado e do futuro, e aos colegas clínicos que mantêm a anatomia dinâmica. Um agradecimento especial a Jim McDaniel e Bill Bryan e a todos aqueles que representam o que é bom na arte de ensinar. Por fim, agradeço a minha mãe, por seu amor e pela educação, e a meu pai, por sua mente inquisitiva.

Jennifer Brueckner-Collins, PhD

Eu sou muito grata ao maravilhoso time da Elsevier, particularmente à Marybeth Thiel e Elyse O'Grady, por sua orientação e experiência durante a preparação da sexta edição. É sempre um privilégio colaborar com Carlos Machado, cujo talento artístico nos fornece visões anatômicas dos conceitos à realidade. Sinceros agradecimentos a Mark Sturgill, DO, que muito generosamente nos forneceu imagens atualizadas de MRCP abdominal, CT axial e frontal com contraste, bem como CT com angiografia. Finalmente, eu sou eternamente grata aos meus pais, John e Rheba e ao meu marido, Kurt, pelo seu apoio, incentivo, amor e inspiração; eles são a minha *raison d'être*.

John T. Hansen, PhD

Na Elsevier, eu gostaria de agradecer à Marybeth Thiel, Editora Sênior de Desenvolvimento, à Elyse O'Grady, Estrategista Sênior de Conteúdo, a John Casey, Gerente Sênior de Projetos e à Madelene Hyde, Diretora de Publicação, por seu apoio contínuo e meticulosa atenção aos detalhes, durante o desenvolvimento desta sexta edição do Atlas de Anatomia Humana. Além

deles, foi um prazer conhecê-los e trabalhar com todo o corpo Editorial, de Produção, de Design e de Marketing da equipe da Elsevier. Também estou em dívida com Carlos Machado por sua extraordinária habilidade artística na produção e na atualização das pranchas que aparecem no *Atlas*. Suas representações da anatomia humana são um complemento perfeito às imagens do Netter. Além dos meus companheiros editores desta edição, gostaria de expressar os meus agradecimentos aos colegas da Faculdade em Rochester e a todos os estudantes do passado e do presente, que forneceram um generoso *feedback* construtivo e enriqueceram a minha vida. Finalmente, eu sou grato a toda a minha família, pelo seu apoio contínuo e, especialmente, à minha esposa, Paula. Seu amor e encorajamento me sustentam e são a fonte de toda a minha felicidade e alegria.

Todd M. Hoagland, PhD

É um privilégio ensinar anatomia humana clínica e sou eternamente grato a todos os doadores de corpos e as suas famílias que permitiram que os profissionais de saúde pudessem treinar no laboratório de dissecação. É uma honra trabalhar com notáveis estudantes de Medicina e colegas da Faculdade de Medicina da Wisconsin. Sou grato a John Hansen e aos profissionais da equipe Elsevier, pela oportunidade de ser um mordomo do incomparável *Netter Atlas*. Marybeth Thiel e Elyse O'Grady foram auxiliares especialmente importantes e foi um prazer trabalhar com ambas. Foi uma honra colaborar com o brilhante Carlos Machado e com todos os editores de consultoria. Agradeço a Joe Besharse por ser um mentor excepcional. Estou profundamente agradecimento a Stan Hillman e Jack O'Malley que me inspiraram com o ensino magistral e expectativas rigorosas. Estou em dívida com Richard Hoyt Jr., por ajudar a me tornar um anatomista competente, e com Rob Bouchie, por seu apoio. Eu sou muito grato ao meu irmão, Bill, por seu otimismo inabalável e natureza gregária. Agradeço a minha mãe, Liz, por sua dedicação e amor, e por me incutir um forte sentido ético de trabalho. Finalmente, eu me sinto humilde pelas minhas duas incríveis crianças, Ella e Caleb, por me ajudarem a redefinir amor, admiração e alegria.

R. Shane Tubbs, MS, PA-C, PhD

Em primeiro lugar, gostaria de agradecer à Elsevier e, em particular, à Madelene Hyde, Marybeth Thiel e Elyse O'Grady, por todo seu árduo trabalho em dar vida a esta edição. A evolução do atlas atual continua com as excelentes habilidades do Dr. Carlos Machado e suas obras de arte. Gostaria

de agradecer ao Dr. Satinder Singh pelo seu amável apoio no fornecimento das imagens radiográficas do coração. Agradeço a minha linda esposa, Susan, e ao meu filho, Isaías, por sua paciência e orientação, durante a confecção da sexta edição. Sem o apoio contínuo do meu mentor, amigo e colega, Dr. W. Jerry Oakes, eu não poderia cumprir todas as ações acadêmicas. Dedico meus esforços nesta edição ao meu falecido cunhado, Nelson Jones, cujo apetite pela curiosidade me inspira até hoje.

Nota do Revisor Científico

Alguns termos utilizados no livro foram mantidos entre aspas e/ou parênteses pelos seguintes motivos:

- . são termos de uso comum entre os profissionais da área de saúde, porém não constam da Terminologia Anatômica em português (2001);
- . são termos que constam da Terminologia Anatômica original, em latim, mas que não foram traduzidos na edição em língua portuguesa;
- . são epônimos.

Ilustrador

Carlos A.G. Machado, MD



Consultores

John T. Hansen, Ph.D., *Lead Editor*

*Associate Dean for Admissions
Professor of Neurobiology and Anatomy
University of Rochester Medical Center
Rochester, New York*



Brion Benninger, MD, MS

*Professor, Chair Medical Anatomical Sciences, Family Medicine, and
Neuromuscular Medicine College of Dental Medicine, Western University of Health
Sciences Lebanon, Oregon
Orthopaedic and General Surgery Residency Program Samaritan Hospital
Corvallis, Oregon
Surgery, Orthopedics & Rehabilitation, and Oral Maxillofacial Surgery
Oregon Health & Science University
Portland, Oregon*



Jennifer Brueckner-Collins, PhD, *Professor and Vice Chair of Educational Programs*
Anatomical Sciences and Neurobiology
University of Louisville School of Medicine
Louisville, Kentucky



Todd M. Hoagland, PhD, *Associate Professor*
Department of Cell Biology, Neurobiology, and Anatomy



R. Shane Tubbs, MS, PA-C, PhD, *Pediatric Neurosurgery*

Children's Hospital of Alabama

Birmingham, Alabama

Professor of Anatomy

*Department of Anatomical Sciences, St. George's University, Grenada Centre of Anatomy and Human Identification,
Dundee University, United Kingdom*



Cabeça e pescoço

Anatomia Topográfica

Prancha 1

1. Cabeça e Pescoço: Anatomia de Superfície

Cabeça e Pescoço – Região Superficial

Pranchas 2–3

2. Nervos Cutâneos da Cabeça e do Pescoço
3. Artérias e Veias Superficiais da Face e do “Couro Cabeludo”

Ossos e Ligamentos

Pranchas 4–23

4. Crânio: Vista Anterior – Norma Frontal
5. Crânio: Radiografia Anteroposterior
6. Crânio: Vista Lateral – Norma Lateral
7. Crânio: Radiografia Lateral
8. Crânio: Corte Sagital Mediano
9. Calvária
10. Base Externa do Crânio: Vista Inferior – Norma Basilar
11. Ossos da Base Interna do Crânio: Vista Superior
12. Forames e Canais da Base Externa do Crânio: Vista Inferior
13. Forames e Canais da Base Interna do Crânio: Vista Superior
14. Crânio de Recém-nascido
15. Arcabouço Ósseo da Cabeça e do Pescoço
16. Fossas Pterigóideas: Vistas Posterior e Inferolateral
17. Mandíbula
18. Articulação Temporomandibular
19. Vértebras Cervicais: Atlas e Áxis
20. Vértebras Cervicais (continuação)
21. Vértebras Cervicais: Articulações “Uncovertebrais”
22. Ligamentos Craniocervicais Externos
23. Ligamentos Craniocervicais Internos

Face – Região Superficial

Pranchas 24–25

24. Ramos do Nervo Facial e Glândula Parótida

25. Músculos da Face: Vista Lateral

Pescoço

Pranchas 26–34

26. Lâminas Fasciais do Pescoço

27. Músculos do Pescoço: Vista Anterior

28. Músculos Infra-hióideos e Supra-hióideos

29. Músculos do Pescoço: Vista Lateral

30. Músculos Escalenos e Pré-vertebrais

31. Veias Superficiais e Nervos Cutâneos do Pescoço

32. Nervos e Vasos do Pescoço

33. Nervos e Vasos do Pescoço (continuação)

34. Artérias Carótidas

Região Nasal

Pranchas 35–55

35. Nariz

36. Cavidade Nasal: Parede Lateral

37. Cavidade Nasal: Parede Lateral (continuação)

38. Cavidade Nasal: Parede Medial (Septo Nasal)

39. Nervos da Cavidade Nasal

40. Artérias da Cavidade Nasal: Septo Nasal Rebatido para Cima

41. Nervos da Cavidade Nasal: Septo Nasal Rebatido para Cima

42. Nariz e Seio Maxilar: Corte Transversal

43. Seios Paranasais

44. Seios Paranasais (continuação)

45. Seios Paranasais: Alterações com a Idade

46. Glândulas Salivares

47. Língua e Glândulas Salivares: Cortes

48. Músculos da Mastigação

49. Músculos da Mastigação (continuação)

50. Nervo Mandibular (V_3)

51. Artéria Maxilar

52. Nervos Oftálmico (V_1) e Maxilar (V_2)

53. Inervação Autônoma da Cavidade Nasal

54. Fossa Pterigopalatina

55. Orientação dos Nervos e dos Vasos Sanguíneos da Base do

Crânio

Região Oral

Pranchas 56–63

- 56. Inspeção da Cavidade Oral
- 57. Teto da Cavidade Oral
- 58. Assoalho da Cavidade Oral
- 59. Língua
- 60. Língua (continuação)
- 61. Inervação Sensitiva da Cavidade Oral e da Faringe
- 62. Dentes
- 63. Dentes (continuação)

Faringe

Pranchas 64–75

- 64. Faringe: Corte Sagital Mediano
- 65. Músculos da Faringe: Corte Sagital
- 66. Faringe: Vista Posterior (Parede Posterior Aberta)
- 67. Músculos da Faringe: Vista Posterior (Parede Posterior Parcialmente Aberta)
- 68. Fauces
- 69. Junção Faringoesofágica
- 70. Músculos da Faringe: Vista Lateral
- 71. Nervos das Regiões Oral e Faríngea
- 72. Artérias das Regiões Oral e Faríngea
- 73. Veias das Regiões Oral e Faríngea
- 74. Vasos Linfáticos e Linfonodos da Cabeça e do Pescoço
- 75. Vasos Linfáticos e Linfonodos da Faringe e da Língua

Glândula Tireoide e Laringe

Pranchas 76–82

- 76. Glândula Tireoide: Vista Anterior
- 77. Glândula Tireoide e Faringe: Vista Posterior
- 78. Glândulas Paratireoides
- 79. Cartilagens da Laringe
- 80. Músculos (Intrínsecos) da Laringe
- 81. Ação dos Músculos (Intrínsecos) da Laringe
- 82. Nervos da Laringe

Órbita e Conteúdo

Pranchas 83–93

83. Pálpebras
84. Aparelho Lacrimal
85. Fácias da Órbita e do Bulbo do Olho
86. Músculos Extrínsecos do Bulbo do Olho
87. Artérias e Veias da Órbita e das Pálpebras
88. Nervos da Órbita
89. Bulbo do Olho
90. Câmaras Anterior e Posterior do Bulbo do Olho
91. Lente e Estruturas de Sustentação
92. Artérias e Veias (Intrínsecas) do Bulbo do Olho
93. Suprimento Vascular do Bulbo do Olho

Orelha

Pranchas 94–100

94. Via da Recepção Sonora
95. Orelha Externa e Orelha Média (Cavidade Timpânica)
96. Orelha Média (Cavidade Timpânica)
97. Labirintos Ósseo e Membranáceo
98. Labirintos Ósseo e Membranáceo (continuação)
99. Orientação do Labirinto no Crânio
100. Tuba Auditiva

Meninges e Encéfalo

Pranchas 101–116

101. Meninges e Veias Diploicas
102. Artérias Meníngeas
103. Meninges e Veias Cerebrais Superficiais
104. Seios da Dura-máter (Venosos)
105. Seios da Dura-máter (Venosos) (continuação)
106. Cérebro: Vistas Laterais
107. Cérebro: Vistas Mediais
108. Cérebro: Vista Inferior
109. Ventrículos Encefálicos
110. Circulação do Líquido Cerebrospinal
111. Núcleos da Base
112. Tálamo
113. Hipocampo e Fórnice
114. Cerebelo
115. Tronco Encefálico

116. Quarto Ventrículo e Cerebelo

Nervos Cranianos e Espinais Cervicais

Pranchas 117–136

- 117. Núcleos dos Nervos Cranianos no Tronco Encefálico: Esquema
- 118. Núcleos dos Nervos Cranianos no Tronco Encefálico: Esquema (continuação)
- 119. Nervos Cranianos (Distribuição Motora e Sensitiva): Esquema
- 120. Nervo Olfatório (I): Esquema
- 121. Nervo Óptico (II) (Via Óptica): Esquema
- 122. Nervos Oculomotor (III), Troclear (IV) e Abducente (VI): Esquema
- 123. Nervo Trigêmeo (V): Esquema
- 124. Nervo Facial (VII): Esquema
- 125. Nervo Vestibulococlear (VIII): Esquema
- 126. Nervo Glossofaríngeo (IX): Esquema
- 127. Nervo Vago (X): Esquema
- 128. Nervo Acessório (XI): Esquema
- 129. Nervo Hipoglosso (XII): Esquema
- 130. Plexo Cervical: Esquema
- 131. Nervos Autônomos no Pescoço
- 132. Nervos Autônomos na Cabeça
- 133. Gânglio Ciliar: Esquema
- 134. Gânglios Pterigopalatino e Submandibular: Esquema
- 135. Gânglio Ótico: Esquema
- 136. Vias Gustatórias: Esquema

Vascularização do Encéfalo

Pranchas 137–149

- 137. Artérias do Encéfalo e das Meninges
- 138. Artéria Carótida Interna na Parte Petrosa do Osso Temporal
- 139. Artérias para o Encéfalo: Esquema
- 140. Artérias do Encéfalo: Vistas Inferiores
- 141. Círculo Arterial do Cérebro (de Willis)
- 142. Artérias do Encéfalo: Vista e Corte Frontais
- 143. Artérias do Cérebro: Vistas Lateral e Medial
- 144. Artérias da Fossa Posterior do Crânio
- 145. Veias da Fossa Posterior do Crânio
- 146. Veias Profundas do Encéfalo

- 147. Veias Subependimárias do Encéfalo
- 148. Hipotálamo e Hipófise
- 149. Artérias e Veias do Hipotálamo e da Hipófise

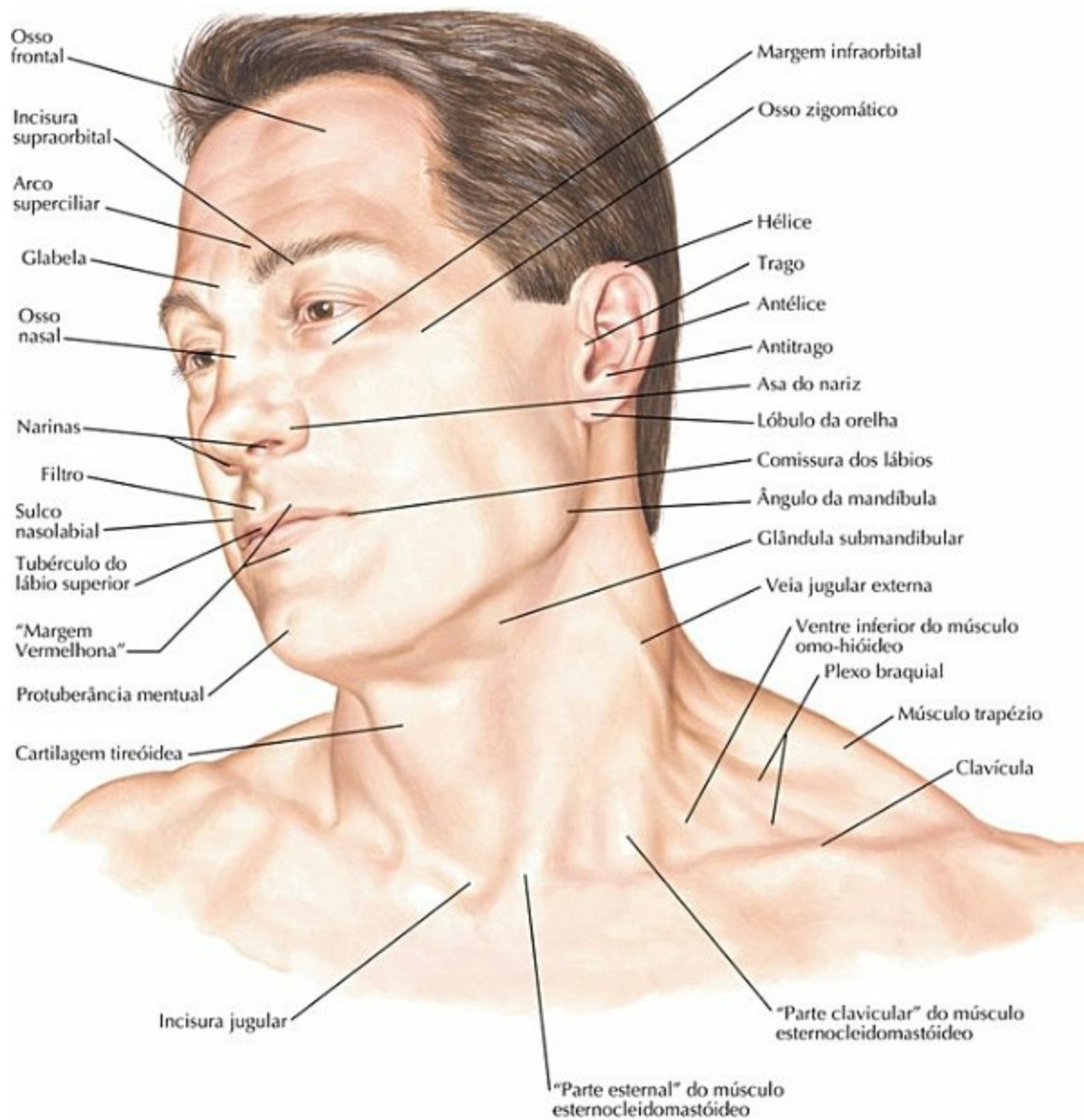
Imagens Regionais

Pranchas 150–151

- 150. Imagens da Cabeça (VRM e ARM)
- 151. Imagens da Cabeça (RM)

Tabelas de Músculos

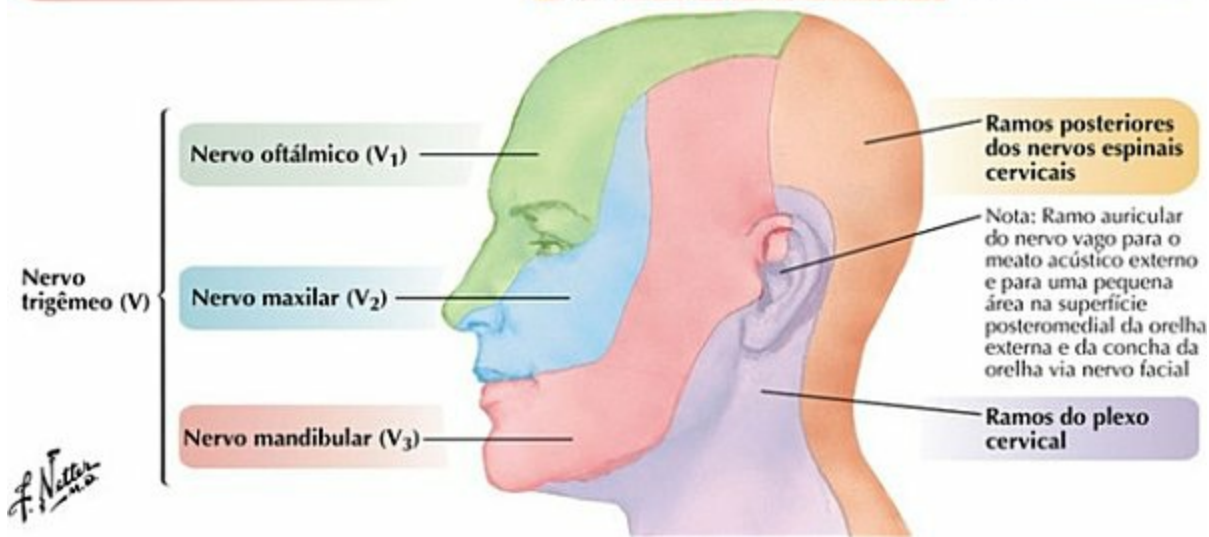
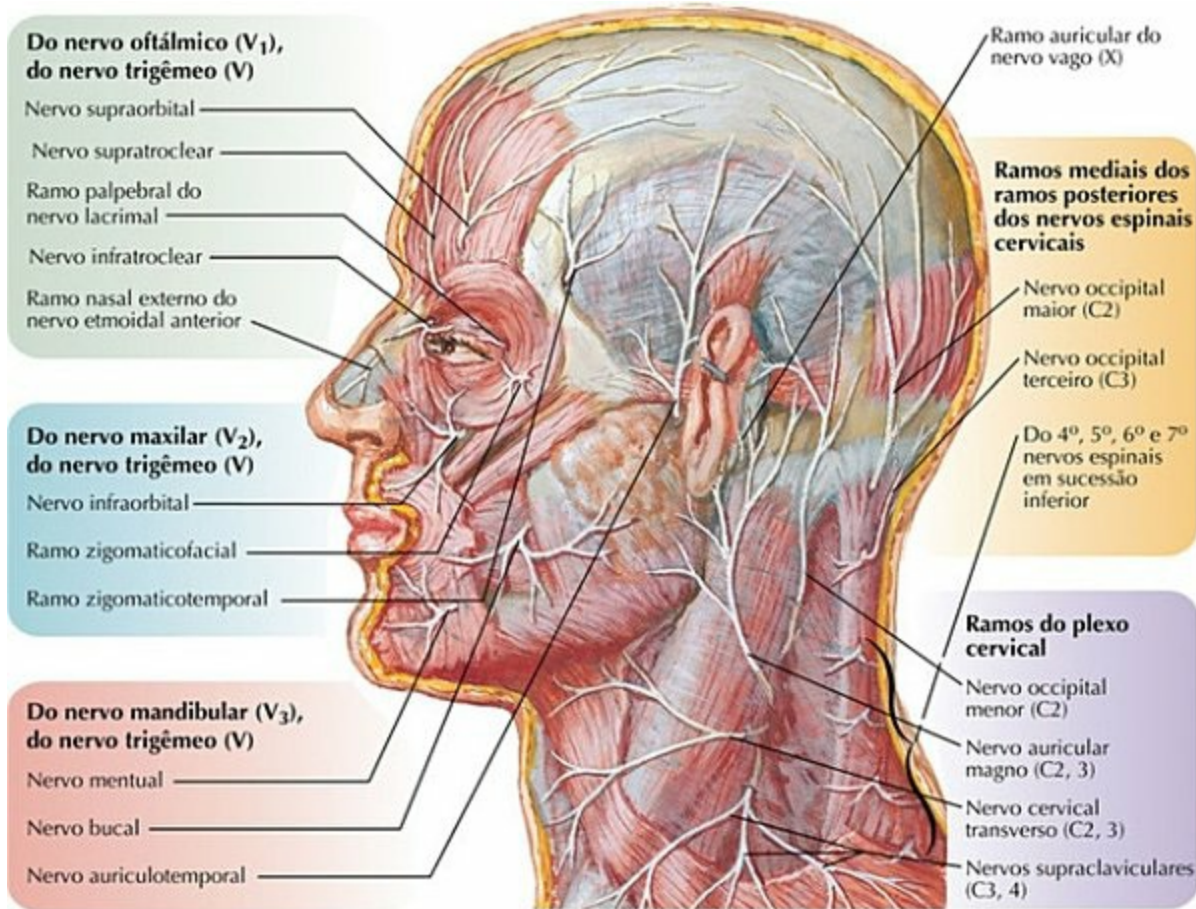
Cabeça e Pescoço: Anatomia de Superfície



C. Machado
— 1935 —

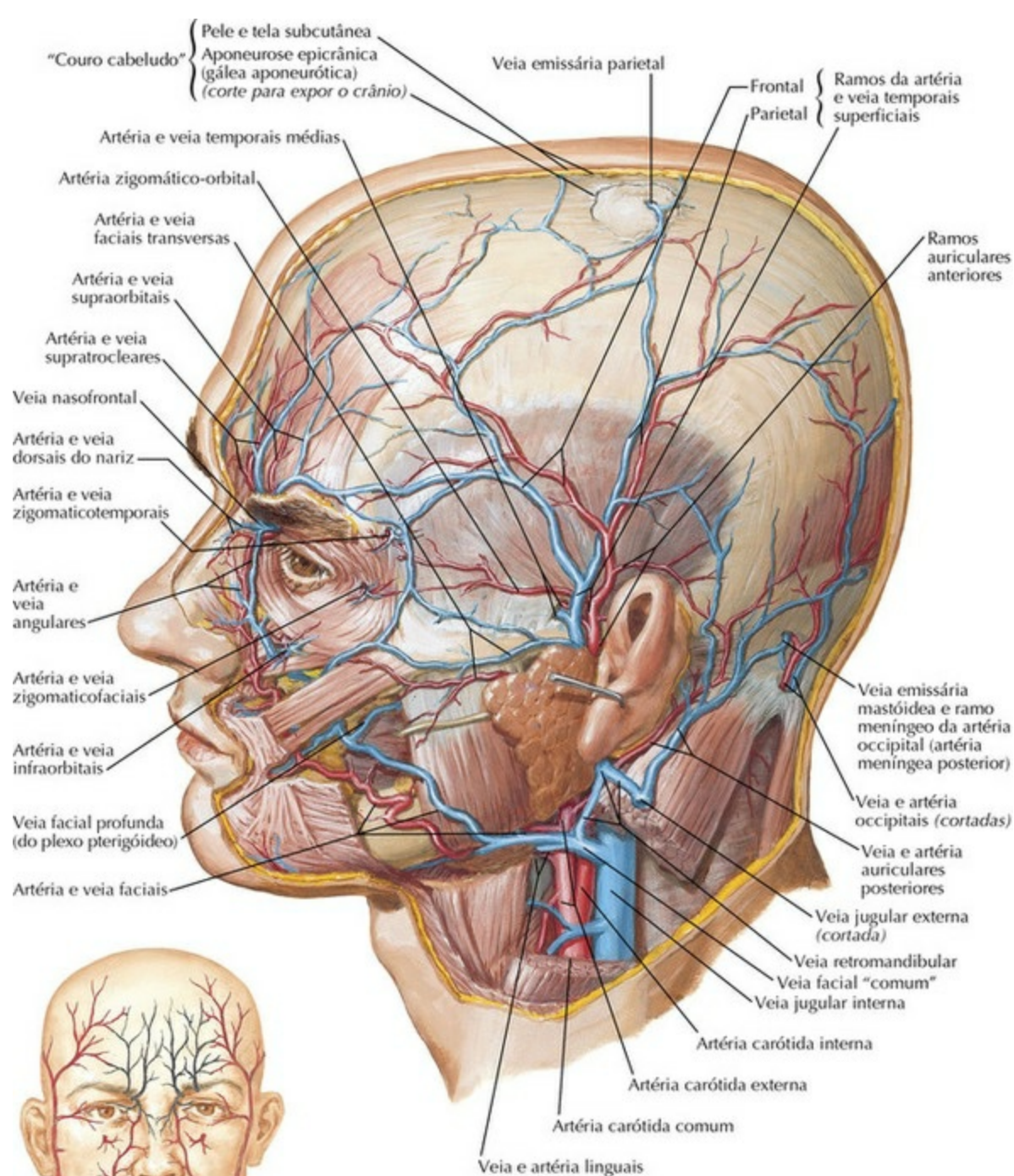
PRANCHA 1 Anatomia Topográfica

Nervos Cutâneos da Cabeça e do Pescoço



PRANCHA 2 Cabeça e Pescoço – Região Superficial
Veja também **Pranchas 32, 35, 52**

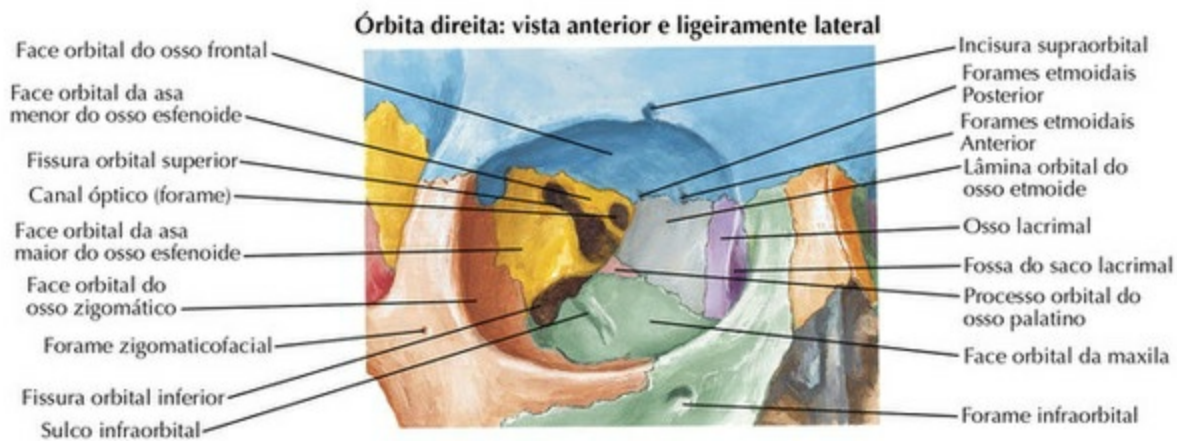
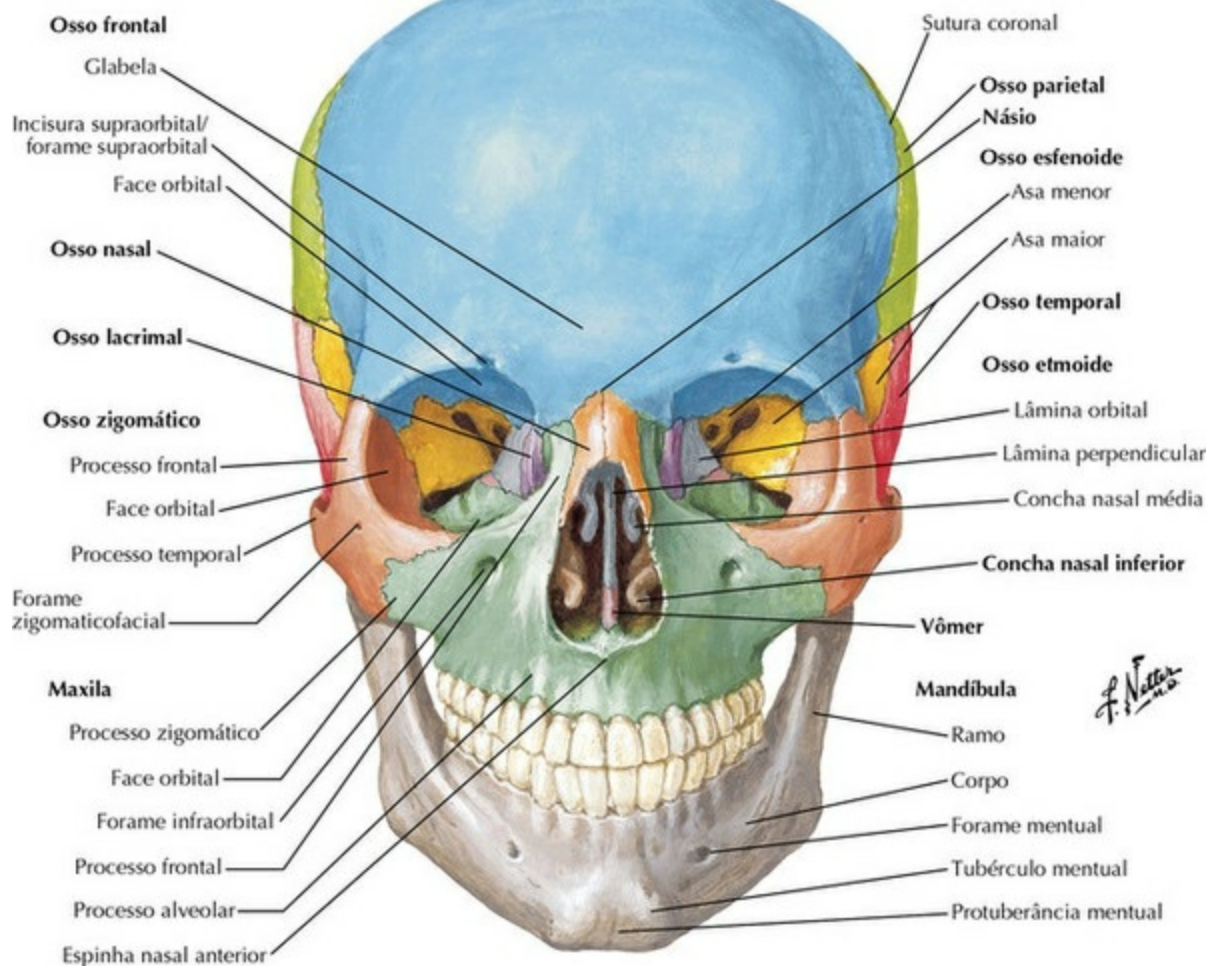
Artérias e Veias Superficiais da Face e do “Couro Cabeludo”



PRANCHA 3 Cabeça e Pescoço – Região Superficial

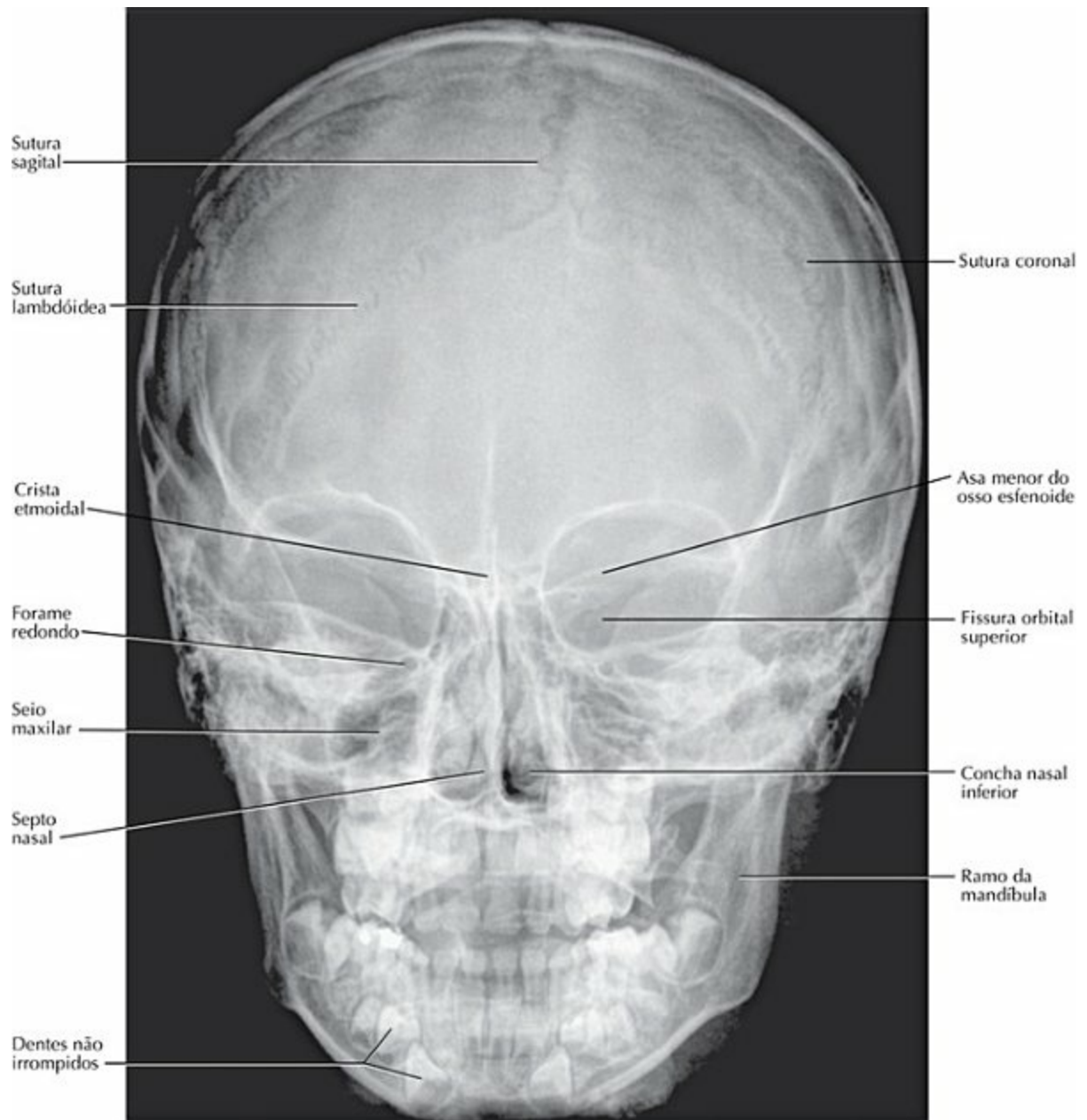
Veja também **Pranchas 51, 72, 73**

Crânio: Vista Anterior – Norma Frontal



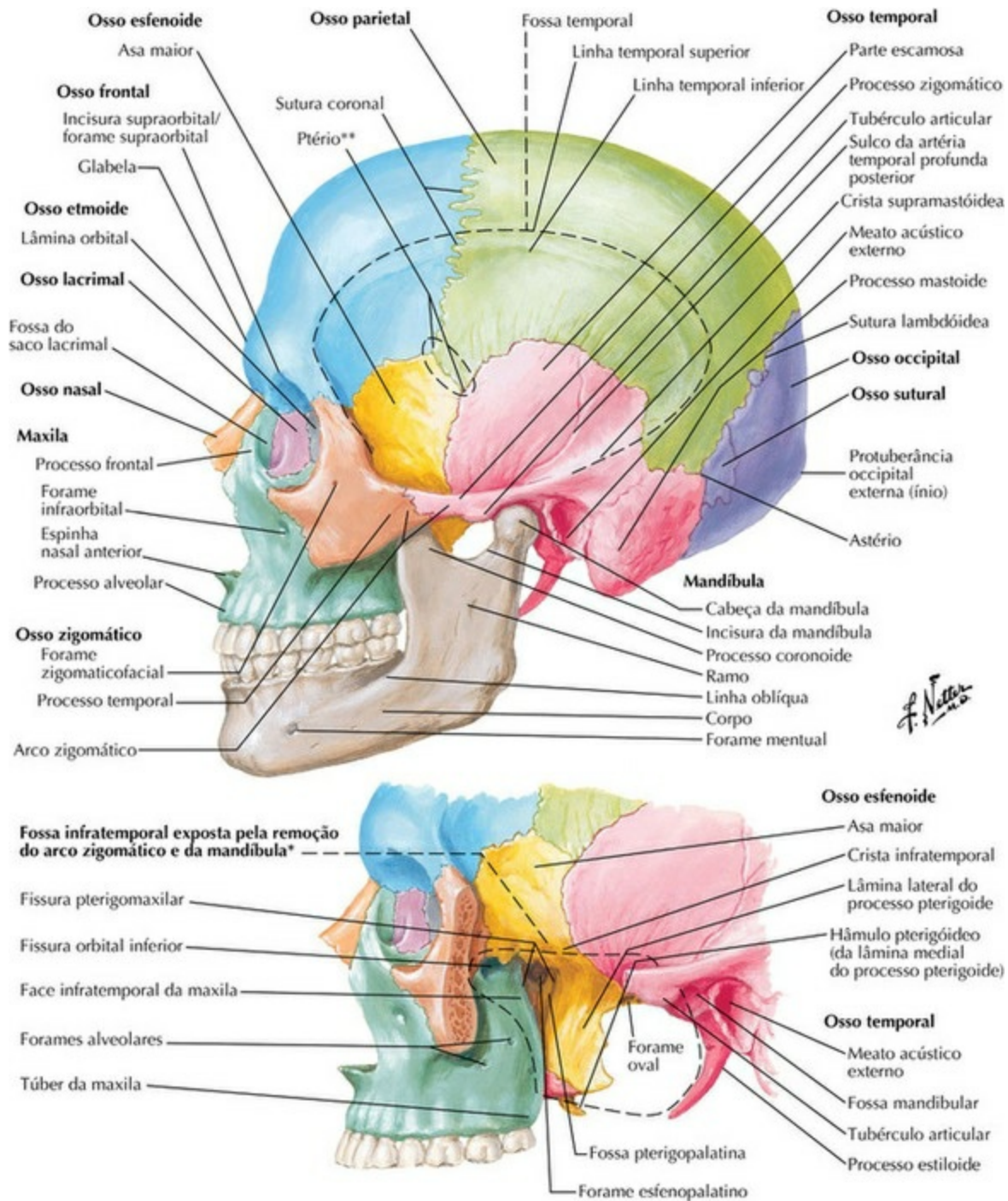
PRANCHA 4 Ossos e Ligamentos

Crânio: Radiografia Anteroposterior



PRANCHA 5 Ossos e Ligamentos
Veja também **Prancha 4**

Crânio: Vista Lateral – Norma Lateral



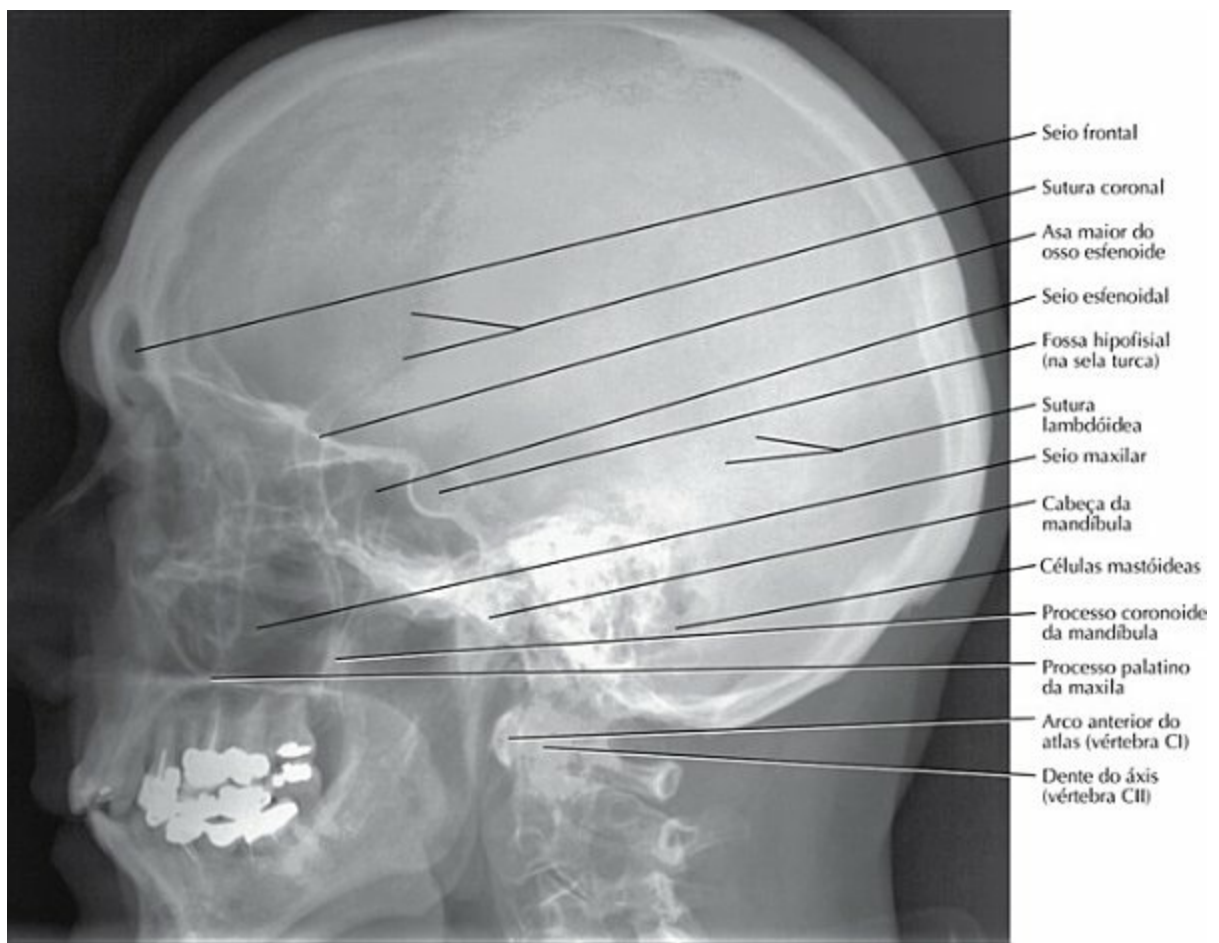
**Superficialmente, o processo mastoide forma o limite posterior.*

***Nota da Revisão Científica: Apesar de ser referido como um ponto craniométrico, em realidade se trata da região de encontro dos quatro ossos.*

PRANCHA 6 Ossos e Ligamentos

Veja também **Pranchas 7, 8, 15**

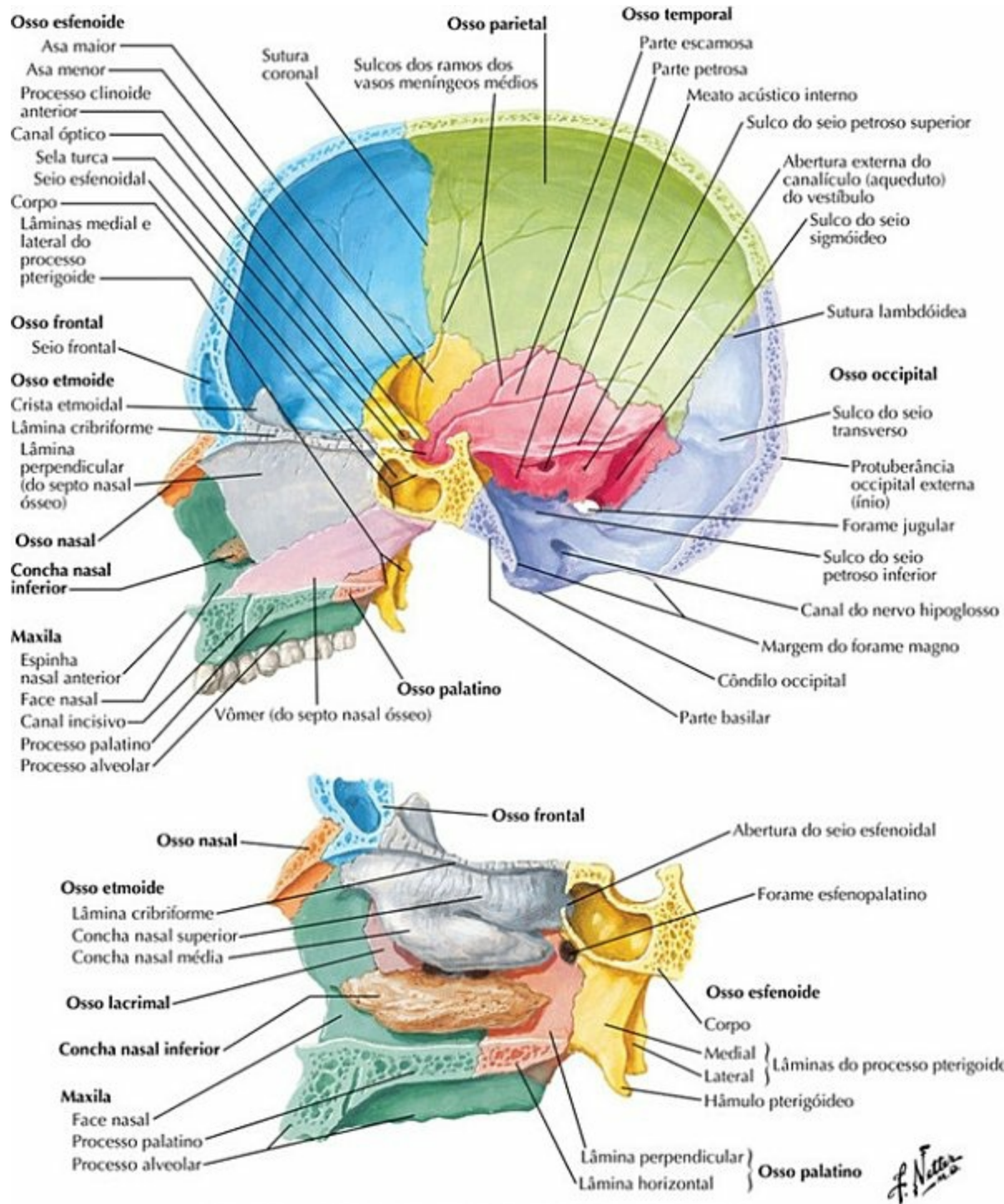
Crânio: Radiografia Lateral



PRANCHA 7 Ossos e Ligamentos

Veja também **Prancha 8**

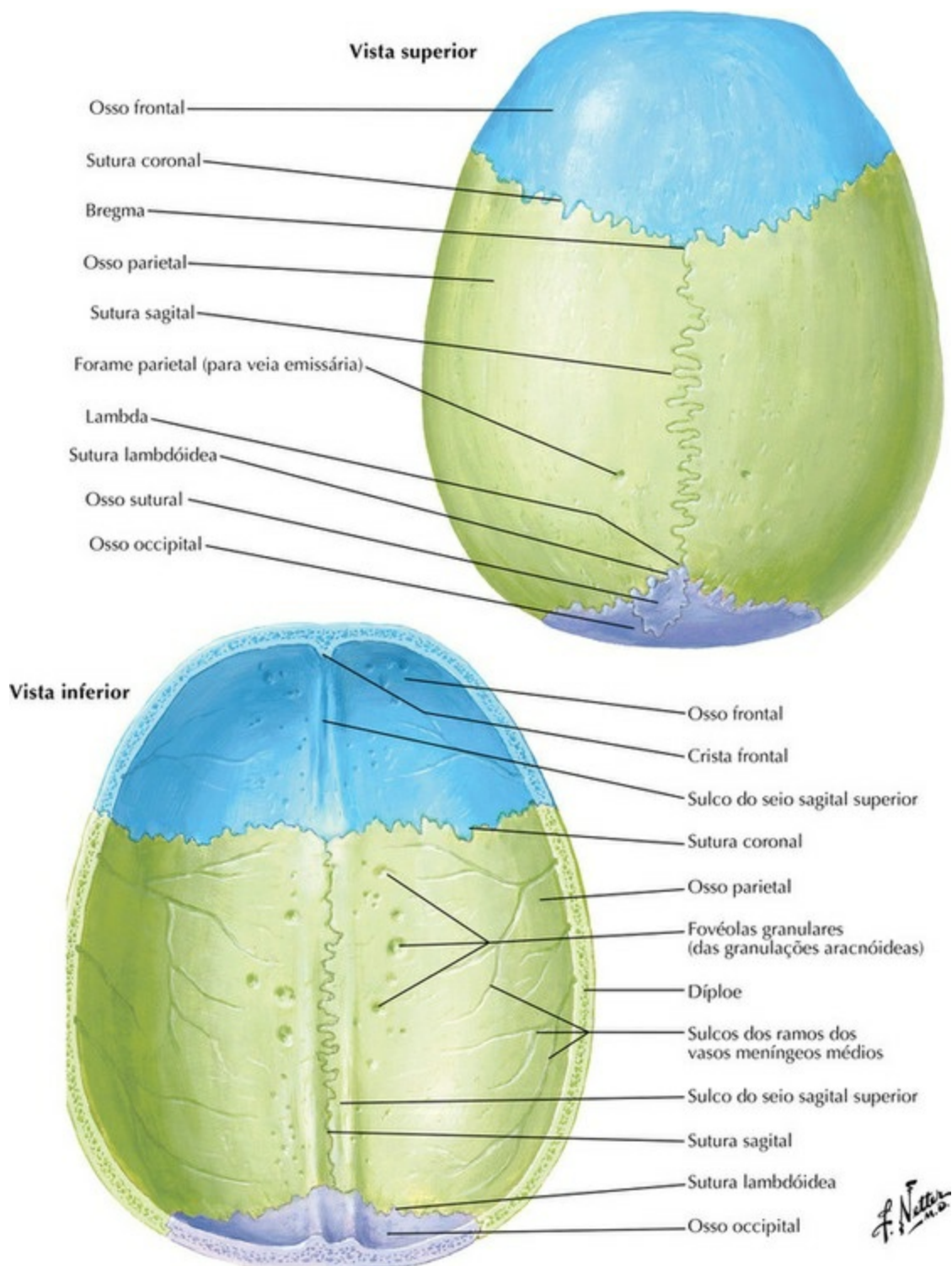
Crânio: Corte Sagital Mediano



PRANCHA 8 Ossos e Ligamentos

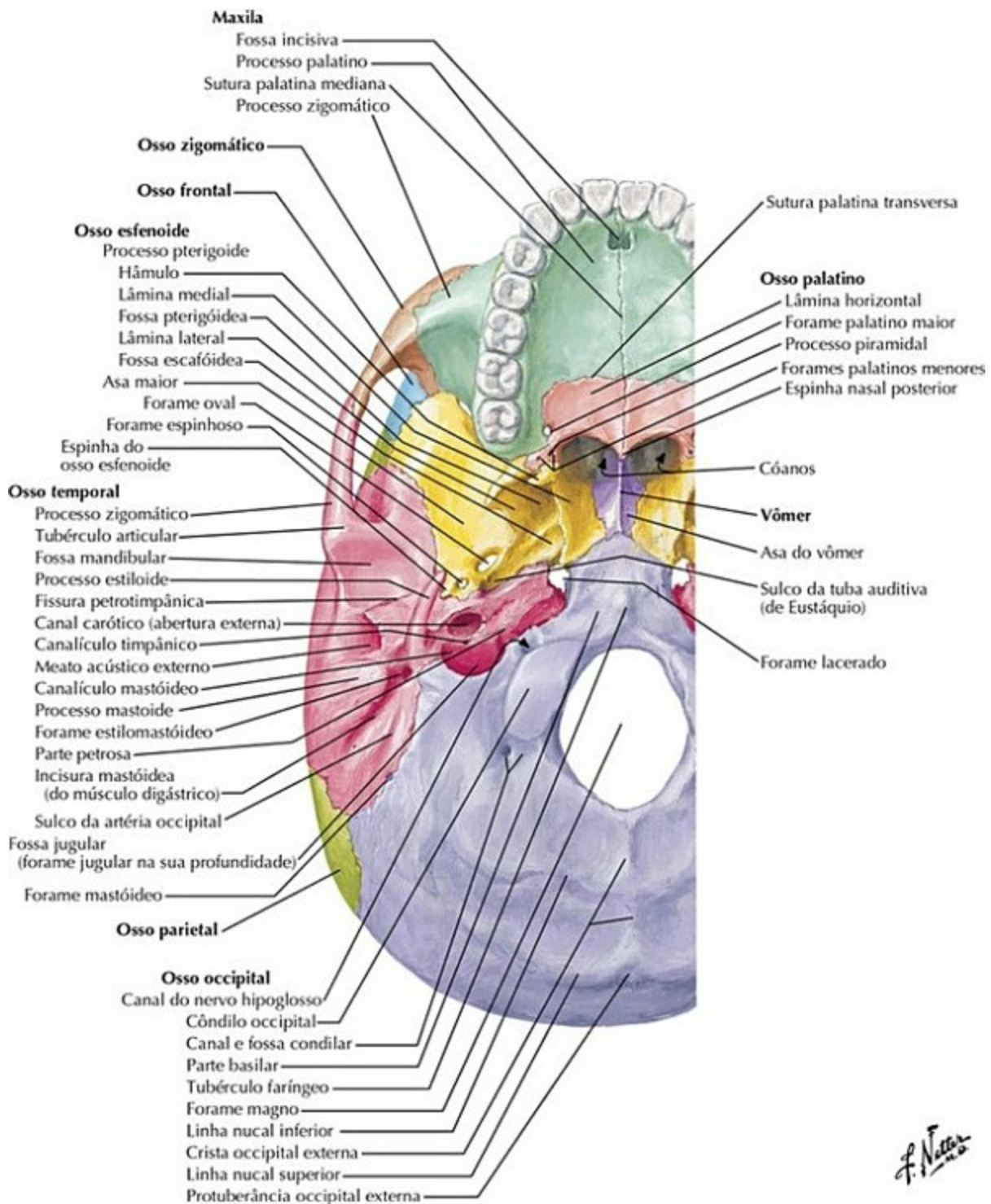
Veja também [Pranchas 37, 39](#)

Calvária



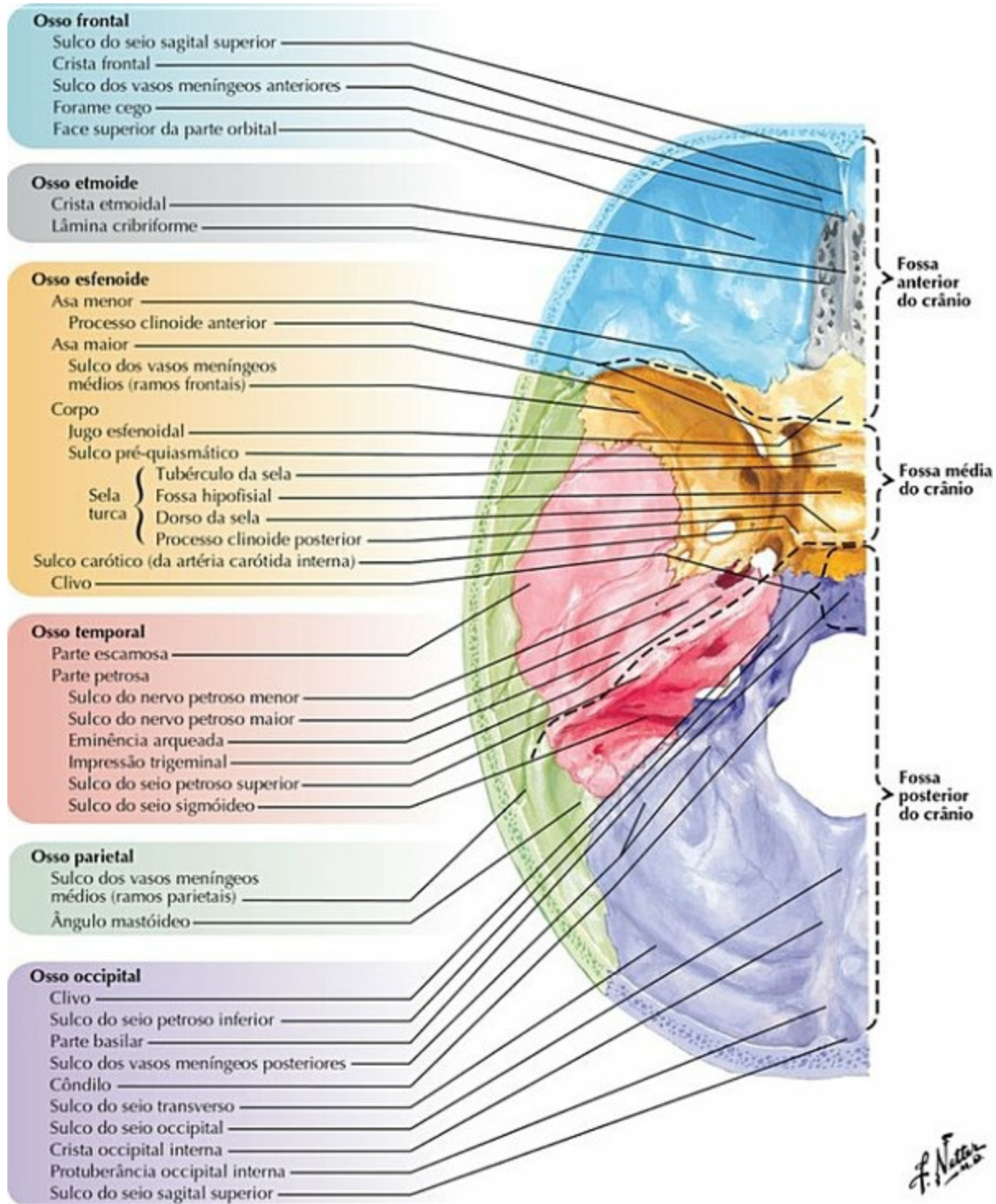
PRANCHA 9 Ossos e Ligamentos
Veja também **Pranchas 101, 102**

Base Externa do Crânio: Vista Inferior – Norma Basilar



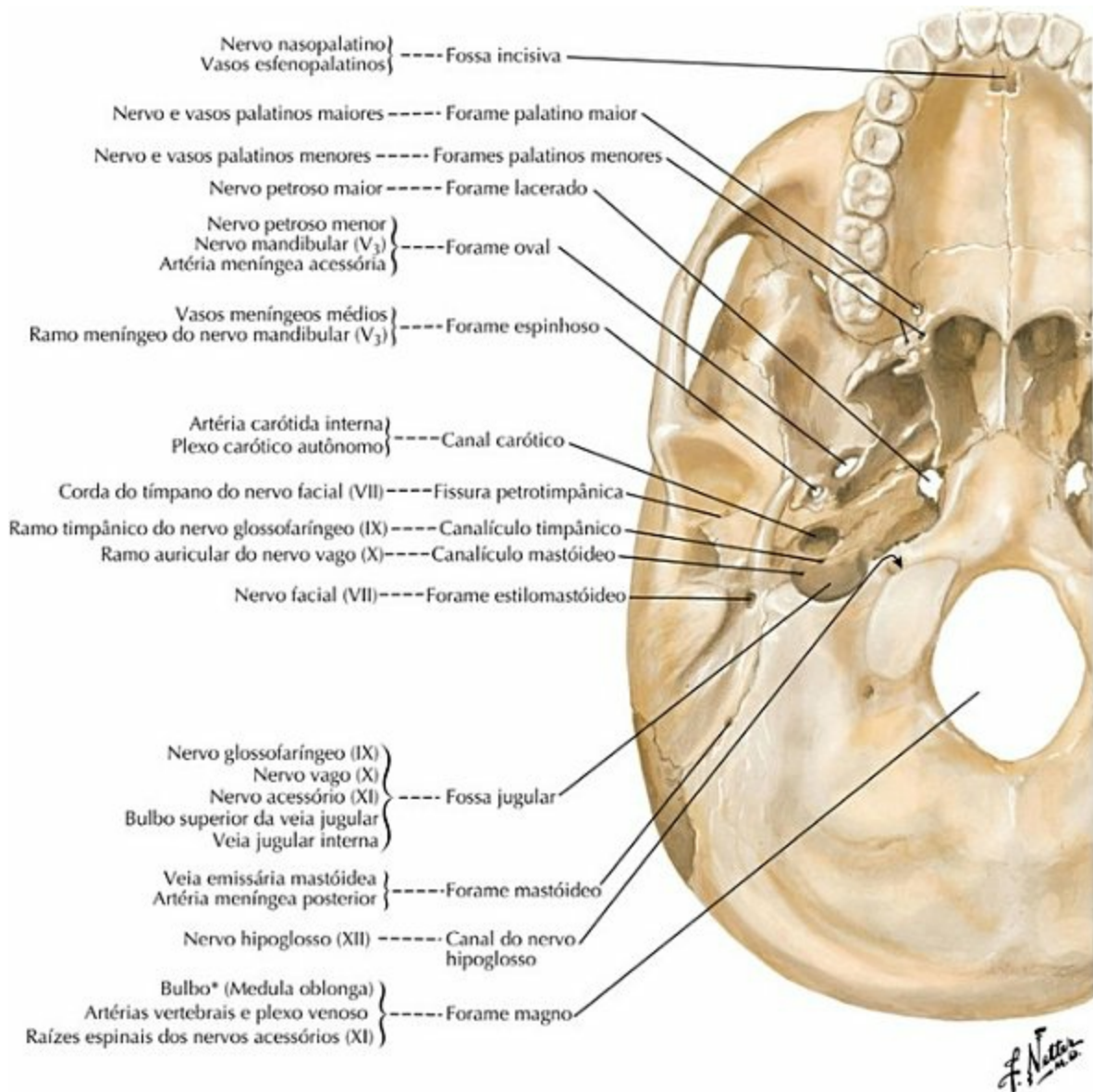
PRANCHA 10 Ossos e Ligamentos
 Veja também **Prancha 12**

Ossos da Base Interna do Crânio: Vista Superior



PRANCHA 11 Ossos e Ligamentos

Forames e Canais da Base Externa do Crânio: Vista Inferior

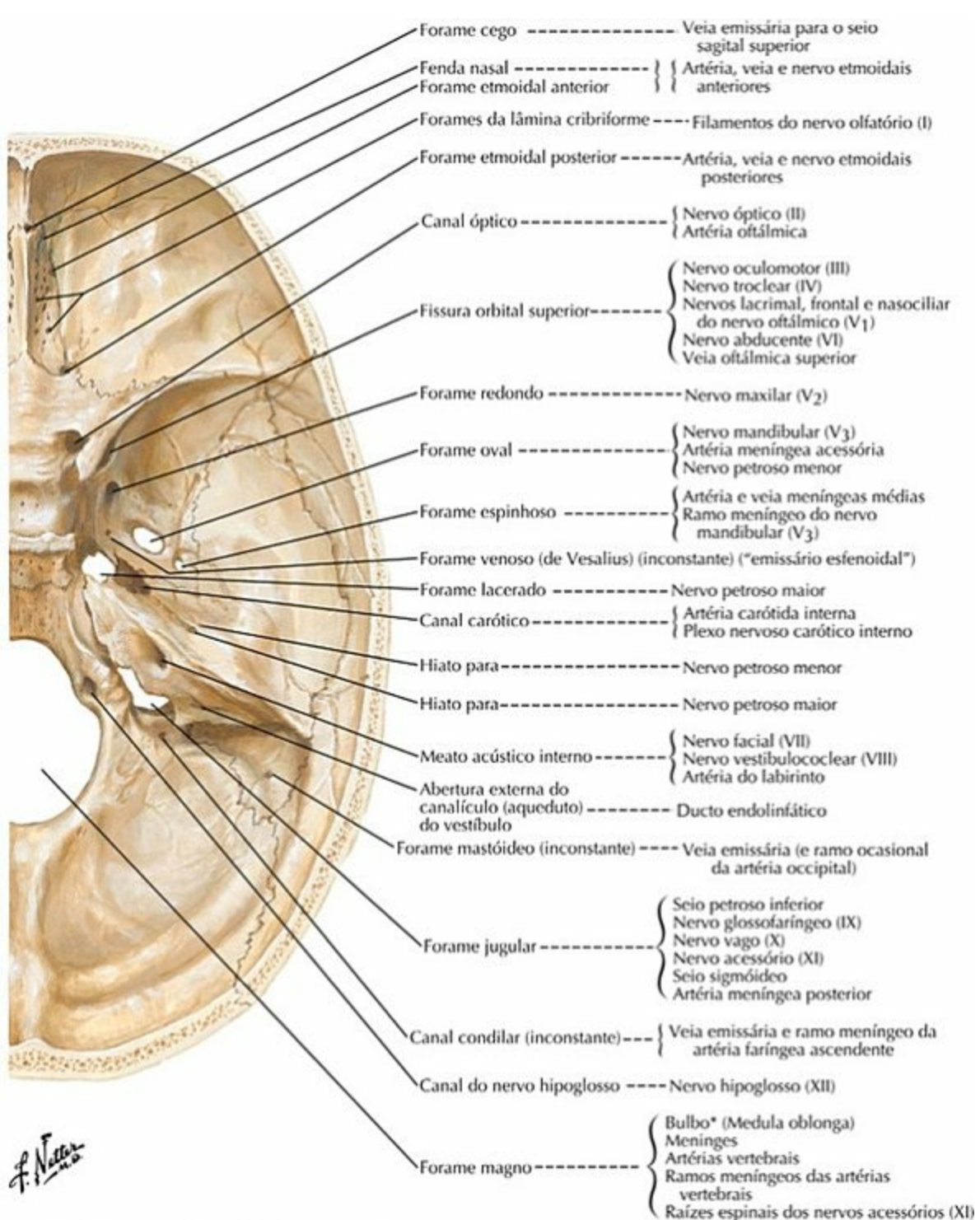


**Nota da Revisão Científica: O forame magno normalmente é considerado o limite anatômico entre a medula espinal, inferiormente, e o bulbo (parte do encéfalo), superiormente.*

PRANCHA 12 Ossos e Ligamentos

Veja também **Prancha 10**

Forames e Canais da Base Interna do Crânio: Vista Superior

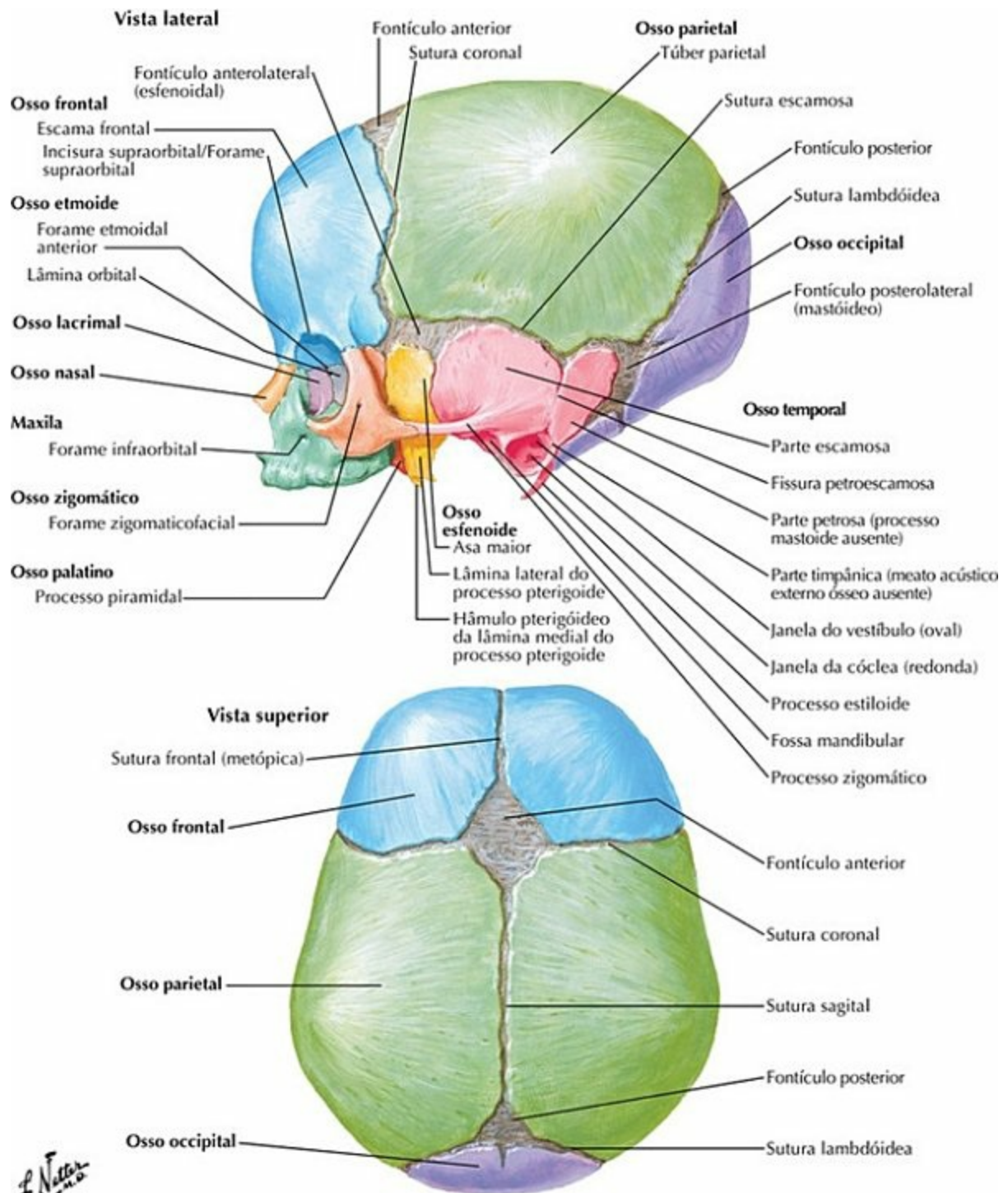


*Nota da Revisão Científica: Veja nota na Prancha 12.

PRANCHA 13 Ossos e Ligamentos

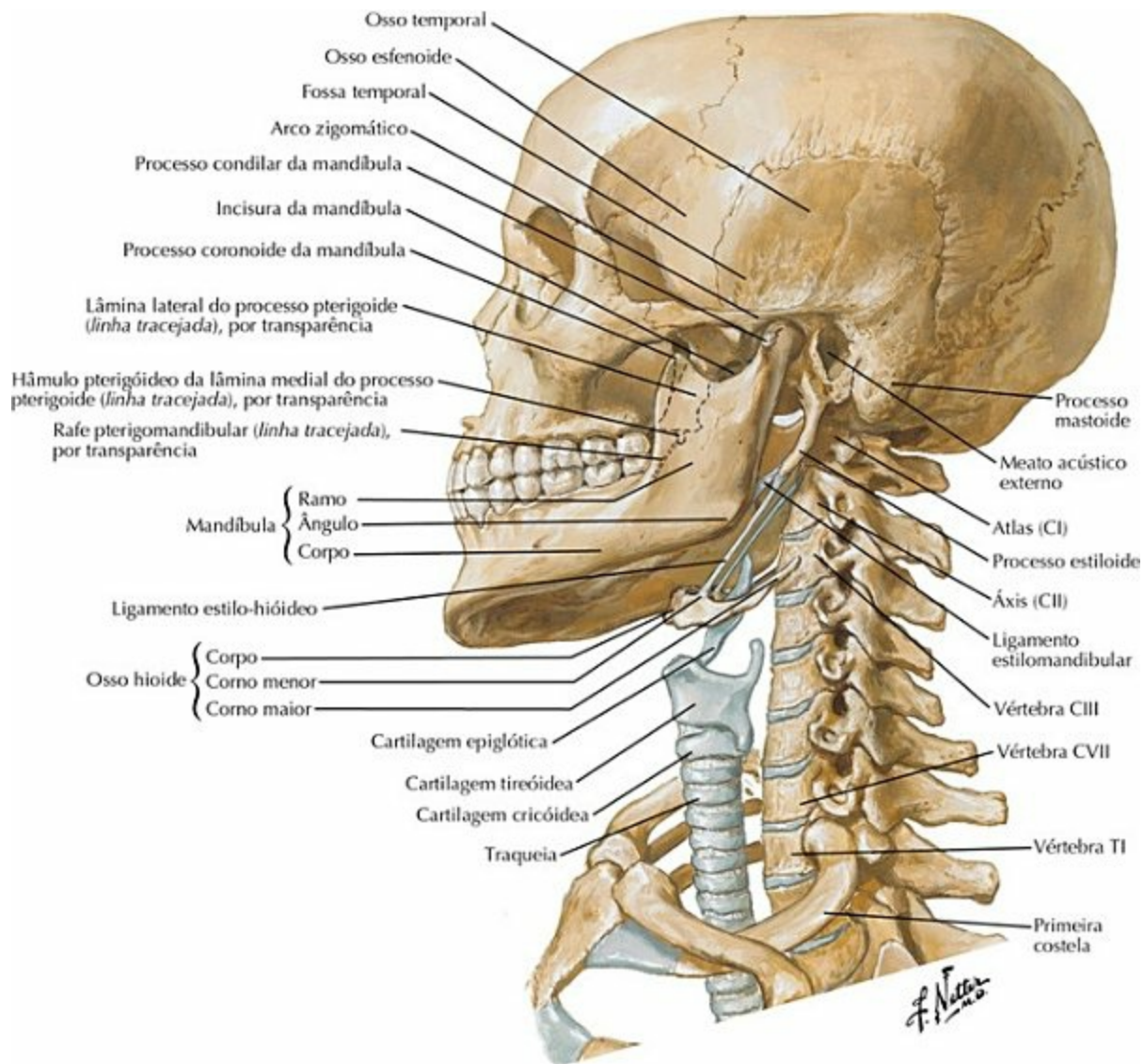
Veja também **Prancha 11**

Crânio de Recém-nascido



PRANCHA 14 Ossos e Ligamentos
Veja também **Prancha 6**

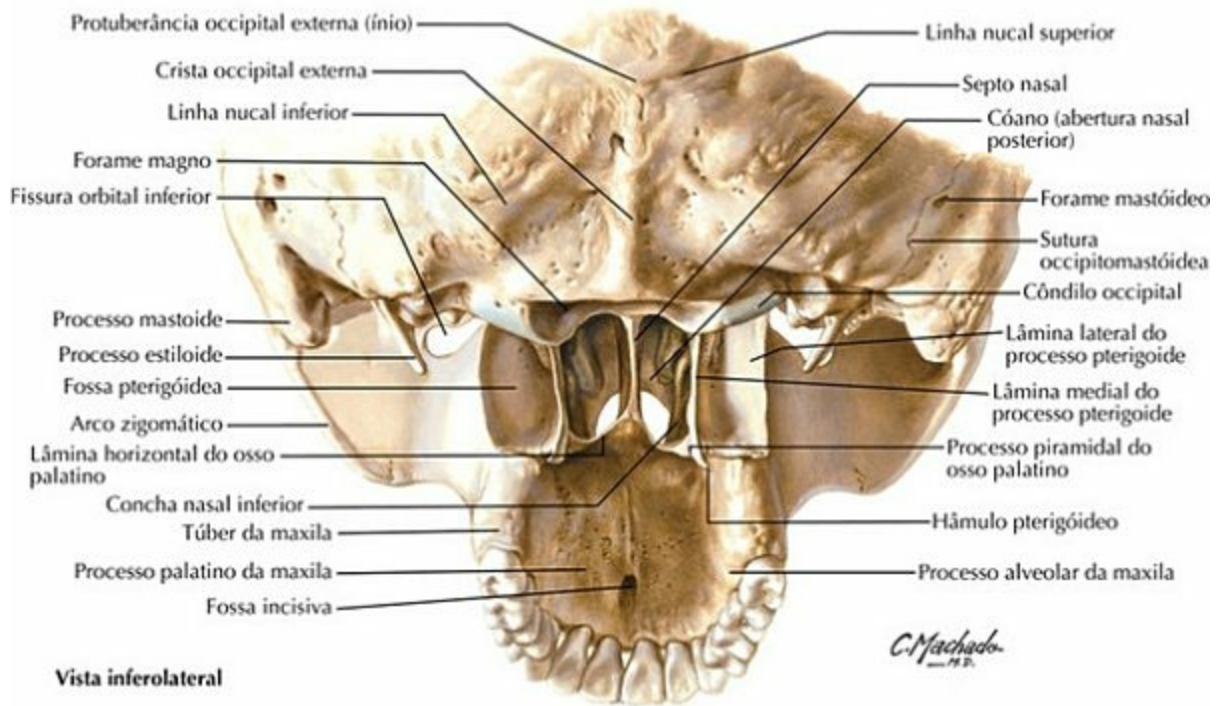
Arcabouço Ósseo da Cabeça e do Pescoço



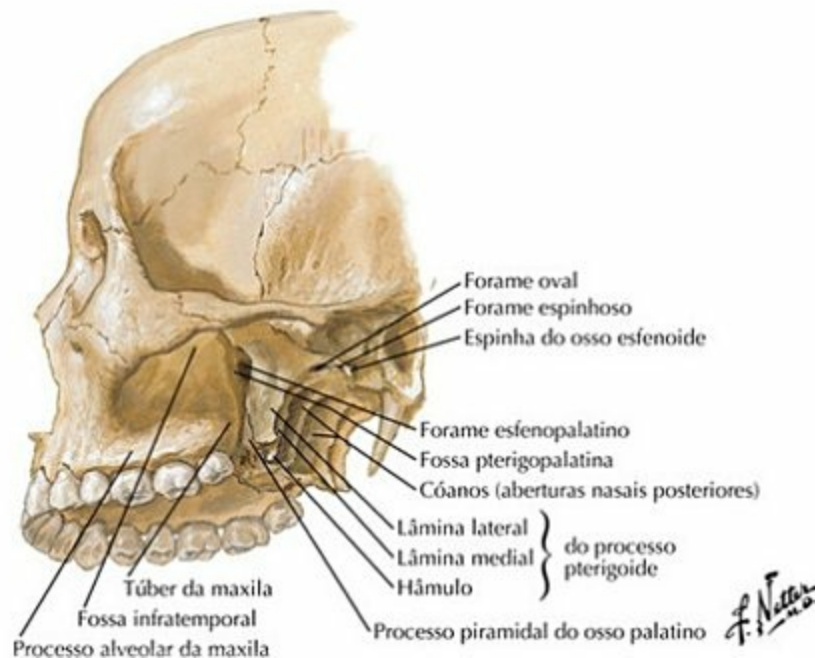
PRANCHA 15 Ossos e Ligamentos
Veja também **Pranchas 6, 19**

Fossas Pterigóideas: Vistas Posterior e Inferolateral

Vista posterior

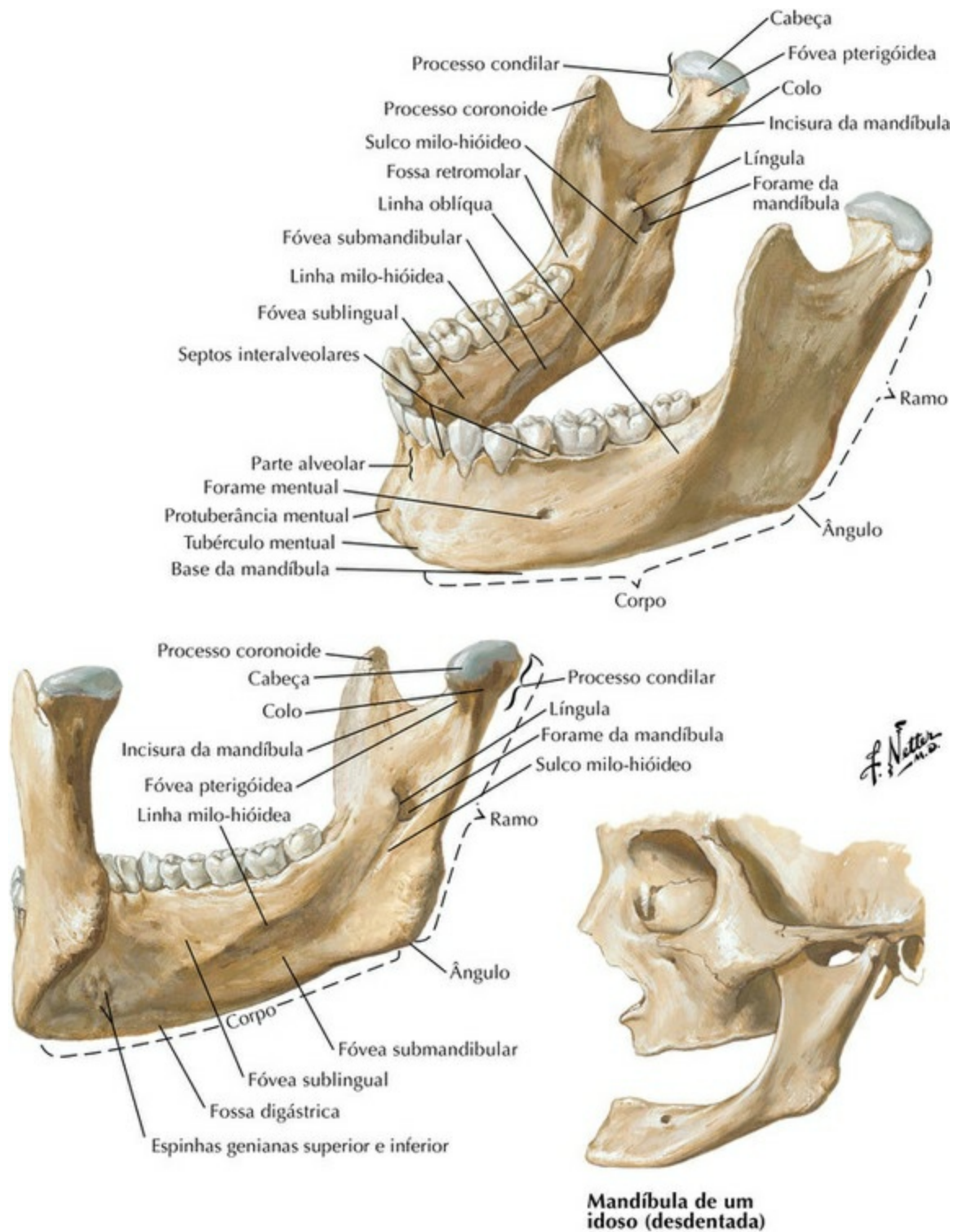


Vista inferolateral



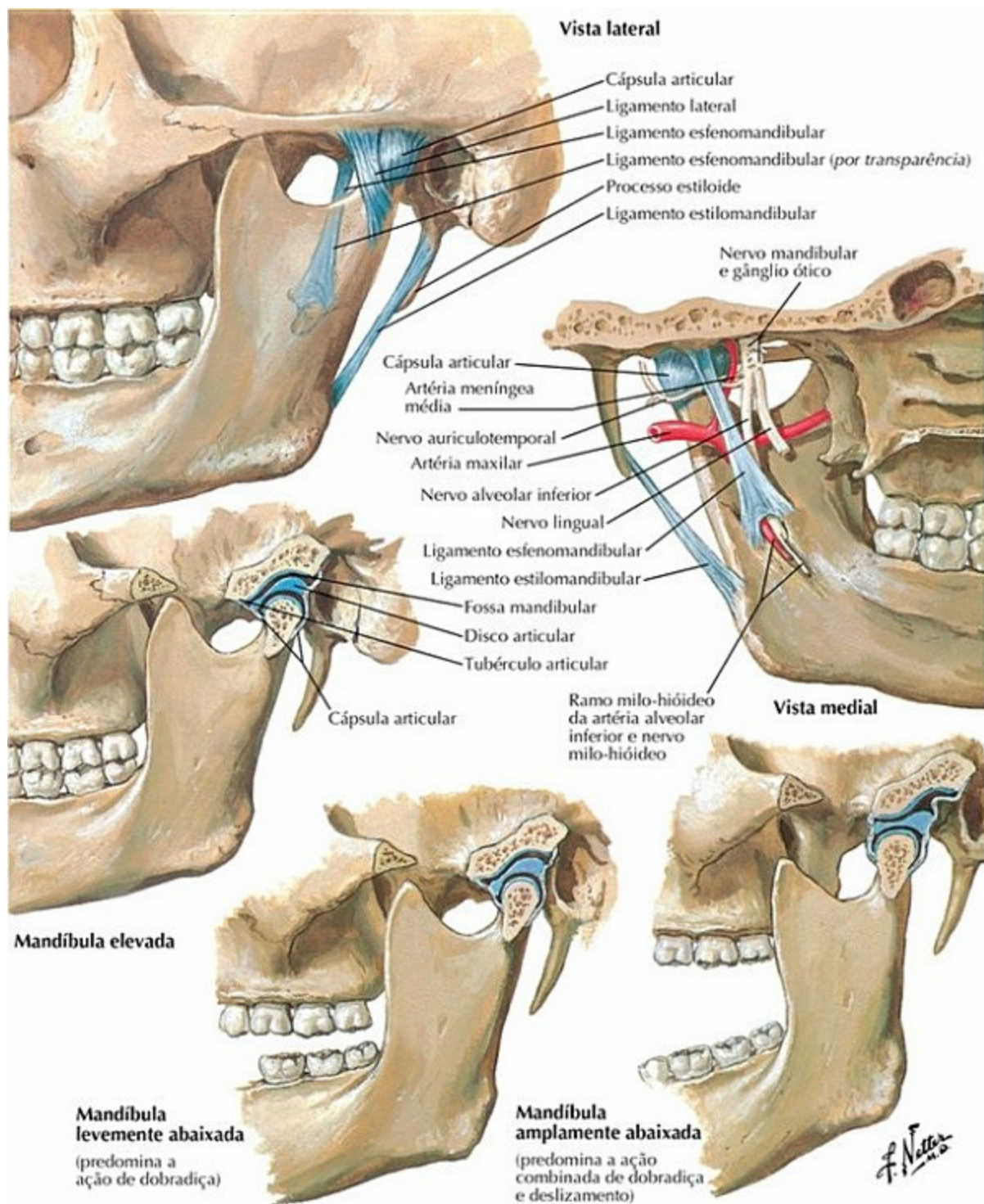
PRANCHA 16 Ossos e Ligamentos
 Veja também **Pranchas 39, 40, 41**

Mandíbula



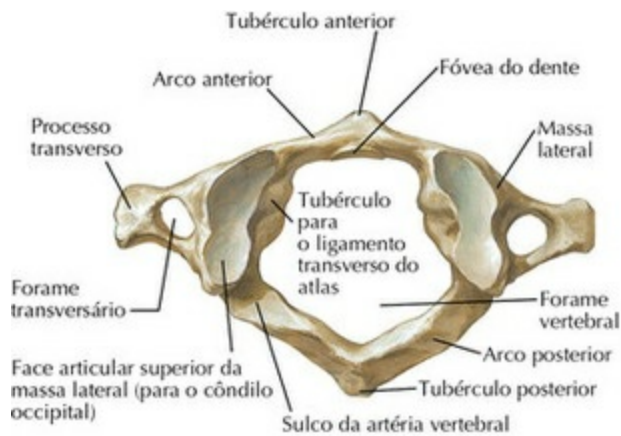
PRANCHA 17 Ossos e Ligamentos
Veja também **Prancha 49**

Articulação Temporomandibular

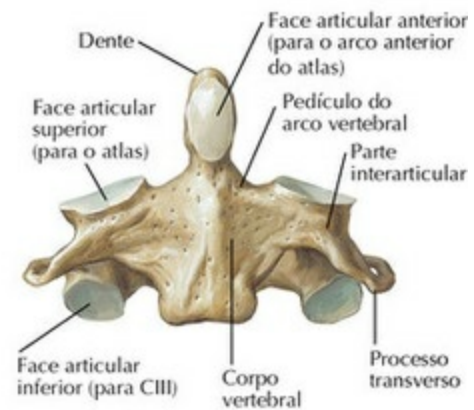


PRANCHA 18 Ossos e Ligamentos

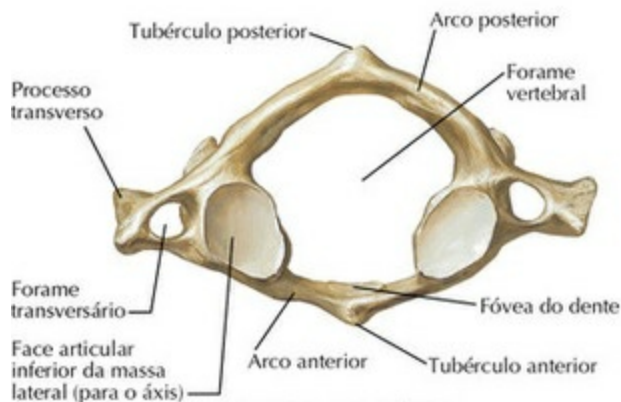
Vértebras Cervicais: Atlas e Áxis



Atlas (C1): vista superior



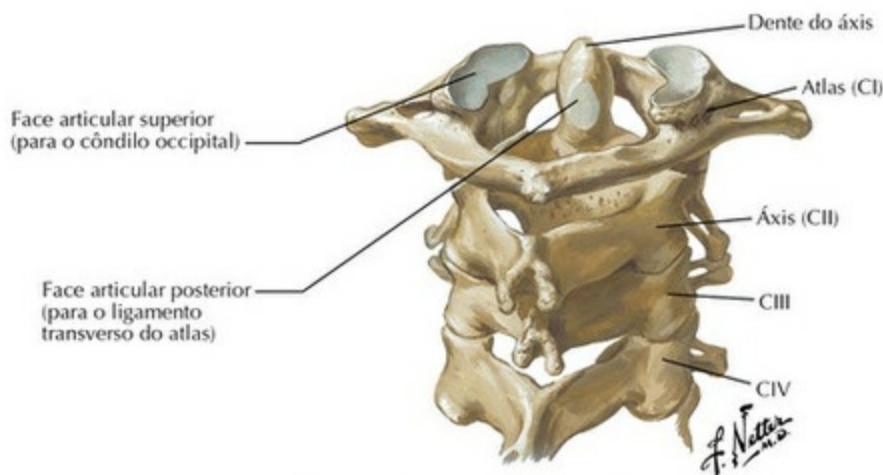
Áxis (C2): vista anterior



Atlas (C1): vista inferior



Áxis (C2): vista posterossuperior

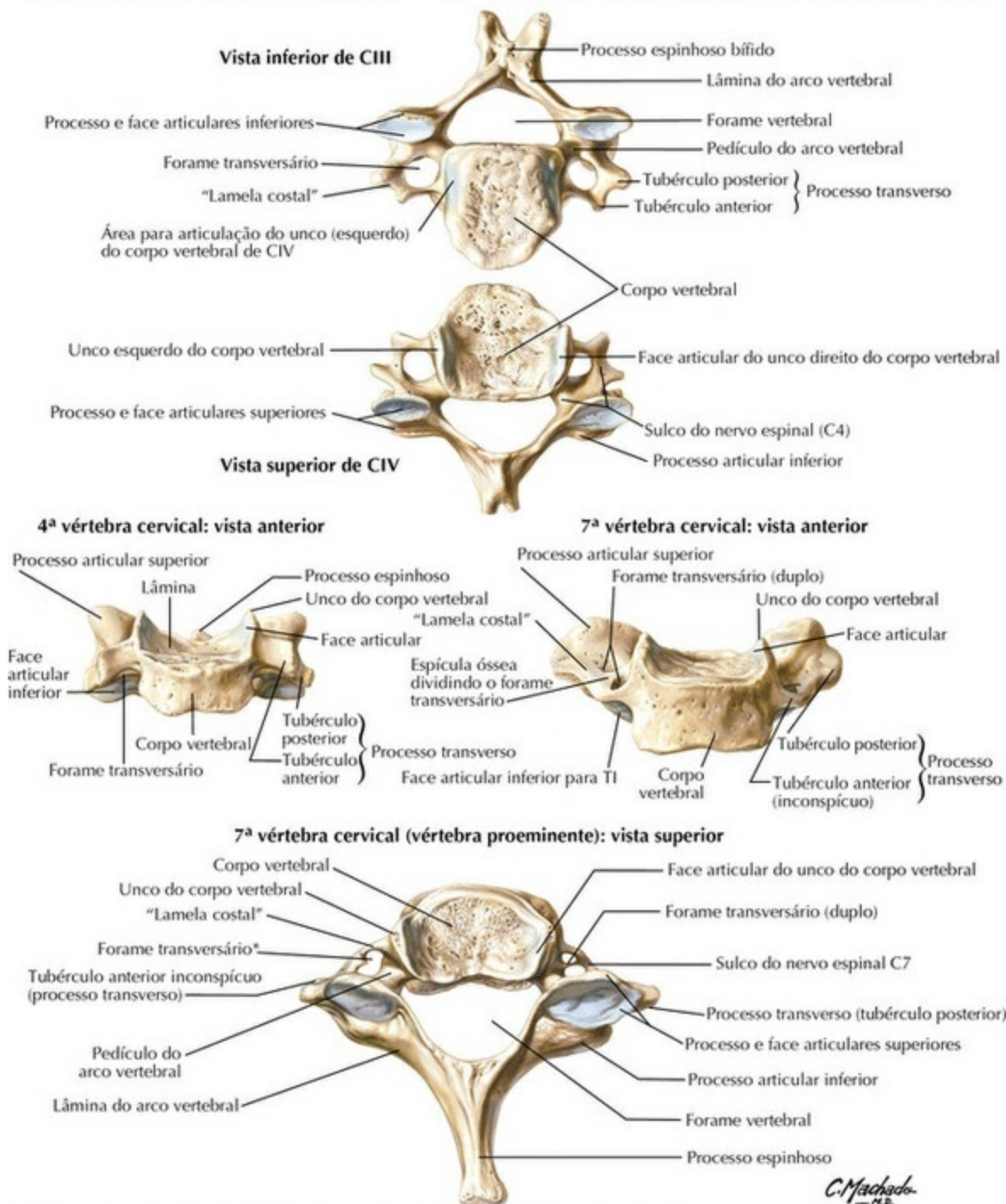


Vértebras cervicais superiores articuladas: vista posterossuperior

PRANCHA 19 Ossos e Ligamentos
Veja também **Pranchas 21, 22**

Vértebras Cervicais (continuação)

Vista inferior de CIII e vista superior de CIV mostrando a localização das faces e das articulações “uncovertebrais”



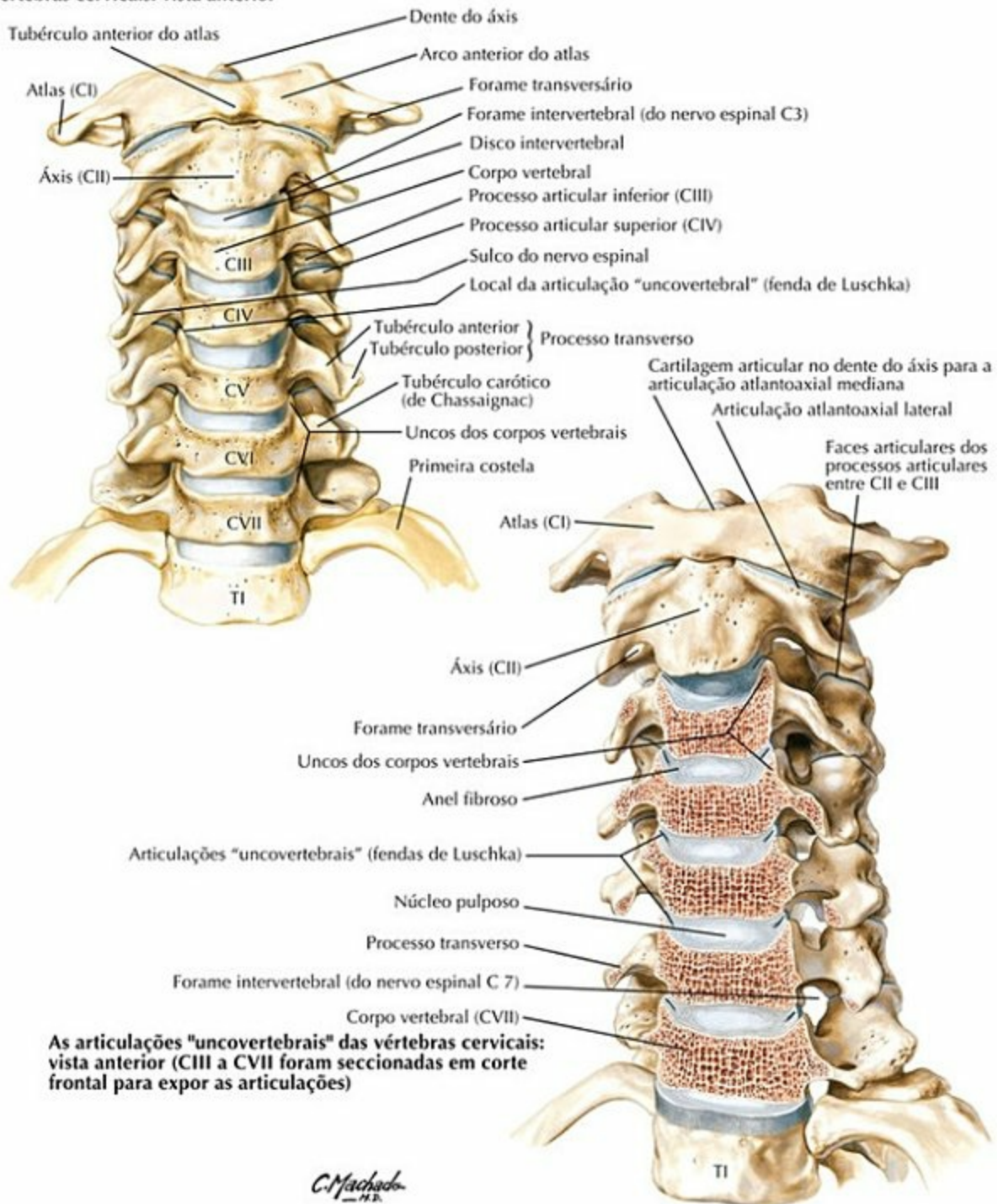
*Os forames transversários de CVII são atravessados pelas veias vertebrais, porém não pelas artérias vertebrais, e são assimétricos neste espécime.

PRANCHA 20 Ossos e Ligamentos

Veja também **Pranchas 21, 22**

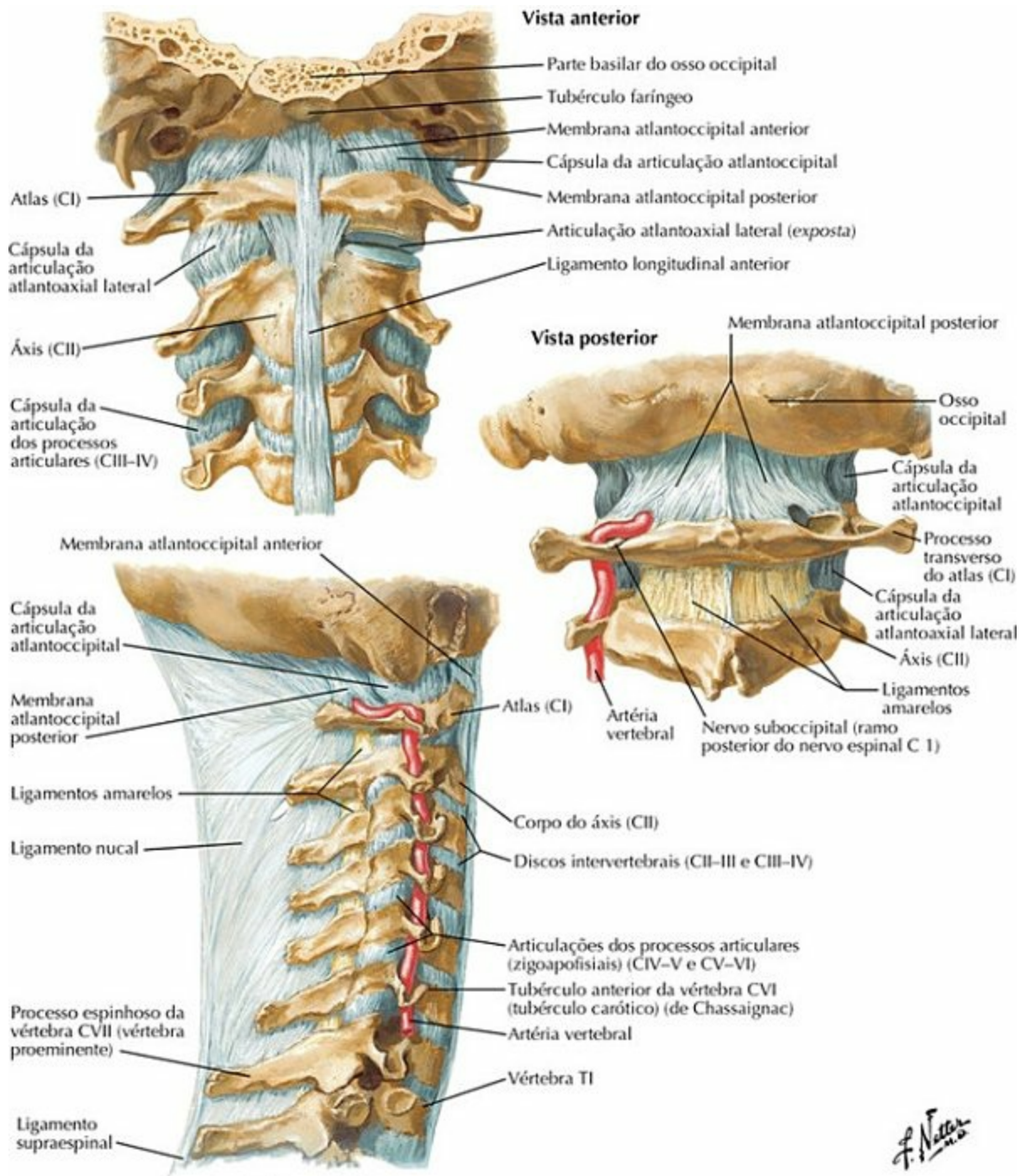
Vértebras Cervicais: Articulações “Uncovertebrais”

Vértebras cervicais: vista anterior



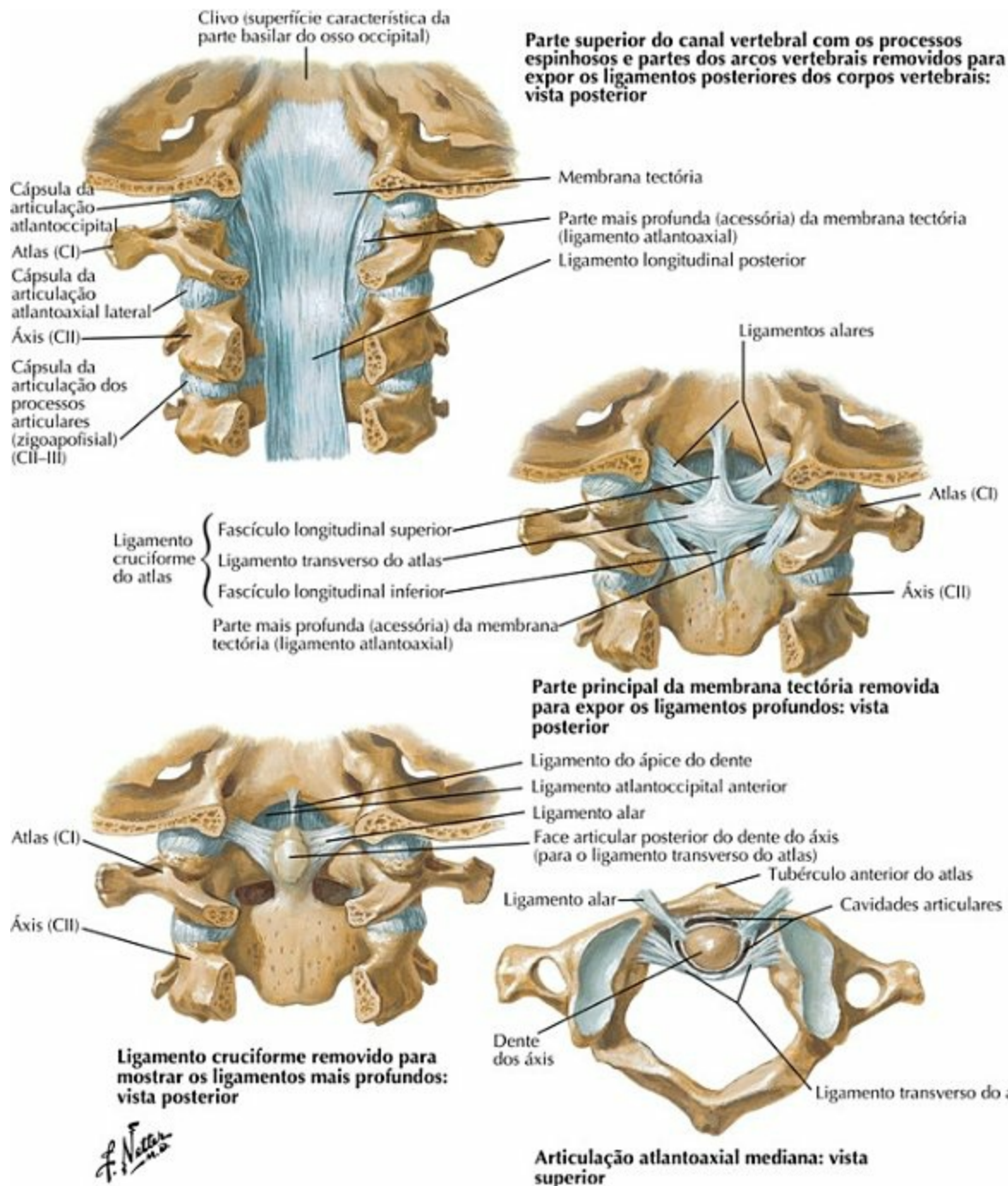
PRANCHA 21 Ossos e Ligamentos
Veja também **Pranchas 46, 124**

Ligamentos Cranio cervicais Externos



PRANCHA 22 Ossos e Ligamentos

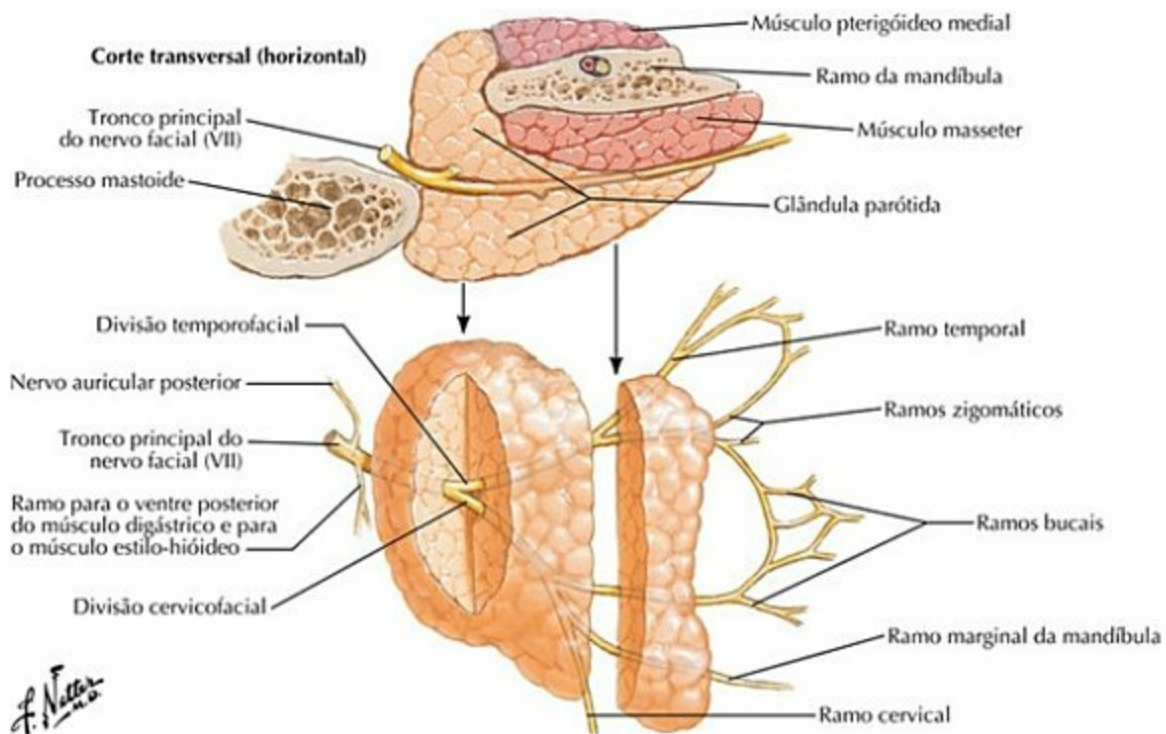
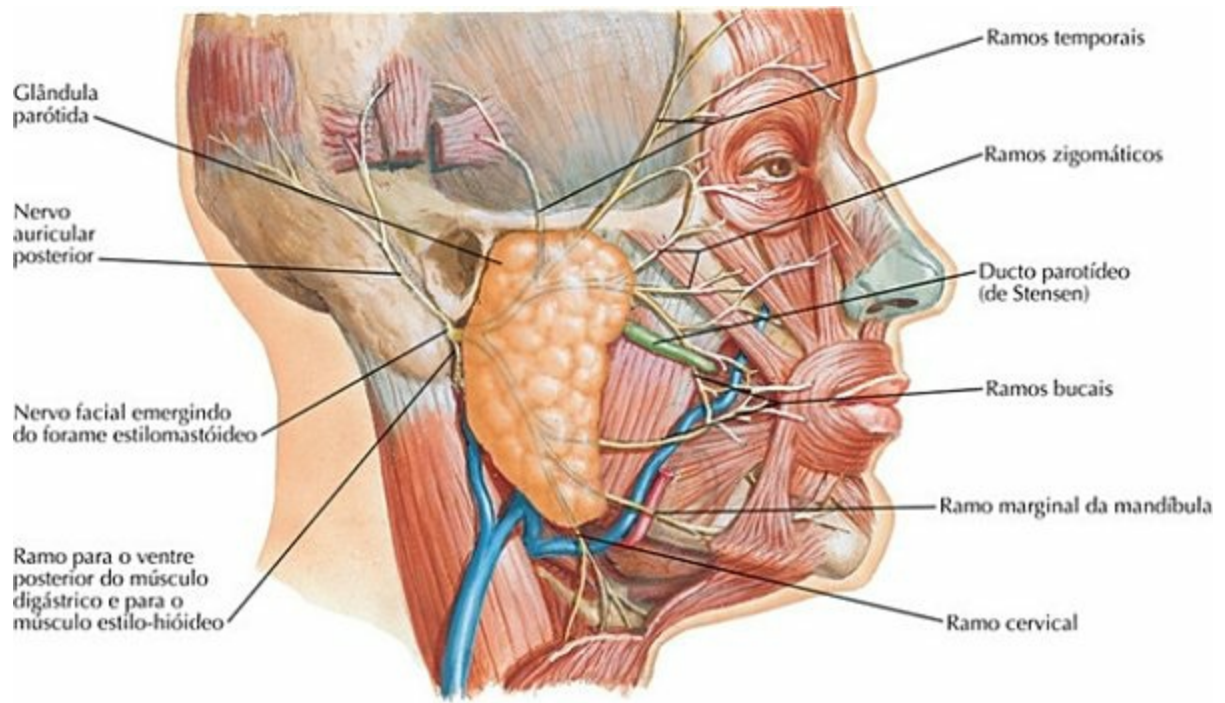
Ligamentos Cranio cervicais Internos



PRANCHA 23 Ossos e Ligamentos

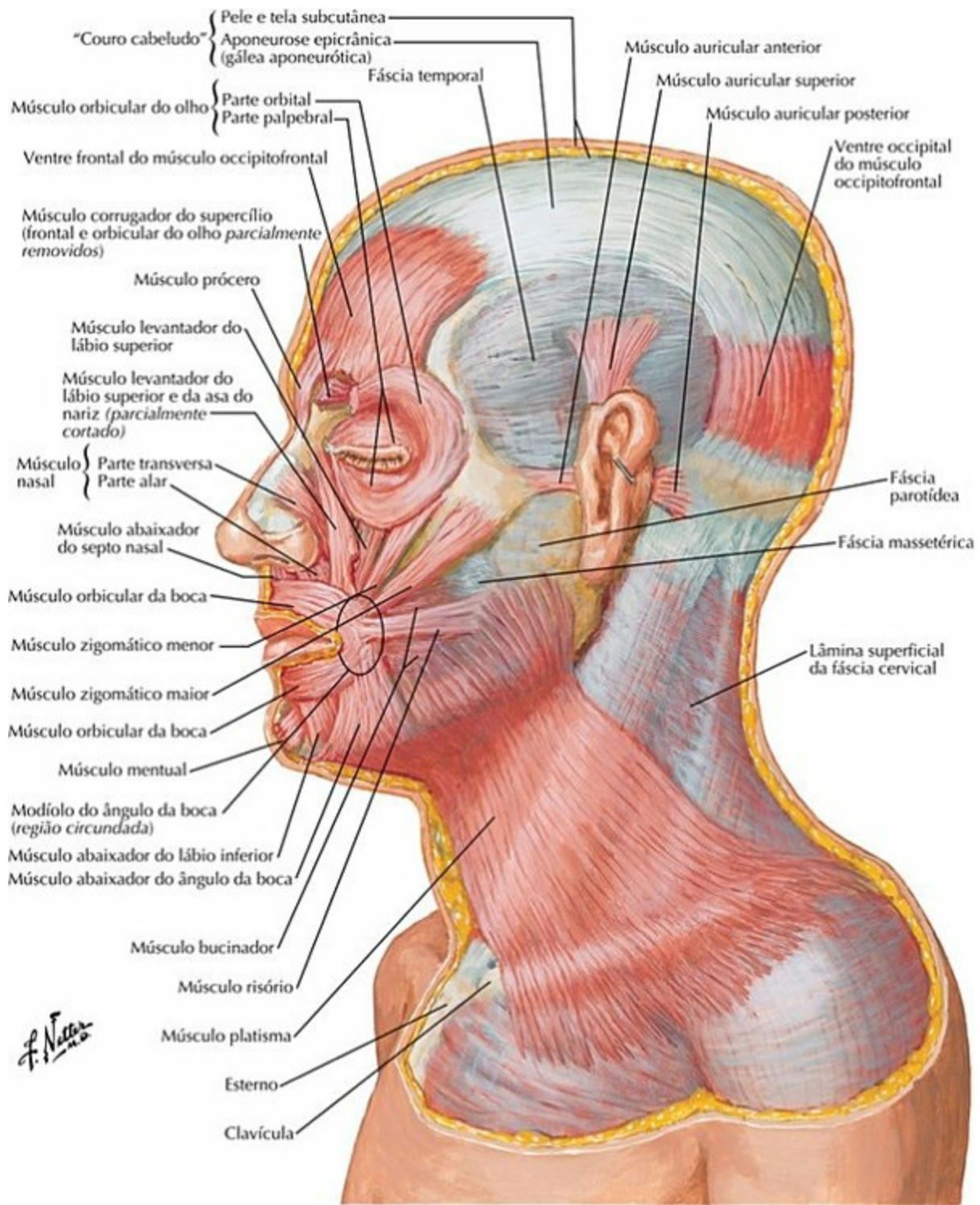
Veja também [Pranchas 46, 124](#)

Ramos do Nervo Facial e Glândula Parótida



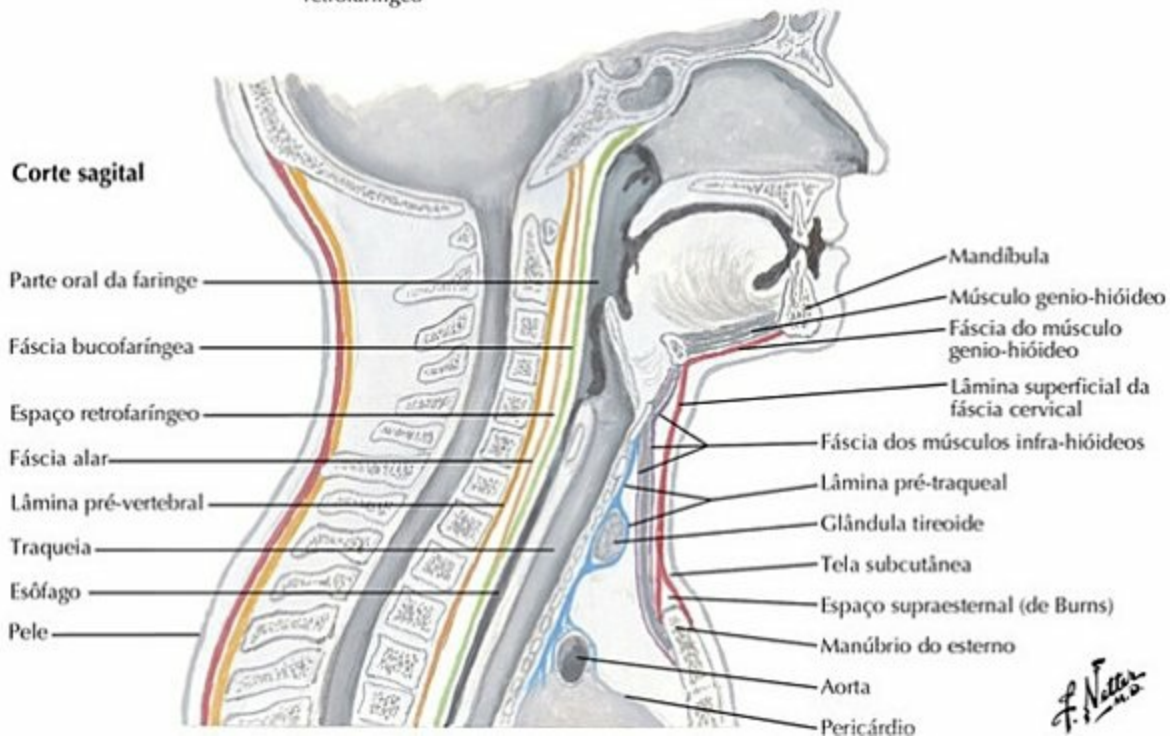
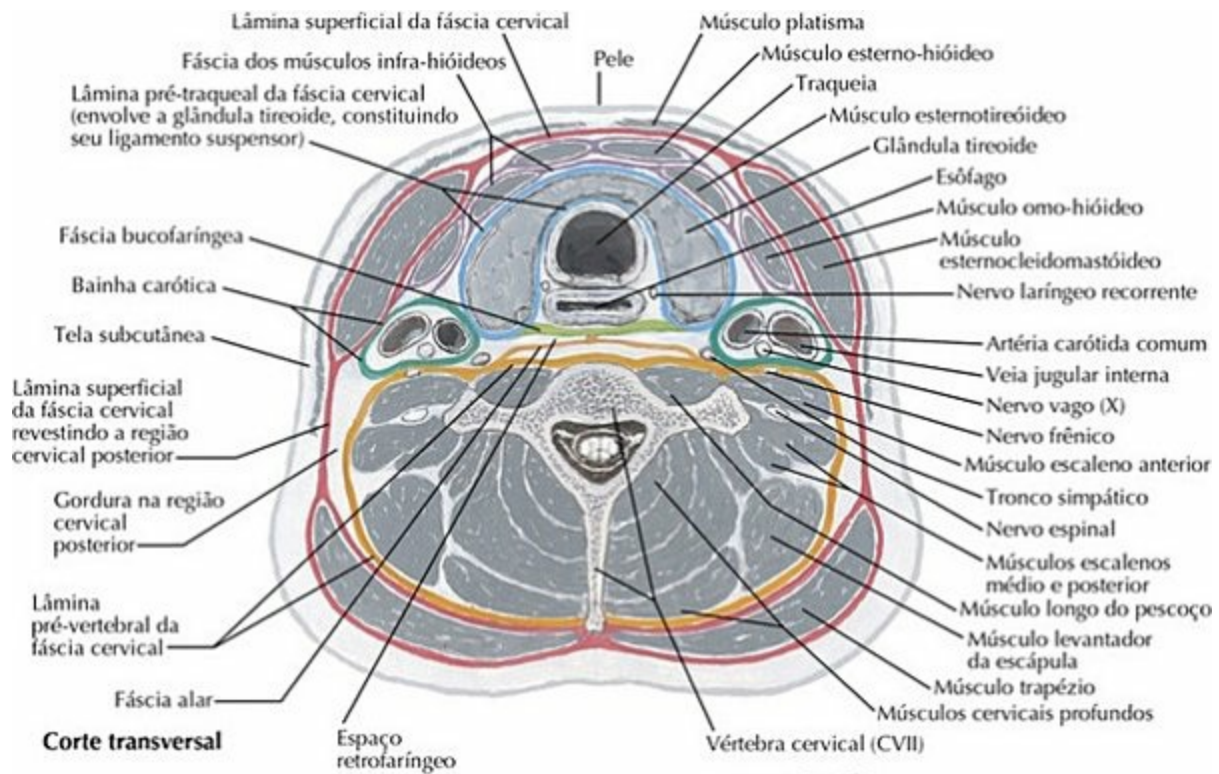
PRANCHA 24 Face – Região Superficial
 Veja também **Pranchas 46, 124**

Músculos da Face: Vista Lateral



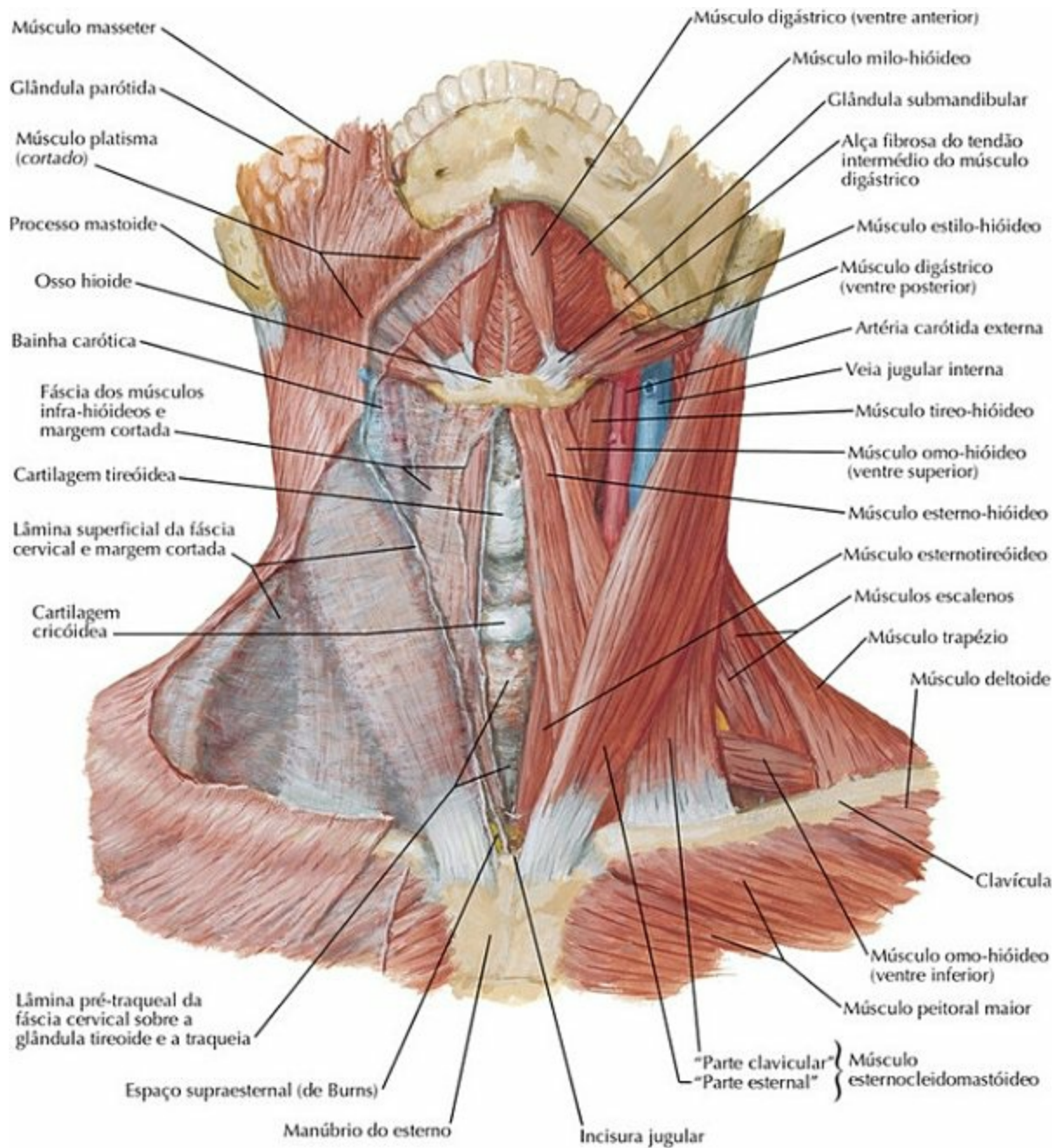
PRANCHA 25 Face – Região Superficial
Veja também **Pranchas 48, 49**

Lâminas Fasciais do Pescoço



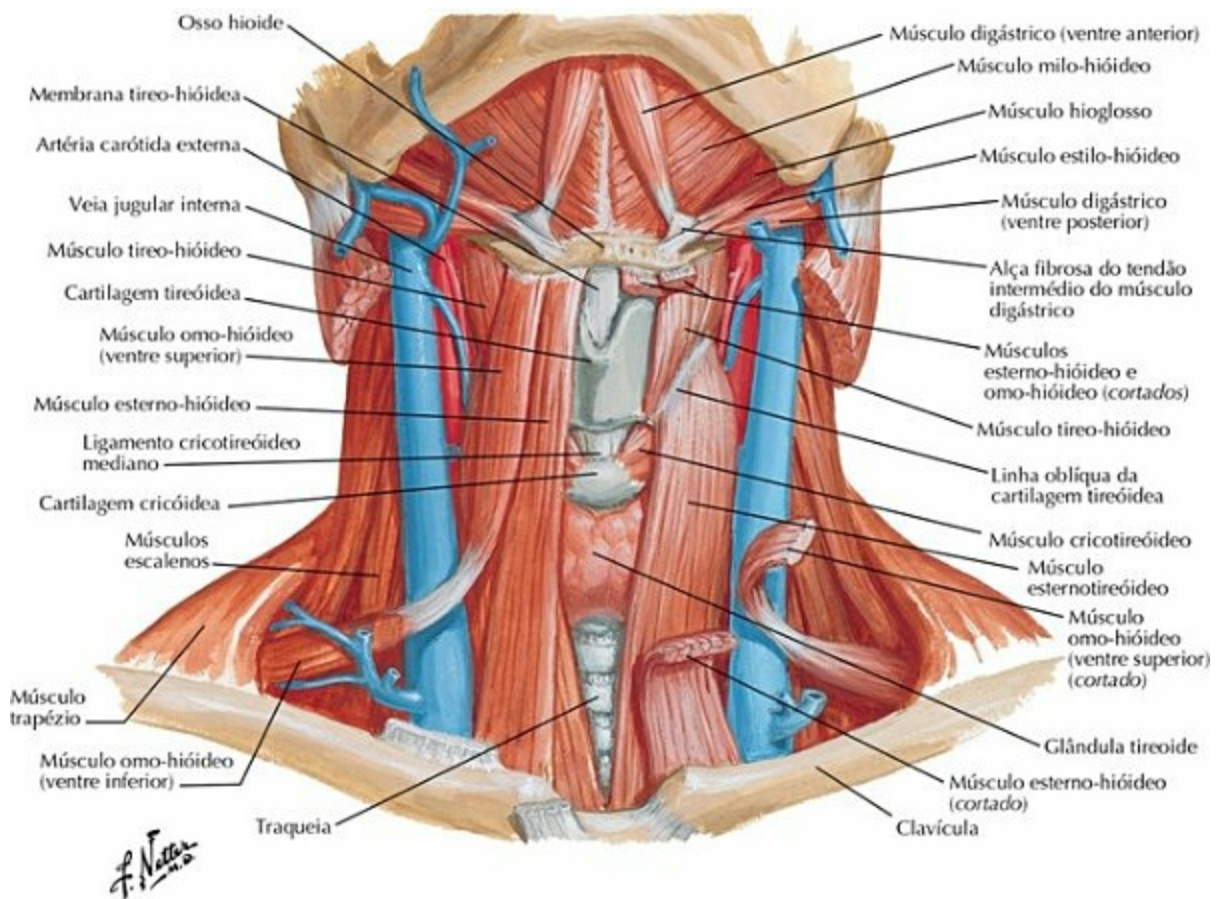
PRANCHA 26 Pescoço
Veja também a **Prancha 27**

Músculos do Pescoço: Vista Anterior



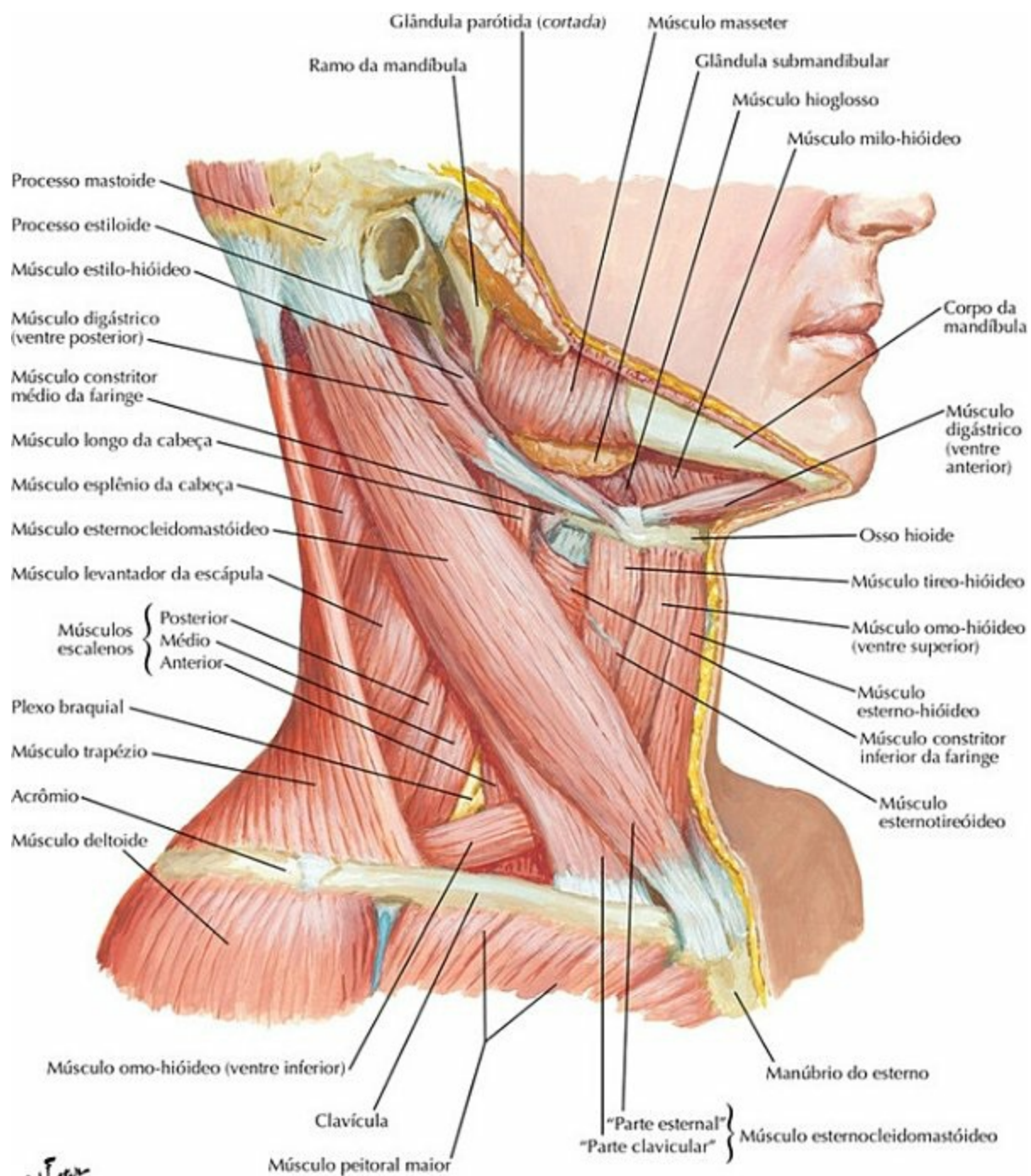
PRANCHA 27 Pescoço
Veja também **Pranchas 26, 28, 31**

Músculos Infra-hióideos e Supra-hióideos



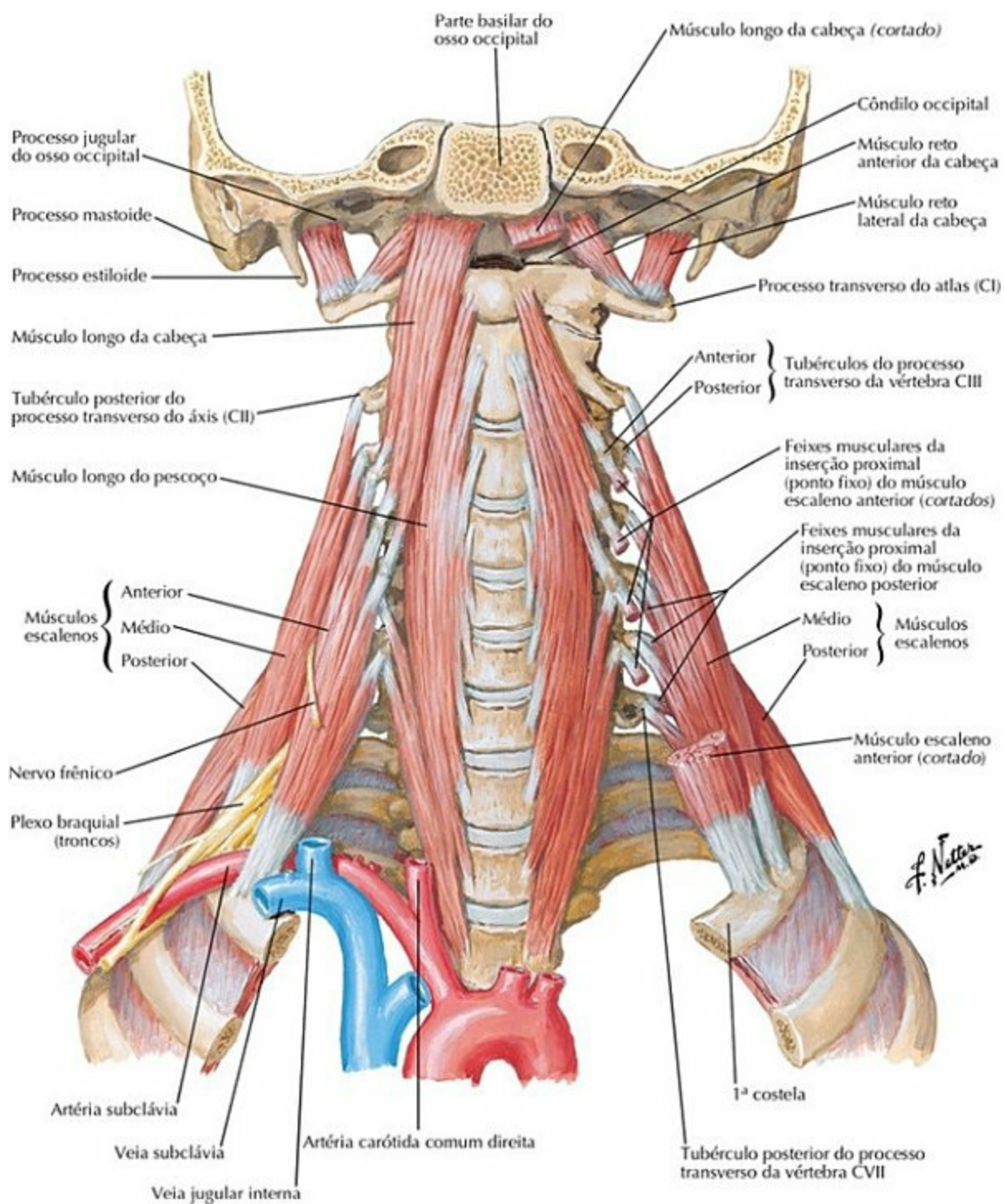
PRANCHA 28 Pescoço
 Veja também **Pranchas 27, 29, 58**

Músculos do Pescoço: Vista Lateral



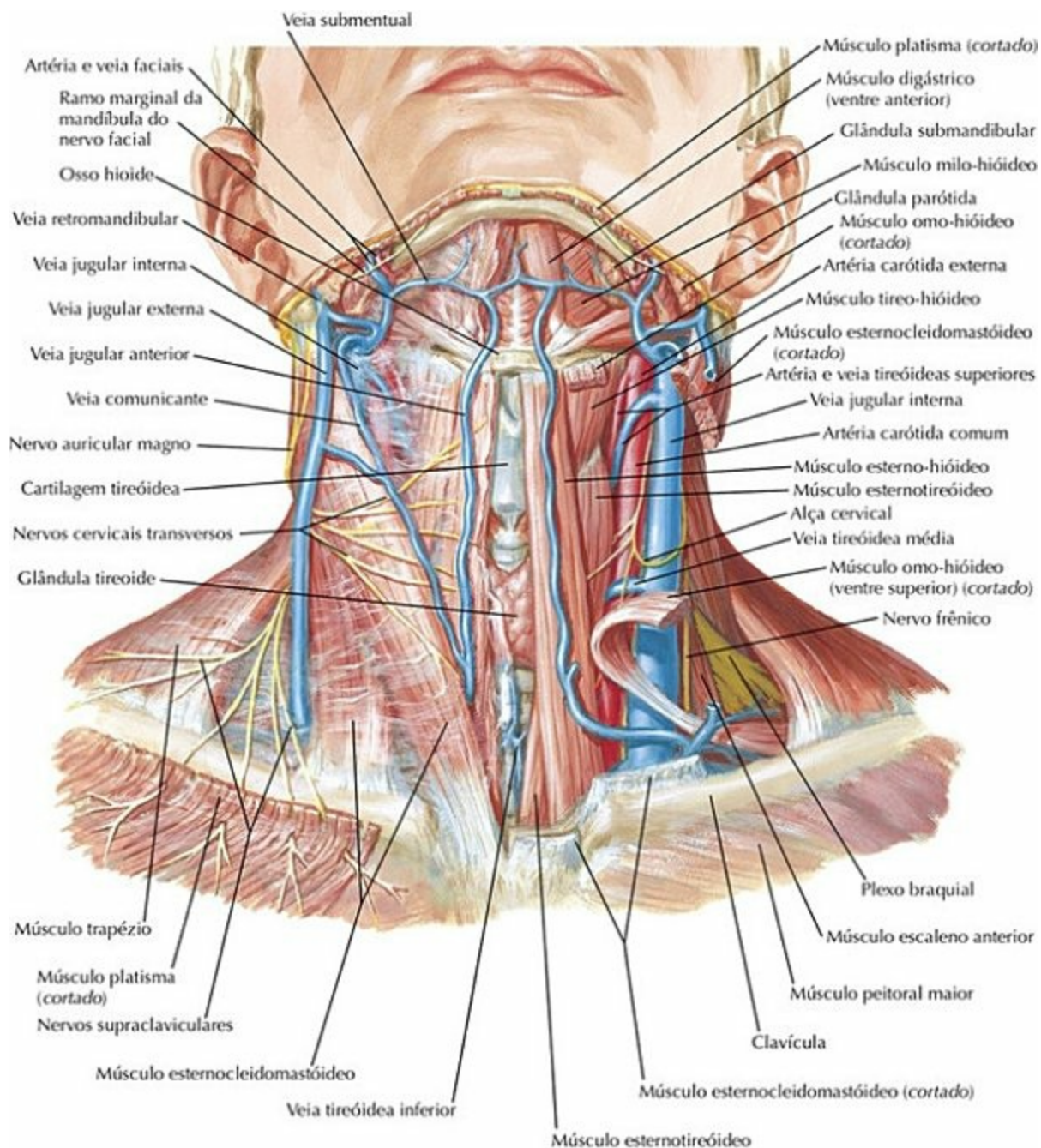
PRANCHA 29 Pescoço
Veja também **Pranchas 27, 28, 31**

Músculos Escalenos e Pré-vertebrais



PRANCHA 30 Pescoço

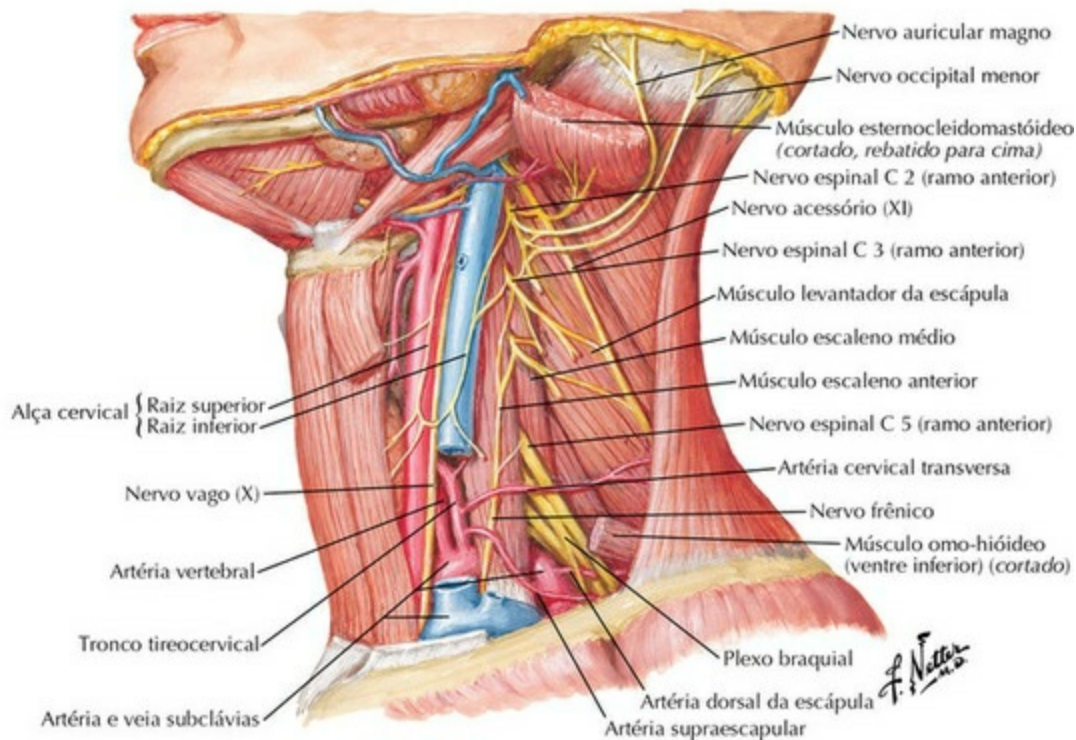
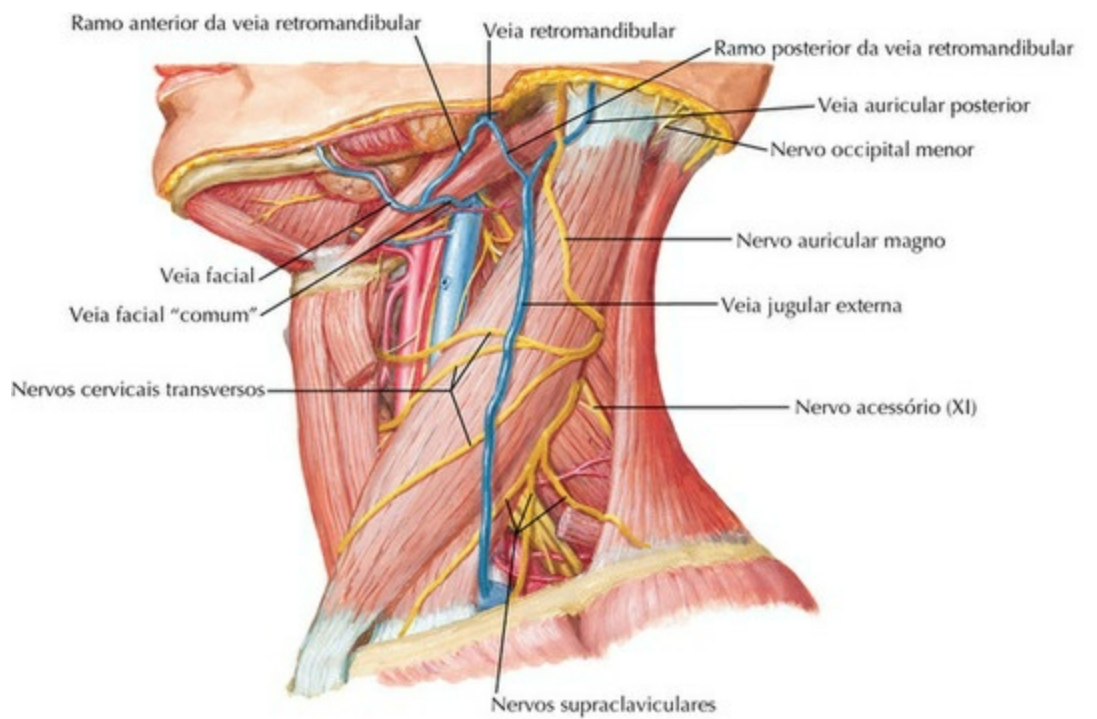
Veias Superficiais e Nervos Cutâneos do Pescoço



PRANCHA 31 Pescoço

Para veias profundas do pescoço veja **Prancha 73**

Nervos e Vasos do Pescoço



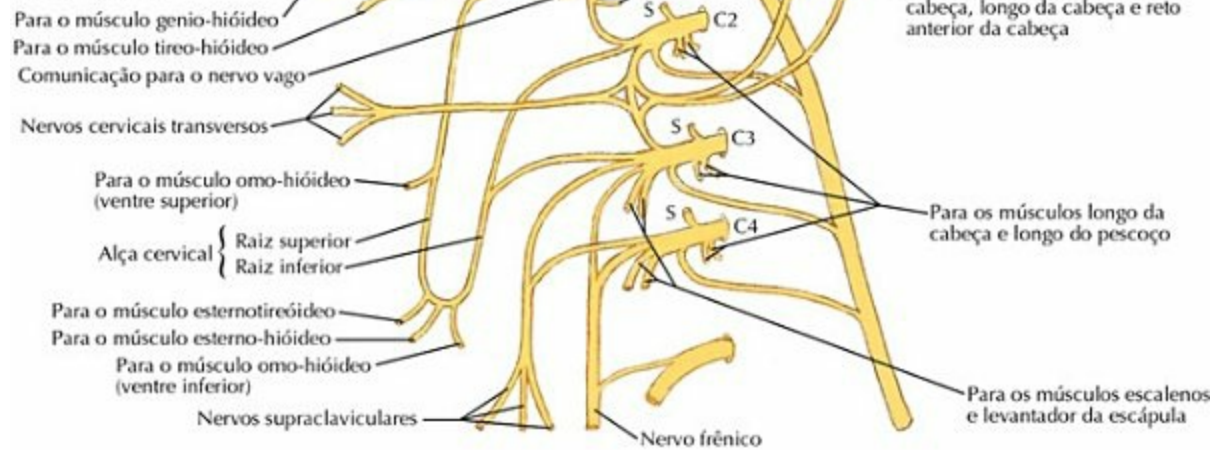
PRANCHA 32 Pescoço

Veja também [Pranchas 128–130](#)

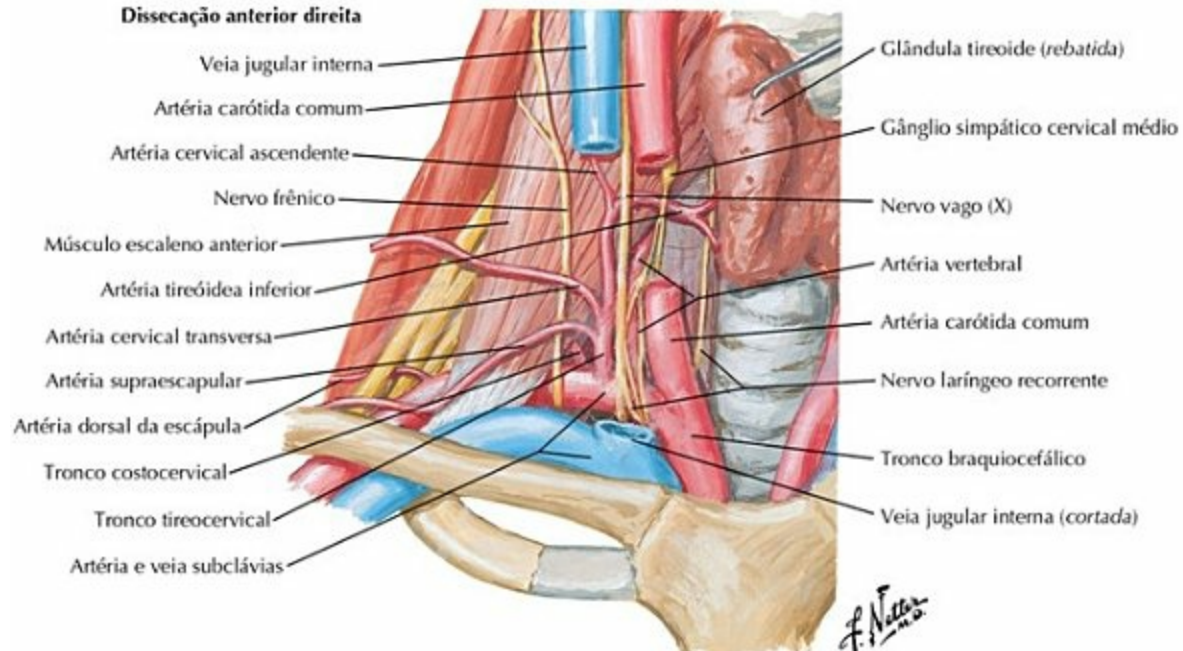
Nervos e Vasos do Pescoço (continuação)

Plexo cervical: esquema

(S = ramo comunicante cinzento do gânglio simpático cervical superior)



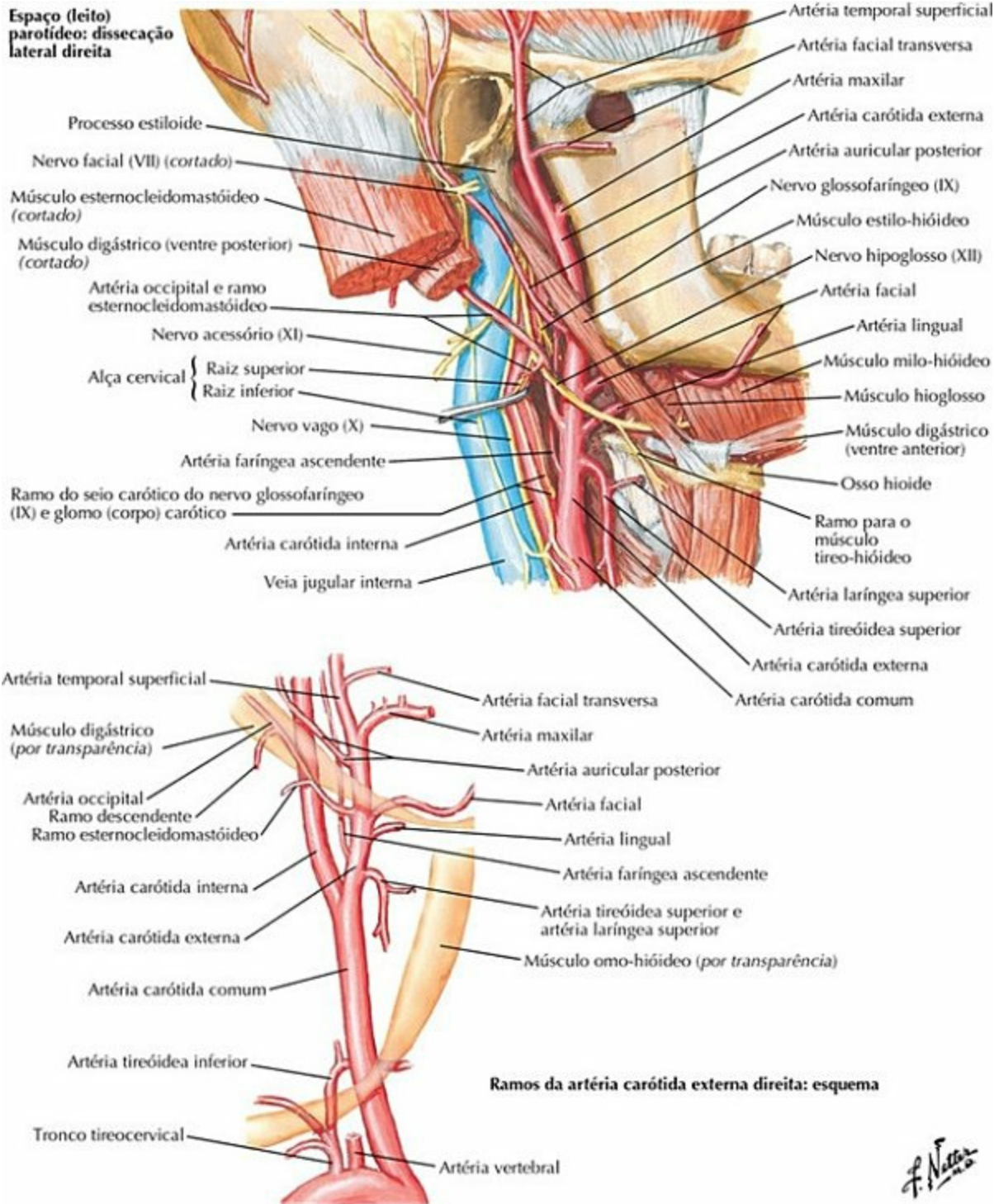
Dissecção anterior direita



PRANCHA 33 Pescoço
Veja também **Prancha 130**

Artérias Carótidas

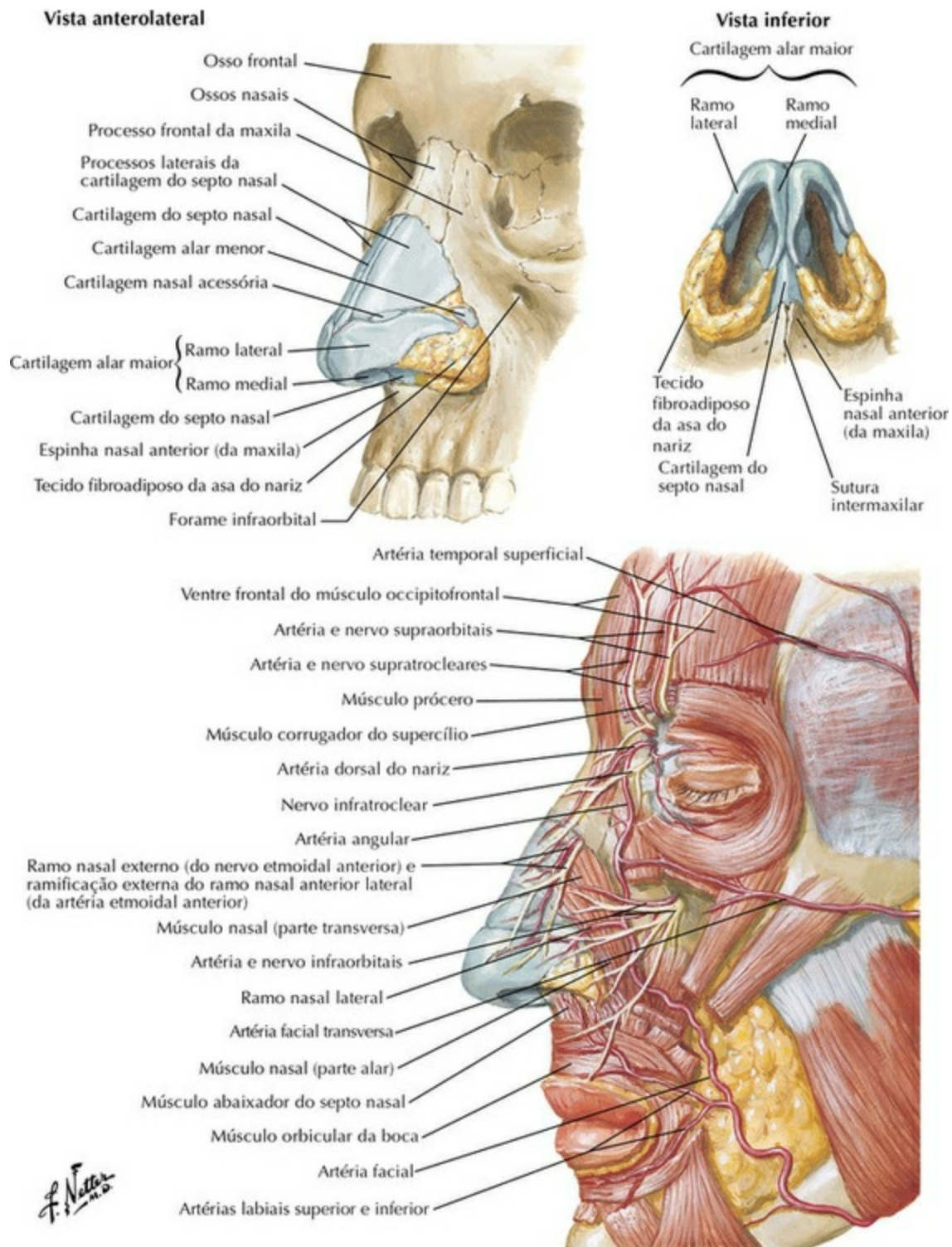
Espaço (leito)
parotídeo: dissecação
lateral direita



PRANCHA 34 Pescoço
Veja também **Pranchas 3, 137, 139**

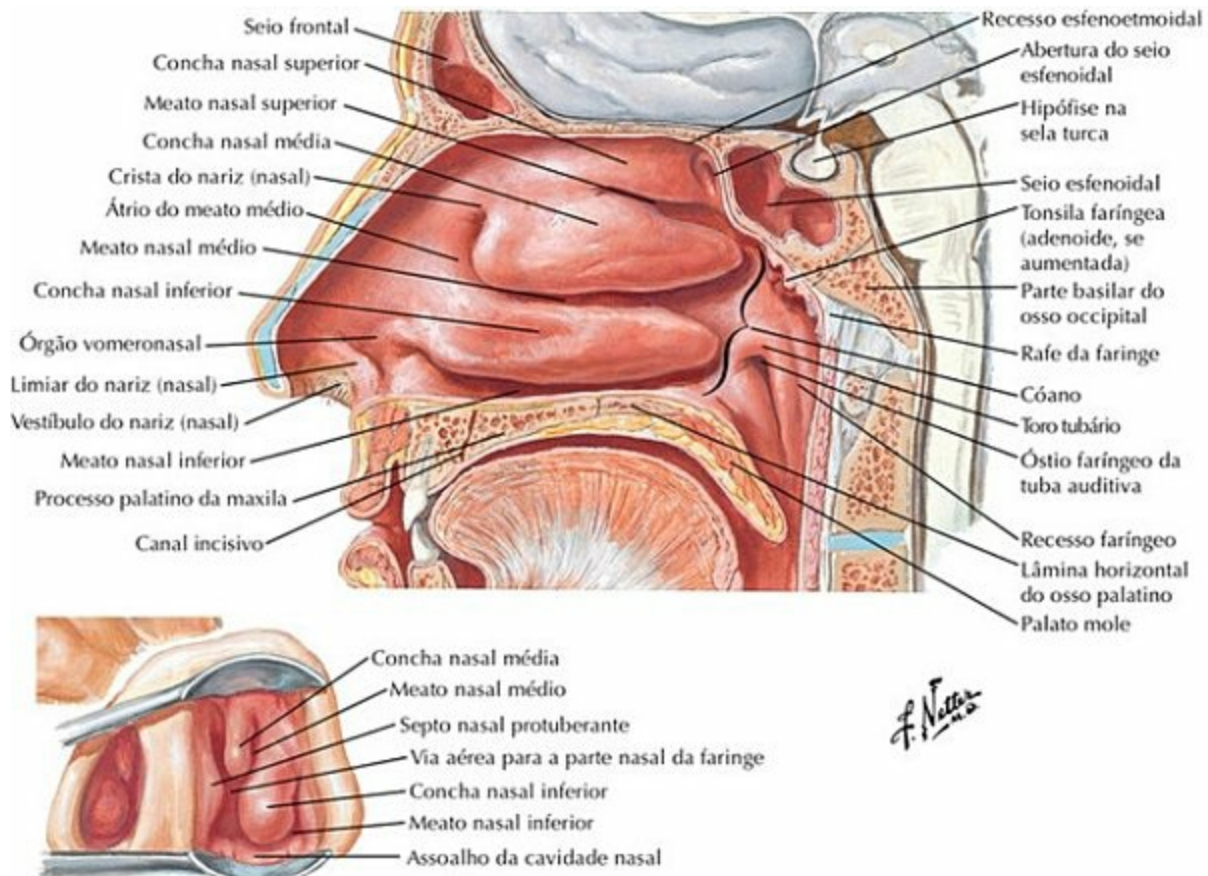
F. Netto

Nariz

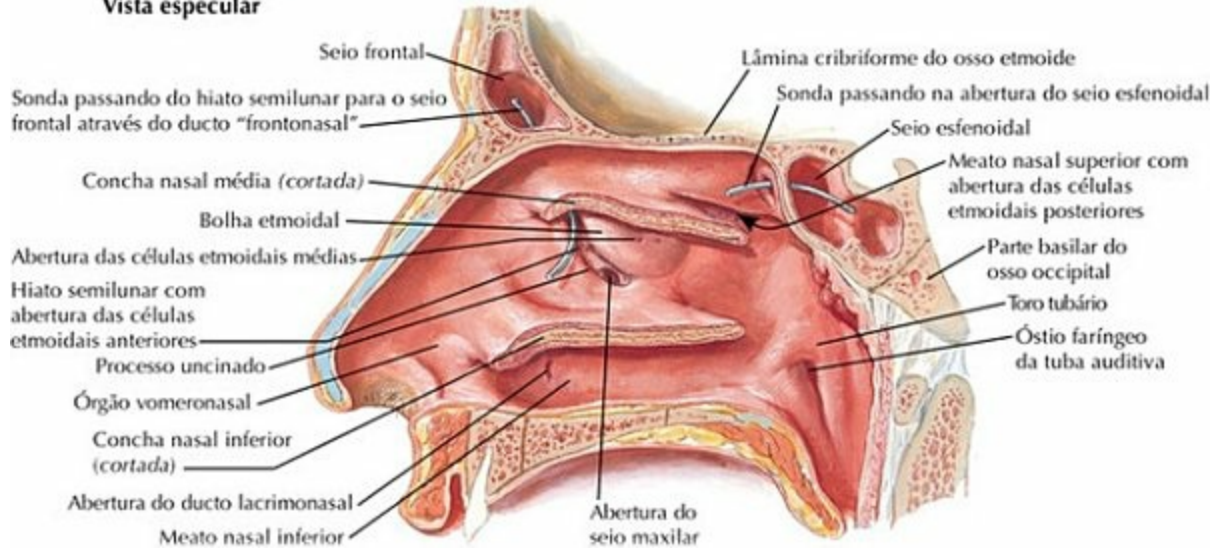


PRANCHA 35 Região Nasal

Cavidade Nasal: Parede Lateral

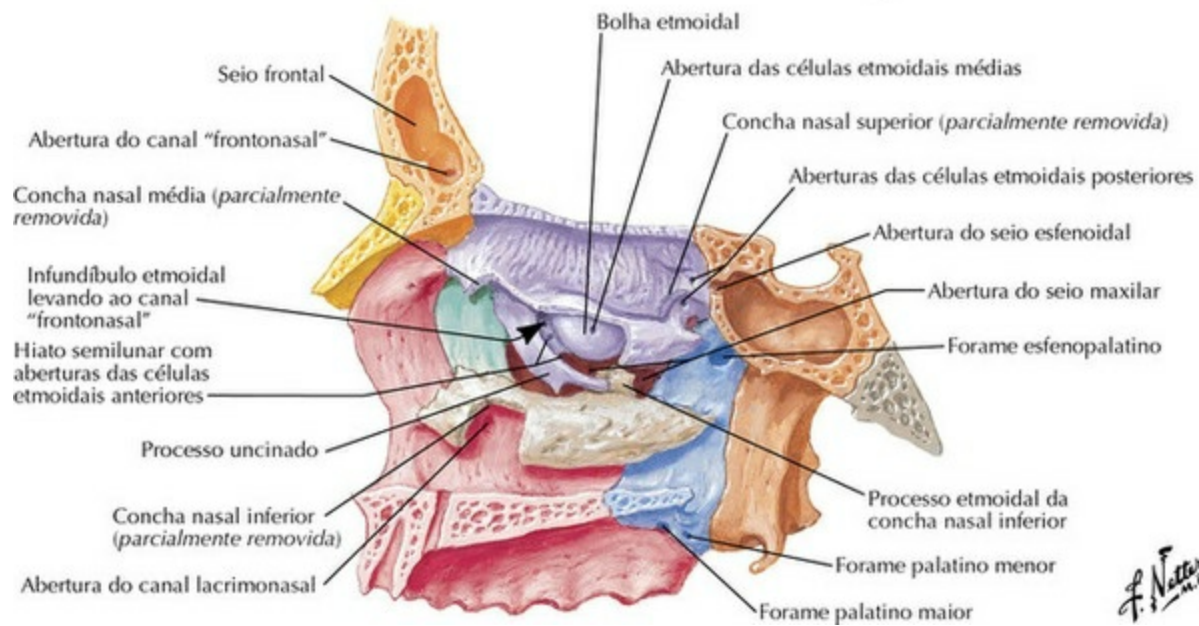
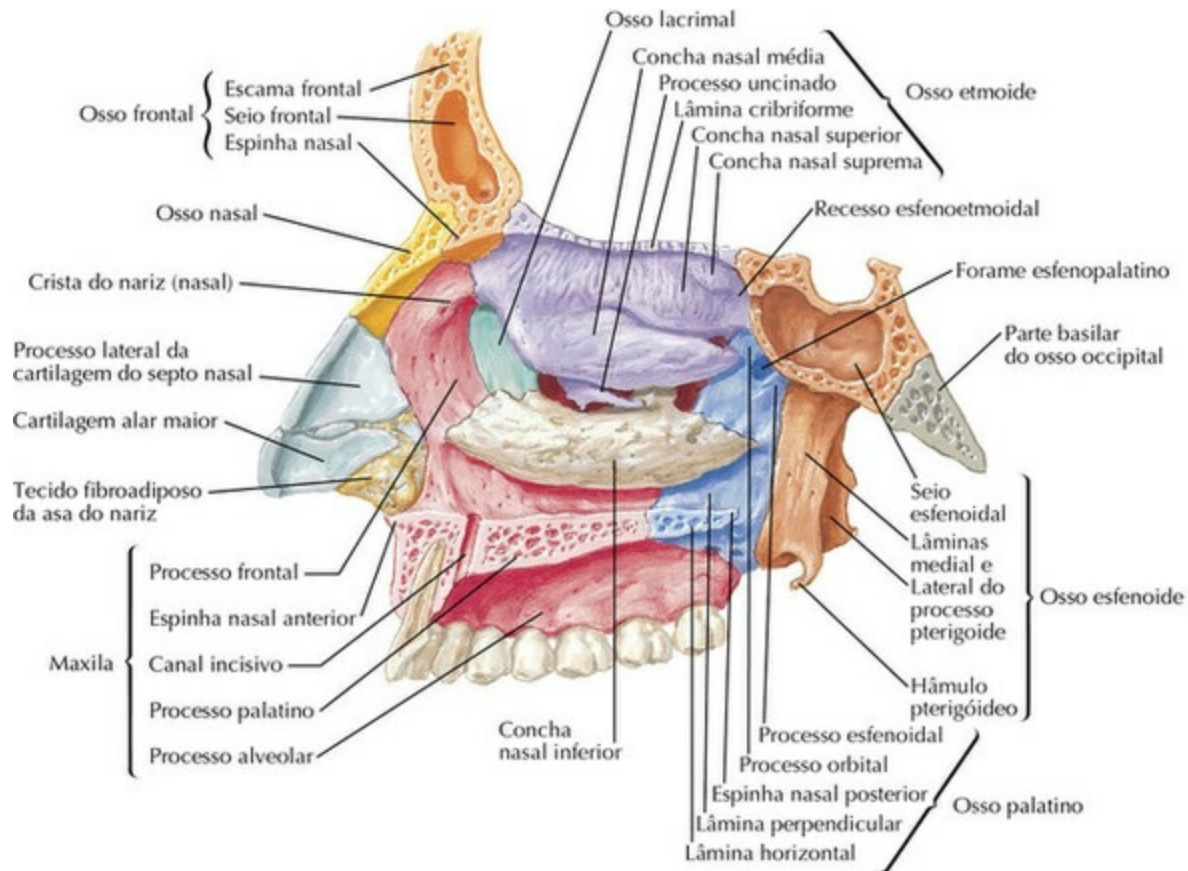


Vista especular



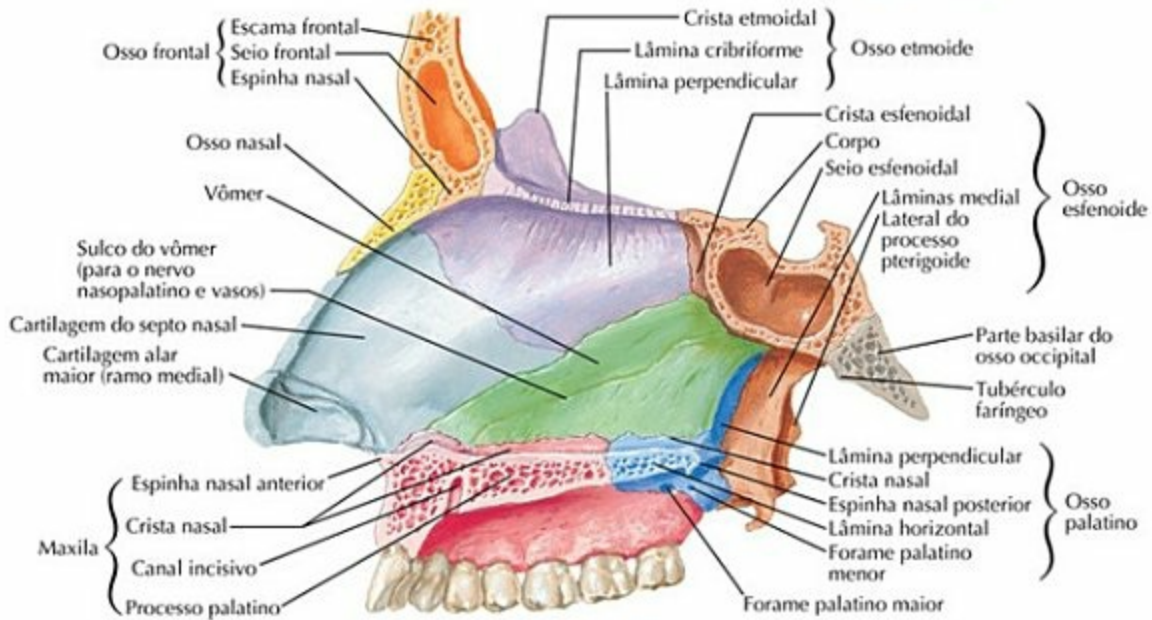
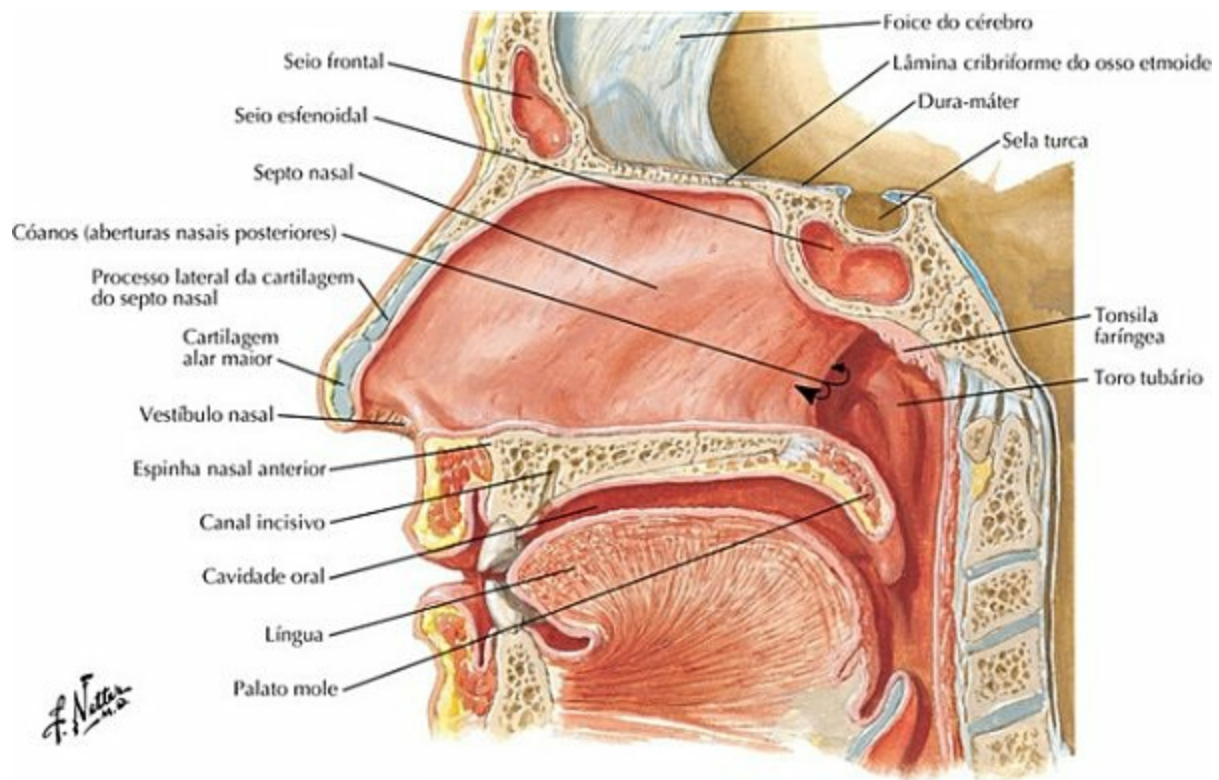
PRANCHA 36 Região Nasal

Cavidade Nasal: Parede Lateral (continuação)



PRANCHA 37 Região Nasal
Veja também **Prancha 36**

Cavidade Nasal: Parede Medial (Septo Nasal)



PRANCHA 38 Região Nasal

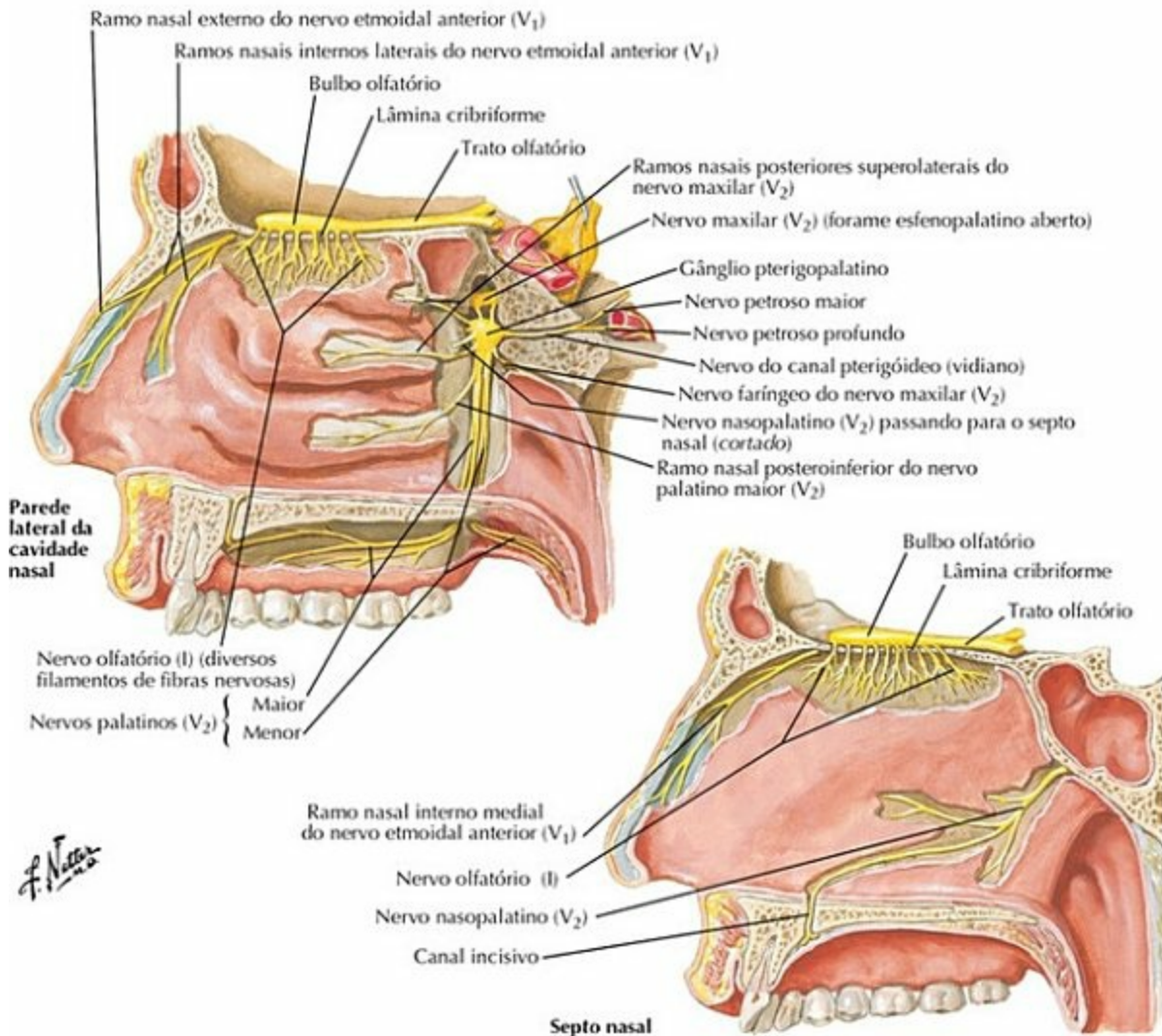
Veja também **Prancha 8**

Nervos da Cavidade Nasal

Distribuição da túnica mucosa, parte olfatória (sombreada em azul)

Parede lateral da cavidade nasal

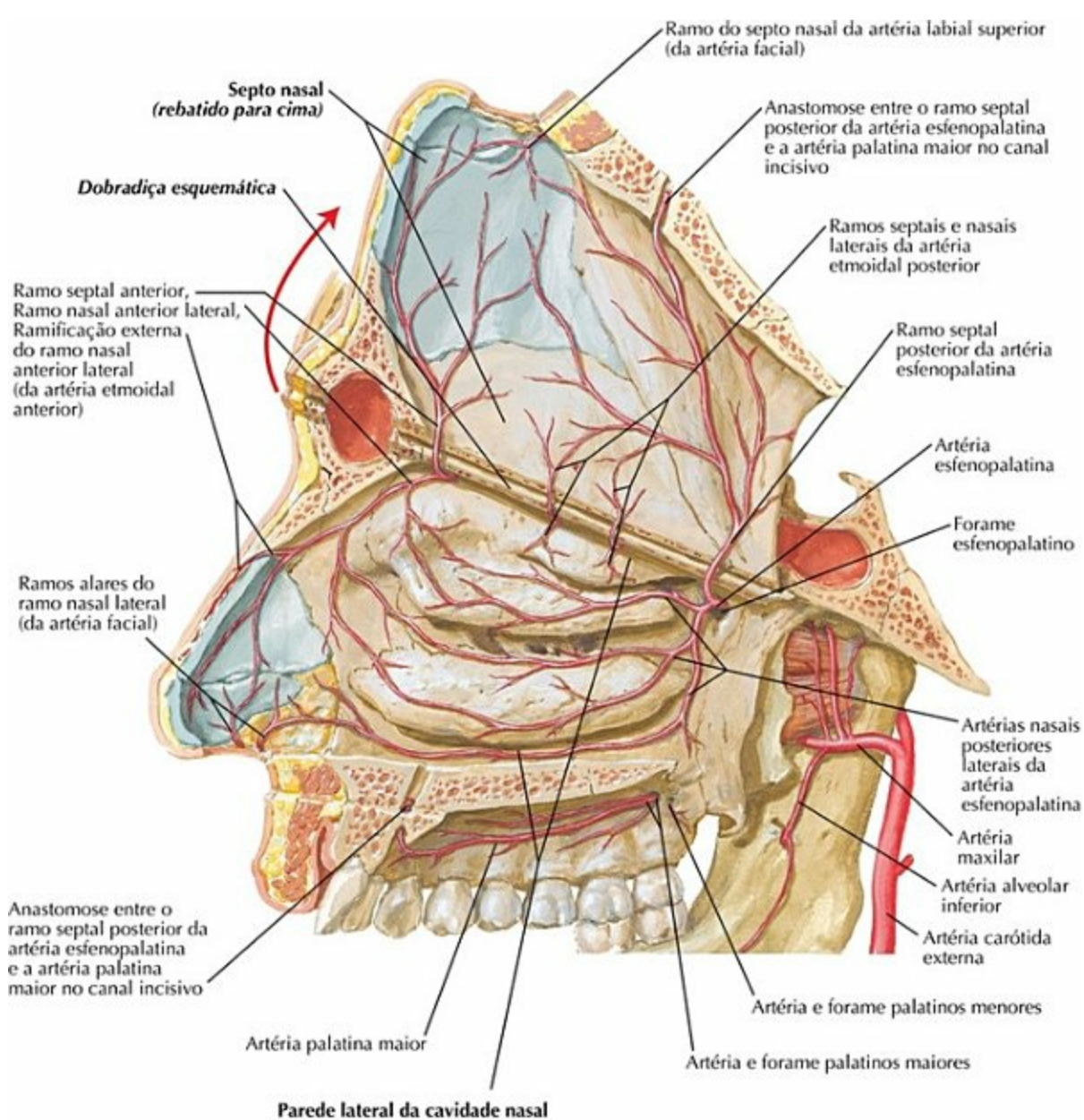
Septo nasal



PRANCHA 39 Região Nasal

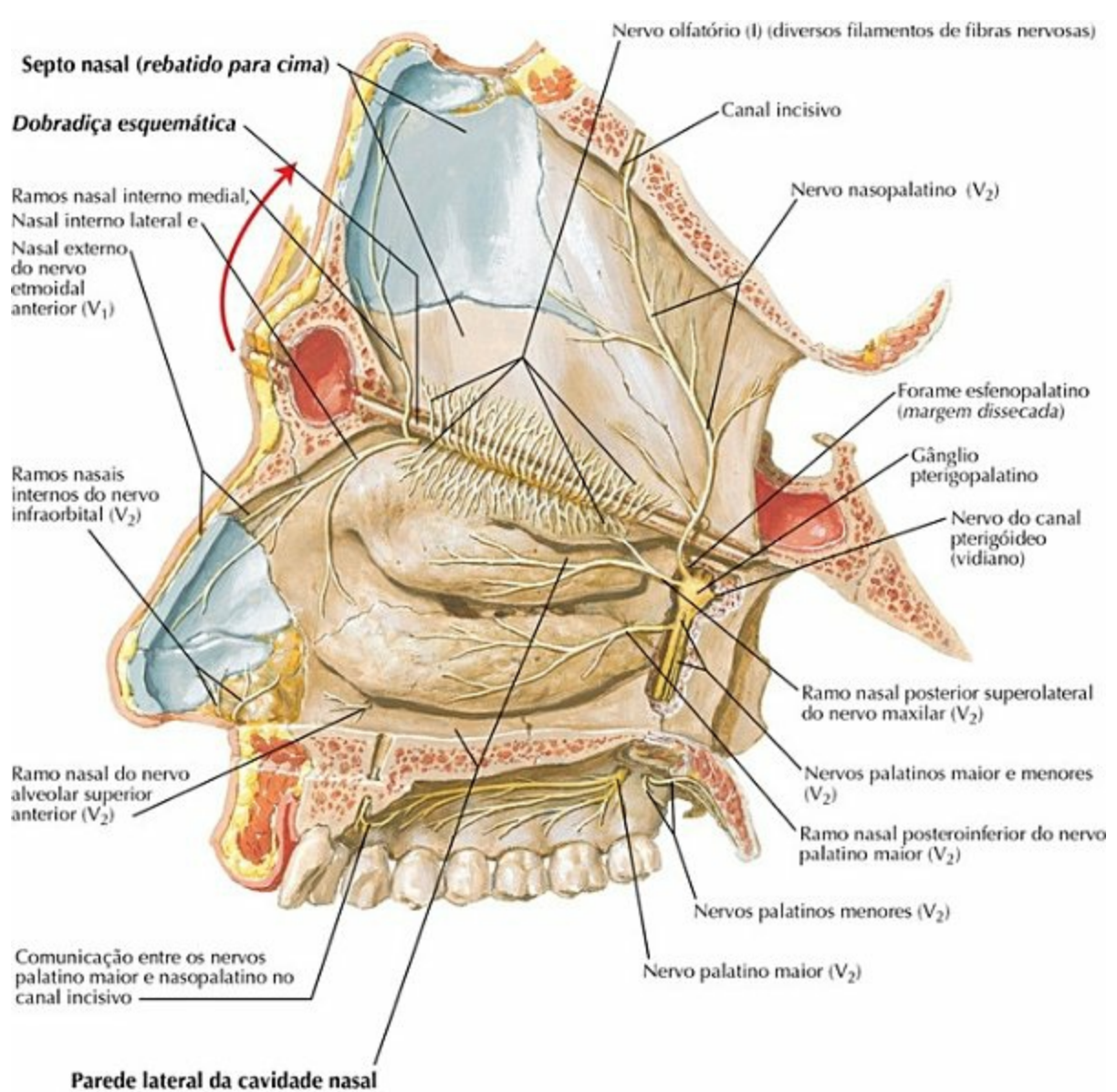
Veja também [Pranchas 54, 62, 120](#)

Artérias da Cavidade Nasal: Septo Nasal Rebatido para Cima



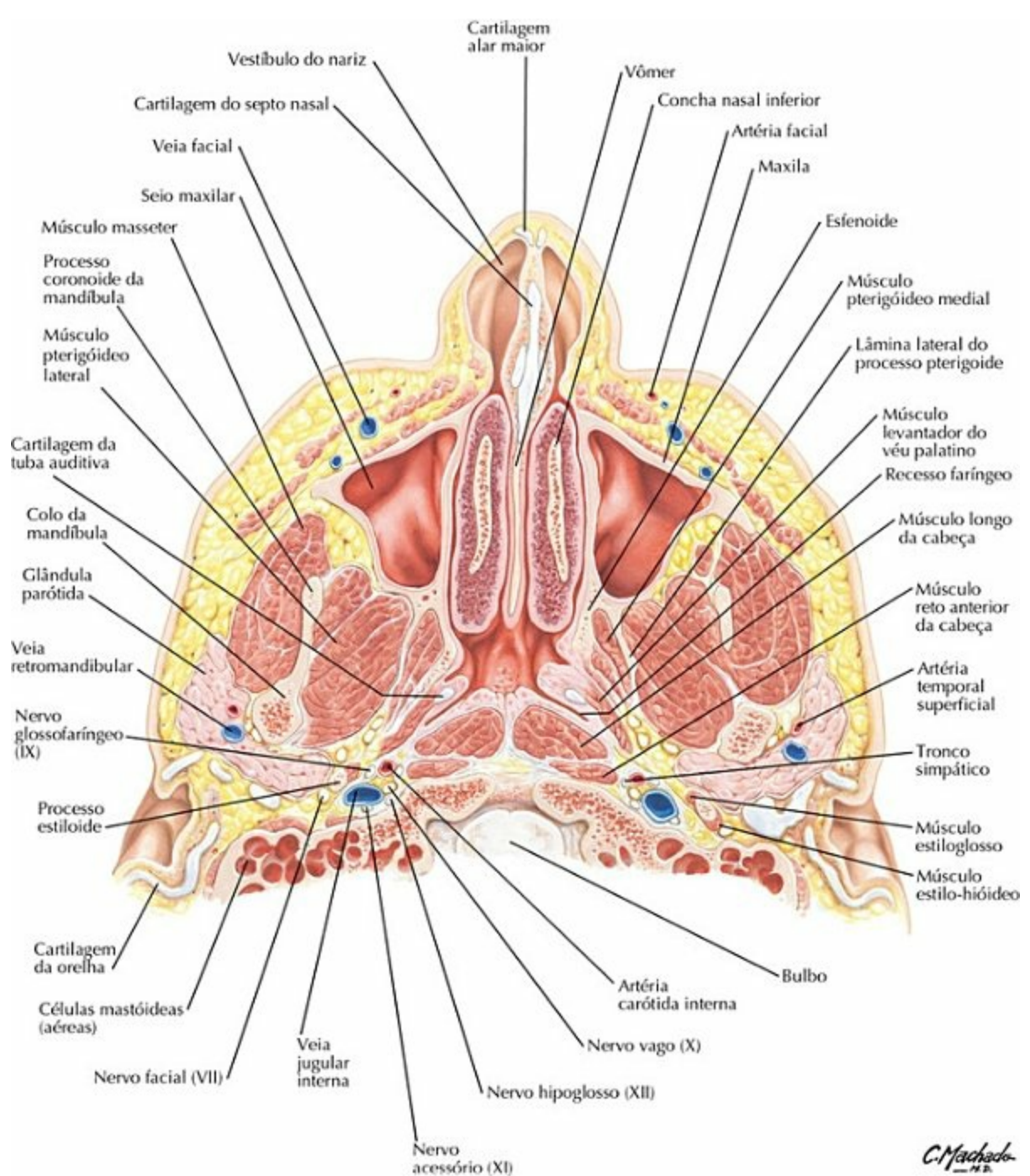
F. Netto
PRANCHA 40 Região Nasal
 Veja também **Prancha 57**

Nervos da Cavidade Nasal: Septo Nasal Rebatido para Cima



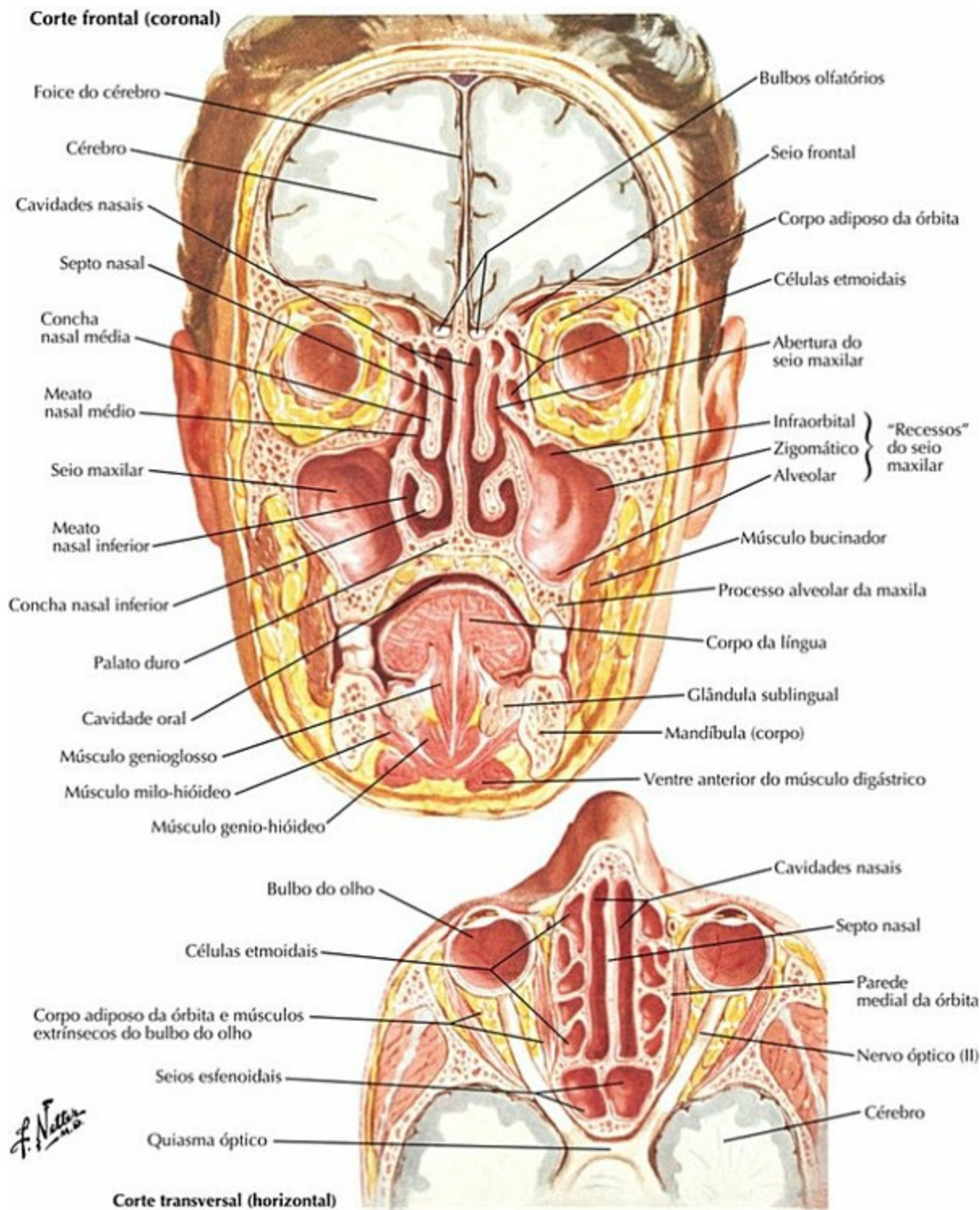
PRANCHA 41 Região Nasal
Veja também **Pranchas 52, 53**

Nariz e Seio Maxilar: Corte Transversal



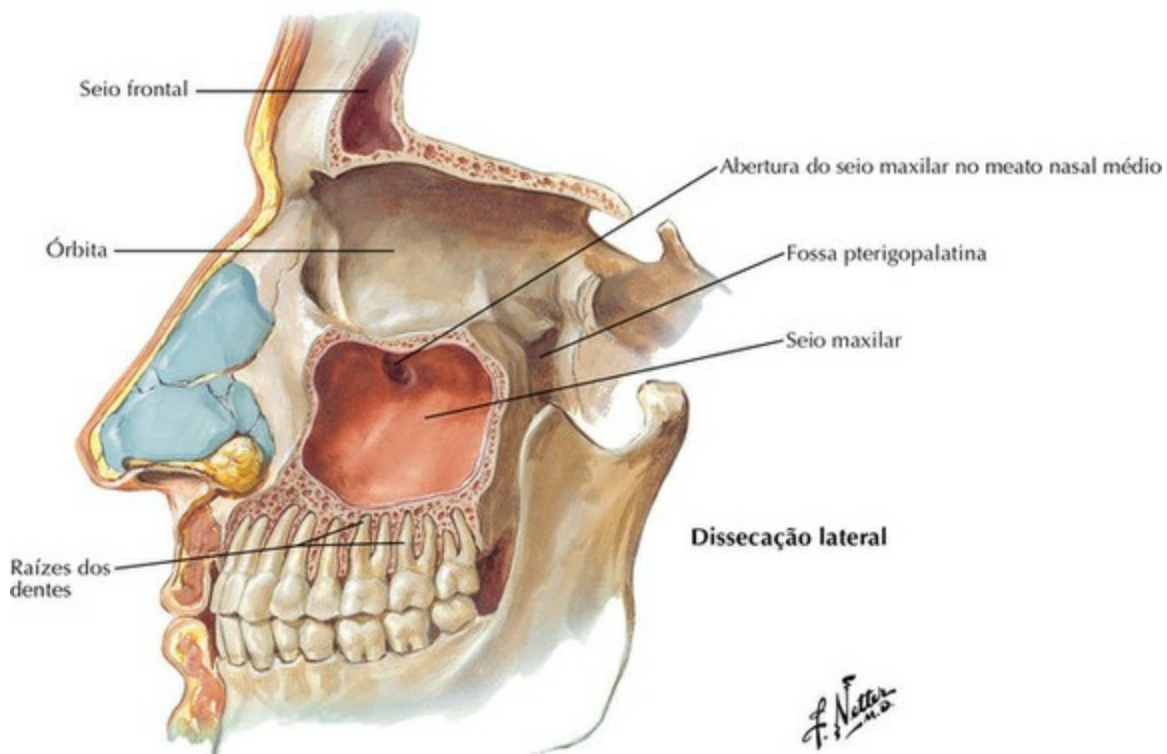
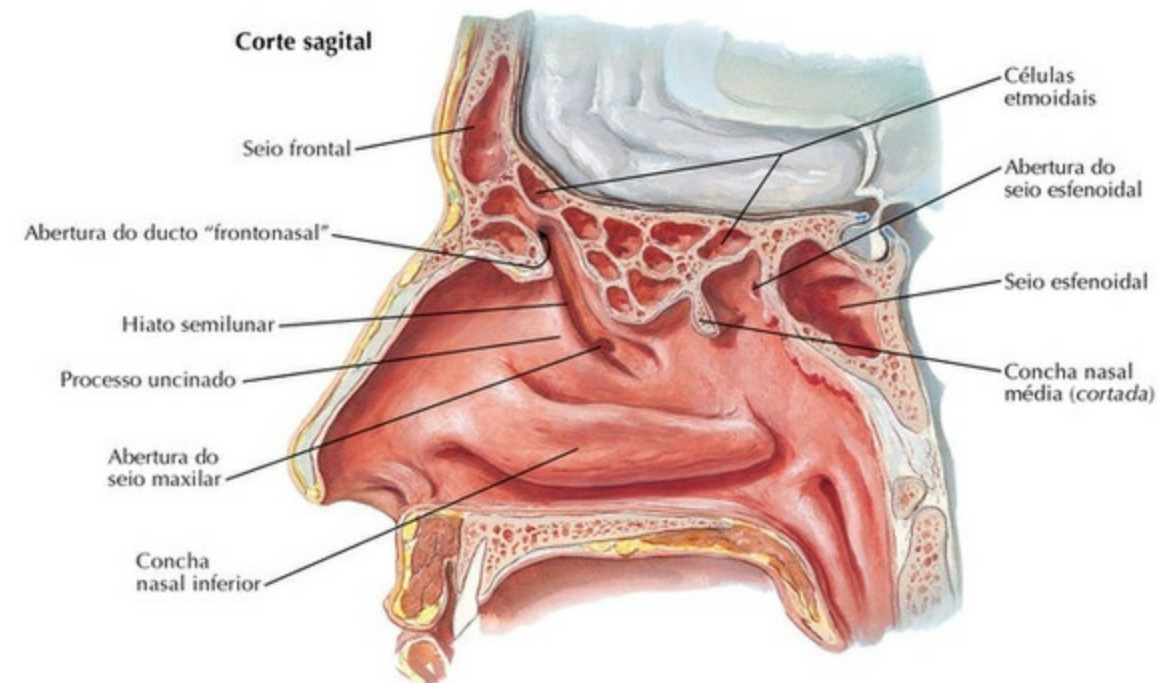
PRANCHA 42 Região Nasal

Seios Paranasais



PRANCHA 43 Região Nasal

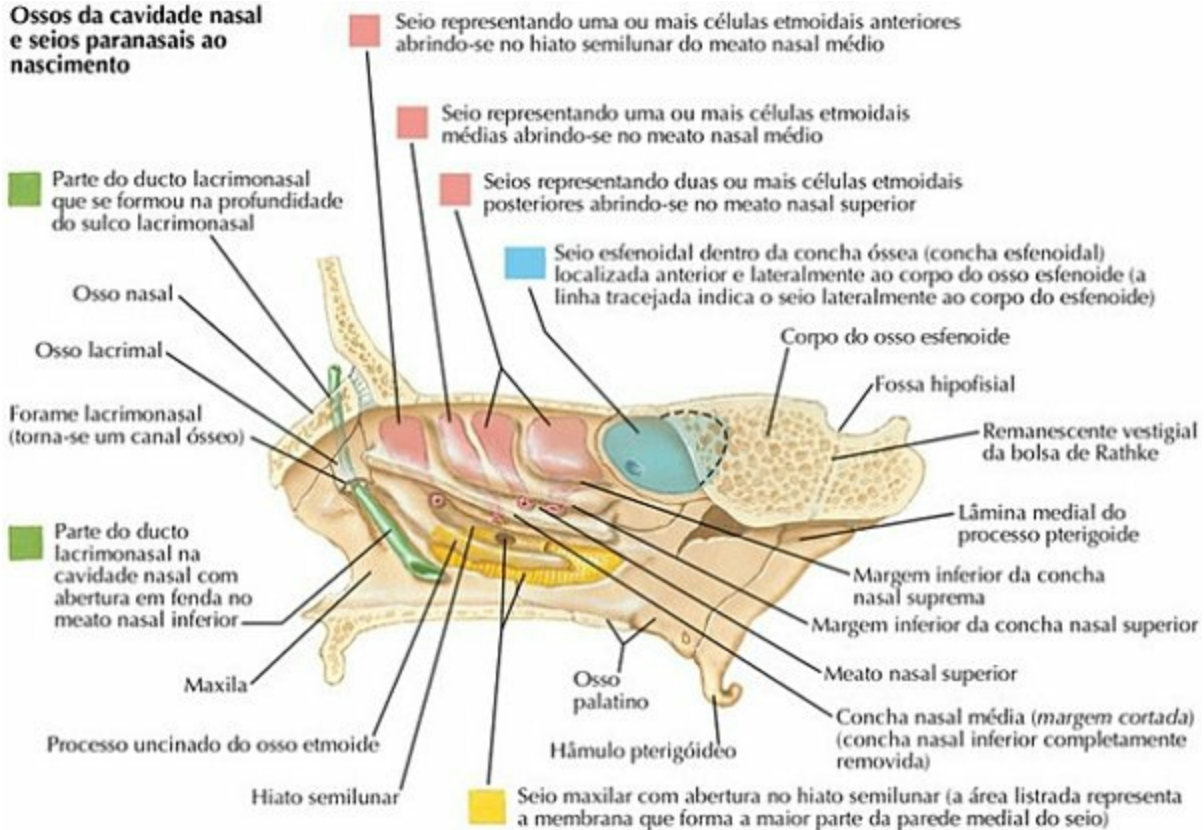
Seios Paranasais (continuação)



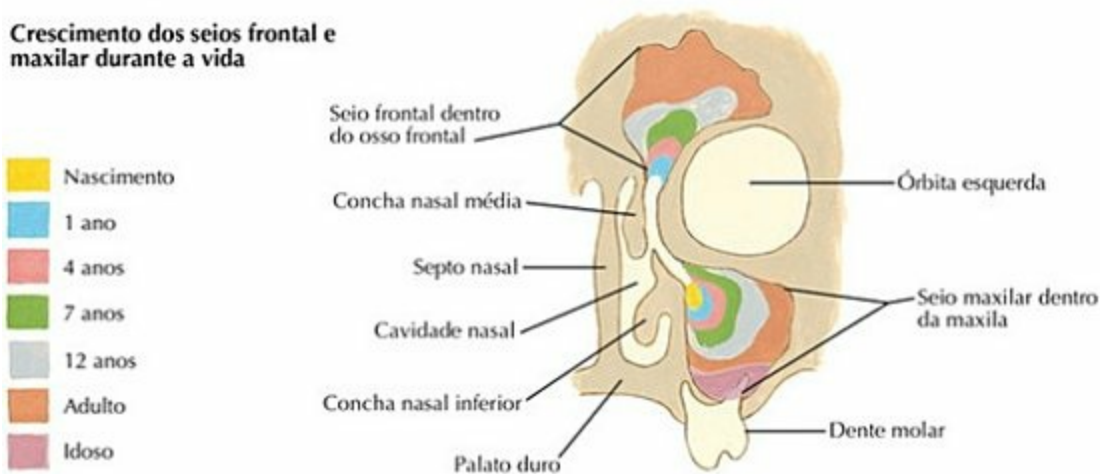
PRANCHA 44 Região Nasal
Veja também **Prancha 52**

Seios Paranasais: Alterações com a Idade

Ossos da cavidade nasal e seios paranasais ao nascimento

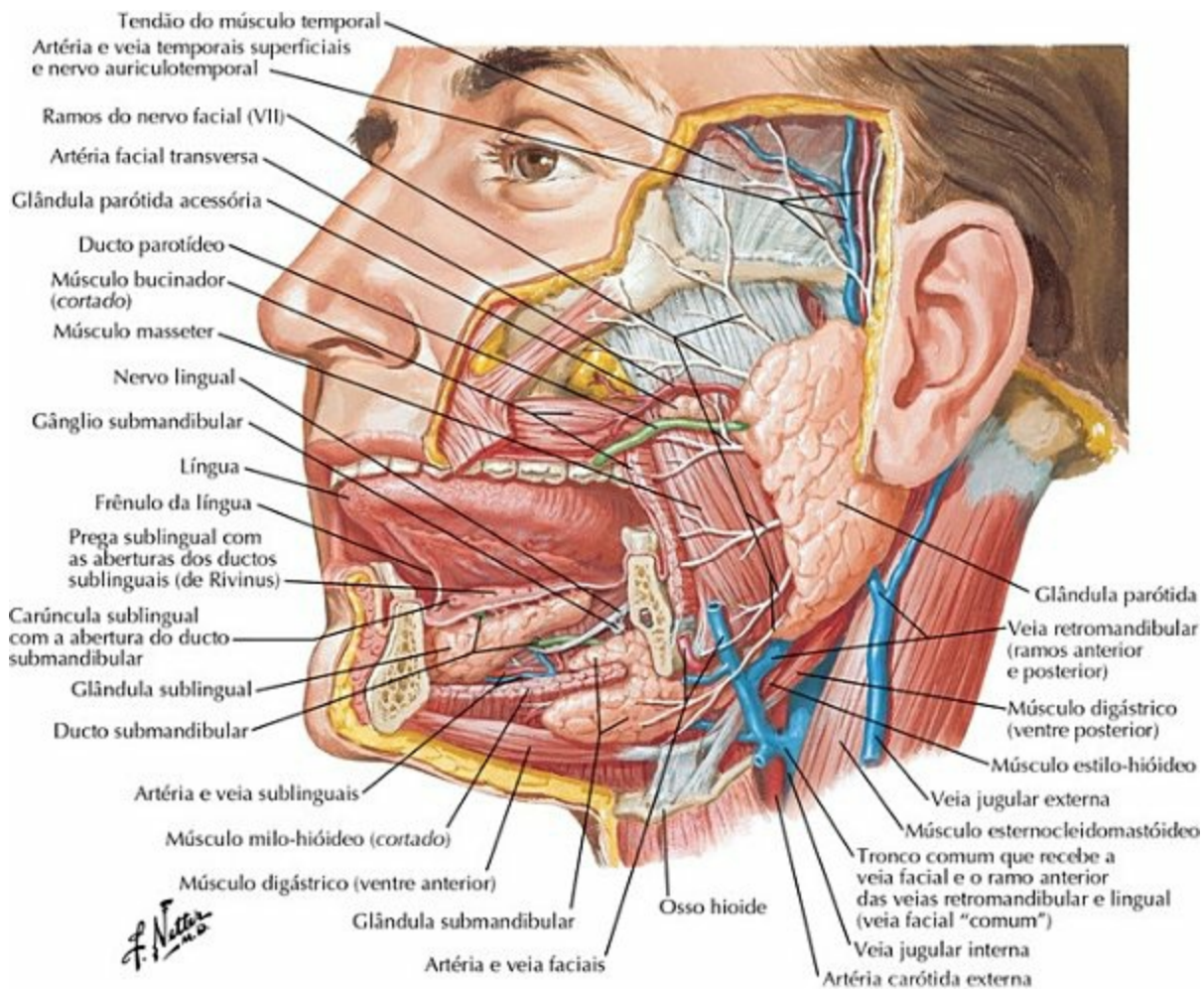


Crescimento dos seios frontal e maxilar durante a vida



PRANCHA 45 Região Nasal

Glândulas Salivares

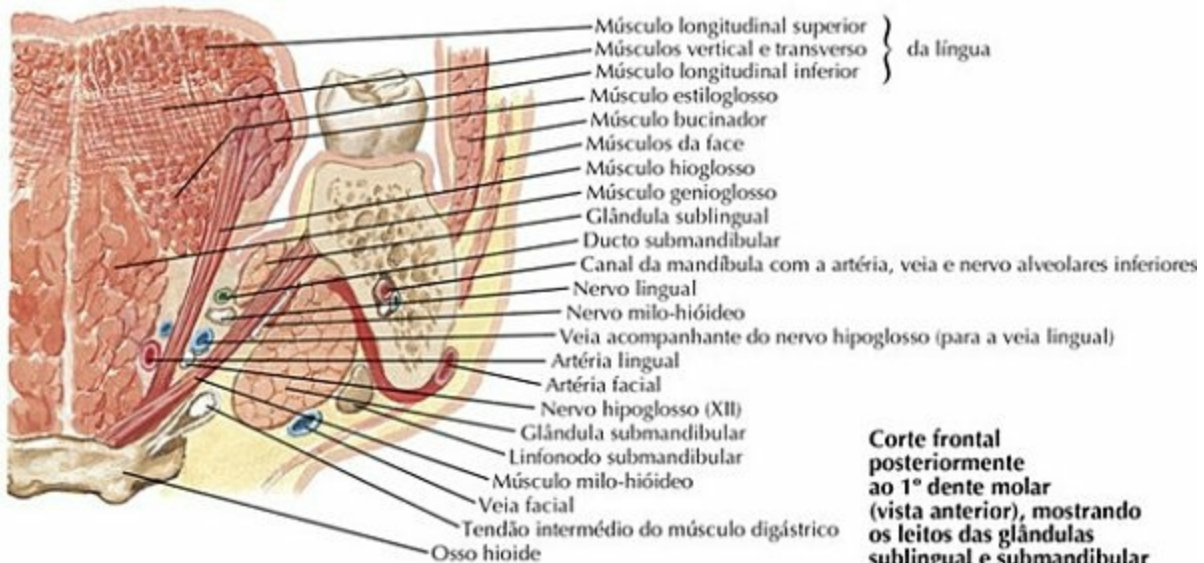
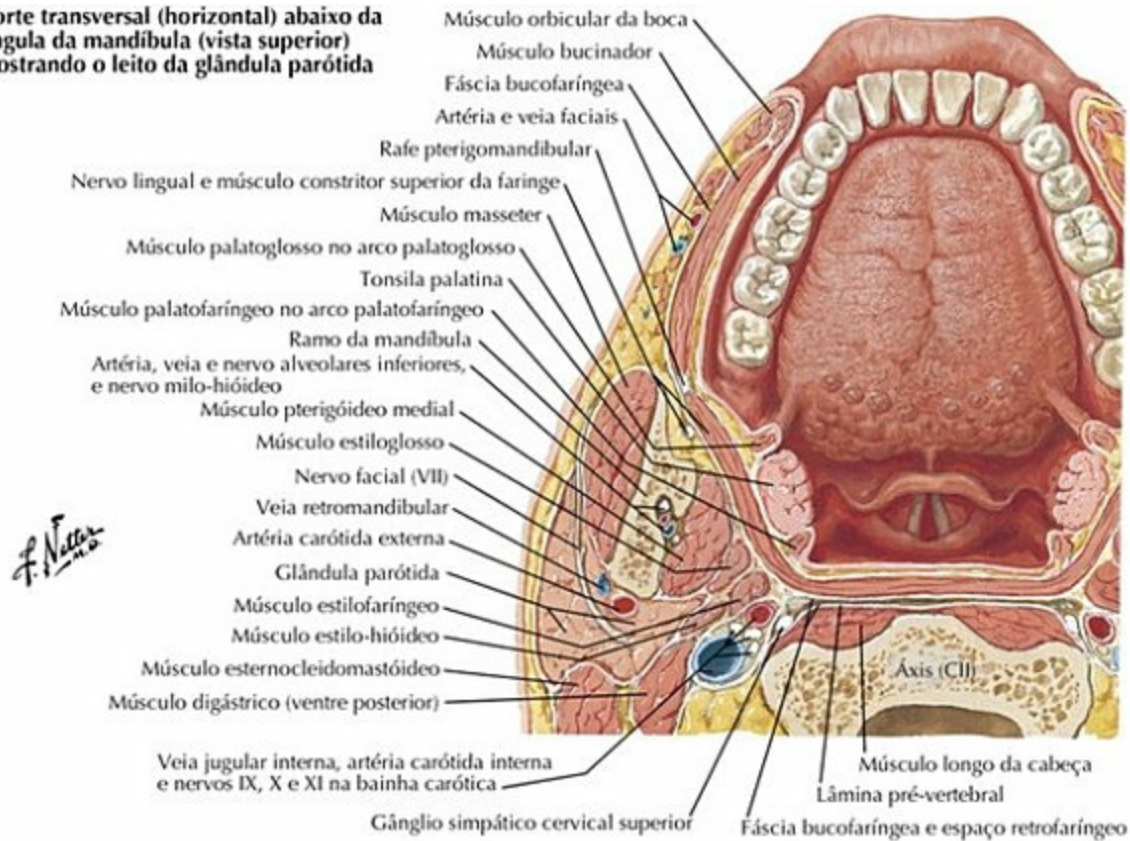


PRANCHA 46 Região Nasal

Veja também **Pranchas 24, 134, 135**

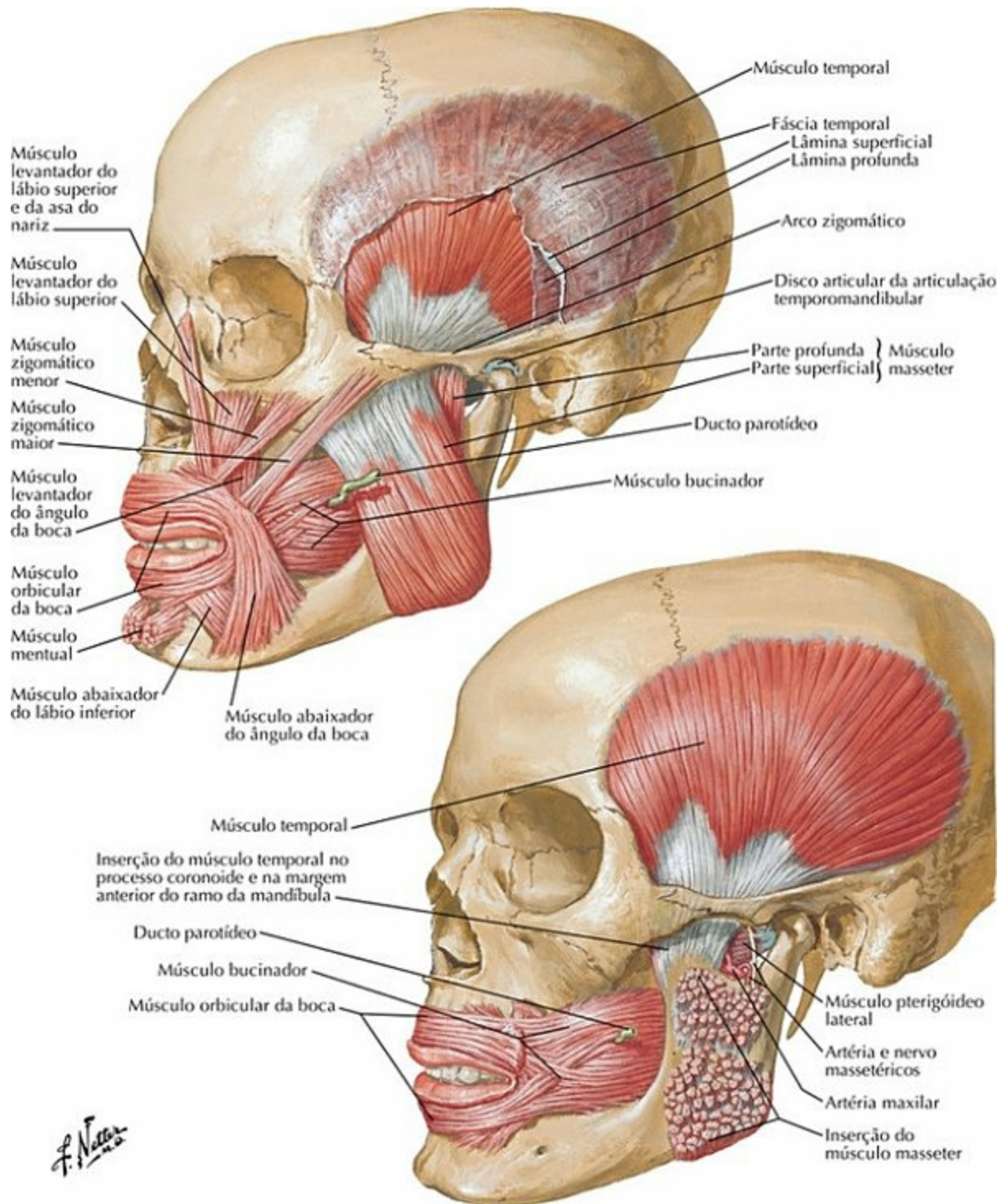
Língua e Glândulas Salivares: Cortes

**Corte transversal (horizontal) abaixo da
língua da mandíbula (vista superior)
mostrando o leito da glândula parótida**



PRANCHA 47 Região Nasal

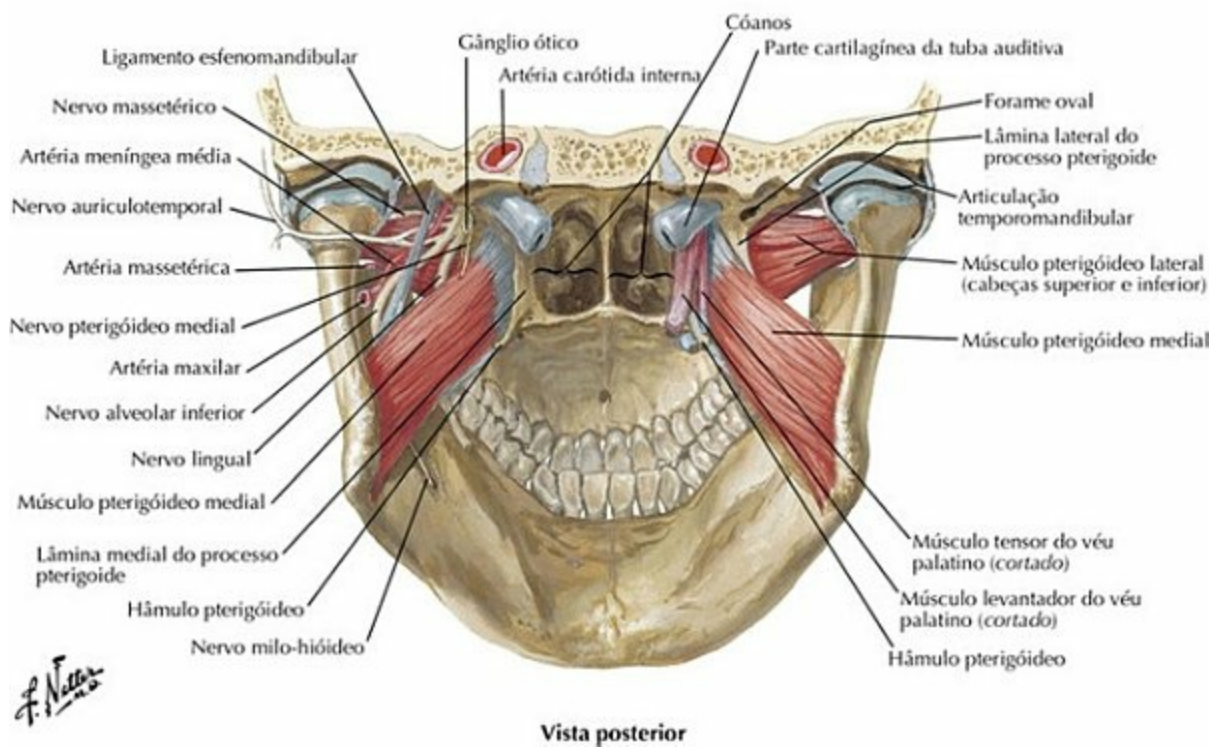
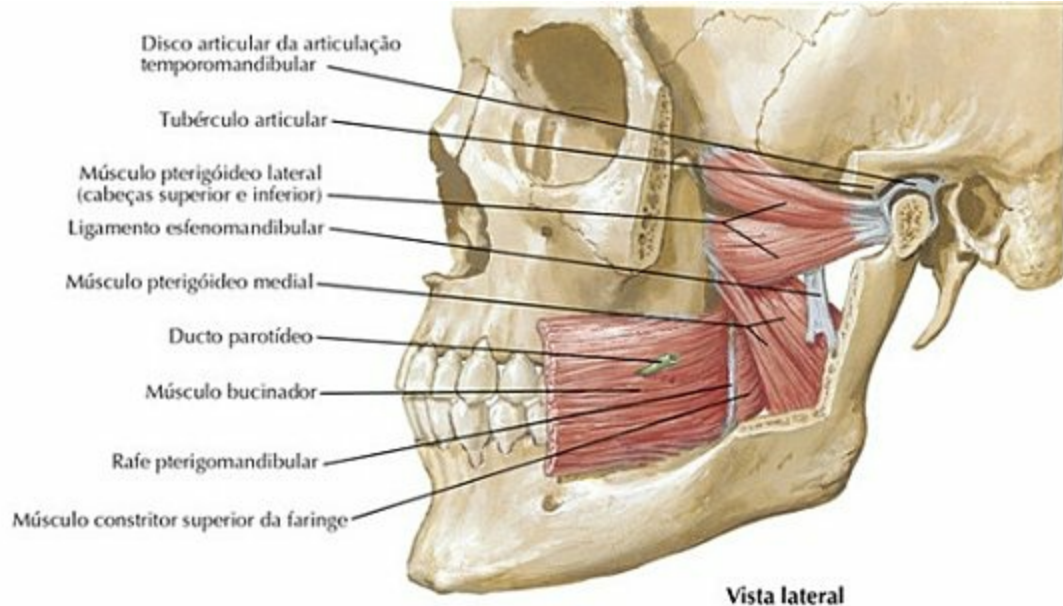
Músculos da Mastigação



PRANCHA 48 Região Nasal

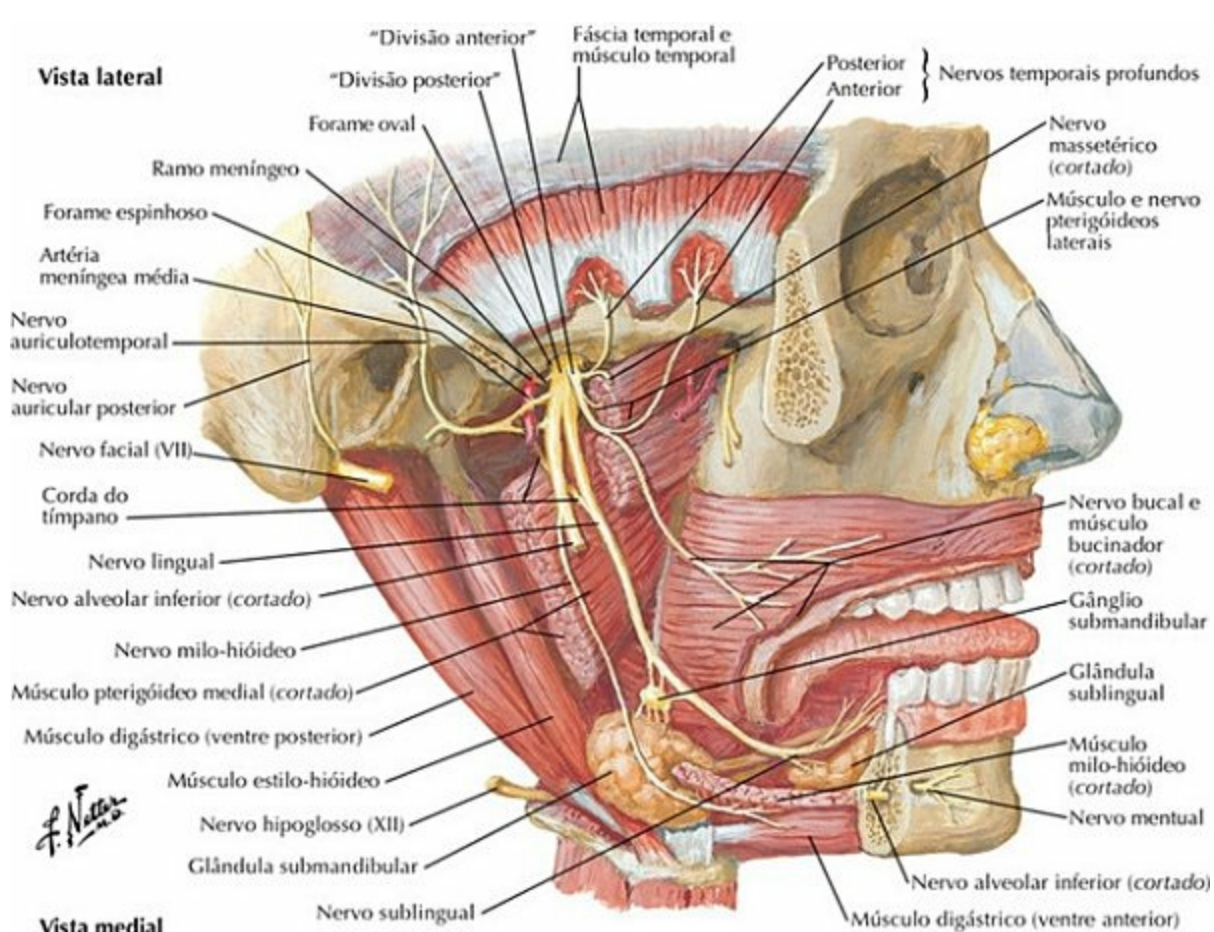
Para os músculos da face veja **Prancha 25**

Músculos da Mastigação (continuação)

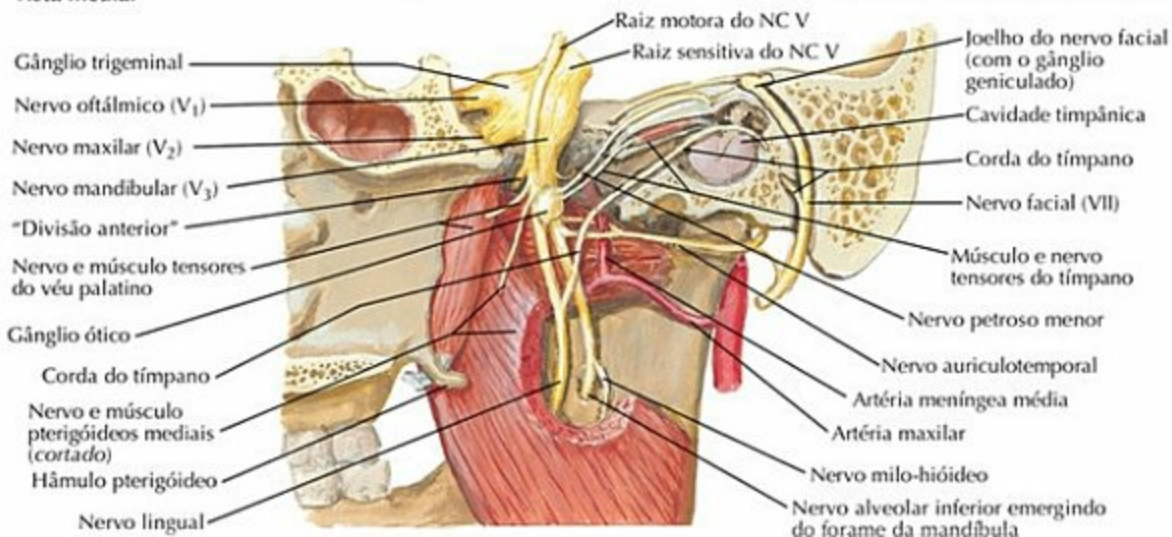


PRANCHA 49 Região Nasal
Veja também **Pranchas 18, 68**

Nervo Mandibular (V₃)

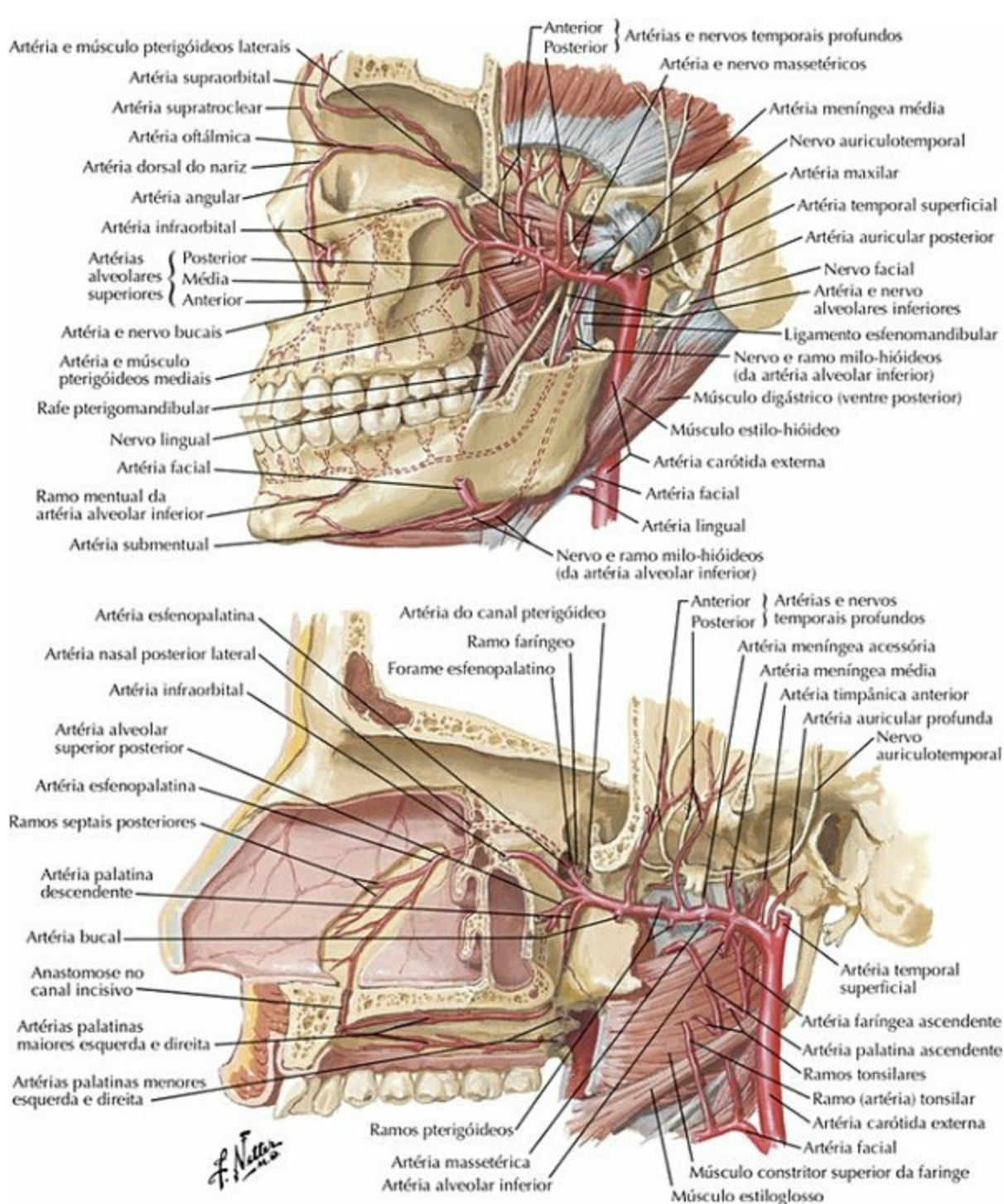


Vista medial



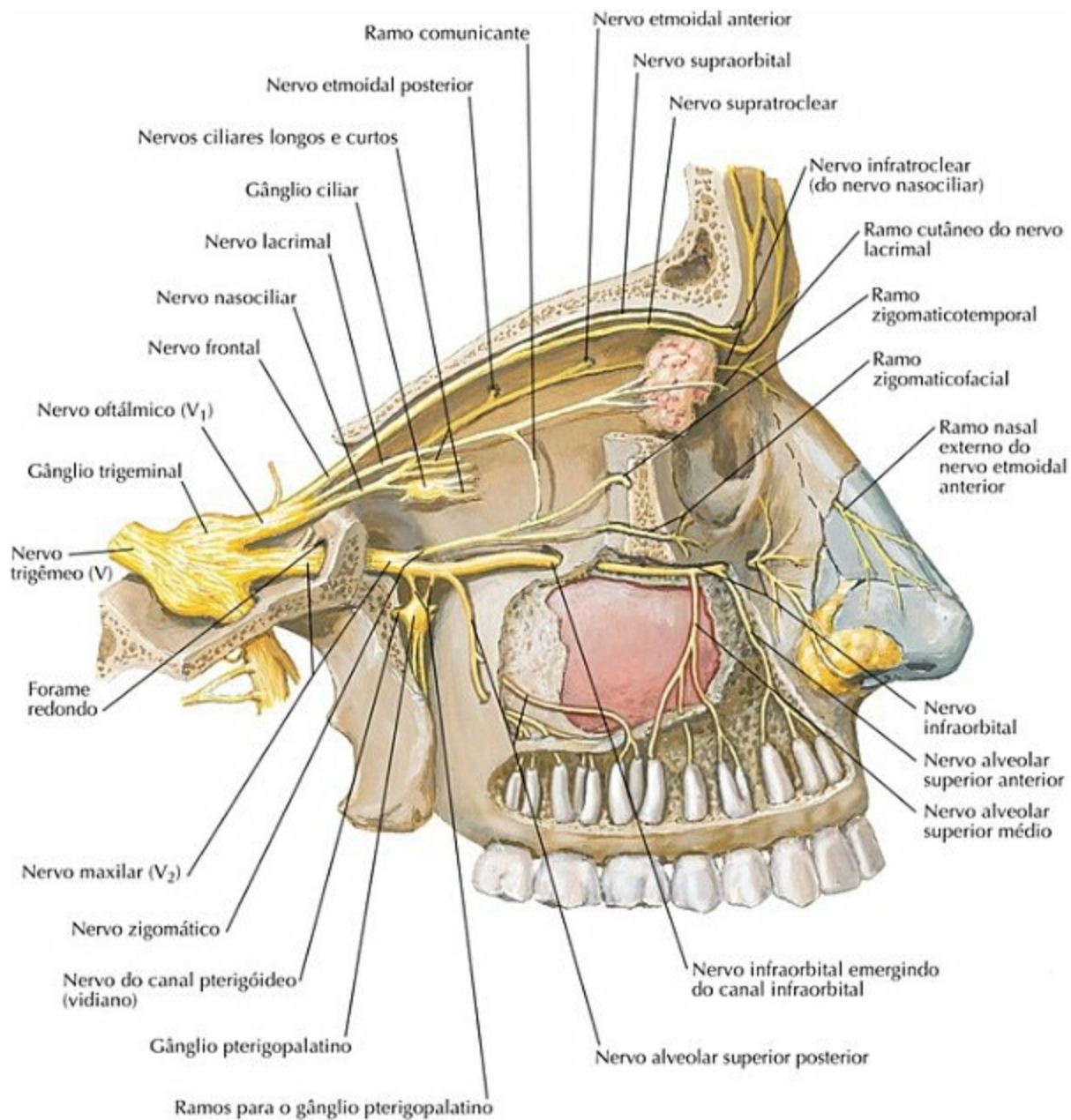
PRANCHA 50 Região Nasal
Veja também **Pranchas 71, 123**

Artéria Maxilar



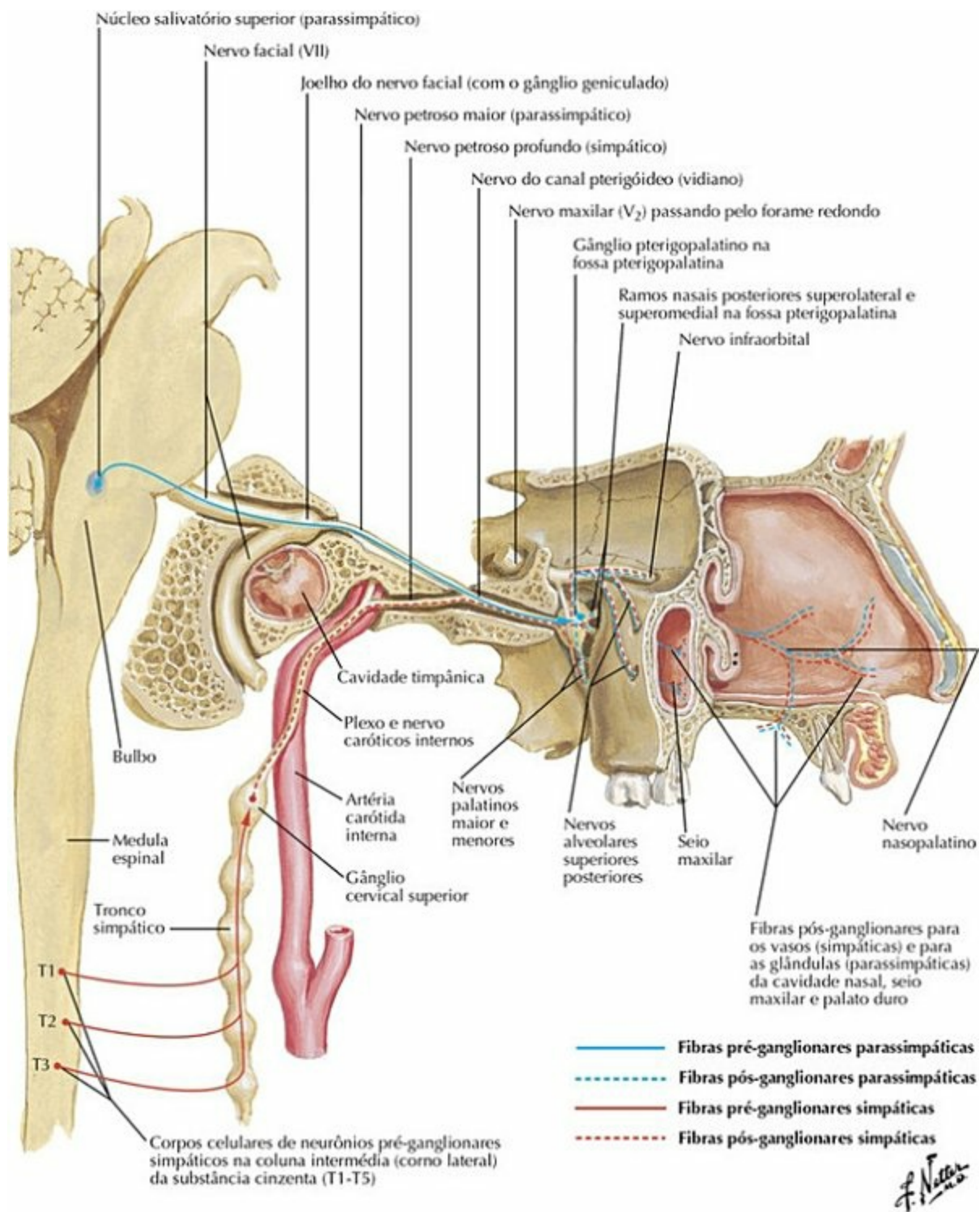
PRANCHA 51 Região Nasal
Veja também **Pranchas 34, 72**

Nervos Oftálmico (V_1) e Maxilar (V_2)



F. Netto
PRANCHA 52 Região Nasal
 Veja também **Prancha 44**

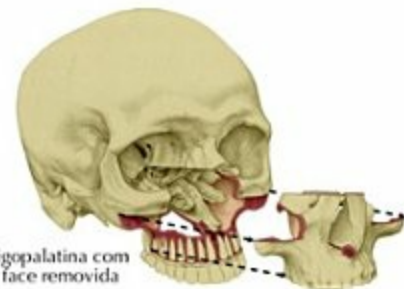
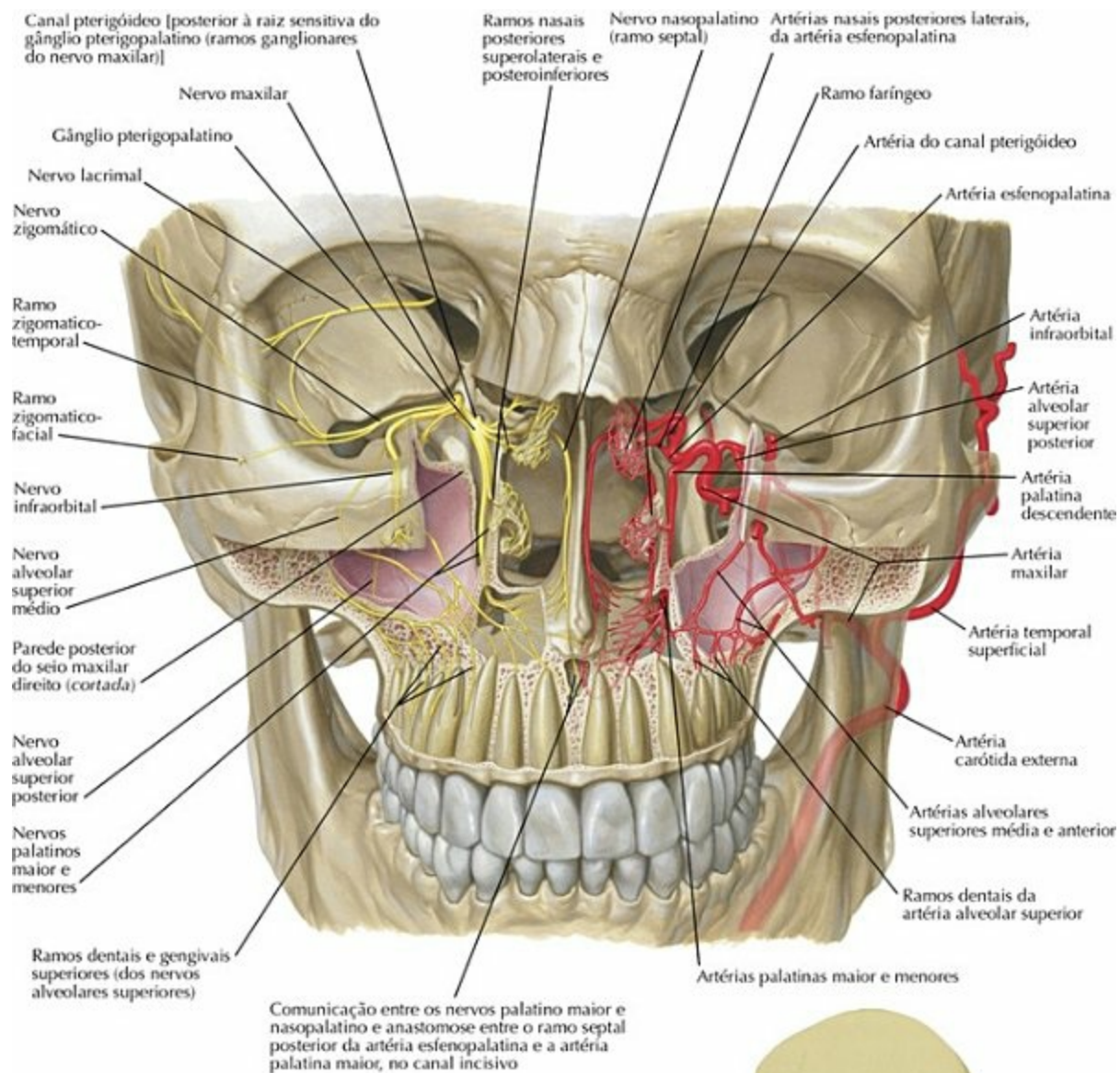
Inervação Autônoma da Cavidade Nasal



PRANCHA 53 Região Nasal

Veja também **Pranchas 123, 132, 134**

Fossa Pterigopalatina

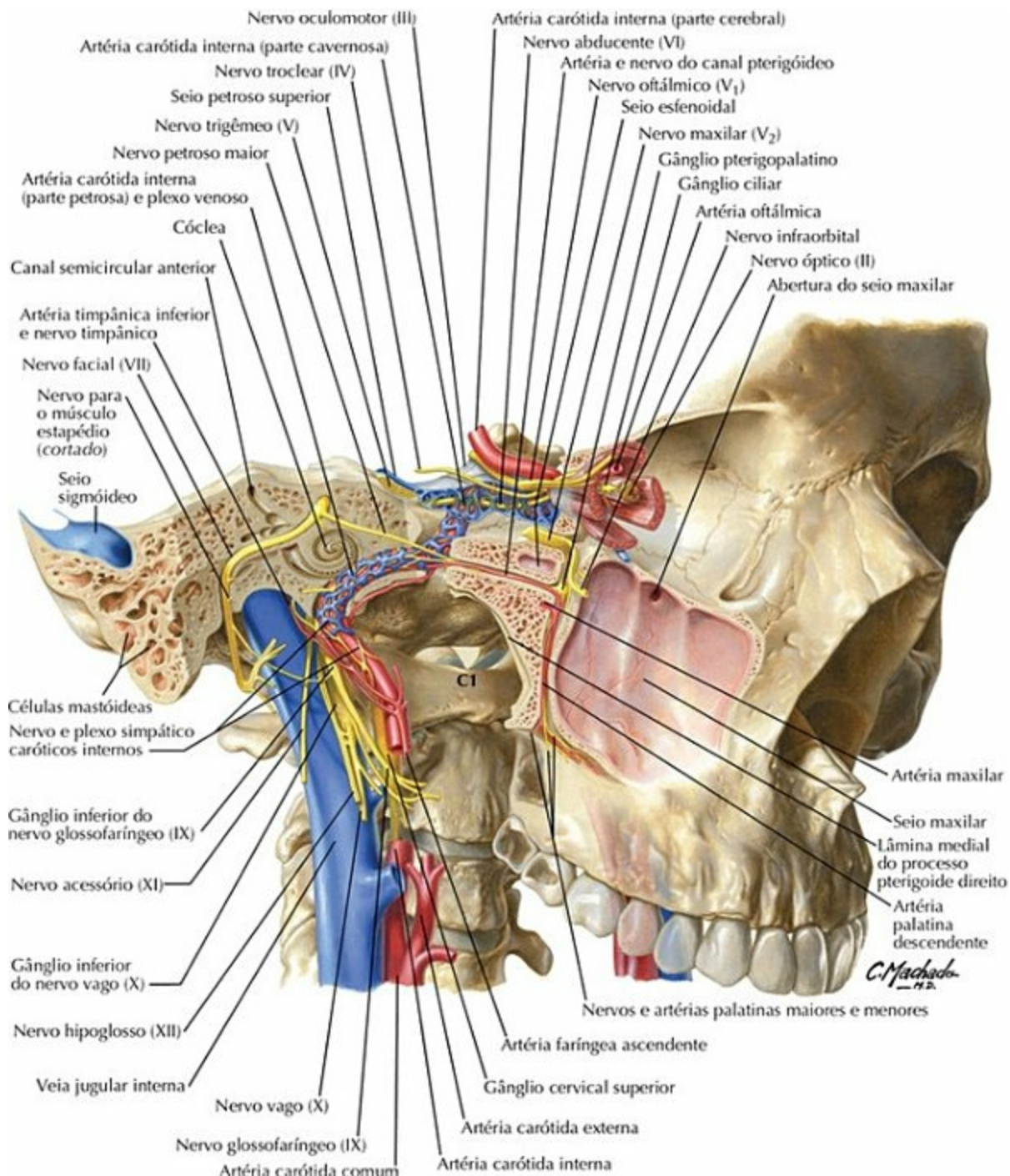


C. Machado

Vista anterolateral da fossa pterigopalatina com a parte inferior do esqueleto da face removida

PRANCHA 54 Região Nasal
Veja também **Pranchas 39, 41, 52**

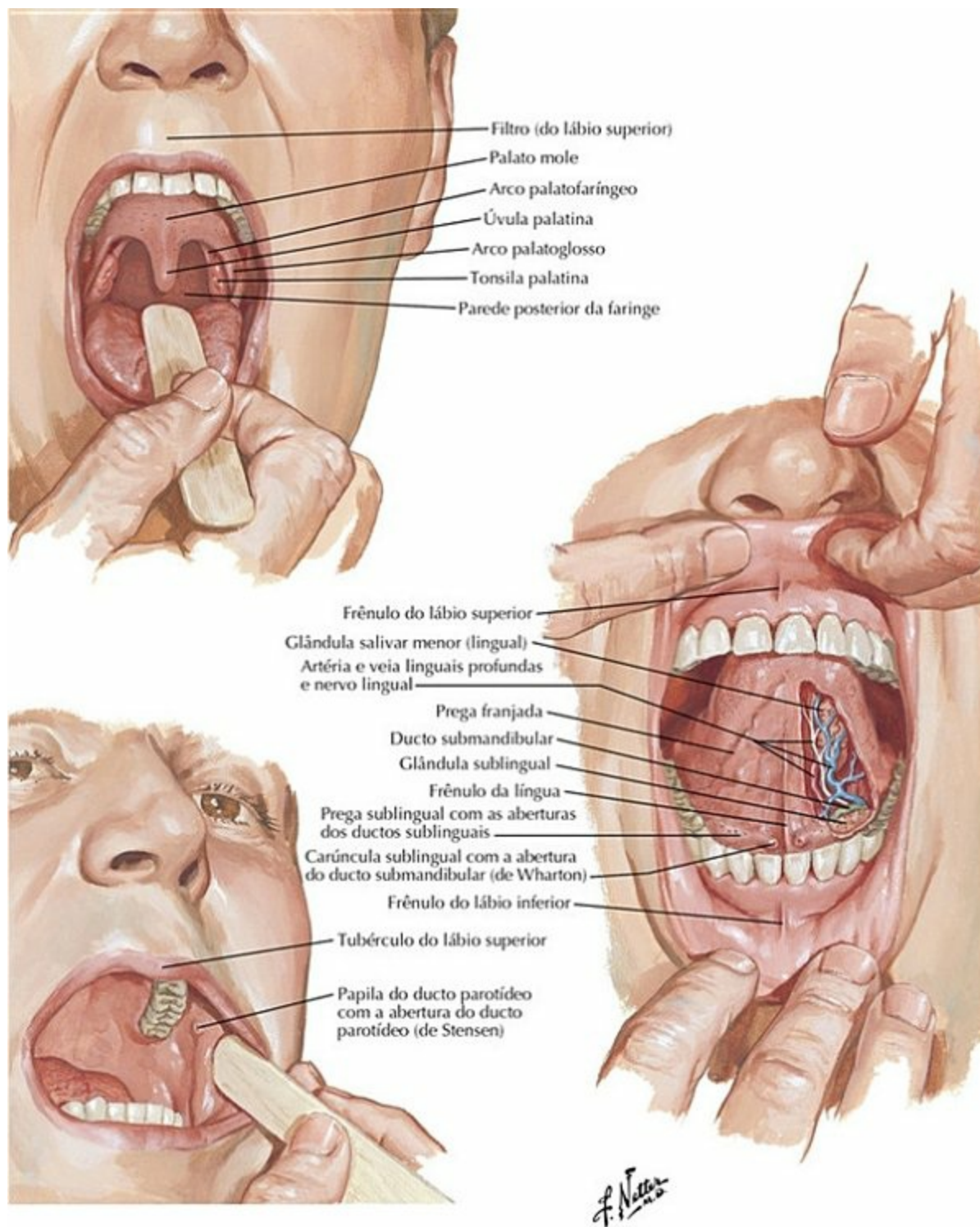
Orientação dos Nervos e dos Vasos Sanguíneos da Base do Crânio



PRANCHA 55 Região Nasal

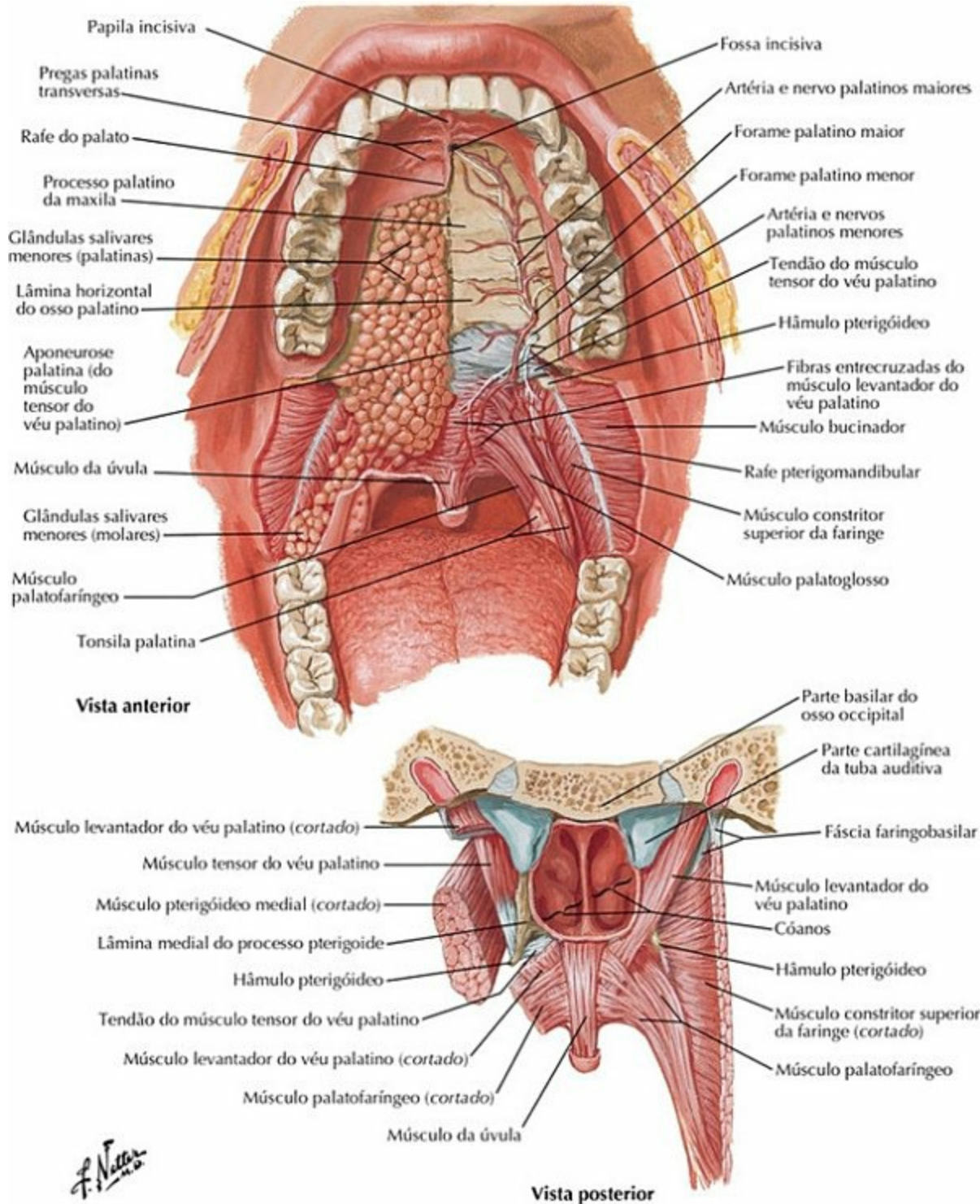
Veja também **Pranchas 105, 132, 137**

Inspeção da Cavidade Oral



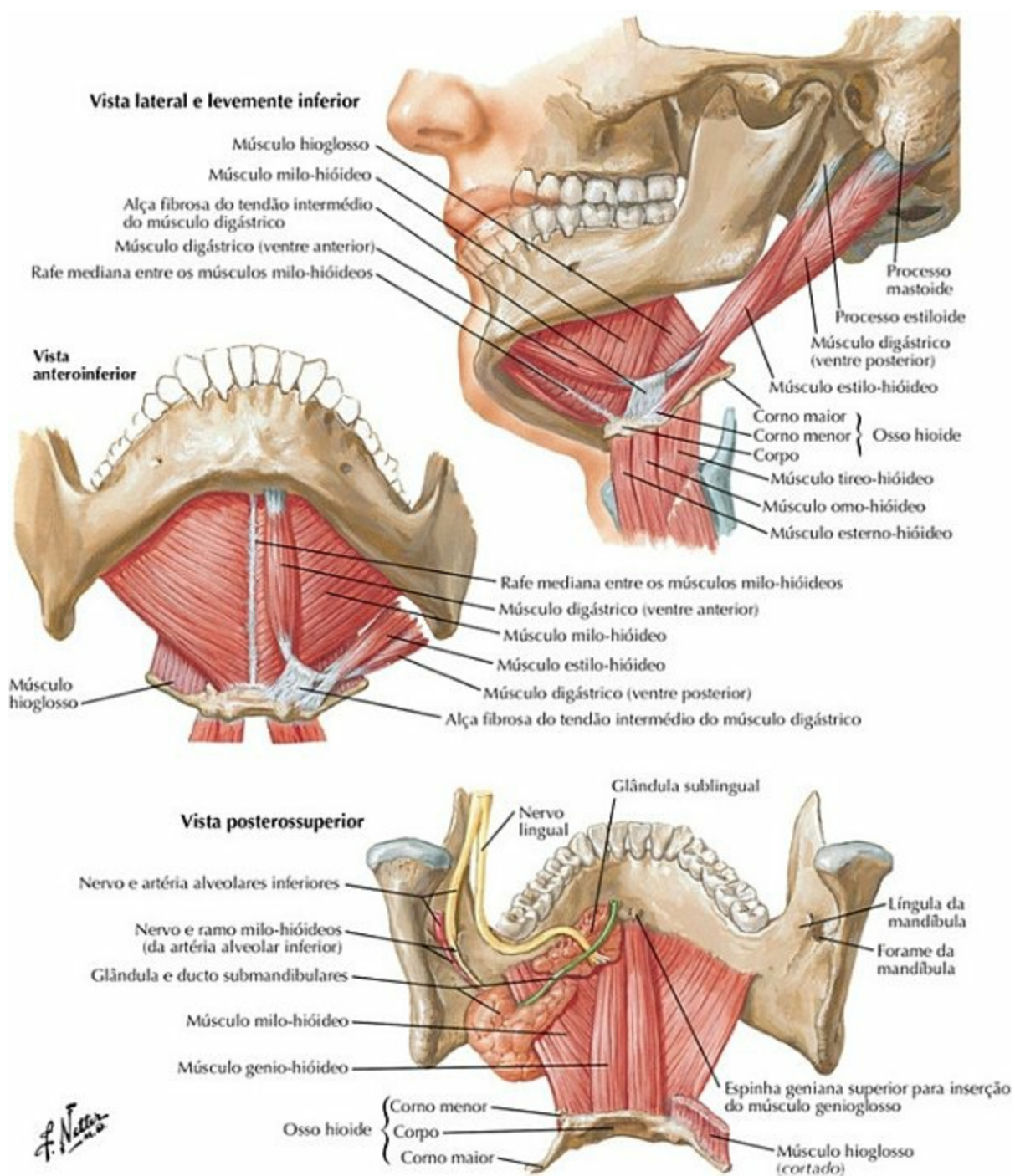
PRANCHA 56 Região Oral

Teto da Cavidade Oral



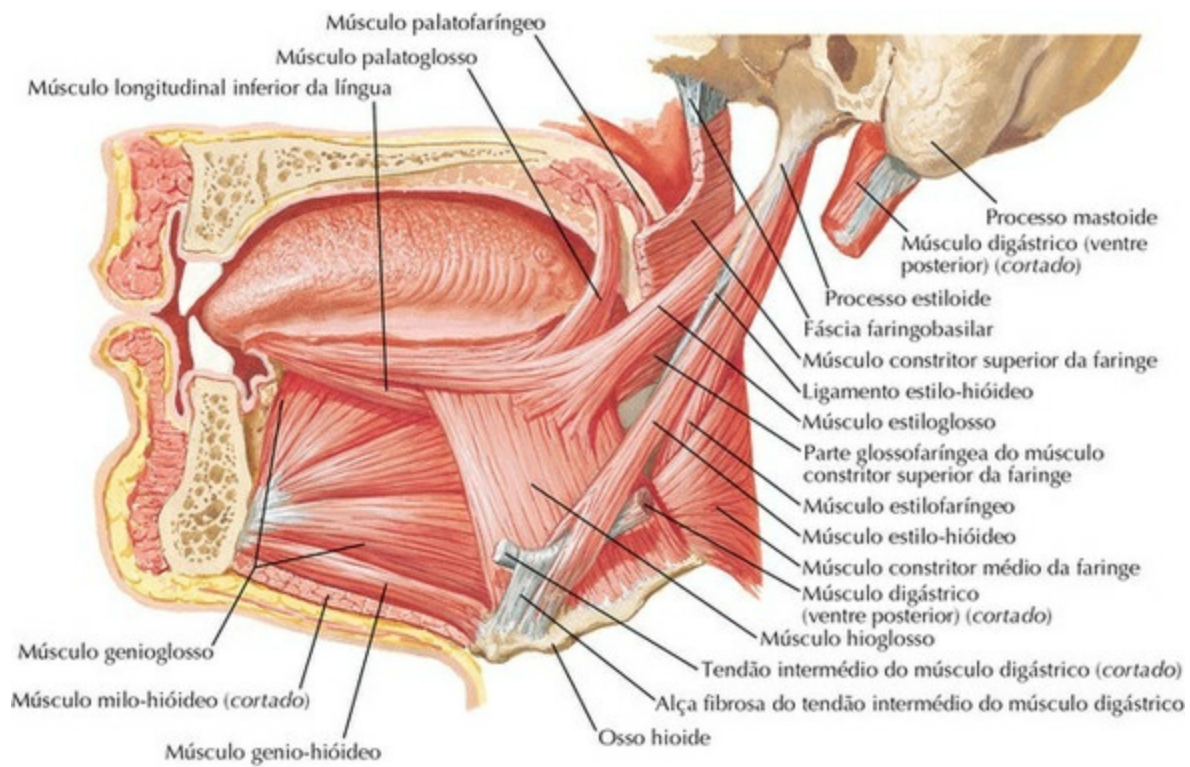
PRANCHA 57 Região Oral
Veja também **Prancha 41**

Assoalho da Cavidade Oral

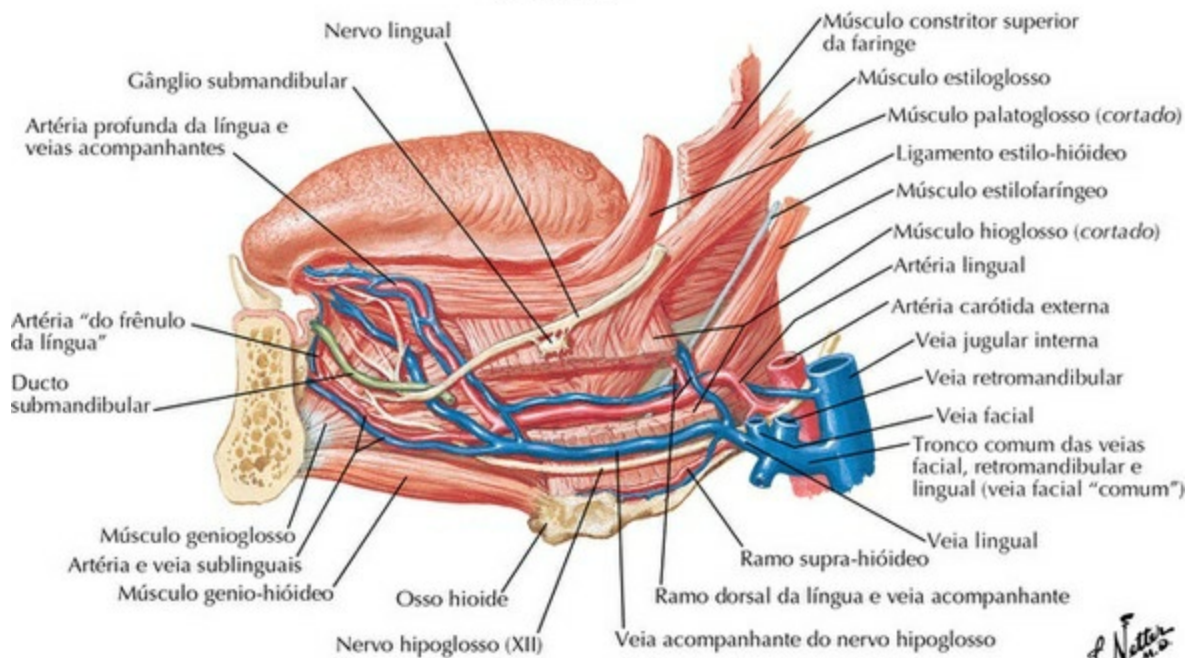


PRANCHA 58 Região Oral
Veja também **Prancha 28**

Língua

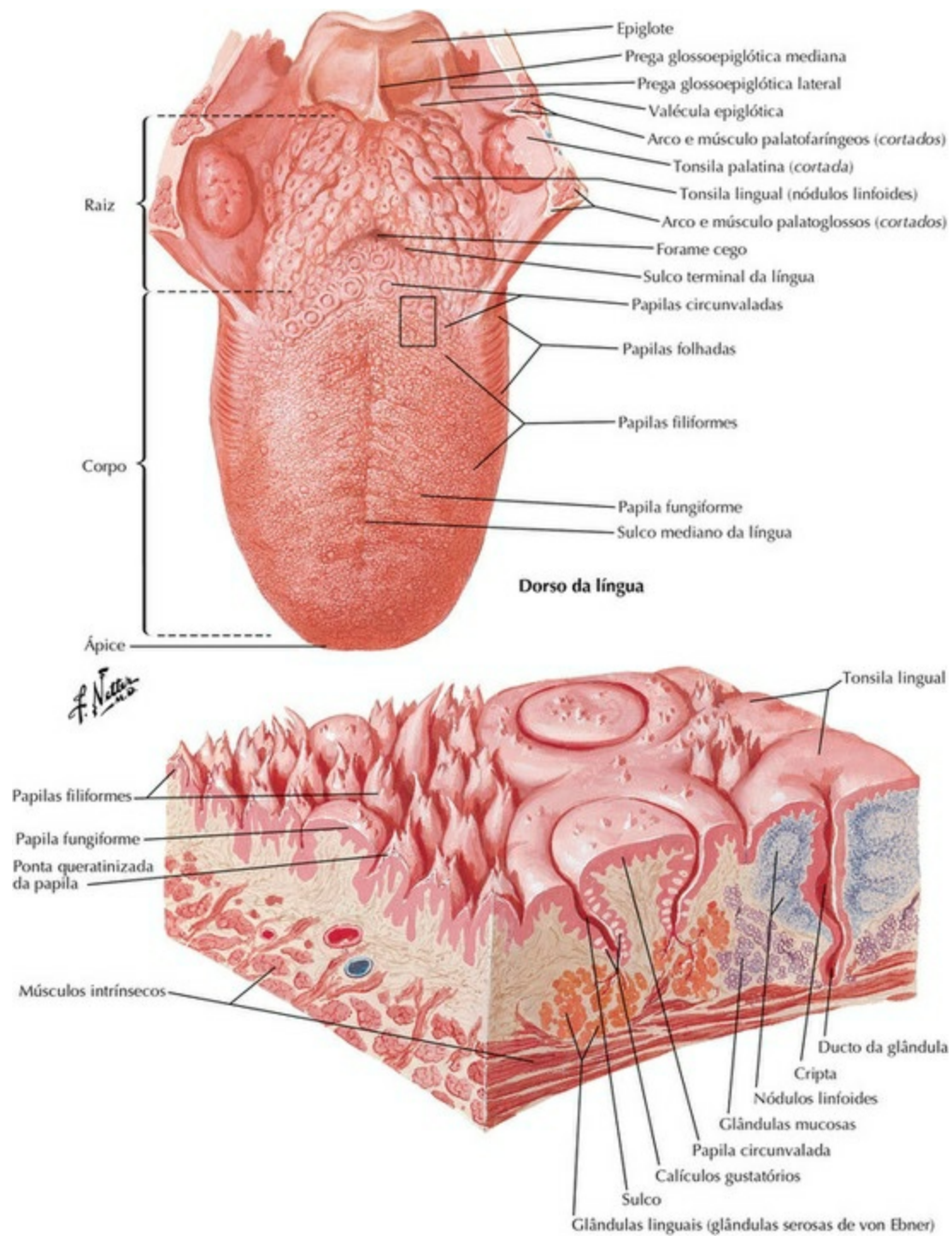


Vista lateral



PRANCHA 59 Região Oral
Veja também **Pranchas 58, 129**

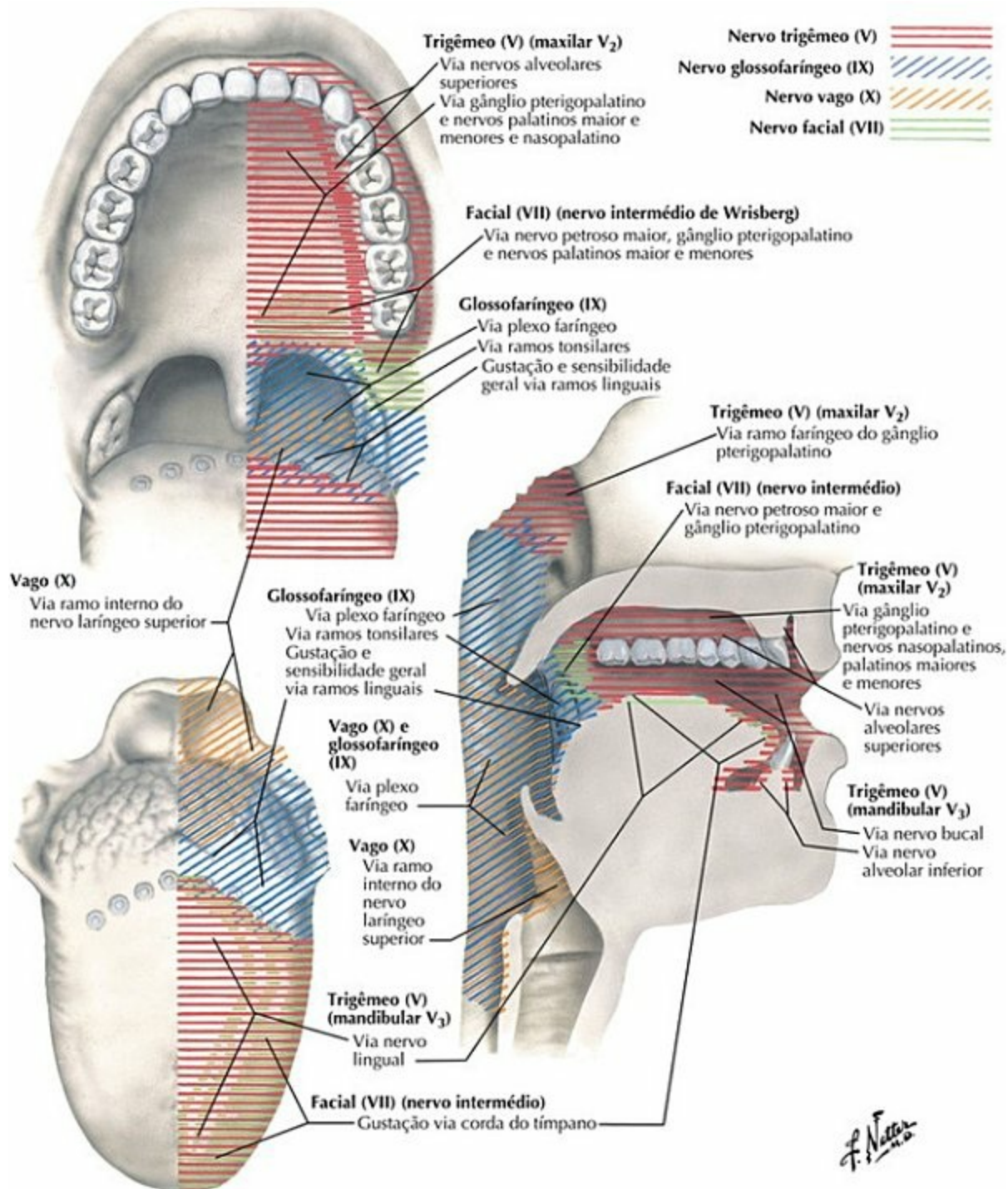
Língua (continuação)



Estereograma esquemático: área indicada acima

PRANCHA 60 Região Oral

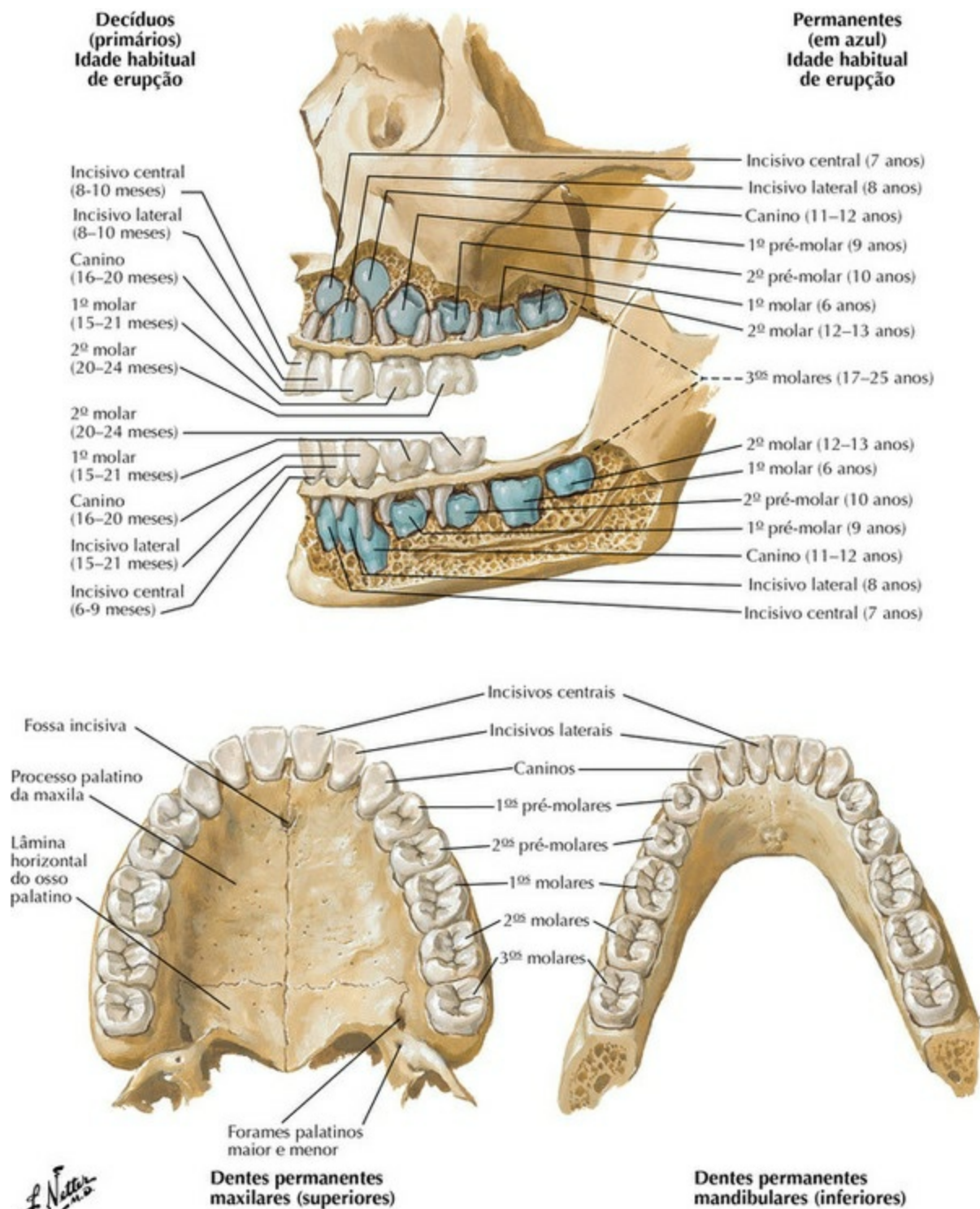
Inervação Sensitiva da Cavidade Oral e da Faringe



PRANCHA 61 Região Oral

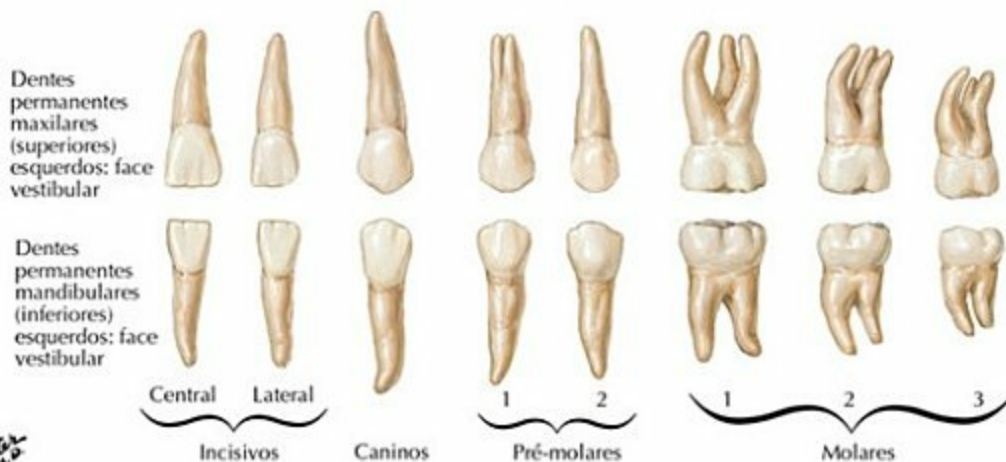
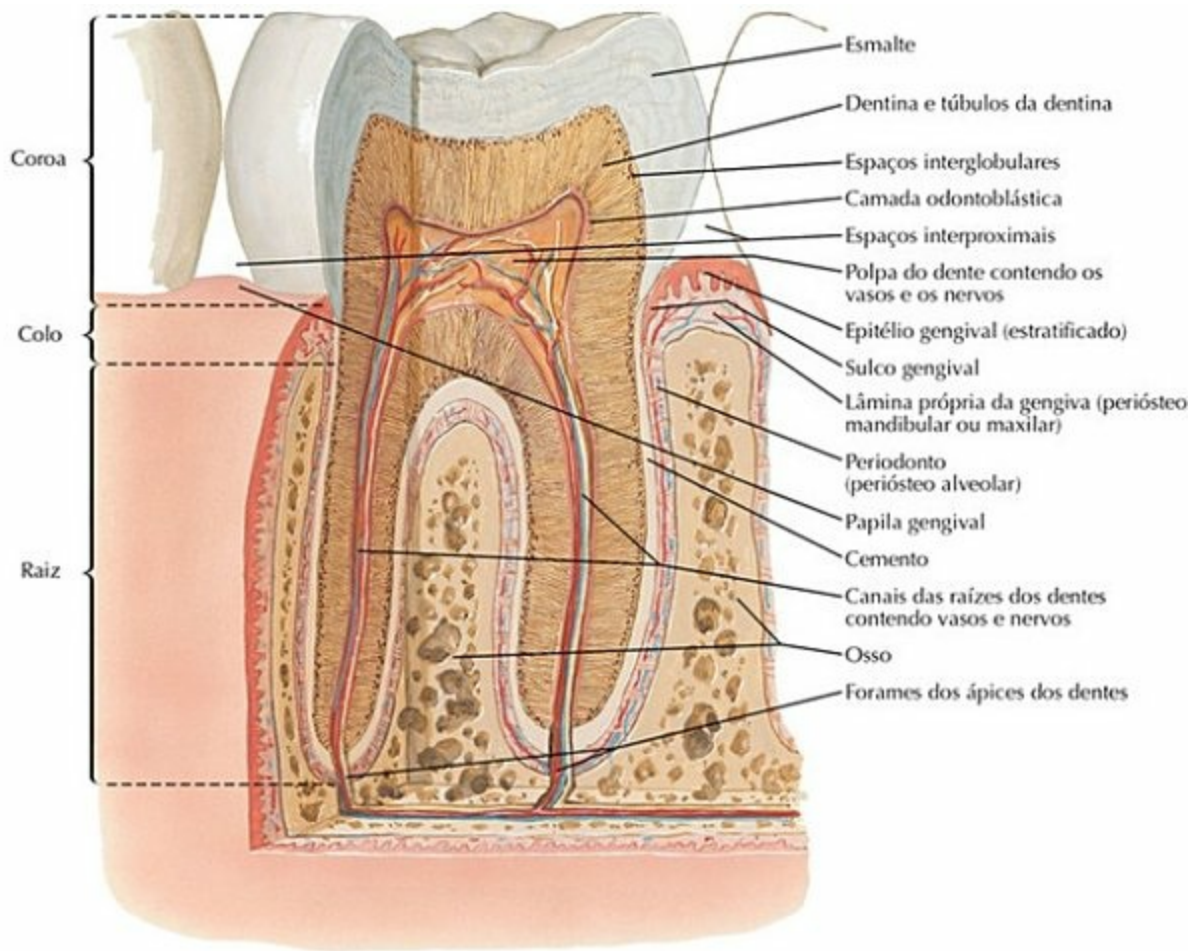
Veja também **Pranchas 126, 134, 136**

Dentes



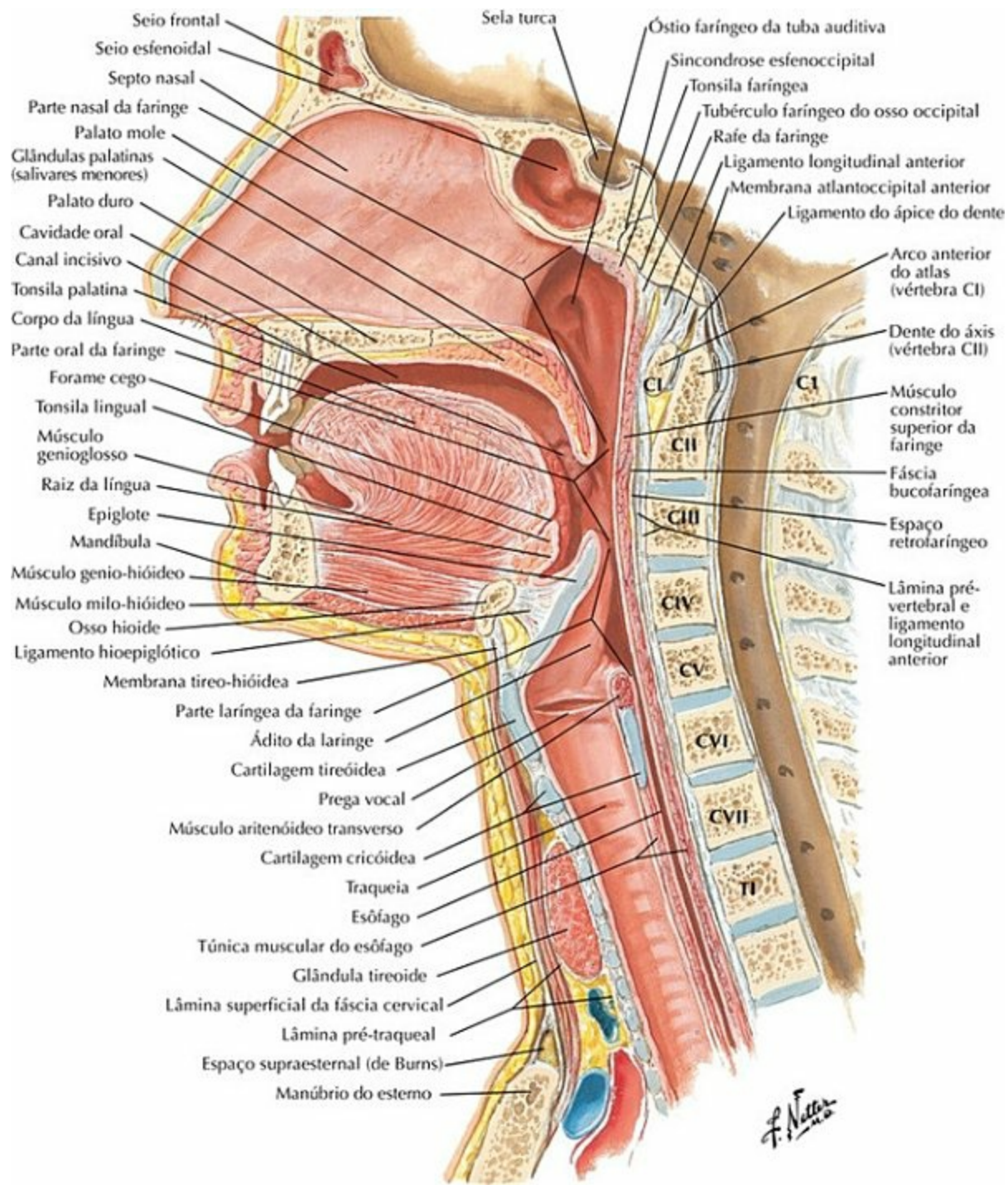
PRANCHA 62 Região Oral
Veja também **Pranchas 40, 41, 57**

Dentes (continuação)



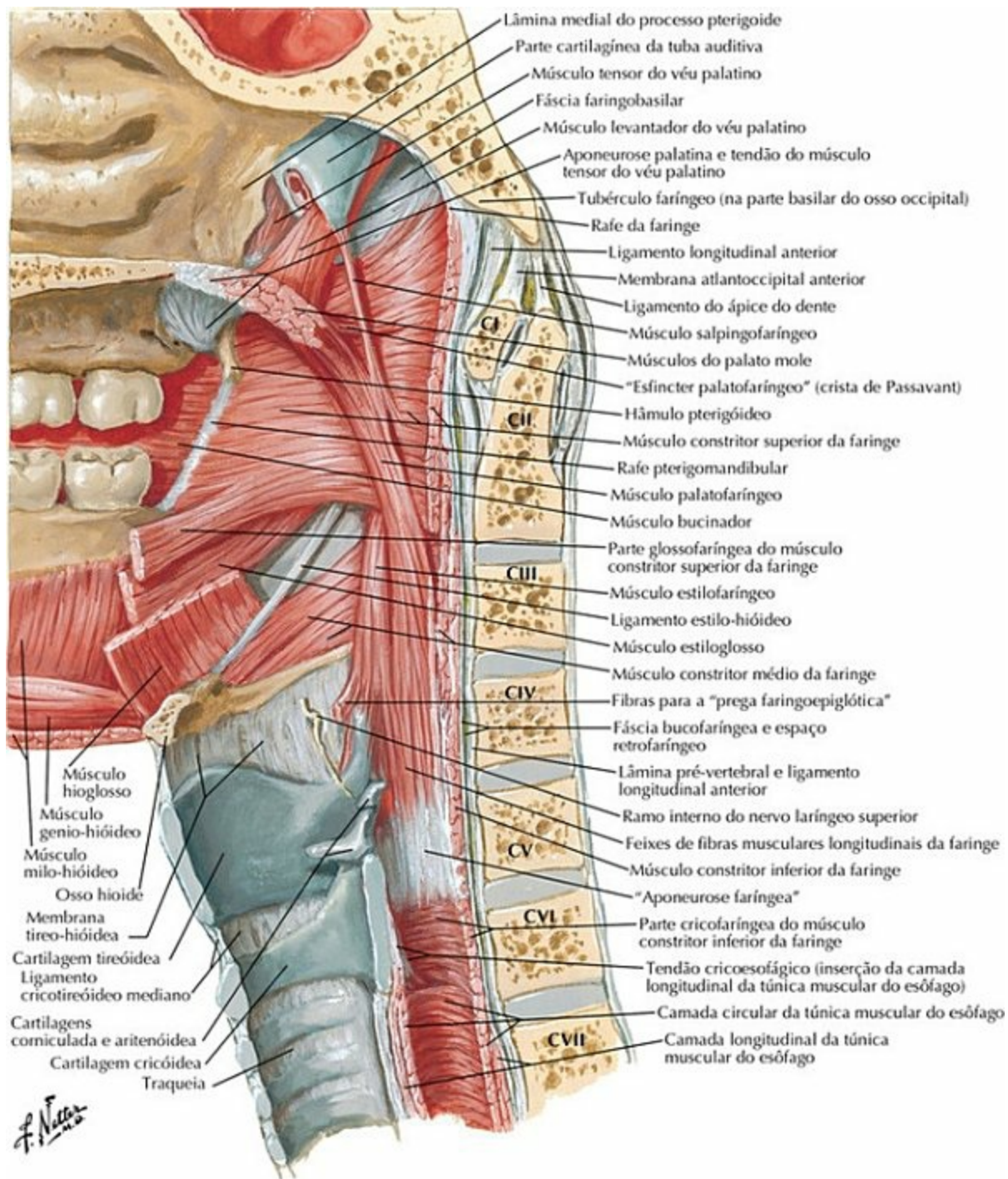
PRANCHA 63 Região Oral

Faringe: Corte Sagital Mediano



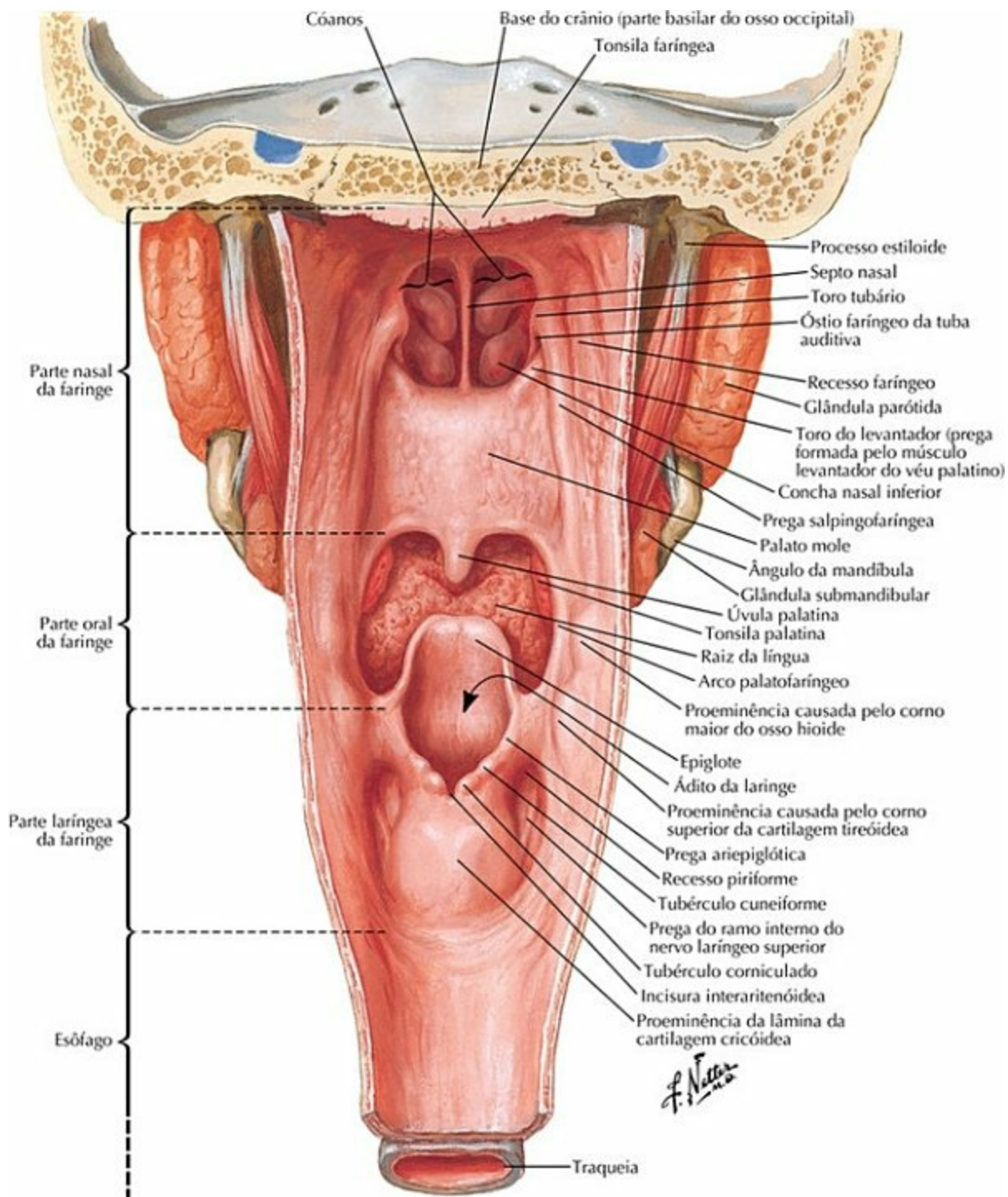
PRANCHA 64 Faringe

Músculos da Faringe: Corte Sagital



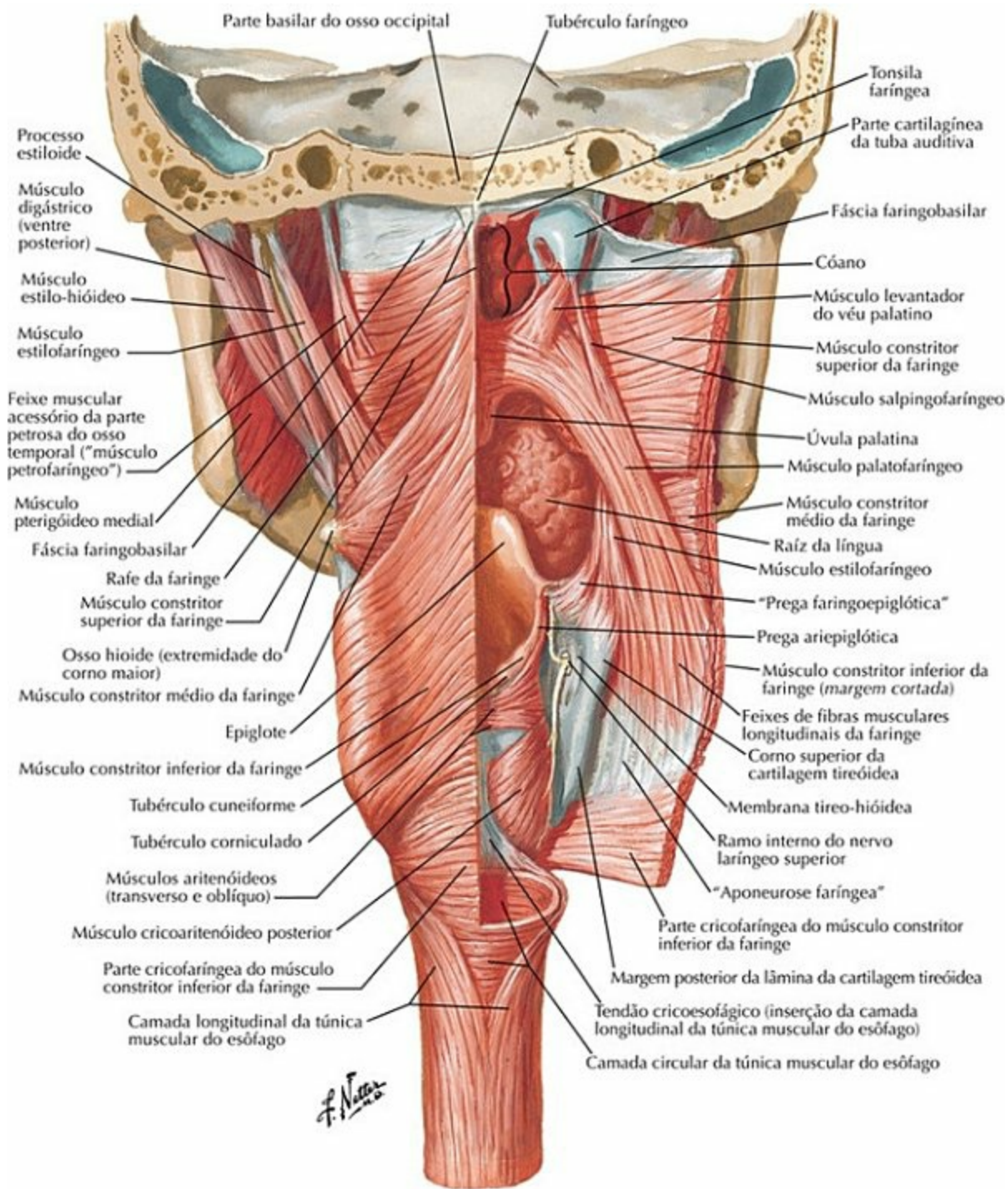
PRANCHA 65 Faringe

Faringe: Vista Posterior (Parede Posterior Aberta)



PRANCHA 66 Faringe

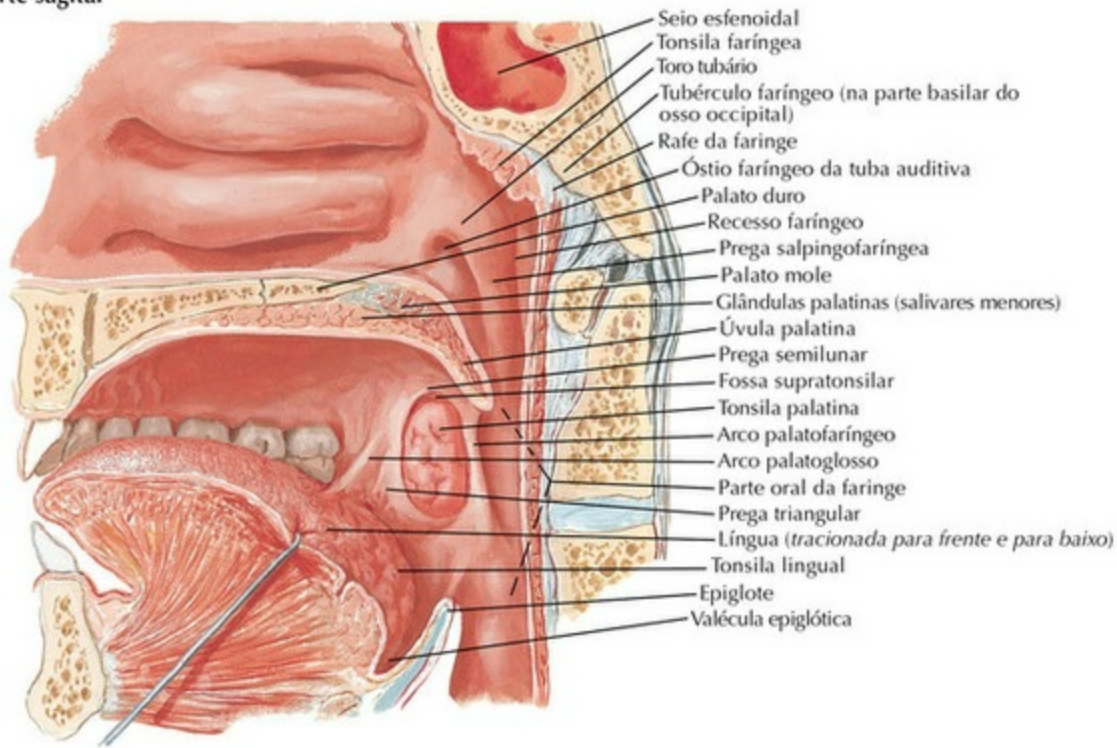
Músculos da Faringe: Vista Posterior (Parede Posterior Parcialmente Aberta)



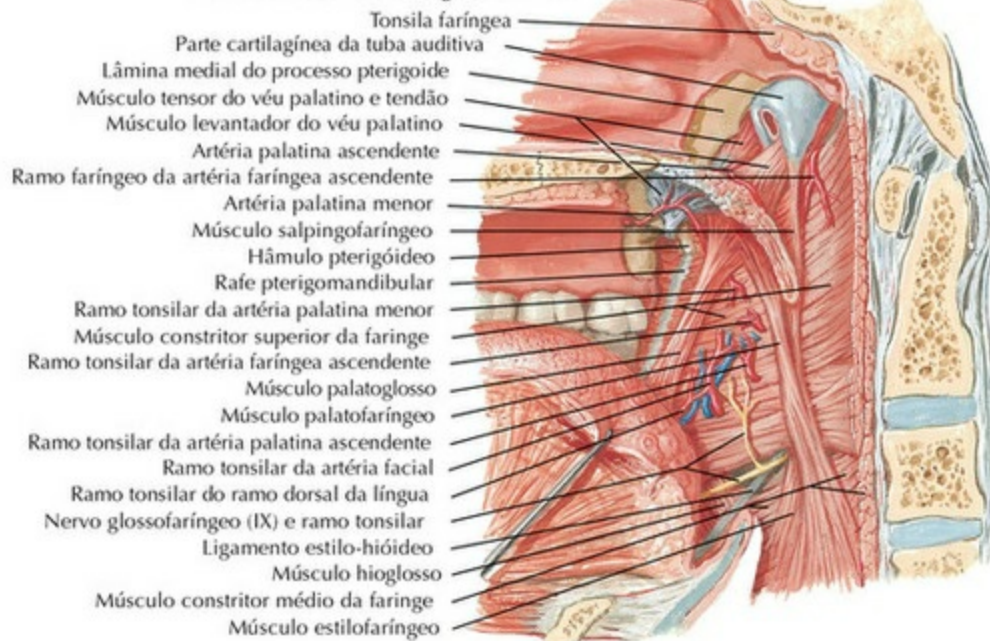
PRANCHA 67 Faringe
Veja também **Prancha 70**

Fauces

**Vista medial
Corte sagital**

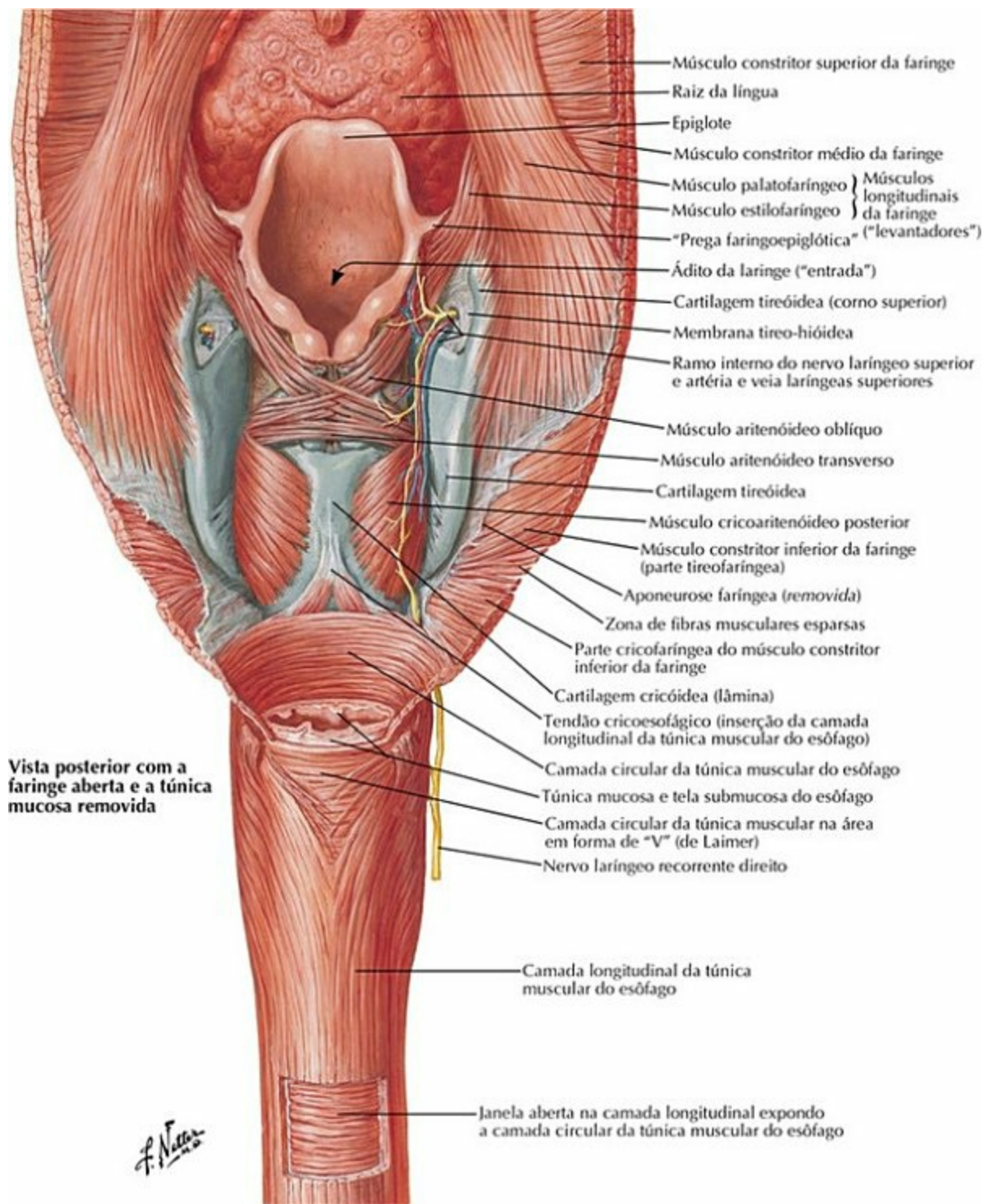


Túnica mucosa da faringe removida



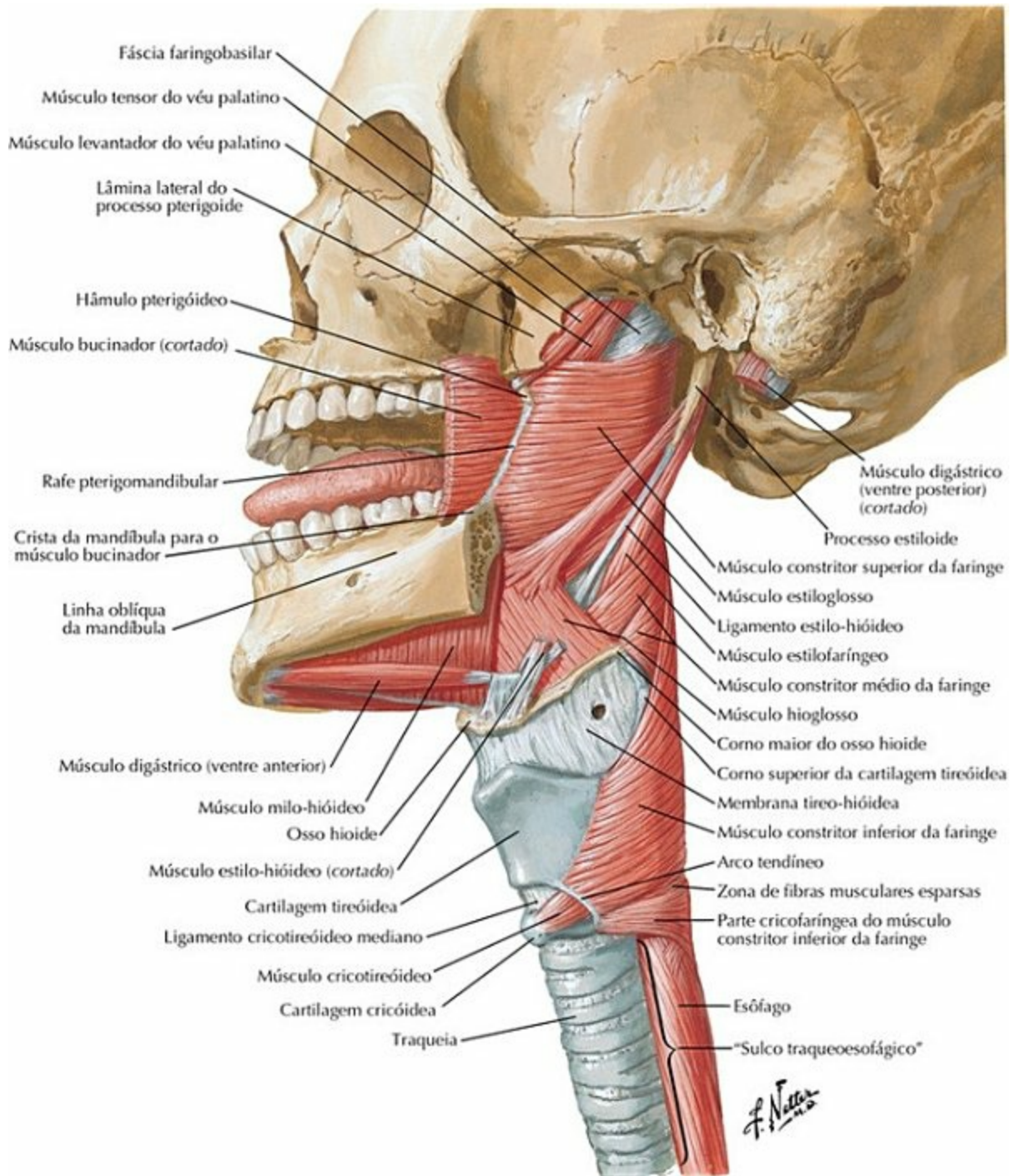
PRANCHA 68 Faringe

Junção Faringoesofágica



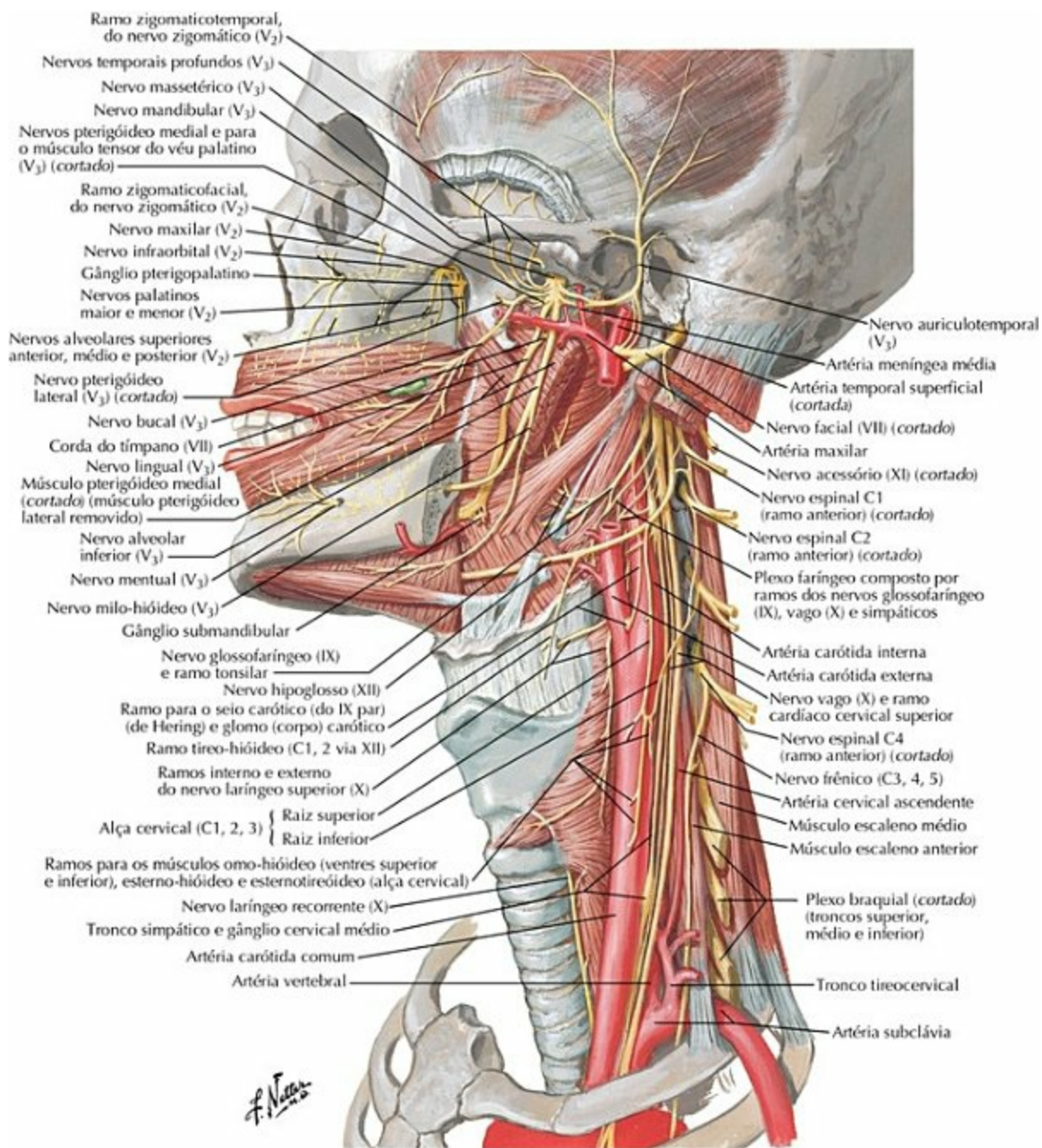
PRANCHA 69 Faringe

Músculos da Faringe: Vista Lateral



PRANCHA 70 Faringe
Veja também **Prancha 67**

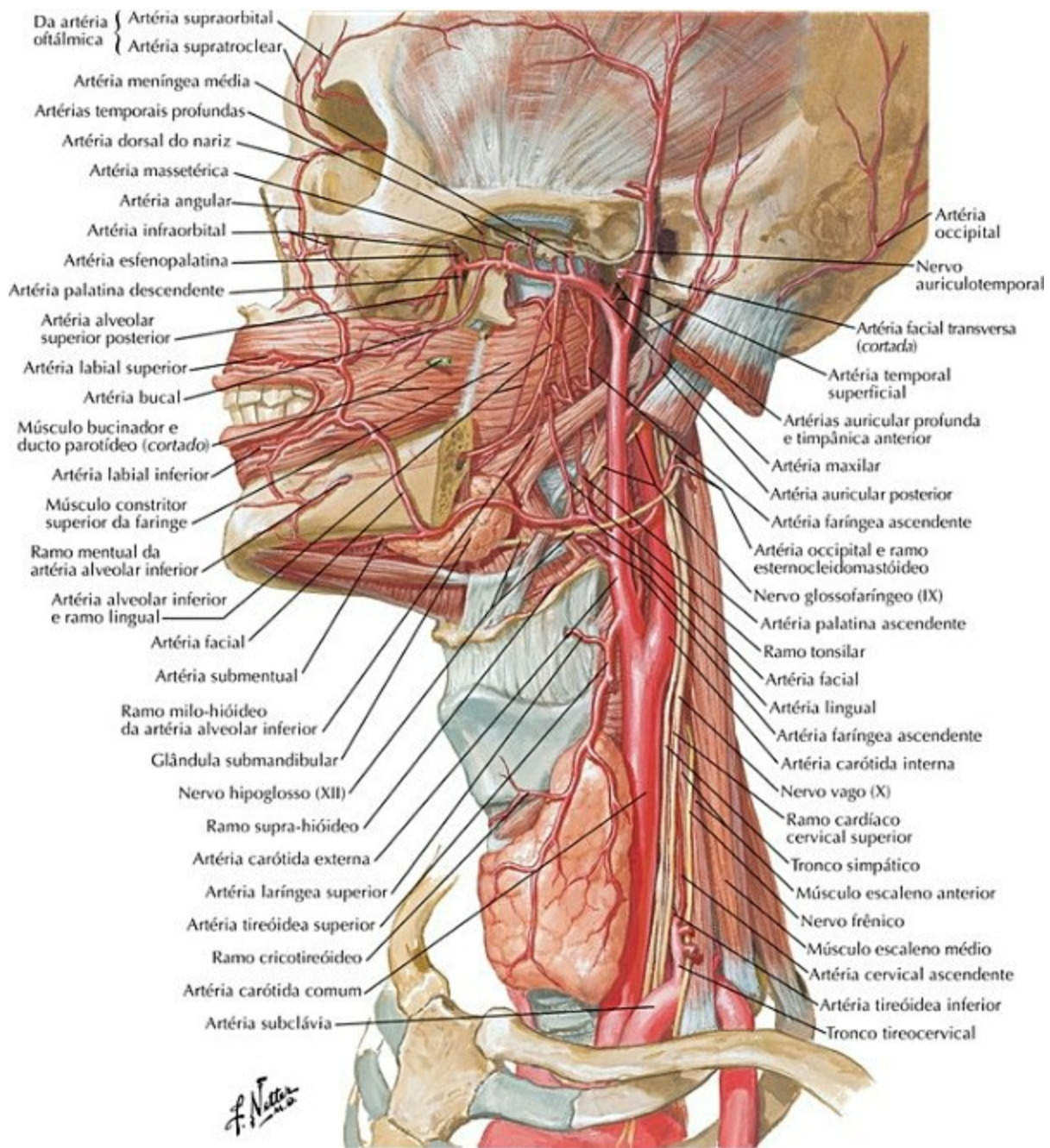
Nervos das Regiões Oral e Faríngea



PRANCHA 71 Faringe

Veja também **Pranchas 50, 123, 126**

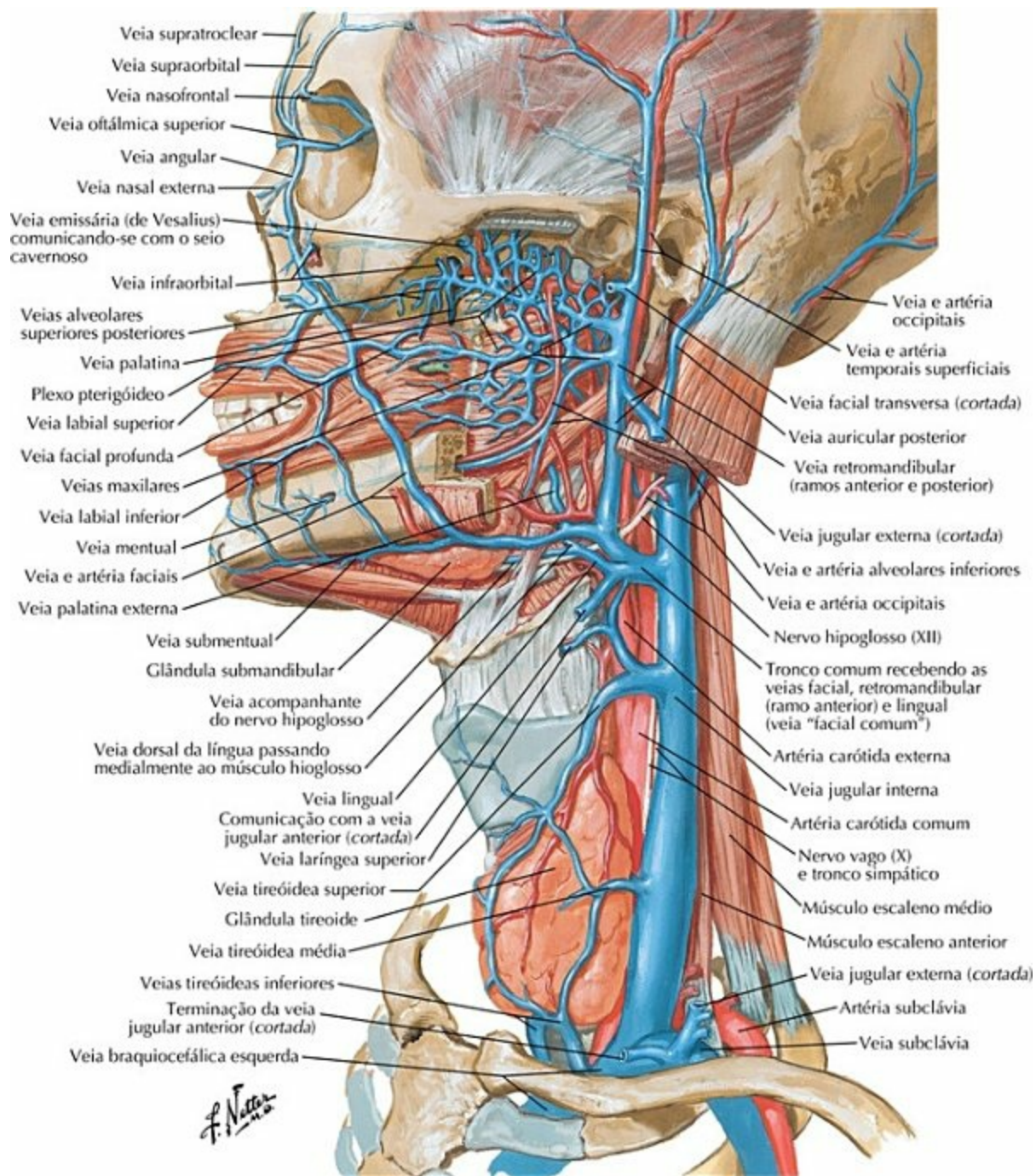
Artérias das Regiões Oral e Faríngea



PRANCHA 72 Faringe

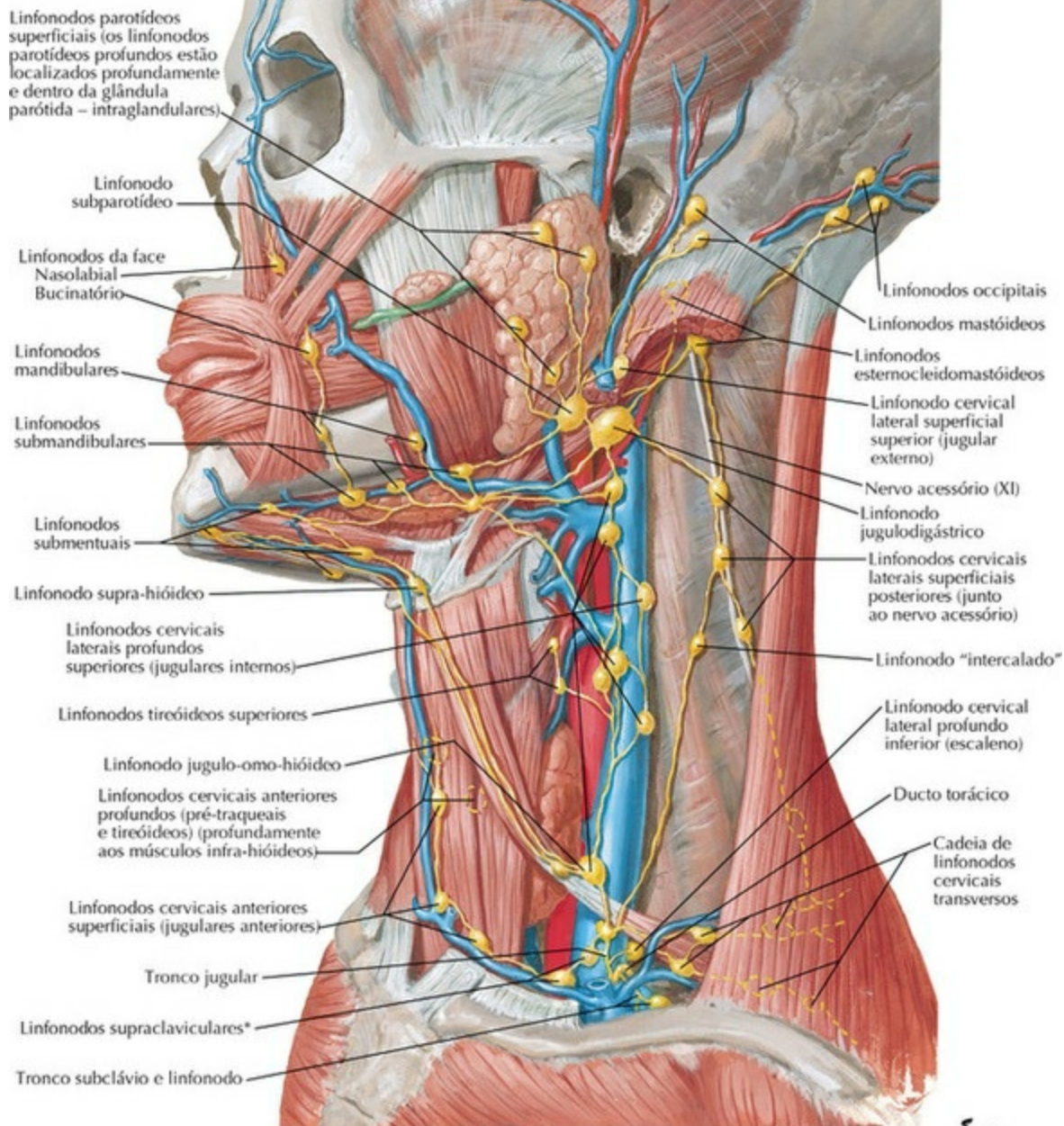
Veja também **Pranchas 34, 51**

Veias das Regiões Oral e Faríngea



PRANCHA 73 Faringe
Veja também **Prancha 74**

Vasos Linfáticos e Linfonodos da Cabeça e do Pescoço



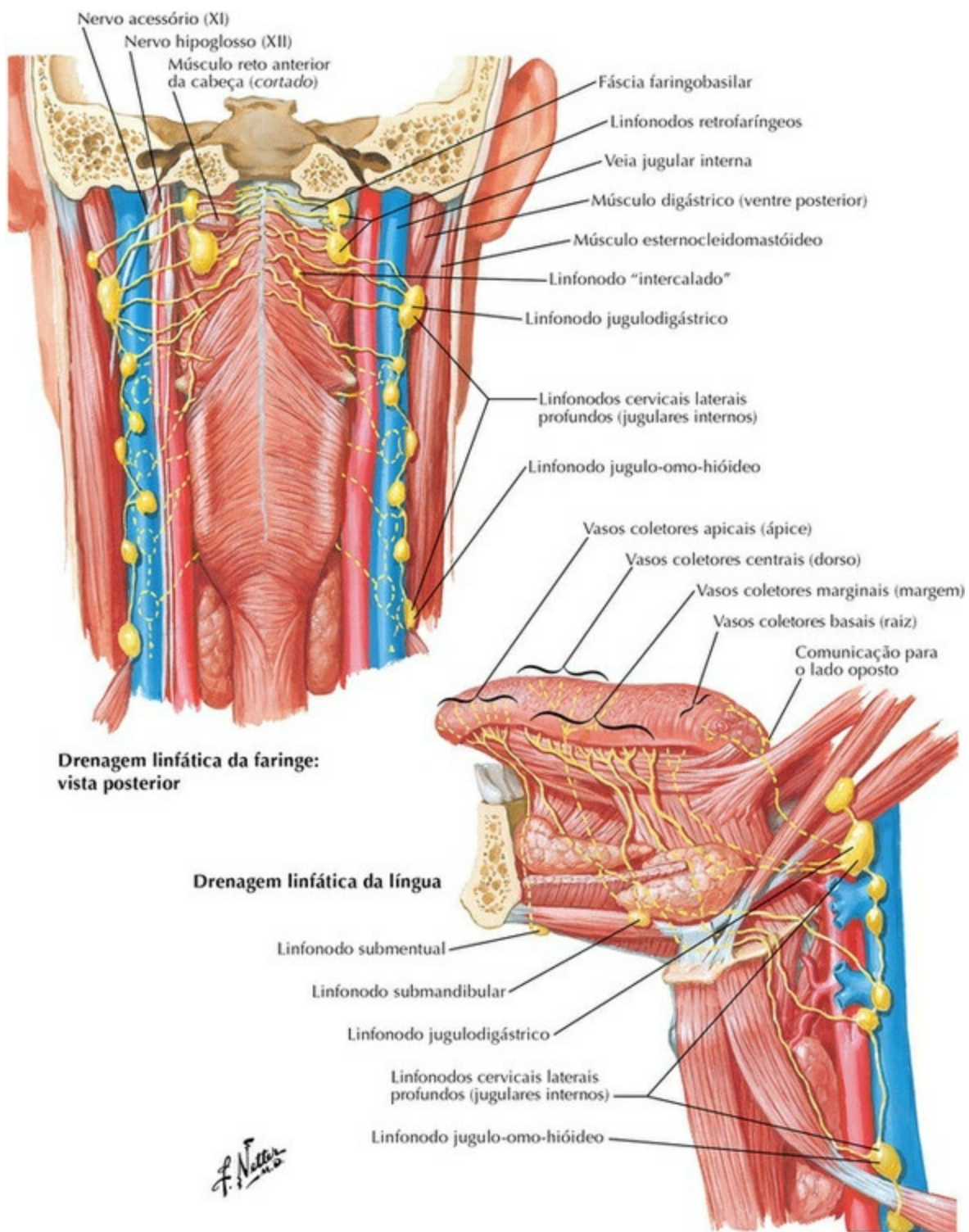
*O grupo de linfonodos supraclaviculares (também conhecido como grupo cervical profundo inferior), especialmente à esquerda, é às vezes referido como linfonodos sentinela ou sinalizadores de Virchow ou de Troisier, em especial quando suficientemente aumentados e palpáveis. Estes linfonodos (ou um linfonodo único) são assim denominados porque podem ser a primeira evidência supostamente reconhecida de doença maligna numa víscera.

Nota da Revisão Científica: Alguns termos utilizados não constam da Terminologia Anatômica (2001), mas foram preservados porque são descritivos.

PRANCHA 74 Faringe

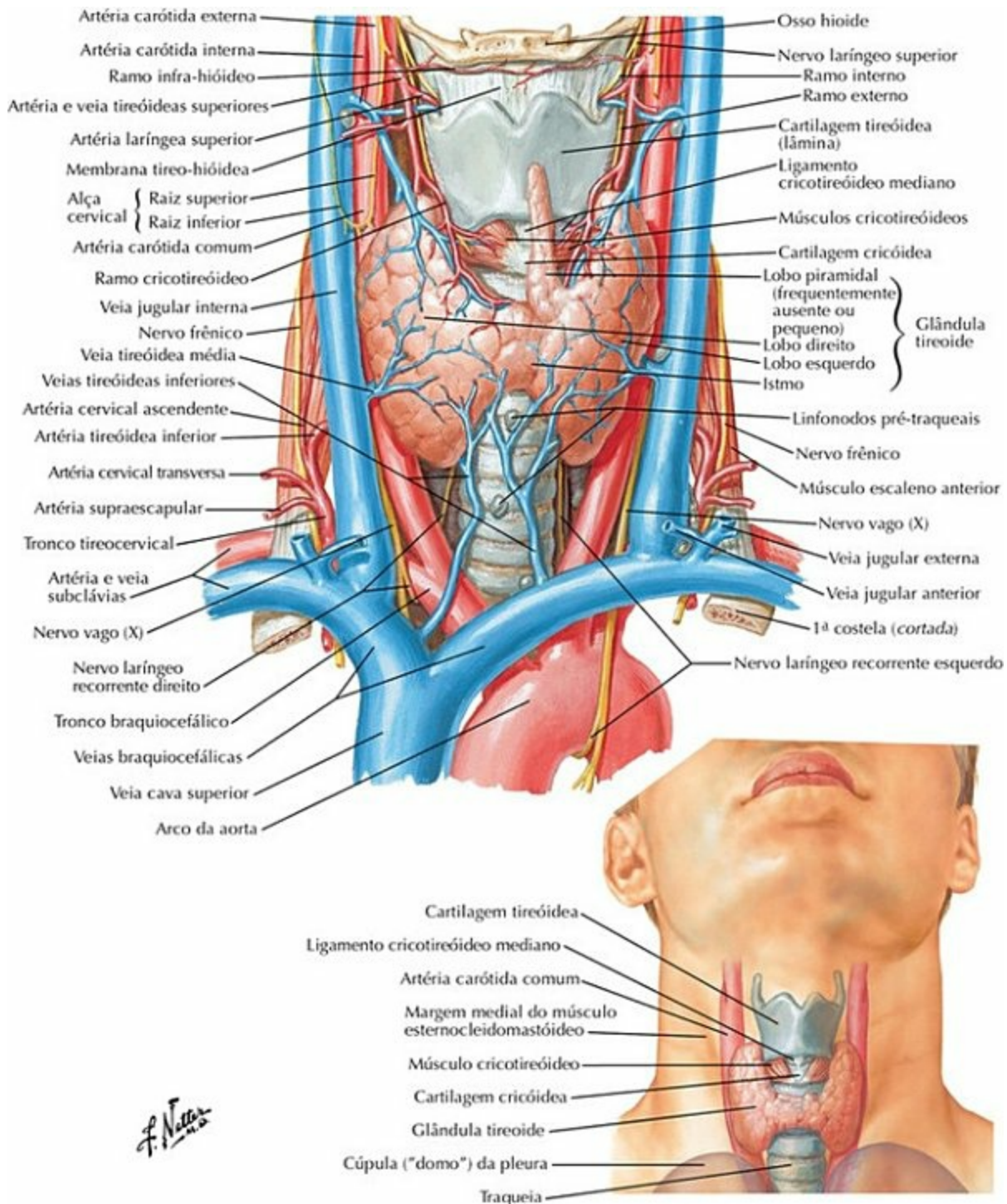
Veja também **Pranchas 73, 105**

Vasos Linfáticos e Linfonodos da Faringe e da Língua



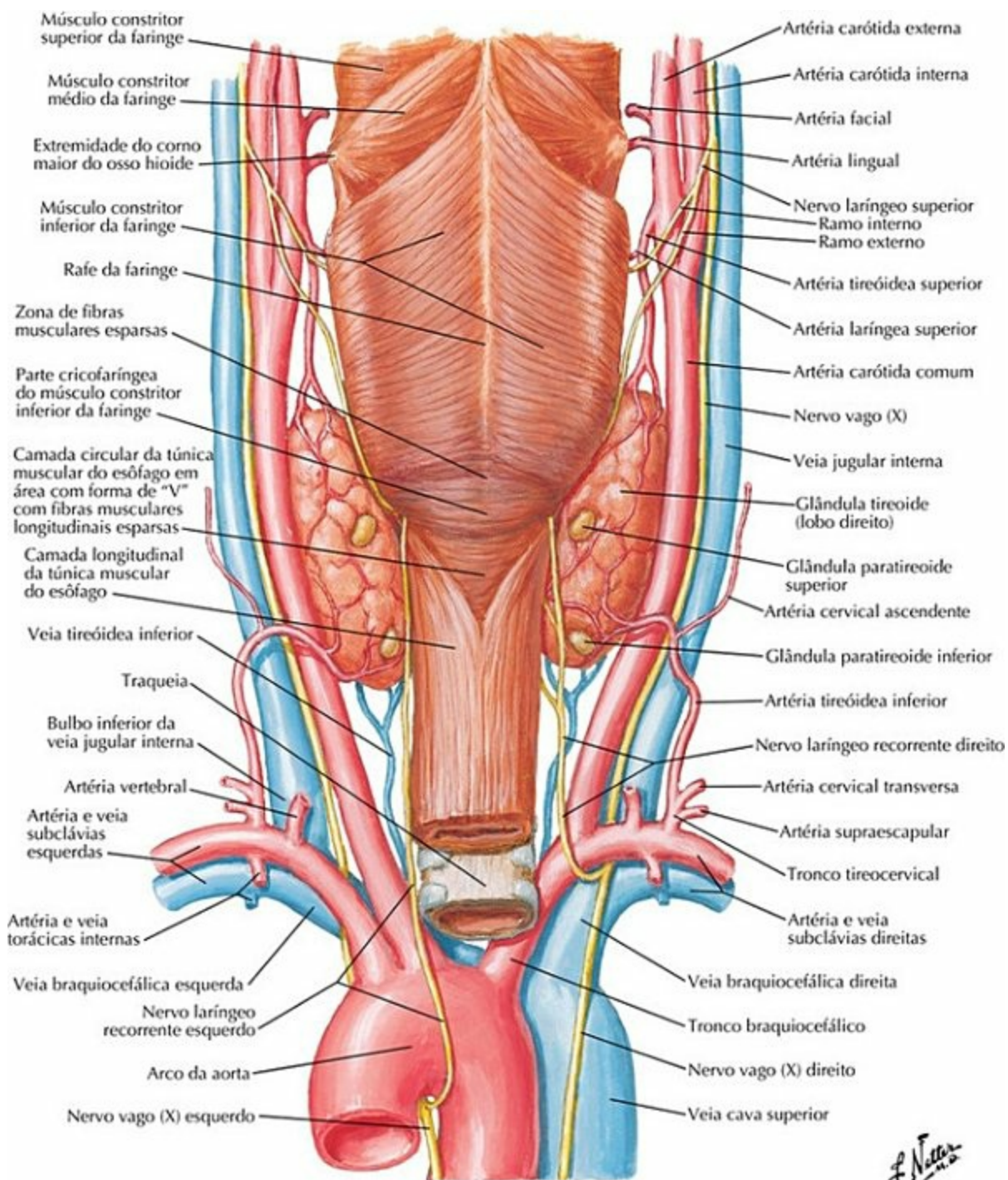
PRANCHA 75 Faringe

Glândula Tireoide: Vista Anterior



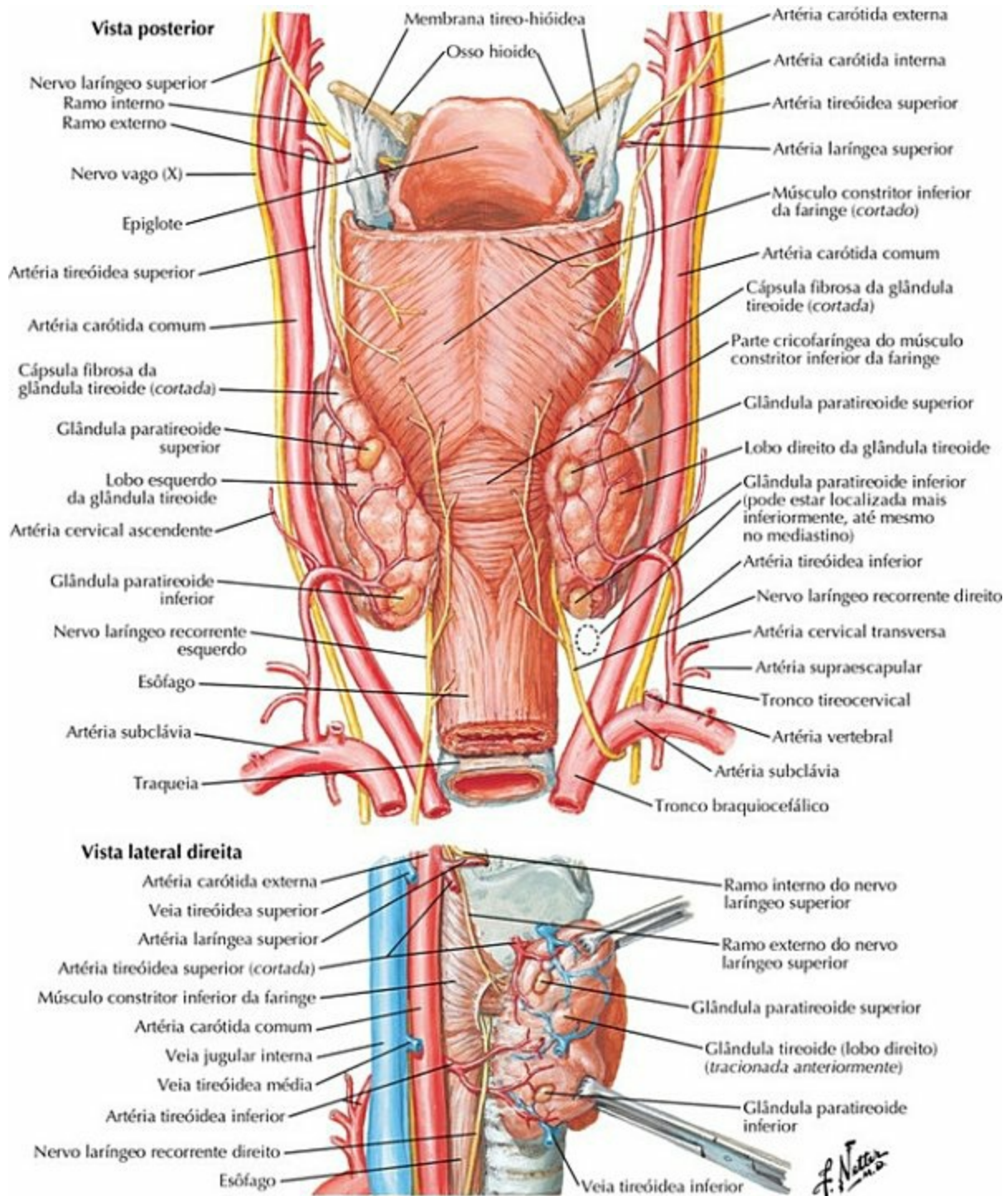
PRANCHA 76 Glândula Tireoide e Laringe

Glândula Tireoide e Faringe: Vista Posterior



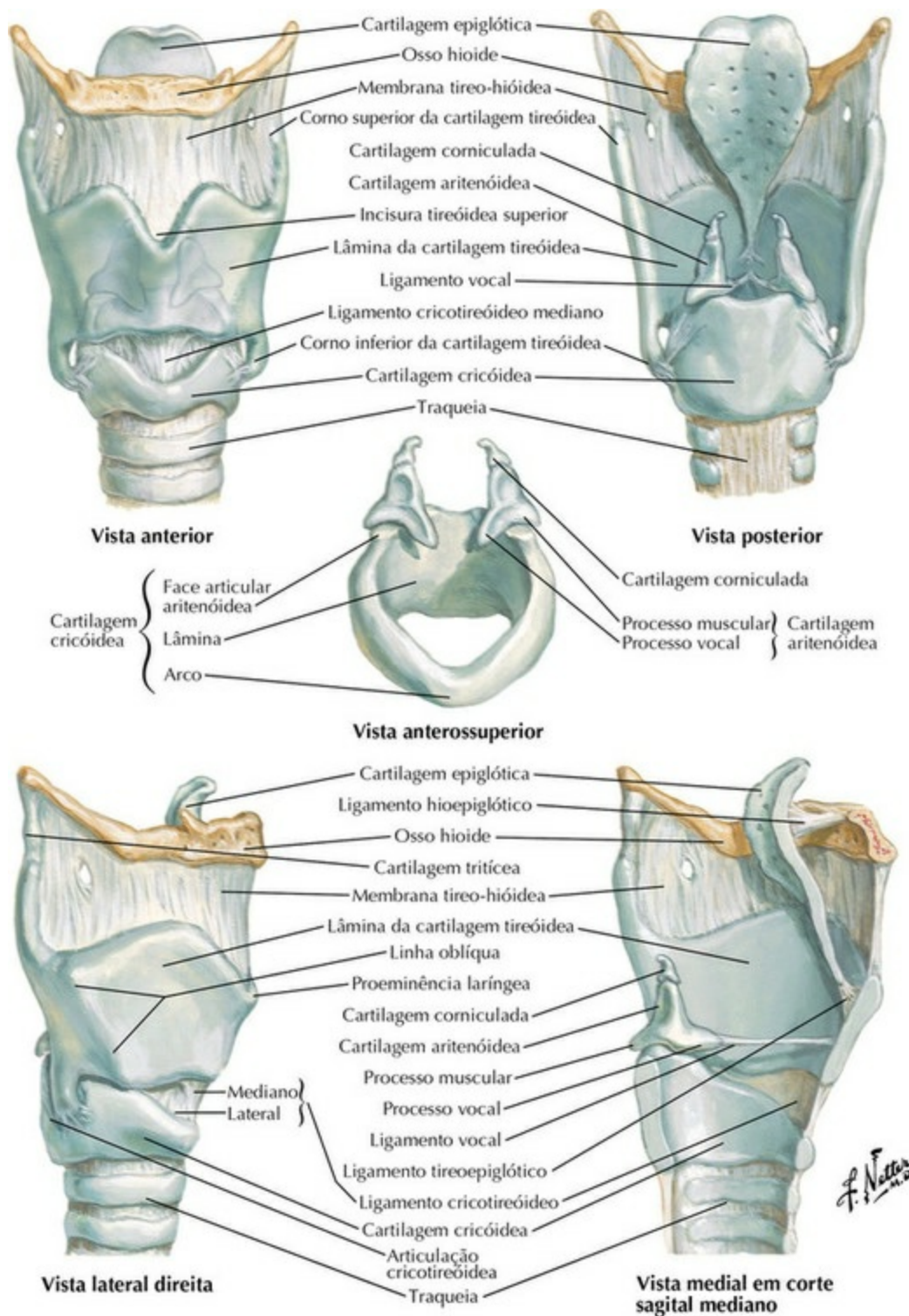
PRANCHA 77 Glândula Tireoide e Laringe
Veja também **Prancha 78**

Glândulas Paratireoides



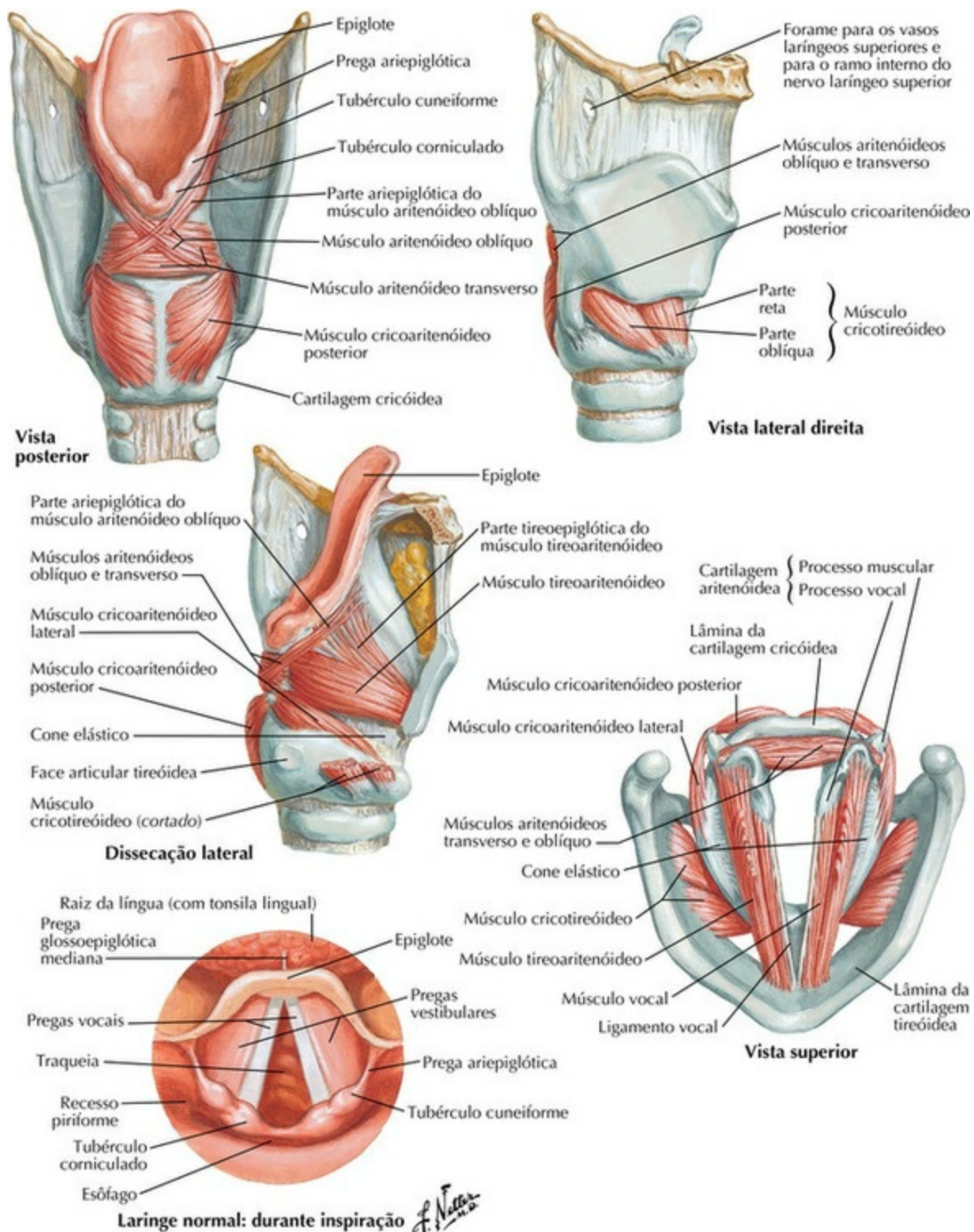
PRANCHA 78 Glândula Tireoide e Laringe
Veja também **Pranchas 69, 77, 82**

Cartilagens da Laringe



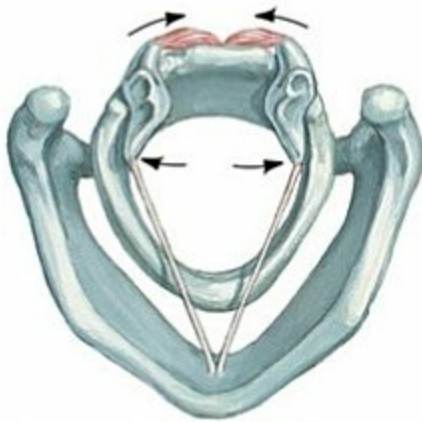
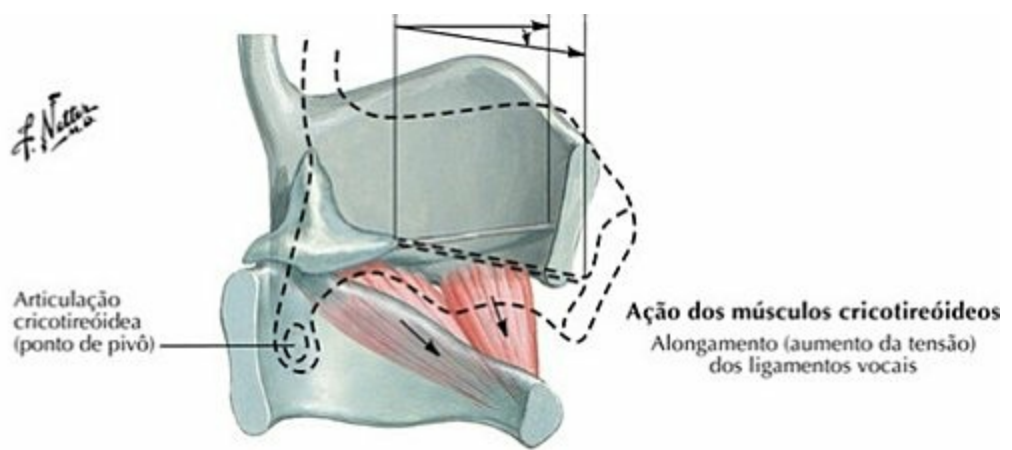
PRANCHA 79 Glândula Tireoide e Laringe
 Veja também **Pranchas 80, 81, 82**

Músculos (Intrínsecos) da Laringe

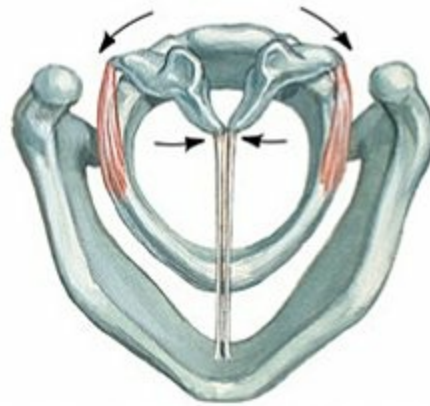


PRANCHA 80 Glândula Tireoide e Laringe
Veja também **Pranchas 79, 81, 82**

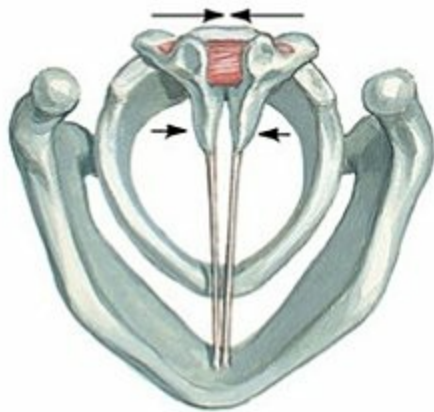
Ação dos Músculos (Intrínsecos) da Laringe



Ação dos músculos cricoaritenóideos posteriores
Abdução dos ligamentos vocais



Ação dos músculos cricoaritenóideos laterais
Adução dos ligamentos vocais



Ação dos músculos aritenóideos transverso e oblíquo
Adução dos ligamentos vocais

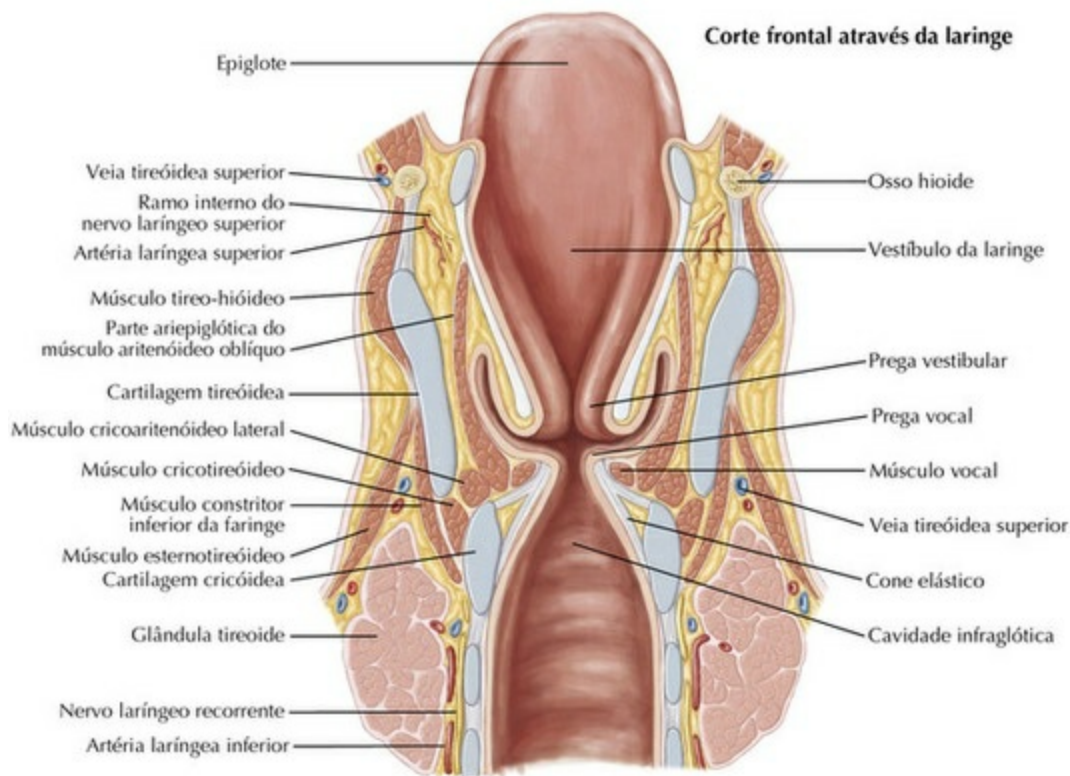
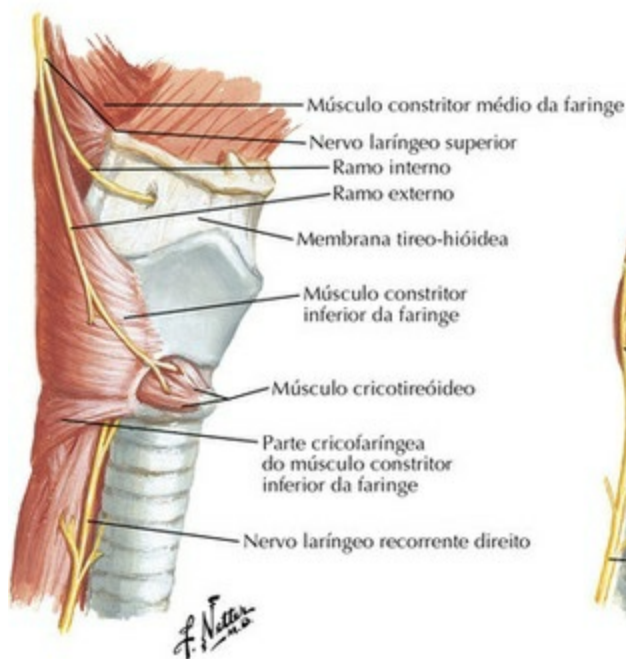


Ação dos músculos vocais e tireoaritenóideos
Encurtamento (relaxamento) dos ligamentos vocais

PRANCHA 81 Glândula Tireoide e Laringe

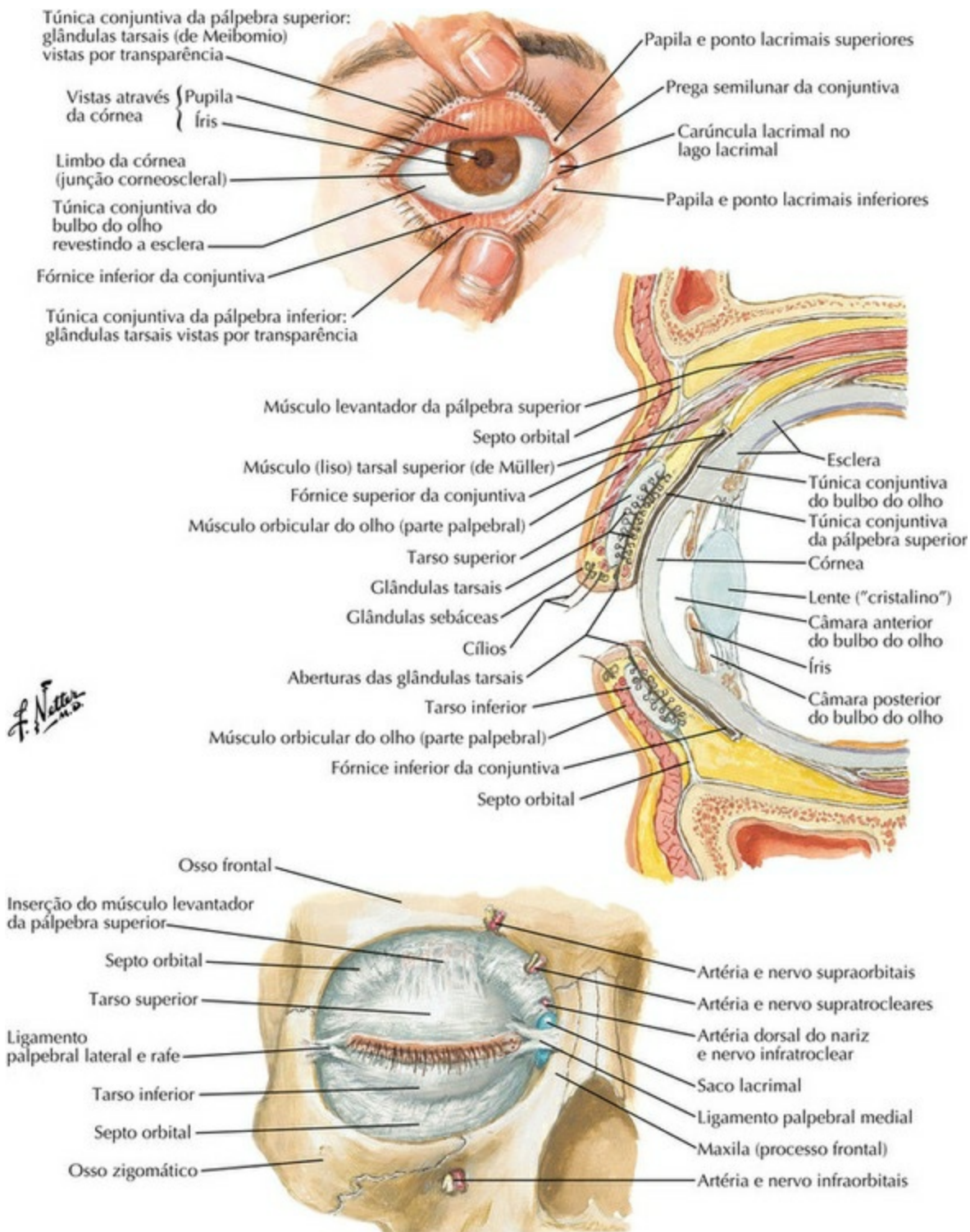
Veja também **Pranchas 79, 80, 82**

Nervos da Laringe



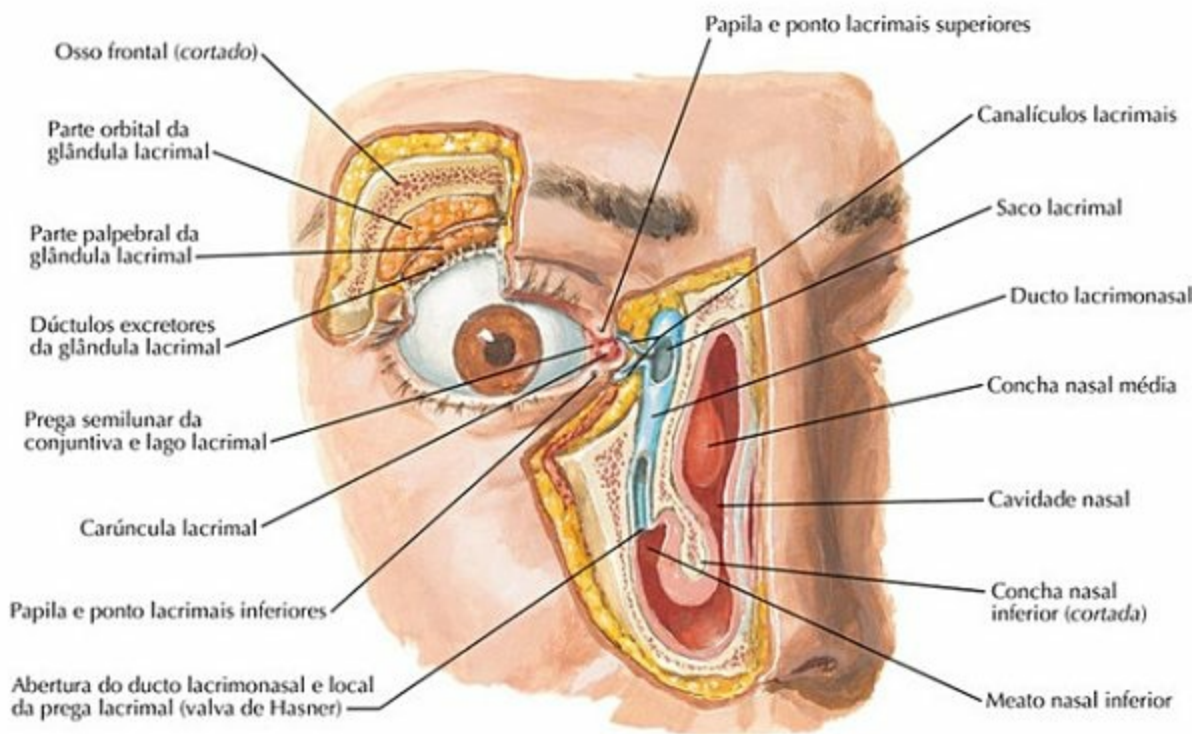
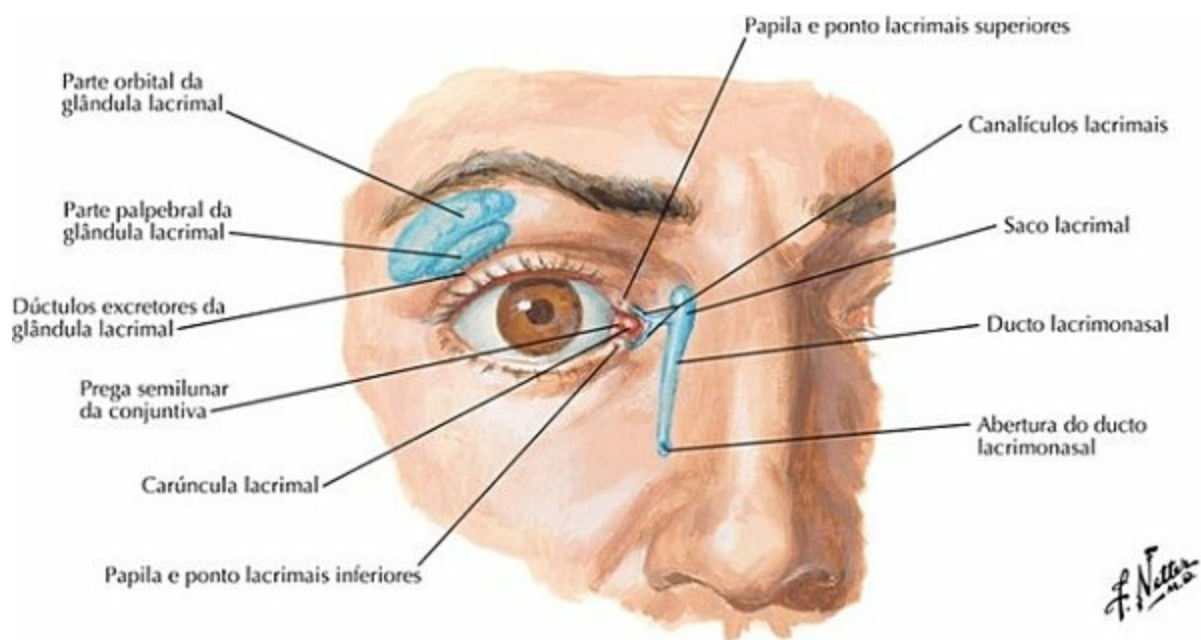
PRANCHA 82 Glândula Tireoide e Laringe
 Veja também **Pranchas 79, 80, 81**

Pálpebras



PRANCHA 83 Órbita e Conteúdo

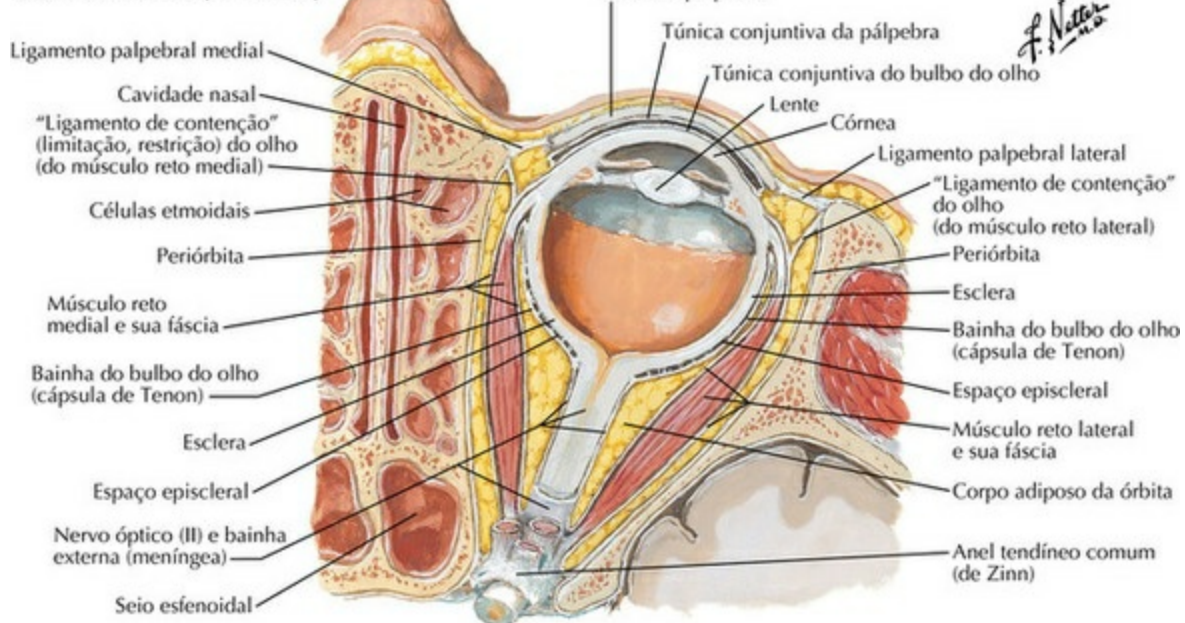
Aparelho Lacrimal



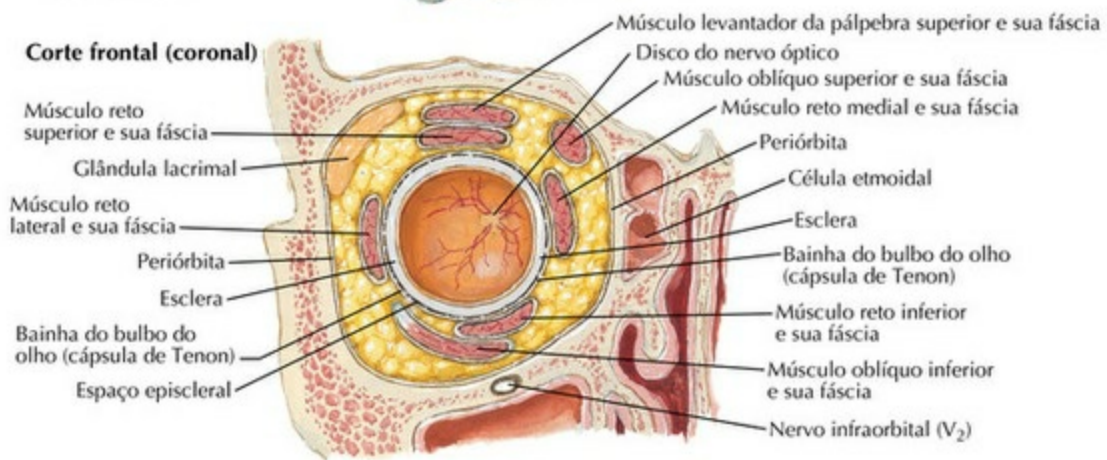
PRANCHA 84 Órbita e Conteúdo
 Veja também **Prancha 134**

Fáscias da Órbita e do Bulbo do Olho

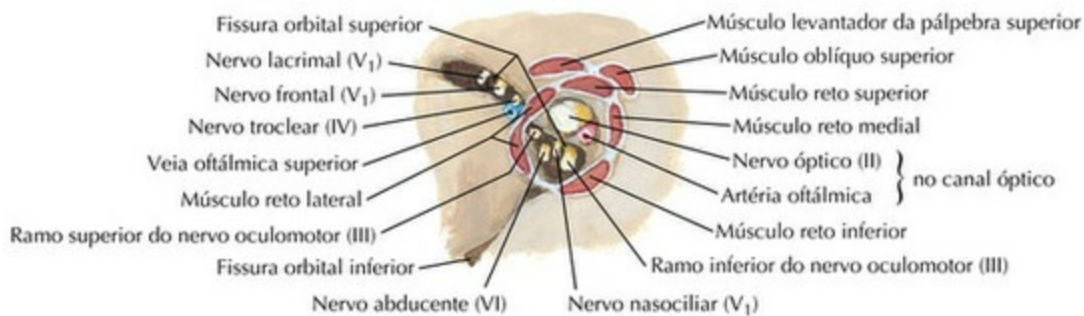
Corte transversal (horizontal)



Corte frontal (coronal)



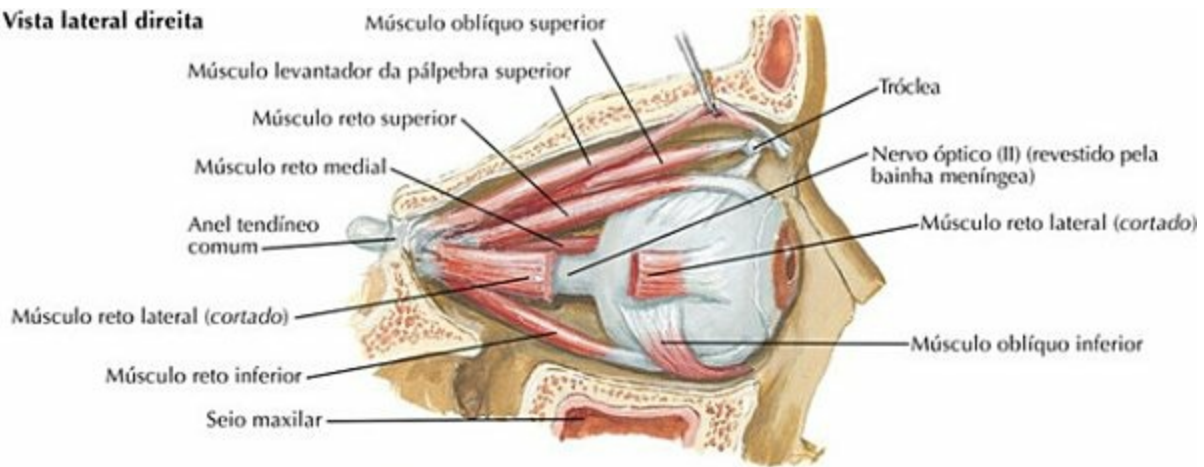
Inserções musculares, nervos e vasos entrando na órbita



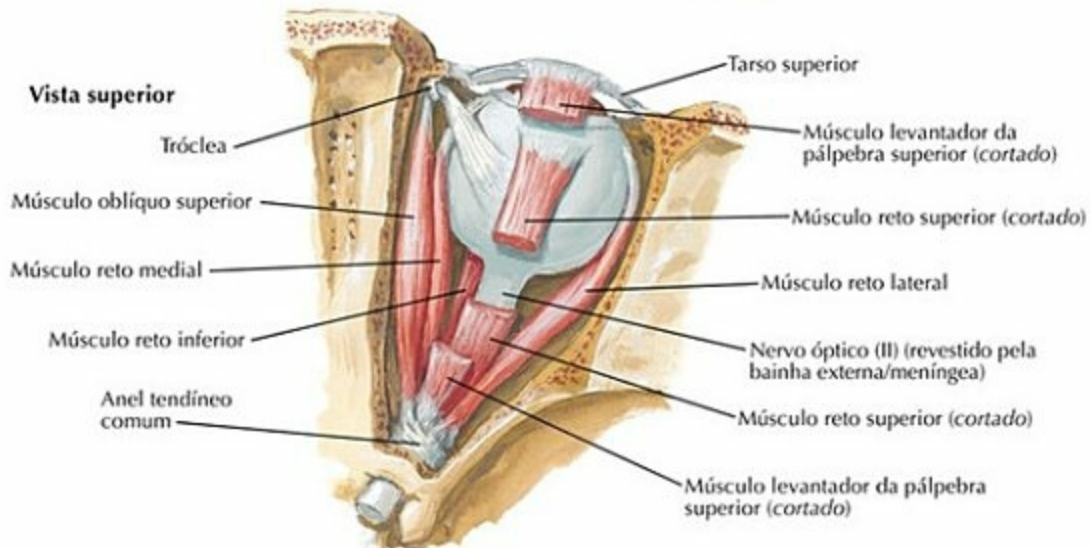
PRANCHA 85 Órbita e Conteúdo

Músculos Extrínsecos do Bulbo do Olho

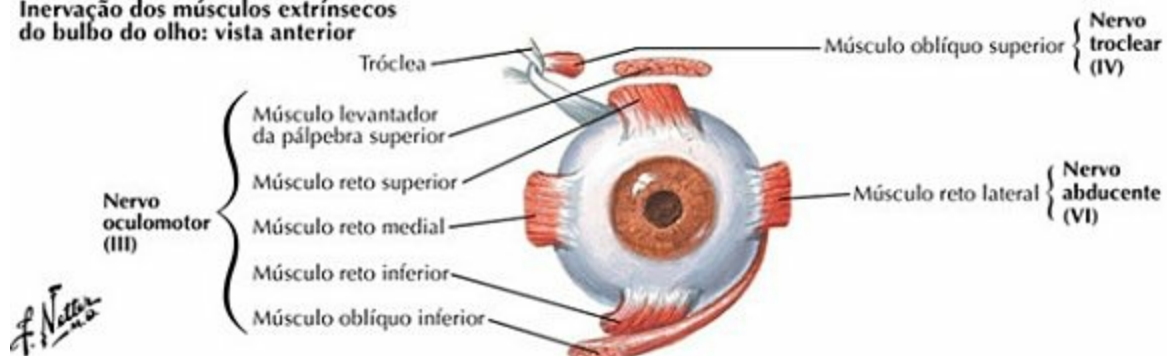
Vista lateral direita



Vista superior

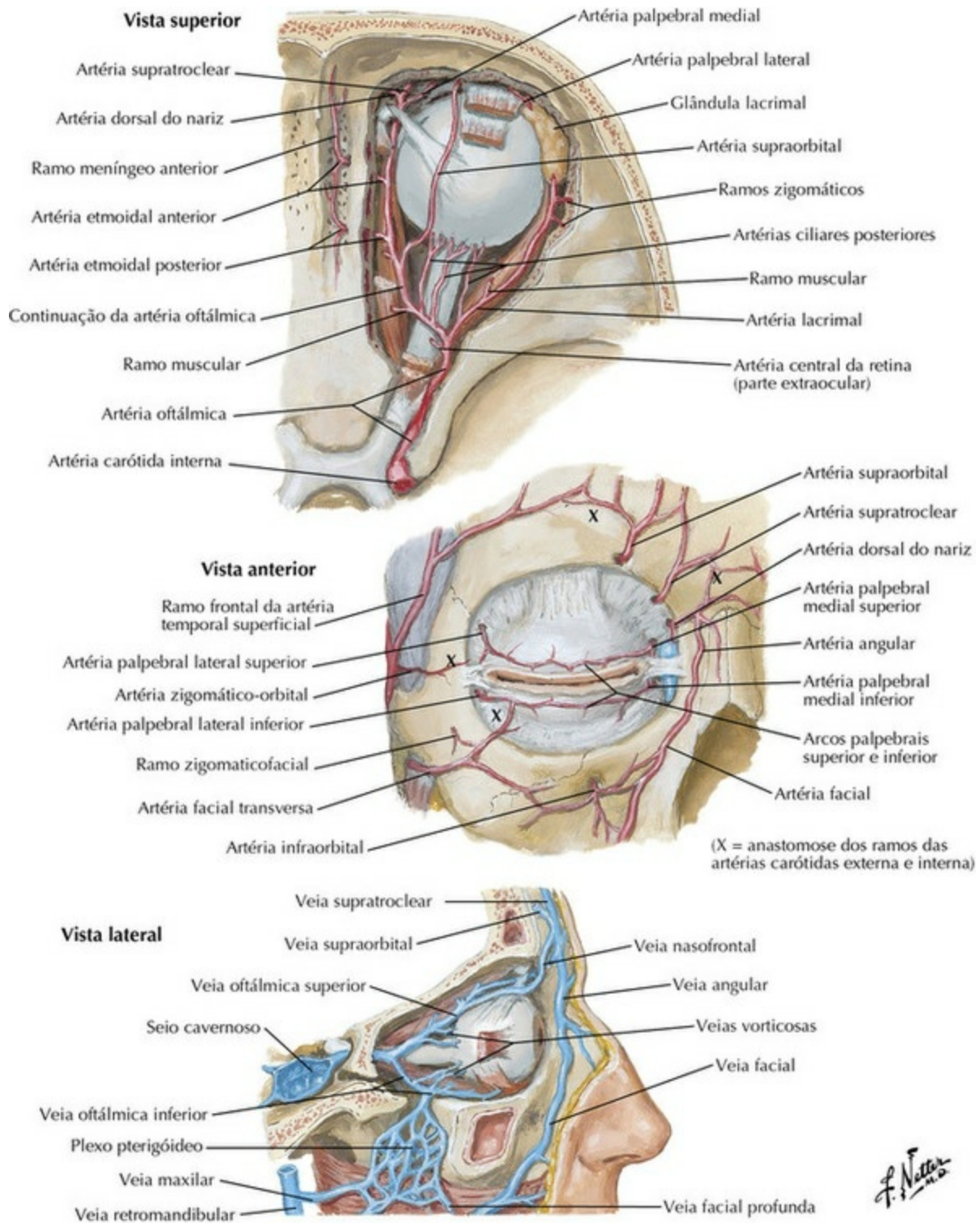


Inervação dos músculos extrínsecos do bulbo do olho: vista anterior



PRANCHA 86 Órbita e Conteúdo

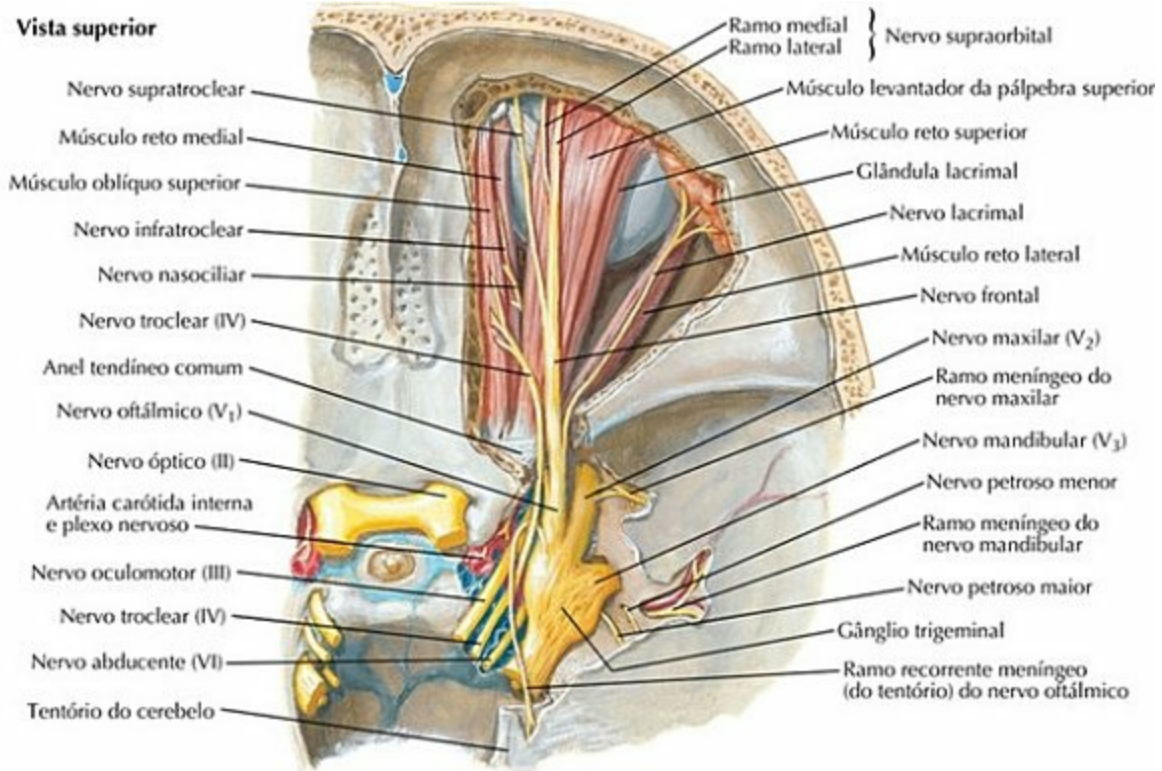
Artérias e Veias da Órbita e das Pálpebras



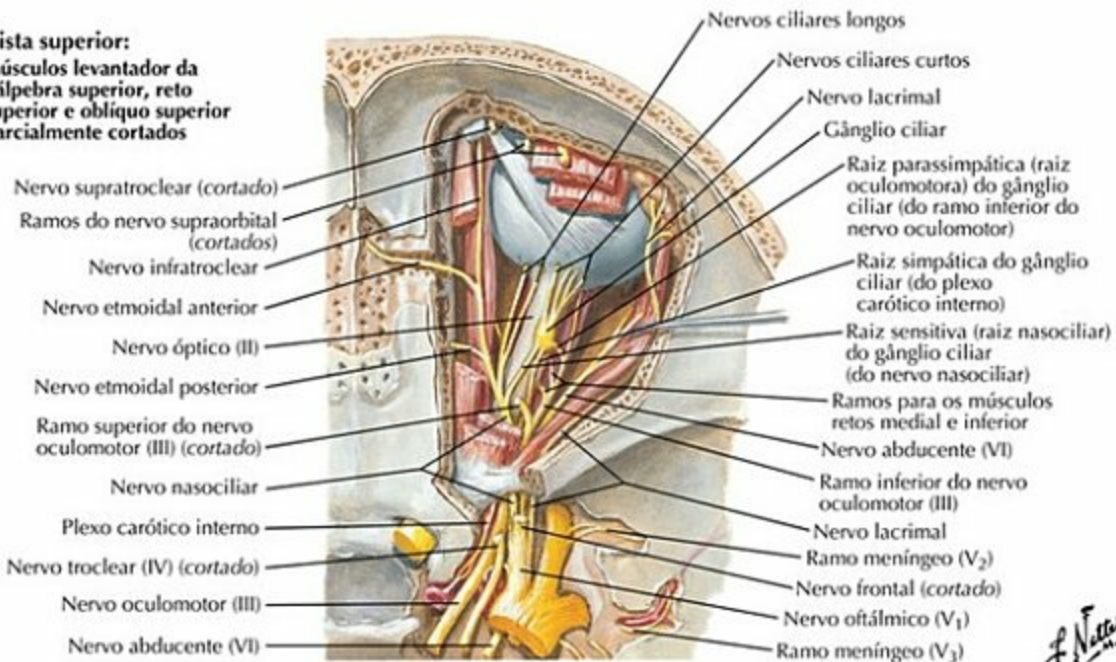
PRANCHA 87 Órbita e Conteúdo
Veja também **Pranchas 3, 105**

Nervos da Órbita

Vista superior



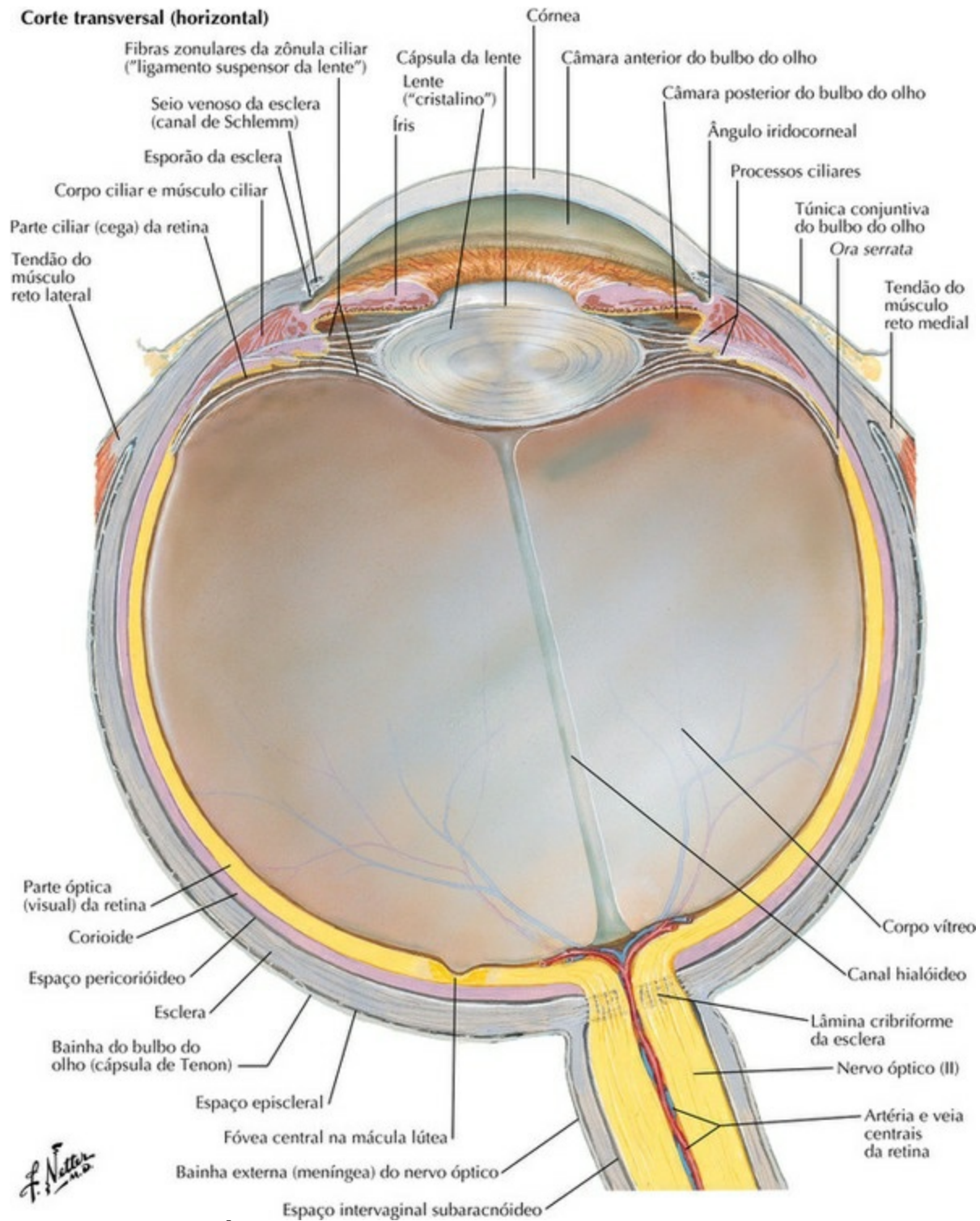
Vista superior: músculos levantador da pálpebra superior, reto superior e oblíquo superior parcialmente cortados



PRANCHA 88 Órbita e Conteúdo
Veja também **Pranchas 52, 122, 123**

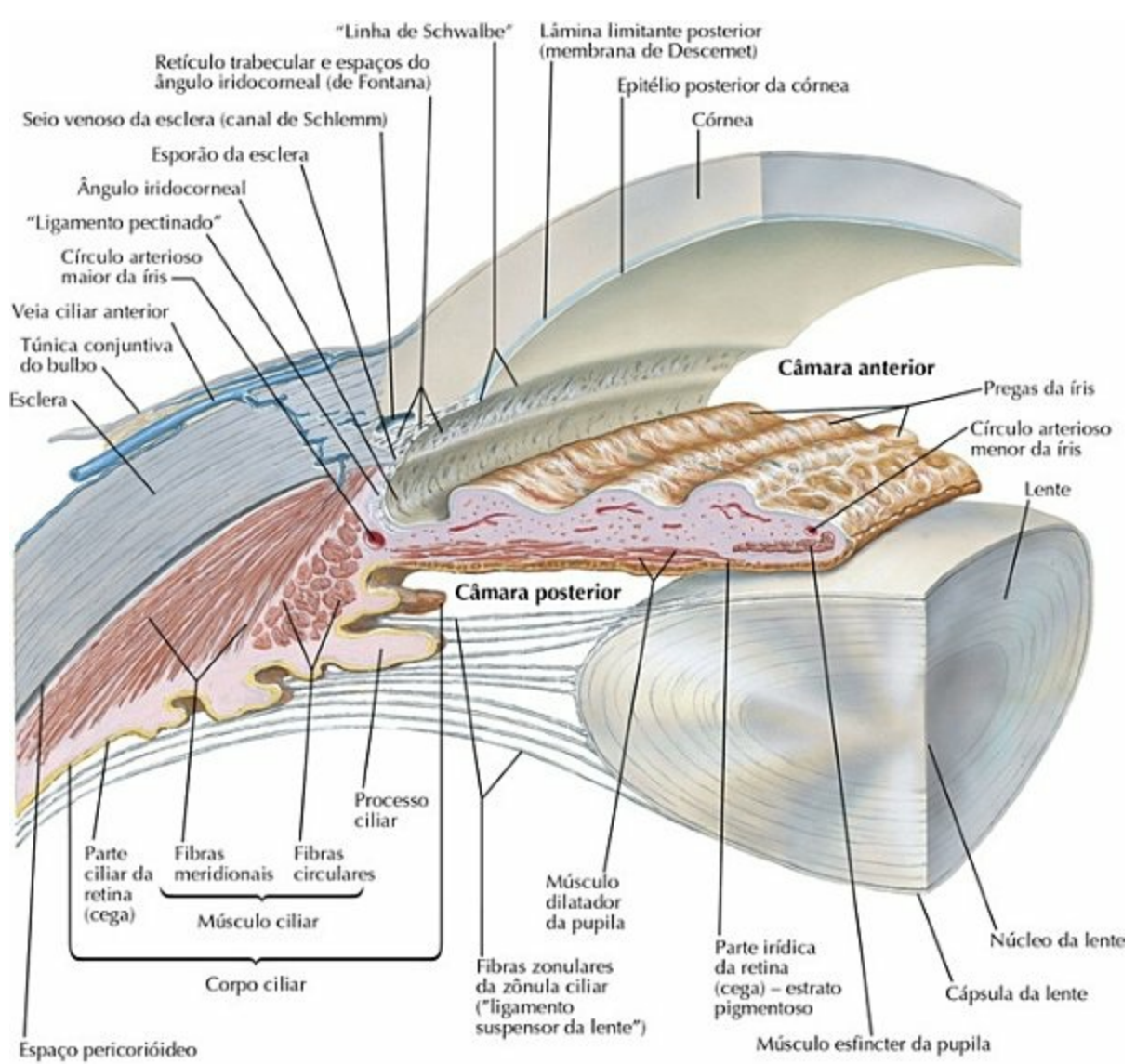
Bulbo do Olho

Corte transversal (horizontal)



PRANCHA 89 Órbita e Conteúdo

Câmaras Anterior e Posterior do Bulbo do Olho

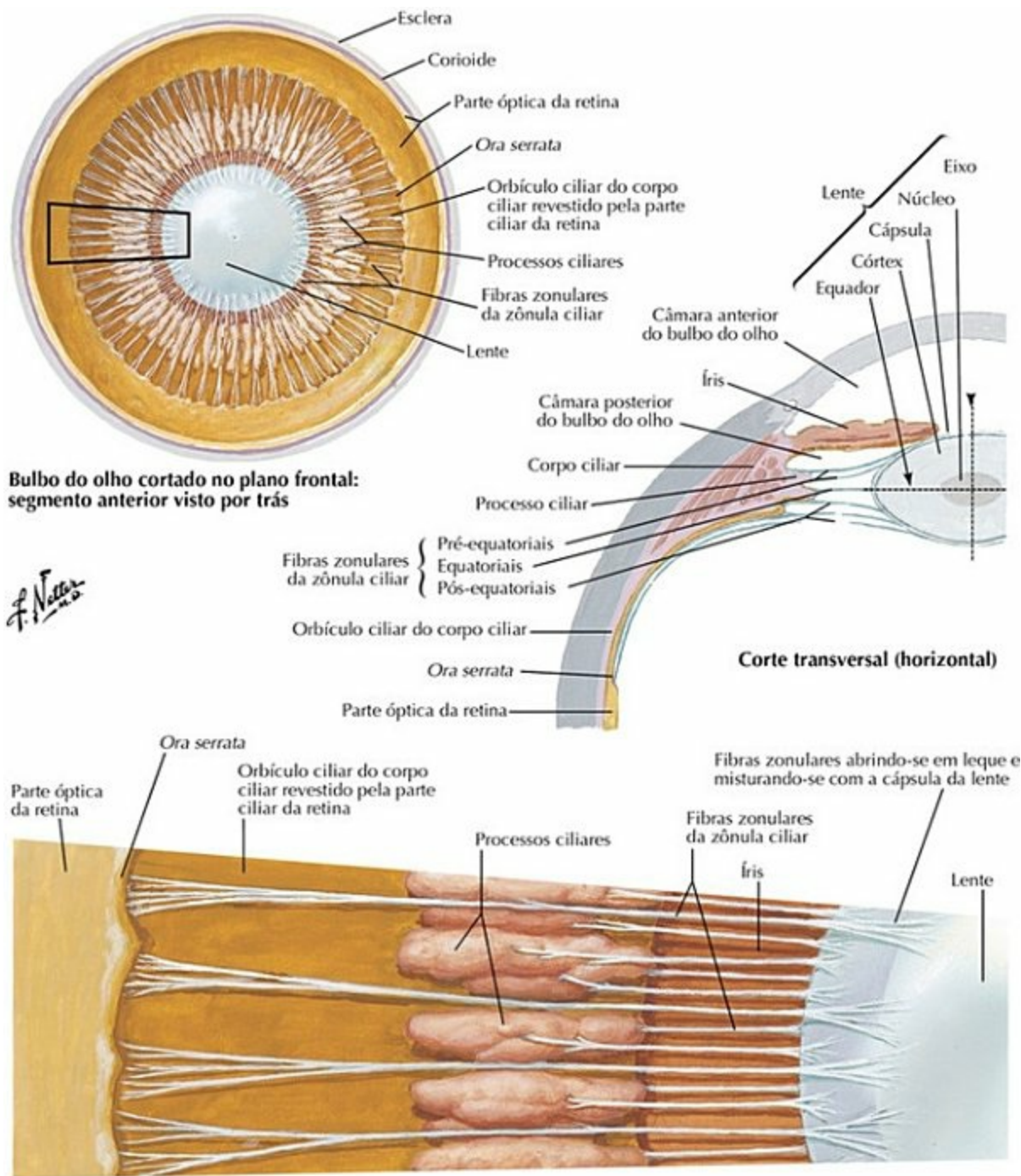


Nota: Para maior clareza, apenas um plano único de fibras zonulares é mostrado; na verdade, as fibras circundam toda a circunferência da lente.

F. Netto

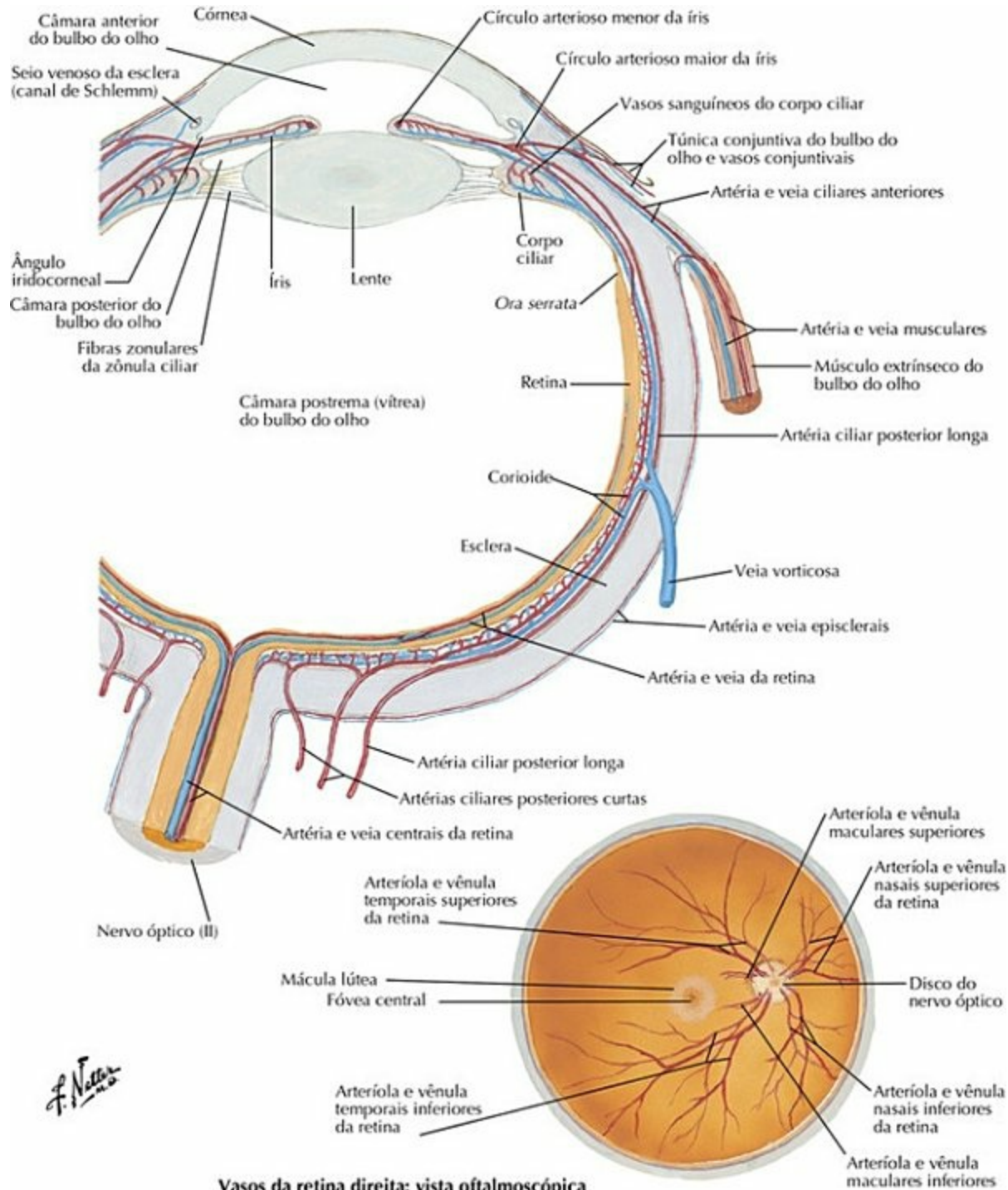
PRANCHA 90 Órbita e Conteúdo

Lente e Estruturas de Sustentação



PRANCHA 91 Órbita e Conteúdo

Artérias e Veias (Intrínsecas) do Bulbo do Olho

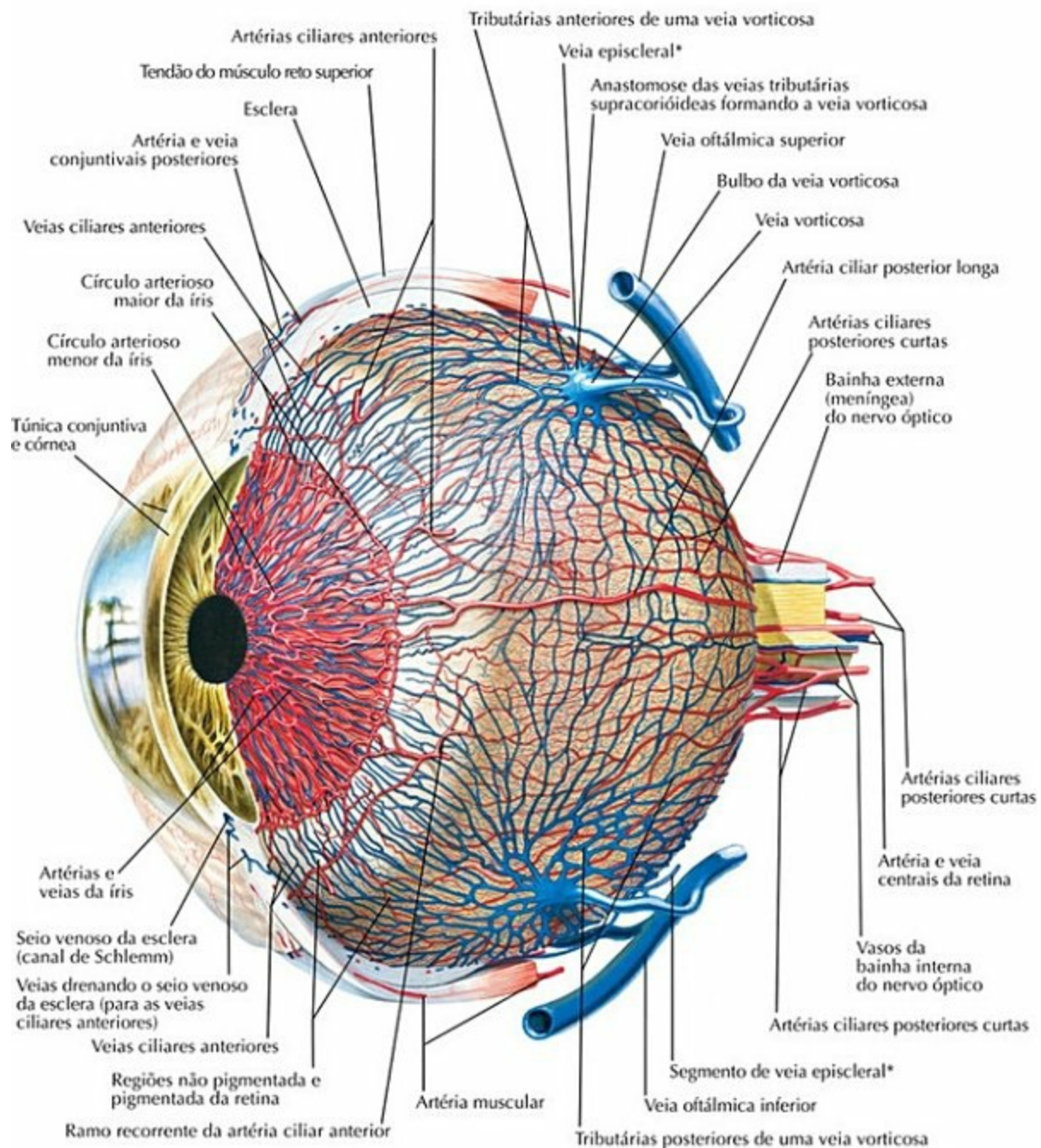


Vasos da retina direita: vista oftalmoscópica

PRANCHA 92 Órbita e Conteúdo

Suprimento Vascular do Bulbo do Olho

Arranjos vasculares na corioide (túnica vascular) do bulbo do olho

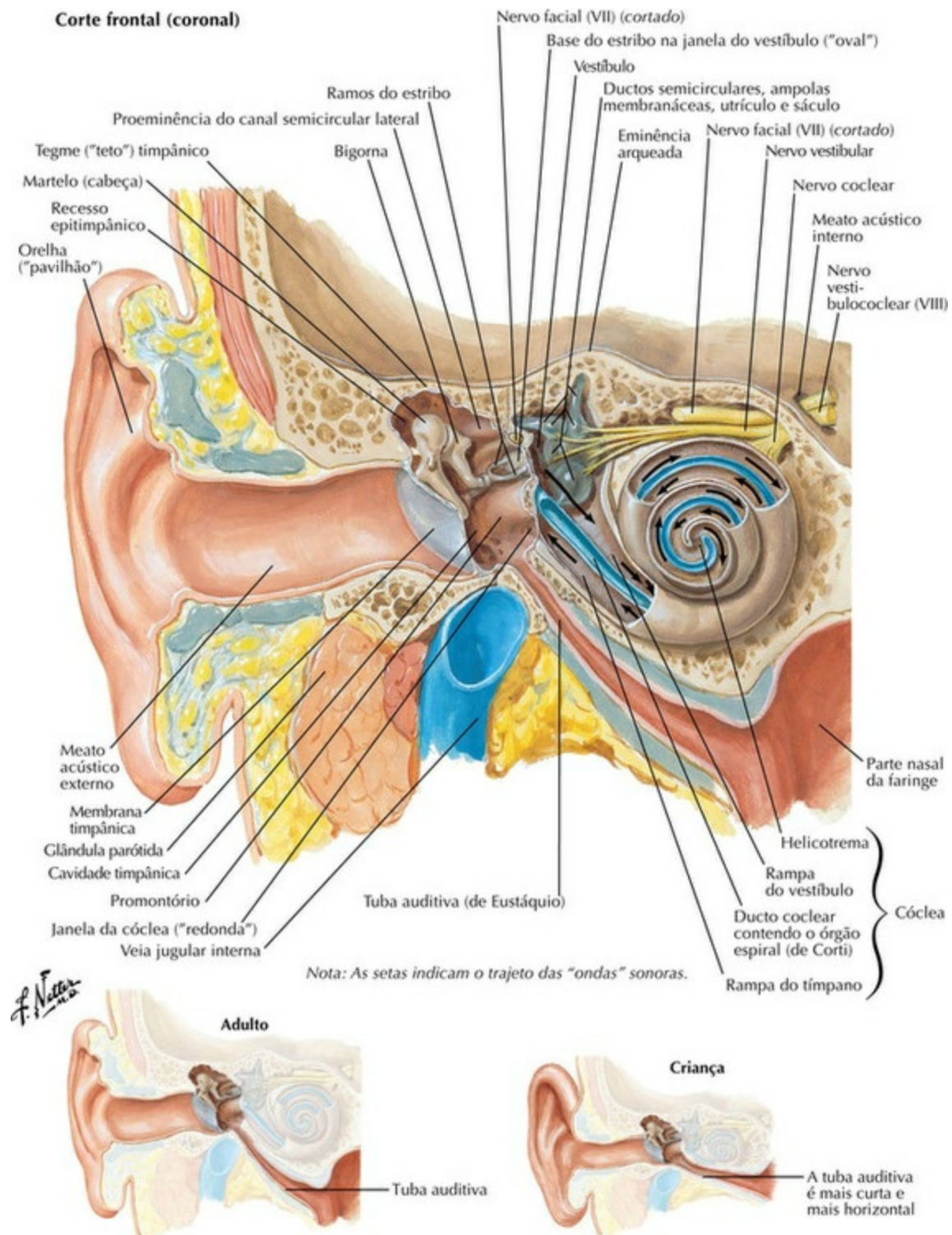


*As veias episclerais são mostradas aqui anastomosando-se com as veias vorticosas, o que elas fazem; entretanto, elas também drenam para as veias ciliares anteriores.

C. Machado
1980

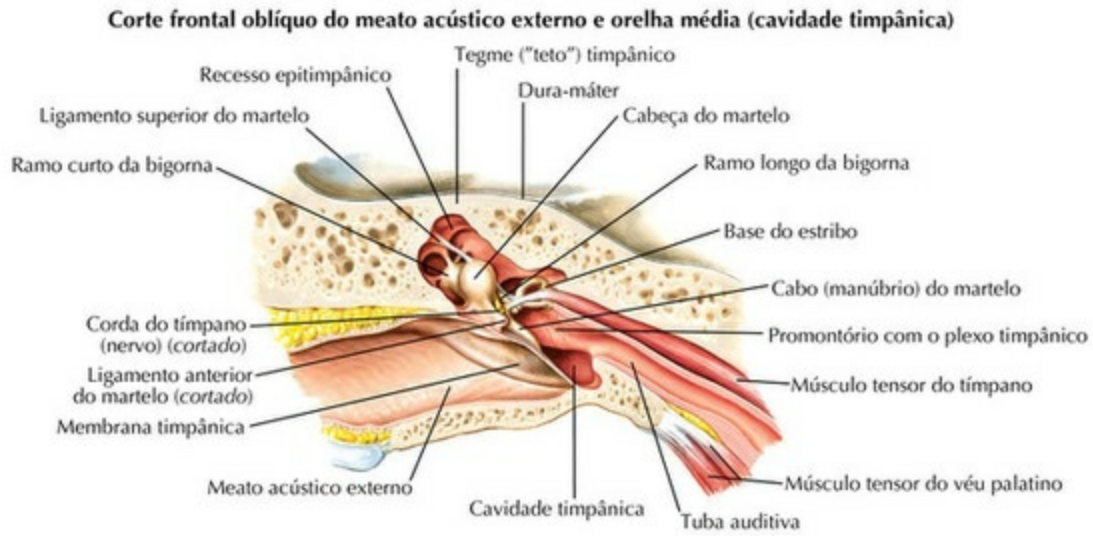
PRANCHA 93 Órbita e Conteúdo

Via da Recepção Sonora



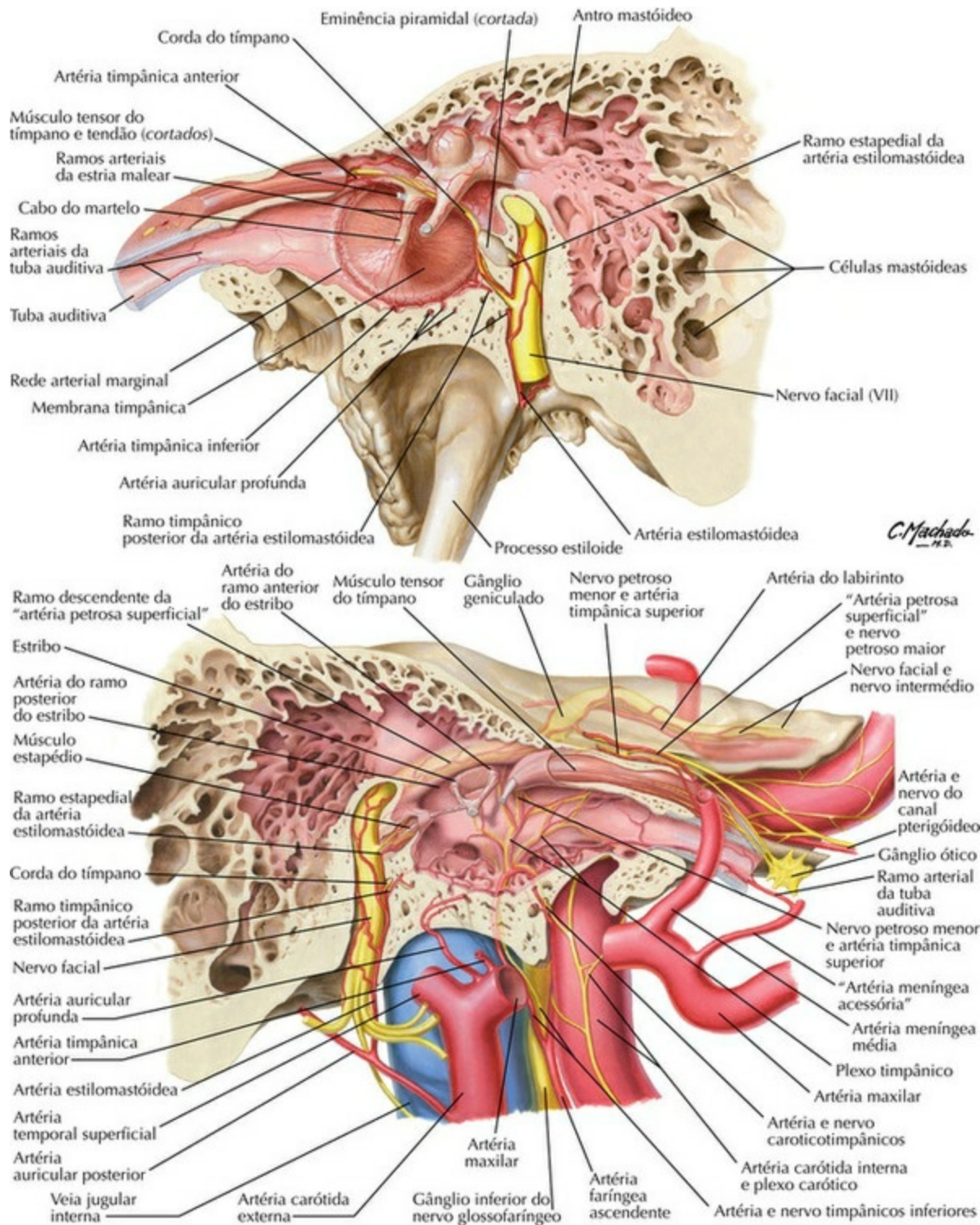
PRANCHA 94 Orelha

Orelha Externa e Orelha Média (Cavidade Timpânica)



PRANCHA 95 Orelha

Orelha Média (Cavidade Timpânica)

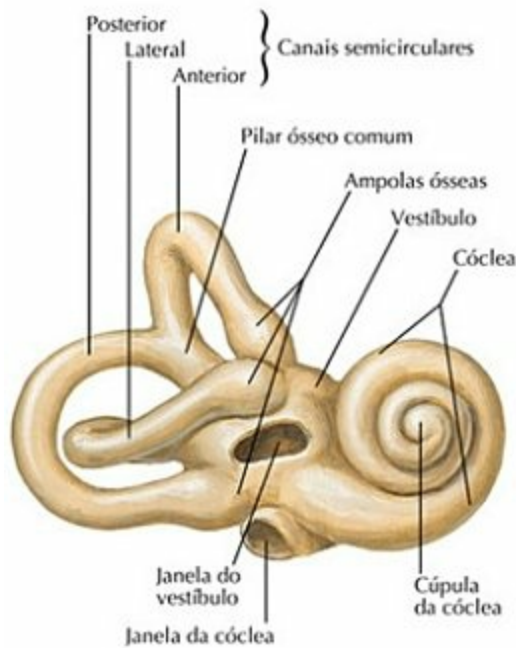


PRANCHA 96 Orelha

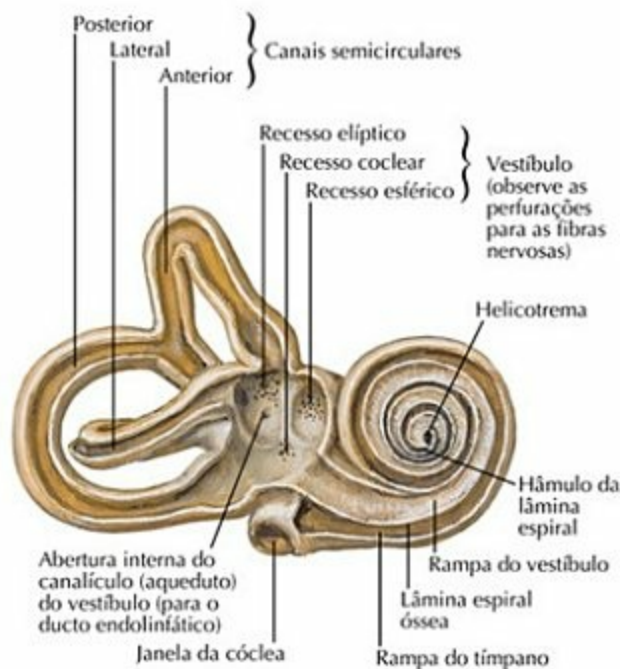
Veja também **Pranchas 50, 124, 136**

Labirintos Ósseo e Membranáceo

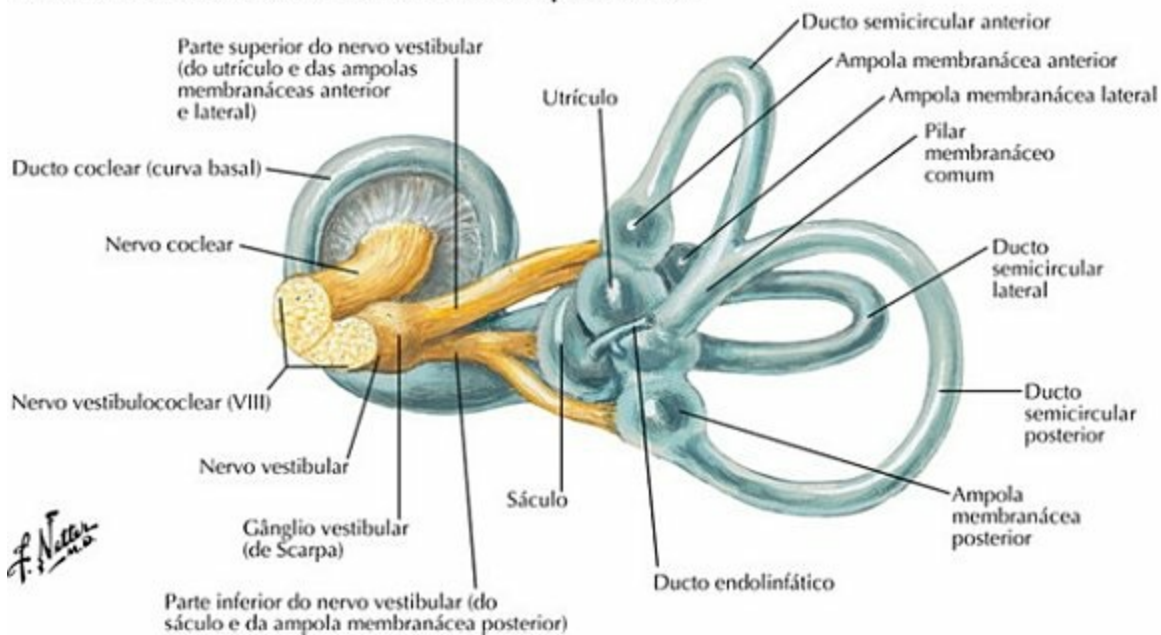
Labirinto ósseo direito (cápsula ótica), vista anterolateral: substância óssea esponjosa circundante removida



Labirinto ósseo direito dissecado (cápsula ótica): labirinto membranáceo removido



Labirinto membranáceo direito com os nervos: vista posteromedial

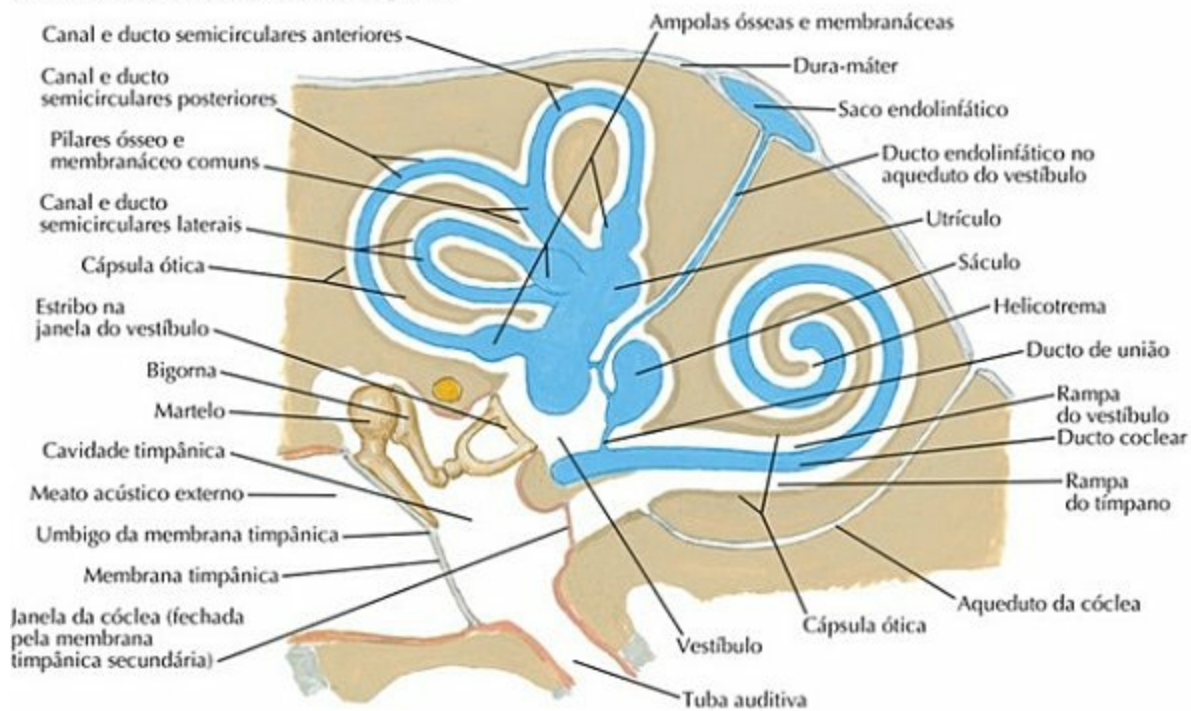


PRANCHA 97 Orelha

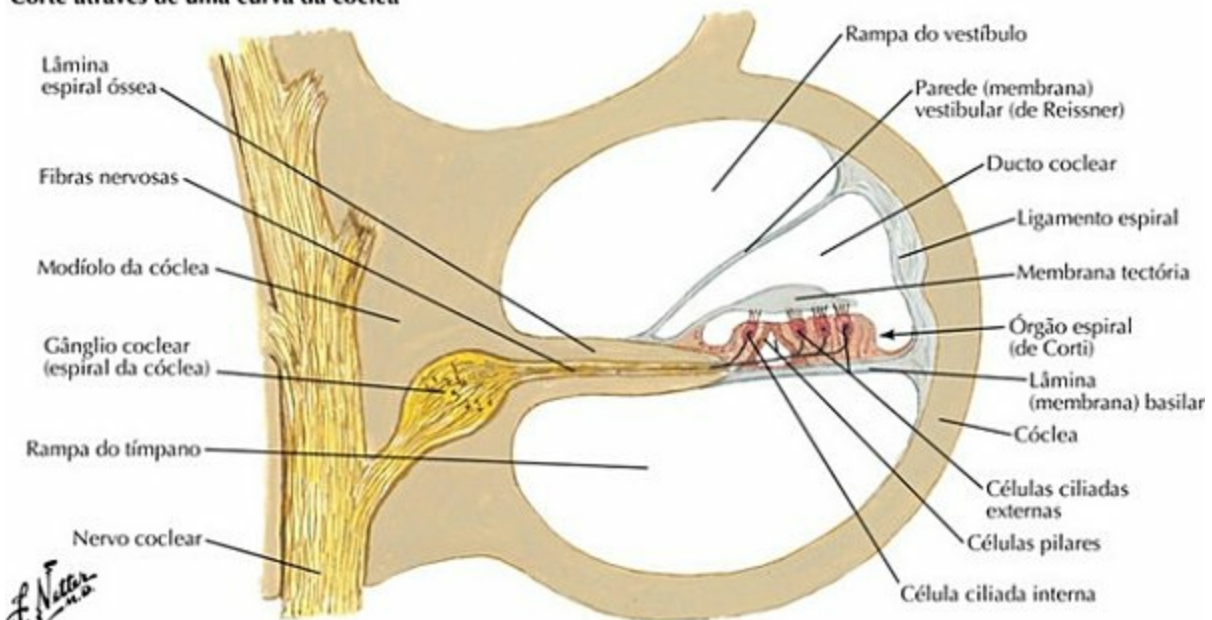
Veja também **Prancha 125**

Labirintos Ósseo e Membranáceo (continuação)

Labirinto ósseo e membranáceo: esquema



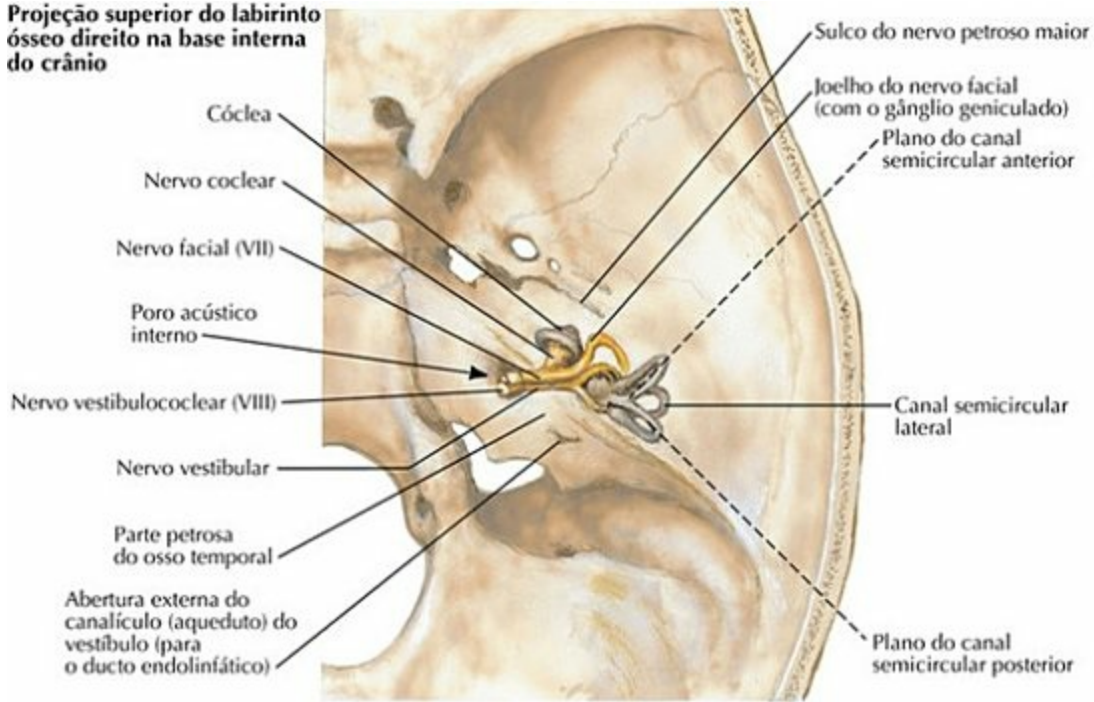
Corte através de uma curva da cóclea



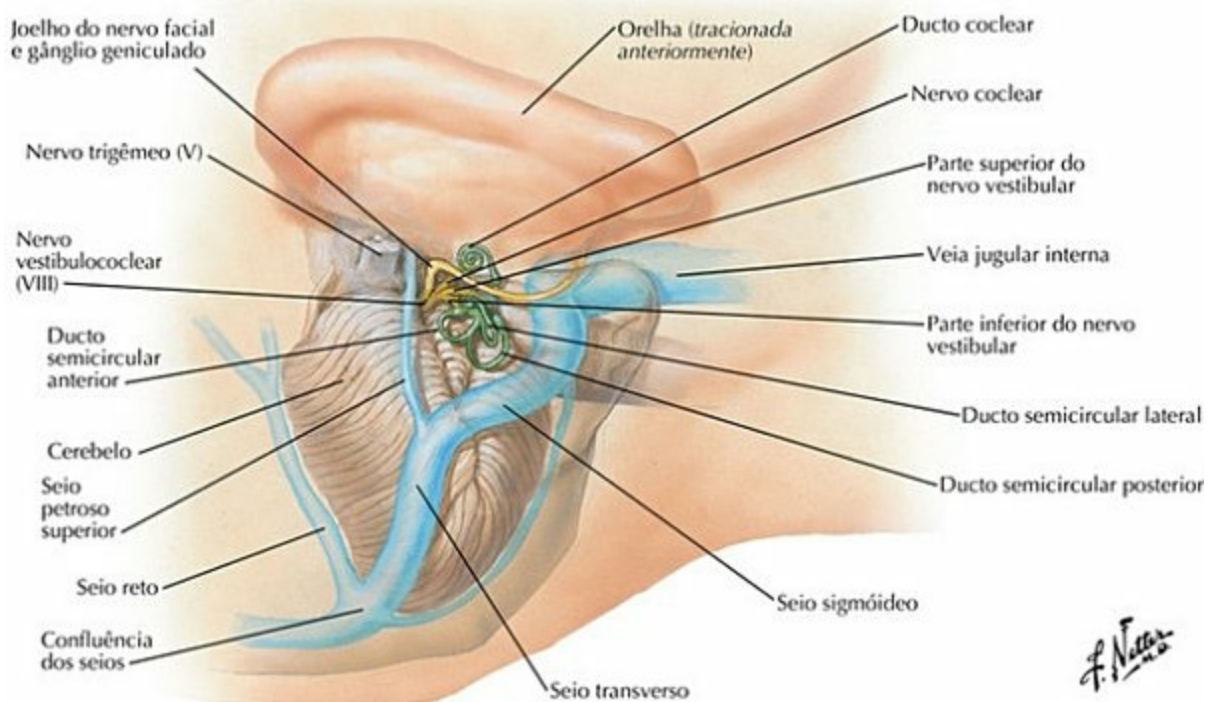
PRANCHA 98 Orelha

Orientação do Labirinto no Crânio

**Projeção superior do labirinto
ósseo direito na base interna
do crânio**



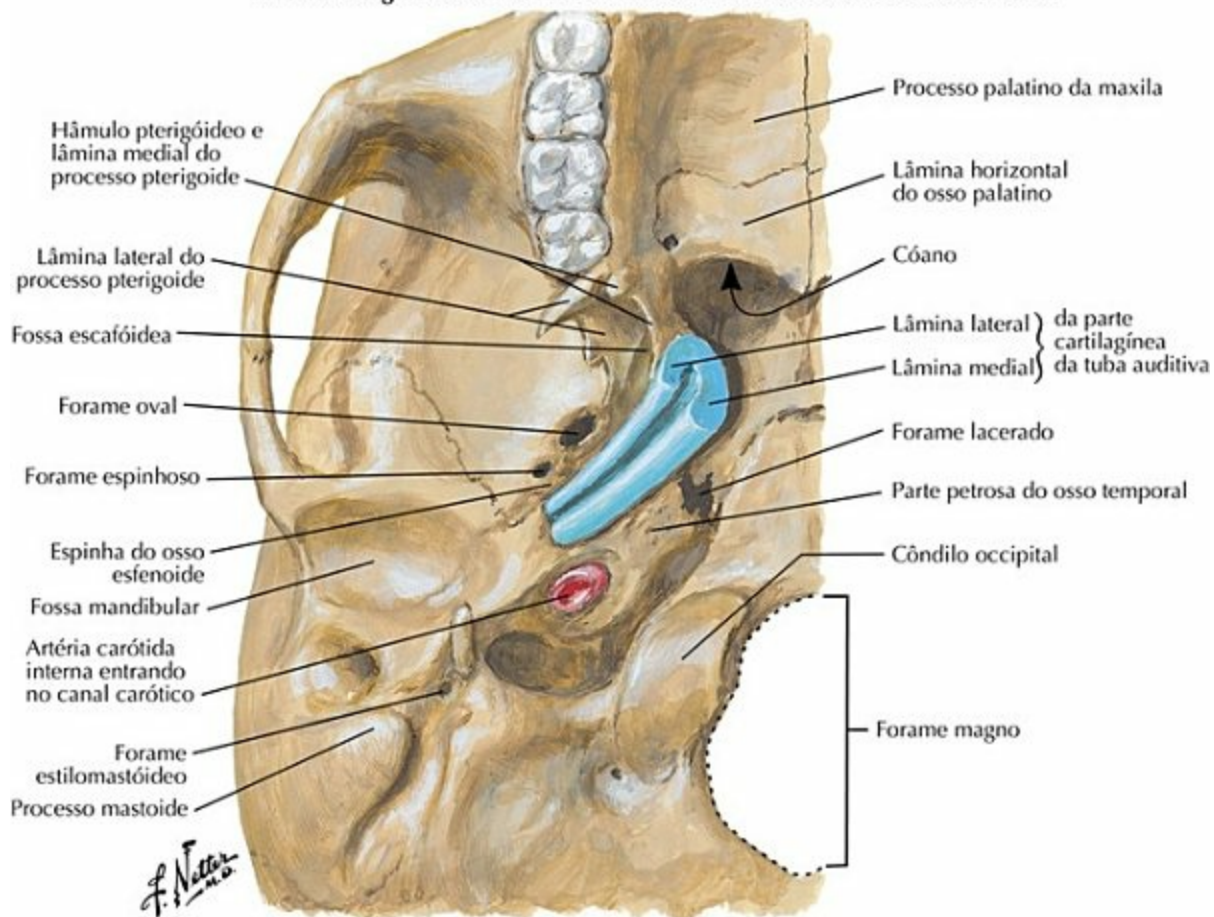
Projeção lateral do labirinto membranáceo direito



PRANCHA 99 Orelha

Tuba Auditiva

Parte cartilaginosa da tuba auditiva na base externa do crânio: vista inferior

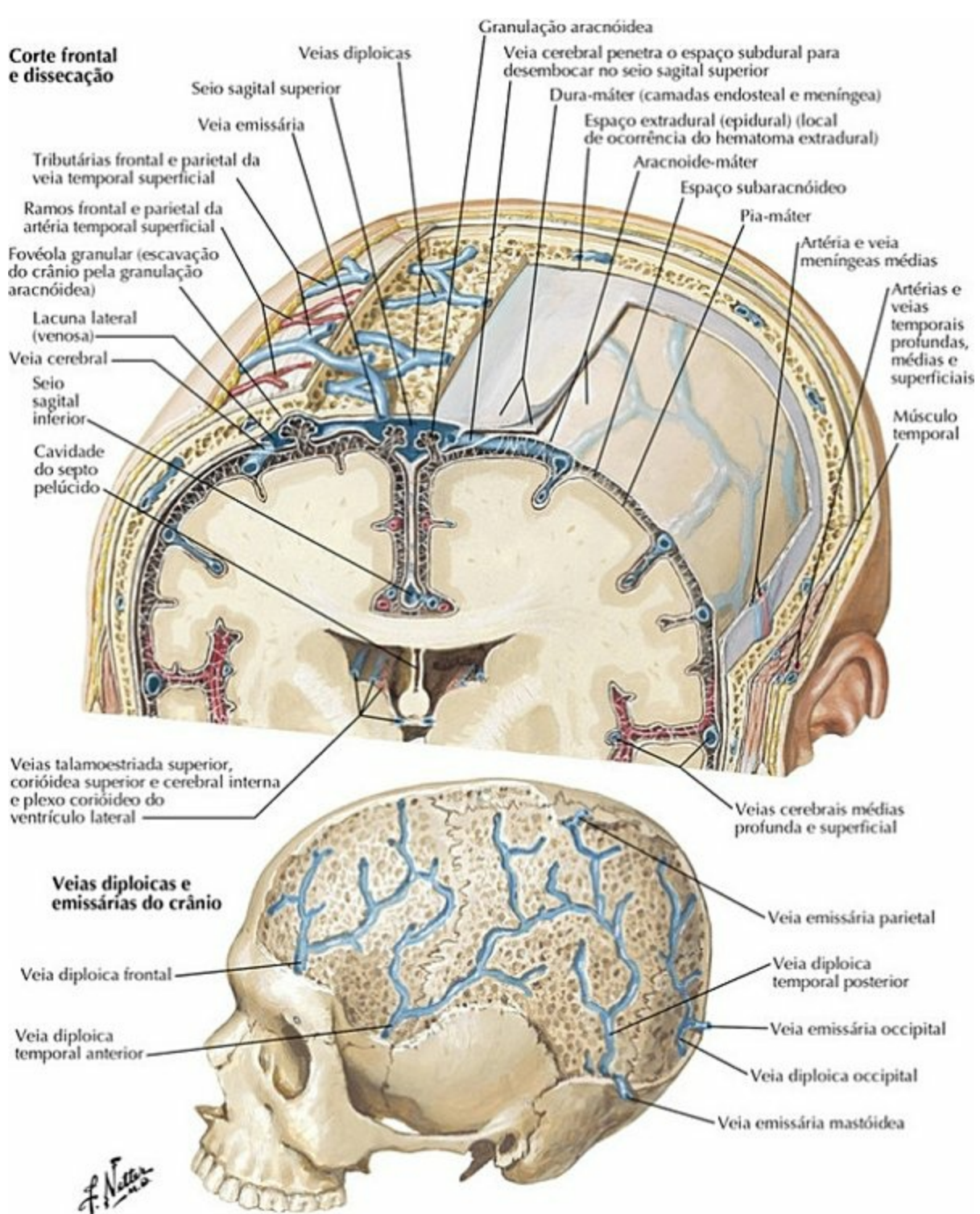


PRANCHA 100 Orelha

Veja também **Prancha 49**

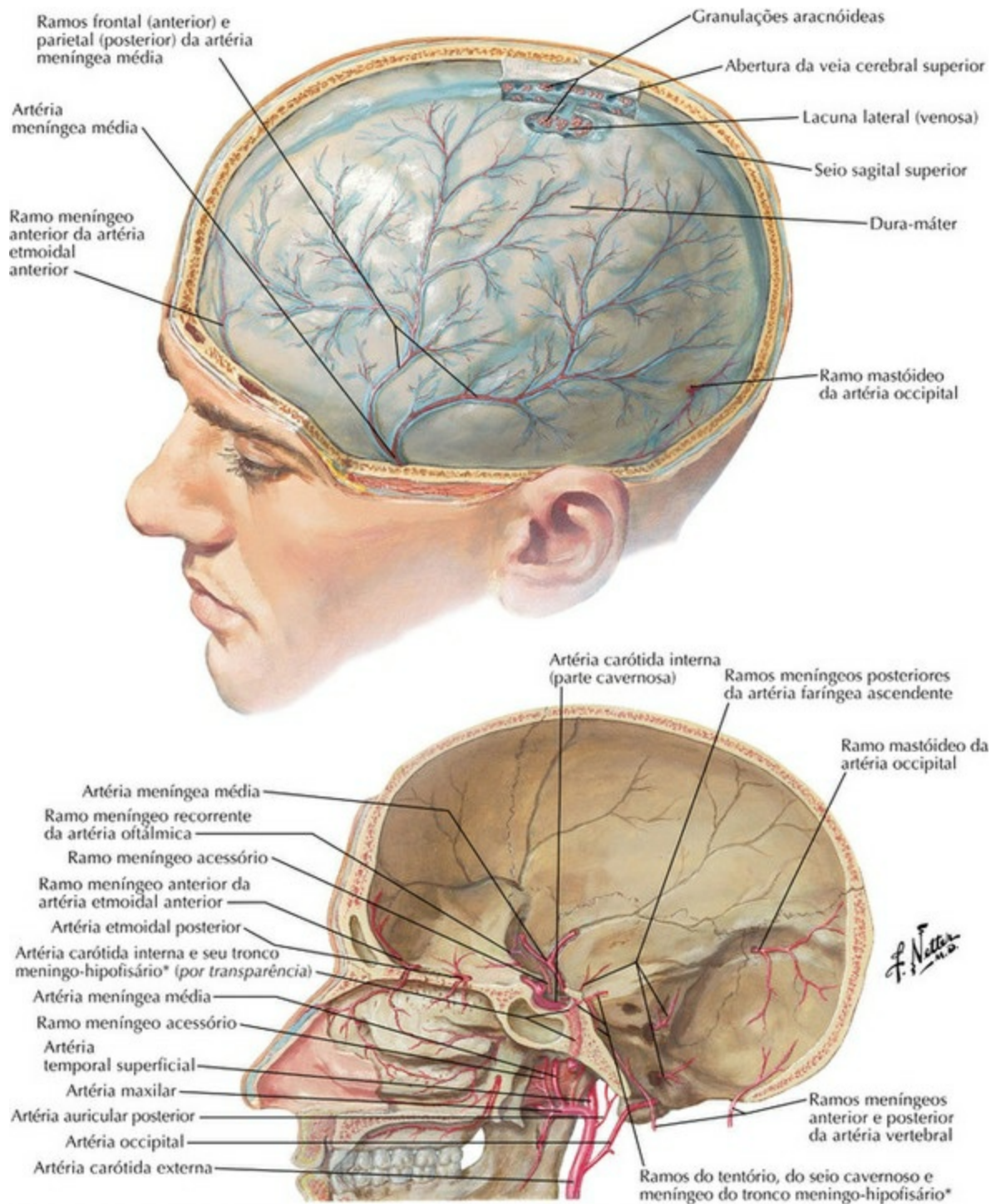
Meninges e Veias Diploicas

Corte frontal e dissecação



PRANCHA 101 Meninges e Encéfalo
Veja também **Prancha 3**

Artérias Meníngeas



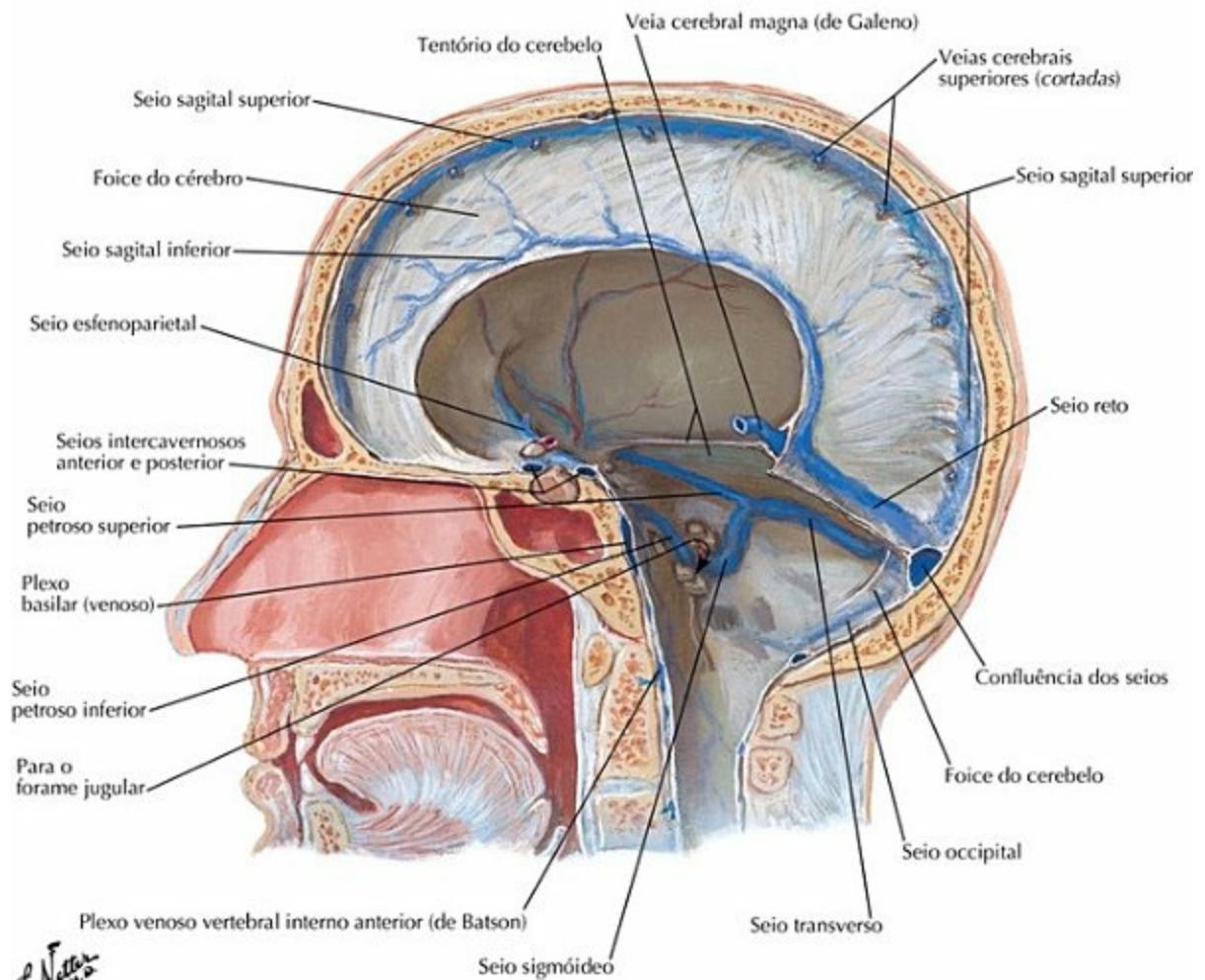
* Nota da Revisão Científica: Variação anatômica, pois frequentemente esses ramos citados se originam diretamente da artéria carótida interna.

PRANCHA 102 Meninges e Encéfalo

Veja também **Pranchas 9, 51, 137**

Meninges e Veias Cerebrais Superficiais

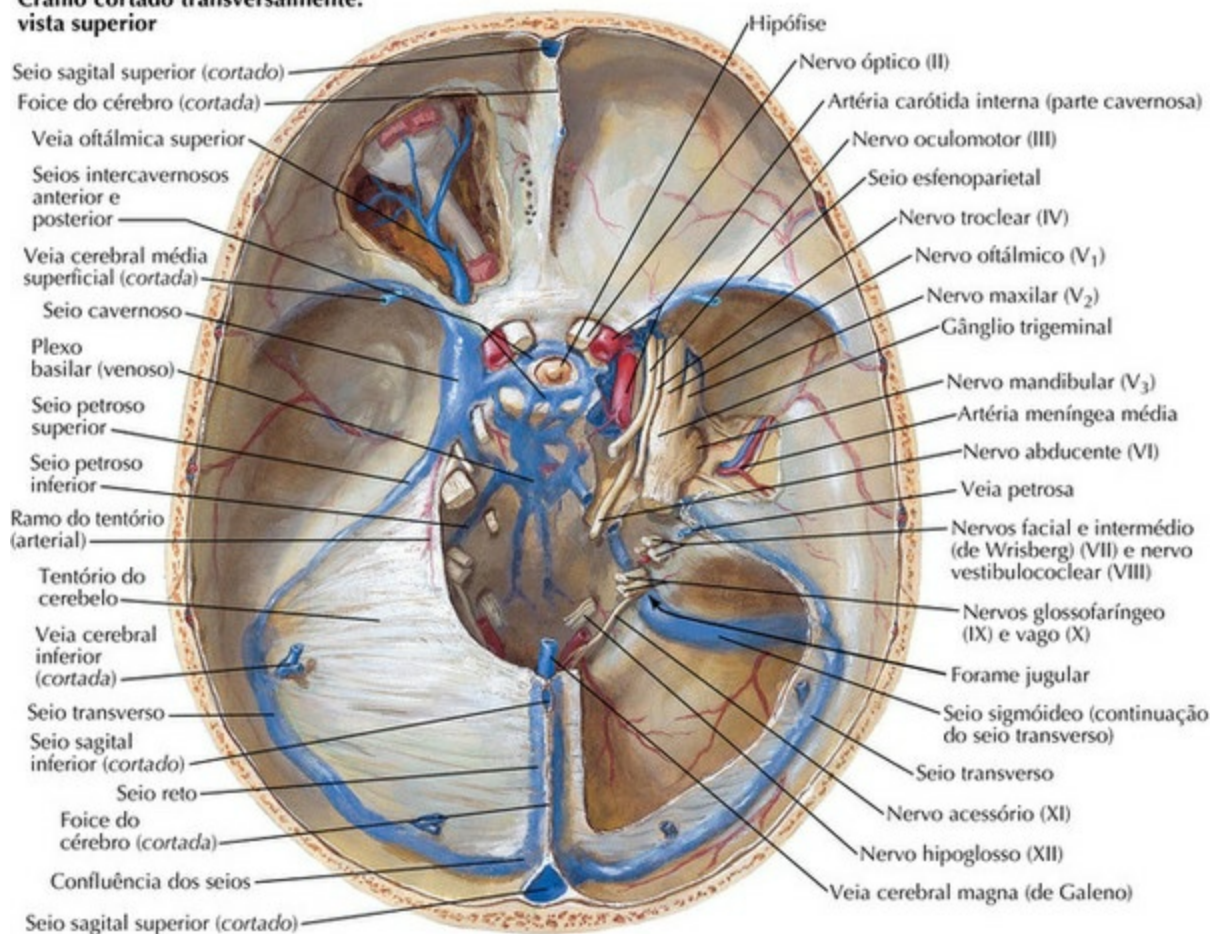
Corte sagital



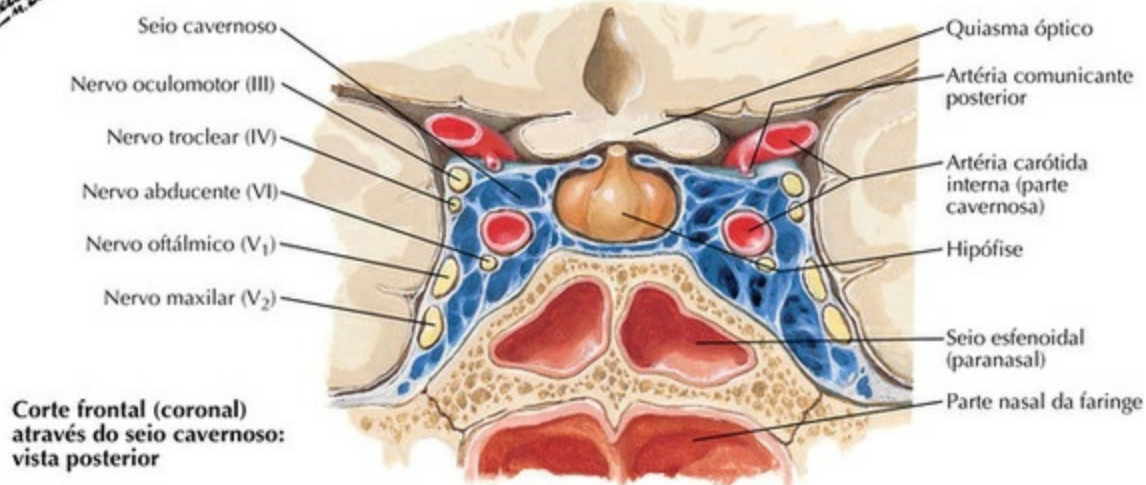
PRANCHA 104 Meninges e Encéfalo

Seios da Dura-máter (Venosos) (continuação)

Crânio cortado transversalmente: vista superior



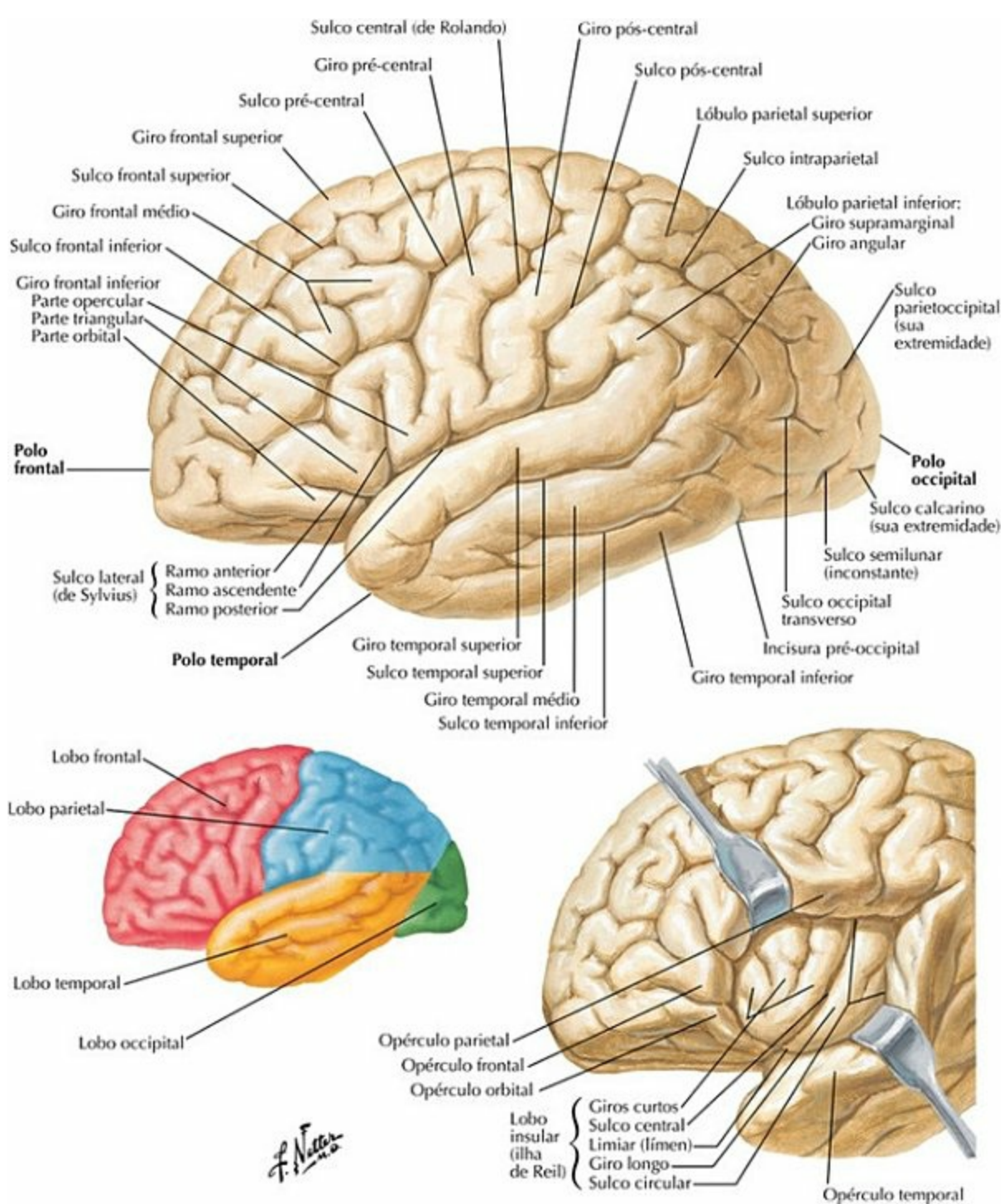
F. Netter M.D.



PRANCHA 105 Meninges e Encéfalo

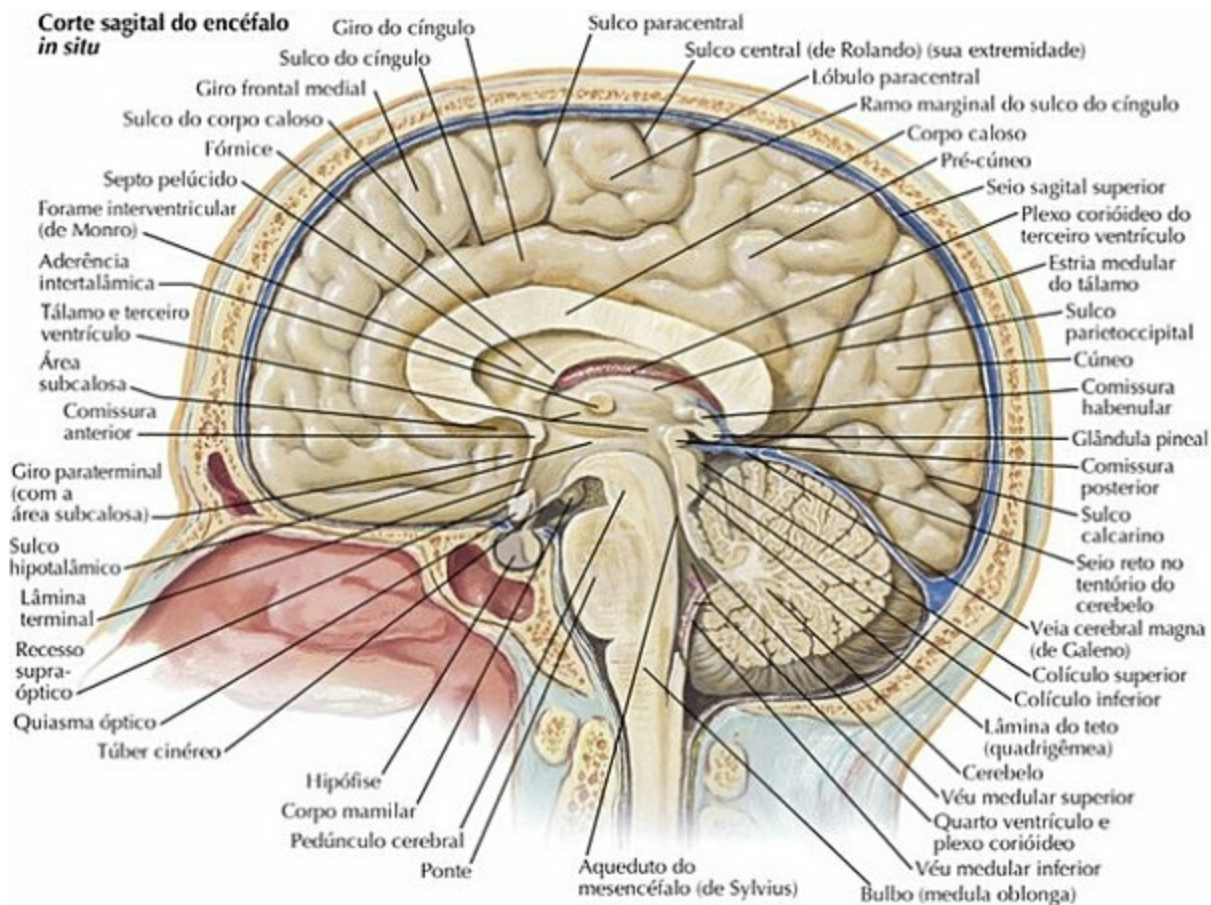
Veja também **Prancha 87**

Cérebro: Vistas Laterais

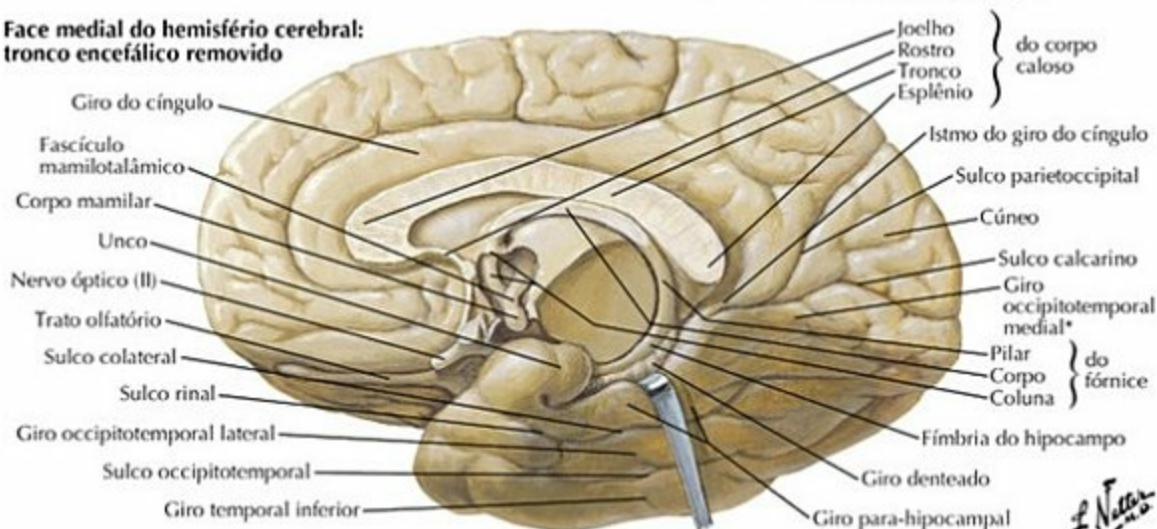


PRANCHA 106 Meninges e Encéfalo

Cérebro: Vistas Mediais



Face medial do hemisfério cerebral: tronco encefálico removido

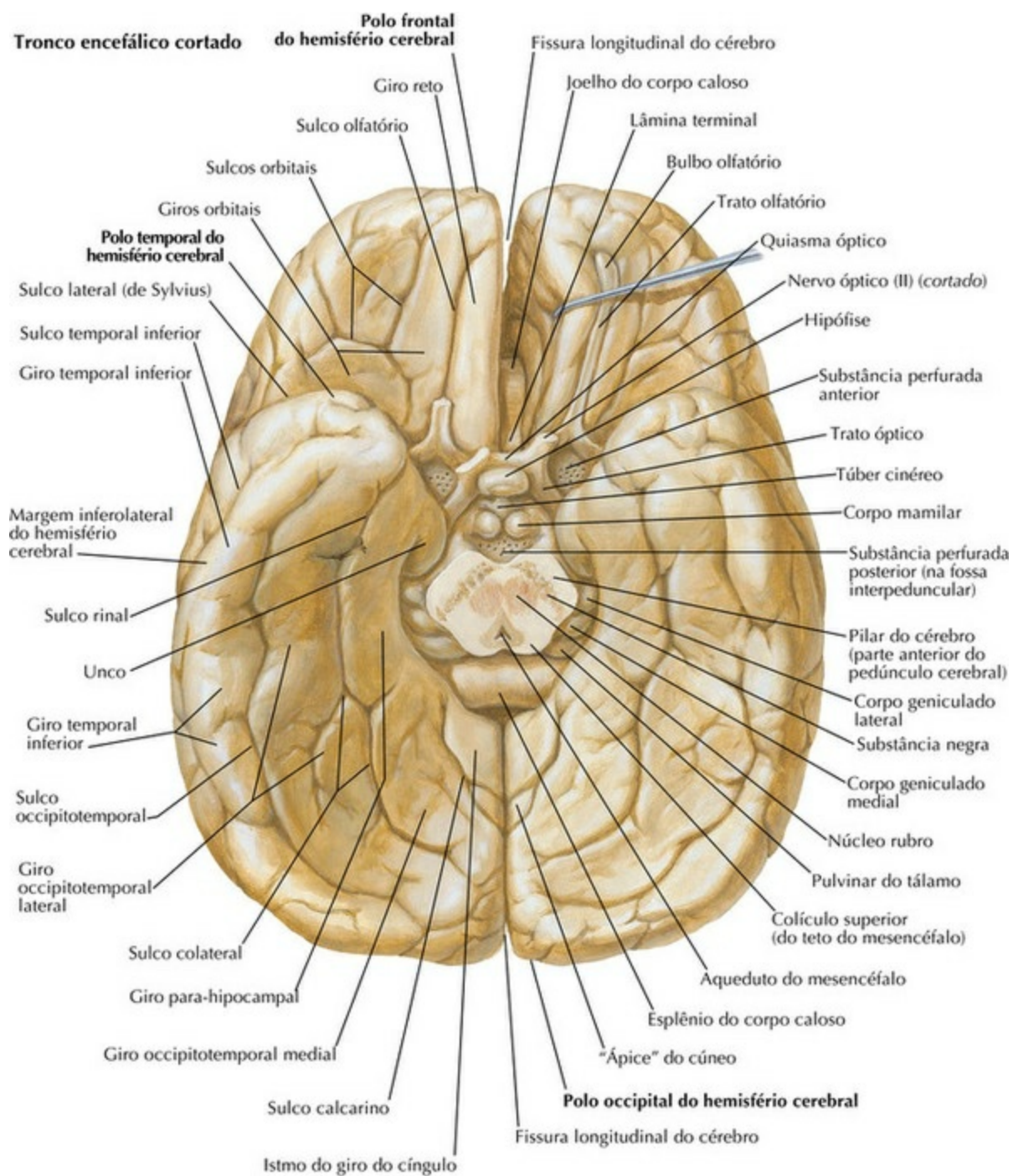


* Nota da Revisão Científica: A continuação do giro occipitotemporal medial no lobo occipital é o denominado giro lingual.

PRANCHA 107 Meninges e Encéfalo

Veja também **Prancha 148**

Cérebro: Vista Inferior

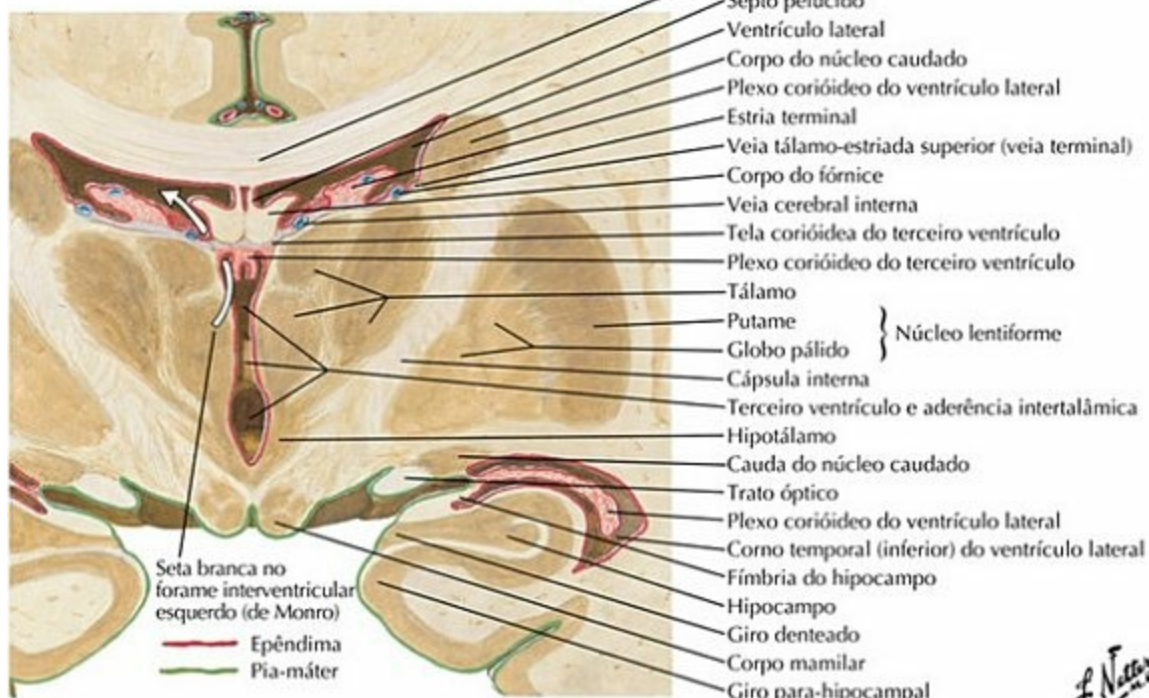
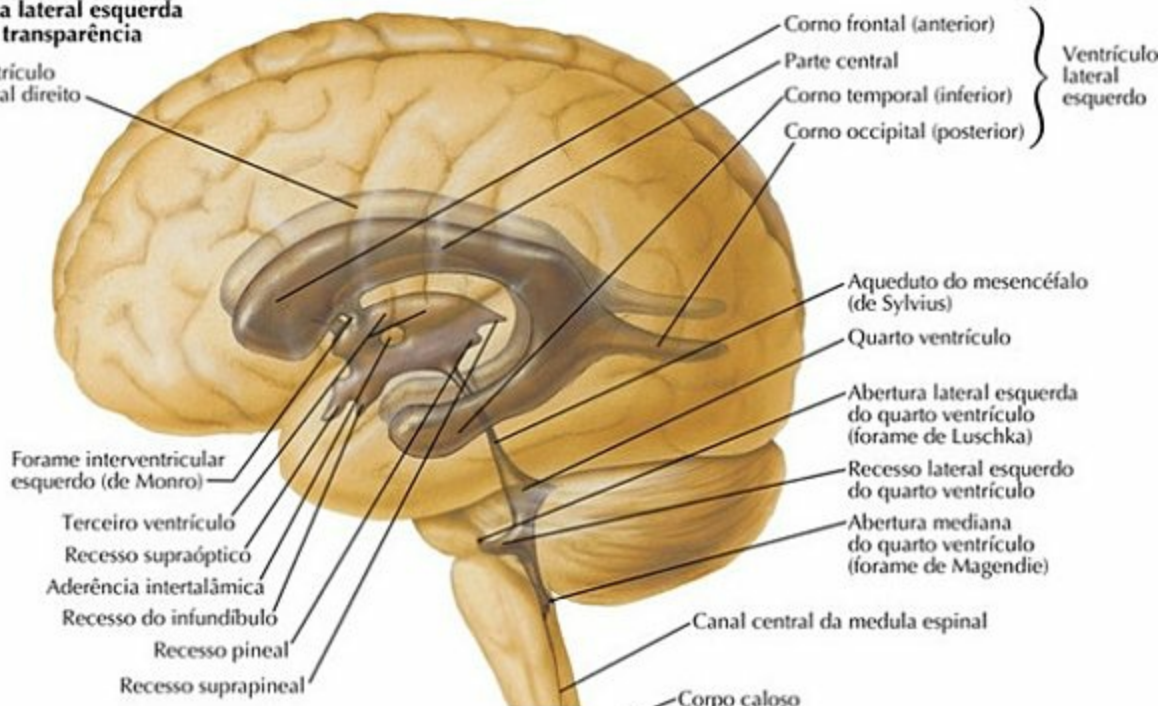


F. Netto
PRANCHA 108 Meninges e Encéfalo
 Veja também **Prancha 148**

Ventrículos Encefálicos

Vista lateral esquerda por transparência

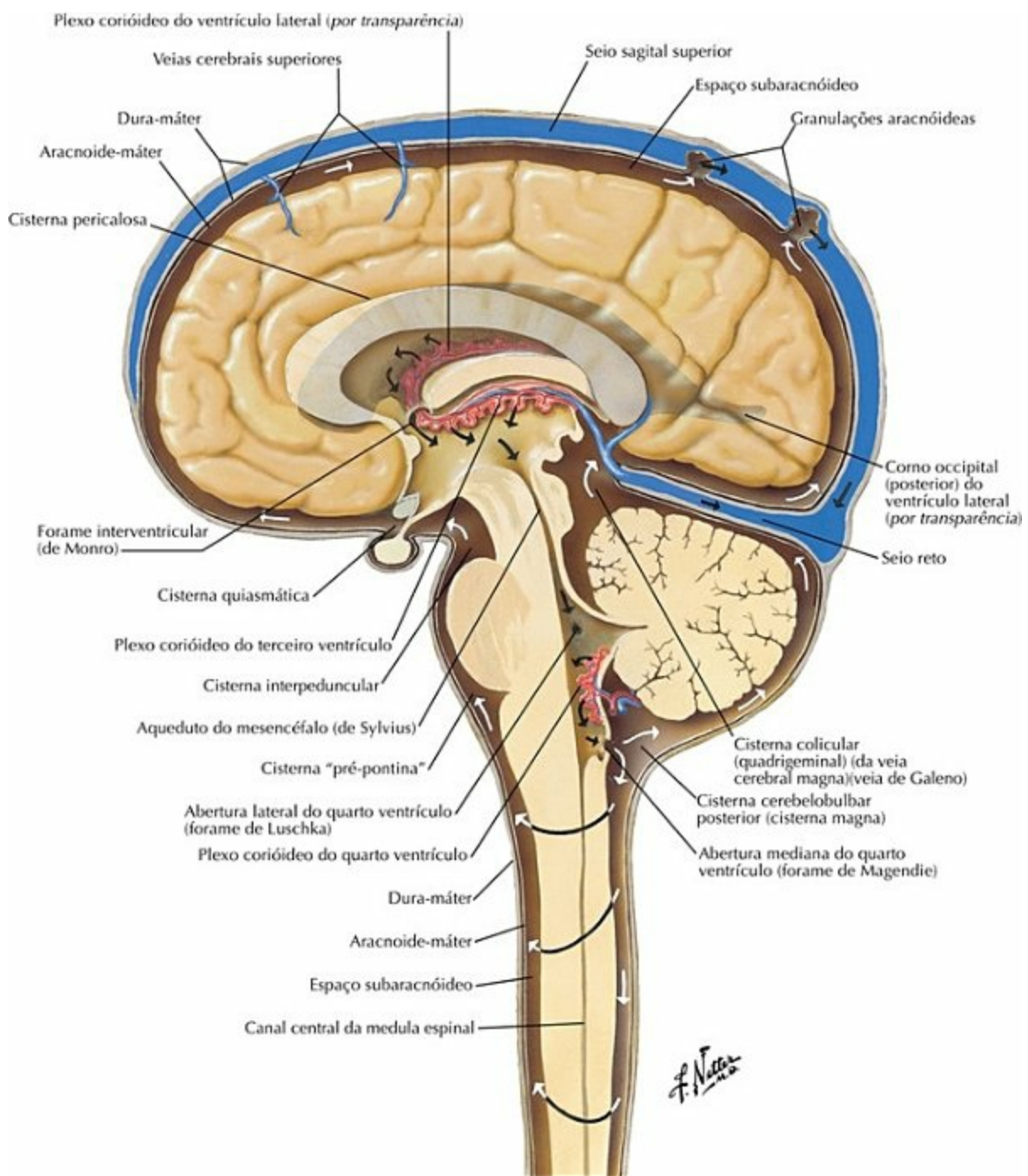
Ventrículo lateral direito



Corte frontal (coronal) do encéfalo: vista posterior

PRANCHA 109 Meninges e Encéfalo

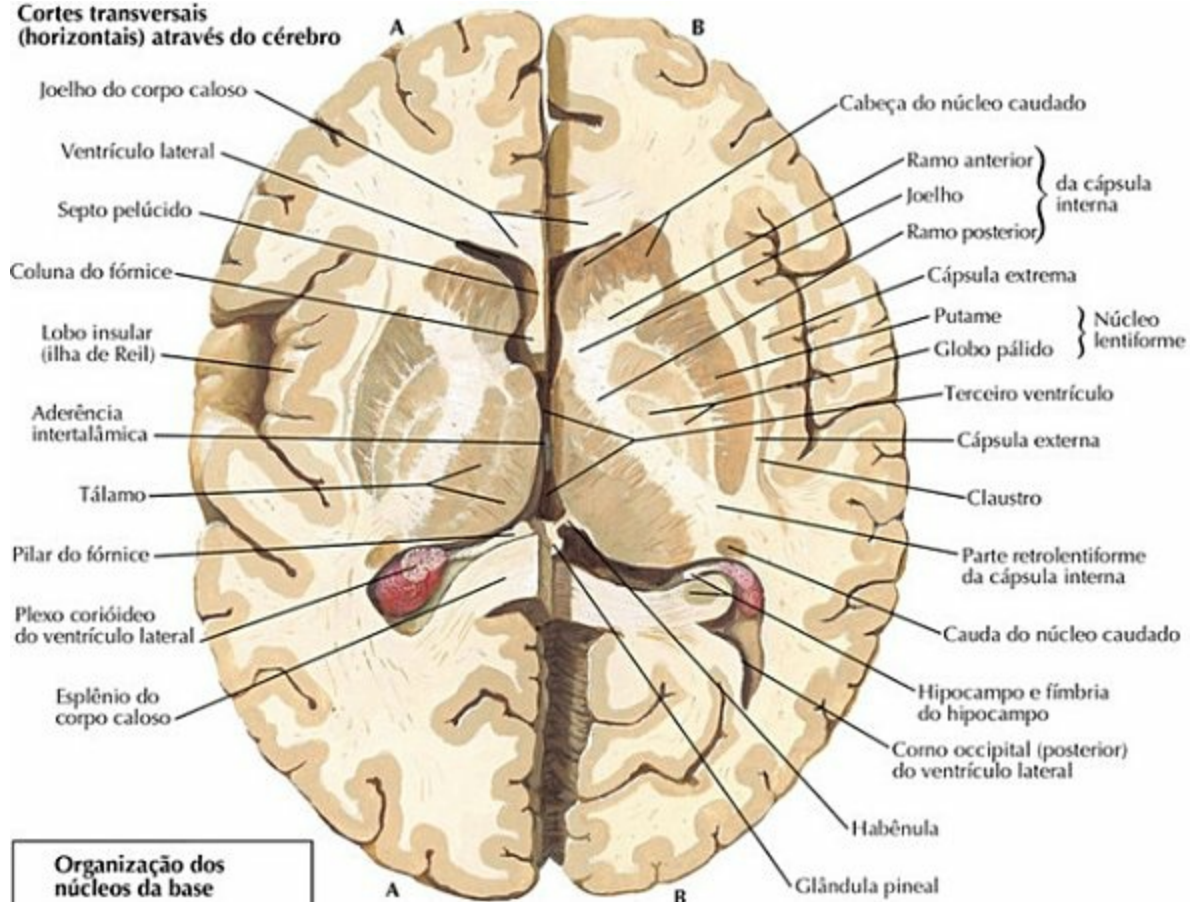
Circulação do Líquido Cerebrospinal



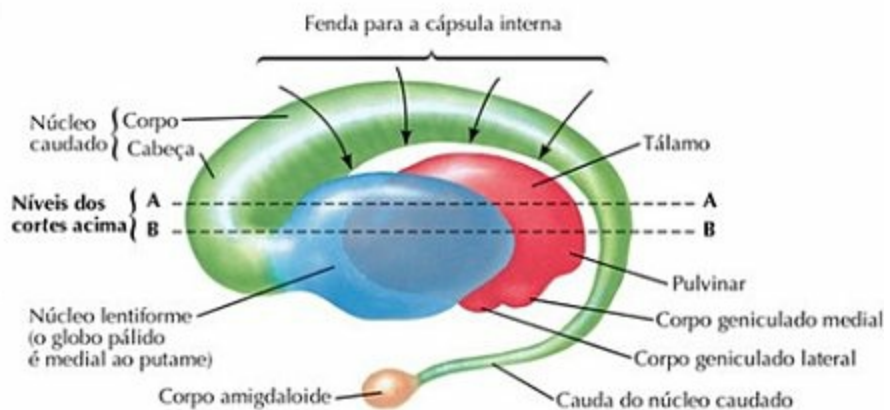
PRANCHA 110 Meninges e Encéfalo
 Veja também **Pranchas 109, 147**

Núcleos da Base

Cortes transversais (horizontais) através do cérebro



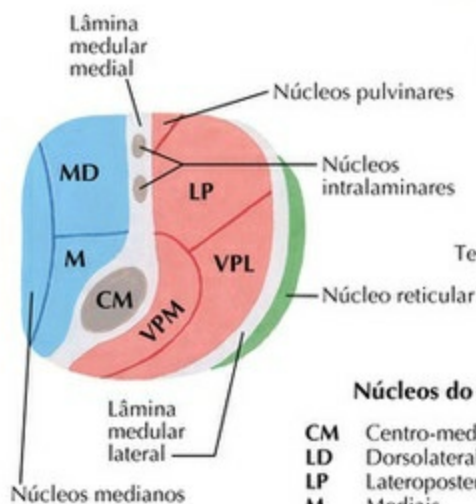
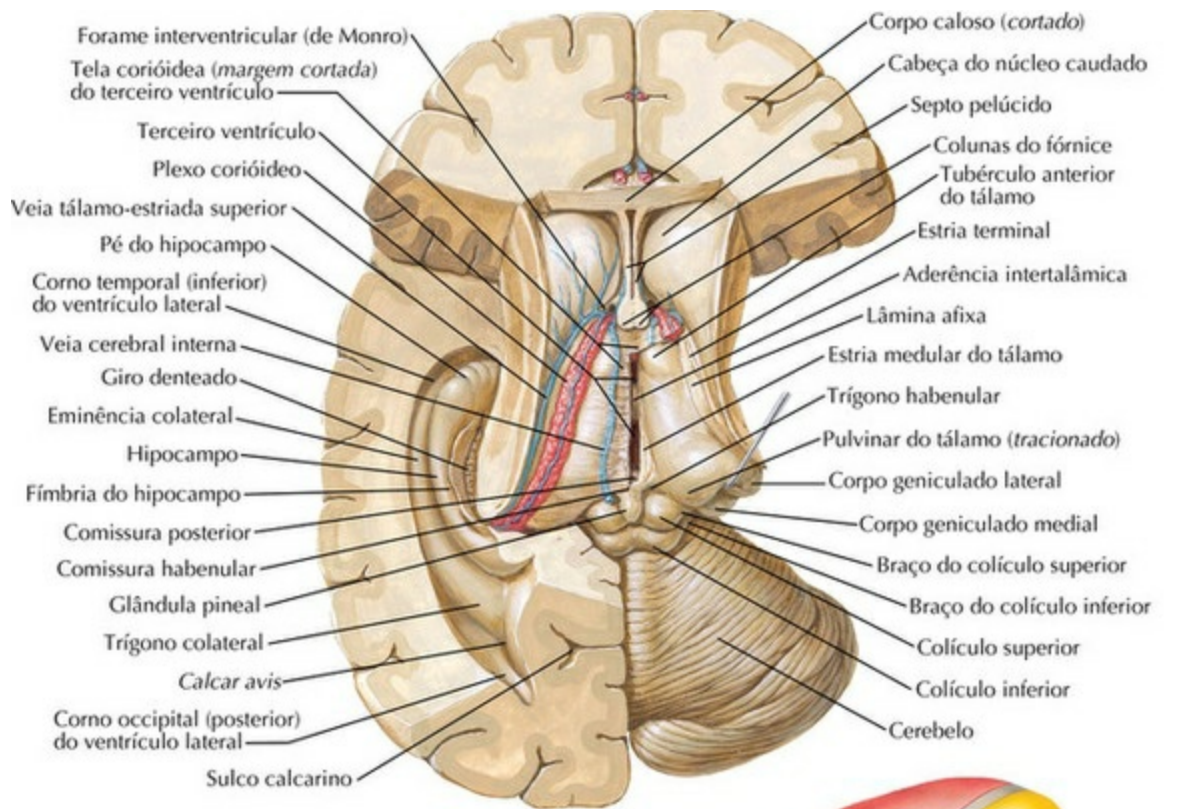
Organização dos núcleos da base



Inter-relação do tálamo, núcleo lentiforme, núcleo caudado e corpo amigdalóide (esquema): vista lateral esquerda

PRANCHA 111 Meninges e Encéfalo

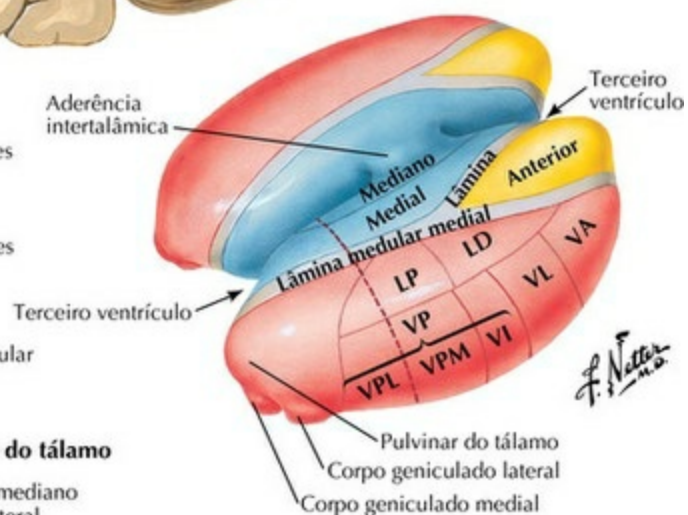
Tálamo



Corte esquemático através do tálamo
(no nível da linha tracejada na figura à direita)

Núcleos do tálamo

CM	Centro-mediano
LD	Dorsolateral
LP	Lateroposterior
M	Mediais
MD	Medial dorsal
VA	Ventral anterior
VI	Ventral intermédio
VL	Ventrais laterais
VP	Ventrais posteriores
VPL	Ventral posterolateral
VPM	Ventral posteromedial



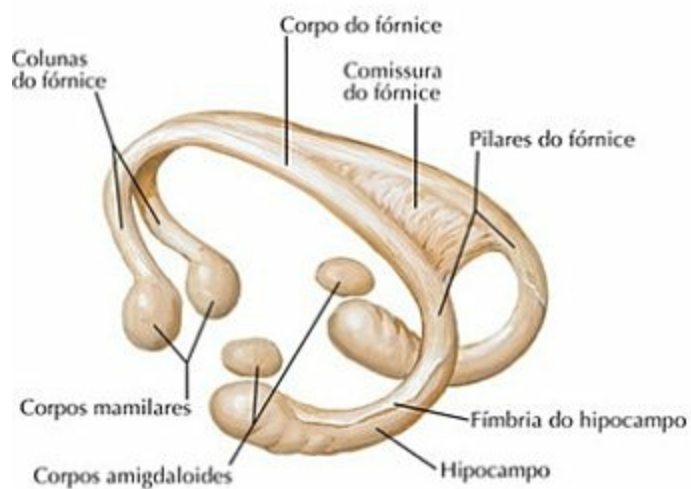
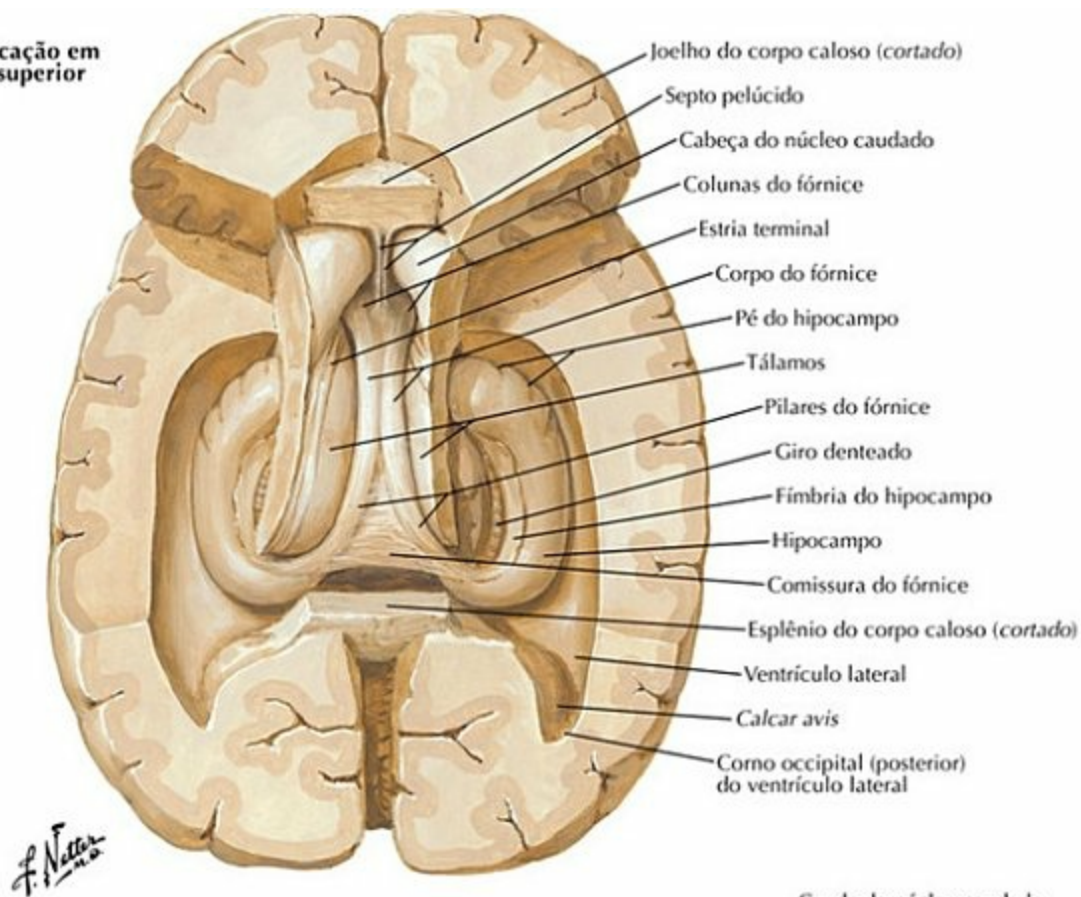
Representação esquemática do tálamo
(lâmina medular lateral e núcleo reticular removidos)

- Núcleos laterais
- Núcleos mediais
- Núcleos anteriores

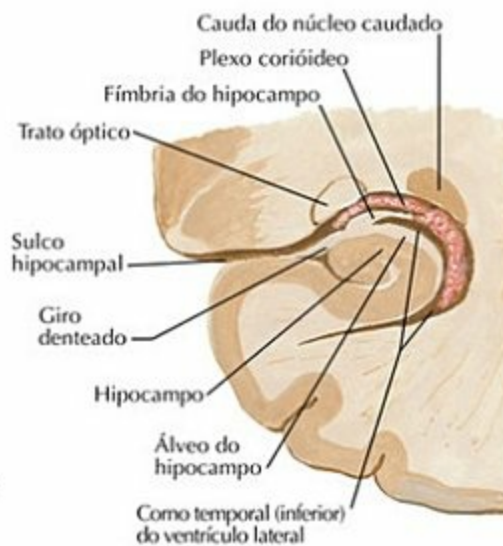
PRANCHA 112 Meninges e Encéfalo

Hipocampo e Fórnice

Dissecação em
vista superior



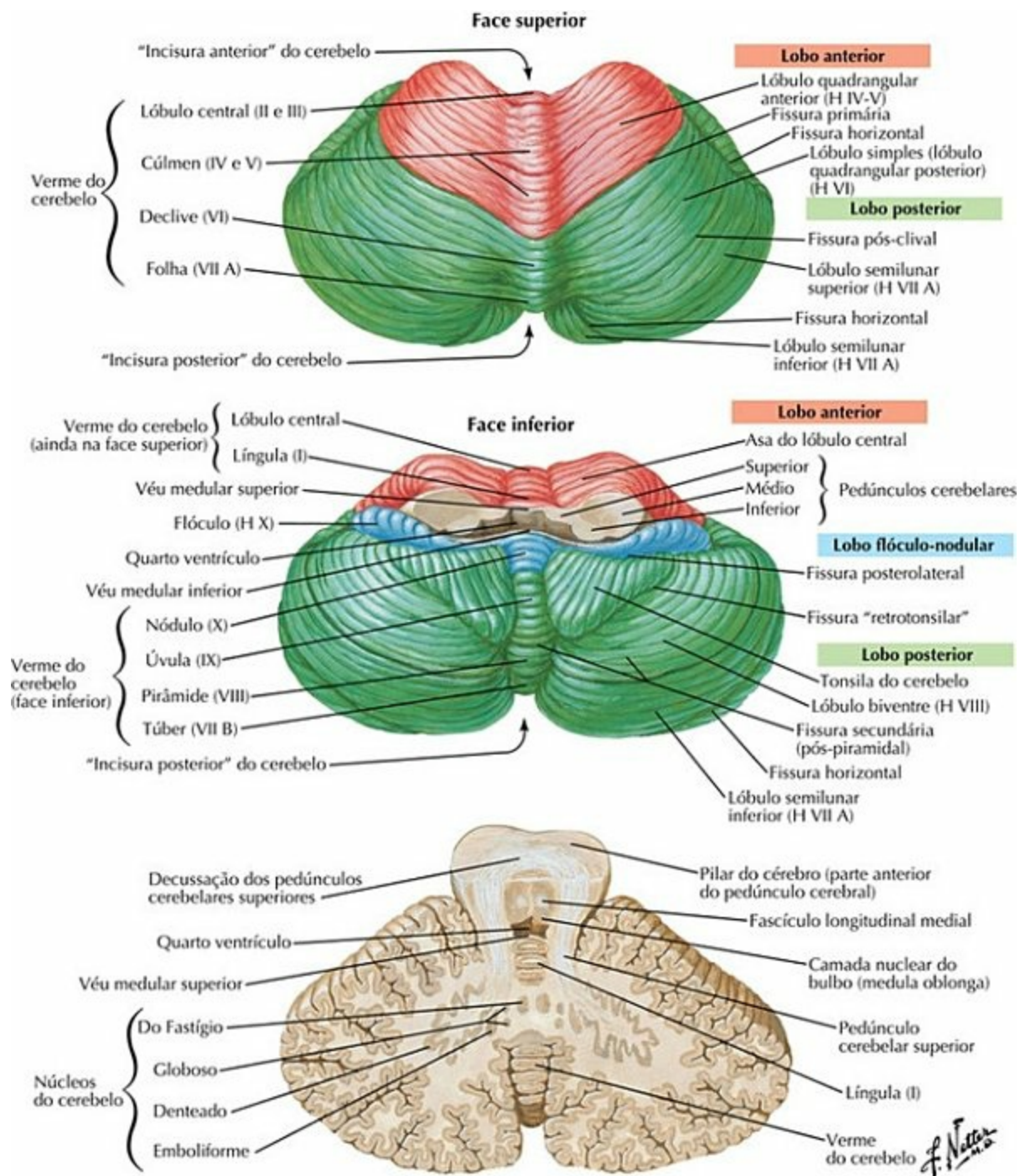
Fórnice: esquema



Corte frontal (coronal): vista posterior

PRANCHA 113 Meninges e Encéfalo

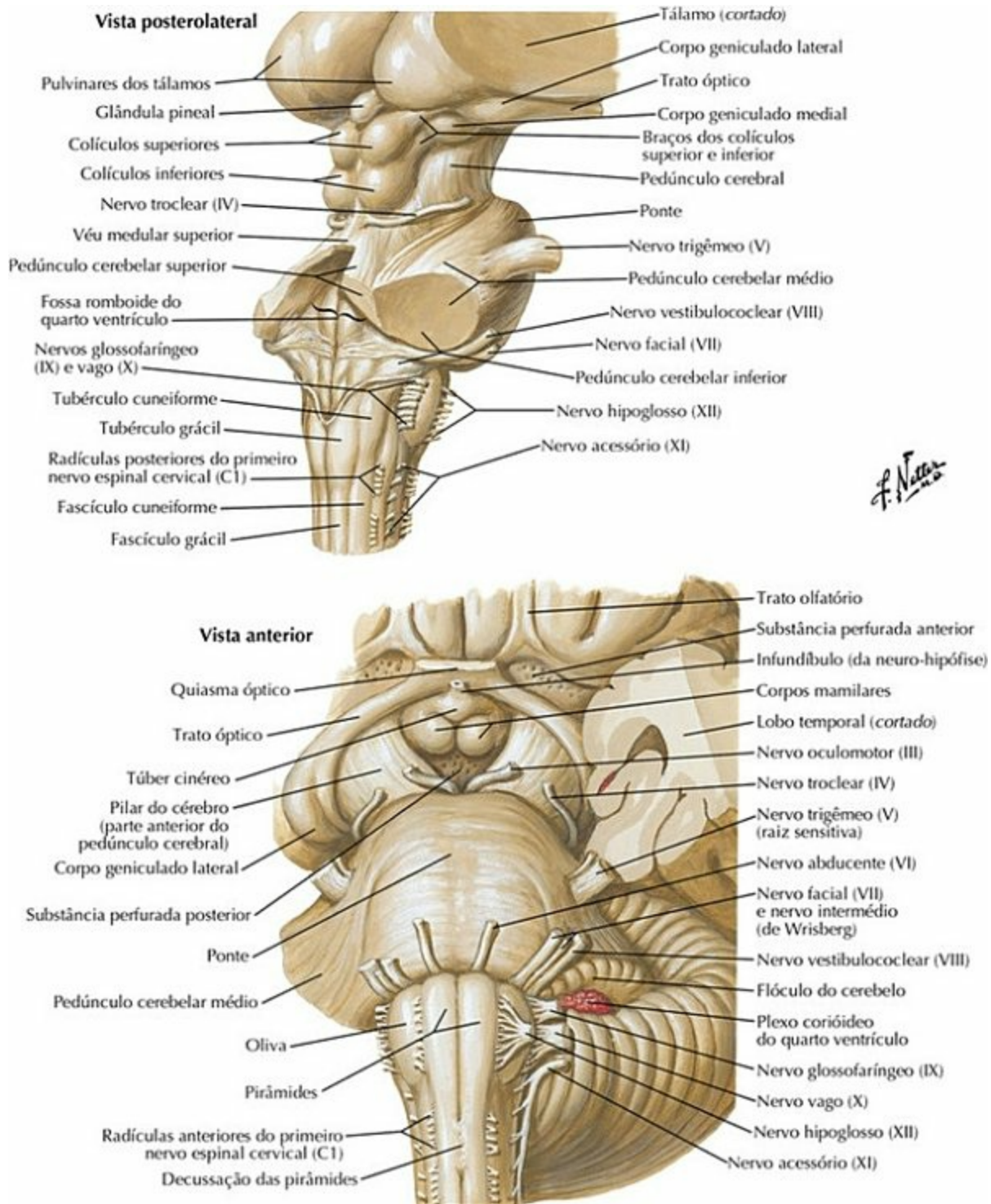
Cerebelo



PRANCHA 114 Meninges e Encéfalo

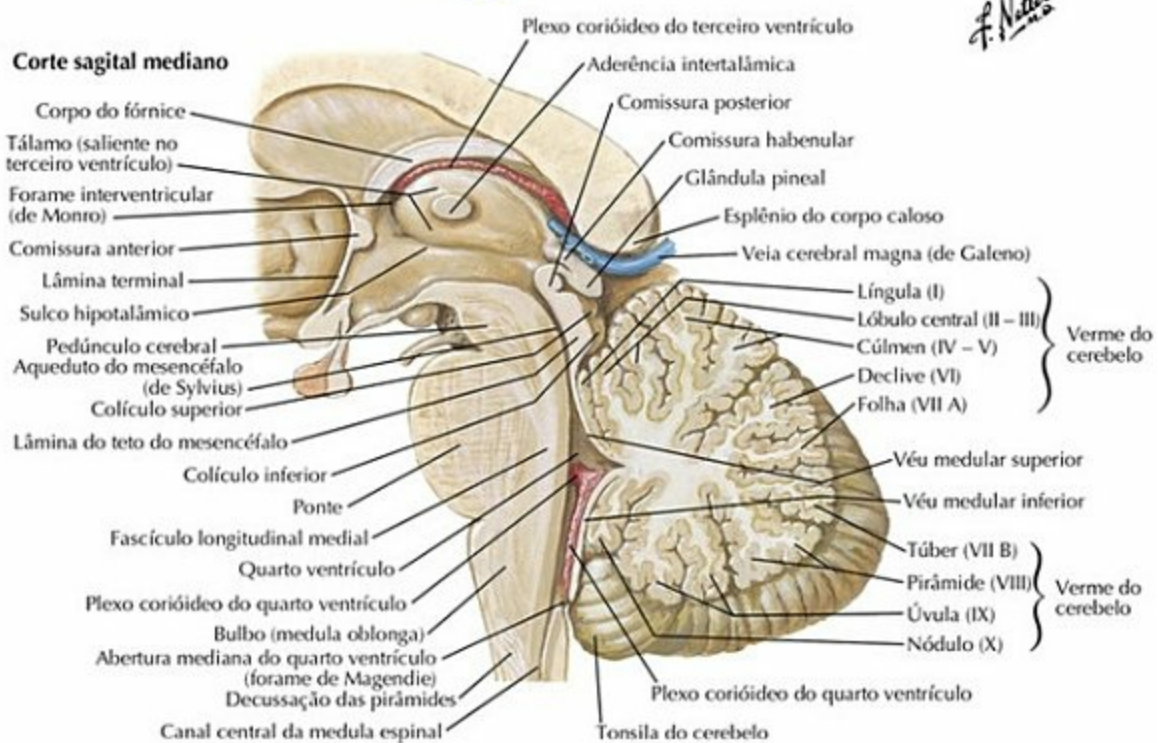
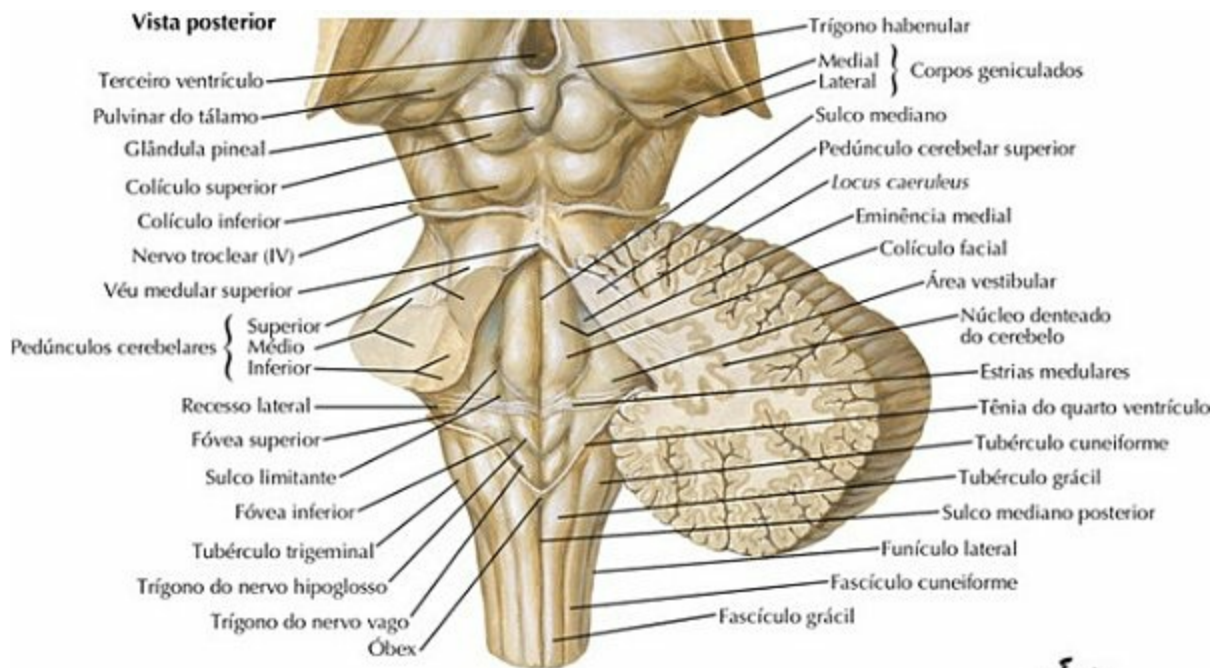
Veja também **Prancha 116**

Tronco Encefálico



PRANCHA 115 Meninges e Encéfalo

Quarto Ventrículo e Cerebelo

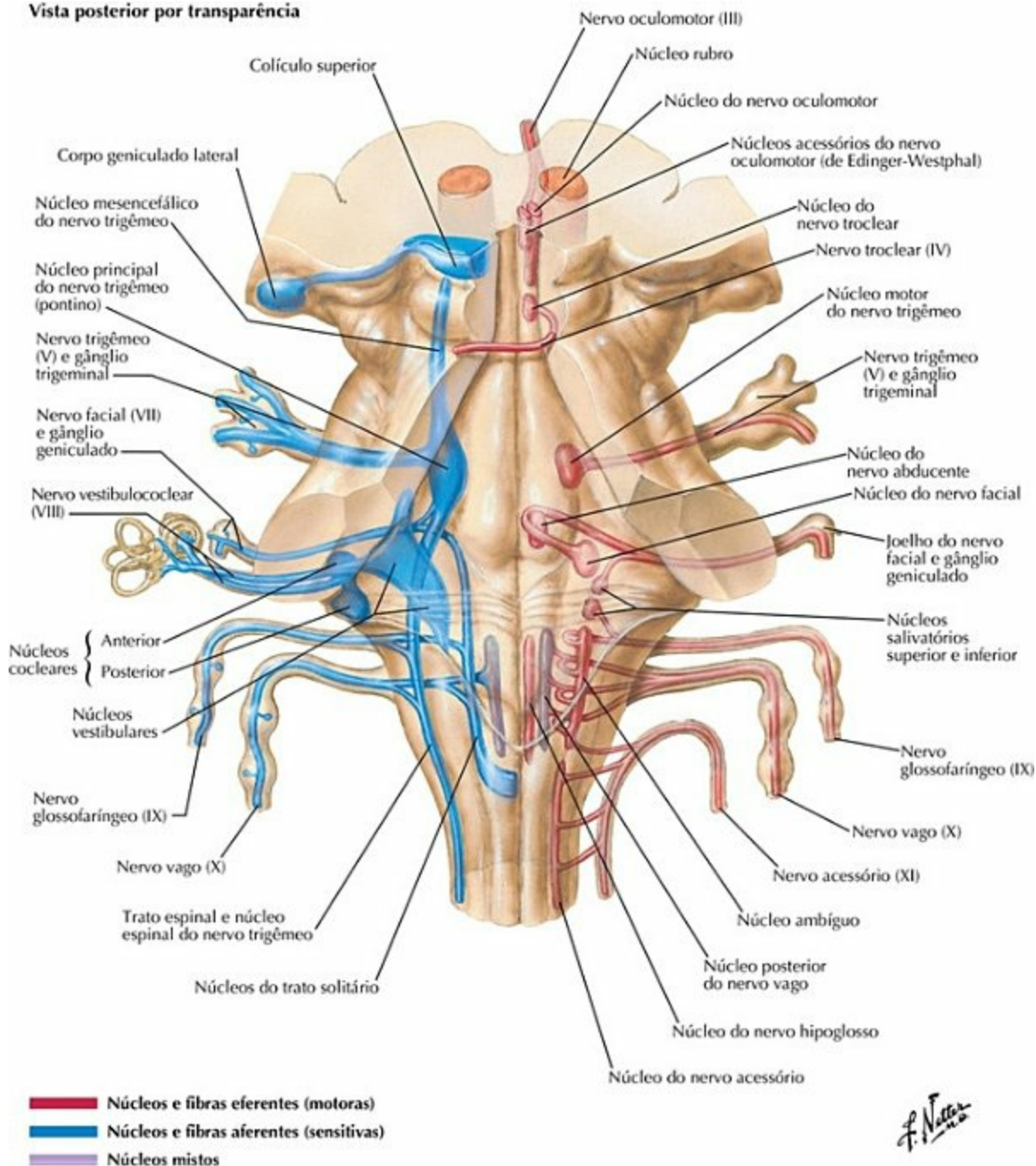


PRANCHA 116 Meninges e Encéfalo

Veja também **Prancha 114**

Núcleos dos Nervos Cranianos no Tronco Encefálico: Esquema

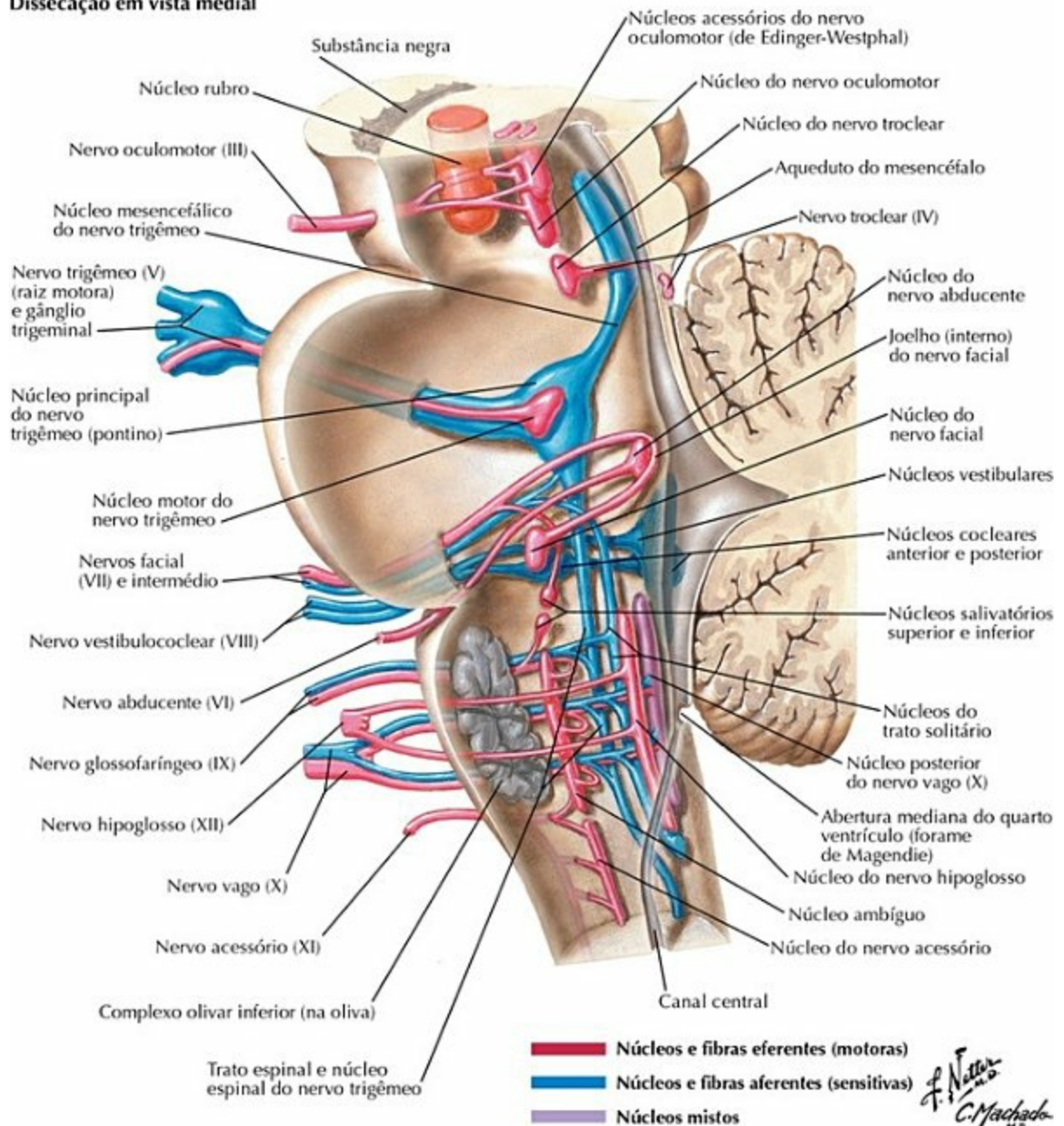
Vista posterior por transparência



PRANCHA 117 Nervos Cranianos e Espinais Cervicais

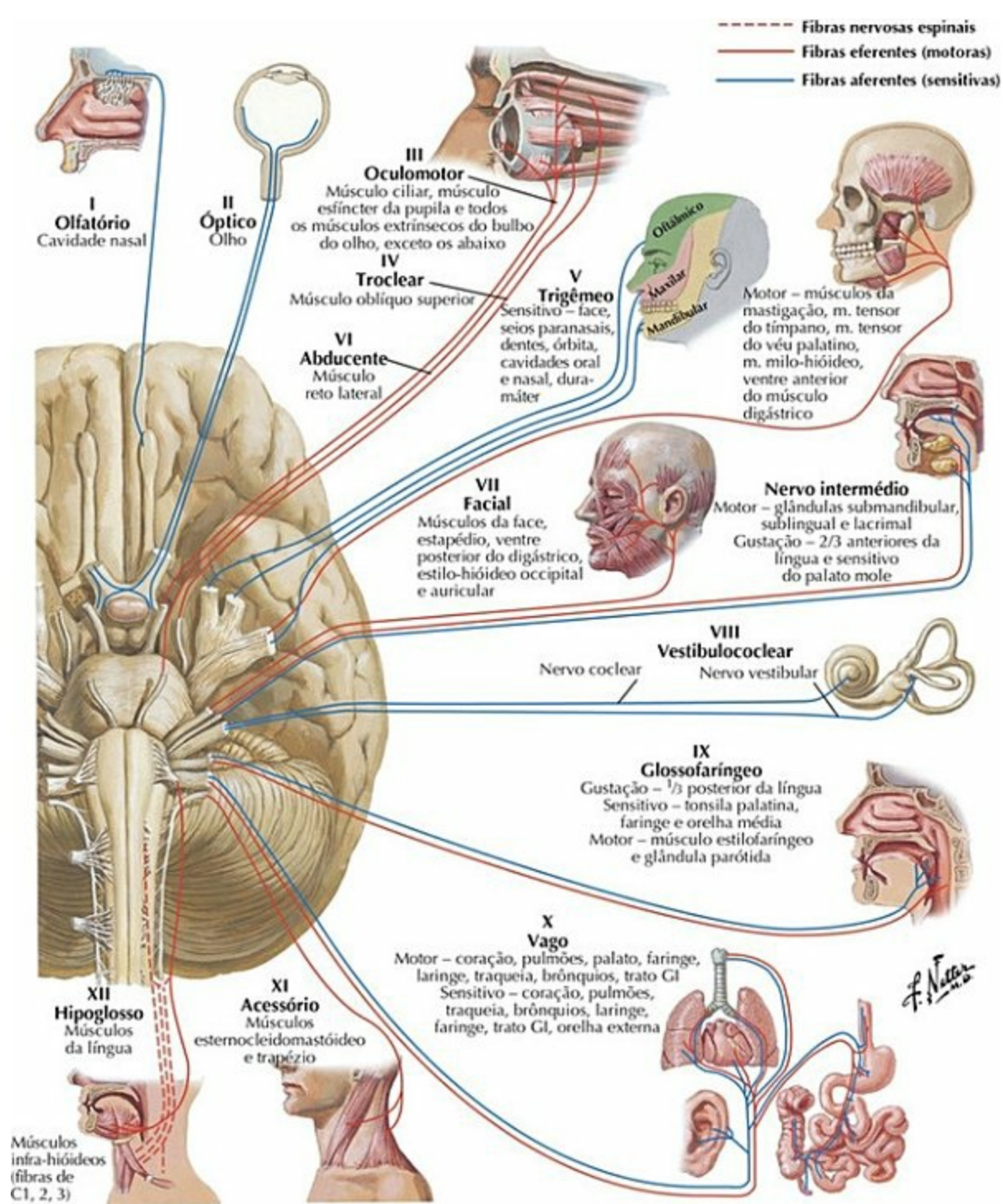
Núcleos dos Nervos Cranianos no Tronco Encefálico: Esquema (continuação)

Dissecação em vista medial



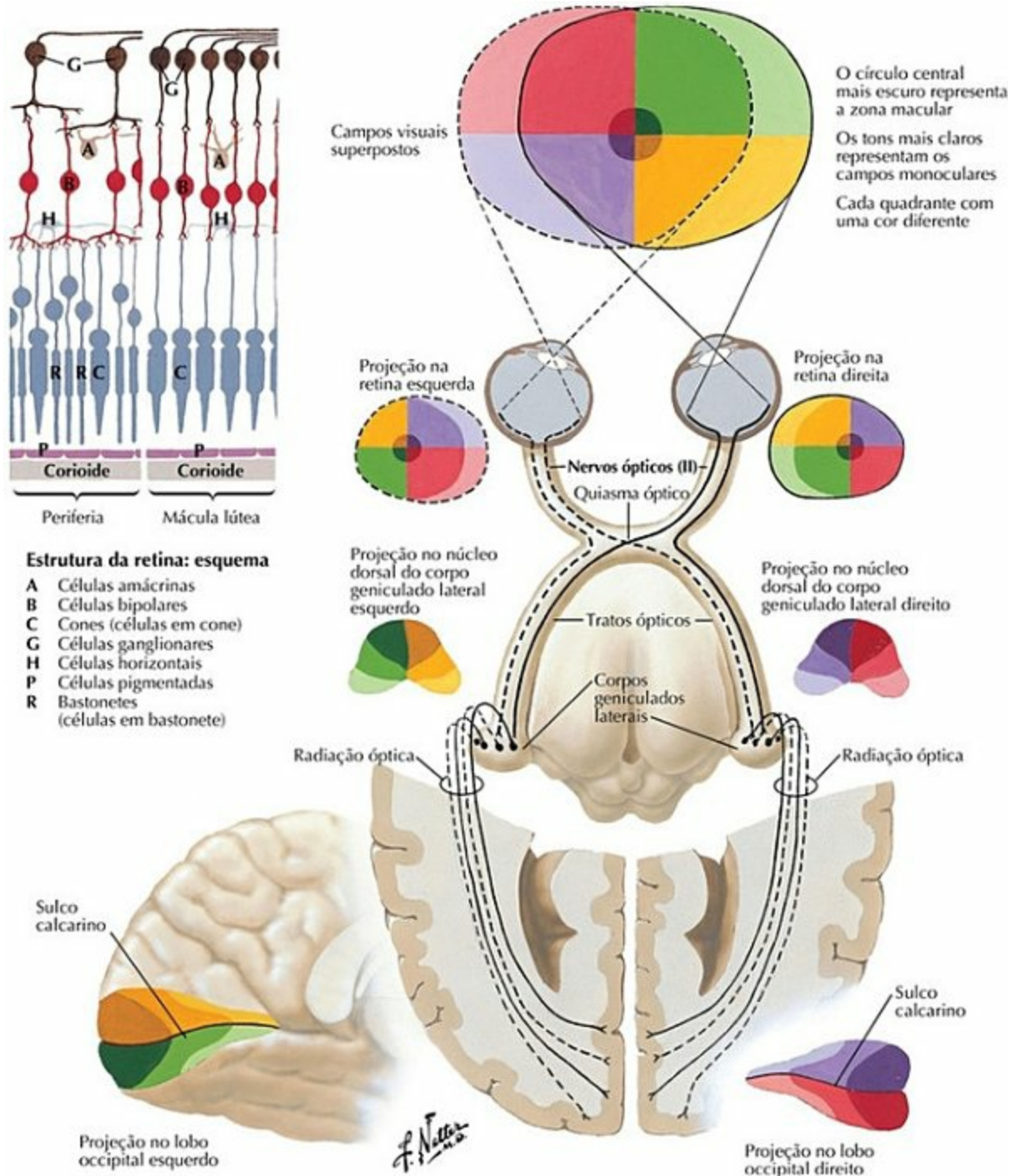
PRANCHA 118 Nervos Cranianos e Espinais Cervicais

Nervos Cranianos (Distribuição Motora e Sensitiva): Esquema



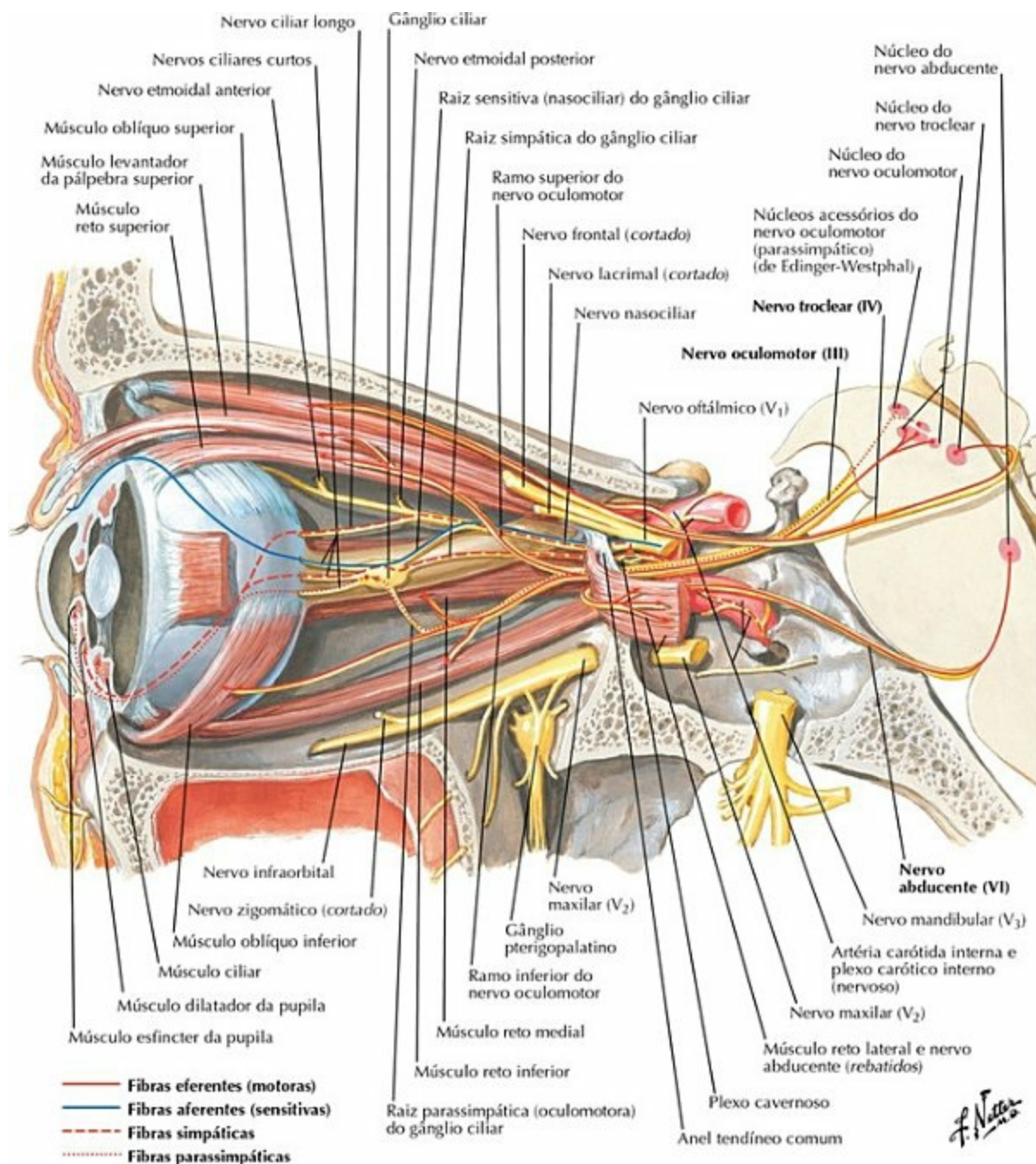
PRANCHA 119 Nervos Cranianos e Espinais Cervicais

Nervo Olfatório (I): Esquema



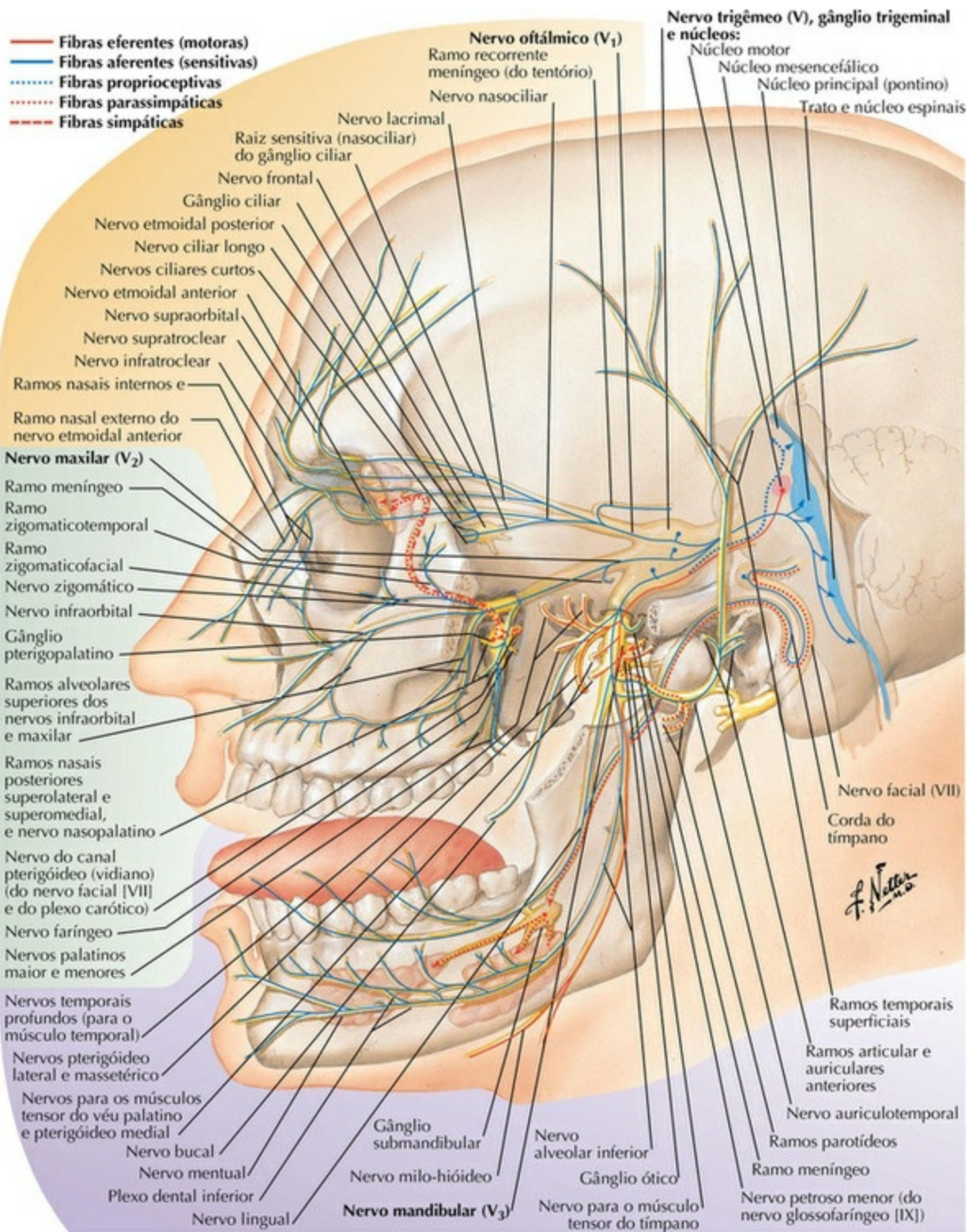
PRANCHA 121 Nervos Cranianos e Espinais Cervicais

Nervos Oculomotor (III), Troclear (IV) e Abducente (VI): Esquema



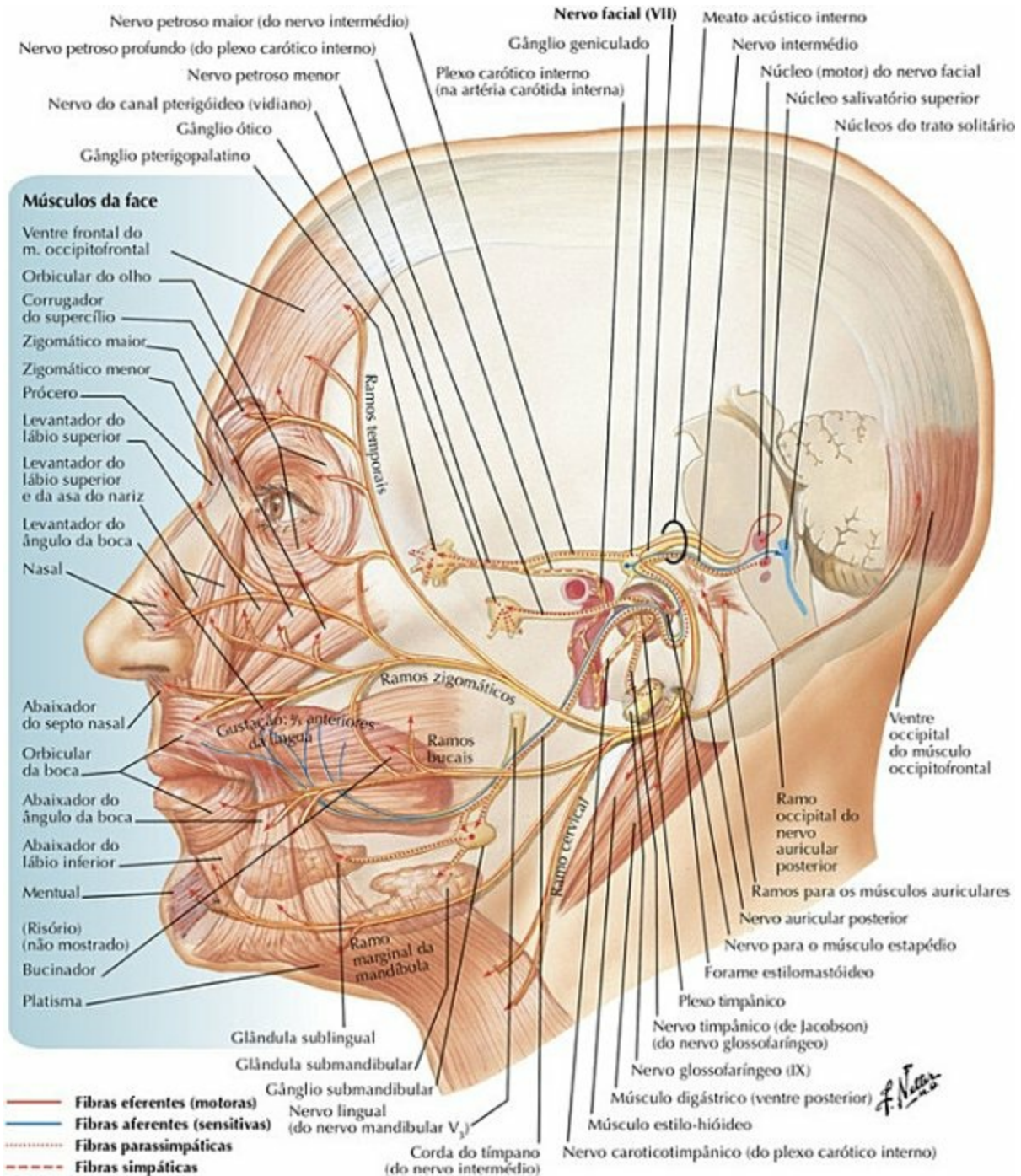
PRANCHA 122 Nervos Cranianos e Espinais Cervicais
Veja também **Pranchas 88, 133**

Nervo Trigêmeo (V): Esquema



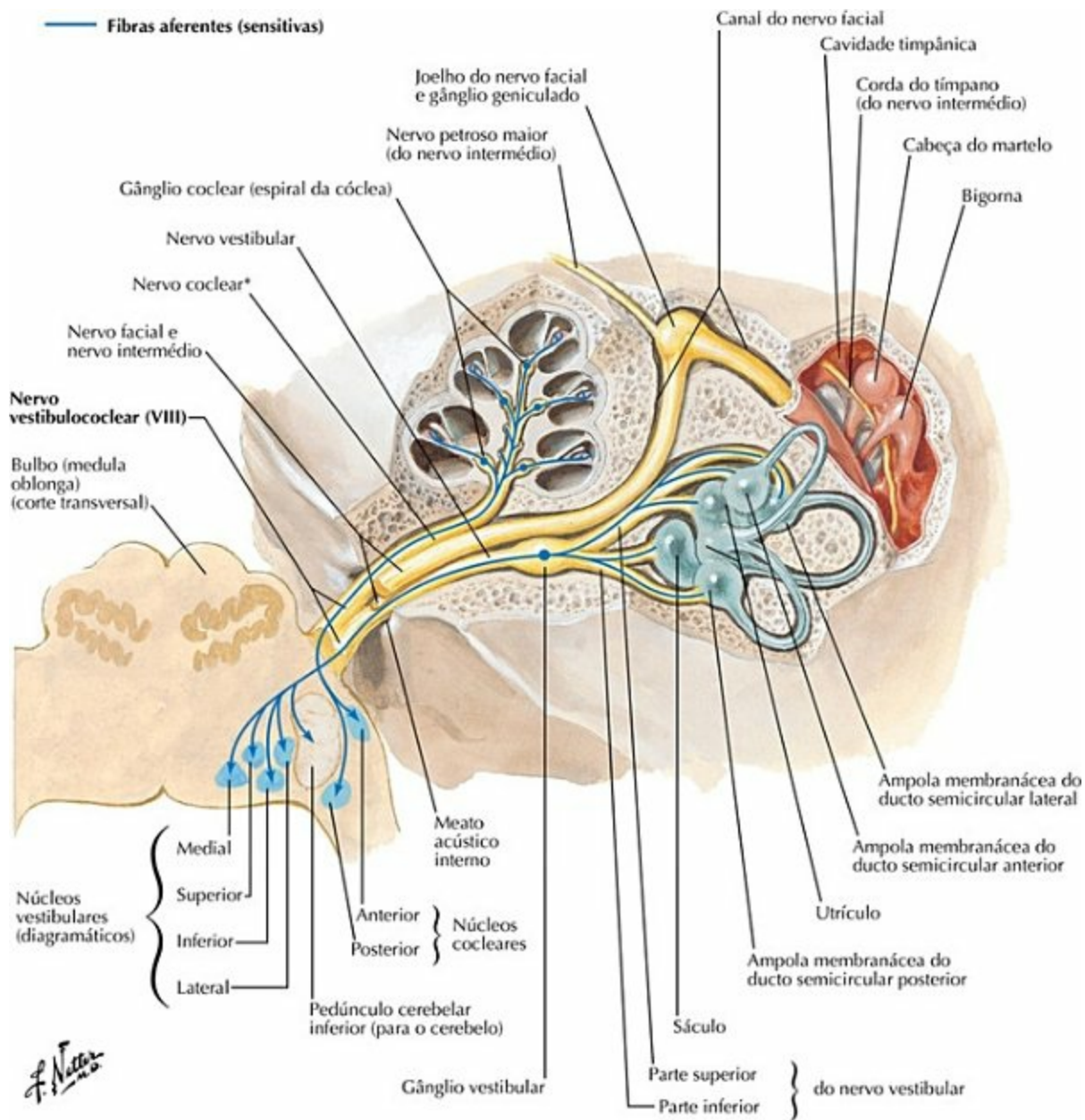
PRANCHA 123 Nervos Cranianos e Espinais Cervicais
Veja também **Pranchas 2, 50, 52**

Nervo Facial (VII): Esquema



PRANCHA 124 Nervos Cranianos e Espinais Cervicais
 Veja também **Prancha 24**

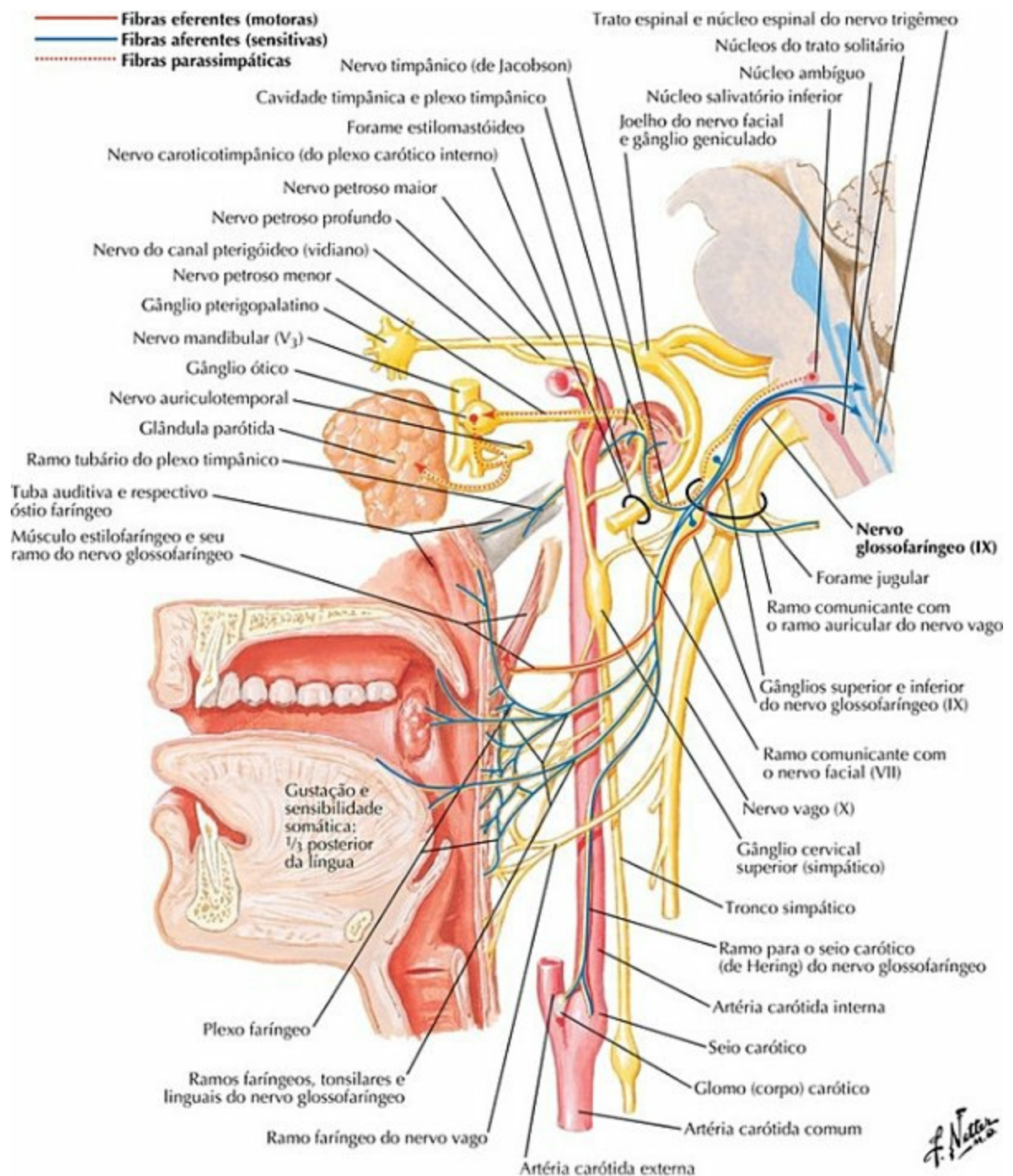
Nervo Vestibulococlear (VIII): Esquema



*Nota: O nervo coclear contém também fibras eferentes ao epitélio sensorial. Essas fibras derivam do nervo vestibular na passagem pelo meato acústico interno.

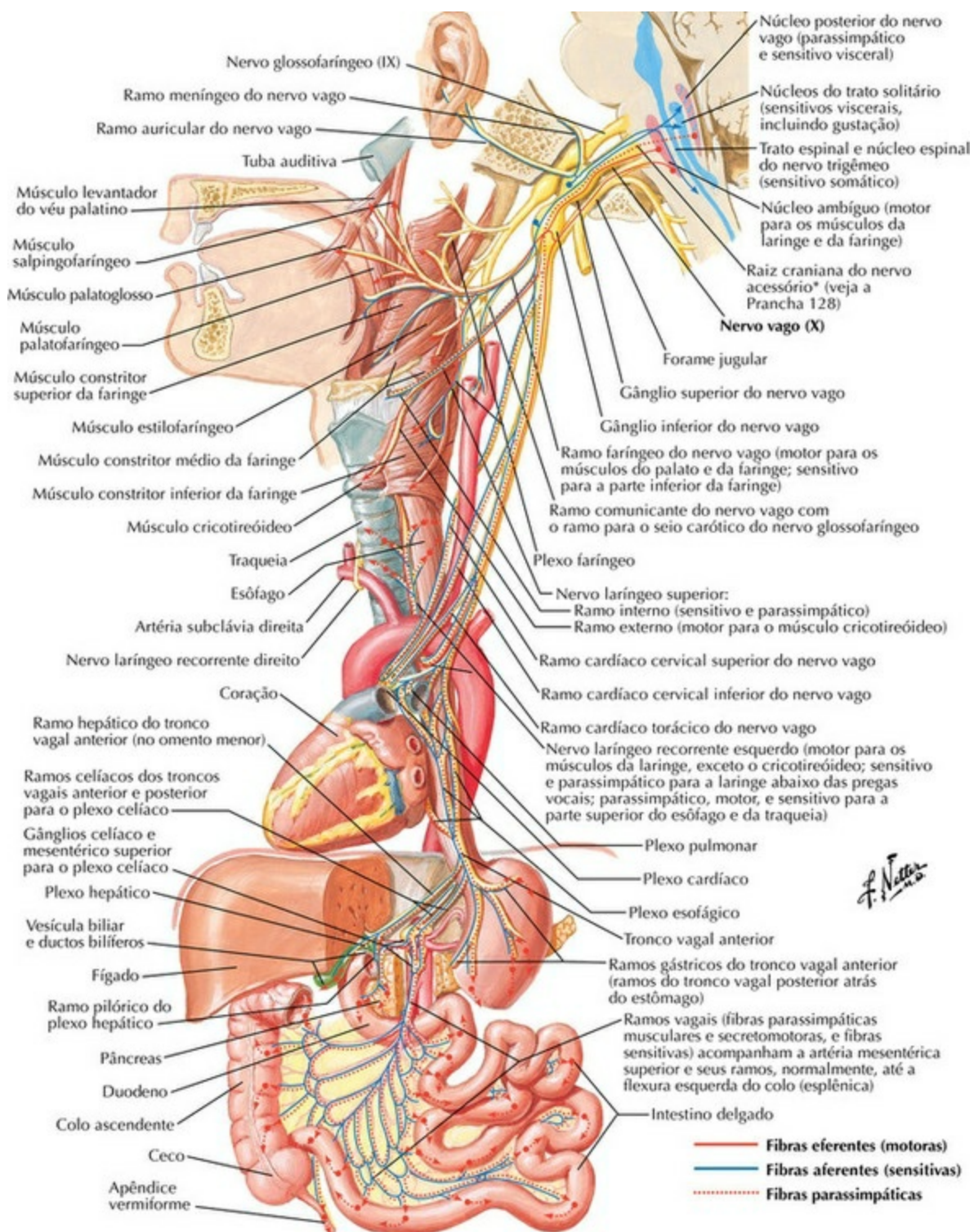
PRANCHA 125 Nervos Cranianos e Espinais Cervicais

Nervo Glossofaríngeo (IX): Esquema



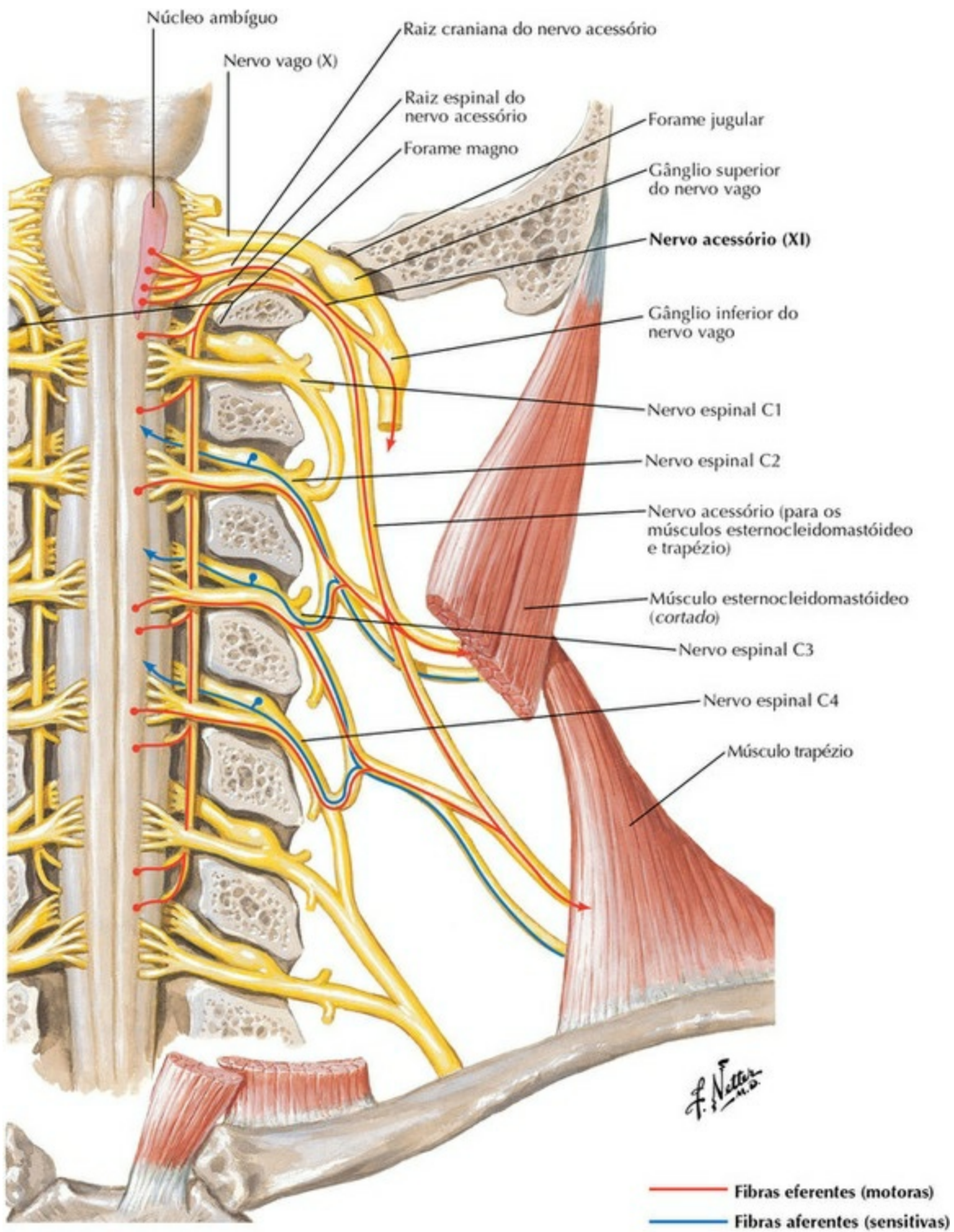
PRANCHA 126 Nervos Cranianos e Espinais Cervicais

Nervo Vago (X): Esquema



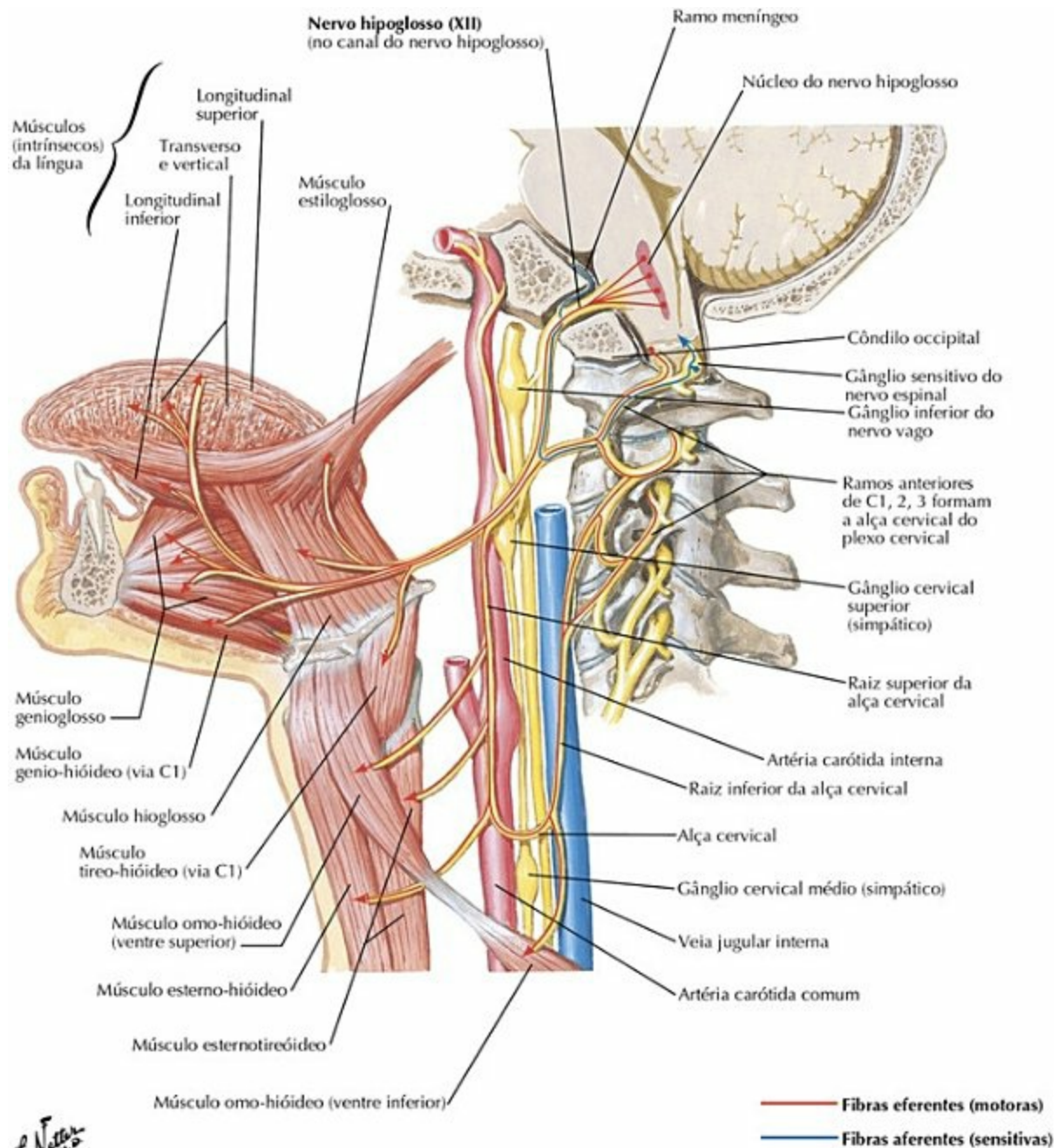
PRANCHA 127 Nervos Cranianos e Espinais Cervicais

Nervo Acessório (XI): Esquema



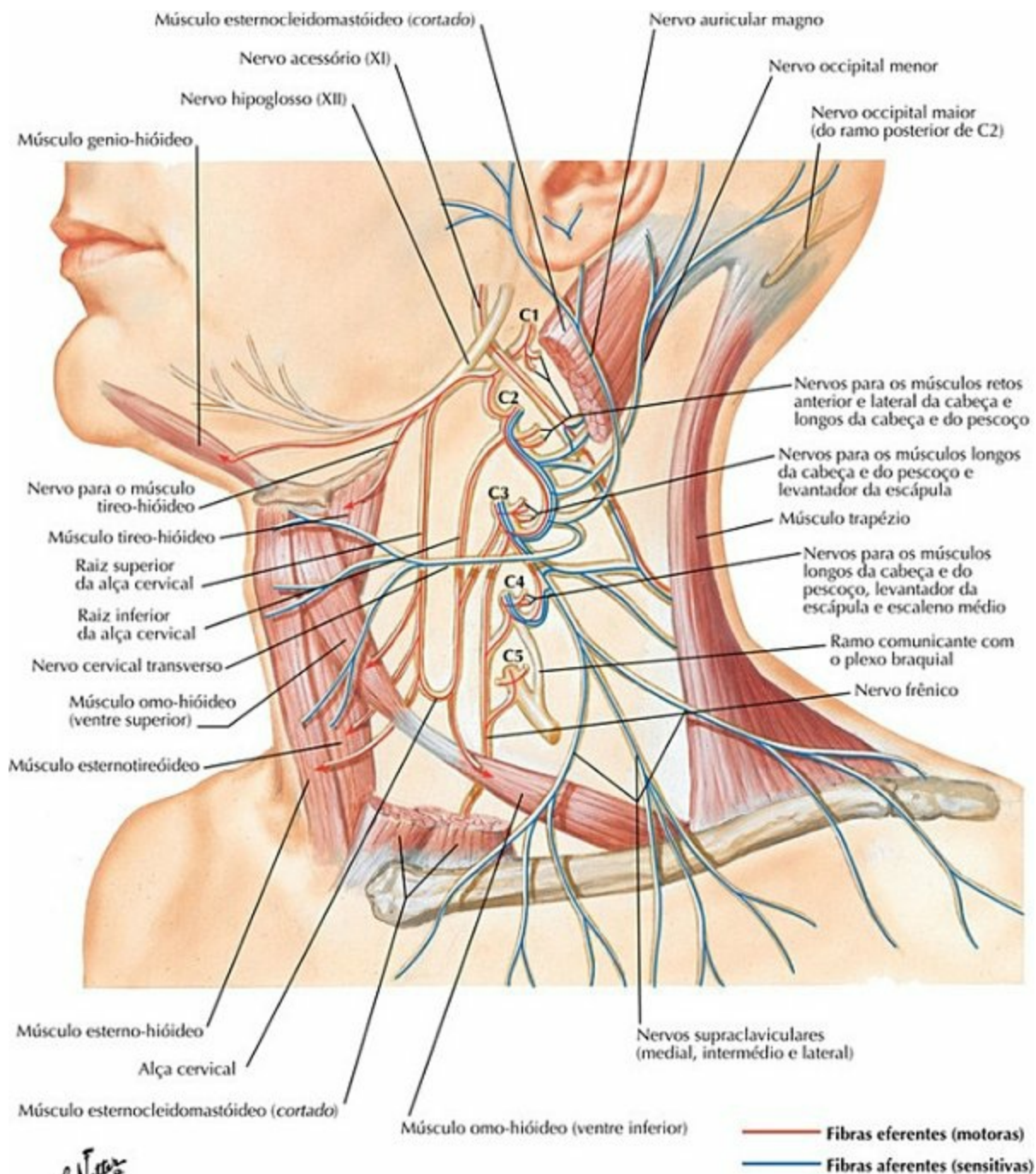
PRANCHA 128 Nervos Cranianos e Espinais Cervicais
Veja também **Prancha 32**

Nervo Hipoglosso (XII): Esquema



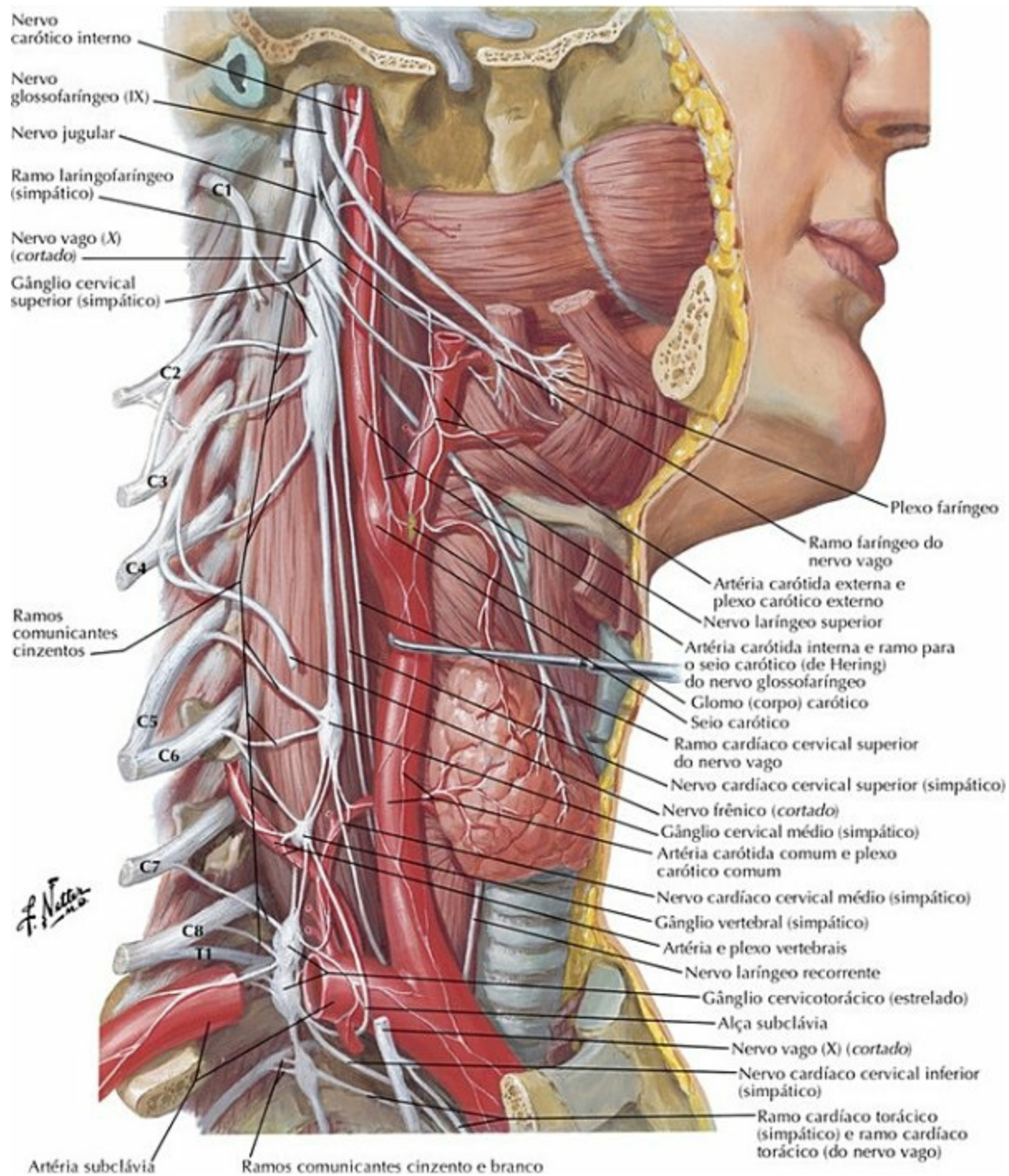
PRANCHA 129 Nervos Cranianos e Espinais Cervicais
Veja também **Prancha 32**

Plexo Cervical: Esquema



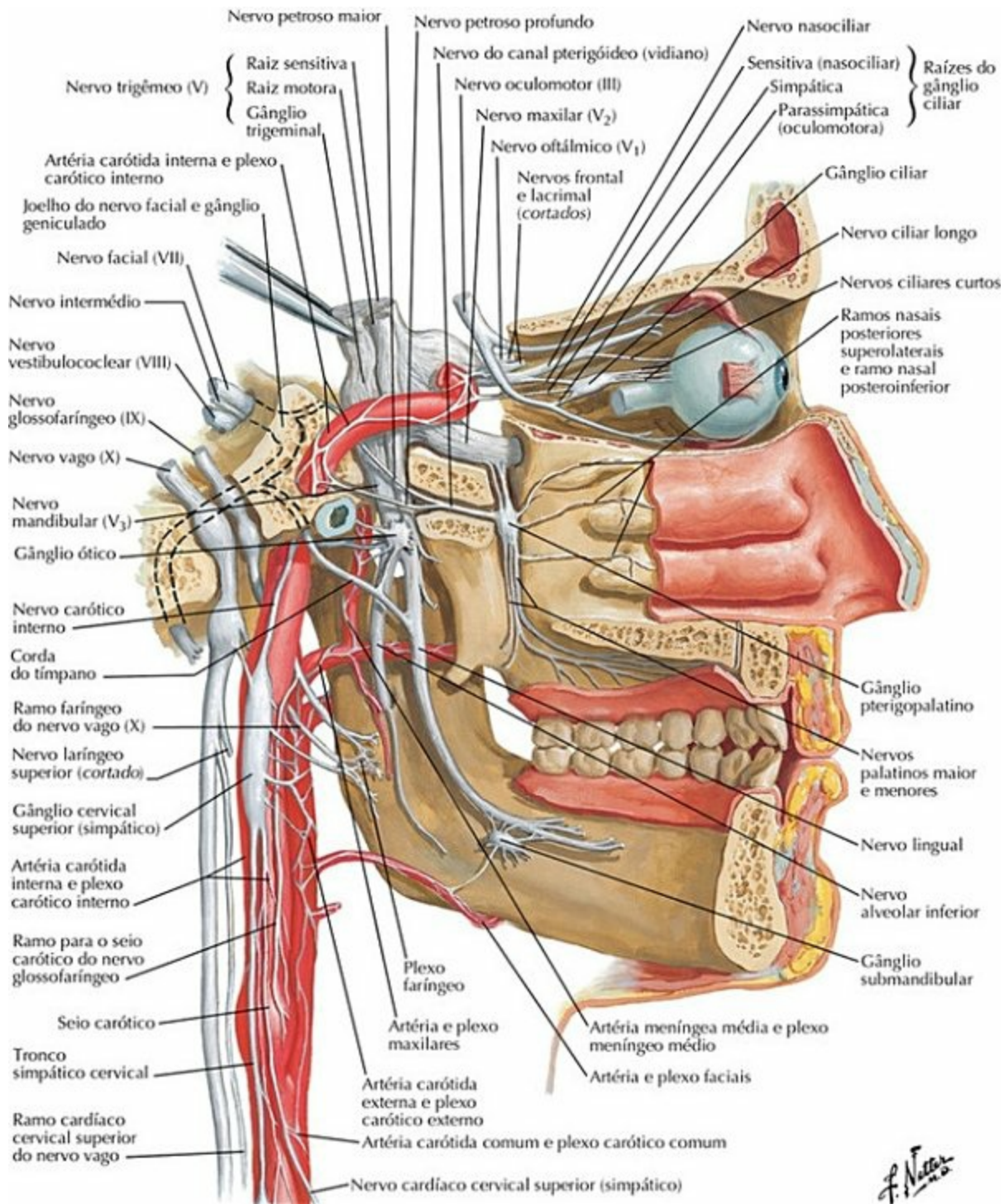
PRANCHA 130 Nervos Cranianos e Espinais Cervicais
 Veja também **Pranchas 32, 33**

Nervos Autônomos no Pescoço



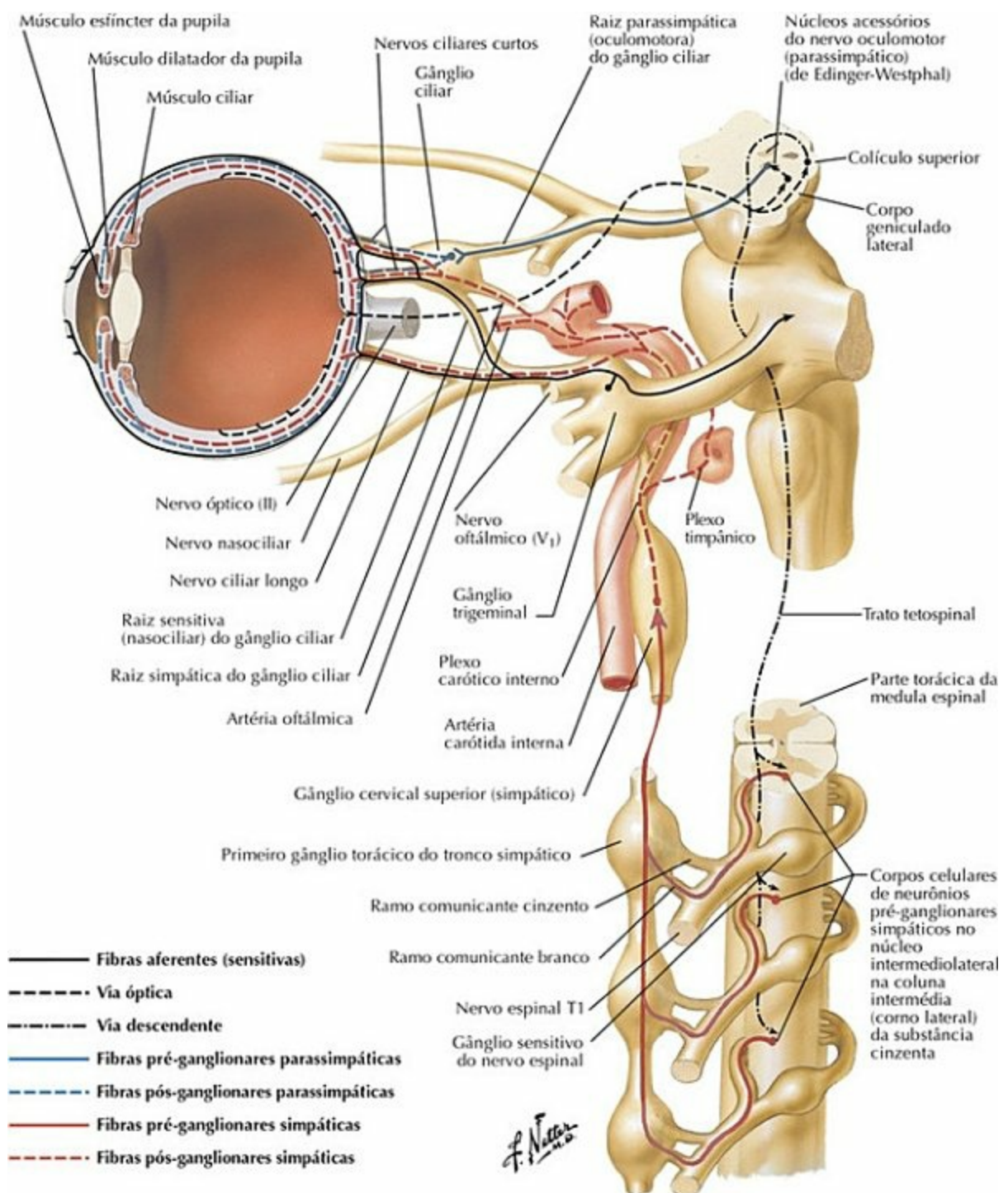
PRANCHA 131 Nervos Cranianos e Espinais Cervicais
 Veja também **Prancha 126**

Nervos Autônomos na Cabeça



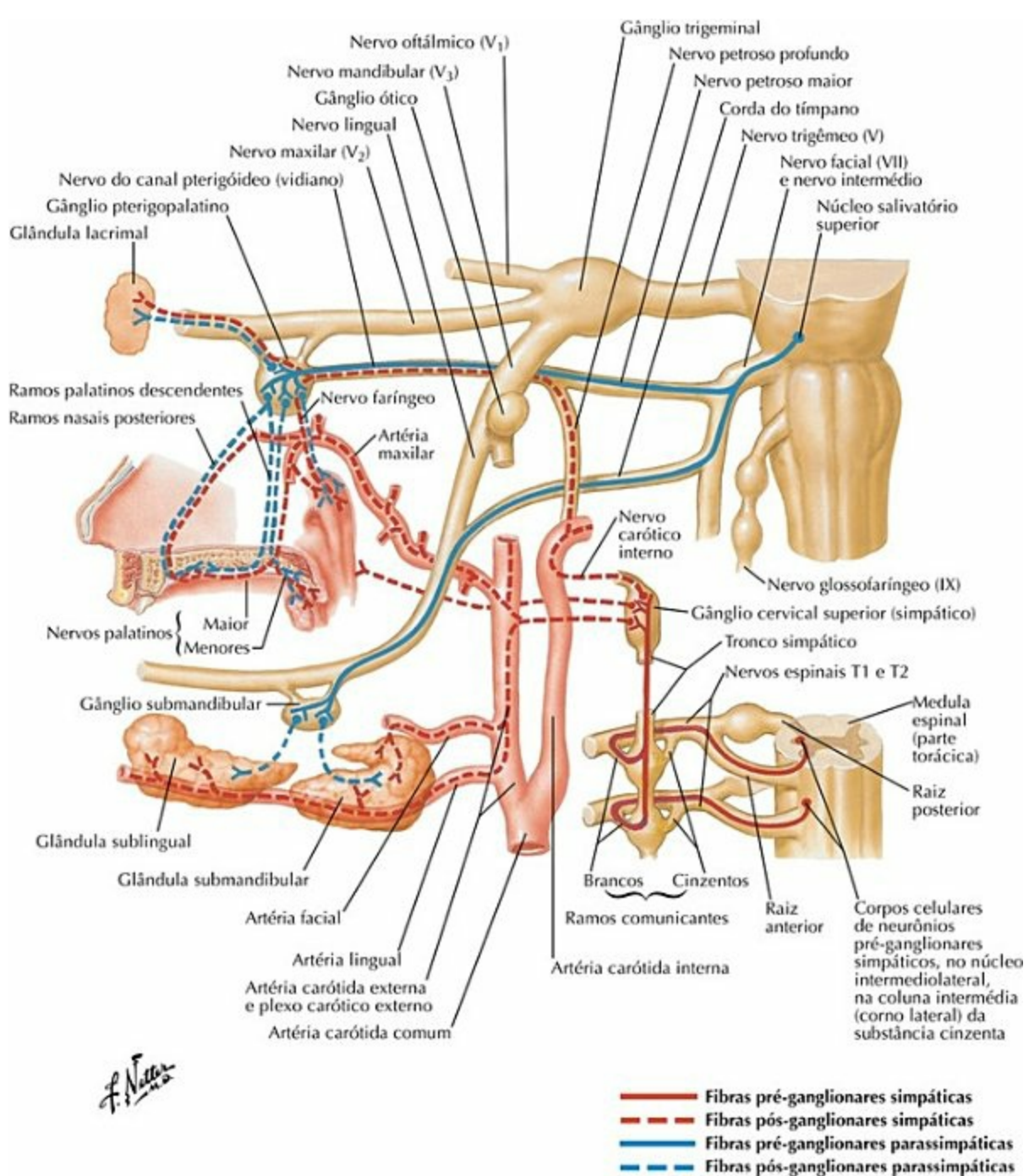
PRANCHA 132 Nervos Cranianos e Espinais Cervicais
Veja também **Pranchas 53, 123, 134**

Gânglio Ciliar: Esquema



PRANCHA 133 Nervos Cranianos e Espinais Cervicais
 Veja também **Prancha 53**

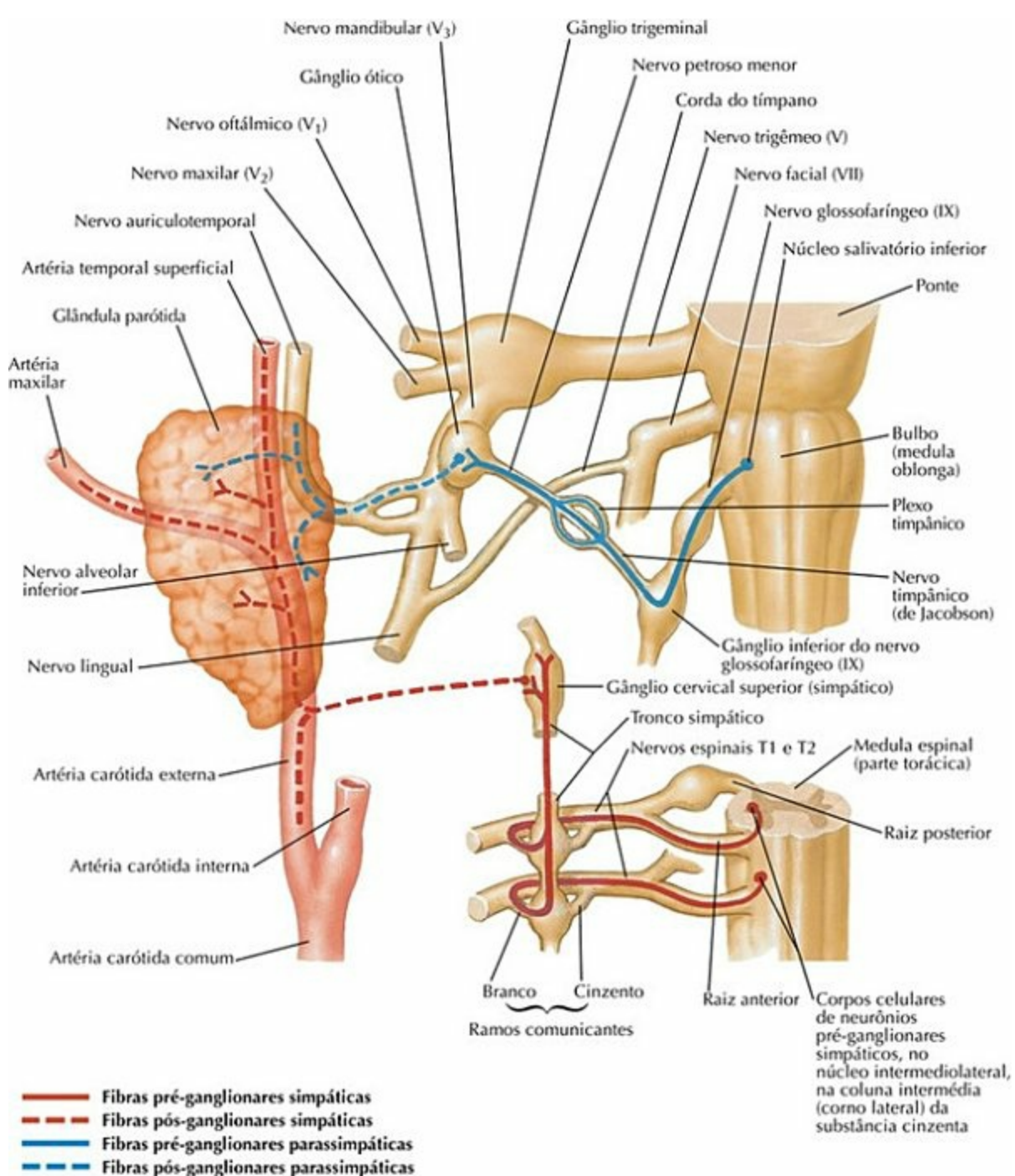
Gânglios Pterigopalatino e Submandibular: Esquema



PRANCHA 134 Nervos Cranianos e Espinais Cervicais

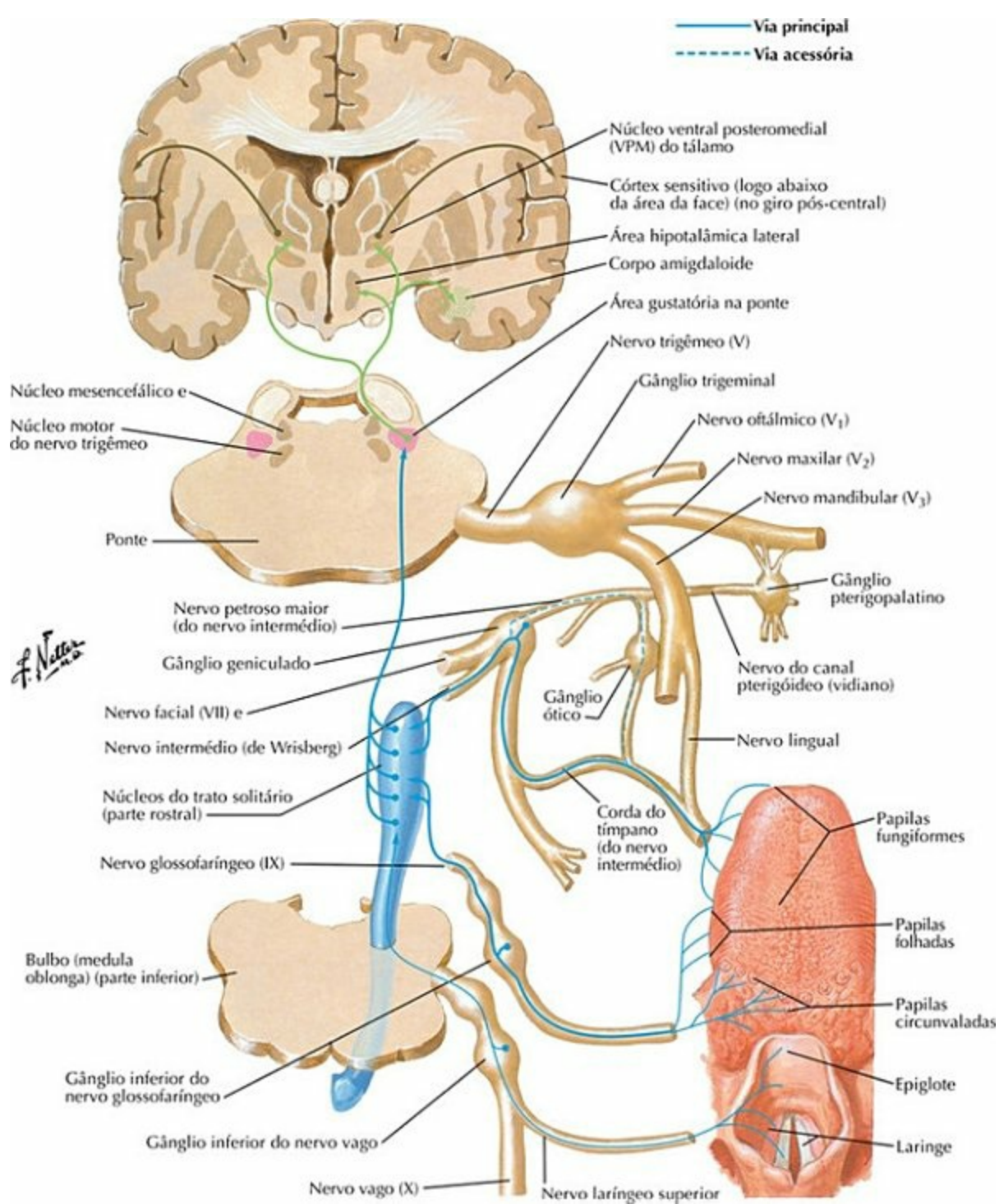
Veja também [Prancha 84](#)

Gânglio Ótico: Esquema



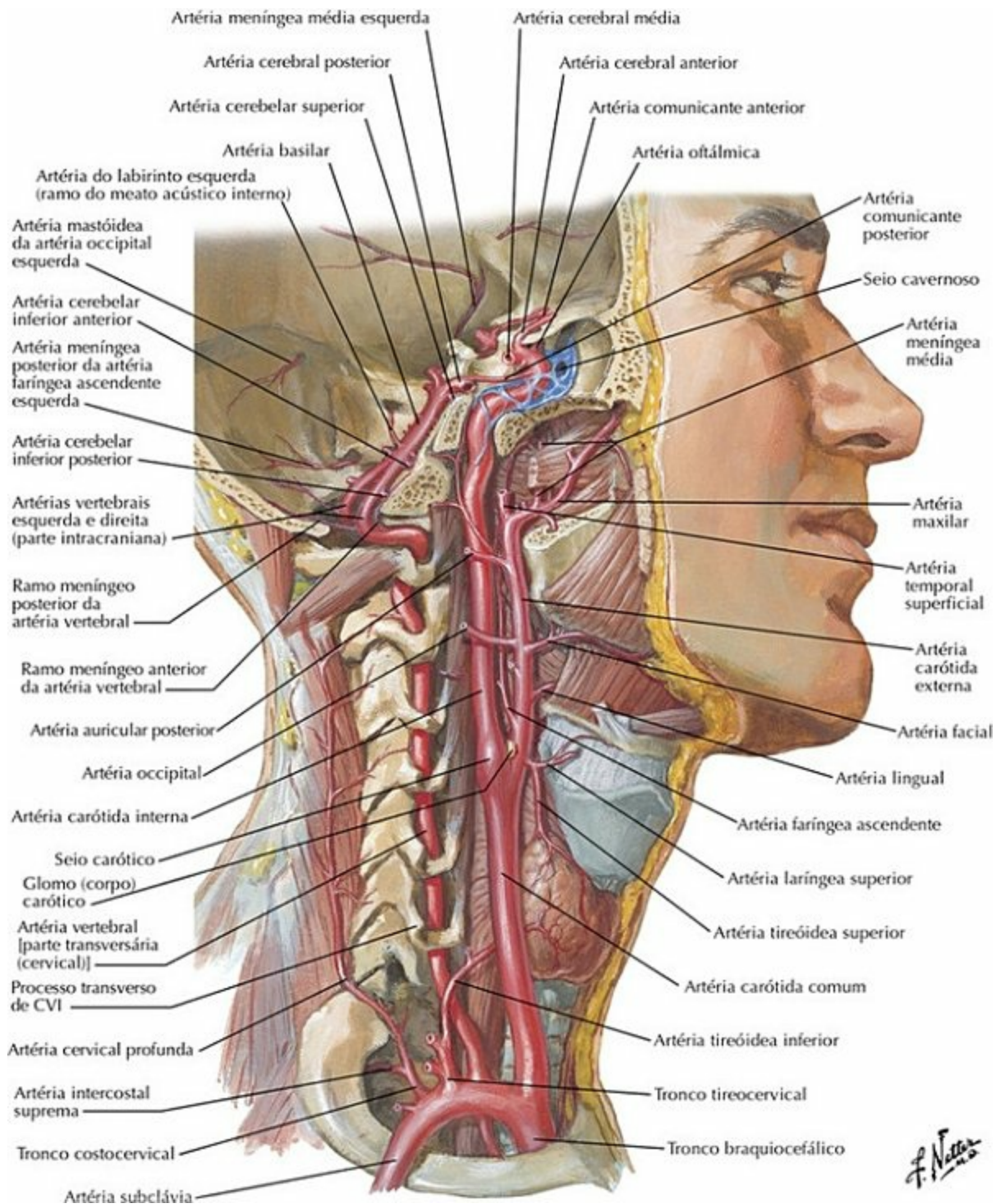
PRANCHA 135 Nervos Cranianos e Espinais Cervicais

Vias Gustatórias: Esquema



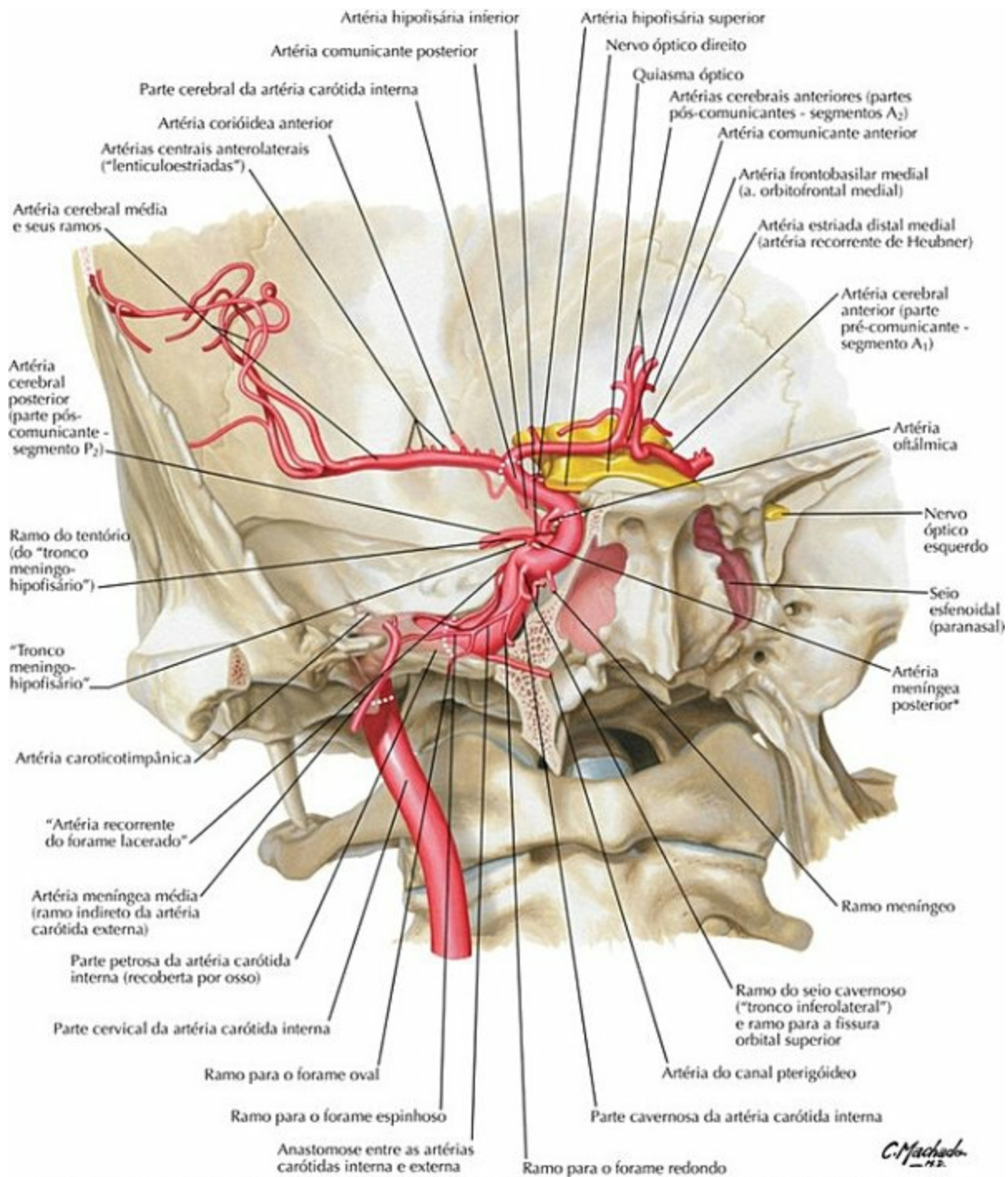
PRANCHA 136 Nervos Cranianos e Espinais Cervicais
 Veja também **Pranchas 124, 126, 127**

Artérias do Encéfalo e das Meninges



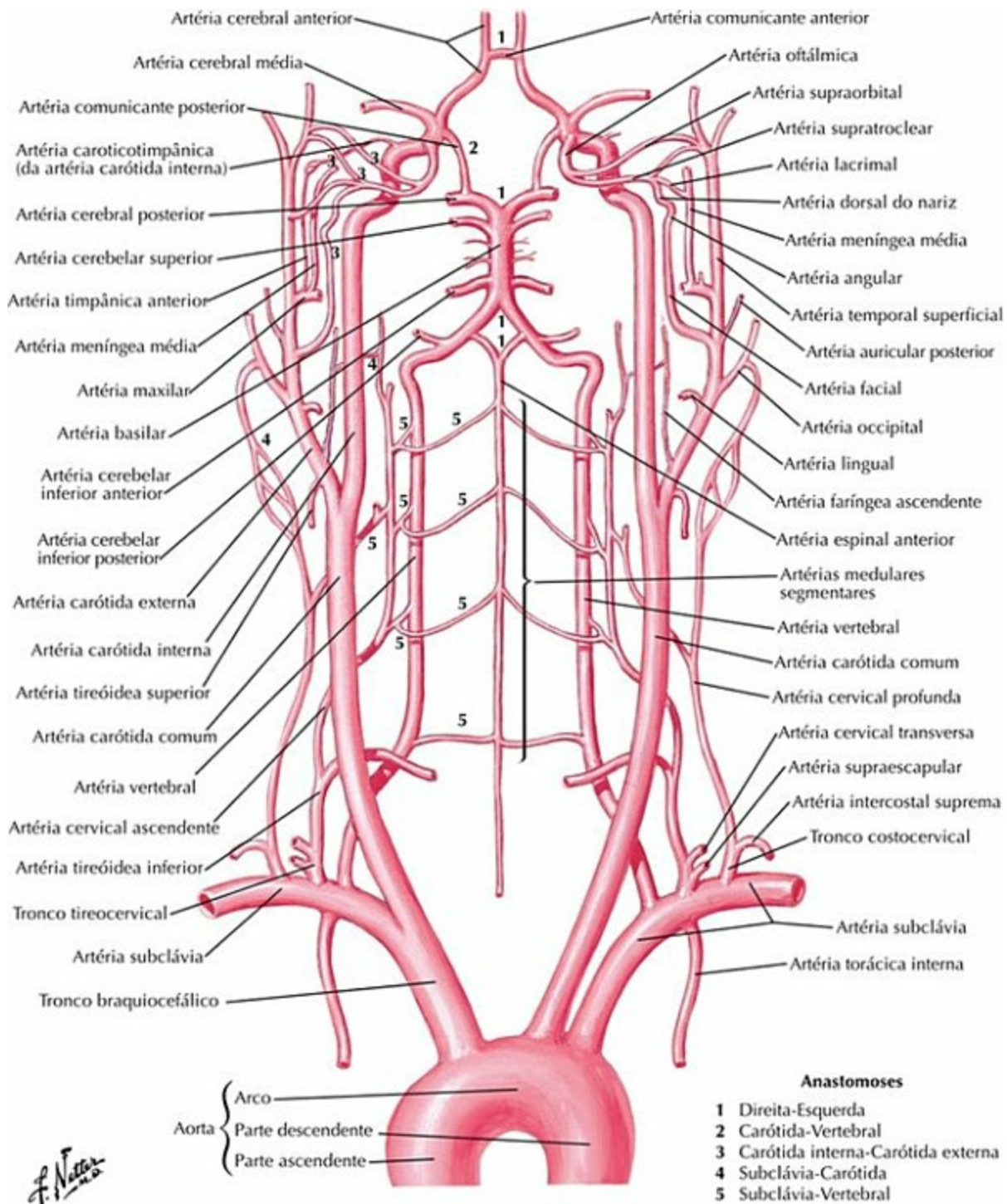
PRANCHA 137 Vascularização do Encéfalo
Veja também **Prancha 34**

Artéria Carótida Interna na Parte Petrosa do Osso Temporal



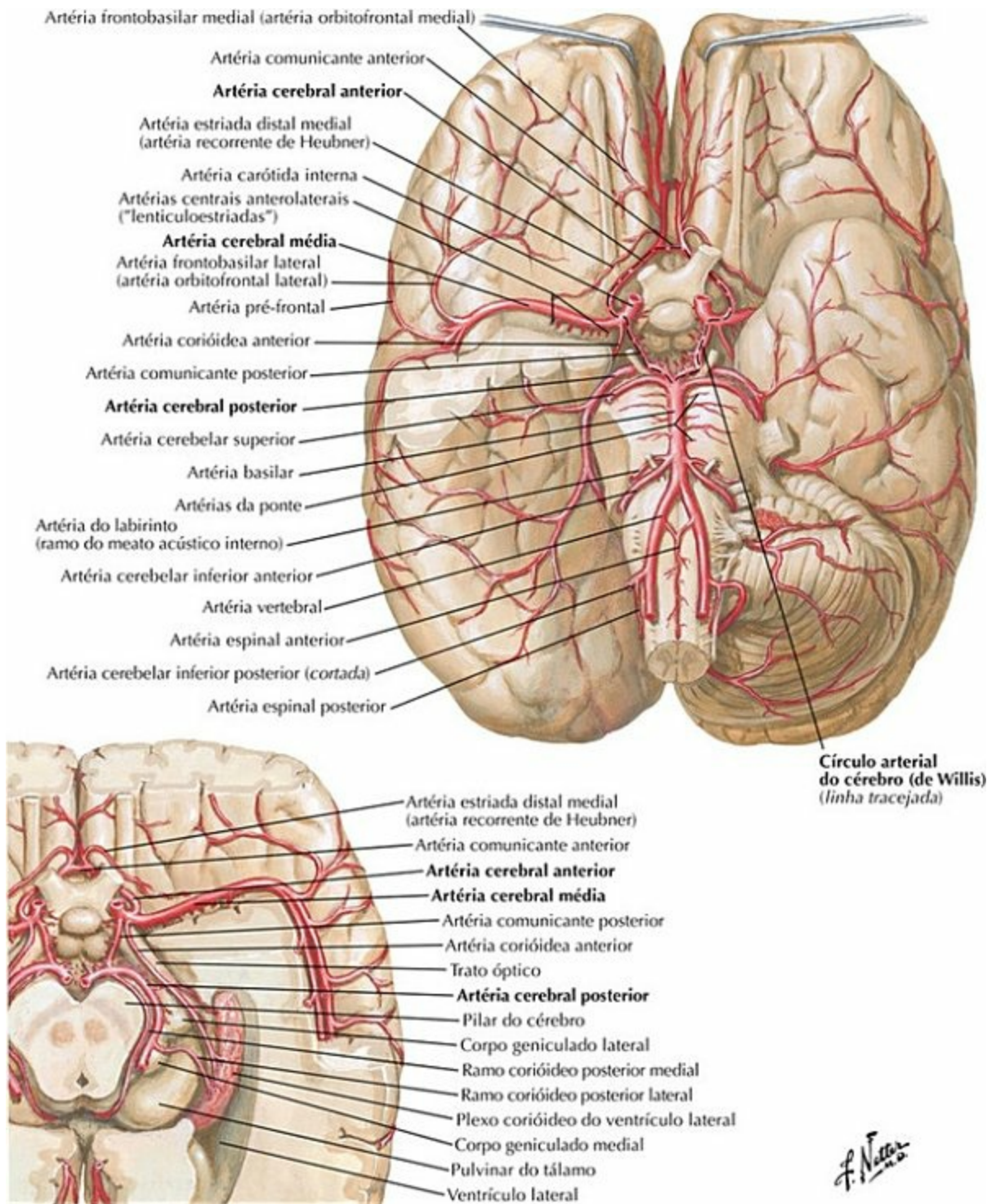
PRANCHA 138 Vascularização do Encéfalo

Artérias para o Encéfalo: Esquema



PRANCHA 139 Vascularização do Encéfalo

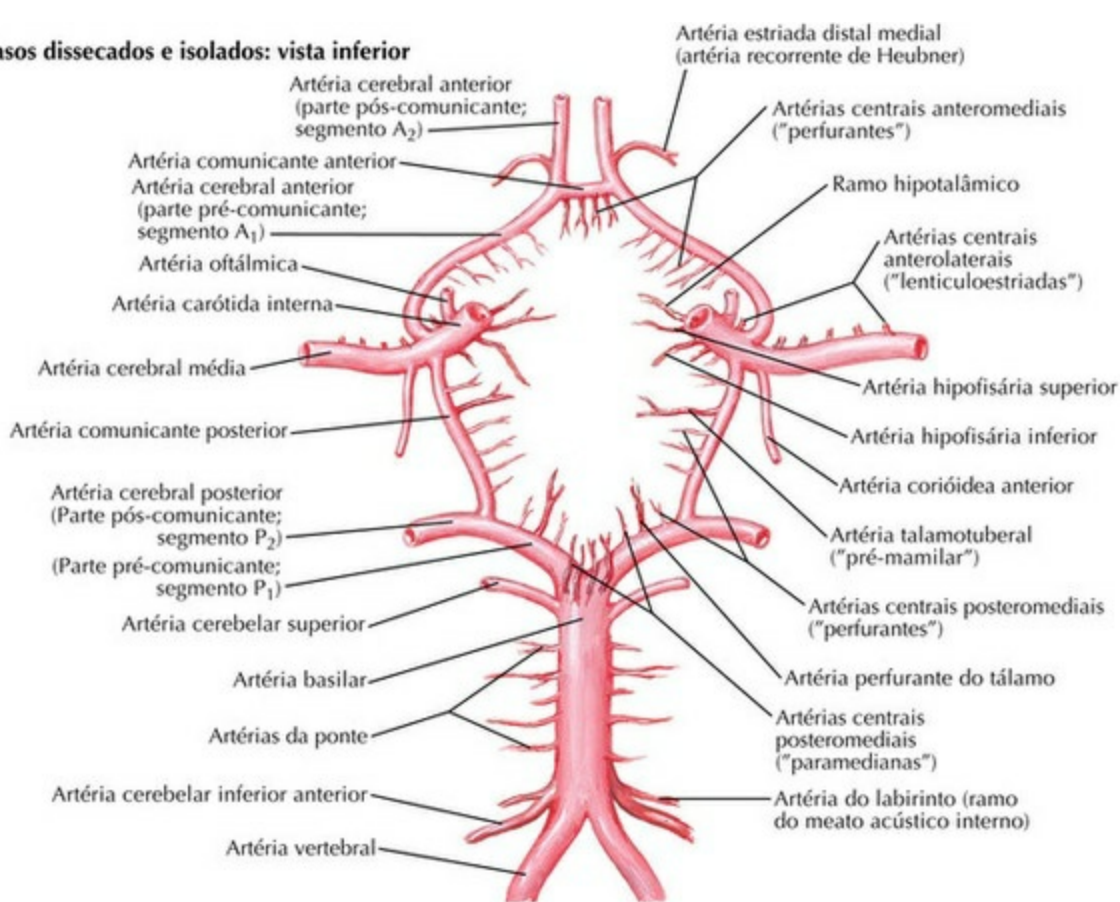
Artérias do Encéfalo: Vistas Inferiores



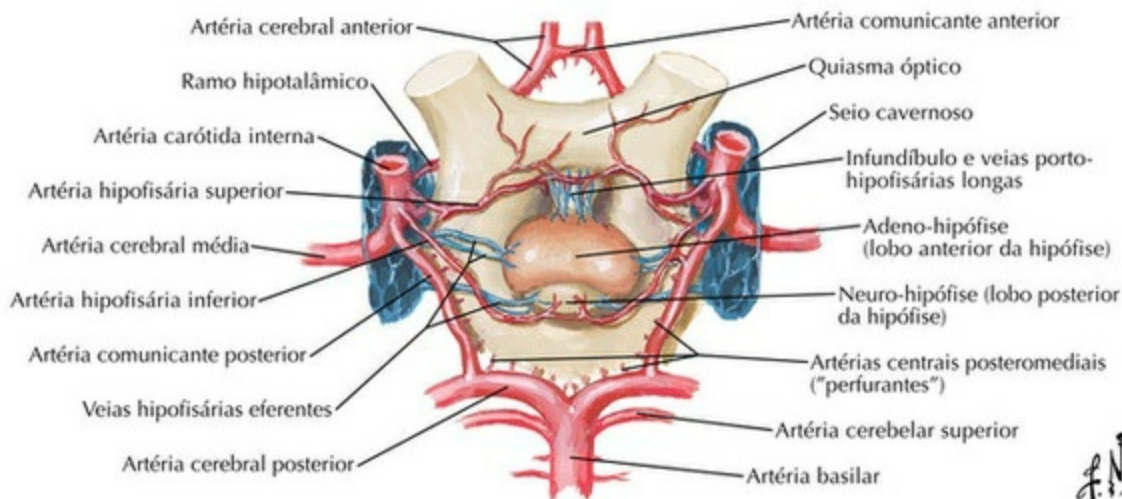
PRANCHA 140 Vascularização do Encéfalo

Círculo Arterial do Cérebro (de Willis)

Vasos dissecados e isolados: vista inferior



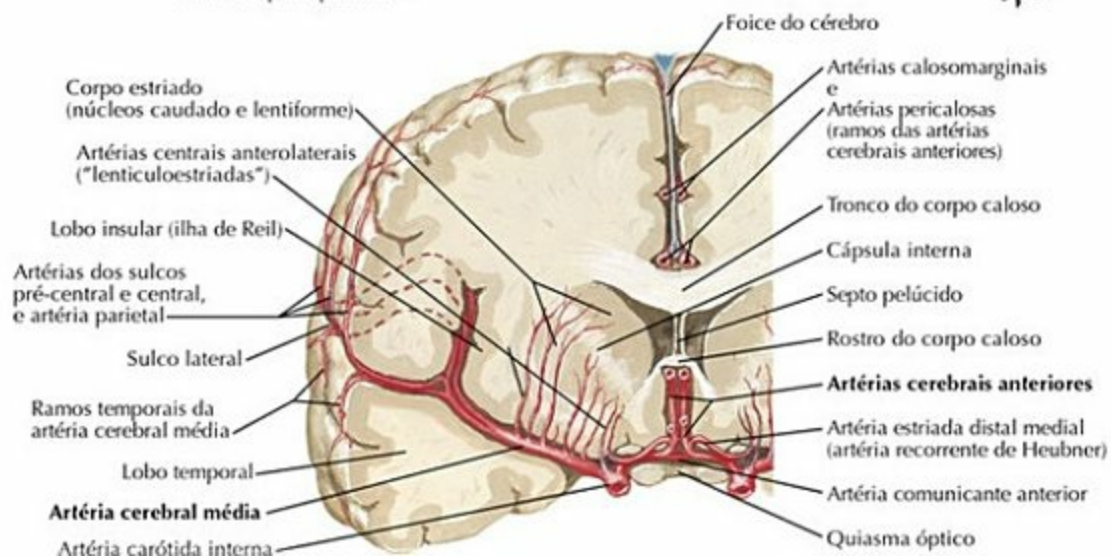
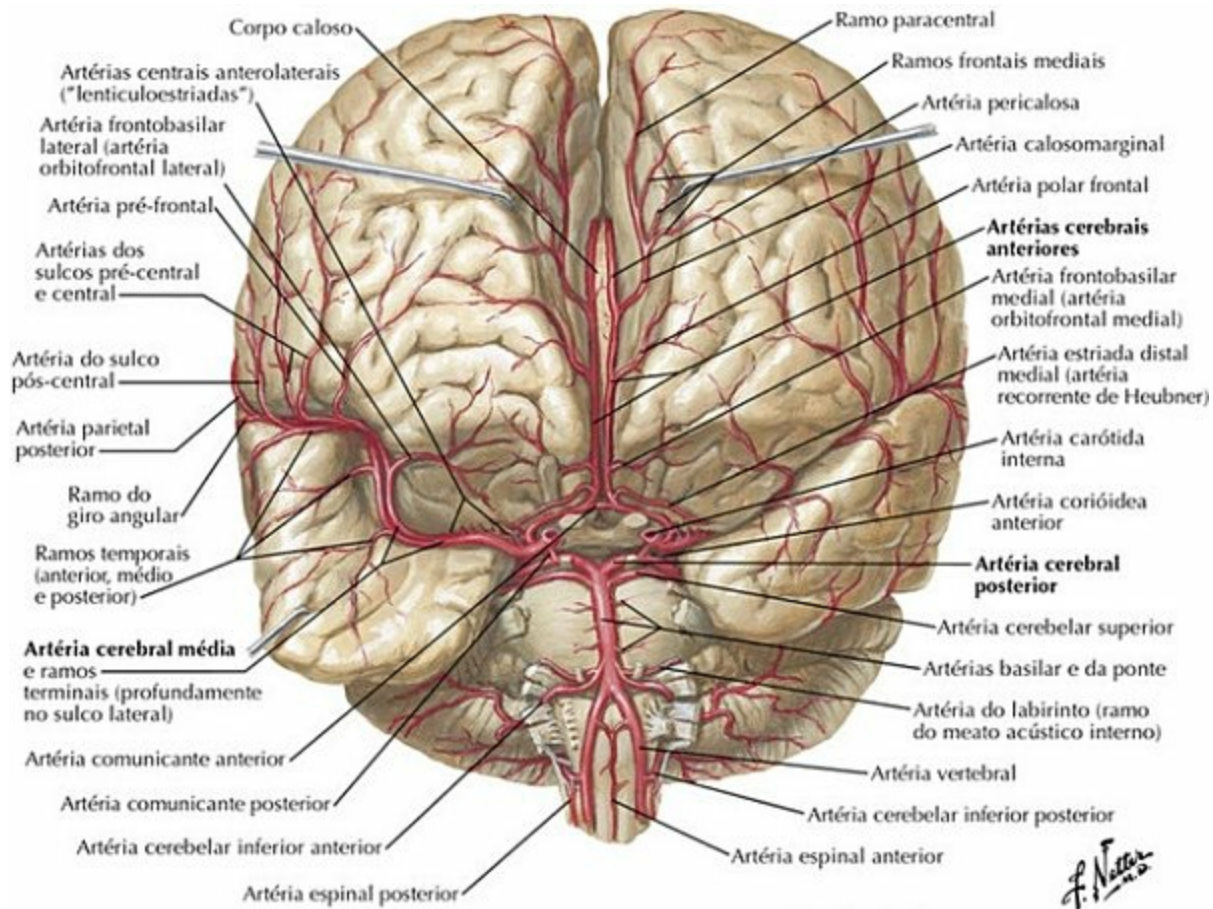
Vasos *in situ*: vista inferior



PRANCHA 141 Vascularização do Encéfalo

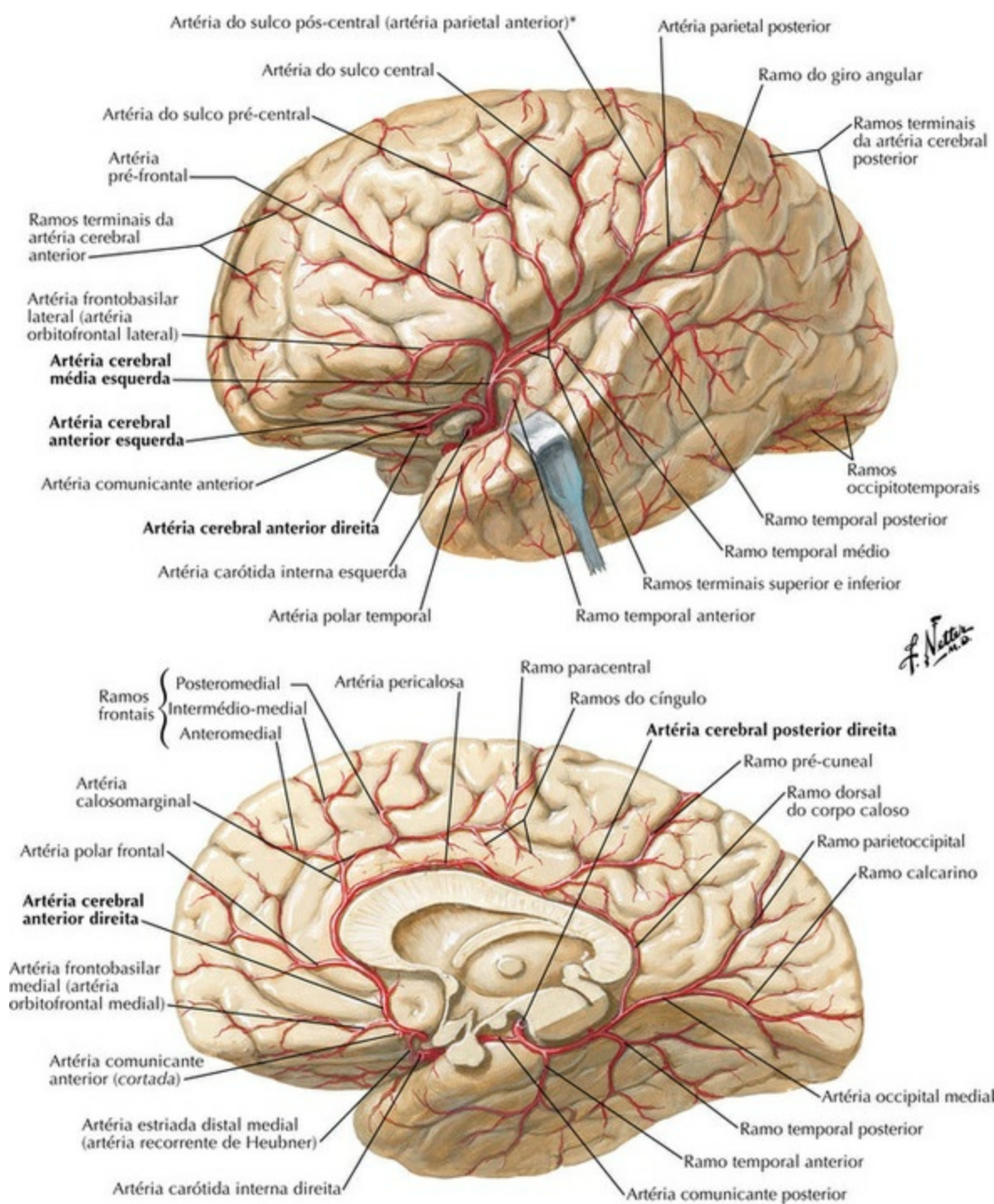
Para as artérias hipofisárias veja [Prancha 149](#)

Artérias do Encéfalo: Vista e Corte Frontais



PRANCHA 142 Vascularização do Encéfalo

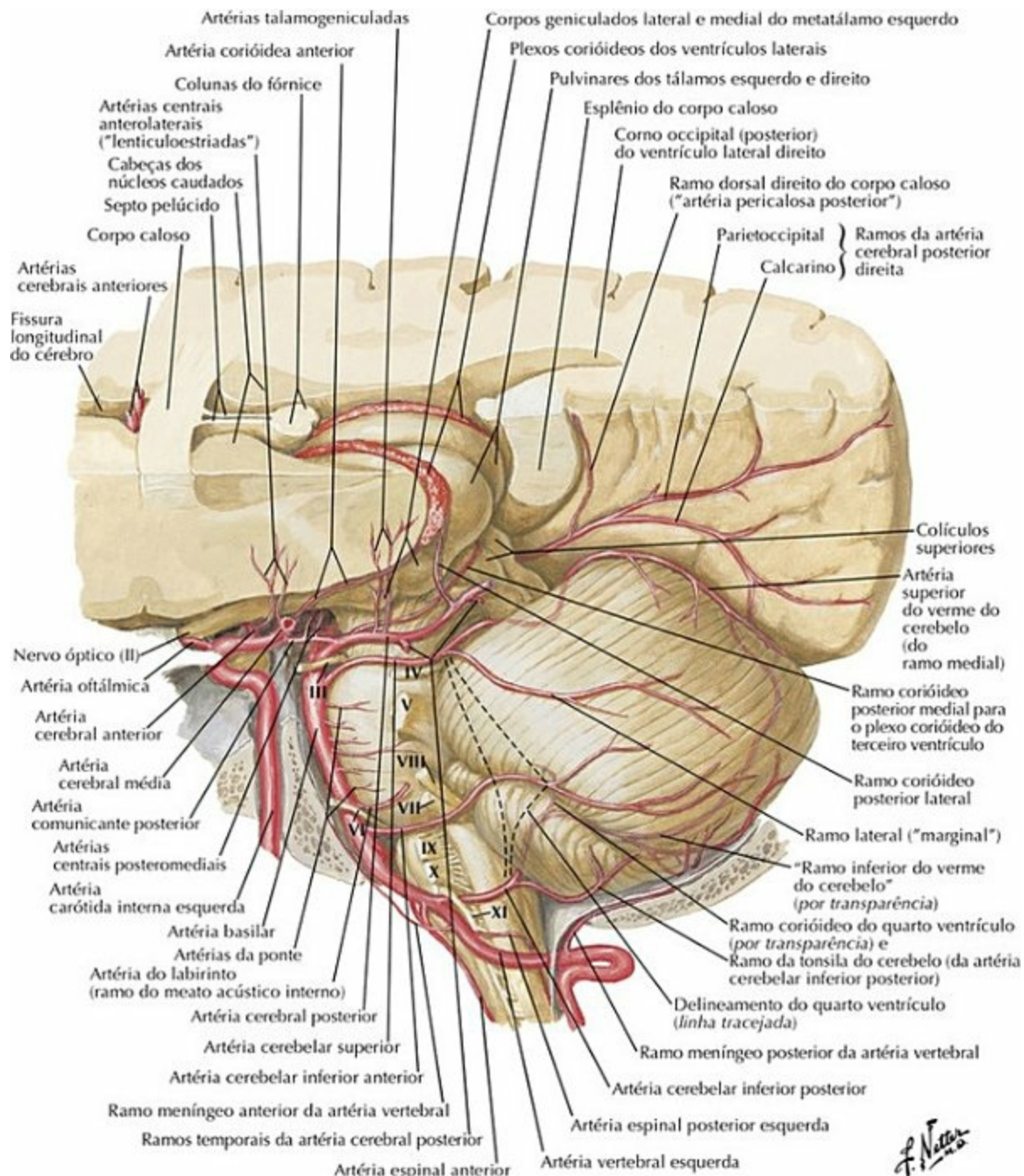
Artérias do Cérebro: Vistas Lateral e Medial



*Nota: A artéria do sulco pós-central (artéria parietal anterior) também ocorre separadamente como artéria do sulco pós-central e artéria parietal anterior.

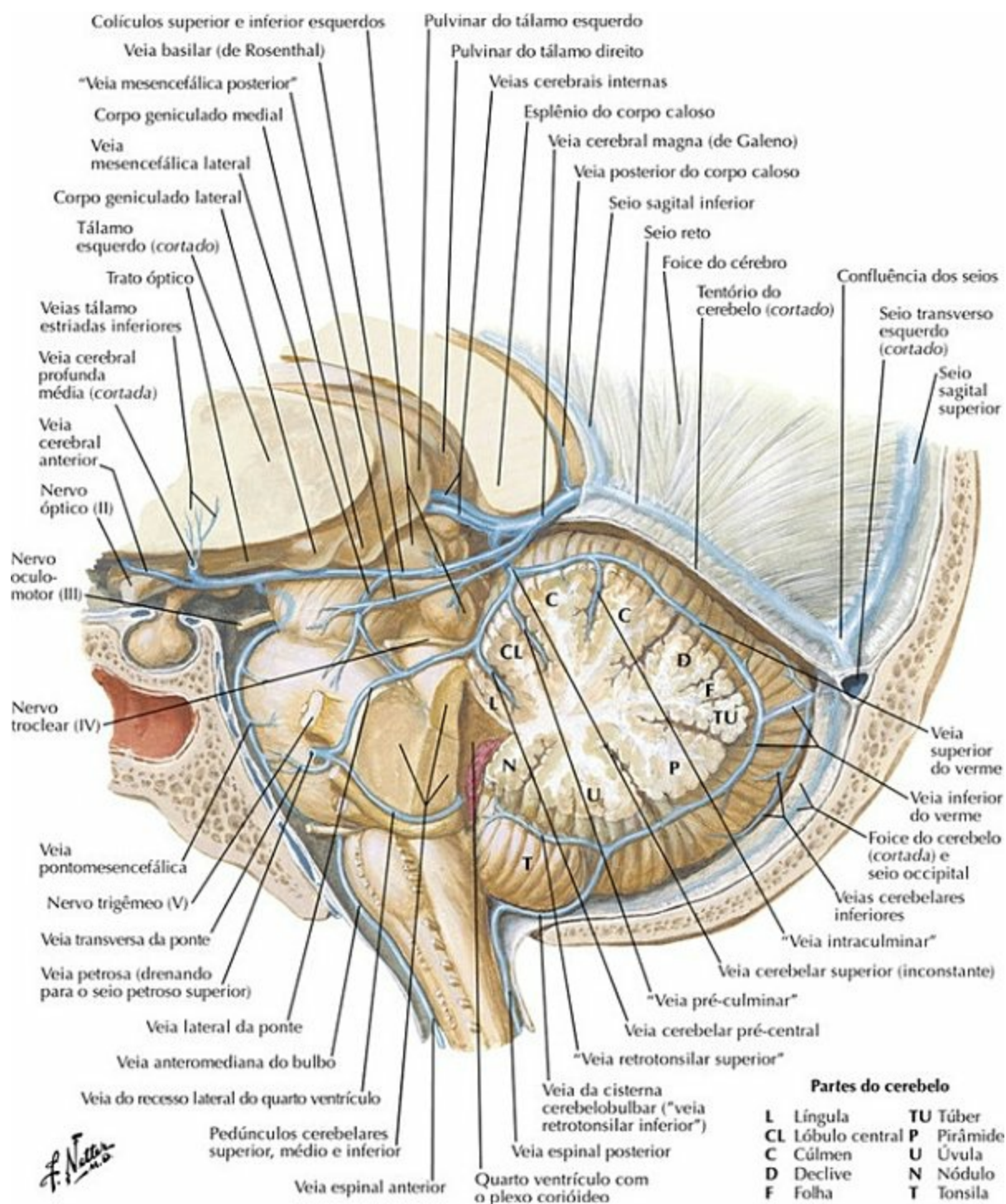
PRANCHA 143 Vascularização do Encéfalo

Artérias da Fossa Posterior do Crânio



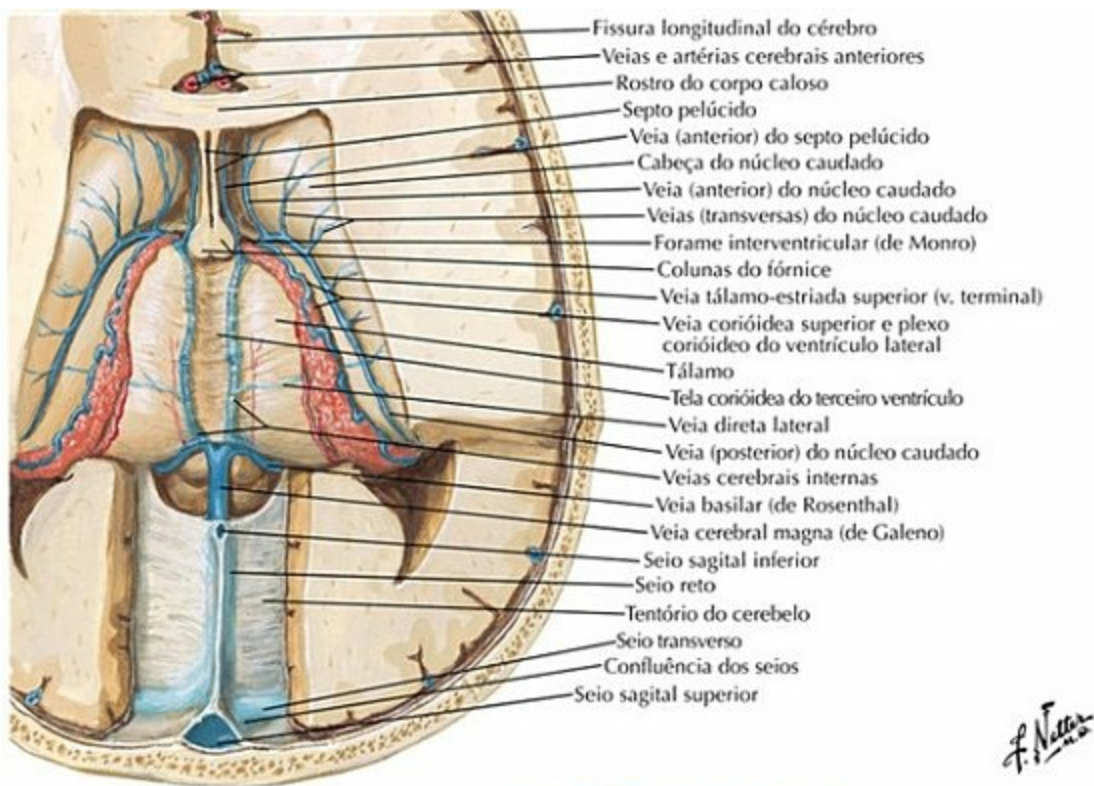
PRANCHA 144 Vascularização do Encéfalo

Veias da Fossa Posterior do Crânio

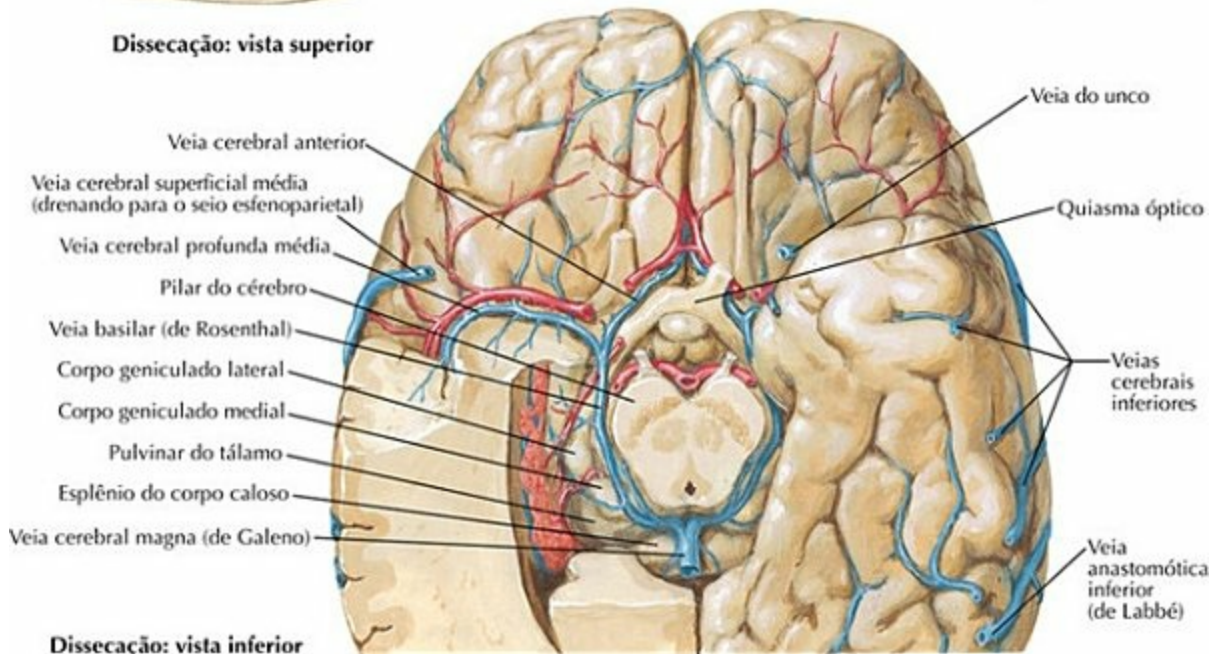


PRANCHA 145 Vascularização do Encéfalo

Veias Profundas do Cérebro



Dissecção: vista superior

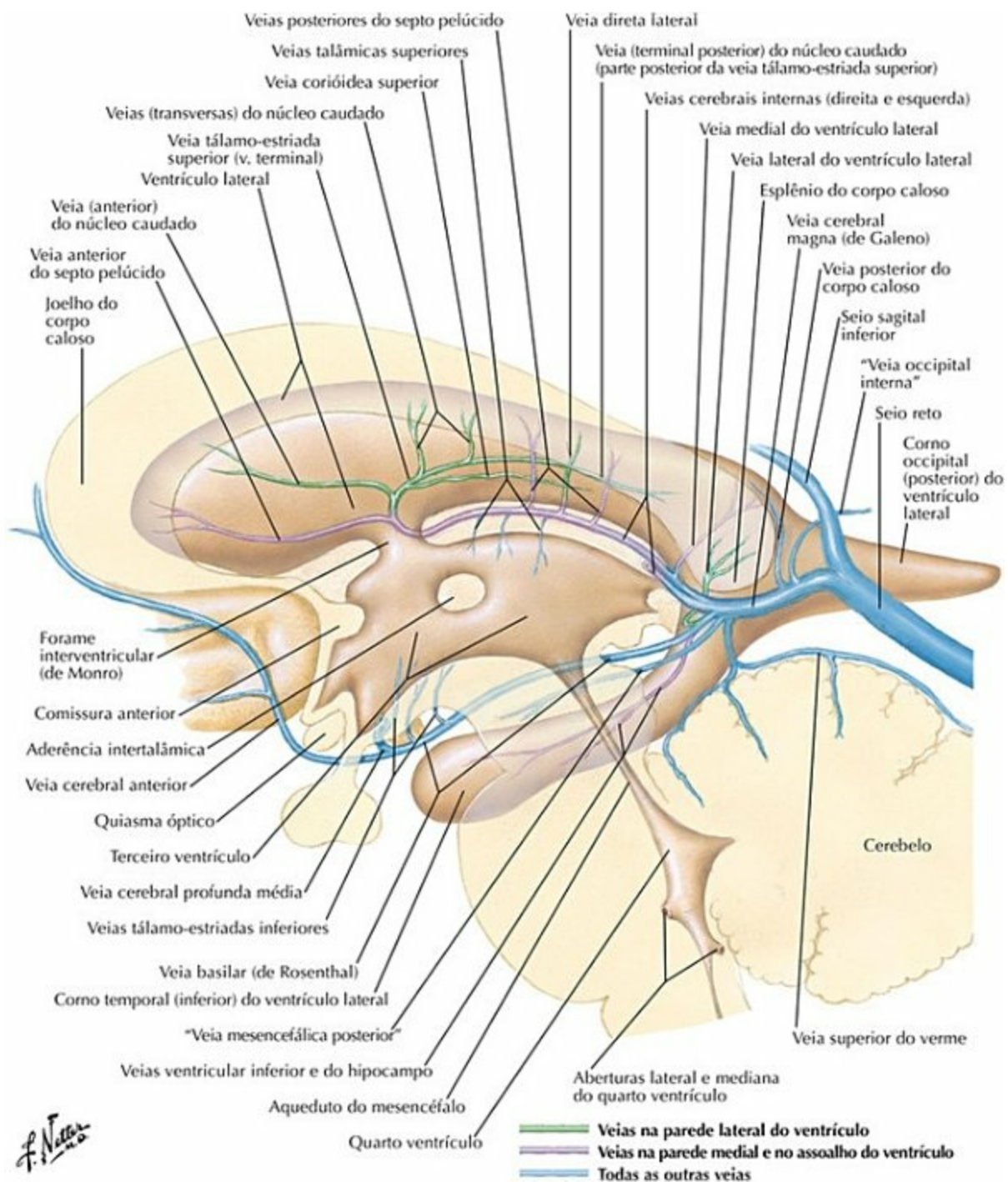


Dissecção: vista inferior

PRANCHA 146 Vascularização do Encéfalo

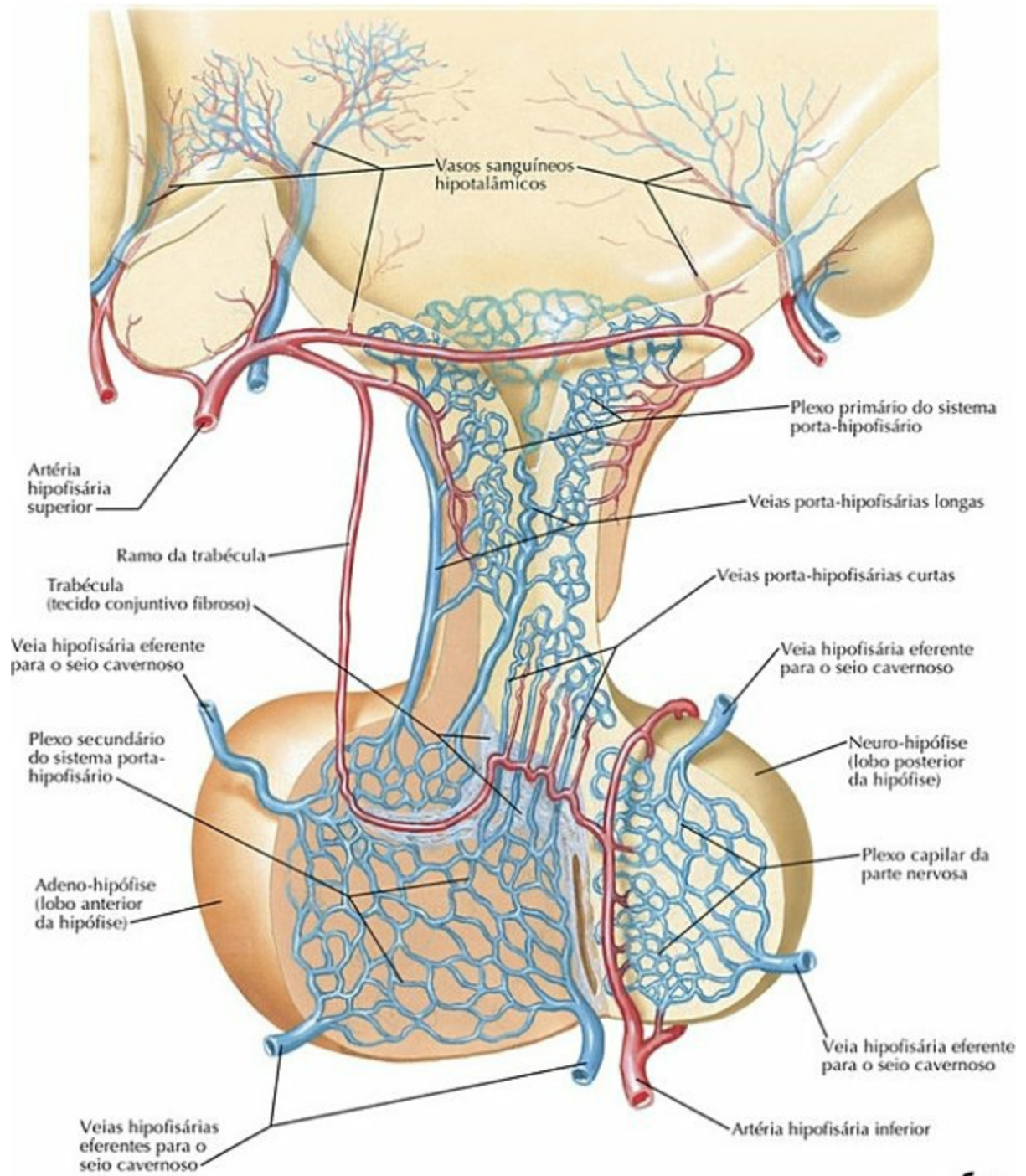
Para as veias superficiais do cérebro veja **Prancha 103**

Veias Subependimárias do Encéfalo



PRANCHA 147 Vascularização do Encéfalo

Hipotálamo e Hipófise



PRANCHA 149 Vascularização do Encéfalo
Veja também **Prancha 141**

Imagens da Cabeça (VRM e ARM)

Veias cerebrais superiores

Seio sagital superior

Veia cerebral interna

Veia cerebral magna (de Galeno)

Seio reto

Seio transverso

Seio sigmóideo

Veia jugular interna



Artéria cerebral anterior

Artéria comunicante anterior

Artéria cerebral média

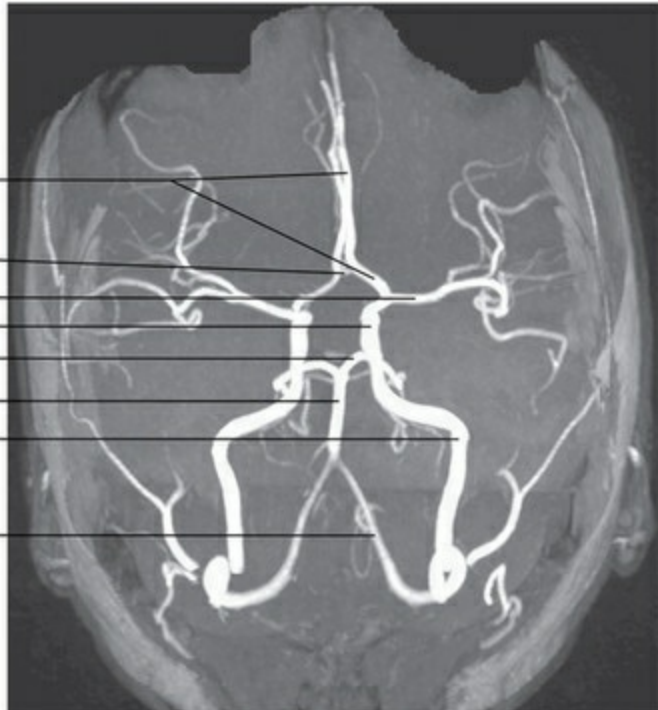
Artéria comunicante posterior

Artéria cerebral posterior

Artéria basilar

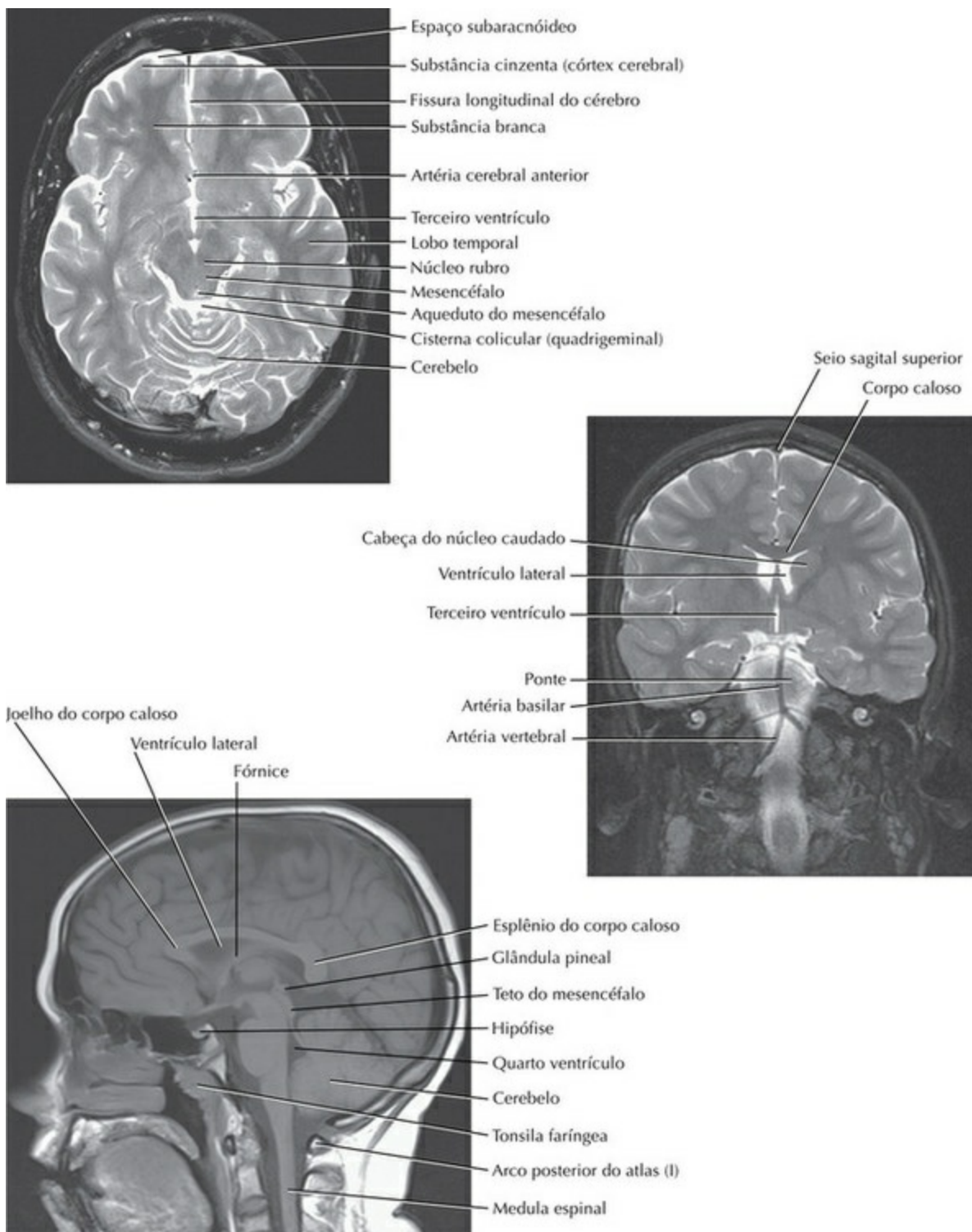
Artéria carótida interna

Artéria vertebral



PRANCHA 150 Imagens Regionais

Imagens da Cabeça (RM)



PRANCHA 151 Imagens Regionais

Tabelas de Músculos

Tabela 1-1

Tabelas de Músculos

INSERÇÃO

INSERÇÃO
DISTAL

MÚSCULOS	PROXIMAL (ponto fixo)	(ponto móvel)	INERVAÇÃO	AÇÕES PRINCIPAIS	SUPRIMENTOS SANGÜÍNEOS
Auricular anterior	Fáscia temporal, aponeurose epicrânica	Parte anterior da superfície medial da hélice da orelha	Ramos auricular posterior e temporal do nervo facial	Eleva e desvia a orelha para frente	Ramo auricular da artéria auricular posterior, ramo parietal da artéria temporal superficial
Auricular posterior	Base do processo mastoide	Parte inferior da superfície medial da concha da orelha	Ramos auricular posterior e temporal do nervo facial	Retrai e eleva a orelha	Ramo auricular da artéria auricular posterior, ramo parietal da artéria temporal superficial
Auricular superior	Fáscia temporal, aponeurose epicrânica	Parte superior da superfície medial da orelha	Ramos auricular posterior e temporal do nervo facial	Retrai e eleva a orelha	Ramo auricular da artéria auricular posterior, ramo parietal da artéria temporal superficial
Bucinator	Porção posterior do processo alveolar da maxila e na área oposta dos alvéolos dos dentes molares, margem anterior da rafe pterigomandibular	Ângulo da boca	Ramos bucais do nervo facial	Comprime as bochechas, expelle o ar entre os lábios e auxilia na mastigação	Ramos musculares, artéria facial, artéria bucal, artéria maxilar
Ciliar	Junção esclerocorneal	Corpo ciliar	Fibras parassimpáticas, por meio dos nervos ciliares curtos (NC III)	Contraí o corpo ciliar e aumenta a curvatura da lente (acomodação)	Artéria oftálmica
Corrugador do supercílio	Parte medial da margem supraorbital	Pele da metade medial do supercílio	Ramos zigomático e temporal do nervo facial	Direciona o supercílio inferior e medialmente, provocando rugas frontais	Ramos da artéria temporal superficial
Cricotireóideo	Arco da cartilagem cricóidea	Margem inferior da cartilagem	Ramo externo do nervo laríngeo superior	Alonga e tensiona os ligamentos	Artérias tireóideas superior e inferior

		tireóidea e corno inferior		vocais	
Abaixador do ângulo da boca	Contínuo com o m. platisma na linha oblíqua da mandíbula	Ângulo da boca, penetrando no músculo orbicular da boca e na pele	Ramos marginal da mandíbula e bucal do nervo facial	Abaixa o ângulo da boca	Artéria labial inferior da artéria facial
Abaixador do lábio inferior	Superfície lateral da mandíbula entre a sínfise e o forame mental, profundamente ao m. abaixador do ângulo da boca	Pele do lábio inferior, misturando-se com o m. orbicular da boca; as fibras mediais unem-se com as do lado oposto	Ramos marginal da mandíbula e bucal do nervo facial	Abaixa o lábio inferior e o desvia lateralmente	Artéria labial inferior da artéria facial
Abaixador do septo nasal	Fossa incisiva da maxila	Septo nasal e parte posterior da asa do nariz	Ramos zigomático e bucal do nervo facial	Estreita a narina e desvia o septo nasal para baixo	Artéria labial superior da artéria facial
Digástrico	<i>Ventre anterior:</i> fossa digástrica da mandíbula <i>Ventre posterior:</i> Incisura mastóidea do osso temporal	Tendão intermédio fixo no corpo do osso hioide	<i>Ventre anterior:</i> nervo milo-hióideo <i>Ventre posterior:</i> nervo facial	Eleva o osso hioide e a base da língua; estabiliza o osso hioide; abre a boca pelo abaixamento da mandíbula	<i>Ventre anterior:</i> ramos da artéria submentual <i>Ventre posterior:</i> ramos musculares artéria auricular posterior; ramos musculares artéria occipital
Dilatador da pupila	Fibras radiais na íris	Mistura-se com as fibras do músculo esfíncter da pupila	Fibras simpáticas do gânglio cervical superior	Dilata a pupila	Artéria oftálmica
Ventre frontal do m. occipitofrontal	Aponeurose epicrânica no nível da sutura coronal	Pele da região frontal; aponeurose epicrânica	Ramos temporais do nervo facial	Enruga a pele da região frontal; eleva o supercílio	Ramo frontal da artéria temporal superficial

Variações na contribuição de nervos espinais na inervação de músculos, no seu suprimento arterial, nos seus locais de inserção e suas ações são temas comuns na anatomia humana. Portanto, existem diferenças entre os textos e devemos considerar que a variação anatômica é normal.

Tabela 1-2

Tabelas de Músculos

MÚSCULOS	INSERÇÃO PROXIMAL (ponto fixo)	INSERÇÃO DISTAL (ponto móvel)	INERVAÇÃO	AÇÕES PRINCIPAIS	SUPRIME SANGU
Genioglosso	Espinha geniana superior da mandíbula	Dorso da língua; osso hioide	Nervo hipoglosso (NC XII)	Abaixamento e protrusão da língua	Artérias sublinq subme
Genio-hióideo	Espinha geniana inferior, na superfície posterior do corpo da mandíbula	Superfície anterior do corpo do osso hioide	Ramo de C1, por meio do nervo hipoglosso (NC XII)	Eleva o osso hioide e abaixa a mandíbula	Artéria sul da arté lingua
Hioglosso	Corpo e corno maior do osso hioide	Regiões lateral e inferior da língua	Nervo hipoglosso (NC XII)	Abaixa e retrai a língua	Artérias sublinq subme
Músculo longitudinal inferior da língua	Subjacente à superfície da língua, entre os mm. genioglosso e hioglosso	Ápice da língua, unindo-se com as fibras do m. estiloglosso	Nervo hipoglosso (NC XII)	Encurta a língua, direciona para baixo seu ápice e as margens laterais	Artéria pr da líng artéria ramos artéria
Obliquo inferior	Região anterior do soalho da órbita, lateral ao canal lacrimonasal	Na parte lateral da esclera, profundamente ao m. reto lateral	Nervo oculomotor (NC III), ramo inferior	Abduz, eleva e roda lateralmente o bulbo do olho	Artéria oft
Constritor inferior da faringe	Linha oblíqua da cartilagem tireóidea e na cartilagem cricóidea	Rafe (mediana) da faringe	Nervo vago, via plexo faríngeo	Promove a constrição da faringe durante a deglutição	Artéria far ascend ramos artéria tireóid superio
Reto inferior	Anel tendíneo comum	Superfície inferior do bulbo do olho, posterior à junção esclerocorneal	Nervo oculomotor (NC III), ramo inferior	Abaixa, aduz e roda lateralmente o bulbo do olho	Artéria oft
Cricoaritenóideo	Arco da cartilagem	Processo muscular da	Nervo laríngeo	Aduz as pregas	Artérias ti

lateral	cricóidea	cartilagem aritenóidea	recorrente	vocais	superior inferior
Pterigóideo lateral	<i>Cabeça superior:</i> superfície infratemporal da asa maior do esenoide <i>Cabeça inferior:</i> lâmina lateral do processo pterigoide	Fóvea pterigóidea; cápsula da articulação temporomandibular; disco articular	Nervo mandibular (V ₃); ramos musculares da divisão anterior	<i>Bilateralmente:</i> protrusão da mandíbula <i>Unilateral e alternadamente:</i> produz um movimento lateral	Ramos muscular artéria
Reto lateral	Anel tendíneo comum	Superfície lateral do bulbo do olho, posterior à junção esclerocorneal	Nervo abducente (NC VI)	Abduz o bulbo do olho	Artéria oft
Levantador do ângulo da boca	Fossa canina da maxila, imediatamente abaixo do forame infra-orbital e profundamente ao m. levantador do lábio superior	Ângulo da boca; as fibras de unem com as dos mm. orbicular da boca, abaixador do ângulo da boca e zigomático	Ramos zigomático e bucal do nervo facial	Eleva o ângulo da boca	Artéria lateral superior artéria
Levantador do lábio superior e da asa do nariz	1- “ <i>Parte angular</i> ”: região superior do processo frontal da maxila 2- “ <i>Parte infraorbital</i> ”: órbita, acima do forame infraorbital 3- “ <i>Parte zigomática</i> ”: superfície lateral do osso zigomático	1- na cartilagem alar maior; pele do nariz; parte lateral do lábio superior 2- penetra na substância muscular do lábio superior, entre a “parte angular” e o canino 3- pele do sulco nasolabial e do lábio superior	Ramos zigomático e bucal do nervo facial	1- eleva o lábio superior e dilata a narina 2- eleva o ângulo da boca 3- eleva lateralmente o lábio superior	Artérias lateral superior angular artéria

Tabela 1-3
Tabelas de Músculos

MÚSCULOS	INSERÇÃO PROXIMAL (ponto fixo)	INSERÇÃO DISTAL (ponto móvel)	INERVAÇÃO	AÇÕES PRINCIPAIS	SUPRIMENTO SANGUÍNEO	G

Levantador do lábio superior	Maxila, acima do forame infraorbital	Pele do lábio superior	Ramos zigomático e bucal do nervo facial	Eleva o lábio superior; dilata as narinas	Artérias labial superior e angular da artéria facial	E
Levantador da pálpebra superior	Asa menor do esfenoide, anteriormente ao canal óptico	Tarso superior	Nervo oculomotor (NC III), ramo superior	Eleva a pálpebra superior	Artéria oftálmica	E
Levantador do véu palatino	Osso temporal (parte petrosa)	Aponeurose palatina	Nervo vago, via plexo faríngeo	Eleva o palato mole durante a deglutição	Artéria palatina ascendente da artéria facial; artéria palatina descendente da artéria maxilar	F
Longo da cabeça	Tubérculo anterior dos processos transversos de C III -C VI	Superfície inferior da parte basilar do osso occipital	Ramo anterior dos nervos cervicais C1-C4	Flexiona e auxilia a rotação das vértebras cervicais e da cabeça	Artéria cervical ascendente da artéria tireóidea inferior; artéria faríngea ascendente; ramos musculares da artéria vertebral	F
Longo do pescoço	<i>“Porção vertical”</i> : vértebras C V -T III <i>“Porção oblíqua inferior”</i> : vértebras T I - T III <i>“Porção oblíqua superior”</i> : tubérculos anteriores dos processos transversos das vértebras C III -C V	Vértebras C II -C IV Tubérculos anteriores dos processos transversos das vértebras C V - C VI Tubérculo do arco anterior do atlas (I)	Ramo anterior dos nervos espinais cervicais (C2-C8)	<i>Bilateralmente</i> : flexiona e auxilia na rotação das vértebras cervicais e da cabeça <i>Unilateralmente</i> : flexiona lateralmente a parte cervical da coluna vertebral	Ramos pré-vertebrais da artéria faríngea ascendente; ramos musculares das artérias cervical ascendente e vertebral	F
Masseter	Arco zigomático	Ramo da mandíbula; processo coronoide	Nervo massetérico do nervo mandibular (V ₃)	Eleva e faz a protrusão da mandíbula; as fibras da parte profunda retraem a mandíbula	Artéria facial transversa; artéria massetérica da artéria maxilar e ramo massetérico da	M

					artéria facial	
Pterigóideo medial	Superfície medial da lâmina lateral do processo pterigoide; processo piramidal do osso palatino; túber da maxila	...só esse Superfície	Nervo pterigóideo medial do nervo mandibular (V ₃)	<i>Bilateralmente:</i> age na protrusão e na elevação da mandíbula <i>Unilateral e alternadamente:</i> participa do movimento lateral da mandíbula	Ramos das artérias maxilar e facial	N
Reto medial	Anel tendíneo comum	Região medial do bulbo do olho, posteriormente à junção esclerocorneal	Nervo oculomotor (NC III), ramo inferior	Aduz o bulbo do olho	Artéria oftálmica	E
Mental	Fossa incisiva da mandíbula	Pele do mento	Ramo marginal da mandíbula do nervo facial	Eleva e faz a protrusão do lábio inferior	Artéria labial inferior da artéria facial	E
Constritor médio da faringe	Ligamento estilo-hióideo e cornos do osso hioide	Rafe (mediana) da faringe	Nervo vago, via plexo faríngeo	Promove a constrição da faringe durante a deglutição	Artéria faríngea ascendente, artéria palatina ascendente e ramo tonsilar da artéria facial; ramos dorsais da língua da artéria lingual	C
Milo-hióideo	Linha milo-hióidea da mandíbula	“Rafe mediana” no soalho da boca e corpo do osso hioide	Nervo milo-hióideo, ramo do nervo mandibular (V ₃)	Eleva o osso hioide, a base da língua, o soalho da boca; abaixa a mandíbula	Artéria sublingual da artéria lingual; artéria submental da artéria facial	S

Tabela 1-4
Tabelas de Músculos

MÚSCULOS	INSERÇÃO PROXIMAL (ponto fixo)	INSERÇÃO DISTAL (ponto móvel)	INERVAÇÃO	AÇÕES PRINCIPAIS	SUPRIMEN SANGUÍF
Nasal	“Eminência canina”,	Cartilagens do	Ramos	Traciona a asa do	Artéria labia

	superior e lateralmente à fossa incisiva da maxila	nariz	zigomático e bucal do nervo facial	nariz em direção ao septo nasal, comprime as narinas; a parte alar amplia as narinas	ramos do nasal lateral facial
Ventre occipital do m.occipitofrontal	2/3 laterais da linha nugal superior e processo mastoide	Pele da região occipital; aponeurose epicrânica	Nervo auricular posterior do nervo facial	Move o “couro cabeludo” para trás	Ramo occipital auricular; ramo da artéria occipital
Omo-hióideo	<i>Ventre inferior:</i> da margem superior da escápula e do “ligamento supraescapular”, terminando no tendão sob o músculo esternocleidomastóideo <i>Ventre superior:</i> desse referido tendão	<i>Ventre inferior:</i> tendão intermédio <i>Ventre superior:</i> corpo do osso hioide	Alça cervical	Estabiliza o osso hioide e abaixa esse osso	Ramo hioide lingual; 1. esternocleidomastóideo da artéria superior
Orbicular do olho	Margem medial da órbita, ligamento palpebral, osso lacrimal	Pele ao redor da órbita, ligamento palpebral, pálpebras superior e inferior	Nervo facial (NC VII)	Aproxima as pálpebras superior e inferior	Artérias faciais superficiais
Orbicular da boca	Maxila, superior aos dentes incisivos	Pele ao redor dos lábios	Ramos zigomático, bucal e marginal da mandíbula do nervo facial	Compressão, constrição e protrusão dos lábios	Artérias labiais inferior e bucal facial
Palatoglosso	Aponeurose palatina (do palato mole)	Margem lateral da língua	Nervo vago, via plexo faríngeo	Eleva posteriormente a língua, abaixa o palato mole	Artéria faríngea ascendente palatino-facial e nasal
Palatofaríngeo	Palato duro, aponeurose palatina	Parede lateral da faringe	Nervo vago, via plexo faríngeo	Tensiona o palato mole; traciona superior, anterior e medialmente a parede da faringe durante a	Artéria palatina ascendente facial; artéria descendente maxilar

				deglutição	
Platisma	Pele inferior à clavícula e da parte superior do tórax	Mandíbula e músculos da face junto à boca	Nervo facial	Tensiona a pele do pescoço	Artérias sub: supraesc
Cricoaritenóideo posterior	Superfície posterior da lâmina da cartilagem cricóidea	Processo muscular da cartilagem aritenóidea	Nervo laríngeo recorrente	Abduz as pregas vocais	Artérias tireo e inferior
Prócero	Fáscia que recobre a parte inferior do osso nasal e parte superior da cartilagem lateral do nariz	Pele entre e acima dos supercílios	Ramos temporal e zigomático do nervo facial	Desvia inferior e medialmente os supercílios; produz rugas transversas sobre a raiz do nariz	Artéria angu nasal lat facial
Reto anterior da cabeça	Massa lateral do atlas (I)	Base do osso occipital anterior ao forame magno	Ramos anteriores dos nervos espinais cervicais (C1-C2)	Flexiona a cabeça	Ramos muscul artéria v artéria fa ascender
Reto lateral da cabeça	Superfície superior do processo transversos do atlas (I)	Superfície inferior do processo jugular do osso occipital	Ramos anteriores dos nervos espinais cervicais (C1-C2)	Inclina a cabeça para o mesmo lado (flexão lateral)	Ramos muscul artéria v artéria o faríngea
Risório	Fáscia massetérica, superficialmente ao m. platisma	Pele do ângulo da boca	Ramos zigomático e bucal do nervo facial	Retrai o ângulo da boca	Artéria labia artéria fa
Salpingofaríngeo	Tuba auditiva	Parede lateral da faringe	Nervo vago, via plexo faríngeo	Eleva a faringe e a laringe durante a deglutição e a fala	Ramos farín artéria fa ascender

Tabela 1-5
Tabelas de Músculos

MÚSCULOS	INSERÇÃO PROXIMAL (ponto fixo)	INSERÇÃO DISTAL (ponto móvel)	INERVAÇÃO	AÇÕES PRINCIPAIS	SUPRIM SANG

Escaleno anterior	Tubérculos anteriores dos processos transversos de C III -C VI	Tubérculo do músculo escaleno anterior, na 1ª costela	Ramos anteriores dos nervos espinais cervicais (C5-C8)	Eleva a 1ª costela; inclina a parte cervical da coluna vertebral	Artéria cervical inferior
Escaleno médio	Tubérculos posteriores dos processos transversos de C II -C VII	Superfície superior da 1ª costela (posterior ao sulco dos vasos subclávios)	Ramos anteriores dos nervos espinais cervicais (C3-C7)	Eleva a 1ª costela; inclina a parte cervical da coluna vertebral	Ramos medulares artéria ascendente
Escaleno posterior	Tubérculos posteriores dos processos transversos de C IV -C VI	Superfície externa da 2ª costela (posterior à inserção do m. serrátil anterior)	Ramos anteriores dos quatro nervos espinais cervicais inferiores	Eleva a 2ª costela; inclina a parte cervical da coluna vertebral	Ramos medulares artéria ascendente tireóide superior
Esfíncter da pupila	Músculo liso circular da íris que contorna a pupila	Mistura-se com as fibras do músculo dilatador da pupila	Fibras parassimpáticas, via nervo oculomotor (NC III)	Faz a constrição da pupila	Artéria oftálmica
Estopéio	Eminência piramidal do osso temporal	Estopéio	Nervo facial	Traciona o estribo posteriormente, reduzindo a oscilação da membrana timpânica	Artérias e nervos do tímpano
Esternocleidomastóideo	<i>“Parte esternal”</i> : superfície anterior do manúbrio <i>“Parte clavicular”</i> : superfície superior do 1/3 medial da clavícula	Superfície lateral do processo mastoide; metade lateral da linha nuchal superior do osso occipital	Nervo acessório (NC XI)	<i>Bilateralmente</i> : flexiona a cabeça, eleva a parede torácica <i>Unilateralmente</i> : roda a cabeça para o lado oposto	Ramos esternos das artérias superficiais do pescoço artéria profunda do pescoço
Esterno-hióideo	Superfície posterior do manúbrio do esterno, ligamento esternoclavicular posterior, extremidade medial da clavícula	Parte medial da margem inferior do corpo do osso hioide	Alça cervical	Abaixa a laringe e o osso hioide; estabiliza o osso hioide	Ramos esternos e hioideos tireóide hioide lingua

Esterno-tireóideo	Superfície posterior do manúbrio do esterno, inferior e profundamente à inserção do m. esterno-hióideo, extremidade da primeira cartilagem costal	Linha oblíqua na lâmina da cartilagem tireóidea	Alça cervical	Abaixa a laringe e a cartilagem tireóidea	Ramo criartéri super
Estiloglosso	Processo estiloide e ligamento estilo-hióideo	Margem lateral e região inferior da língua	Nervo hipoglosso (NC XII)	Retrai e eleva a língua durante a deglutição	Artéria su
Estilo-hióideo	Superfície posterior do processo estiloide	Corpo do osso hioide, na junção com o corno maior	Nervo facial	Eleva o osso hioide e a base da língua	Ramos m artéri
Estilofaríngeo	Superfície medial do processo estiloide	Parede da faringe	Nervo glossofaríngeo (NC IX)	Eleva a faringe e a laringe durante a deglutição e fala	Artéria fa ascen palati ramo facial, língua
Subclávio	Superfície superior da 1ª costela e de sua cartilagem	Superfície inferior do terço médio da clavícula	Nervo subclávio	Fixa e abaixa a clavícula	Ramo cla toraco
Músculo longitudinal superior da língua	Fibras submucosas do dorso da língua	Ápice da língua, unindo-se com o músculo do lado oposto	Nervo hipoglosso (NC XII)	Encurta a língua, encurva o ápice e as margens para cima	Artéria p da art ramo
Oblíquo superior	Corpo do esenoide (acima do canal óptico), medial à inserção do m. reto superior	Passa através da tróclea e insere-se na parte superior da esclera, entre os mm. retos superior e lateral	Nervo troclear (NC IV)	Abduz, abaixa e roda medialmente o bulbo do olho	Artéria ol

Tabela 1-6

Tabelas de Músculos

MÚSCULOS	INSERÇÃO PROXIMAL (ponto fixo)	INSERÇÃO DISTAL (ponto móvel)	INERVAÇÃO	AÇÕES PRINCIPAIS	SUPRIMENTOS SANGÜÍNEOS
Constritor superior da faringe	Hâmulo pterigóideo, rafe pterigomandibular, linha milo-hióidea da mandíbula	Rafe (mediana) da faringe	Nervo vago, via plexo faríngeo	Constricção da faringe durante a deglutição	Artéria faríngea ascendente, artéria palatina ascendente, ramo tonsilares da artéria facial; ramos dorsais da língua da artéria lingual
Reto superior	Anel tendíneo comum	Superfície superior do bulbo do olho, posteriormente à junção esclerocorneal	Nervo oculomotor (NC III), ramo superior	Eleva, aduz e roda medialmente o bulbo do olho	Artéria oftálmica
Temporal	Soalho da fossa temporal, camada profunda da fáscia temporal	Processo coronoide e ramo da mandíbula	Nervos temporais profundos do nervo mandibular (V ₃)	Eleva a mandíbula; as fibras posteriores retraem a mandíbula	Artérias temporais superficiais maxilar; artérias temporais profundas (anterior, média e posterior)
Tensor do tímpano	Cartilagem da tuba auditiva	Cabo do martelo	Nervo mandibular do nervo trigêmeo (NC V)	Tensiona a membrana timpânica, tracionando-a medialmente	Artéria timpânica superior e artéria meníngea média, da artéria maxilar
Tensor do véu palatino	Fossa escafóidea do processo pterigoide, espinha do esfenoide e tuba auditiva	Aponeurose palatina	Nervo mandibular (V ₃)	Tensiona o palato mole; abre a tuba auditiva durante a deglutição e o bocejo	Artéria palatina ascendente, ramo da artéria facial, artéria palatina descendente, ramo da artéria maxilar
Tireoaritenóideo	Superfície posterior da	Processo muscular	Nervo laríngeo	Encurta e afrouxa as	Artérias tireóideas

	cartilagem tireóidea	da cartilagem aritenóidea	recorrente	pregas vocais; “esfíncter” do vestibulo da laringe	superior e inferior
Tireo-hióideo	Linha oblíqua na lâmina da cartilagem tireóidea	Margem inferior do corpo e no corno maior do osso hioide	Ramo tireo-hióideo do nervo espinal C1, via nervo hipoglosso (NC XII)	Abaixa a laringe e o osso hioide eleva a cartilagem tireóidea	Ramo hióideo da artéria tireóidea superior
Aritenóideos transverso e oblíquo	Cartilagem aritenóidea	Cartilagem aritenóidea do lado oposto	Nervo laríngeo recorrente	Fecha a porção intercartilagínea da rima da glote	Artérias tireóideas superior e inferior
Transverso da língua	Septo (fibroso mediano) da língua	Dorso e margens laterais da língua	Nervo hipoglosso (NC XII)	Comprime/estrita e alonga a língua	Artéria profunda da língua, artéria lingual e ramos da artéria facial
Músculo da úvula	Espinha nasal, aponeurose palatina	Túnica mucosa da úvula palatina	Nervo vago, via plexo faríngeo	Encurta, eleva e retrai a úvula palatina	Artéria palatina ascendente, artéria facial, artéria palatina descendente, da artéria maxilar
Vertical da língua	Túnica mucosa do dorso e da parte anterior da língua	As fibras se projetam do dorso da língua até a sua superfície inferior	Nervo hipoglosso (NC XII)	Achata e alarga a língua	Artéria profunda da língua, artéria lingual e ramos da artéria facial
Vocal	Processo vocal da cartilagem aritenóidea	Ligamento vocal	Nervo laríngeo recorrente	Tensiona a parte anterior do ligamento vocal e afrouxa a parte posterior do ligamento vocal	Artérias tireóideas superior e inferior
Zigomático maior	Arco zigomático	Ângulo da boca	Ramos zigomático e bucal do nervo facial	Desvia o ângulo da boca para trás e para cima	Artéria labial superior e artéria facial
Zigomático menor	Arco zigomático	Ângulo da boca, lábio superior	Ramos zigomático e bucal do nervo facial	Eleva o lábio superior	Artéria labial superior e artéria facial

Dorso e medula espinal

Anatomia Topográfica

Prancha 152

152. Dorso: Anatomia de Superfície

Ossos e Ligamentos

Pranchas 153-159

153. Coluna Vertebral

154. Vértebras Torácicas

155. Vértebras Lombares

156. Vértebras – Imagens Radiológicas

157. Sacro e Cóccix

158. Ligamentos Vertebrais: Região Lombossacral

159. Ligamentos Vertebrais: Região Lombar

Medula Espinal

Pranchas 160-170

160. Medula Espinal e Ramos Anteriores *In Situ*

161. Relação das Raízes dos Nervos Espinais com as Vértebras

162. Dermátomos

163. Sistema Nervoso Simpático: Esquema

164. Sistema Nervoso Parassimpático: Esquema

165. Meninges Espinais e Raízes dos Nervos Espinais

166. Formação do Nervo Espinal: Cortes Transversais

167. Artérias da Medula Espinal: Esquema

168. Artérias da Medula Espinal: Distribuição Intrínseca

169. Veias da Medula Espinal e da Coluna Vertebral

170. Veias da Coluna Vertebral: Veias Vertebrais

Músculos e Nervos

Pranchas 171-175

171. Músculos do Dorso: Camada Superficial

172. Músculos do Dorso: Camada Média

173. Músculos do Dorso: Camada Profunda

174. Nervos do Dorso

175. Região Cervical Posterior (“Trígono Suboccipital”)

Anatomia em Corte Transversal

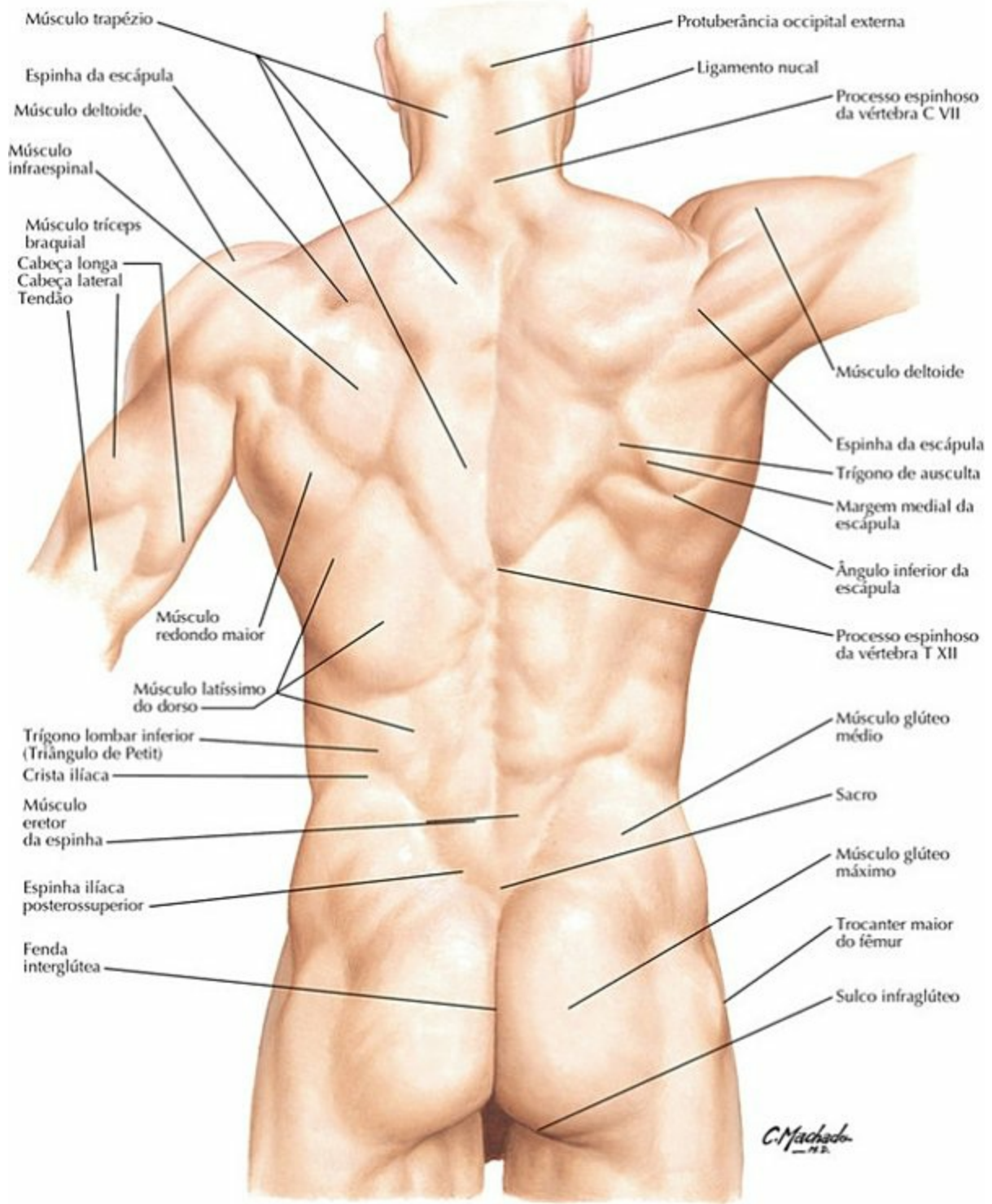
Pranchas 176-177

176. Região Lombar: Corte Transversal

177. Nervo Espinal Torácico Típico: Corte Transversal

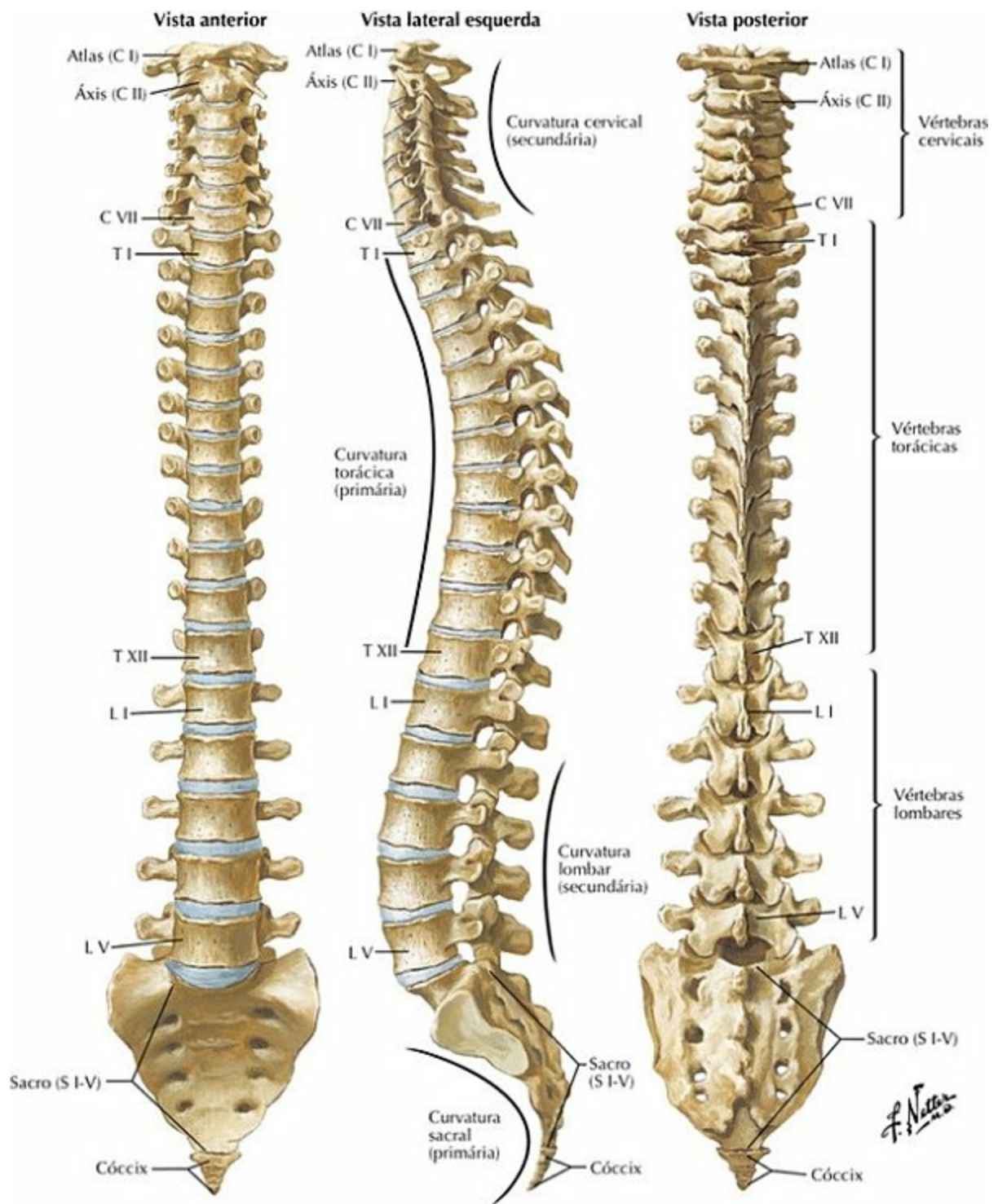
Tabelas de Músculos

Dorso: Anatomia de Superfície



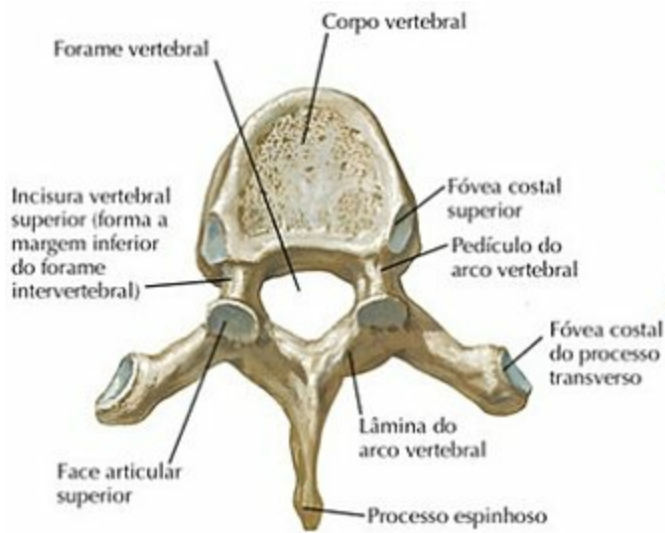
PRANCHA 152 Anatomia Topográfica

Coluna Vertebral

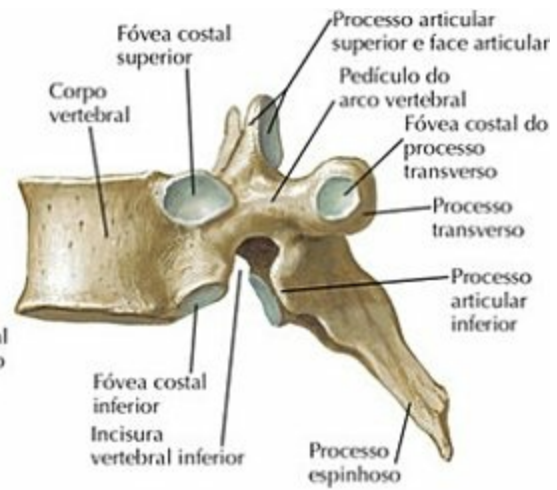


PRANCHA 153 Ossos e Ligamentos
 Veja também **Pranchas 21, 183, 243**

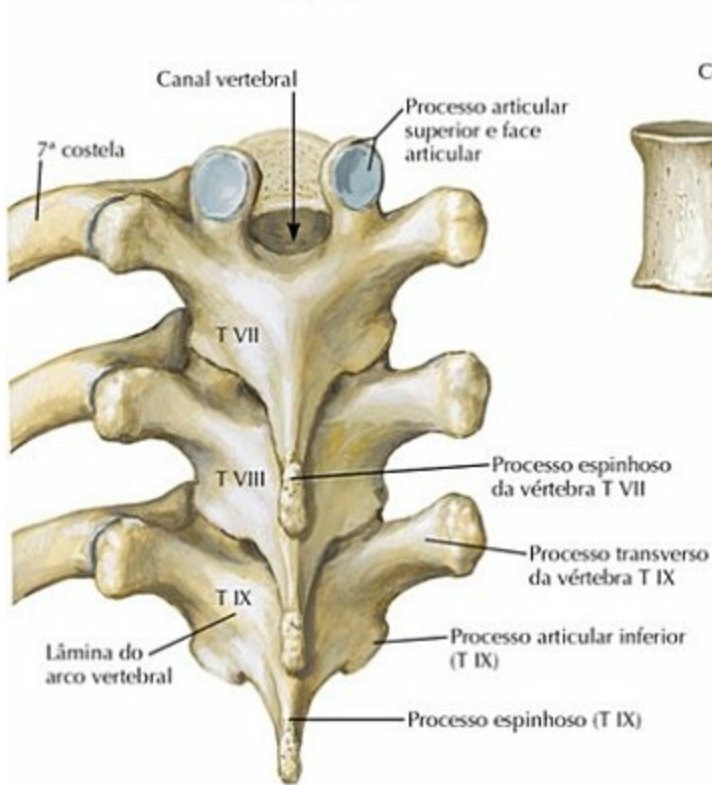
Vértebras Torácicas



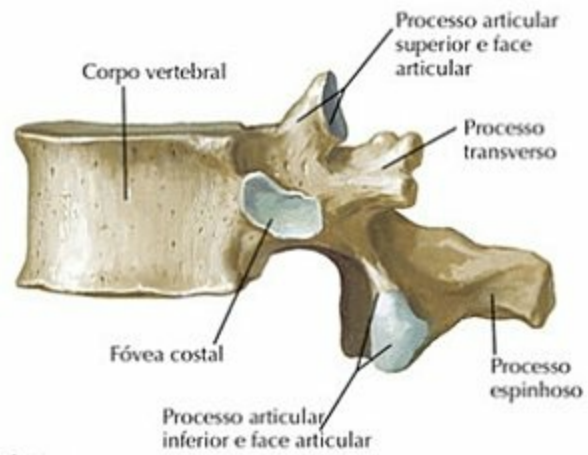
**Vértebra T VI:
vista superior**



**Vértebra T VI:
vista lateral**



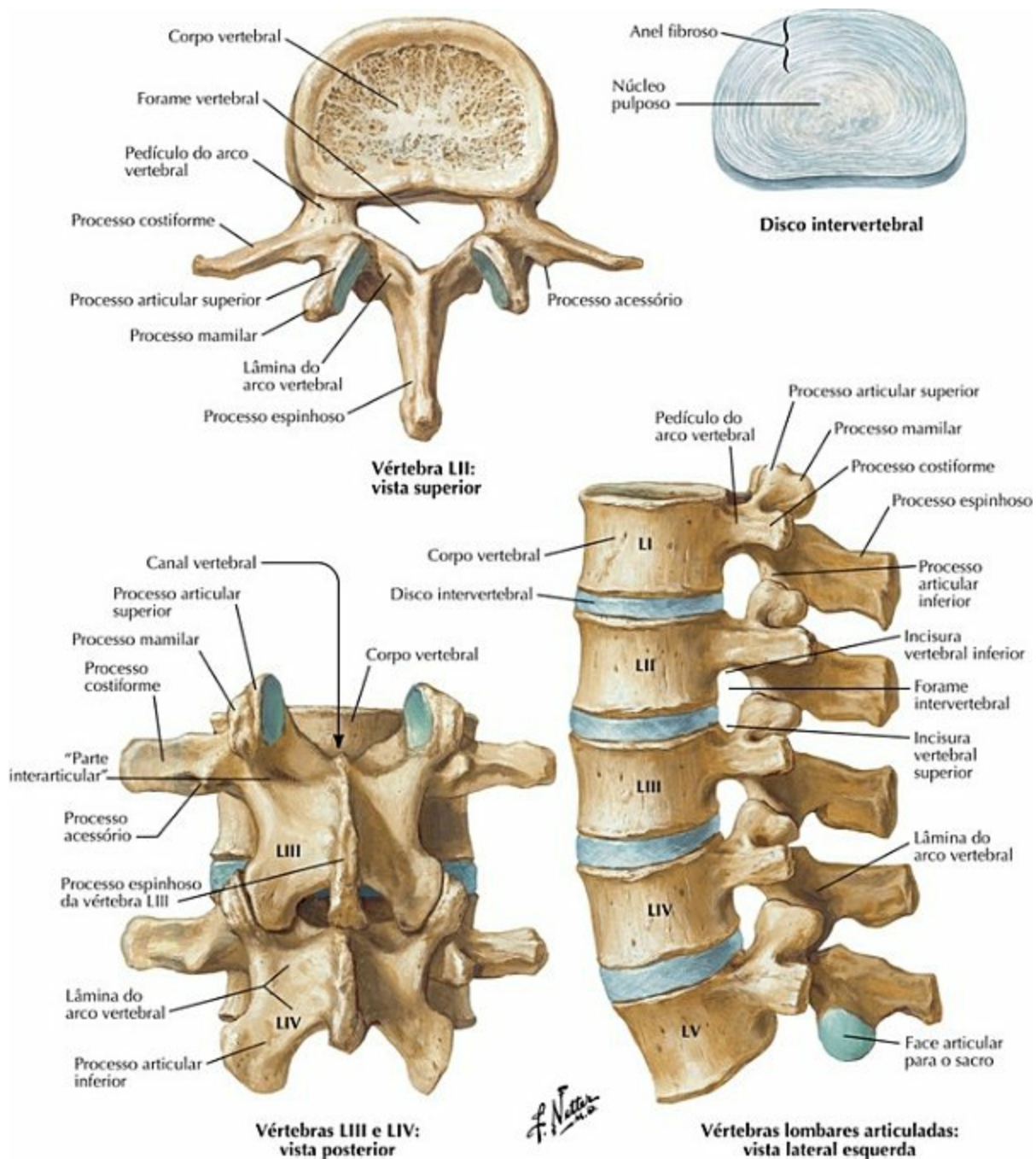
**Vértebras T VII, T VIII e T IX:
vista posterior**



**Vértebra T XII:
vista lateral**

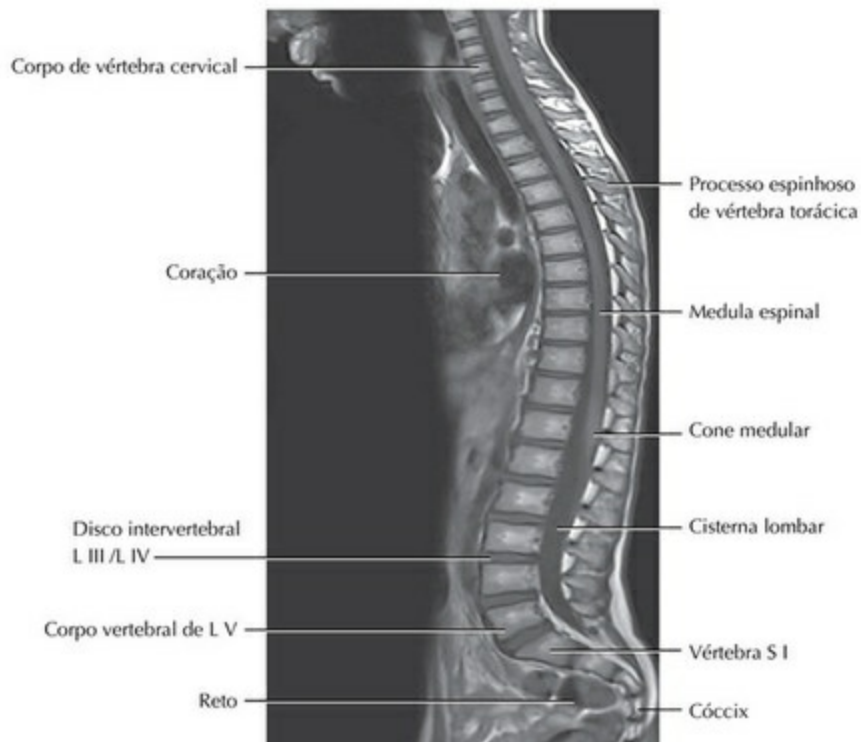
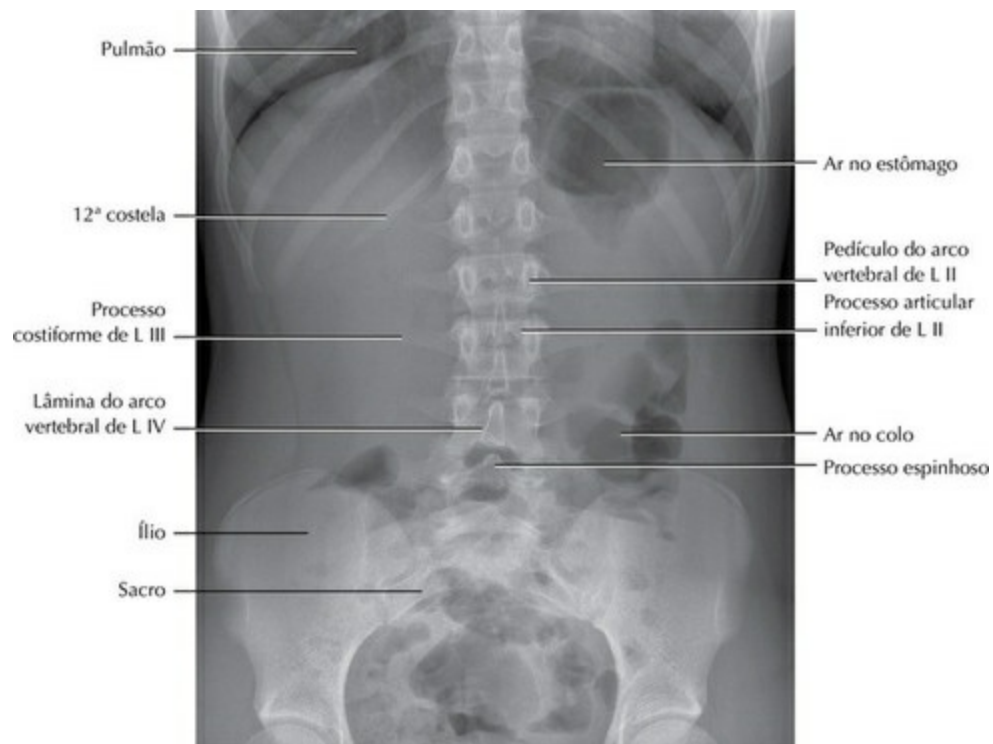
PRANCHA 154 Ossos e Ligamentos

Vértebras Lombares



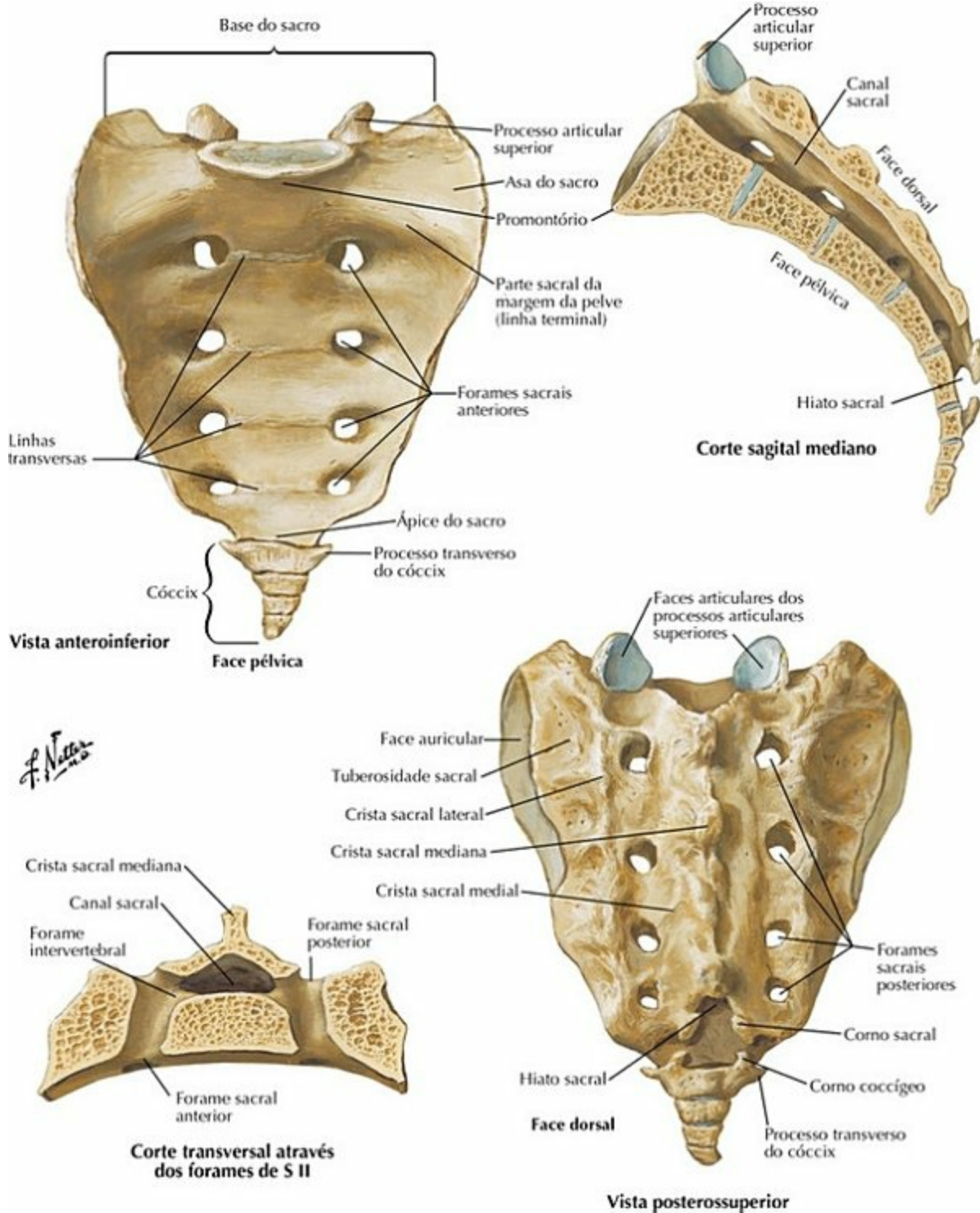
PRANCHA 155 Ossos e Ligamentos

Vértebras: Imagens Radiológicas



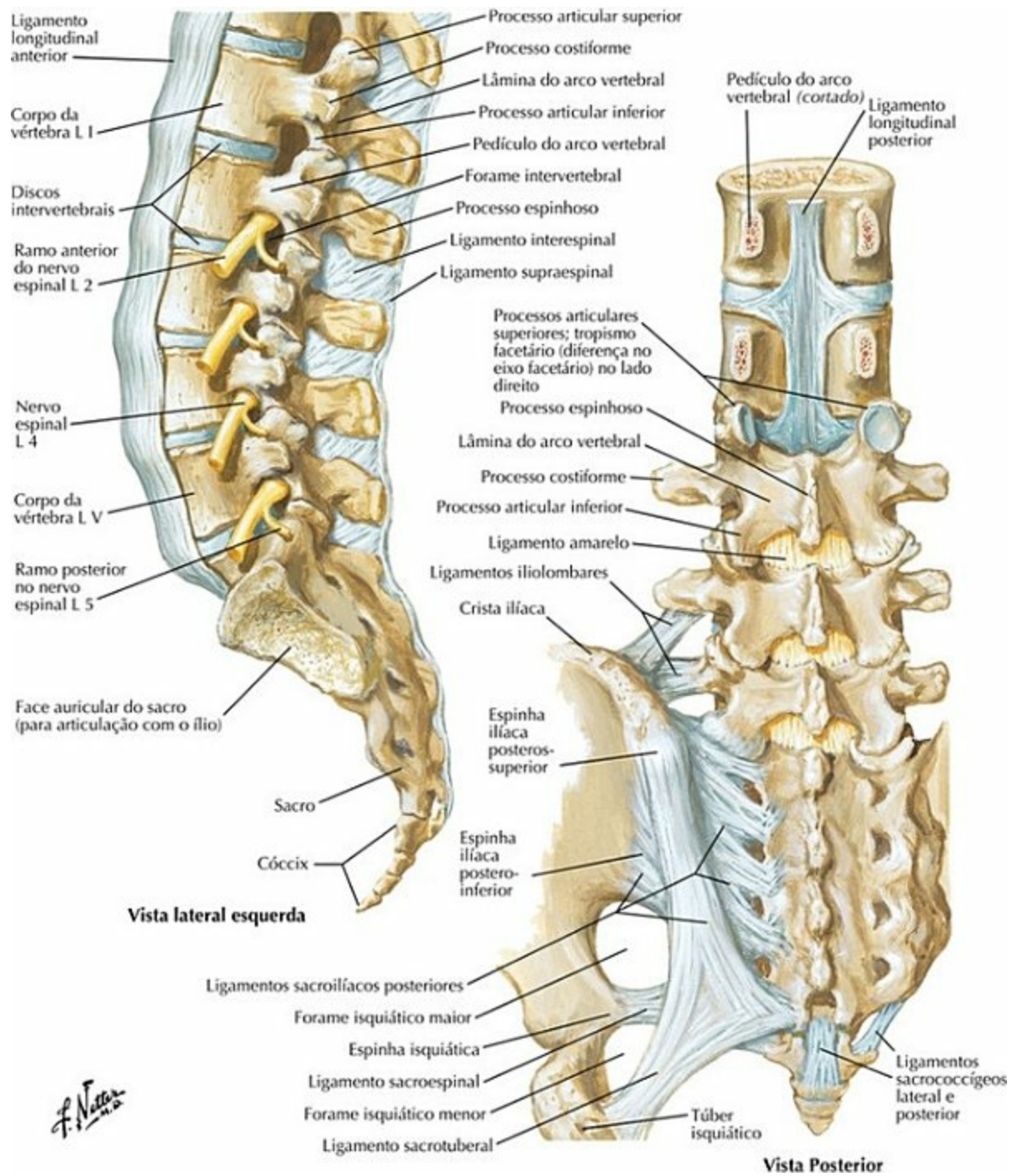
PRANCHA 156 Ossos e Ligamentos

Sacro e Cóccix



PRANCHA 157 Ossos e Ligamentos
 Veja também **Pranchas 330, 334**

Ligamentos Vertebrais: Região Lombossacral



PRANCHA 158 Ossos e Ligamentos

Ligamentos Vertebrais: Região Lombar

**Vista lateral esquerda
(parcialmente cortada
no plano mediano)**

Ligamento longitudinal anterior

Corpo da vértebra lombar

Disco intervertebral

Ligamento longitudinal anterior

Ligamento longitudinal posterior

Processo articular inferior

Cápsula da articulação dos processos articulares (zigoapofisial) (parcialmente aberta)

Processo articular superior

Processo costiforme

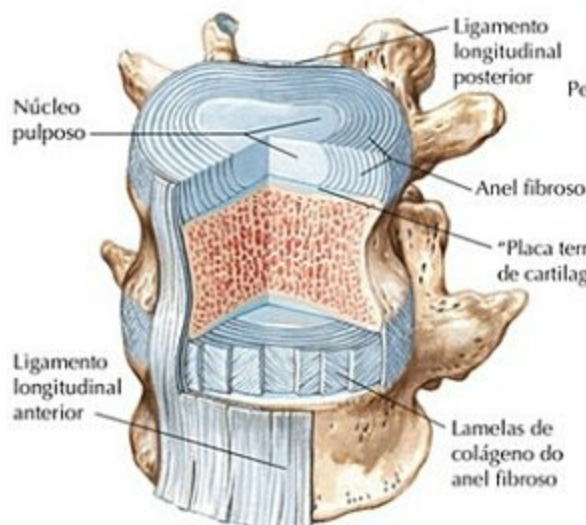
Processo espinhoso

Ligamento amarelo

Ligamento interespinal

Ligamento supraespinal

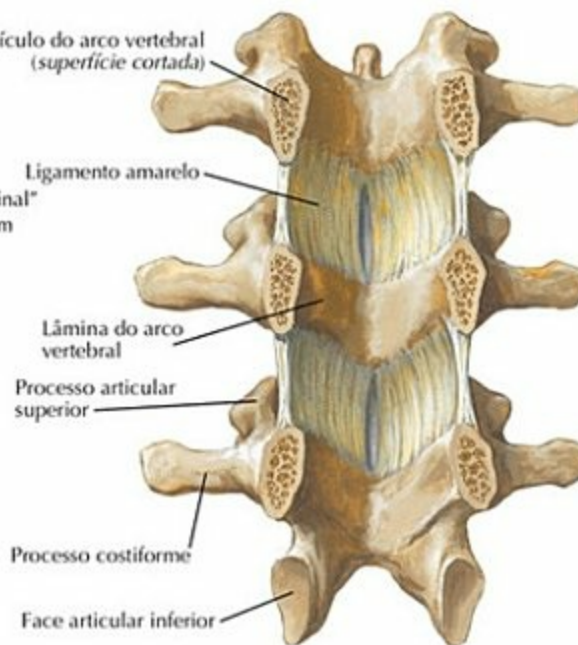
Forame intervertebral



Disco intervertebral constituído de uma zona nuclear central de colágeno e proteoglicanos hidratados circundada por lamelas concêntricas de fibras colágenas

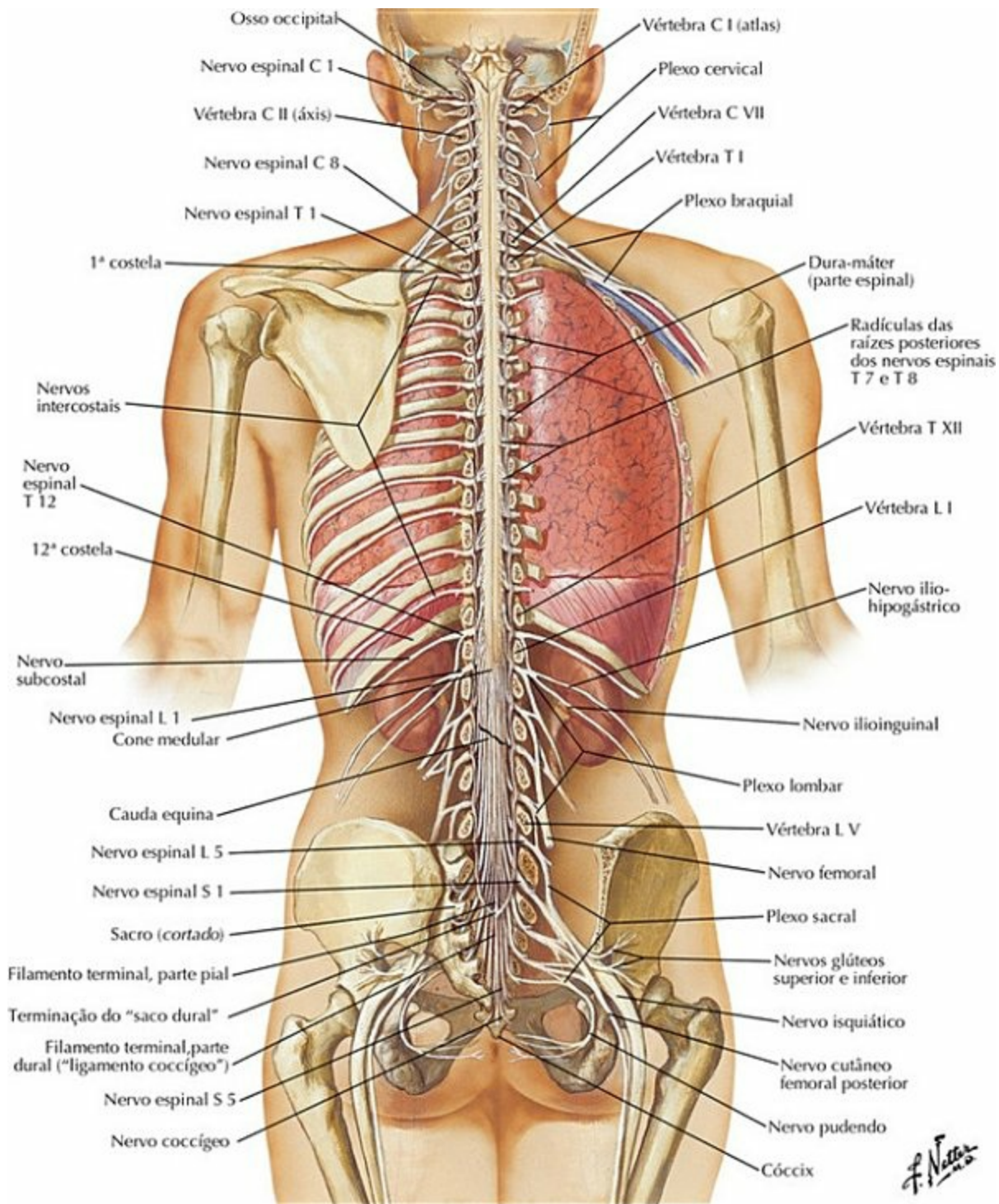
F. Netter M.D. C. Machado M.D.

**Segmentos vertebrais posteriores:
vista anterior**



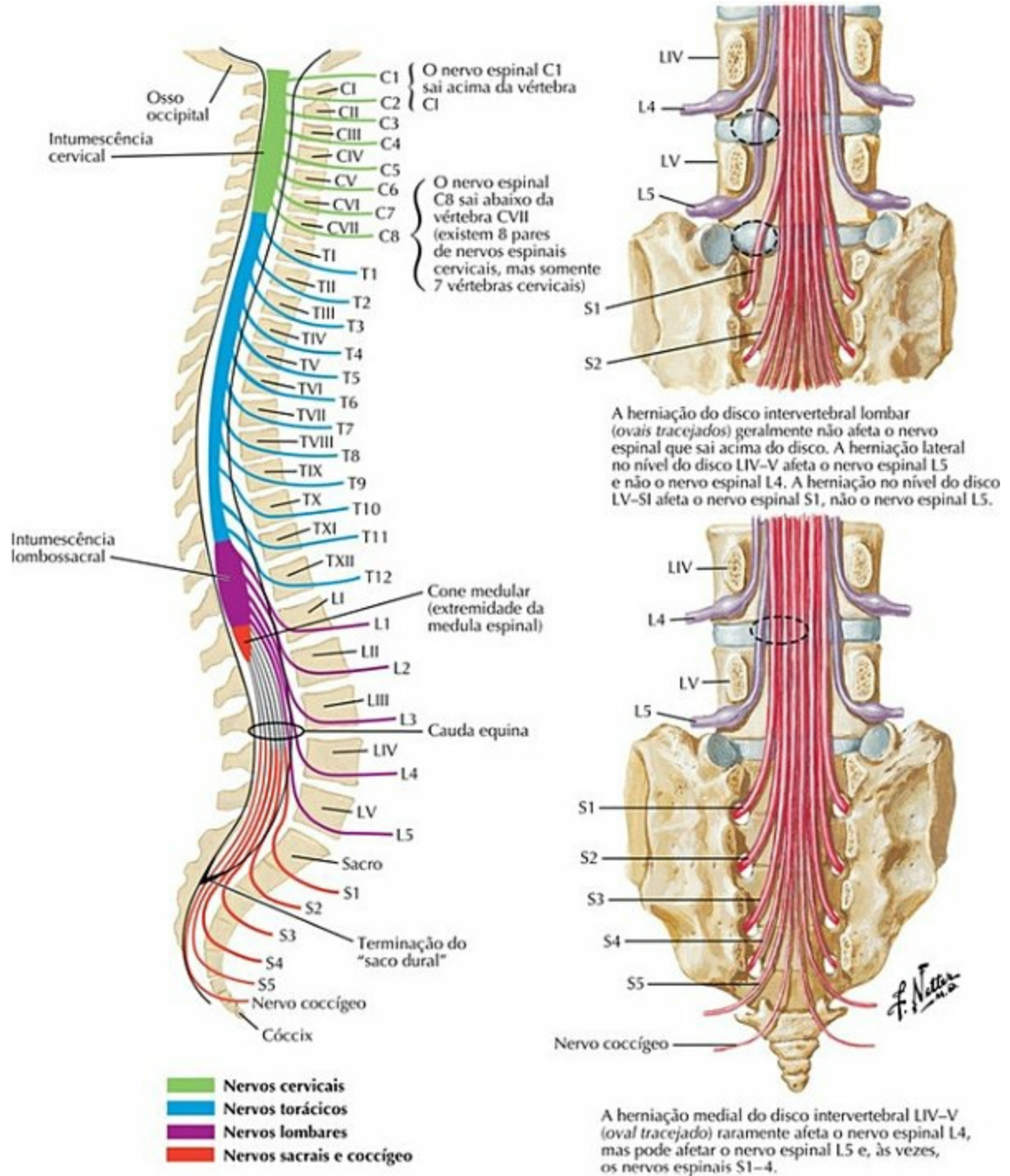
PRANCHA 159 Ossos e Ligamentos

Medula Espinal e Ramos Anteriores *In Situ*



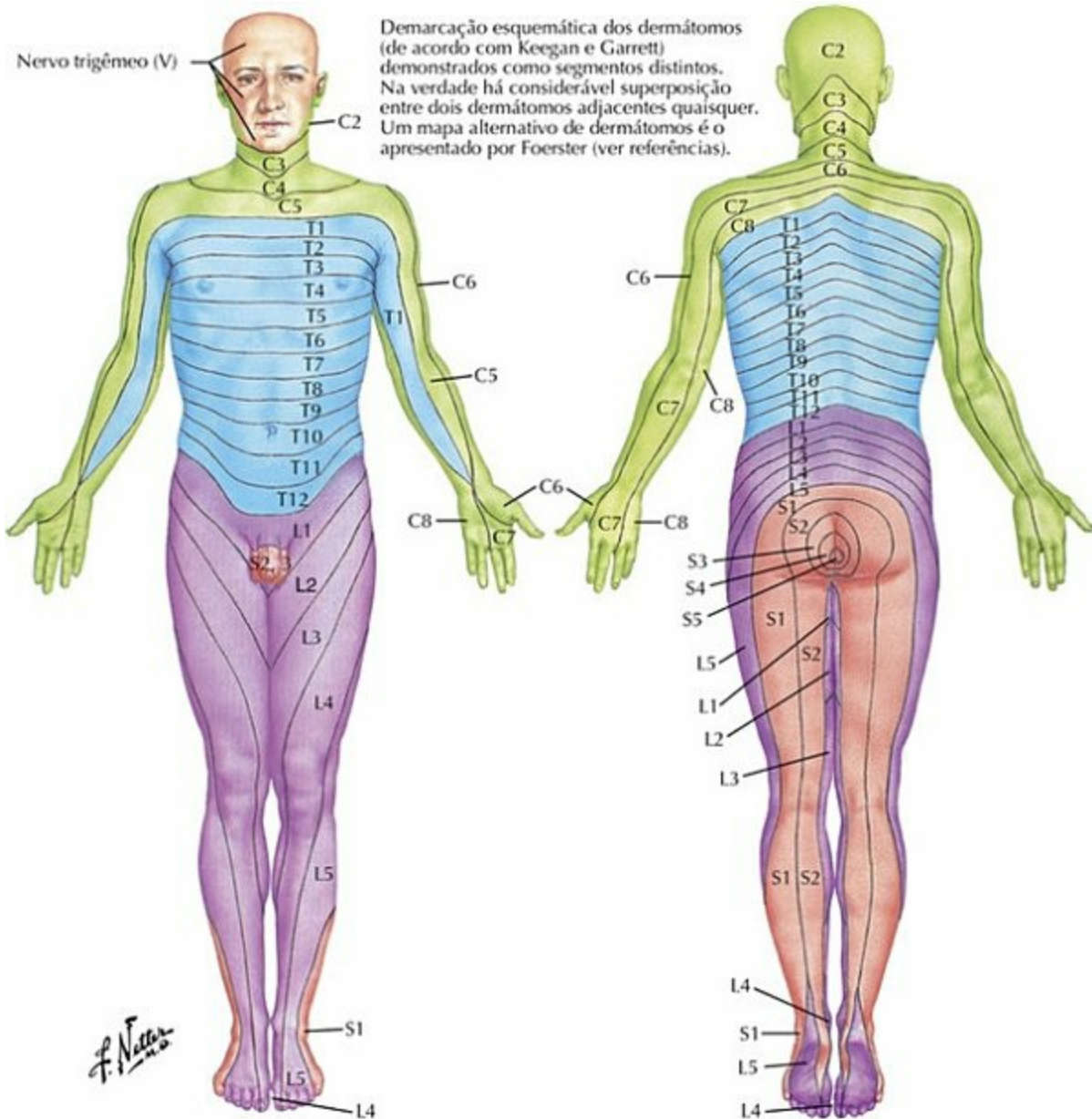
PRANCHA 160 Medula Espinal

Relação das Raízes dos Nervos Espinais com as Vértebras



PRANCHA 161 Medula Espinal

Dermátomos



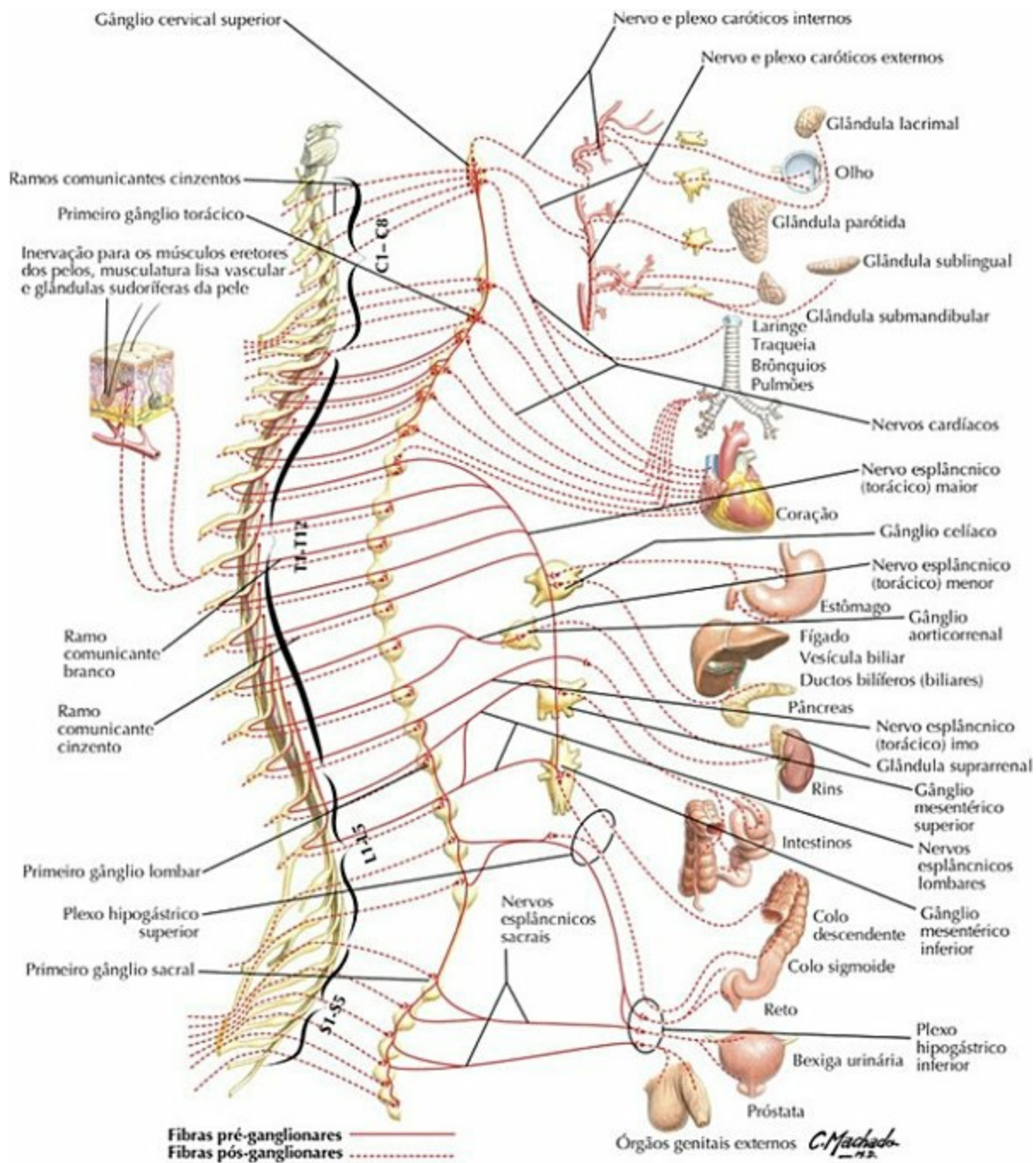
Níveis dos principais dermatômos

C5	Clavículas
C5, 6	Parte lateral dos membros superiores
C8, T1	Parte medial dos membros superiores
C6	Polegar
C6, 7, 8	Mão
C8	Dedos anular e mínimo
T4	Nível das papilas mamárias

T10	Nível do umbigo
L1	Região inguinal ("virilha")
L1, 2, 3, 4	Regiões anterior e medial dos membros inferiores
L4, 5, S1	Pé
L4	Parte medial do hálux
L5, S1, 2	Regiões posterior e lateral dos membros inferiores
S1	Parte lateral do pé e dedo mínimo
S2, 3, 4	Períneo

PRANCHA 162 Medula Espinal

Sistema Nervoso Simpático*: Esquema

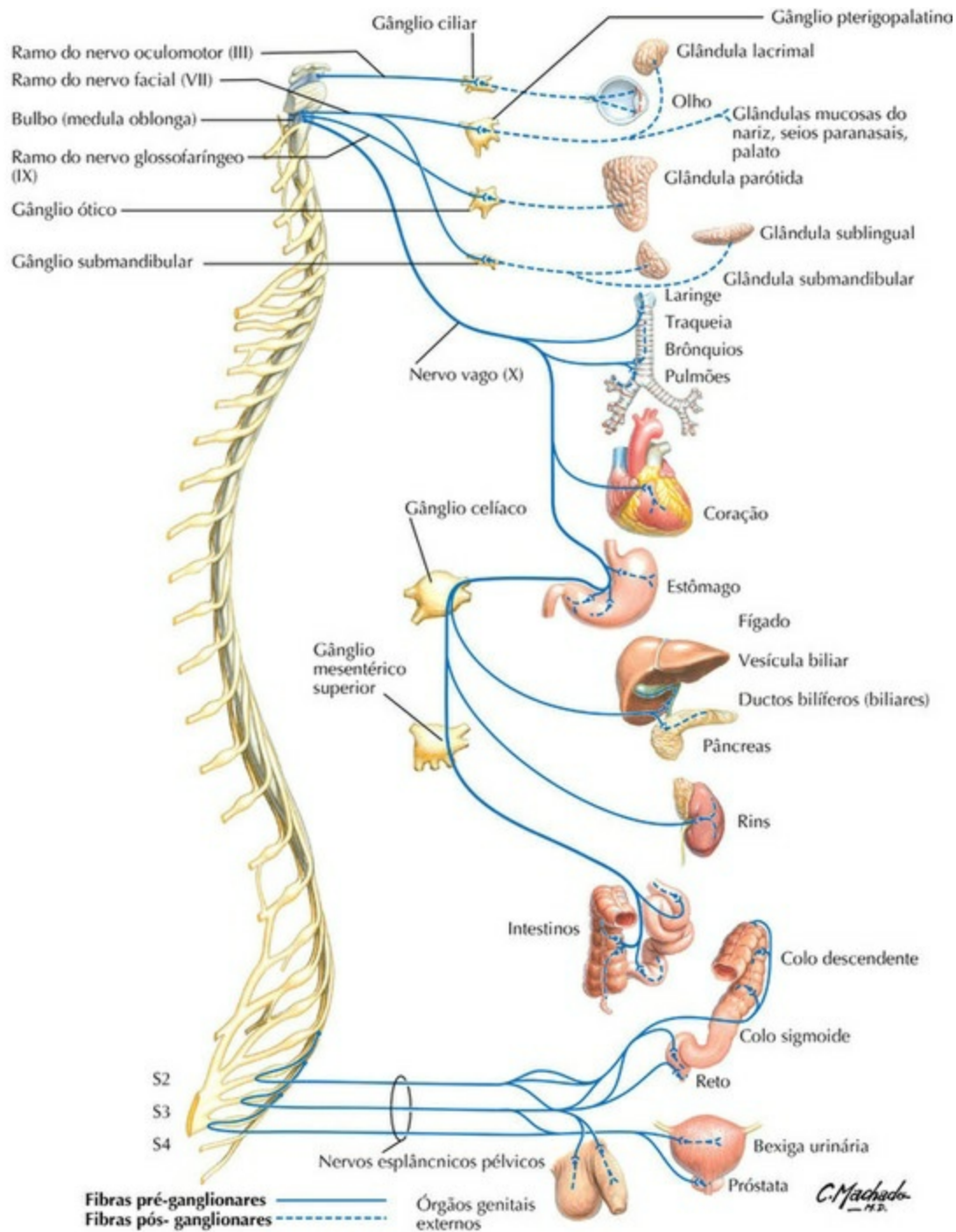


*Nota da Revisão Científica: Partes simpática e parassimpática da divisão autônoma do sistema nervoso (Terminologia Anatômica, 2001)

PRANCHA 163 Medula Espinal

Veja também **Pranchas 206, 317, 319**

Sistema Nervoso Parassimpático*: Esquema

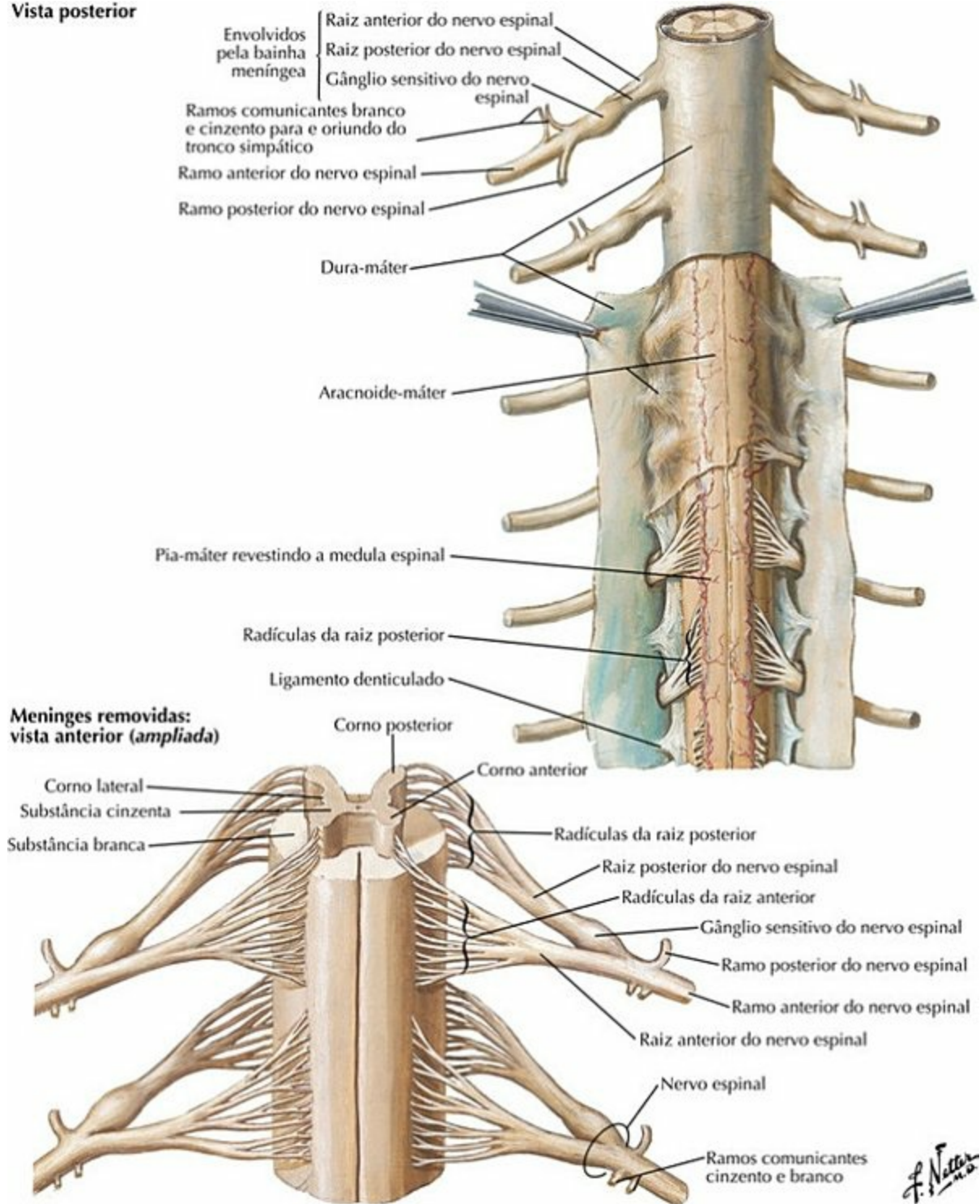


*Nota da Revisão Científica: Veja nota na prancha 163.

PRANCHA 164 Medula Espinal

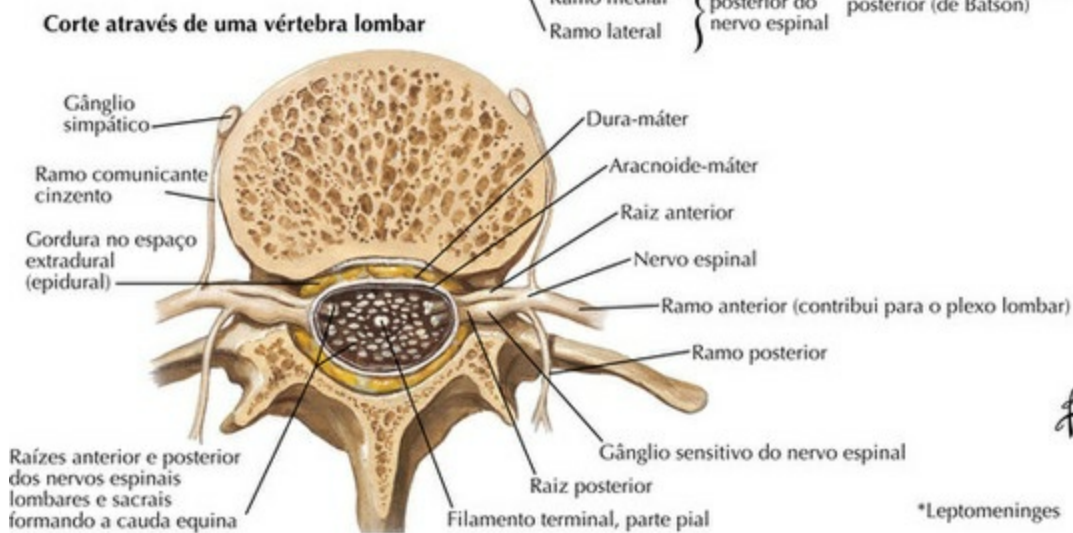
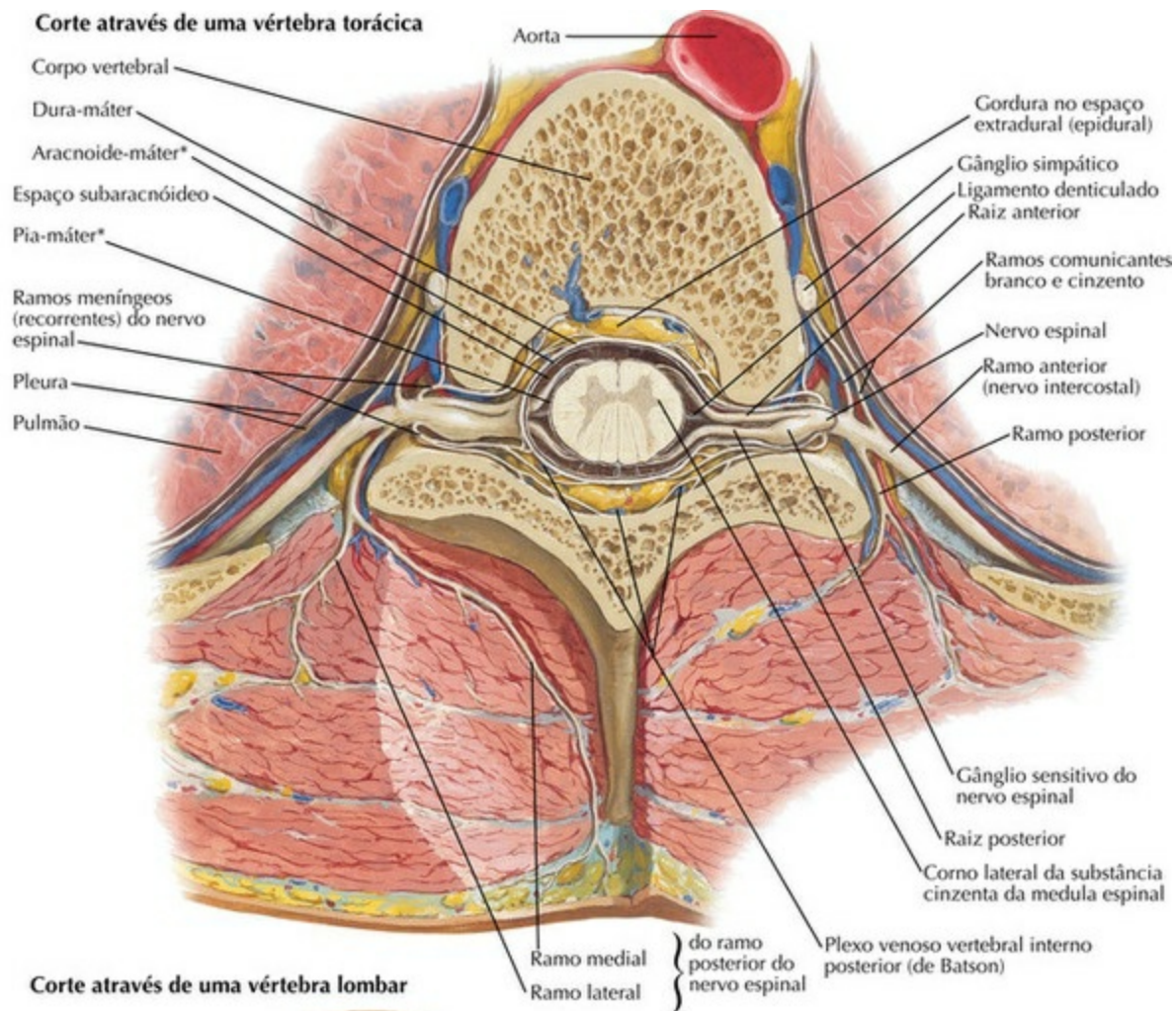
Meninges Espinais e Raízes dos Nervos Espinais

Vista posterior



PRANCHA 165 Medula Espinal

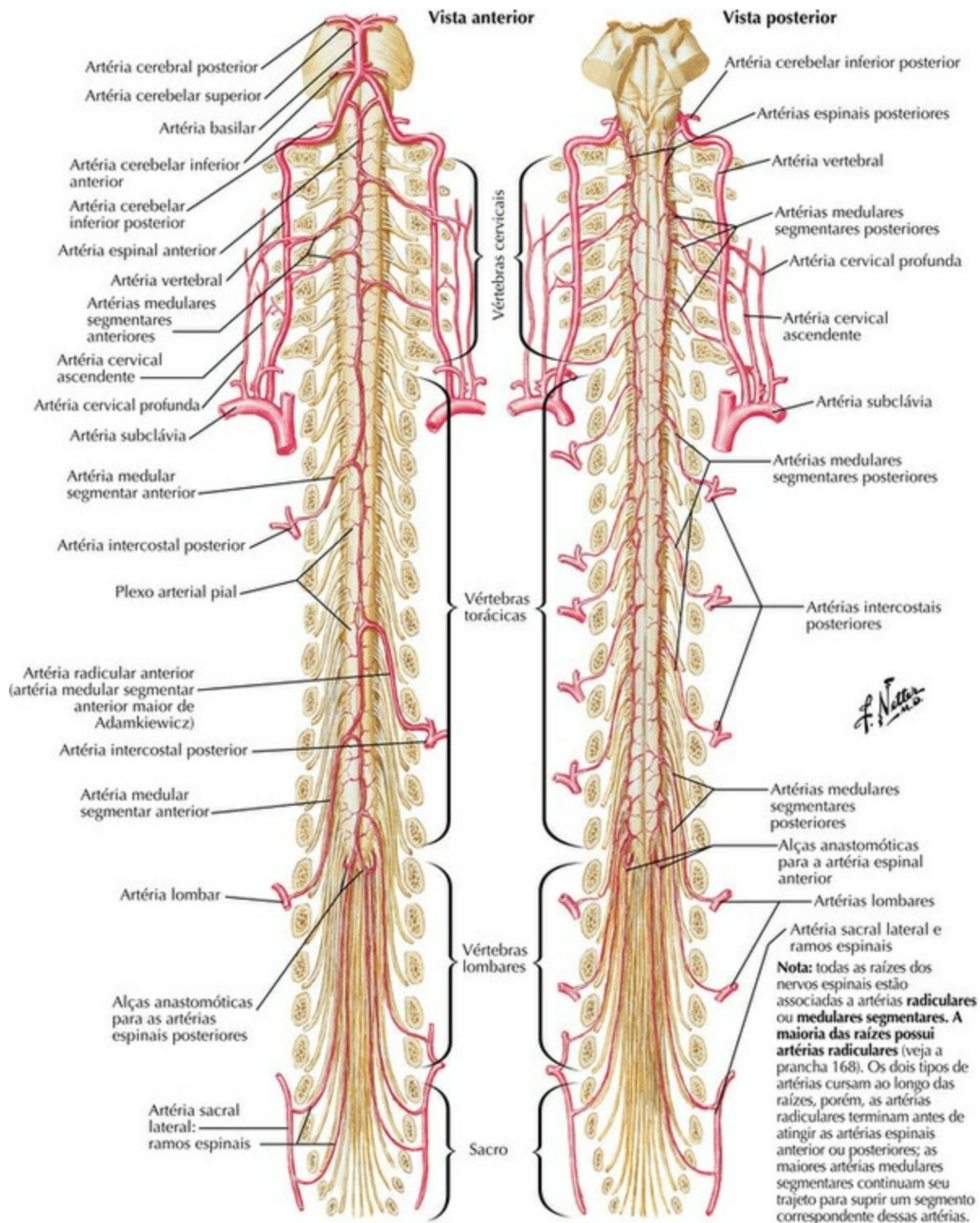
Formação do Nervo Espinal: Cortes Transversais



*Leptomeninges

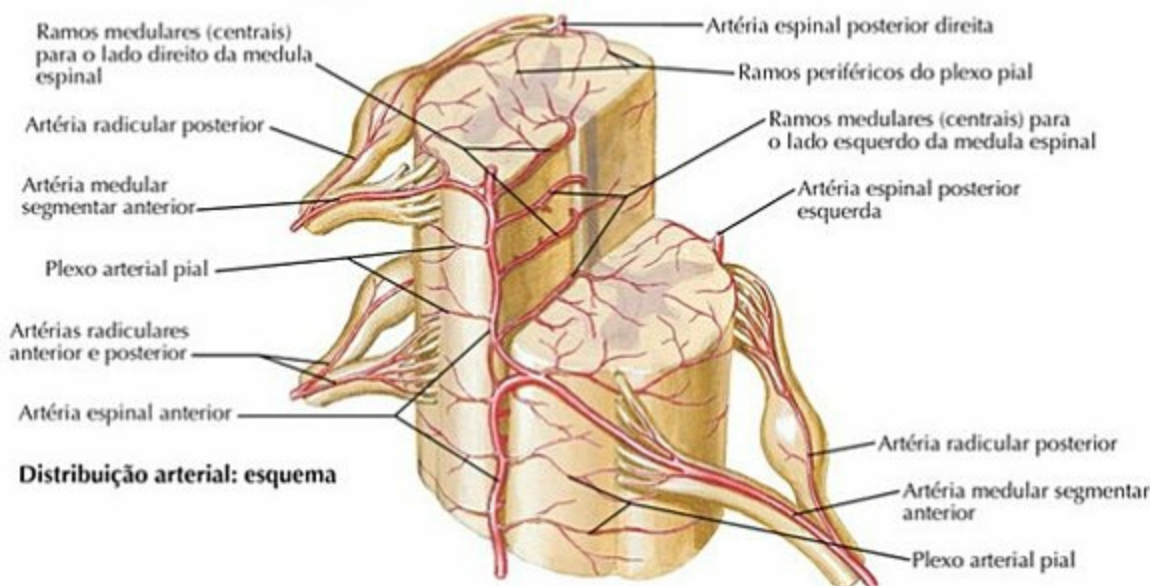
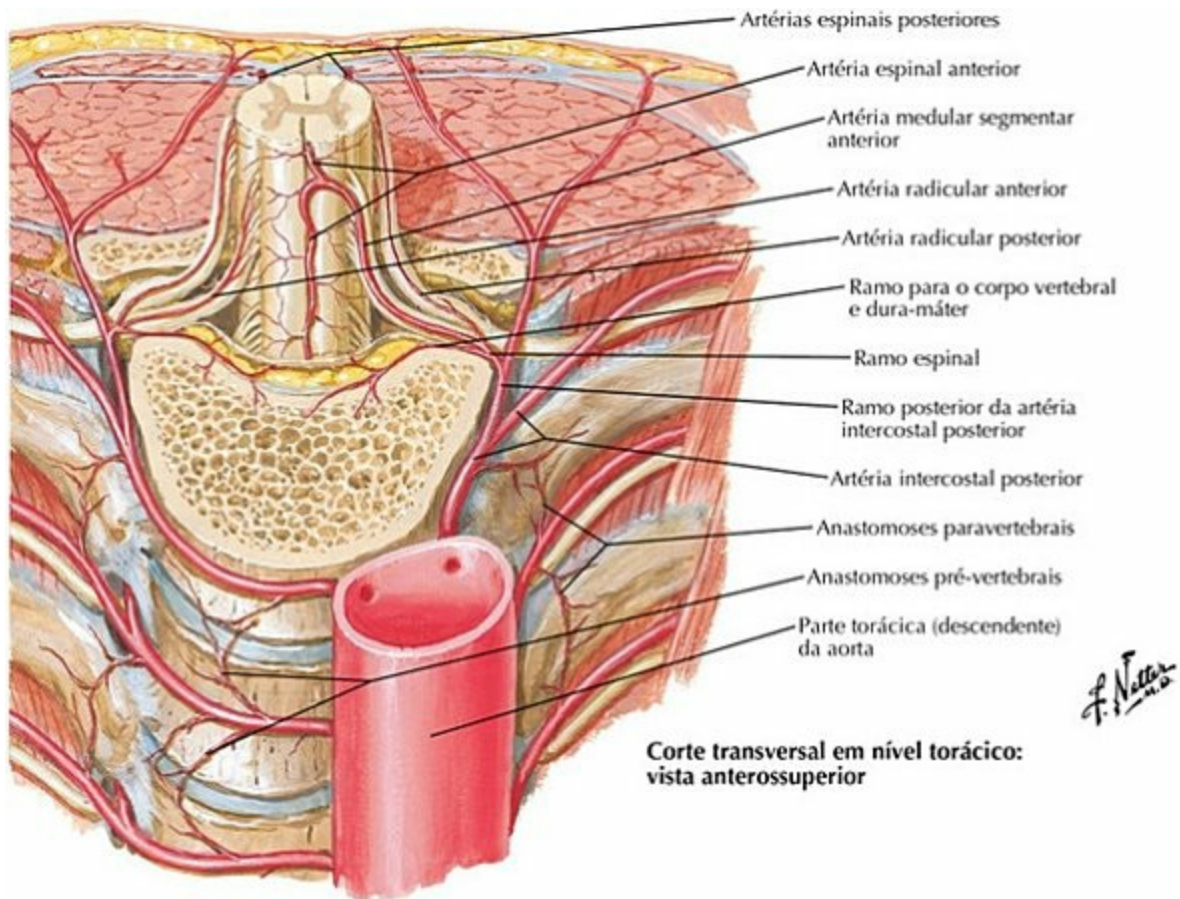
PRANCHA 166 Medula Espinal

Artérias da Medula Espinal: Esquema



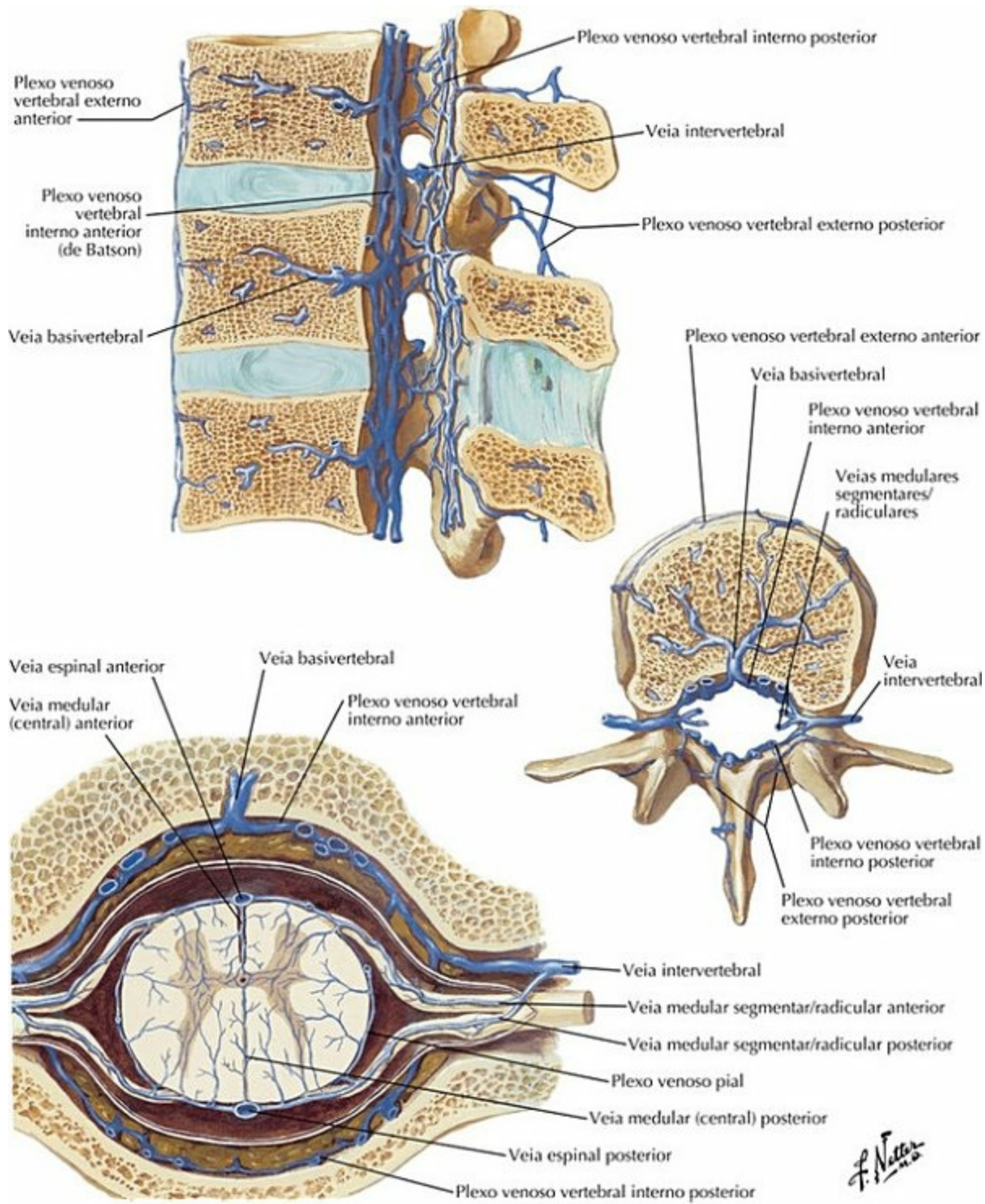
PRANCHA 167 Medula Espinal

Artérias da Medula Espinal: Distribuição Intrínseca



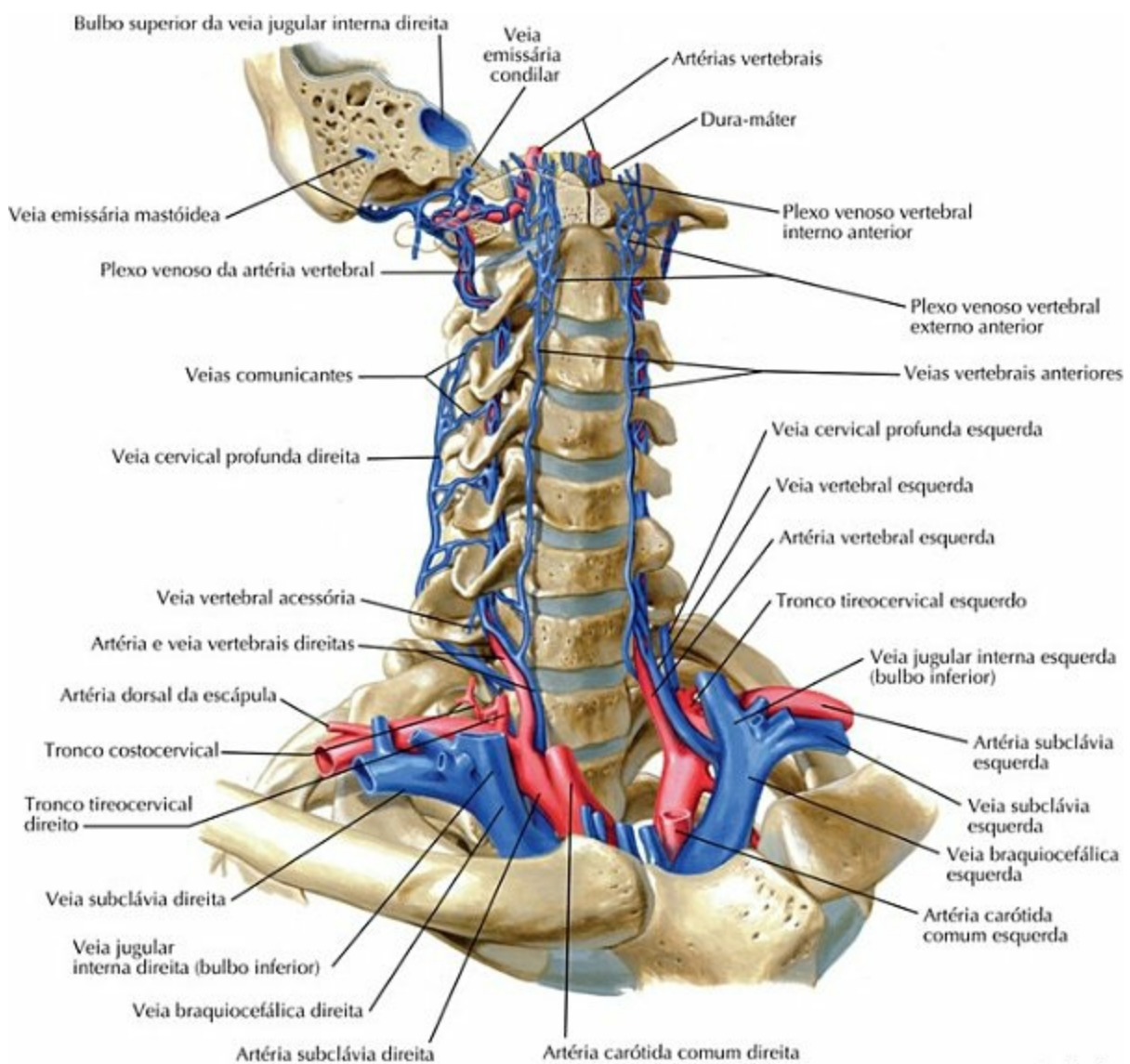
PRANCHA 168 Medula Espinal
 Veja também **Prancha 188**

Veias da Medula Espinal e da Coluna Vertebral



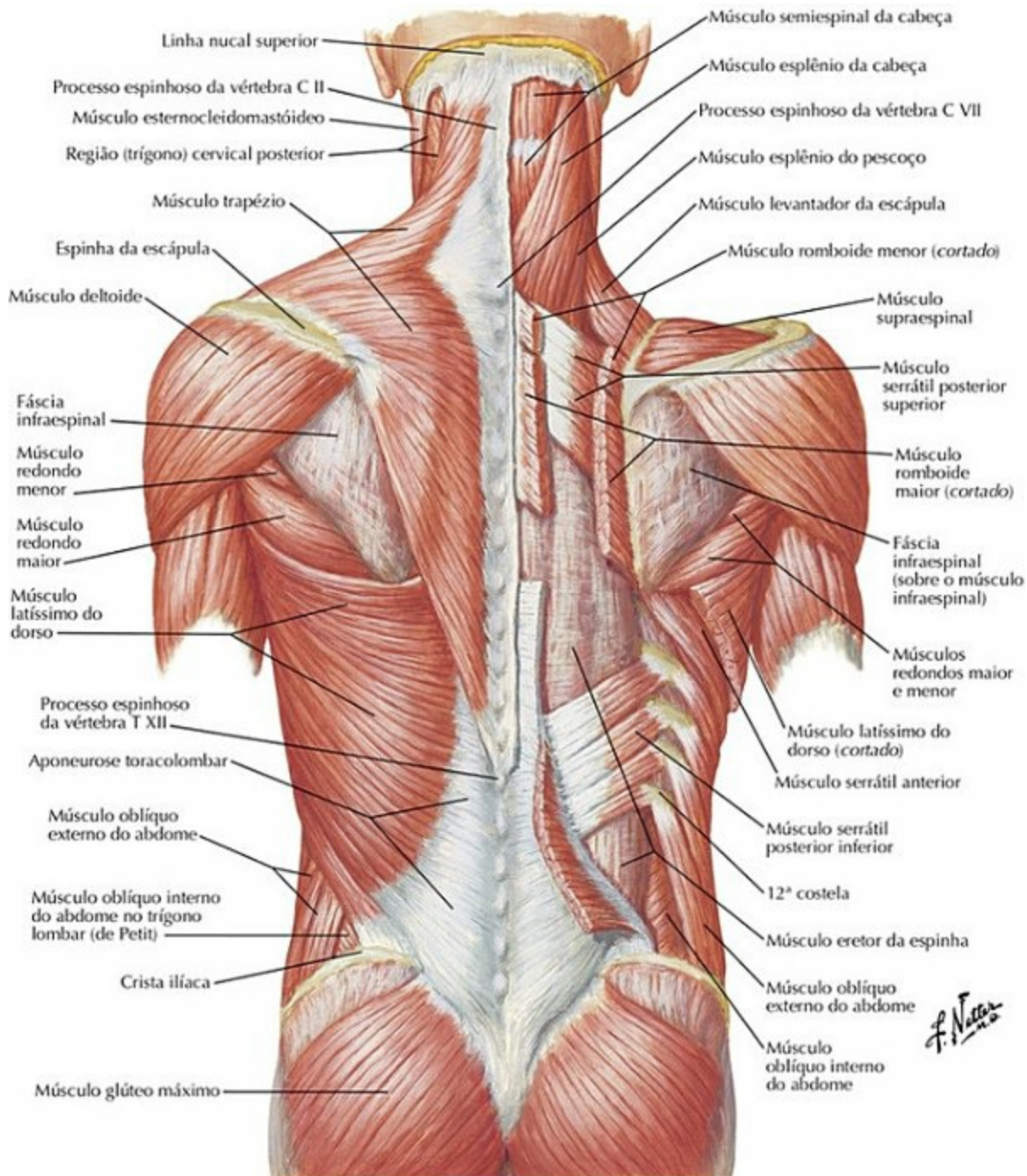
PRANCHA 169 Medula Espinal

Veias da Coluna Vertebral: Veias Vertebrais



PRANCHA 170 Medula Espinal

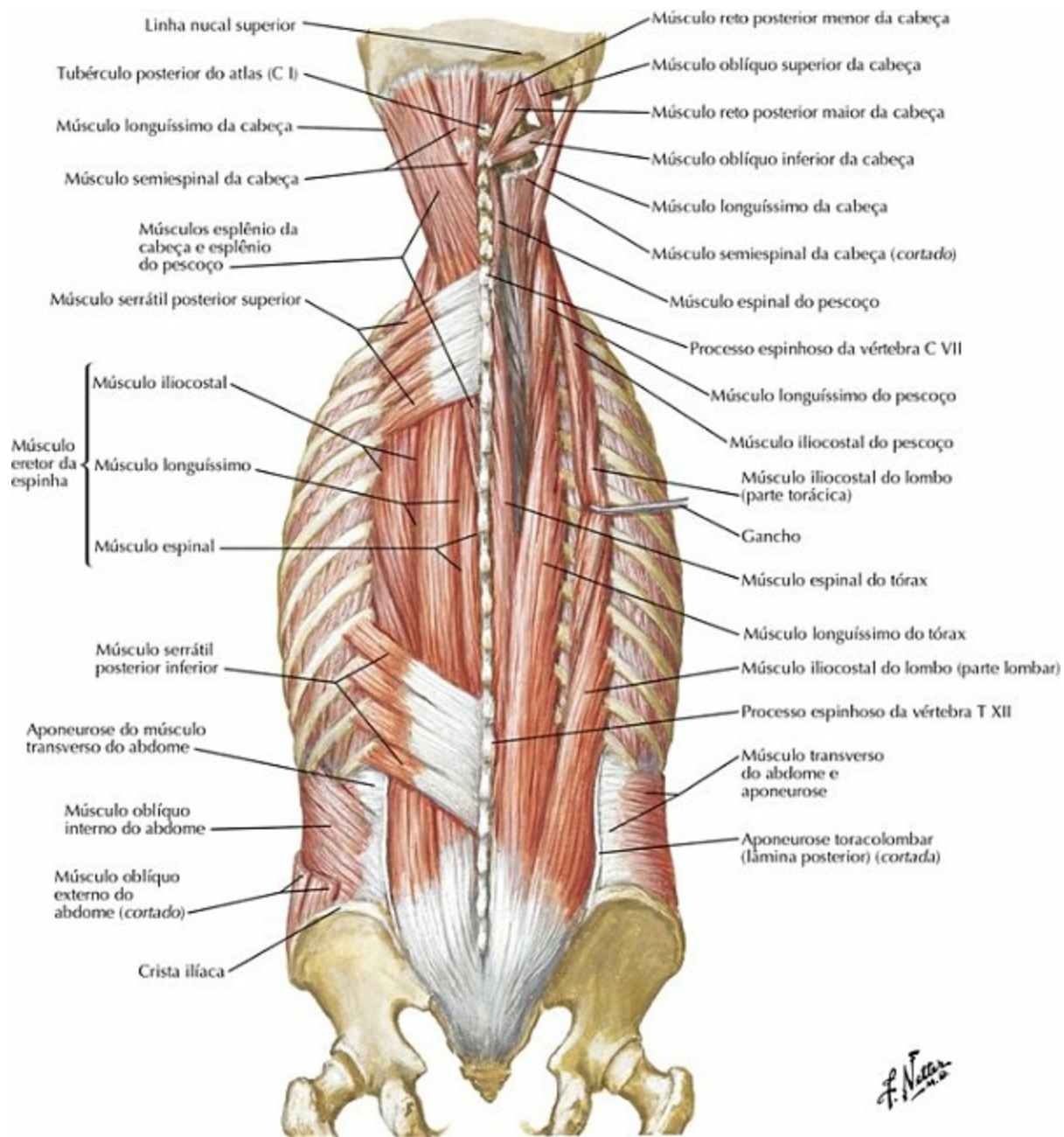
Músculos do Dorso: Camada Superficial



PRANCHA 171 Músculos e Nervos

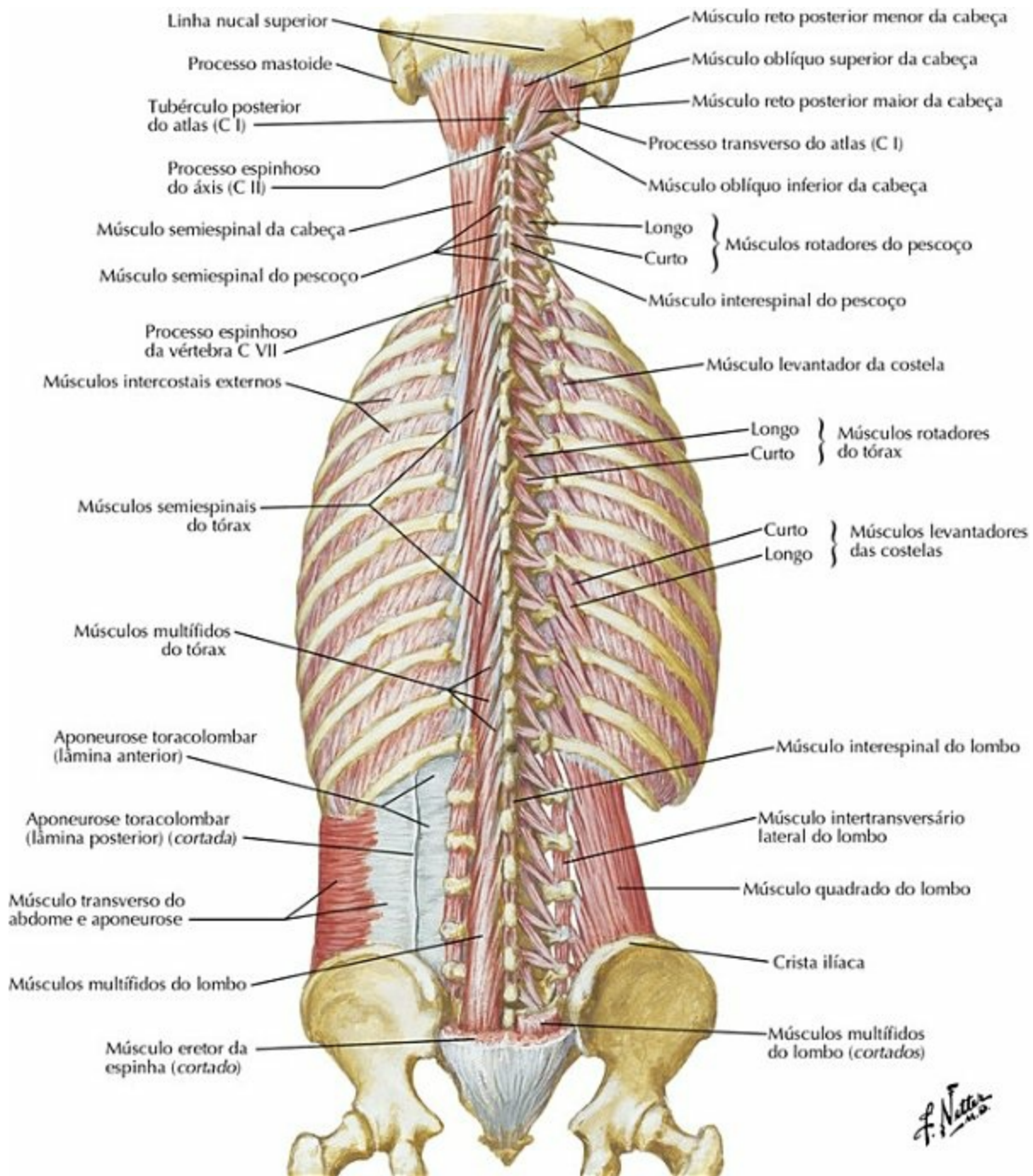
Veja também **Pranchas 29, 250**

Músculos do Dorso: Camada Média



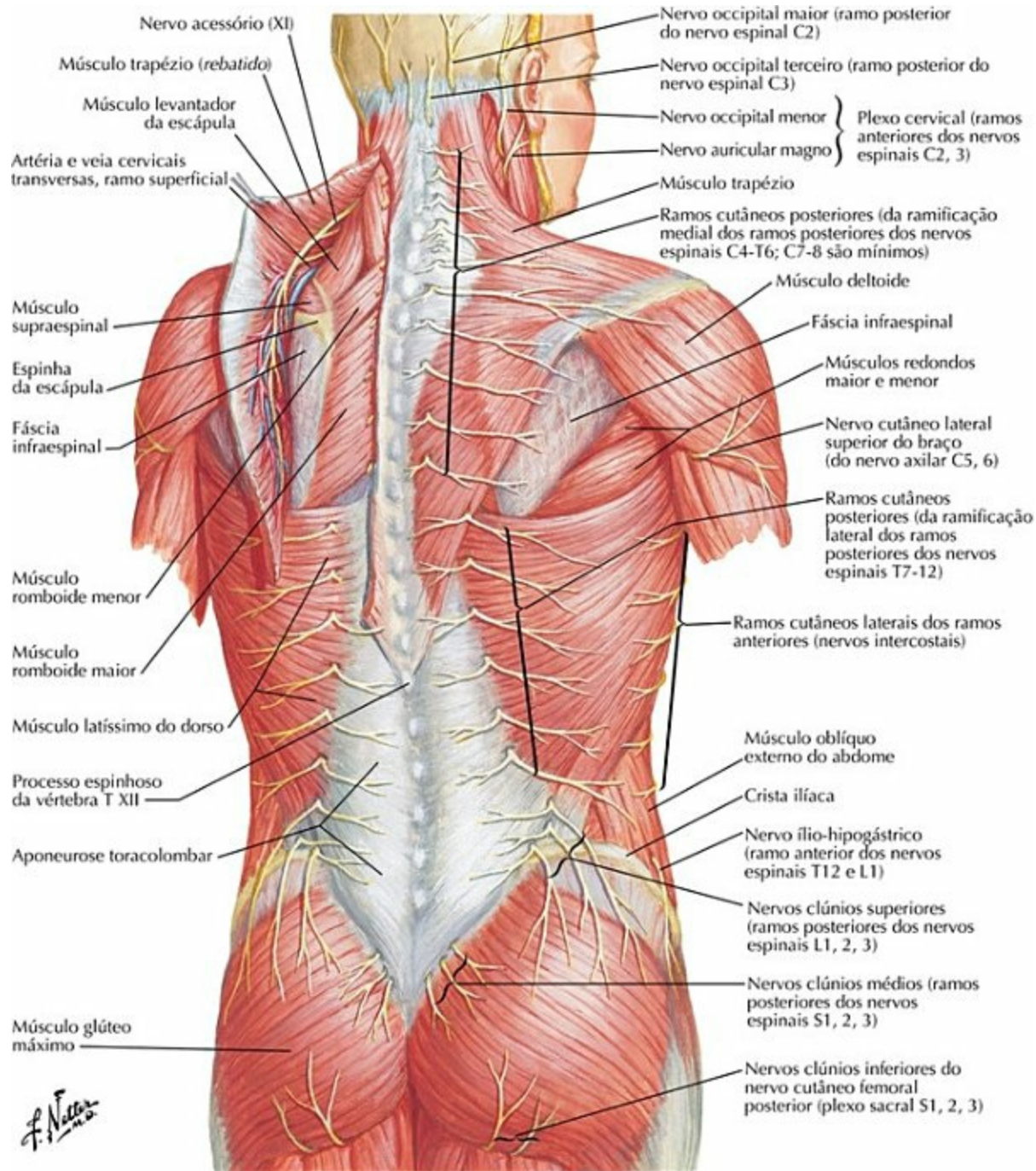
PRANCHA 172 Músculos e Nervos

Músculos do Dorso: Camada Profunda



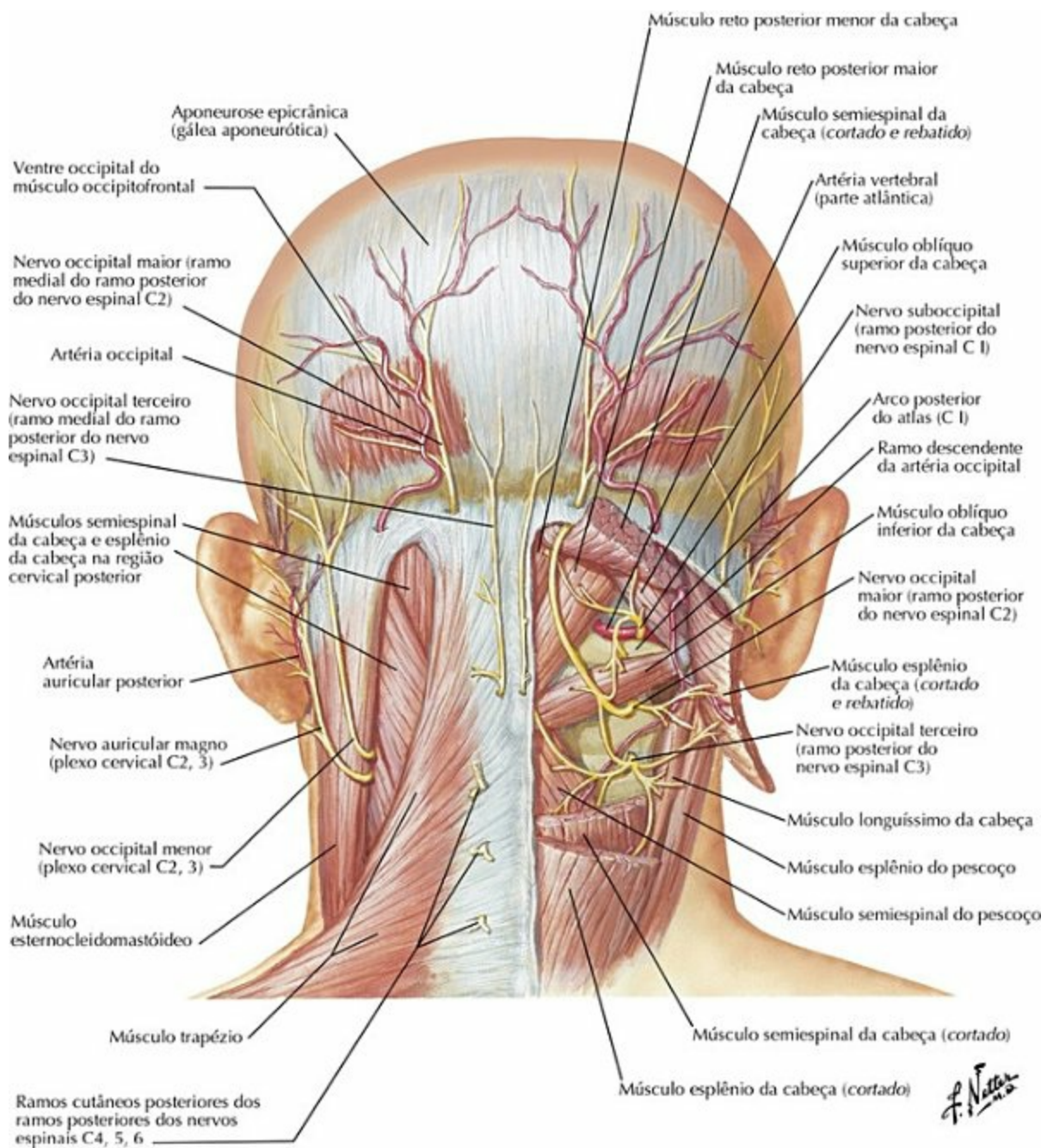
PRANCHA 173 Músculos e Nervos

Nervos do Dorso



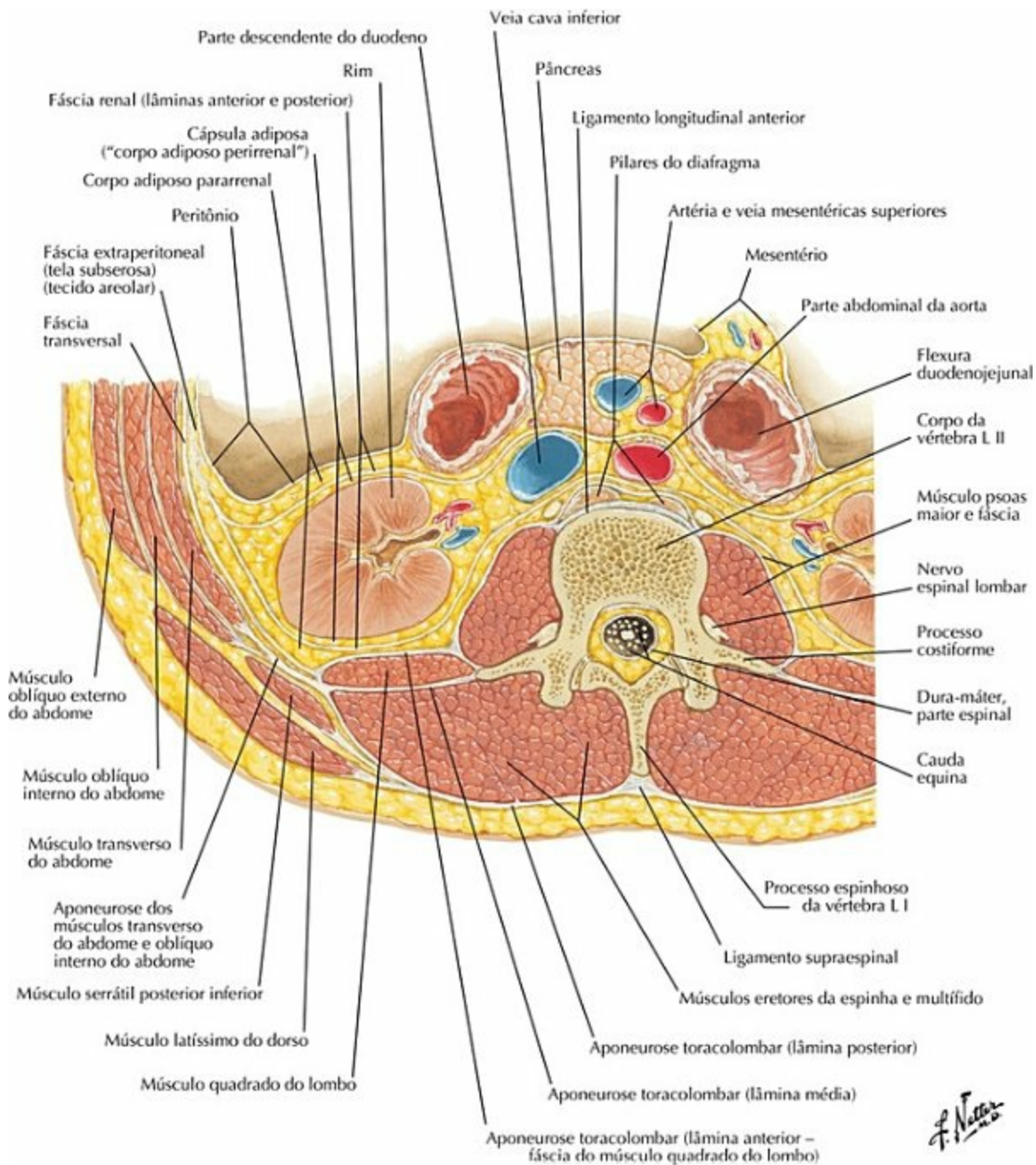
PRANCHA 174 Músculos e Nervos
Veja também **Pranchas 409, 481**

Região Cervical Posterior (“Trígono Suboccipital”)



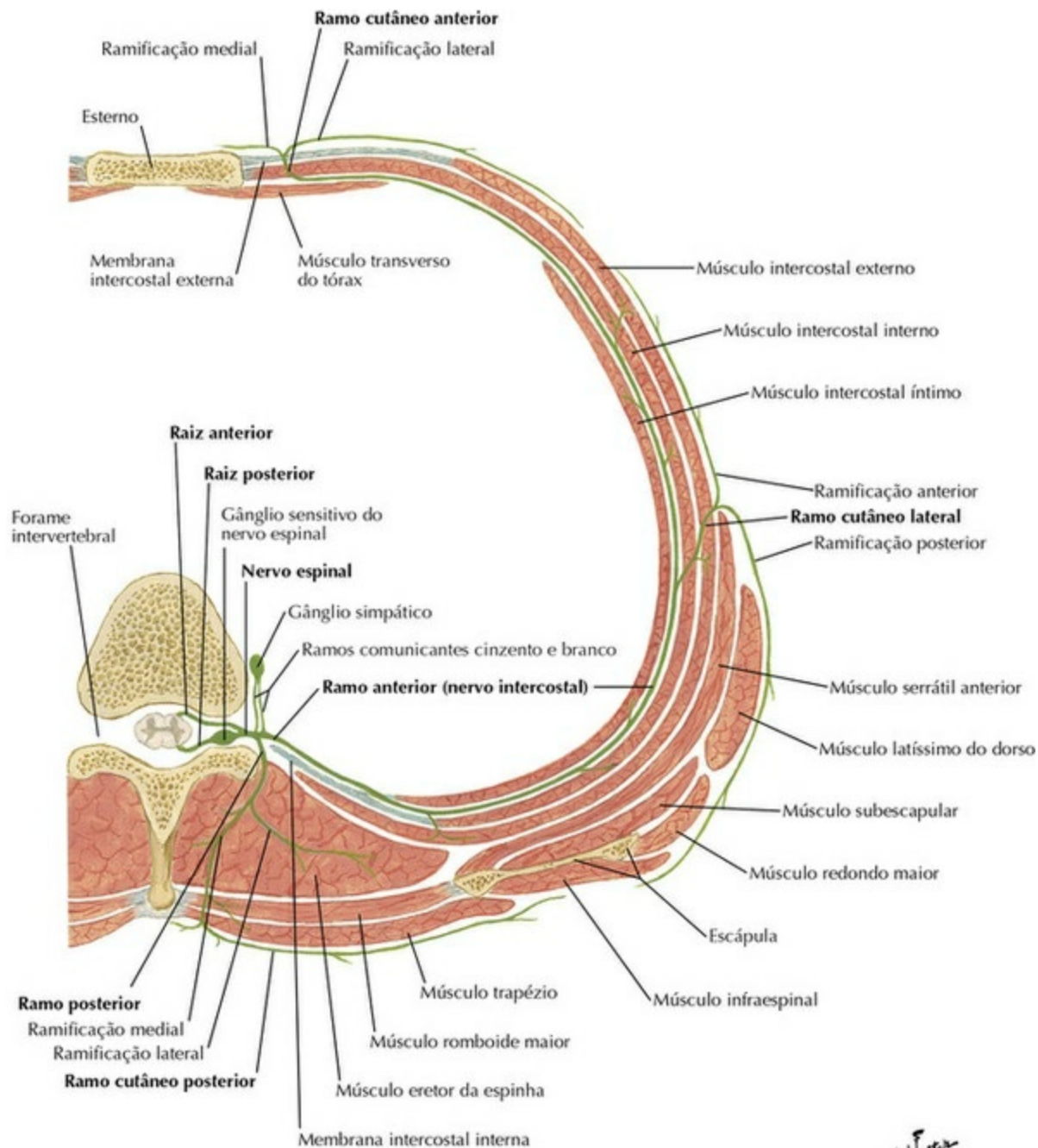
PRANCHA 175 Músculos e Nervos
 Veja também **Pranchas 29, 32**

Região Lombar: Corte Transversal



PRANCHA 176 Anatomia em Corte Transversal

Nervo Espinal Torácico Típico: Corte Transversal



Nota: Na região torácica inferior, a ramificação lateral do ramo posterior é mais longa, motora e cutânea; a ramificação medial é mais curta e somente motora.

J. Netto

PRANCHA 177 Anatomia em Corte Transversal
Veja também **Prancha 254**

Tabelas de Músculos

Tabela 2-1

Tabelas de Músculos

MÚSCULO	INSERÇÃO PROXIMAL (Ponto fixo)	INSERÇÃO DISTAL (Ponto móvel)	INERVAÇÃO	AÇÕES PRINCIPAIS	SUPRIMENTO SANGUÍNEO
Eretor da espinha	Face dorsal do sacro, crista ilíaca, ligamento sacroespinal, ligamento supraespinal, processos espinhosos das vértebras lombares inferiores e das vértebras sacrais	<i>Iliocostal</i> : ângulos das costelas inferiores, processos transversos cervicais <i>Longuíssimo</i> : entre os tubérculos e os ângulos das costelas, processos transversos das vértebras cervicais e torácicas, processo mastoide <i>Espinal</i> : processos espinhosos das vértebras cervicais e das vértebras torácicas superiores	Ramos posteriores dos nervos espinais de cada região	Estende e inclina lateralmente a coluna vertebral e a cabeça	<i>Parte cervical</i> : artérias vertebral, cervical profunda e occipital <i>Parte torácica</i> : ramos posteriores das artérias intercostal posterior, subcostais e lombares <i>Parte sacral</i> : ramos posteriores das artérias sacrais laterais
Interespinais (do pescoço, do tórax e do lombo)	Processo espinhoso	Processo espinhoso adjacente	Ramos posteriores de nervos espinais	Auxilia na extensão da coluna vertebral	<i>Parte cervical</i> : artérias occipital, cervical profunda e vertebral <i>Parte torácica</i> : ramos posteriores das artérias intercostais posteriores <i>Parte lombar</i> : ramos posteriores das artérias lombares
Intertransversários (do pescoço, do tórax, do lombo)	Estendem-se entre os processos transversos de vértebras adjacentes	Estendem-se entre os processos transversos de vértebras adjacentes	Ramos posteriores de nervos espinais	Auxiliam na flexão lateral da coluna vertebral	<i>Parte cervical</i> : artérias occipital, cervical profunda e vertebral

					<i>Parte torácica:</i> ramos posteriores das artérias intercostais posteriores, subcostal e lombares <i>Parte lombar:</i> ramos posteriores das artérias lombares laterais
Latíssimo do dorso	Processos espinhosos de T VII - LV, aponeurose toracolombar, crista ilíaca e últimas três costelas	Úmero (sulco intertubercular)	Nervo toracodorsal	Estende, aduz e roda medialmente o braço	Artéria toracodorsal; ramos perfurantes da 9ª, 10ª e 11ª artérias intercostais posteriores; artéria subcostal e três primeiras artérias lombares
Levantador da escápula	Tubérculos posteriores dos processos transversos de C I - C IV	Margem medial da escápula, desde o ângulo superior até a espinha	Ramos anteriores de C3-C4 e nervo dorsal da escápula	Eleva medialmente a escápula e roda inferiormente a cavidade glenoidal	Artéria dorsal da escápula; artéria cervical transversa; artéria cervical ascendente
Multífidos	Sacro, ílio, processos transversos de T I -T XII e processos articulares de C IV -C VII	Processos espinhosos das vértebras acima, estendendo-se de dois a quatro segmentos	Ramos posteriores dos nervos espinais de cada região	Estabiliza a coluna vertebral	<i>Parte cervical:</i> artérias occipital, cervical profunda e vertebral <i>Parte torácica:</i> ramos posteriores das artérias intercostais posteriores, subcostal e lombares <i>Parte lombar:</i> ramos posteriores

					das artérias sacrais laterais
Obliquo inferior da cabeça	Processo espinhoso do áxis	Processo transverso do atlas	Nervo suboccipital	Roda a cabeça para o mesmo lado	Artéria vertebral; ramo descendente da artéria occipital
Obliquo superior da cabeça	Processo transverso do atlas	Osso occipital	Nervo suboccipital	Estende e inclina a cabeça lateralmente	Artéria vertebral; ramo descendente da artéria occipital
Reto posterior maior da cabeça	Processo espinhoso do áxis	Linha nugal inferior	Nervo suboccipital	Estende e roda a cabeça para o mesmo lado	Artéria vertebral; ramo descendente da artéria occipital

Variações nas contribuições do nervo espinal para a inervação dos músculos, seu suprimento arterial, nas suas inserções e em suas ações são de ocorrência comum na anatomia humana. Portanto, existem diferenças entre os textos e pode-se considerar que a variação anatômica é normal.

Tabela 2-2
Tabelas de Músculos

MÚSCULO	INSERÇÃO PROXIMAL (Ponto fixo)	INSERÇÃO DISTAL (Ponto móvel)	INERVAÇÃO	AÇÕES PRINCIPAIS	SUPRIMENTO SANGUÍNEO	GRUPO MUSCULAR
Reto posterior menor da cabeça	Tubérculo do arco posterior do atlas	Meio da linha nugal inferior	Nervo suboccipital	Estende a cabeça	Artéria vertebral; ramo descendente da artéria occipital	Suboccipital
Romboide maior	Processo espinhoso das vértebras TII - TV	Margem medial da escápula, abaixo da base da espinha da escápula	Nervo dorsal da escápula	Fixa a escápula de encontro à parede torácica; retração e rotação da escápula, abaixando a cavidade glenoidal	Artéria dorsal da escápula <i>OU</i> ramo profundo da artéria cervical transversa; ramos perfurantes posteriores das cinco ou seis primeiras	Superficial do dorso

					artérias intercostais posteriores	
Romboide menor	Ligamento nuchal, processos espinhosos das vértebras C VII e T I	Margem medial da escápula, no nível da espinha	Nervo dorsal da escápula	Mesma ação do músculo romboide maior	Mesmo suprimento sanguíneo do músculo romboide maior	Superficial
Rotadores	Processos transversos das vértebras cervicais, torácicas e lombares	Lâminas e processos transversos da vértebra acima, estendendo-se um ou dois segmentos	Ramos posteriores dos nervos espinais	Estabiliza, estende e roda a coluna vertebral	Ramos posteriores das artérias segmentares	Transversos espinais
Semiespinal	Processos transversos de CIV - TXII	Processos espinhosos das vértebras cervicais e torácicas	Ramos posteriores dos nervos espinais	Estende a cabeça, o pescoço e o tórax, rodando essas partes para o lado oposto	<i>Parte cervical:</i> artérias occipital, cervical profunda e vertebral <i>Parte torácica:</i> ramos posteriores das artérias intercostais posteriores	Transversos espinais
Serrátil posterior inferior	Processos espinhosos de T - L II	Margem inferior das costelas IX - XII	Ramos anteriores dos nervos torácicos inferiores	Abaixa as costelas	Artérias intercostais posteriores	Médios
Serrátil posterior superior	Ligamento nuchal, processos espinhosos de CVII - T III	Margem superior das costelas II - IV	Ramos anteriores dos nervos torácicos superiores	Eleva as costelas	Artérias intercostais posteriores	Médios
Esplênio da cabeça	Ligamento nuchal, processos espinhosos de CVII - T III	Processo mastoide do osso temporal, terço lateral da linha nuchal superior	Ramos posteriores dos nervos cervicais médios	<i>Bilateralmente:</i> estende a cabeça <i>Unilateralmente:</i> inclina (flexiona) lateralmente a cabeça e roda a face para o mesmo lado	Ramo descendente da artéria occipital; artéria cervical profunda	Espinais
Esplênio do	Processos	Processos	Ramos	<i>Bilateralmente:</i>	Ramo	Espinais

pescoço	espinhosos de T - T VI	transversos de C - C III	posteriores dos nervos cervicais inferiores	estende o pescoço <i>Unilateralmente:</i> inclina (flexiona) lateralmente e roda o pescoço para o mesmo lado	descendente da artéria occipital, artéria cervical profunda	
Trapézio	Linha nugal superior, protuberância occipital externa, ligamento nugal, processos espinhosos de CVII - T XII	Terço lateral da clavícula, acrômio, espinha da escápula	Nervo acessório (NC XI)	Eleva, retrai e roda a escápula; as fibras da parte ascendente abaixam a escápula	Artéria cervical transversa, ramos perfurantes posteriores das artérias intercostais posteriores	Superficial

Tórax

Anatomia Topográfica

Prancha 178

178. Tórax: Anatomia de Superfície

Glândula Mamária

Pranchas 179-182

179. Glândula Mamária

180. Artérias da Glândula Mamária

181. Vasos Linfáticos e Linfonodos da Glândula Mamária

182. Drenagem Linfática da Mama

Paredes do Tórax

Pranchas 183-192

183. Esqueleto do Tórax (Caixa Torácica)

184. Costelas e Articulações Associadas

185. Parede Anterior do Tórax

186. Parede Anterior do Tórax (continuação)

187. Parede Anterior do Tórax: Vista Interna

188. Nervos e Artérias Intercostais

189. Veias das Paredes do Tórax

190. Nervo Frênico

191. Diafragma: Superfície Torácica (Superior)

192. Diafragma: Superfície Abdominal (Inferior)

Pulmões

Pranchas 193-207

193. Topografia dos Pulmões: Vista Anterior

194. Topografia dos Pulmões: Vista Posterior

195. Pulmões *In Situ*: Vista Anterior

196. Pulmões: Vistas Mediais

197. Segmentos Broncopulmonares

198. Segmentos Broncopulmonares (continuação)

199. Traqueia e Brônquios Principais

- 200. Terminologia dos Brônquios: Esquema
- 201. Vias Aéreas Intrapulmonares: Esquema
- 202. Circulação Sanguínea Intrapulmonar: Esquema
- 203. Grandes Vasos do Mediastino Superior
- 204. Artérias e Veias Bronquiais
- 205. Vasos Linfáticos e Linfonodos dos Pulmões
- 206. Nervos Autônomos no Tórax
- 207. Inervação da Traqueia e da Árvore Bronquial: Esquema

Coração

Pranchas 208-226

- 208. Coração *in Situ*
- 209. Coração: Vista Anterior
- 210. Radiologia e Auscultação do Coração
- 211. Coração: Base e Face Diafragmática (Inferior)
- 212. Pericárdio
- 213. Mediastino: Corte Transversal
- 214. Tórax: Corte Frontal (Coronal) do Coração, Parte Ascendente da Aorta
- 215. Artérias Coronárias e Veias do Coração (Cardíacas)
- 216. Artérias Coronárias: Imagens
- 217. Átrio e Ventrículo Direitos
- 218. Átrio e Ventrículo Esquerdos
- 219. Valvas e Esqueleto Fibroso do Coração
- 220. Valvas e Esqueleto Fibroso do Coração (continuação)
- 221. Átrios, Ventrículos e Septo Interventricular
- 222. Complexo Estimulante (Sistema de Condução) do Coração
- 223. Nervos do Coração (Cardíacos)
- 224. Inervação do Coração: Esquema
- 225. Inervação dos Vasos Sanguíneos: Esquema
- 226. Circulações Pré-natal e Pós-natal

Mediastino

Pranchas 227-236

- 227. Mediastino: Vista Lateral Direita
- 228. Mediastino: Vista Lateral Esquerda
- 229. Esôfago *in Situ*
- 230. Topografia e Condições do Esôfago
- 231. Musculatura do Esôfago

- 232. Junção Esofagogástrica
- 233. Artérias do Esôfago
- 234. Veias do Esôfago
- 235. Vasos Linfáticos e Linfonodos do Esôfago
- 236. Nervos do Esôfago

Imagens Regionais

Prancha 237

- 237. Imagens do Tórax: Cortes Transversais (“Axiais”) de Tomografia Computadorizada (TC)

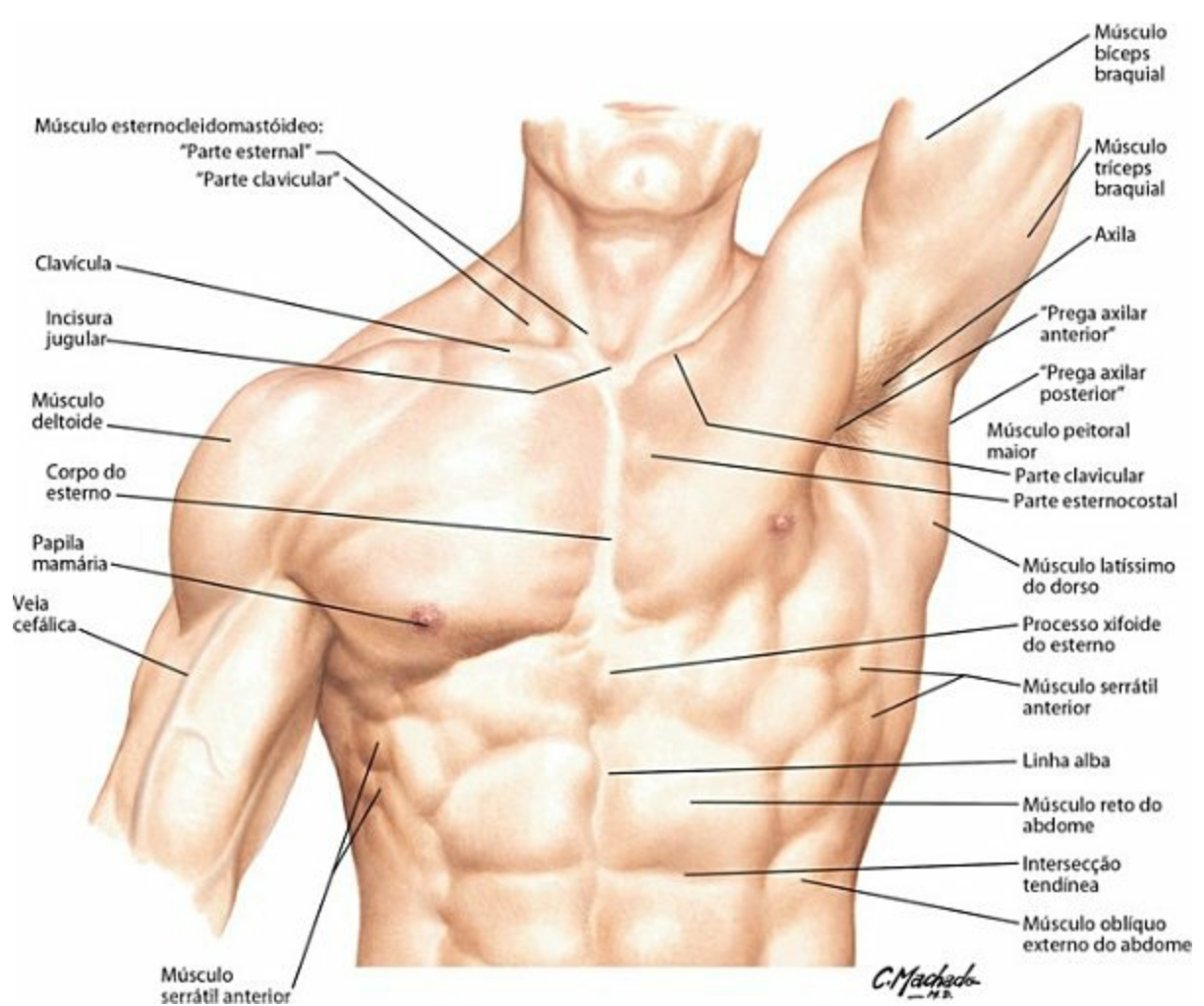
Anatomia Seccional Transversa

Pranchas 238-241

- 238. Corte Transversal do Tórax no Nível de TIII
- 239. Corte Transversal do Tórax no Nível do Disco Intervertebral de TIII-IV
- 240. Corte Transversal do Tórax no Nível do Disco Intervertebral de TIV-V
- 241. Corte Transversal do Tórax no Nível de TVII

Tabela de Músculos

Tórax: Anatomia de Superfície



PRANCHA 178 Anatomia Topográfica

Glândula Mamária

Dissecação anterolateral

Músculo peitoral maior
(subjacente à fáscia peitoral)

Músculo serrátil anterior

Músculo oblíquo externo do abdome

Clavícula

Músculo subclávio

2ª costela (II)

Músculo peitoral maior

Fáscia peitoral

Músculos intercostais

Vasos e nervo intercostais

Pulmão

6ª costela (VI)

Ligamentos suspensores da mama (de Cooper)

Glândulas areolares (de Montgomery)

Aréola da mama

Papila mamária

Ductos lactíferos

Seio lactífero

Gordura

Lobos da glândula mamária

Ligamentos suspensores da mama (de Cooper)

Ducto lactífero

Seio lactífero

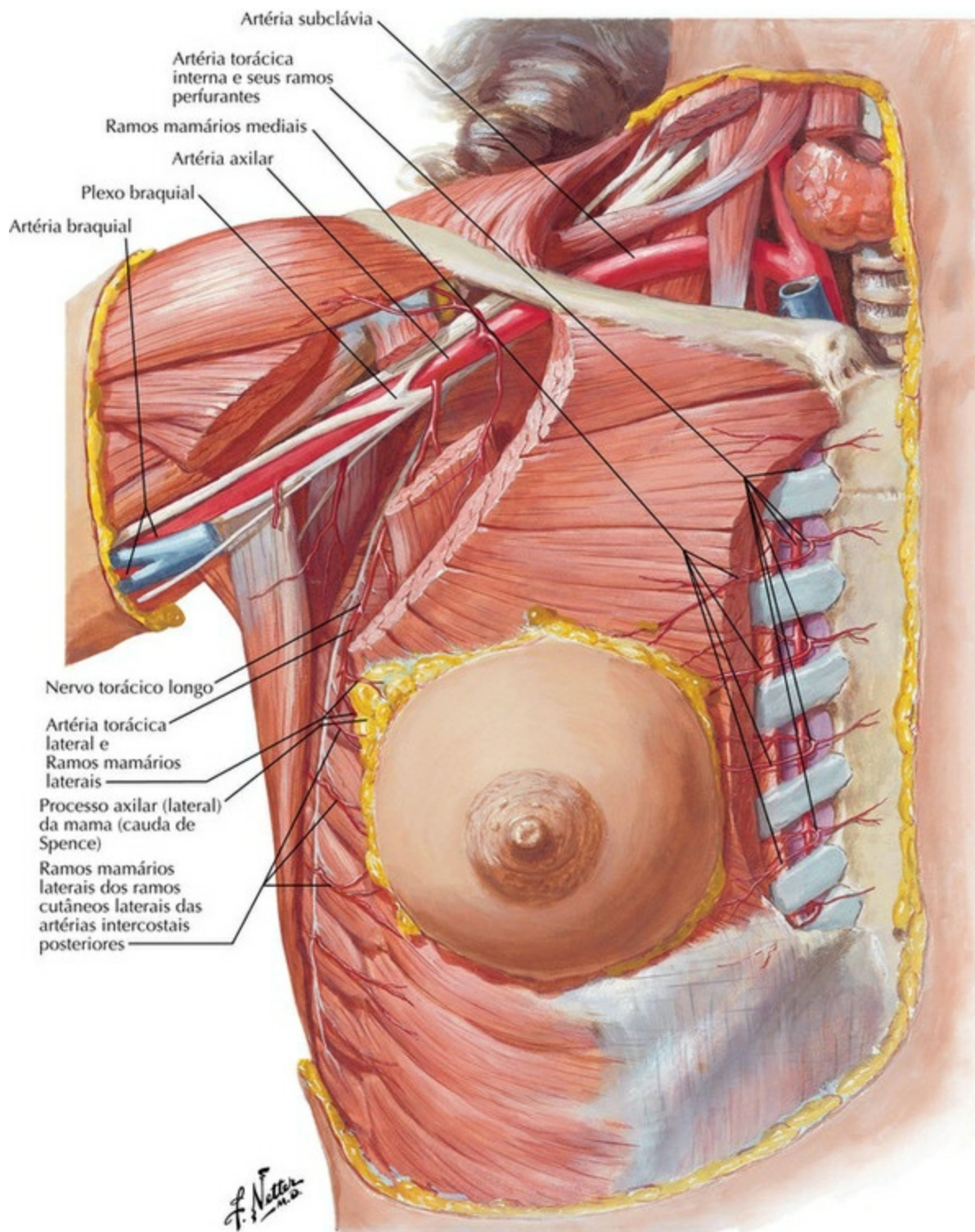
Lobos da glândula mamária

Gordura (na tela subcutânea)

Corte sagital

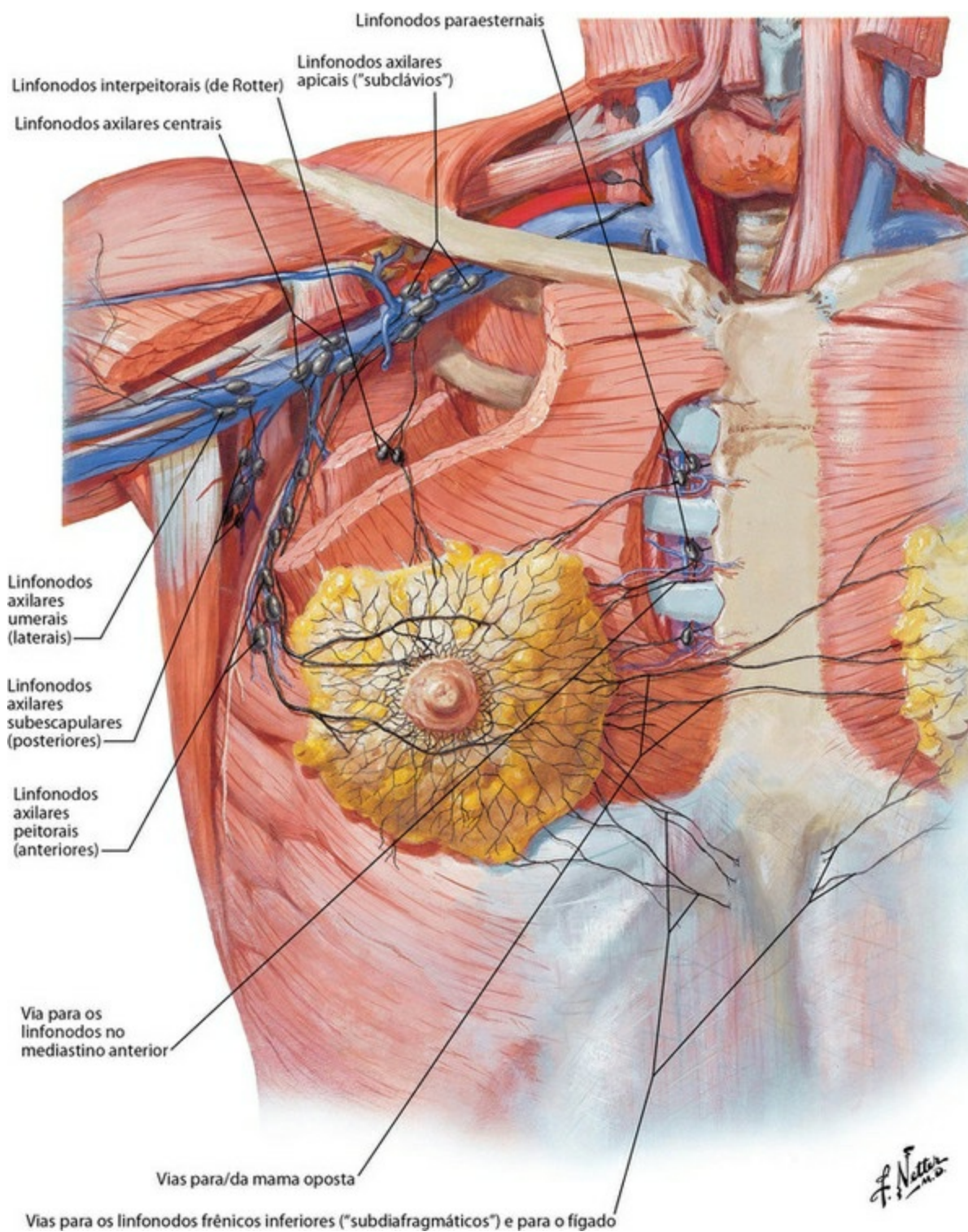
PRANCHA 179 Glândula Mamária

Artérias da Glândula Mamária



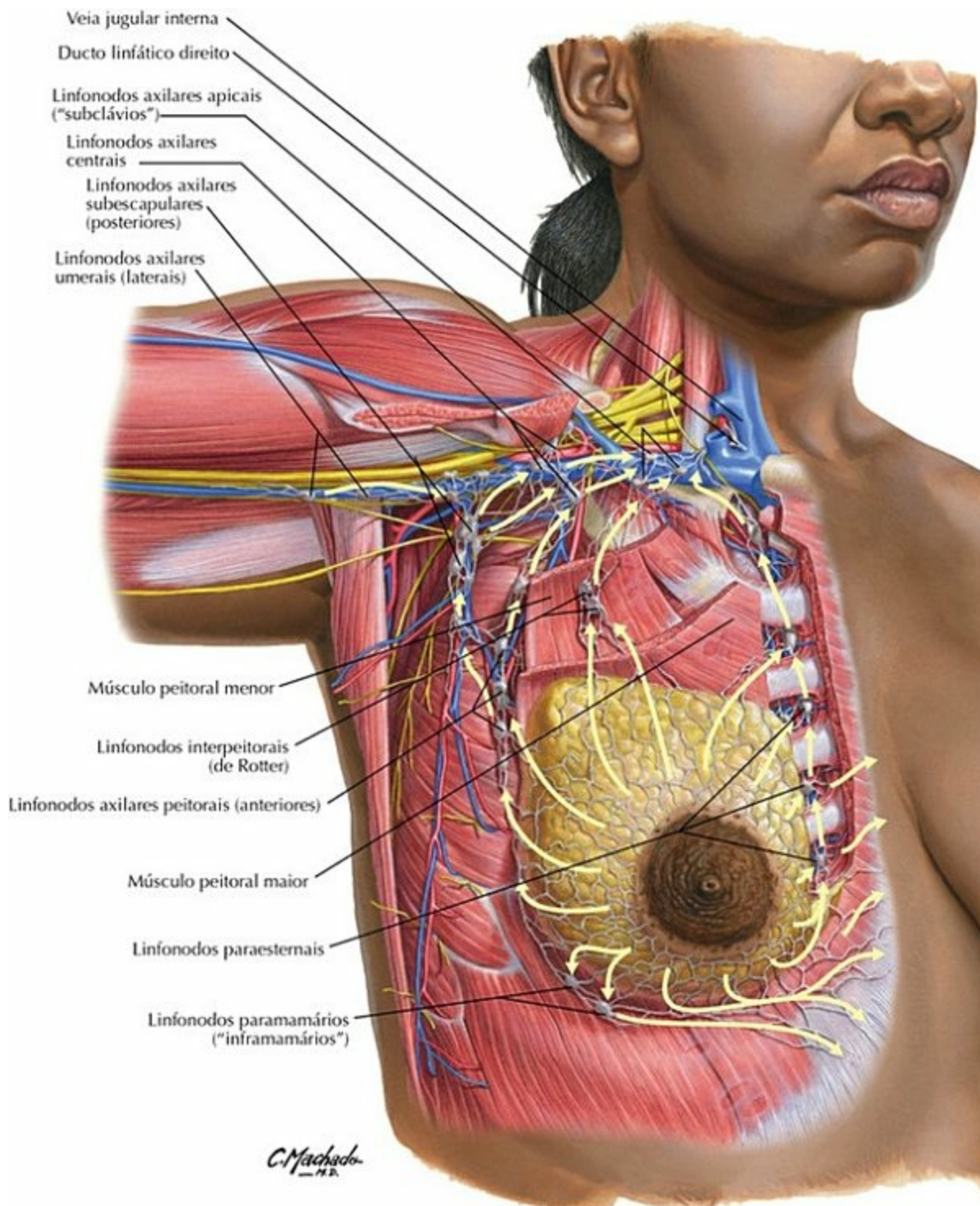
PRANCHA 180 Glândula Mamária

Vasos Linfáticos e Linfonodos da Glândula Mamária



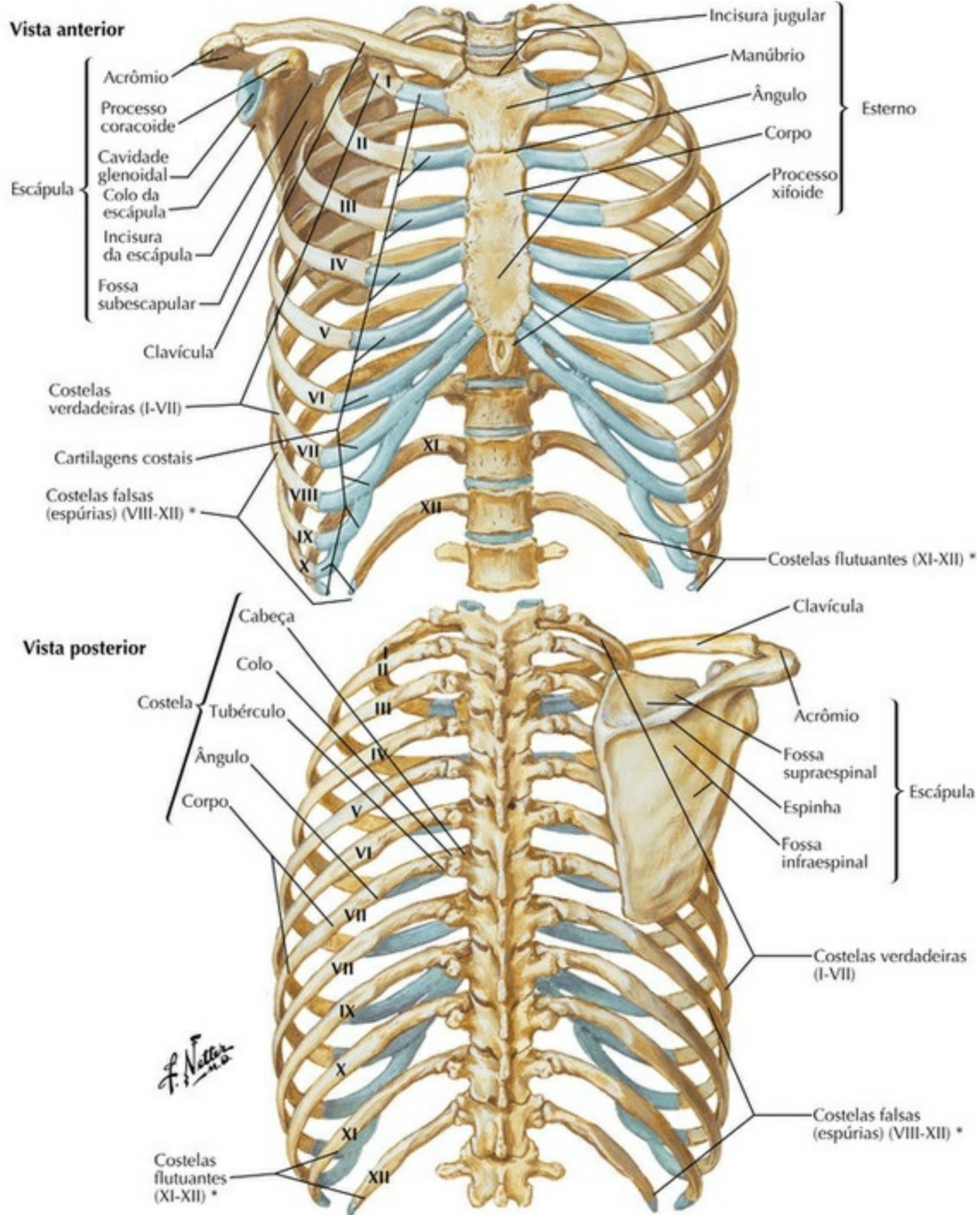
PRANCHA 181 Glândula Mamária

Drenagem Linfática da Mama



PRANCHA 182 Glândula Mamária
Veja também **Prancha 181**

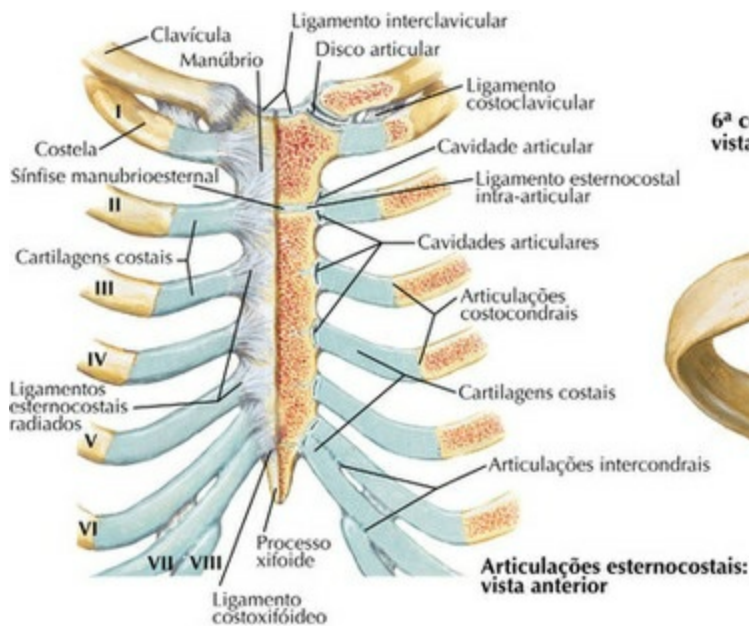
Esqueleto do Tórax (Caixa Torácica)



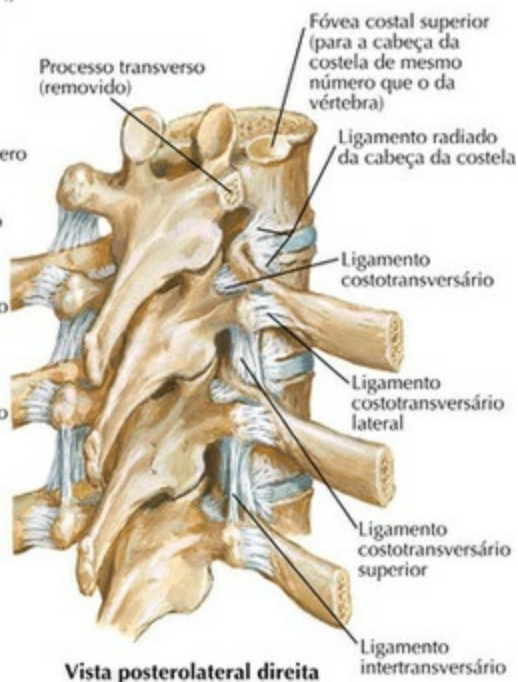
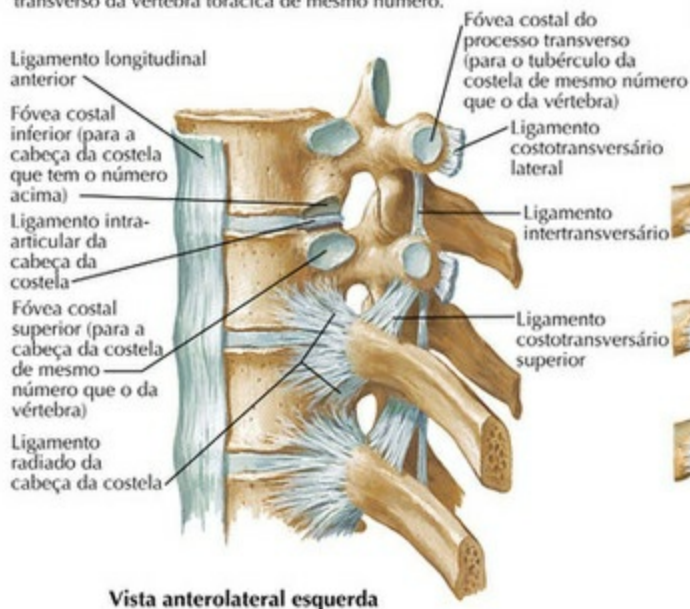
*Nota da Revisão Científica: As costelas XI e XII são denominadas flutuantes pelo fato de não terem ligação com o esterno.

PRANCHA 183 Paredes do Tórax

Costelas e Articulações Associadas



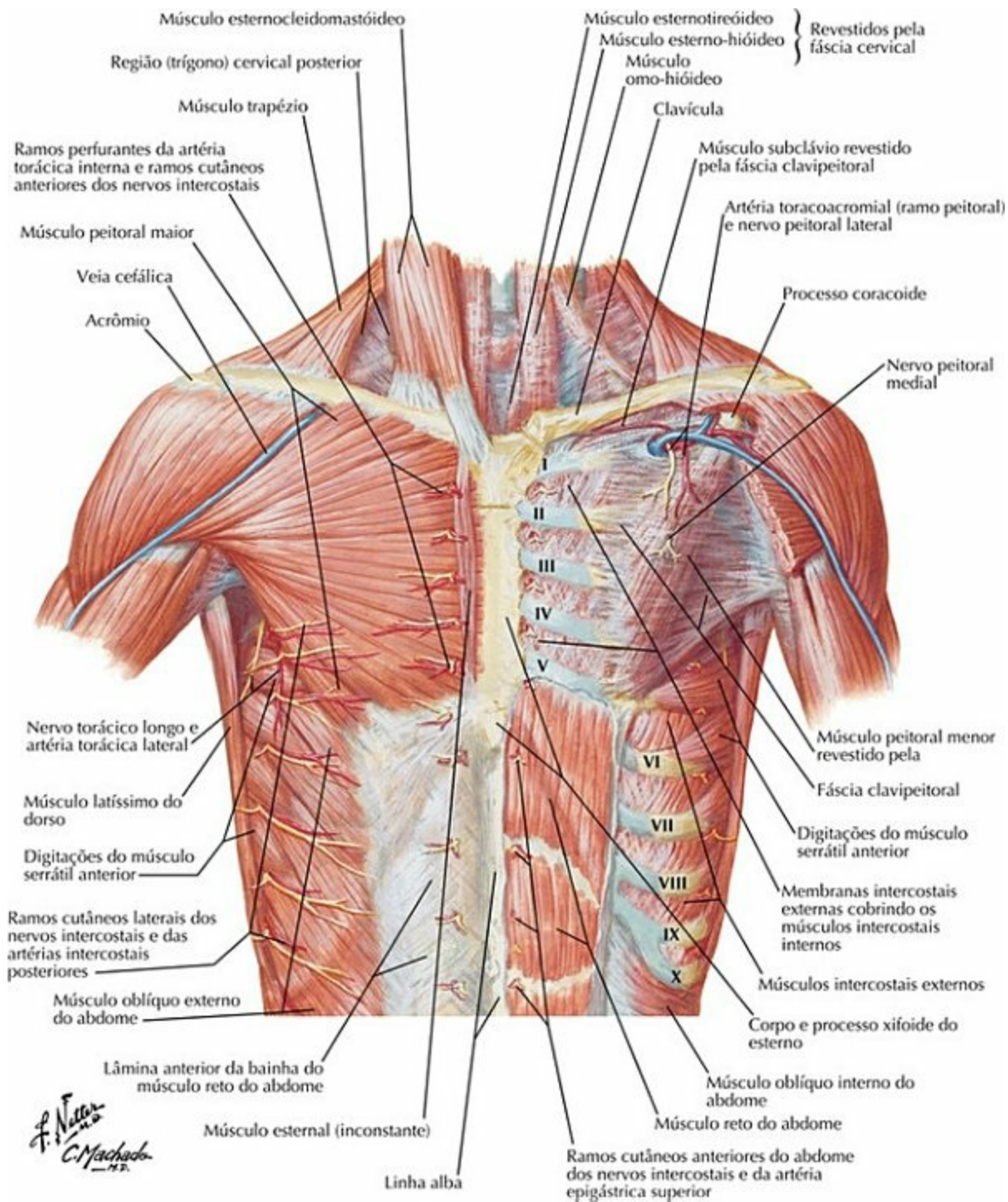
Nota: A cabeça de uma costela típica articula-se com a fôvea costal superior da vértebra torácica de mesmo número (por sua face articular inferior) (ex. V); com a fôvea costal inferior da vértebra torácica numerada com o número abaixo (por sua face articular superior) (ex. IV) e com o disco intervertebral entre as duas vértebras. O tubérculo da costela articula-se com o processo transverso da vértebra torácica de mesmo número.



Nota: A cabeça de uma costela típica articula-se com a fôvea costal superior da vértebra torácica de mesmo número (por sua face articular inferior) (ex. V); com a fôvea costal inferior da vértebra torácica numerada com o número abaixo (por sua face articular superior) (ex. IV) e com o disco intervertebral entre as duas vértebras. O tubérculo da costela articula-se com o processo transverso da vértebra torácica de mesmo número.

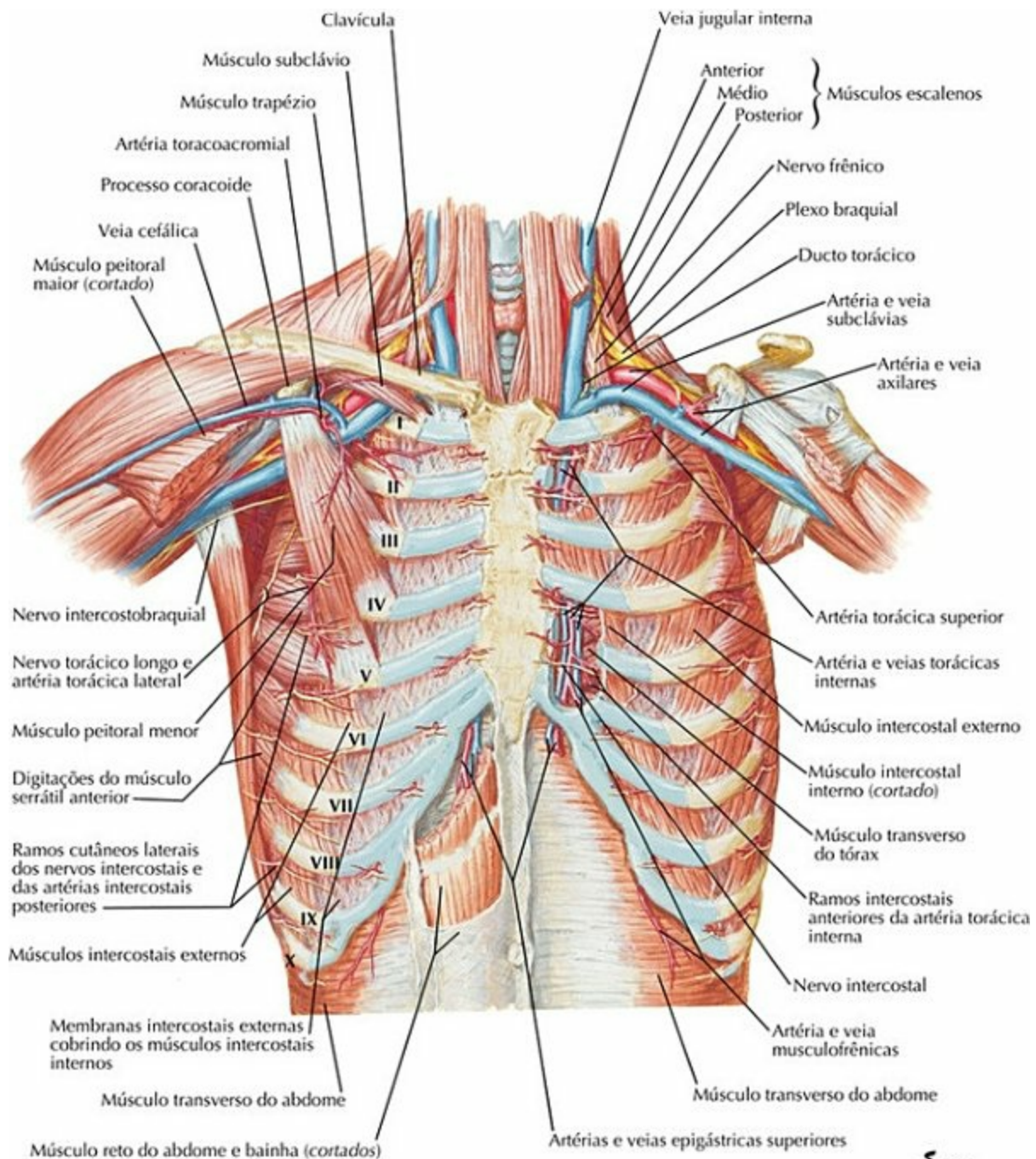
PRANCHA 184 Paredes do Tórax

Parede Anterior do Tórax



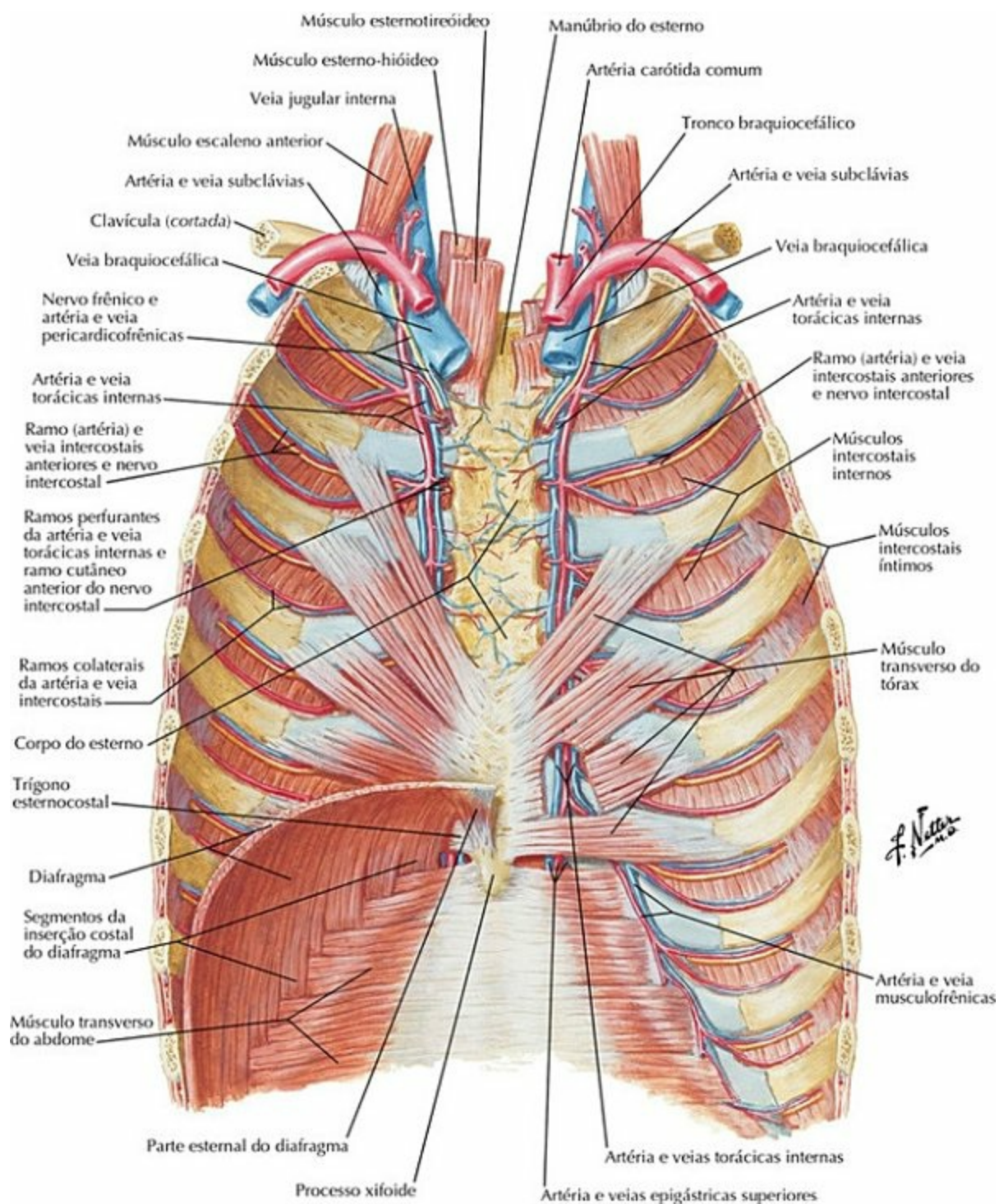
PRANCHA 185 Paredes do Tórax

Parede Anterior do Tórax (continuação)



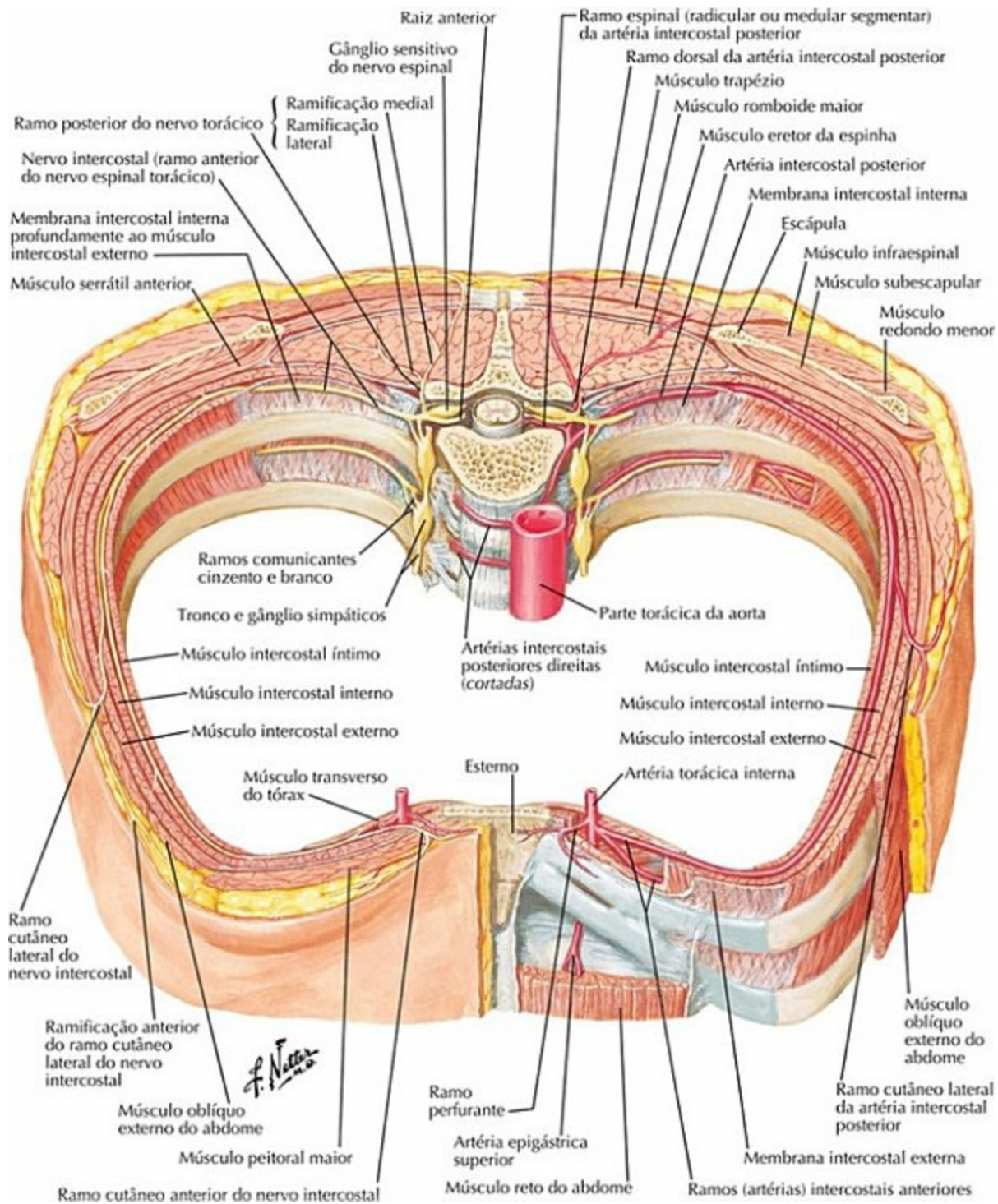
PRANCHA 186 Paredes do Tórax

Parede Anterior do Tórax: Vista Interna



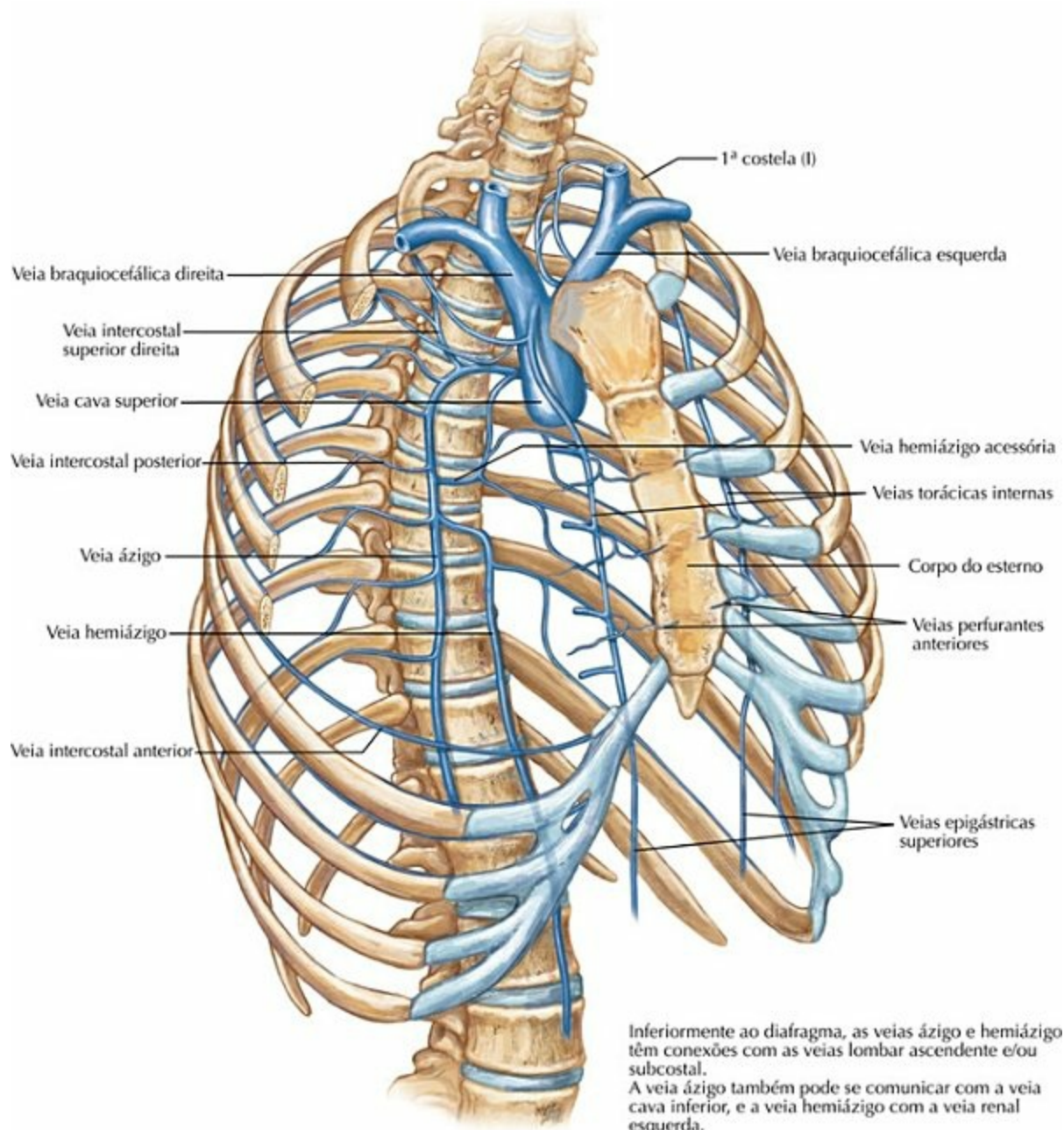
PRANCHA 187 Paredes do Tórax

Nervos e Artérias Intercostais



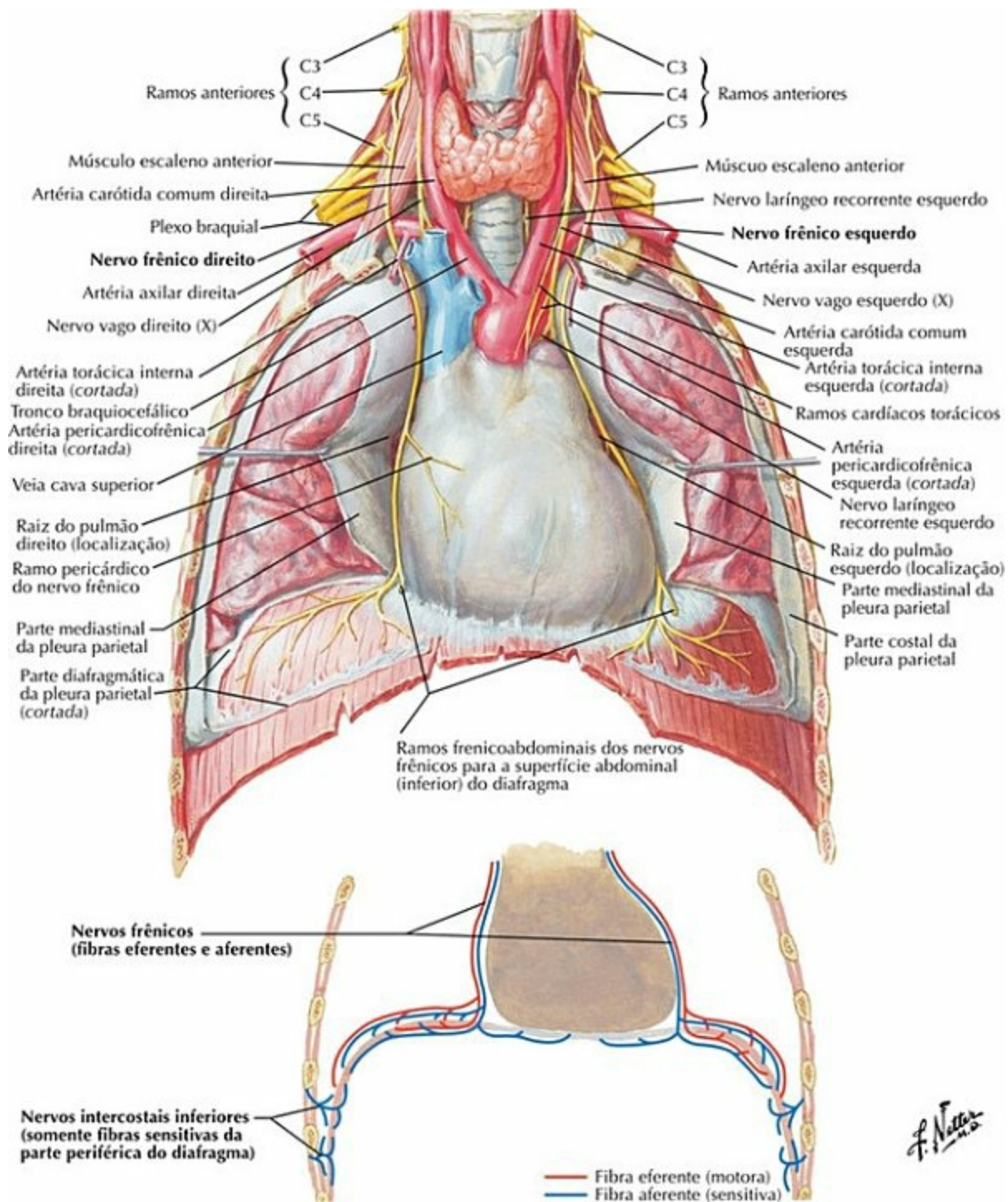
PRANCHA 188 Paredes do Tórax
 Veja também **Pranchas 254, 262**

Veias das Paredes do Tórax



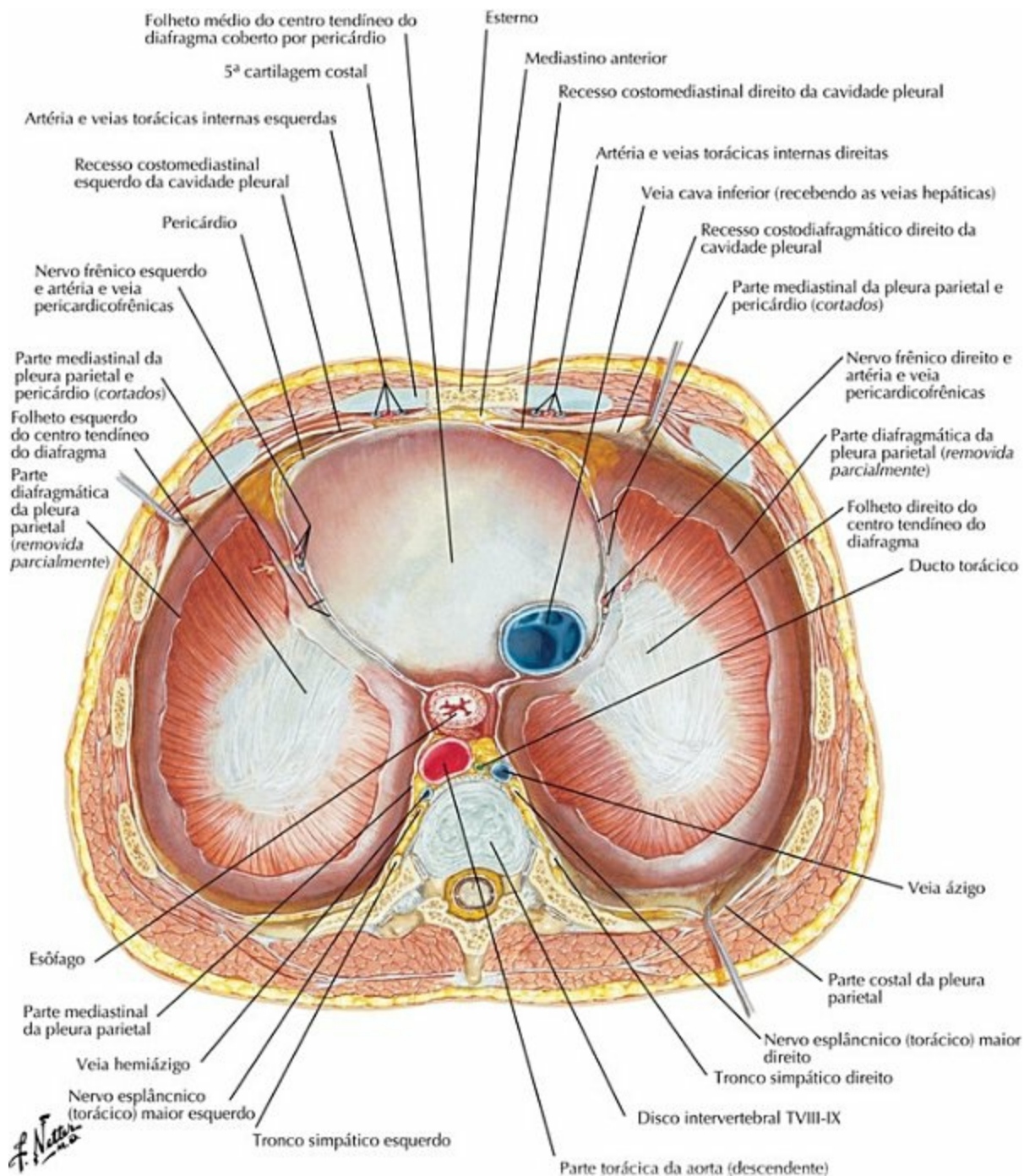
PRANCHA 189 Paredes do Tórax
 Veja também **Pranchas 187, 227, 252**

Nervo Frênico



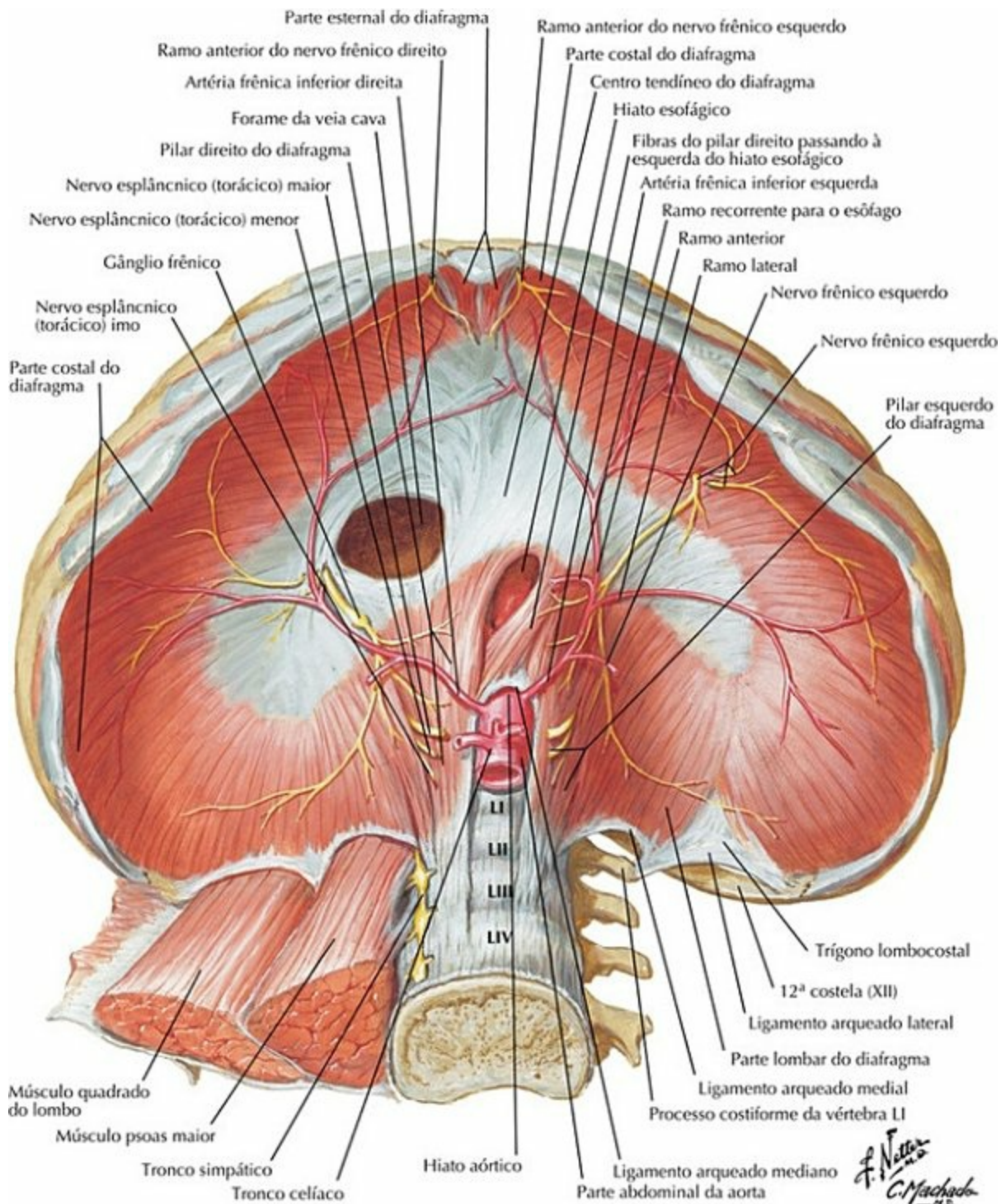
PRANCHA 190 Paredes do Tórax
 Veja também **Pranchas 32, 76**

Diafragma: Superfície Torácica (Superior)



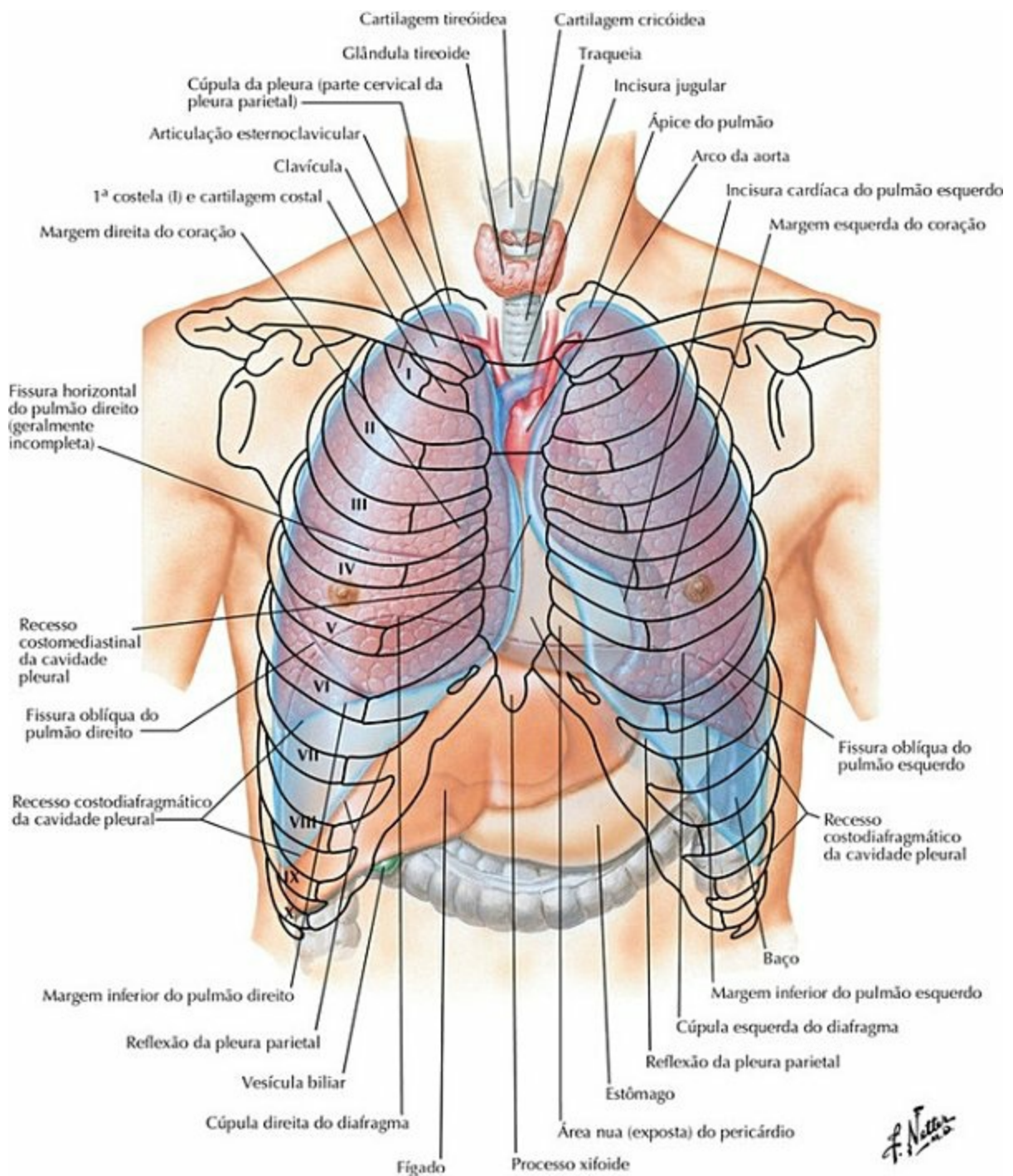
PRANCHA 191 Paredes do Tórax
 Veja também **Prancha 229**

Diafragma: Superfície Abdominal (Inferior)



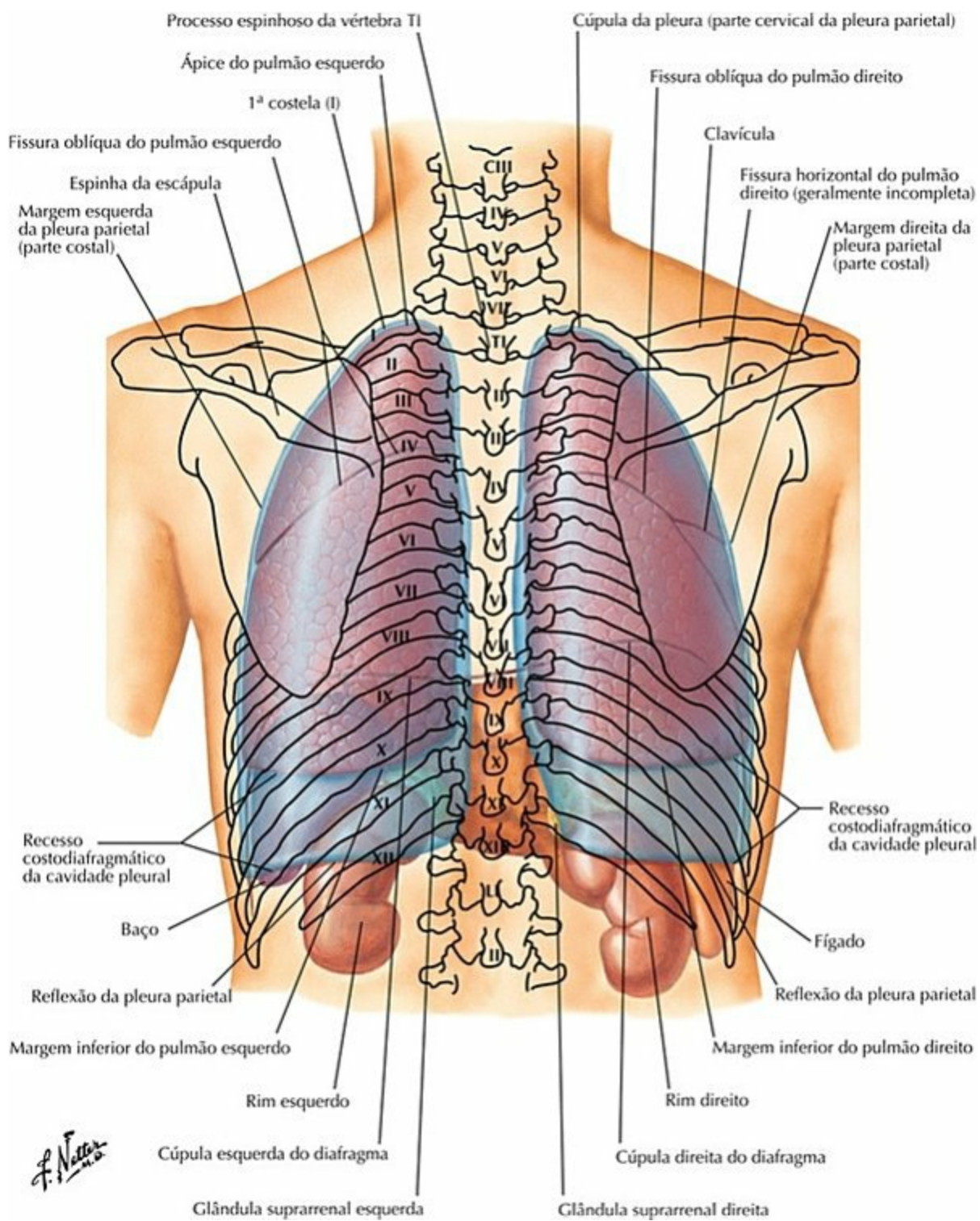
PRANCHA 192 Paredes do Tórax
 Veja também **Pranchas 258, 259**

Topografia dos Pulmões: Vista Anterior



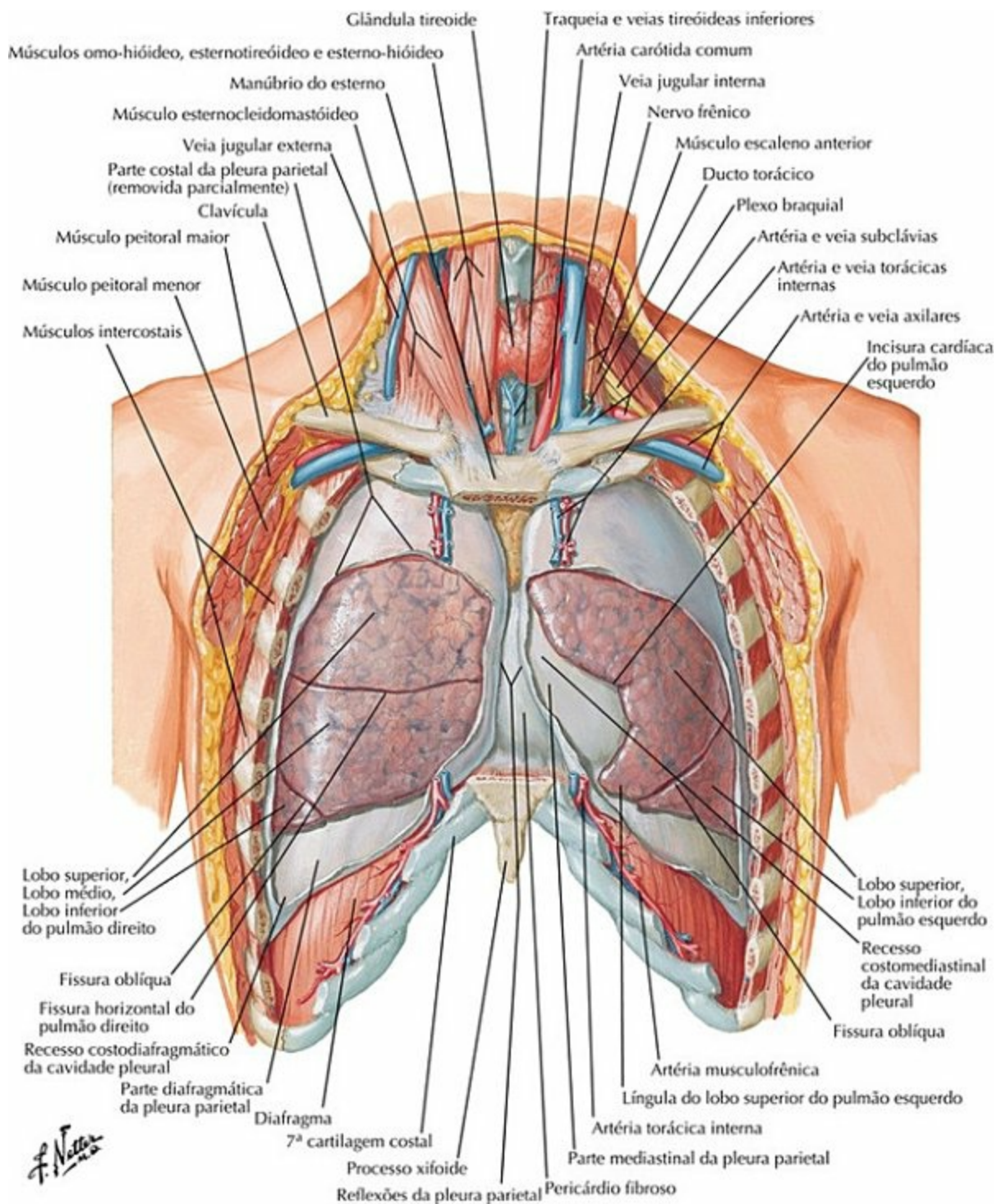
PRANCHA 193 Pulmões

Topografia dos Pulmões: Vista Posterior



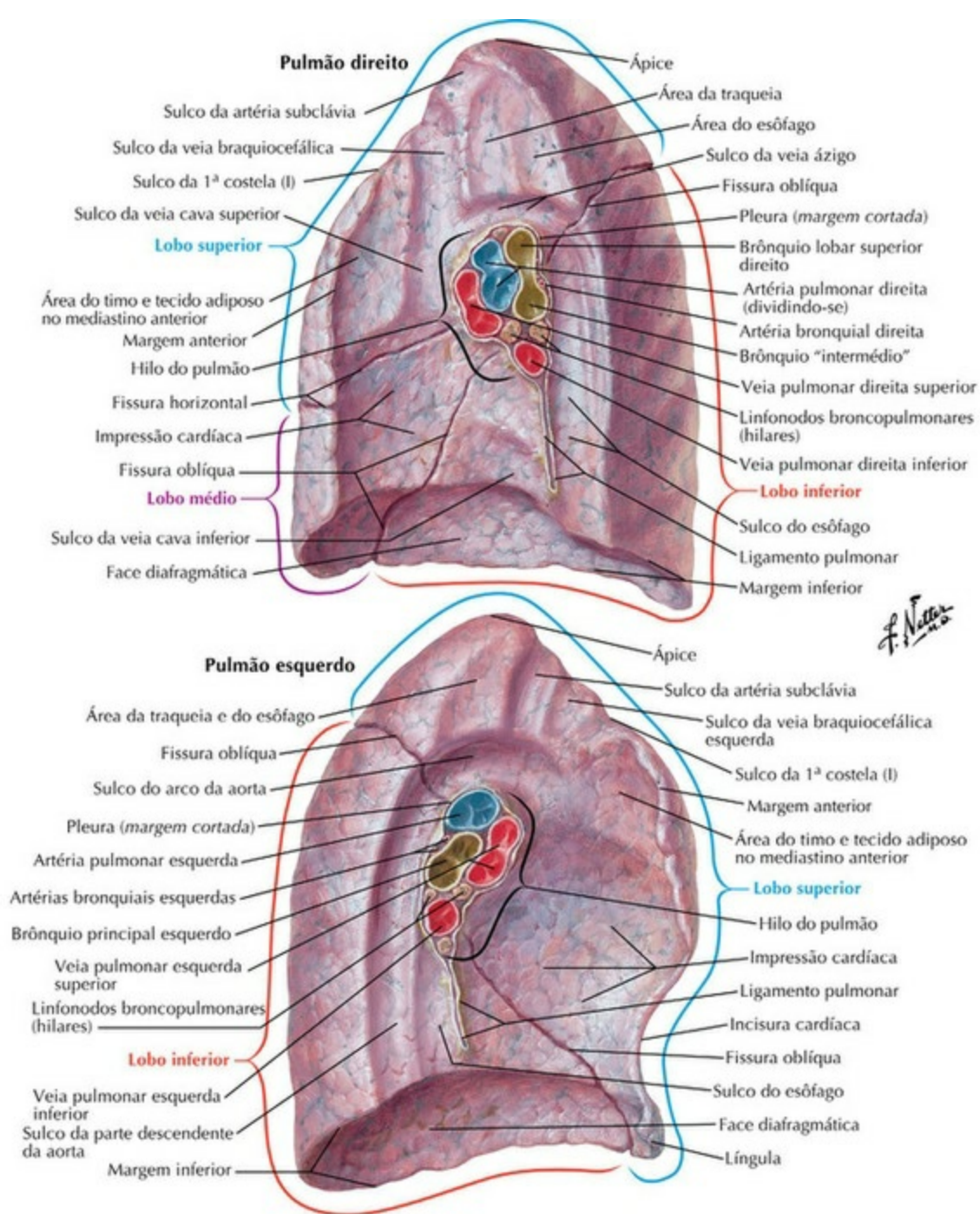
PRANCHA 194 Pulmões

Pulmões *In Situ*: Vista Anterior



PRANCHA 195 Pulmões

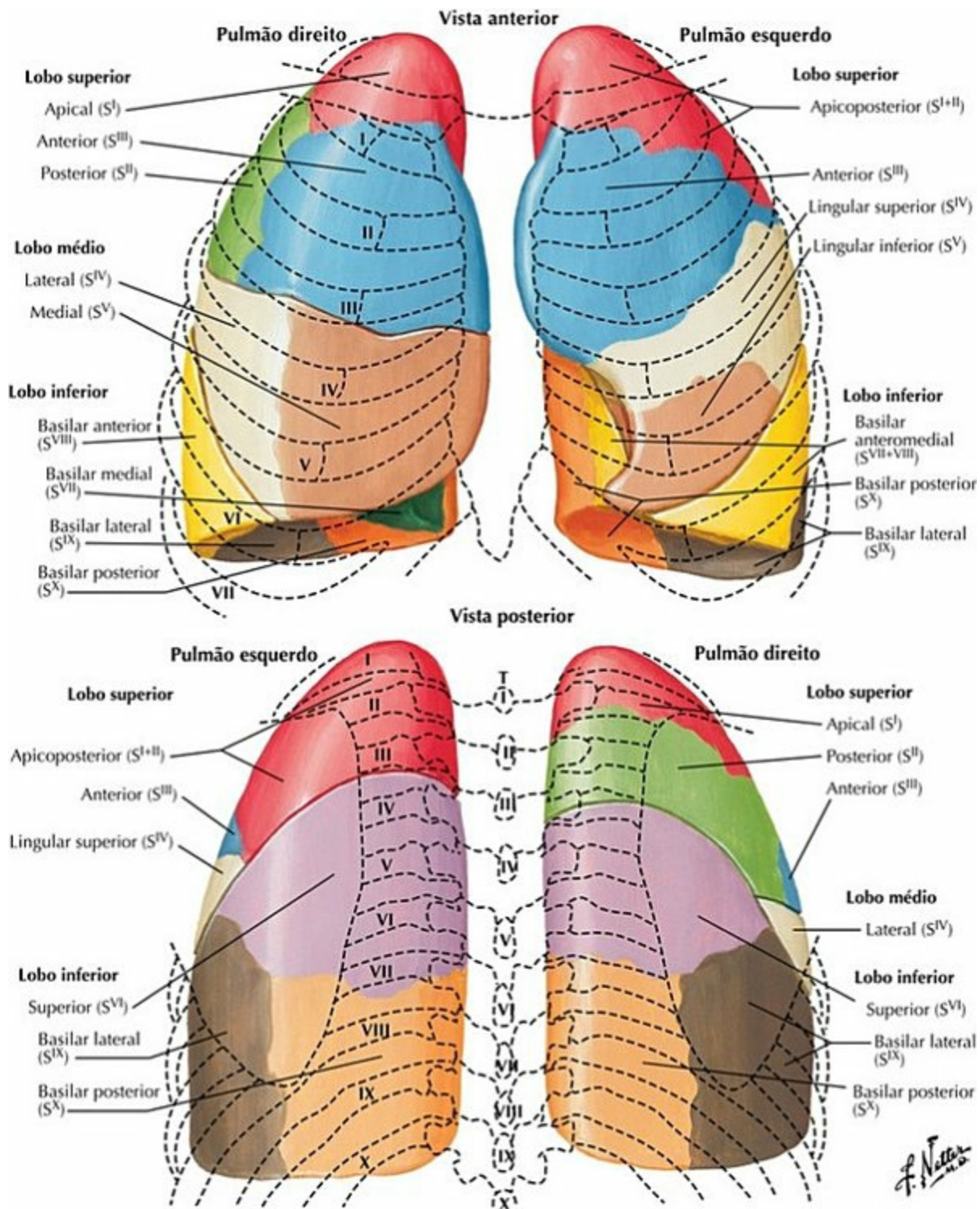
Pulmões: Vistas Mediais



* Nota da Revisão Científica: Esses sulcos e áreas presentes na superfície dos pulmões são determinados por vísceras vizinhas a eles e têm interesse em Anatomia Aplicada à clínica. Porém, não constam da Terminologia Anatômica (2001).

PRANCHA 196 Pulmões

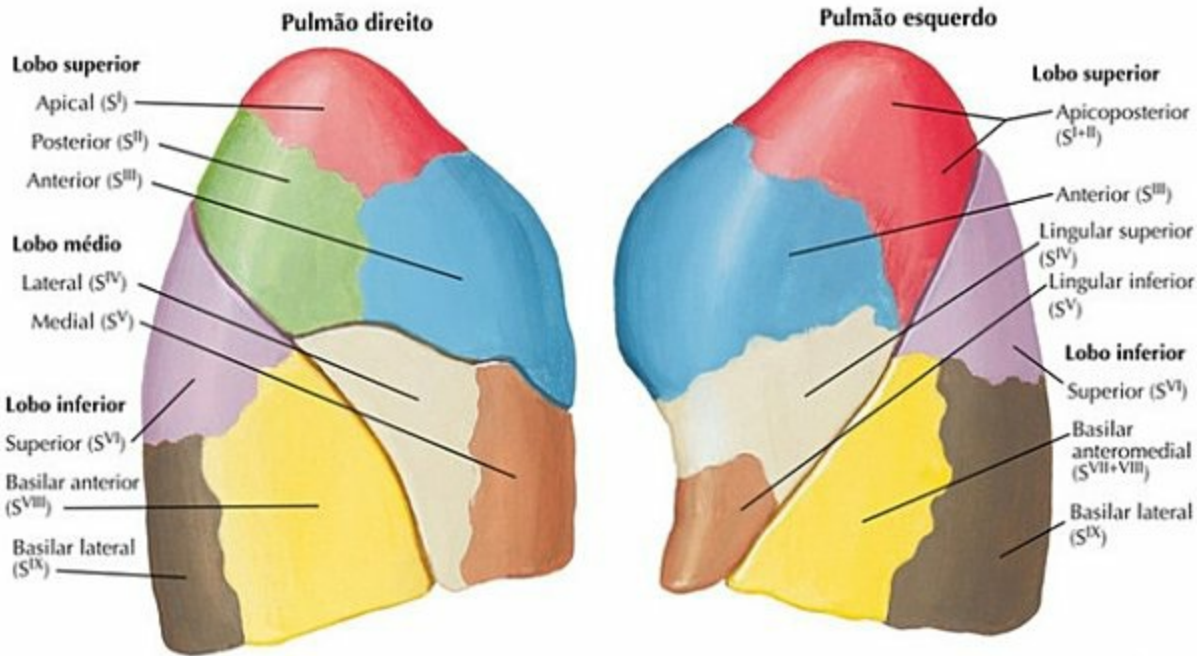
Segmentos Broncopulmonares



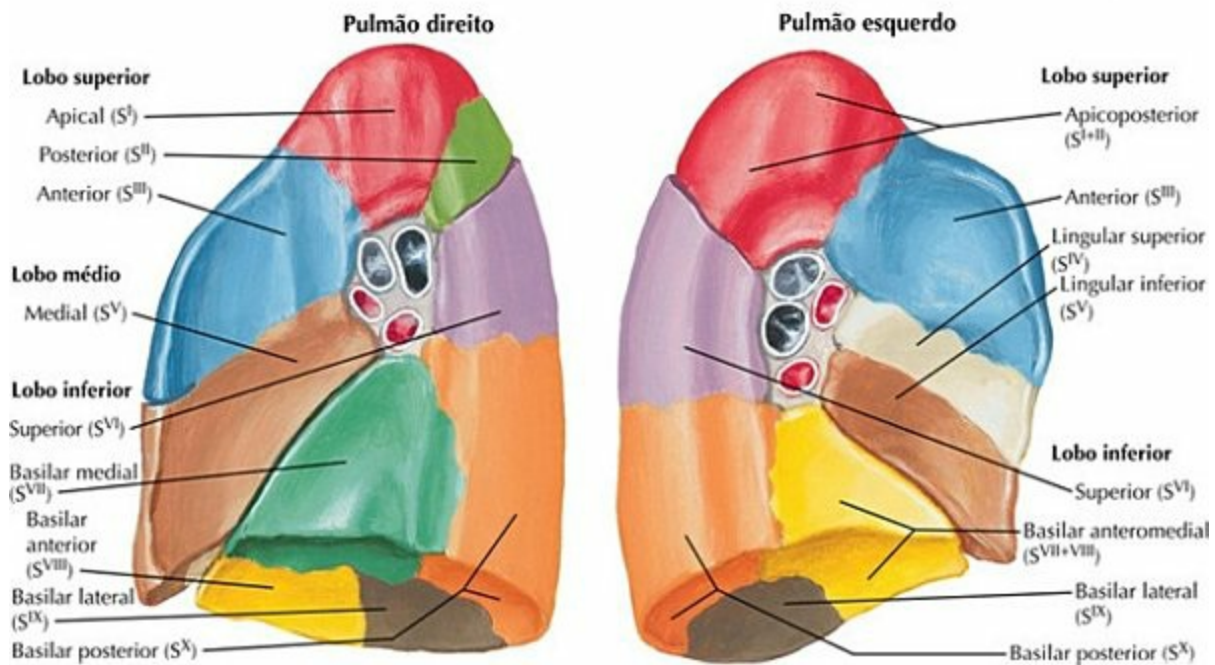
PRANCHA 197 Pulmões

Segmentos Broncopulmonares (continuação)

Vistas laterais

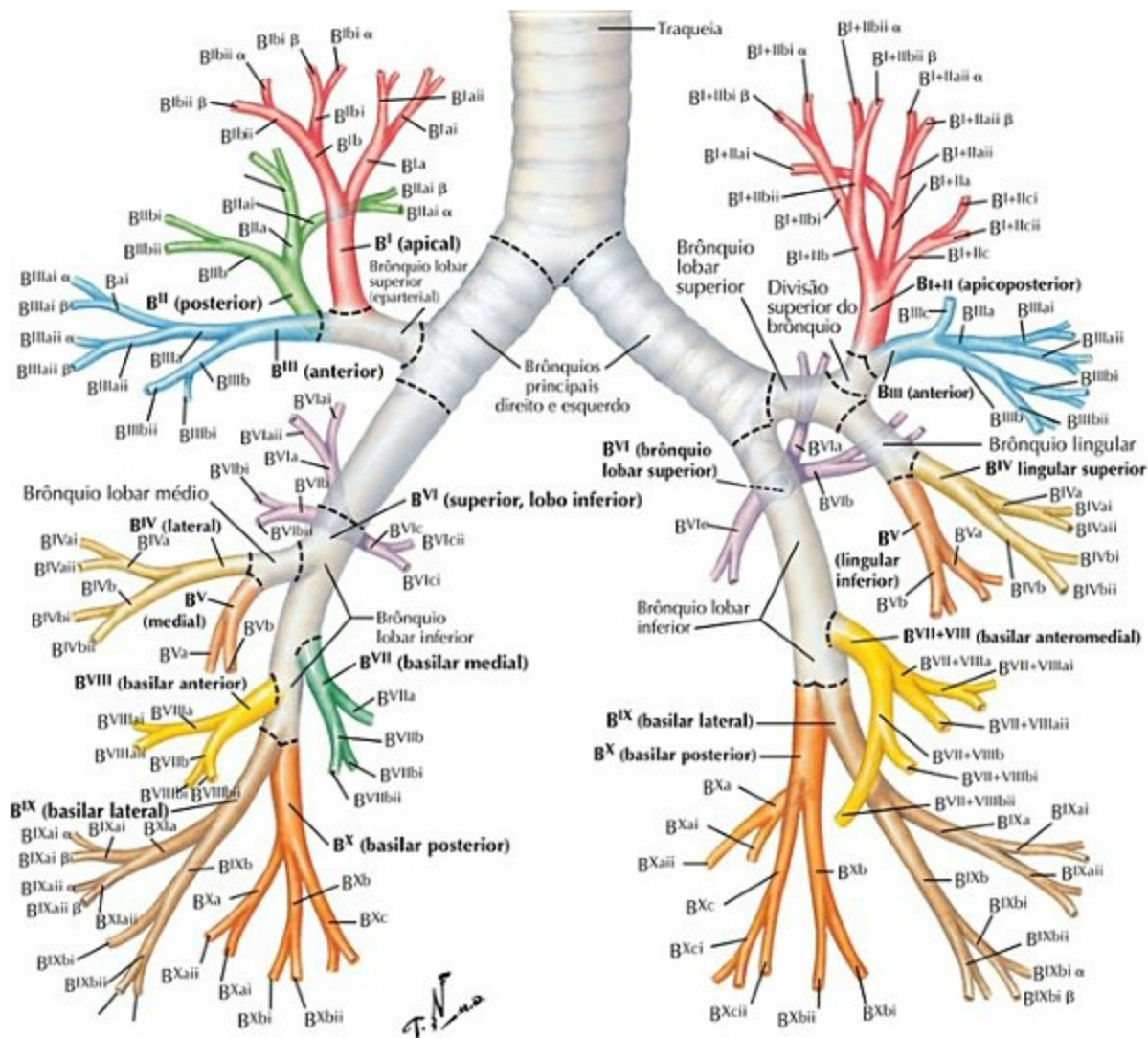


Vistas mediais



PRANCHA 198 Pulmões

Traqueia e Brônquios Principais



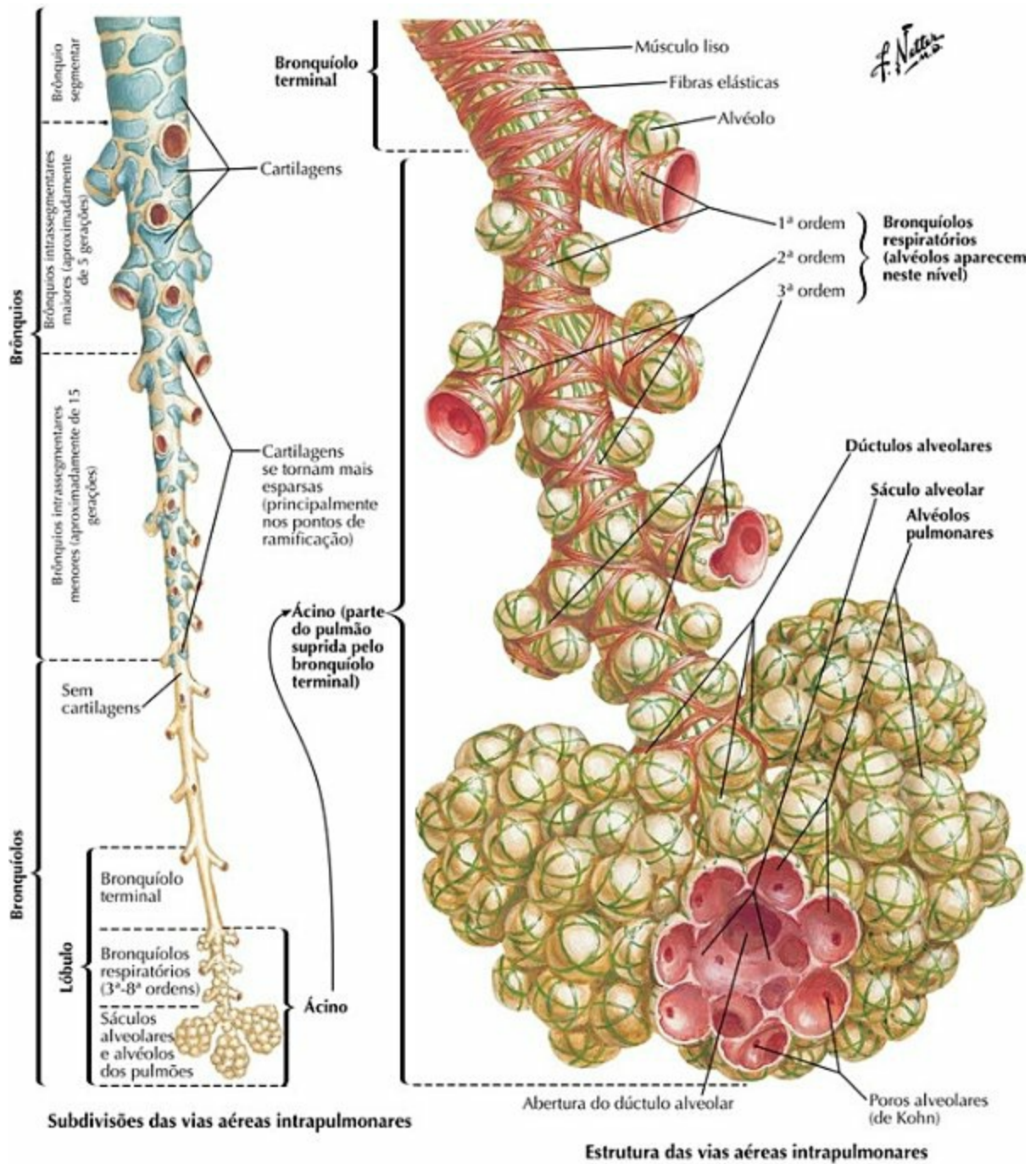
A terminologia de uso comum para os segmentos broncopulmonares (Pranchas 197 e 198) é a de Jackson e Huber, e os brônquios segmentares são denominados da mesma maneira. Ikeda propôs uma terminologia (conforme demonstrado aqui) para as subdivisões bronquiais até a 6ª geração. Para simplificar esta ilustração, apenas algumas subdivisões são nomeadas até a 5ª ou 6ª geração. Os brônquios segmentares (B) são numerados de I a X em cada pulmão, correspondendo aos segmentos broncopulmonares. No pulmão esquerdo, BI e BII estão

combinados, assim como BVII e BVIII. Brônquios intrassegmentares ou de 4ª ordem são indicados adicionando-se as letras minúsculas a, b ou c quando existe um ramo adicional. Os brônquios de 5ª ordem são designados pelos numerais romanos i (anterior) ou ii (posterior), e os brônquios de 6ª ordem pelas letras gregas α ou β. Vários textos usam números alternados (como proposto por Boyden) para os brônquios segmentares.

As variações do padrão bronquial mostradas aqui são comuns, especialmente nas vias aéreas mais periféricas.

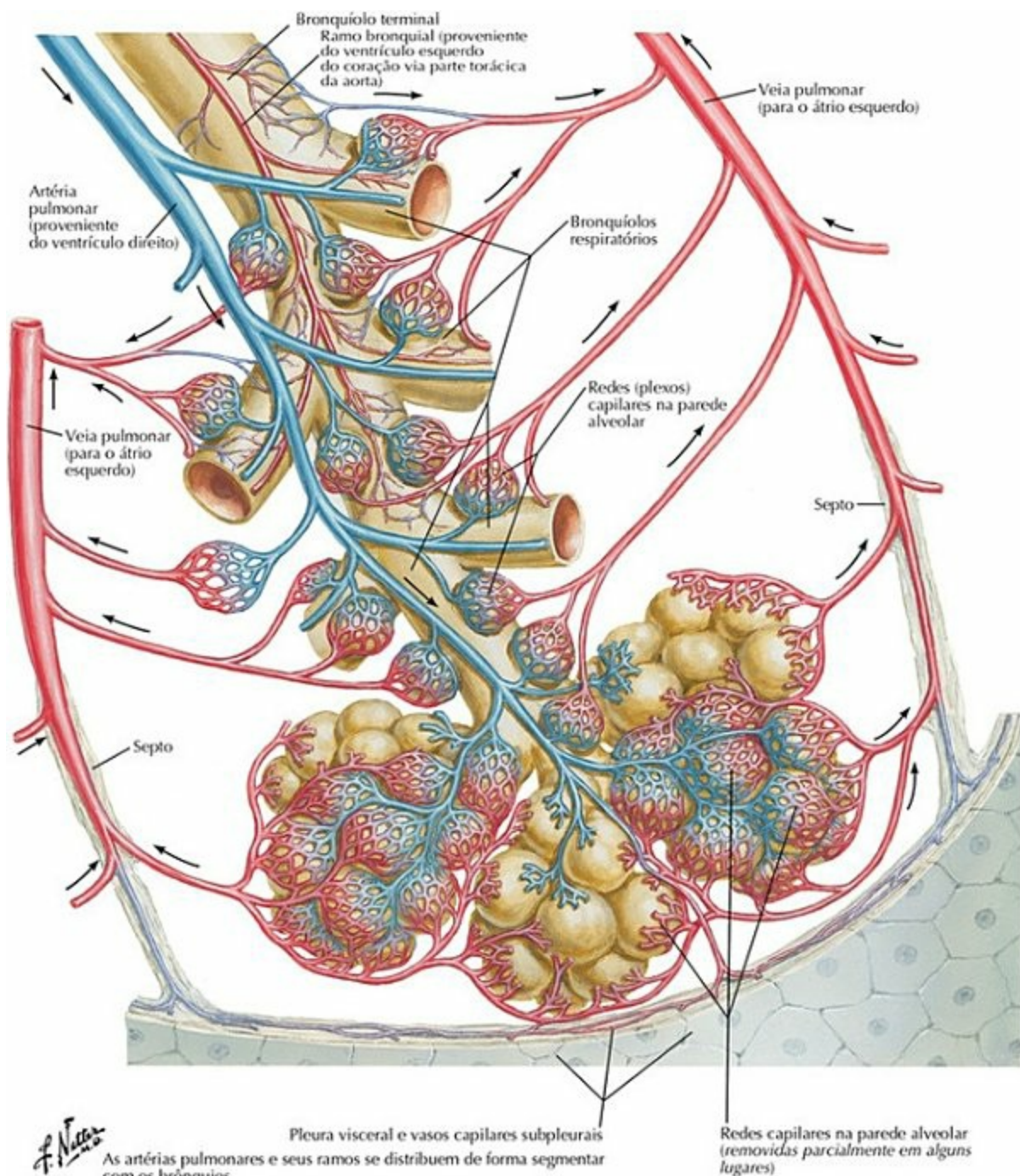
PRANCHA 200 Pulmões

Vias Aéreas Intrapulmonares: Esquema



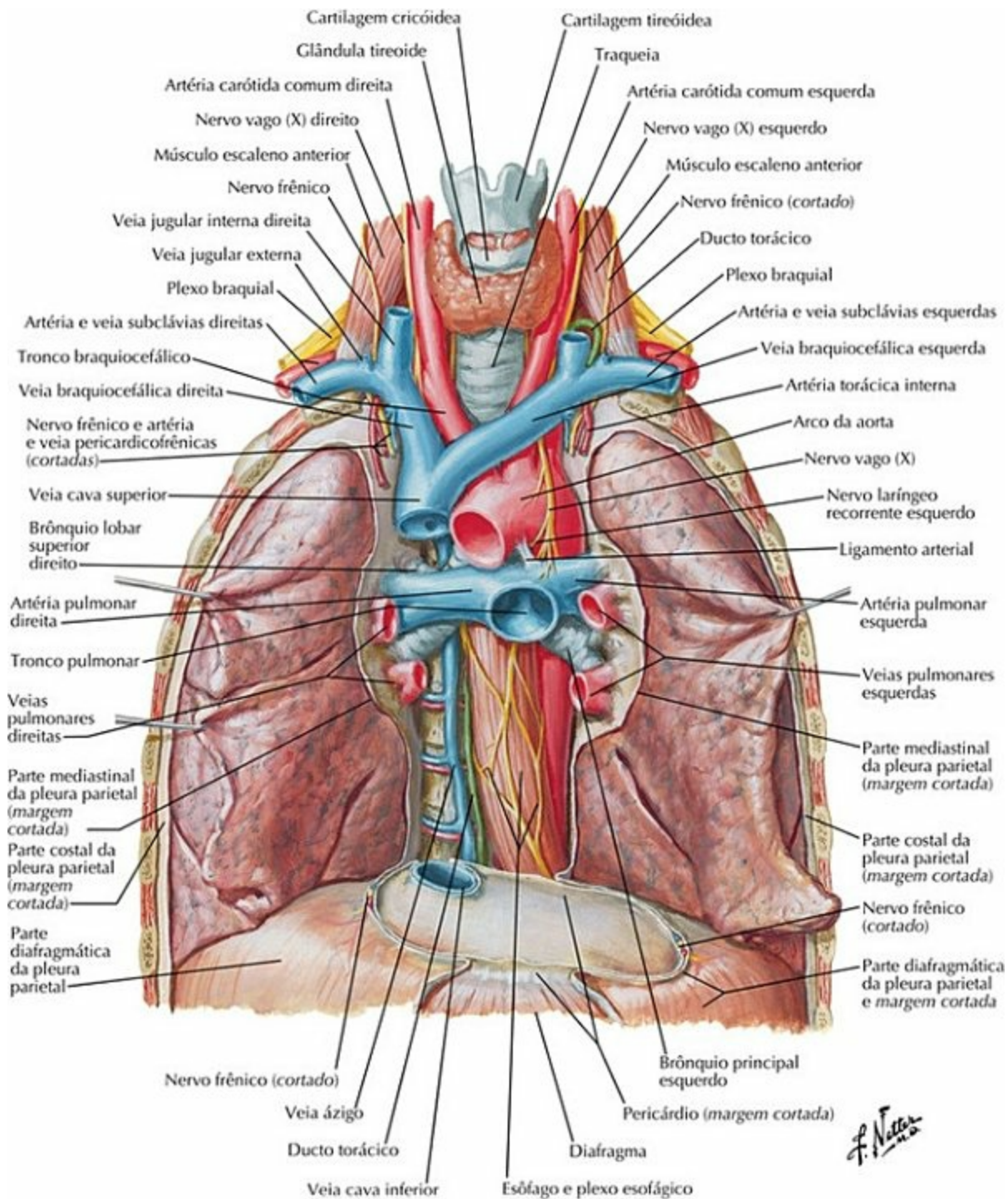
PRANCHA 201 Pulmões

Circulação Sanguínea Intrapulmonar: Esquema



PRANCHA 202 Pulmões

Grandes Vasos do Mediastino Superior



PRANCHA 203 Pulmões

Artérias e Veias Bronquiais

Traqueia (tracionada para a esquerda pelo gancho)

3ª artéria intercostal posterior direita

Ramo bronquial direito

Brônquio principal direito

Brônquio principal esquerdo (tracionado para a direita pelo gancho)

Ramo esofágico

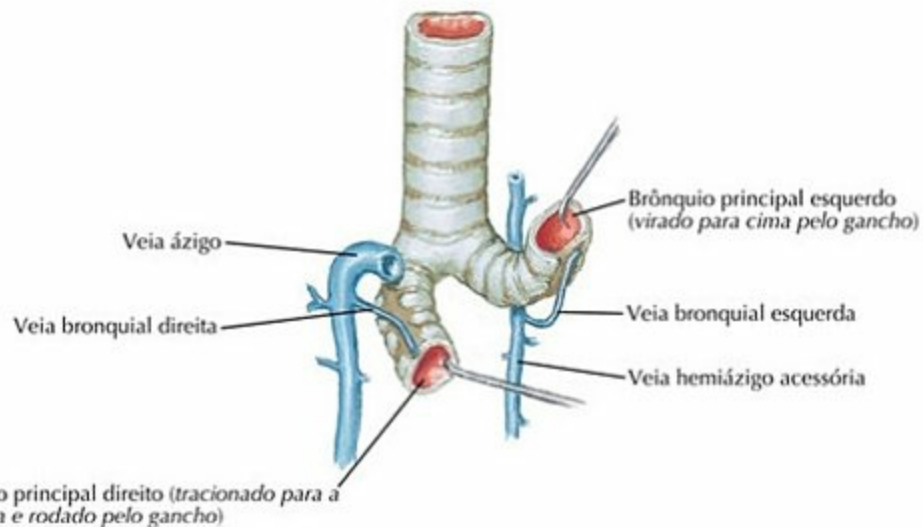
Esôfago

Ramo bronquial superior esquerdo

Aorta (tracionada para o lado pelo gancho)

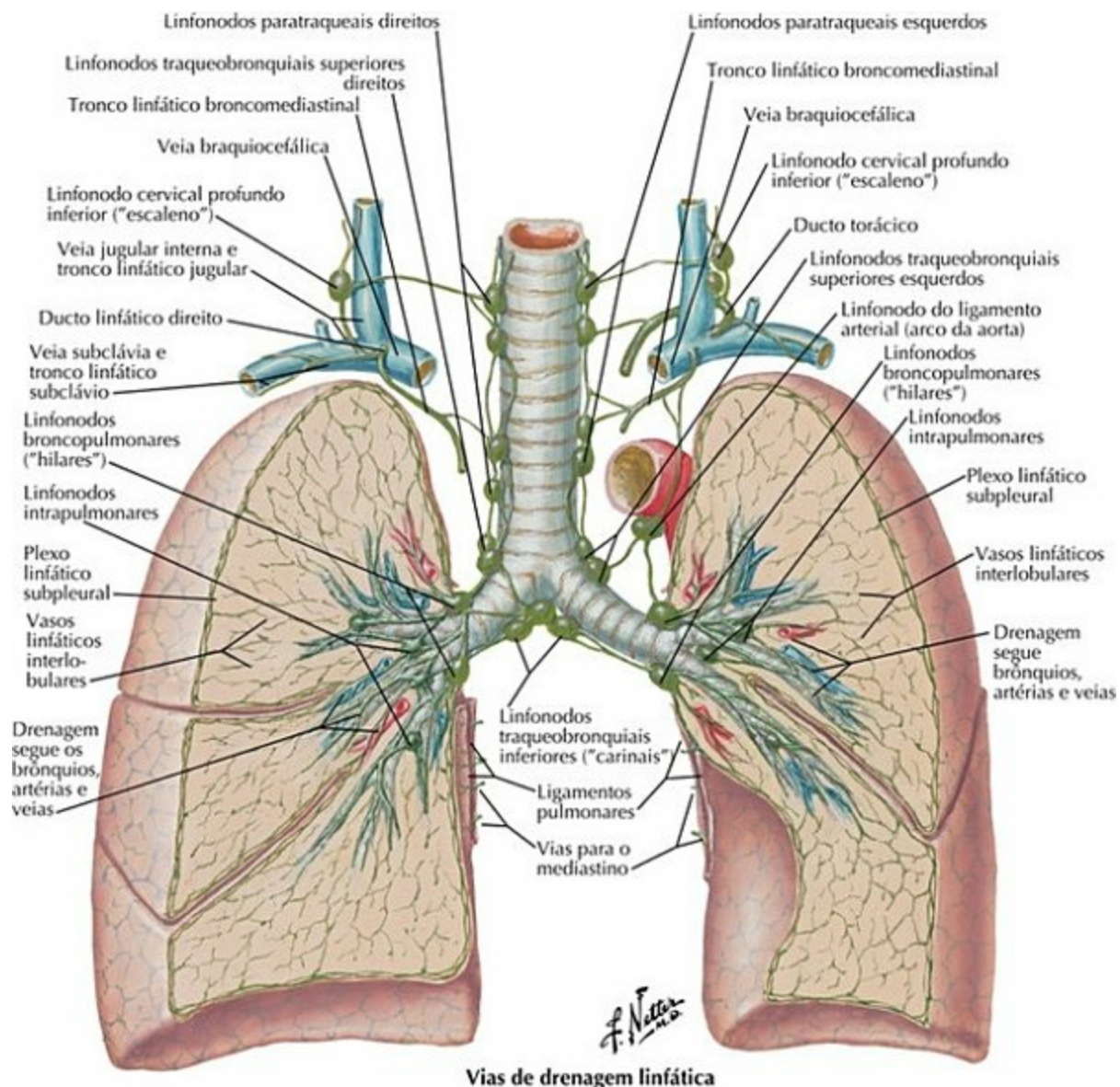
Ramo bronquial inferior esquerdo

Ramo esofágico do ramo bronquial



PRANCHA 204 Pulmões

Vasos Linfáticos e Linfonodos dos Pulmões



Vias de drenagem linfática

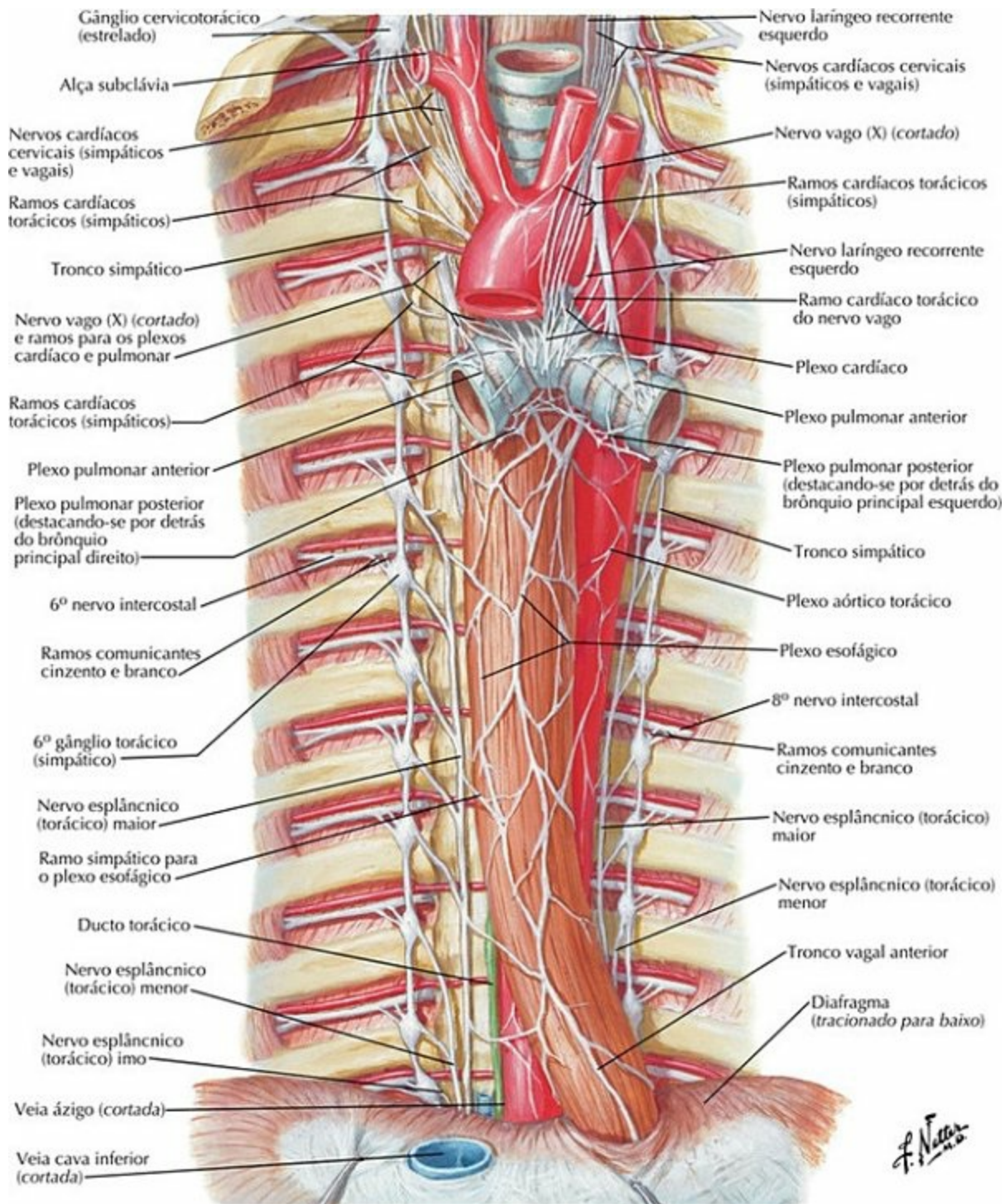
Pulmão direito: Todos os lobos drenam para os linfonodos intrapulmonares e broncopulmonares, em seguida para os linfonodos traqueobronquiais inferiores, linfonodos traqueobronquiais superiores direitos e linfonodos paratraqueais direitos em direção à veia braquiocéfálica via tronco linfático broncomediastinal e/ou linfonodo cervical profundo inferior.

Pulmão esquerdo: O lobo superior drena para os linfonodos intrapulmonares e broncopulmonares, linfonodos traqueobronquiais inferiores, linfonodos traqueobronquiais superiores esquerdos, linfonodos paratraqueais esquerdos e/ou linfonodo do ligamento arterial, depois para a veia braquiocéfálica via tronco broncomediastinal esquerdo e ducto torácico. O lobo inferior esquerdo também drena para os linfonodos intrapulmonares e broncopulmonares, e para os linfonodos traqueobronquiais inferiores, mas depois principalmente para os linfonodos traqueobronquiais superiores direitos, de onde a linfa segue a mesma direção que a linfa do pulmão direito.

PRANCHA 205 Pulmões

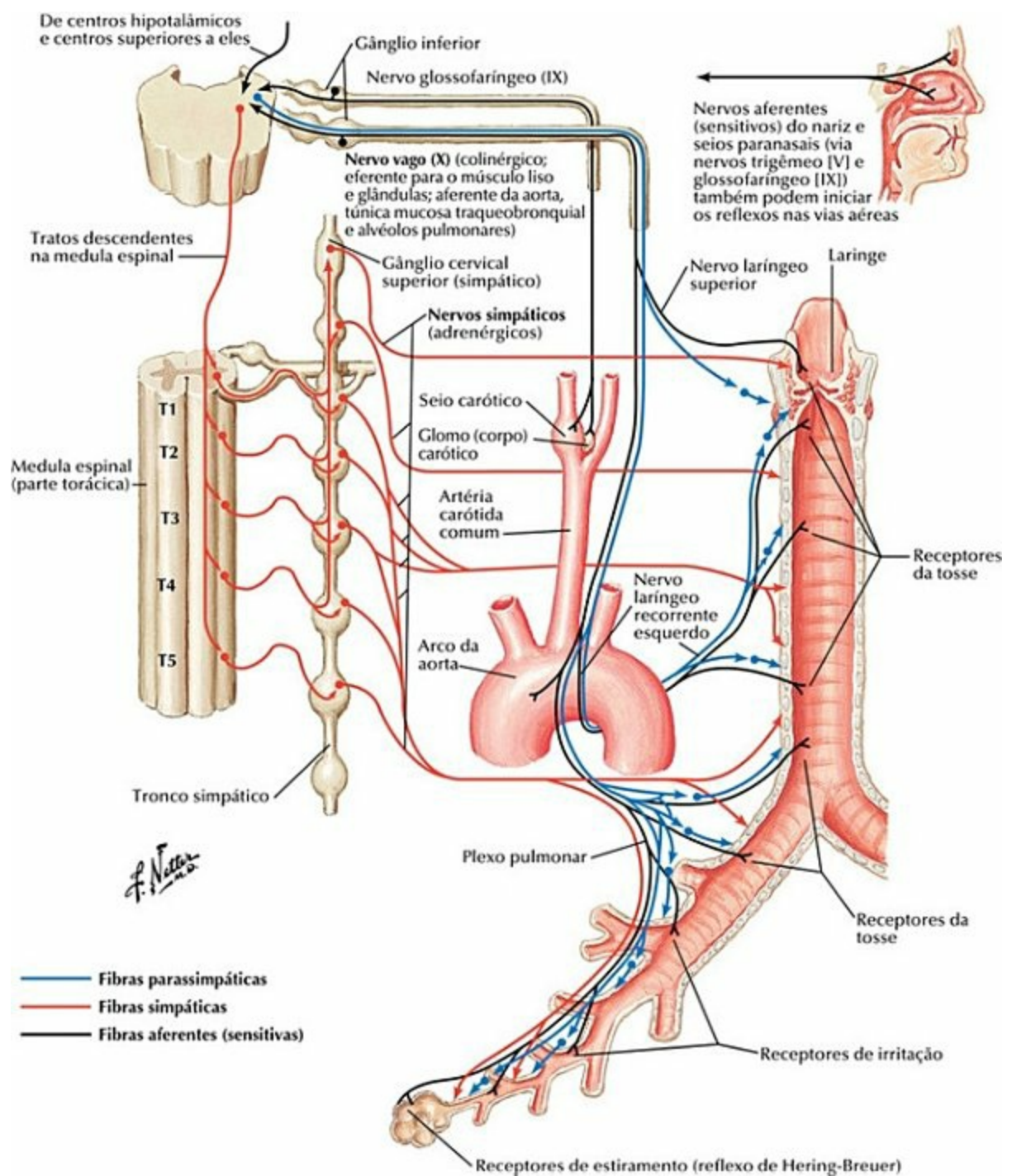
Veja também **Pranchas 74, 235**

Nervos Autônomos no Tórax



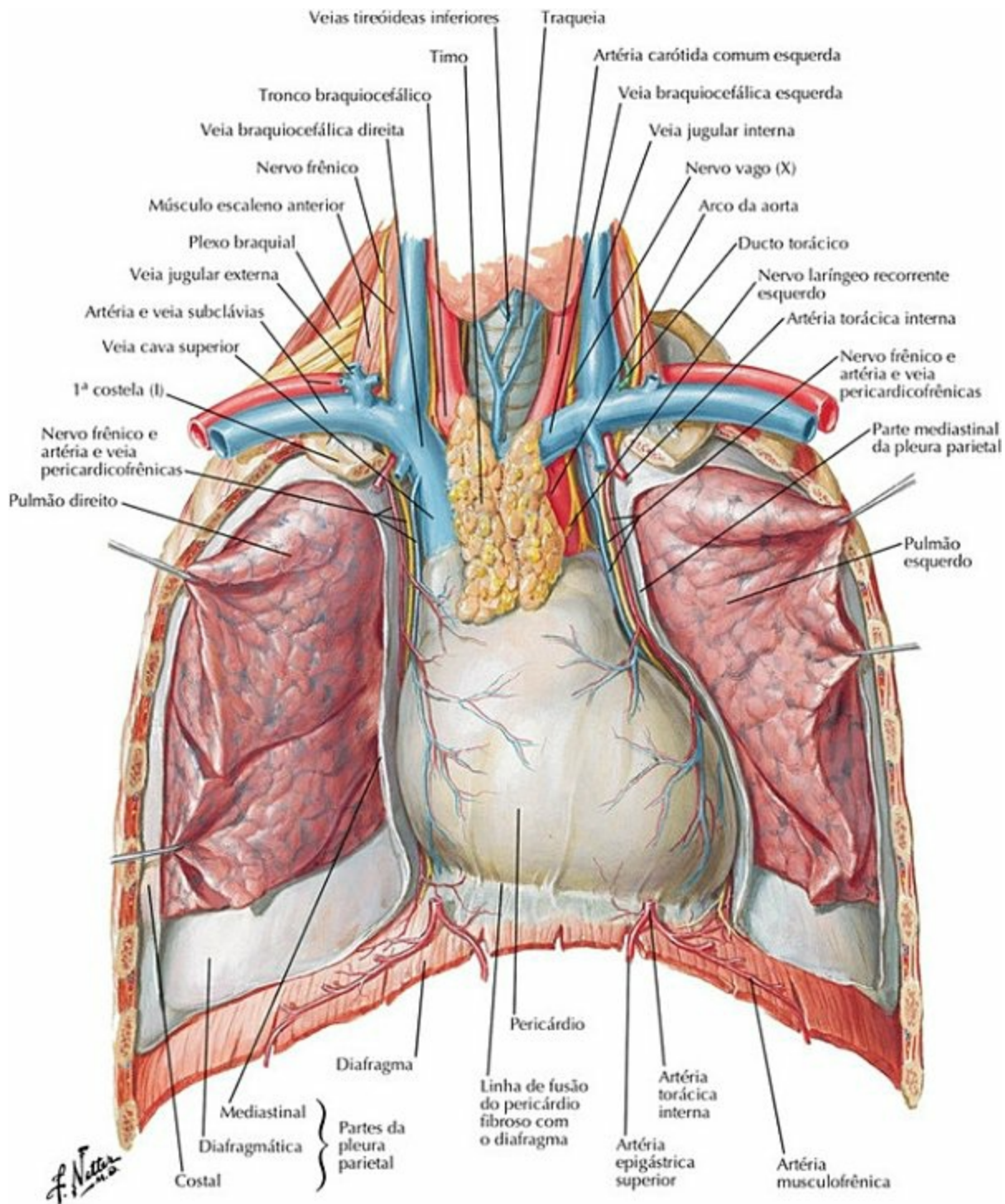
PRANCHA 206 Pulmões

Inervação da Traqueia e da Árvore Bronquial: Esquema



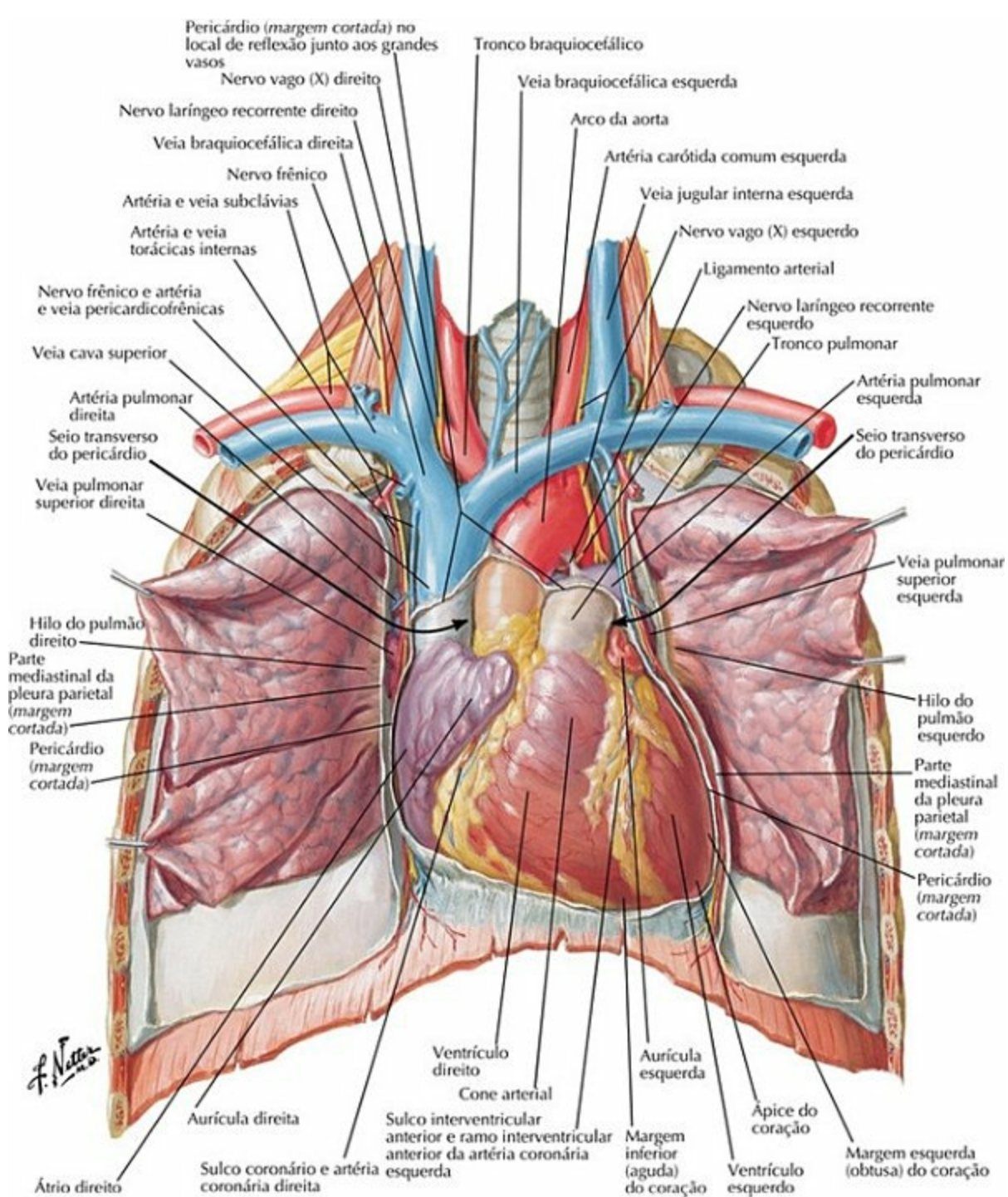
PRANCHA 207 Pulmões

Coração *in Situ*



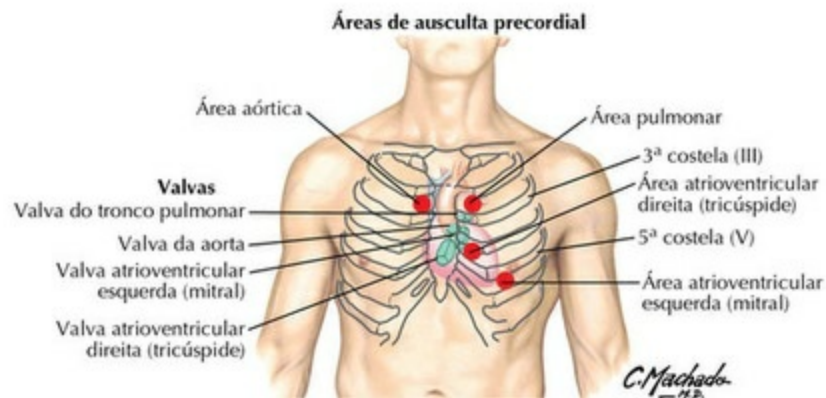
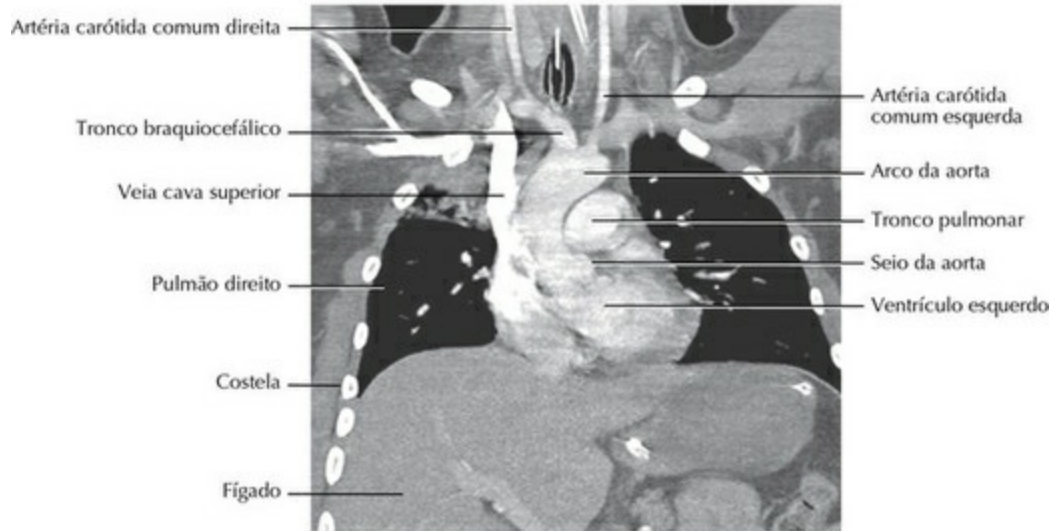
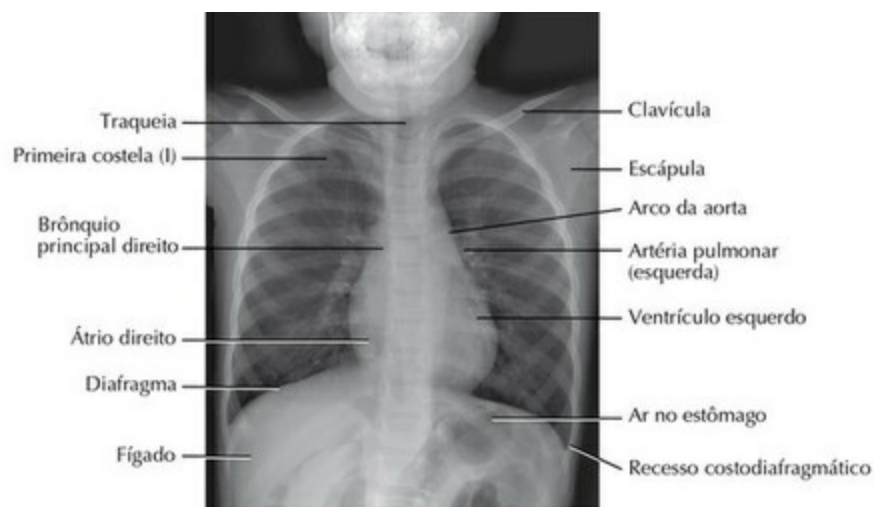
PRANCHA 208 Coração

Coração: Vista Anterior



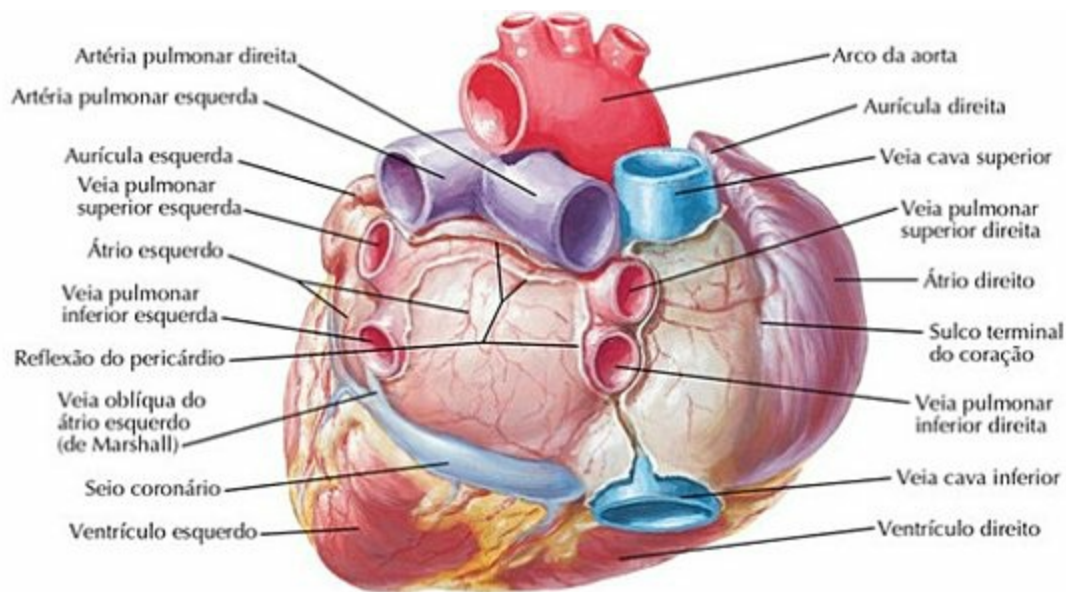
PRANCHA 209 Coração

Radiologia e Auscultação do Coração

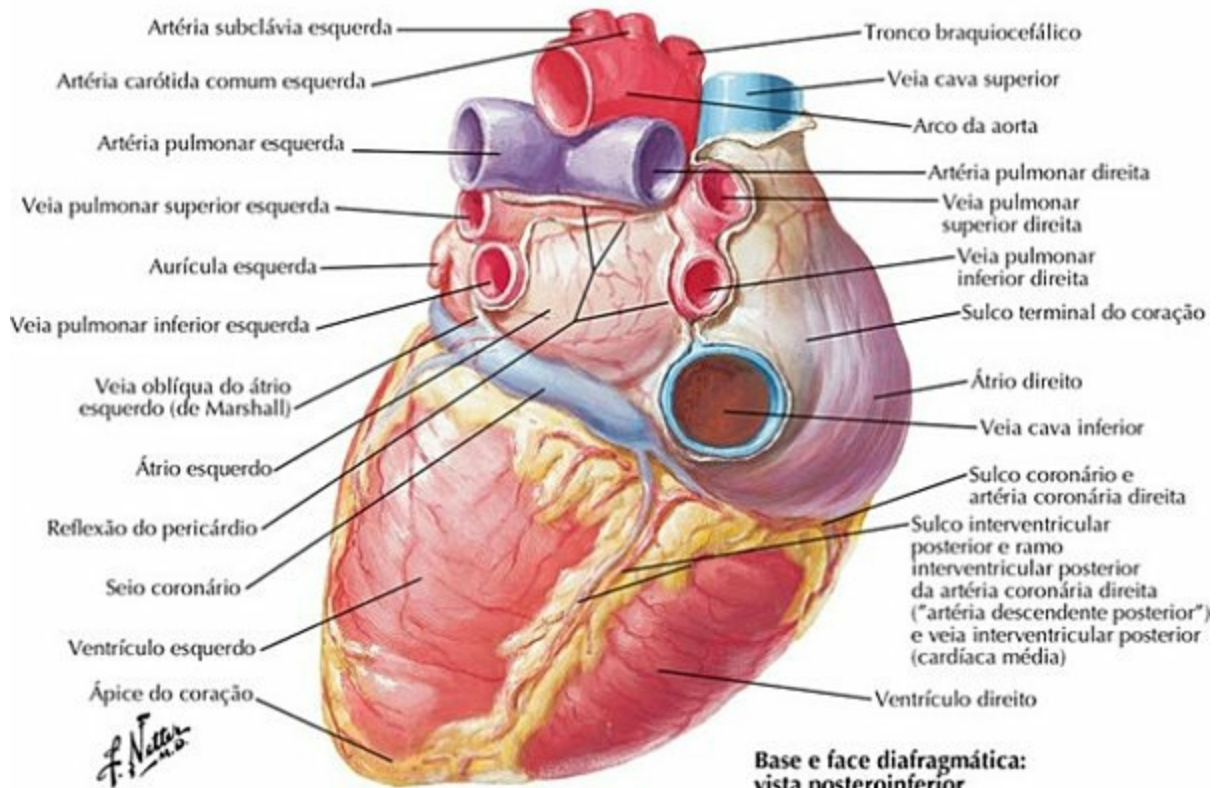


PRANCHA 210 Coração

Coração: Base e Face Diafragmática (Inferior)



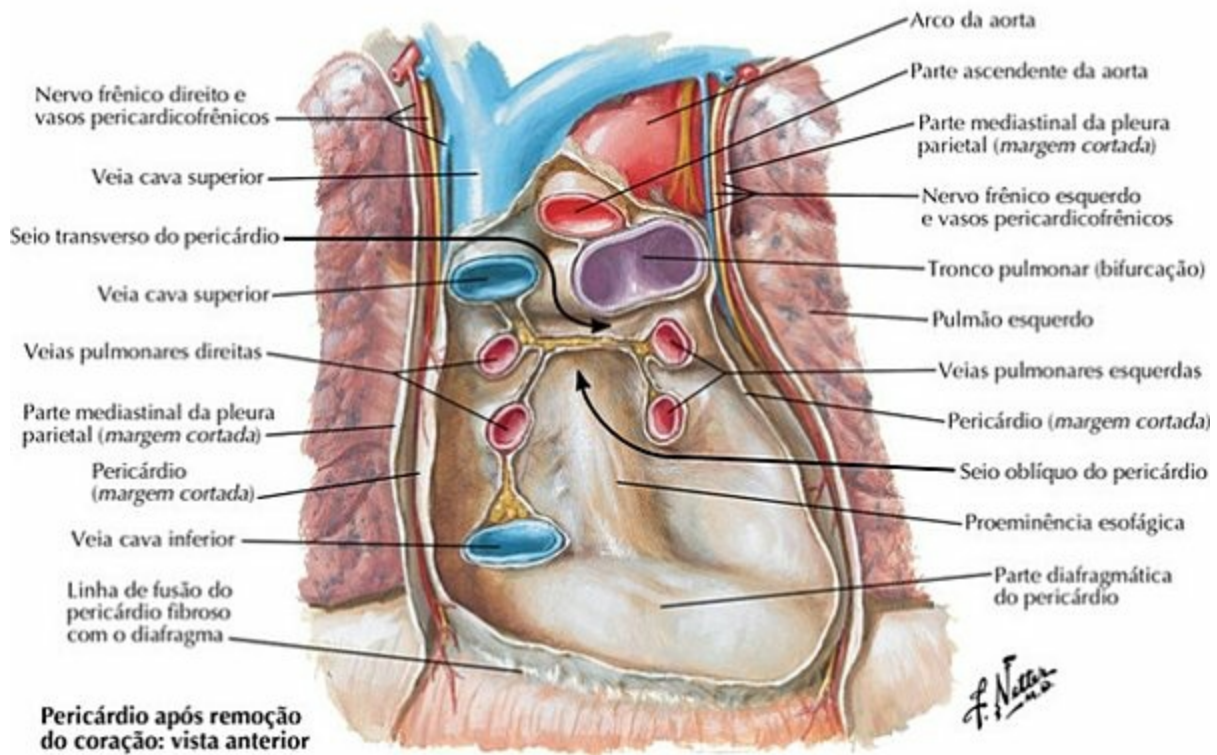
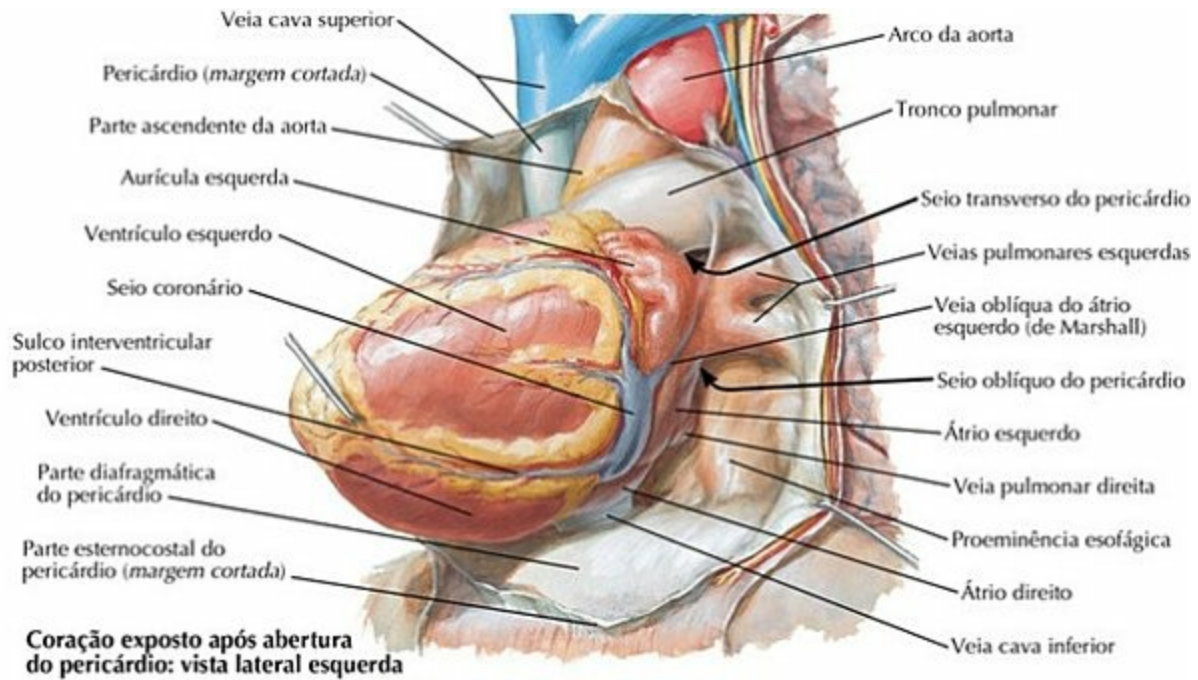
Base do coração: vista posterior



Base e face diafragmática: vista posteroinferior

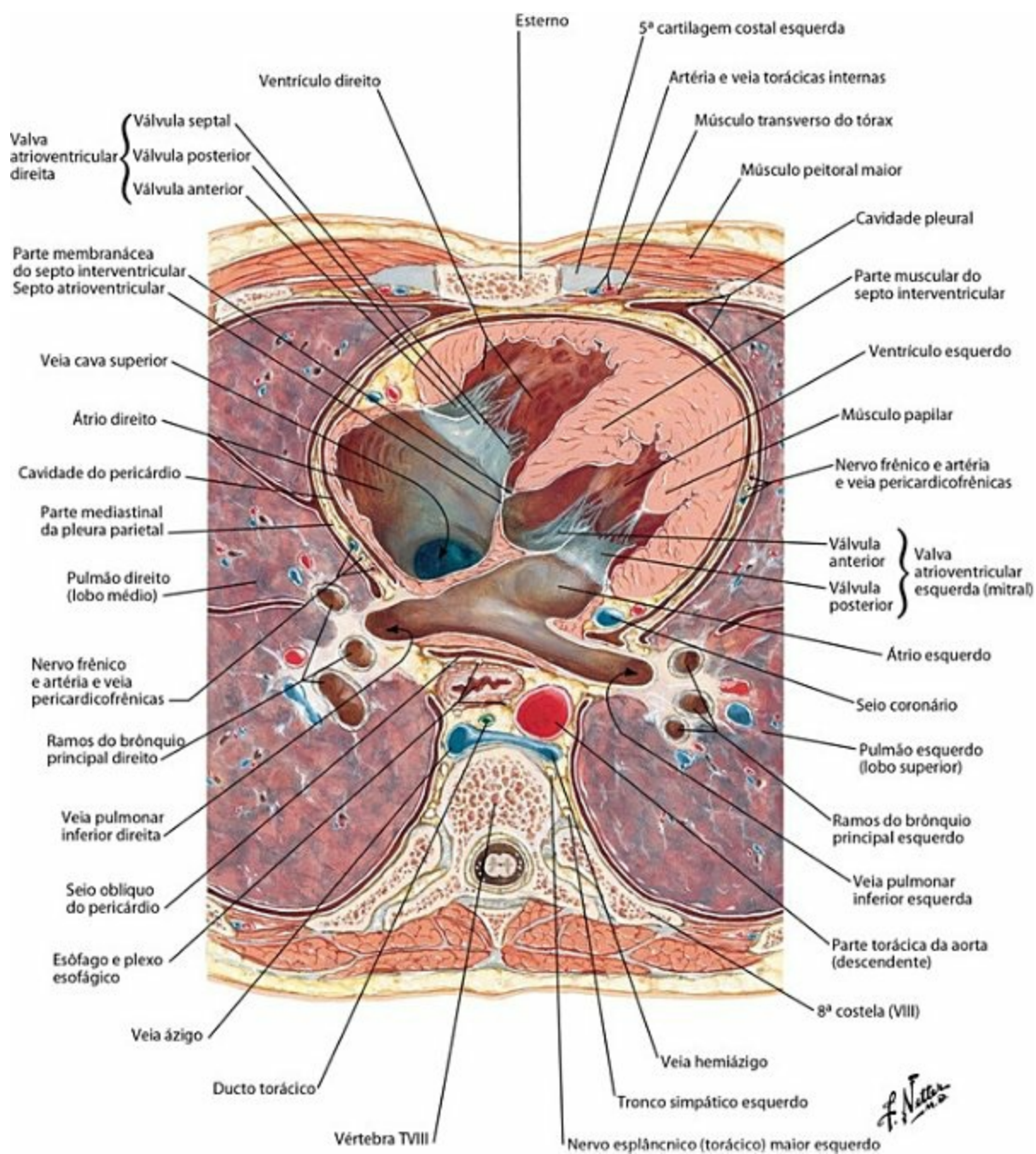
PRANCHA 211 Coração

Pericárdio



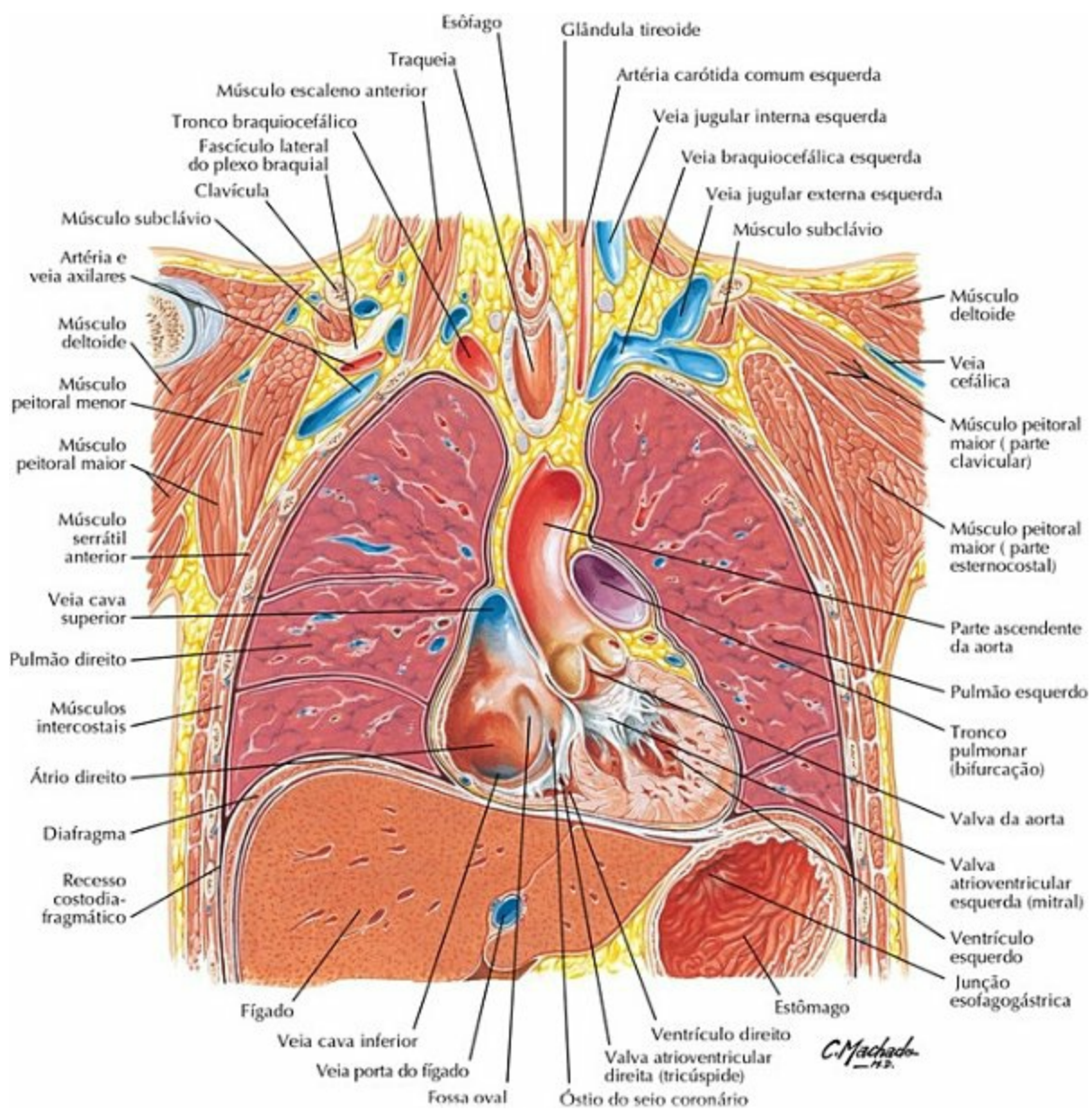
PRANCHA 212 Coração

Mediastino: Corte Transversal



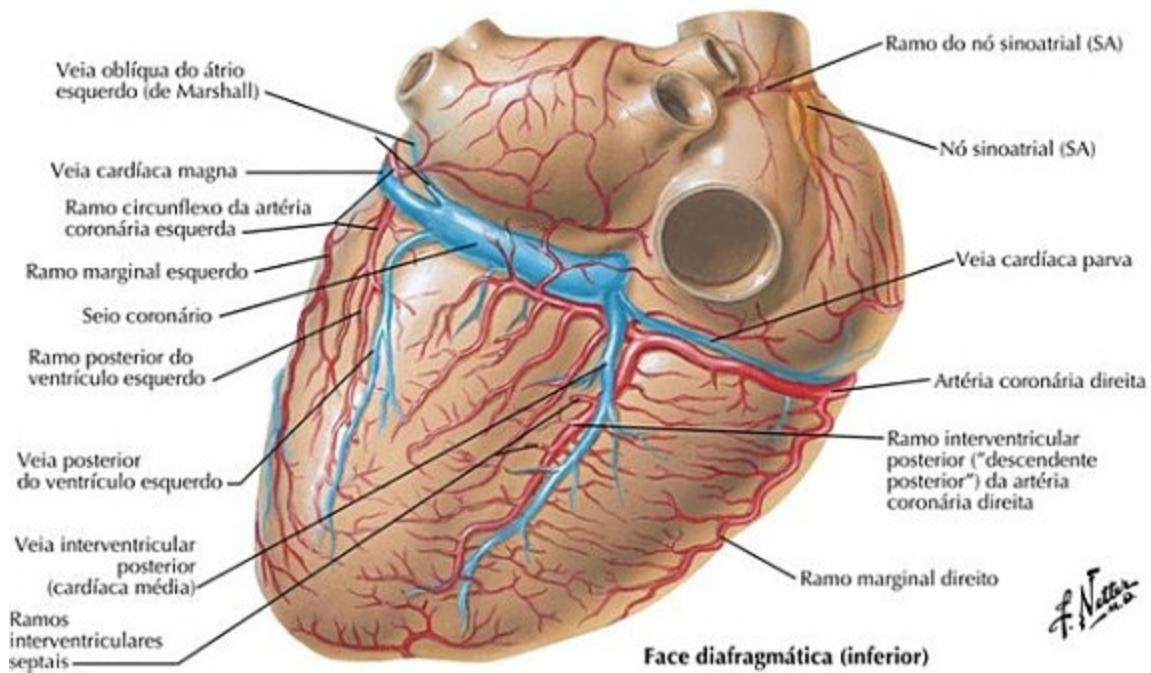
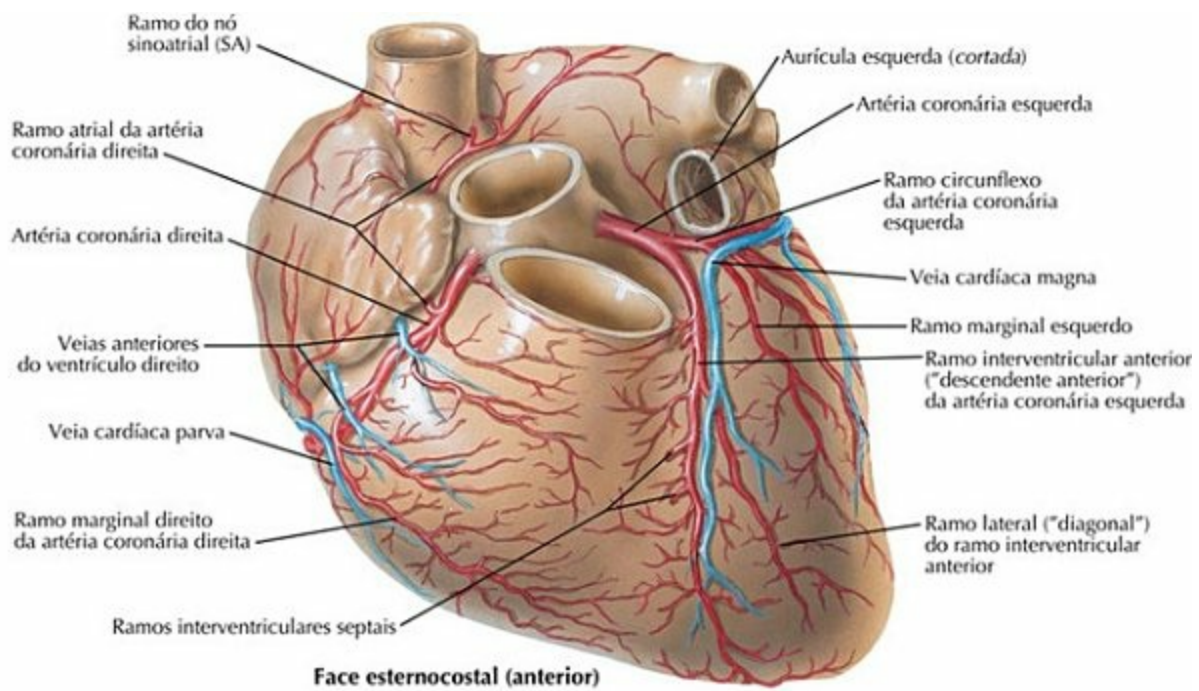
PRANCHA 213 Coração

Tórax: Corte Frontal (Coronal) do Coração, Parte Ascendente da Aorta



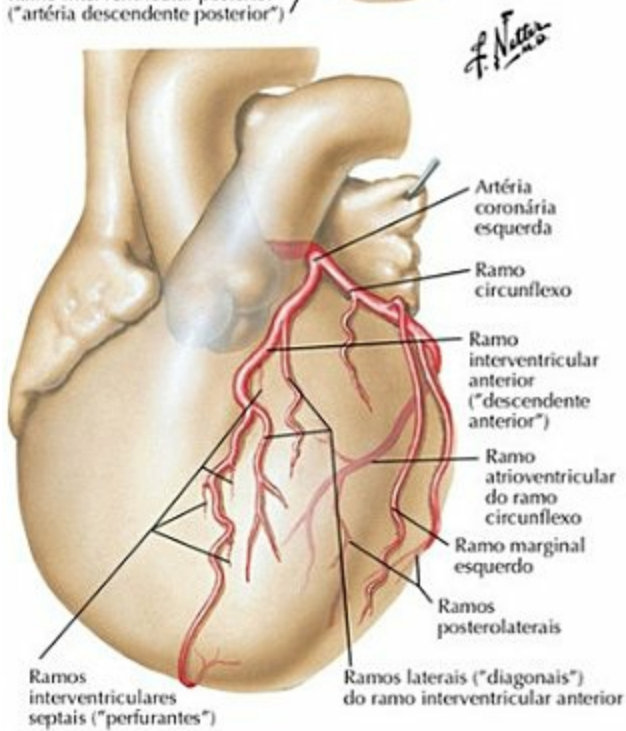
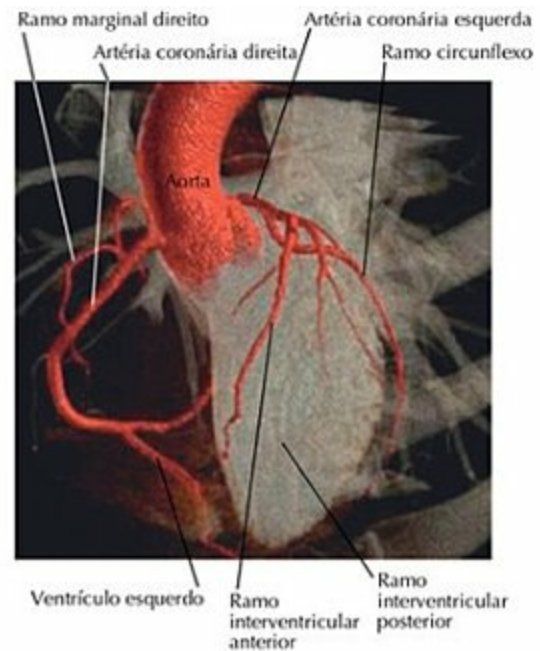
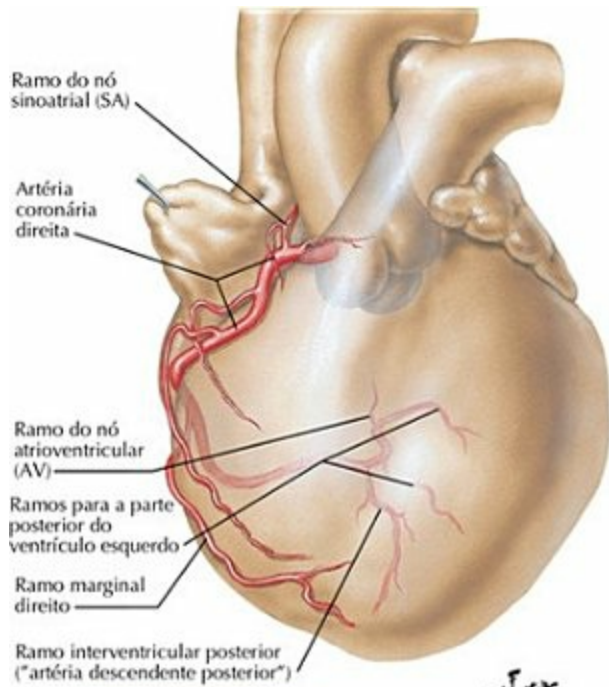
PRANCHA 214 Coração

Artérias Coronárias e Veias do Coração (Cardíacas)



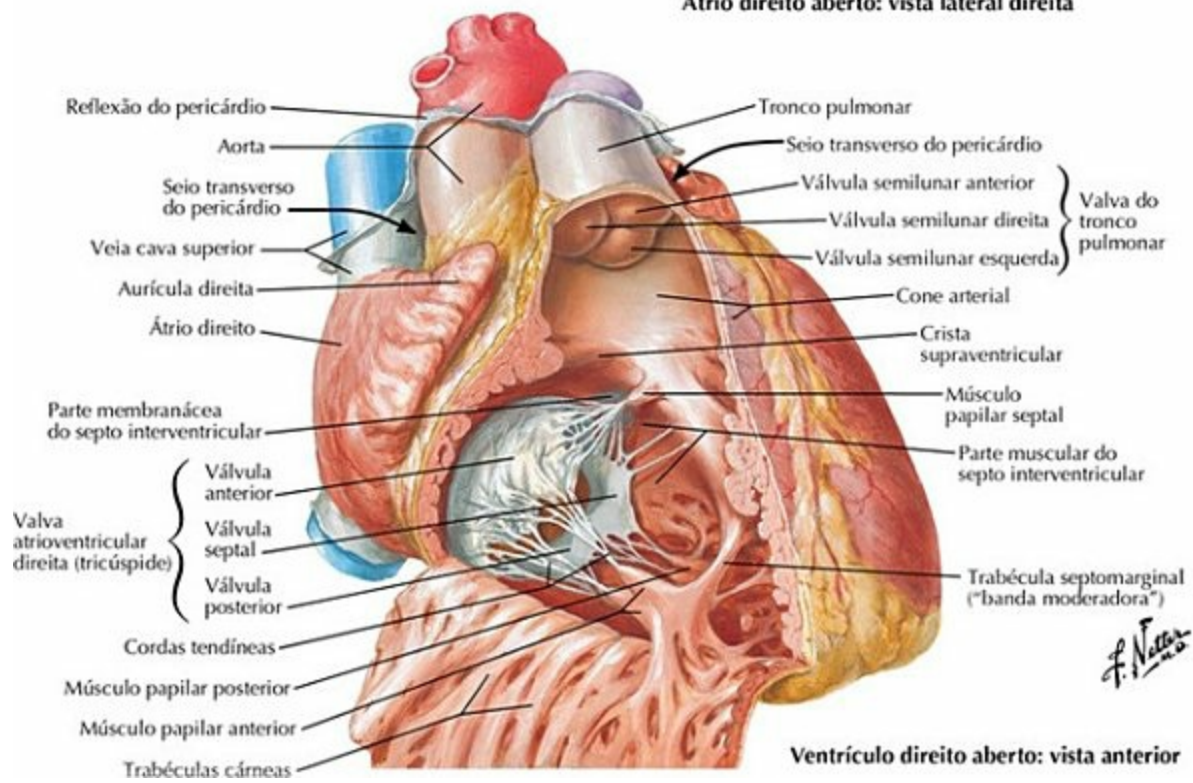
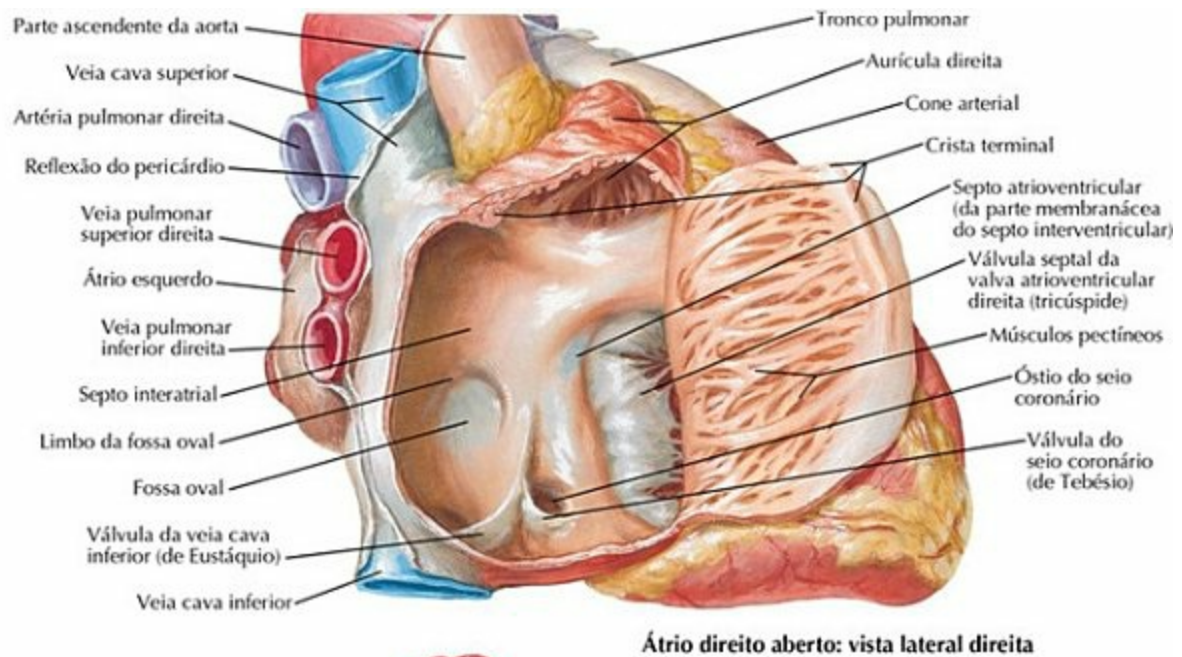
PRANCHA 215 Coração

Artérias Coronárias: Imagens



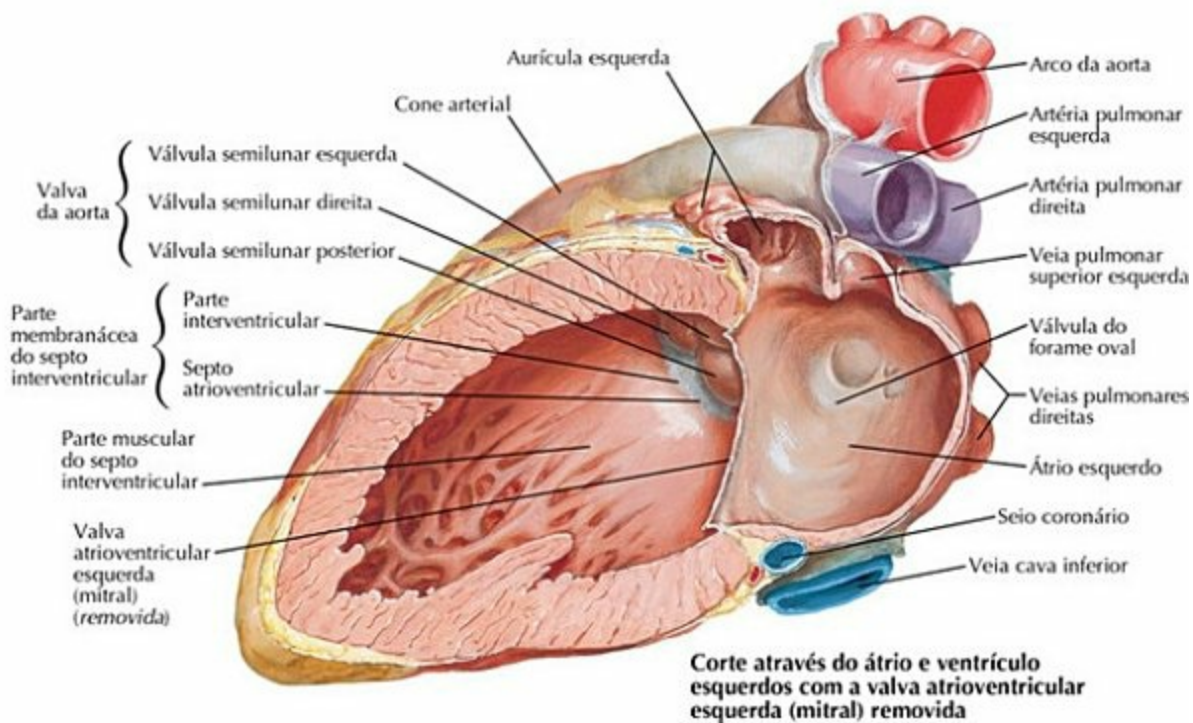
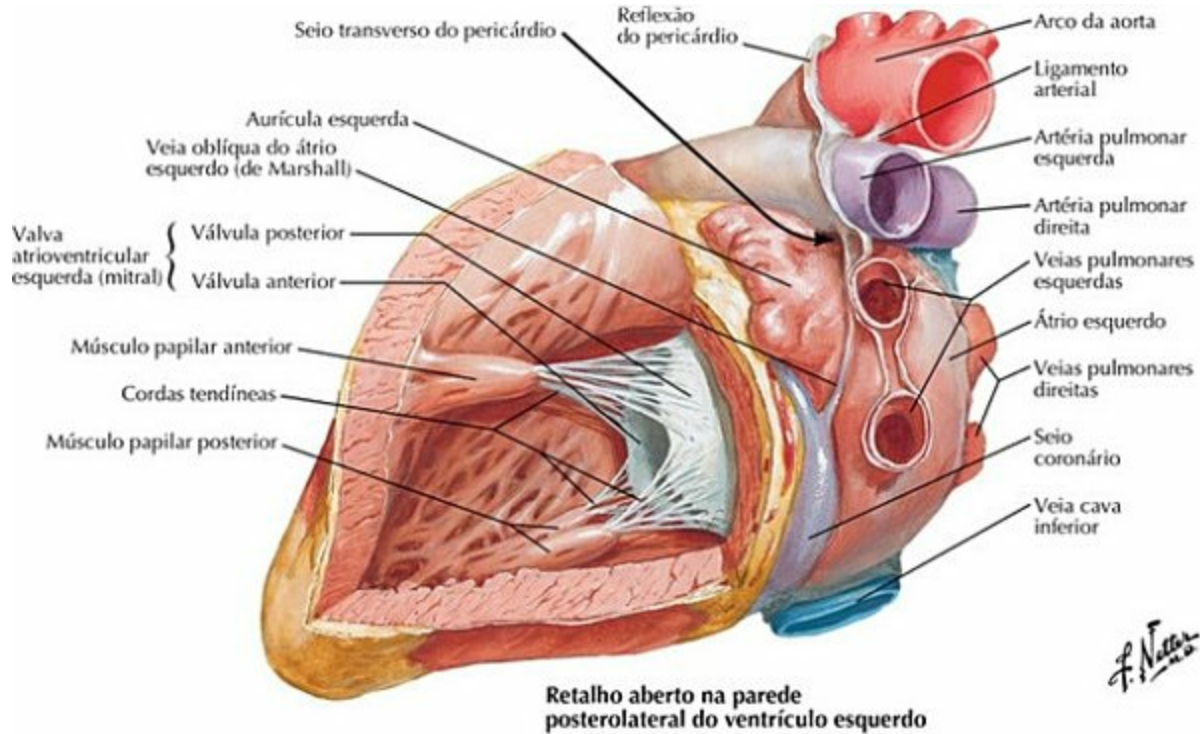
PRANCHA 216 Coração

Átrio e Ventrículo Direitos



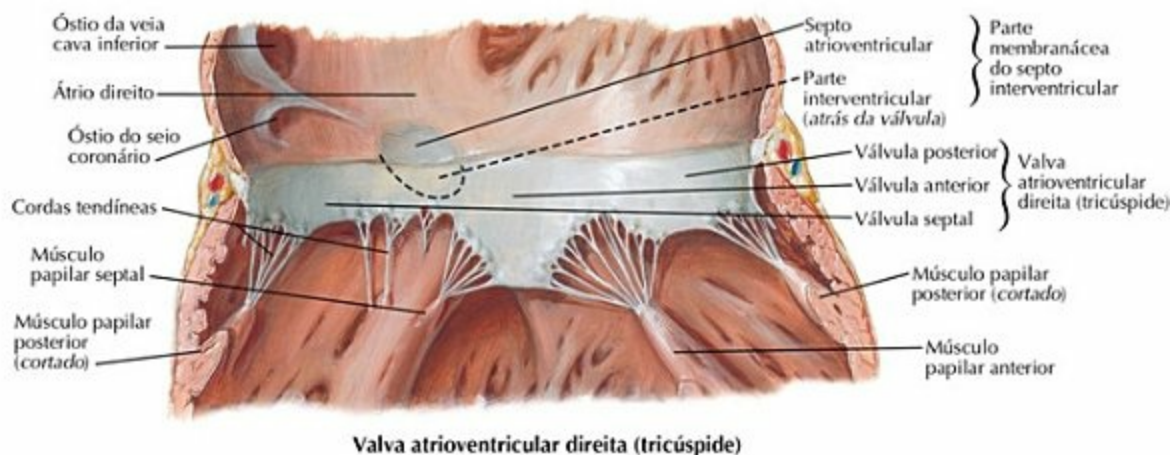
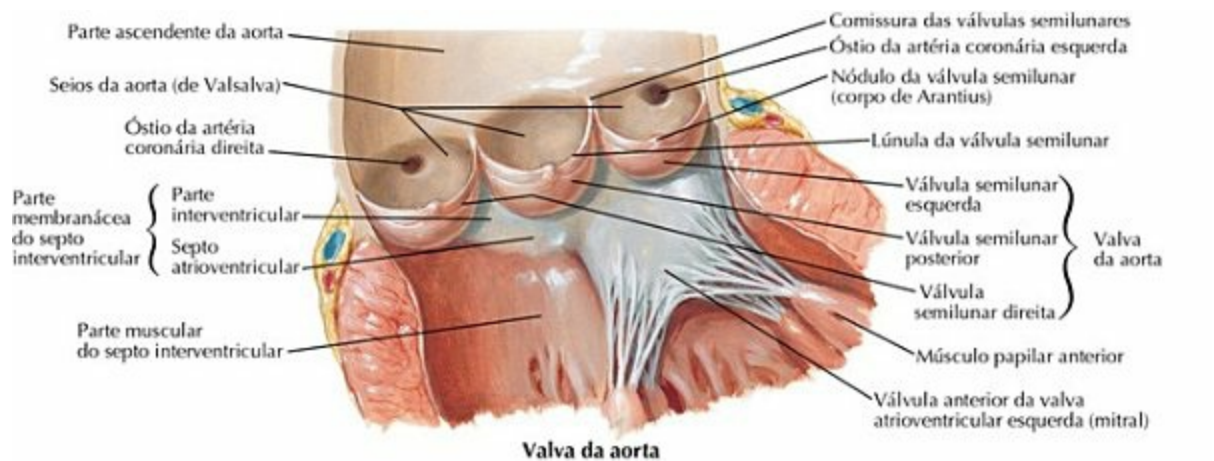
PRANCHA 217 Coração

Átrio e Ventrículo Esquerdos



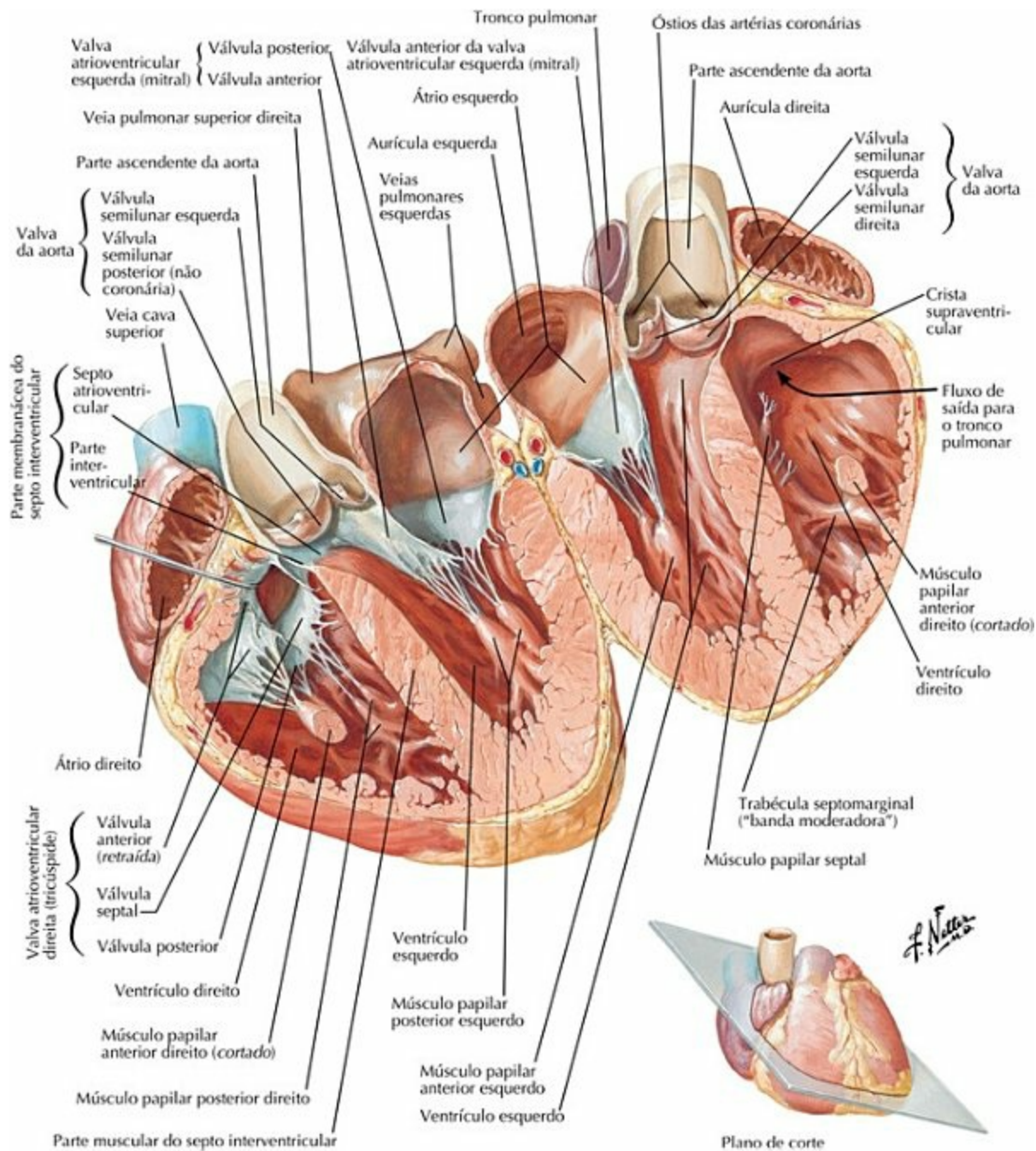
PRANCHA 218 Coração

Valvas e Esqueleto Fibroso do Coração



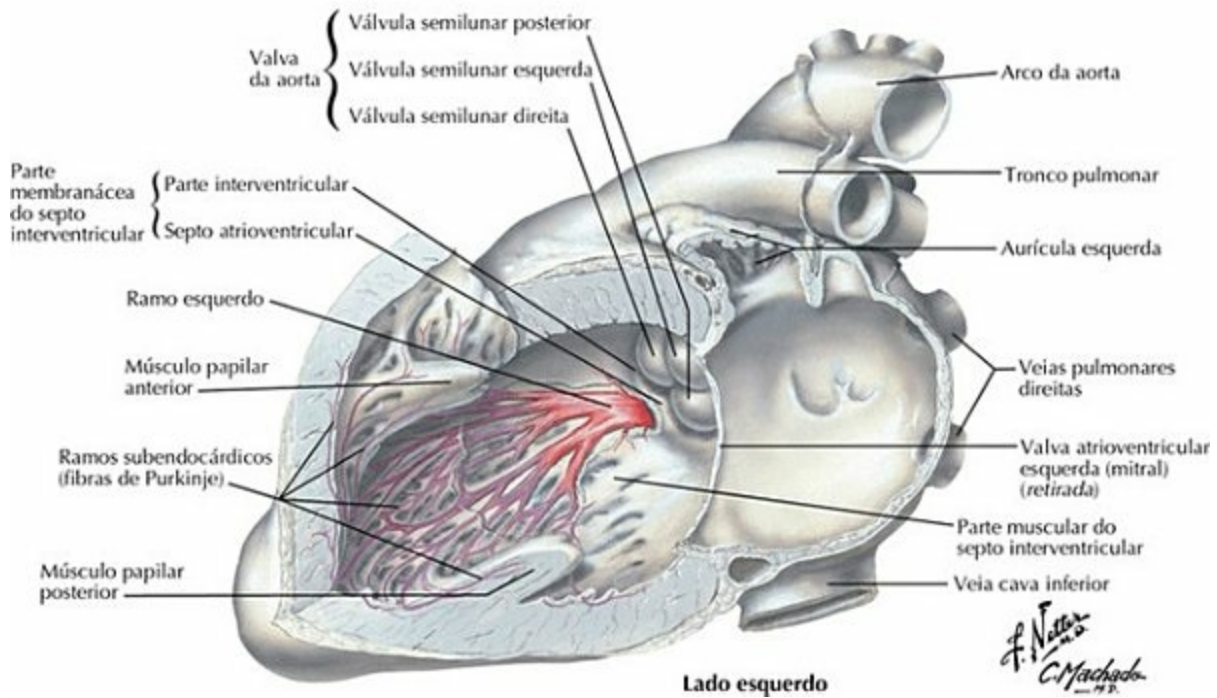
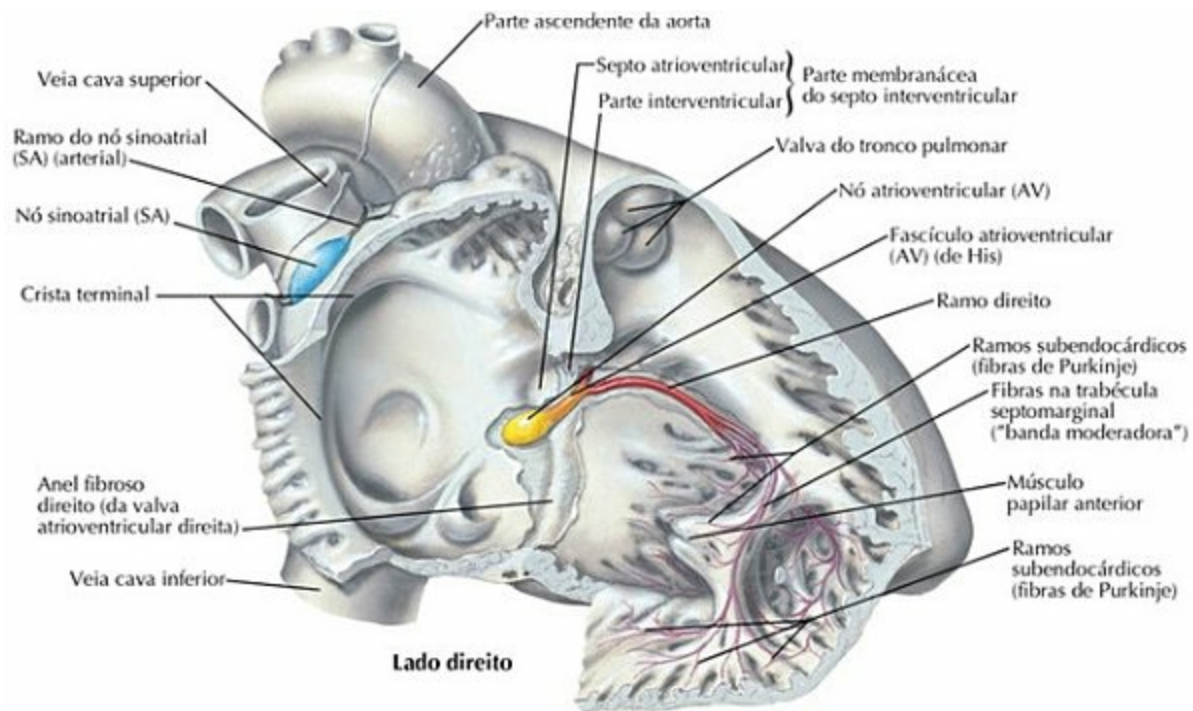
PRANCHA 220 Coração

Átrios, Ventrículos e Septo Interventricular



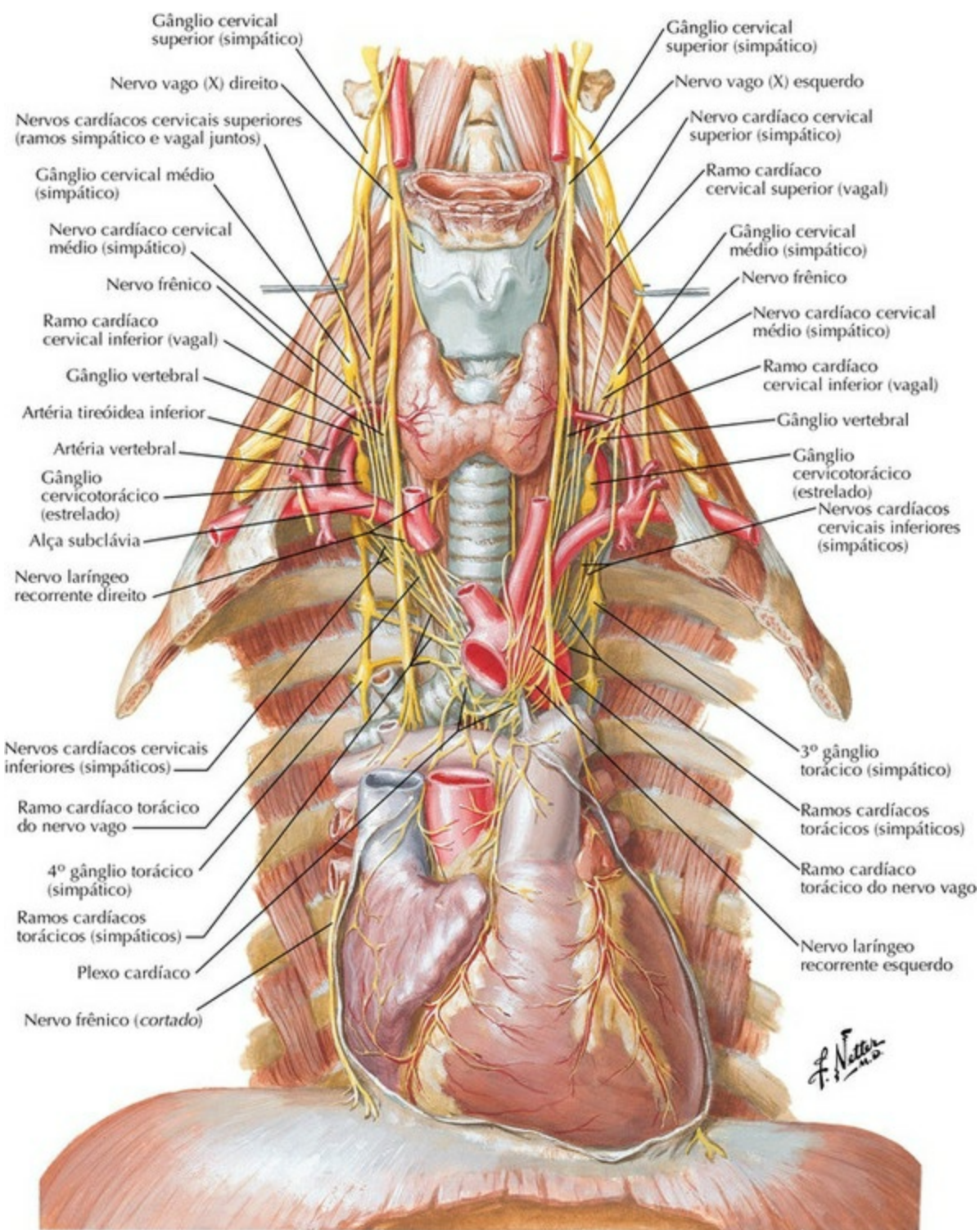
PRANCHA 221 Coração

Complexo Estimulante (Sistema de Condução) do Coração



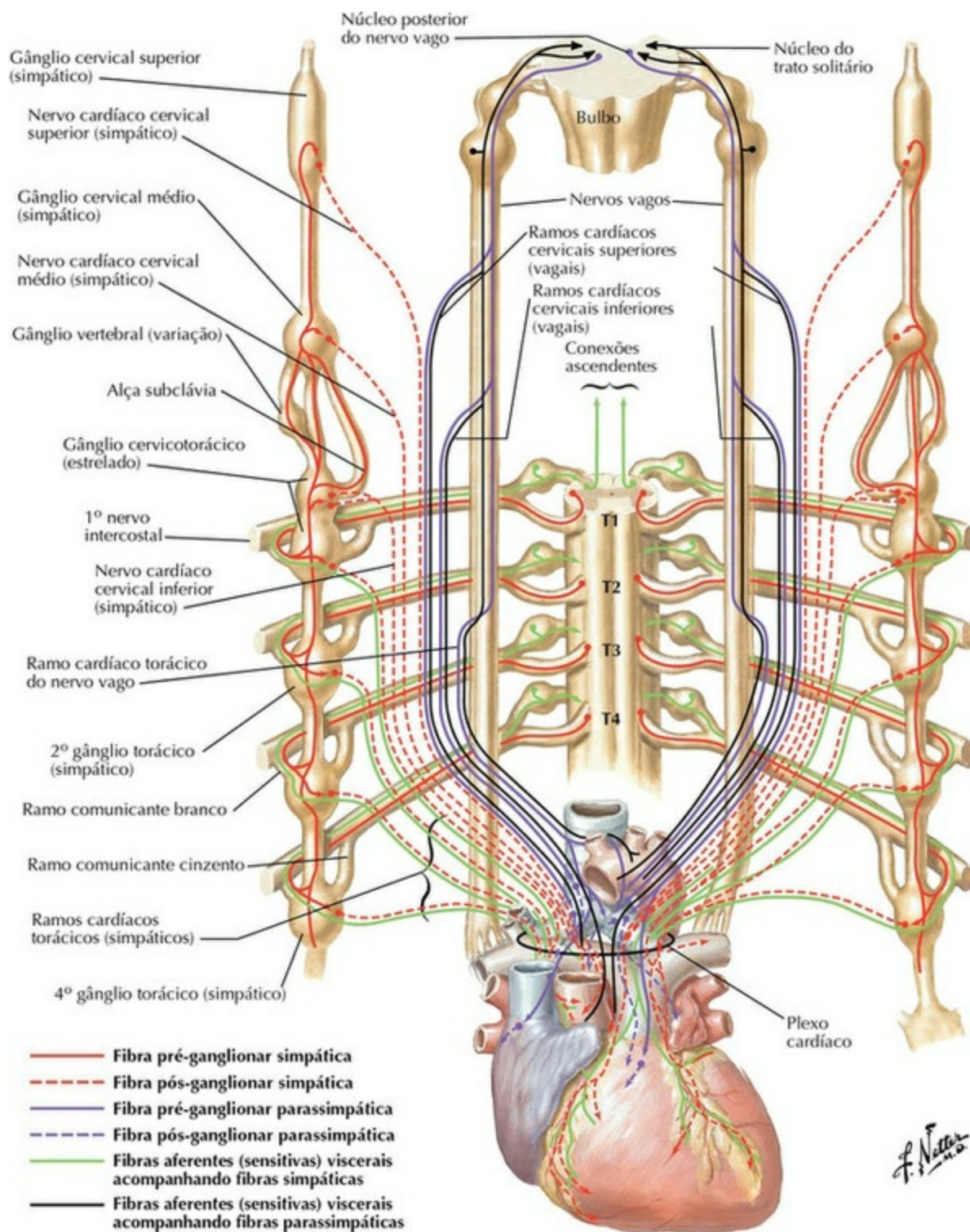
PRANCHA 222 Coração

Nervos do Coração (Cardíacos)



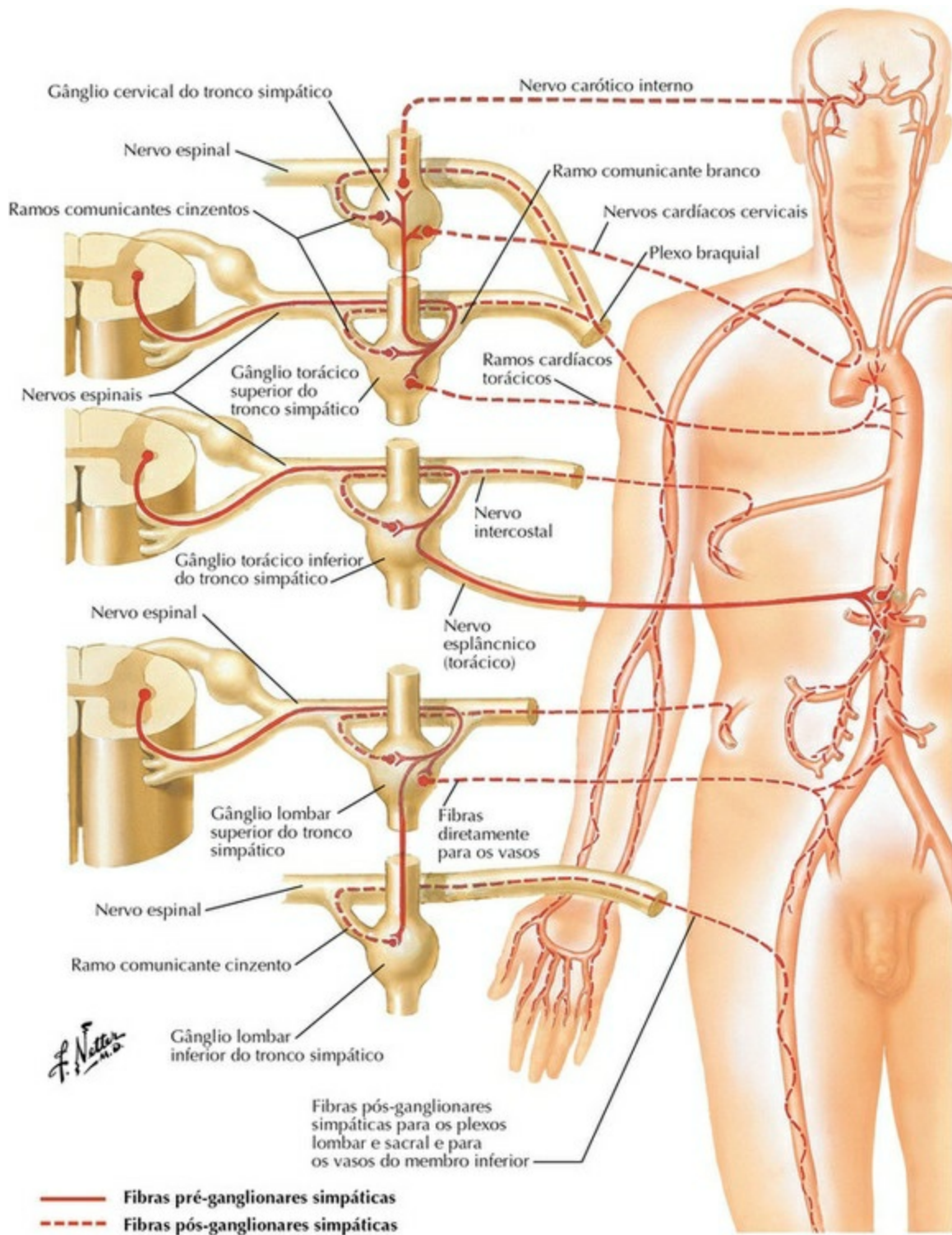
PRANCHA 223 Coração

Inervação do Coração: Esquema



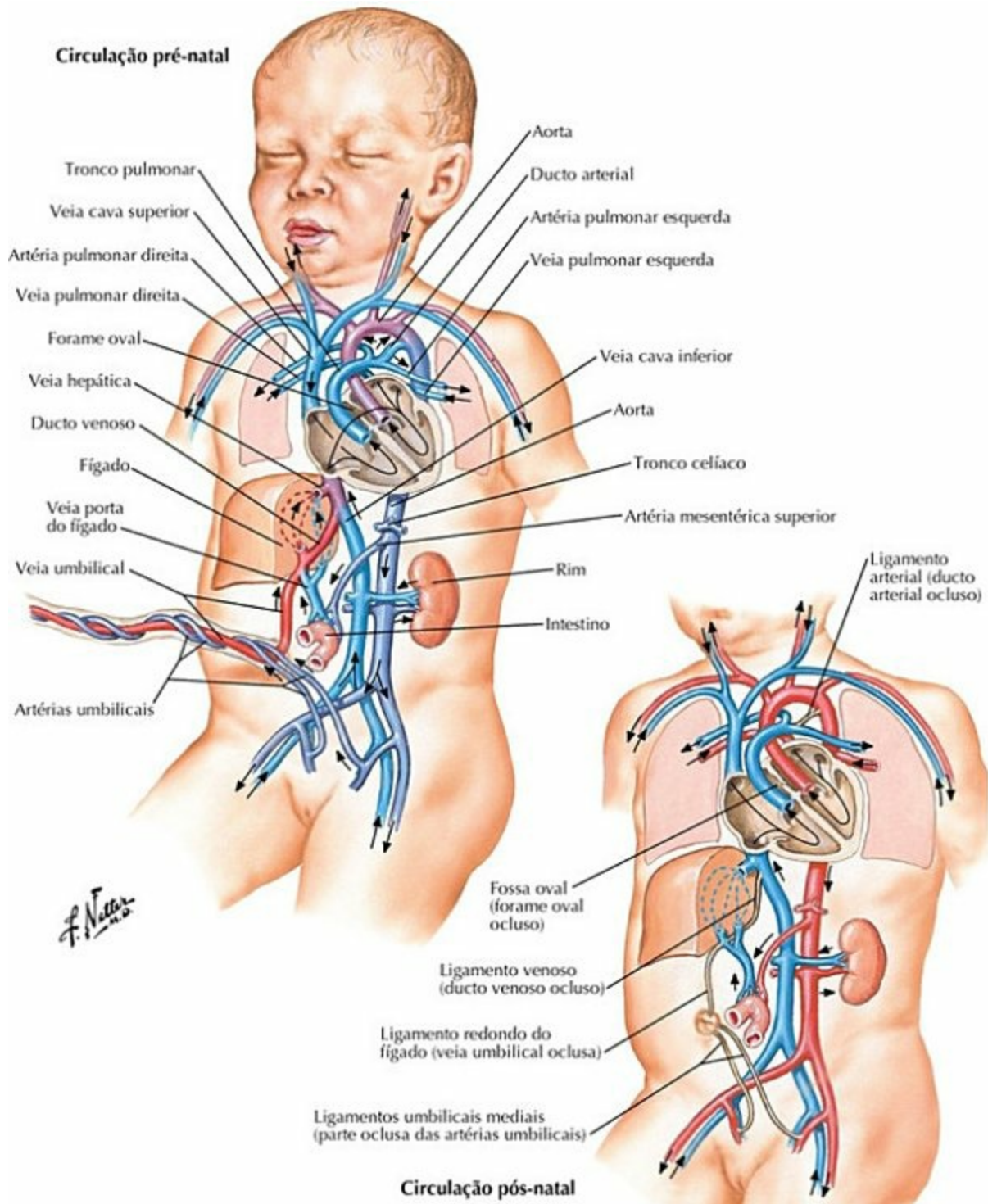
PRANCHA 224 Coração

Inervação dos Vasos Sanguíneos: Esquema



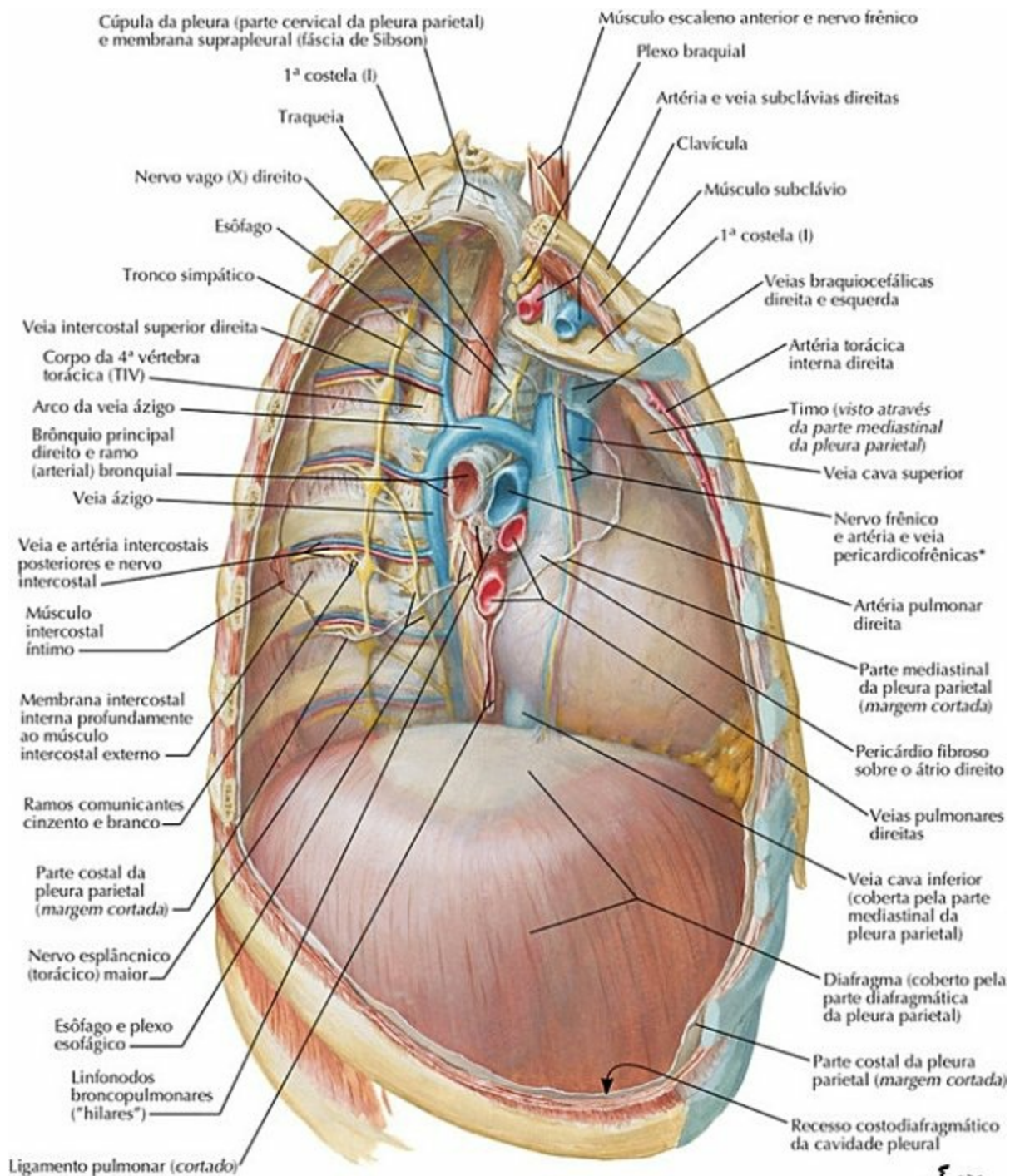
PRANCHA 225 Coração

Circulações Pré-natal e Pós-natal



PRANCHA 226 Coração

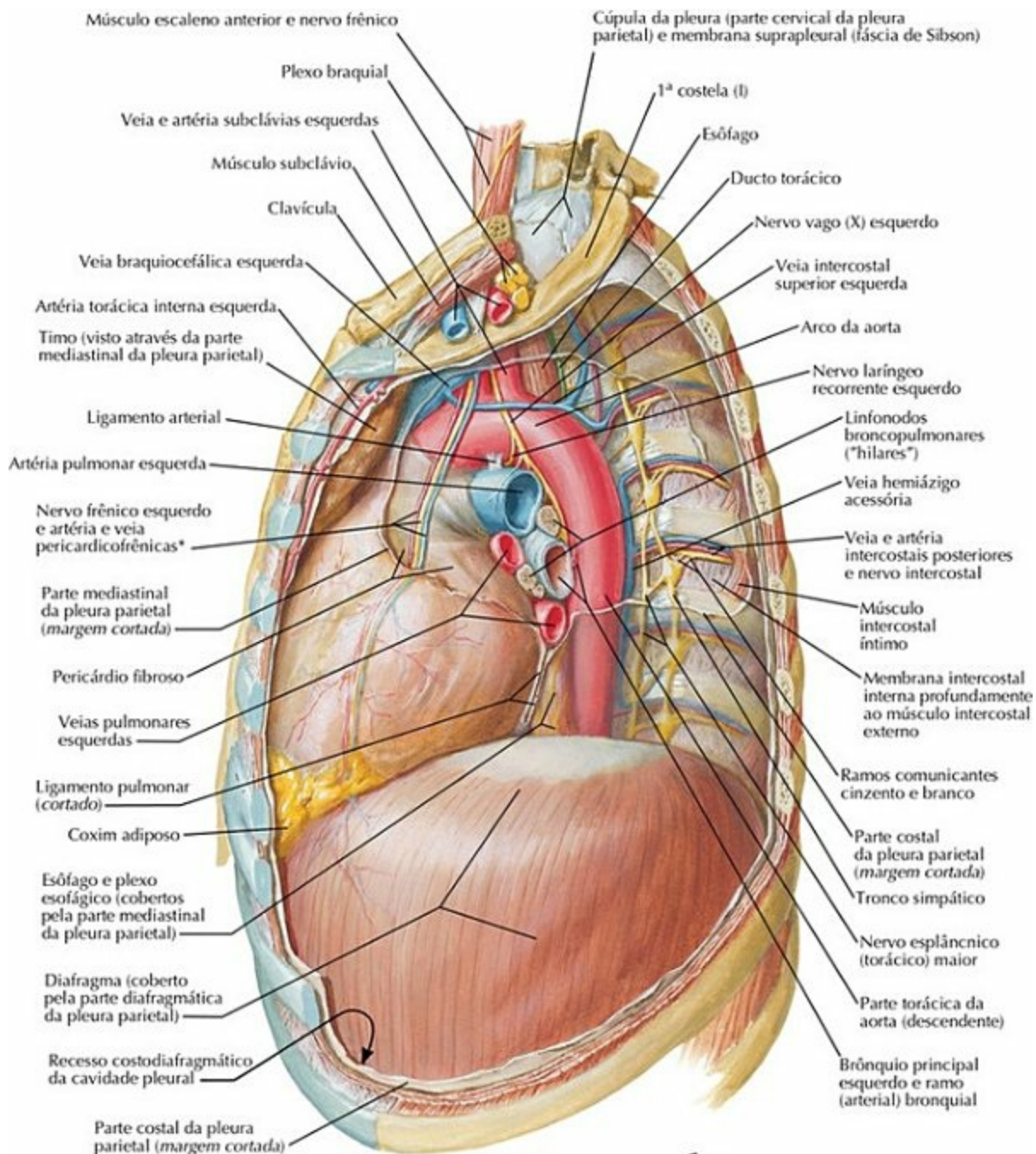
Mediastino: Vista Lateral Direita



*Nervo e vasos geralmente possuem trajetos independentes.

PRANCHA 227 Mediastino

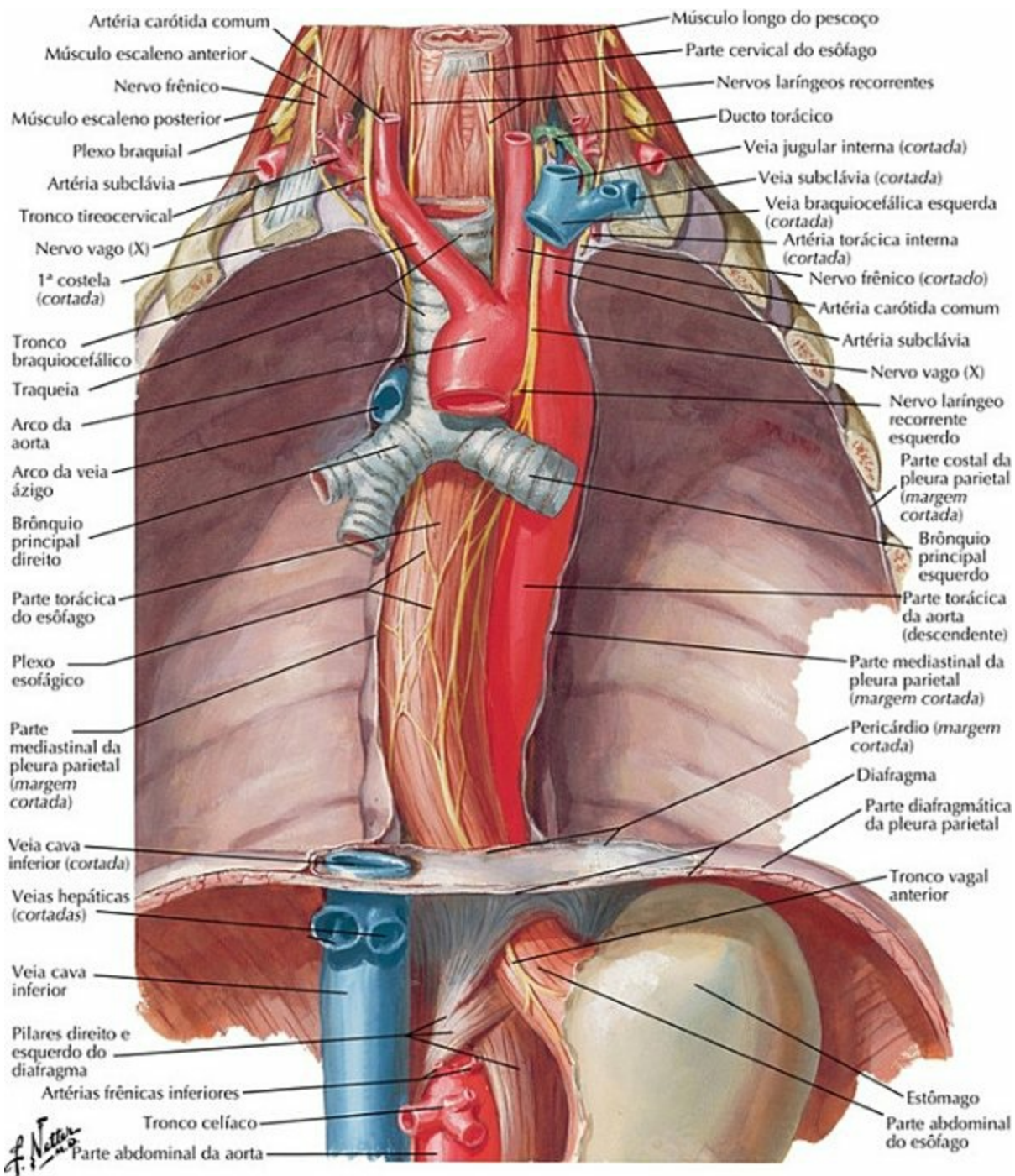
Mediastino: Vista Lateral Esquerda



*Nervo e vasos geralmente possuem trajetos independentes.

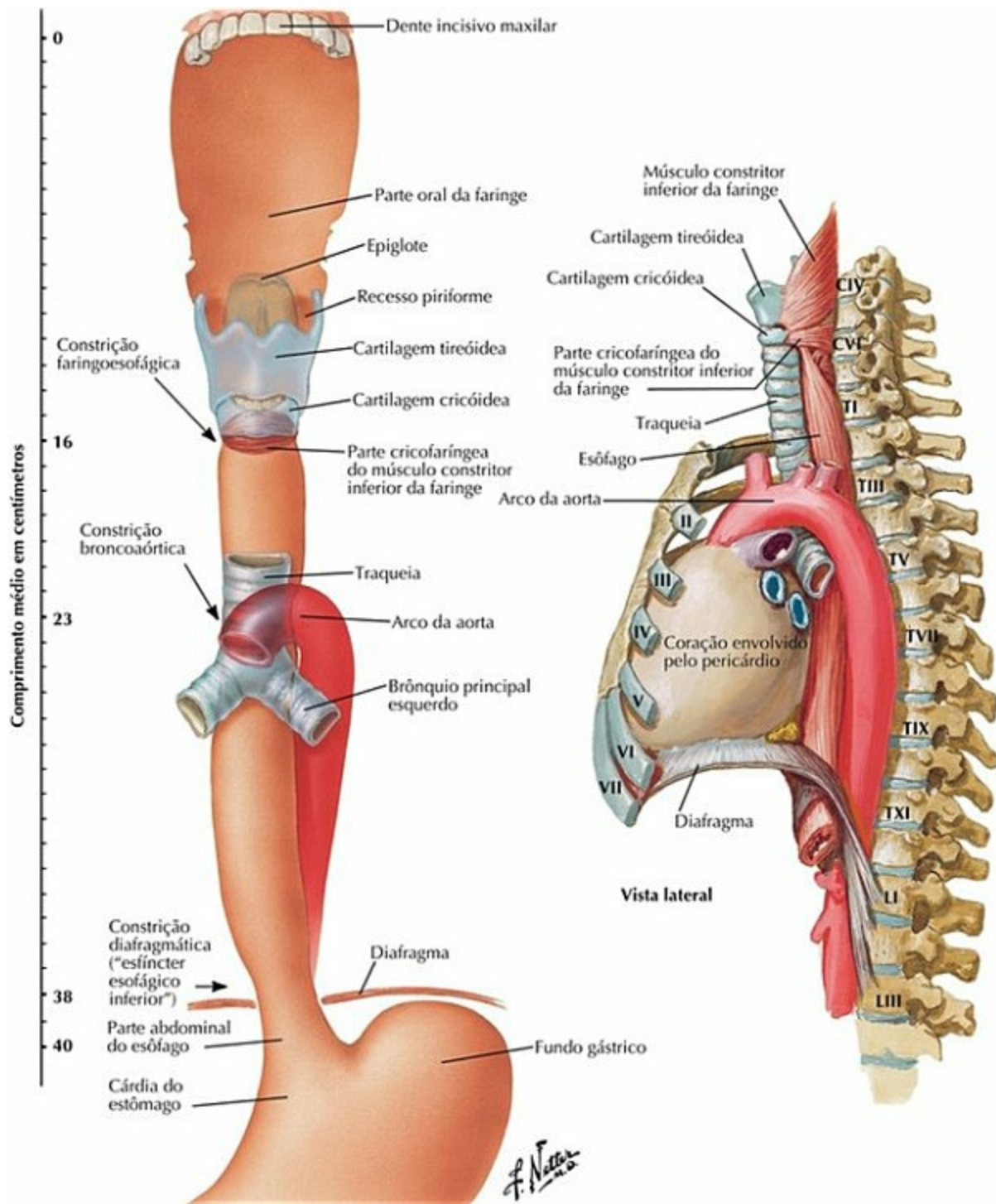
PRANCHA 228 Mediastino

Esôfago *in Situ*



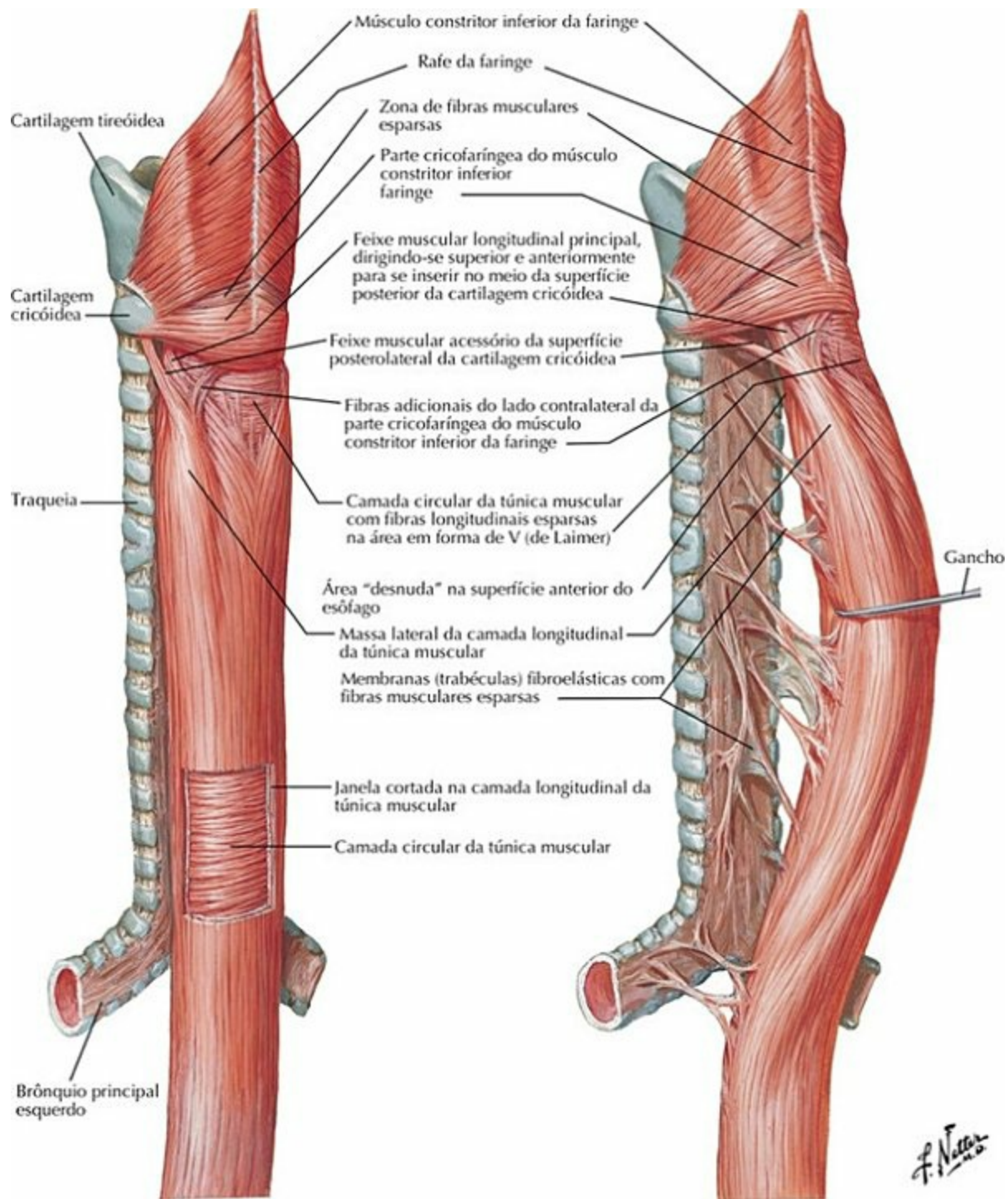
PRANCHA 229 Mediastino

Topografia e Constrições do Esôfago



PRANCHA 230 Mediastino

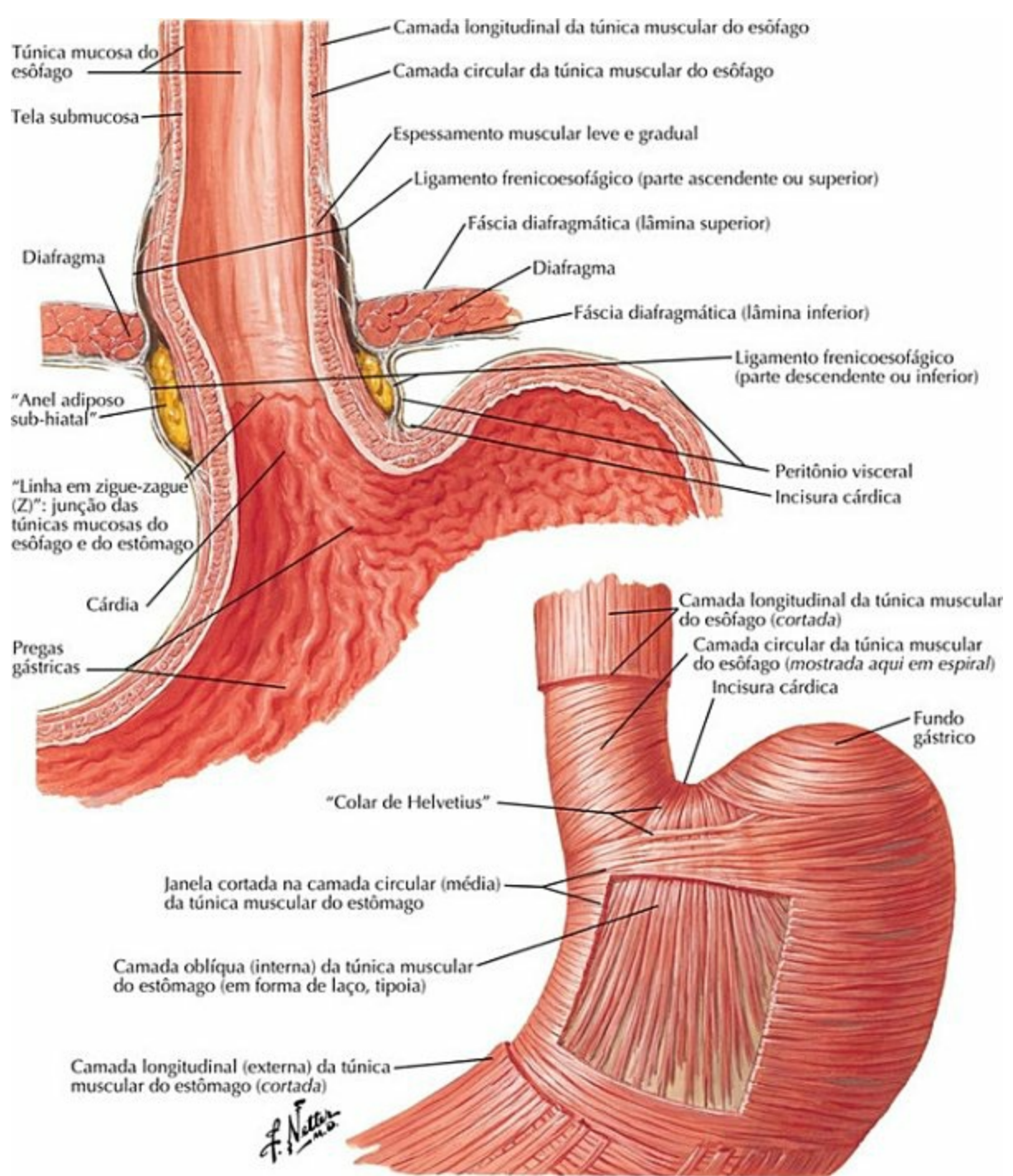
Musculatura do Esôfago



Vista posterolateral

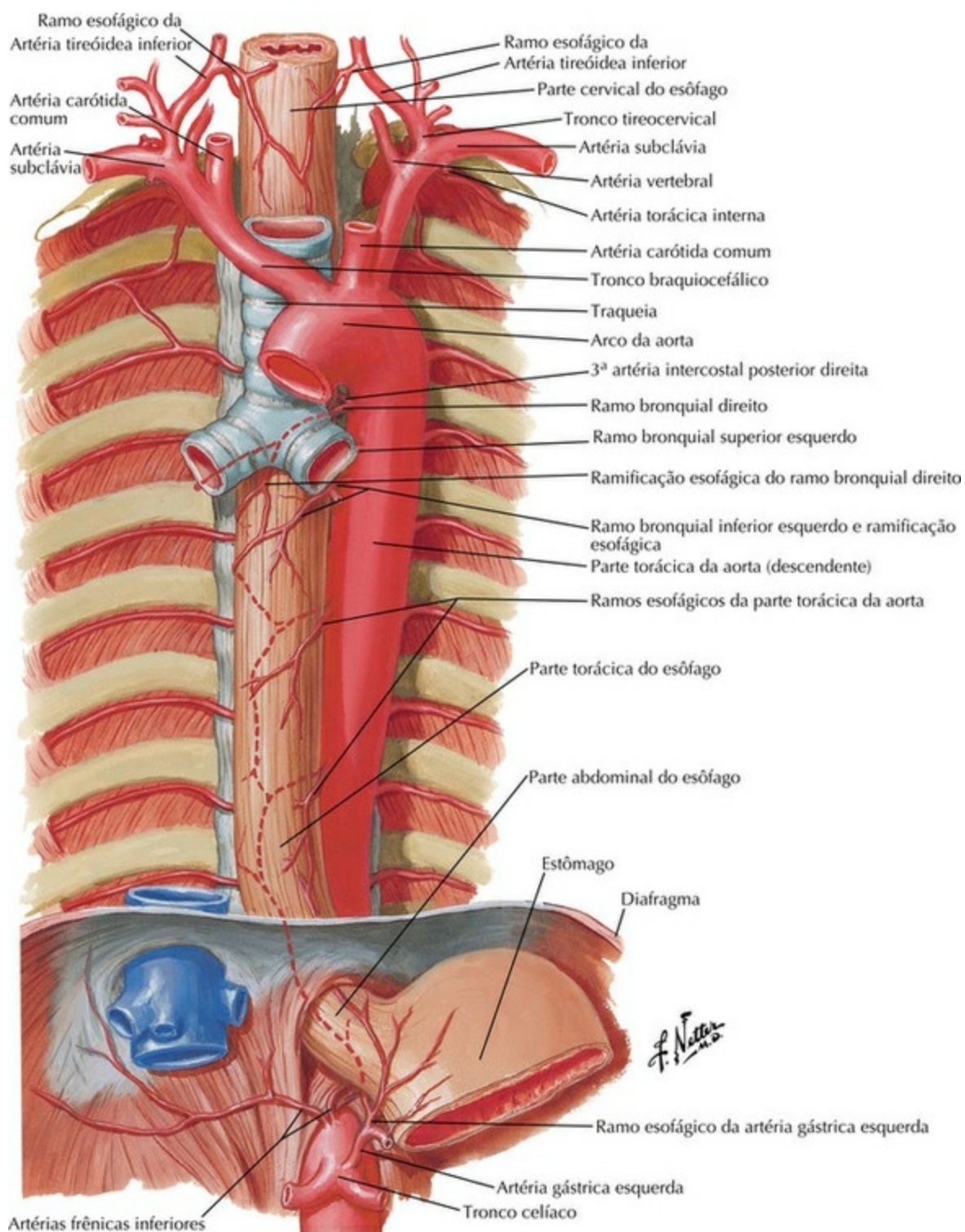
PRANCHA 231 Mediastino
 Veja também **Pranchas 67, 70**

Junção Esofagogástrica



PRANCHA 232 Mediastino

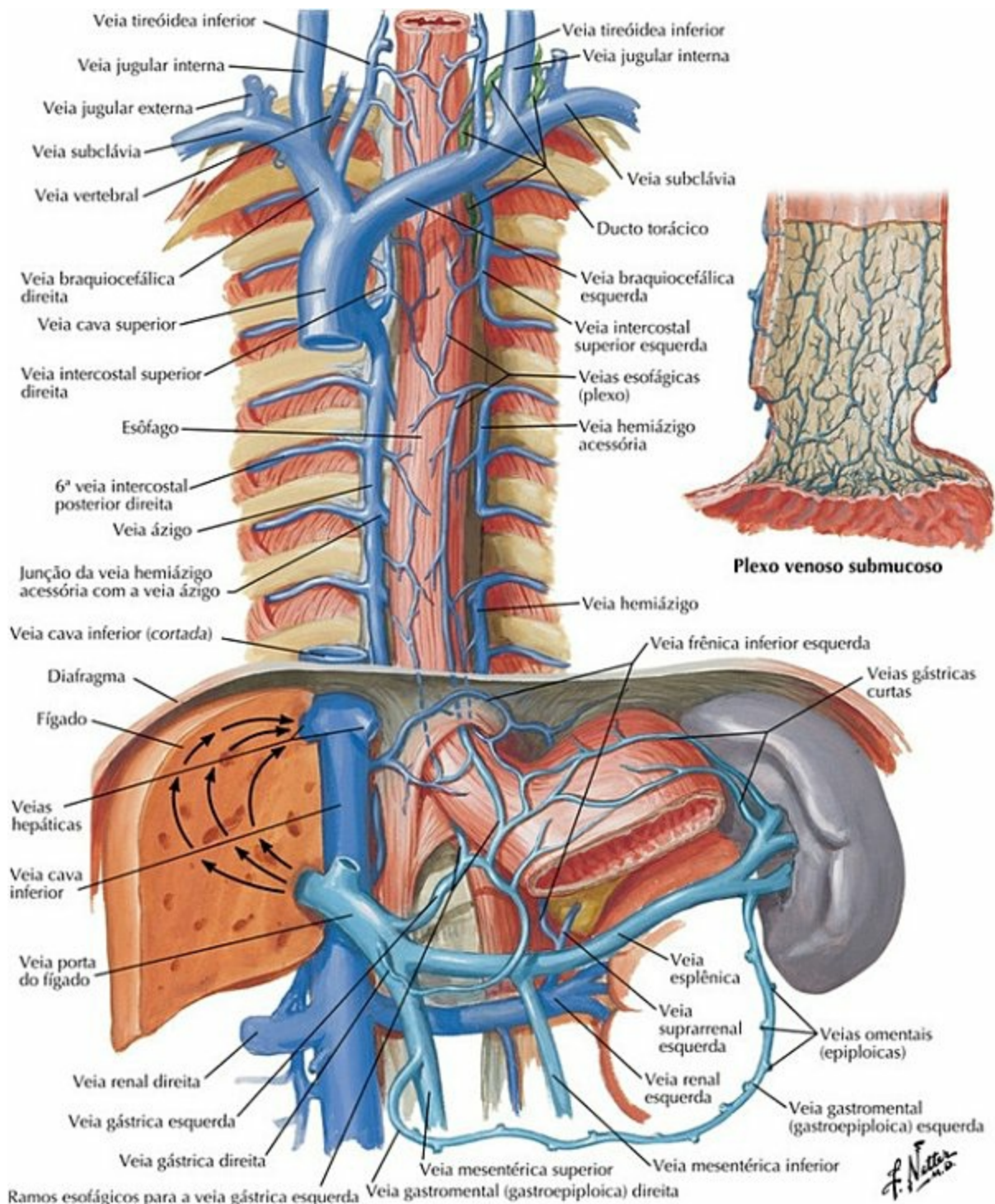
Artérias do Esôfago



PRANCHA 233 Mediastino

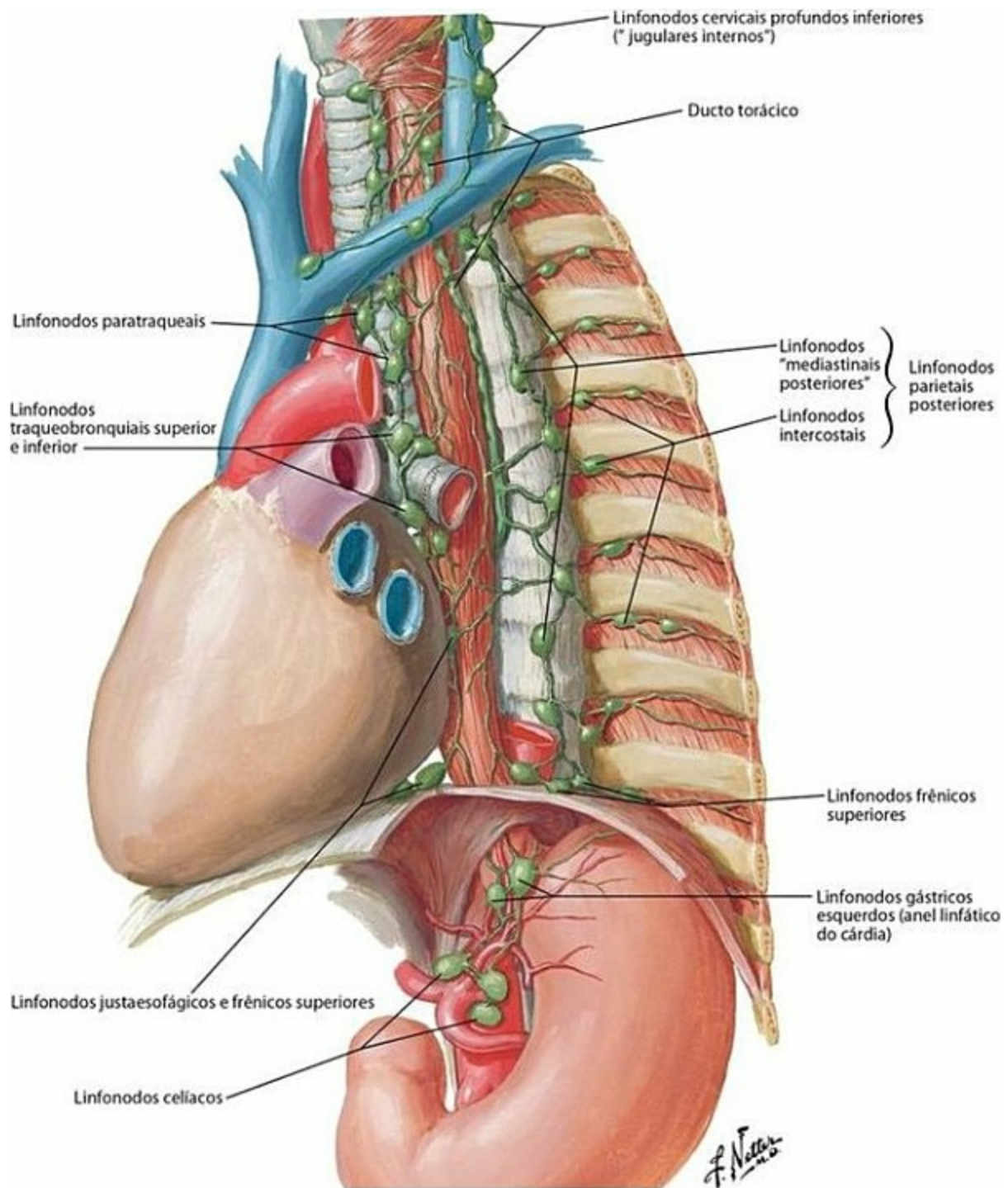
Veja também **Pranchas 204, 284**

Veias do Esôfago



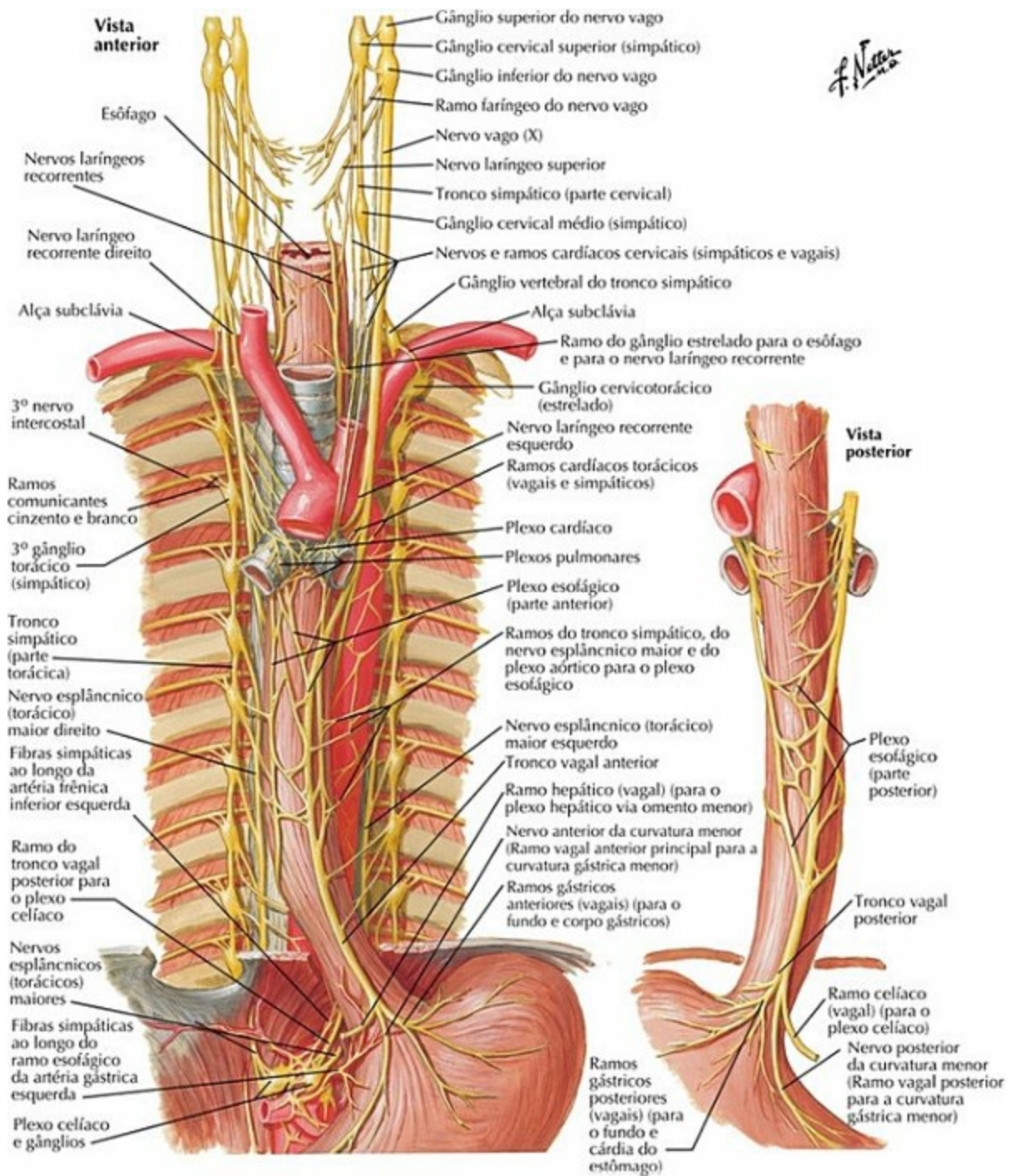
PRANCHA 234 Mediastino
 Veja também **Prancha 189**

Vasos Linfáticos e Linfonodos do Esôfago



PRANCHA 235 Mediastino
 Veja também **Pranchas 205, 293**

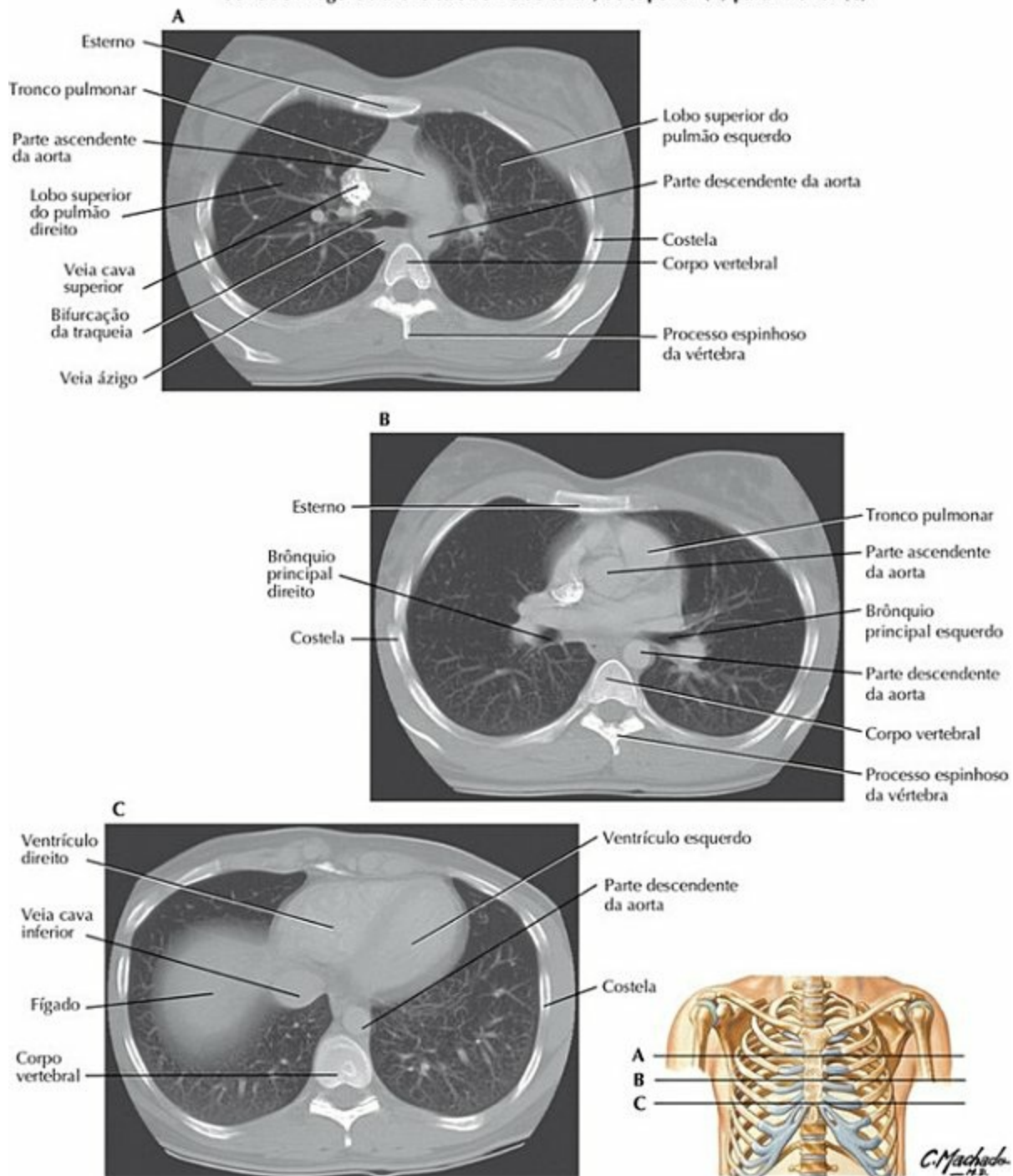
Nervos do Esôfago



PRANCHA 236 Mediastino

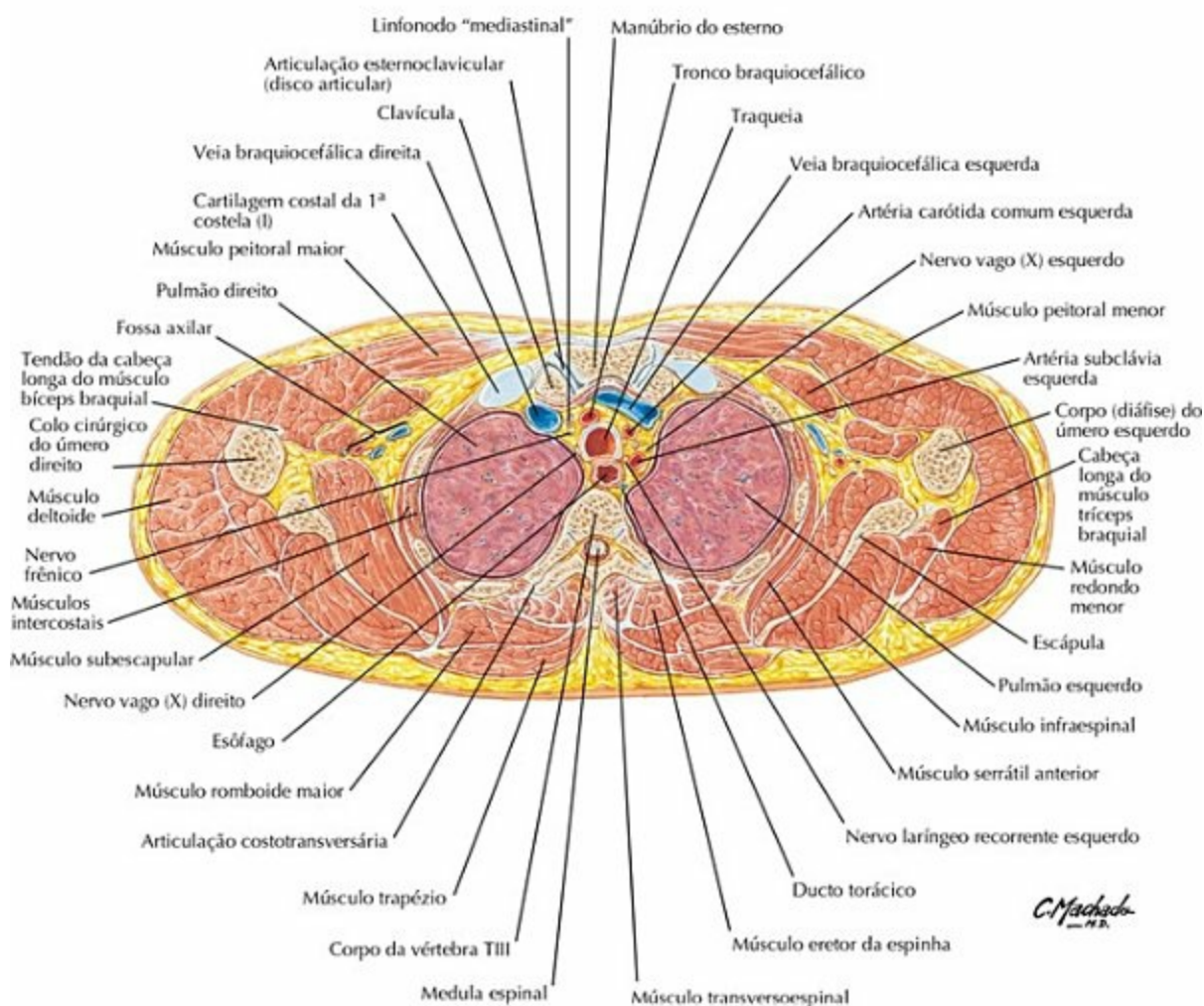
Imagens do Tórax: Cortes Transversais (“Axiais”)

Série de imagens transversais de TC do tórax, de superior (A) para inferior (C)



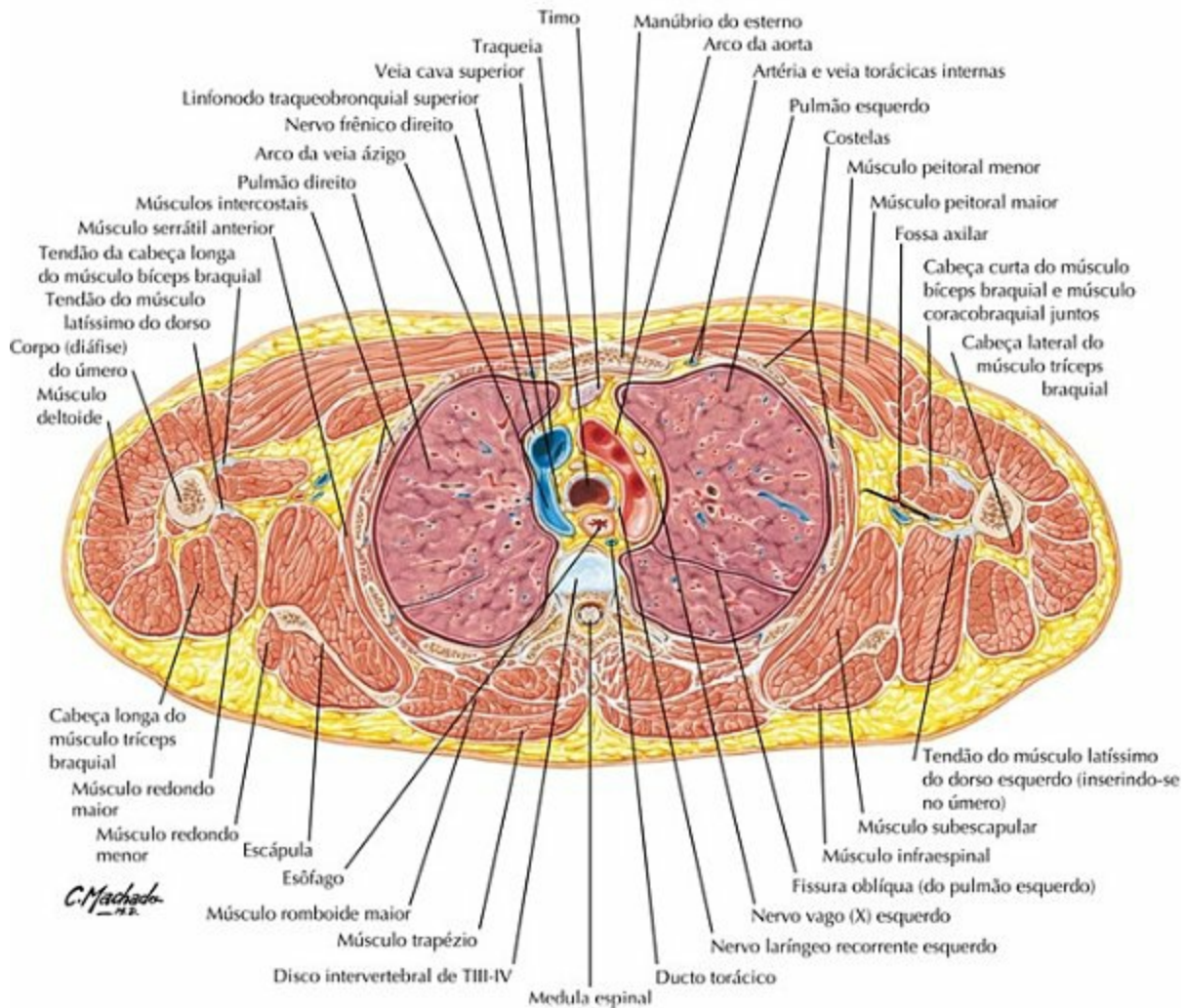
PRANCHA 237 Imagens Regionais

Corte Transversal do Tórax no Nível de TIII



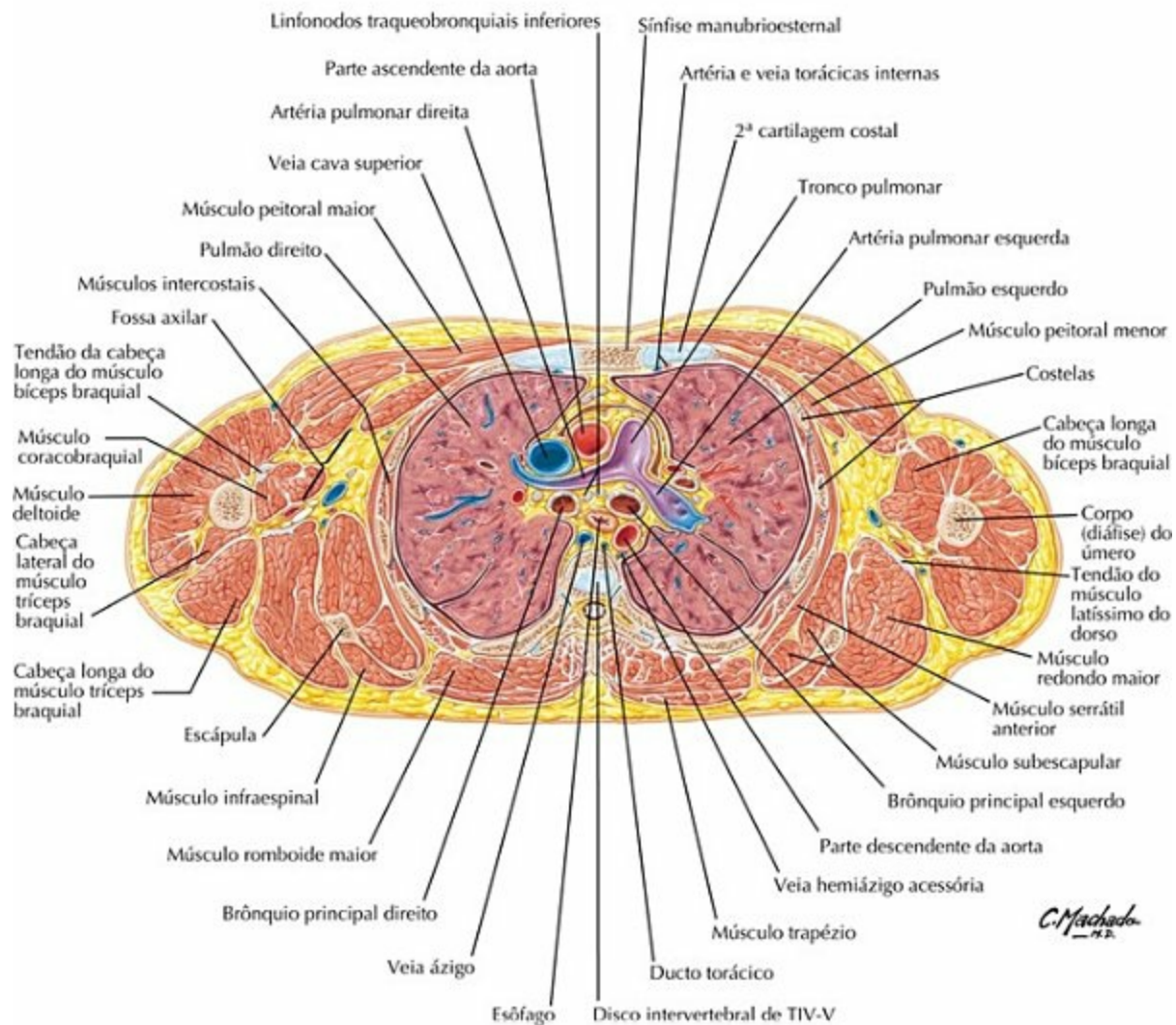
PRANCHA 238 Anatomia Seccional Transversa

Corte Transversal do Tórax no Nível do Disco Intervertebral de TIII-IV



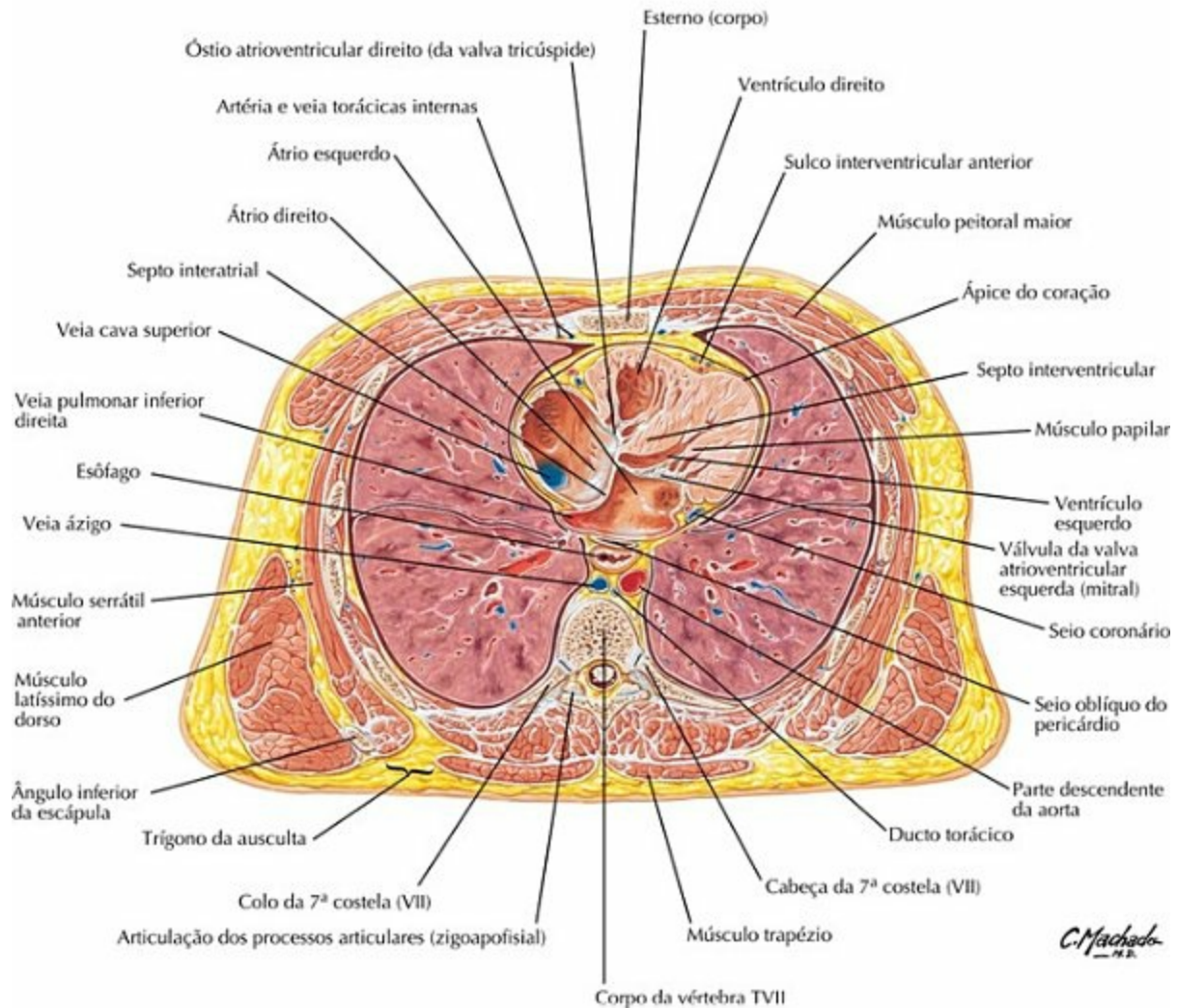
PRANCHA 239 Anatomia Seccional Transversa

Corte Transversal do Tórax no Nível do Disco Intervertebral de TIV-V



PRANCHA 240 Anatomia Seccional Transversa

Corte Transversal do Tórax no Nível de TVII



PRANCHA 241 Anatomia Seccional Transversa

Tabela de Músculos

Tabela 3-1

Tabela de Músculos

MÚSCULOS	INSERÇÃO PROXIMAL (ponto fixo)	INSERÇÃO DISTAL (ponto móvel)	INERVAÇÃO	AÇÕES PRINCIPAIS	SUPRIMENTO SANGUÍNEO	G.
Diafragma	Processo xifoide, últimas seis cartilagens costais,	Fibras convergem para o centro tendíneo	Nervo frênico	Traciona para baixo o centro tendíneo, na inspiração	Artérias pericardicofrênica, frênicas superior e inferior e	P

	vértebras LI-LIII				musculofrênica	
Intercostal externo	Margem inferior das costelas	Margem superior da costela abaixo	Nervos intercostais	Sustentação do espaço intercostal na inspiração e na expiração; eleva as costelas na inspiração	Artérias intercostais posteriores, ramos colaterais das artérias intercostais posteriores, tronco costocervical, ramos intercostais anteriores da artéria torácica interna, artéria musculofrênica	P
Intercostal íntimo	Margem inferior das costelas	Margem superior da costela abaixo	Nervos intercostais	Eleva as costelas	Ramos musculares dos ramos intercostais anteriores, ramos musculares das artérias intercostais posteriores, ramos intercostais das artérias torácica interna e musculofrênica, ramos do tronco costocervical	P
Intercostal interno	Margem inferior das costelas	Cartilagem costal e margem do sulco da costela acima	Nervos intercostais	Impede o abaulamento ou a retração dos espaços intercostais na inspiração e na expiração; abaixa as costelas na expiração forçada	Ramos musculares dos ramos intercostais anteriores, ramos musculares das artérias intercostais posteriores, ramos intercostais das artérias torácica interna e musculofrênica, ramos do tronco costocervical	P
Levantador das costelas	Processos transversos de CVII e de TI-TXI	Costelas subjacentes, entre o tubérculo e o ângulo	Ramos posteriores dos últimos nervos torácicos	Eleva as costelas	Artérias intercostais posteriores	P
Peitoral maior	Metade esternal da clavícula, esterno até a 7ª costela	Crista do tubérculo maior (lábio lateral) do	Nervos peitorais lateral e medial	Flexiona, aduz e roda medialmente o braço	Ramo peitoral da artéria toracoacromial, ramos perfurantes	R

	(VII), cartilagens costais das costelas verdadeiras, aponeurose do músculo obliquo externo do abdome	sulco intertubercular do úmero			da artéria torácica interna	
Peitoral menor	Superfície externa da margem superior das costelas III-V	Processo coracoide da escápula	Nervo peitoral medial	Roda e faz a protrusão da escápula, estabilizando- a contra a parede do tórax	Ramo peitoral da artéria toracoacromial e artérias intercostais e torácica lateral	R
Serrátil anterior	Superfícies externas das 8-9 primeiras costelas	Face costal da margem medial da escápula	Nervo torácico longo	Faz a protrusão da escápula e a mantém contra a parede do tórax	Artéria torácica lateral	R
Serrátil posterior inferior	Processos espinhosos de TXI-LII	Região inferior das costelas IX- XII	Ramos anteriores dos nervos espinais torácicos inferiores	Abaixa as costelas	Artérias intercostais posteriores	S
Serrátil posterior superior	Ligamento nucal, processos espinhosos de CVII-TIII	Região superior das costelas II- IV	Ramos anteriores dos nervos espinais torácicos superiores	Eleva as costelas	Artérias intercostais posteriores	S
Subcostal	Superfície interna das costelas inferiores, nas proximidades dos seus ângulos	Margem superior da 2ª ou 3ª costela abaixo	Nervos intercostais	Abaixa as costelas	Artérias intercostal posterior e musculofrênica	P
Transverso do tórax	Superfície interna da 2ª à 6ª cartilagens costais	Superfície posterior da parte inferior do esterno	Nervos intercostais	Abaixa as costelas e suas cartilagens costais	Ramos intercostais anteriores, artéria torácica interna	P

Variações nas contribuições dos nervos espinais na inervação dos músculos, no seu suprimento arterial, nos seus locais de inserção e em suas ações são de ocorrência

comum na anatomia humana. Portanto, existem diferenças entre os textos e devemos considerar que a variação anatômica é normal.

Abdome

Anatomia Topográfica

Prancha 242

242. Abdome: Anatomia de Superfície

Parede do Abdome

Pranchas 243-262

243. Arcabouço Ósseo do Abdome

244. Regiões e Planos do Abdome

245. Parede Anterior do Abdome: Dissecção Superficial

246. Parede Anterior do Abdome: Dissecção Média

247. Parede Anterior do Abdome: Dissecção Profunda

248. Bainha do Músculo Reto do Abdome: Cortes Transversais

249. Parede Anterior do Abdome: Vista Interna

250. Parede Posterolateral do Abdome

251. Artérias da Parede Anterior do Abdome

252. Veias da Parede Anterior do Abdome

253. Nervos da Parede Anterior do Abdome

254. Nervos Intercostais

255. Região Inguinal: Dissecções

256. Canal Inguinal e Funículo Espermático

257. “Bainha” Femoral e Canal Inguinal

258. Parede Posterior do Abdome: Vista Interna

259. Artérias da Parede Posterior do Abdome

260. Veias da Parede Posterior do Abdome

261. Vasos Linfáticos e Linfonodos da Parede Posterior do Abdome

262. Nervos da Parede Posterior do Abdome

Cavidade Peritoneal

Pranchas 263-268

263. Omento Maior e Vísceras Abdominais

264. Relações Peritoneais (Mesentéricas) dos Intestinos

265. Relações Peritoneais (Mesentéricas) dos Intestinos

(continuação)

266. Bolsa Omental: Estômago Rebatido

267. Bolsa Omental: Corte Transversal

268. Peritônio da Parede Posterior do Abdome

Vísceras (Estômago e Intestinos)

Pranchas 269-276

269. Estômago *in Situ*

270. **Túnica** Mucosa do Estômago

271. Duodeno *in Situ*

272. **Túnica** Mucosa e Musculatura do Duodeno, do Jejuno e do Íleo

273. Região Ileocecal

274. Região Ileocecal (continuação)

275. Apêndice Vermiforme

276. **Túnica** Mucosa e Musculatura do Intestino Grosso

Vísceras (Órgãos Anexos)

Pranchas 277-282

277. Faces e Leito do Fígado

278. Fígado *in Situ*: Vasos e Ductos

279. Estrutura do Fígado: Esquema

280. Vesícula Biliar, Ductos Bilíferos Extra-hepáticos e Ducto Pancreático

281. Pâncreas *in Situ*

282. Baço

Vascularização Visceral

Pranchas 283-296

283. Artérias do Estômago, do Fígado e do Baço

284. Artérias do Fígado, do Pâncreas, do Duodeno e do Baço

285. Arteriograma Celíaco e Angiograma por TC

286. Artérias do Duodeno e da Cabeça do Pâncreas

287. Artérias do Intestino Delgado

288. Artérias do Intestino Grosso

289. Veias do Estômago, do Duodeno, do Pâncreas e do Baço

290. Veias do Intestino Delgado

291. Veias do Intestino Grosso

292. Veias Tributárias da Veia Porta do Fígado: Anastomoses Portocava

293. Vasos Linfáticos e Linfonodos do Estômago

- 294. Vasos Linfáticos e Linfonodos do Pâncreas
- 295. Vasos Linfáticos e Linfonodos do Intestino Delgado
- 296. Vasos Linfáticos e Linfonodos do Intestino Grosso

Inervação

Pranchas 297-307

- 297. Nervos, Plexos e Gânglios Autônomos do Abdome
- 298. Inervação Autônoma do Estômago e do Duodeno
- 299. Inervação Autônoma do Estômago e do Duodeno (continuação)
- 300. Inervação Autônoma do Esôfago, do Estômago e do Duodeno: Esquema
- 301. Inervação Autônoma do Intestino Delgado
- 302. Inervação Autônoma do Intestino Grosso
- 303. Inervação Autônoma dos Intestinos Delgado e Grosso: Esquema
- 304. Vias Reflexas Autônomas: Esquema
- 305. Plexos Autônomos Intrínsecos do Intestino: Esquema
- 306. Inervação Autônoma do Fígado e da Via Biliar (Bilífera): Esquema
- 307. Inervação Autônoma do Pâncreas: Esquema

Rins e Glândulas Suprarrenais

Pranchas 308-320

- 308. Rins *in Situ*: Vistas Anteriores
- 309. Rins *in Situ*: Vistas Posteriores
- 310. Artéria e Veia Renais *in Situ*
- 311. Estrutura Macroscópica do Rim
- 312. Artérias Intrarrenais e Segmentos Renais
- 313. Ureteres no Abdome e na Pelve
- 314. Artérias dos Ureteres e da Bexiga Urinária
- 315. Fáscia Renal
- 316. Vasos Linfáticos e Linfonodos dos Rins e da Bexiga Urinária
- 317. Nervos Autônomos dos Rins, dos Ureteres e da Bexiga Urinária
- 318. Inervação Autônoma dos Rins e da Parte Superior dos Ureteres: Esquema
- 319. Nervos Autônomos das Glândulas Suprarrenais: Dissecção e Esquema
- 320. Artérias e Veias das Glândulas Suprarrenais *in Situ*

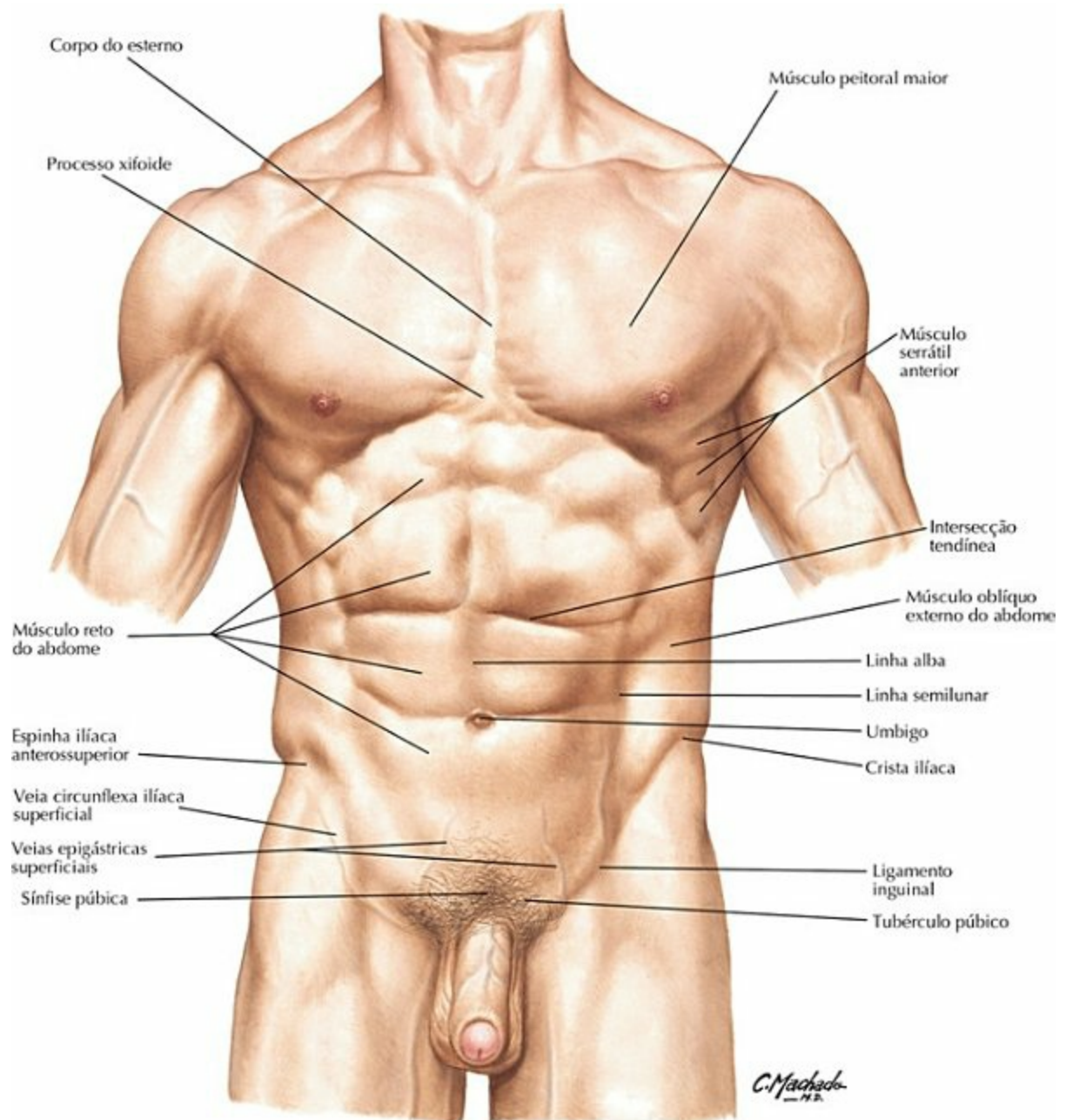
Anatomia Seccional

Pranchas 321-328

- 321. Parede do Abdome e Visceras: Corte Sagital Paramediano
- 322. Imagens do Abdome: Cortes Transversais (“Axiais”) de Tomografia Computadorizada
- 323. Imagens do Abdome: Cortes Transversais (“Axiais”) de Tomografia Computadorizada (continuação)
- 324. Corte Transversal do Abdome no Nível de TX, Junção Esofagogastrica
- 325. Corte Transversal do Abdome no Nível de TXII, Inferior ao Processo Xifoide
- 326. Corte Transversal do Abdome no Nível de TXII-LI, Disco Intervertebral
- 327. Corte Transversal do Abdome no Nível de LI-II, Disco Intervertebral
- 328. Corte Transversal do Abdome no Nível de LIII-IV

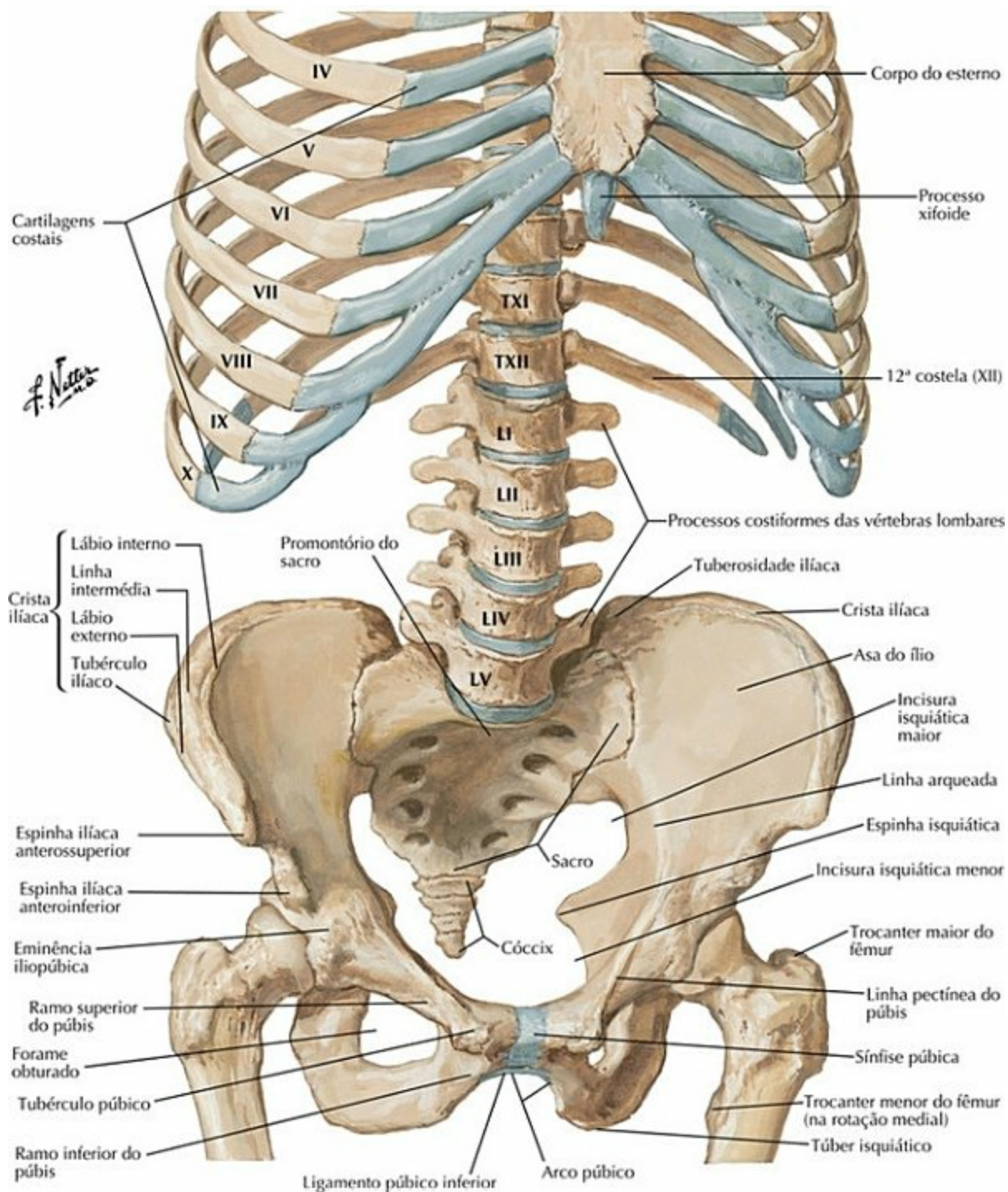
Tabela de Músculos

Abdome: Anatomia de Superfície



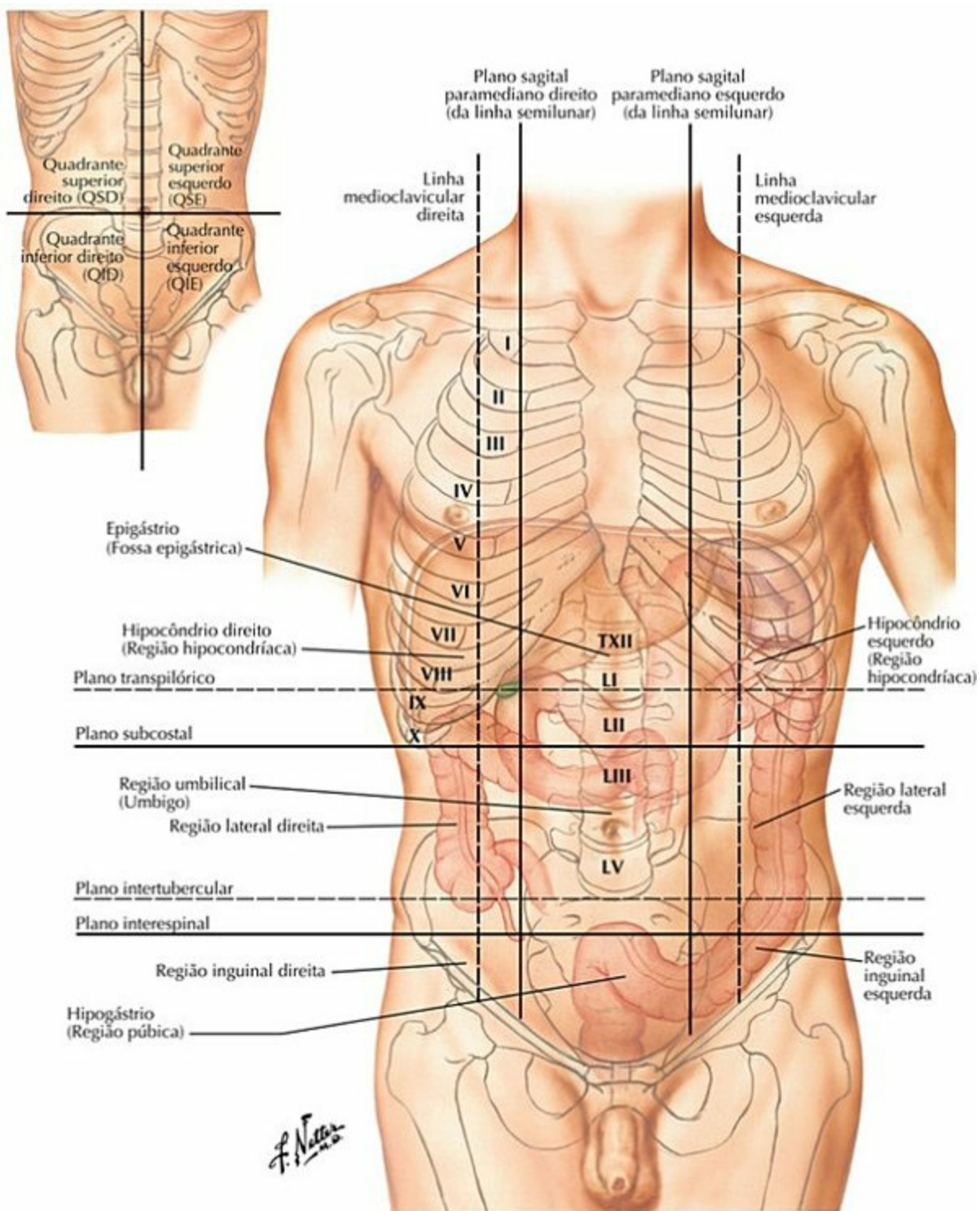
PRANCHA 242 Anatomia Topográfica

Arcabouço Ósseo do Abdome



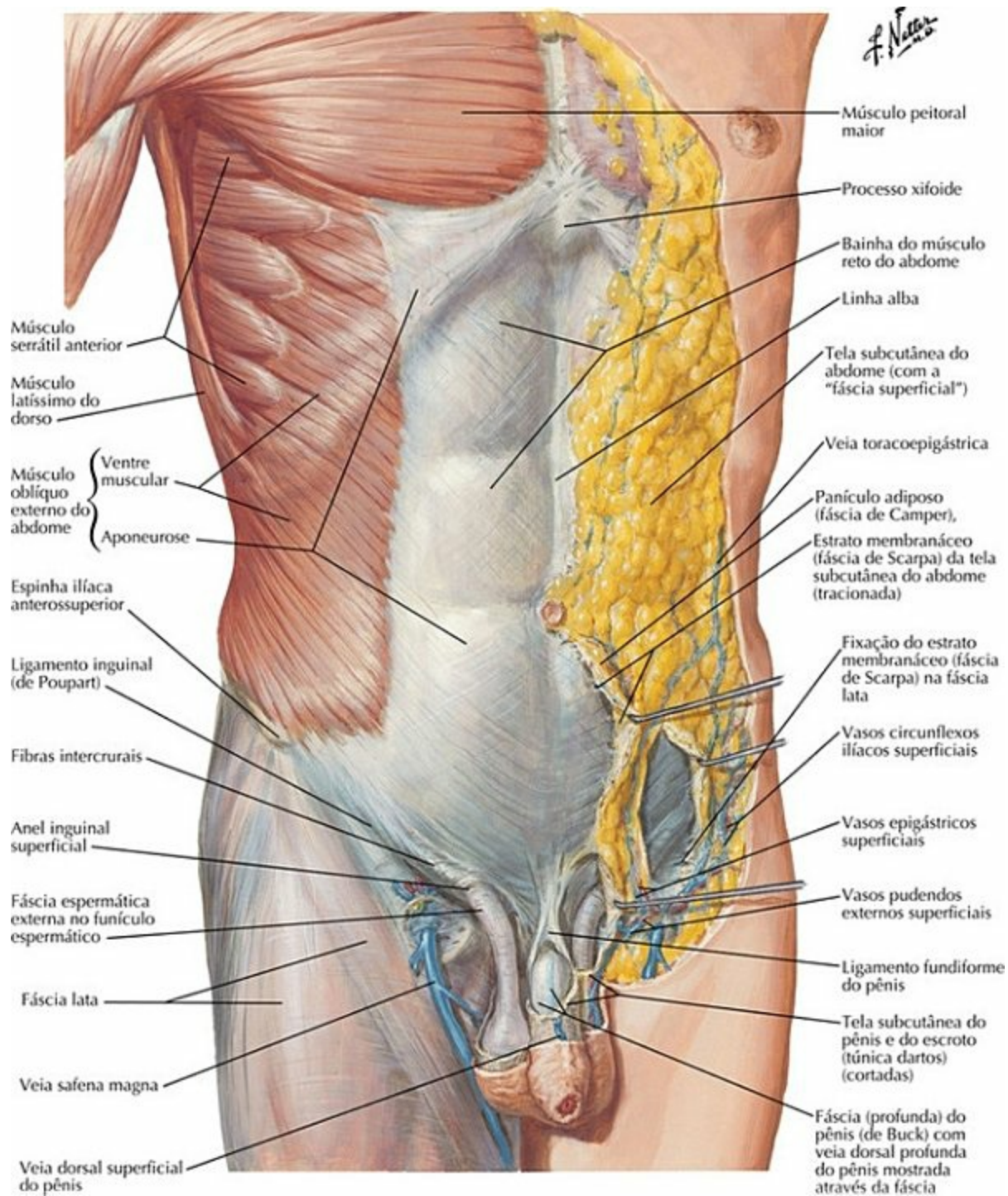
PRANCHA 243 Parede do Abdome
 Veja também **Pranchas 183, 332**

Regiões e Planos do Abdome



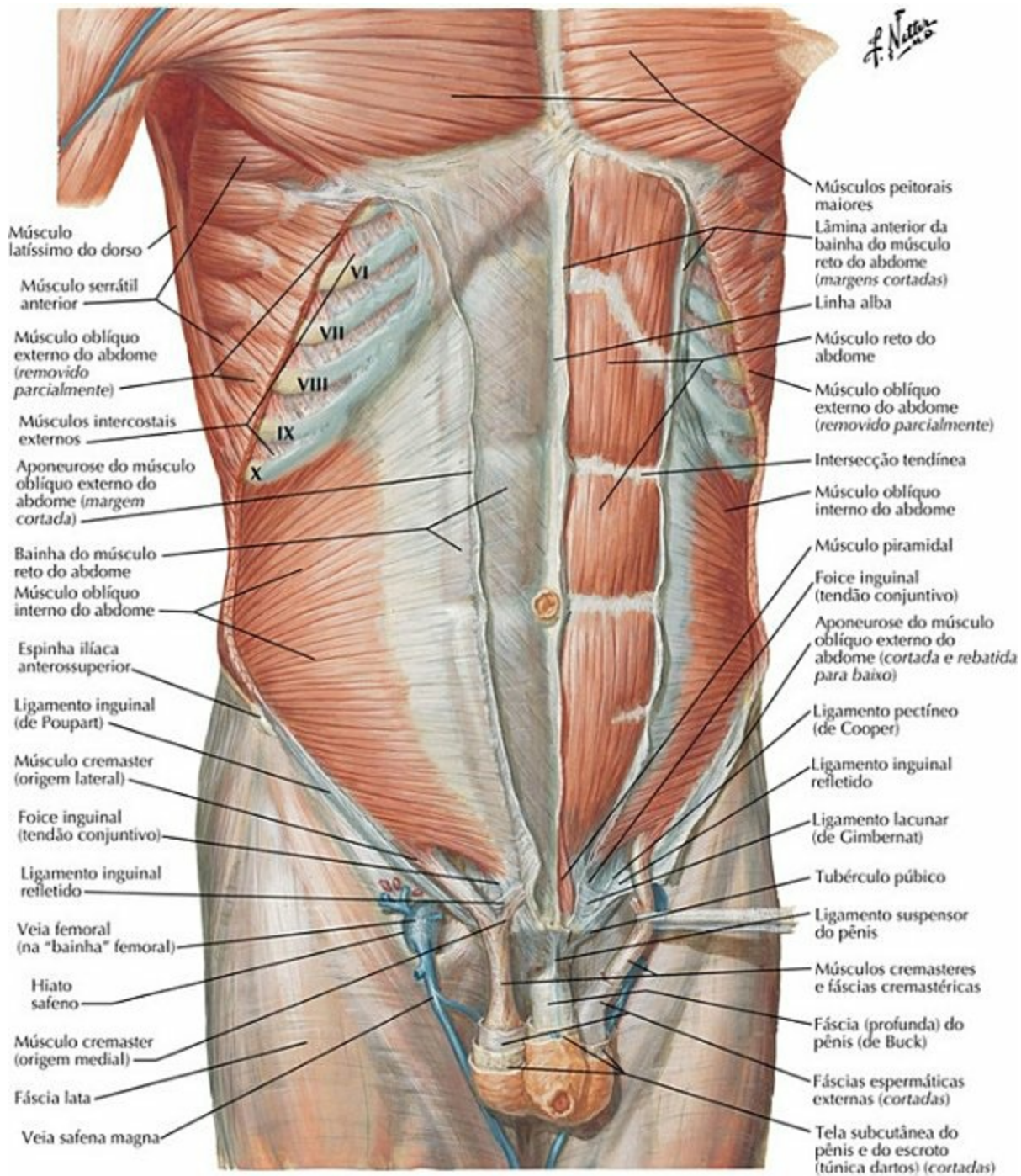
PRANCHA 244 Parede do Abdome
Veja também **Prancha 193**

Parede Anterior do Abdome: Dissecação Superficial



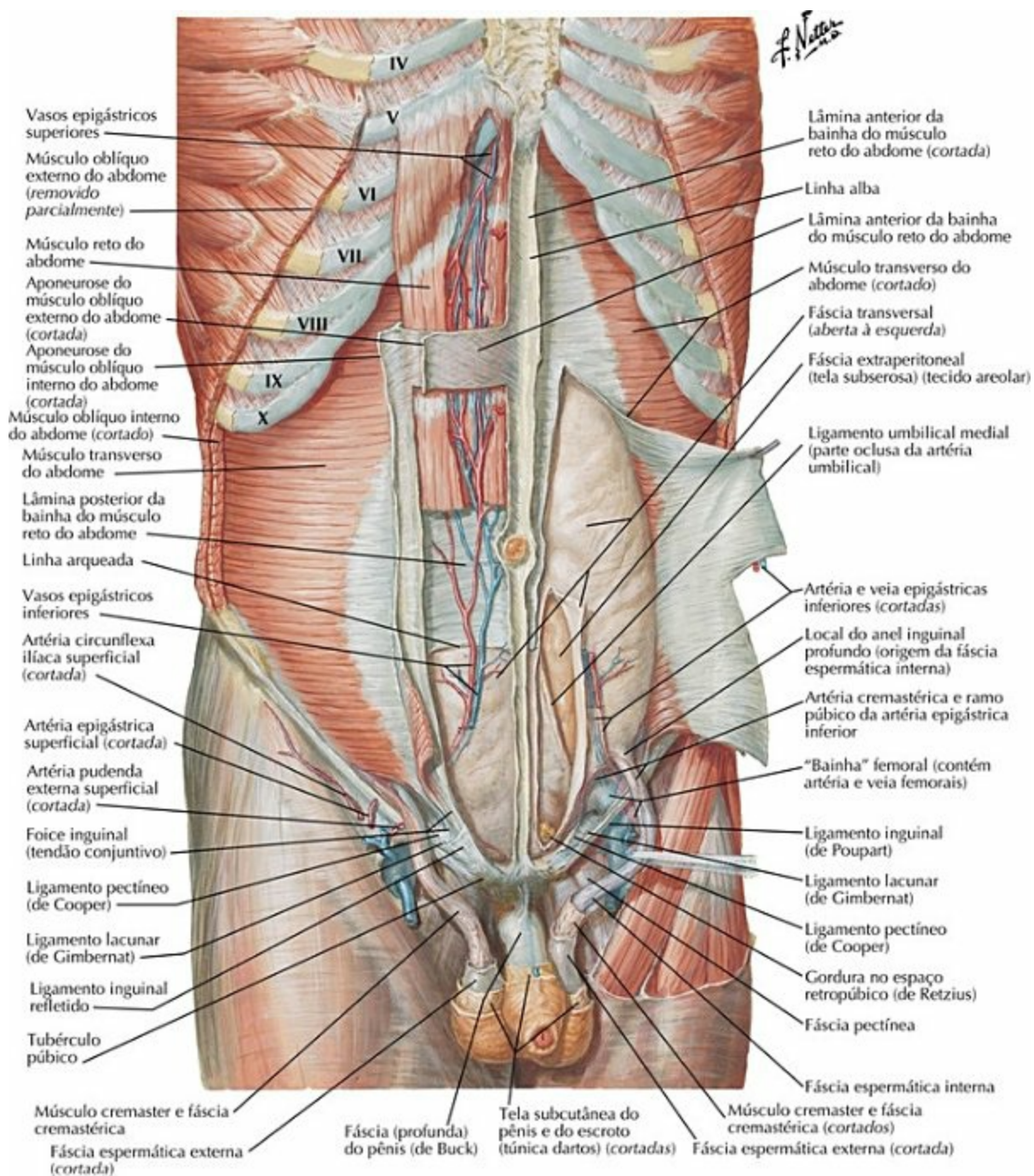
PRANCHA 245 Parede do Abdome
 Veja também **Pranchas 252, 329**

Parede Anterior do Abdome: Dissecação Média



PRANCHA 246 Parede do Abdome
Veja também **Pranchas 185, 186**

Parede Anterior do Abdome: Dissecação Profunda

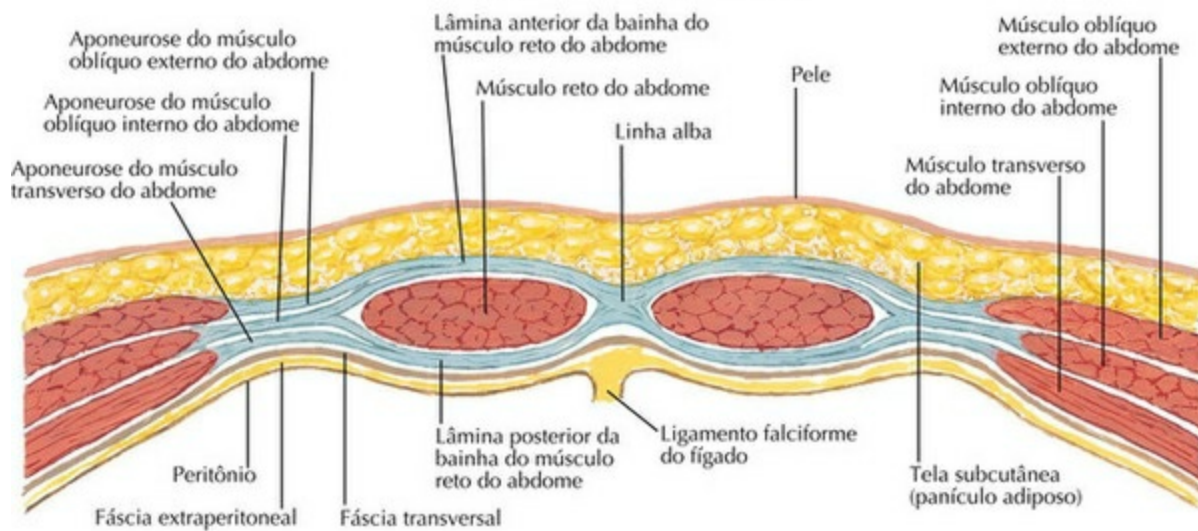


PRANCHA 247 Parede do Abdome

Veja também [Pranchas 186, 251](#)

Bainha do Músculo Reto do Abdome: Cortes Transversais

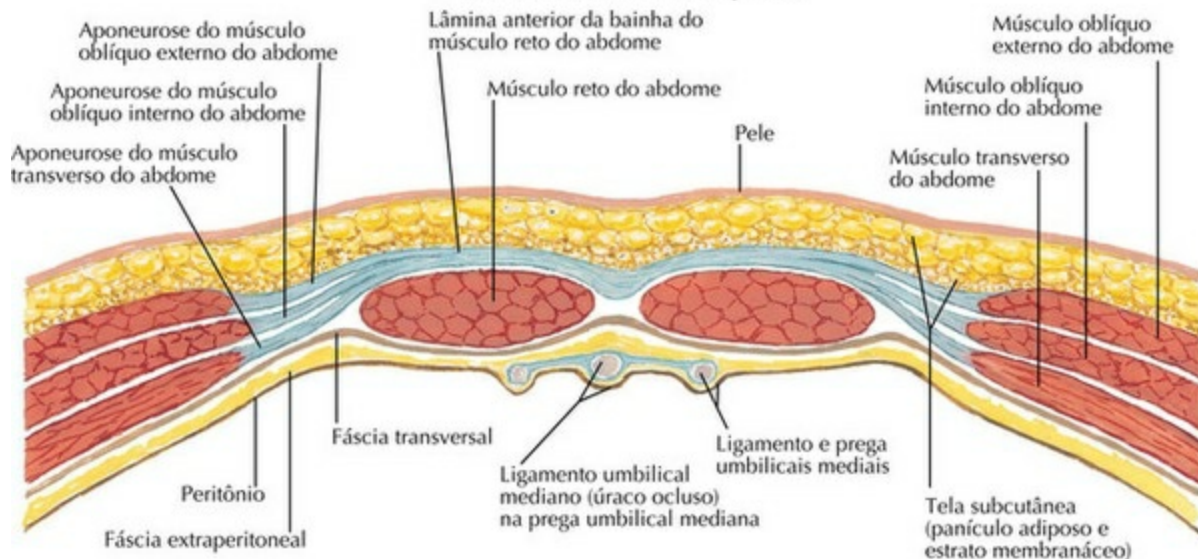
Corte acima da linha arqueada



A aponeurose do músculo oblíquo interno do abdome divide-se para formar as lâminas anterior e posterior da bainha do músculo reto do abdome.

A aponeurose do músculo oblíquo externo do abdome une-se à lâmina anterior da bainha; a aponeurose do músculo transverso do abdome une-se à lâmina posterior. As lâminas anterior e posterior da bainha do músculo reto do abdome unem-se medialmente para formar a linha alba.

Corte abaixo da linha arqueada

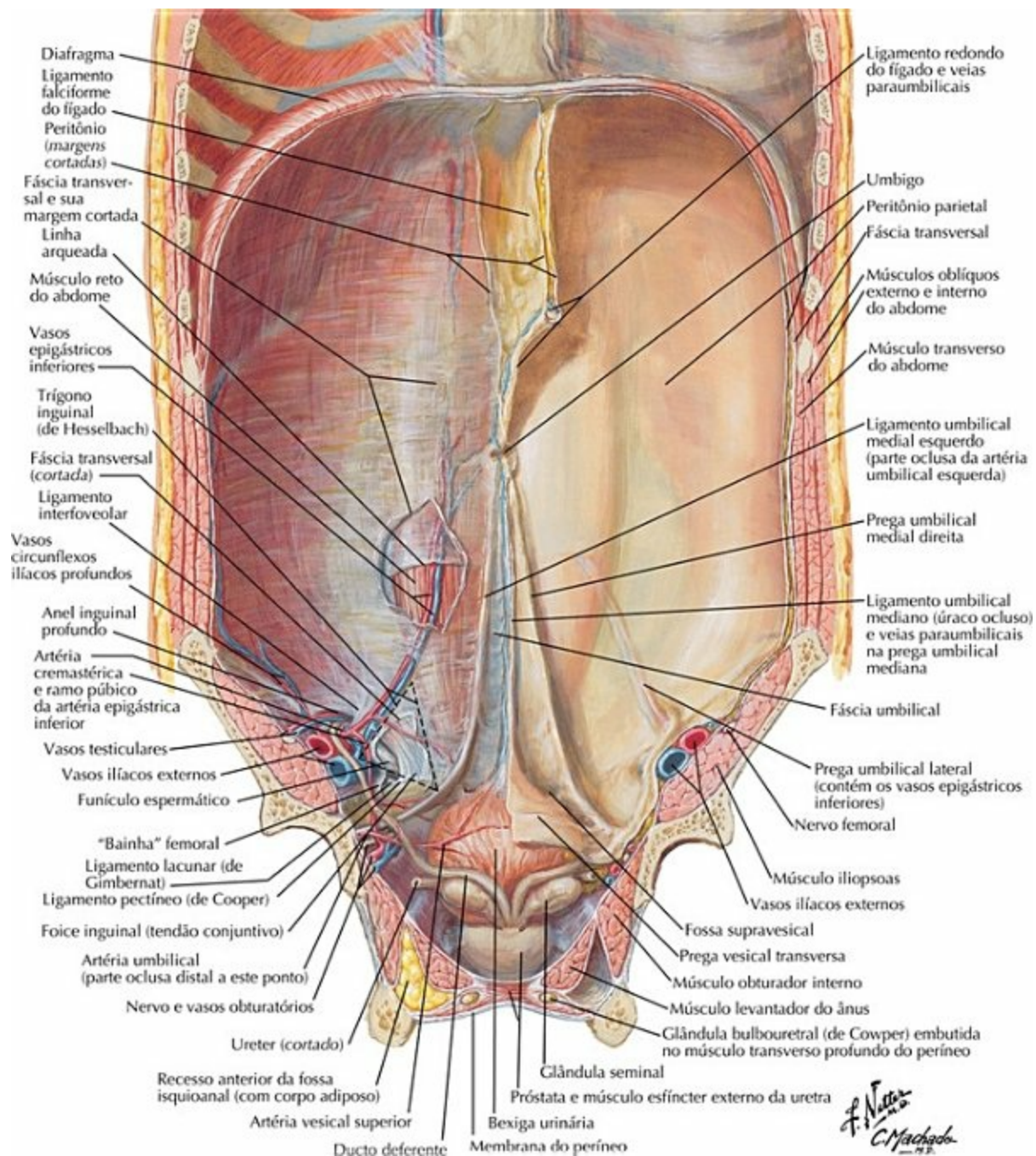


A aponeurose do músculo oblíquo interno do abdome não se divide neste nível, mas passa completamente anterior ao músculo reto do abdome e funde-se com ambas as aponeuroses dos músculos oblíquo externo e transverso do abdome. Deste modo, a lâmina posterior da bainha do músculo reto do abdome está praticamente ausente abaixo da linha arqueada, e o músculo reto do abdome repousa diretamente na fáscia transversal.

F. Netto

PRANCHA 248 Parede do Abdome

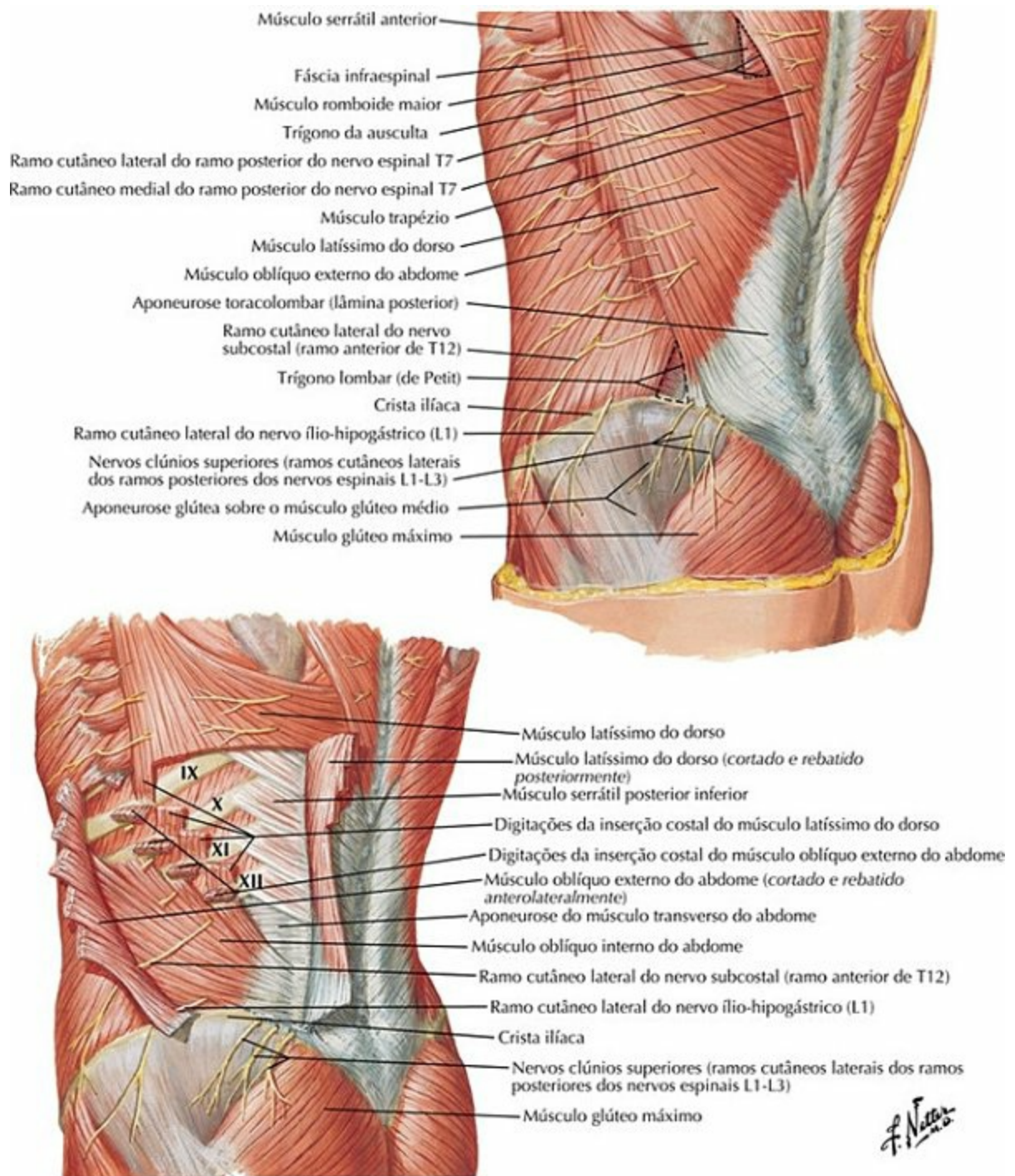
Parede Anterior do Abdome: Vista Interna



PRANCHA 249 Parede do Abdome

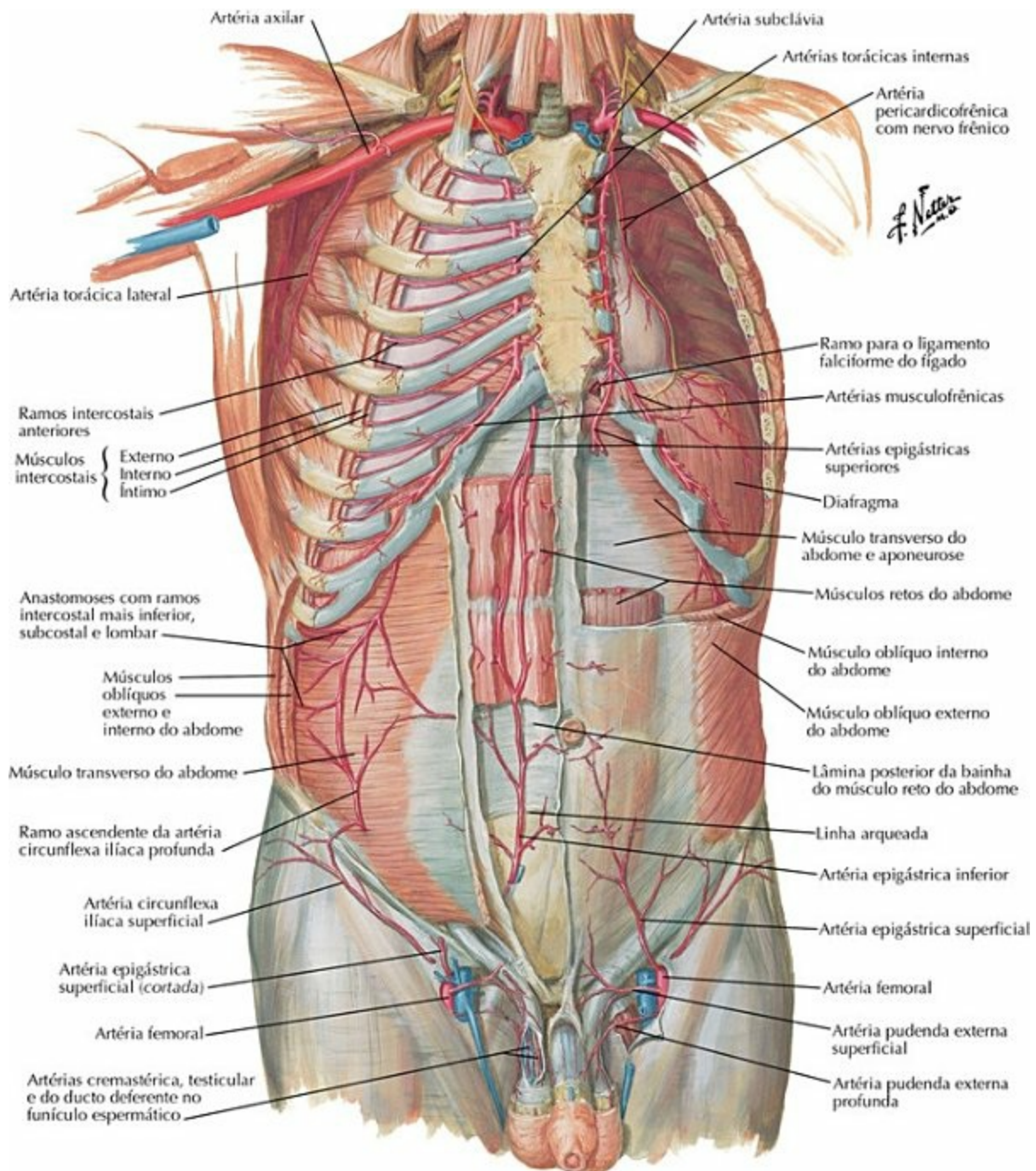
Veja também **Pranchas 362, 381**

Parede Posterolateral do Abdome



PRANCHA 250 Parede do Abdome

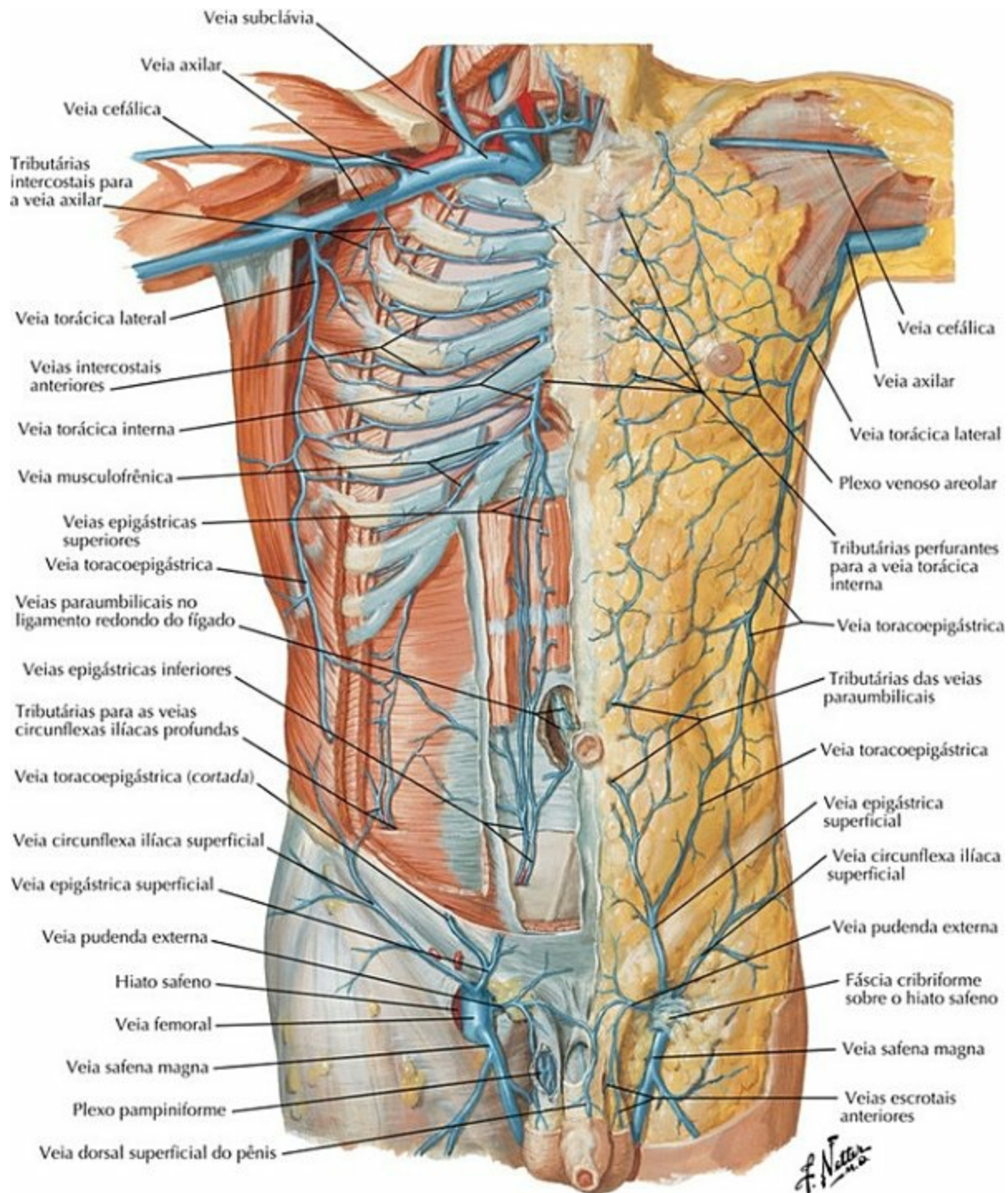
Artérias da Parede Anterior do Abdome



PRANCHA 251 Parede do Abdome

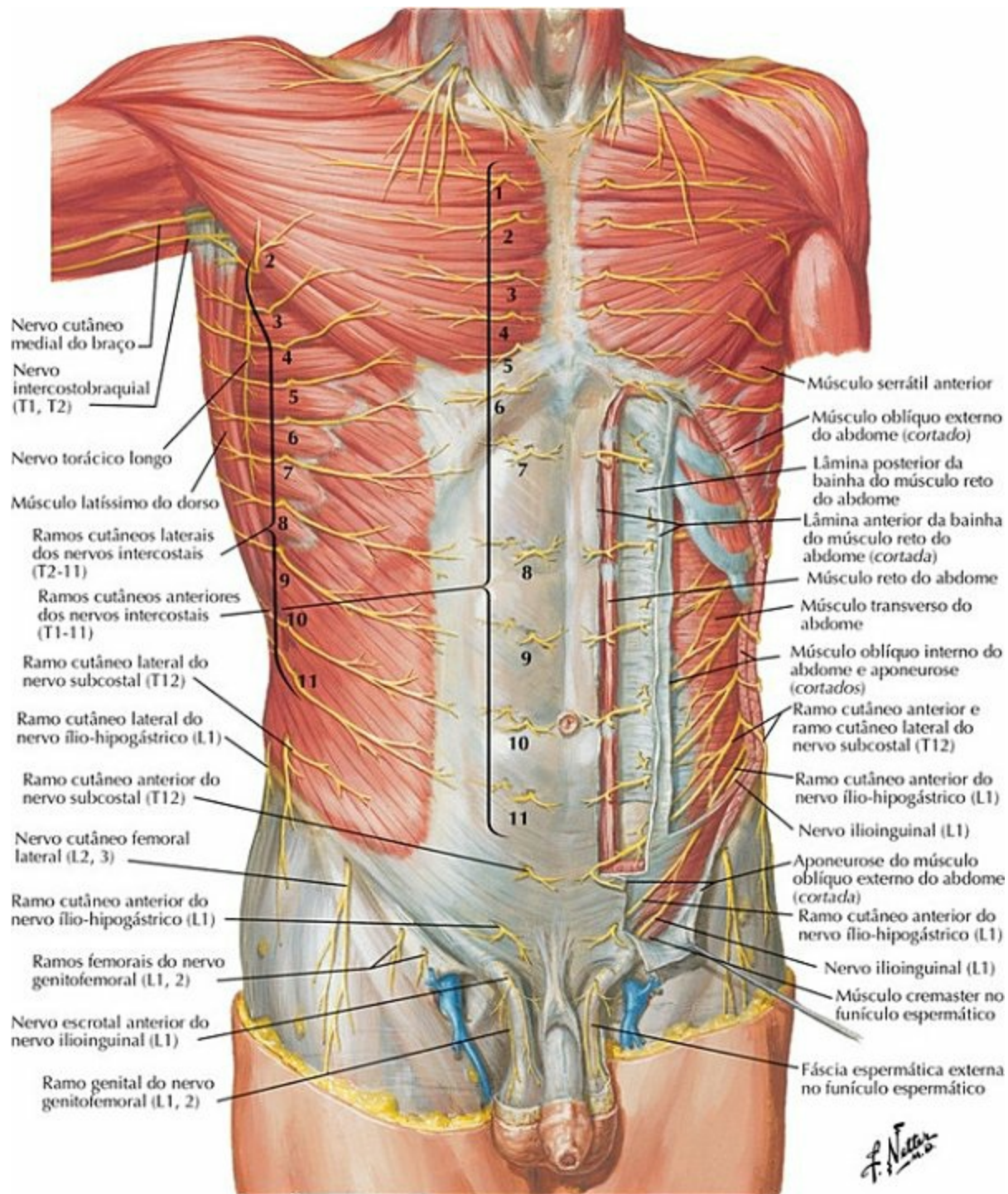
Veja também **Prancha 247**

Veias da Parede Anterior do Abdome



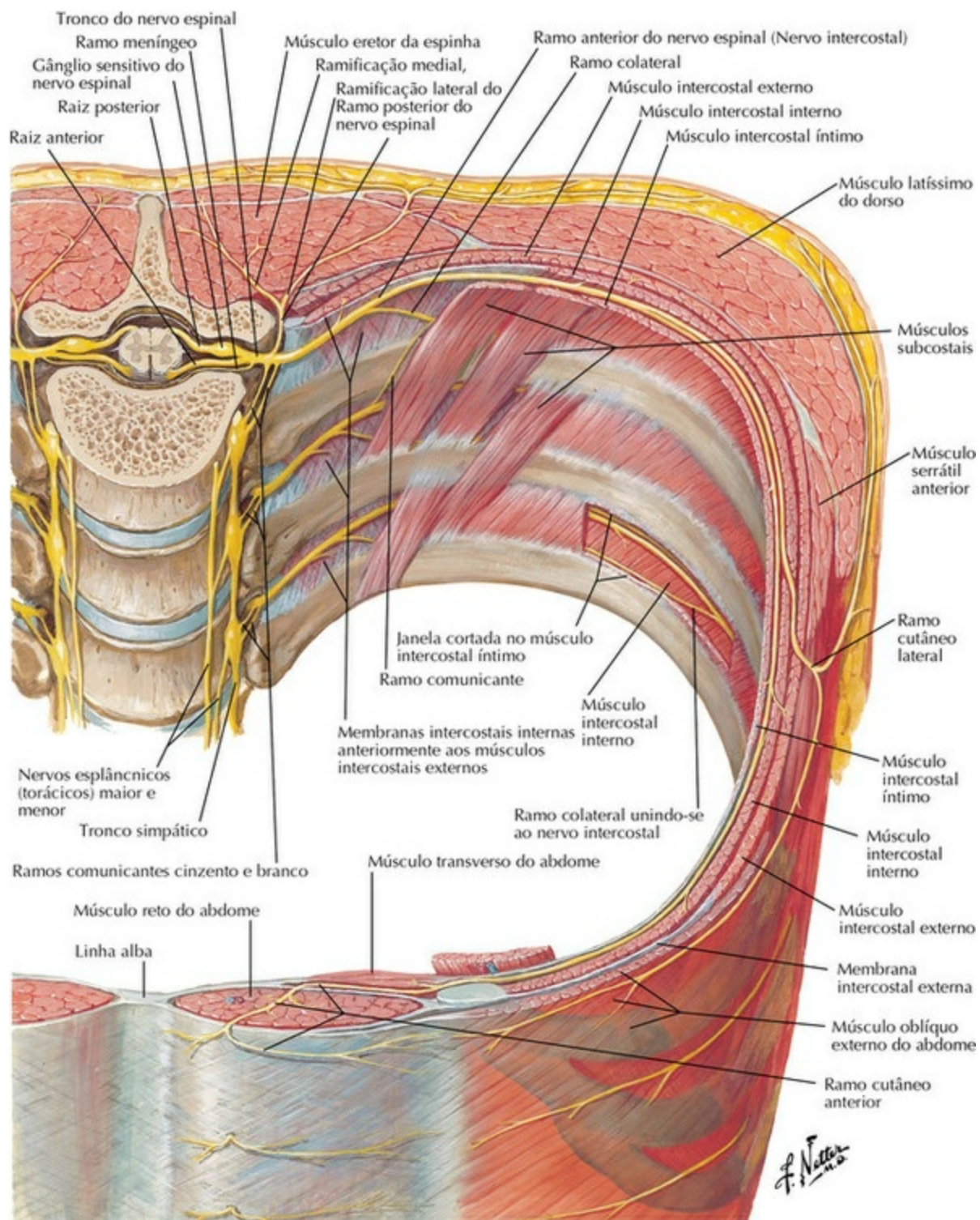
PRANCHA 252 Parede do Abdome
 Veja também **Pranchas 245, 248**

Nervos da Parede Anterior do Abdome



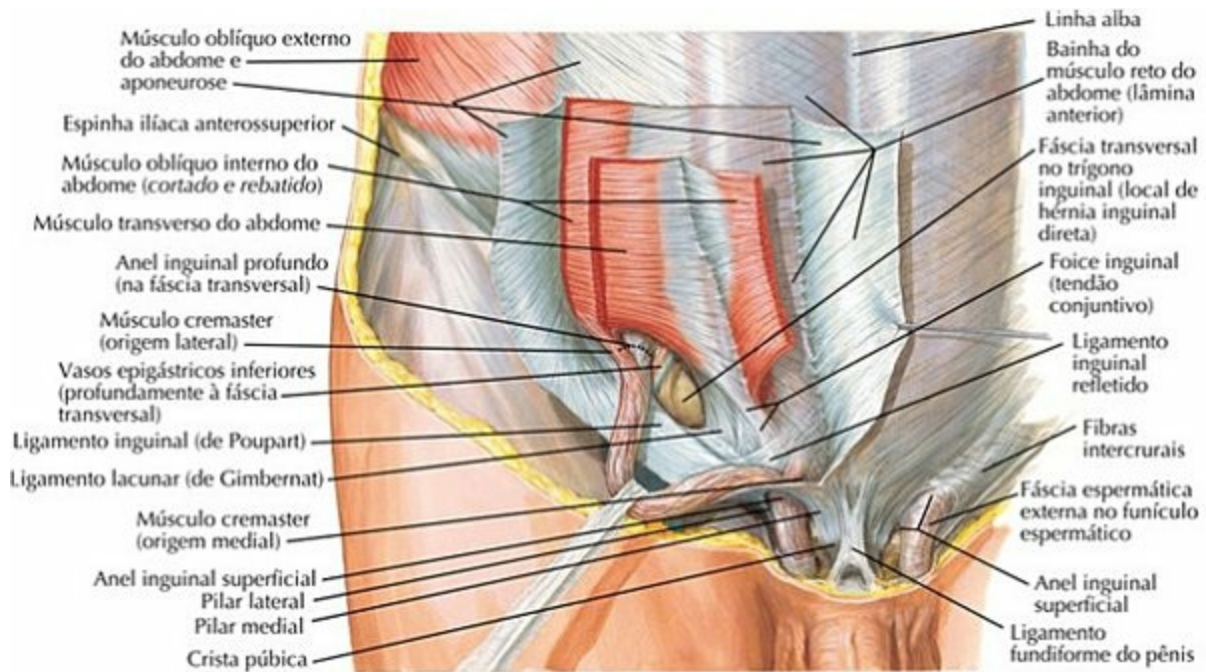
PRANCHA 253 Parede do Abdome
 Veja também **Pranchas 177, 185, 254**

Nervos Intercostais

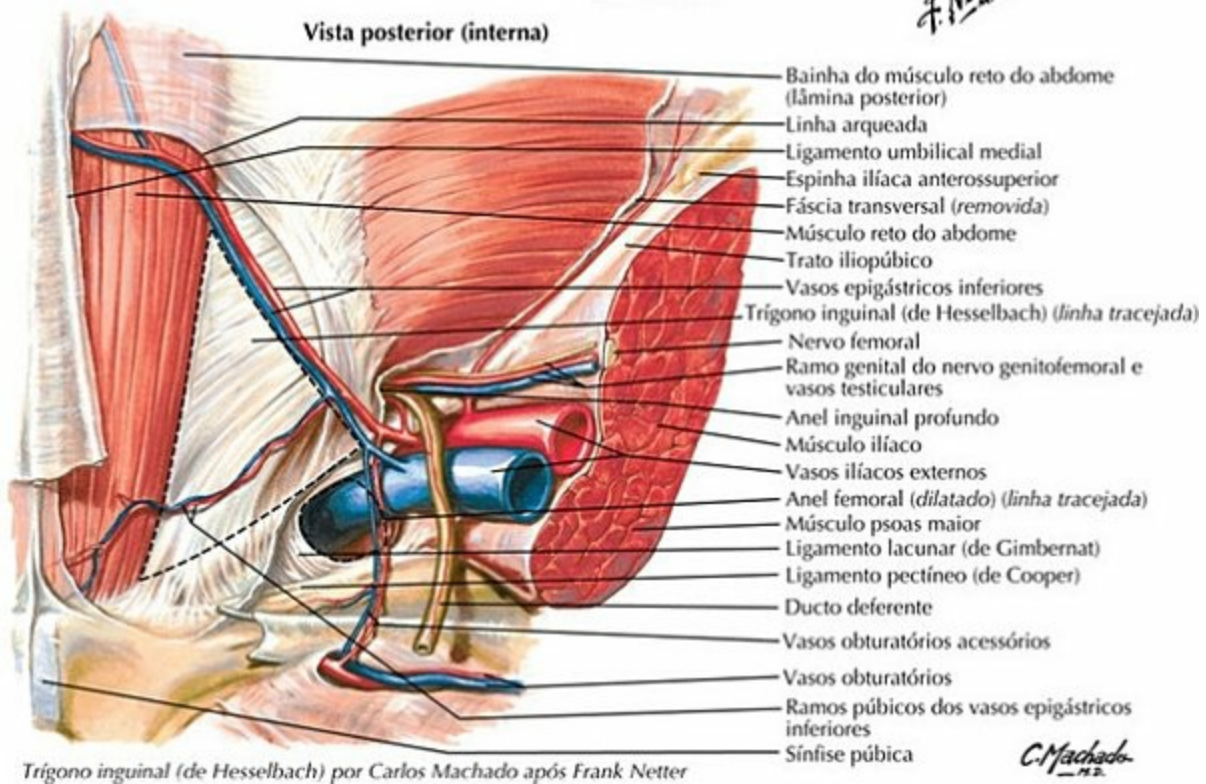


PRANCHA 254 Parede do Abdome

Região Inguinal: Dissecações



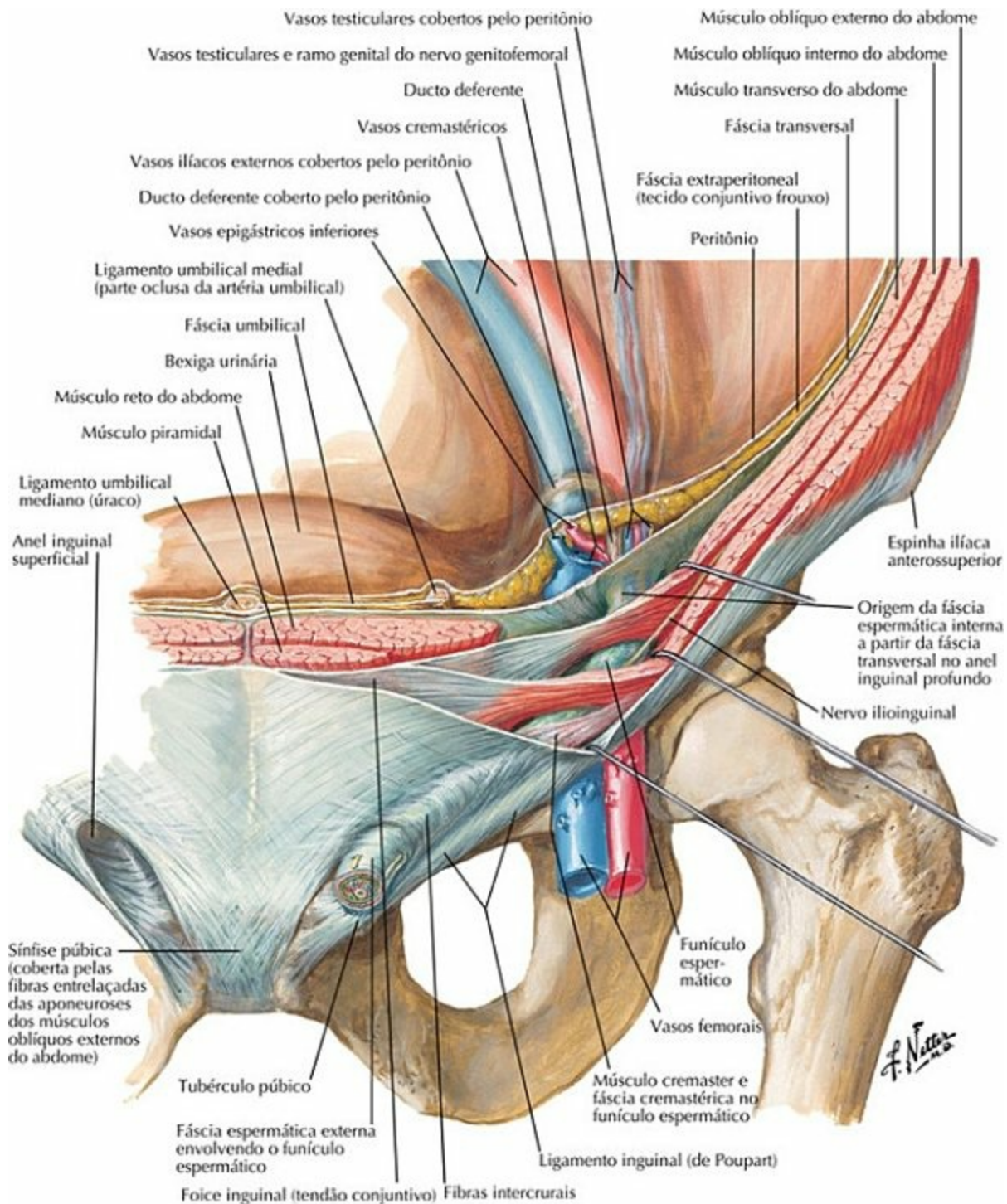
Vista anterior



Trígono inguinal (de Hesselbach) por Carlos Machado após Frank Netter

PRANCHA 255 Parede do Abdome
Veja também **Pranchas 247, 249**

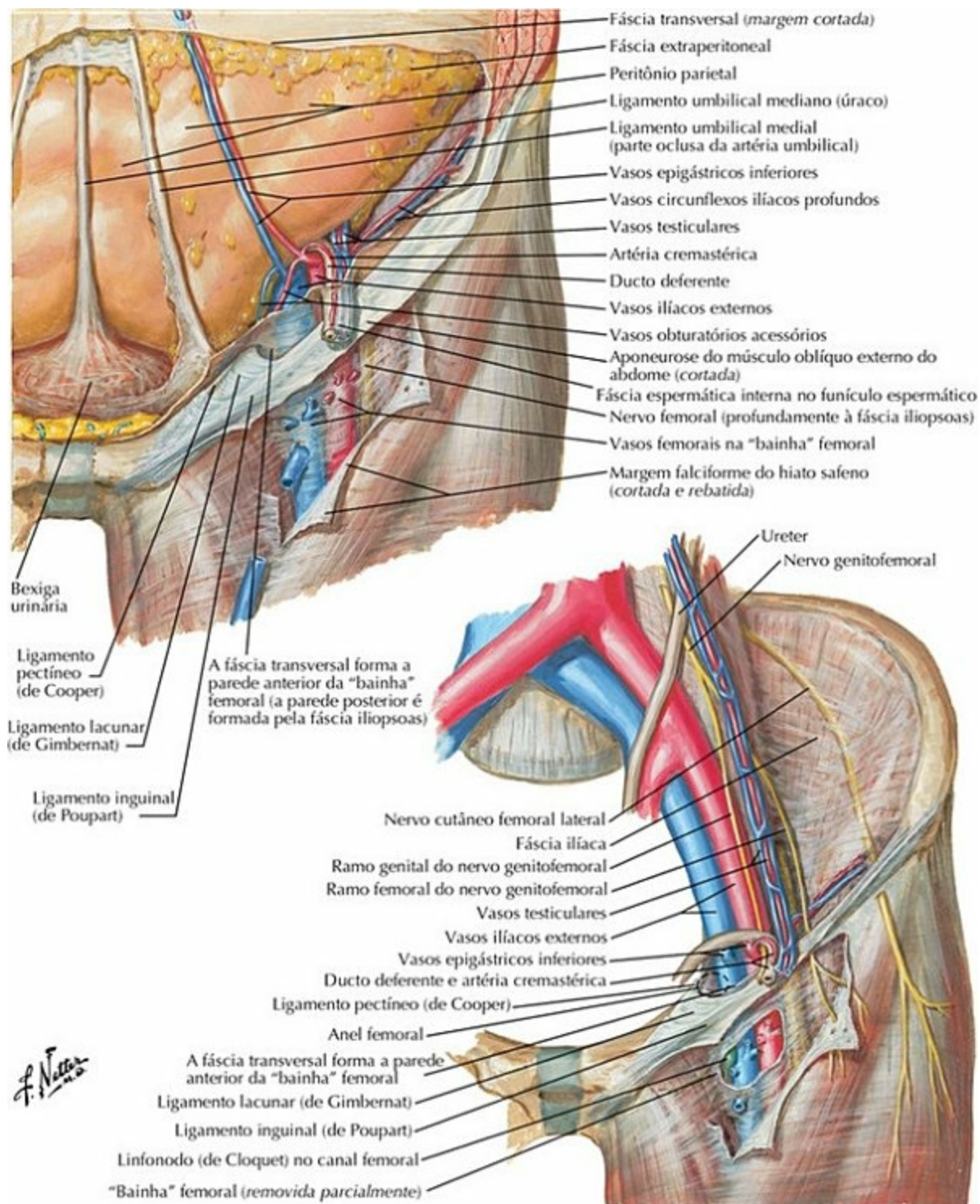
Canal Inguinal e Funículo Espermático



PRANCHA 256 Parede do Abdome

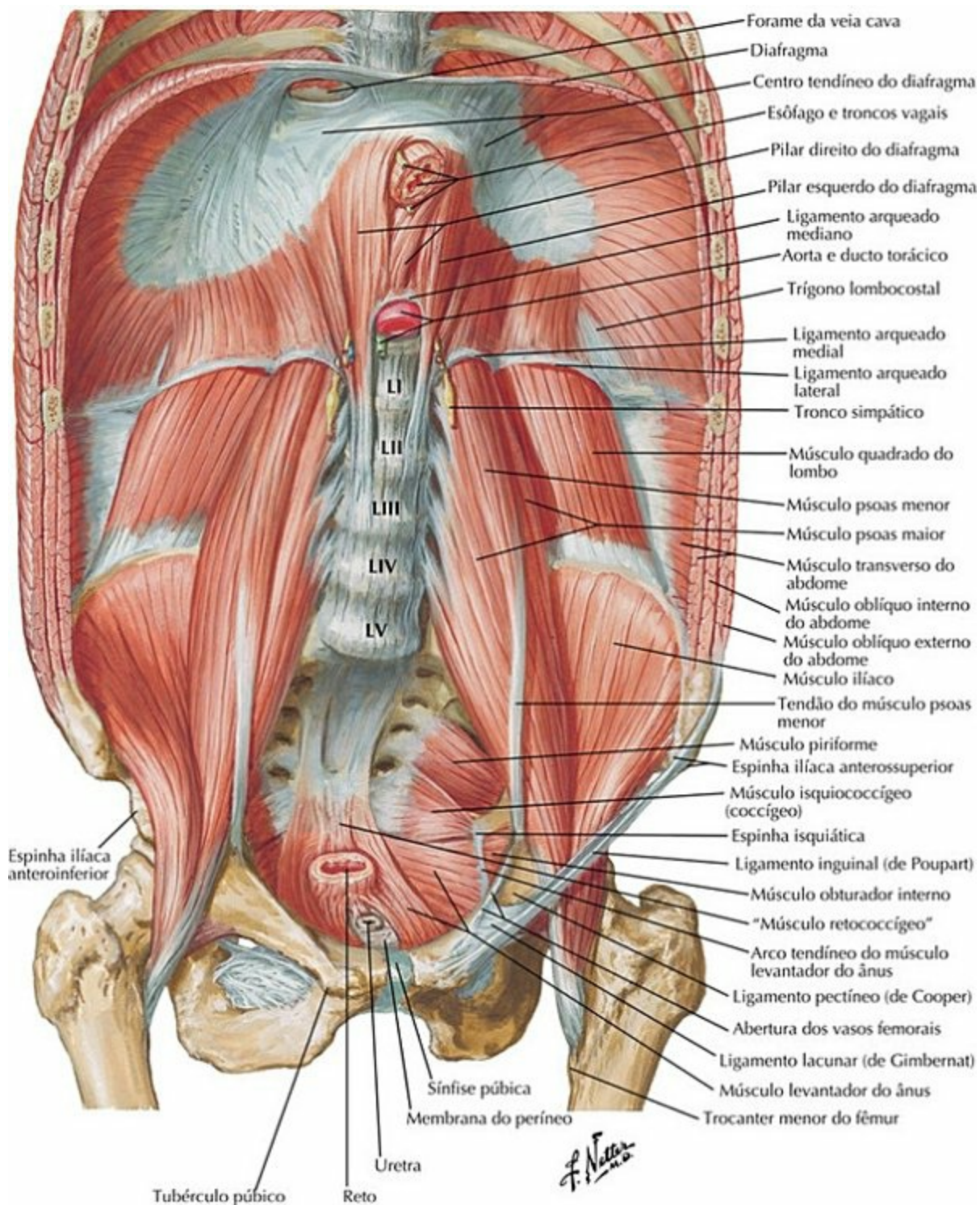
Veja também **Pranchas 245, 253**

“Bainha” Femoral e Canal Inguinal



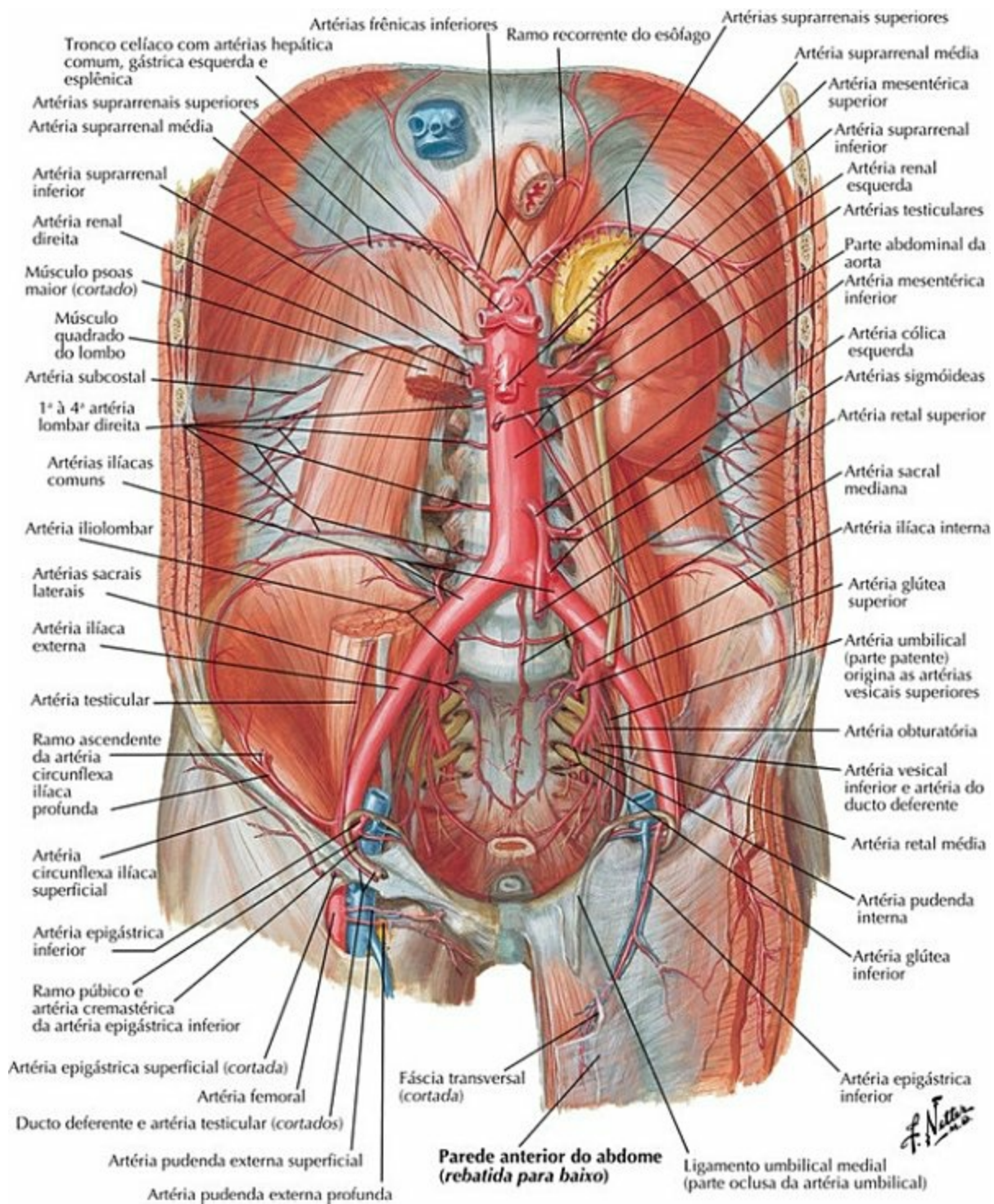
PRANCHA 257 Parede do Abdome
 Veja também **Pranchas 246, 247, 249**

Parede Posterior do Abdome: Vista Interna



PRANCHA 258 Parede do Abdome
Veja também **Pranchas 206, 236**

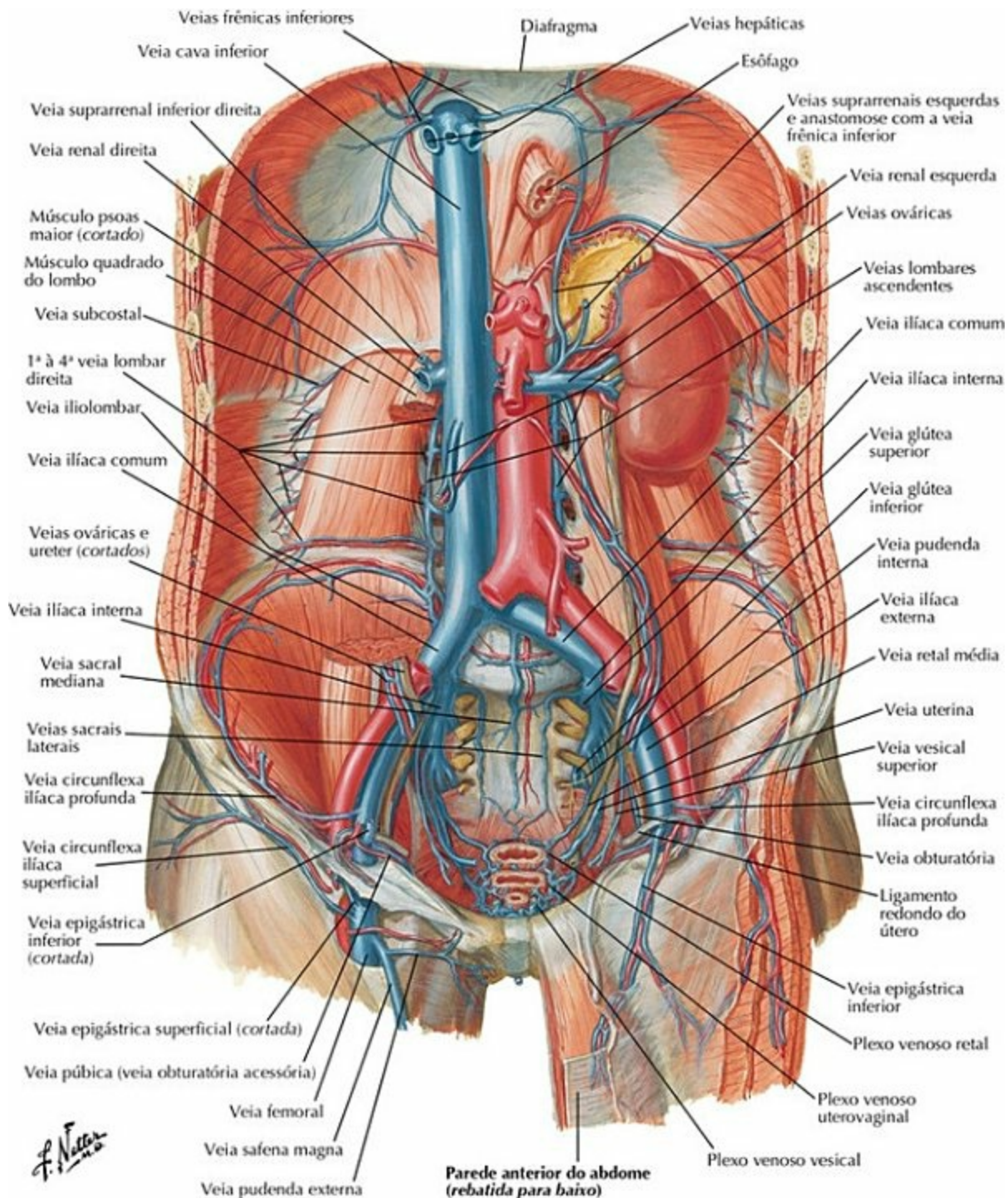
Artérias da Parede Posterior do Abdome



PRANCHA 259 Parede do Abdome

Veja também [Pranchas 192, 379, 381](#)

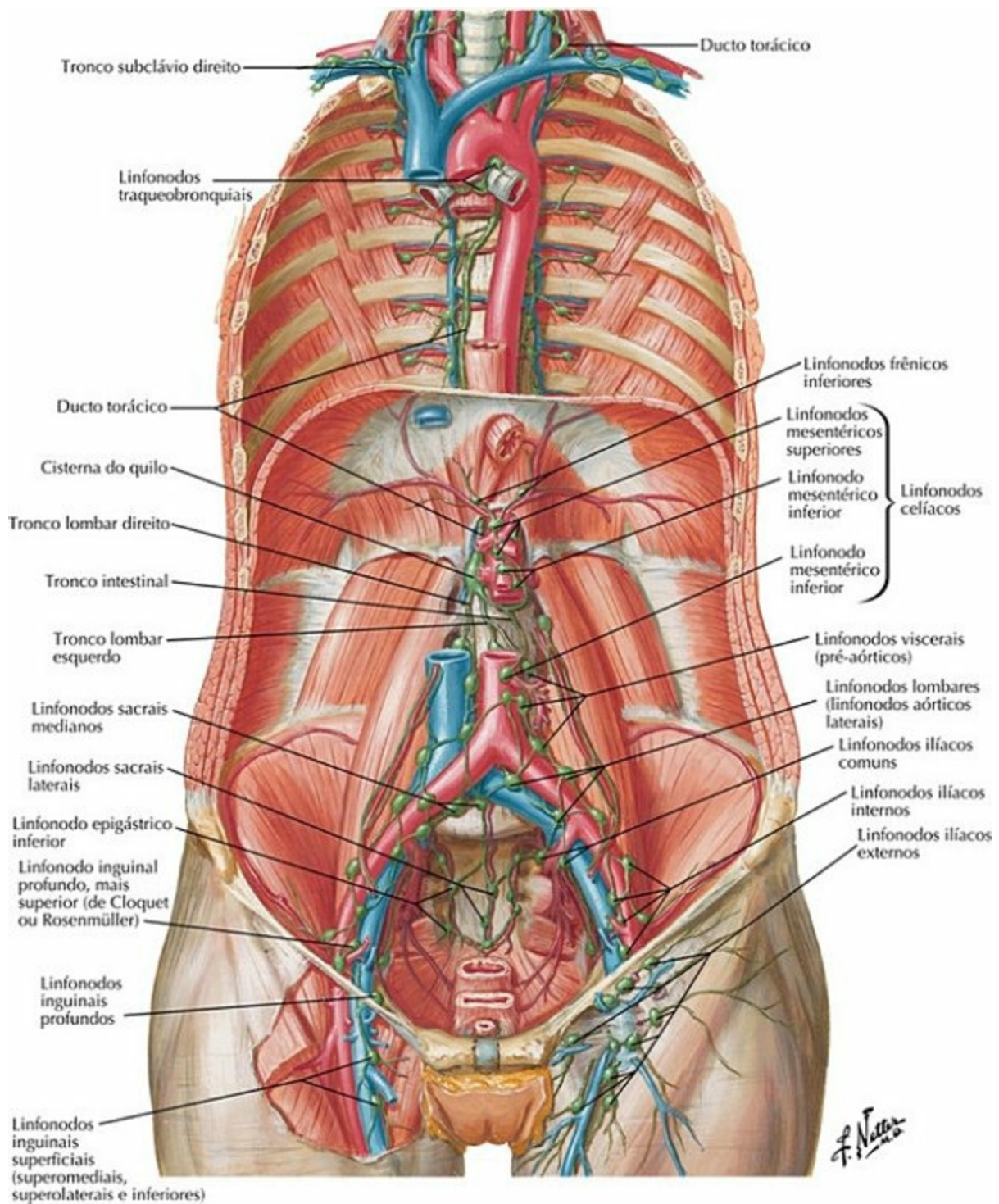
Veias da Parede Posterior do Abdome



PRANCHA 260 Parede do Abdome

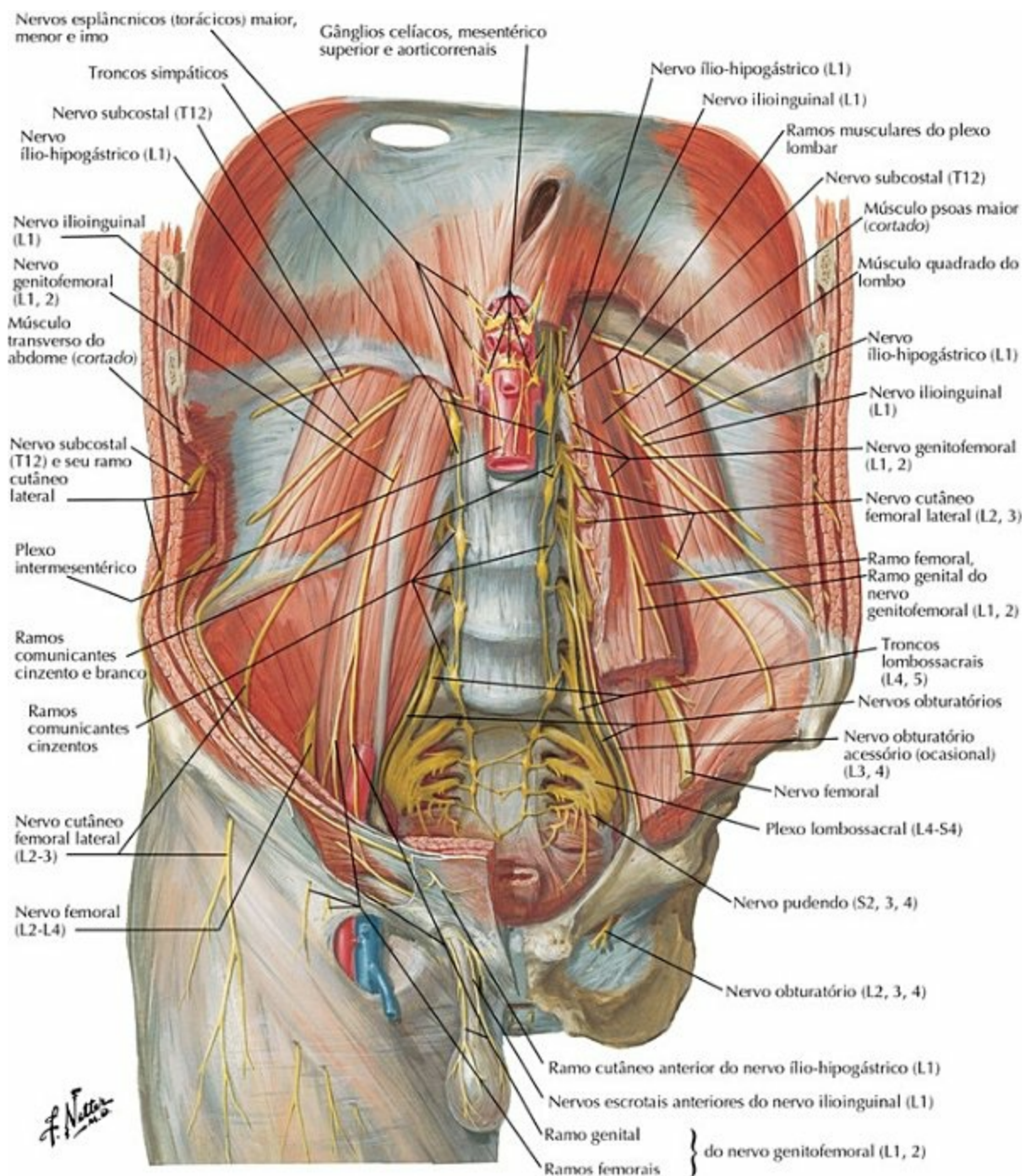
Veja também **Pranchas 379, 381**

Vasos Linfáticos e Linfonodos da Parede Posterior do Abdome



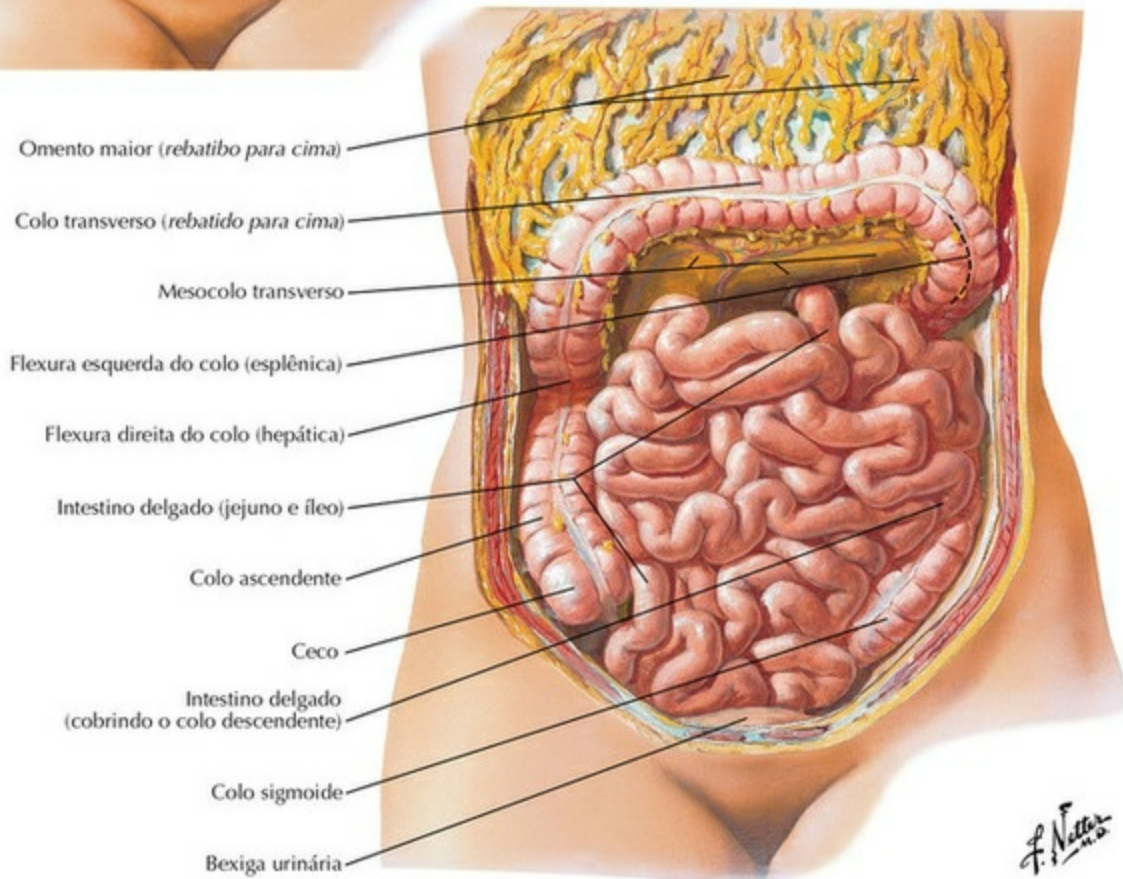
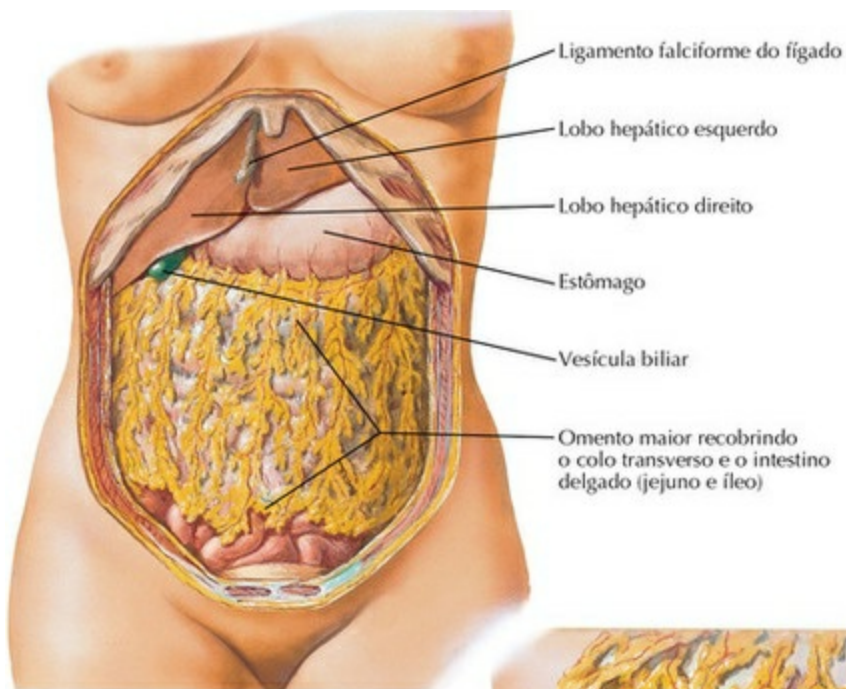
PRANCHA 261 Parede do Abdome
Veja também **Pranchas 235, 384**

Nervos da Parede Posterior do Abdome



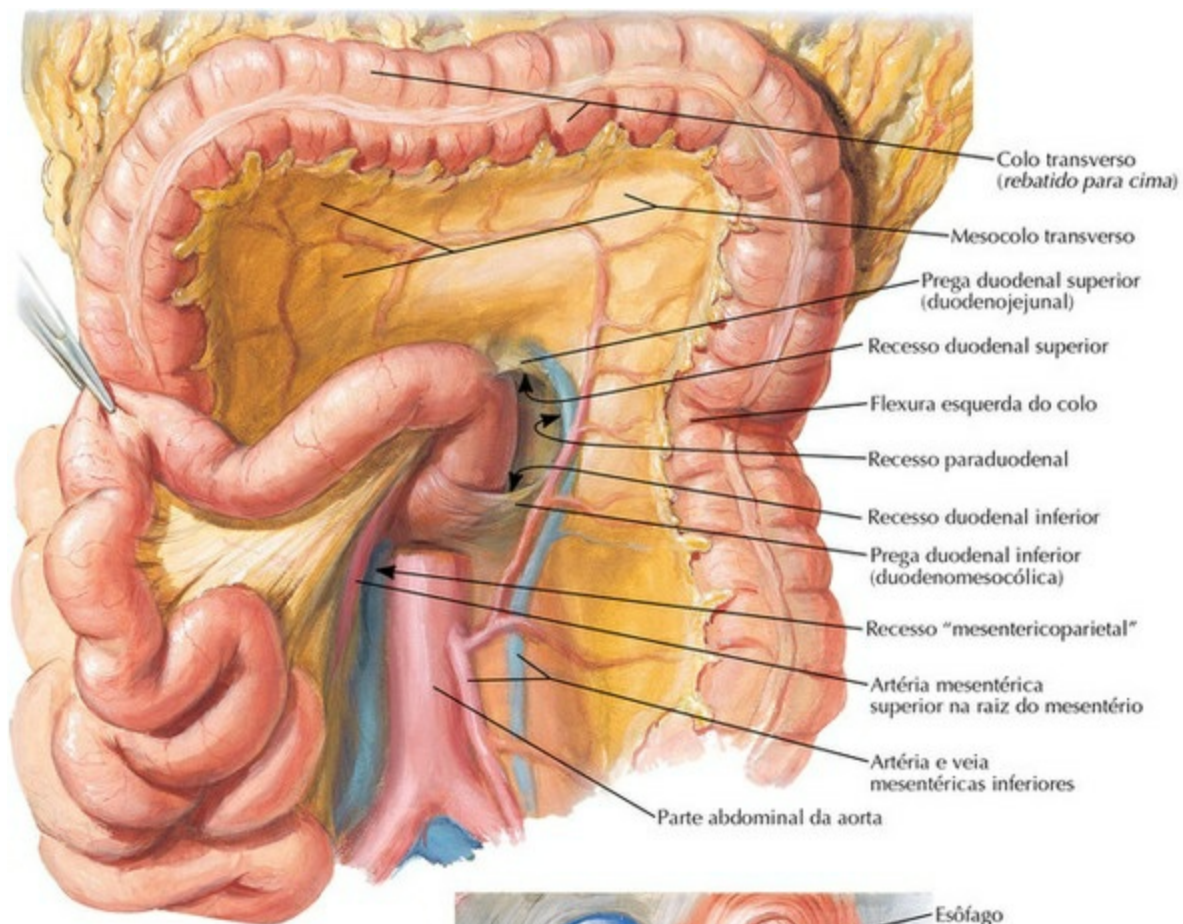
PRANCHA 262 Parede do Abdome
Veja também **Pranchas 192, 388**

Omento Maior e Vísceras Abdominais



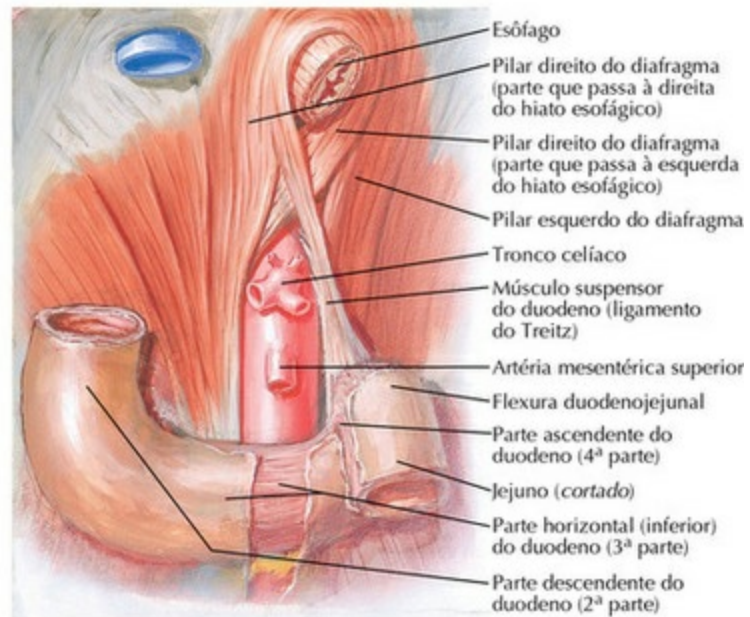
PRANCHA 263 Cavidade Peritoneal

Relações Peritoneais (Mesentéricas) dos Intestinos



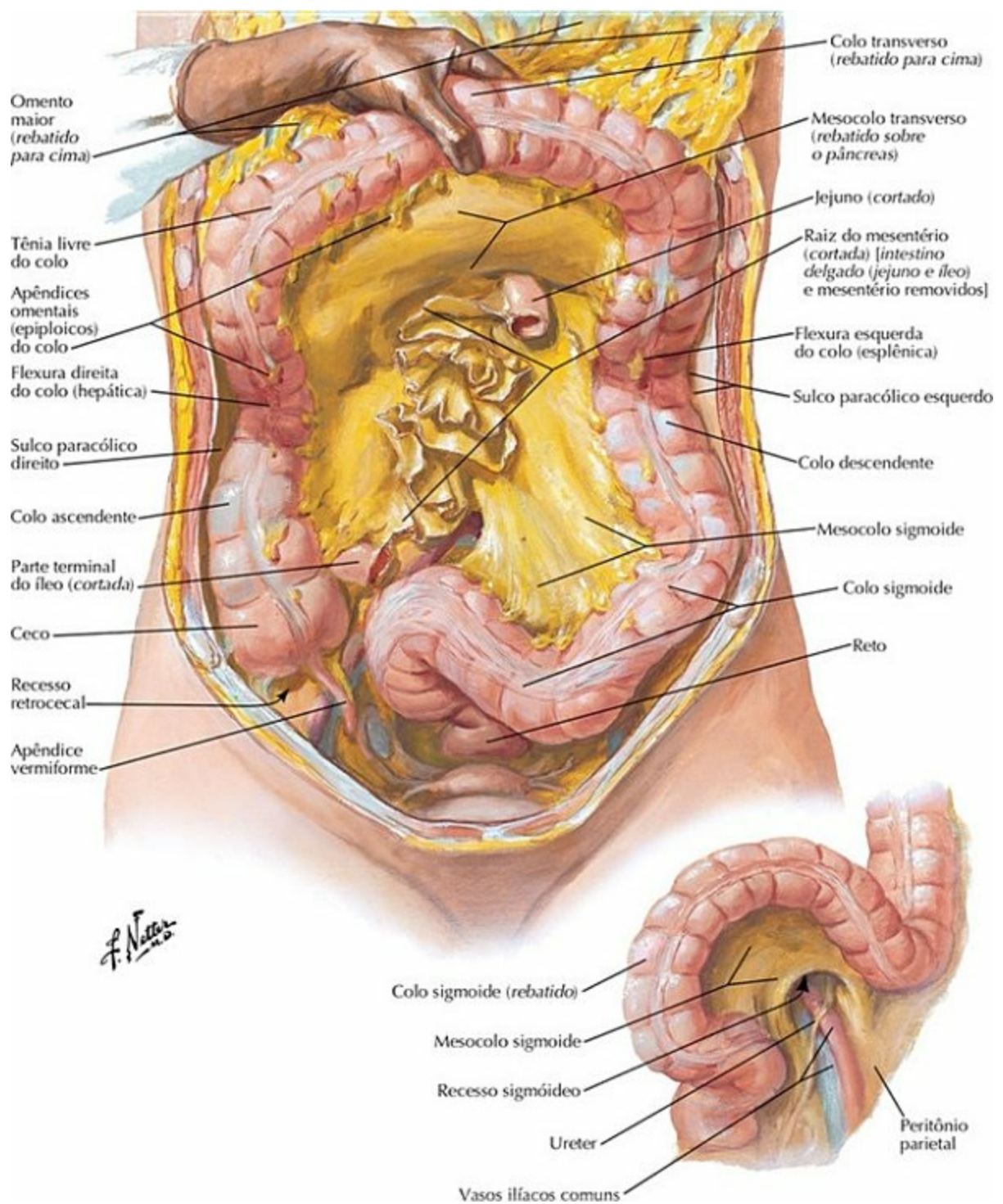
Exposição do músculo suspensor do duodeno (ligamento de Treitz)

F. Netter M.D.



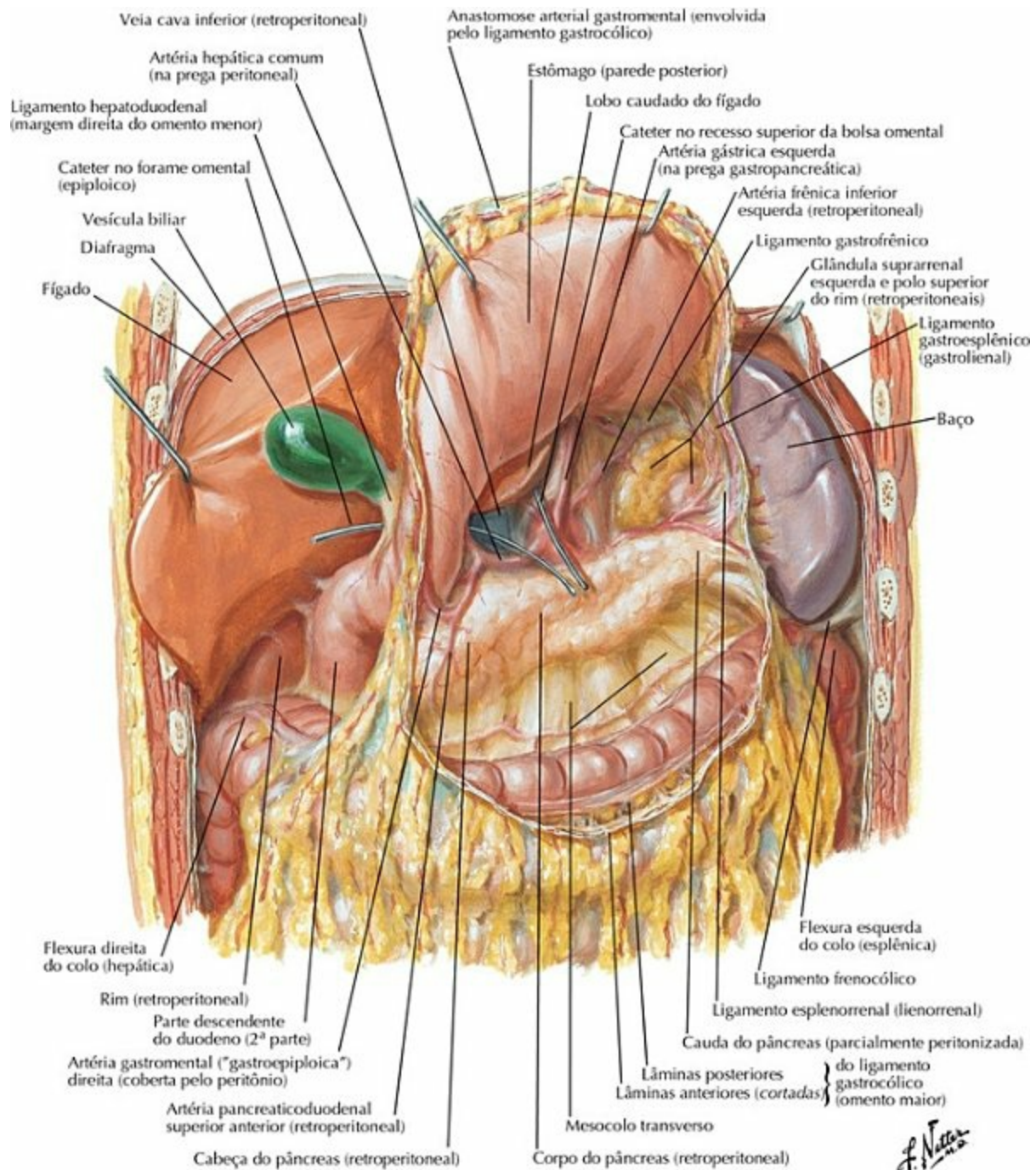
PRANCHA 264 Cavidade Peritoneal
Veja também **Prancha 281**

Relações Peritoneais (Mesentéricas) dos Intestinos (continuação)



PRANCHA 265 Cavity Peritoneal
Veja também **Prancha 288**

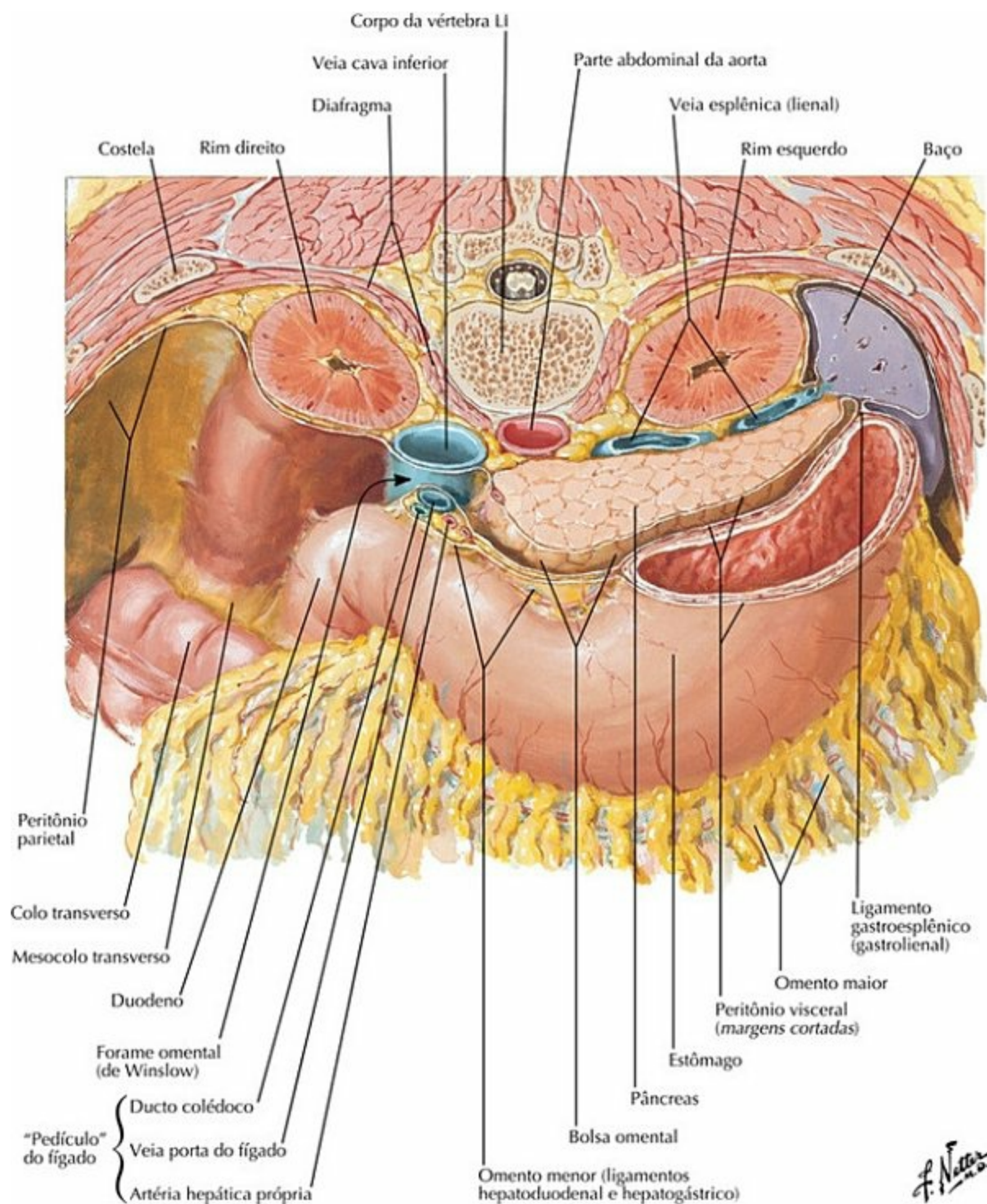
Bolsa Omental: Estômago Rebatido



PRANCHA 266 Cavidade Peritoneal

Veja também **Pranchas 281, 284**

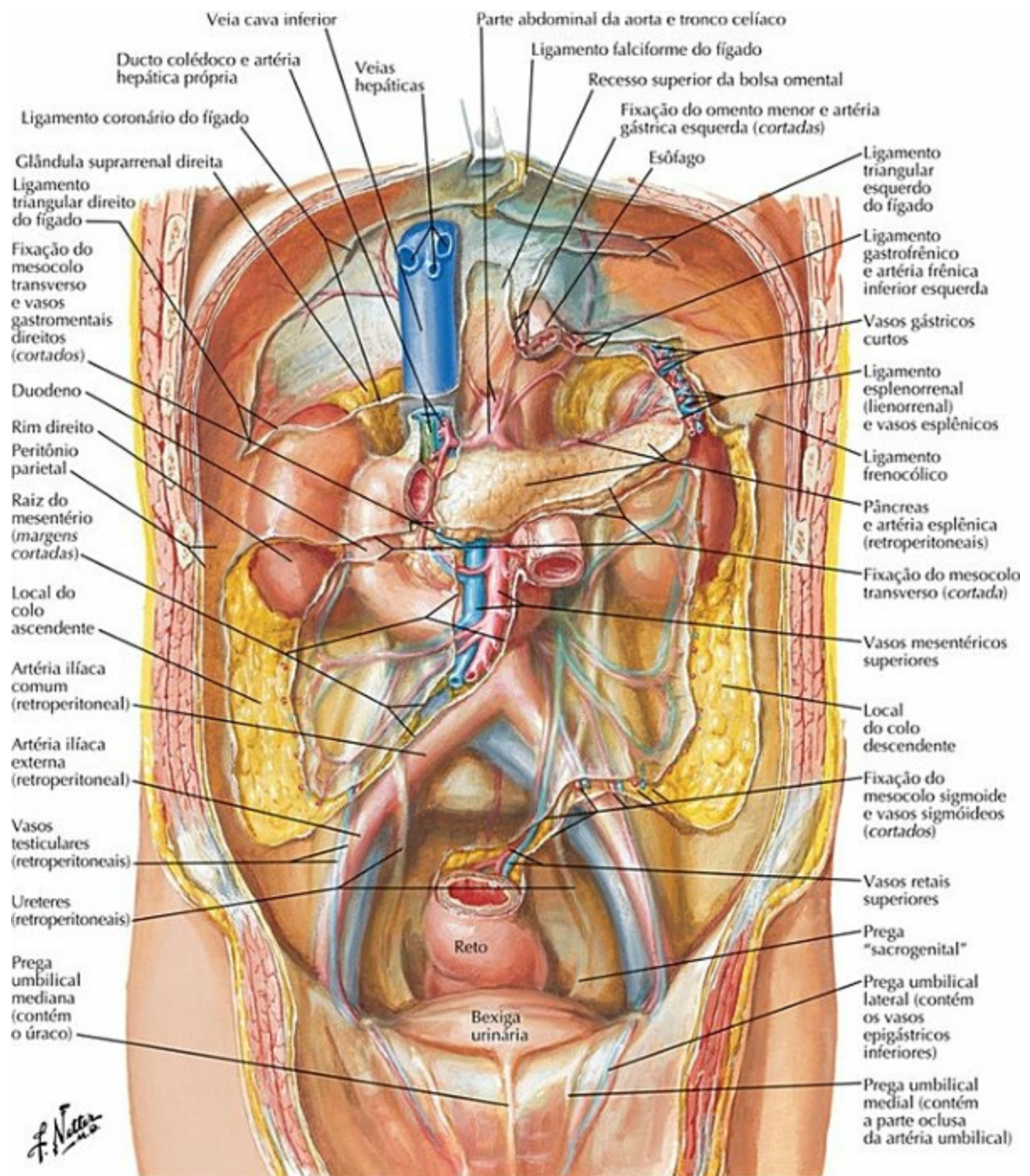
Bolsa Omental: Corte Transversal



PRANCHA 267 Cavidade Peritoneal

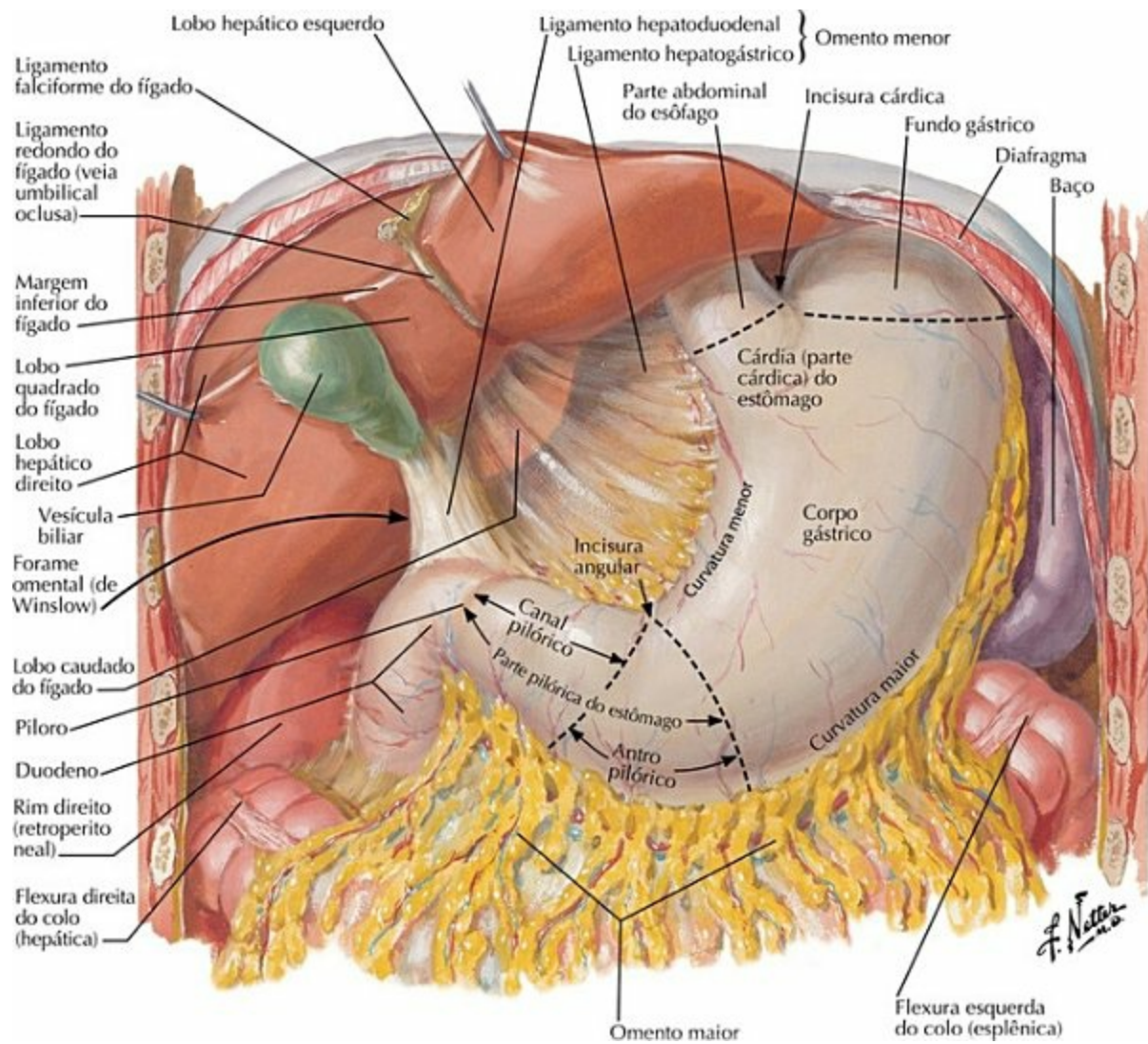
Veja também **Prancha 269**

Peritônio da Parede Posterior do Abdome



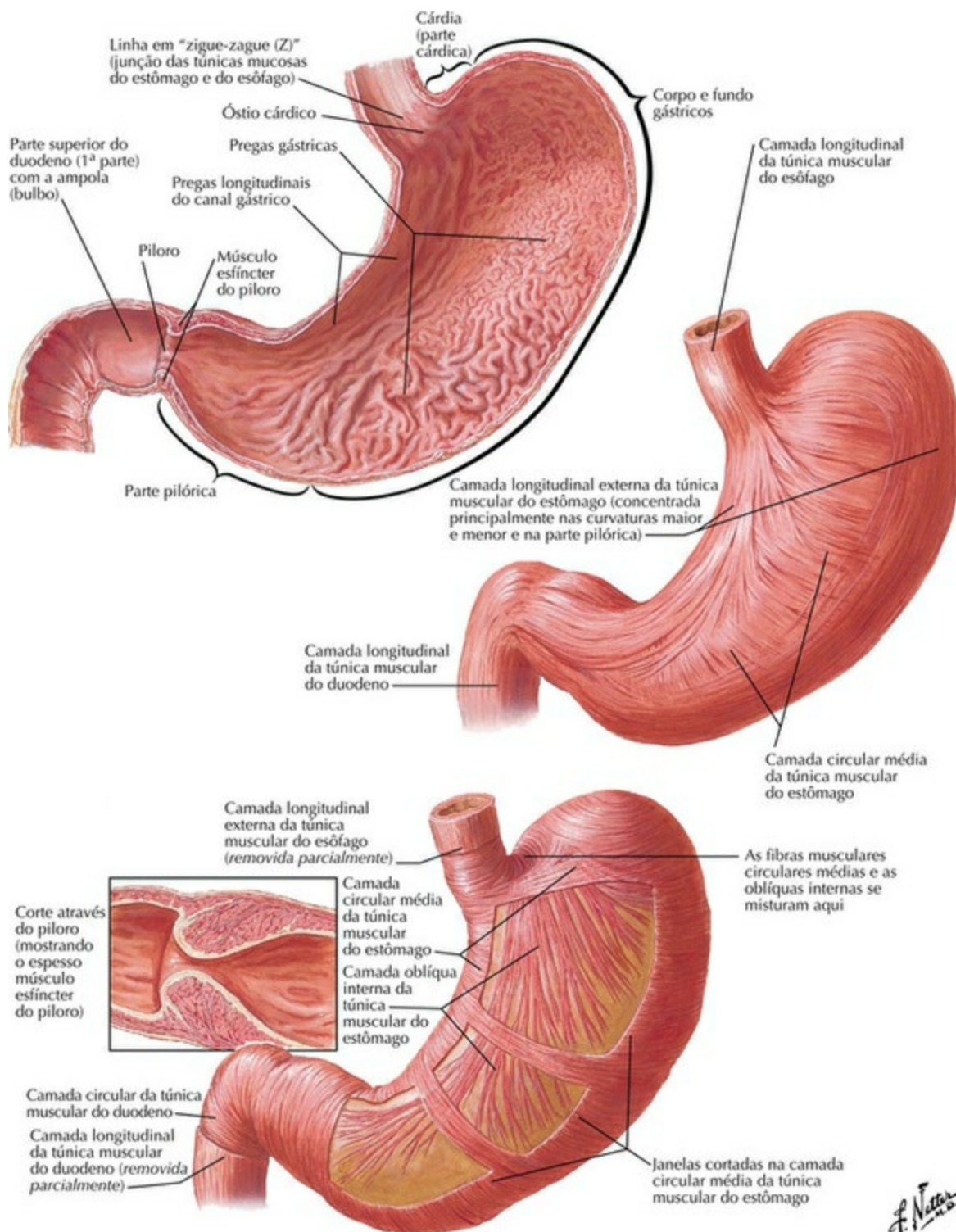
PRANCHA 268 Cavidade Peritoneal
Veja também **Prancha 271**

Estômago *in Situ*



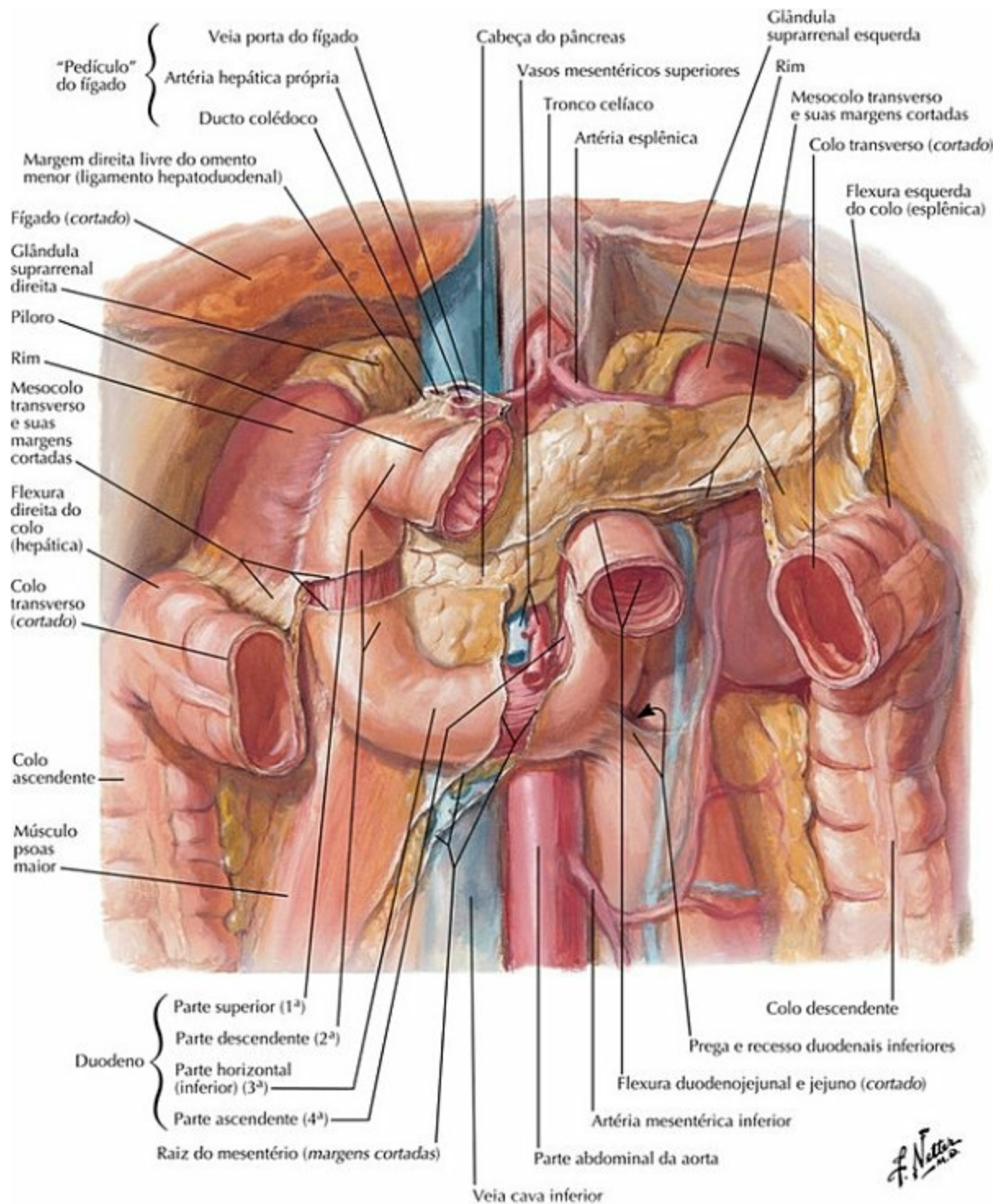
PRANCHA 269 Visceras (Estômago e Intestinos)

Túnica Mucosa do Estômago



PRANCHA 270 Vísceras (Estômago e Intestinos)

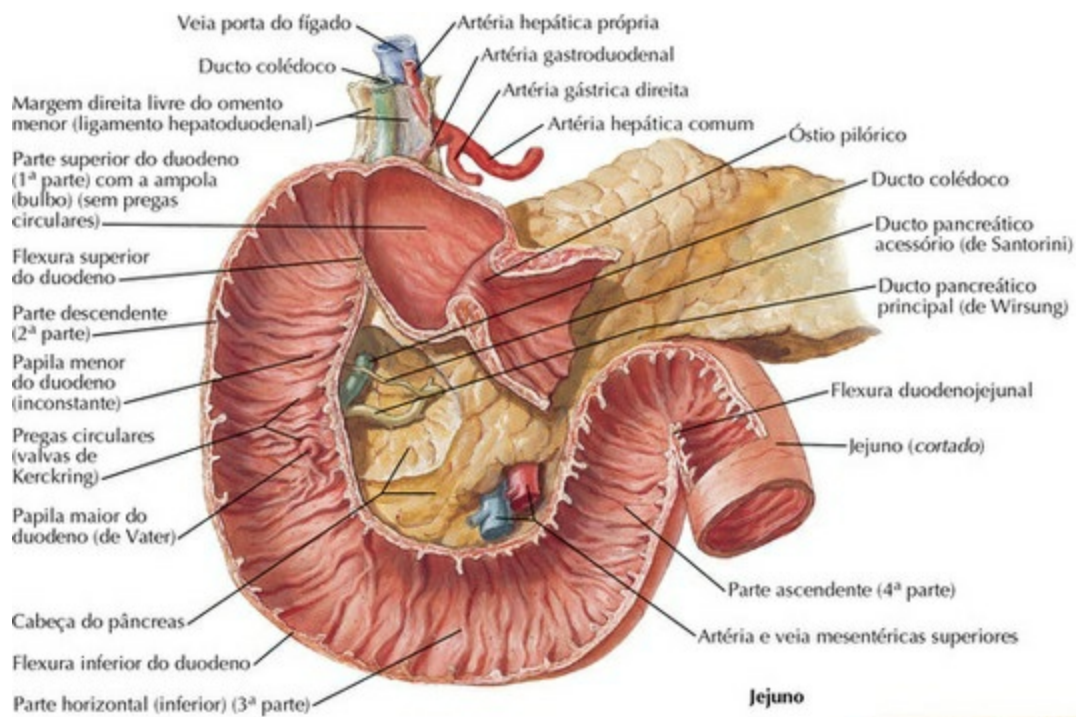
Duodeno *in Situ*



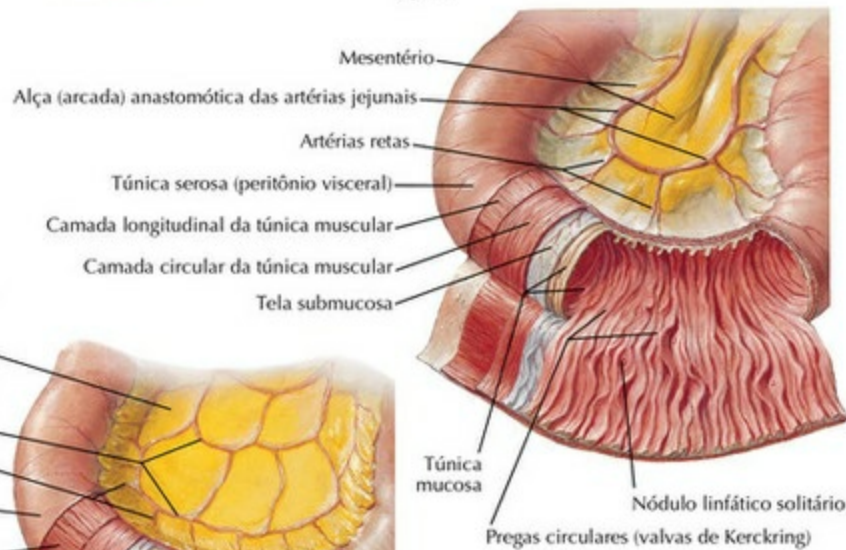
PRANCHA 271 Vísceras (Estômago e Intestinos)

Veja também **Prancha 268**

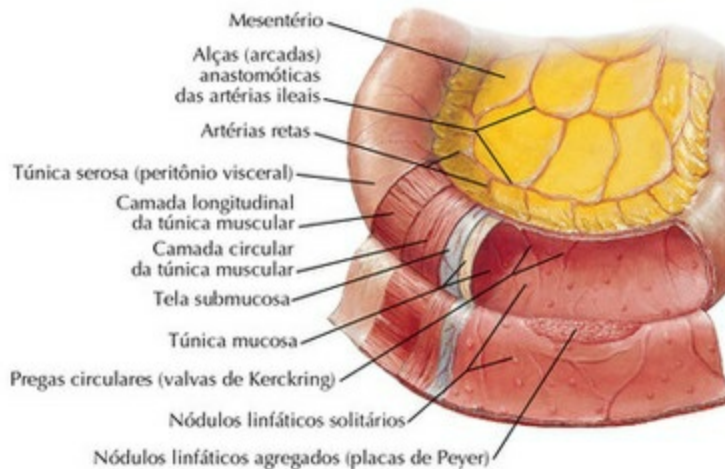
Túnica Mucosa e Musculatura do Duodeno, do Jejuno e do Íleo



Jejuno



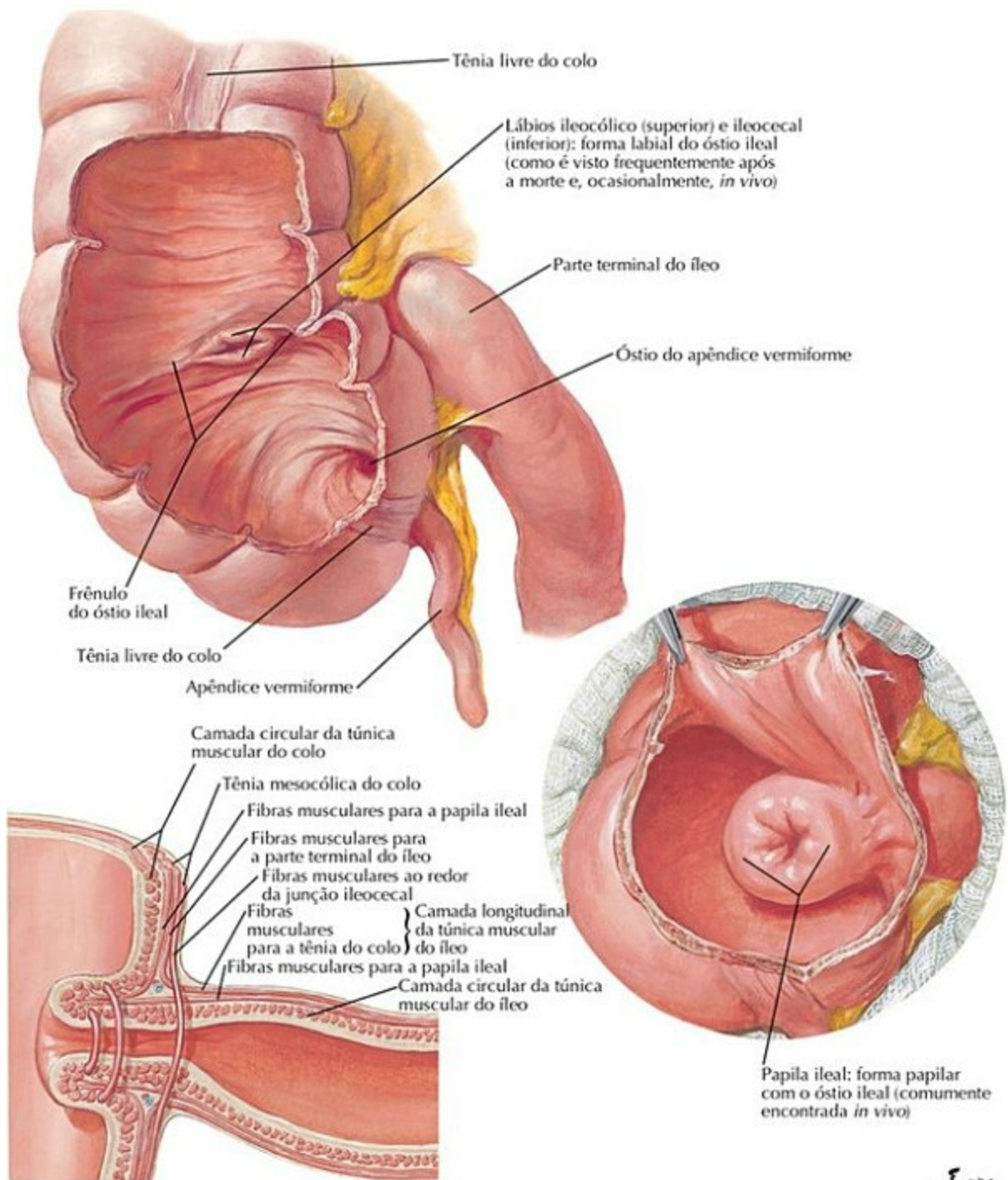
Ileo



PRANCHA 272 Vísceras (Estômago e Intestinos)
Veja também **Prancha 270**

F. N. N. 2010

Região Ileocecical

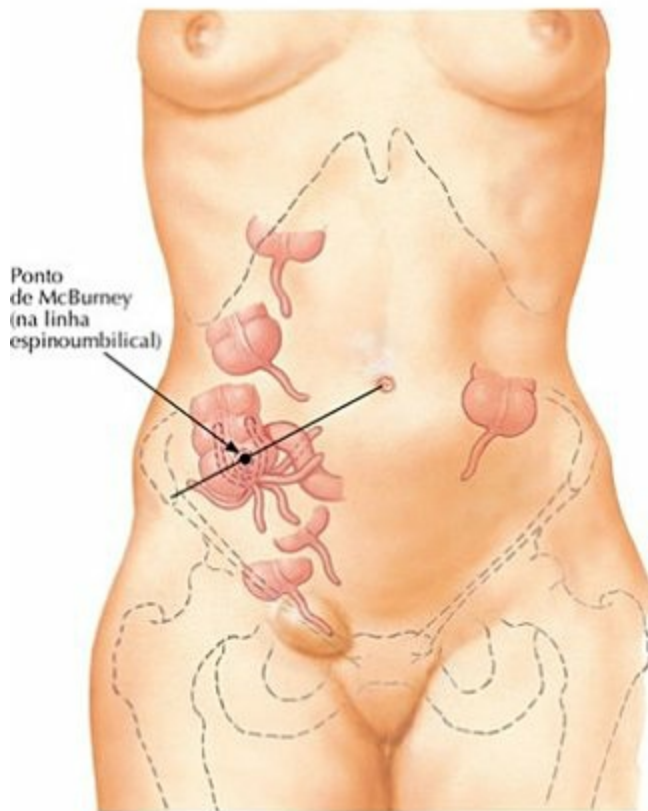


Esquema das fibras musculares próximas ao óstio ileal

PRANCHA 274 Visceras (Estômago e Intestinos)

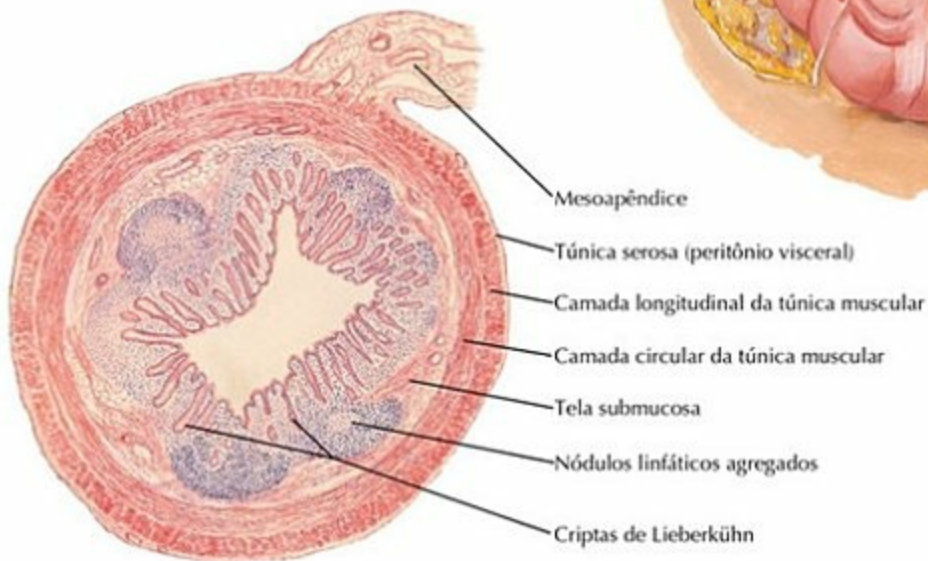
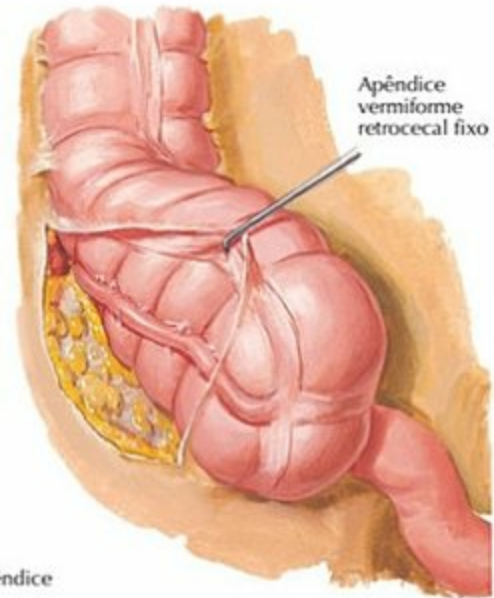
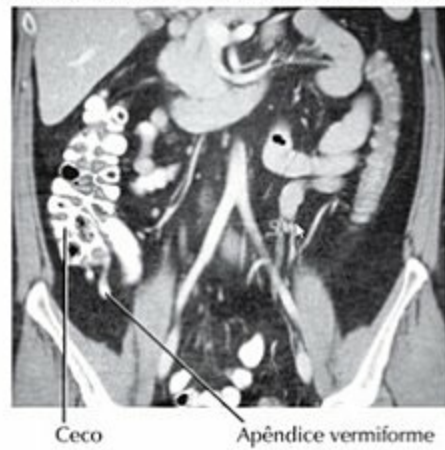
F. Netter

Apêndice Vermiforme



Variações na posição do apêndice vermiforme

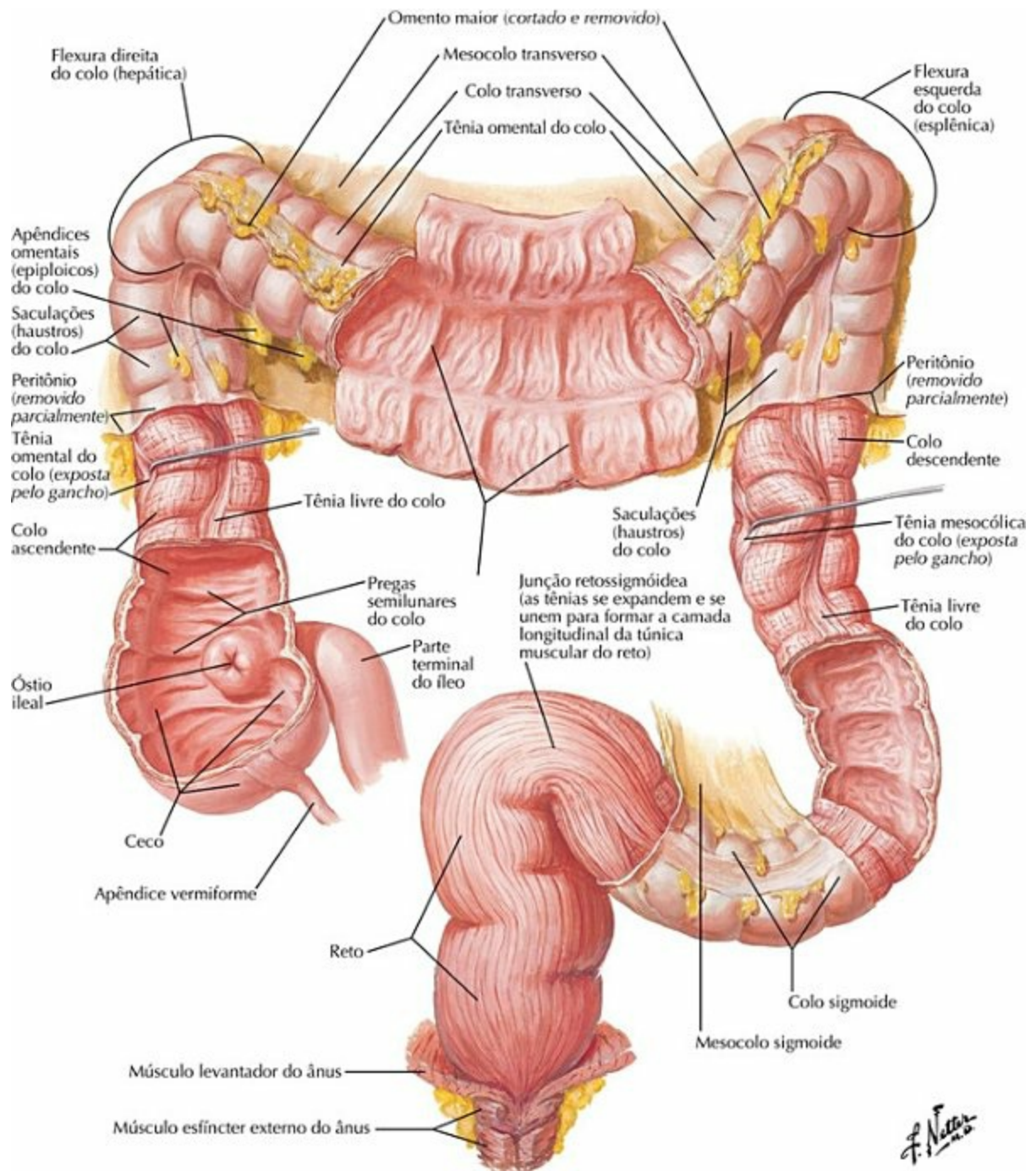
Imagem de corte frontal por TC com contraste



PRANCHA 275 Visceras (Estômago e Intestinos)

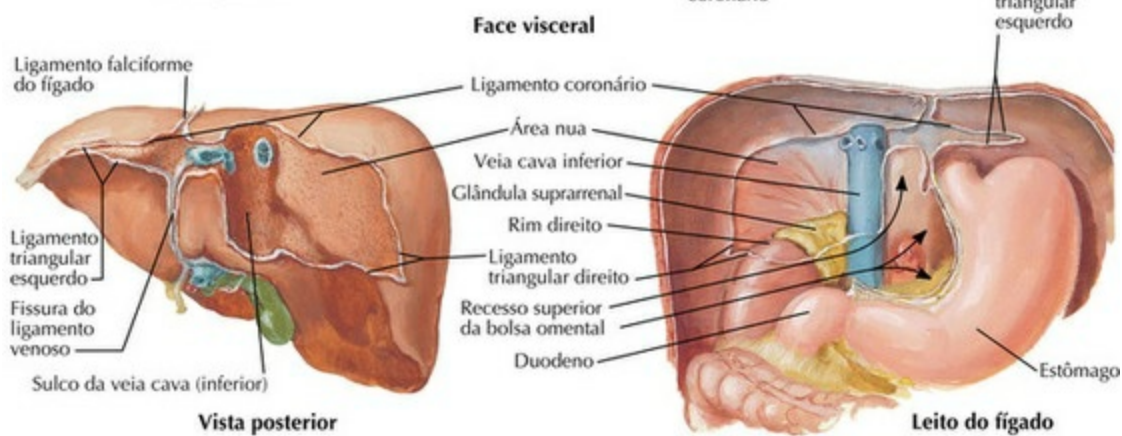
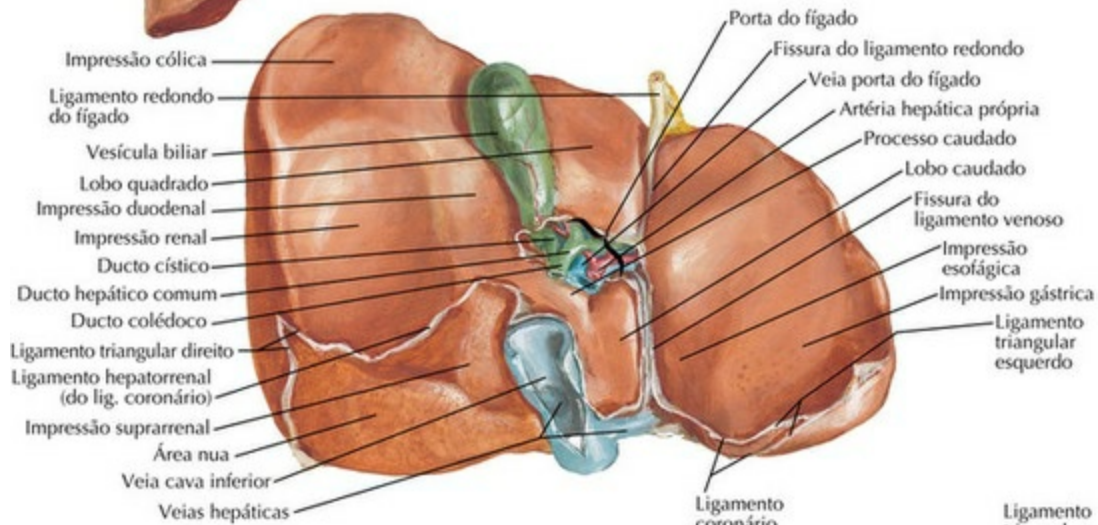
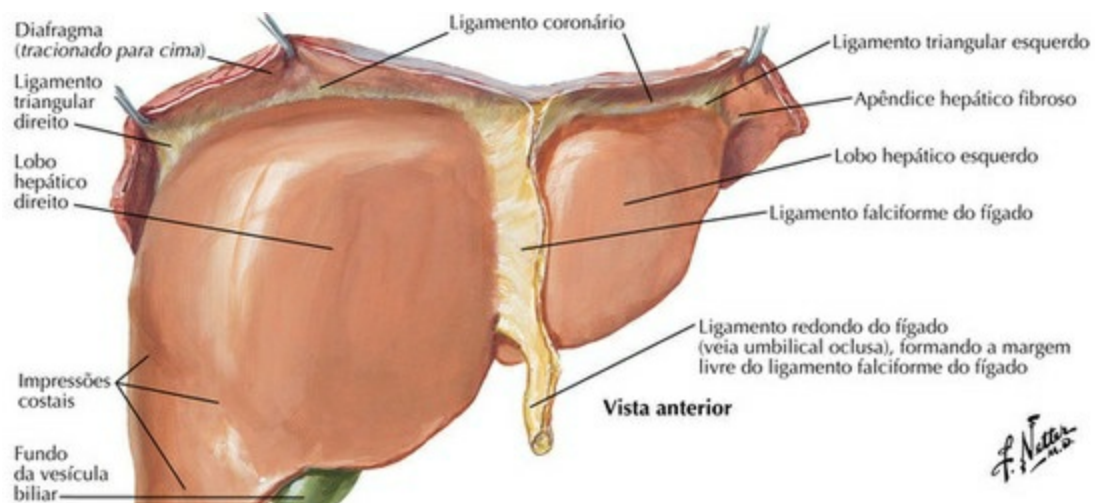
F. Netter

Túnica Mucosa e Musculatura do Intestino Grosso



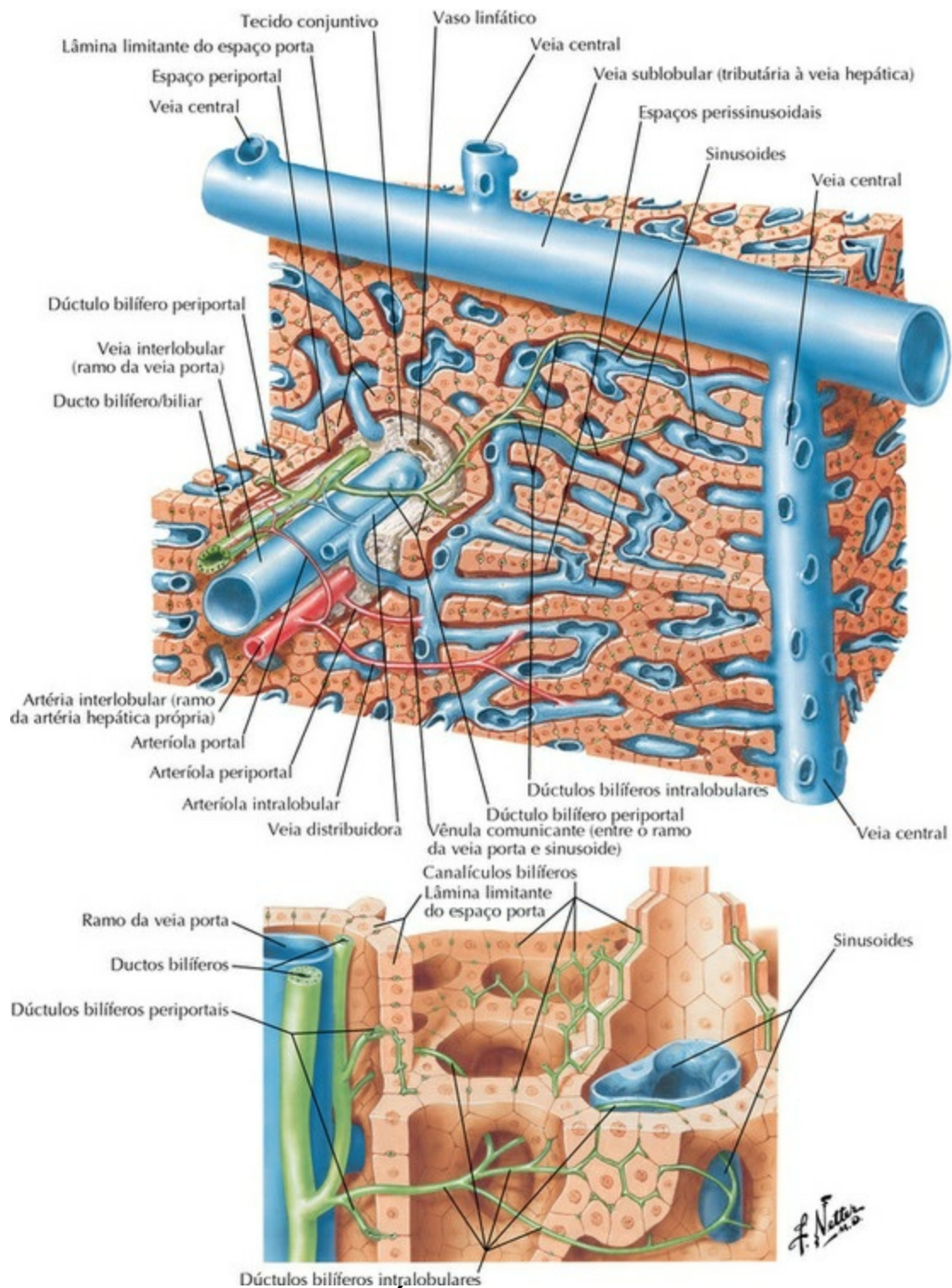
PRANCHA 276 Visceras (Estômago e Intestinos)

Faces e Leito do Fígado



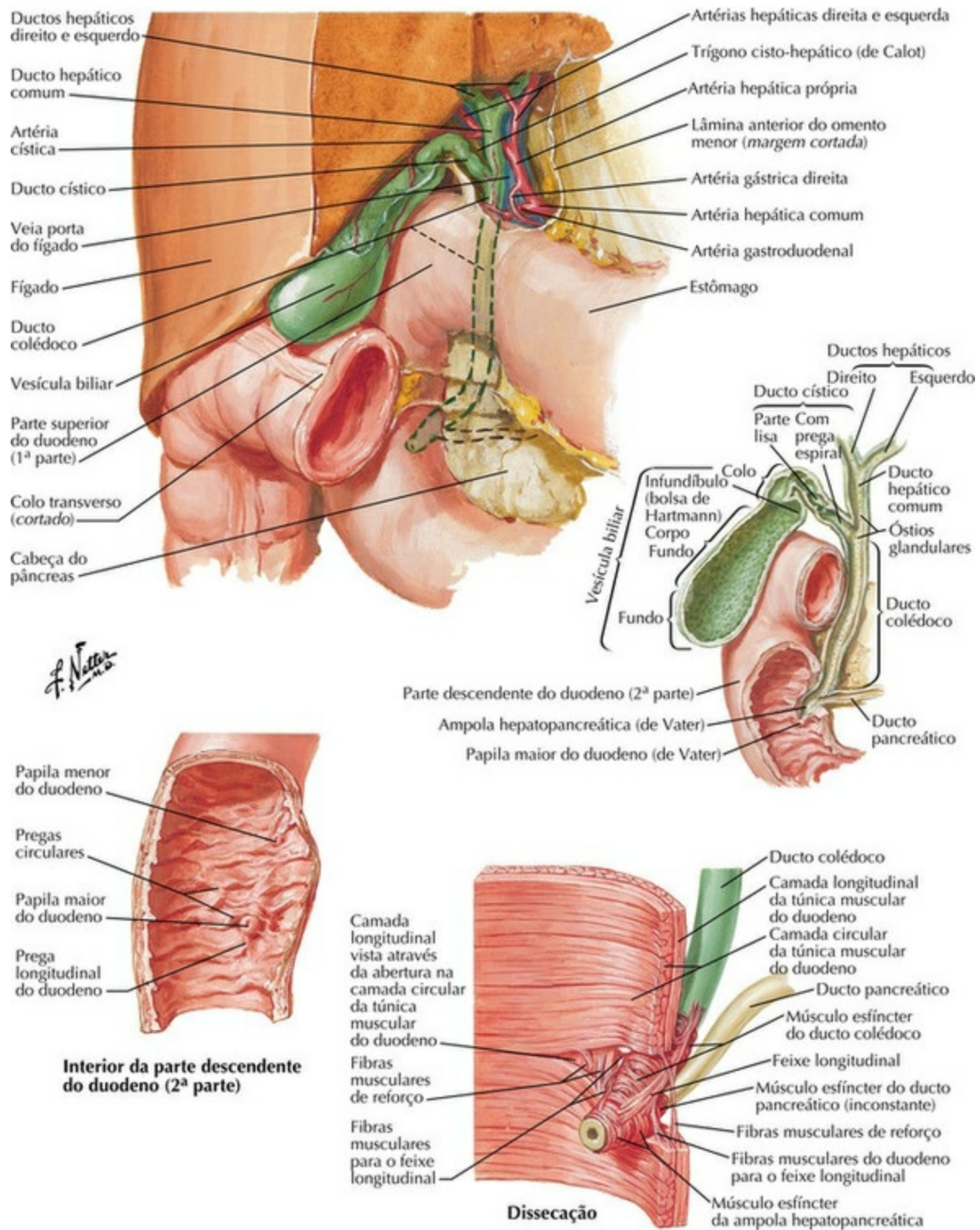
PRANCHA 277 Vísceras (Órgãos Anexos)
Veja também **Prancha 268**

Fígado *in Situ*: Vasos e Ductos



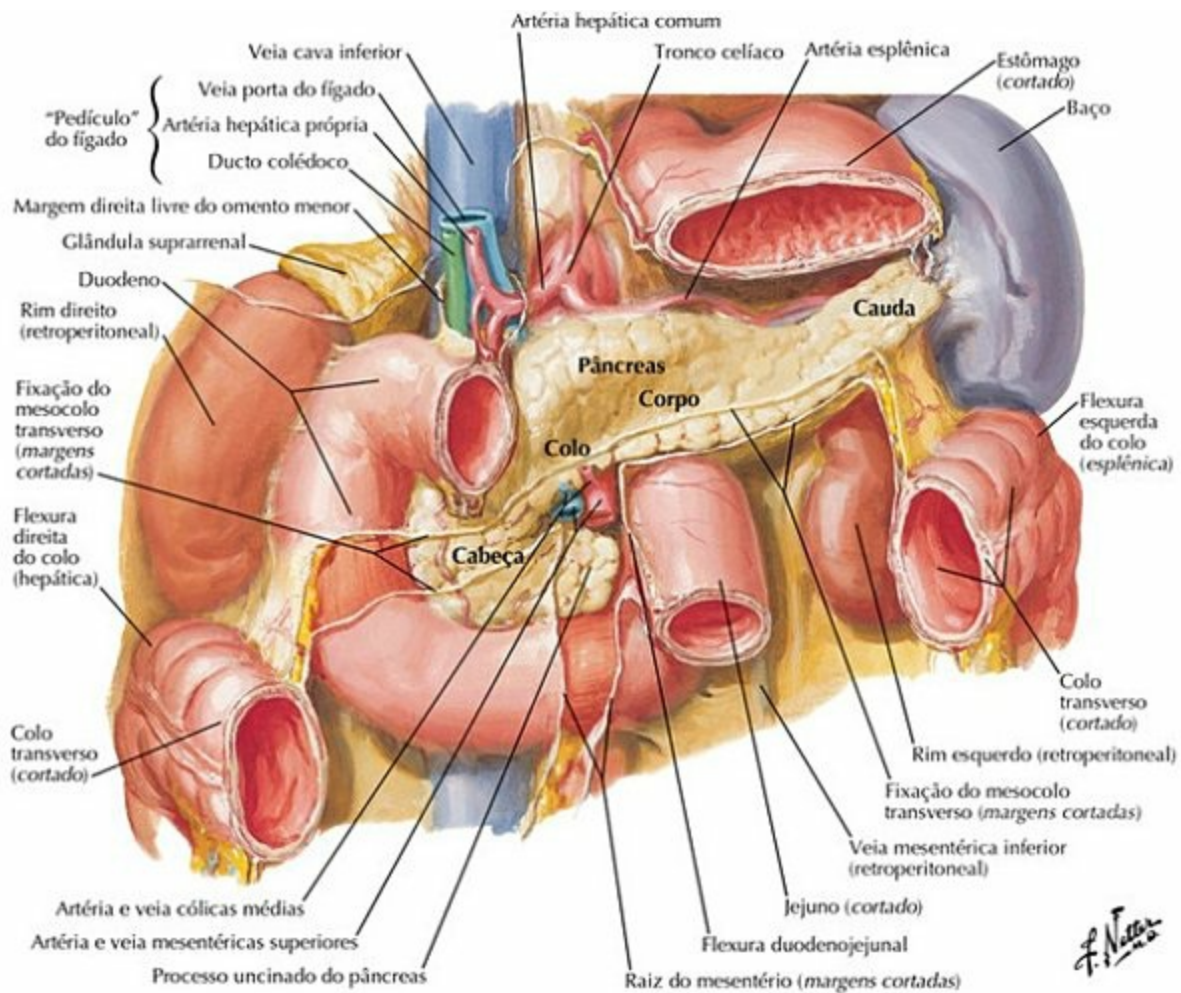
PRANCHA 279 Vísceras (Órgãos Anexos)

Vesícula Biliar, Ductos Bilíferos Extra-hepáticos e Ducto Pancreático

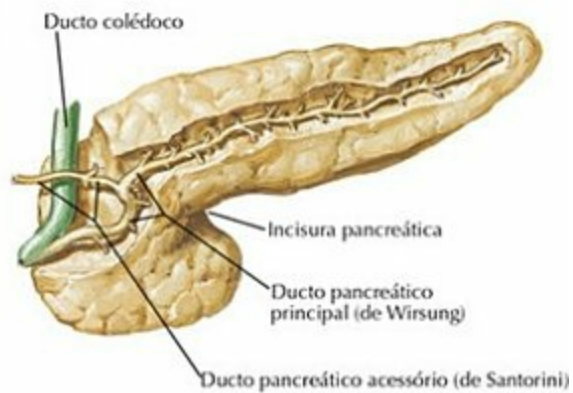
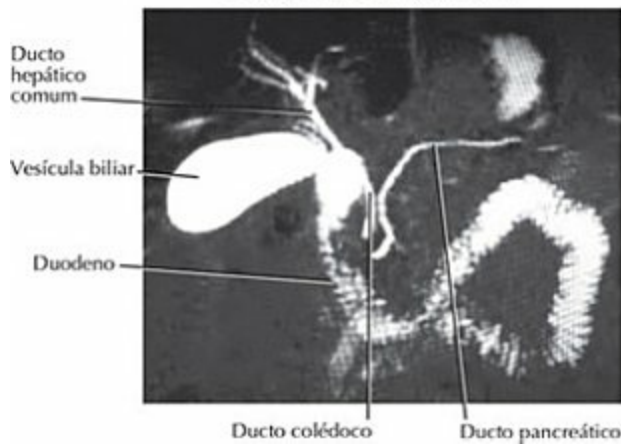


PRANCHA 280 Vísceras (Órgãos Anexos)

Pâncreas *in Situ*

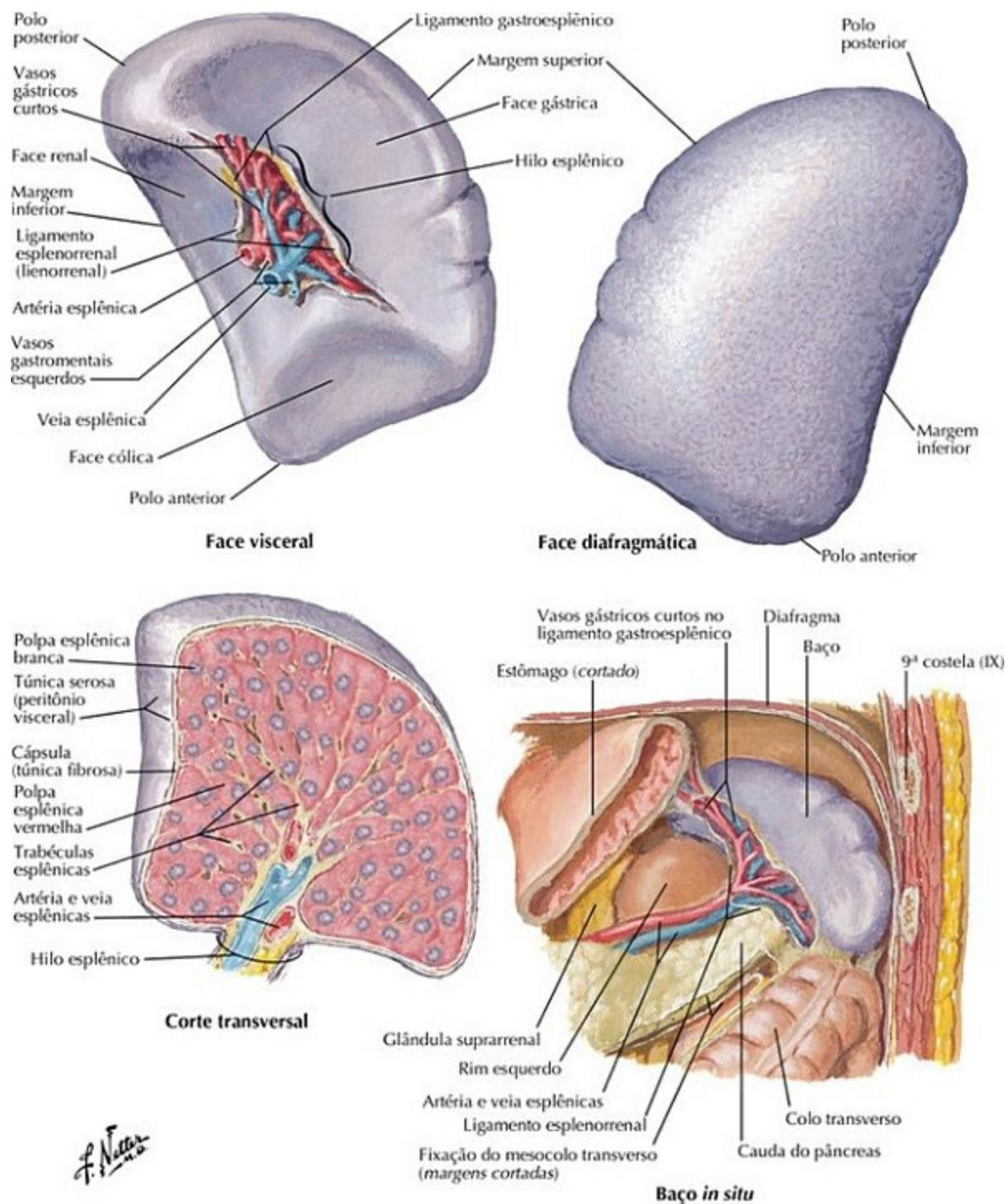


Colangiopancreatografia (RM)



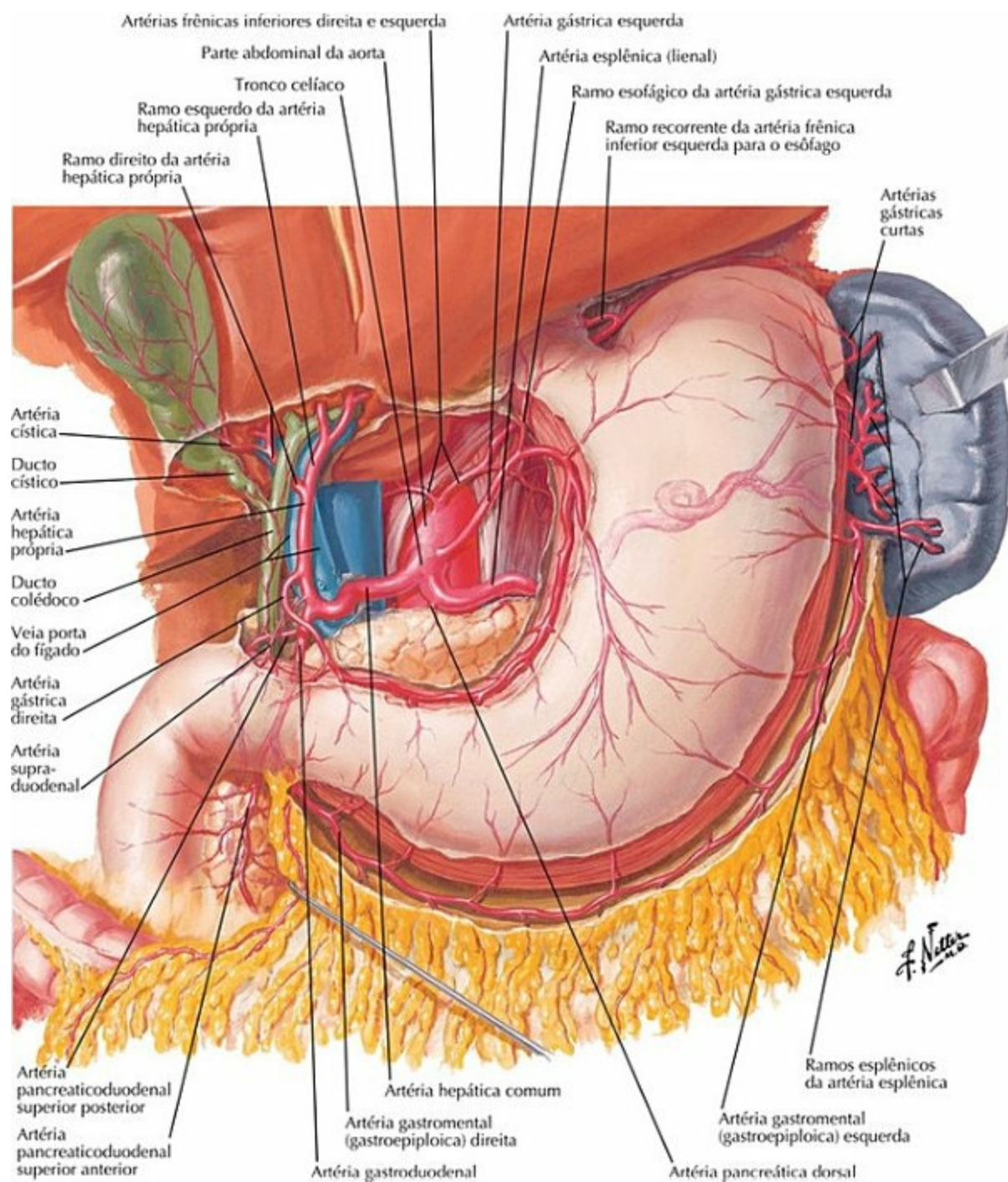
PRANCHA 281 Visceras (Órgãos Anexos)

Baço



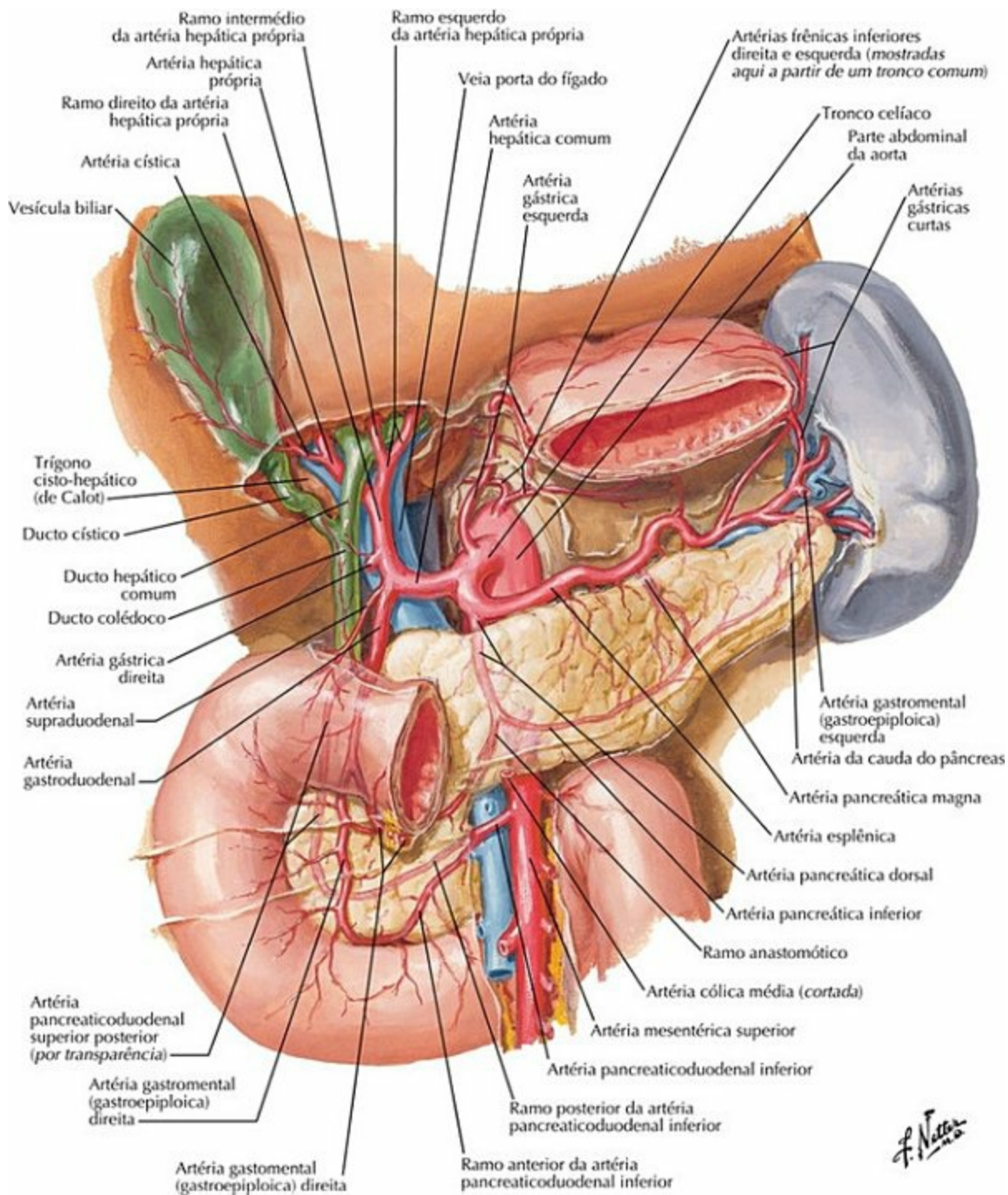
PRANCHA 282 Vísceras (Órgãos Anexos)
 Veja também **Prancha 266**

Artérias do Estômago, do Fígado e do Baço



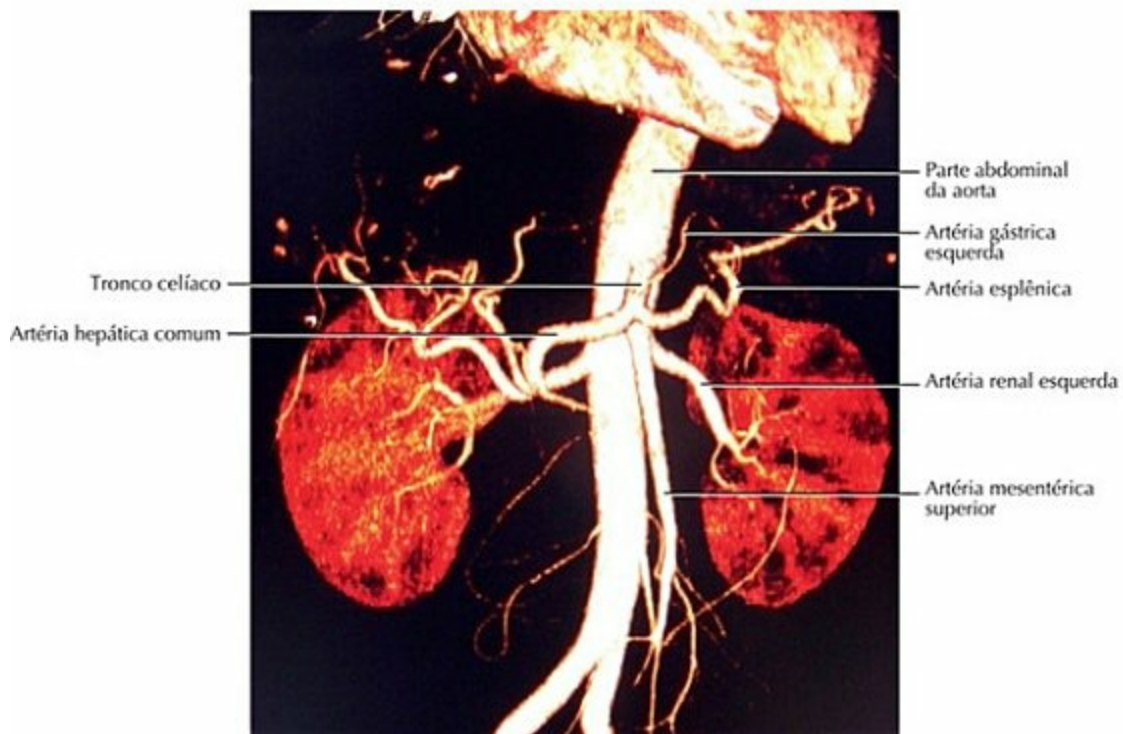
PRANCHA 283 Vascularização Visceral

Artérias do Fígado, do Pâncreas, do Duodeno e do Baço



PRANCHA 284 Vascularização Visceral

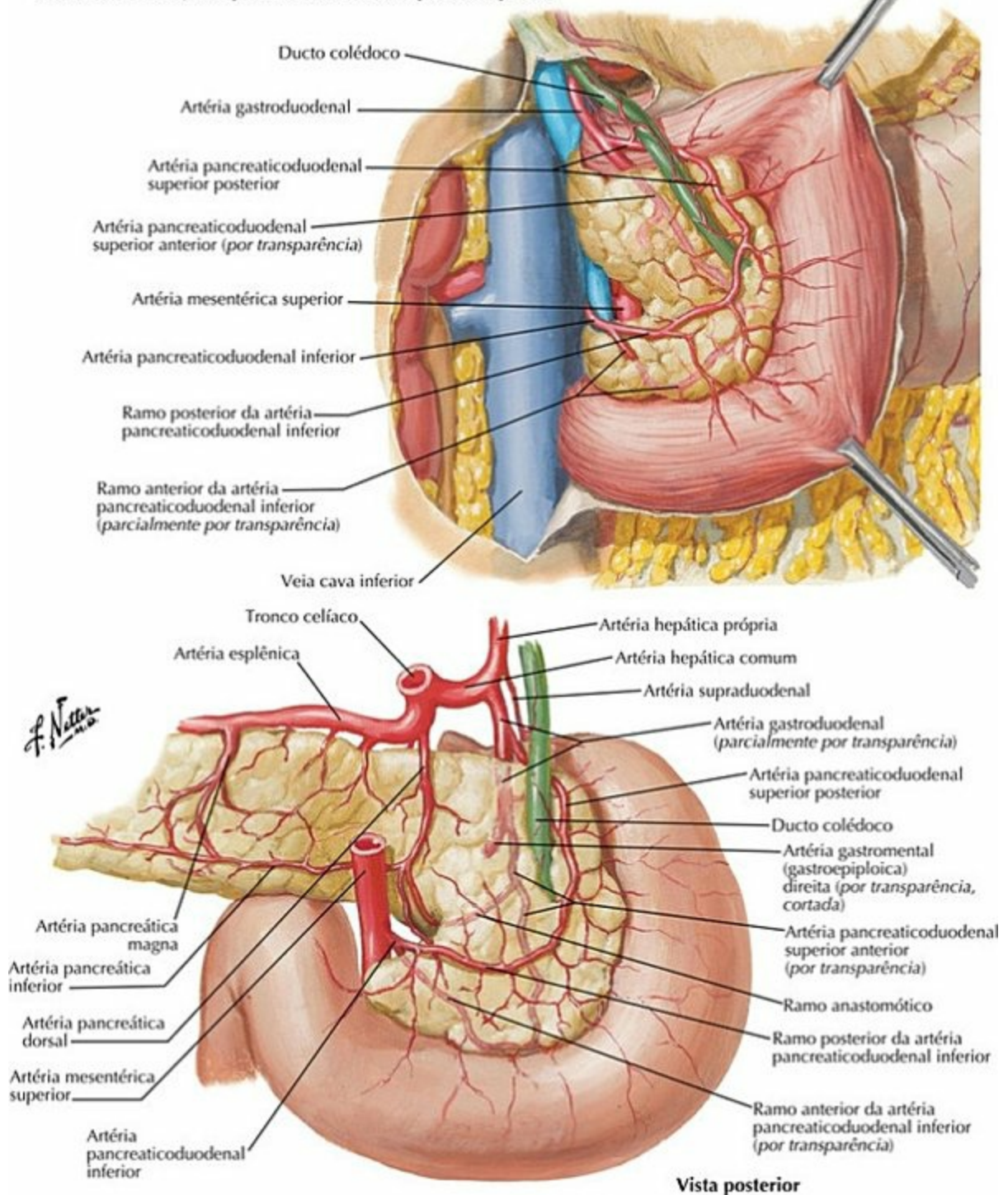
Arteriograma Celíaco e Angiograma por TC



PRANCHA 285 Vascularização Visceral
 Veja também **Pranchas 283, 284**

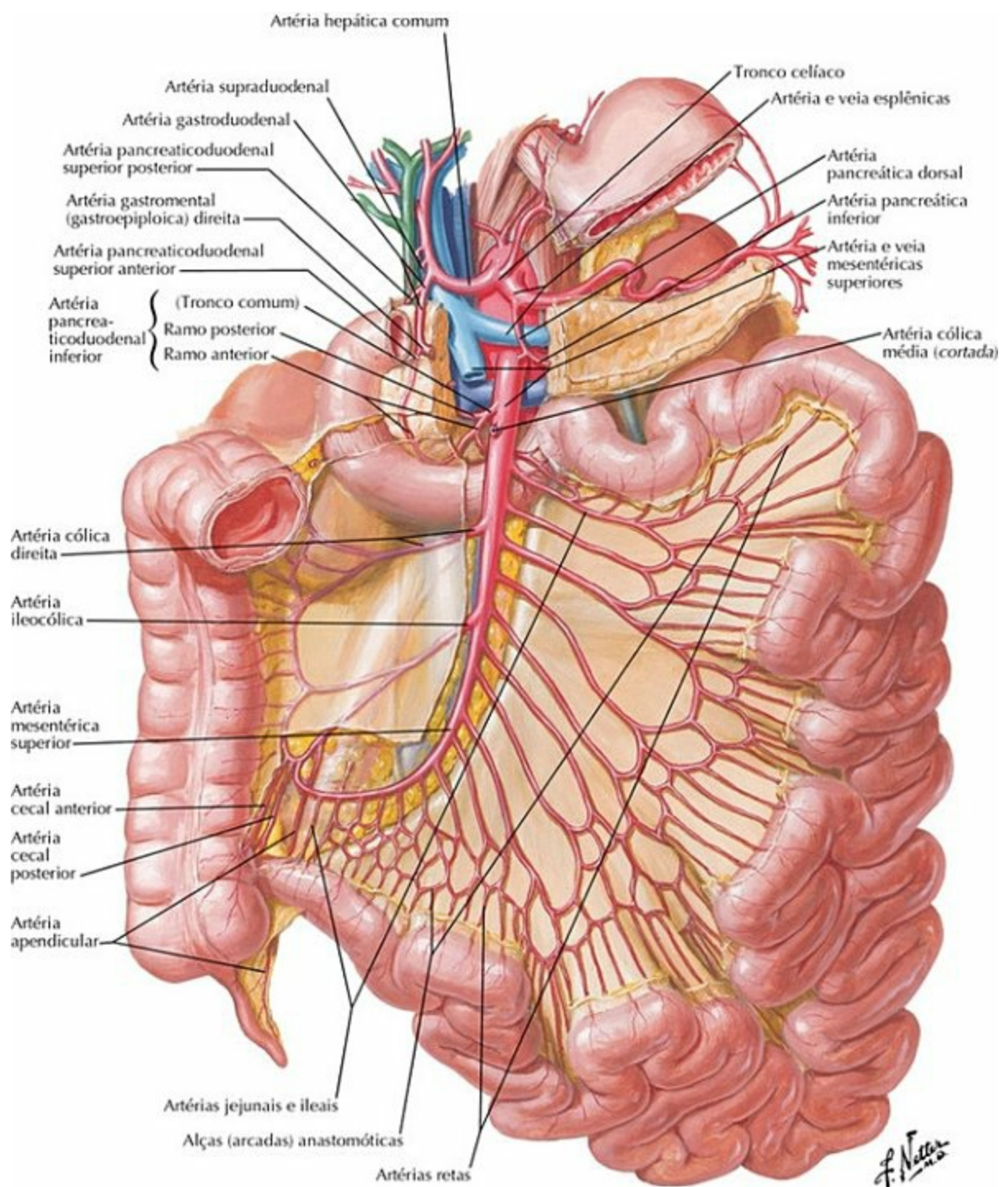
Artérias do Duodeno e da Cabeça do Pâncreas

Duodeno e cabeça do pâncreas tracionados para a esquerda



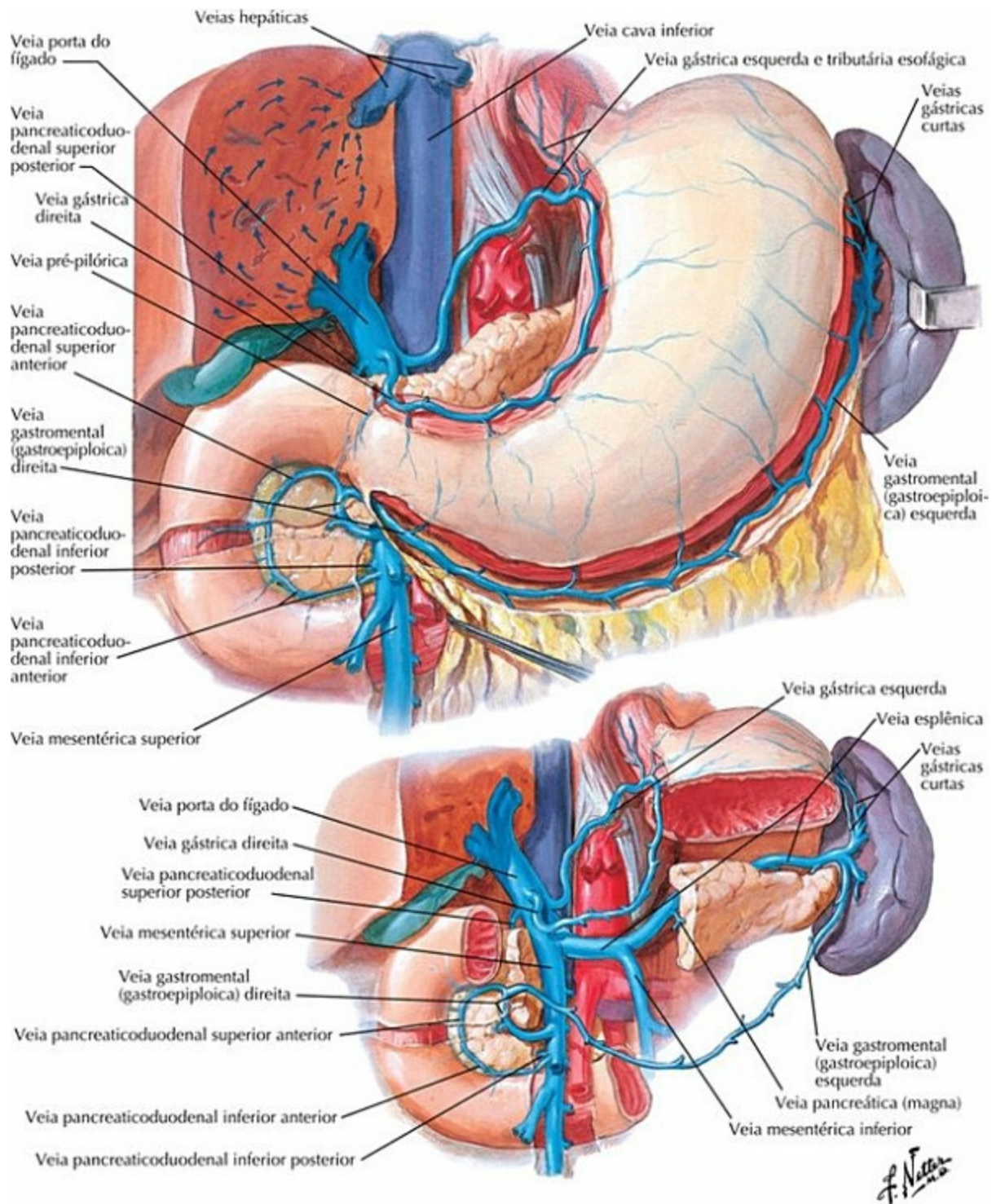
PRANCHA 286 Vascularização Visceral

Artérias do Intestino Delgado



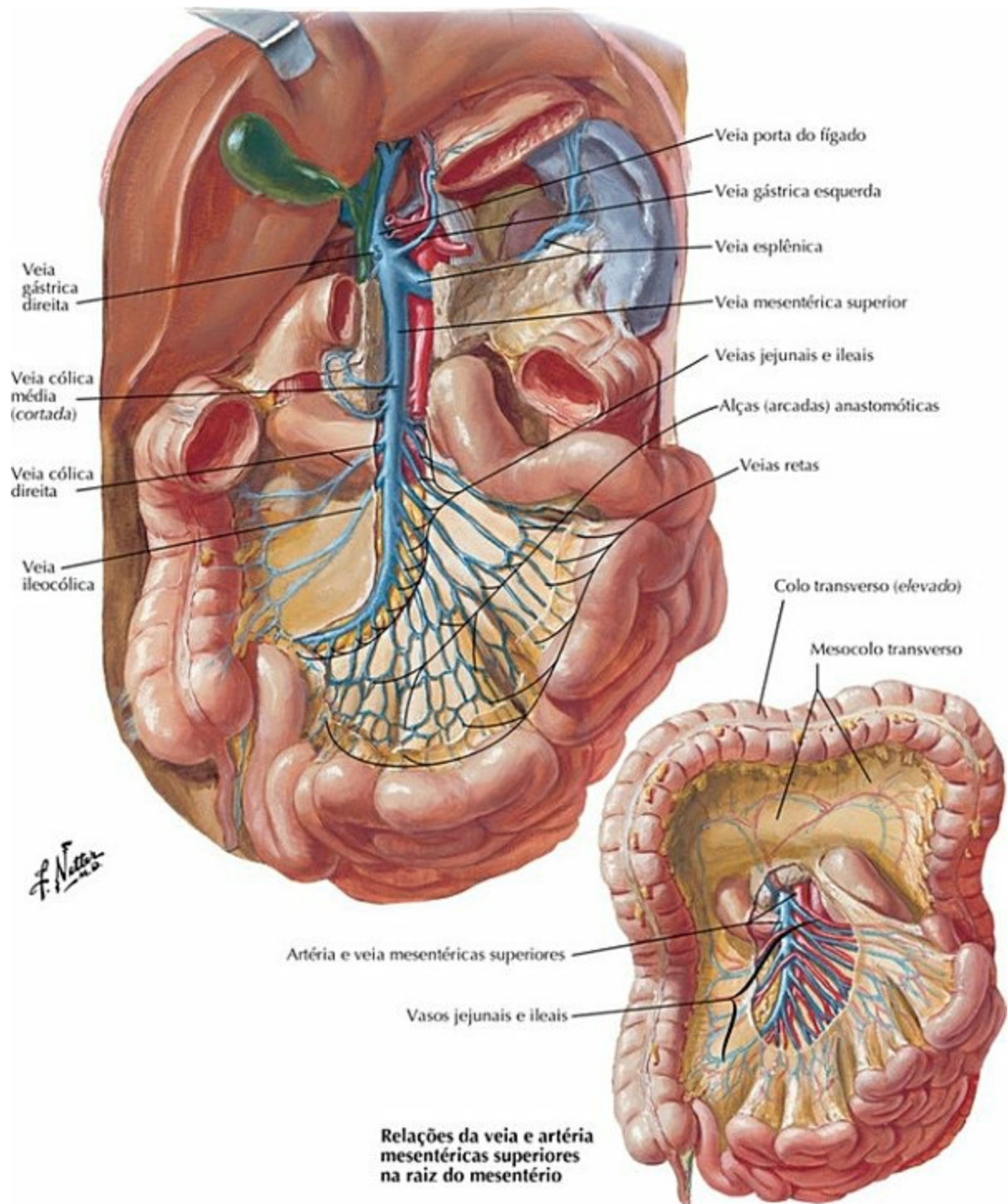
PRANCHA 287 Vascularização Visceral

Artérias do Intestino Grosso



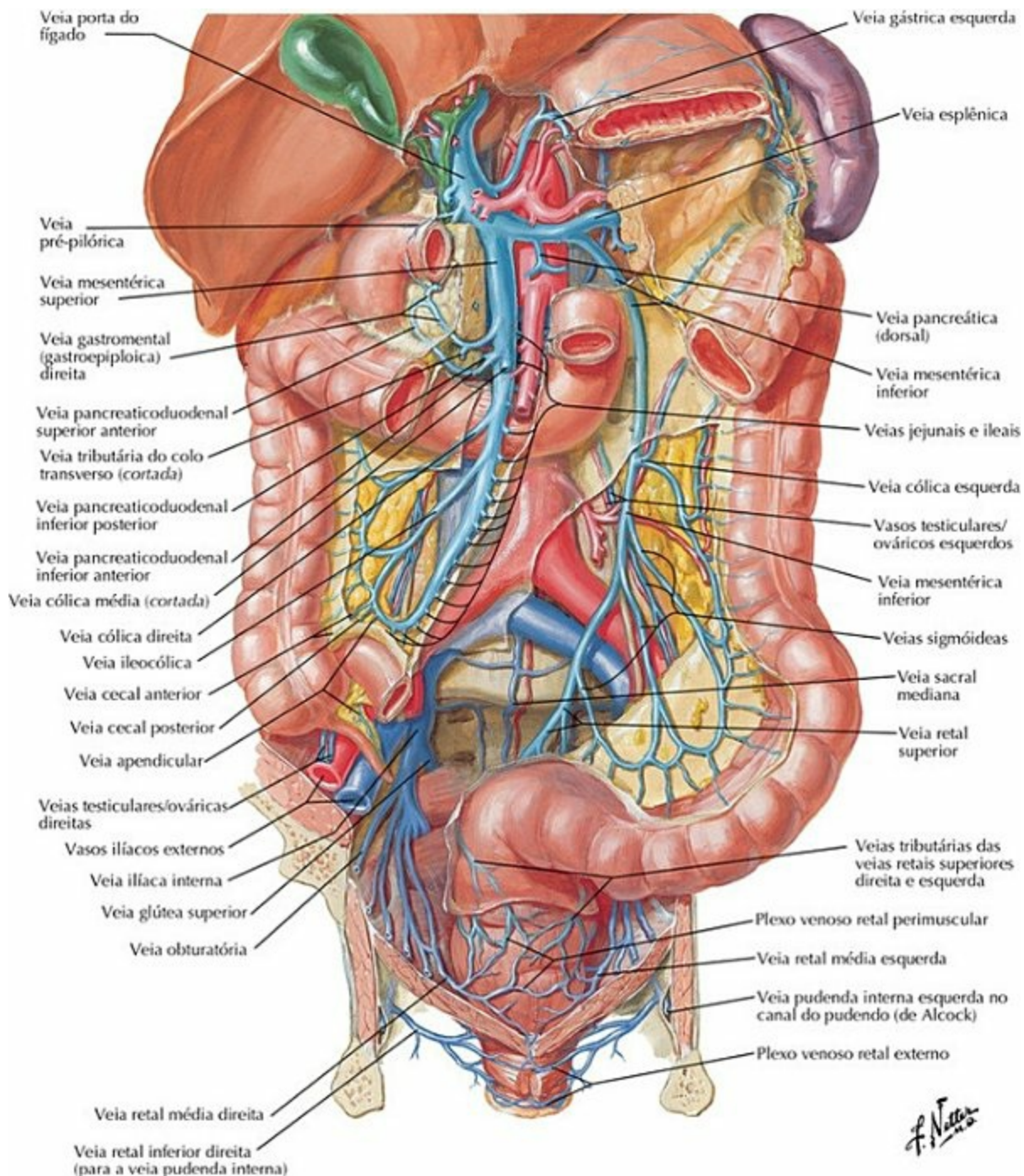
PRANCHA 289 Vascularização Visceral

Veias do Intestino Delgado



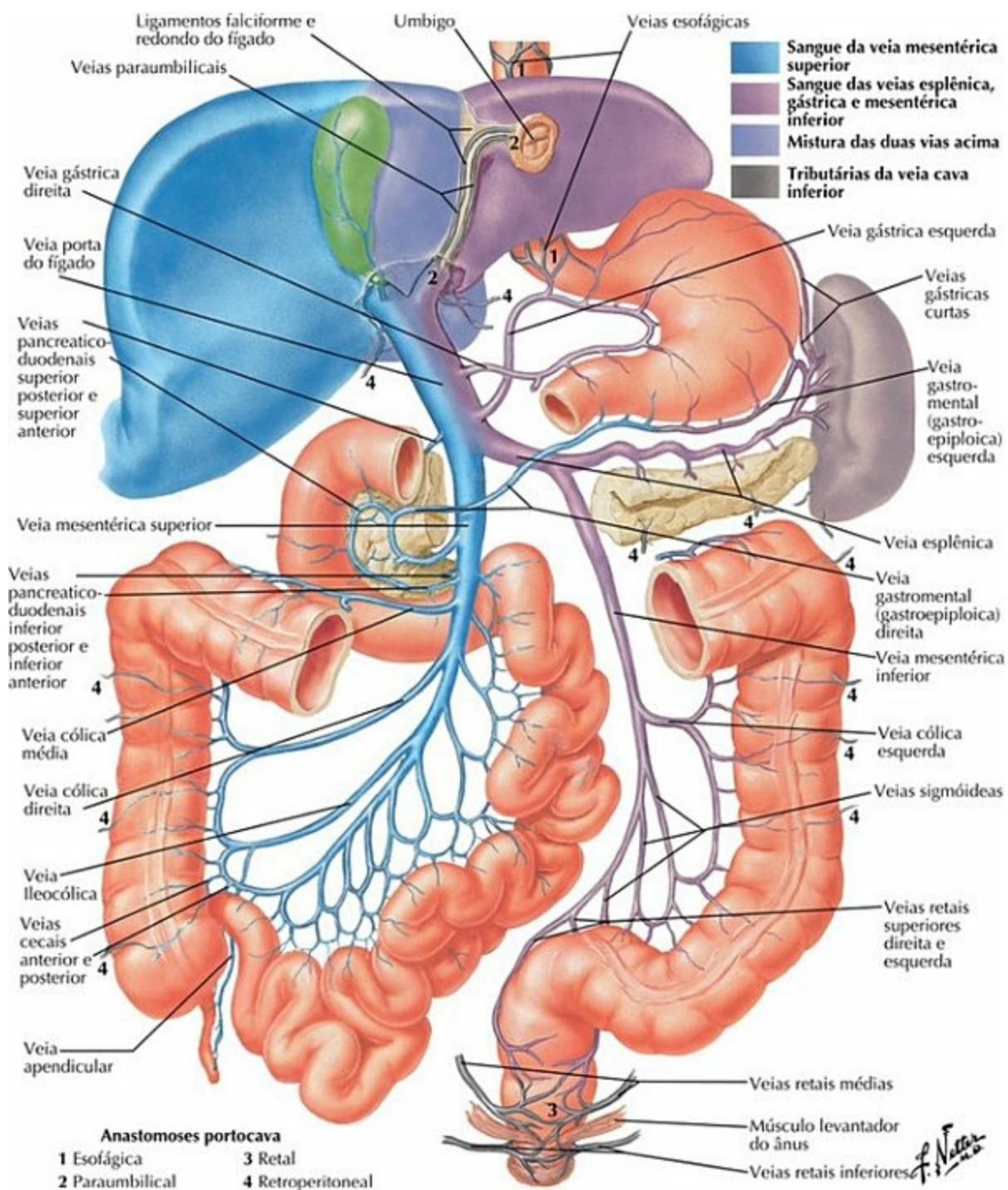
PRANCHA 290 Vascularização Visceral

Veias do Intestino Grosso



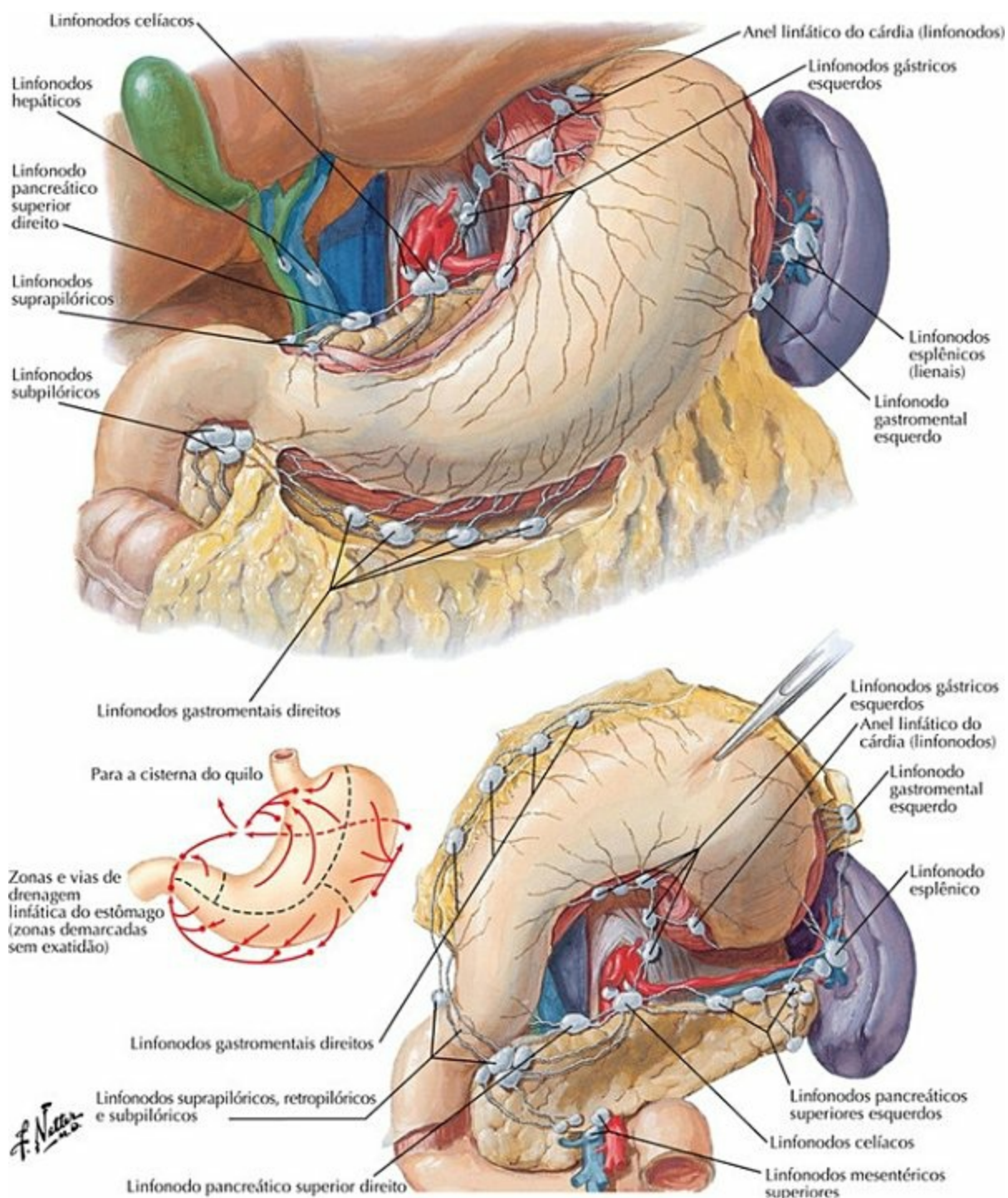
PRANCHA 291 Vascularização Visceral
 Para veias do reto, veja também **Prancha 377**

Veias Tributárias da Veia Porta do Fígado: Anastomoses Portocava



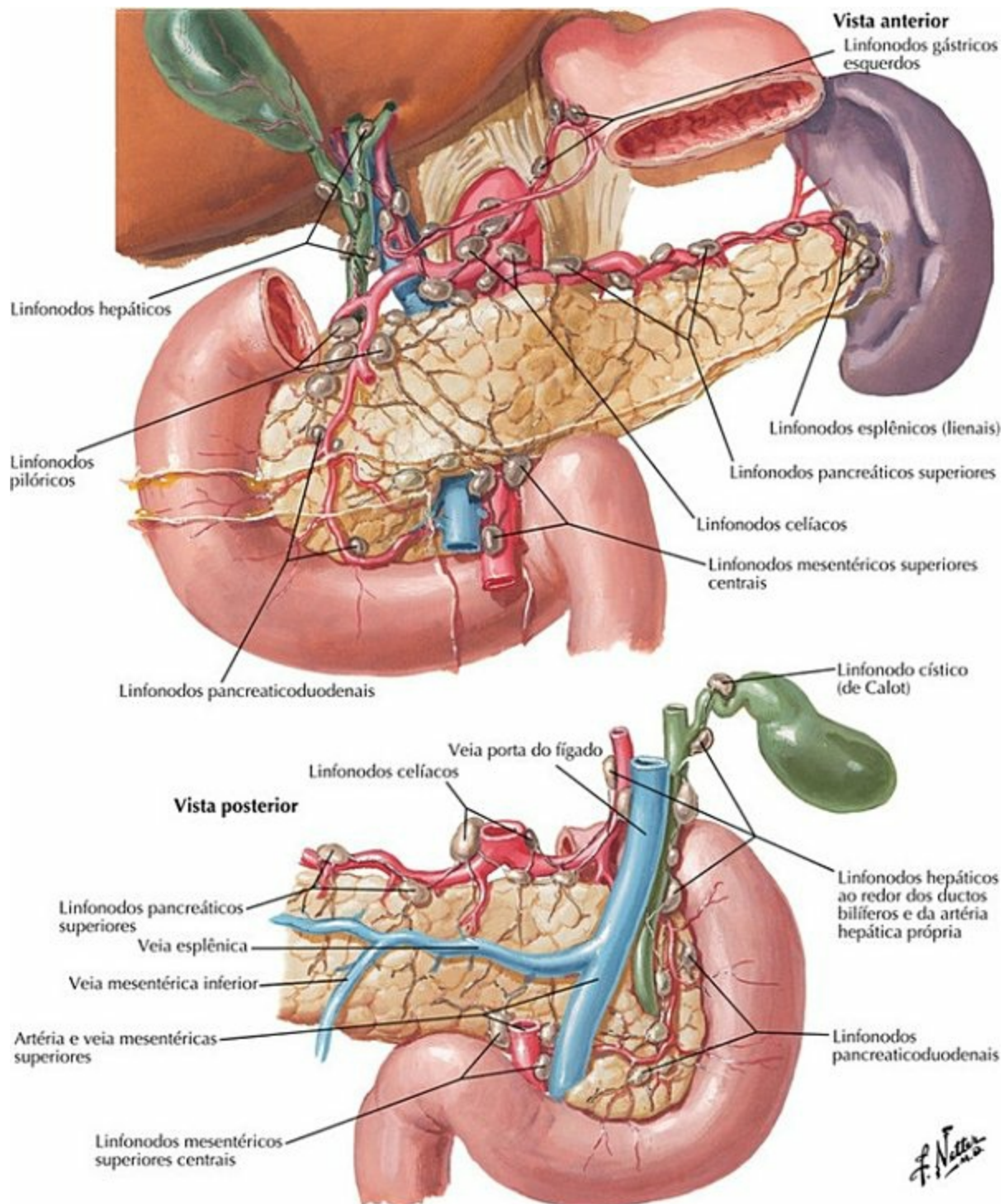
PRANCHA 292 Vascularização Visceral

Vasos Linfáticos e Linfonodos do Estômago



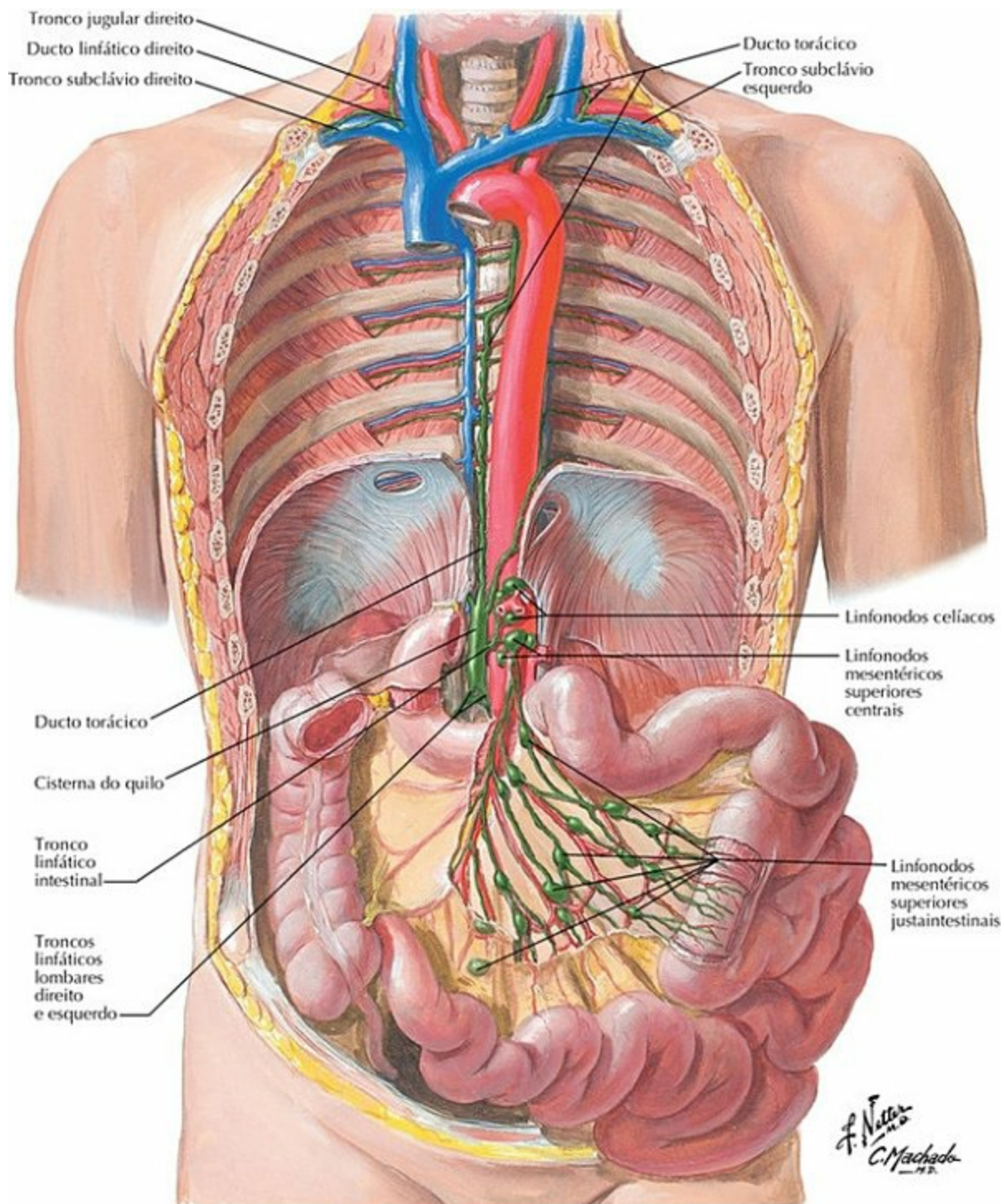
PRANCHA 293 Vascularização Visceral

Vasos Linfáticos e Linfonodos do Pâncreas



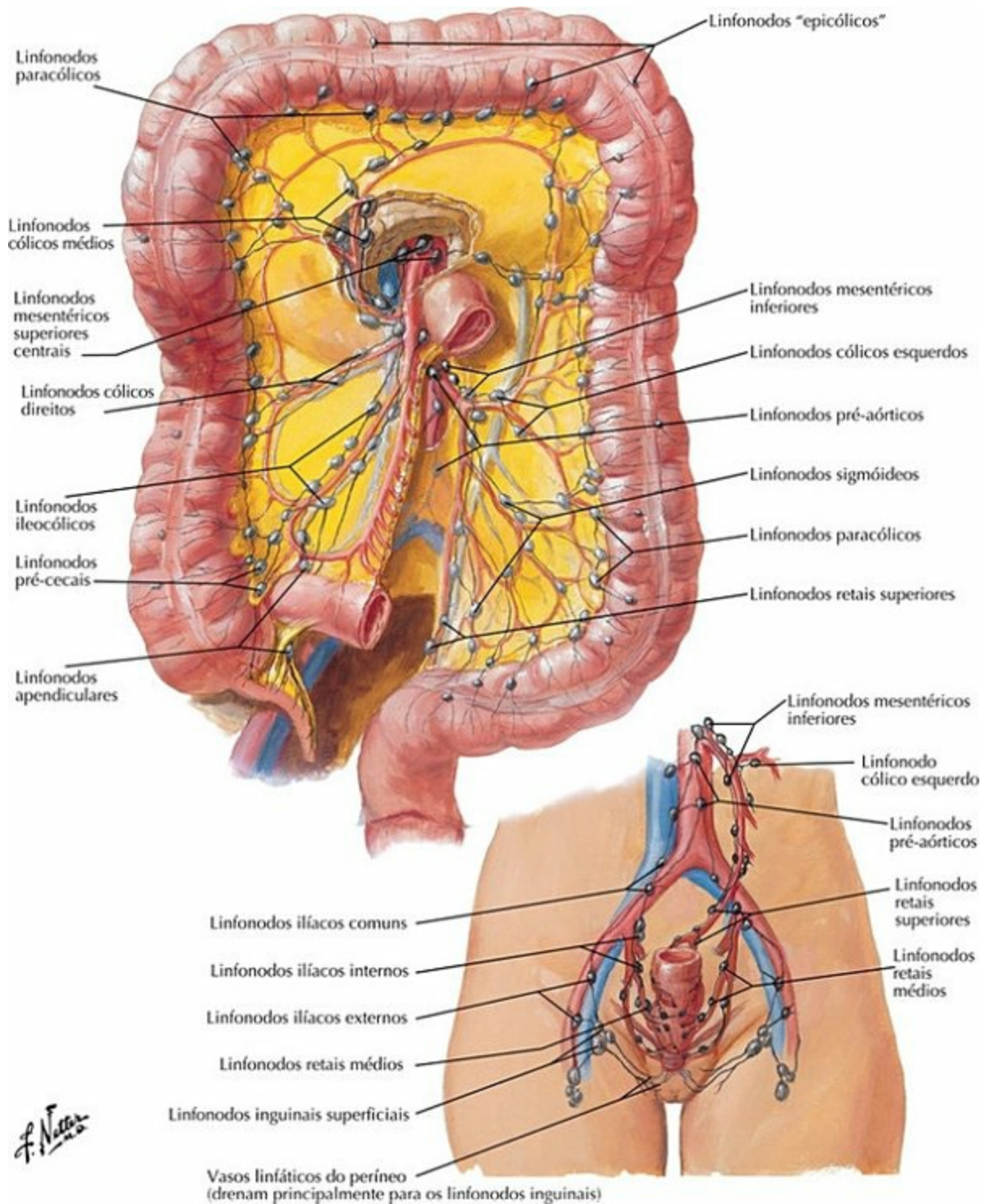
PRANCHA 294 Vascularização Visceral

Vasos Linfáticos e Linfonodos do Intestino Delgado



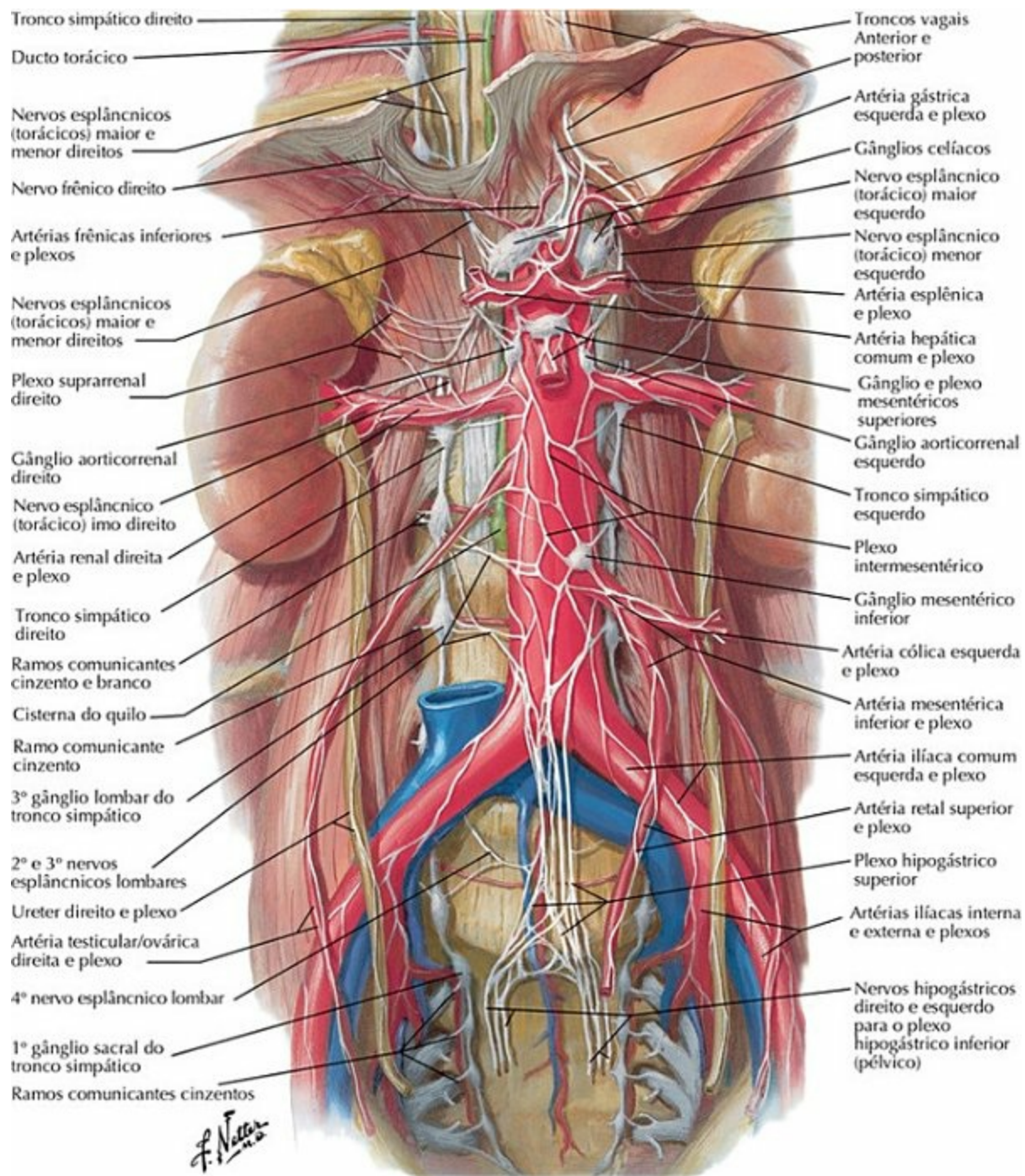
PRANCHA 295 Vascularização Visceral

Vasos Linfáticos e Linfonodos do Intestino Grosso



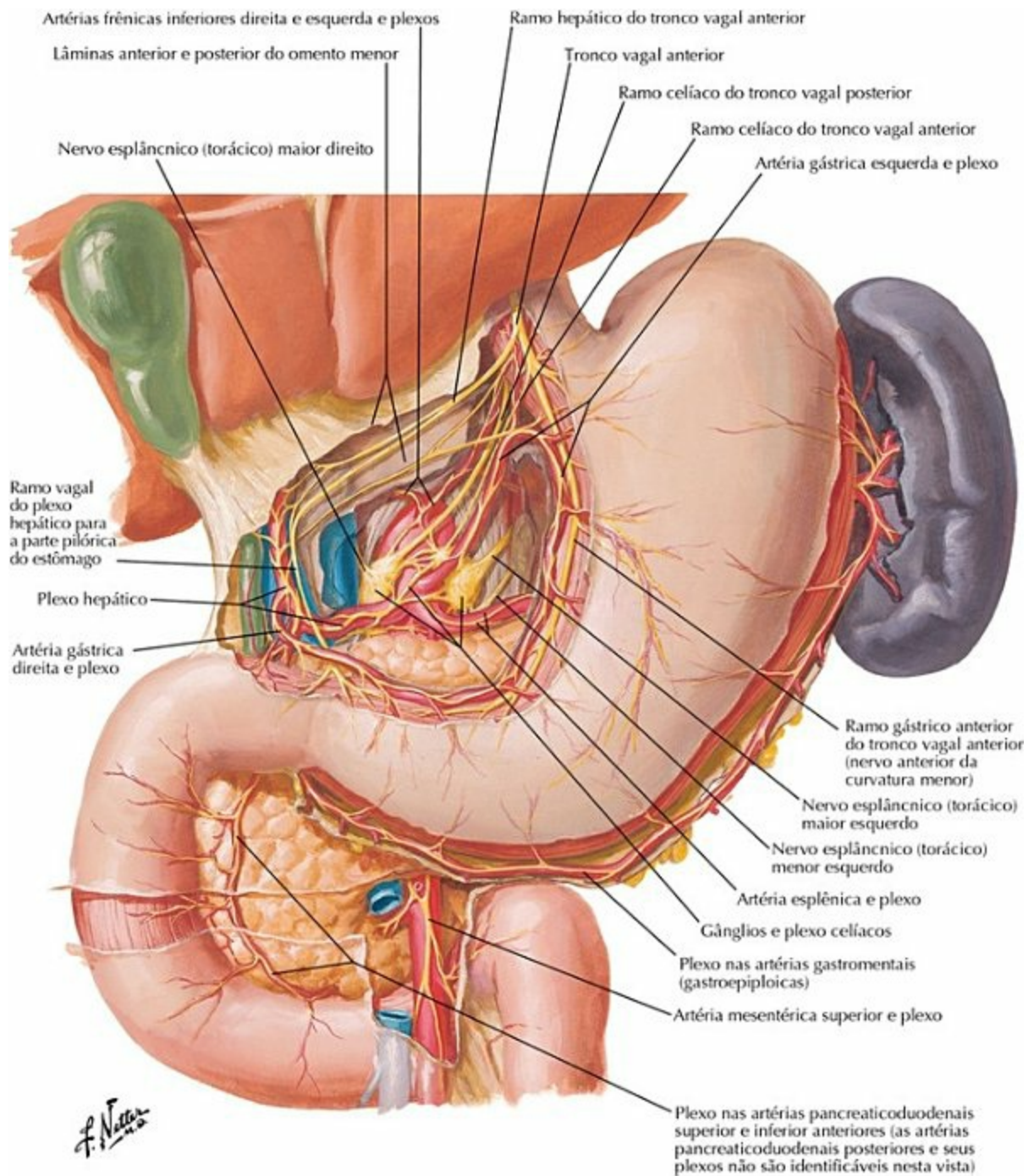
PRANCHA 296 Vascularização Visceral

Nervos, Plexos e Gânglios Autônomos do Abdome



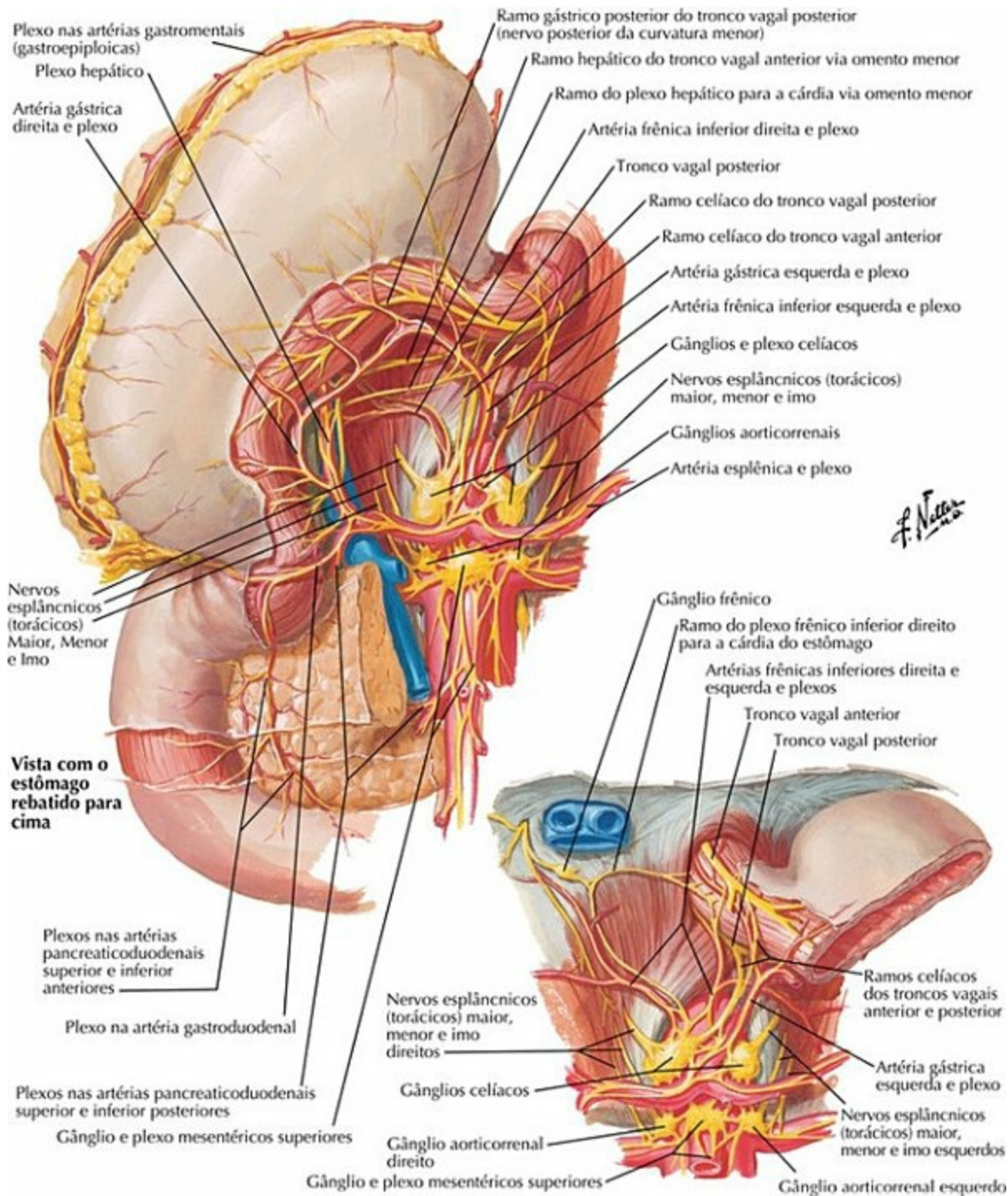
PRANCHA 297 Inervação

Inervação Autônoma do Estômago e do Duodeno



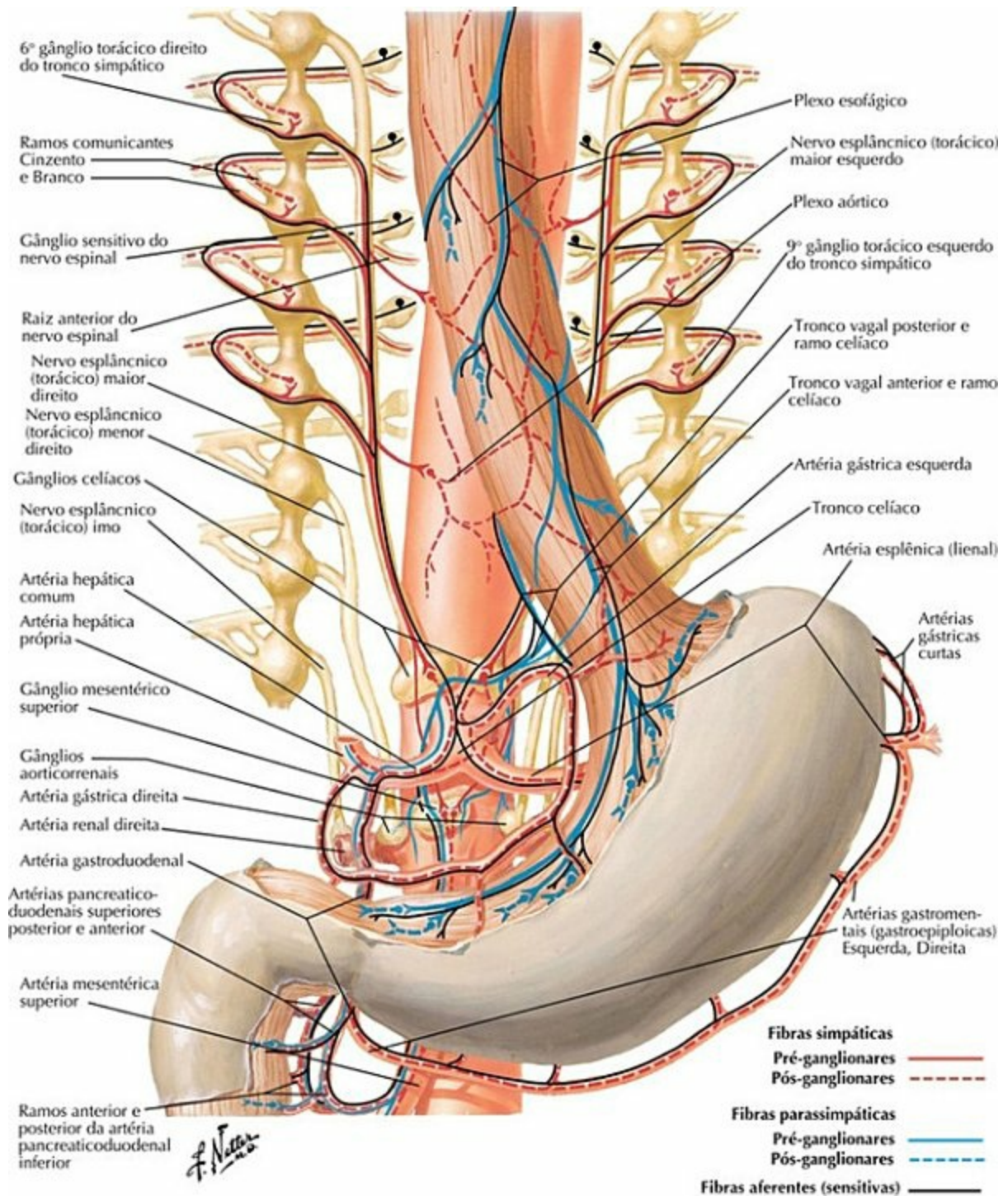
PRANCHA 298 Inervação

Inervação Autônoma do Estômago e do Duodeno (continuação)



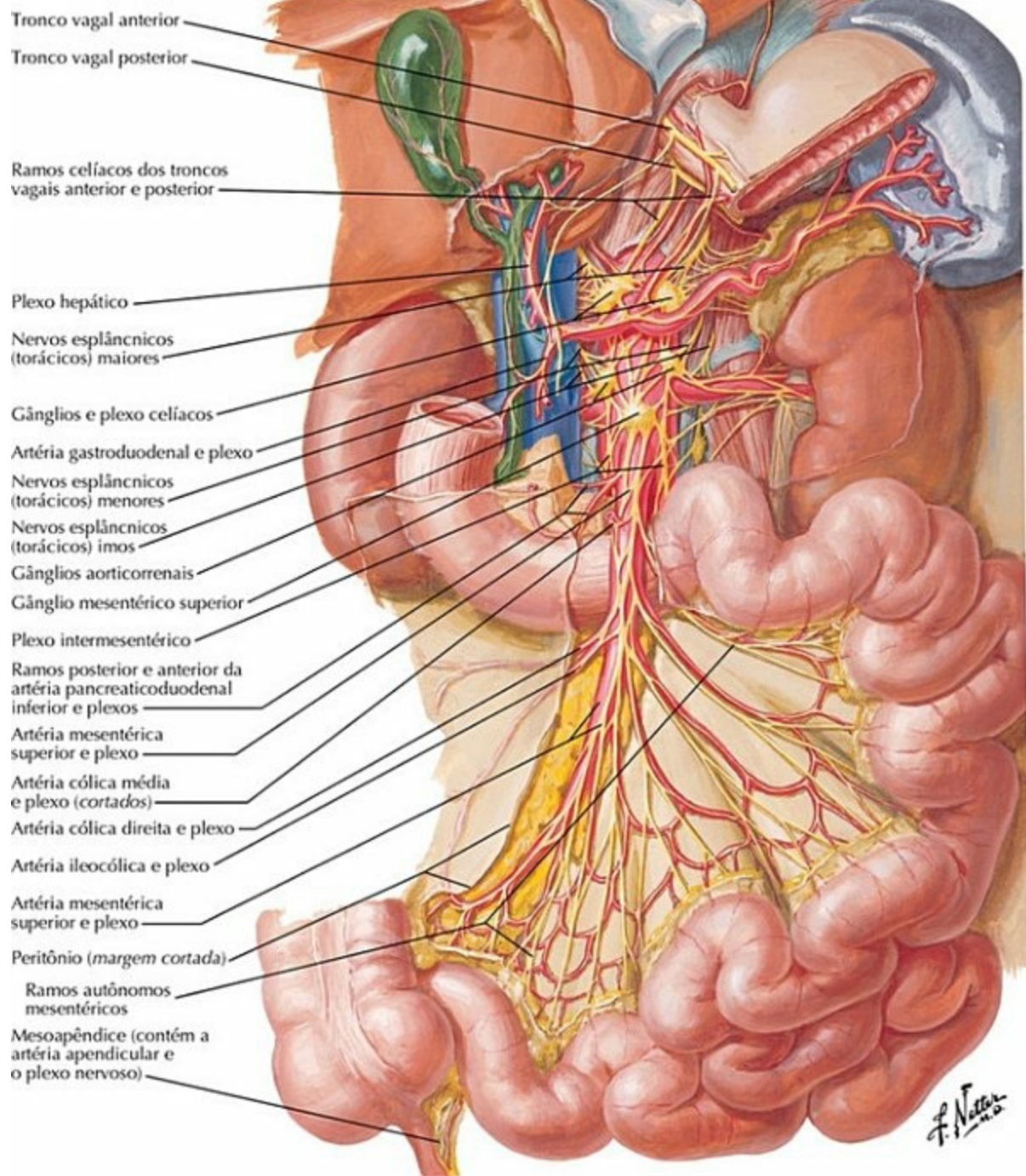
PRANCHA 299 Inervação

Inervação Autônoma do Esôfago, do Estômago e do Duodeno: Esquema



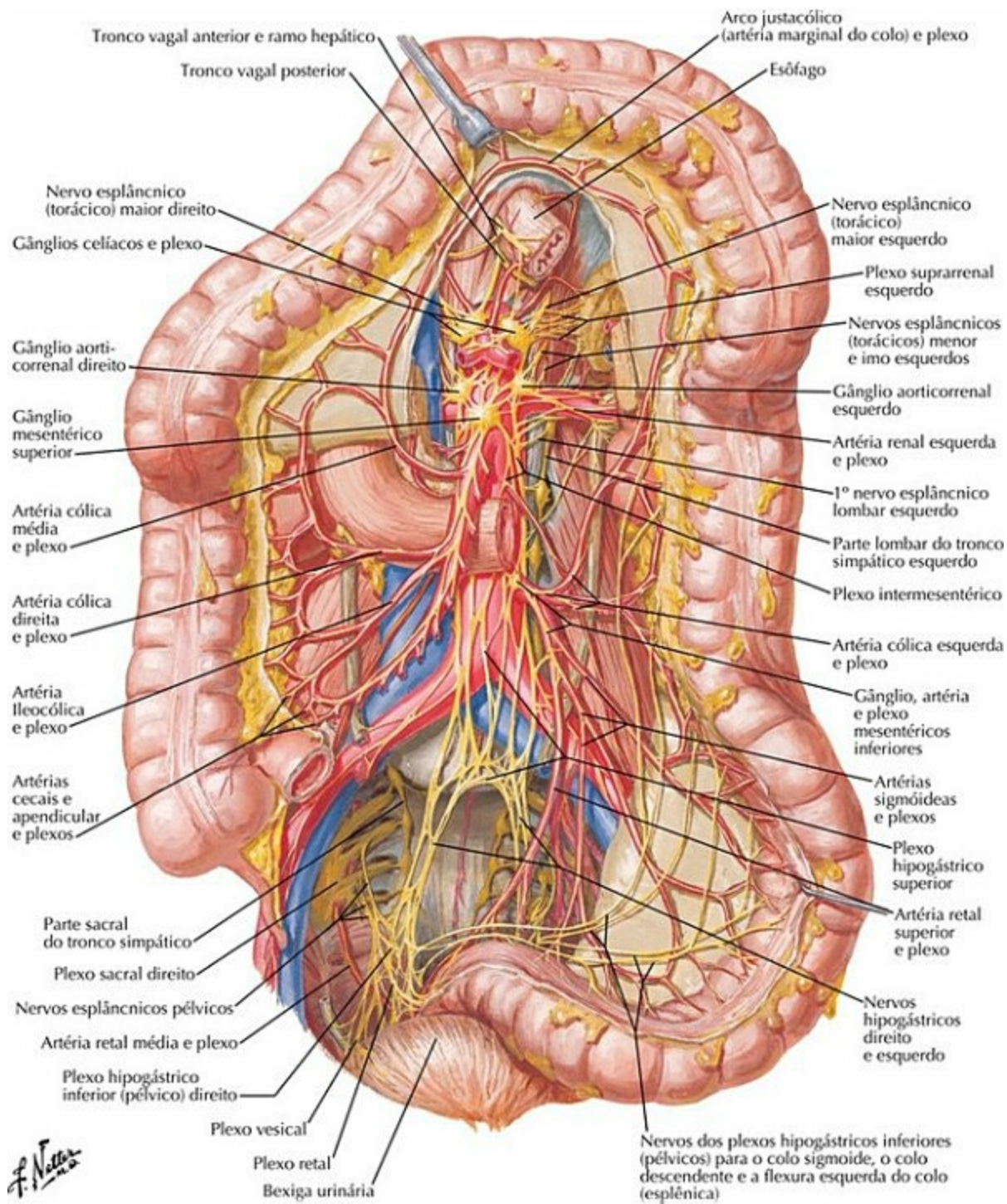
PRANCHA 300 Inervação
 Veja também **Pranchas 163, 164**

Inervação Autônoma do Intestino Delgado



PRANCHA 301 Inervação

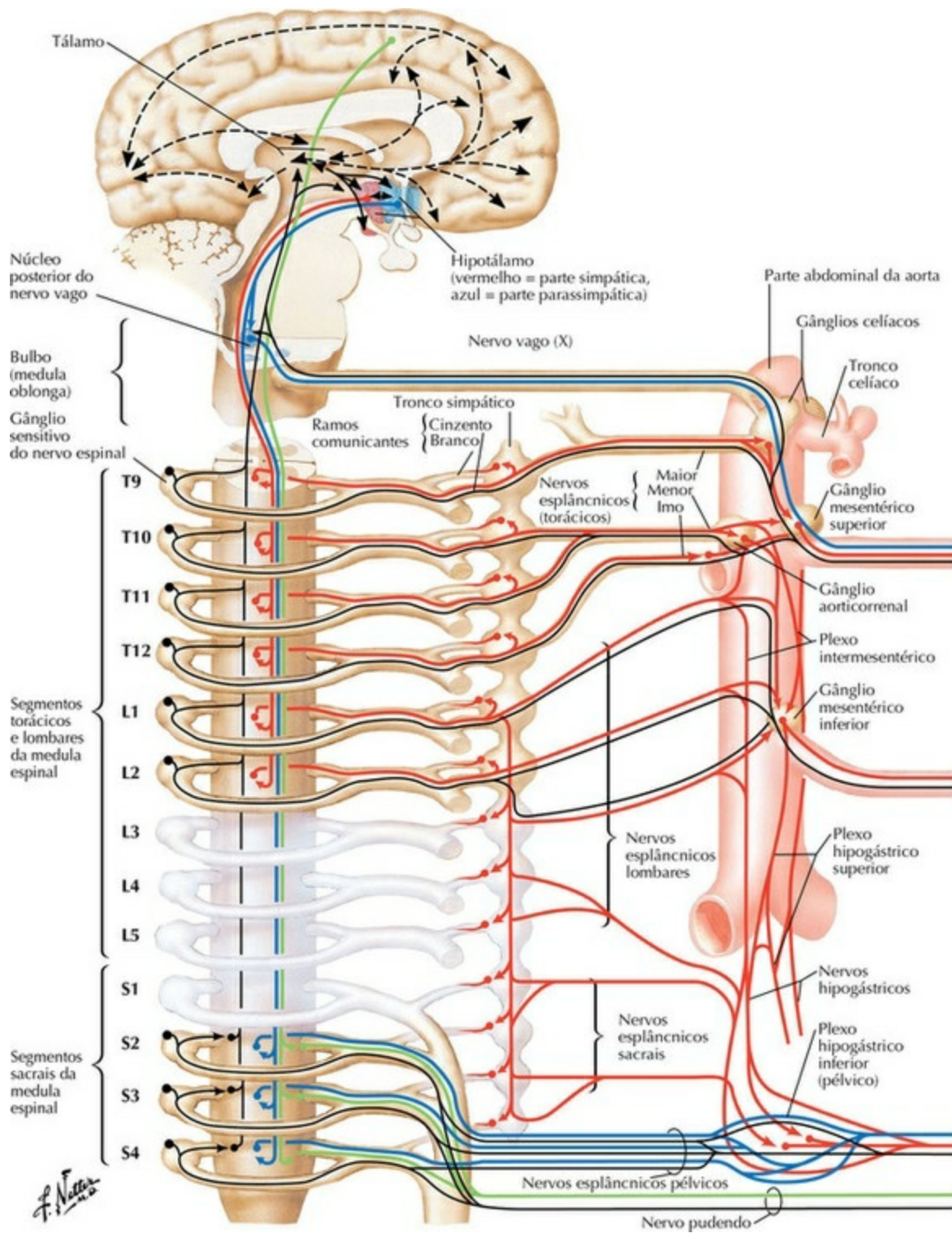
Inervação Autônoma do Intestino Grosso

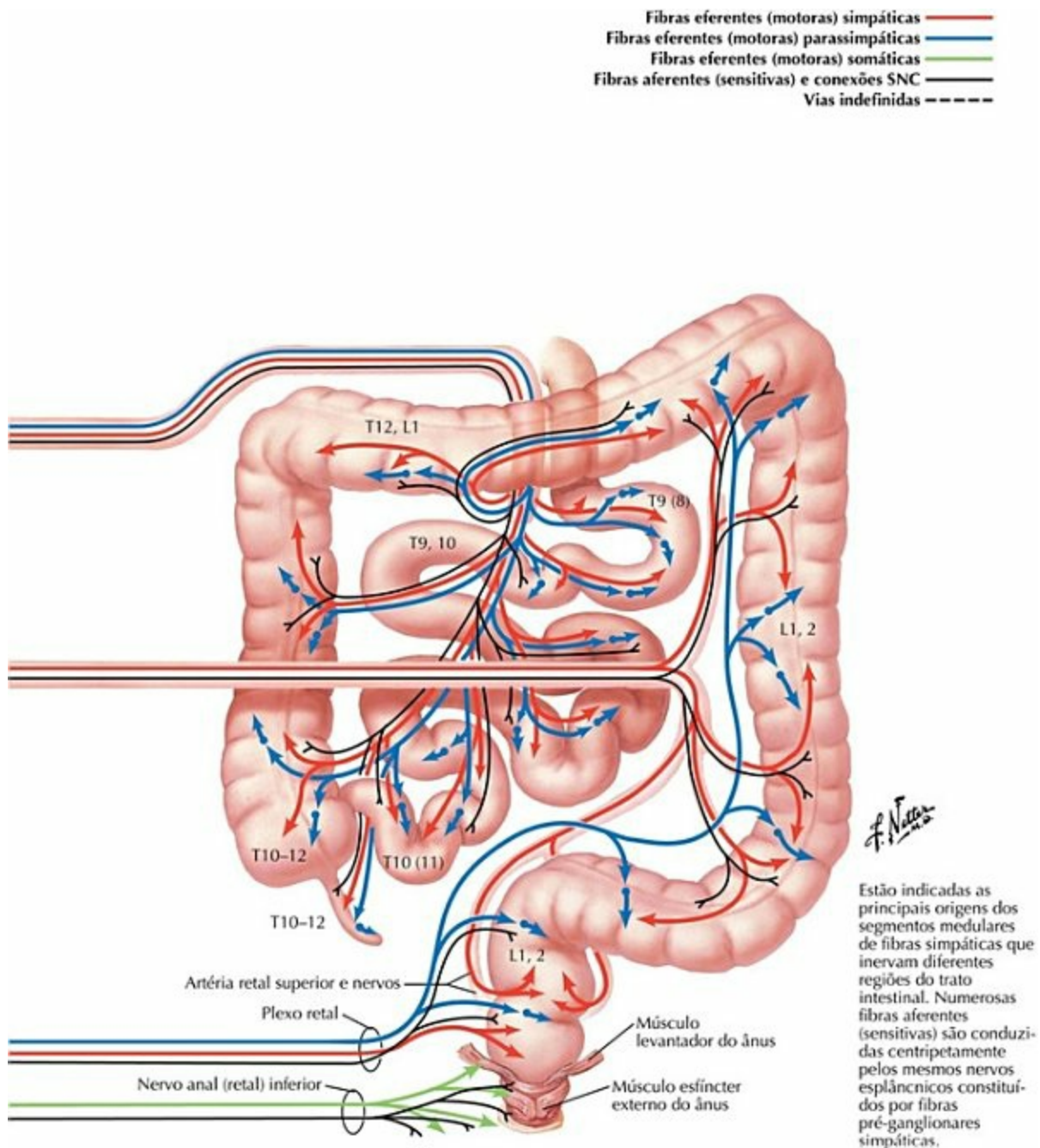


PRANCHA 302 Inervação

Para nervos do reto, veja também [Pranchas 388-391](#)

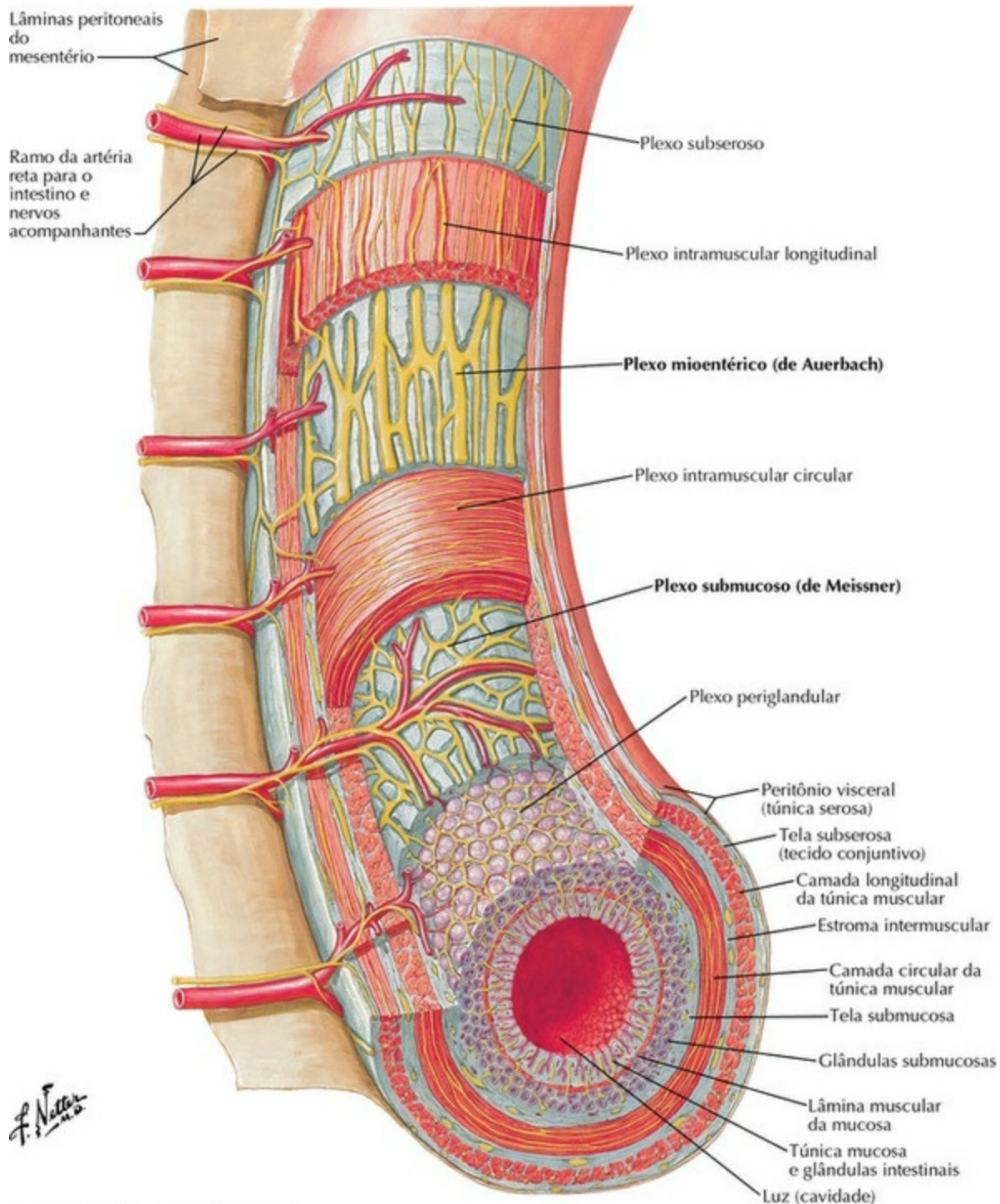
Inervação Autônoma dos Intestinos Delgado e Grosso: Esquema





PRANCHA 303 Inervação
 Veja também **Pranchas 163, 164**

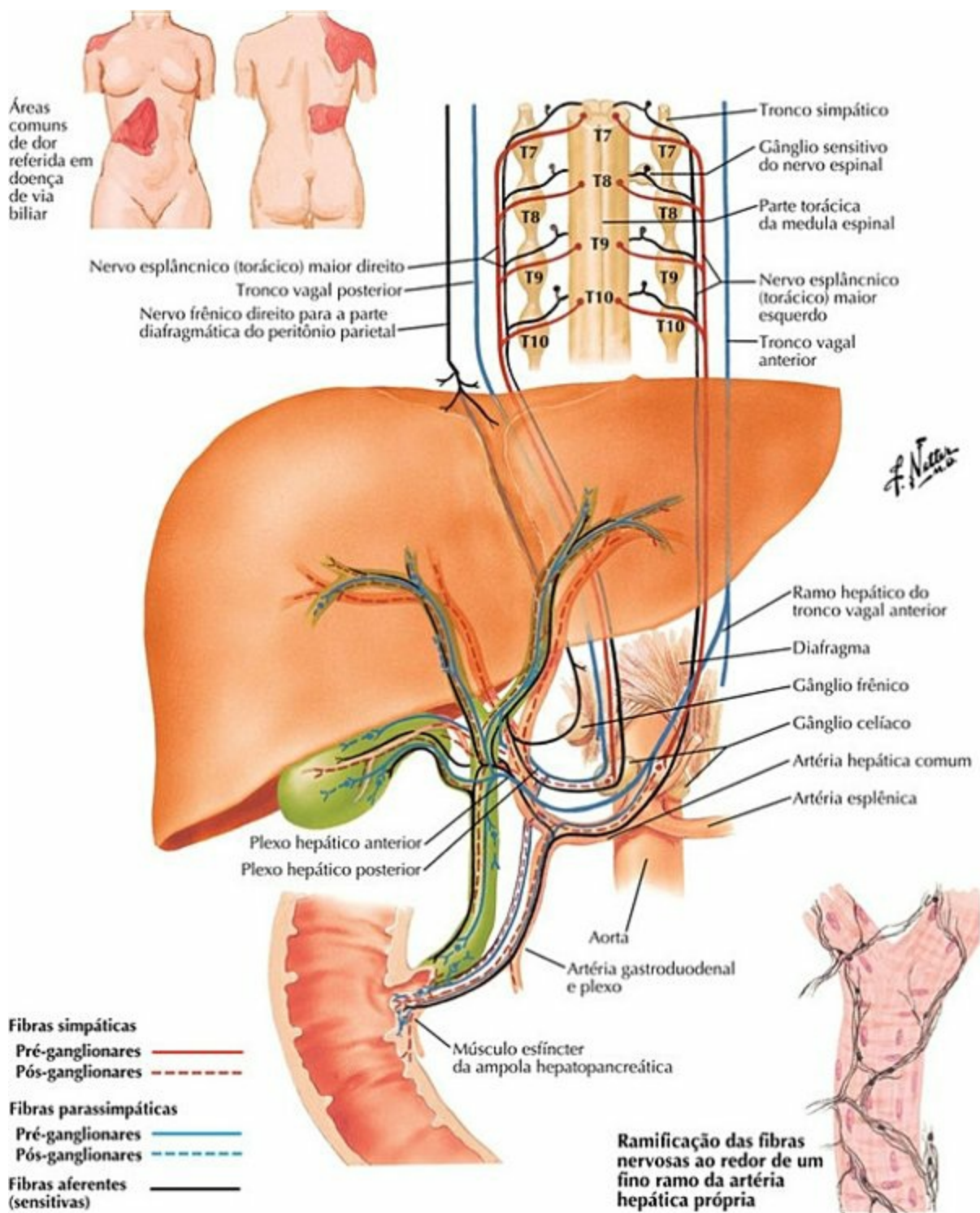
Vias Reflexas Autônomas: Esquema



Nota: A parede intestinal é mostrada muito mais espessa do que é na realidade.

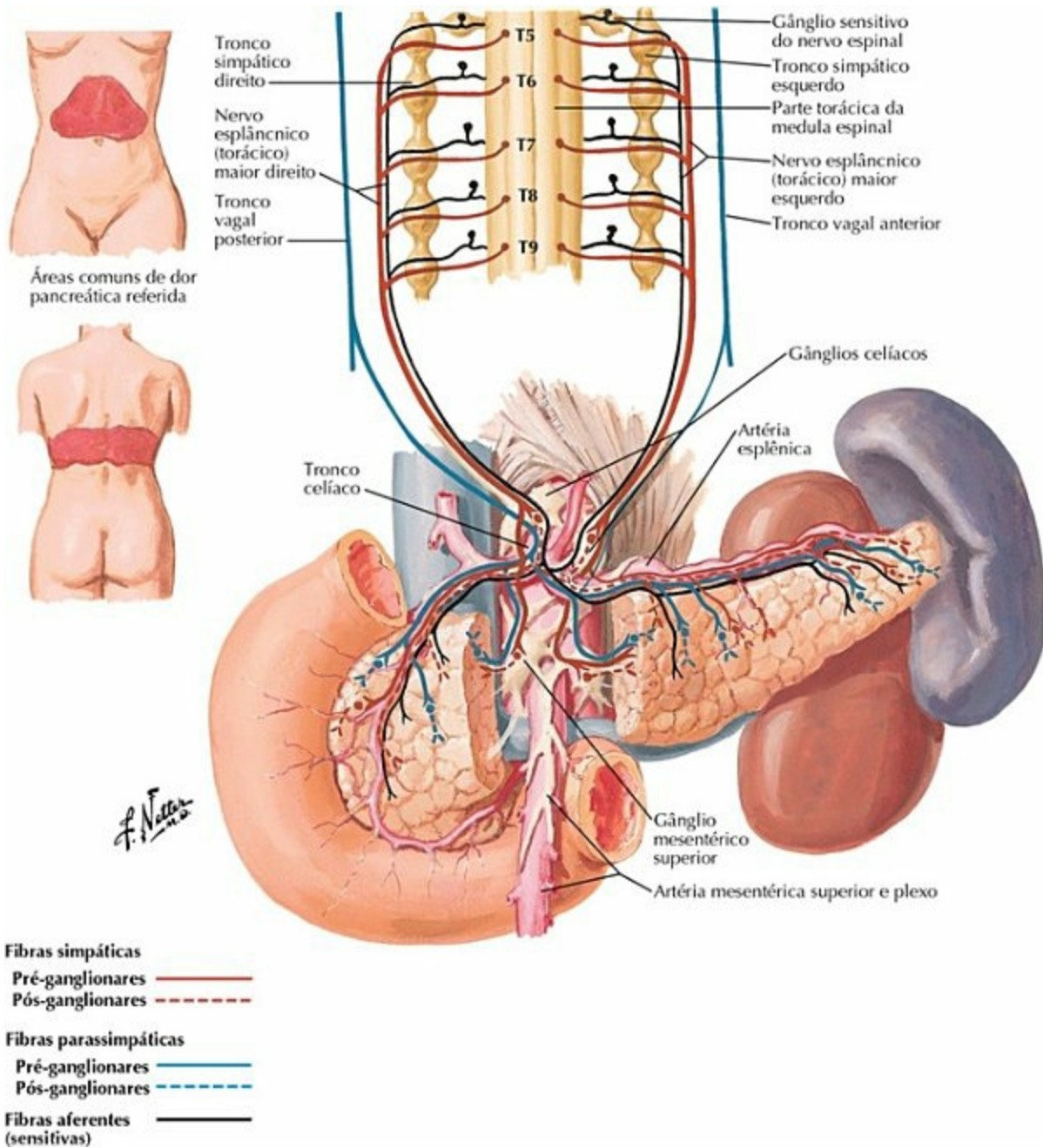
PRANCHA 305 Inervação

Inervação Autônoma do Fígado e da Via Biliar (Bilífera): Esquema



PRANCHA 306 Inervação
 Veja também **Pranchas 163, 164**

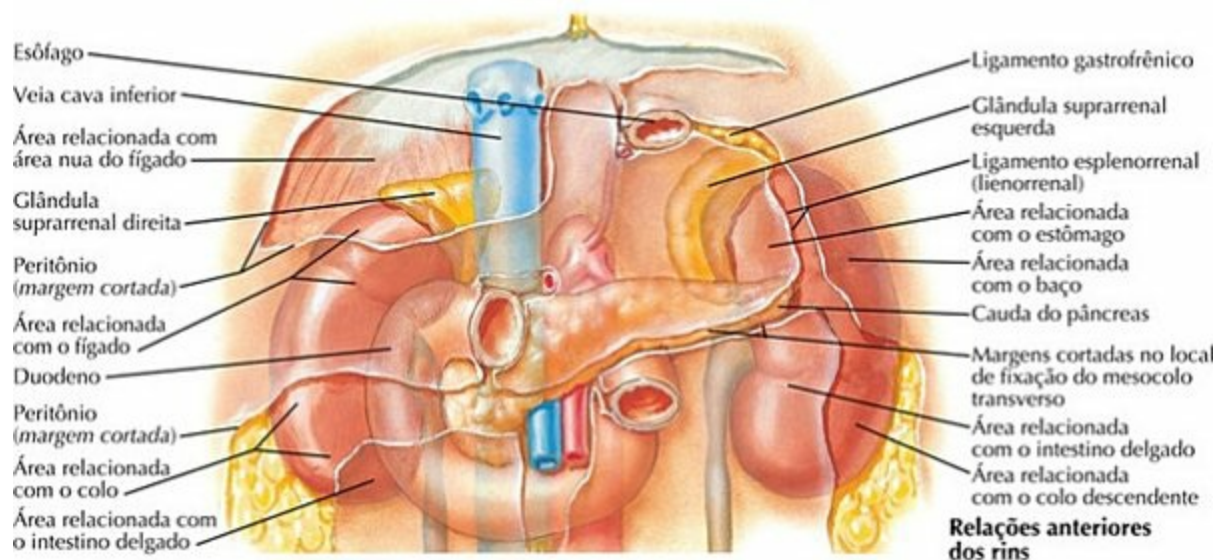
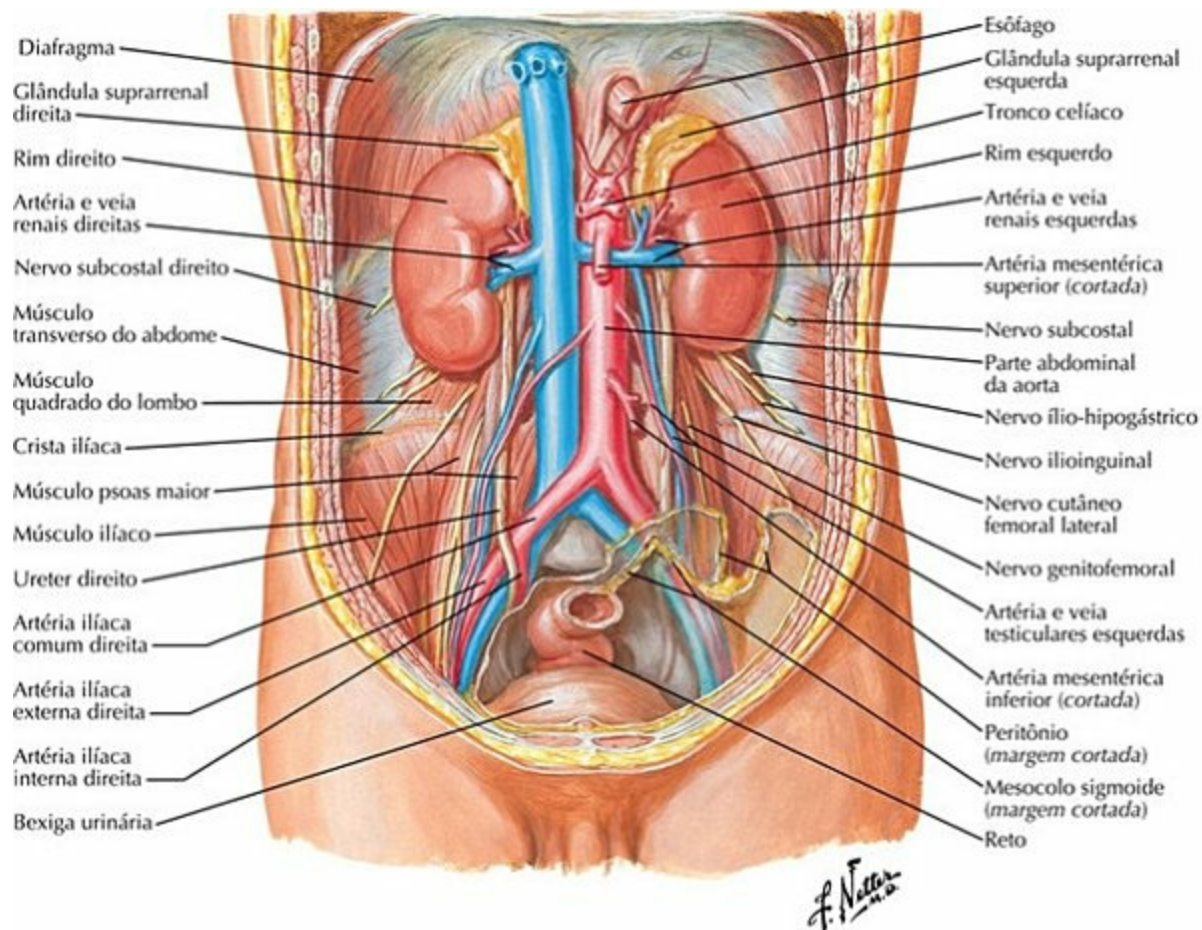
Inervação Autônoma do Pâncreas: Esquema



PRANCHA 307 Inervação

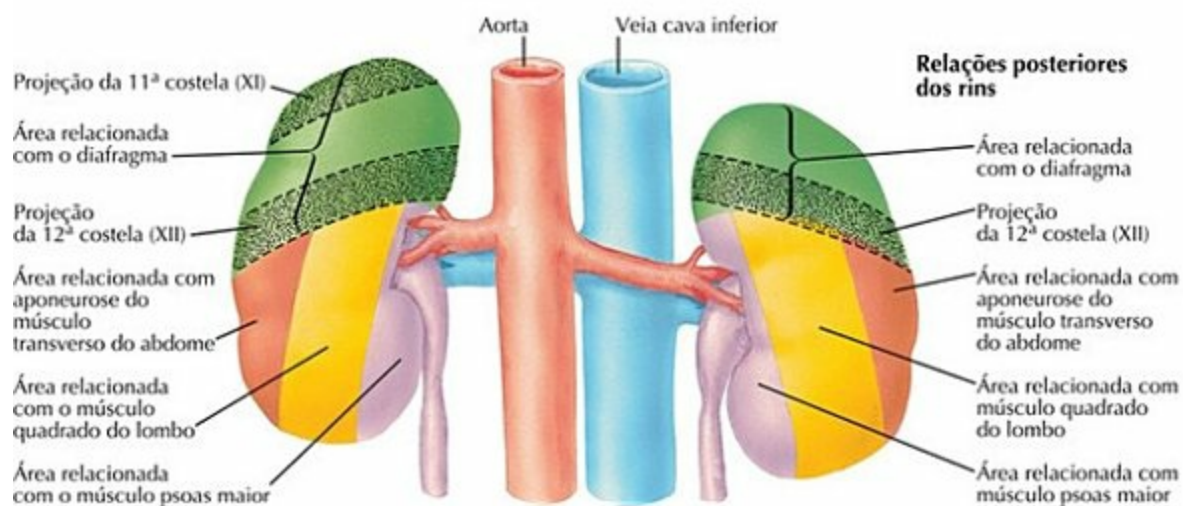
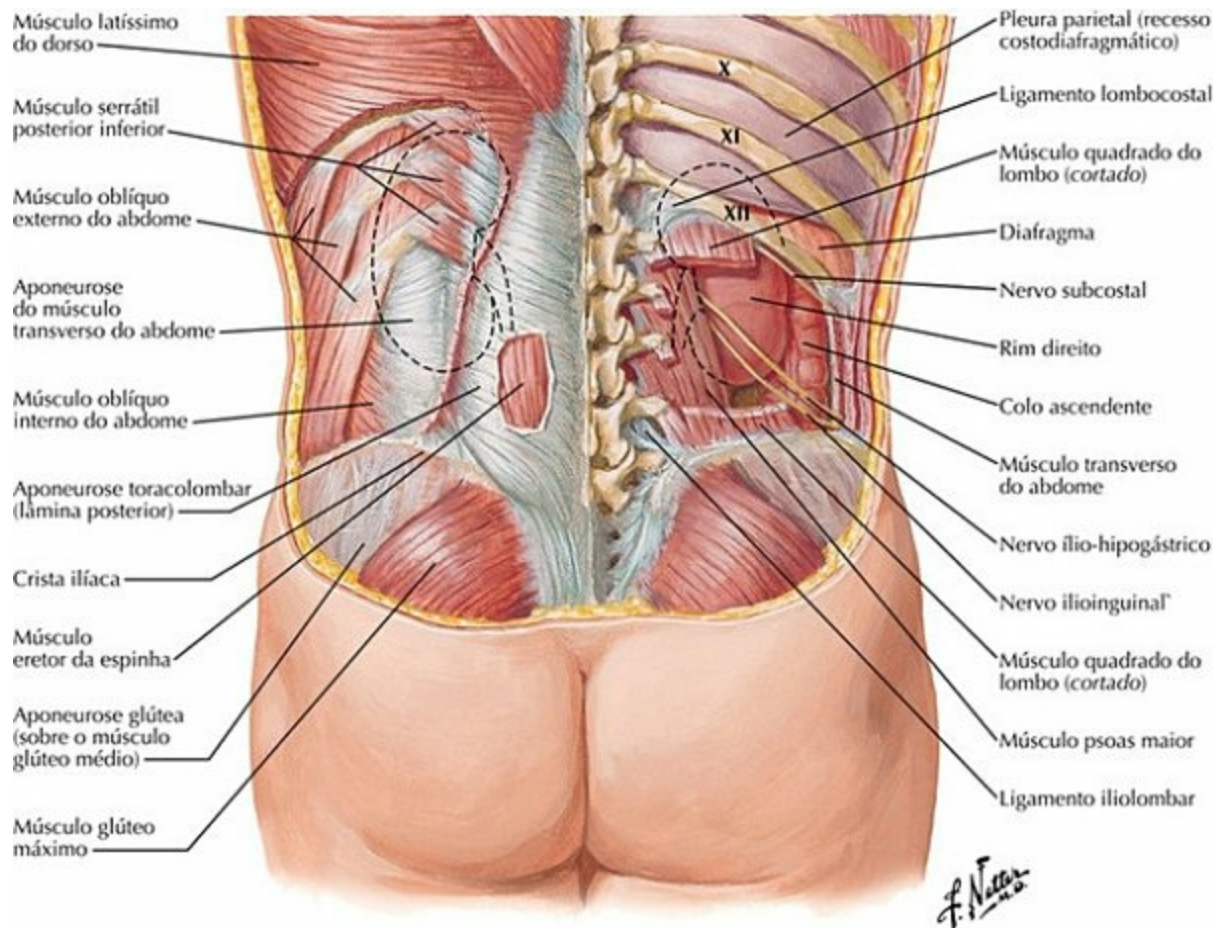
Veja também [Pranchas 163, 164](#)

Rins *in Situ*: Vistas Anteriores



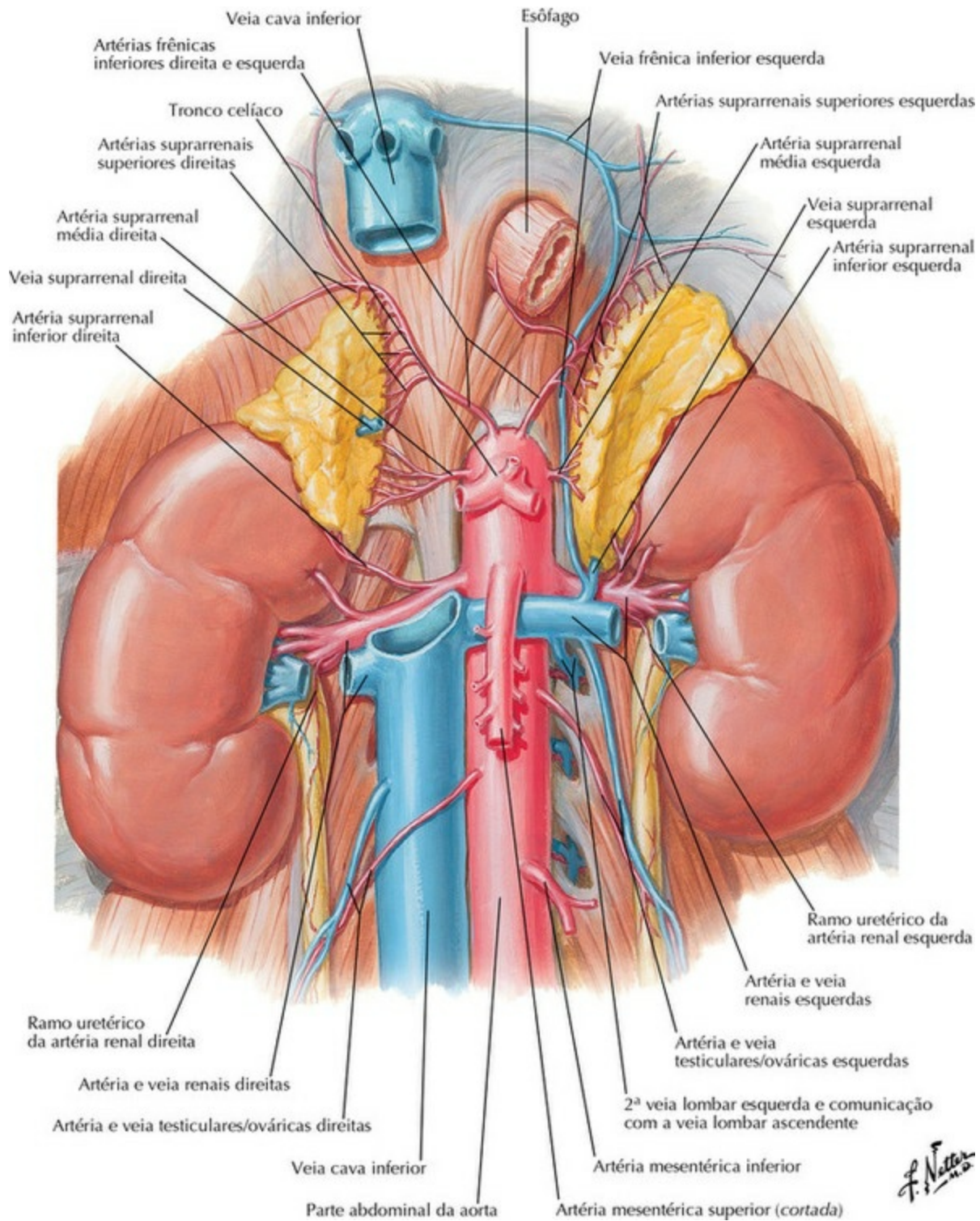
PRANCHA 308 Rins e Glândulas Suprarrenais

Rins *in Situ*: Vistas Posteriores



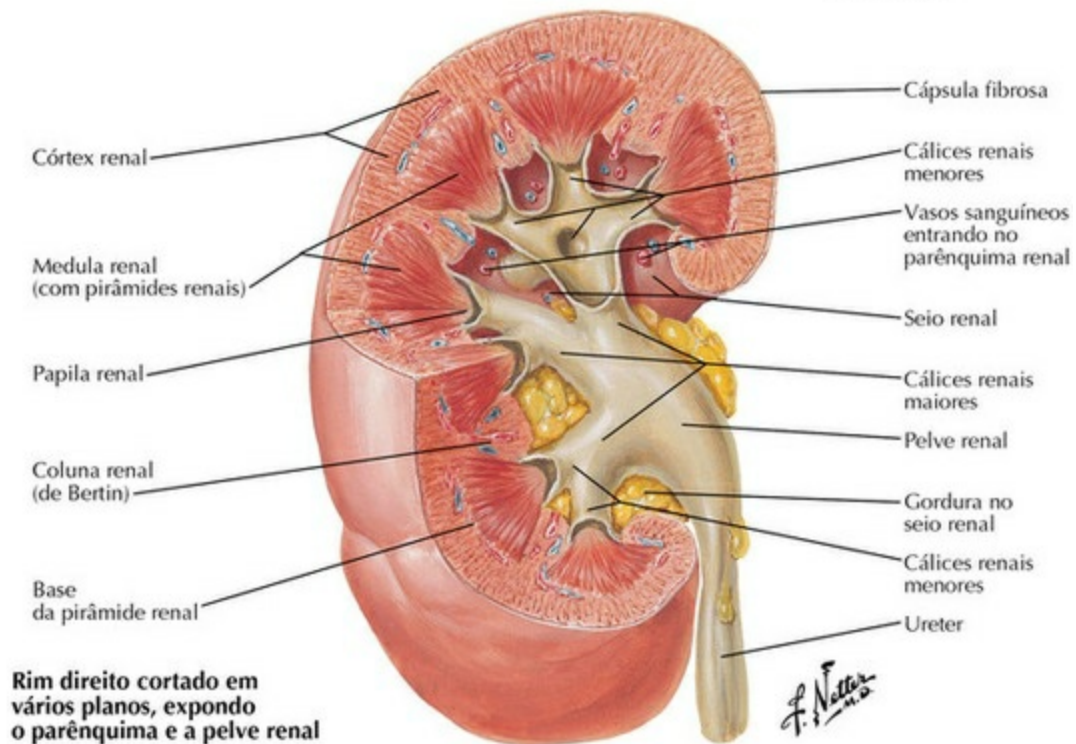
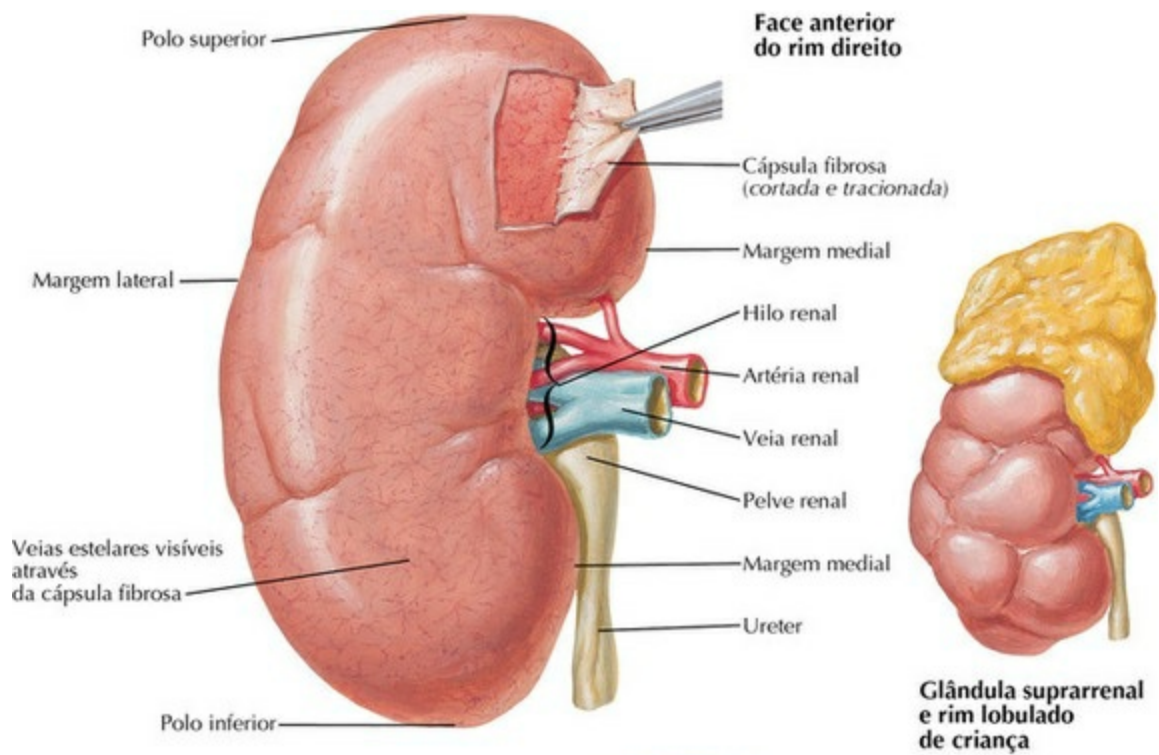
PRANCHA 309 Rins e Glândulas Suprarrenais

Artéria e Veia Renais *in Situ*



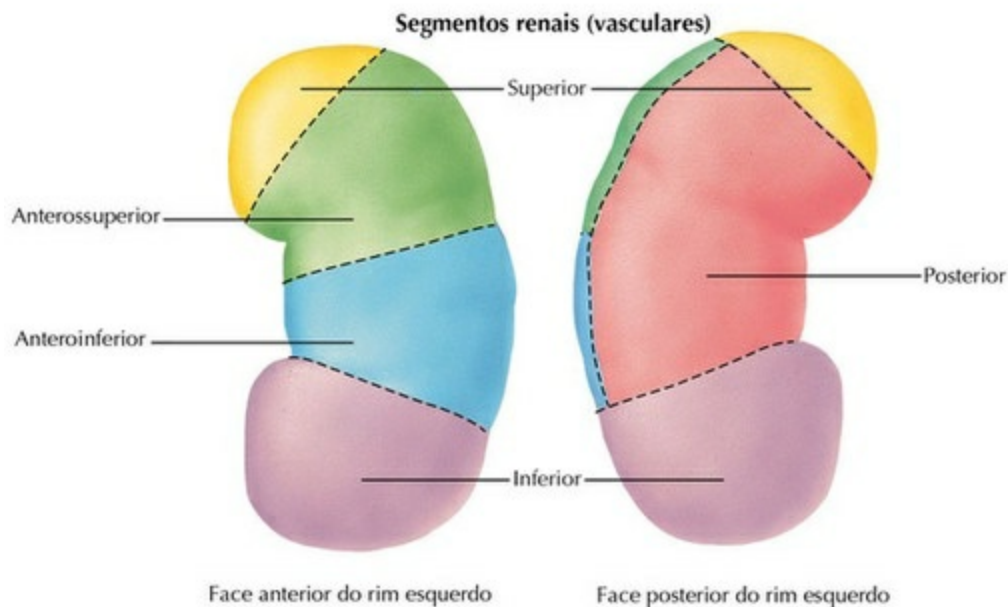
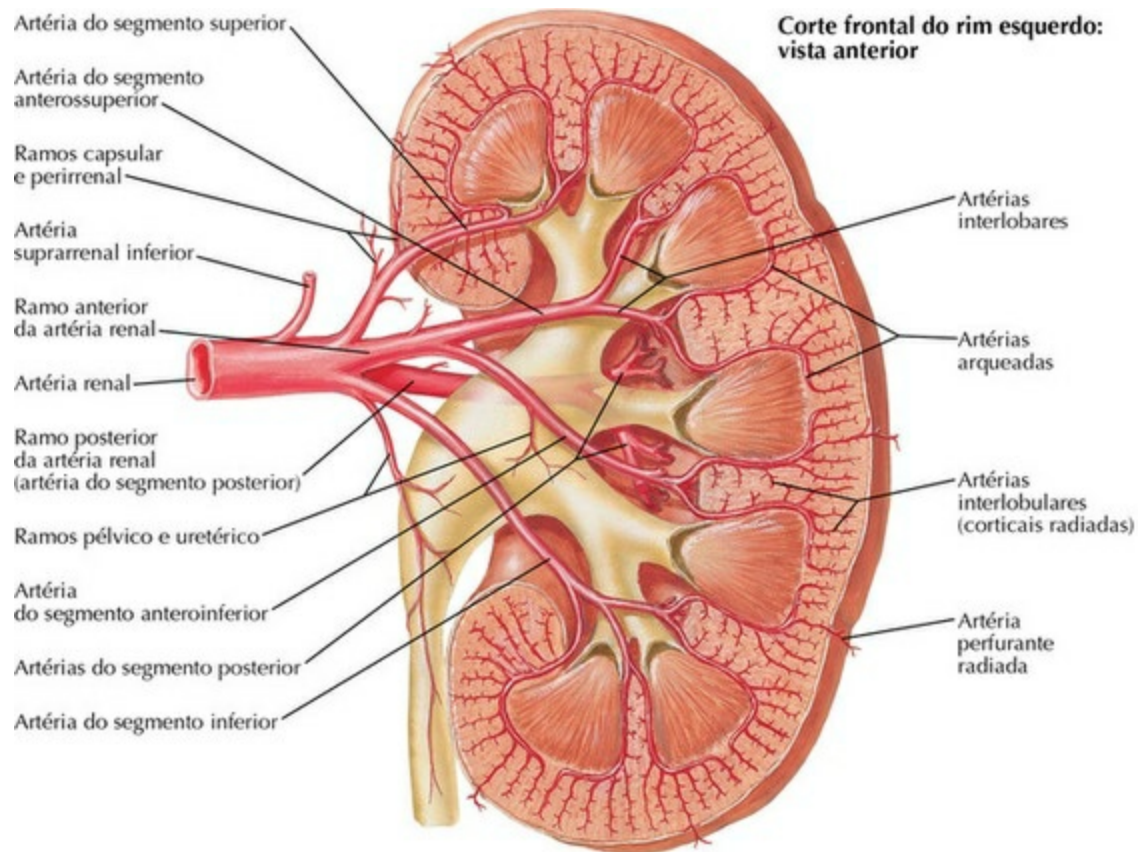
PRANCHA 310 Rins e Glândulas Suprarrenais

Estrutura Macroscópica do Rim



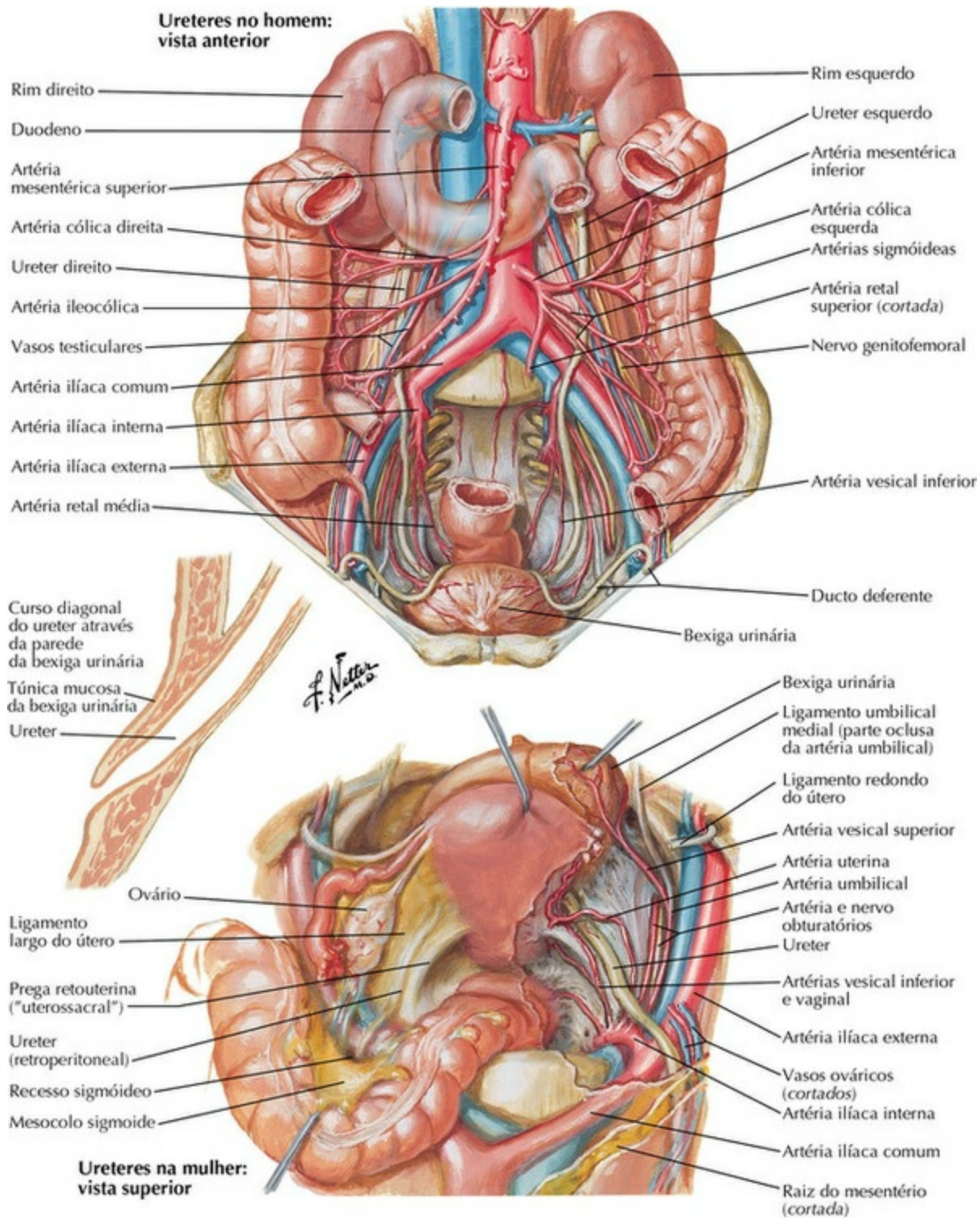
PRANCHA 311 Estrutura Macroscópica do Rim

Artérias Intrarrenais e Segmentos Renais



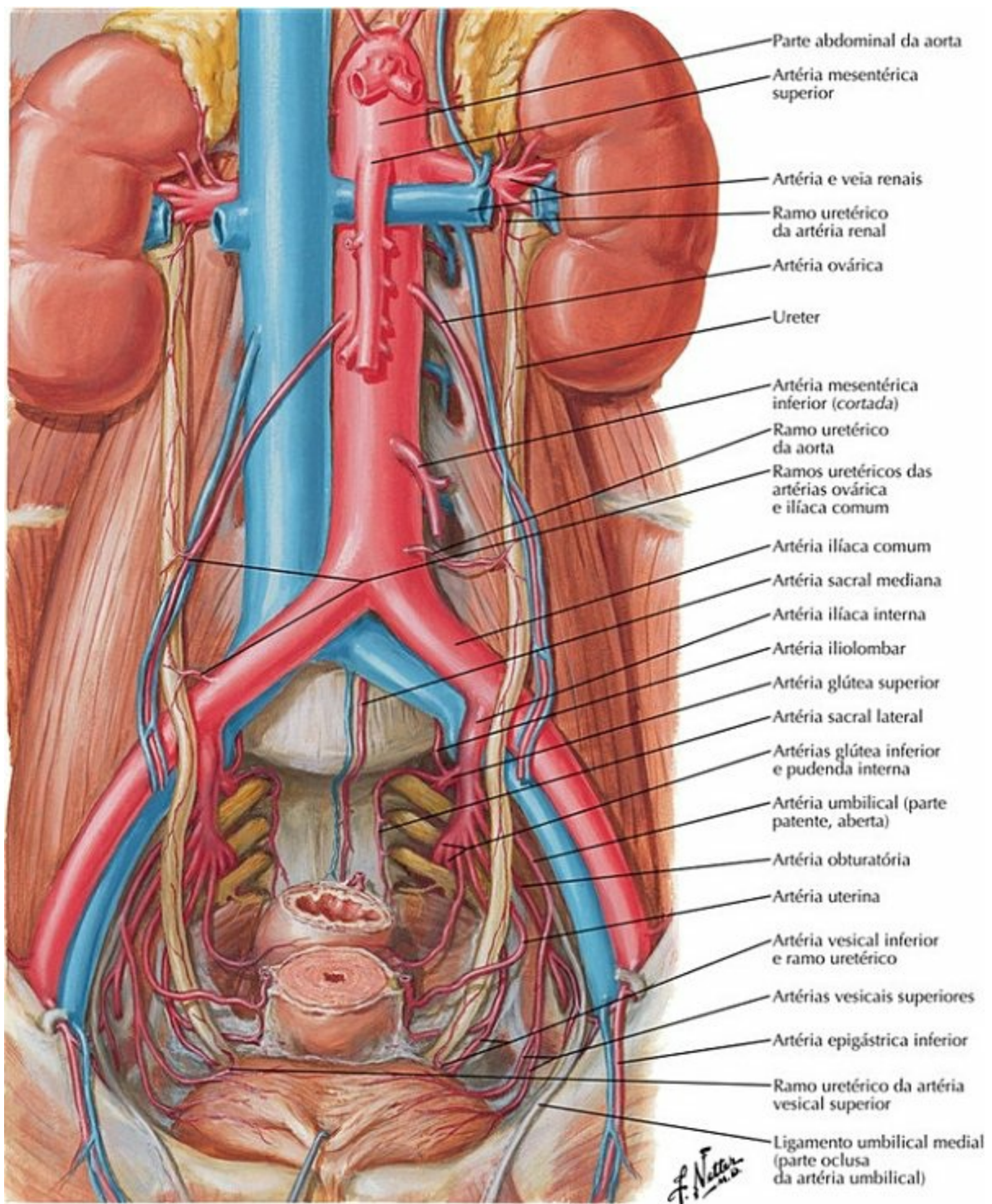
PRANCHA 312 Rins e Glândulas Suprarrenais

Ureteres no Abdome e na Pelve



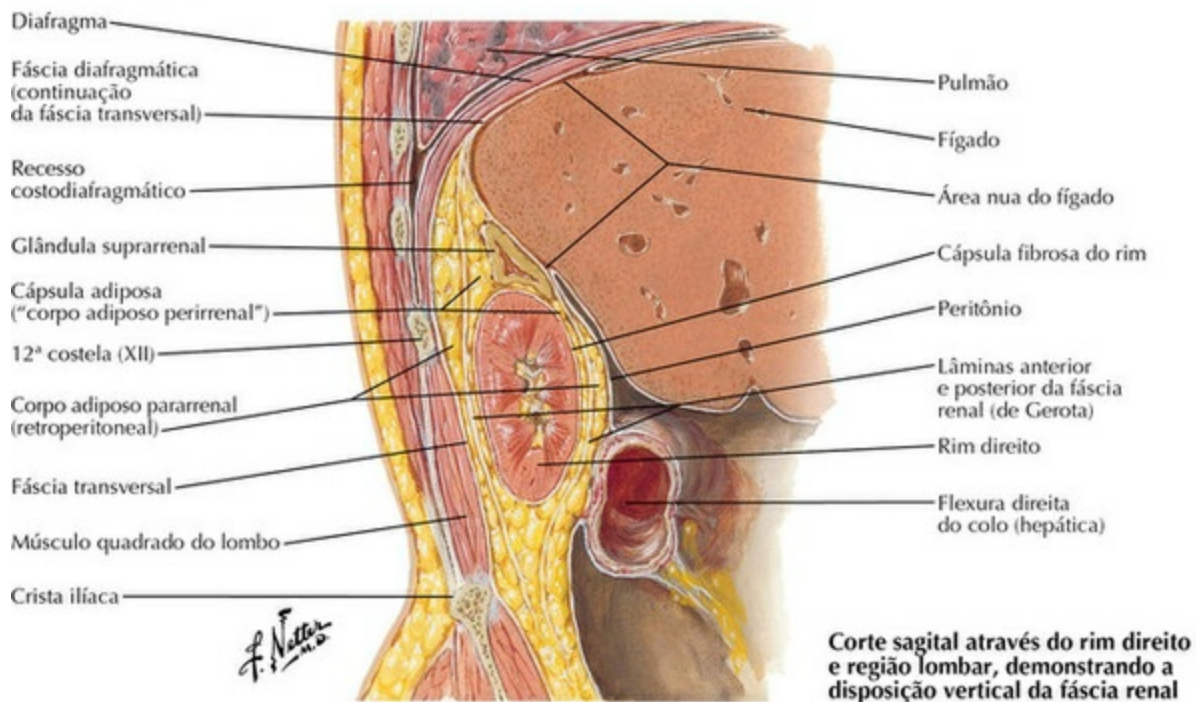
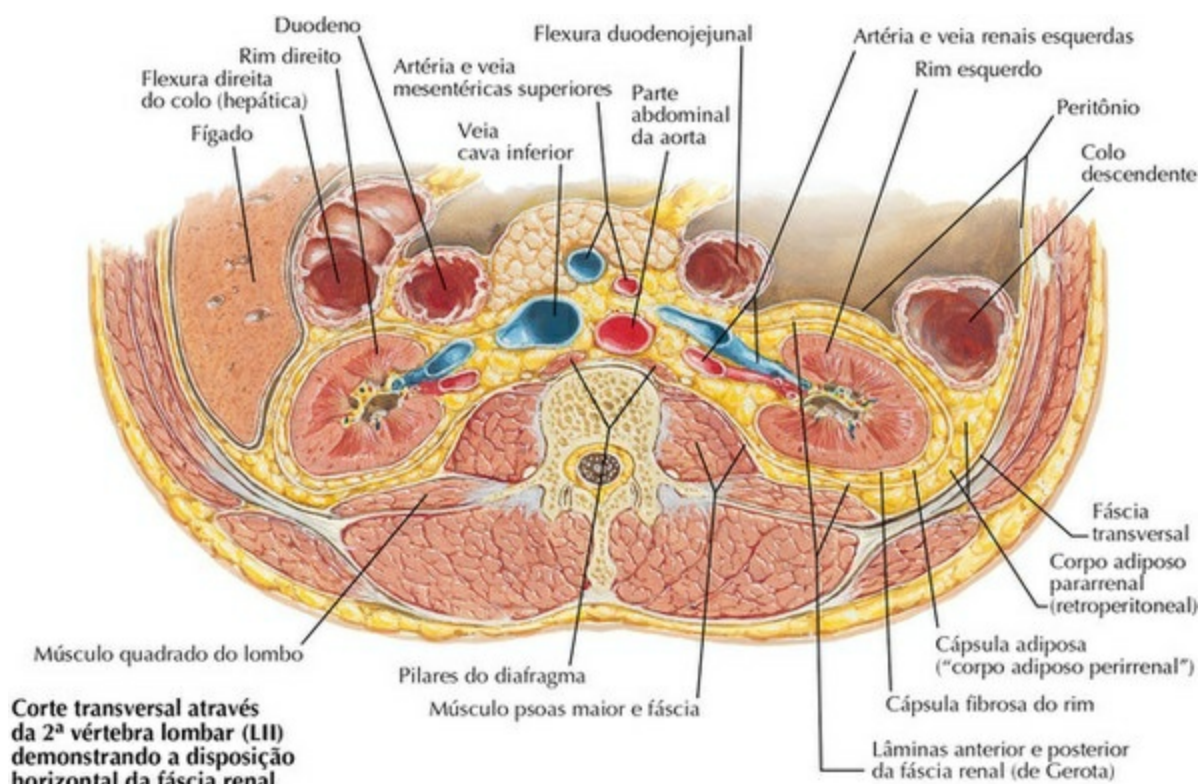
PRANCHA 313 Rins e Glândulas Suprarrenais
 Veja também **Pranchas 341, 342, 345**

Artérias dos Ureteres e da Bexiga Urinária



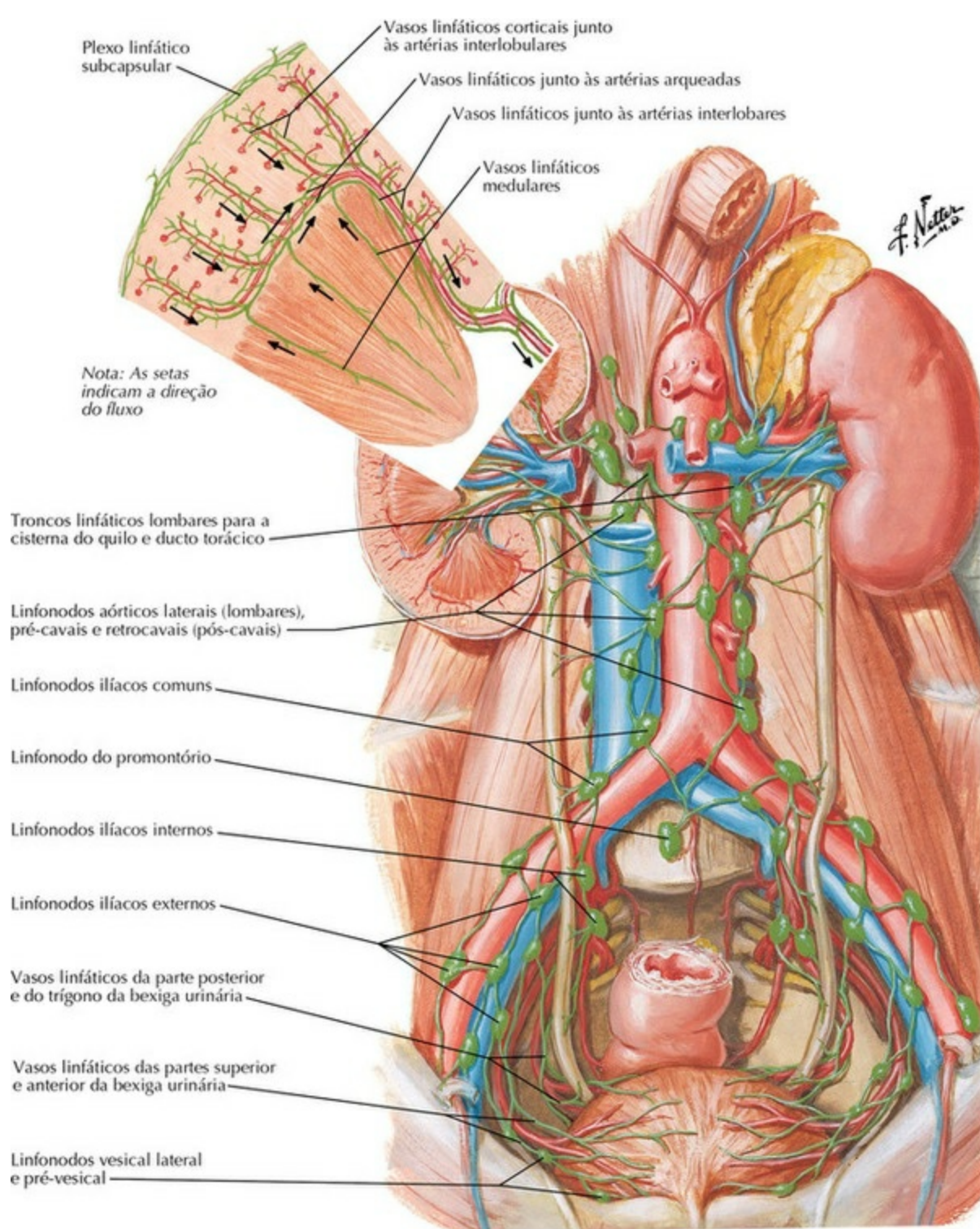
PRANCHA 314 Rins e Glândulas Suprarrenais

Fáscia Renal



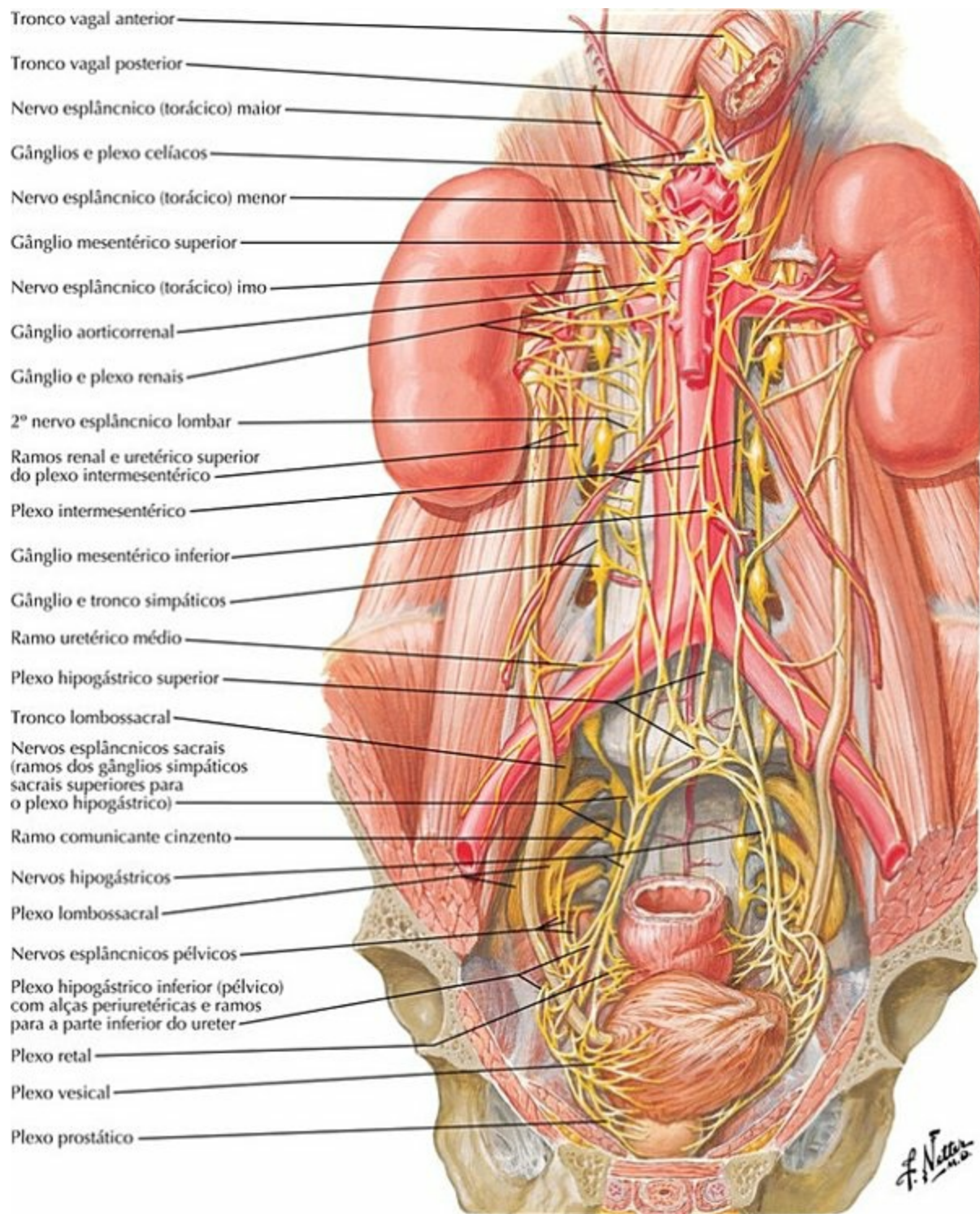
PRANCHA 315 Rins e Glândulas Suprarrenais

Vasos Linfáticos e Linfonodos dos Rins e da Bexiga Urinária



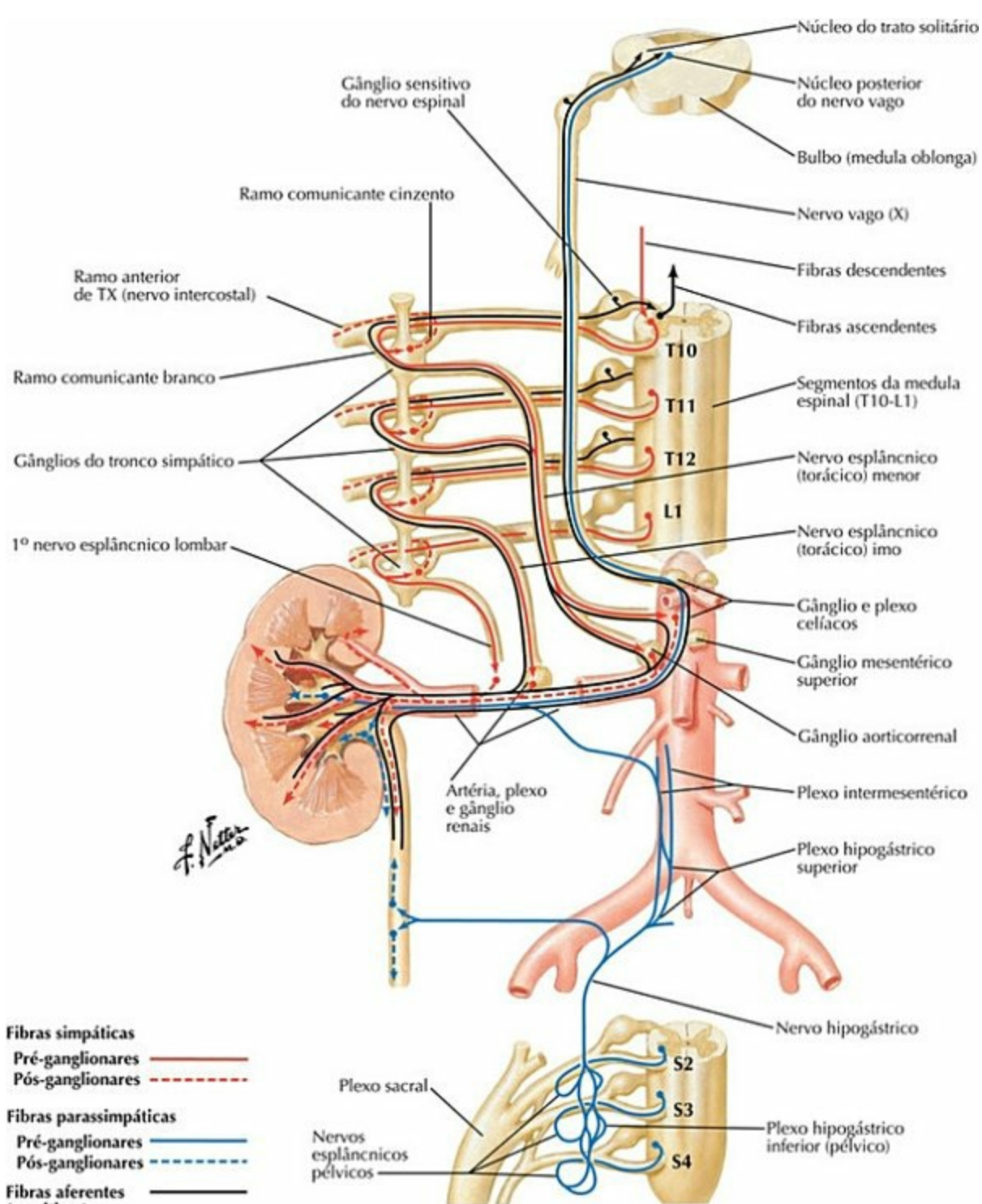
PRANCHA 316 Rins e Glândulas Suprarrenais
 Veja também **Pranchas 384, 386**

Nervos Autônomos dos Rins, dos Ureteres e da Bexiga Urinária



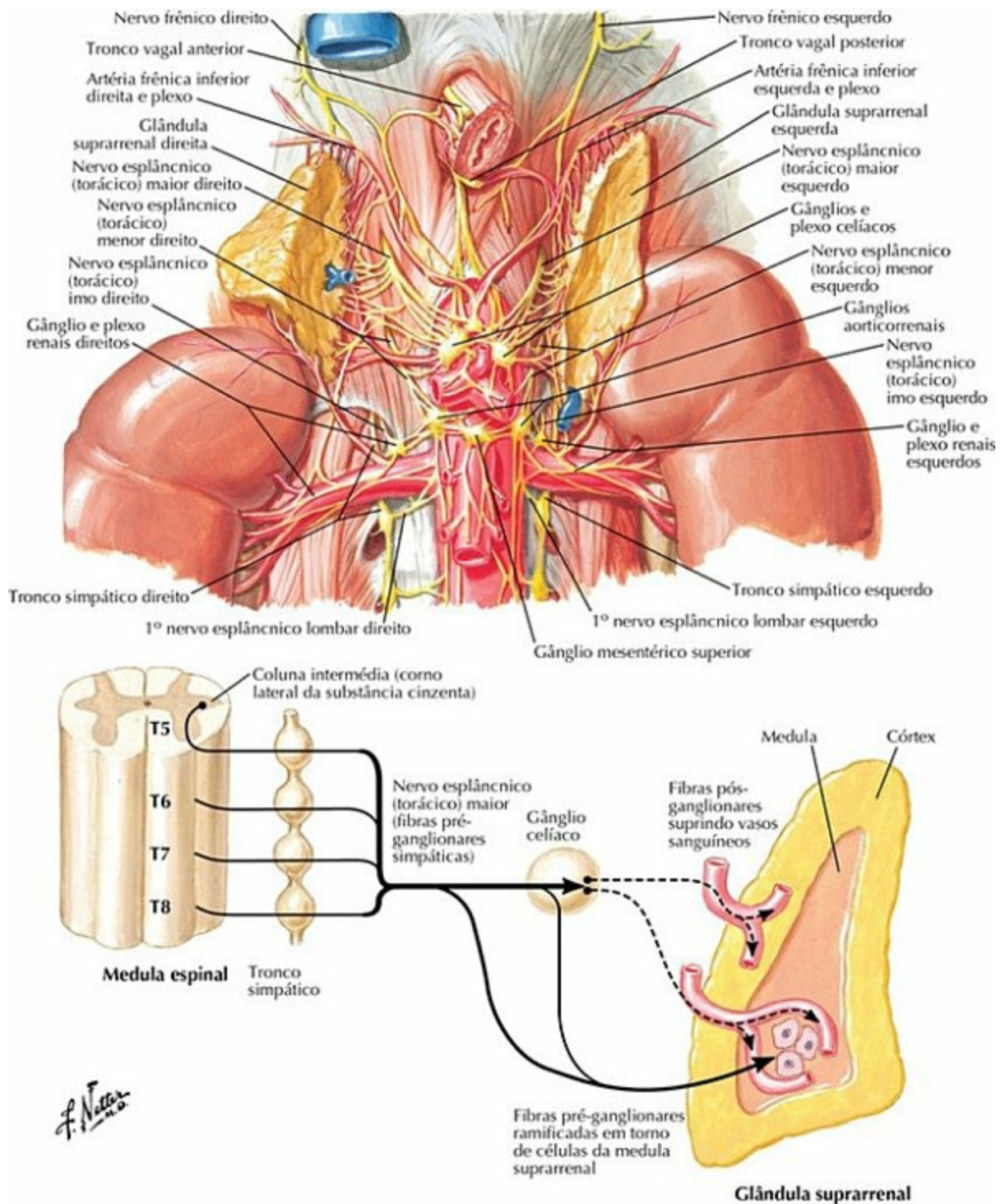
PRANCHA 317 Rins e Glândulas Suprarrenais

Inervação Autônoma dos Rins e da Parte Superior dos Ureteres: Esquema



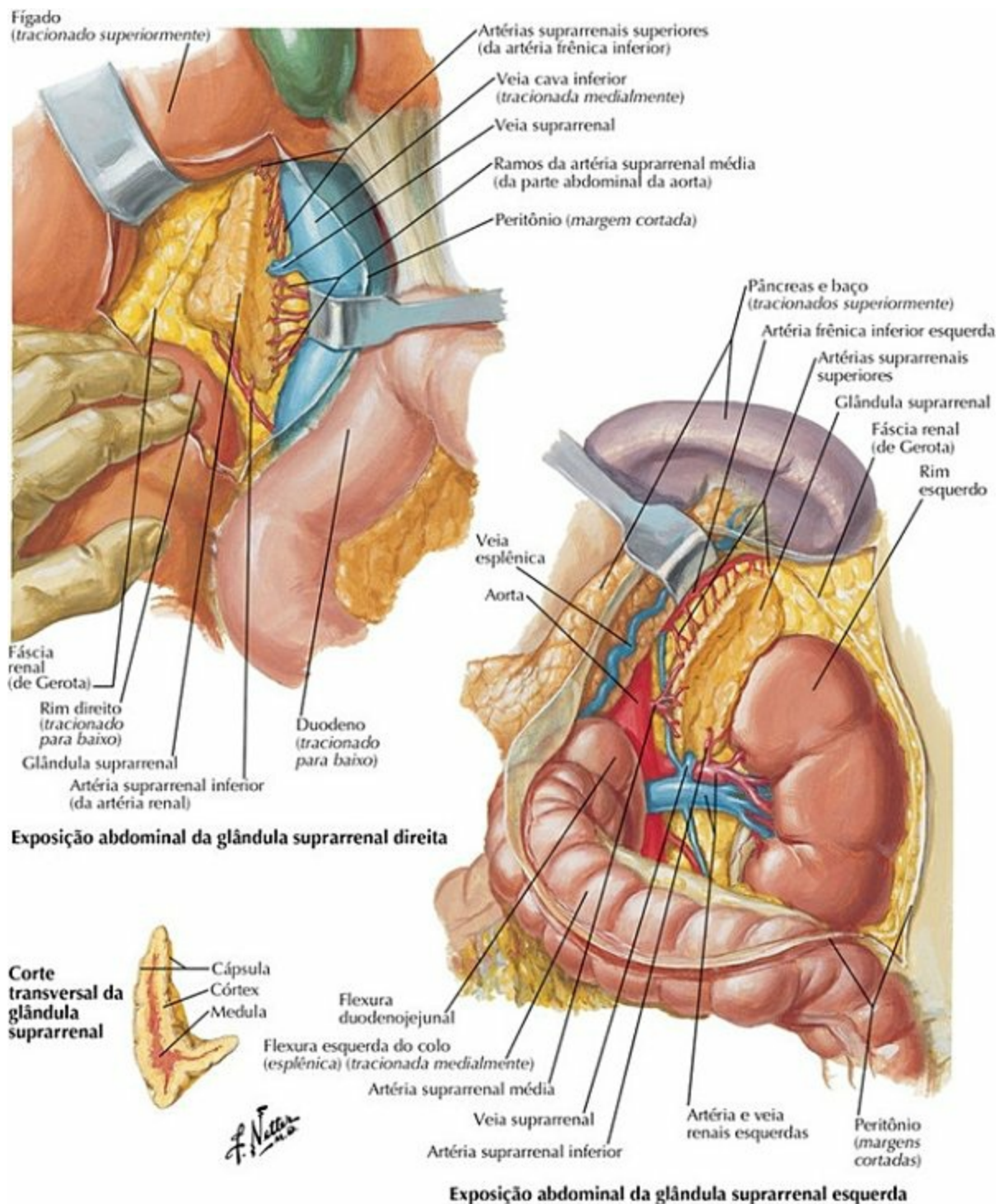
PRANCHA 318 Rins e Glândulas Suprarrenais
 Veja também **Pranchas 163, 164, 395**

Nervos Autônomos das Glândulas Suprarrenais: Dissecação e Esquema



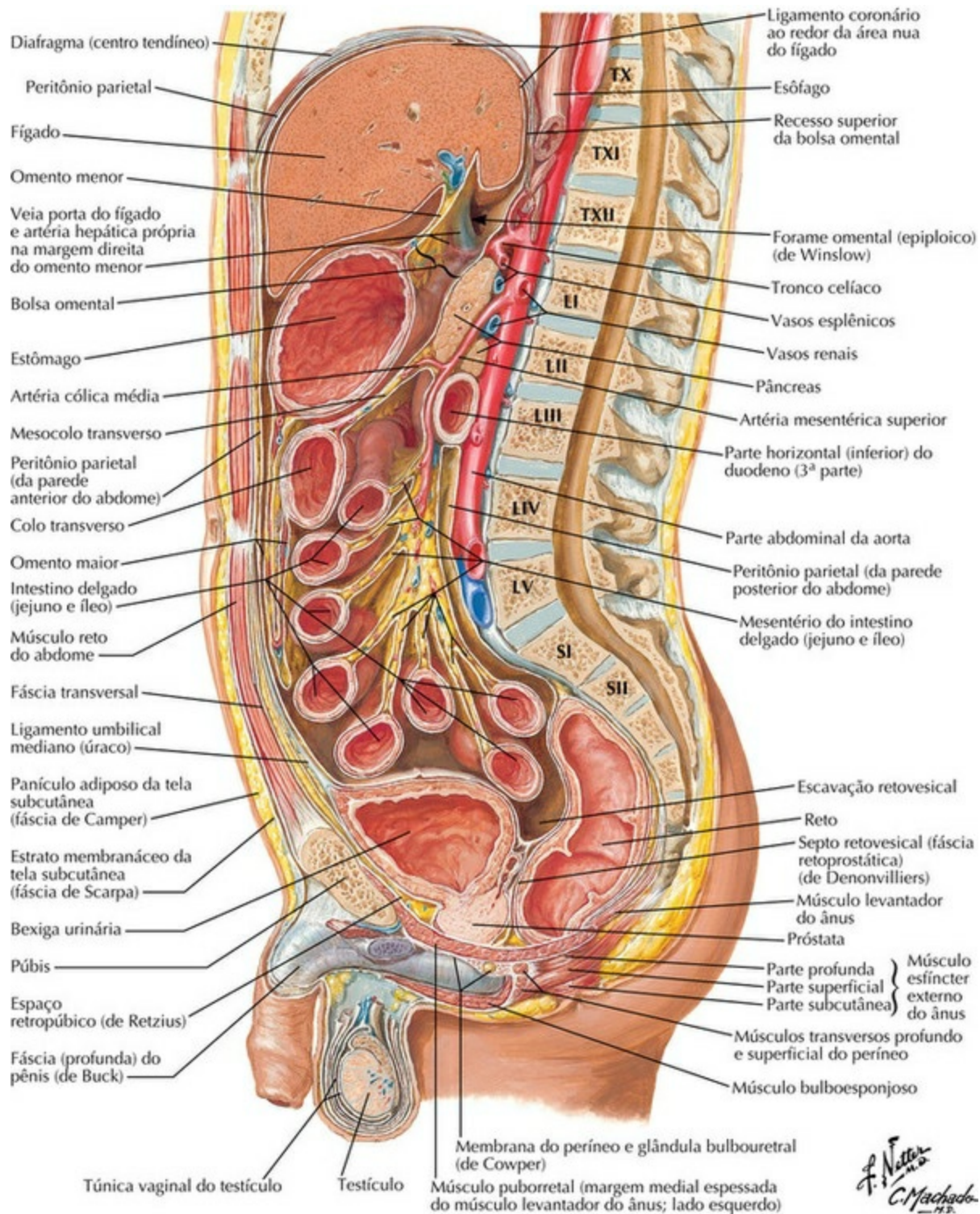
PRANCHA 319 Rins e Glândulas Suprarrenais
 Veja também **Pranchas 163, 164**

Artérias e Veias das Glândulas Suprarrenais *in Situ*



PRANCHA 320 Rins e Glândulas Suprarrenais

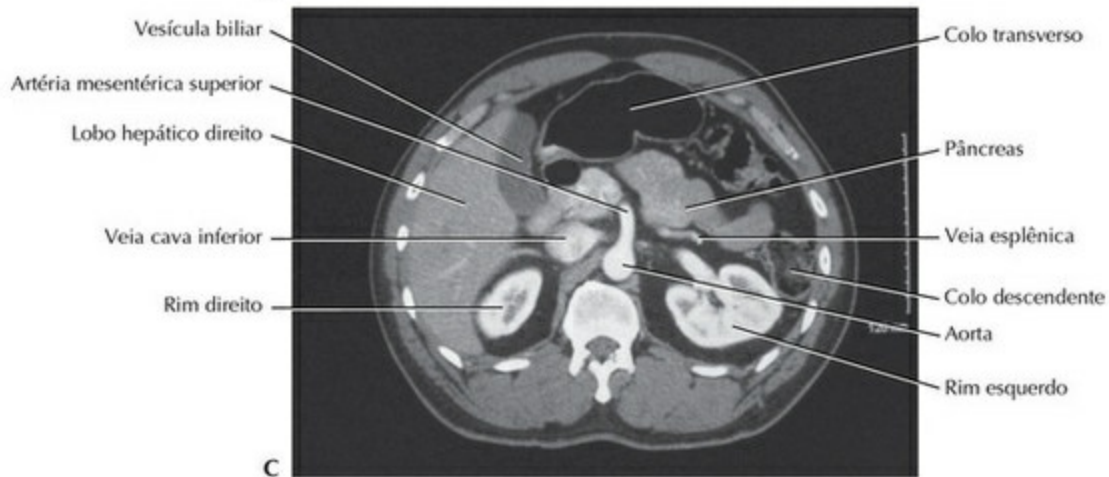
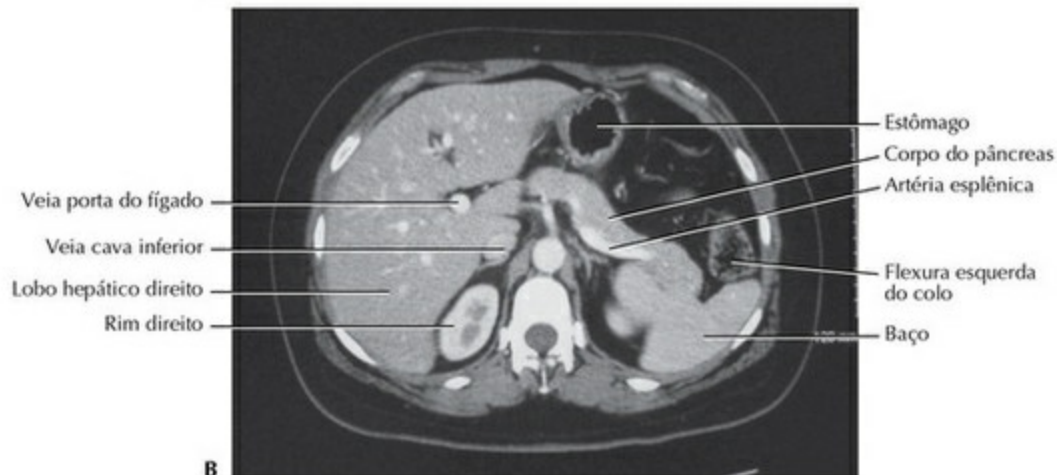
Parede do Abdome e Vísceras: Corte Sagital Paramediano



PRANCHA 321 Anatomia Seccional

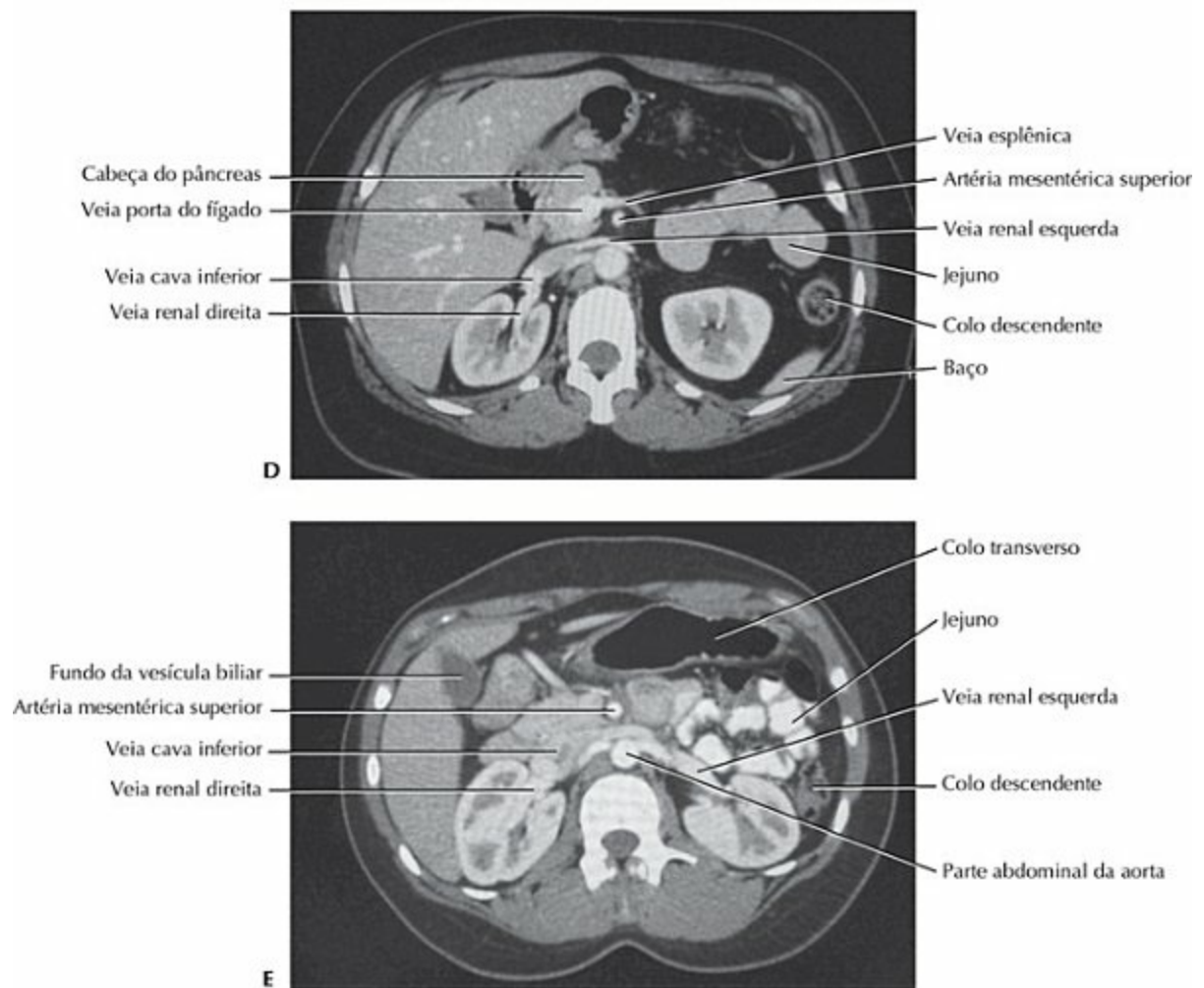
Imagens do Abdome: Cortes Transversais (“Axiais”)

Série de imagens transversais de TC do abdome, de superior (A) para inferior (C)



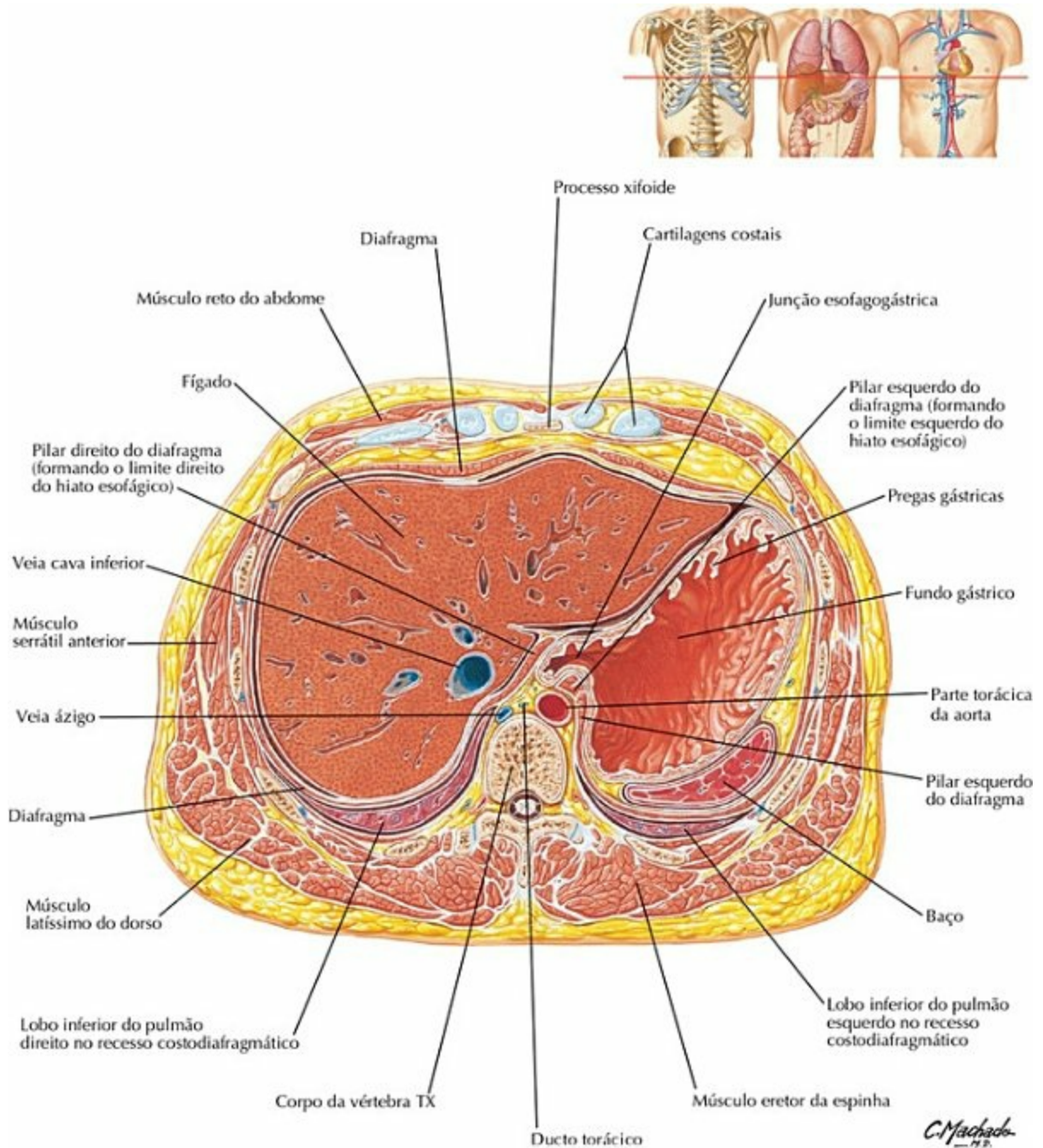
PRANCHA 322 Anatomia Seccional

**Imagens do Abdome: Cortes Transversais
("Axiais") (continuação)**



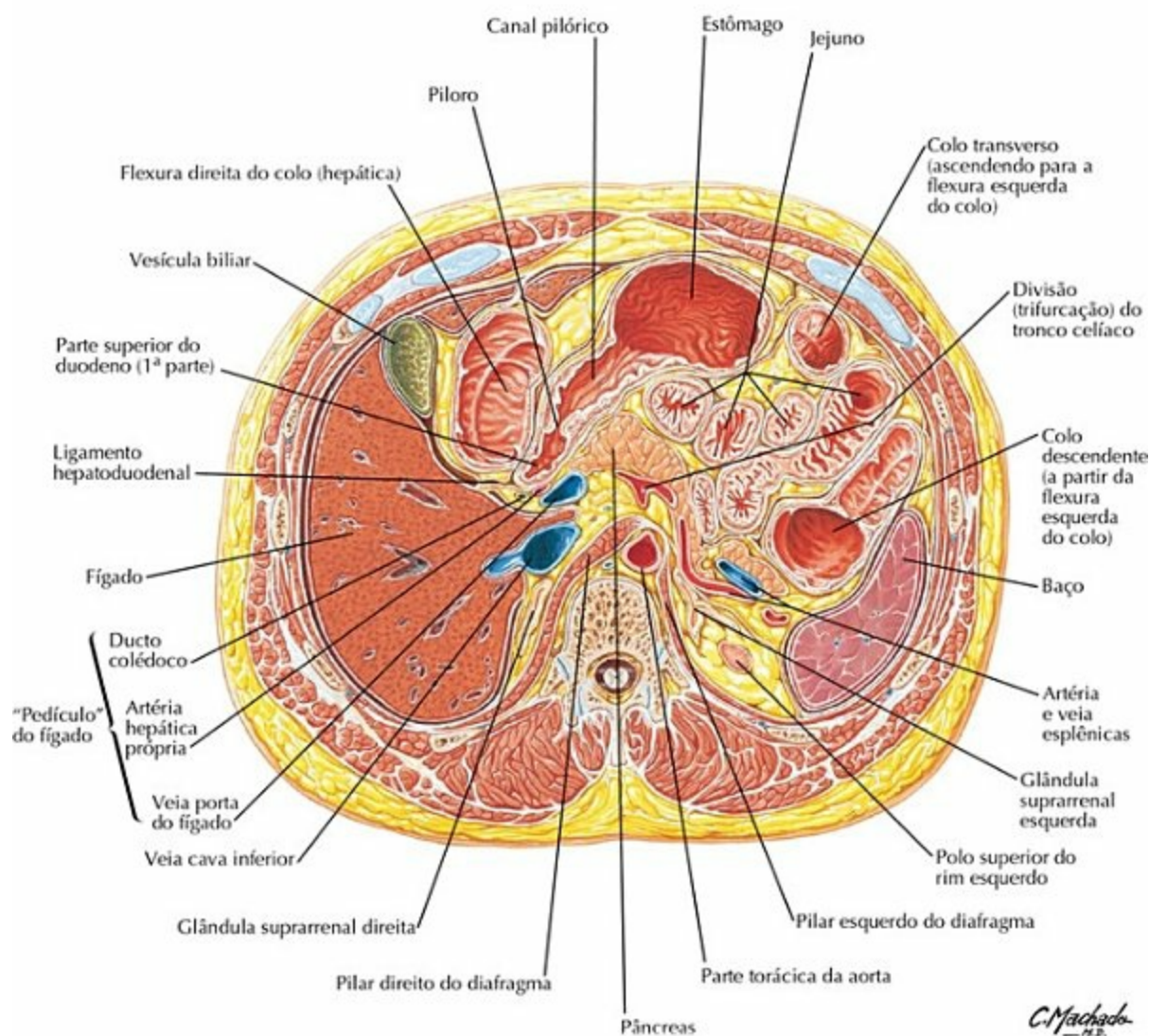
PRANCHA 323 Anatomia Seccional

Corte Transversal do Abdome no Nível de TX, Junção Esofagogástrica



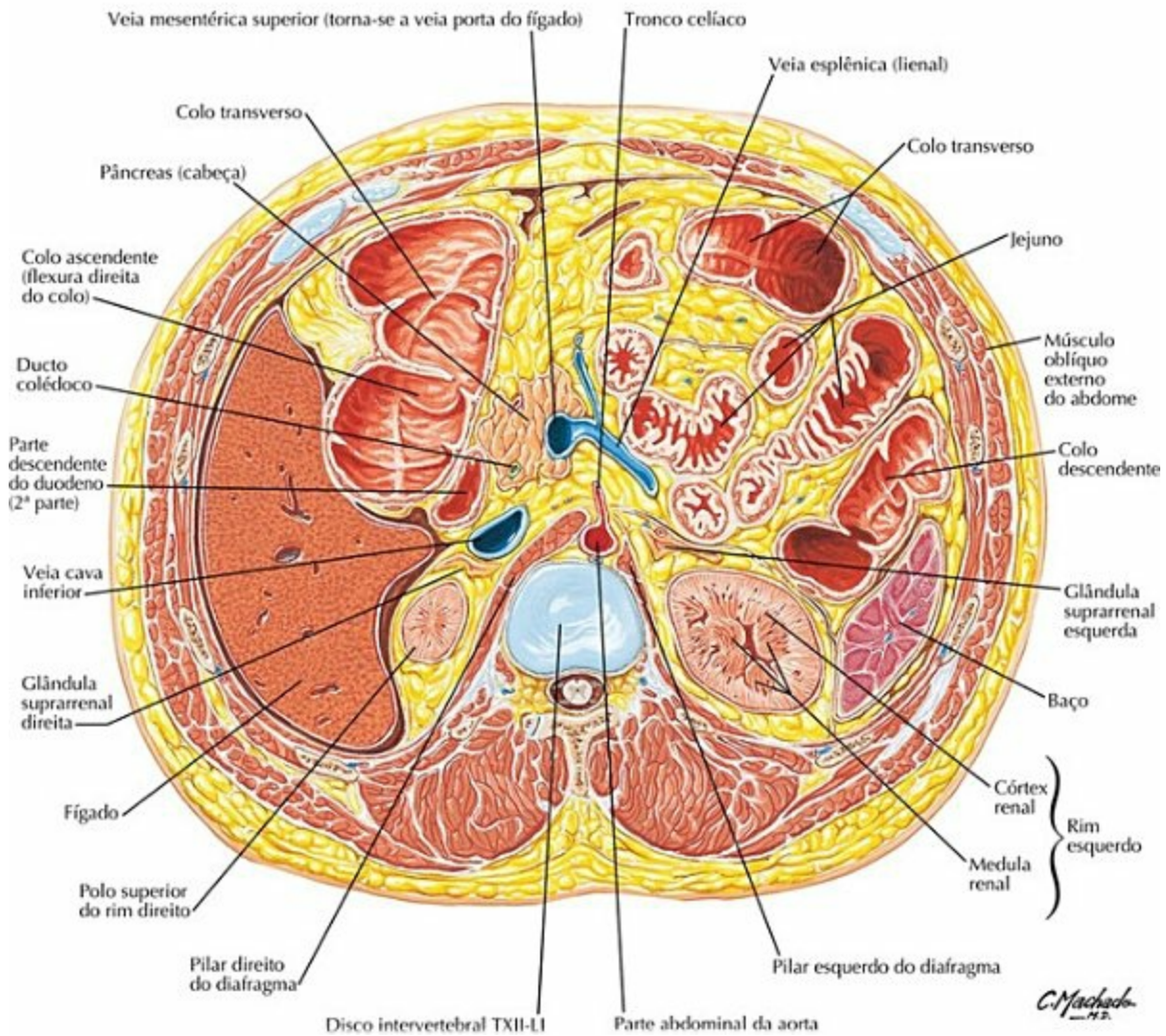
PRANCHA 324 Anatomia Seccional

**Corte Transversal do Abdome no Nível de TXII,
Inferior ao Processo Xifoide**



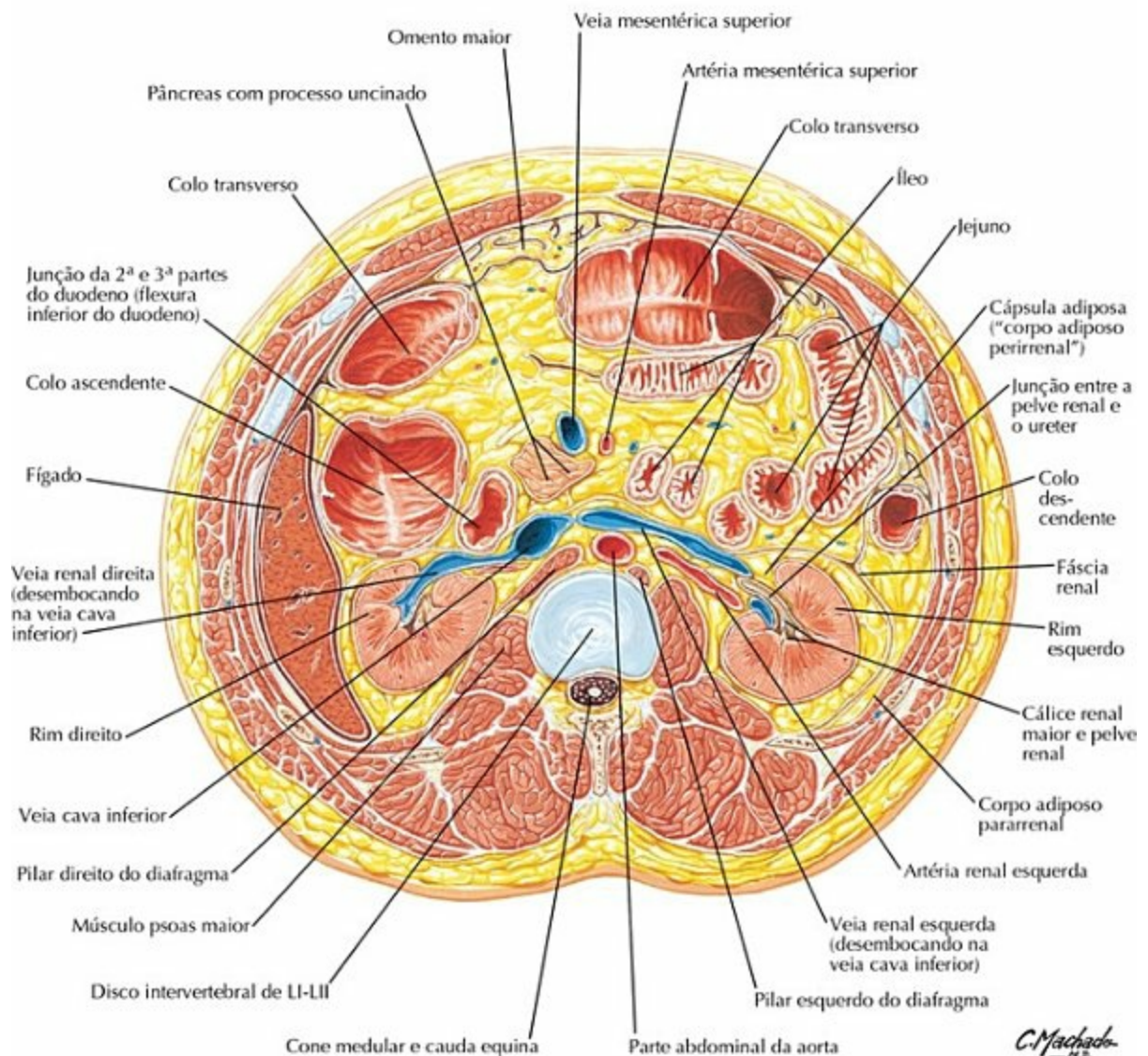
PRANCHA 325 Anatomia Seccional

**Corte Transversal do Abdome no Nível de TXII-LI,
Disco Intervertebral**



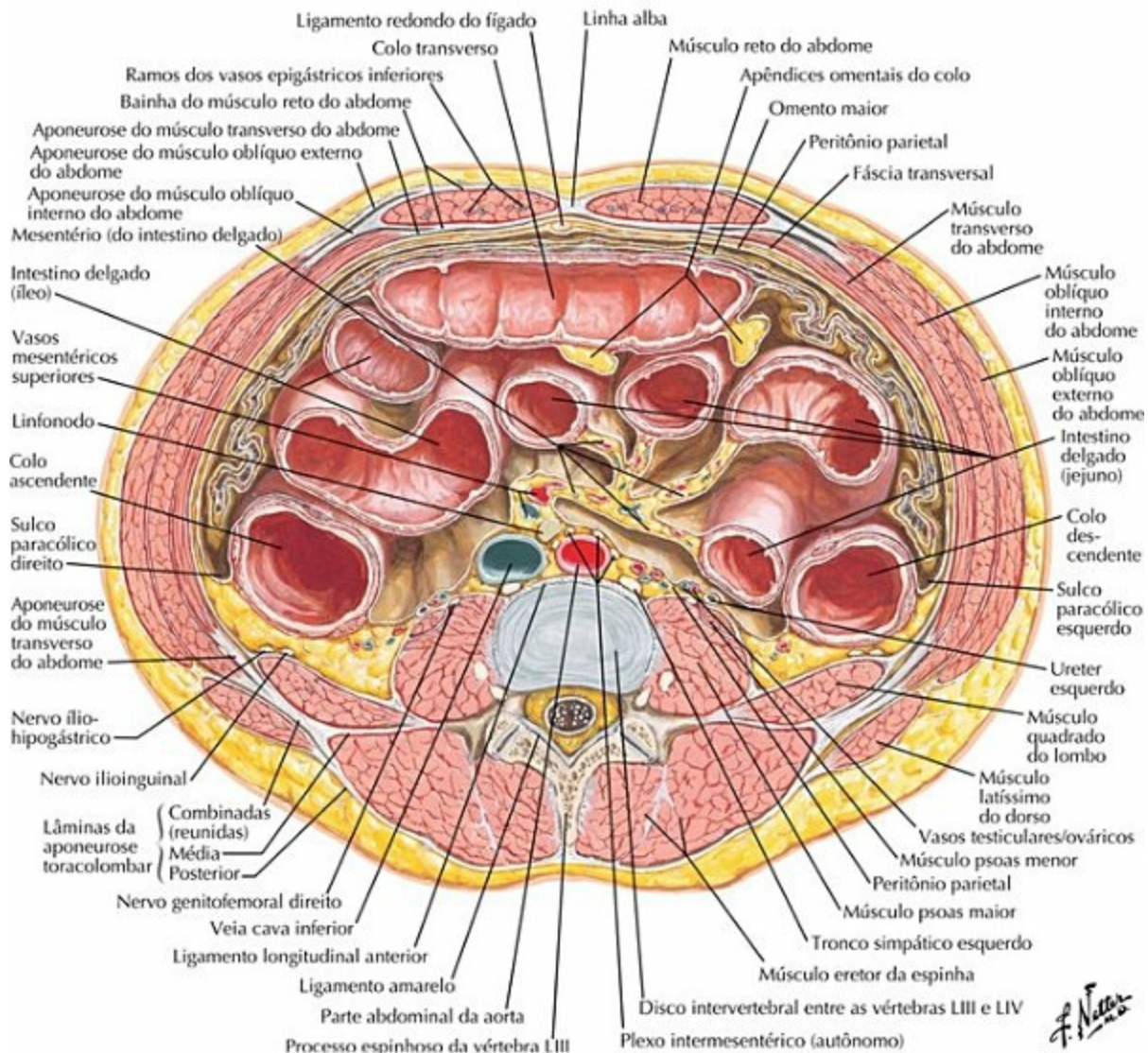
PRANCHA 326 Anatomia Seccional

**Corte Transversal do Abdome no Nível de LI-II,
Disco Intervertebral**



PRANCHA 327 Anatomia Seccional

Corte Transversal do Abdome no Nível de LIII-IV



PRANCHA 328 Anatomia Seccional

Tabela de Músculos

Tabela 4-1

Tabela de Músculos

MÚSCULO	INSERÇÃO PROXIMAL (ponto fixo)	INSERÇÃO DISTAL (ponto móvel)	INERVAÇÃO	AÇÕES PRINCIPAIS	SUPRIMENTO SANGUÍNEO
Diafragma	Processo xifoide, últimas seis	Fibras convergem	Nervo frênico	Traciona para baixo o centro	Artérias pericardicofrênica,

	cartilagens costais, vértebras LI-LIII	para o centro tendíneo		tendíneo, na inspiração	musculofrênica e frênicas superior e inferior
Oblíquo externo do abdome	Superfície externa das costelas V-XII	Linha alba, tubérculo púbico, metade anterior da crista ilíaca	Ramos anteriores dos seis últimos nervos torácicos	Comprime e sustenta as vísceras abdominais, flexiona e roda o tronco	Artérias epigástricas superior e inferior
Ilíaco	2/3 superiores da fossa ilíaca, asa do sacro, ligamento sacroilíaco anterior	Trocanter menor do fêmur e parte do corpo (diáfise) logo abaixo, unindo-se ao tendão do músculo psoas maior	Nervo femoral	Flexiona e estabiliza a articulação do quadril; atua junto com o músculo psoas maior	Ramos ilíacos da artéria iliolumbar
Oblíquo interno do abdome	Aponeurose toracolombar, 2/3 anteriores da crista ilíaca, metade lateral do ligamento inguinal	Margens inferiores das costelas X -XII, linha alba, púbis, via foice inguinal (tendão conjuntivo)	Ramos anteriores dos últimos seis nervos torácicos e do primeiro nervo lombar	Comprime e sustenta as vísceras abdominais, flexiona e roda o tronco	Artérias epigástricas superior e inferior e circunflexa ilíaca profunda
Psoas maior	Processos costiformes das vértebras lombares, superfícies laterais dos corpos das vértebras TXII-LV, e fixação nos discos intervertebrais	Trocanter menor do fêmur	Ramos anteriores dos primeiros quatro nervos lombares	Atuando superiormente, junto com o músculo ilíaco, flexiona o quadril, agindo inferiormente; flexiona lateralmente a coluna vertebral; acionado no equilíbrio do tronco na posição sentada, agindo inferiormente com o músculo ilíaco; flexiona o tronco	Ramos lombares da artéria iliolumbar

Psoas menor	Superfícies laterais das vértebras TXII-LI e discos intervertebrais correspondentes	Linha pectínea, “eminência iliopectínea”	Ramos anteriores do primeiro nervo lombar	Flexiona a pelve na coluna vertebral	Ramo lombar da artéria iliolumbar
Piramidal	Corpo do púbis, anteriormente ao músculo reto do abdome	Linha alba	Nervo ílio-hipogástrico	Tensiona a linha alba	Artéria epigástrica inferior
Quadrado do lombo	Metade medial da margem inferior da 12ª costela; extremidades dos processos costiformes lombares	Ligamento iliolumbar; lábio interno da crista ilíaca	Ramos anteriores de T12 e dos quatro primeiros nervos lombares	Estende e flexiona lateralmente a coluna vertebral; fixa a 12ª costela durante a inspiração	Artéria iliolumbar
Reto do abdome	Sínfise púbica, crista púbica	Processo xifoide; cartilagens costais V-VII	Ramos anteriores dos seis últimos nervos torácicos	Flexiona o tronco; comprime as vísceras abdominais	Artérias epigástricas superior e inferior
Transverso do abdome	Superfícies internas das cartilagens costais VII-XII ; aponeurose toracolombar; crista ilíaca; terço lateral do ligamento inguinal	Linha alba juntamente com a aponeurose do músculo oblíquo interno do abdome; crista púbica e linha pectínea do púbis, via foice inguinal (tendão conjuntivo)	Ramos anteriores dos seis últimos nervos torácicos e do primeiro nervo lombar	Comprime e sustenta as vísceras abdominais	Artérias circunflexa ilíaca profunda e epigástrica inferior

Variações nas contribuições do nervo espinal na inervação dos músculos, no seu suprimento arterial, nos seus locais de inserção e suas ações são de ocorrência comum na anatomia humana. Portanto, existem diferenças entre os textos e devemos considerar que a variação anatômica é normal.

Pelve e períneo

Anatomia Topográfica

Prancha 329

329. Pelve e Períneo: Anatomia de Superfície

Ossos e Ligamentos

Pranchas 330–334

330. Arcabouço Ósseo da Pelve

331. Radiografias das Pelves Feminina e Masculina

332. Diferenças Sexuais da Pelve: Medidas

333. Ossos e Ligamentos da Pelve

334. Ossos e Ligamentos da Pelve (continuação)

Assoalho da Pelve e Conteúdo

Pranchas 335-345

335. Diafragma da Pelve Feminina

336. Diafragma da Pelve Feminina (continuação)

337. Diafragma da Pelve Feminina (continuação)

338. Diafragma da Pelve Masculina

339. Diafragma da Pelve Masculina (continuação)

340. Vísceras Pélvicas e Períneo: Gênero Feminino

341. Conteúdo da Pelve Feminina

342. Vísceras Pélvicas Femininas

343. Fáscia da Pelve e Espaços Potenciais

344. Vísceras Pélvicas e Períneo: Gênero Masculino

345. Conteúdo da Pelve Masculina

Bexiga Urinária

Pranchas 346–348

346. Bexiga Urinária: Orientação e Sustentação

347. Esfincteres Femininos

348. Bexiga Urinária: Feminina e Masculina

Útero, Vagina e Estruturas de Sustentação

Pranchas 349–353

349. Crescimento Uterino

350. Útero, Vagina e Estruturas de Sustentação

351. Útero: Ligamentos Fasciais

352. Útero e Anexos

353. Ligamentos Pélvicos

Períneo e Órgãos Genitais Femininos Externos

Pranchas 354–357

354. Períneo e Órgãos Genitais Femininos Externos (Pudendo ou “Vulva”)

355. Períneo Feminino (Dissecação Superficial)

356. Períneo Feminino (Dissecação Profunda)

357. Espaços do Períneo Feminino

Períneo e Órgãos Genitais Masculinos Externos

Pranchas 358–365

358. Períneo e Órgãos Genitais Masculinos Externos (Dissecação Superficial)

359. Períneo e Órgãos Genitais Masculinos Externos (Dissecação Profunda)

360. Pênis

361. Espaços do Períneo Masculino

362. Próstata e Glândulas Seminais

363. Uretra Masculina

364. Descida dos Testículos

365. Escroto e Conteúdo

Homólogos dos Órgãos Genitais

Pranchas 366–367

366. Homólogos dos Órgãos Genitais Externos

367. Homólogos dos Órgãos Genitais Internos

Testículo, Epidídimo e Ducto Deferente

Prancha 368

368. Testículo, Epidídimo e Ducto Deferente

Reto

Pranchas 369–374

369. Reto *in Situ*: Gêneros Masculino e Feminino

370. Fossa Isquioanal

371. Reto e Canal Anal

372. Musculatura Anorretal

373. Músculo Esfíncter Externo do Ânus: Vista do Períneo

374. Espaços Reais e Potenciais do Períneo e da Pelve

Imagens Regionais

Prancha 375

375. Imagens da Pelve: Cortes Sagitais de Tomografia Computadorizada (TC)

Vascularização

Pranchas 376–386

376. Artérias do Reto e do Canal Anal: Gênero Masculino

377. Veias do Reto e do Canal Anal: Gênero Feminino

378. Artérias e Veias das Visceras Pélvicas Femininas

379. Artérias e Veias dos Testículos

380. Artérias da Pelve Feminina

381. Artérias e Veias da Pelve Masculina

382. Artérias e Veias do Períneo e do Útero

383. Artérias e Veias do Períneo Masculino

384. Vasos Linfáticos e Linfonodos da Pelve e dos Órgãos Genitais Femininos

385. Vasos Linfáticos e Linfonodos do Períneo Feminino

386. Vasos Linfáticos e Linfonodos da Pelve e dos Órgãos Genitais Masculinos

Inervação

Pranchas 387–395

- 387. Nervos dos Órgãos Genitais Masculinos Externos
- 388. Nervos das Visceras Pélvicas Masculinas
- 389. Nervos do Períneo Masculino
- 390. Nervos das Visceras Pélvicas Femininas
- 391. Nervos do Períneo e dos Órgãos Genitais Femininos Externos
- 392. Vias Nervosas Relacionadas com o Parto
- 393. Inervação dos Órgãos Genitais Femininos: Esquema
- 394. Inervação dos Órgãos Genitais Masculinos: Esquema
- 395. Inervação da Bexiga Urinária e da Parte Inferior do Ureter: Esquema

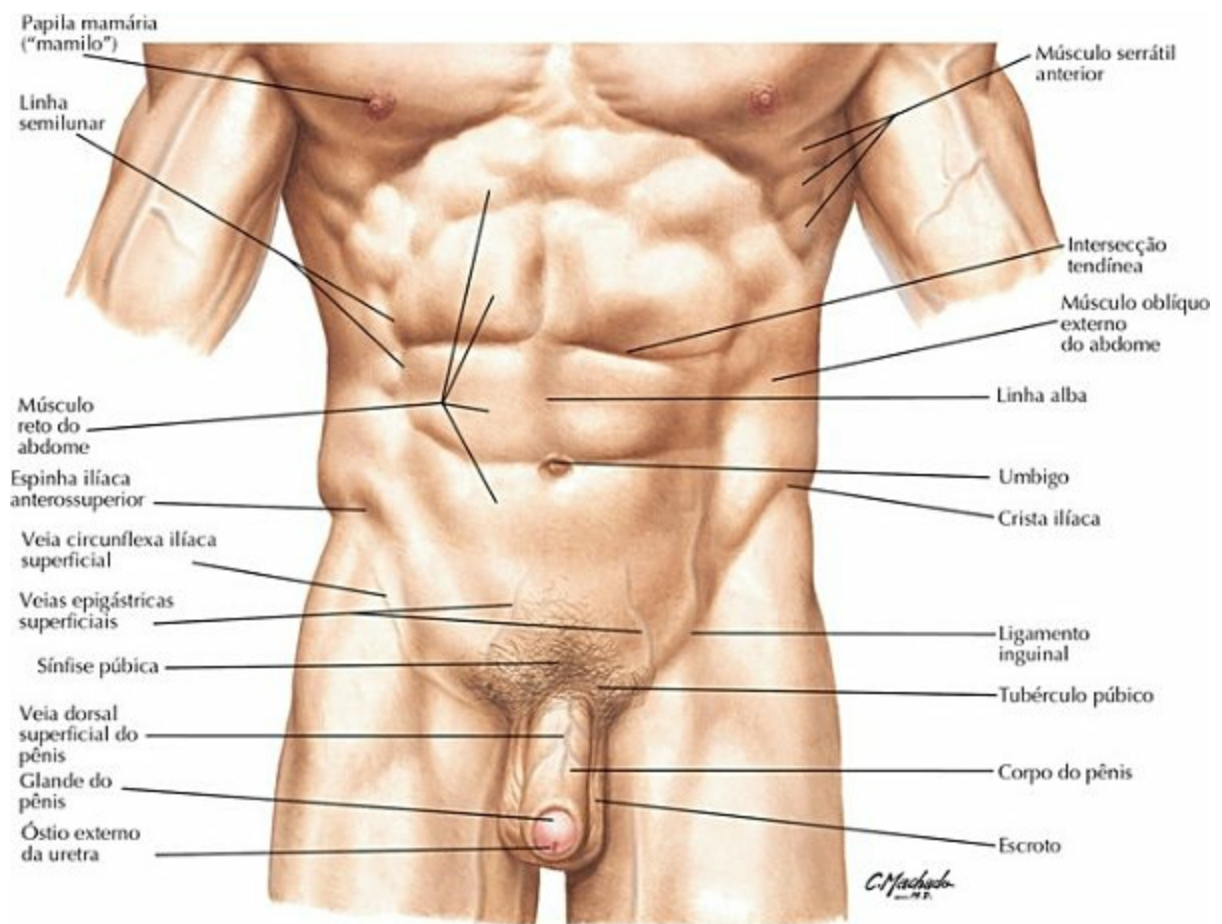
Anatomia Seccional Transversa

Prancha 396-397

- 396. Pelve Masculina: Corte Transversal da Junção Vesicoprostática
- 397. Corte Transversal da Vagina e da Uretra

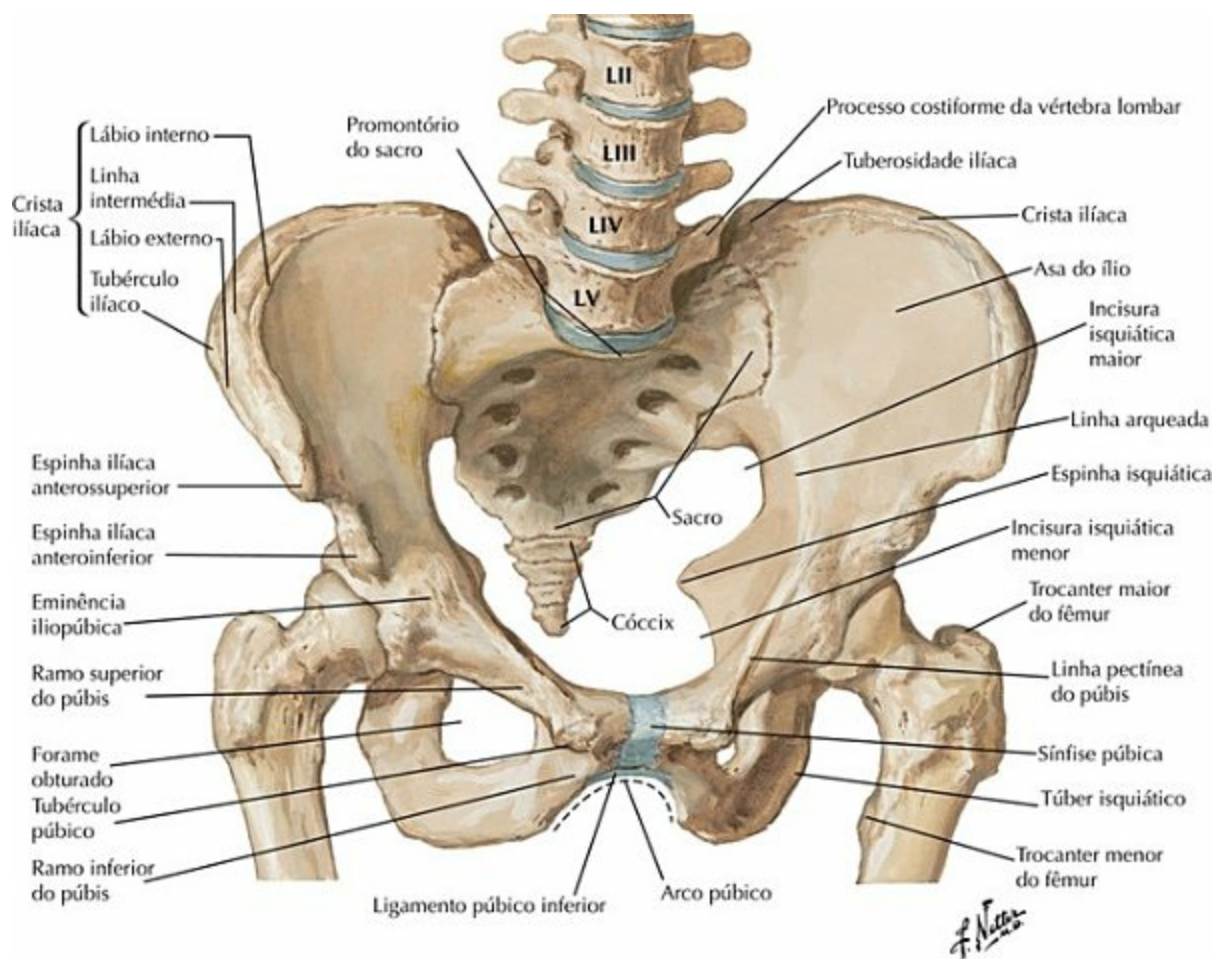
Tabelas de Músculos

Pelve e Períneo: Anatomia de Superfície



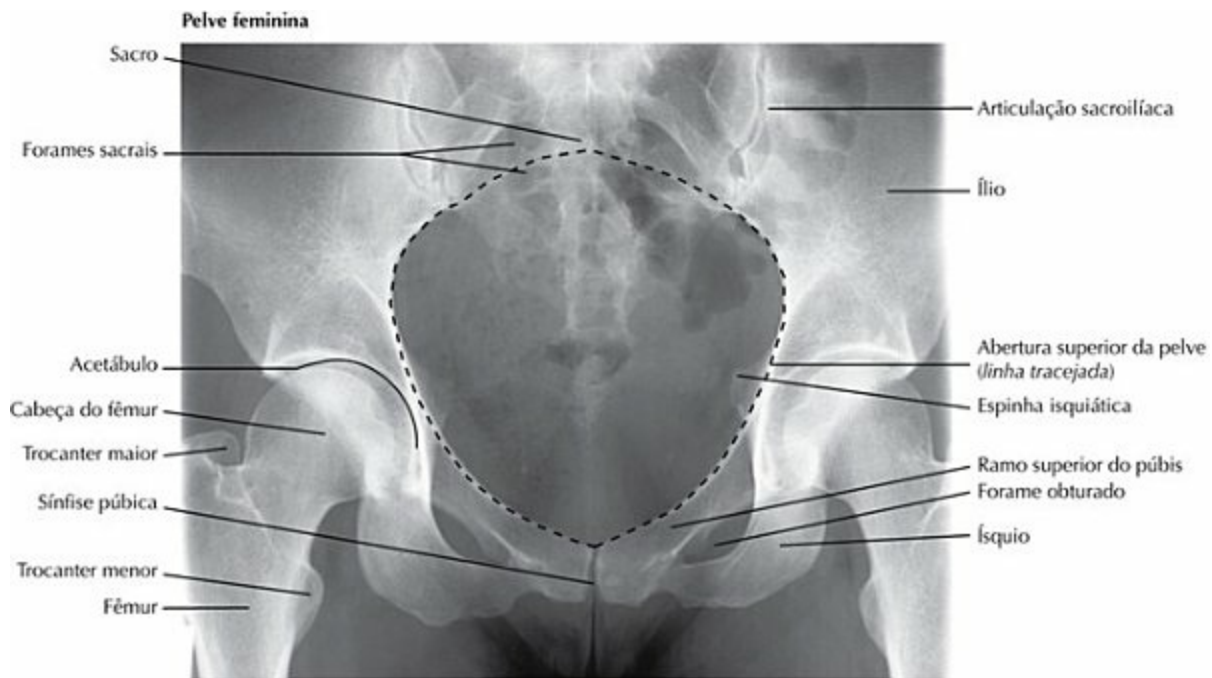
PRANCHA 329 Anatomia Topográfica

Arcabouço Ósseo da Pelve



PRANCHA 330 Ossos e Ligamentos

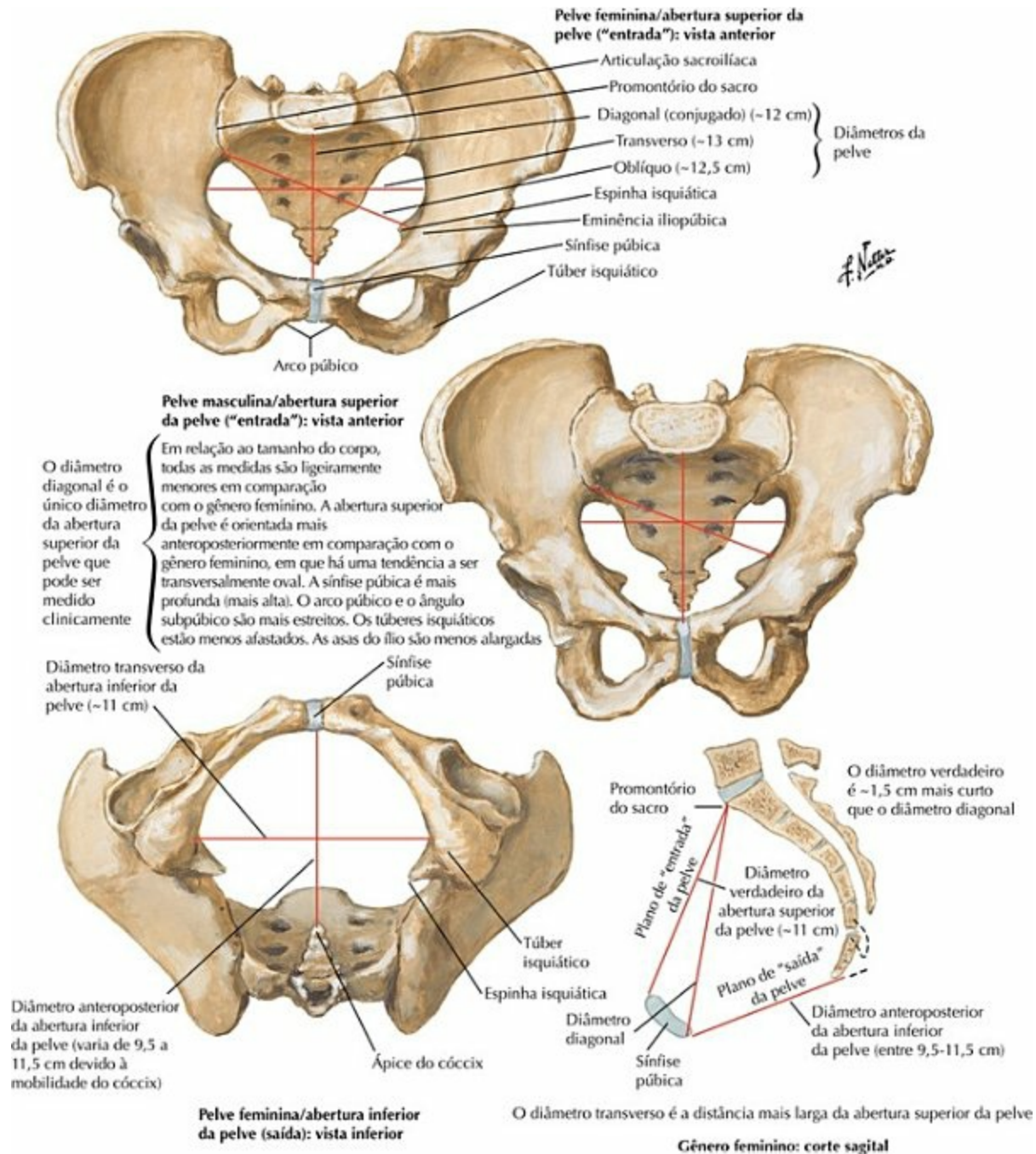
Radiografias das Pelves Feminina e Masculina



PRANCHA 331 Ossos e Ligamentos

Veja também **Pranchas 243, 475**

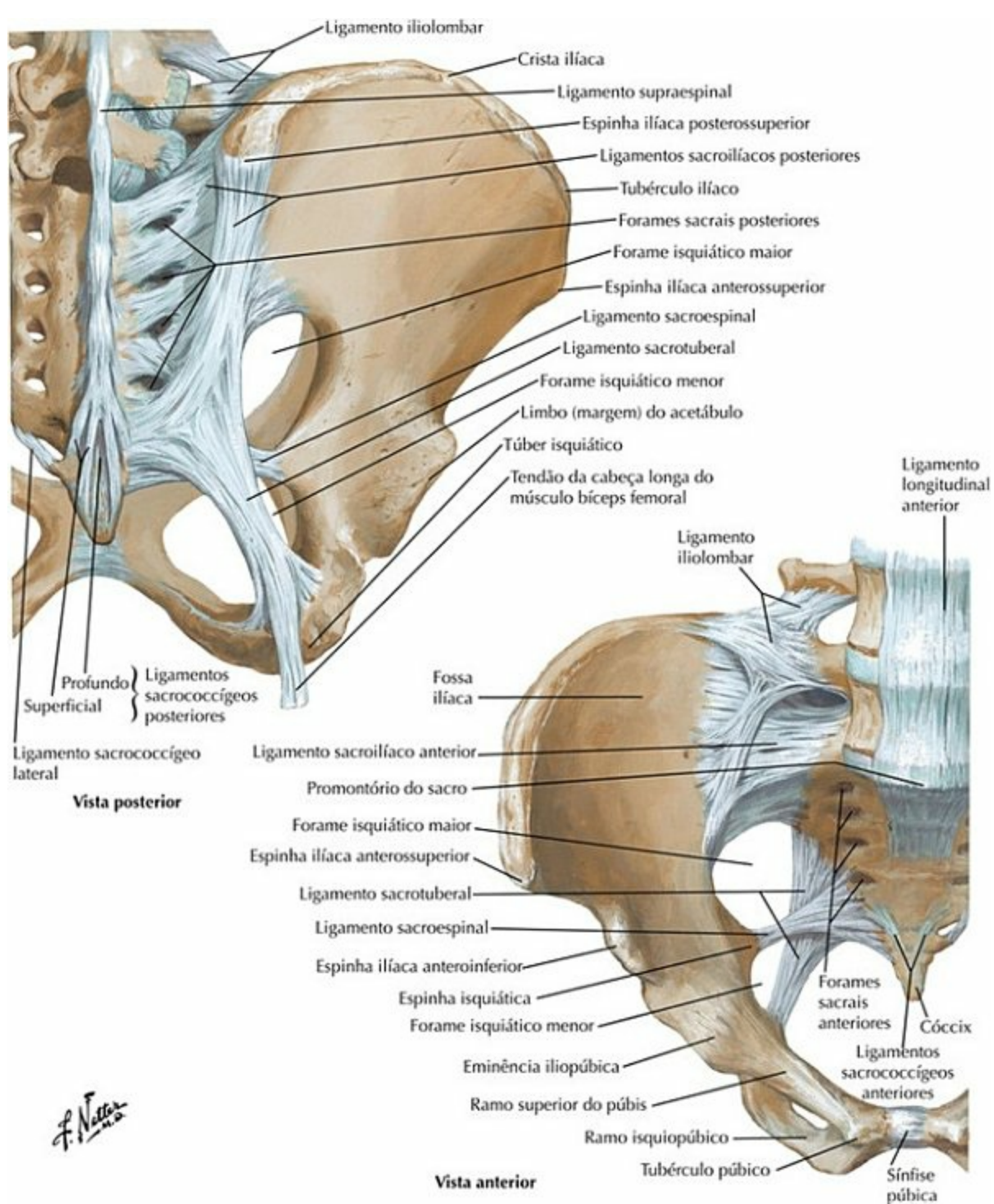
Diferenças Sexuais da Pelve: Medidas



PRANCHA 332 Ossos e Ligamentos

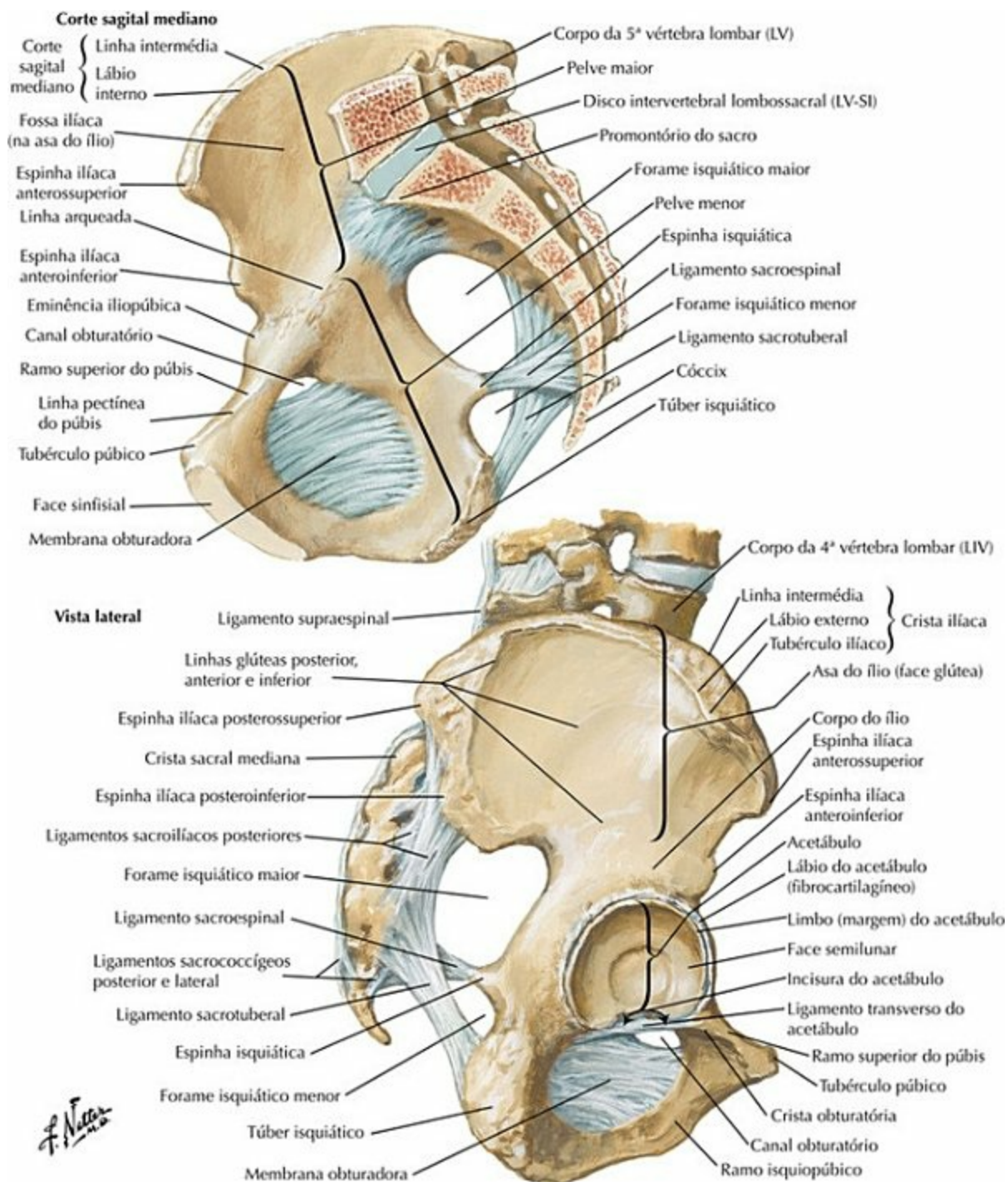
Veja também **Prancha 243**

Ossos e Ligamentos da Pelve



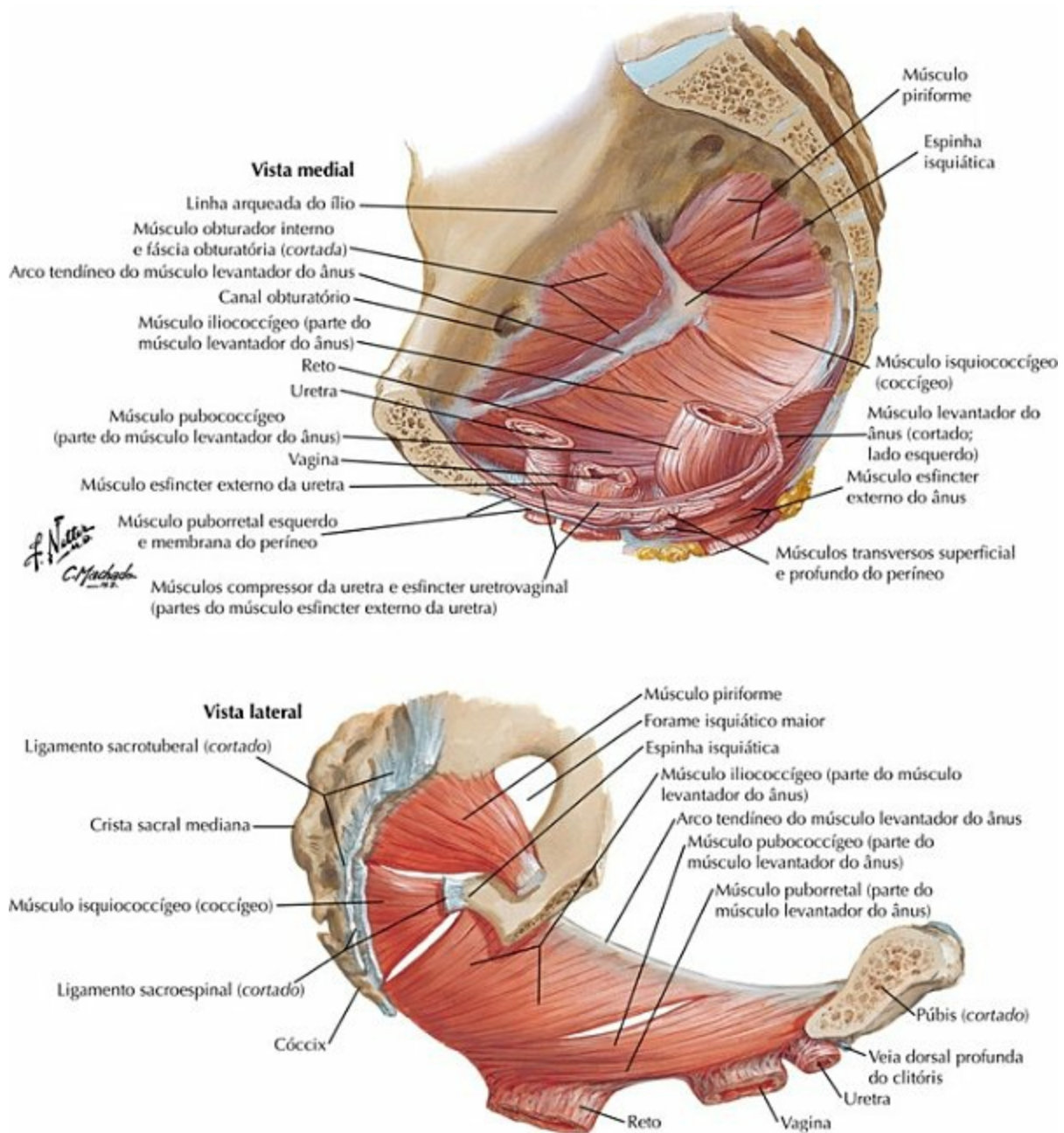
PRANCHA 333 Ossos e Ligamentos
 Veja também **Prancha 473**

Ossos e Ligamentos da Pelve (continuação)



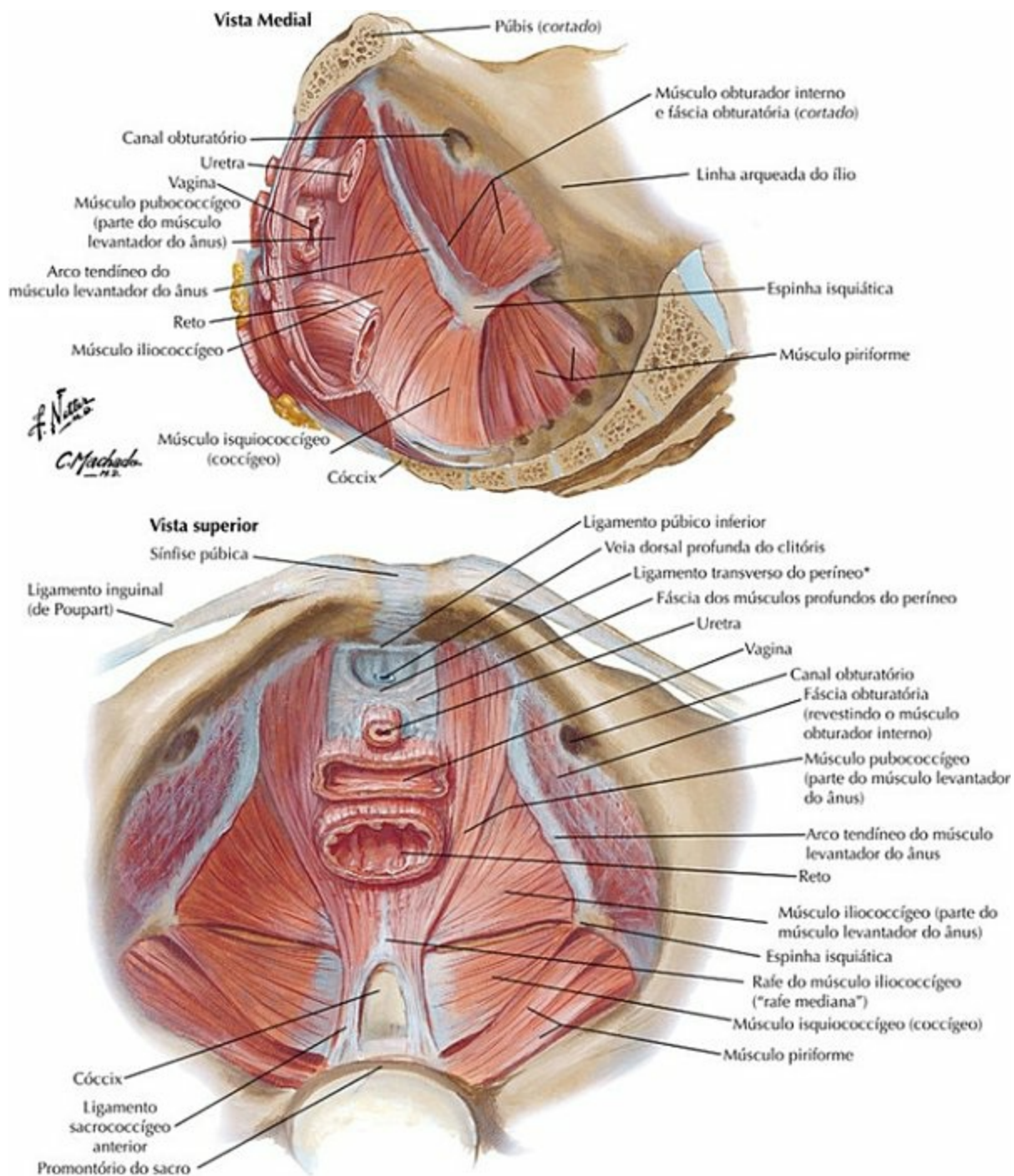
PRANCHA 334 Ossos e Ligamentos
 Veja também **Prancha 158**

Diafragma da Pelve Feminina



PRANCHA 335 Assoalho da Pelve e Conteúdo
 Veja também **Pranchas 348, 350, 370**

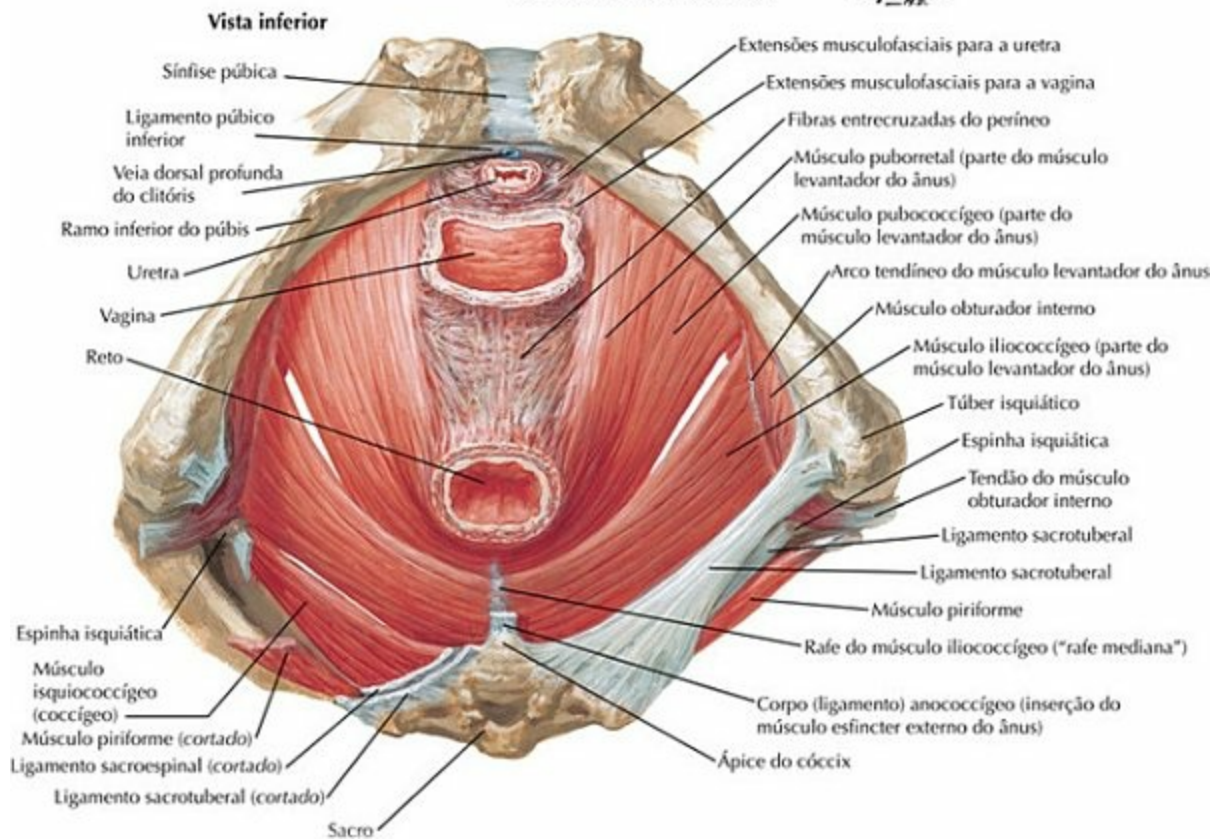
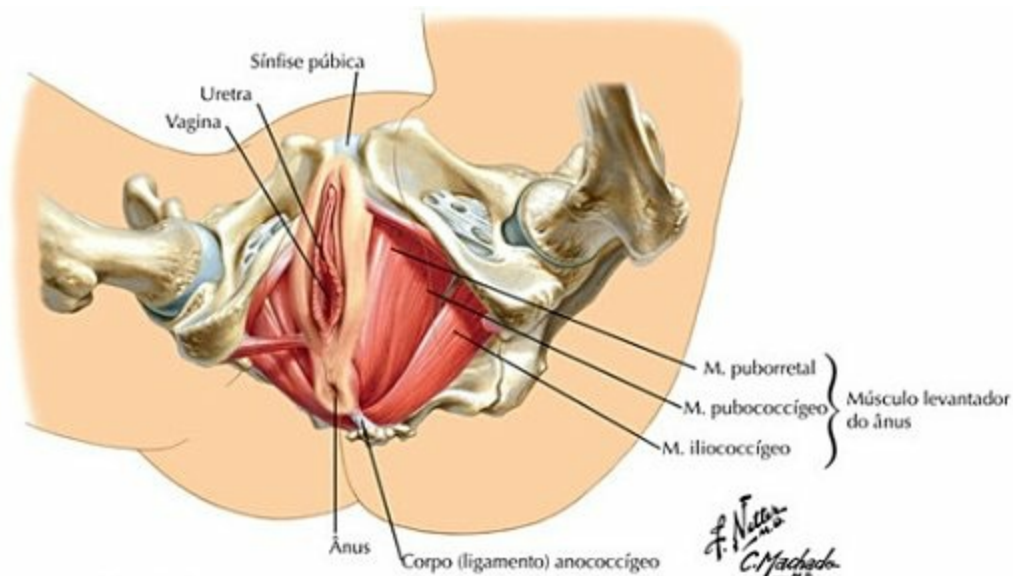
Diafragma da Pelve Feminina (continuação)



*Nota da Revisão Científica: A Terminologia Anatômica (2001) considera esse ligamento só no gênero masculino.

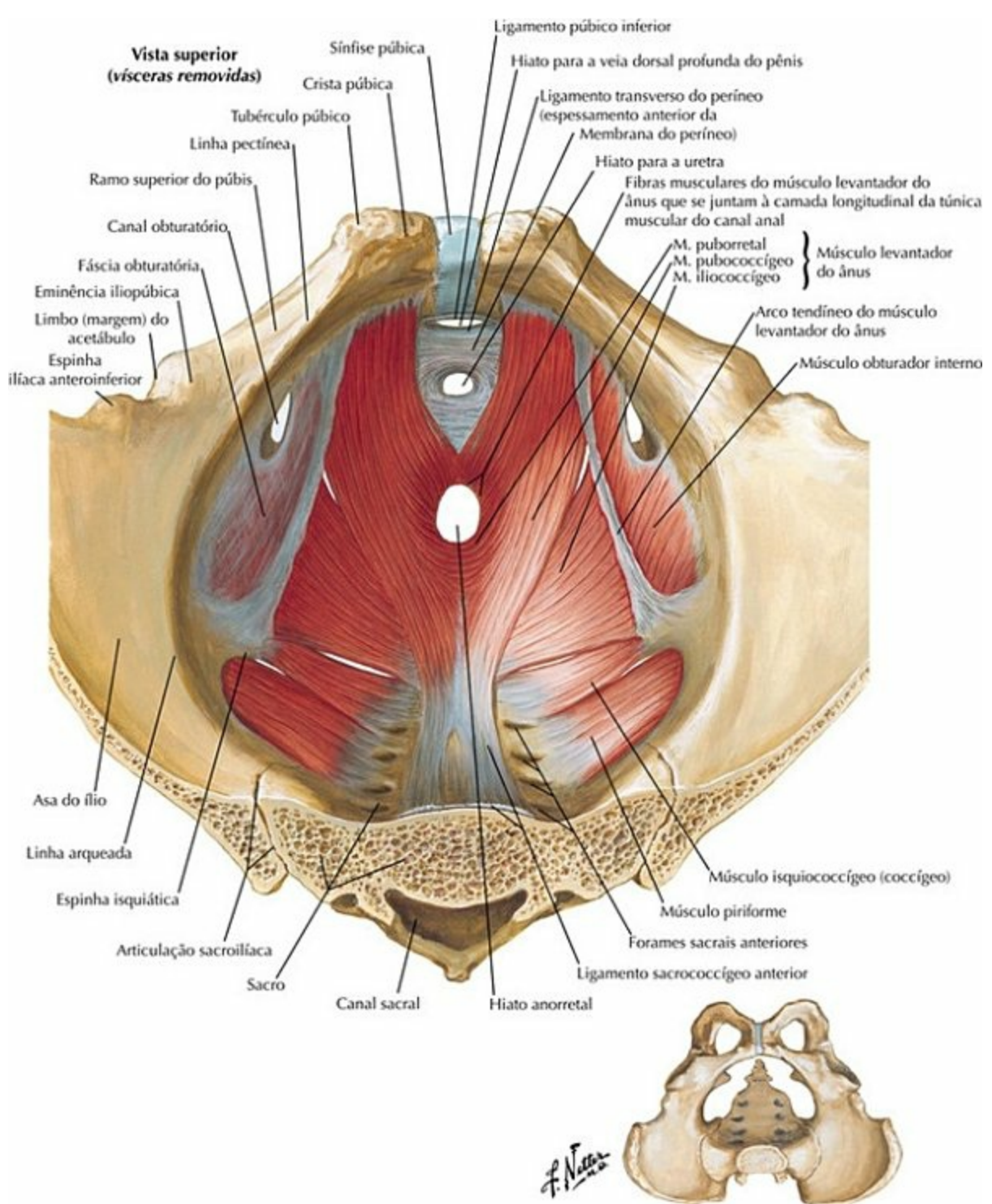
PRANCHA 336 Assoalho da Pelve e Conteúdo
Para "diafragma urogenital" veja **Prancha 356**

Diafragma da Pelve Feminina (continuação)



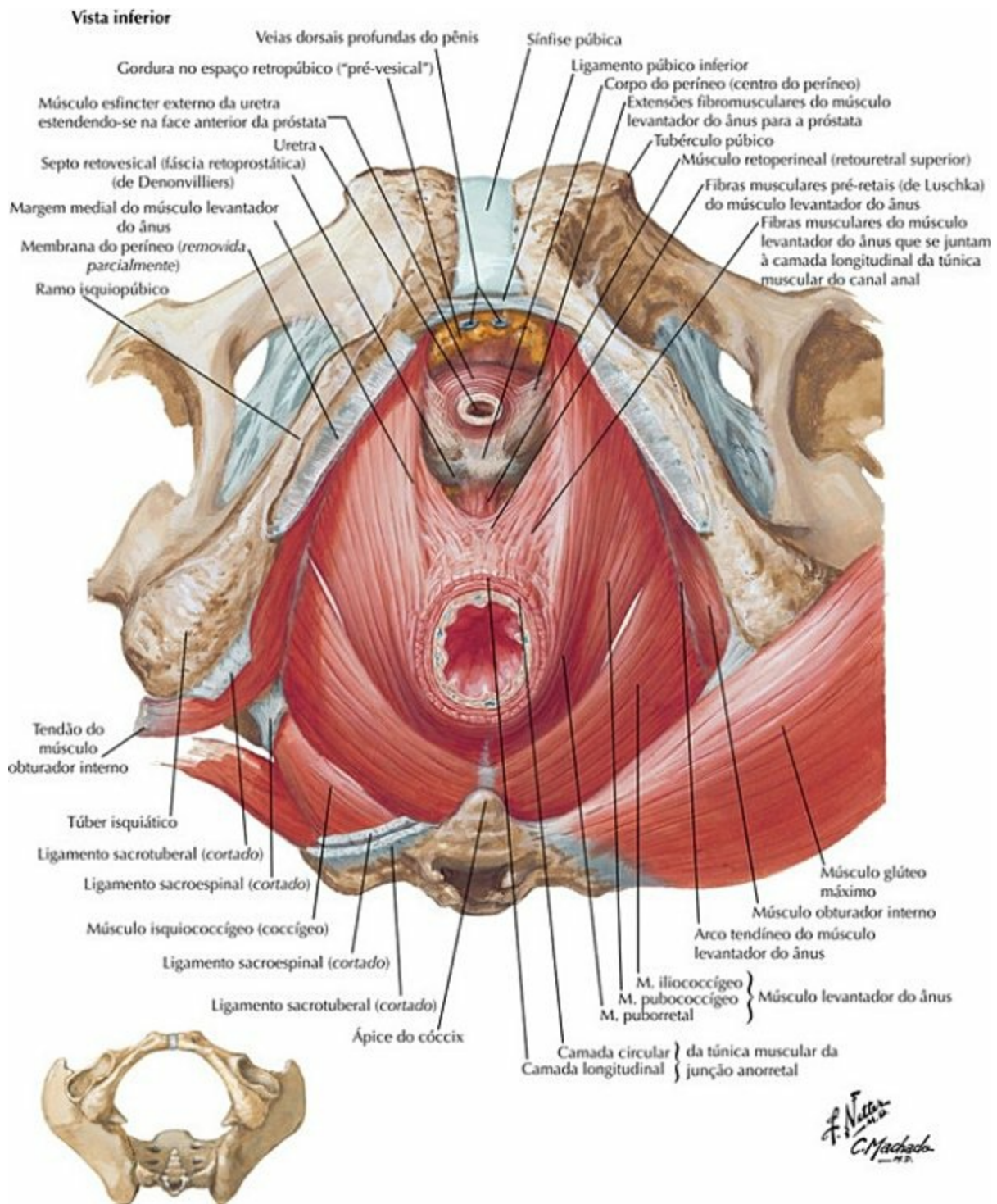
PRANCHA 337 Assoalho da Pelve e Conteúdo

Diafragma da Pelve Masculina



PRANCHA 338 Assoalho da Pelve e Conteúdo
Veja também **Pranchas 258, 261**

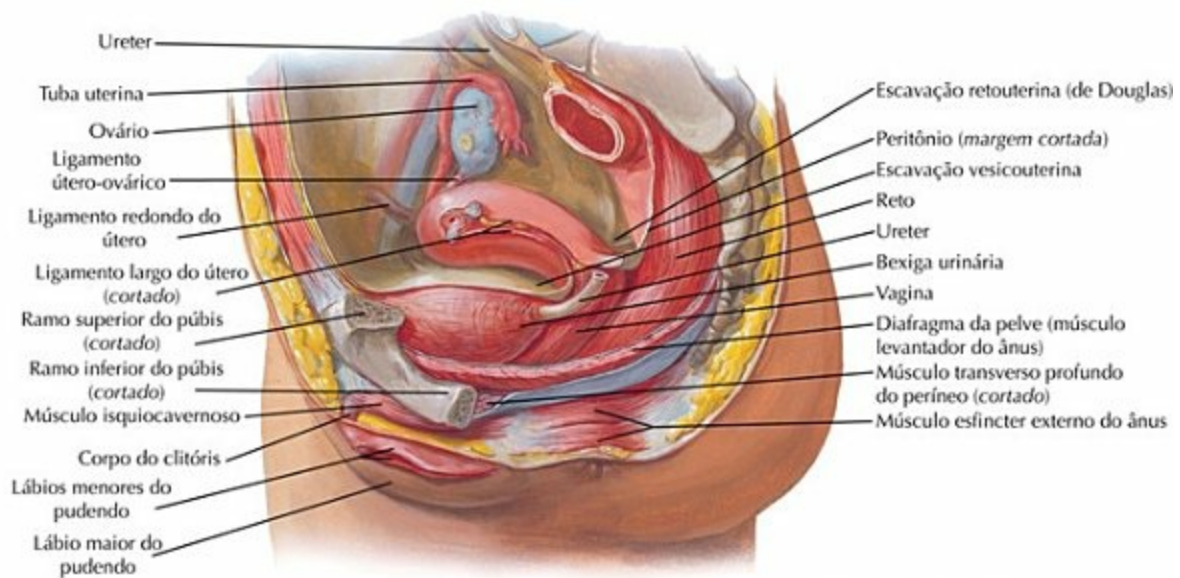
Diafragma da Pelve Masculina (continuação)



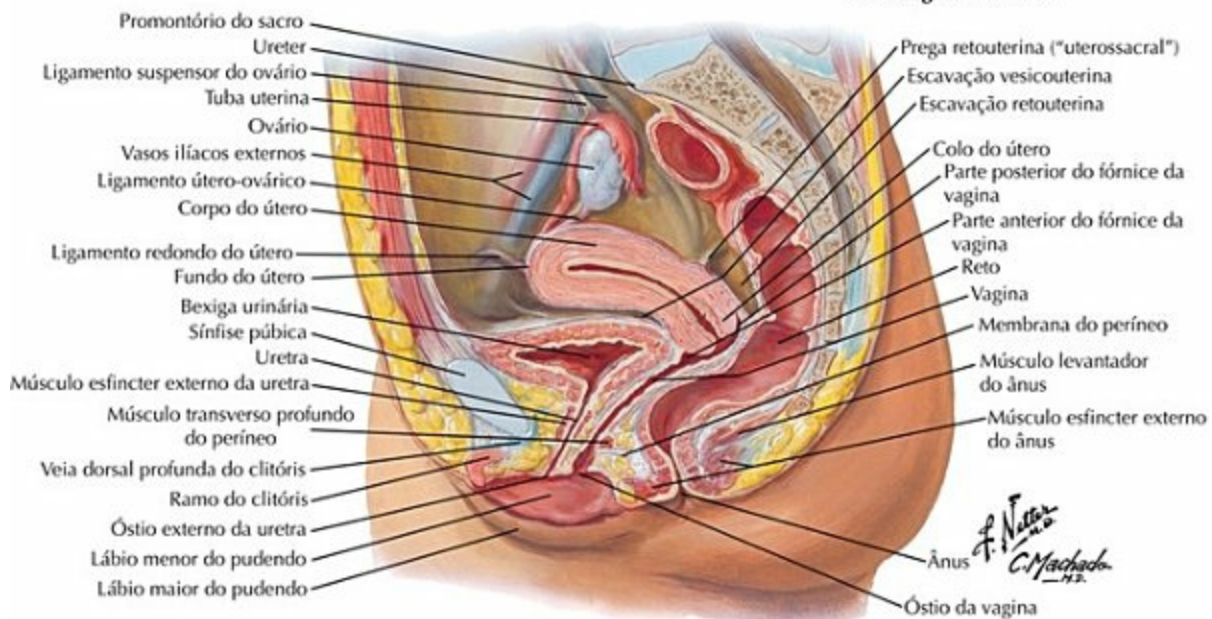
PRANCHA 339 Assoalho da Pelve e Conteúdo
Para "diafragma urogenital" veja **Prancha 361**

Vísceras Pélvicas e Períneo: Gênero Feminino

Corte sagital paramediano (dissecação)

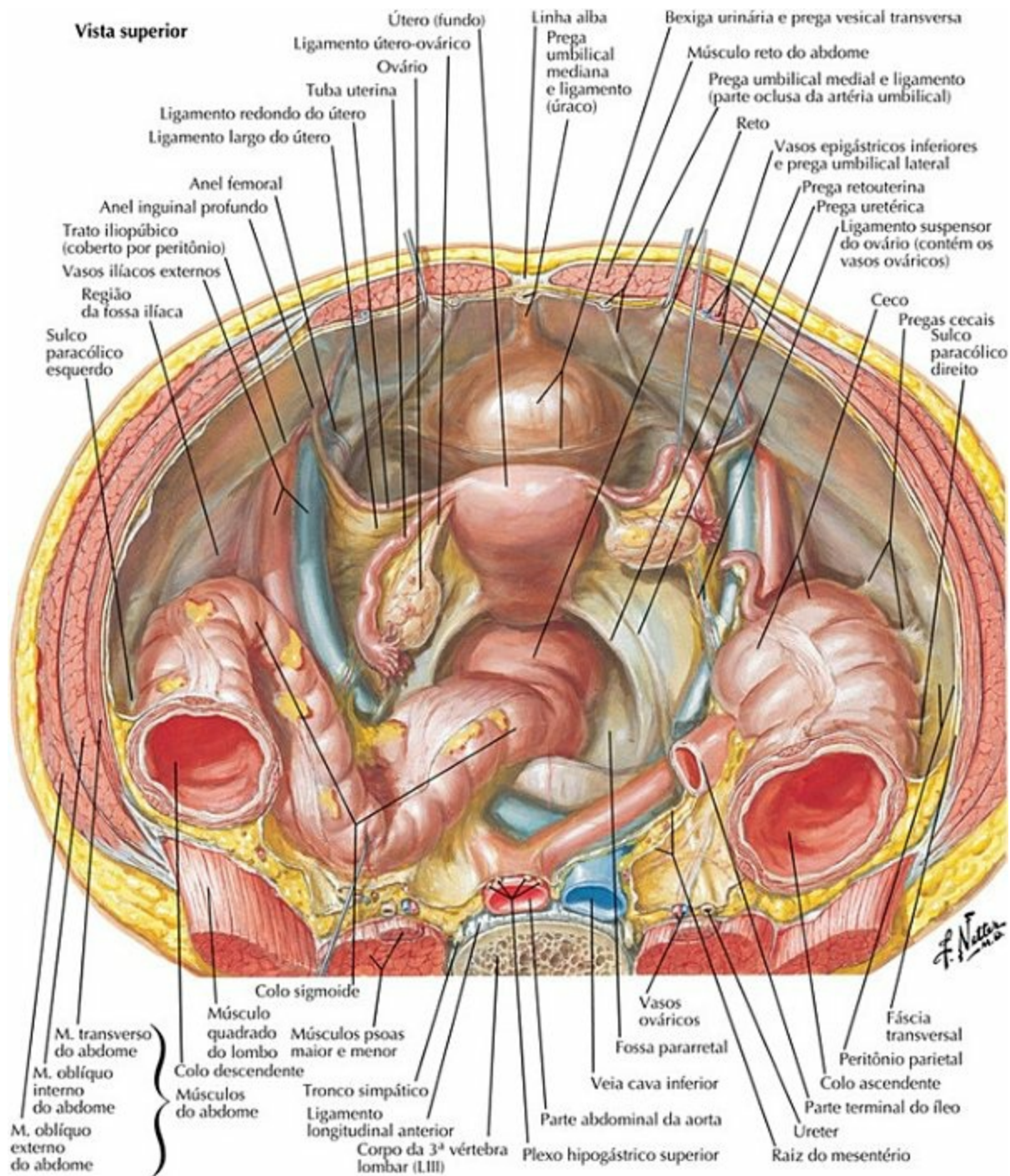


Corte sagital mediano



PRANCHA 340 Assoalho da Pelve e Conteúdo

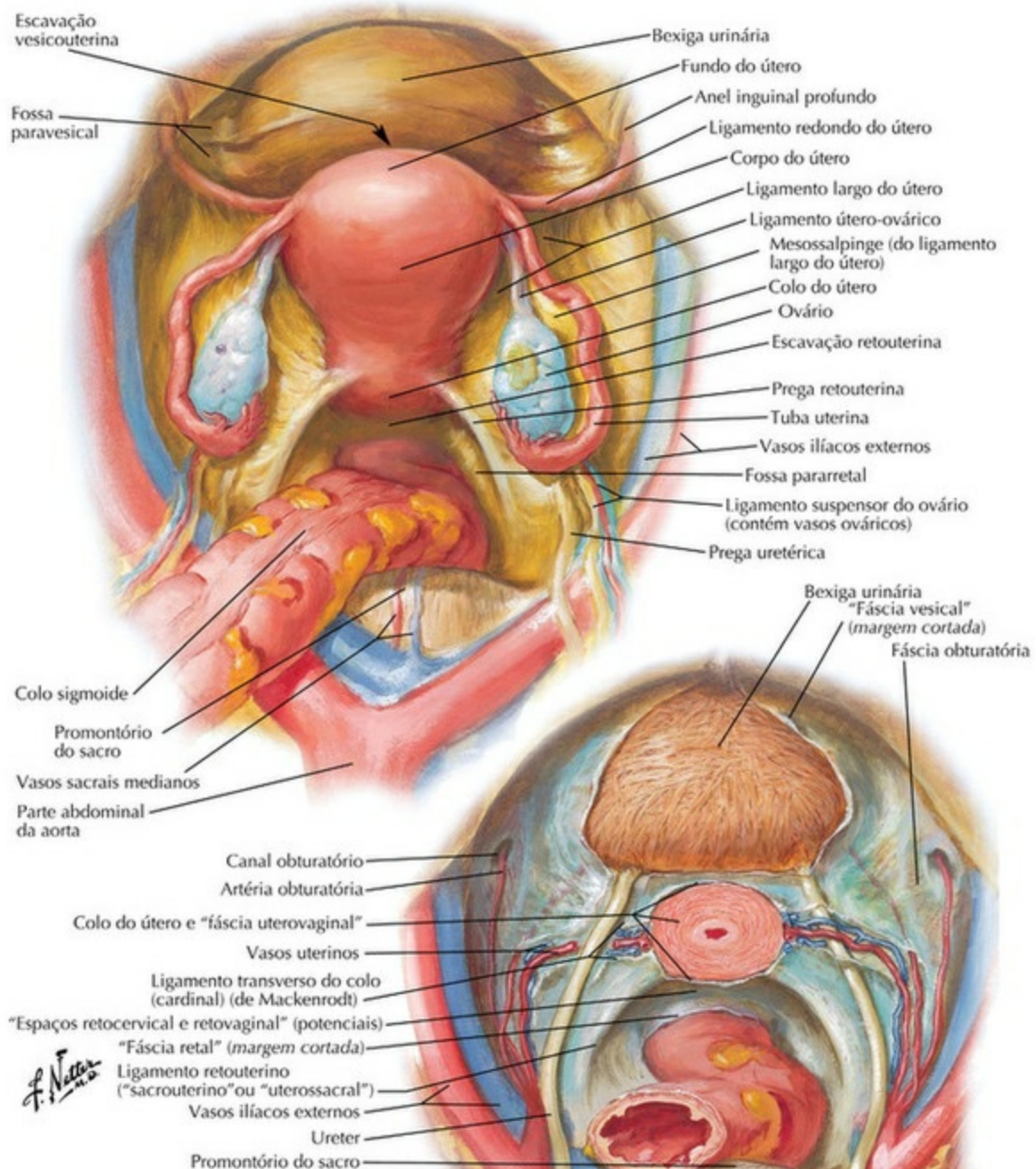
Conteúdo da Pelve Feminina



PRANCHA 341 Assoalho da Pelve e Conteúdo

Vísceras Pélvicas Femininas

Vista superior com peritônio intacto



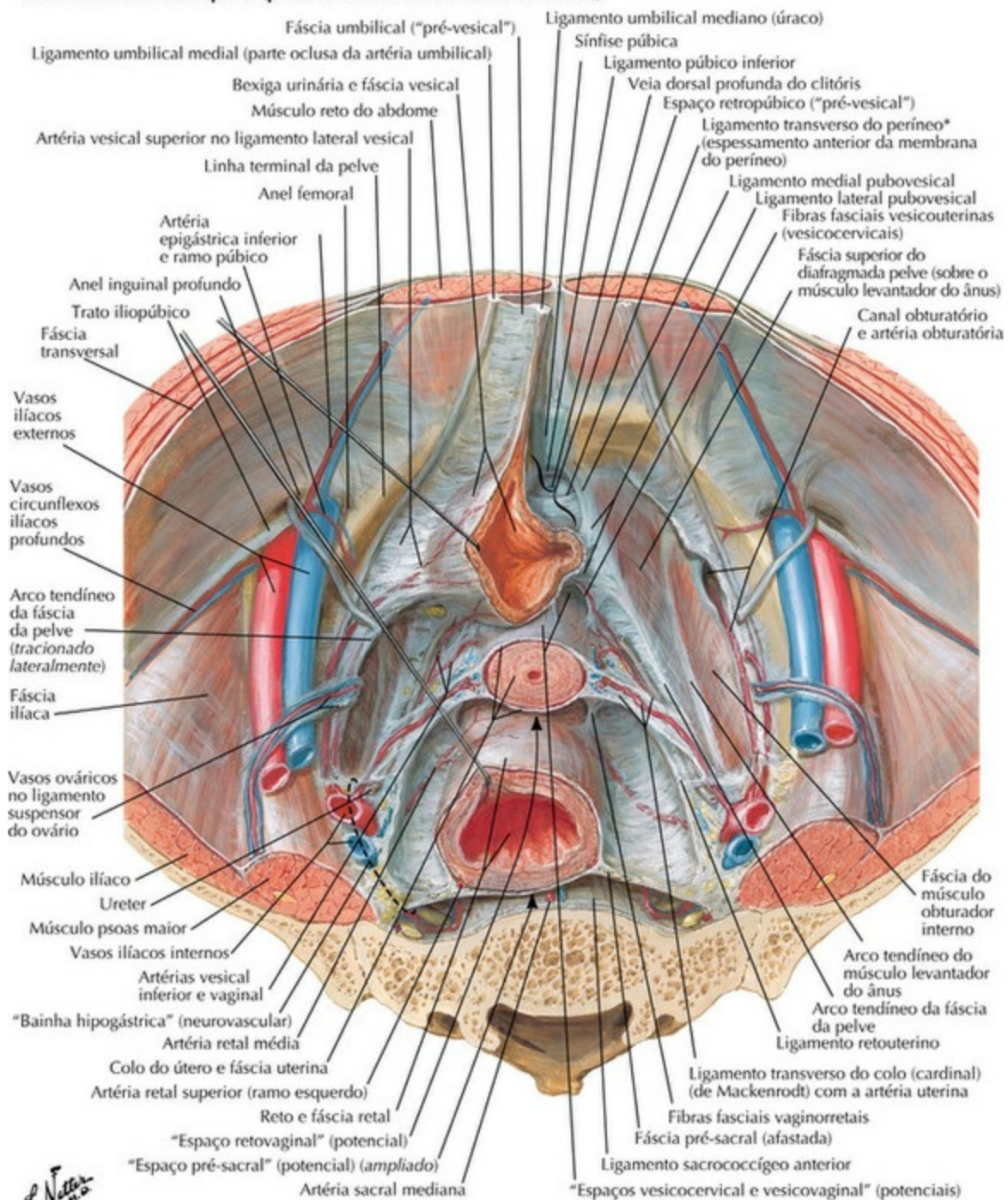
Vista superior com peritônio e parte do útero removidos

Nota da Revisão Científica: As fáscias com nomes entre aspas correspondem às fáscias próprias dos órgãos, sendo projeções da fáscia da pelve (Terminologia Anatômica, 2001).

PRANCHA 342 Assoalho da Pelve e Conteúdo

Fáscia da Pelve e Espaços Potenciais

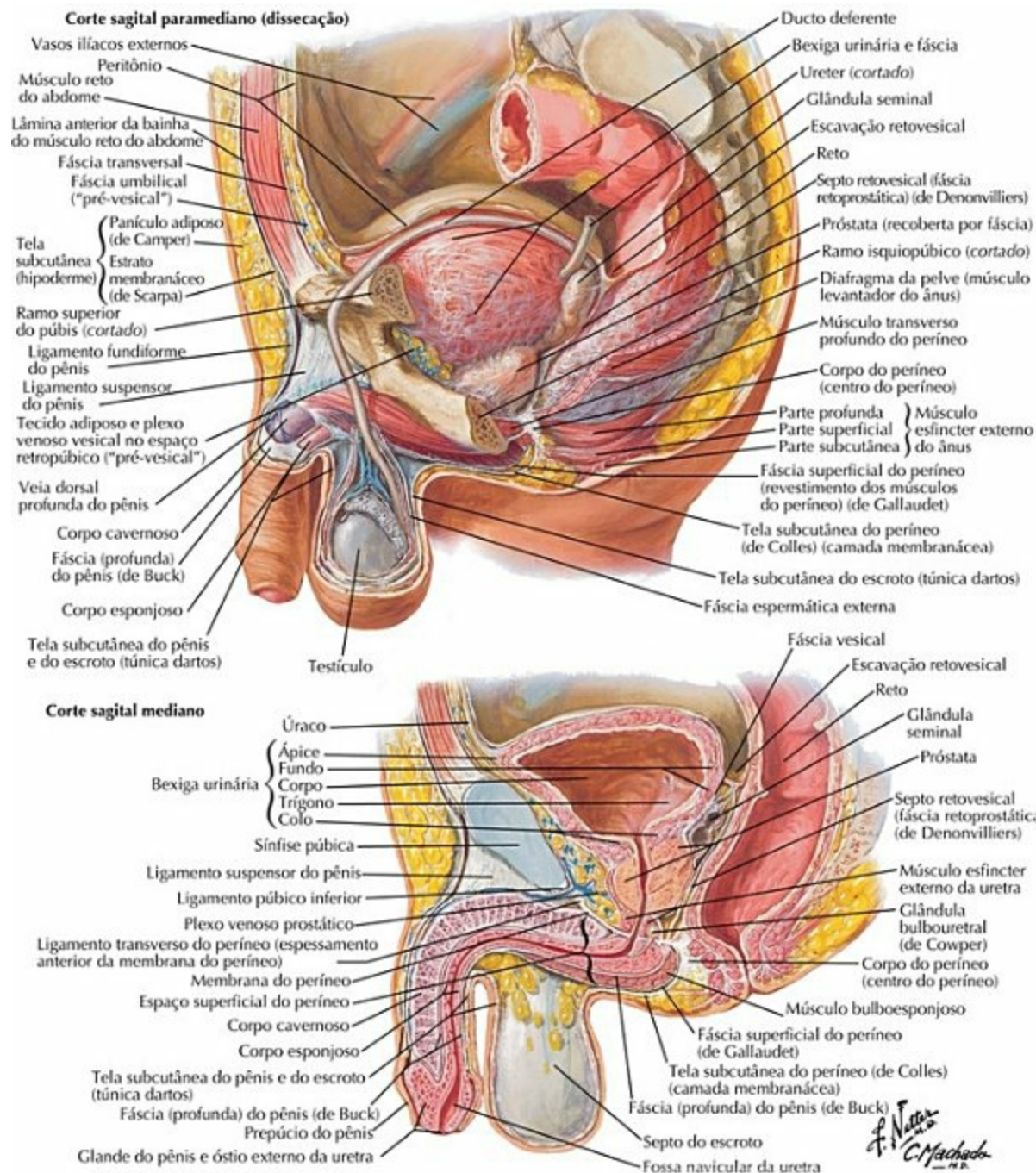
Gênero feminino: vista superior (peritônio e tecido areolar frouxo removidos)



*Nota da Revisão Científica: Veja nota referente à Prancha 336.

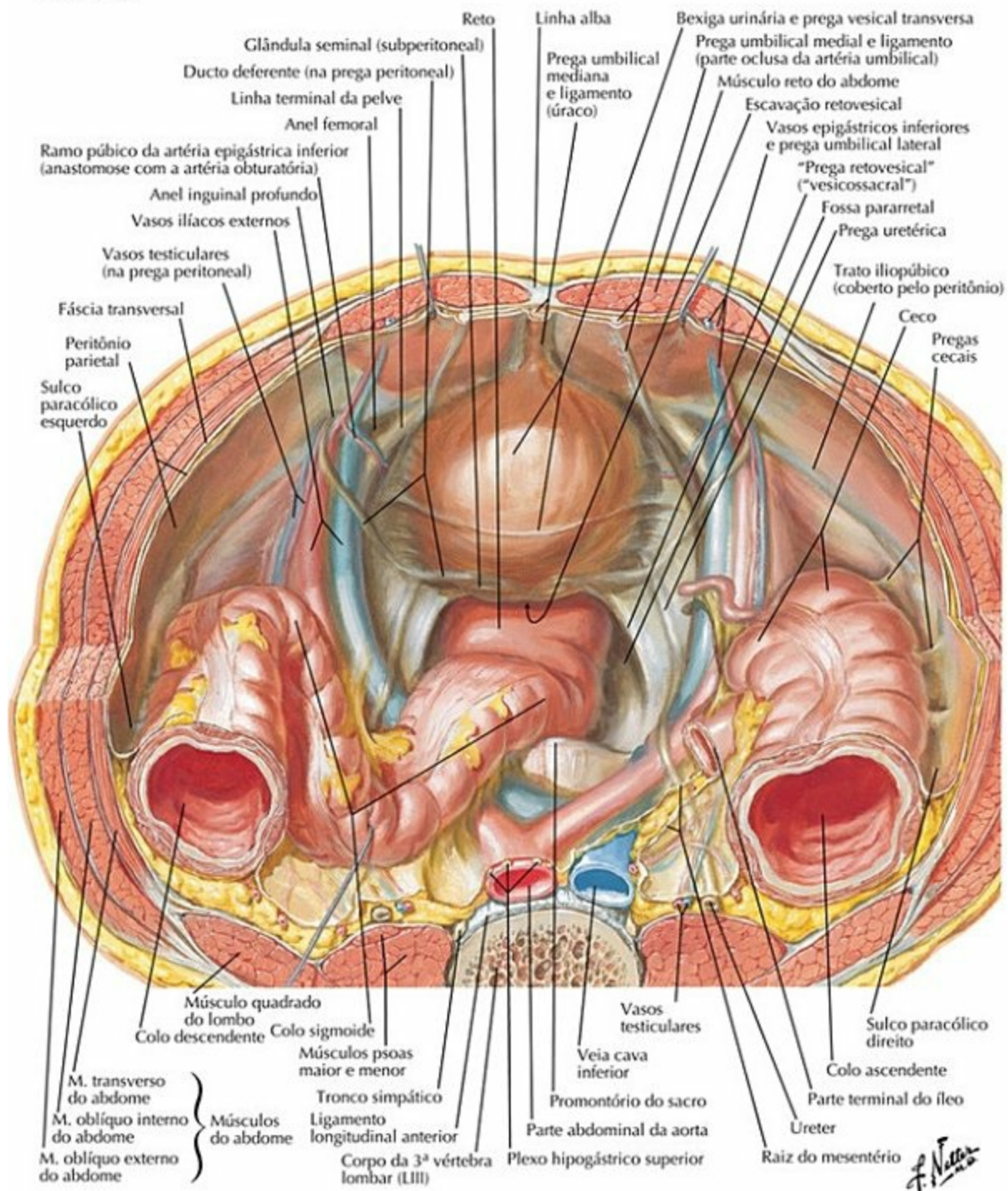
PRANCHA 343 Assoalho da Pelve e Conteúdo

Vísceras Pélvicas e Períneo: Gênero Masculino



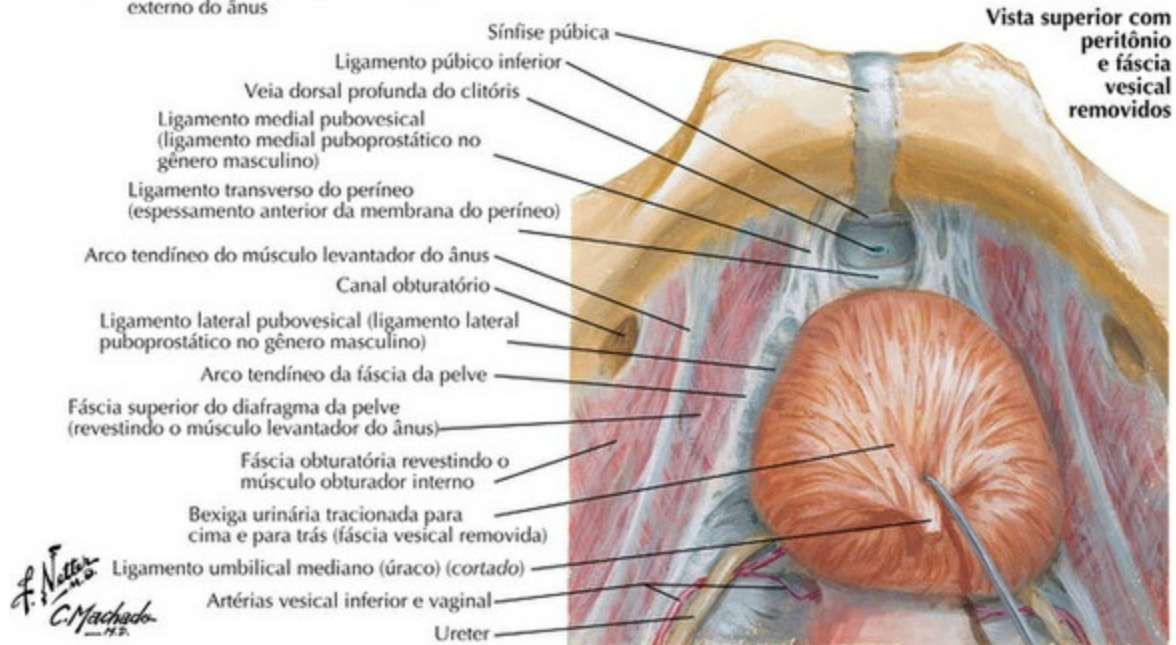
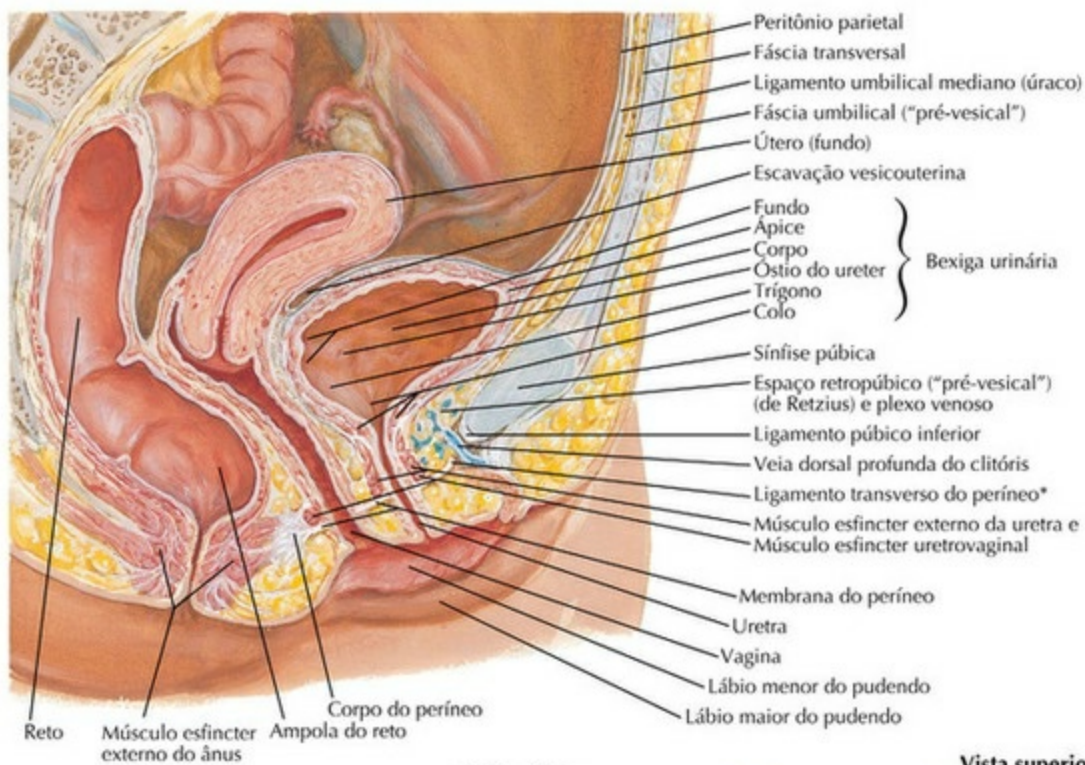
PRANCHA 344 Assoalho da Pelve e Conteúdo

Conteúdo da Pelve Masculina



PRANCHA 345 Assoalho da Pelve e Conteúdo

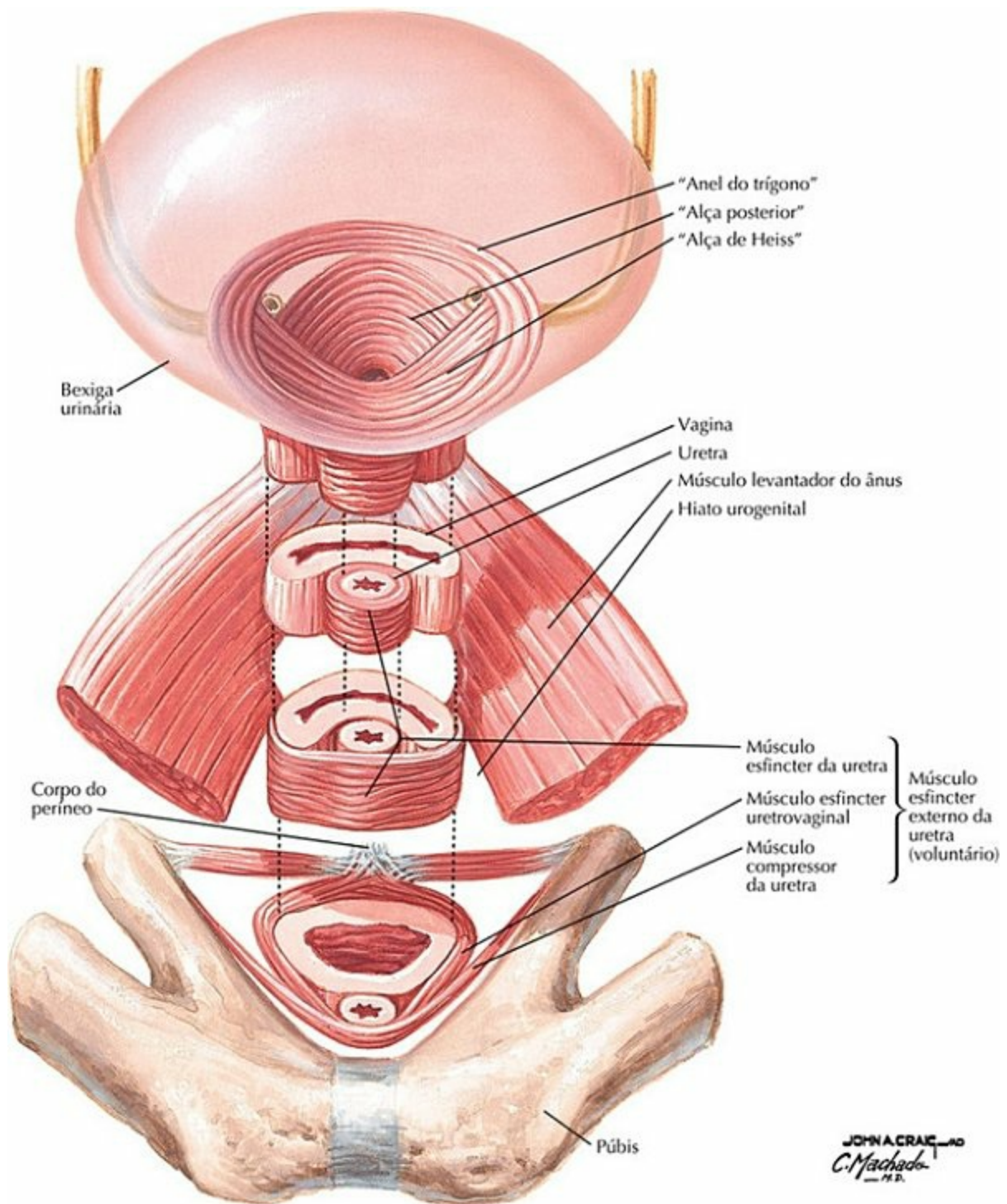
Bexiga Urinária: Orientação e Sustentação



*Nota da Revisão Científica: Veja nota referente à Prancha 336.

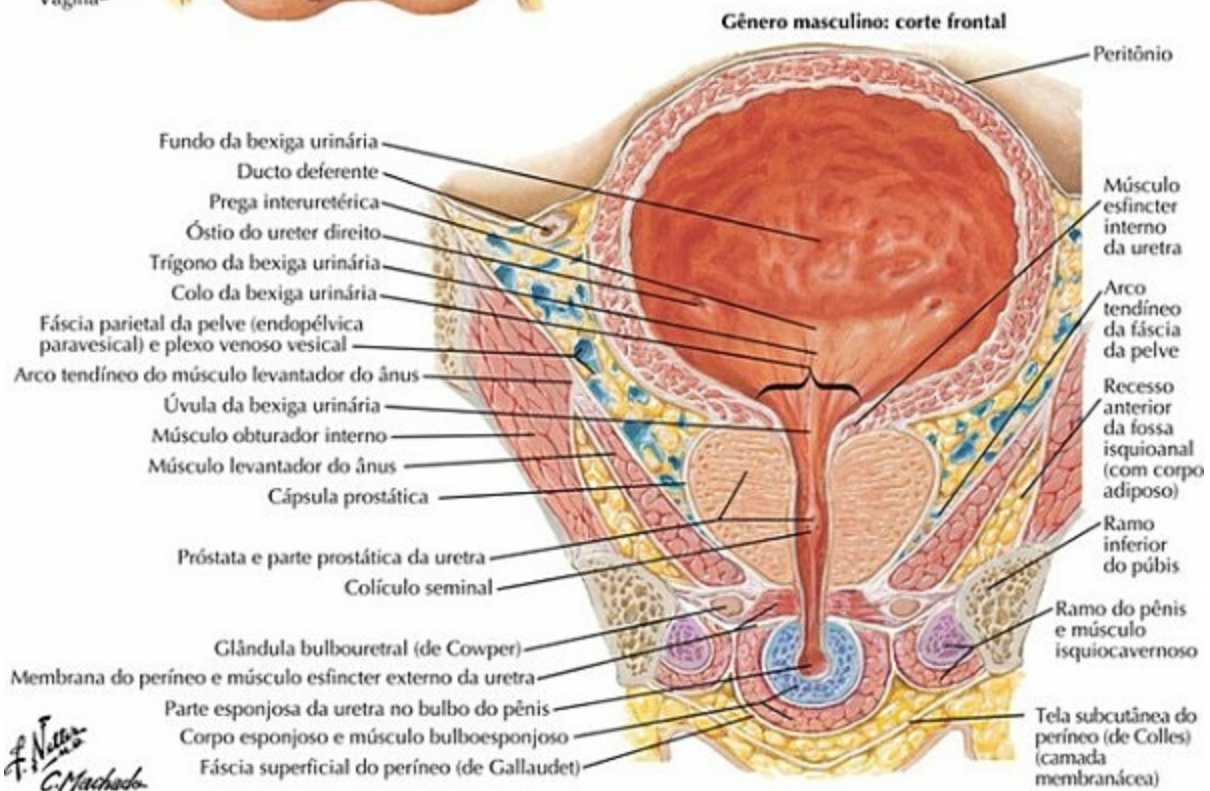
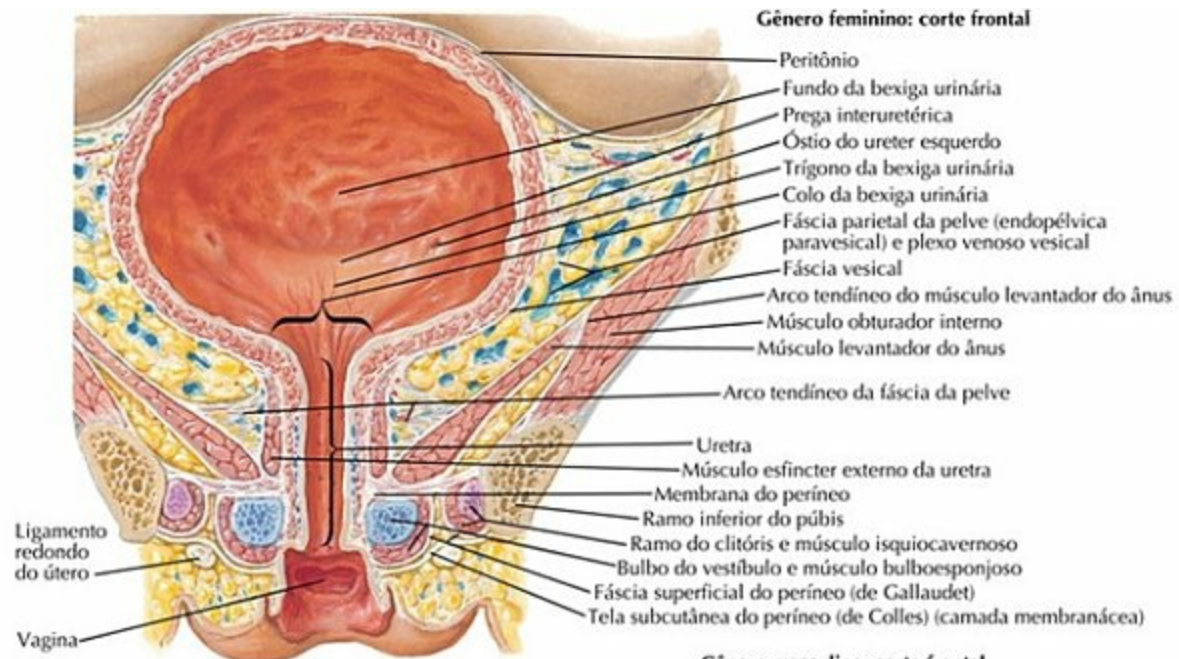
PRANCHA 346 Bexiga Urinária

Esfínteres Femininos



PRANCHA 347 Bexiga Urinária
Veja também **Prancha 356**

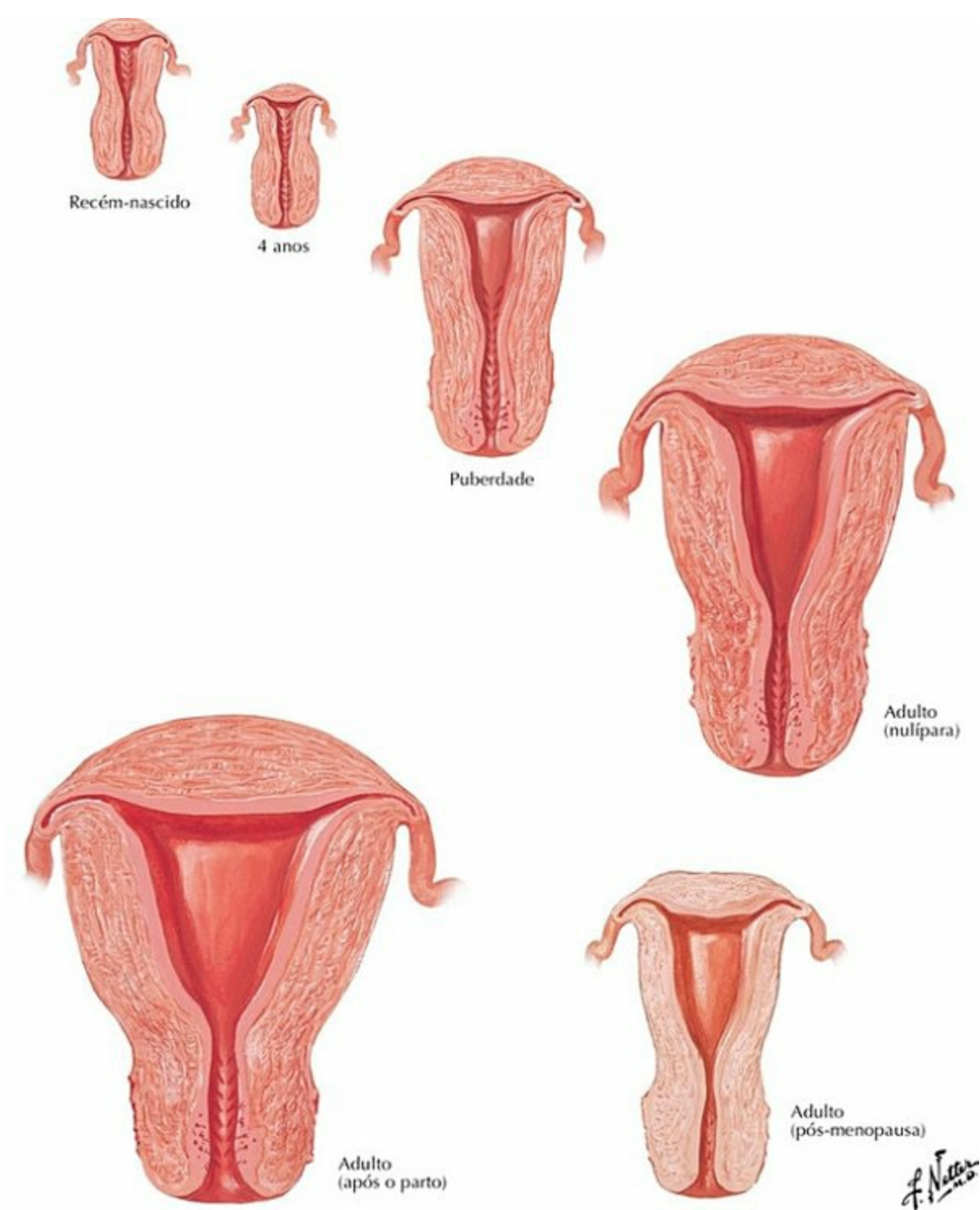
Bexiga Urinária: Feminina e Masculina



PRANCHA 348 Bexiga Urinária

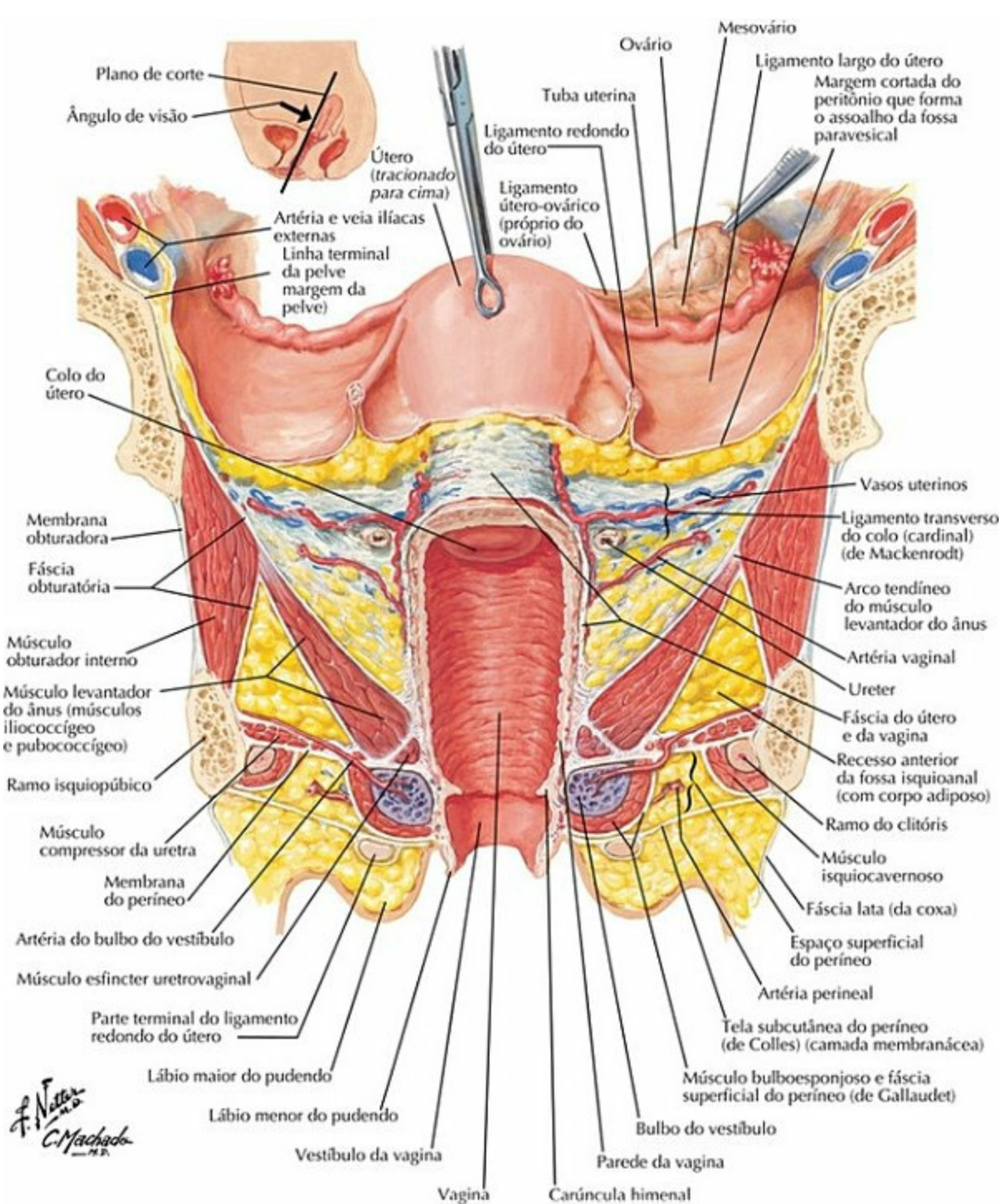
Veja também [Pranchas 340, 344, 381](#)

Crescimento Uterino



PRANCHA 349 Útero, Vagina e Estruturas de Sustentação

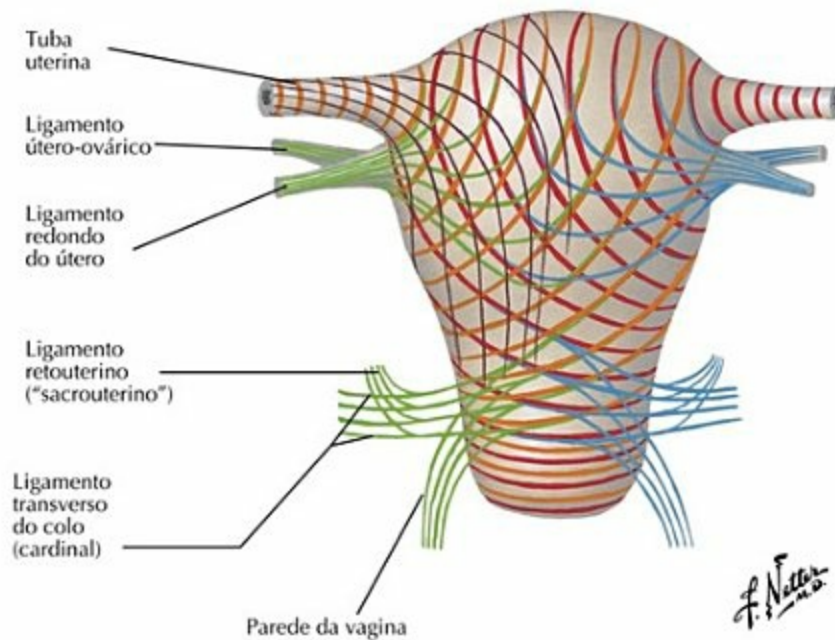
Útero, Vagina e Estruturas de Sustentação



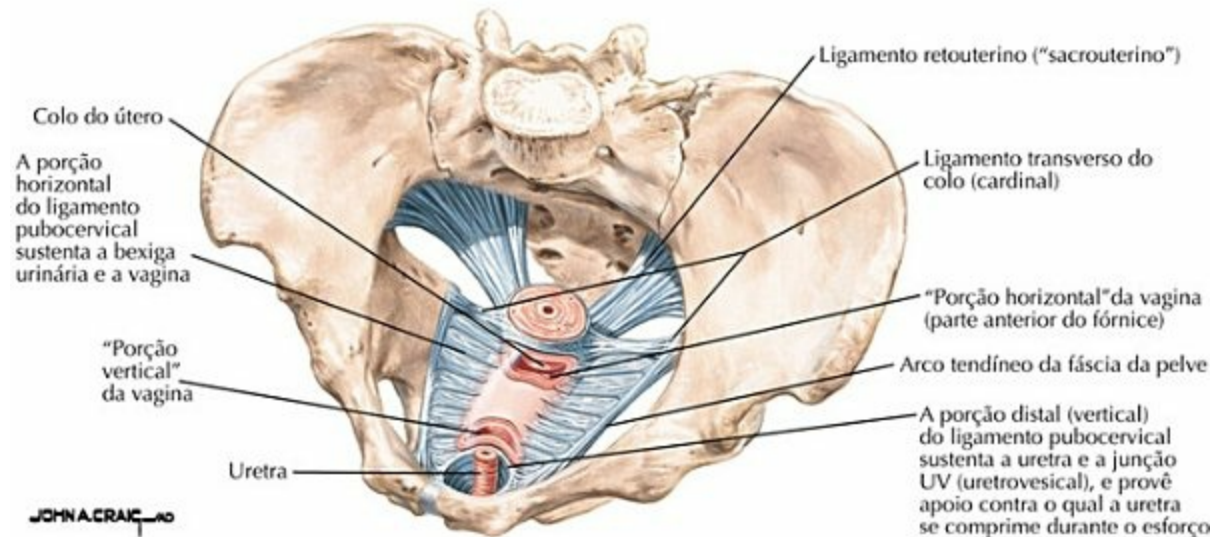
PRANCHA 350 Útero, Vagina e Estruturas de Sustentação
 Veja também **Pranchas 382, 384, 390**

Útero: Ligamentos Fasciais

Ligamentos fasciais do útero

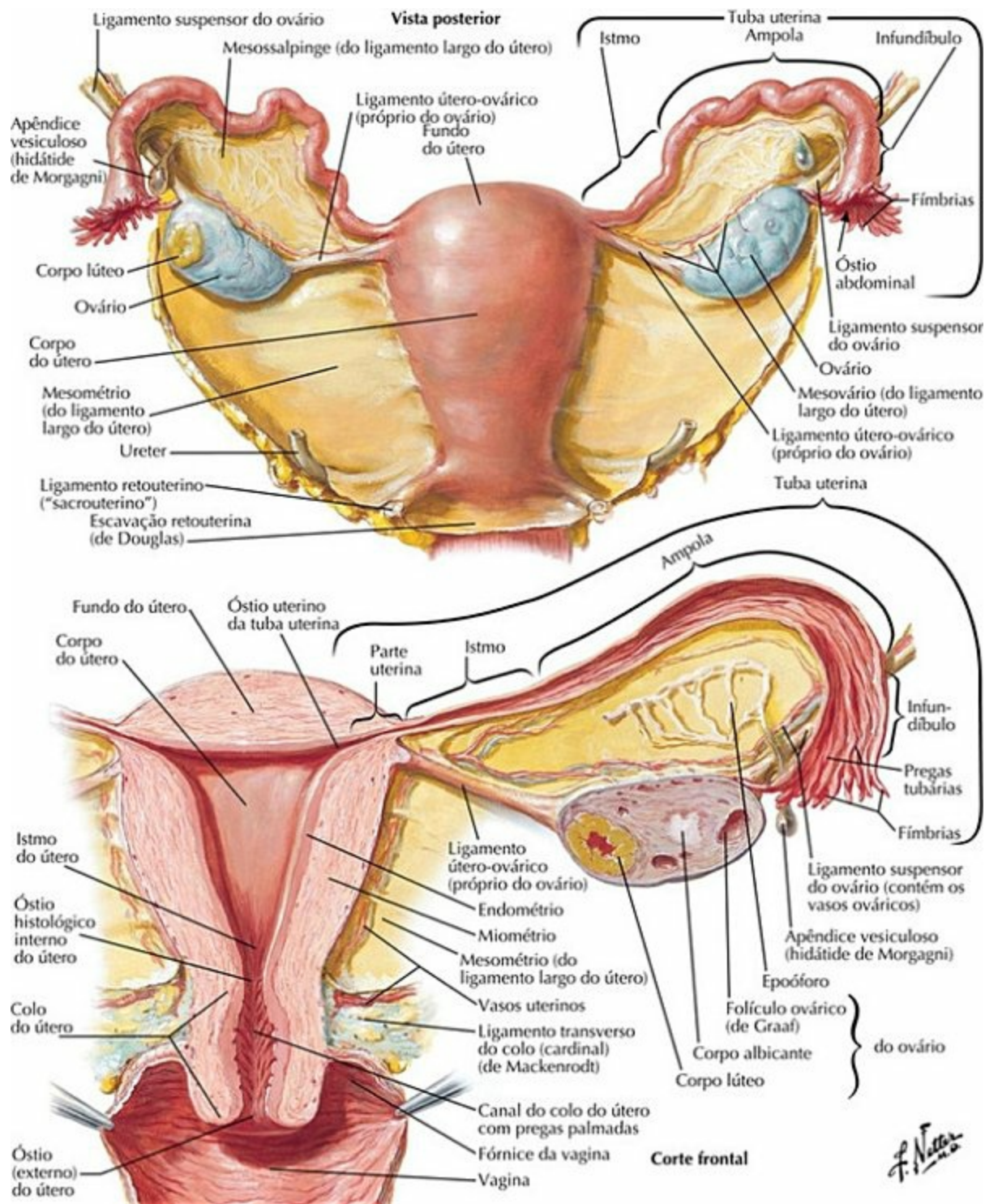


Fáscia e ligamentos da pelve



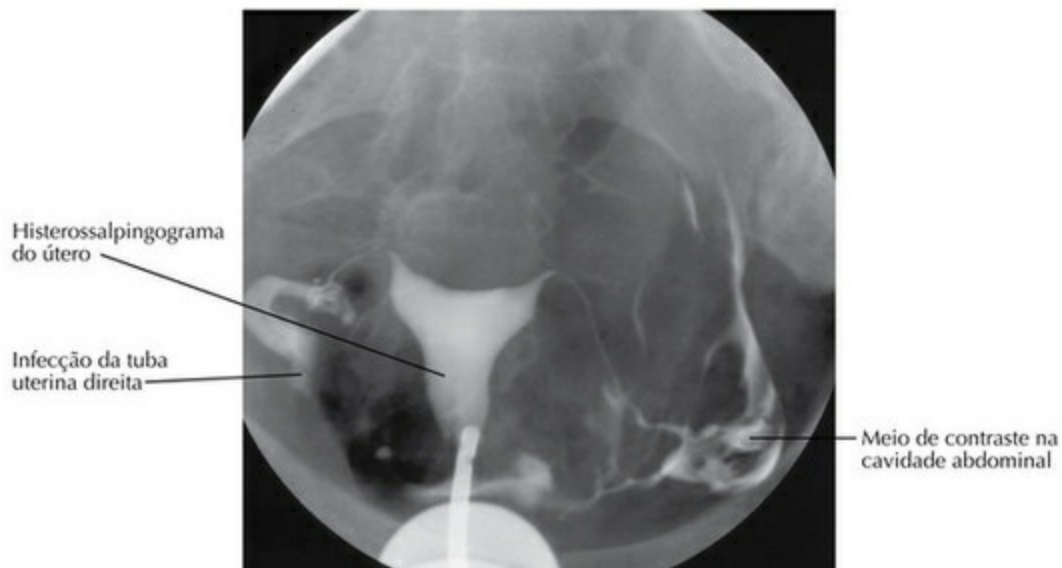
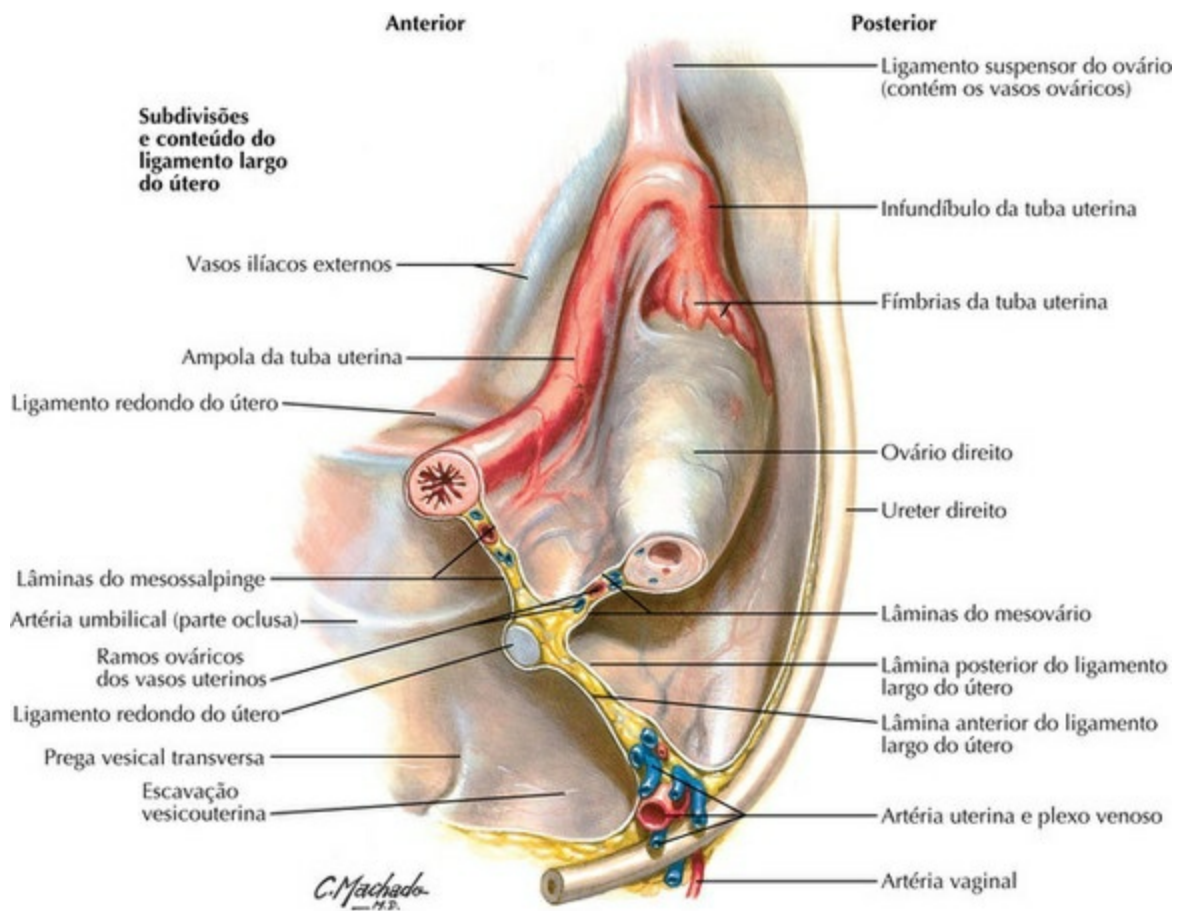
PRANCHA 351 Útero, Vagina e Estruturas de Sustentação
 Veja também **Prancha 343**

Útero e Anexos



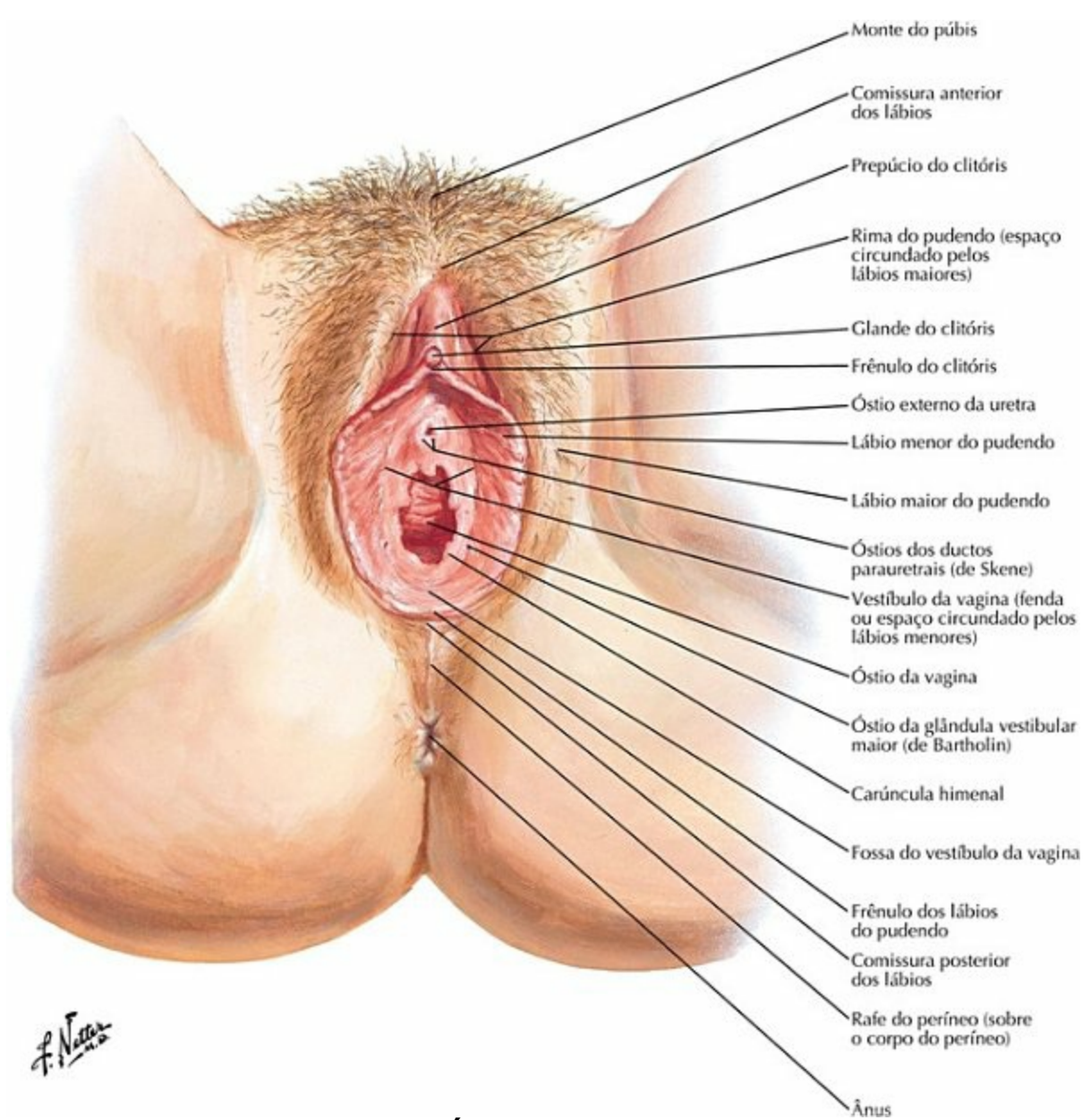
PRANCHA 352 Útero, Vagina e Estruturas de Sustentação

Ligamentos Pélvicos



PRANCHA 353 Útero, Vagina e Estruturas de Sustentação

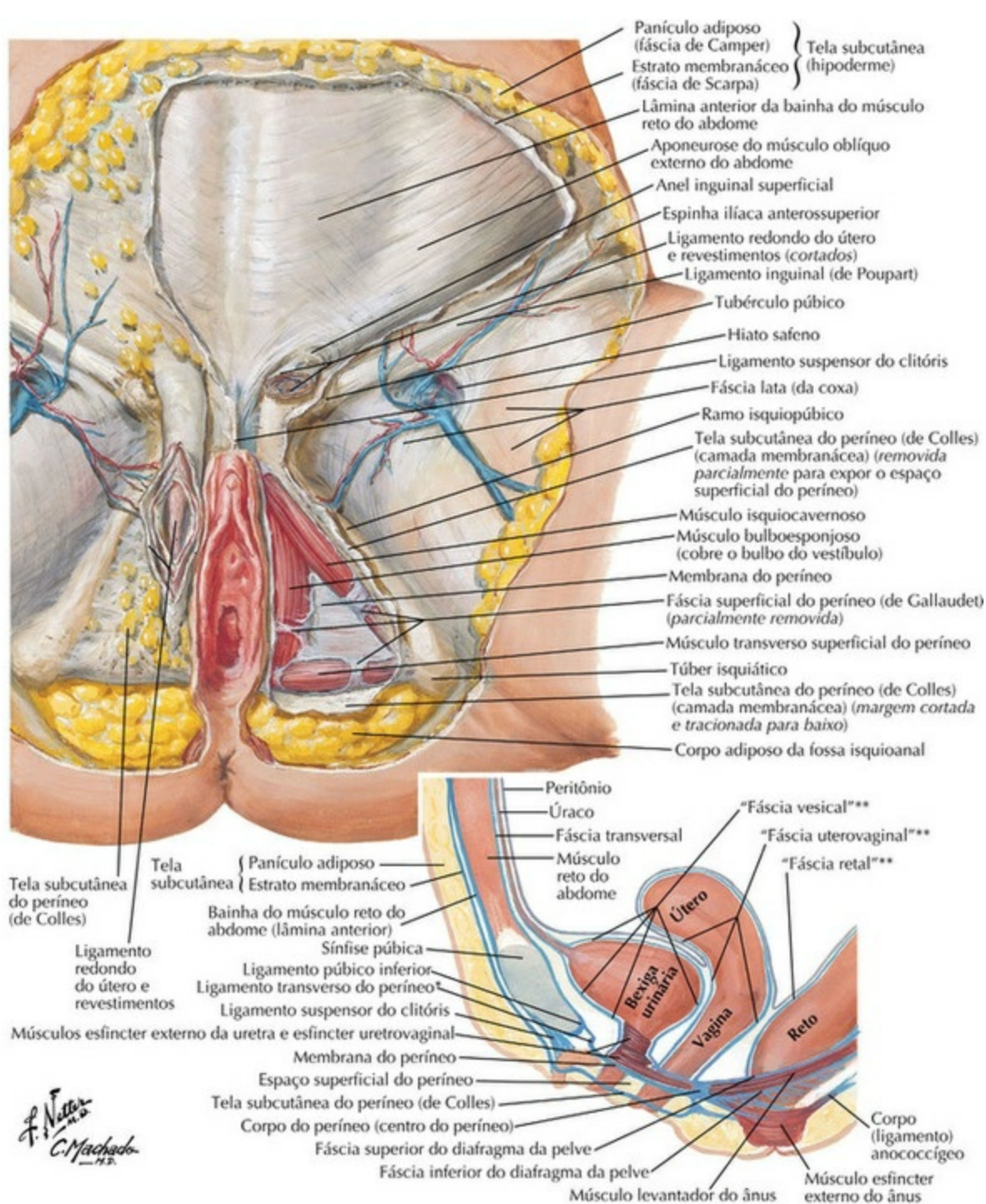
Períneo e Órgãos Genitais Femininos Externos (Pudendo ou “Vulva”)



PRANCHA 354 Períneo e Órgãos Genitais Femininos Externos

Veja também **Pranchas 382, 385, 391**

Períneo Feminino (Dissecação Superficial)

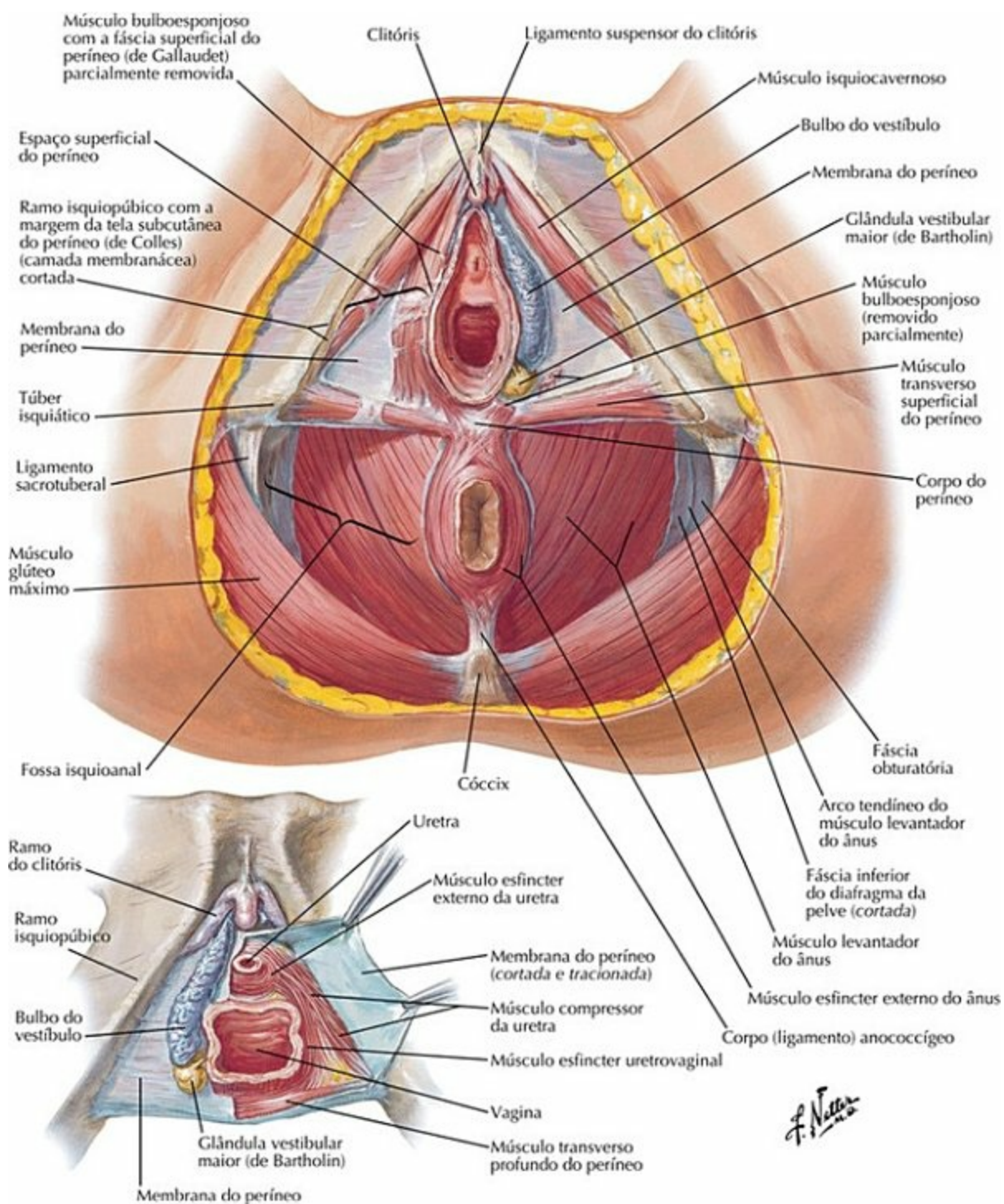


*Nota da Revisão Científica: Veja nota referente à Prancha 336.

**Nota da Revisão Científica: Veja nota referente à Prancha 342.

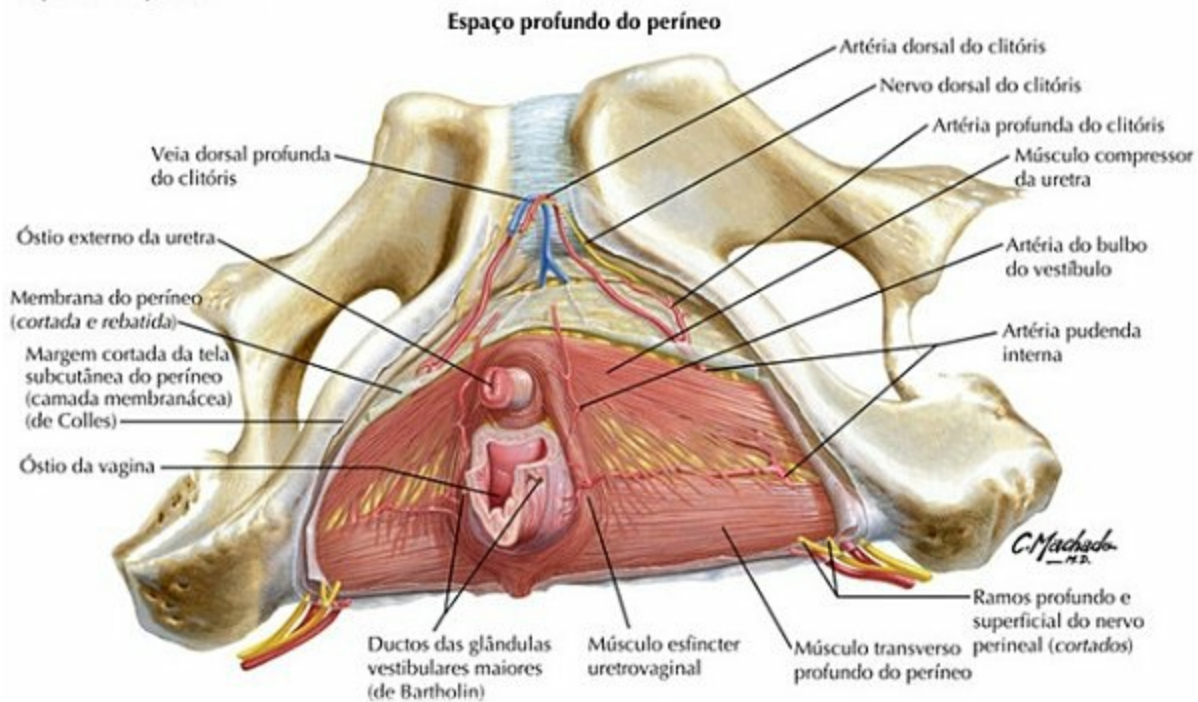
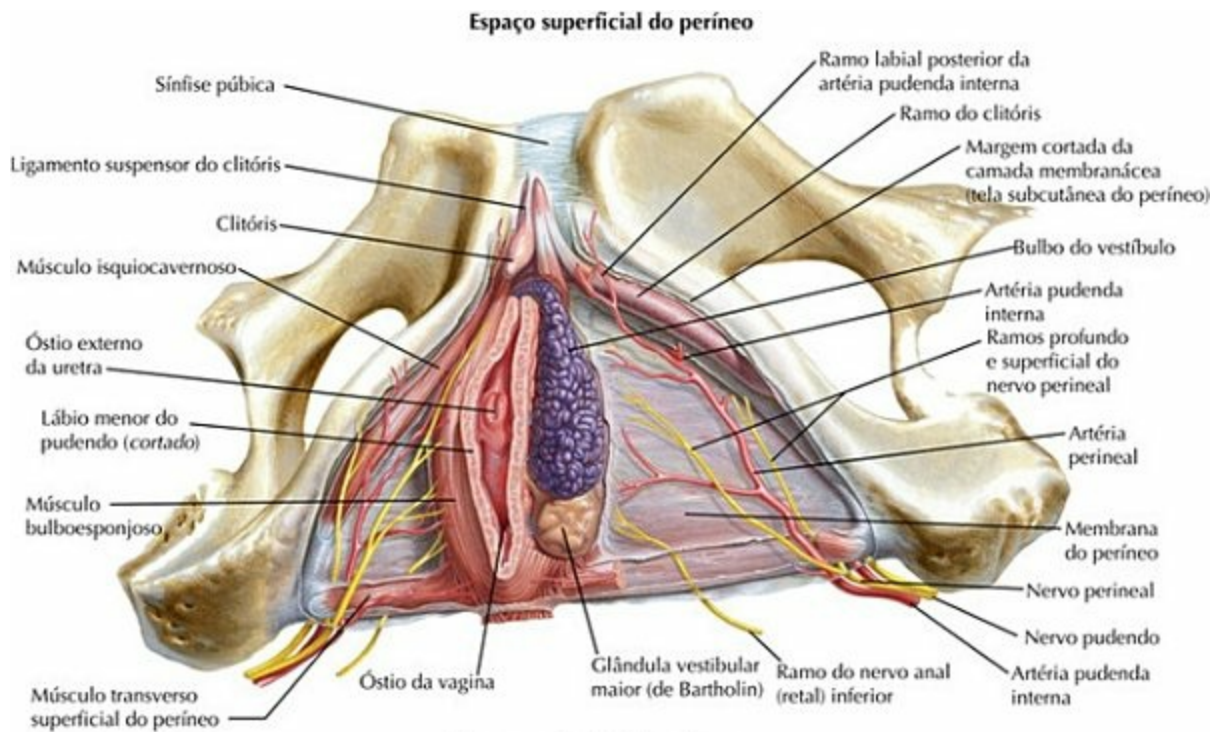
PRANCHA 355 Períneo e Órgãos Genitais Femininos Externos

Períneo Feminino (Dissecação Profunda)



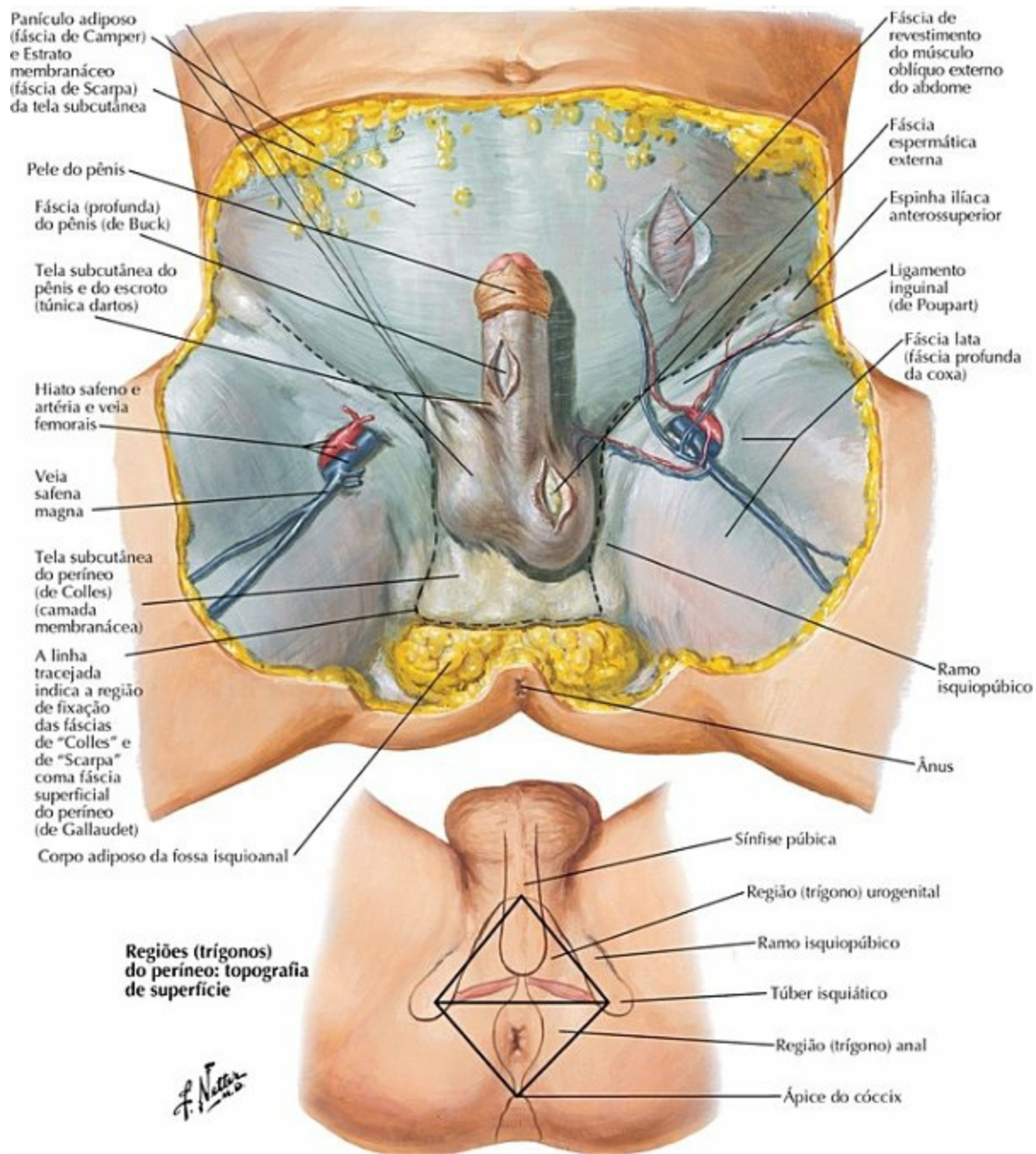
PRANCHA 356 Períneo e Órgãos Genitais Femininos Externos

Espaços do Períneo Feminino



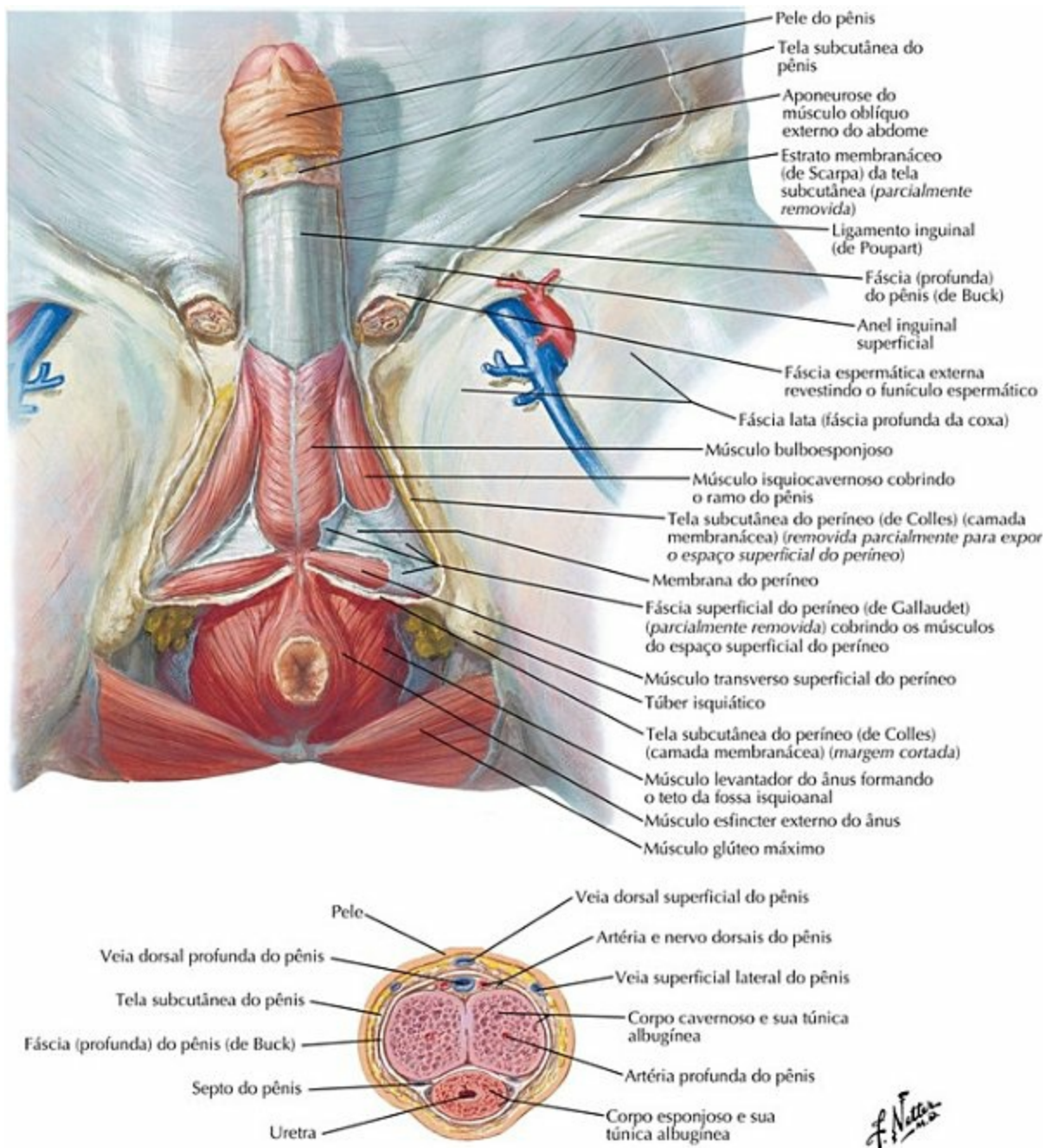
PRANCHA 357 Períneo e Órgãos Genitais Femininos Externos
 Veja também **Pranchas 382, 391**

Períneo e Órgãos Genitais Masculinos Externos (Dissecação Superficial)



PRANCHA 358 Períneo e Órgãos Genitais Masculinos Externos

Períneo e Órgãos Genitais Masculinos Externos (Dissecação Profunda)

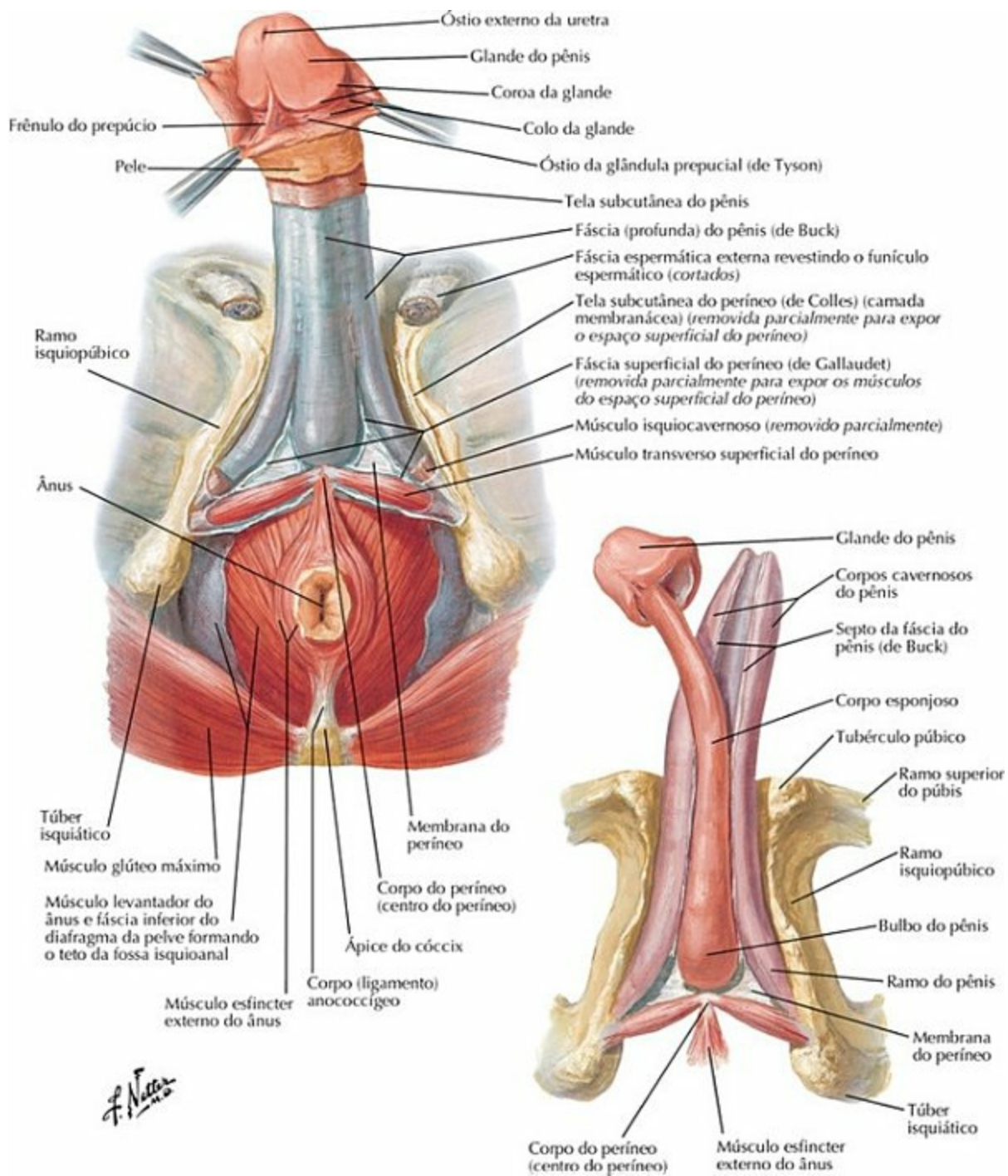


Corte transversal do corpo do pênis

PRANCHIA 359 Períneo e Órgãos Genitais Masculinos Externos

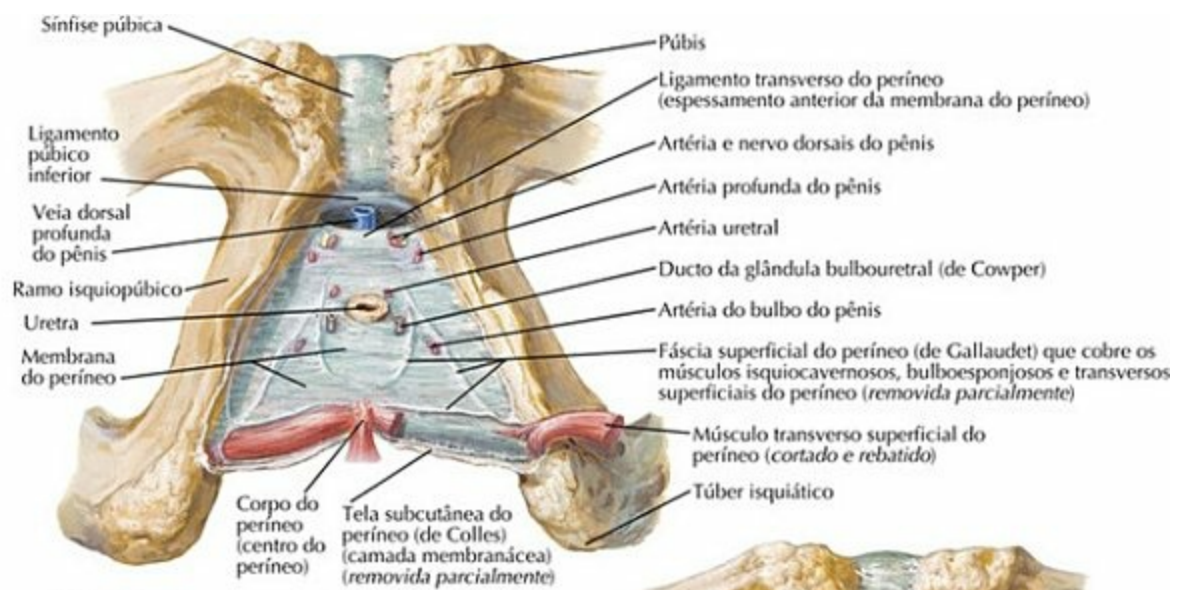
Veja também **Pranchas 378, 380, 383**

Pênis

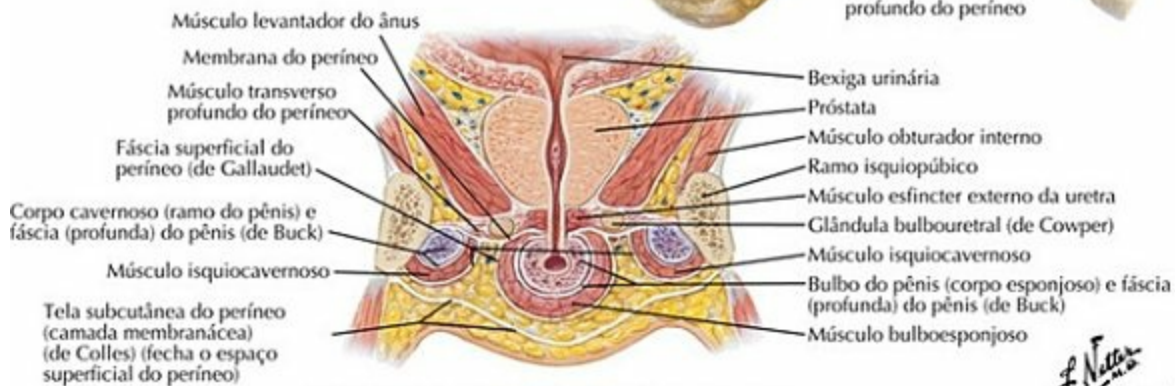
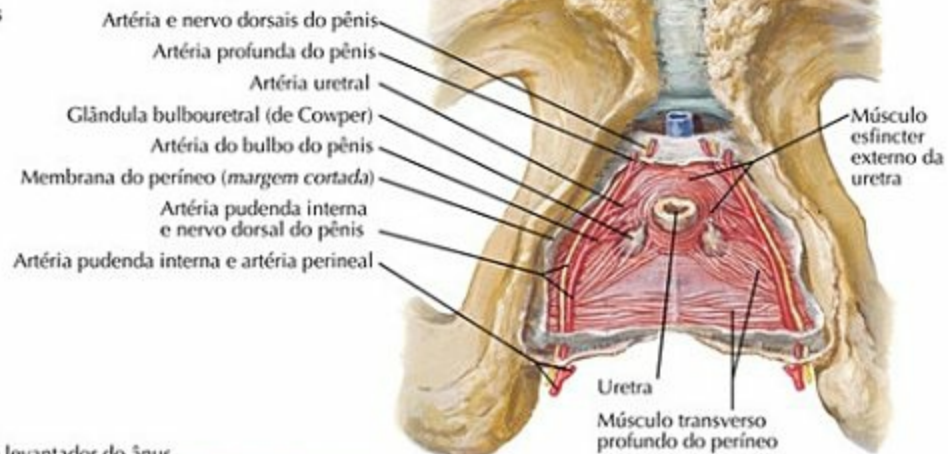


PRANCHA 360 Períneo e Órgãos Genitais Masculinos Externos

Espaços do Períneo Masculino



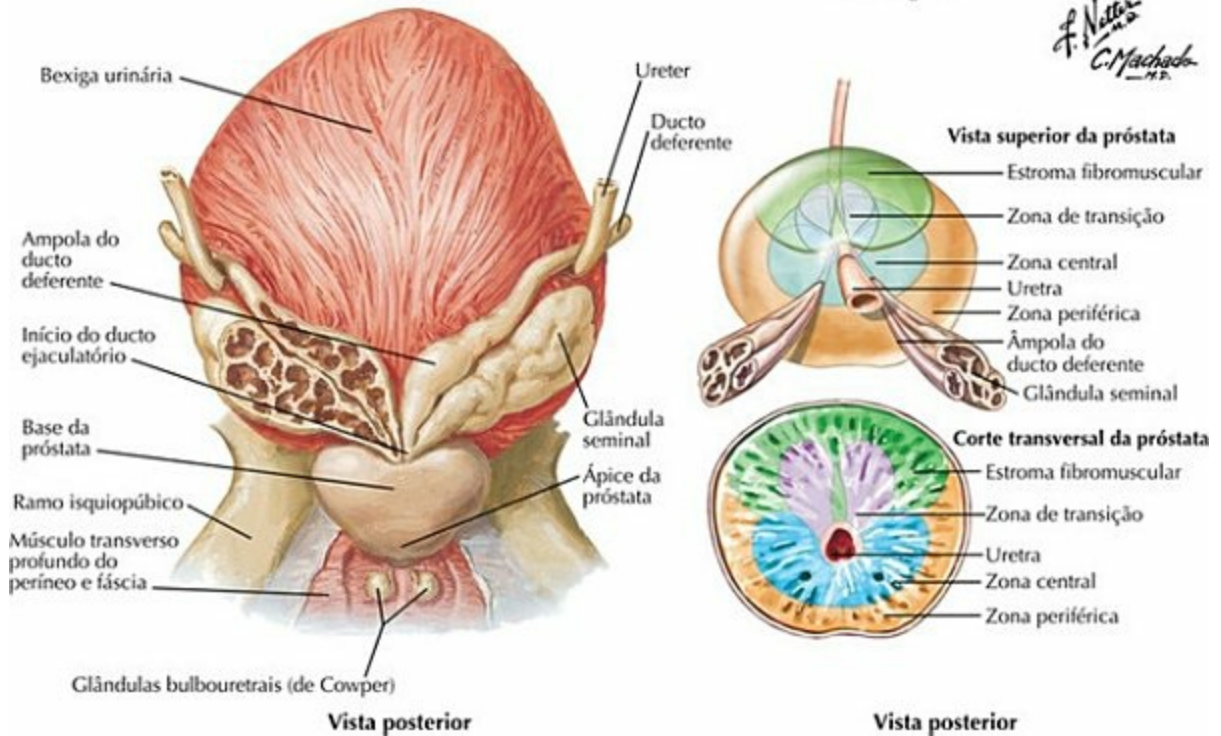
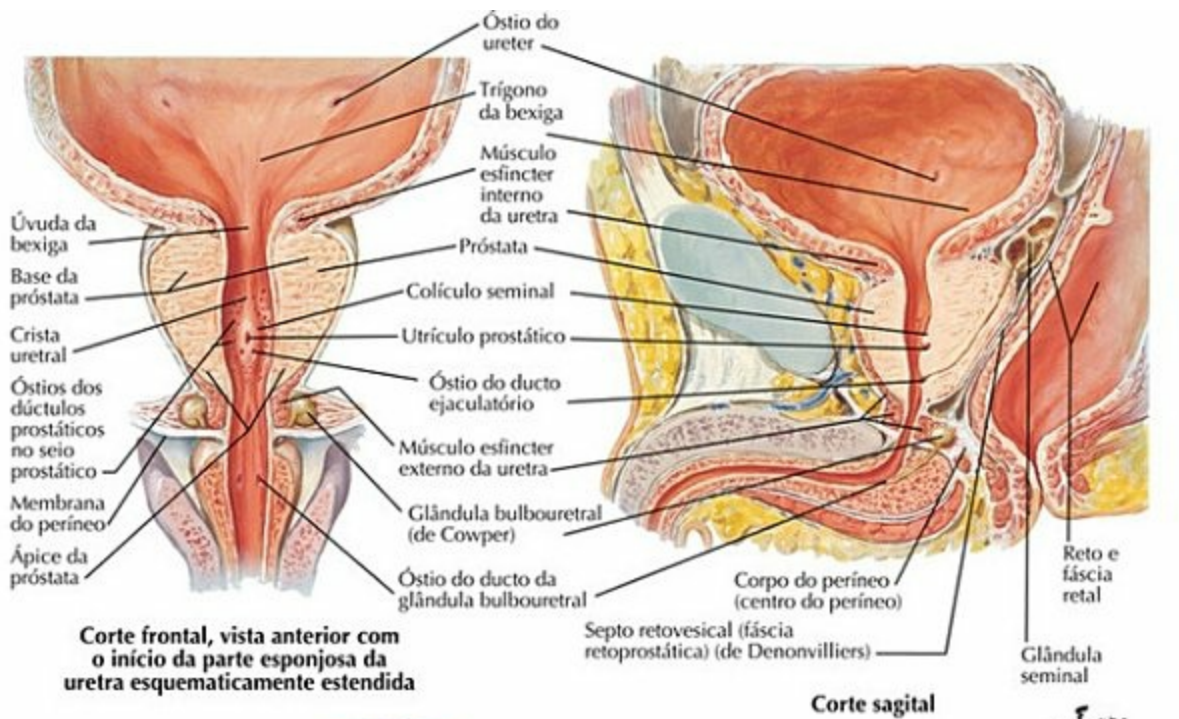
Vistas inferiores



Corte frontal, vista anterior do períneo: esquema

PRANCHA 361 Períneo e Órgãos Genitais Masculinos Externos

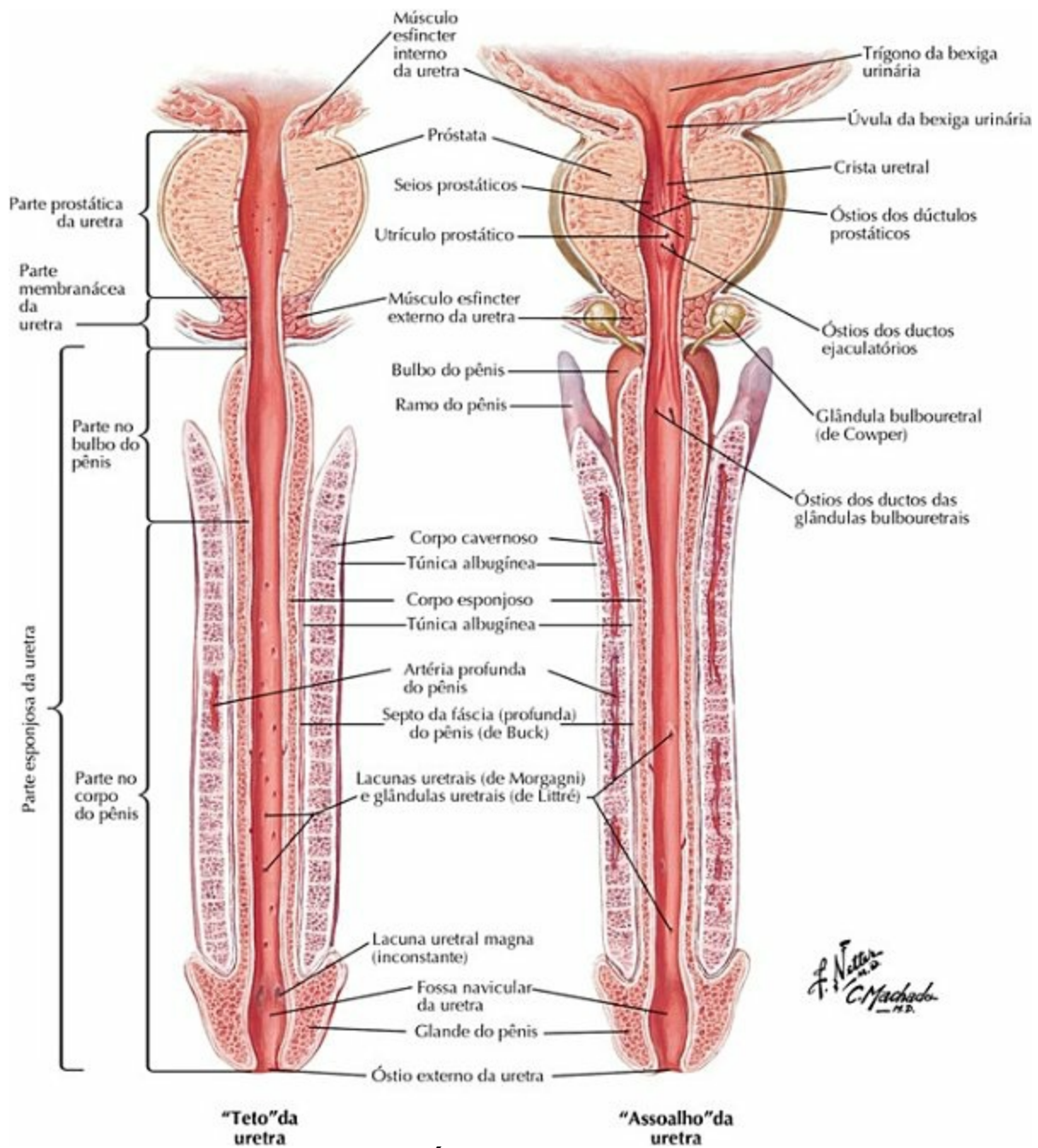
Próstata e Glândulas Seminais



PRANCHA 362 Períneo e Órgãos Genitais Masculinos Externos

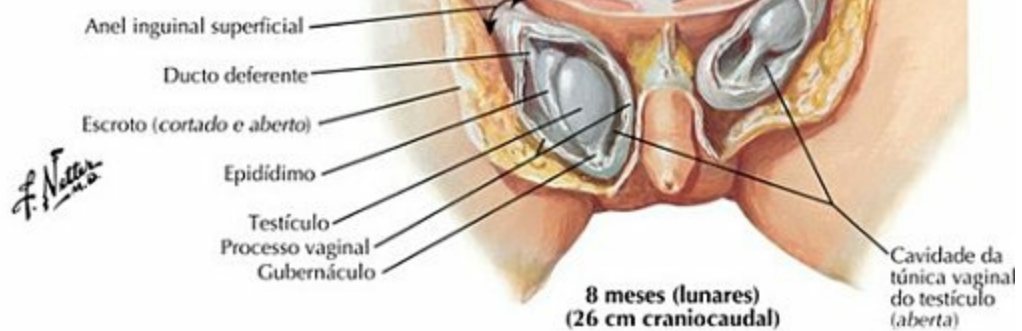
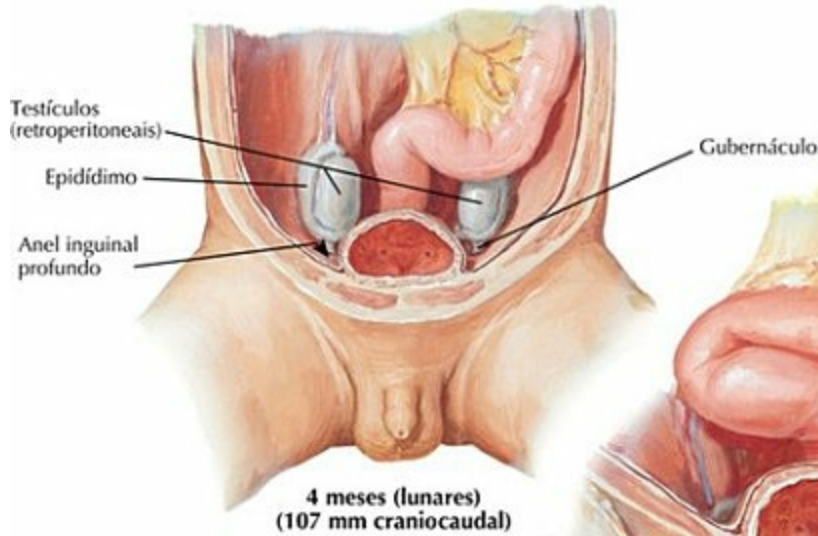
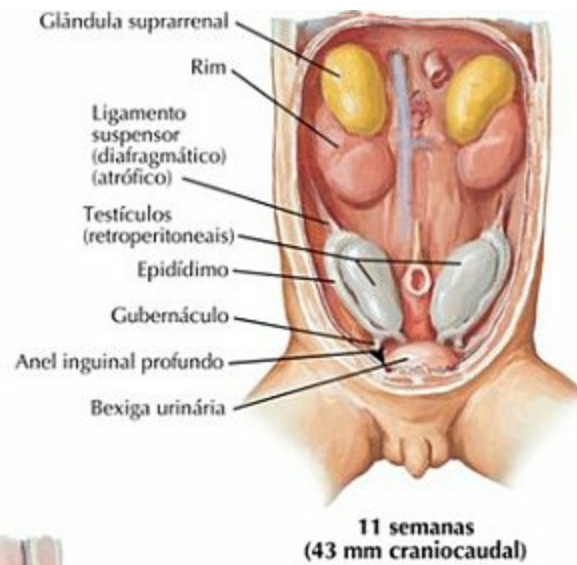
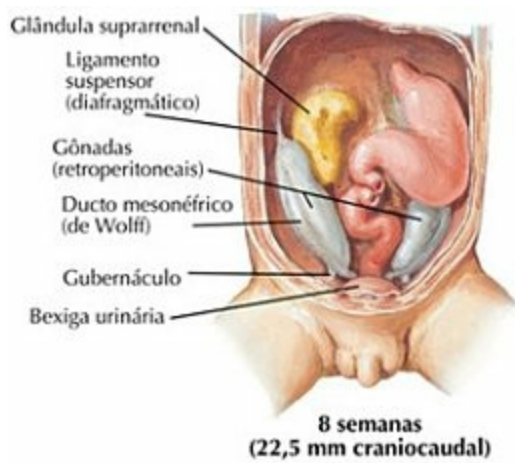
Veja também **Pranchas 344, 348, 381**

Uretra Masculina



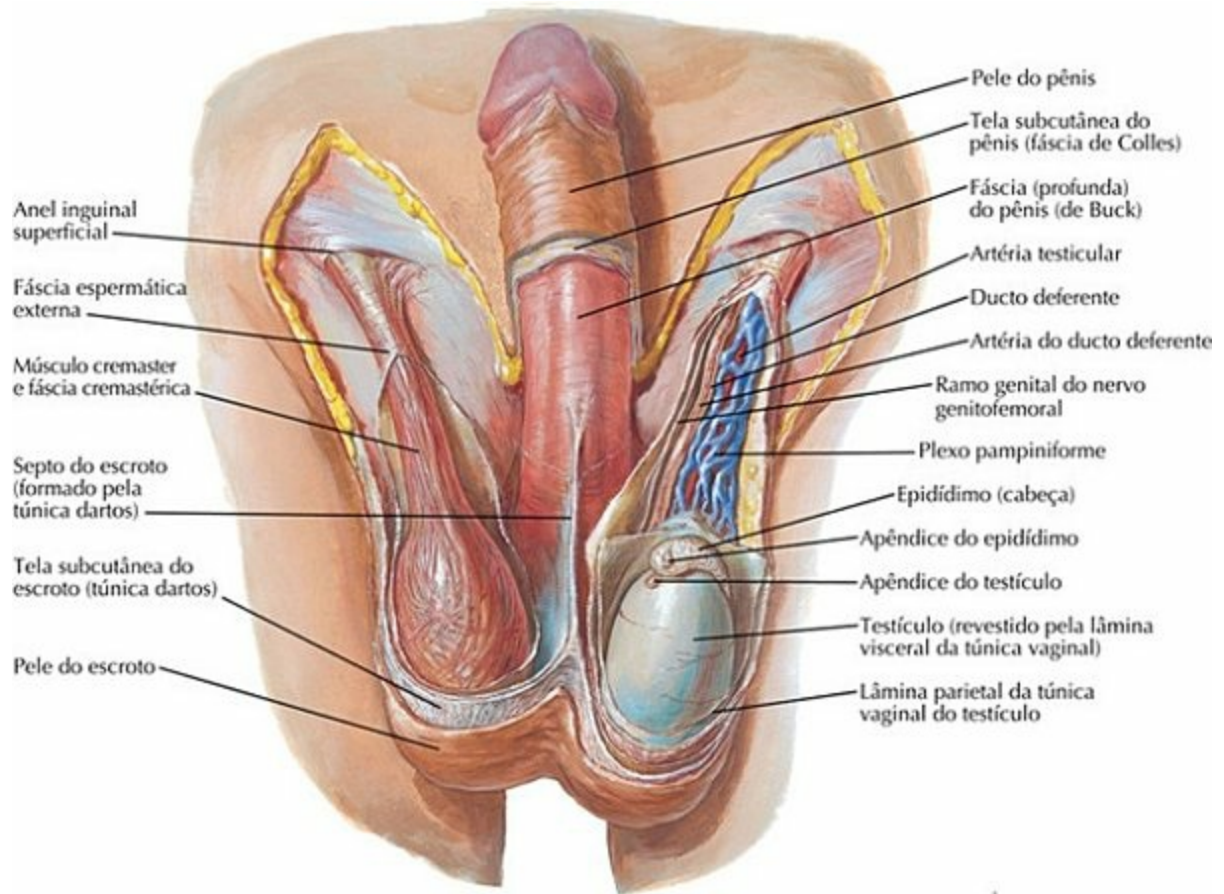
PRANCHA 363 Períneo e Órgãos Genitais Masculinos Externos

Descida dos Testículos



PRANCHA 364 Períneo e Órgãos Genitais Masculinos Externos

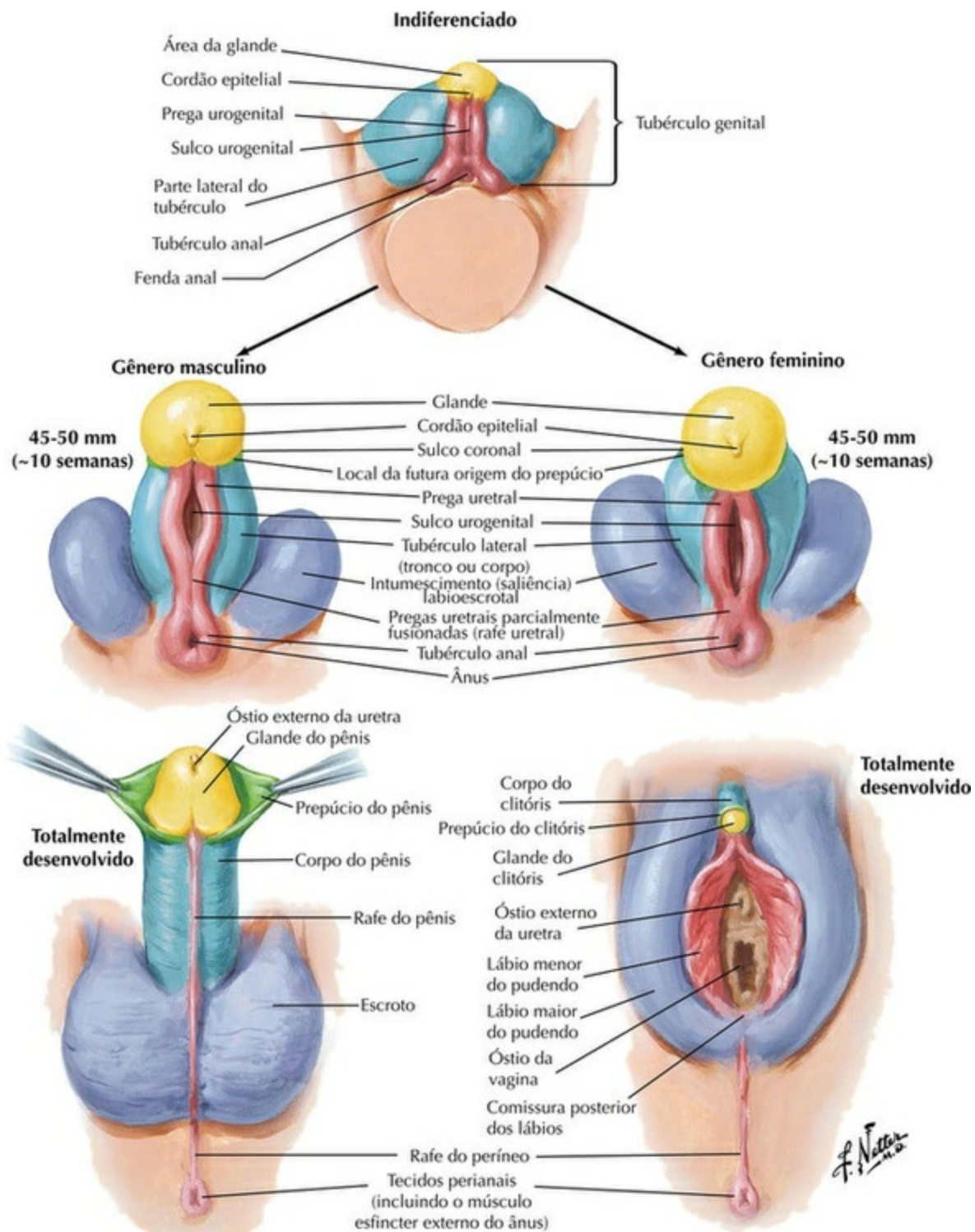
Escroto e Conteúdo



PRANCHA 365 Períneo e Órgãos Genitais Masculinos Externos

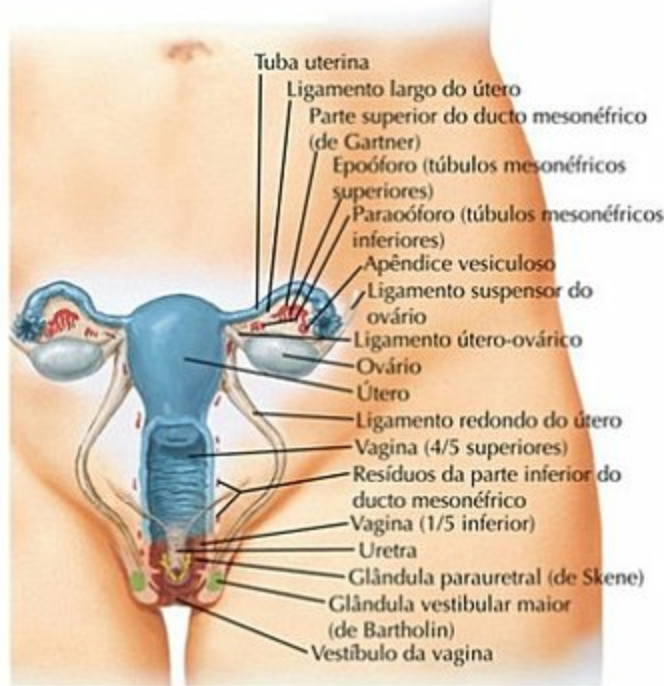
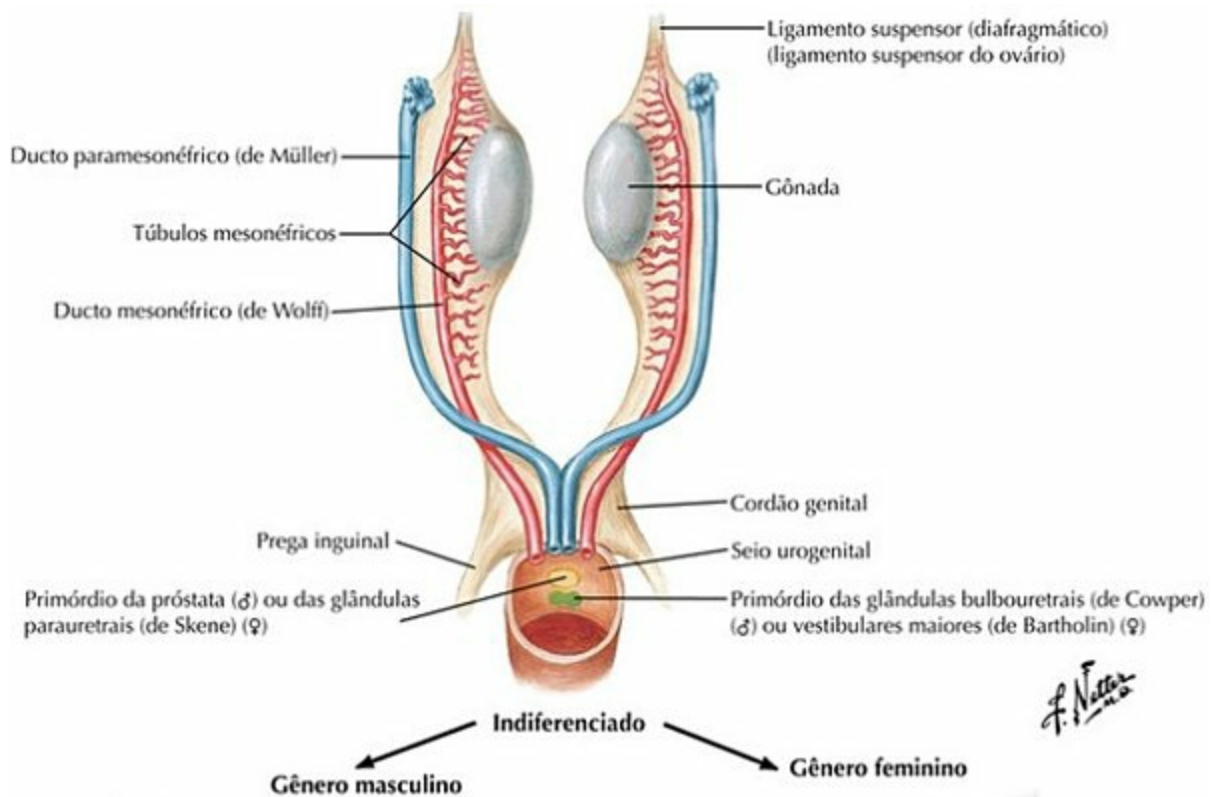
Veja também **Pranchas 321, 344**

Homólogos dos Órgãos Genitais Externos



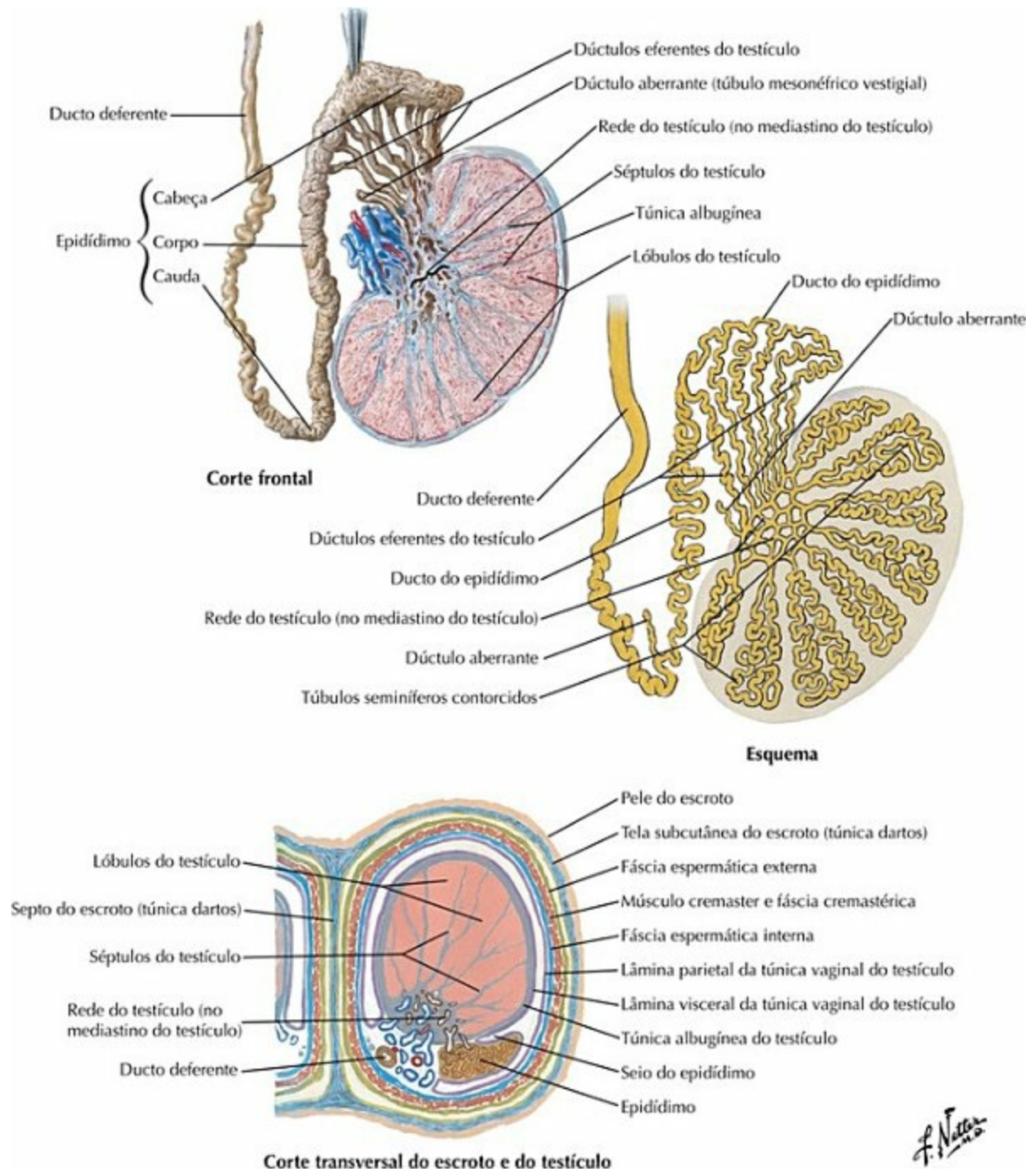
PRANCHA 366 Homólogos dos Órgãos Genitais
Veja também **Prancha 354**

Homólogos dos Órgãos Genitais Internos



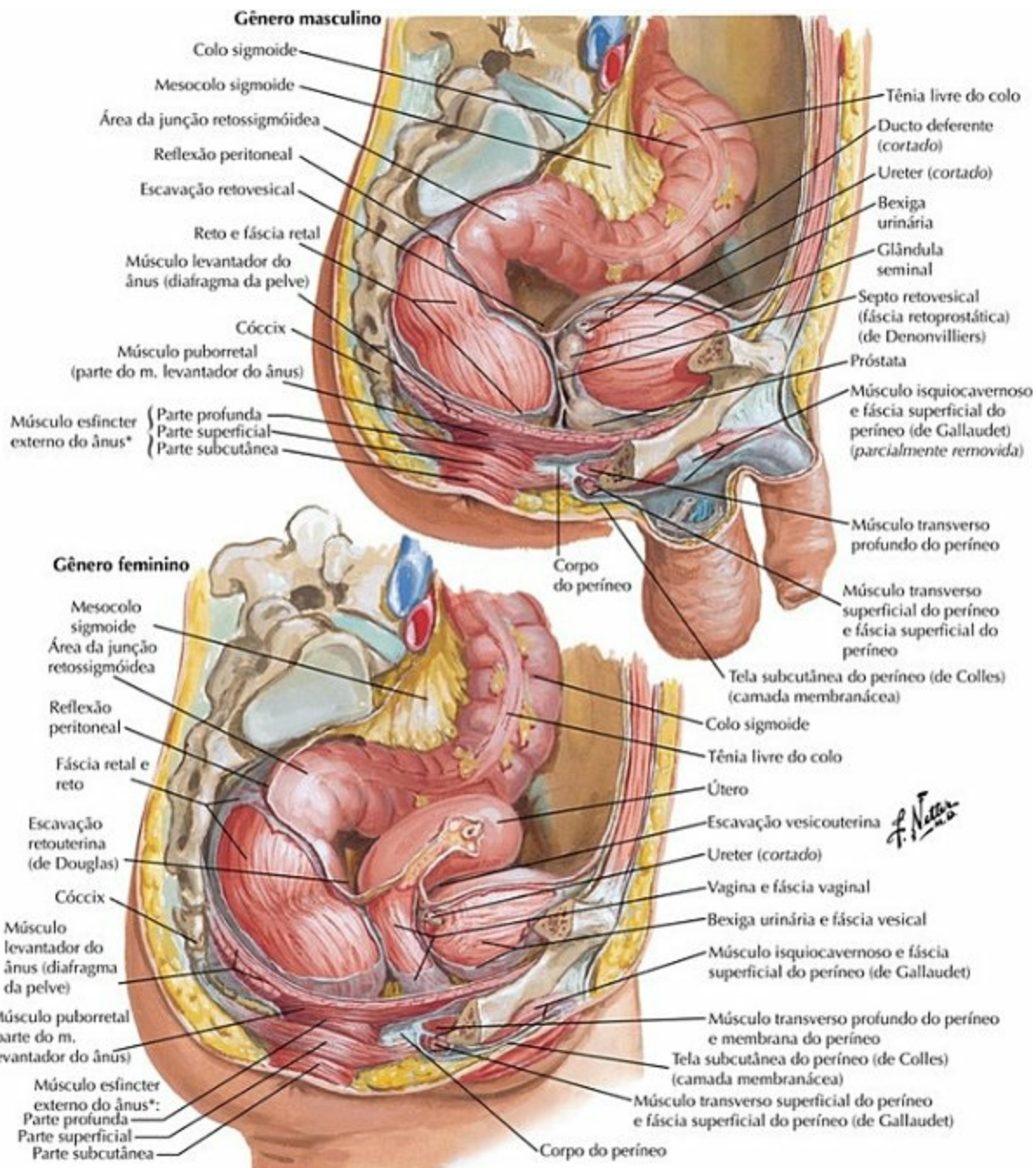
PRANCHA 367 Homólogos dos Órgãos Genitais

Testículo, Epidídimo e Ducto Deferente



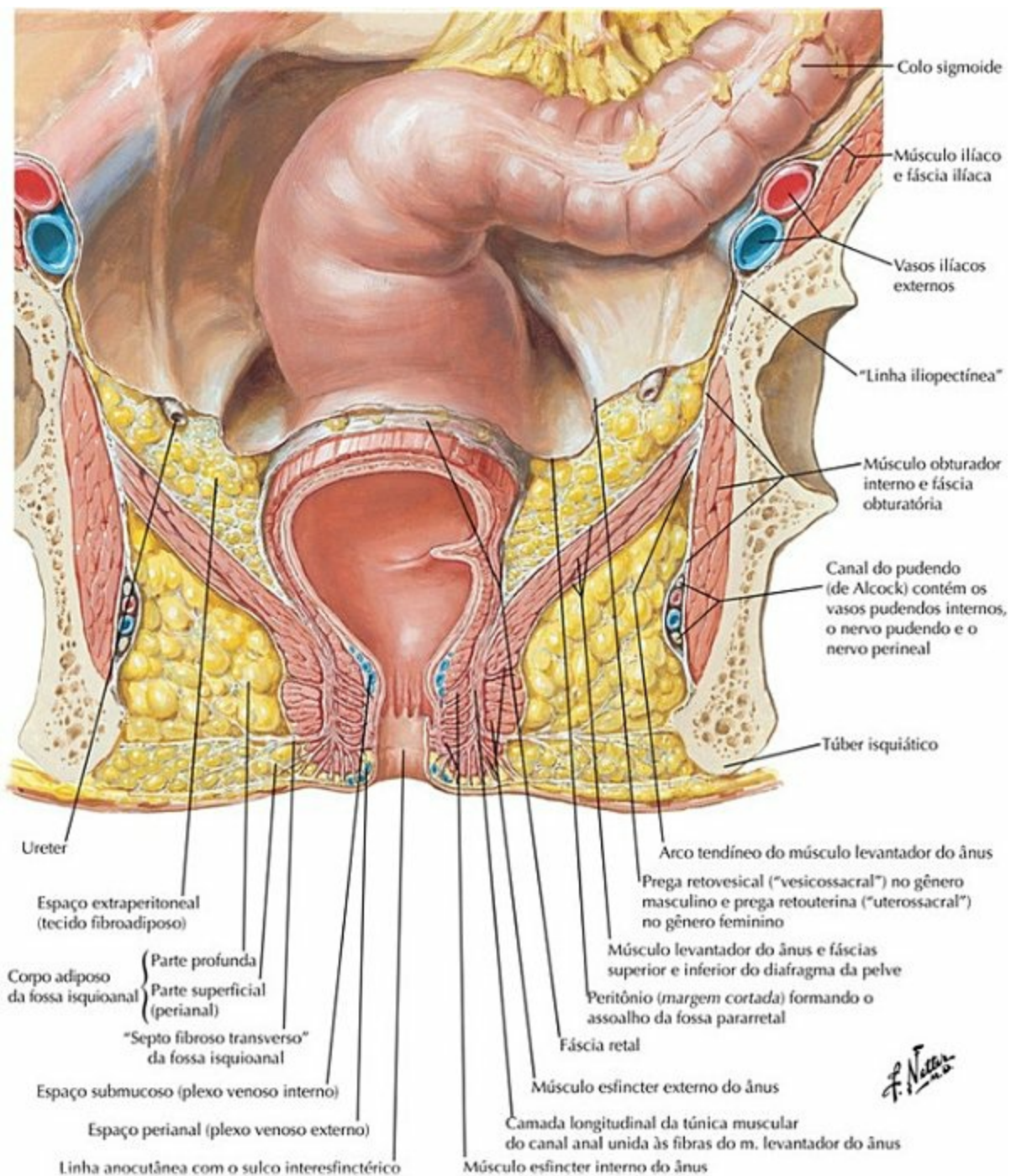
PRANCHA 368 Testículo, Epidídimo e Ducto Deferente

Reto *in Situ*: Gêneros Masculino e Feminino



PRANCHA 369 Reto

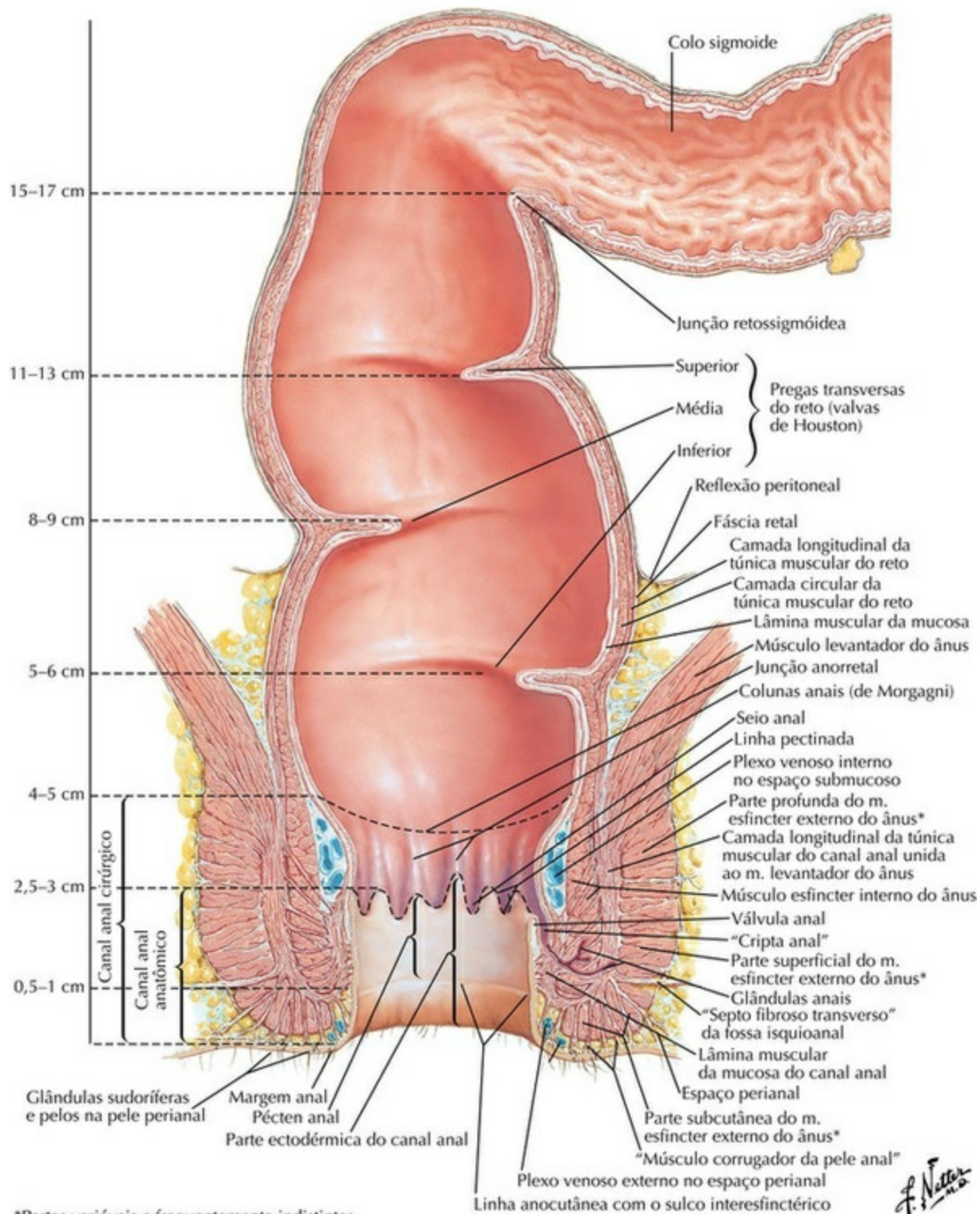
Fossa Isquioanal



PRANCHA 370 Reto

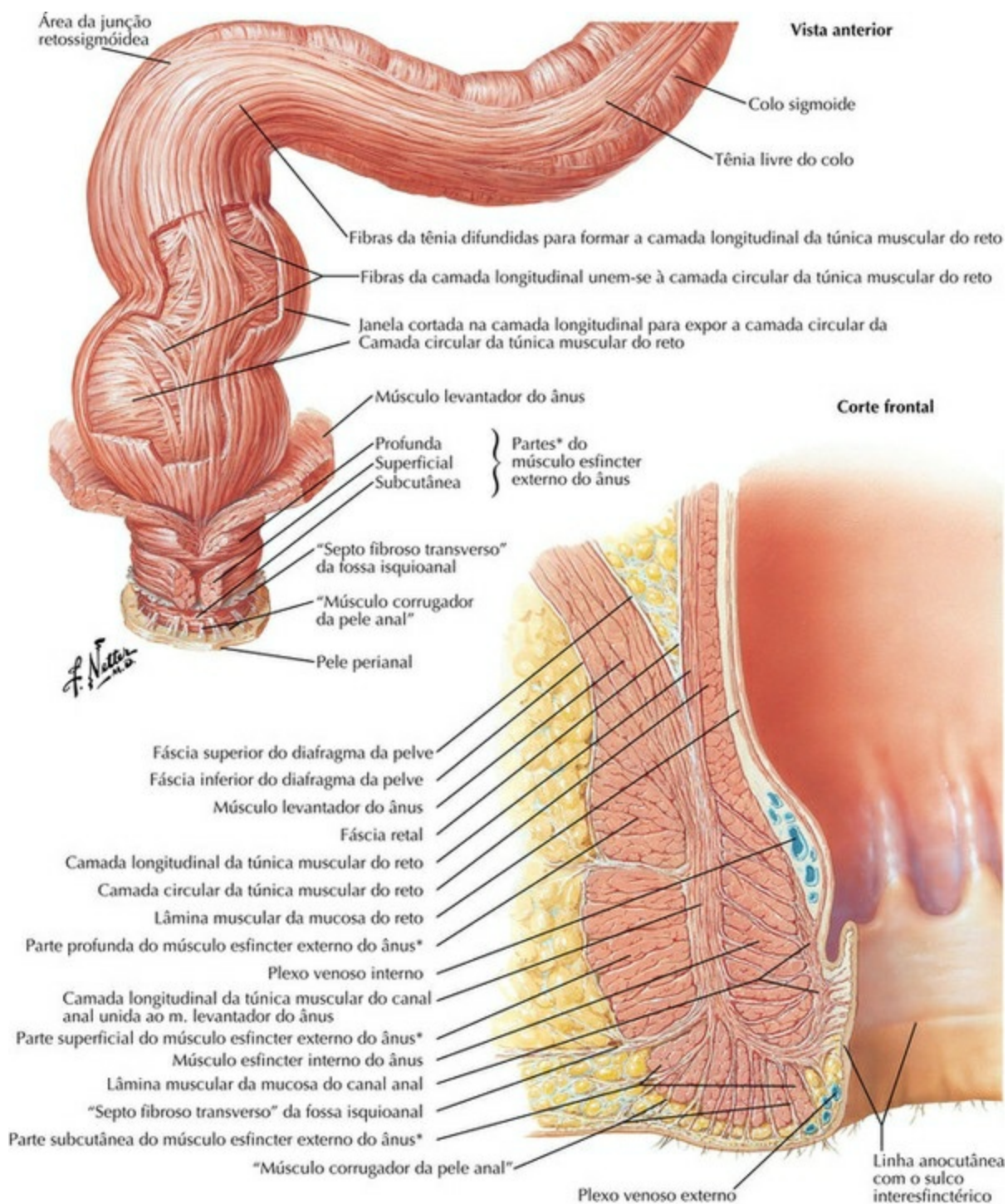
Veja também **Pranchas 296, 388**

Reto e Canal Anal



PRANCHA 371 Reto

Musculatura Anorretal

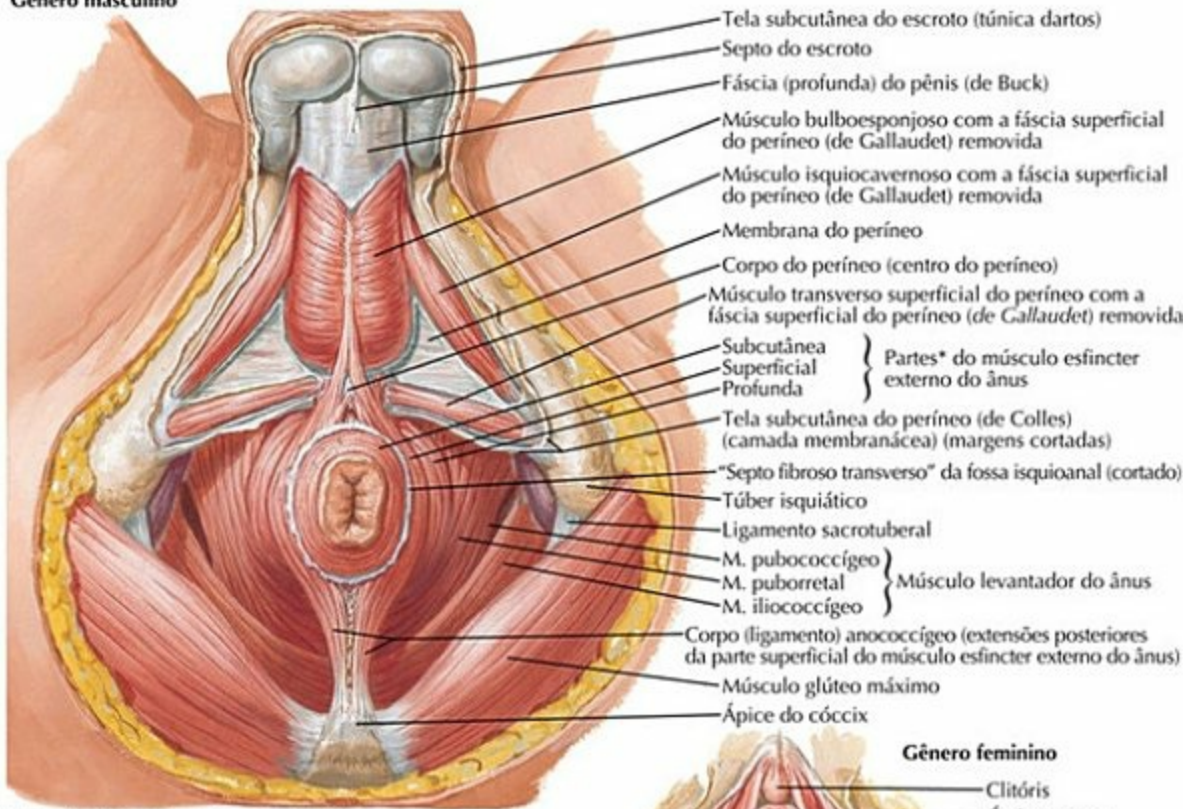


*Partes variáveis e frequentemente indistintas

PRANCHA 372 Reto

Músculo Esfínter Externo do Ânus: Vista do Períneo

Gênero masculino



Tela subcutânea do períneo (de Colles) (camada membranácea) (margem cortada)

Músculo isquiocavernoso com a fáscia superficial do períneo (de Gallaudet) removida

Músculo bulboesponjoso com a fáscia superficial do períneo (de Gallaudet) removida

Fibras da parte superficial do músculo esfíncter externo do ânus para o ramo isquiopúbico

Membrana do períneo

Músculo transverso superficial do períneo com a fáscia superficial do períneo (de Gallaudet) removida

Tela subcutânea do períneo (de Colles) (camada membranácea) (margem cortada)

Corpo do períneo (centro do períneo)

Fibras cruzadas das partes superficial e profunda do músculo esfíncter externo do ânus para o músculo transverso superficial do períneo

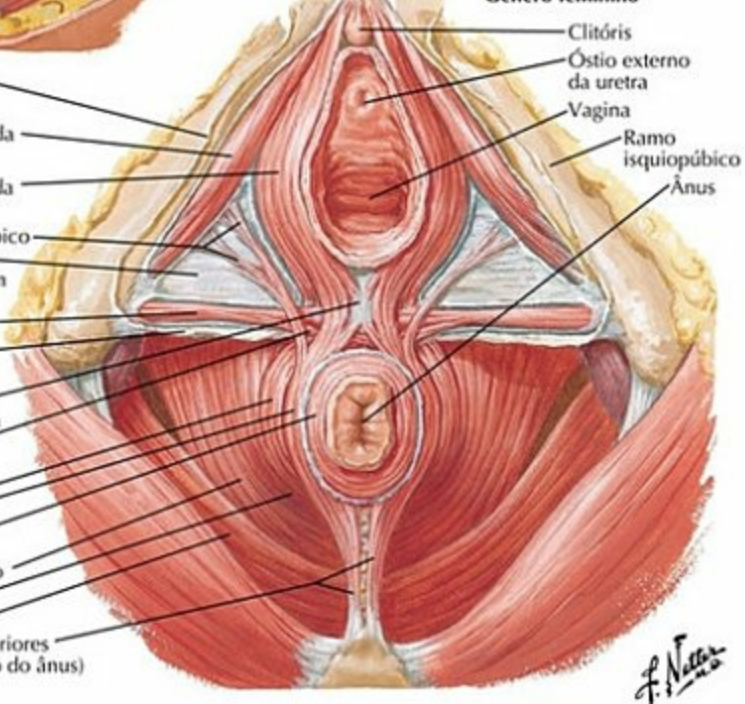
Partes* do músculo esfíncter externo do ânus { Profunda Superficial Subcutânea

Músculo levantador do ânus { M. pubococcígeo M. puborretal M. iliococcígeo

Corpo (ligamento) anococcígeo (extensões posteriores da parte superficial do músculo esfíncter externo do ânus)

*Partes variáveis e frequentemente indistintas

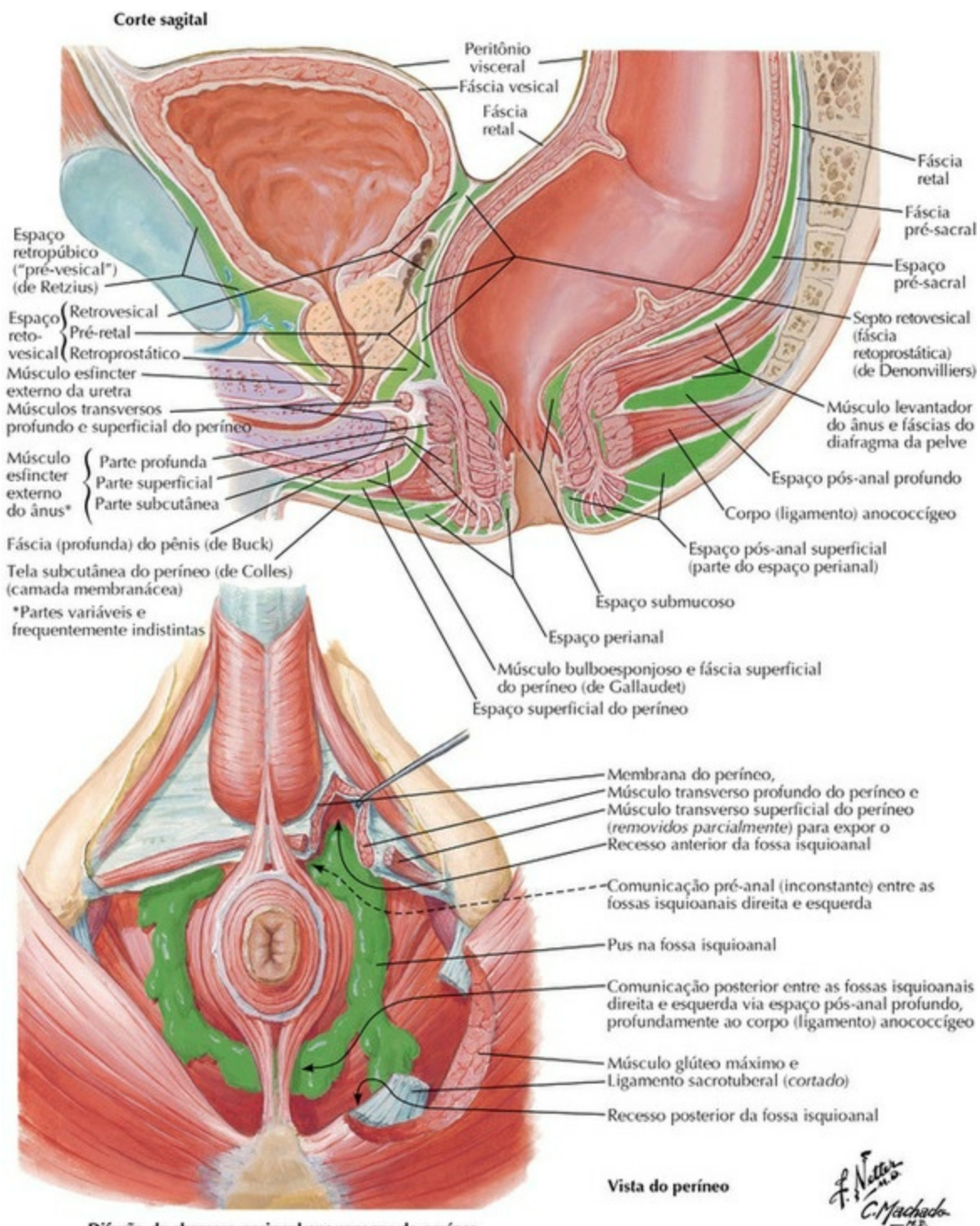
Gênero feminino



PRANCHA 373 Reto

Veja também [Pranchas 356, 359](#)

Espaços Reais e Potenciais do Períneo e da Pelve

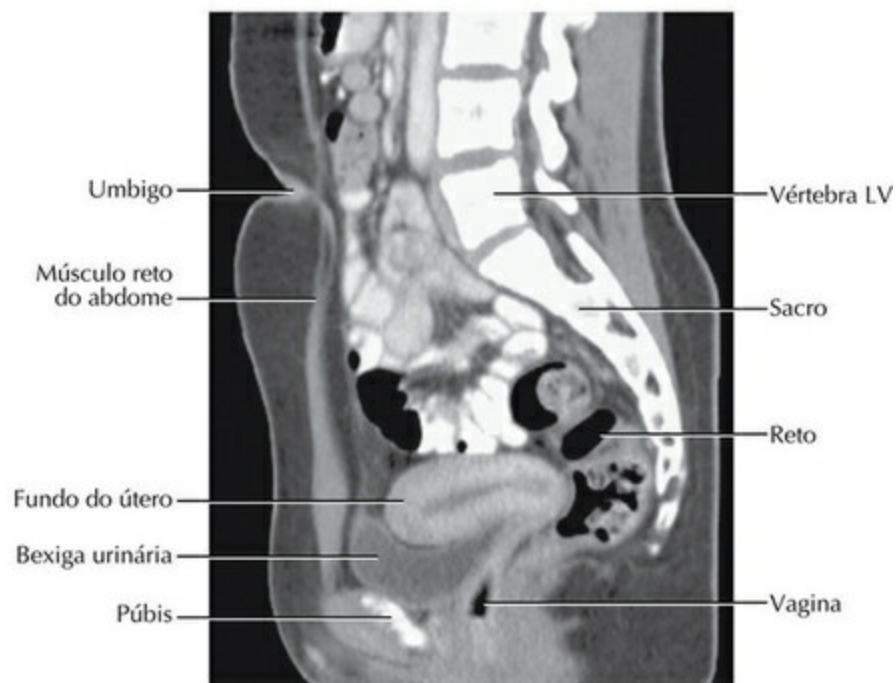


Nota da Revisão Científica: Nem todos os nomes desses espaços constam da Terminologia Anatômica (2001).

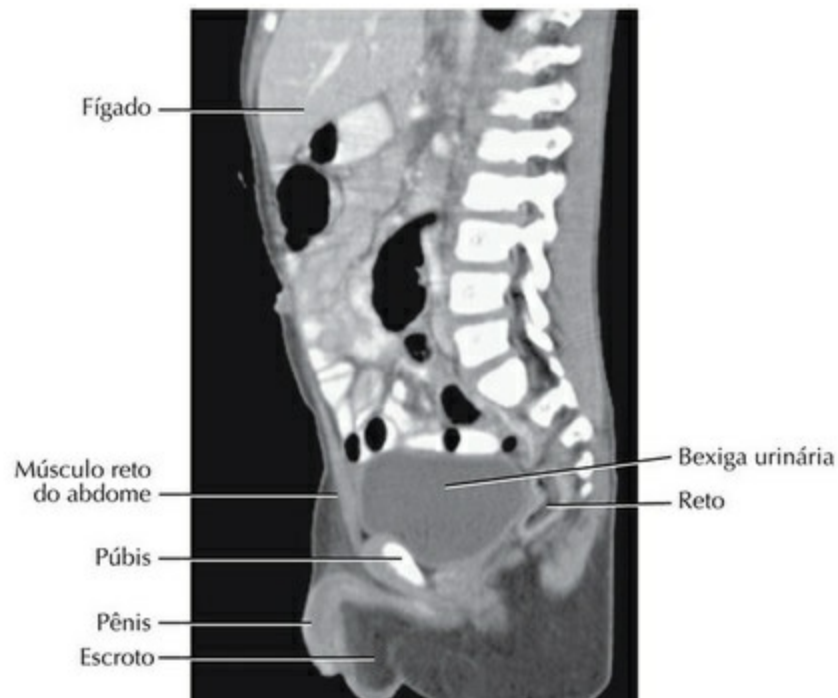
PRANCHA 374 Reto

Imagens da Pelve: Cortes Sagitais de Tomografia Computadorizada (TC)

Feminino



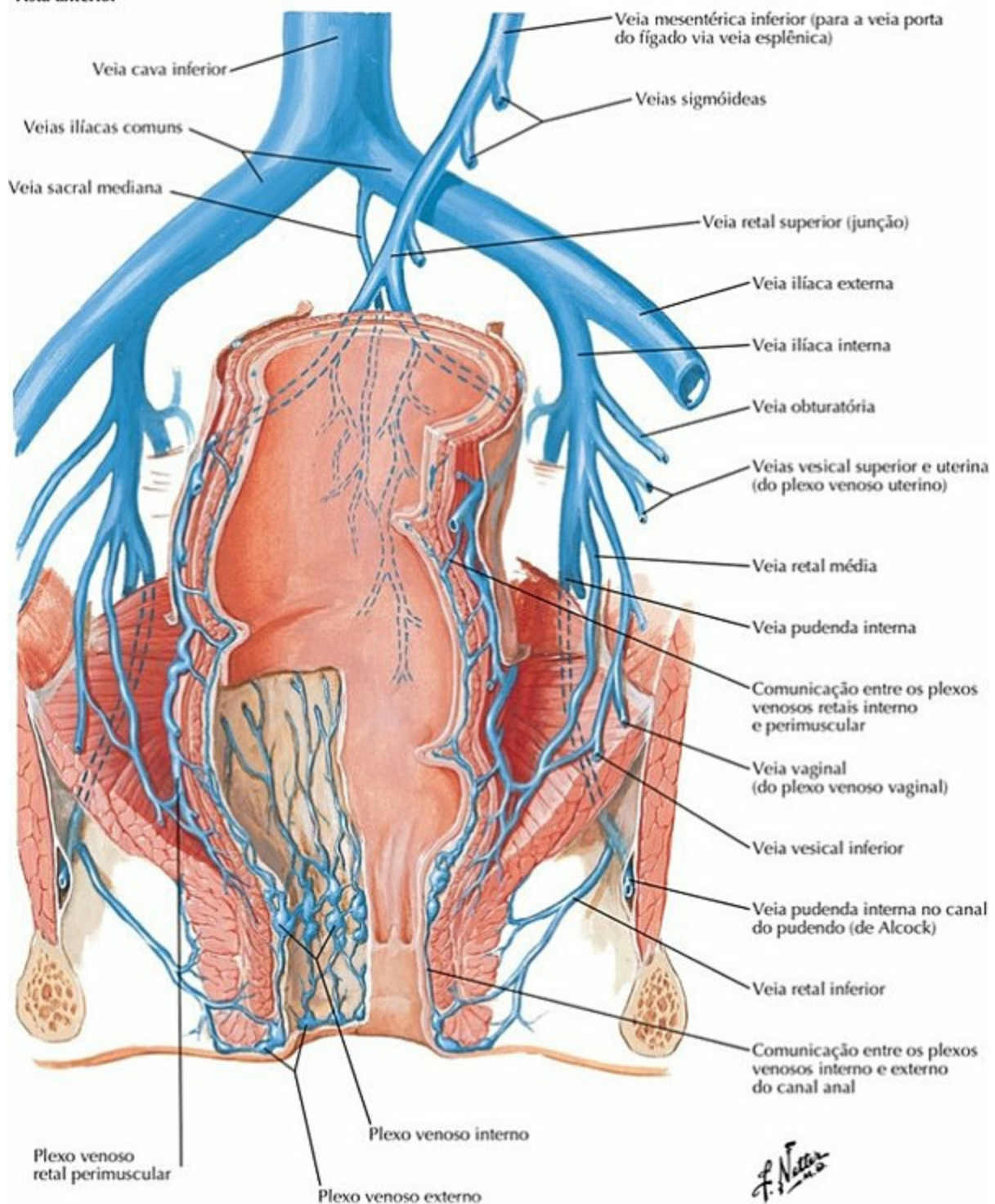
Masculino



PRANCHA 375 Imagens Regionais

Artérias do Reto e do Canal Anal: Gênero Masculino

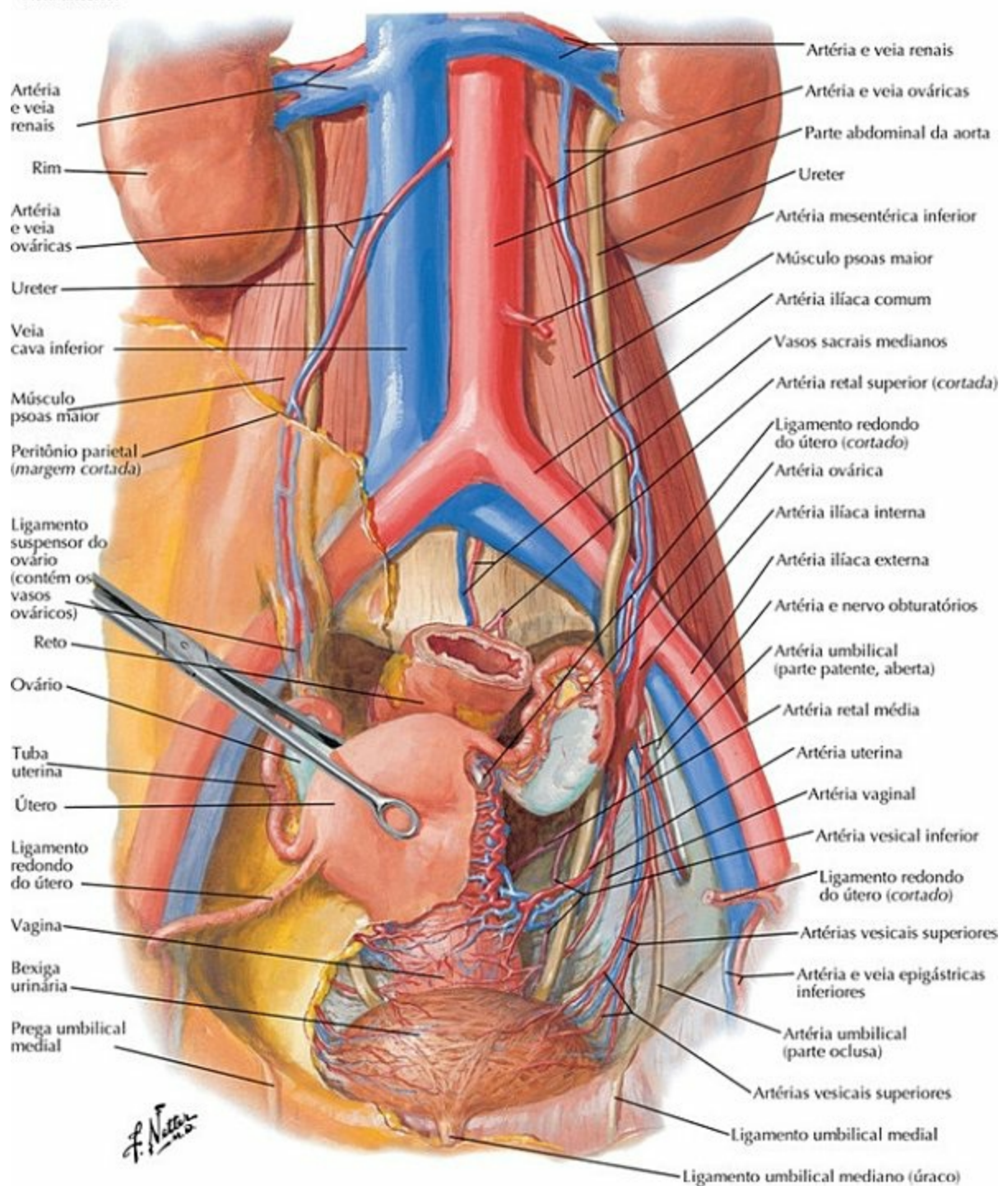
Vista anterior



PRANCHA 377 Vascularização

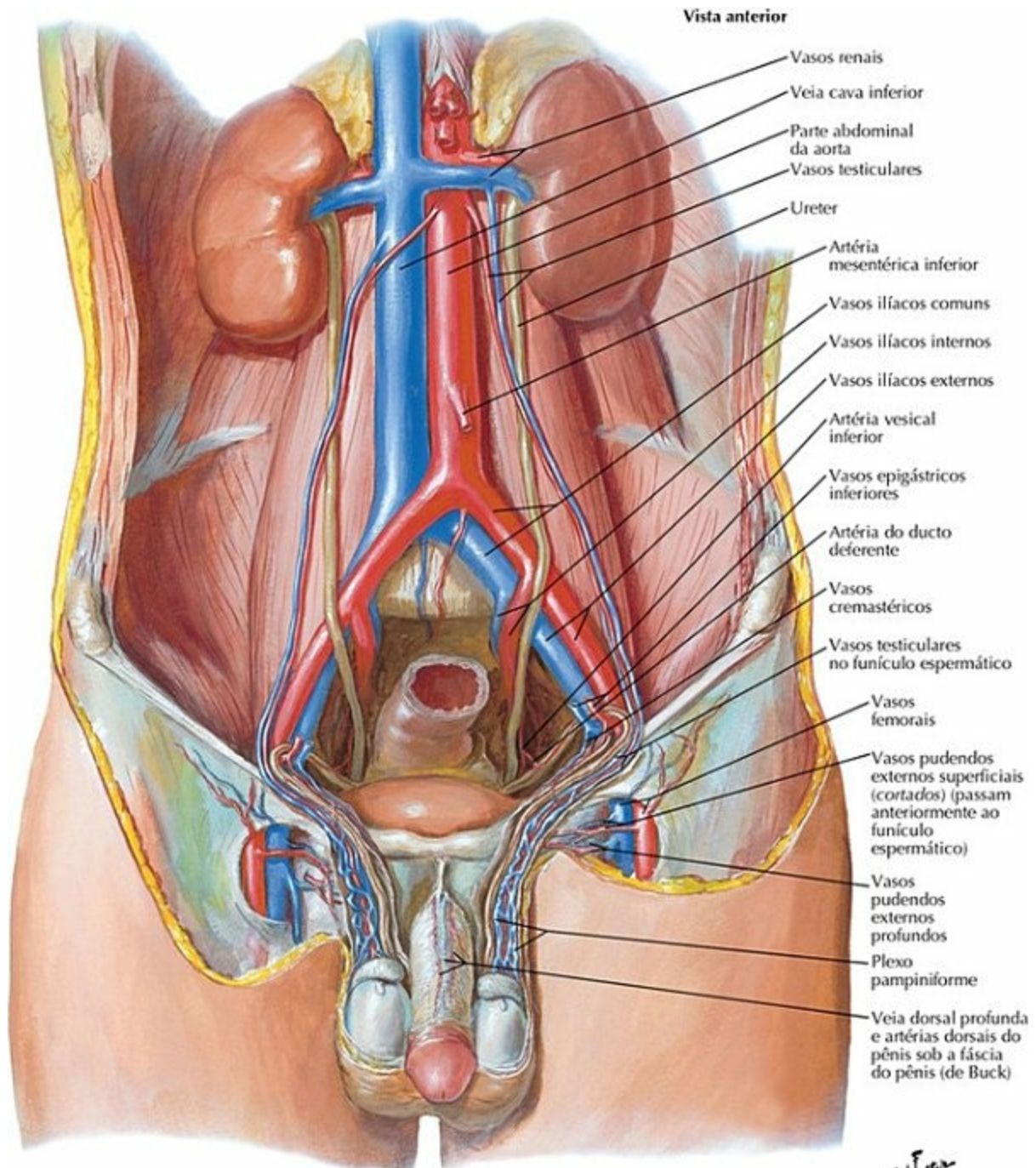
Artérias e Veias das Visceras Pélvicas Femininas

Vista anterior



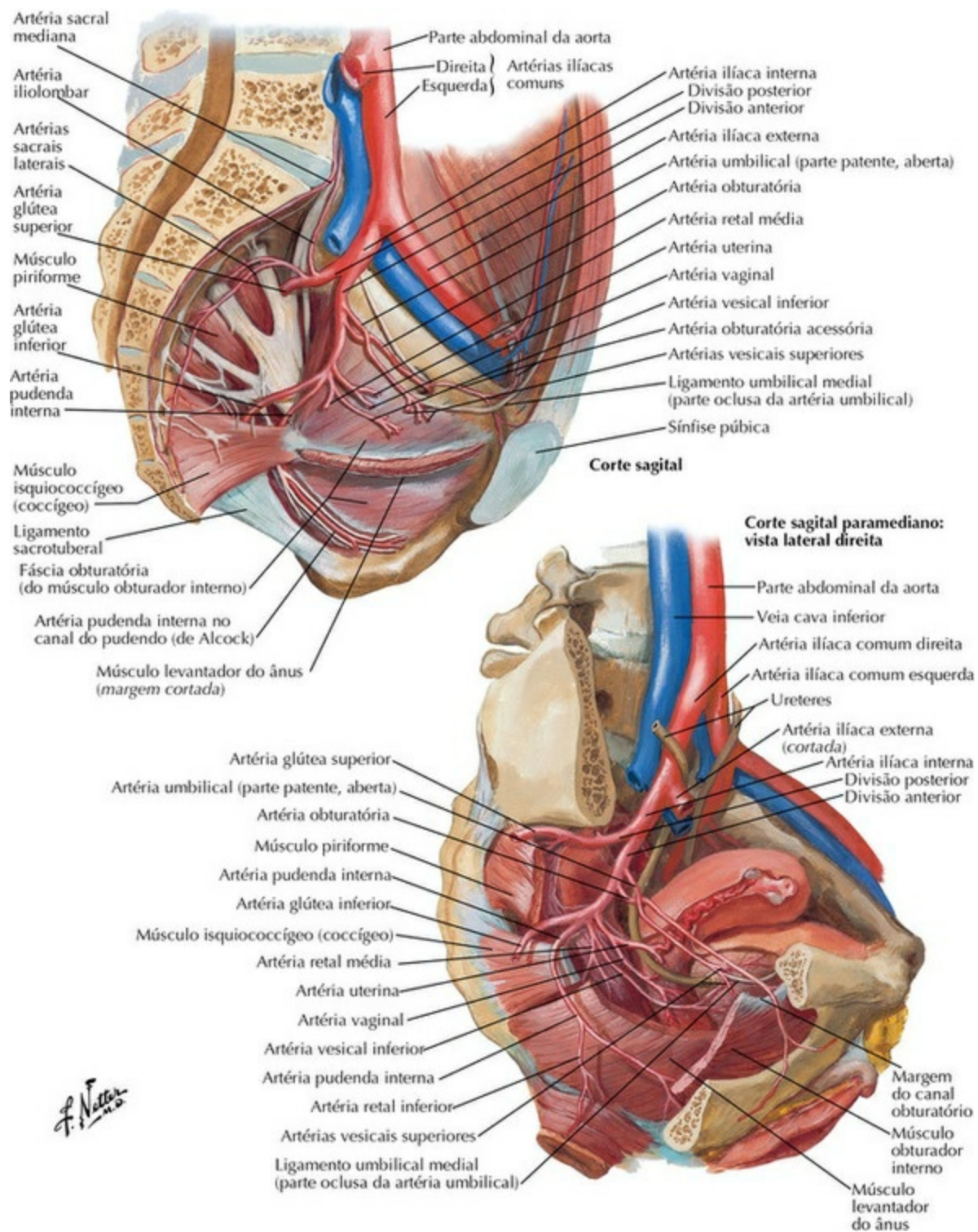
PRANCHA 378 Vascularização

Artérias e Veias dos Testículos



PRANCHA 379 Vascularização

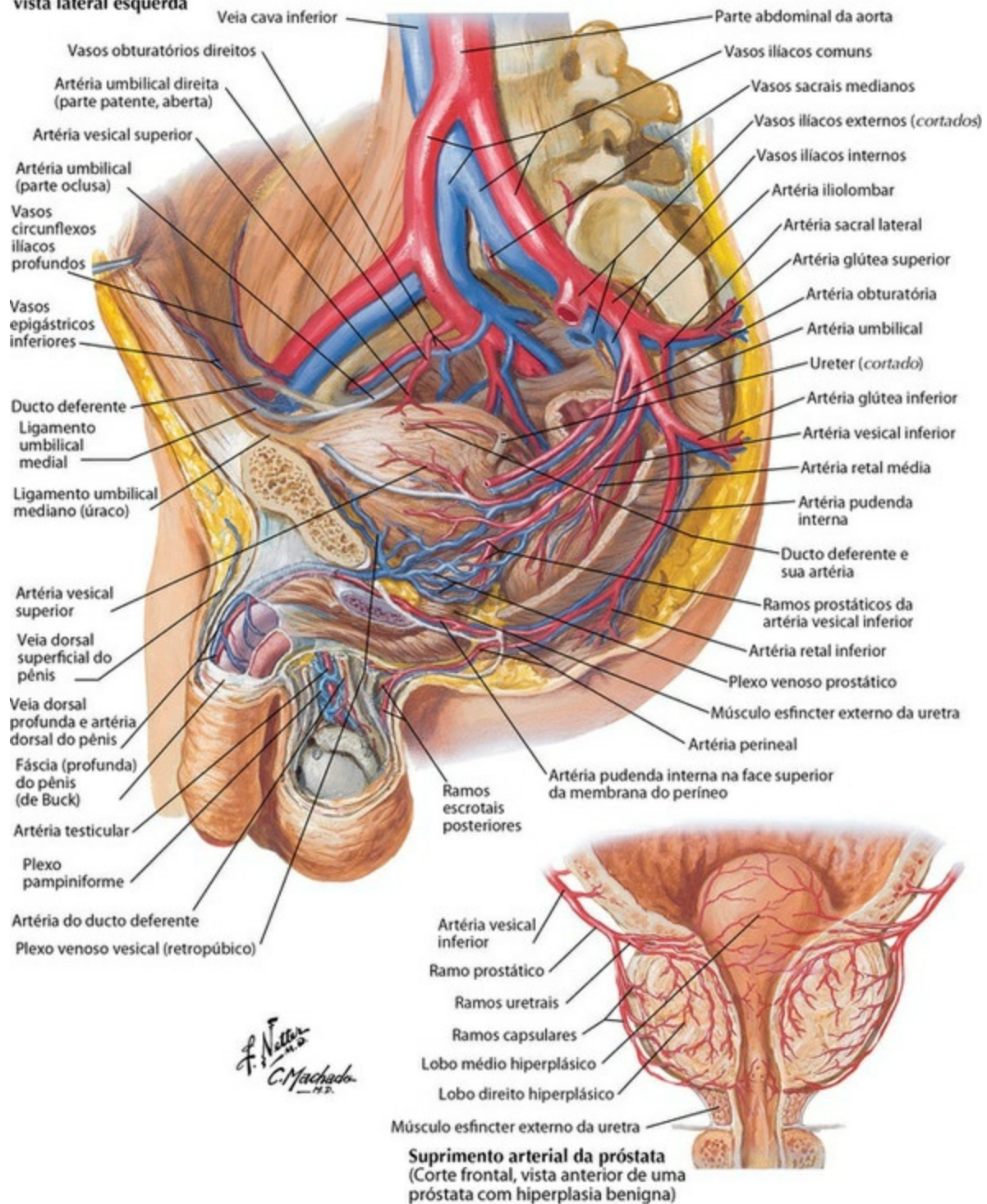
Artérias da Pelve Feminina



PRANCHA 380 Vascularização

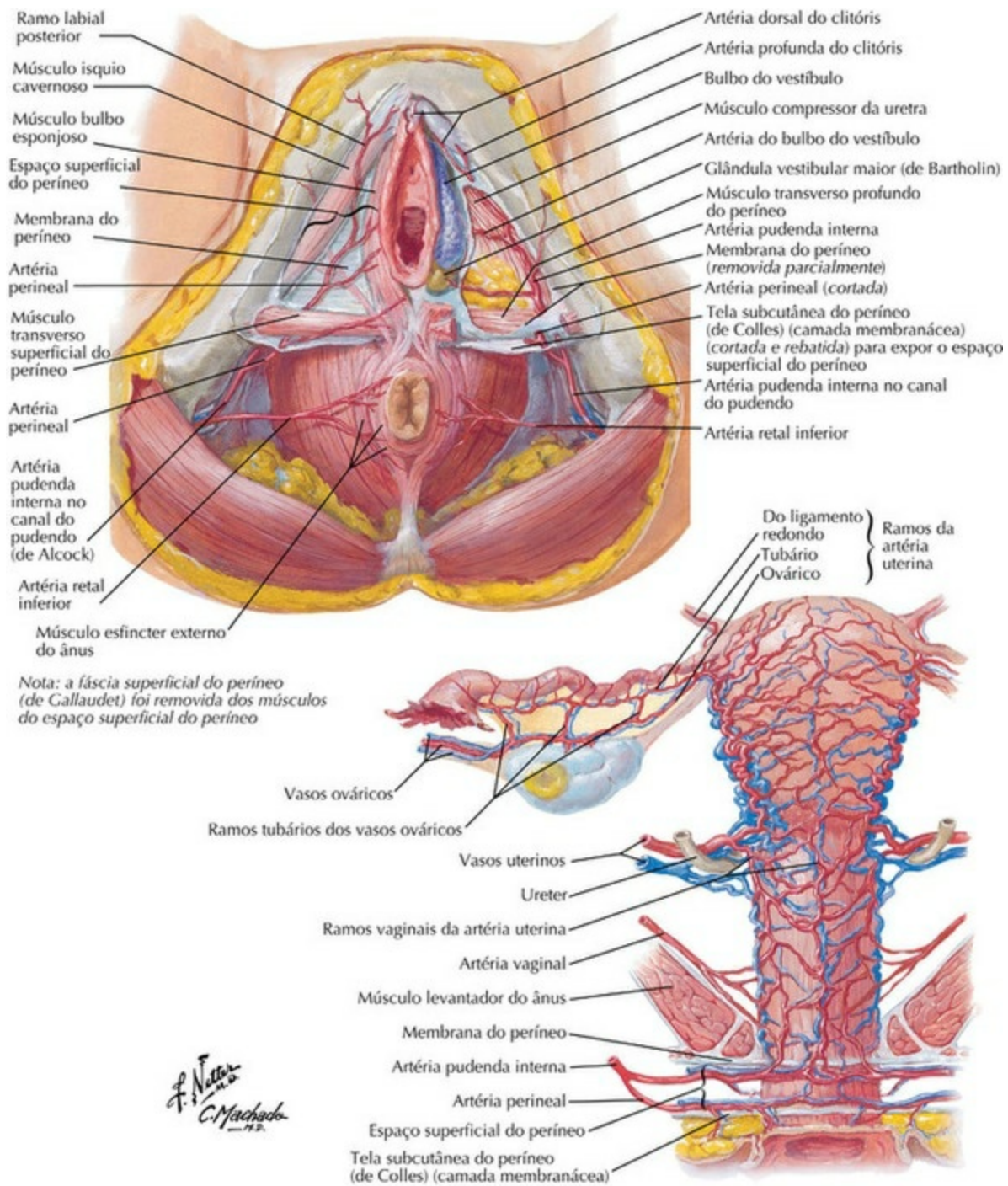
Artérias e Veias da Pelve Masculina

**Corte sagital paramediano:
vista lateral esquerda**



PRANCHA 381 Vascularização

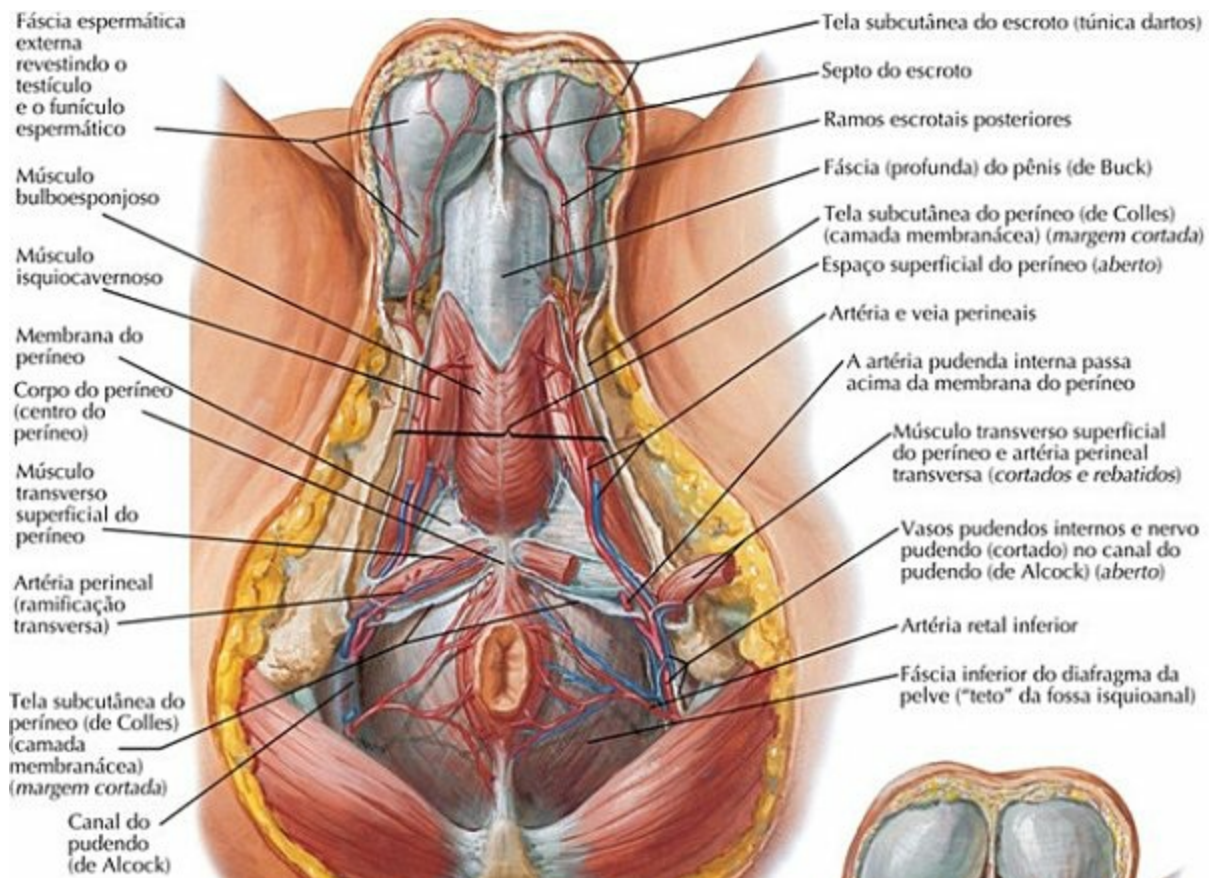
Artérias e Veias do Períneo e do Útero



*Nota da Revisão Científica: A artéria do ligamento redondo do útero é um ramo da artéria epigástrica inferior e atinge o útero.

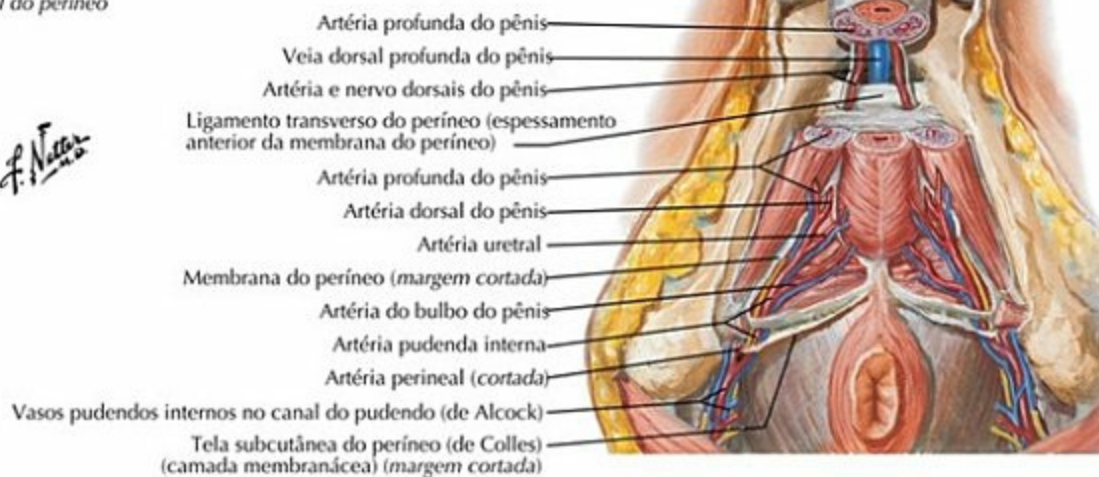
PRANCHA 382 Vascularização

Artérias e Veias do Períneo Masculino



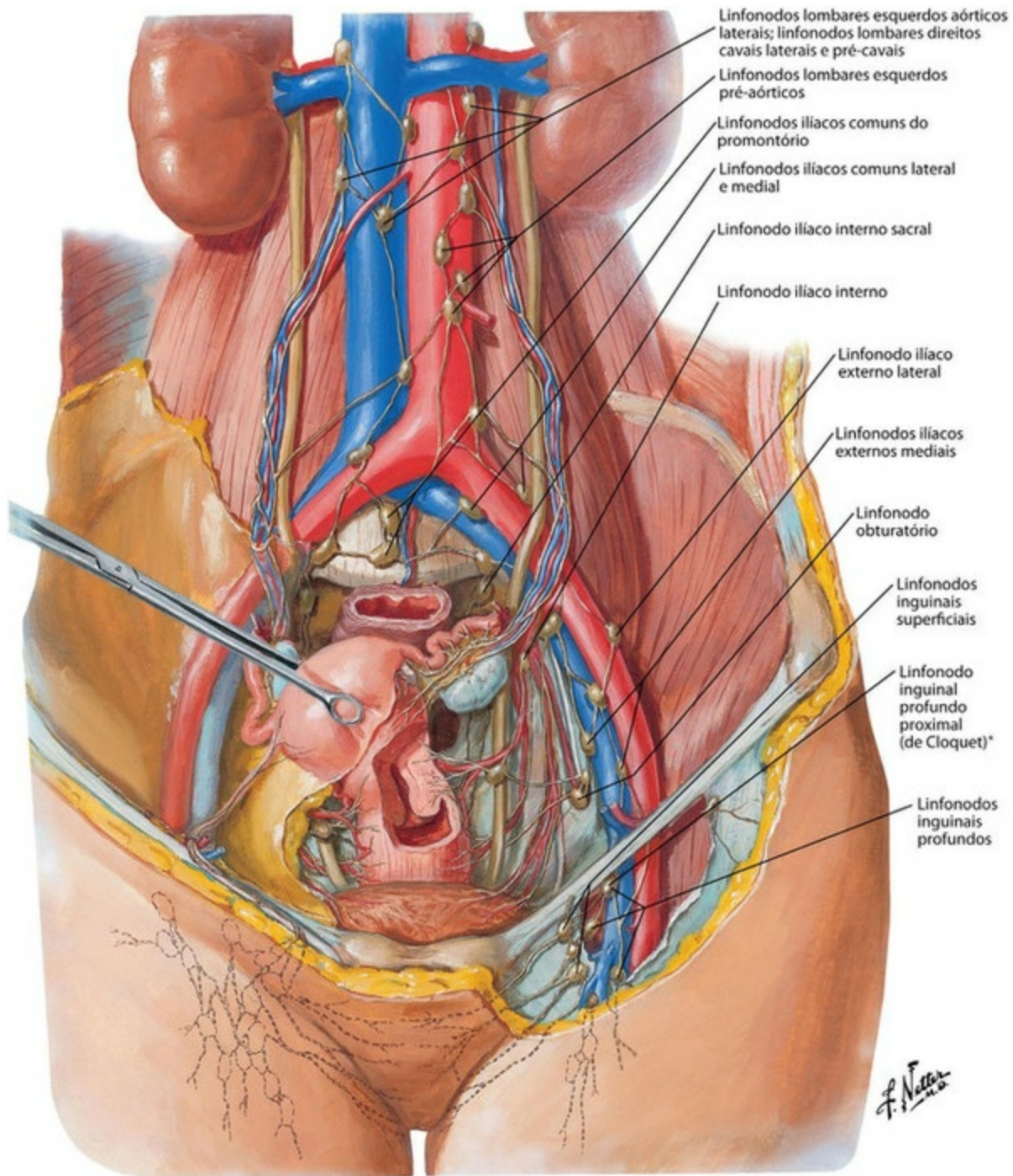
Nota: a fáscia superficial do períneo (de Gallaudet) foi removida dos músculos do espaço superficial do períneo

F. Netter



PRANCHA 383 Vascularização

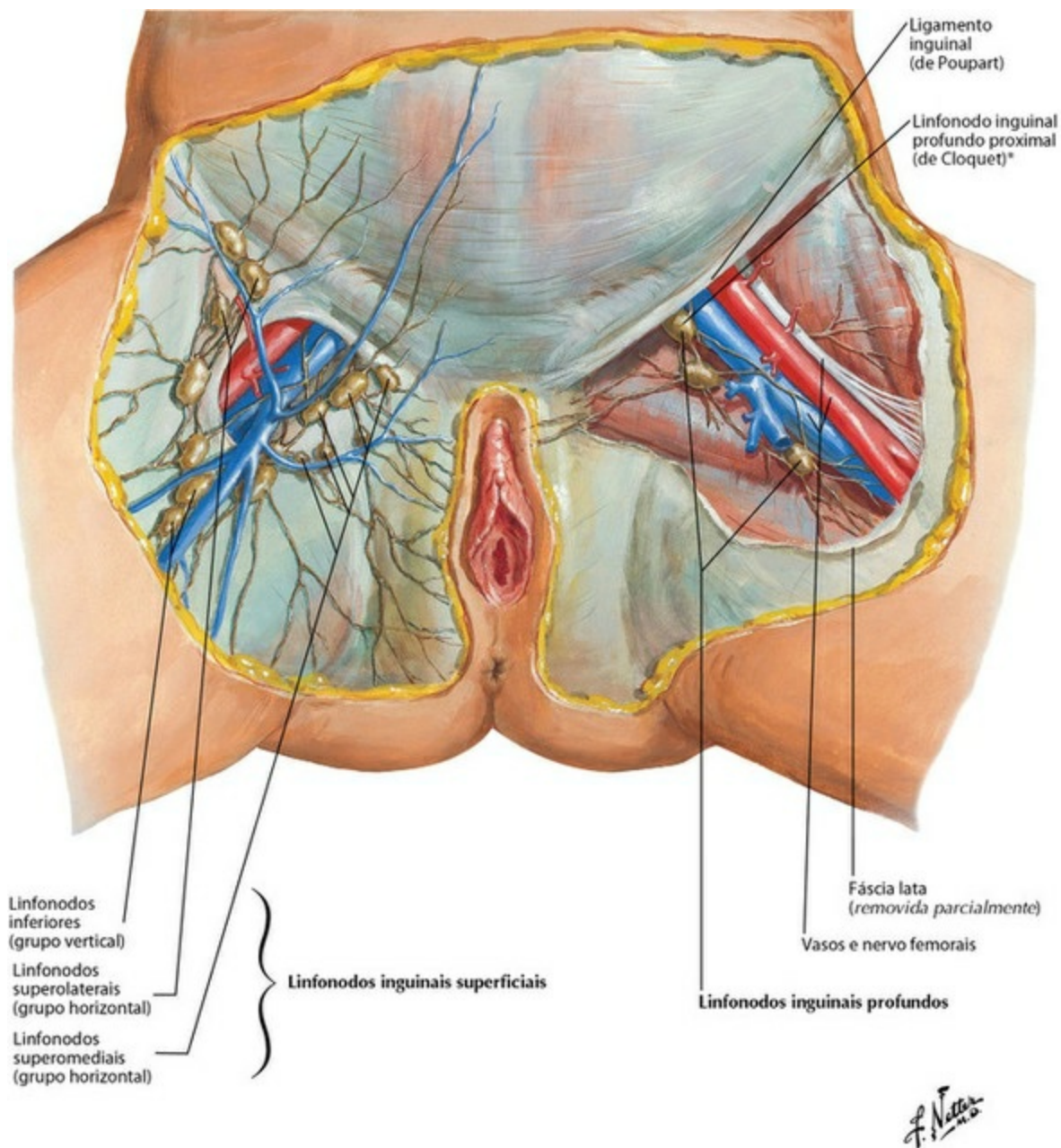
Vasos Linfáticos e Linfonodos da Pelve e dos Órgãos Genitais Femininos



**Nota da Revisão Científica: De acordo com a Terminologia Anatômica (2001) o linfonodo de Cloquet é o linfonodo inguinal profundo intermédio.*

PRANCHA 384 Vascularização

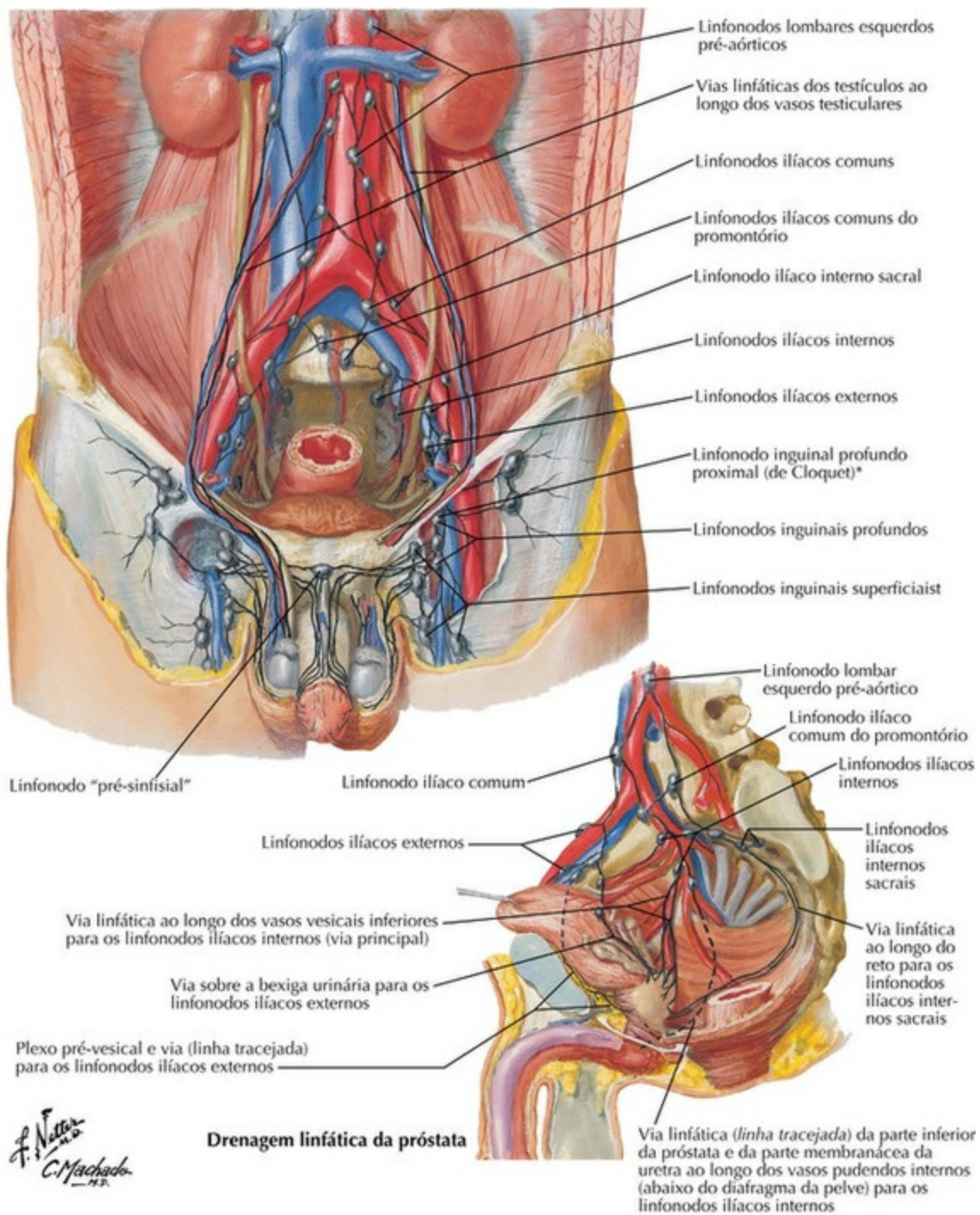
Vasos Linfáticos e Linfonodos do Périneo Feminino



**Nota da Revisão Científica: Veja nota da Revisão Científica na Prancha 384.*

PRANCHA 385 Vascularização

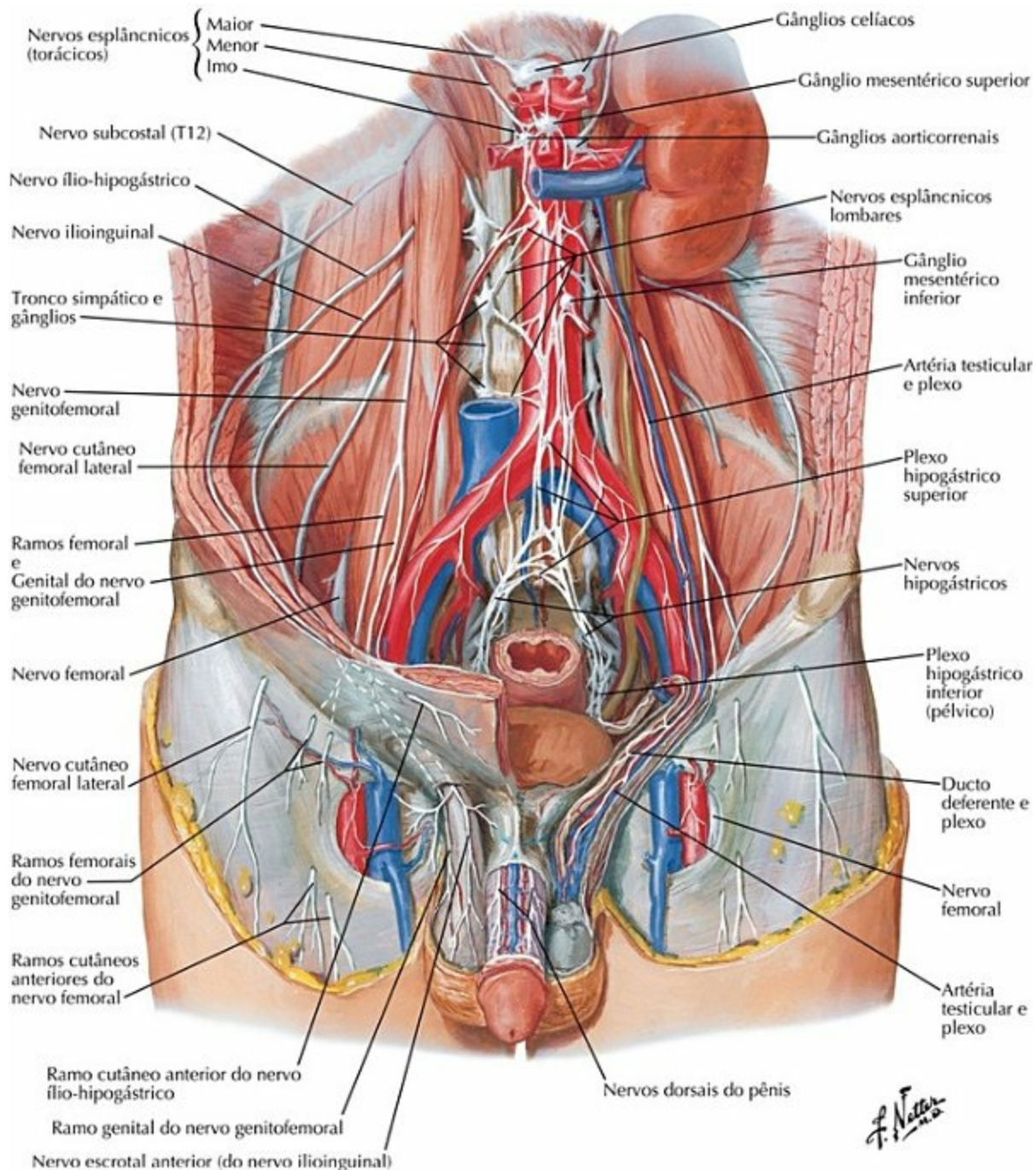
Vasos Linfáticos e Linfonodos da Pelve e dos Órgãos Genitais Masculinos



*Nota da Revisão Científica: Veja nota da Revisão Científica na Prancha 384.

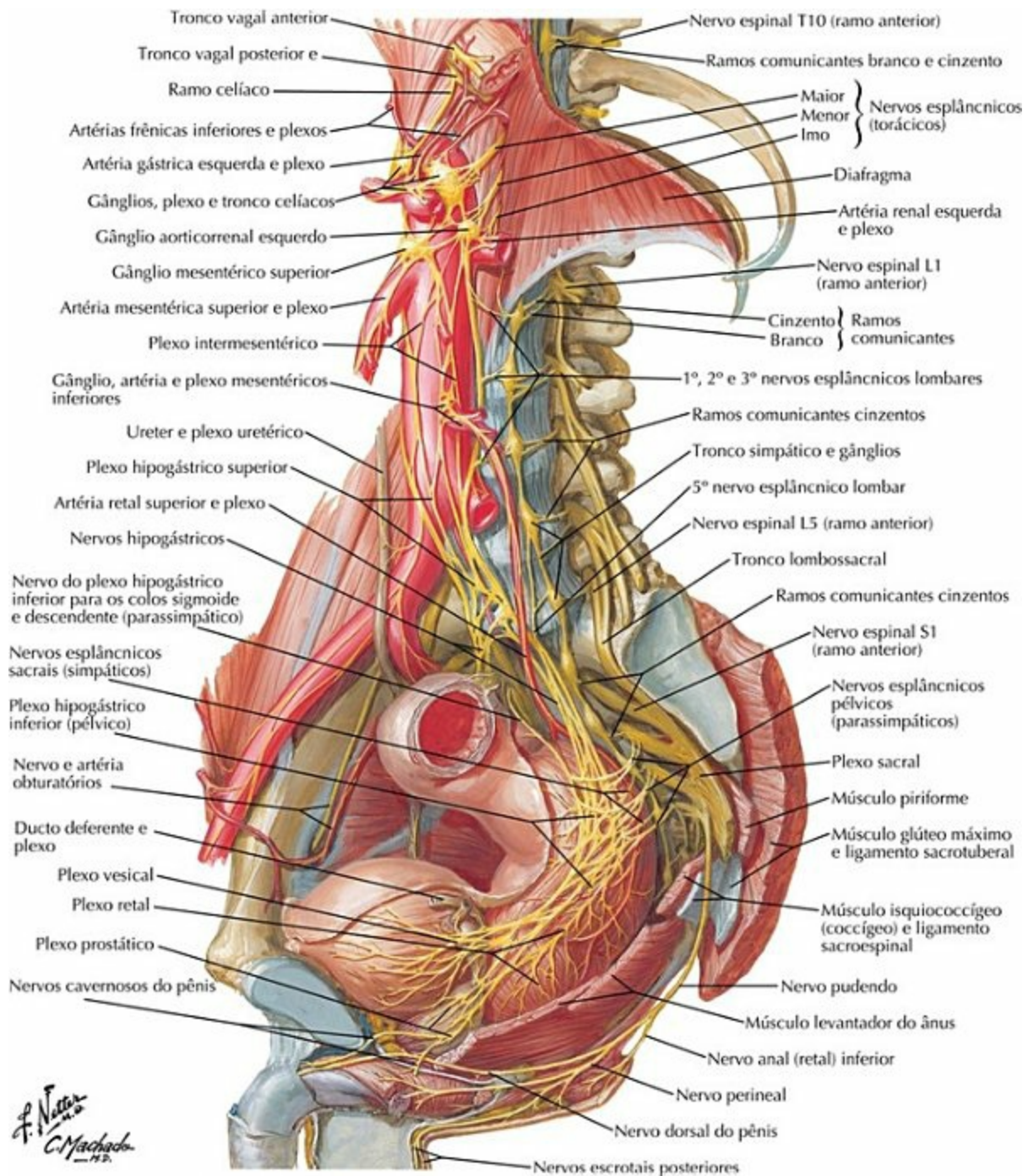
PRANCHA 386 Vascularização

Nervos dos Órgãos Genitais Masculinos Externos



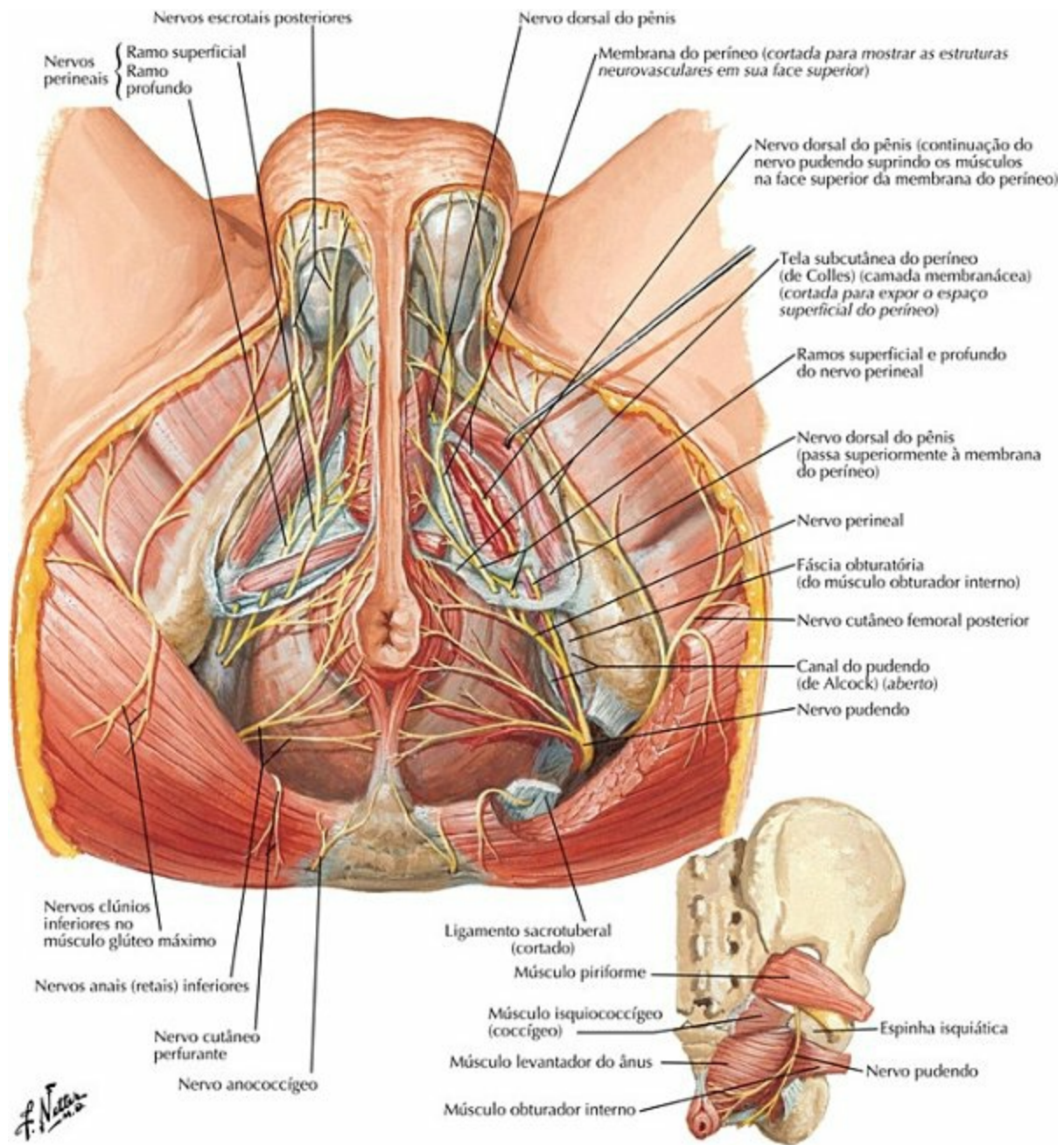
PRANCHA 387 Inervação
 Veja também **Prancha 297**

Nervos das Visceras Pélvicas Masculinas



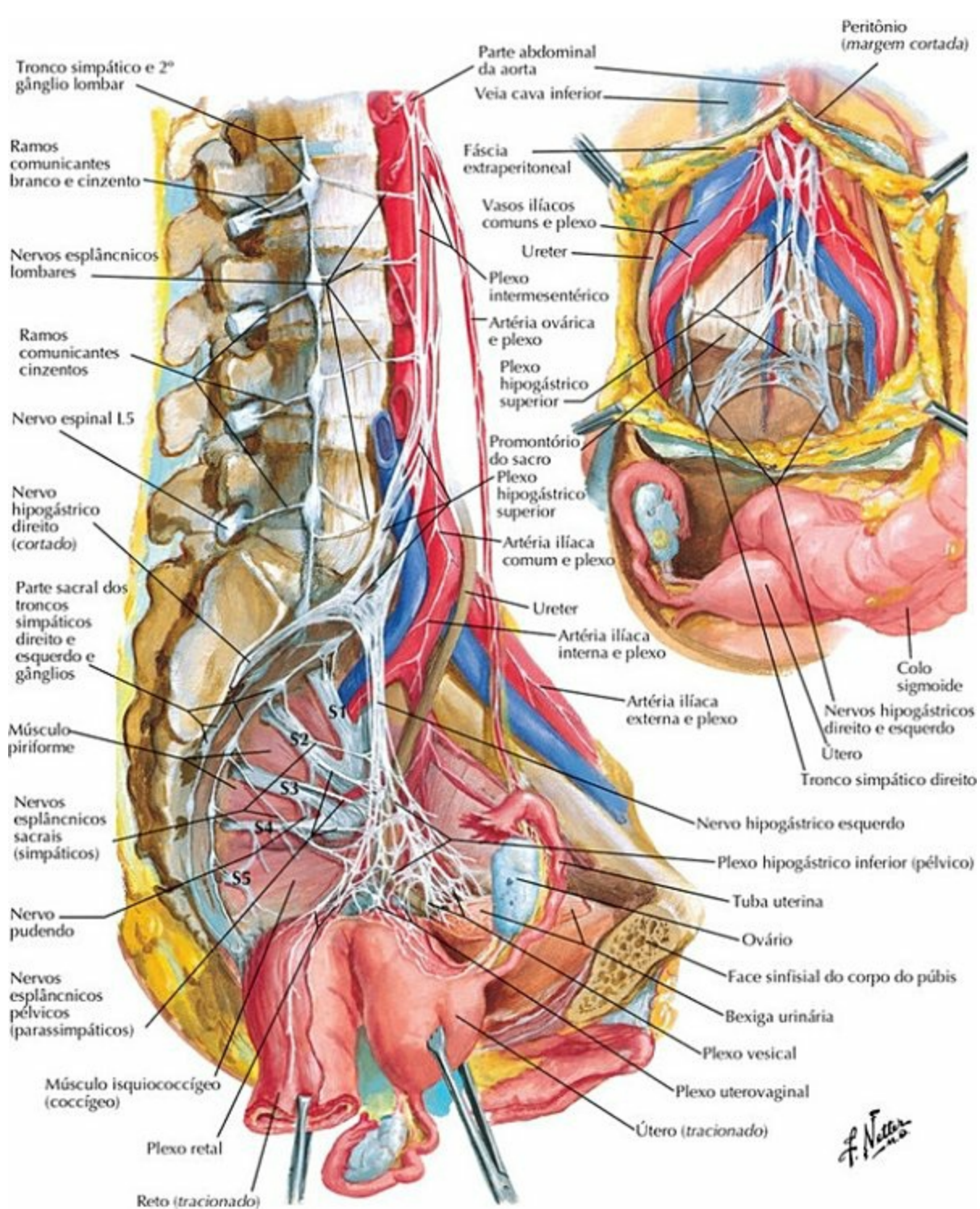
PRANCHA 388 Inervação
Veja também **Prancha 297**

Nervos do Períneo Masculino



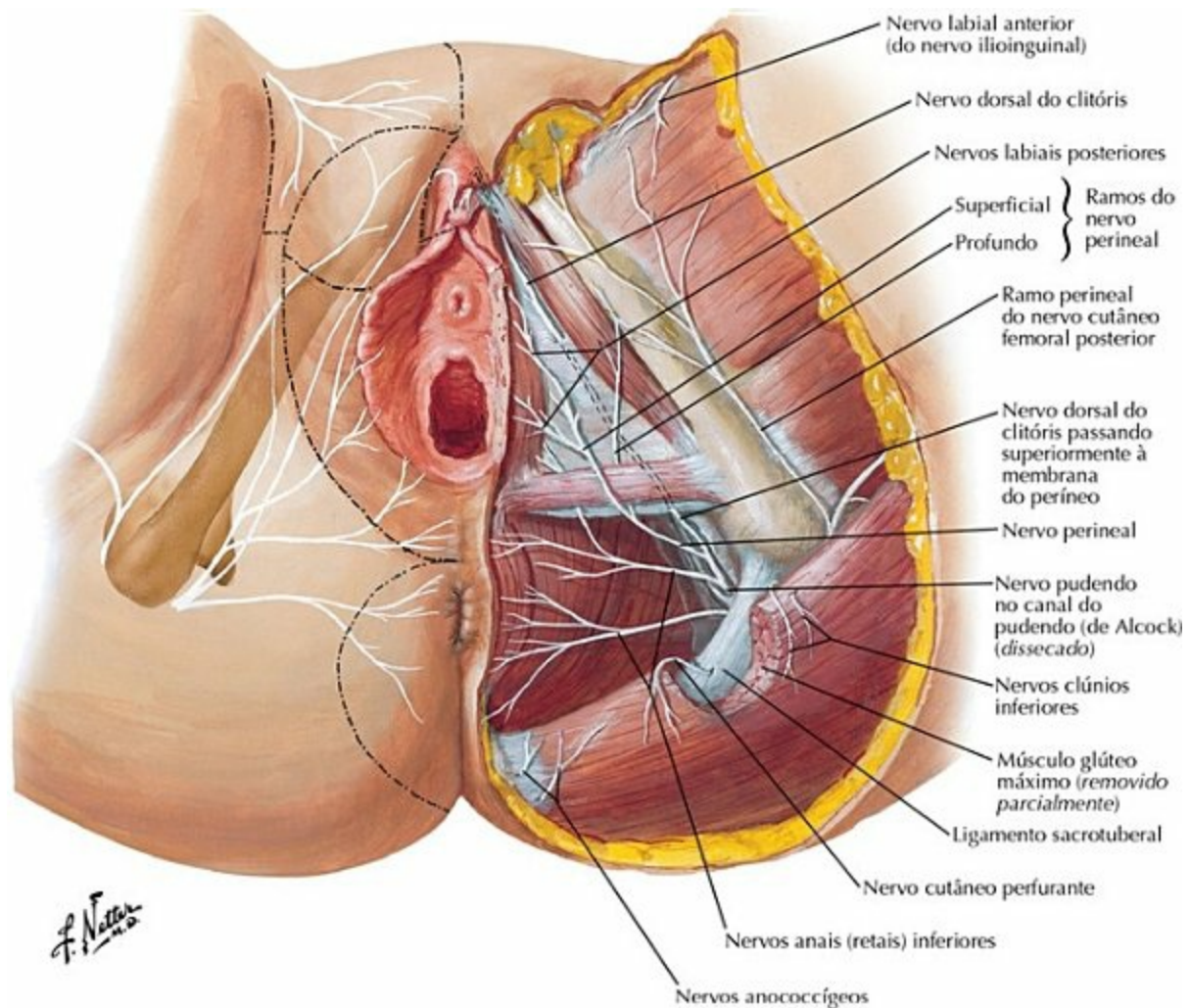
PRANCHA 389 Inervação
Veja também **Prancha 394**

Nervos das Visceras Pélvicas Femininas



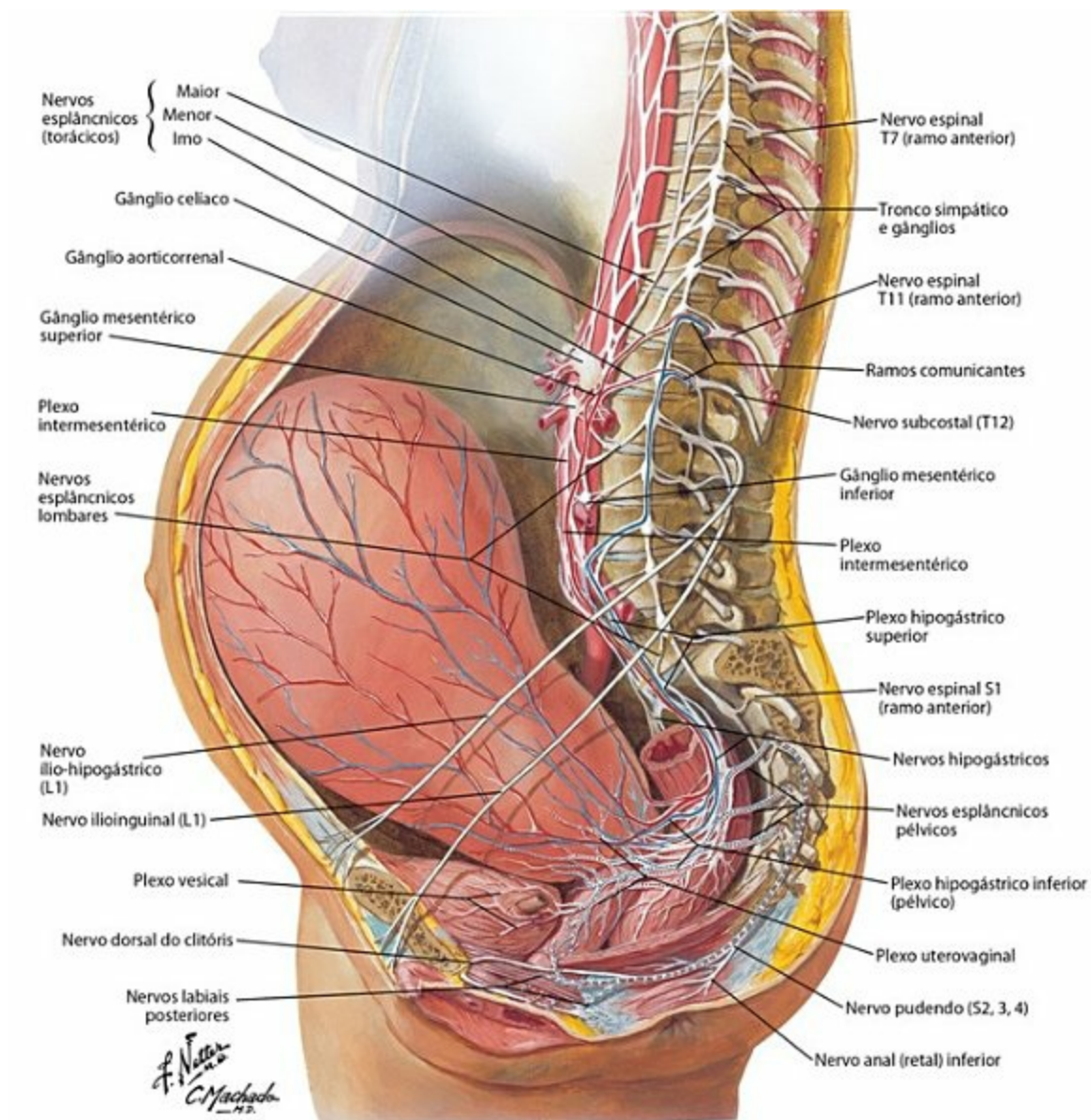
PRANCHA 390 Inervação
Veja também **Prancha 297**

Nervos do Períneo e dos Órgãos Genitais Femininos Externos



PRANCHA 391 Inervação

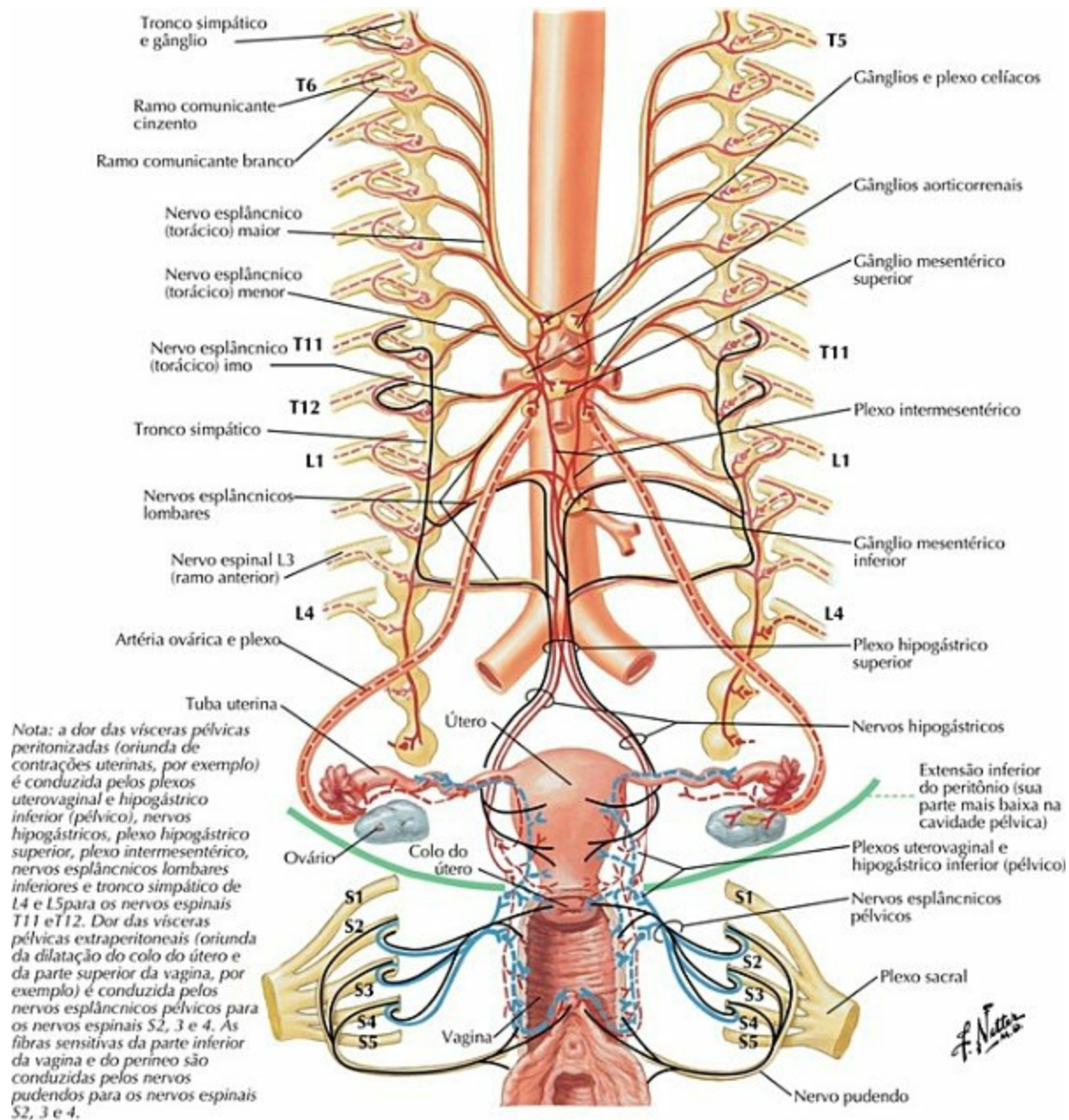
Vias Nervosas Relacionadas com o Parto



— Fibras sensitivas do corpo e do fundo do útero acompanham as fibras simpáticas via plexos hipogástricos para T11, 12 (L1?)
 — Fibras motoras para o corpo e fundo do útero (simpáticas)
 Fibras sensitivas do colo do útero e da parte superior da vagina acompanham os nervos esplâncnicos pélvicos (parassimpáticos) para S2, 3, 4
 Fibras motoras para o segmento inferior do útero, o colo do útero e a parte superior da vagina (parassimpáticas)
 --- Fibras sensitivas da parte inferior da vagina e do períneo acompanham as fibras motoras somáticas via nervo pudendo para S2, 3, 4
 --- Fibras motoras para a parte inferior da vagina e para o períneo via nervo pudendo (somáticas)

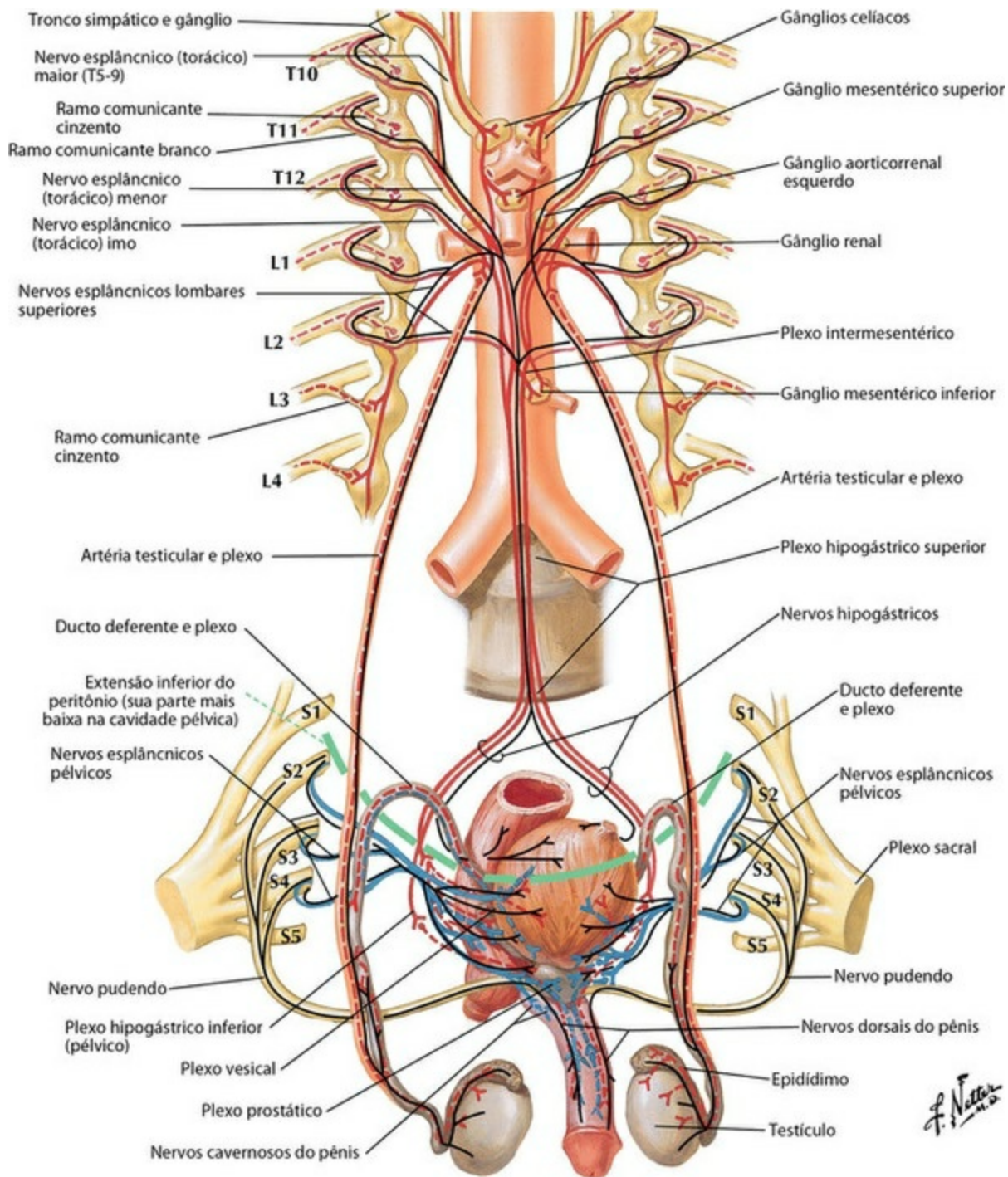
PRANCHA 392 Inervação

Inervação dos Órgãos Genitais Femininos: Esquema



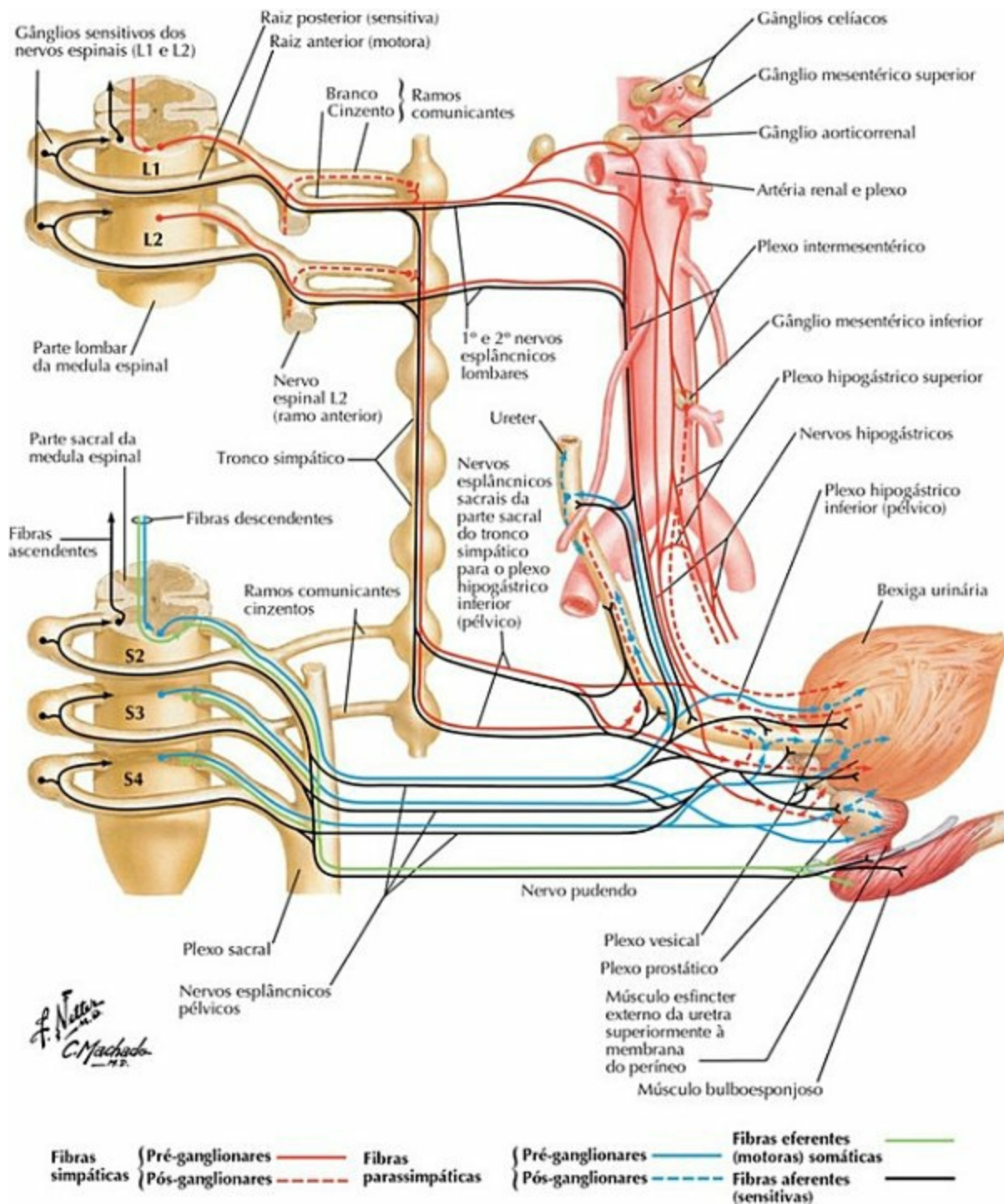
PRANCHA 393 Inervação

Inervação dos Órgãos Genitais Masculinos: Esquema



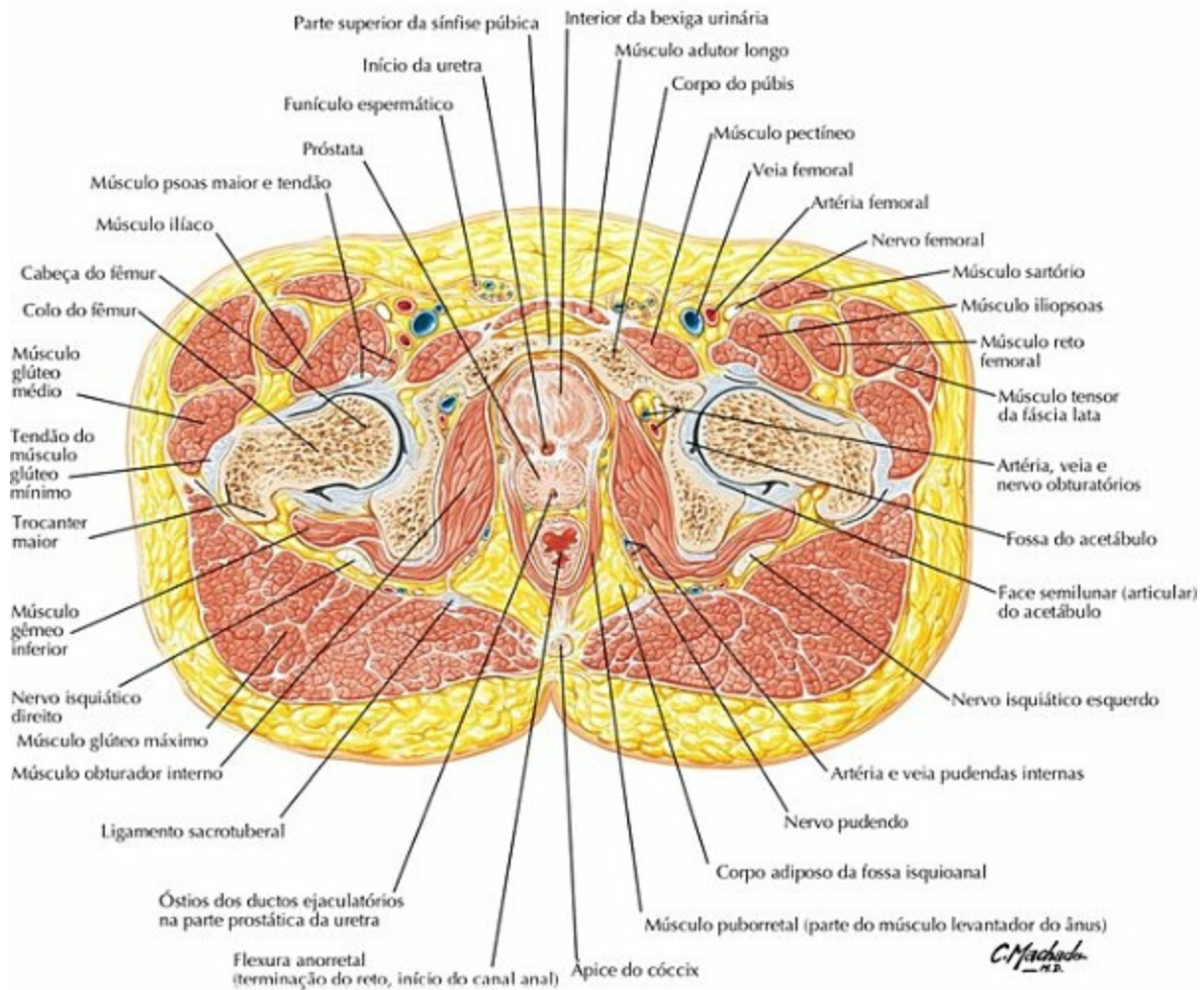
PRANCHA 394 Inervação

Inervação da Bexiga Urinária e da Parte Inferior do Ureter: Esquema



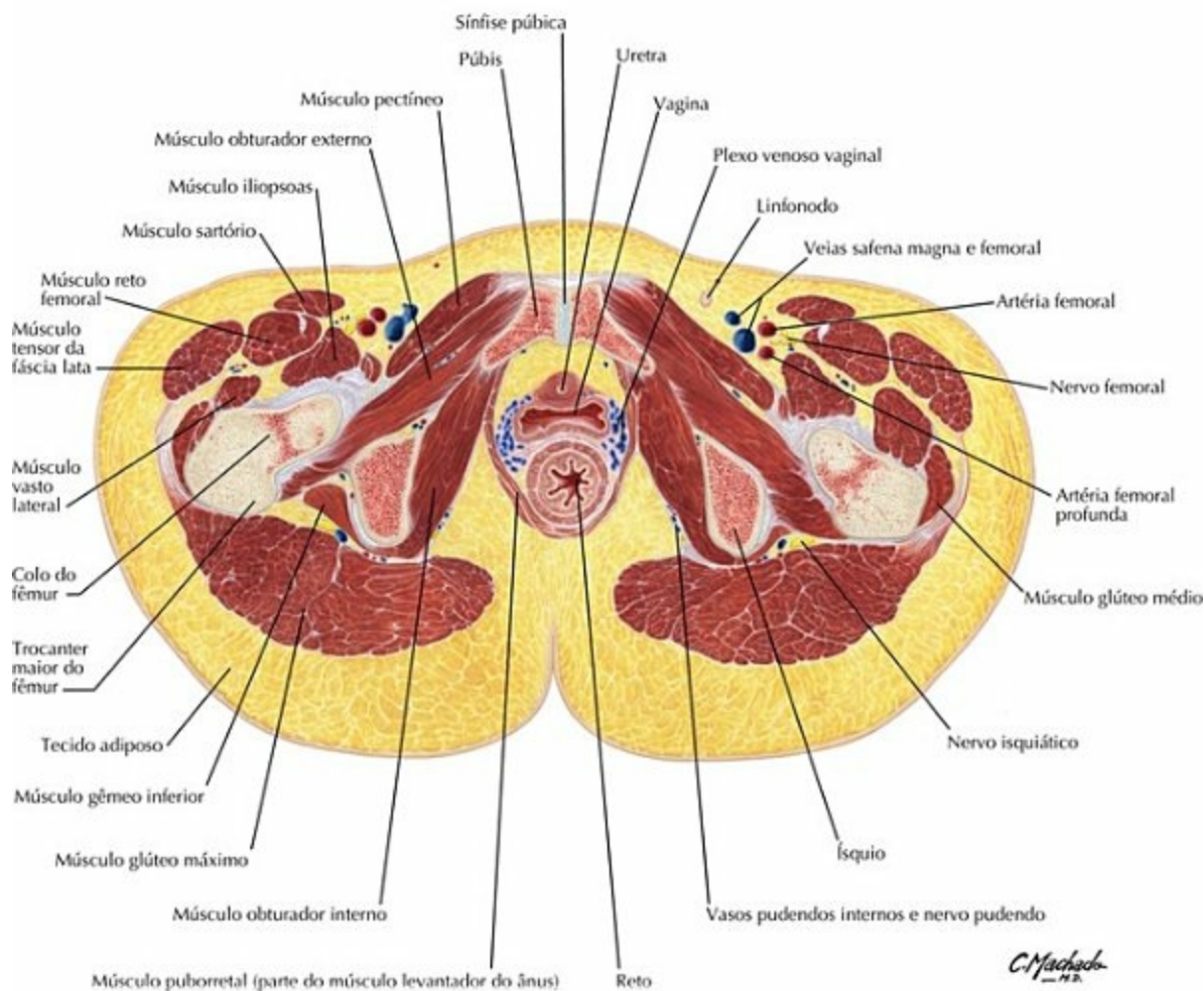
PRANCHA 395 Inervação

Pelve Masculina: Corte Transversal da Junção Vesicoprostática



PRANCHA 396 Anatomia Seccional Transversa

Corte Transversal da Vagina e da Uretra 1 Sínfise púbica



PRANCHA 397 Anatomia Seccional Transversa

Tabelas de Músculos

Tabela 5-1

Tabela de Músculos

MÚSCULO	INSERÇÃO PROXIMAL (PONTO FIXO)	INSERÇÃO DISTAL (PONTO MÓVEL)	INERVAÇÃO	AÇÕES PRINCIPAIS	SUPRIMENTO SANGUÍNEO
Bulboesponjoso	<i>Homem:</i> rafe do pênis, bulbo do pênis, corpo do	<i>Homem:</i> membrana do períneo, corpo cavernoso e	Ramo profundo do nervo perineal (do nervo	<i>Homem:</i> comprime o bulbo do pênis, impulsiona a	Artéria pudenda interna e seus ramos (artéria perineal)

	períneo <i>Mulher:</i> corpo do períneo	bulbo do pênis <i>Mulher:</i> dorso do clitóris, fáscia inferior do “diafragma urogenital”, bulbo do vestíbulo, arco púbico	pudendo)	entrada de sangue no corpo do pênis durante a ereção, força a eliminação da urina pela uretra, força a eliminação do sêmen durante a ejaculação <i>Mulher:</i> promove a constricção do óstio da vagina, auxilia a saída da secreção das glândulas vestibulares maiores, impulsiona a entrada de sangue no clitóris	
Isquiococcígeo (coccígeo)	Espinha isquiática, ligamento sacroespinal	Parte inferior do sacro, cóccix	Ramos anteriores dos nervos sacrais inferiores	Sustenta as vísceras pélvicas, traciona anteriormente o cóccix	Artéria glútea inferior
Compressor da uretra (apenas na mulher)	Ramo isquiopúbico	Superfície anterior da uretra	Nervos perineais (do nervo pudendo)	Esfíncter da uretra	Artéria perineal (da artéria pudenda interna)
Cremaster	Margem inferior do músculo oblíquo interno do abdome e terço médio do ligamento inguinal	Tubérculo púbico, crista púbica	Ramo genital do nervo genitofemoral	Retrai os testículos	Artéria cremastérica (da artéria epigástrica inferior)
Transverso profundo do períneo	Superfície interna do ramo isquiopúbico	<i>Homem:</i> rafe e corpo do períneo <i>Mulher:</i> Superfícies laterais da vagina	Nervos perineais (do nervo pudendo)	Estabiliza o corpo do períneo e sustenta a próstata/vagina	Artéria perineal (da artéria pudenda interna)
Esfíncter externo do ânus	Ápice do cóccix, corpo (ligamento)	Fibras profundas ao redor do canal anal,	Nervos anais (retais) inferiores e	Fecha o ânus	Artérias retal inferior e perineal (da

	anococcígeo	insere-se posteriormente ao cóccix e anteriormente ao corpo (centro) do períneo	nervos perineais (do nervo pudendo)		artéria pudenda interna)
Íliaco	2/3 superiores da asa do ílio, asa do sacro, ligamento sacroilíaco anterior	Trocanter menor do fêmur e parte do corpo (diáfise) logo abaixo, unindo-se ao tendão do músculo psoas maior	Nervo femoral	Flexiona a coxa e estabiliza a articulação do quadril; atua junto com o músculo psoas maior	Ramos ilíacos da artéria iliolumbar
Isquiocavernoso	Superfície interna do ramo isquiopúbico, túber isquiático	Ramo do pênis ou do clitóris	Ramo profundo do nervo perineal (do nervo pudendo)	Impulsiona a entrada de sangue no corpo do pênis ou do clitóris durante a ereção	Artéria pudenda interna e seu ramo (artéria perineal)
Levantador do ânus	Corpo do púbis, arco tendíneo da fáscia da pelve, espinha isquiática	Corpo do períneo, cóccix, corpo anococcígeo, superfícies da próstata ou da vagina, reto, canal anal	Ramos anteriores dos nervos sacrais inferiores, nervo perineal	Sustenta as vísceras pélvicas, eleva o soalho pélvico	Artéria glútea inferior, artéria pudenda interna e seus ramos (artérias retal inferior e perineal)
Obturador interno	Superfície pélvica da membrana obturadora e osso ao redor	Superfície medial do trocanter maior do fêmur	Nervo para o músculo obturador interno	Roda lateralmente a coxa estendida, abduz a coxa flexionada no quadril	Artérias pudenda interna e obturatória

Variações nas contribuições do nervo espinal para a inervação dos músculos, no seu suprimento arterial, nos seus locais de inserção e suas ações são de ocorrência comum na anatomia humana. Portanto, existem diferenças entre os textos e devemos considerar que a variação anatômica é normal.

Tabela 5-2

Tabela de Músculos

MÚSCULO	INSERÇÃO PROXIMAL (PONTO FIXO)	INSERÇÃO DISTAL (PONTO MÓVEL)	INERVAÇÃO	AÇÕES PRINCIPAIS	SUPRIMENTO SANGUÍNEO	GRUPO MUSCULAR
Piriforme	Face pélvica das vértebras sacrais II - IV, ligamento sacrotuberal	Margem superior do trocanter maior do fêmur	Ramos anteriores de L5, S1, S2	Roda lateralmente a coxa estendida, abduz a coxa flexionada no quadril	Artérias glúteas superior e inferior, artéria pudenda interna	Região
Puborretal	Parte inferior da sínfise púbica, fáscia superior do “diafragma urogenital”	Produce uma alça ao redor do reto; não há inserção distal	Nervo para o músculo levantador do ânus			Soal
Esfincter externo da uretra	Fibras externas a partir da junção do ramo inferior do púbis e do ramo do ísquio, e da fáscia adjacente; as fibras internas passam medialmente para circundar a parte membranácea da uretra	Homem: rafe do pênis, anterior e posteriormente à uretra Mulher: envolve a uretra, insere-se em ambos os lados da vagina	Ramos do nervo perineal (do nervo pudendo)	Comprime a uretra ao final da micção; nas mulheres também comprime a parte distal da vagina	Ramo da artéria perineal (da artéria pudenda interna)	Peri
Esfincter uretrovaginal (somente em mulheres)	Corpo do períneo	Dirige-se anteriormente e contorna a uretra	Ramos do nervo perineal (do nervo pudendo)	Esfincter da uretra e da vagina	Ramo da artéria perineal (da artéria pudenda interna)	Peri
Transverso superficial do períneo	Ramo do ísquio e túber isquiático	Corpo do períneo (centro do períneo)	Ramos do nervo perineal (do nervo pudendo)	Estabiliza o corpo do períneo	Ramo da artéria perineal (da artéria pudenda interna)	Peri

Membro superior

Anatomia Topográfica

Prancha 398

398. Membro Superior: Anatomia de Superfície

Anatomia Cutânea e Superficial

Pranchas 399-403

399. Dermátomos do Membro Superior

400. Inervação Cutânea do Membro Superior

401. Nervos Cutâneos e Veias Superficiais do Ombro e do Braço

402. Nervos Cutâneos e Veias Superficiais do Antebraço e da Mão

403. Vasos Linfáticos e Linfonodos do Membro Superior

Ombro e Axila

Pranchas 404-416

404. Clavícula e Articulação Esternoclavicular

405. Úmero e Escápula: Vistas Anteriores

406. Úmero e Escápula: Vistas Posteriores

407. Ombro: Radiografia Anteroposterior

408. Articulação do Ombro (Articulação Glenoumeral)

409. Músculos do Ombro

410. Axila: Parede Posterior e Plexo Braquial

411. Músculos do “Manguito” Rotador

412. Fáscias Peitoral, Clavipeitoral e da Axila

413. Dissecção das Regiões Escapulotorácica e Escapuloumeral

414. Artéria Axilar e Anastomoses ao Redor da Escápula

415. Axila (Dissecção): Vista Anterior

416. Plexo Braquial: Esquema

Braço

Pranchas 417-421

417. Músculos do Braço: Vistas Anteriores

418. Músculos do Braço: Vistas Posteriores

419. Artéria Braquial *in Situ*

420. Artérias do Braço e da Parte Proximal do Antebraço

421. Braço: Cortes Transversais Seriados

Cotovelo e Antebraço

Pranchas 422-438

422. Ossos do Cotovelo

423. Cotovelo: Radiografias

424. Ligamentos do Cotovelo

425. Ossos do Antebraço

426. Músculos Individuais do Antebraço: Rotadores do Rádio

427. Músculos Individuais do Antebraço: Extensores da Mão e dos Dedos

428. Músculos Individuais do Antebraço: Flexores da Mão

429. Músculos Individuais do Antebraço: Flexores dos Dedos

430. Músculos do Antebraço (Camada Superficial): Vista Posterior

431. Músculos do Antebraço (Camada Profunda): Vista Posterior

432. Músculos do Antebraço (Camada Superficial): Vista Anterior

433. Músculos do Antebraço (Camada Média): Vista Anterior

434. Músculos do Antebraço (Camada Profunda): Vista Anterior

435. Artérias do Antebraço e da Mão

436. Antebraço: Cortes Transversais Seriados, Vista Anterior

437. Inserções dos Músculos do Antebraço: Vista Anterior

438. Inserções dos Músculos do Antebraço: Vista Posterior

Punho e Mão

Pranchas 439-458

439. Ossos Carpais

440. Movimentos no Punho

441. Ligamentos do Punho

442. Ligamentos do Punho (continuação)

443. Ossos da Mão

444. Punho e Mão: Radiografias

445. Ligamentos Metacarpofalângicos e Interfalângicos

446. Punho e Mão: Dissecções Superficiais da Palma da Mão

447. Punho e Mão: Dissecções Profundas da Palma da Mão

448. Músculos Lumbricais e Bolsas, Espaços e Bainhas: Esquema

449. Tendões dos Músculos Flexores, Artérias e Nervos no Punho e na Mão

450. Bolsas, Espaços e Bainhas dos Tendões na Mão

- 451. Tendões dos Músculos Flexores e Extensores dos Dedos
- 452. Músculos Intrínsecos da Mão
- 453. Artérias e Nervos da Mão: Vistas Anteriores (Palmares)
- 454. Punho e Mão: Dissecção Superficial da Região Lateral (Radial)
- 455. Punho e Mão: Dissecção Superficial da Região Posterior (Dorsal)
- 456. Punho e Mão: Dissecção Profunda da Região Posterior (Dorsal)
- 457. Tendões dos Músculos Extensores no Punho
- 458. Dedos

Vascularização e Inervação

Pranchas 459-466

- 459. Inervação Cutânea do Punho e da Mão
- 460. Artérias e Nervos do Membro Superior
- 461. Nervos do Membro Superior
- 462. Nervo Musculocutâneo
- 463. Nervo Mediano
- 464. Nervo Ulnar
- 465. Nervo Radial no Braço e Nervos da Região Posterior do Ombro
- 466. Nervo Radial no Antebraço

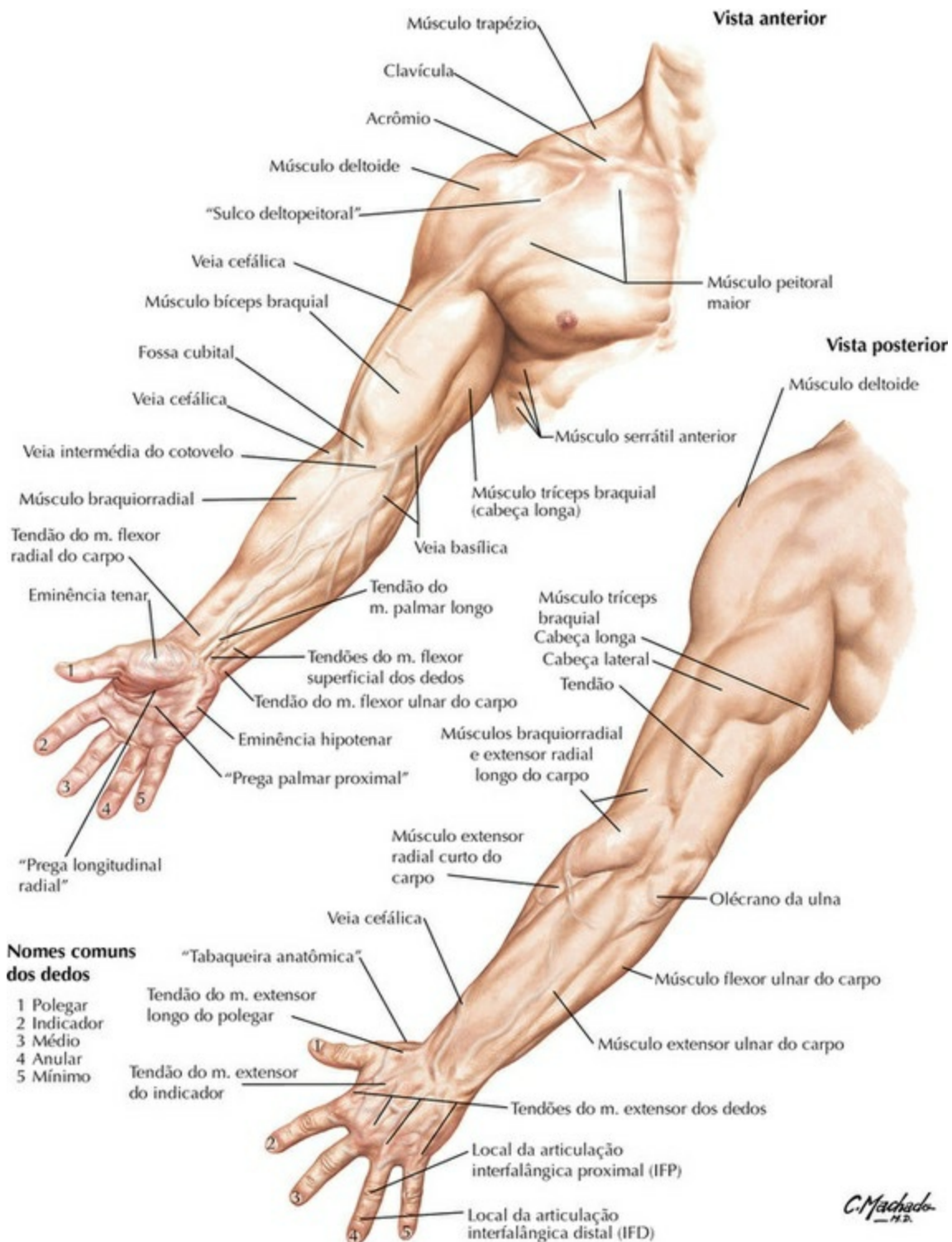
Imagens Regionais

Prancha 467

- 467. Artrograma, Ressonância Magnética (RM) e Tomografia Computadorizada (TC)

Tabelas de Músculos

Membro Superior: Anatomia de Superfície

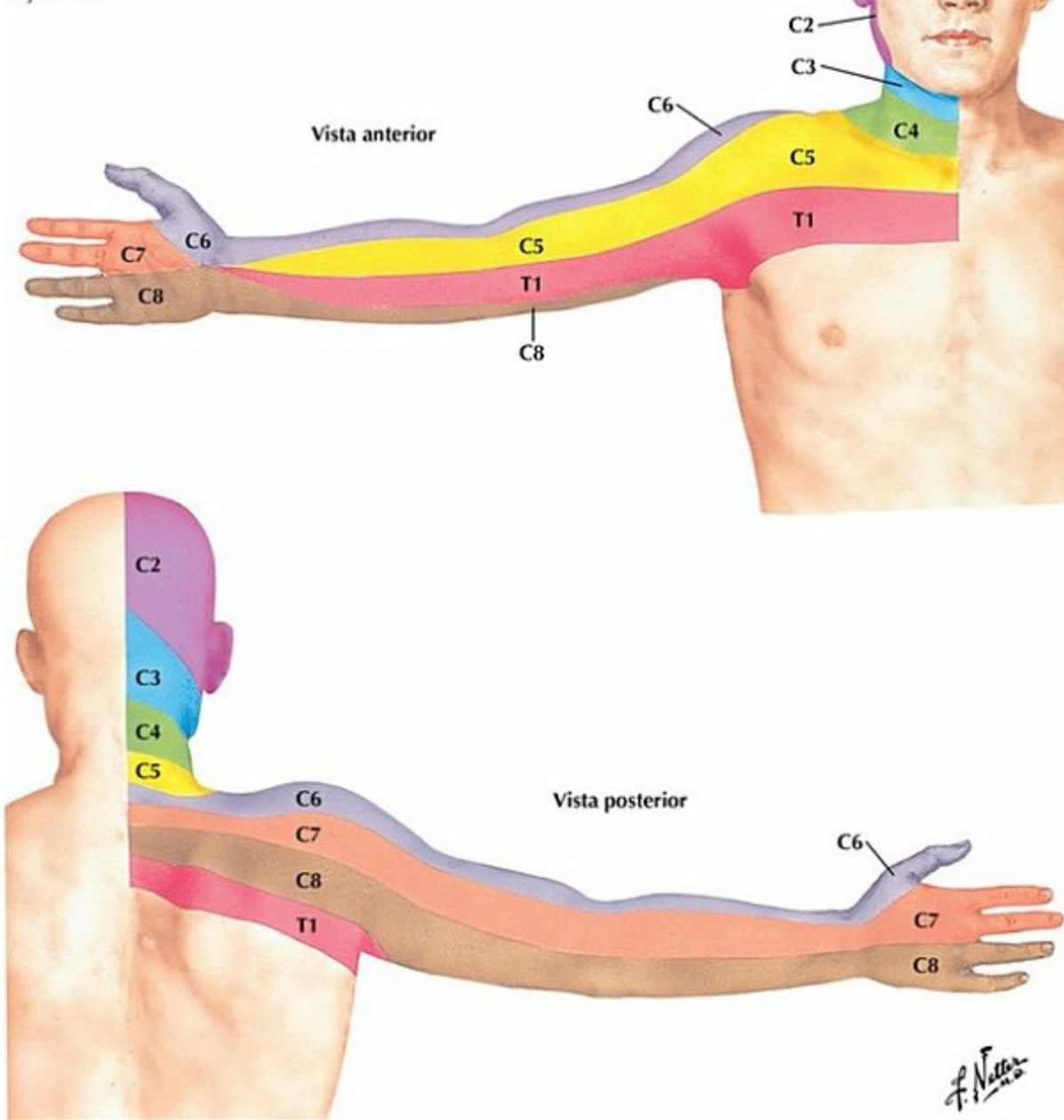


PRANCHA 398 Anatomia Topográfica

Veja também **Pranchas 152, 242**

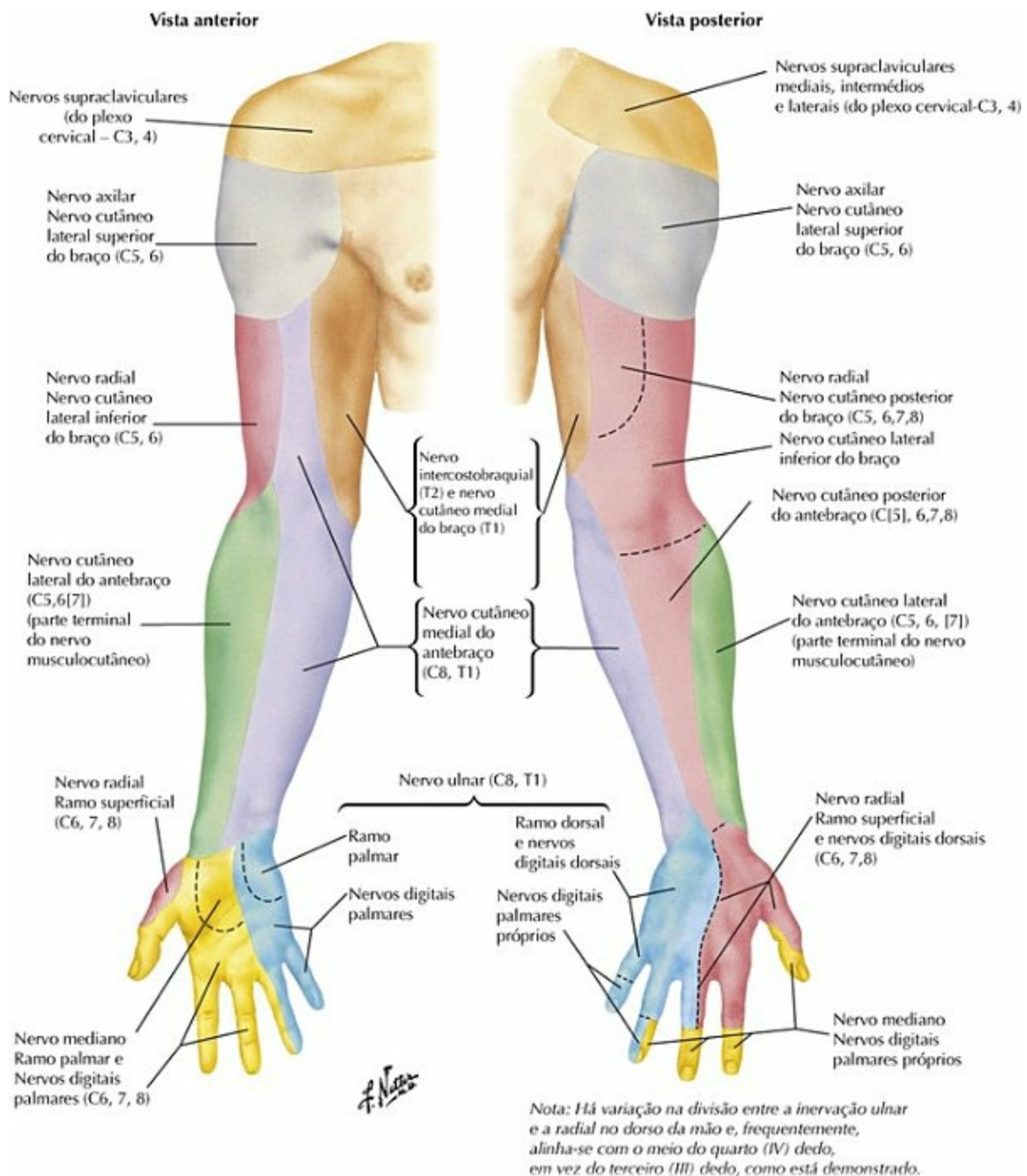
Dermátomos do Membro Superior

Nota: a demarcação esquemática dos dermatômos (de acordo com Keegan e Garrett) é mostrada como segmentos distintos. Na realidade, existe uma superposição considerável entre dermatômos adjacentes.



PRANCHA 399 Anatomia Cutânea e Superficial
Veja também **Prancha 162**

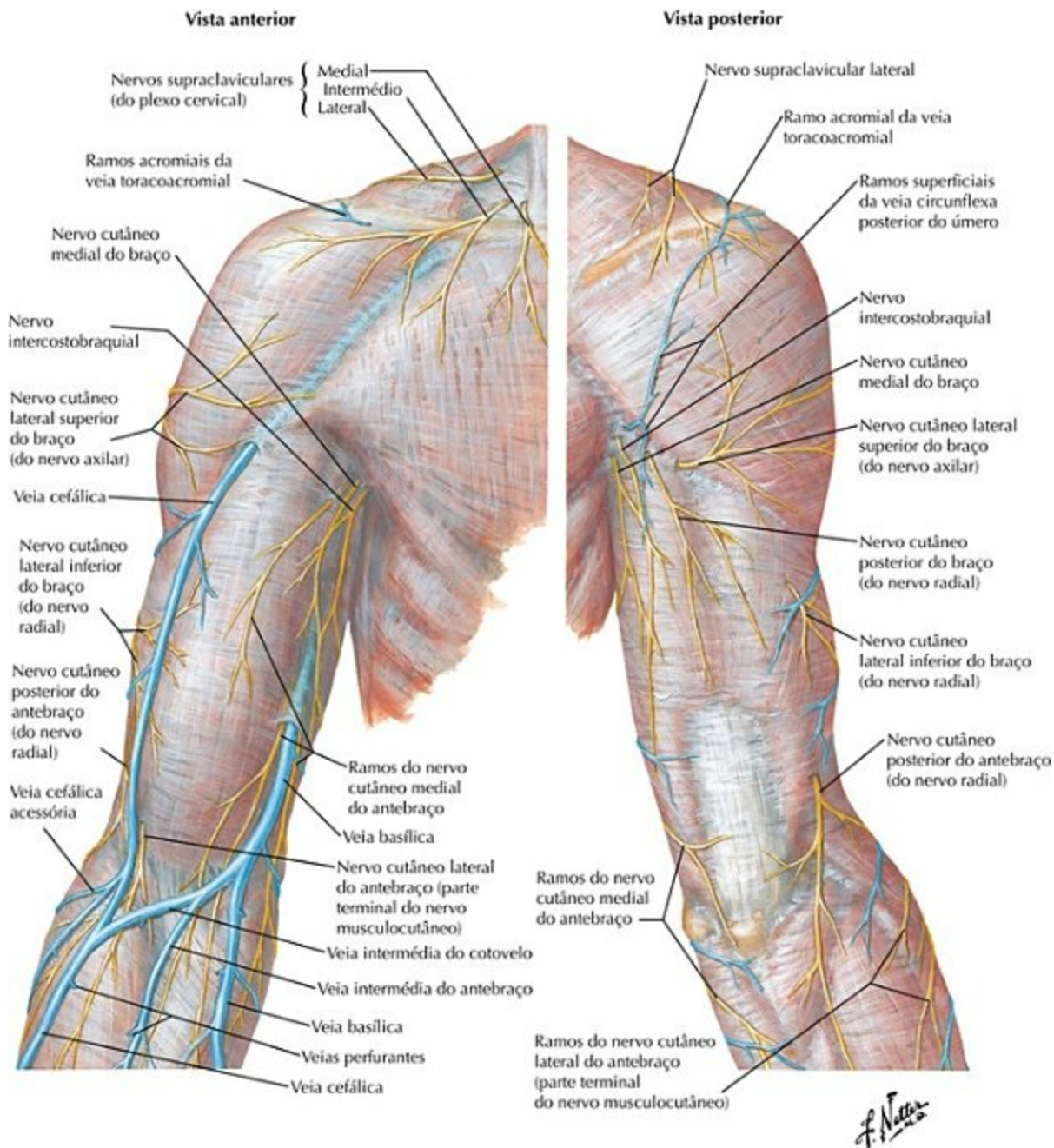
Inervação Cutânea do Membro Superior



PRANCHA 400 Anatomia Cutânea e Superficial

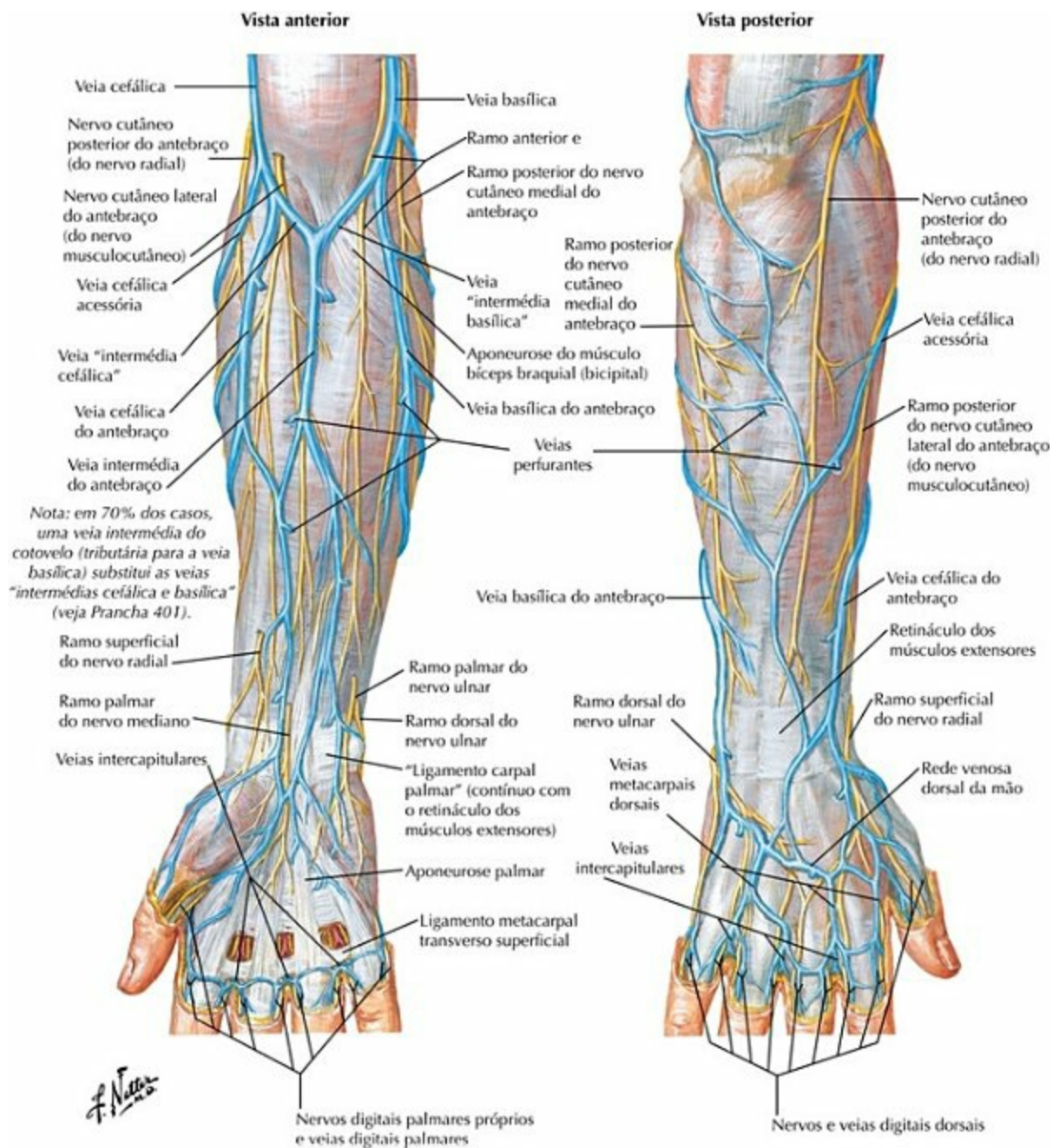
Veja também **Pranchas 459, 461, 463**

Nervos Cutâneos e Veias Superficiais do Ombro e do Braço



PRANCHA 401 Anatomia Cutânea e Superficial
 Veja também **Pranchas 252, 419**

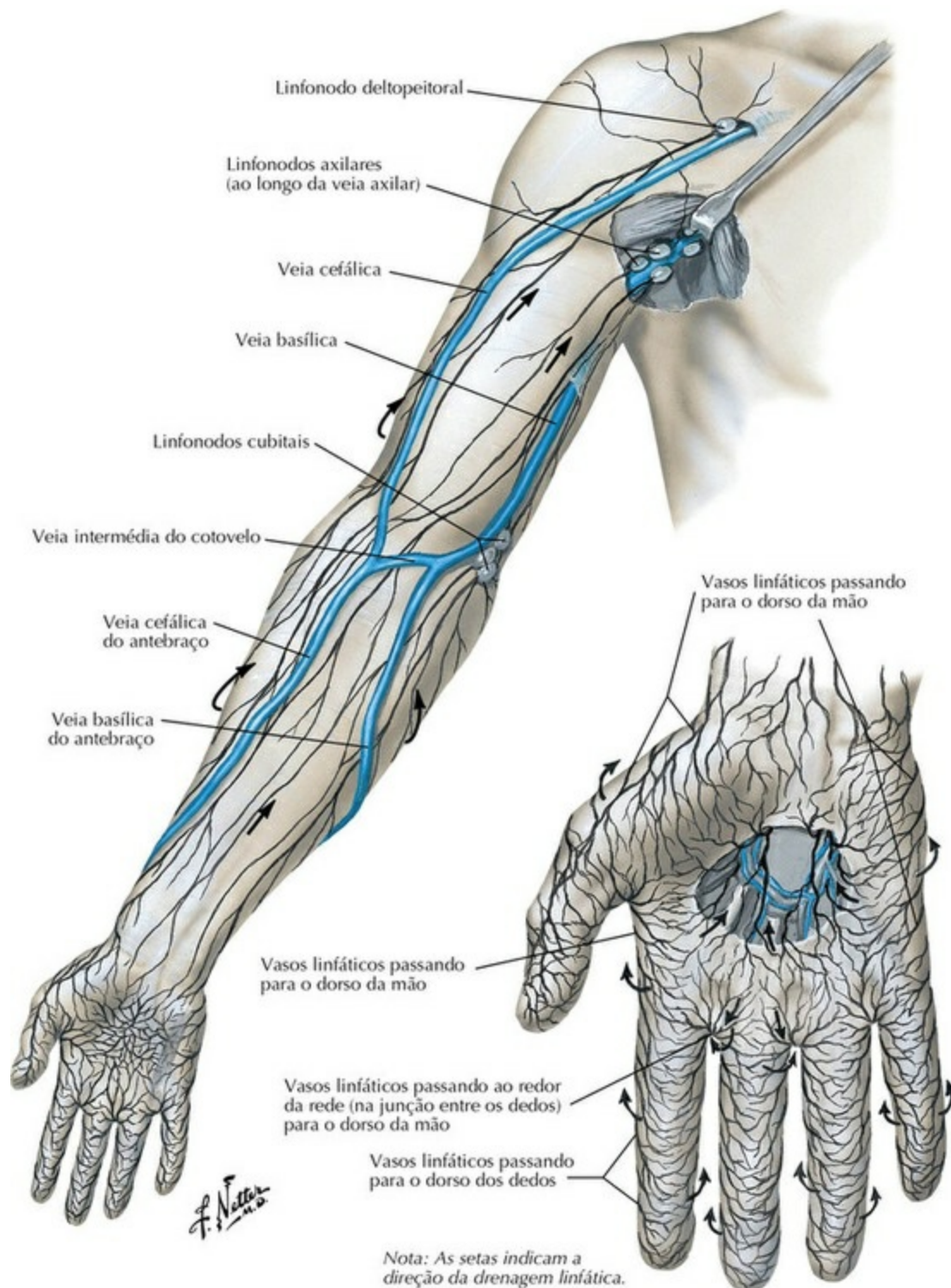
Nervos Cutâneos e Veias Superficiais do Antebraço e da Mão



PRANCHA 402 Anatomia Cutânea e Superficial

Veja também **Pranchas 431, 455**

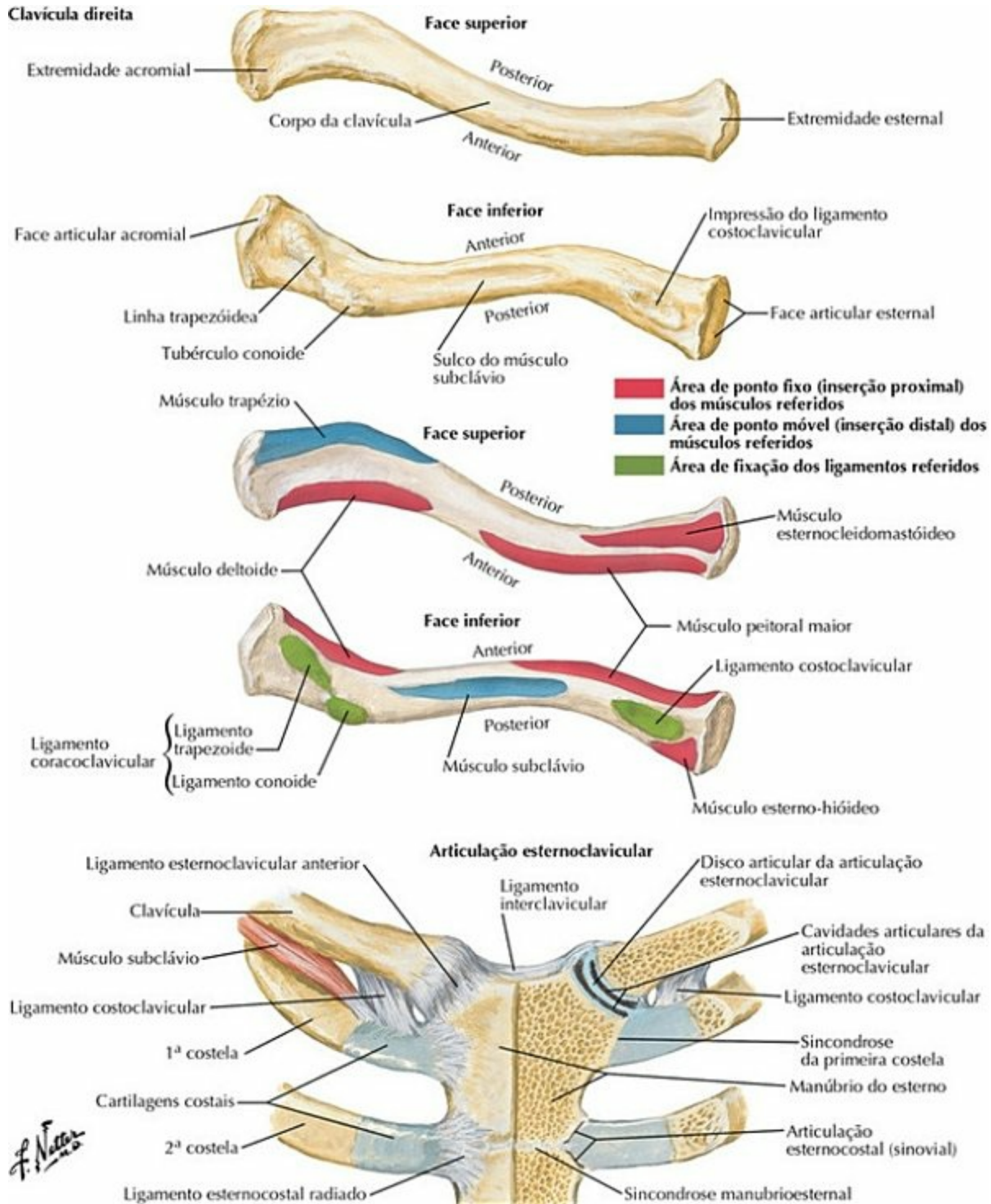
Vasos Linfáticos e Linfonodos do Membro Superior



PRANCHA 403 Anatomia Cutânea e Superficial
Veja também **Pranchas 181, 455**

Clavícula e Articulação Esternoclavicular

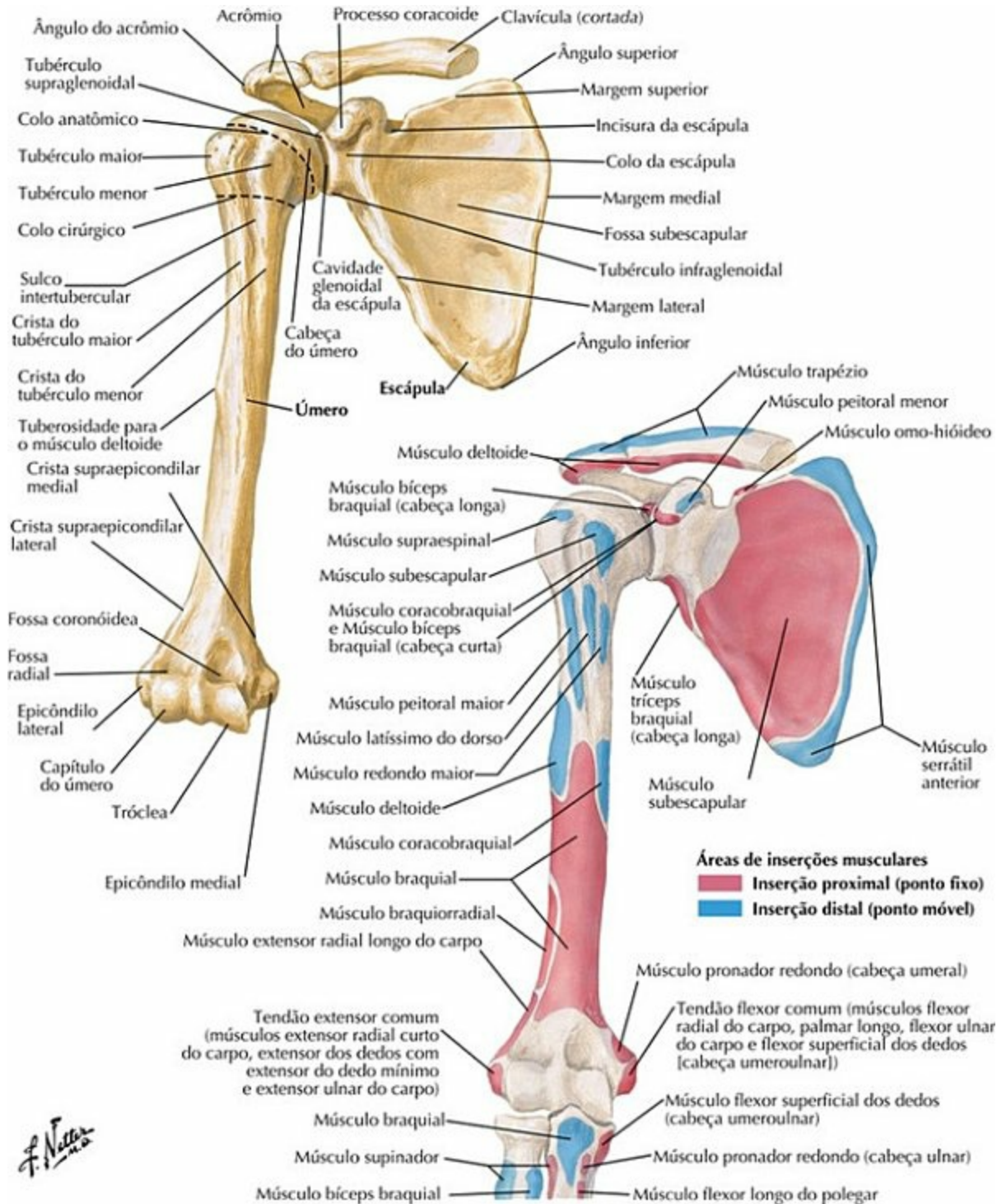
Clavícula direita



PRANCHA 404 Ombro e Axila

Veja também **Pranchas 183, 186**

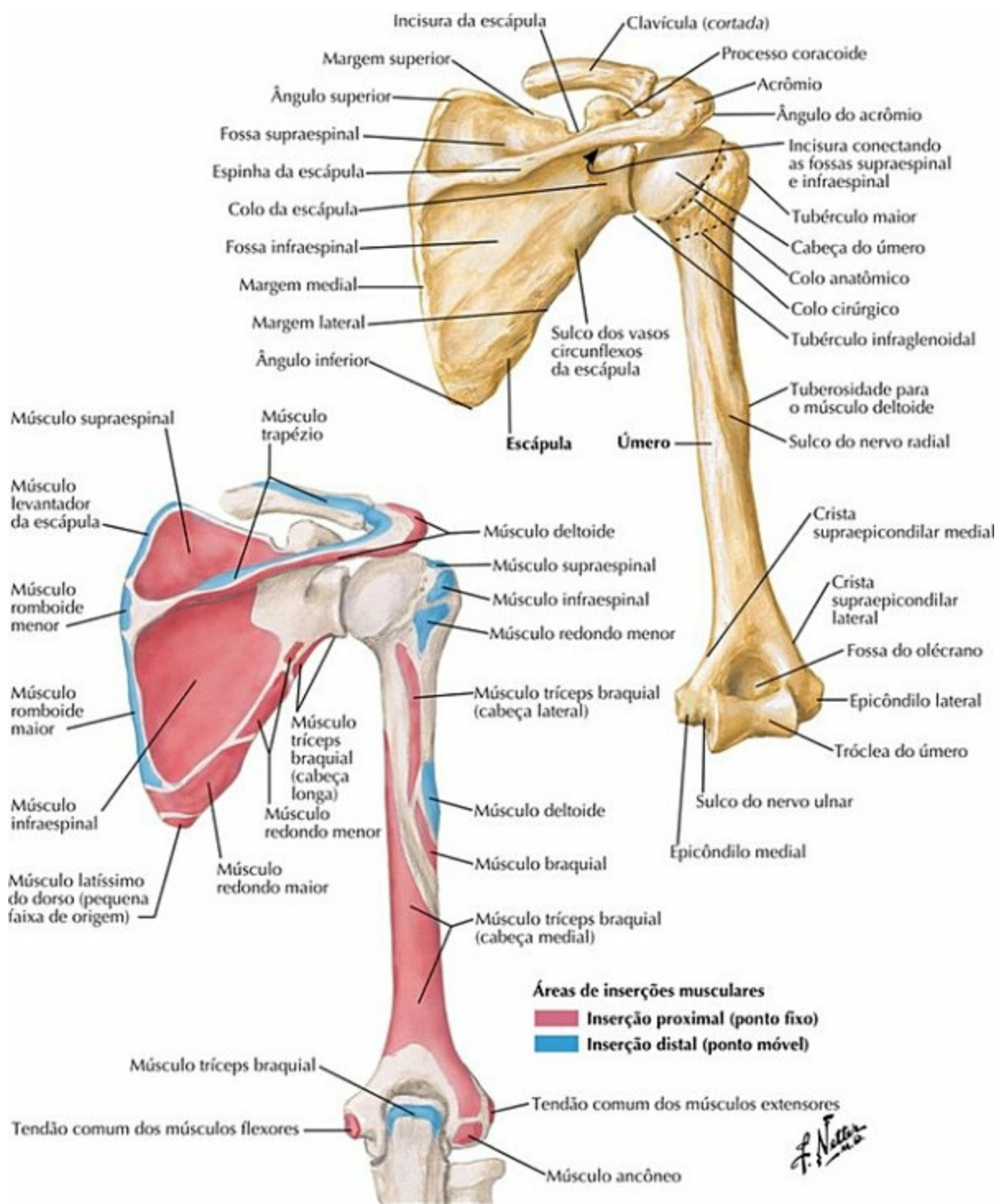
Úmero e Escápula: Vistas Anteriores



PRANCHA 405 Ombro e Axila

Veja também **Pranchas 183, 407, 422**

Úmero e Escápula: Vistas Posteriores



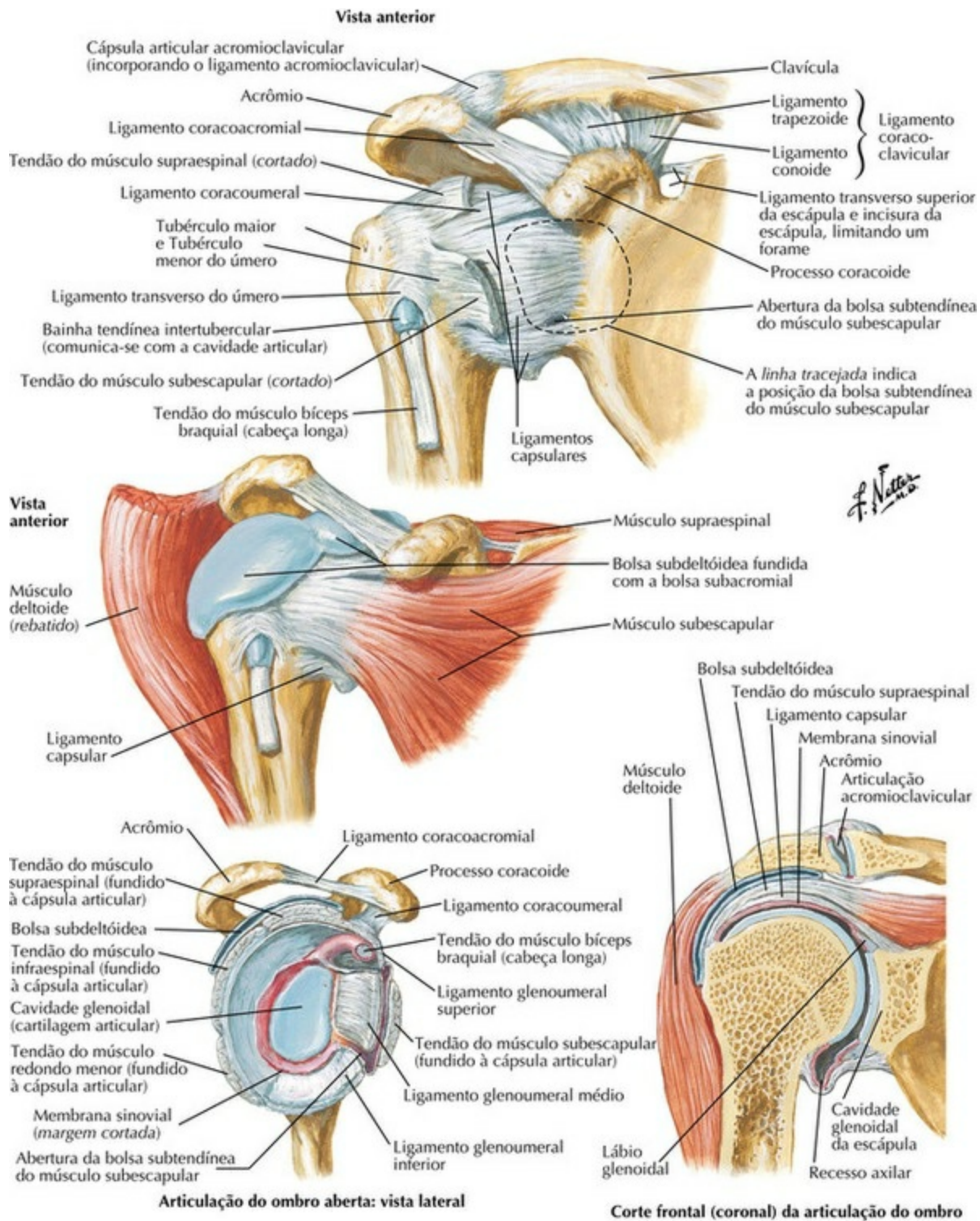
PRANCHA 406 Ombro e Axila
Veja também **Prancha 183**

Ombro: Radiografia Anteroposterior



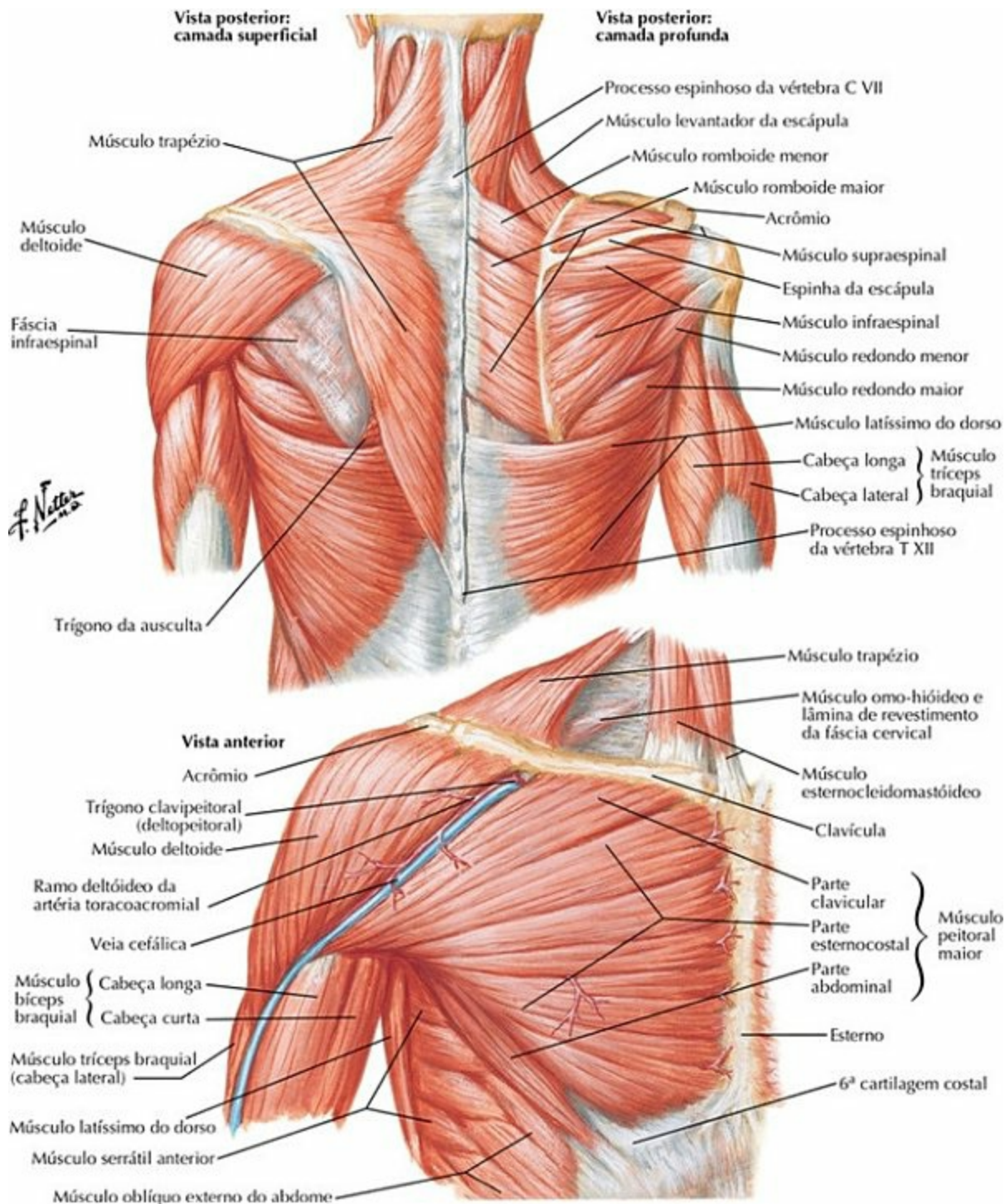
PRANCHA 407 Ombro e Axila
 Veja também **Prancha 405**

Articulação do Ombro (Articulação Glenoumeral)



PRANCHA 408 Ombro e Axila
 Veja também **Pranchas 411, 468**

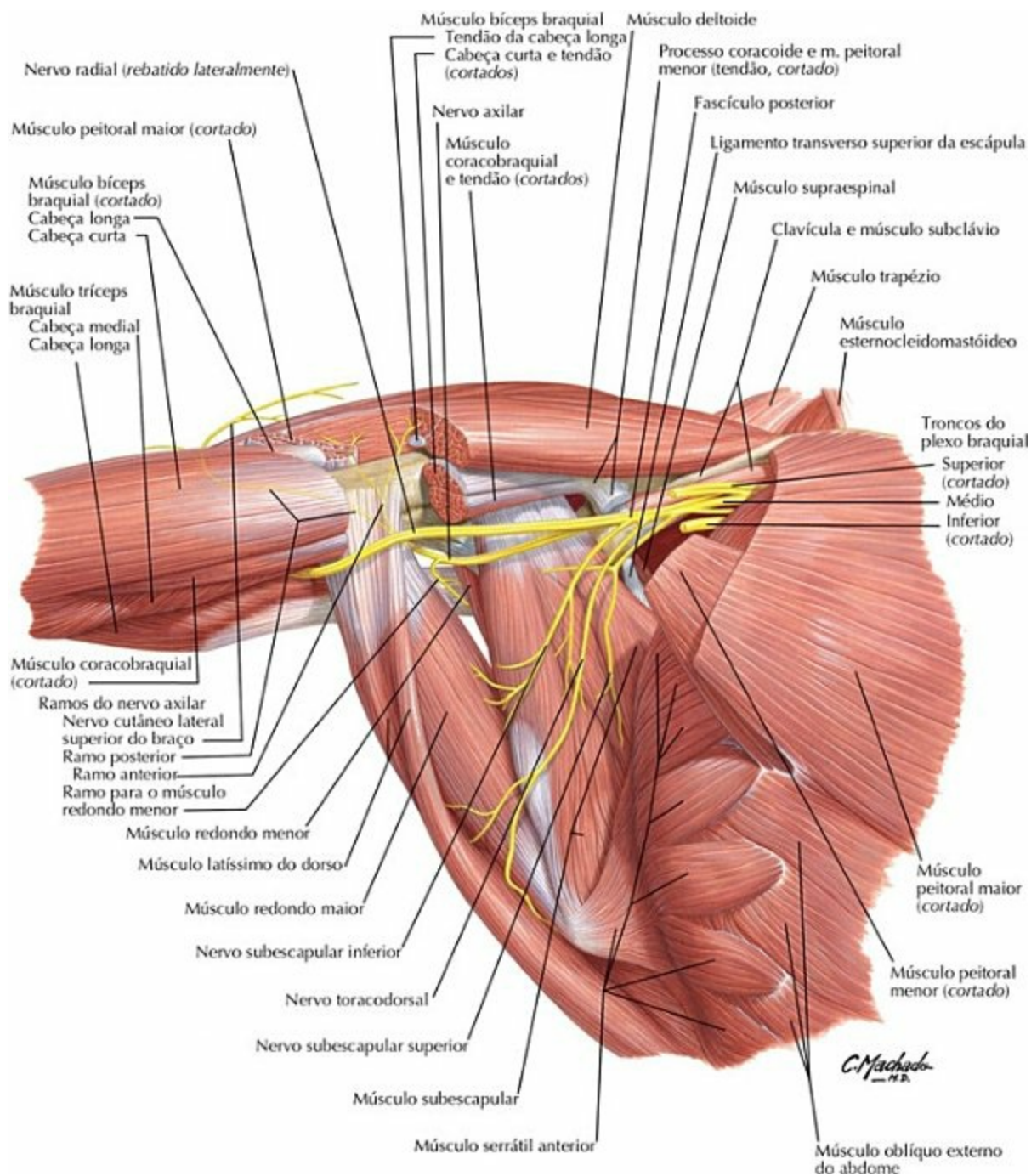
Músculos do Ombro



PRANCHA 409 Ombro e Axila

Veja também **Pranchas 29, 171, 185**

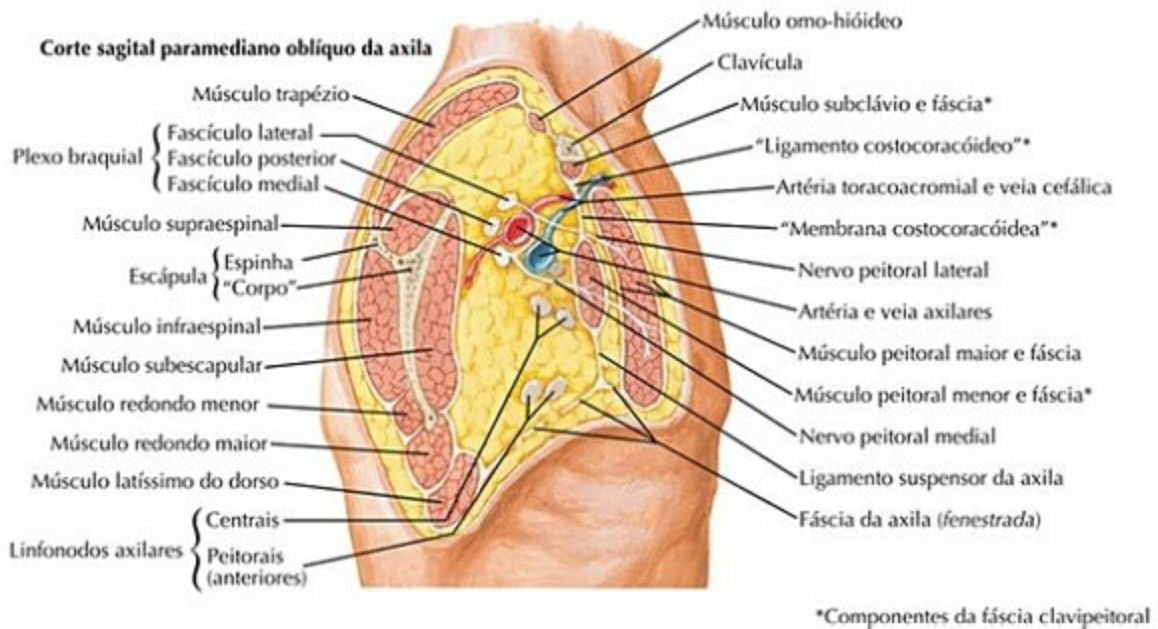
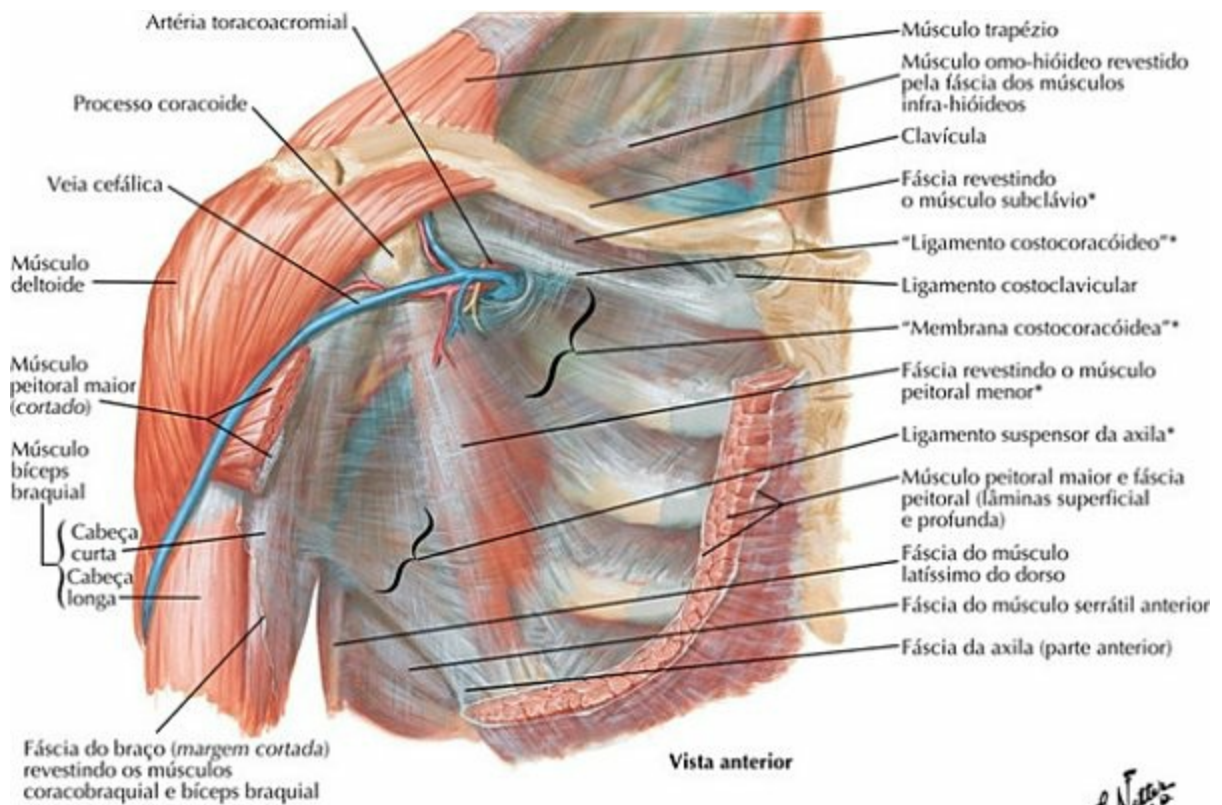
Axila: Parede Posterior e Plexo Braquial



PRANCHA 410 Ombro e Axila

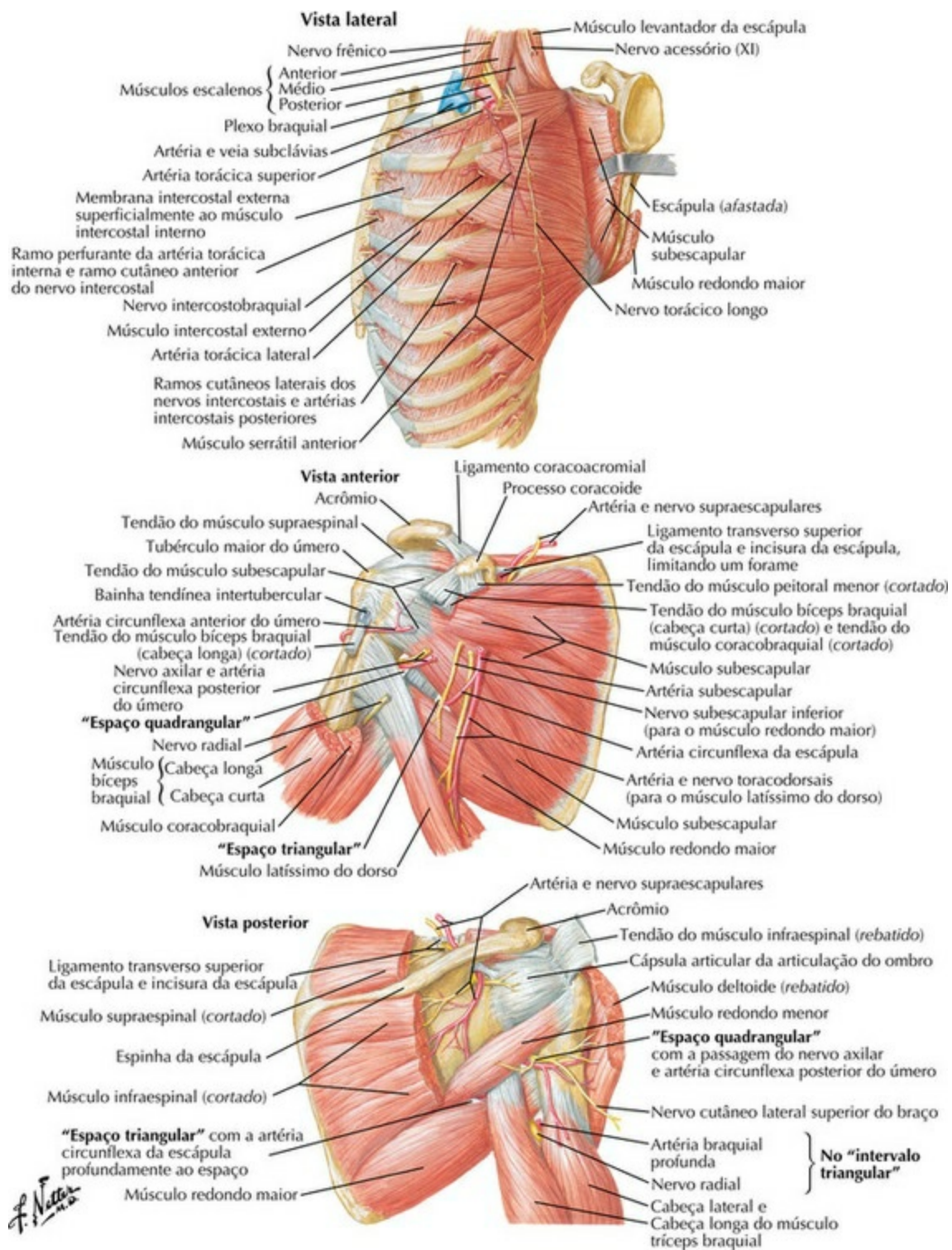
Veja também [Pranchas 415, 416, 461](#)

Músculos do “Manguito” Rotador



PRANCHA 412 Ombro e Axila
 Veja também **Pranchas 181, 185**

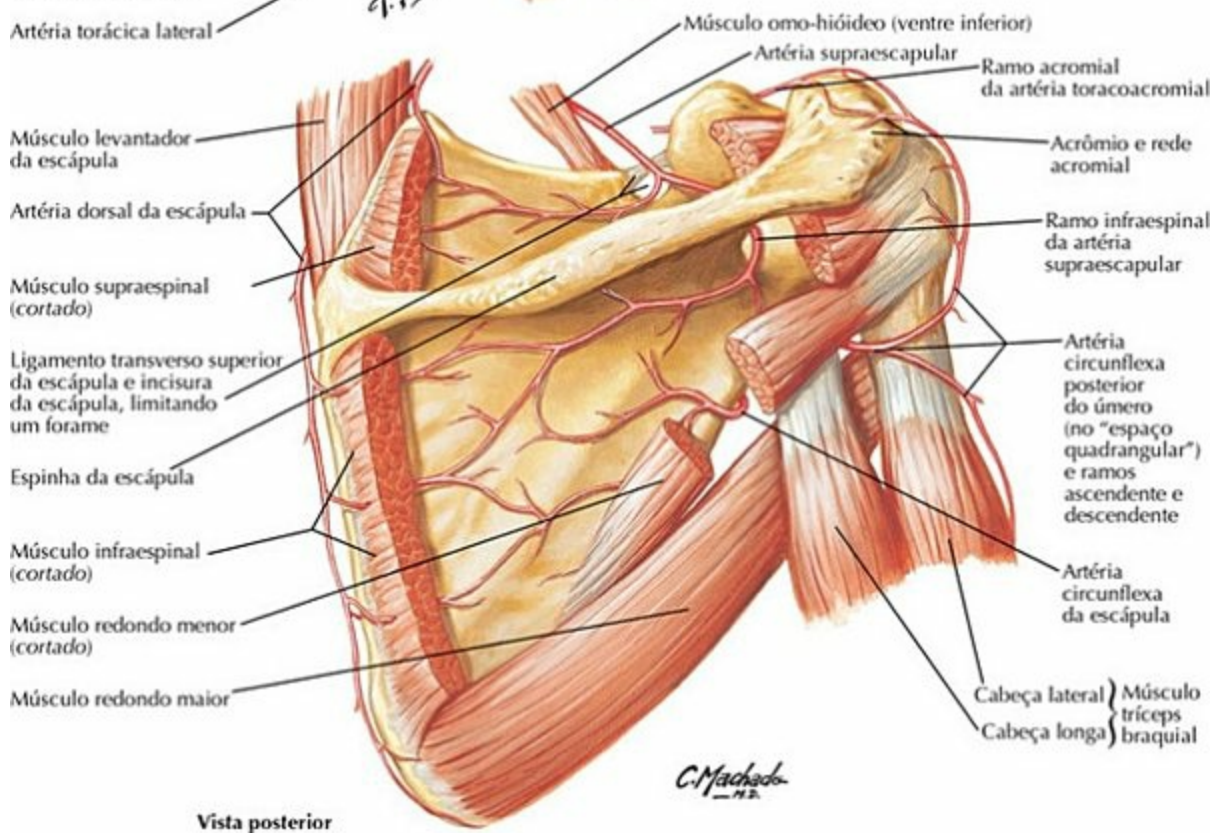
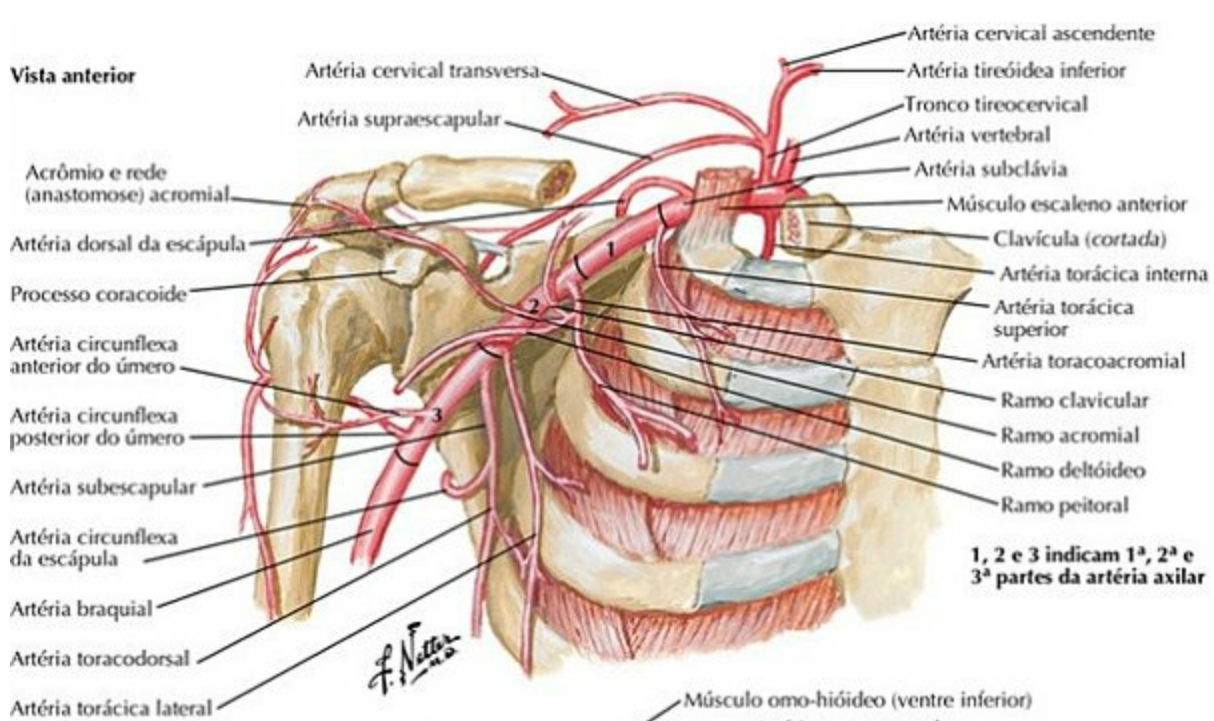
Dissecação das Regiões Escapulotorácica e Escapuloumeral



PRANCHA 413 Ombro e Axila
 Veja também **Pranchas 415, 465**

Artéria Axilar e Anastomoses ao Redor da Escápula

Vista anterior

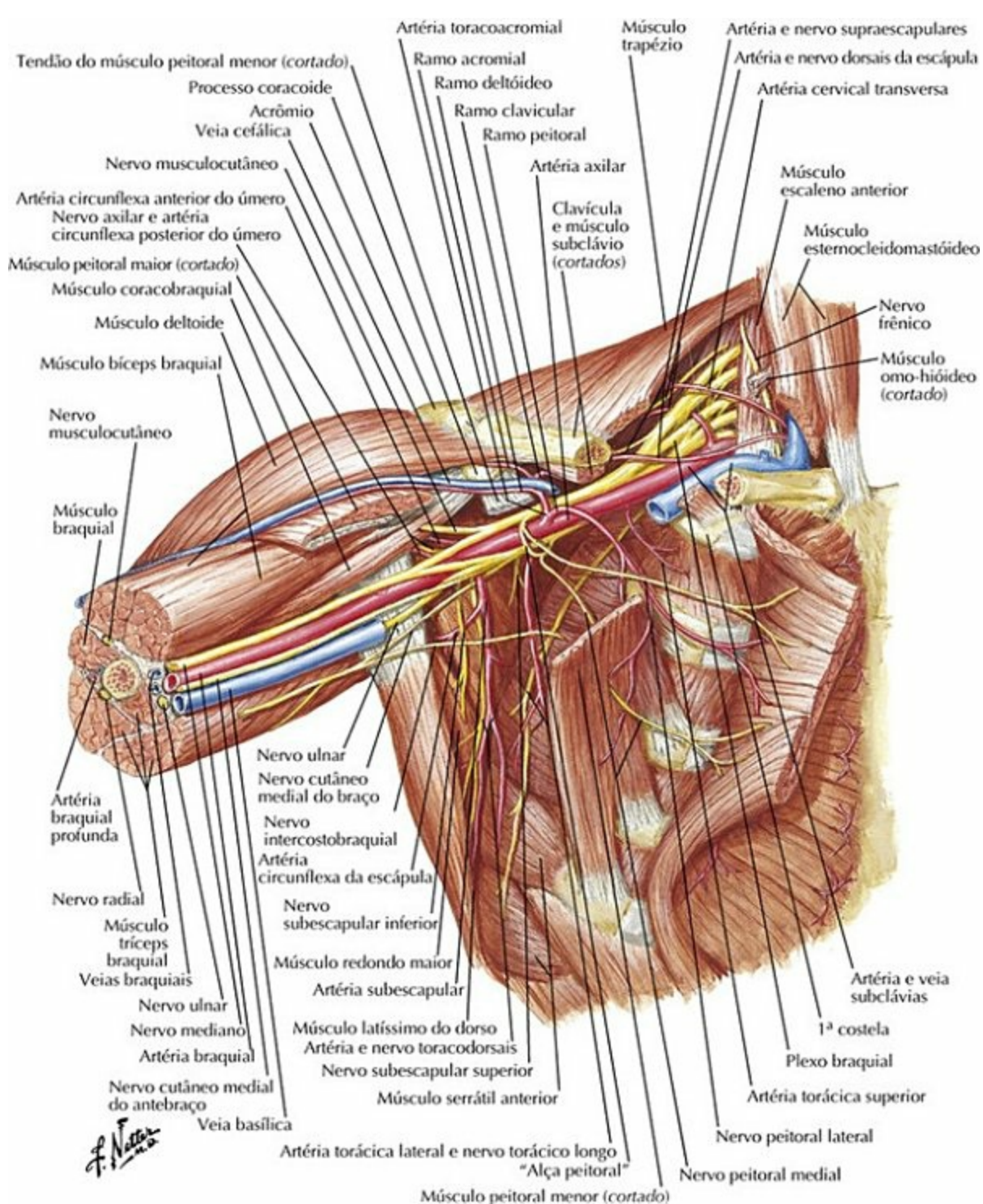


Vista posterior

PRANCHA 414 Ombro e Axila

Veja também **Pranchas 33, 420**

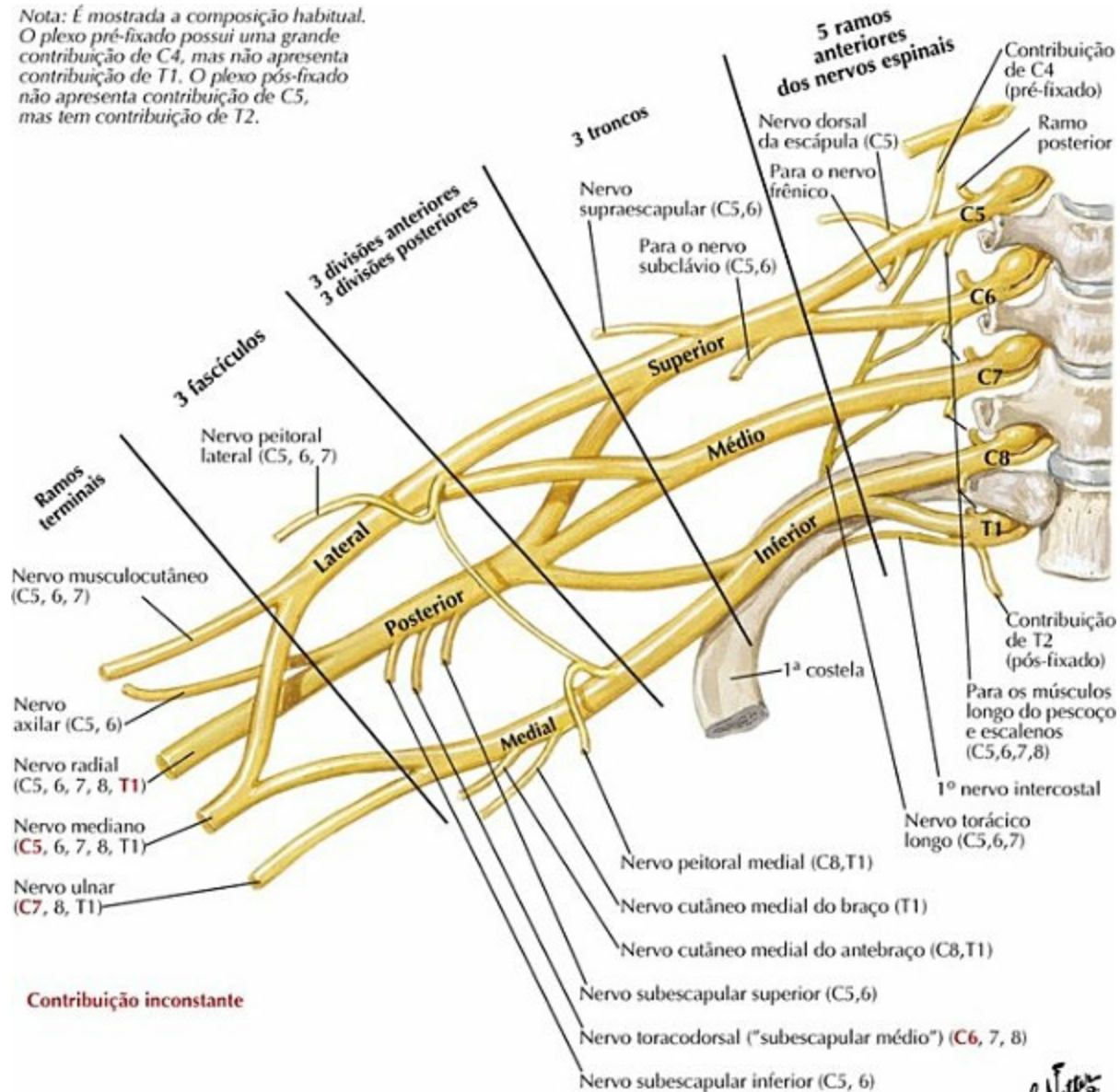
Axila (Dissecação): Vista Anterior



PRANCHA 415 Ombro e Axila
 Veja também **Pranchas 410, 413**

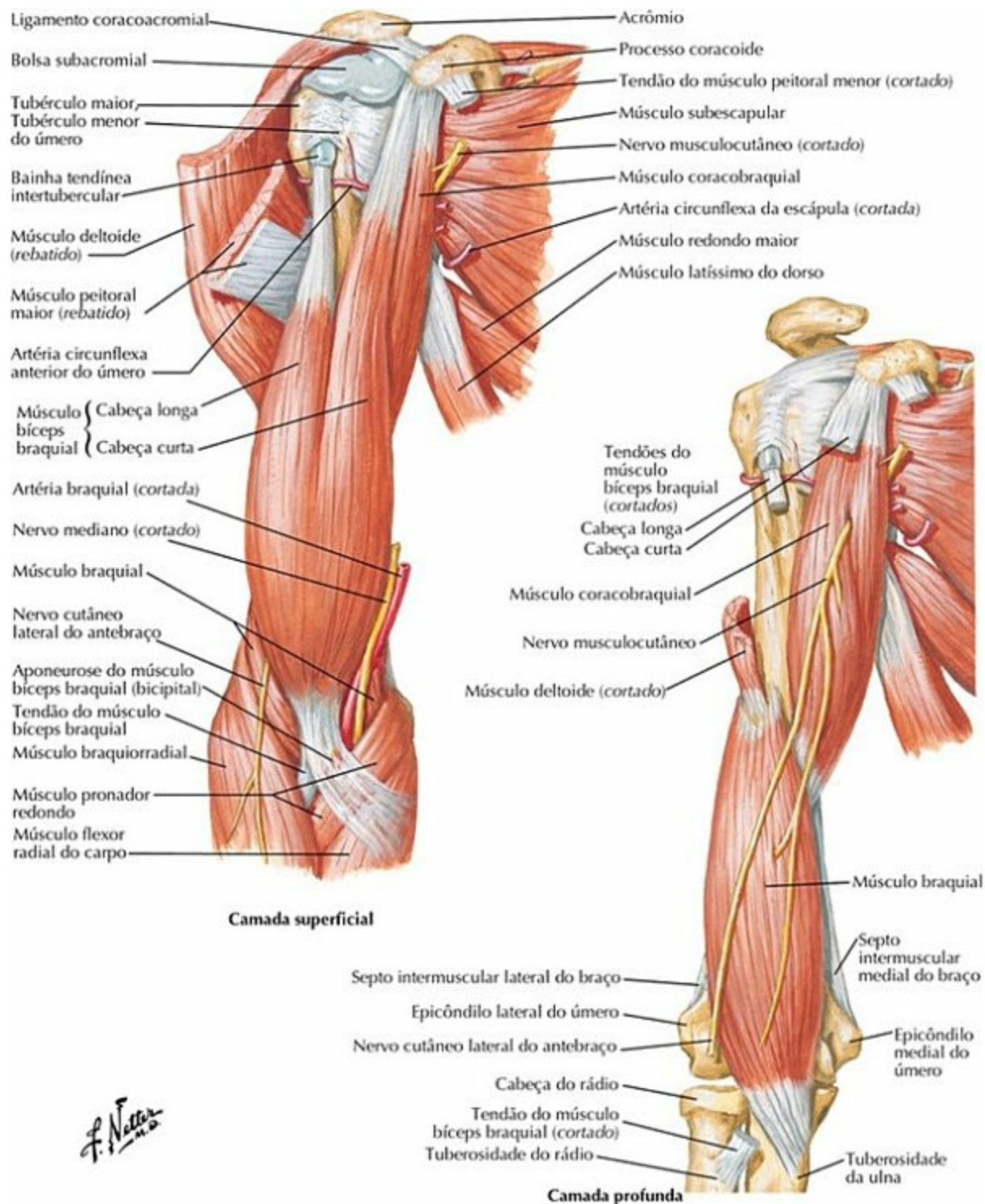
Plexo Braquial: Esquema

Nota: É mostrada a composição habitual.
O plexo pré-fixado possui uma grande contribuição de C4, mas não apresenta contribuição de T1. O plexo pós-fixado não apresenta contribuição de C5, mas tem contribuição de T2.



PRANCHA 416 Ombro e Axila
Veja também **Pranchas 410, 460, 461**

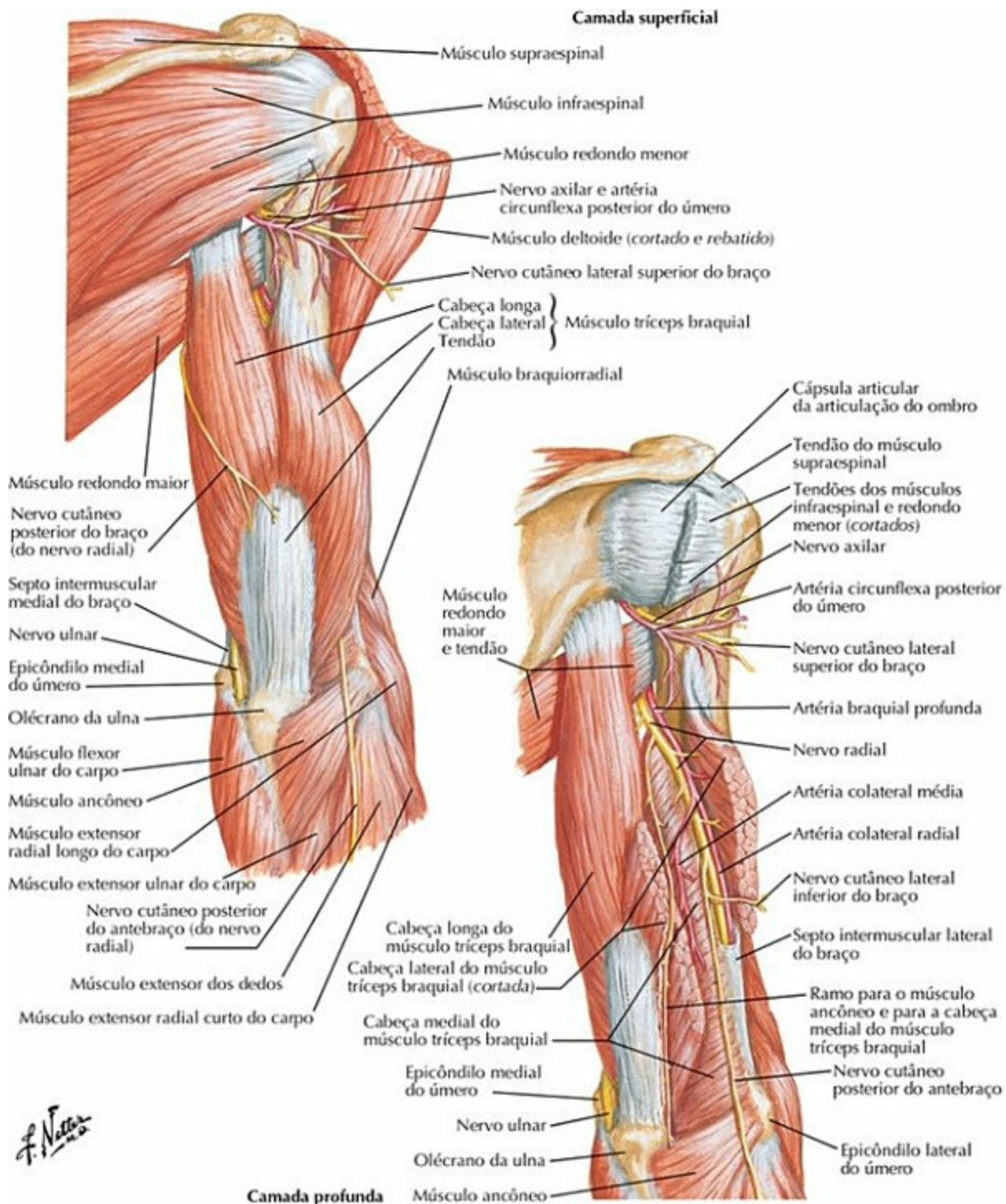
Músculos do Braço: Vistas Anteriores



PRANCHA 417 Braço

Veja também **Pranchas 411, 462**

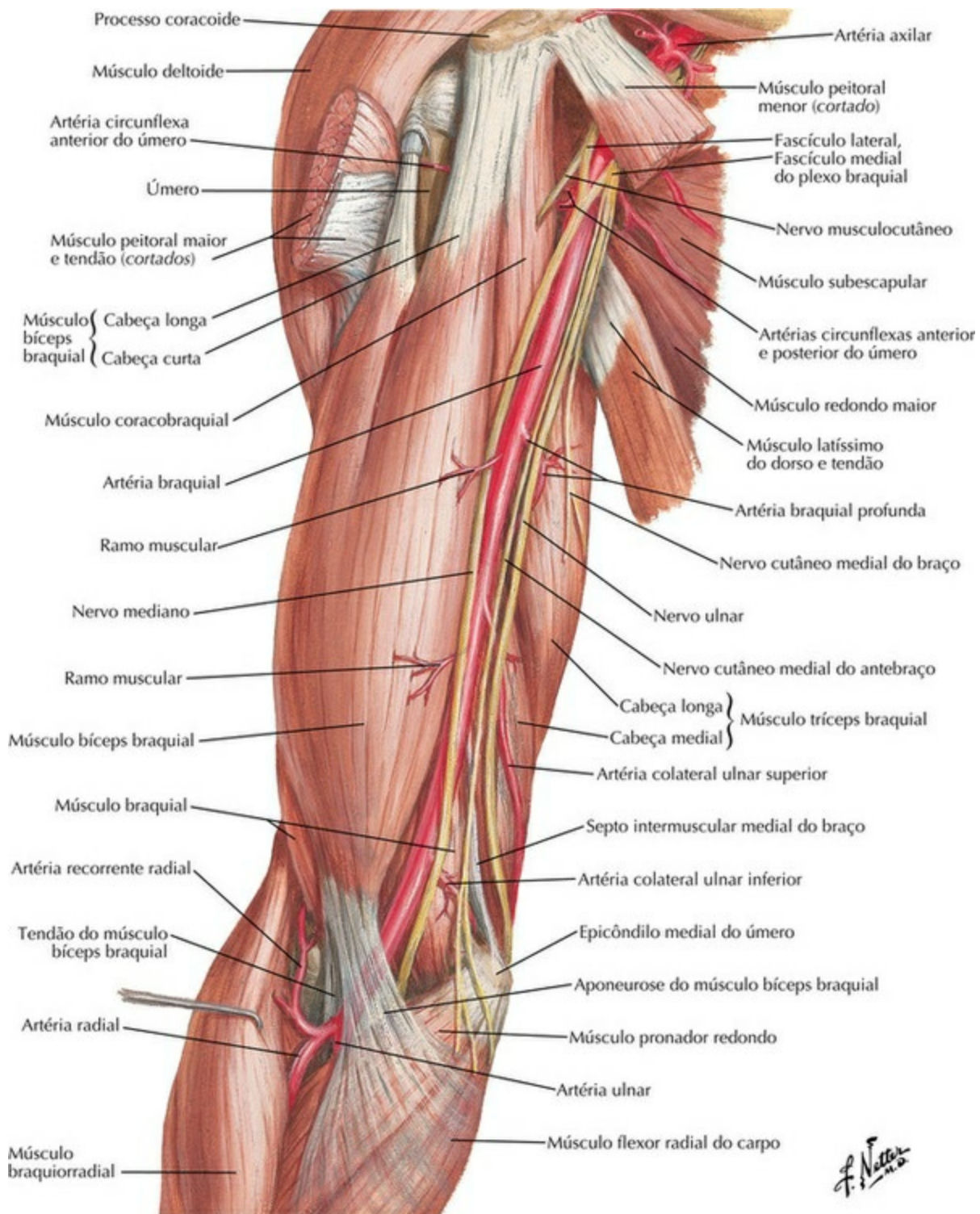
Músculos do Braço: Vistas Posteriores



PRANCHA 418 Braço

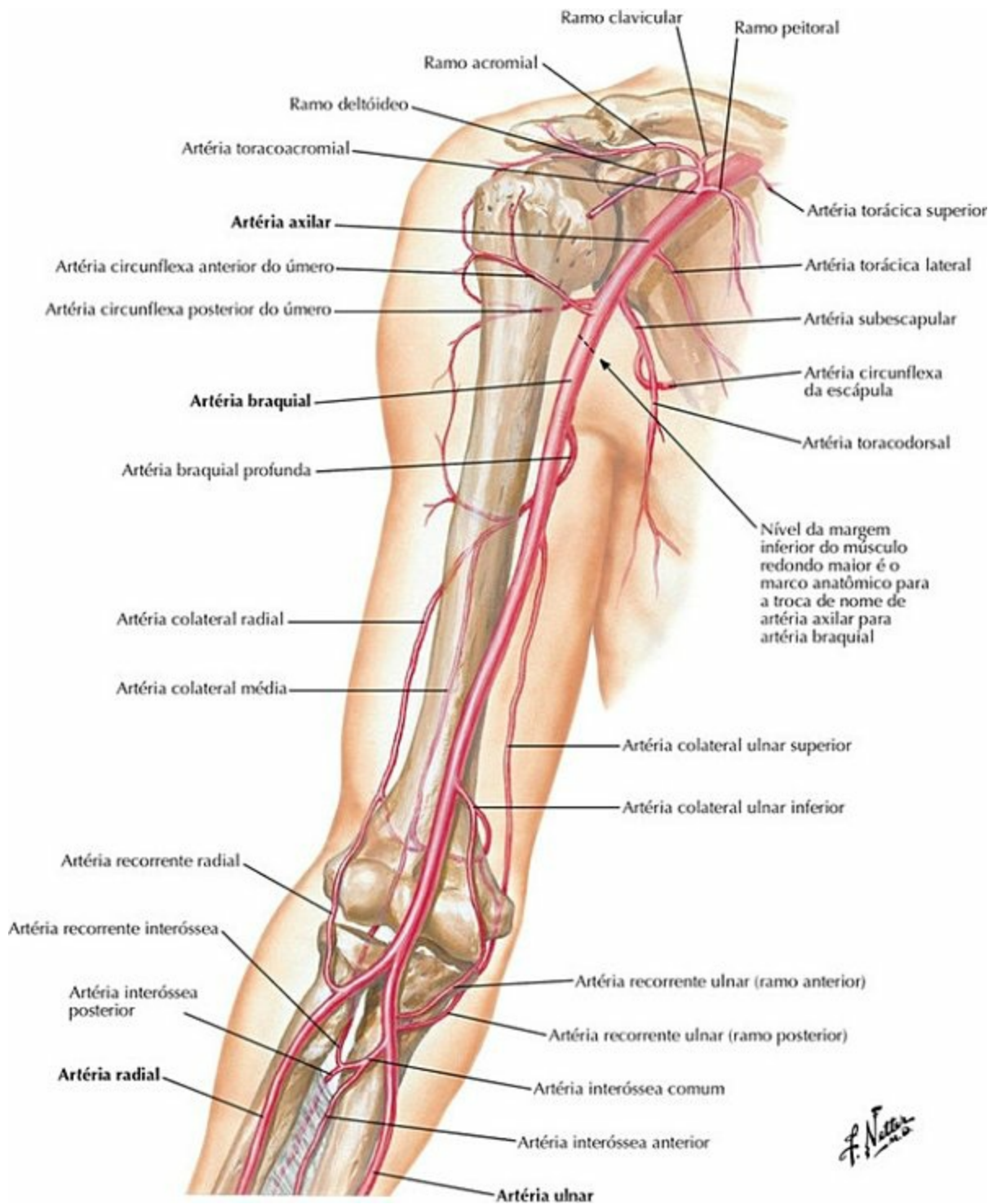
Veja também **Pranchas 411, 465**

Artéria Braquial *in Situ*



PRANCHA 419 Braço
Veja também **Prancha 401**

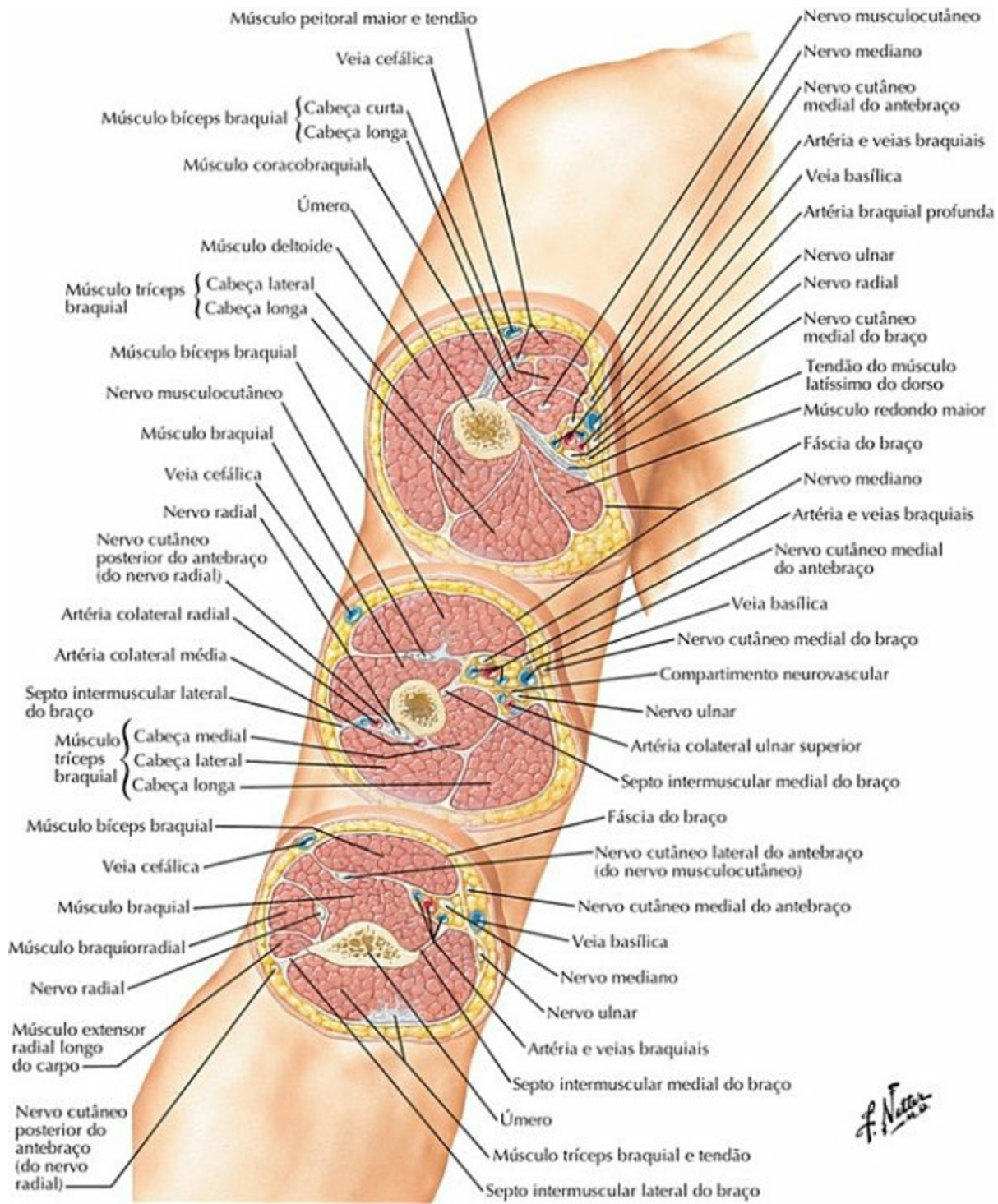
Artérias do Braço e da Parte Proximal do Antebraço



PRANCHA 420 Braço

Veja também **Pranchas 414, 433, 453**

Braço: Cortes Transversais Seriados



PRANCHA 421 Braço

Ossos do Cotovelo

Cotovelo direito



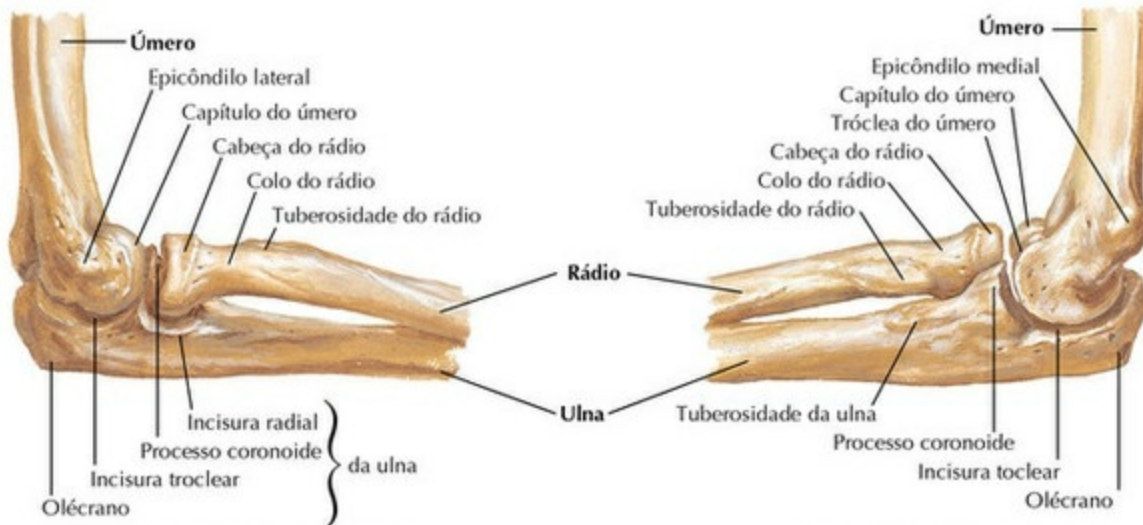
Em extensão: vista anterior

Em extensão: vista posterior



Em extensão: vista lateral

Em extensão: vista medial

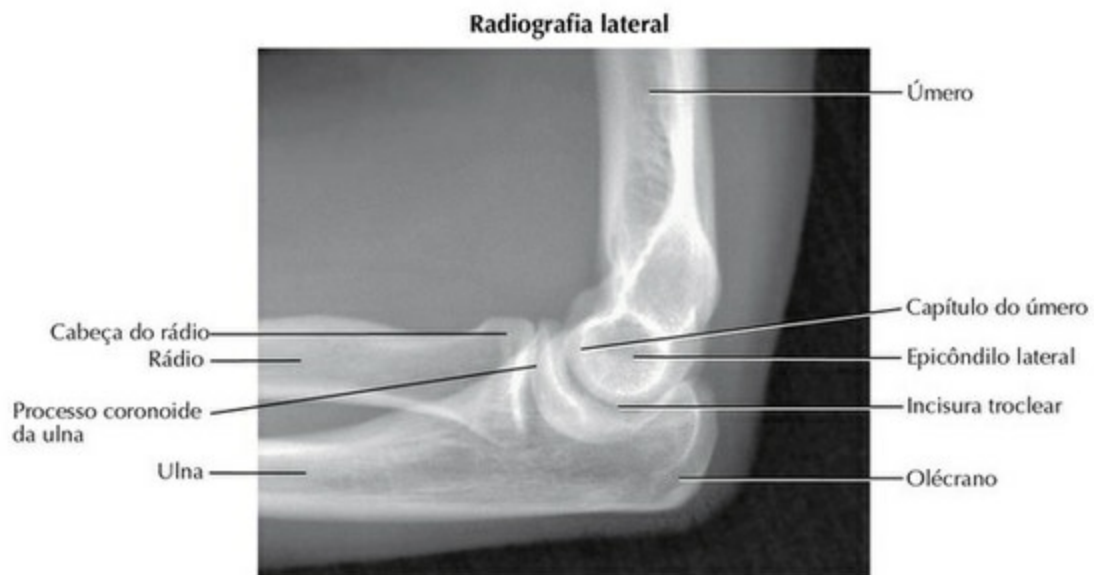


Em 90° de flexão: vista lateral

Em 90° de flexão: vista medial

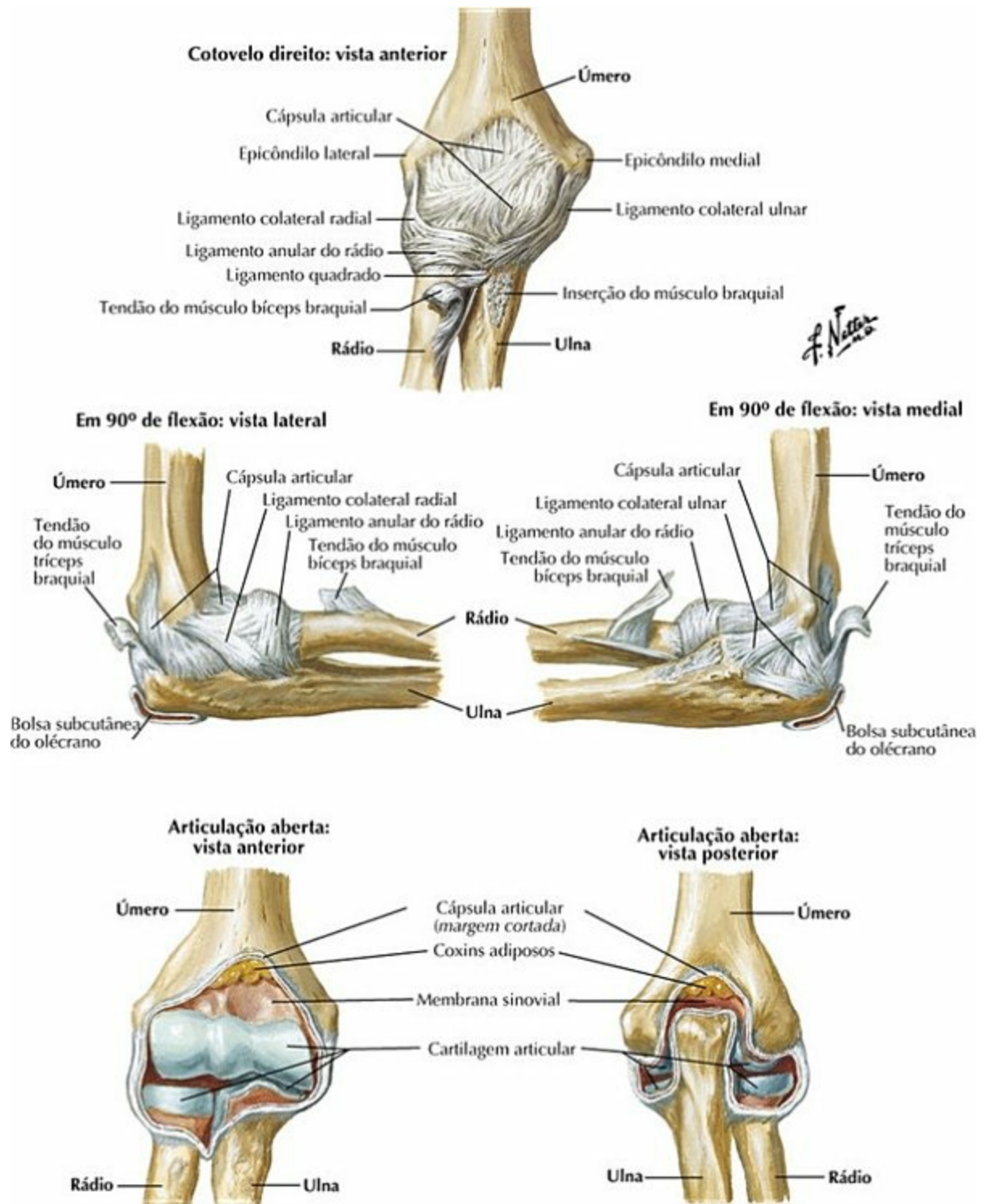
PRANCHA 422 Cotovelo e Antebraço
Veja também **Prancha 437**

Cotovelo: Radiografias



PRANCHA 423 Cotovelo e Antebraço

Ligamentos do Cotovelo

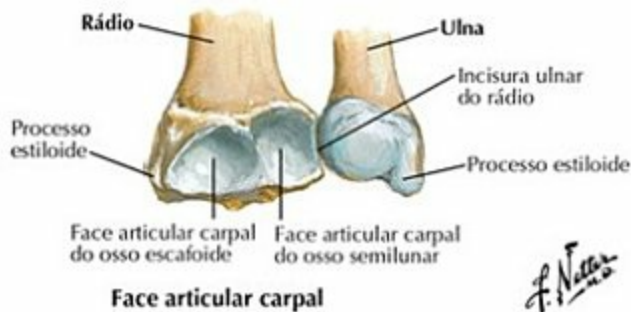
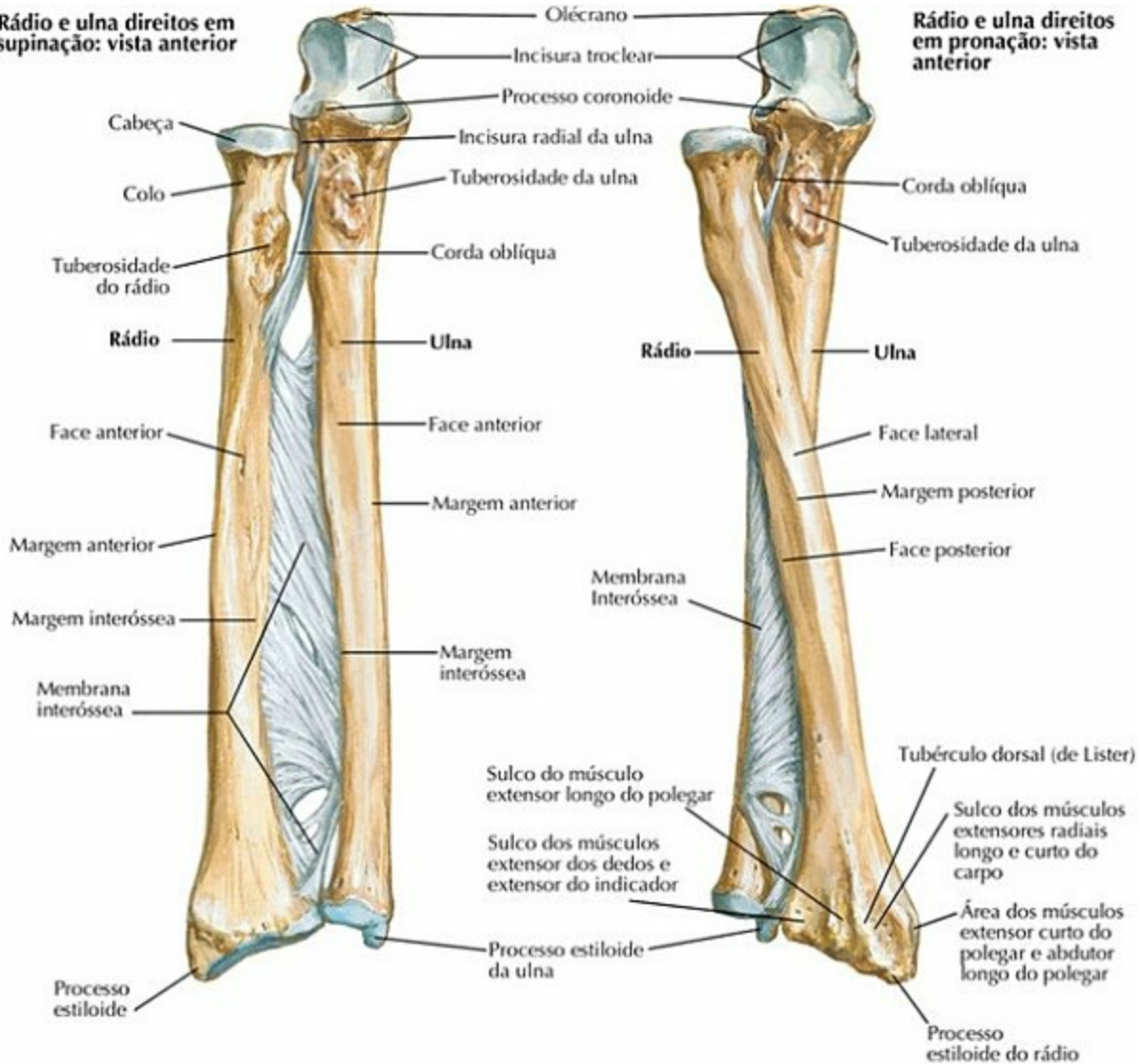


PRANCHA 424 Cotovelo e Antebraço

Ossos do Antebraço

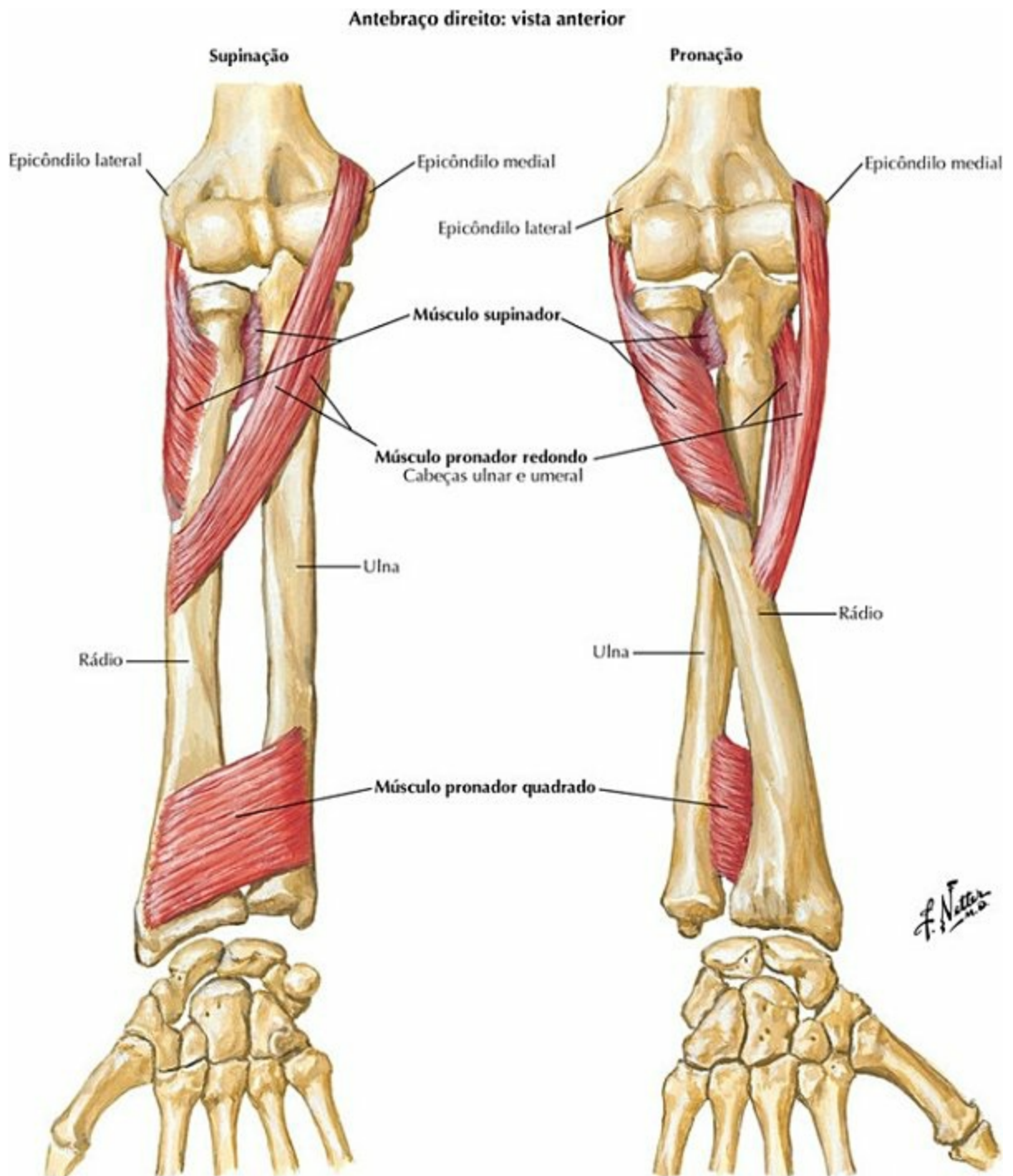
Rádio e ulna direitos em supinação: vista anterior

Rádio e ulna direitos em pronação: vista anterior



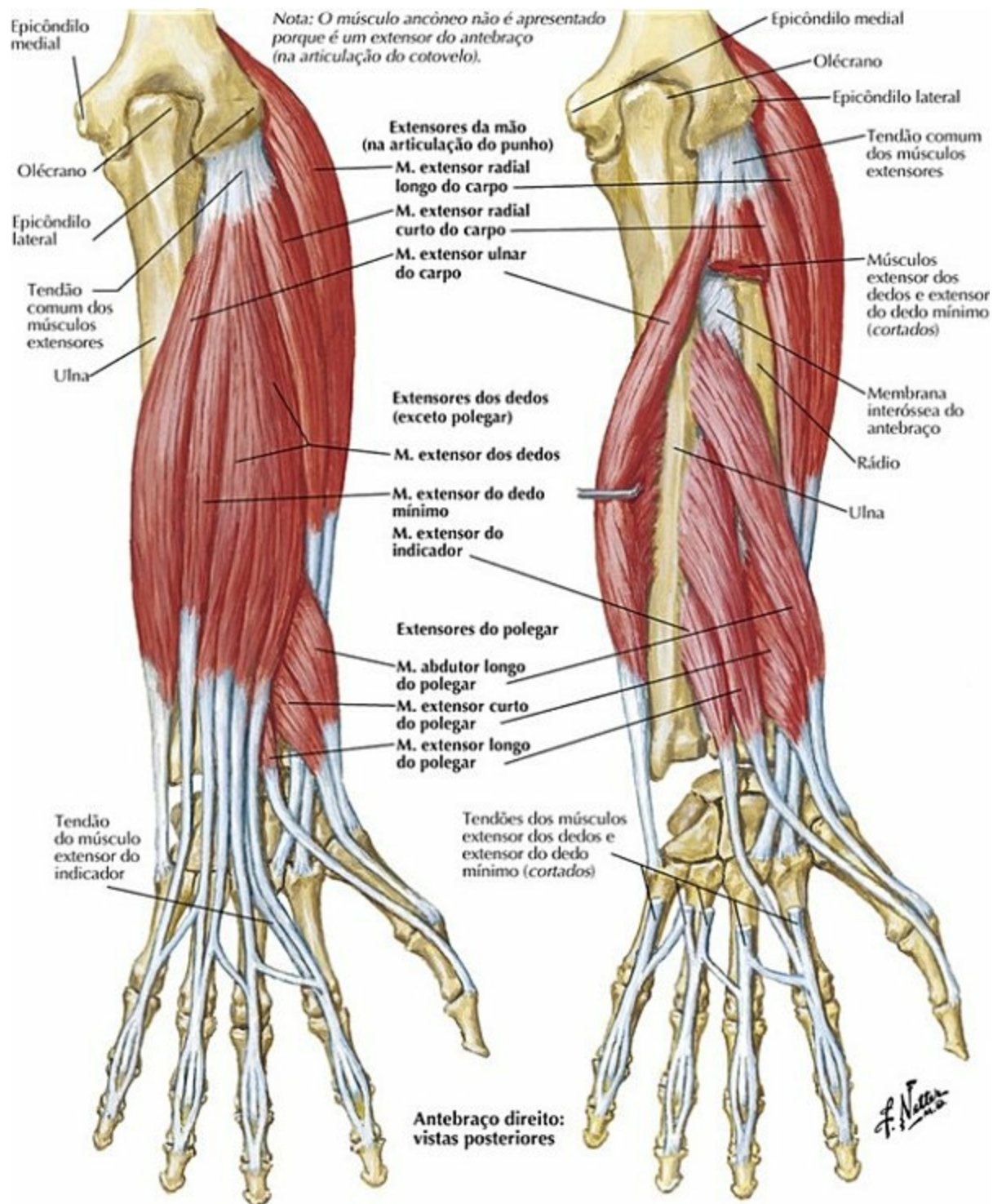
PRANCHA 425 Cotovelo e Antebraço
Veja também **Pranchas 439, 442**

Músculos Individuais do Antebraço: Rotadores do Rádio



PRANCHA 426 Cotovelo e Antebraço
Veja também **Prancha 434**

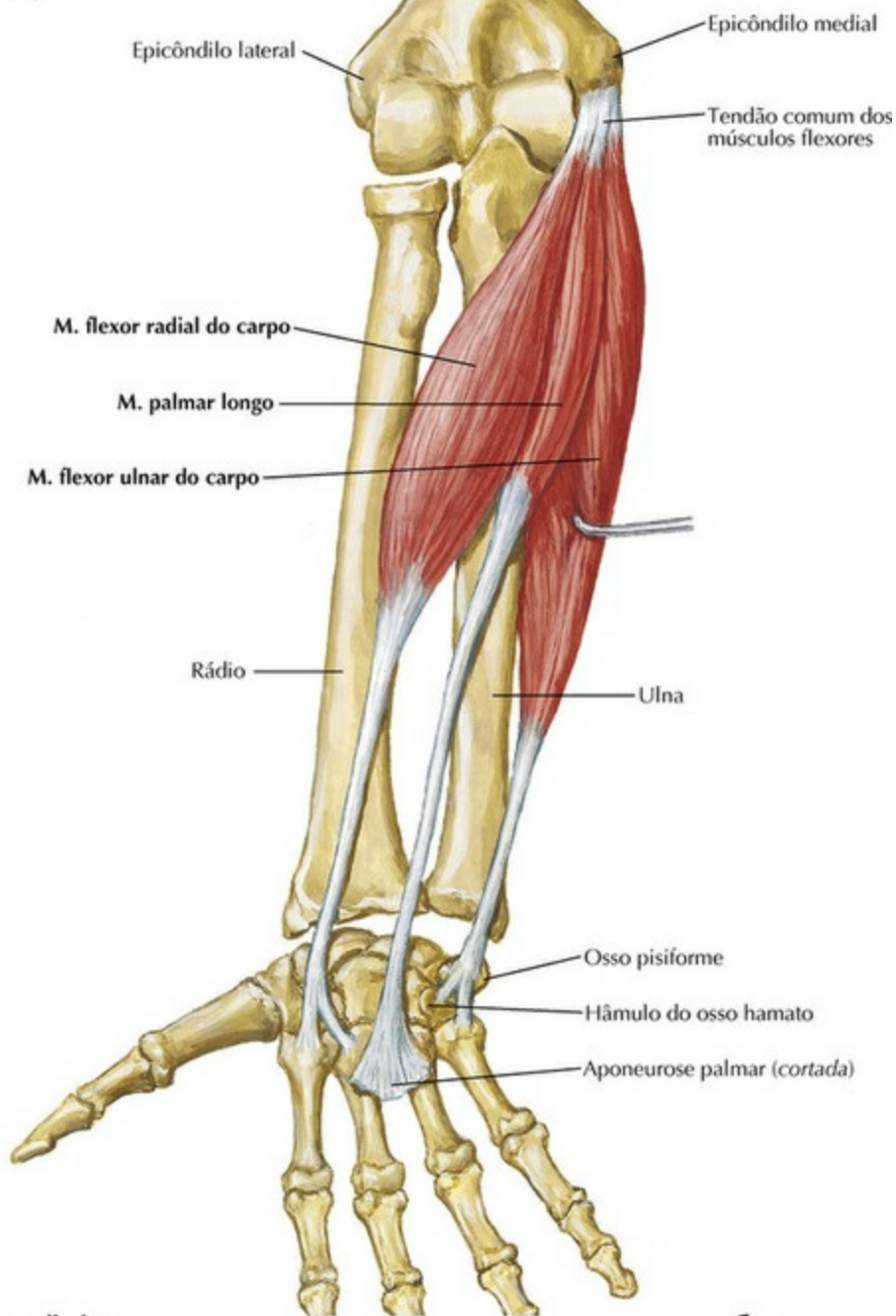
Músculos Individuais do Antebraço: Extensores da Mão e dos Dedos



PRANCHA 427 Cotovelo e Antebraço
Veja também **Prancha 438**

Músculos Individuais do Antebraço: Flexores da Mão

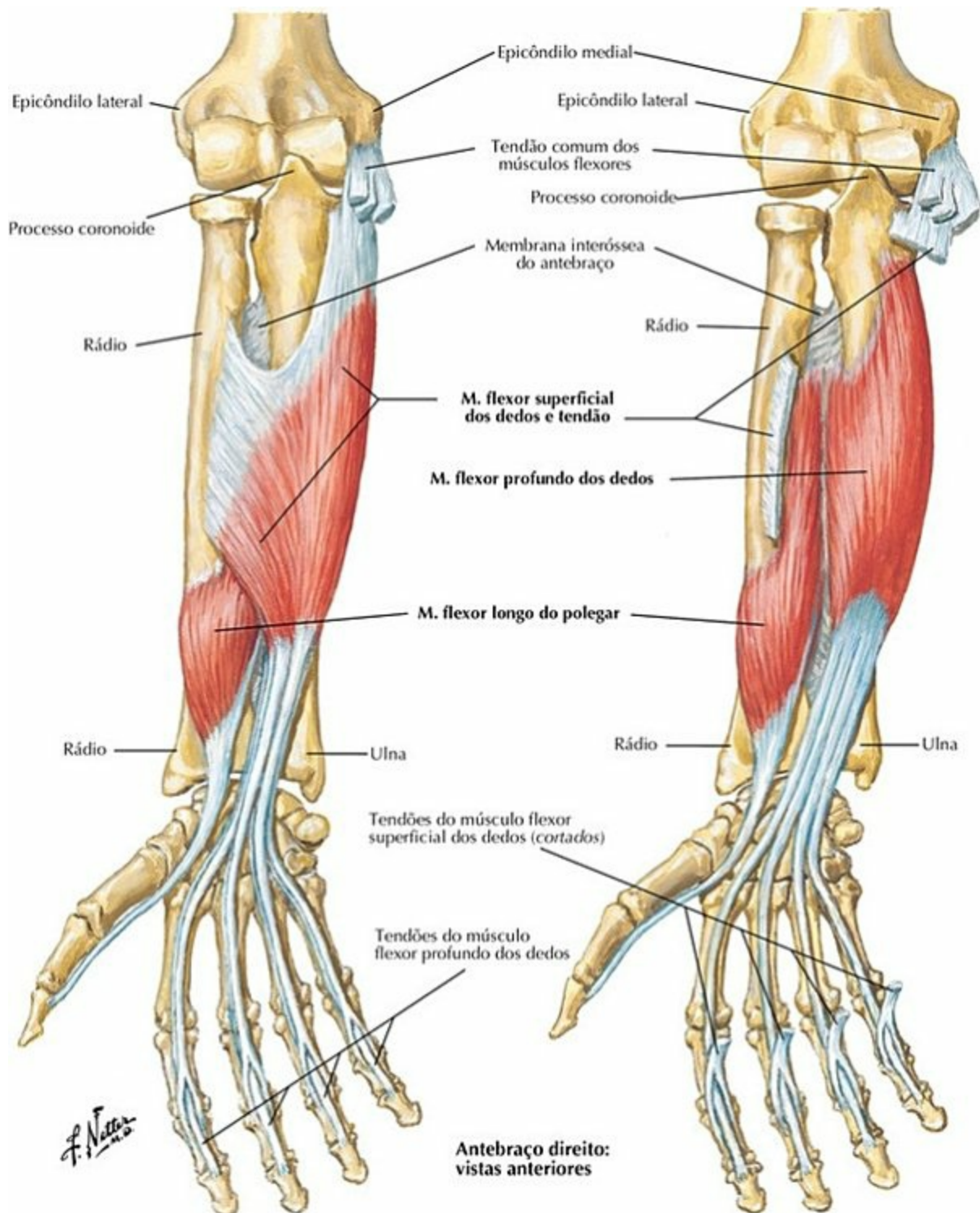
Nota: O músculo braquiorradial não é demonstrado porque é um flexor do antebraço (na articulação do cotovelo).



Antebraço direito:
vista anterior

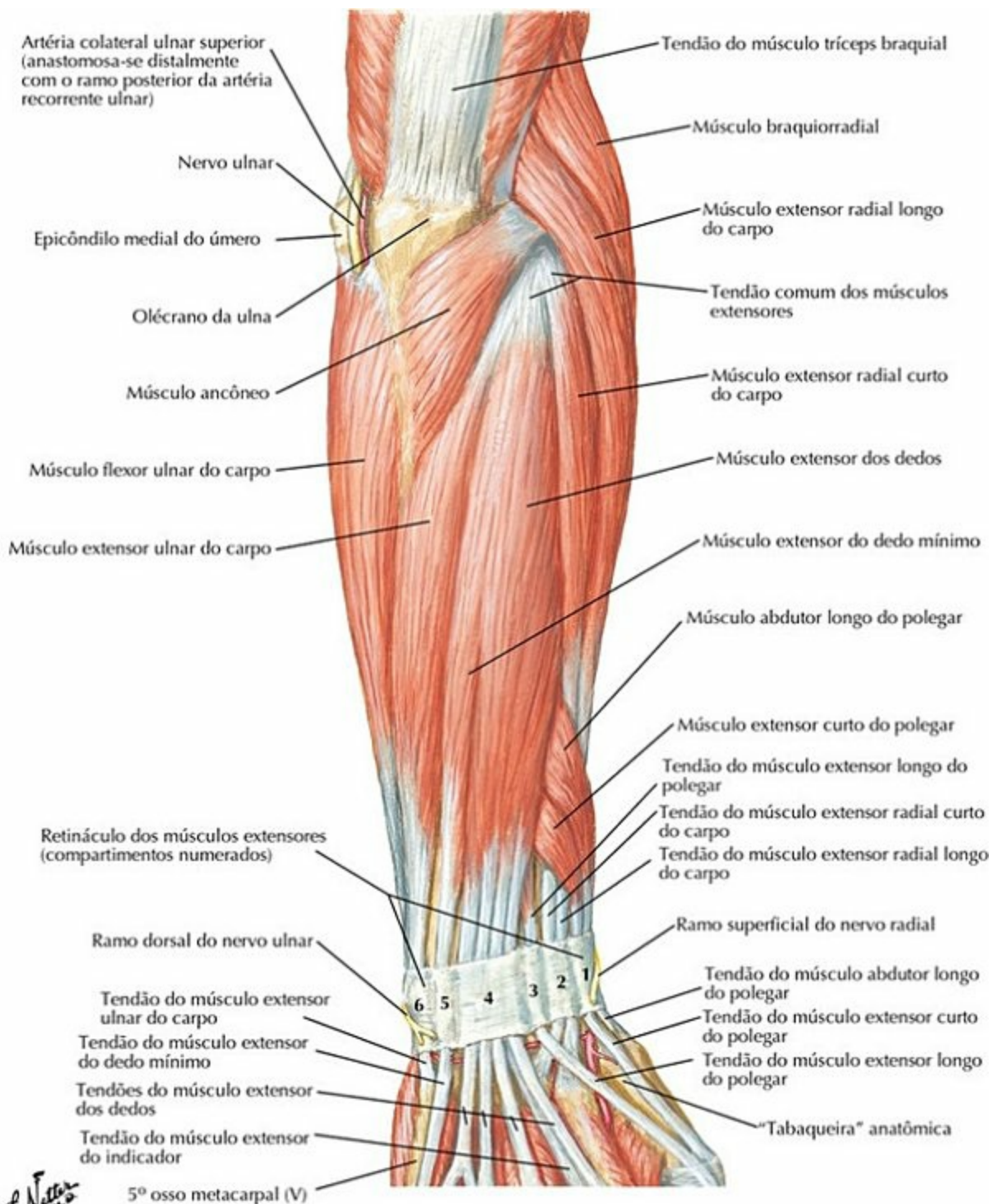
PRANCHA 428 Cotovelo e Antebraço

Músculos Individuais do Antebraço: Flexores dos Dedos



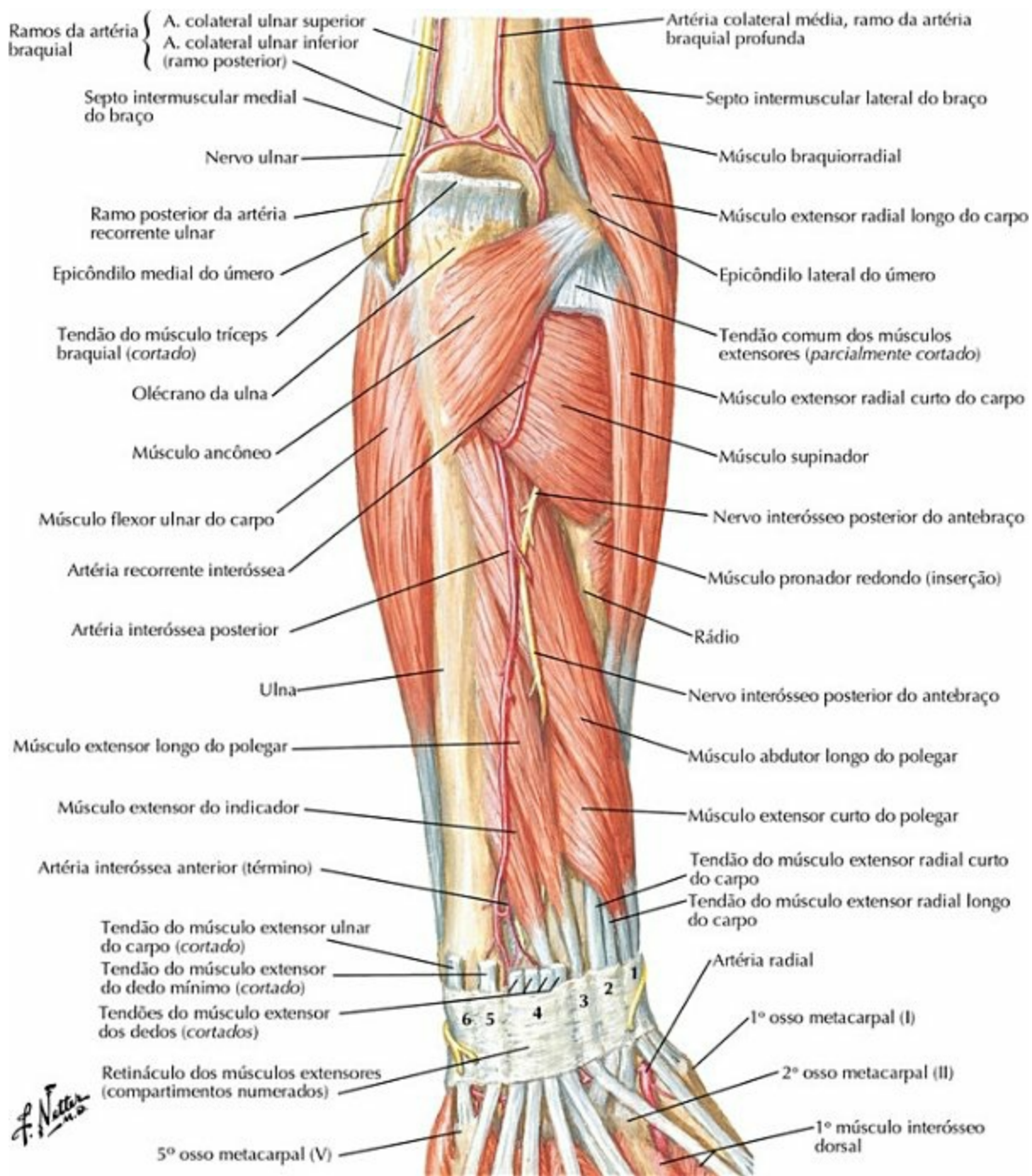
PRANCHA 429 Cotovelo e Antebraço

Músculos do Antebraço (Camada Superficial): Vista Posterior



PRANCHA 430 Cotovelo e Antebraço
Veja também **Pranchas 457, 466**

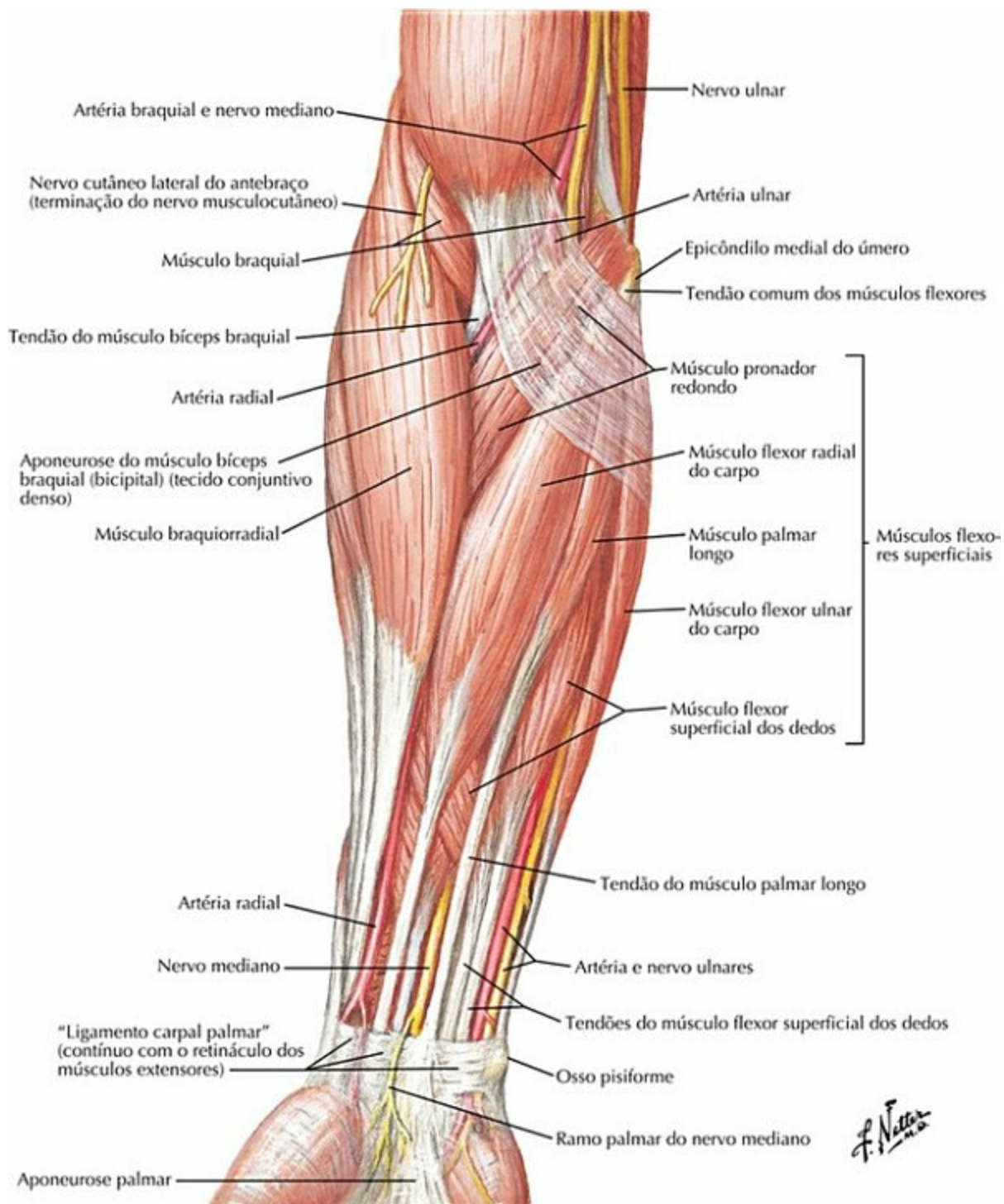
Músculos do Antebraço (Camada Profunda): Vista Posterior



PRANCHA 431 Cotovelo e Antebraço

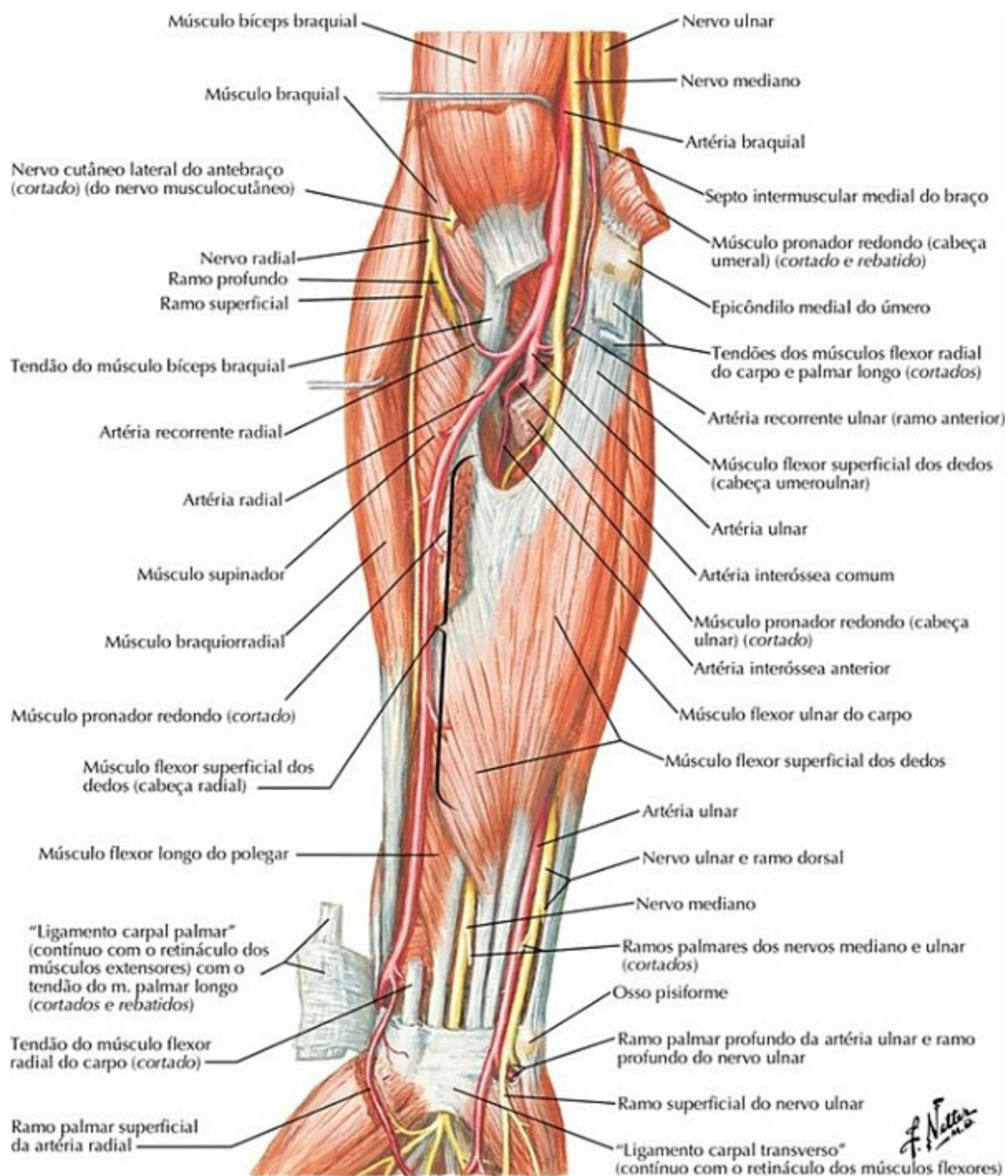
Veja também **Pranchas 402, 457**

Músculos do Antebraço (Camada Superficial): Vista Anterior



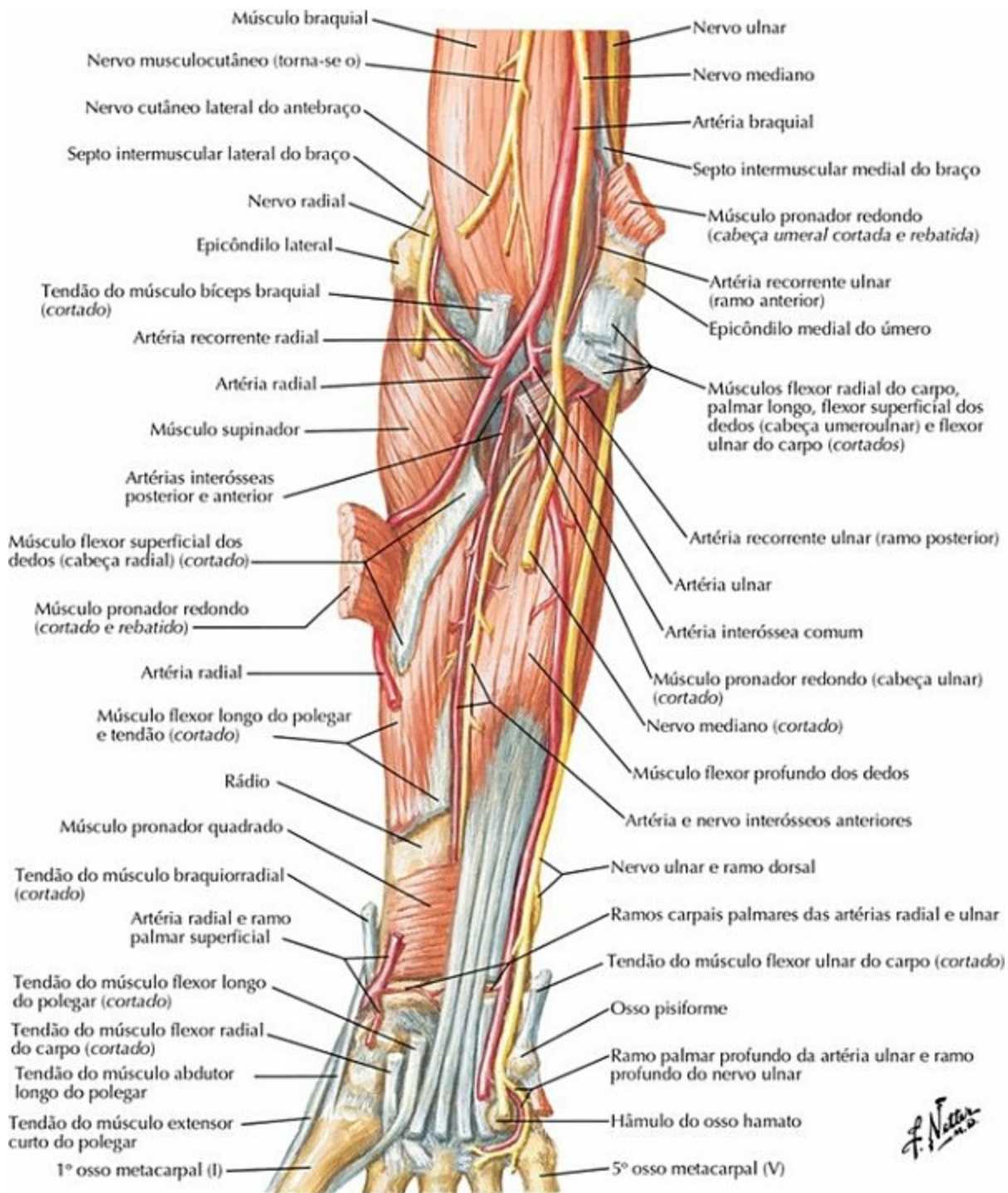
PRANCHA 432 Cotovelo e Antebraço
Veja também **Pranchas 463, 464**

Músculos do Antebraço (Camada Média): Vista Anterior



PRANCHA 433 Cotovelo e Antebraço
 Veja também **Pranchas 420, 463, 464**

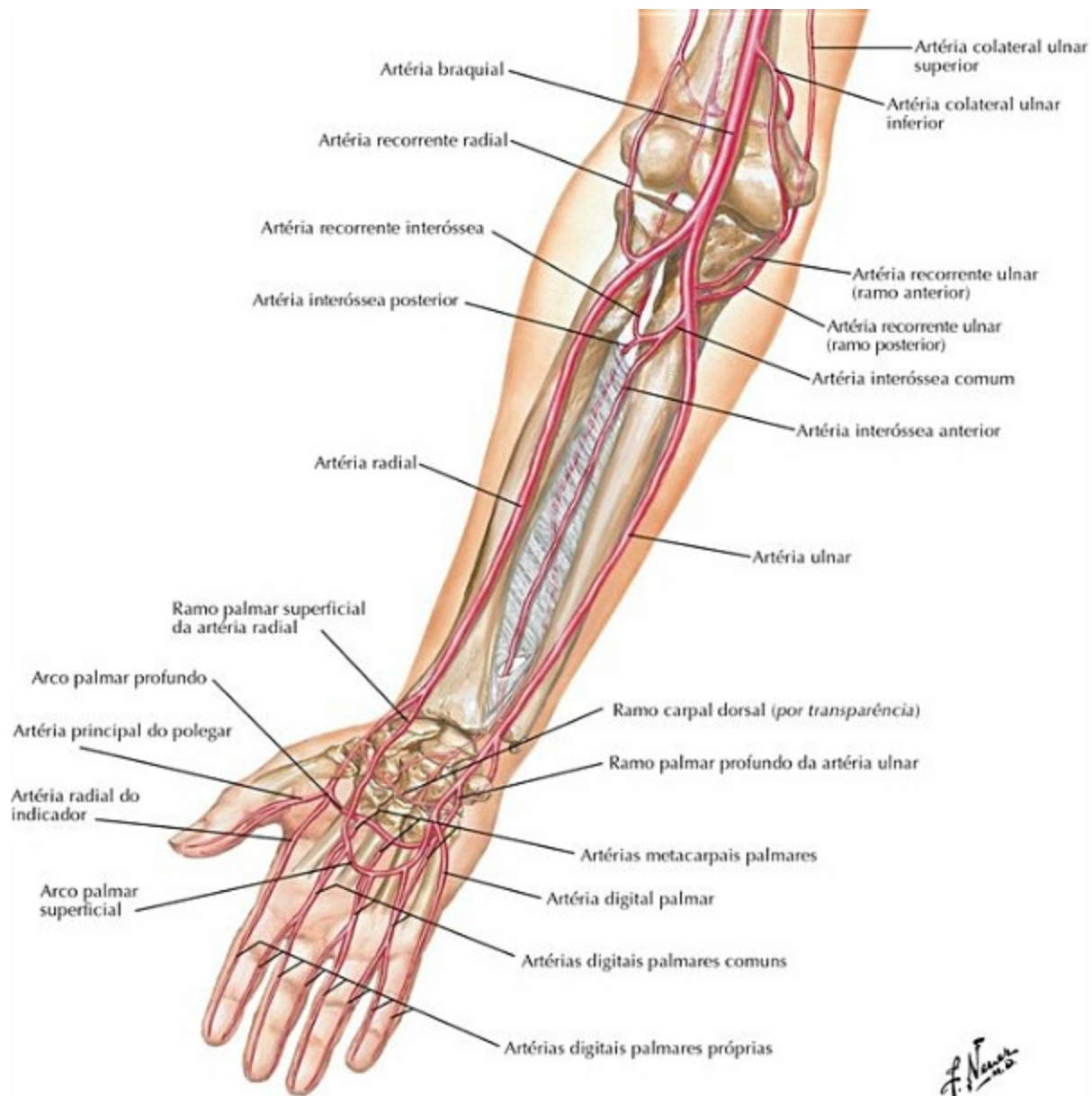
Músculos do Antebraço (Camada Profunda): Vista Anterior



PRANCHA 434 Cotovelo e Antebraço

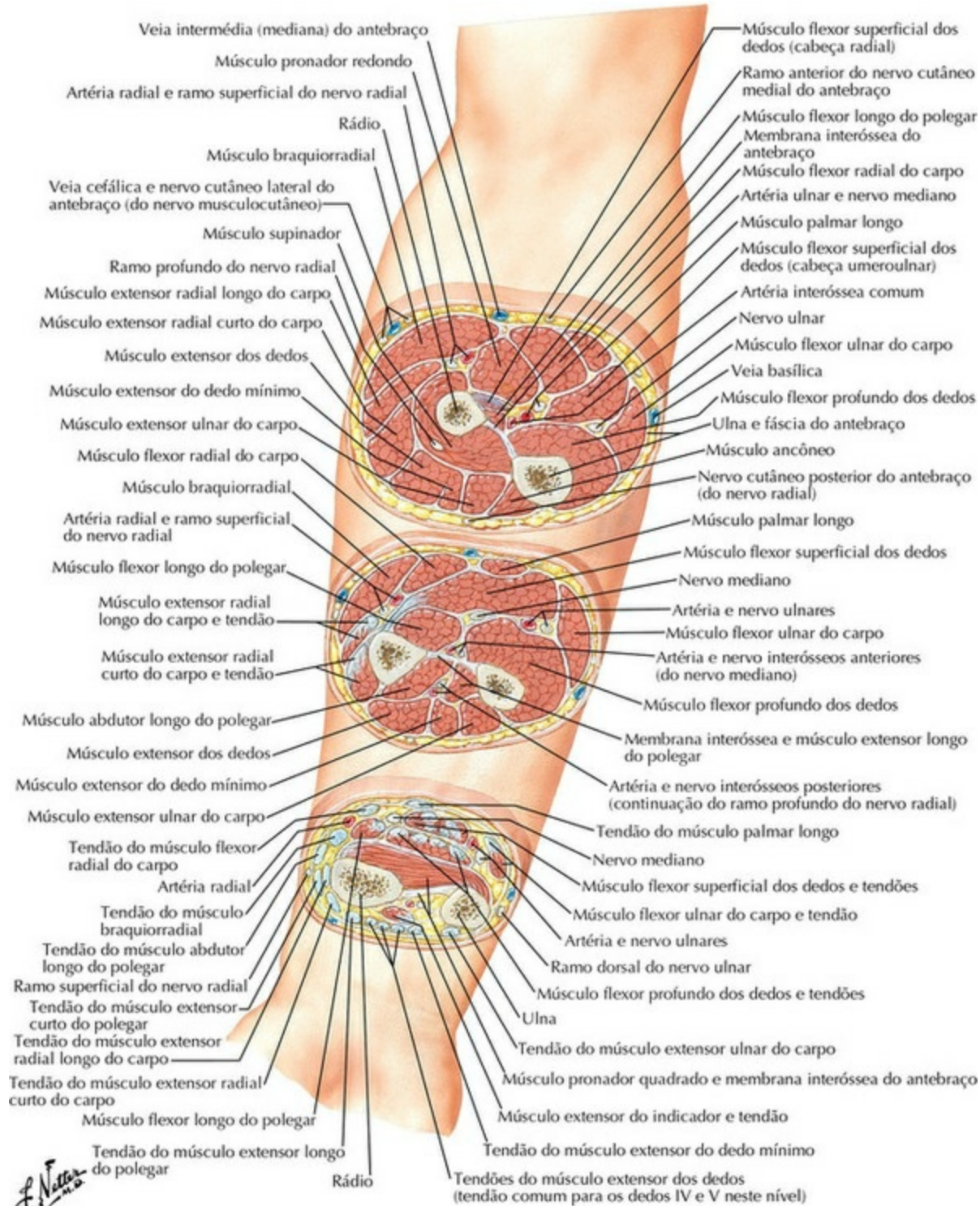
Veja também [Pranchas 426, 464](#)

Artérias do Antebraço e da Mão



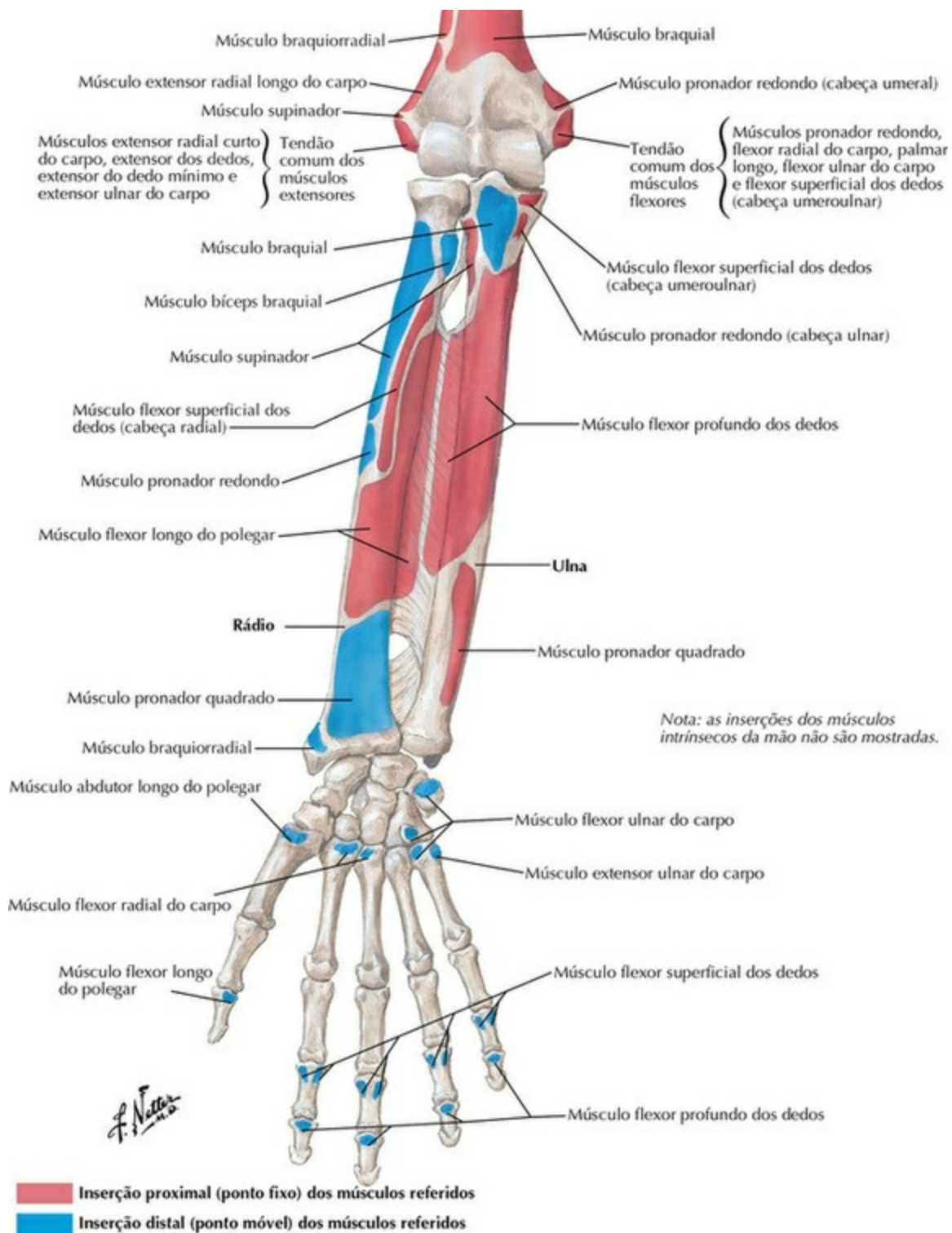
PRANCHA 435 Cotovelo e Antebraço

Antebraço: Cortes Transversais Seriados, Vista Anterior



PRANCHA 436 Cotovelo e Antebraço

Inserções dos Músculos do Antebraço: Vista Anterior

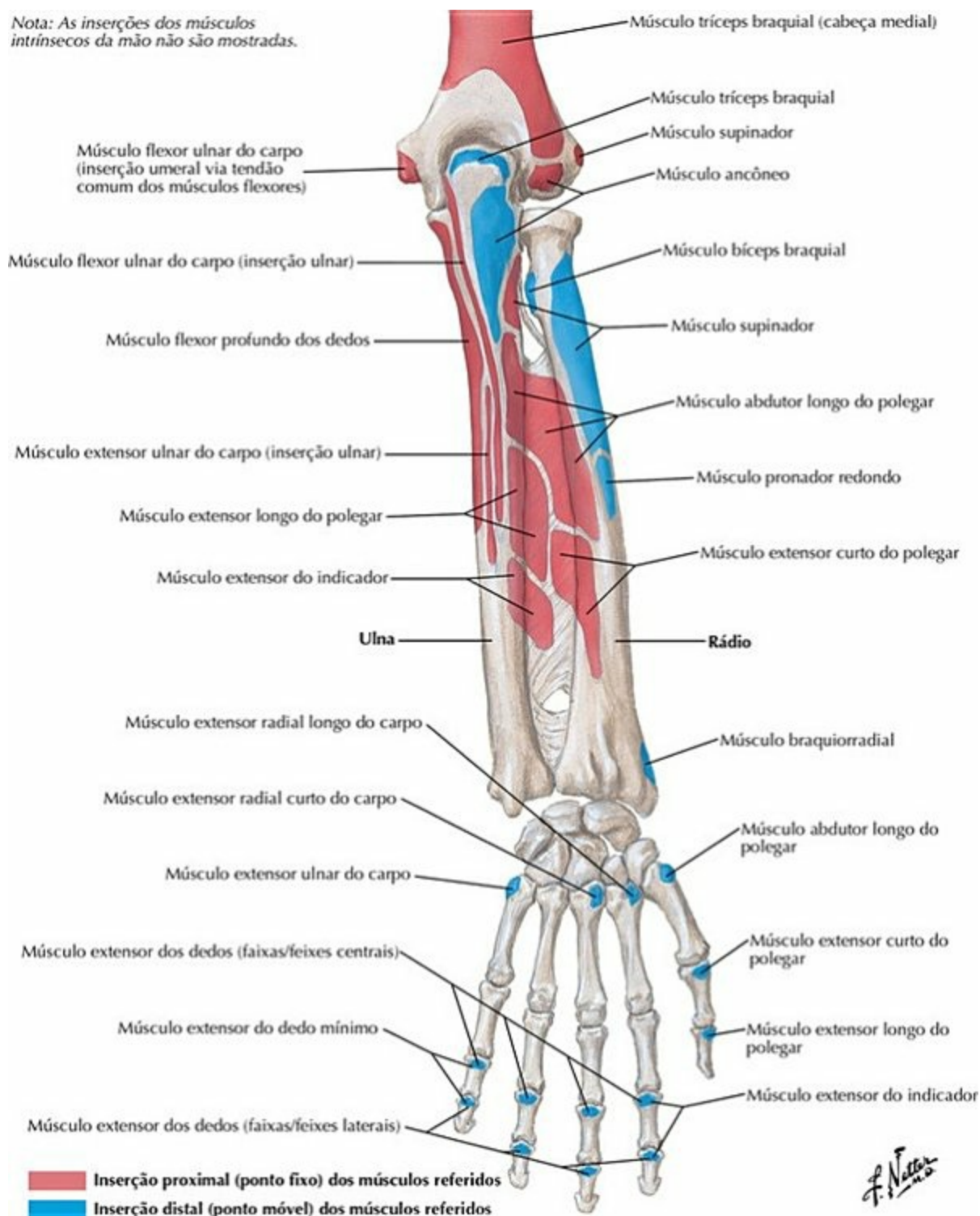


PRANCHA 437 Cotovelo e Antebraço

Veja também [Prancha 422](#)

Inserções dos Músculos do Antebraço: Vista Posterior

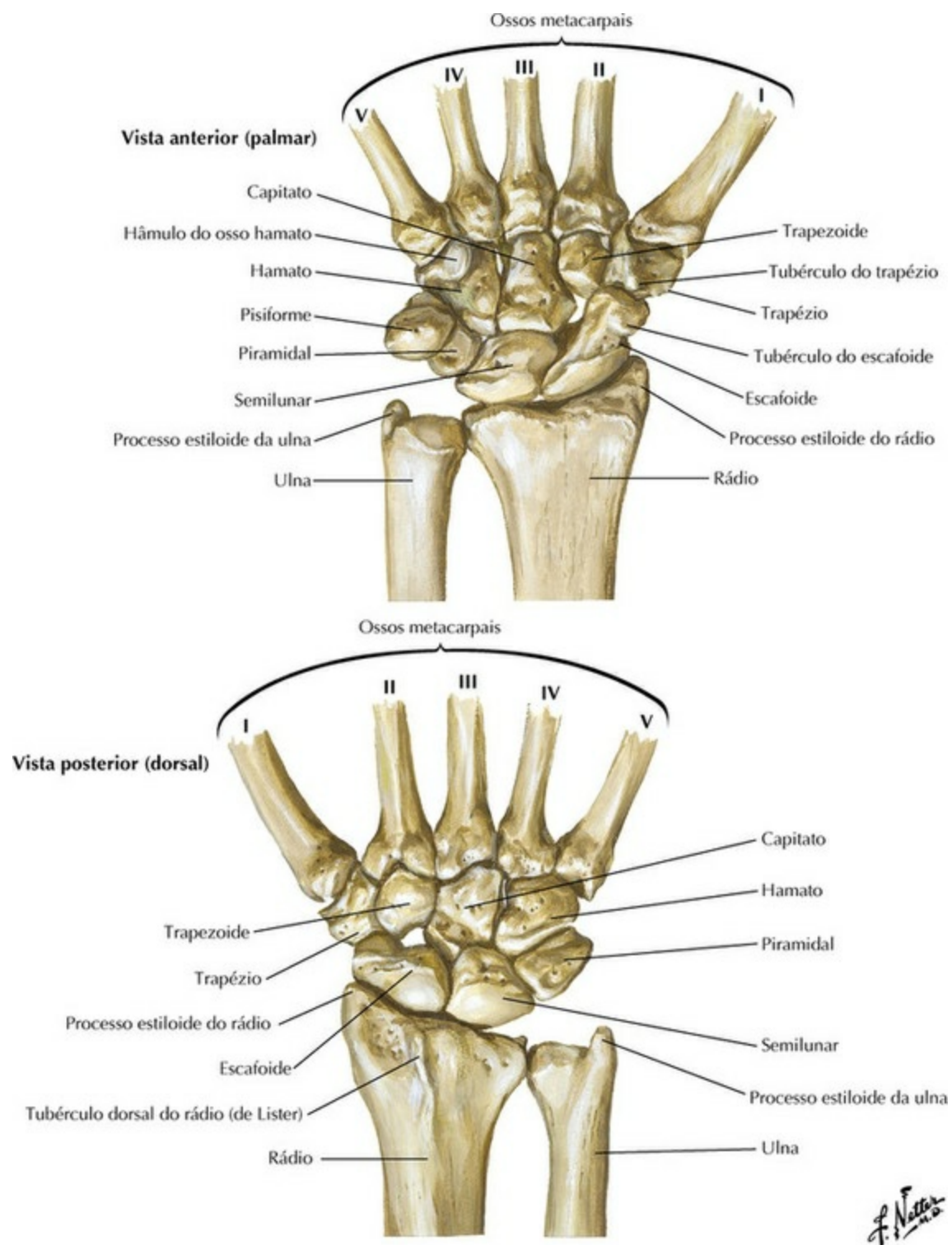
Nota: As inserções dos músculos intrínsecos da mão não são mostradas.



PRANCHA 438 Cotovelo e Antebraço

Veja também **Prancha 427**

Ossos Carpais



PRANCHA 439 Punho e Mão
Veja também **Prancha 425**

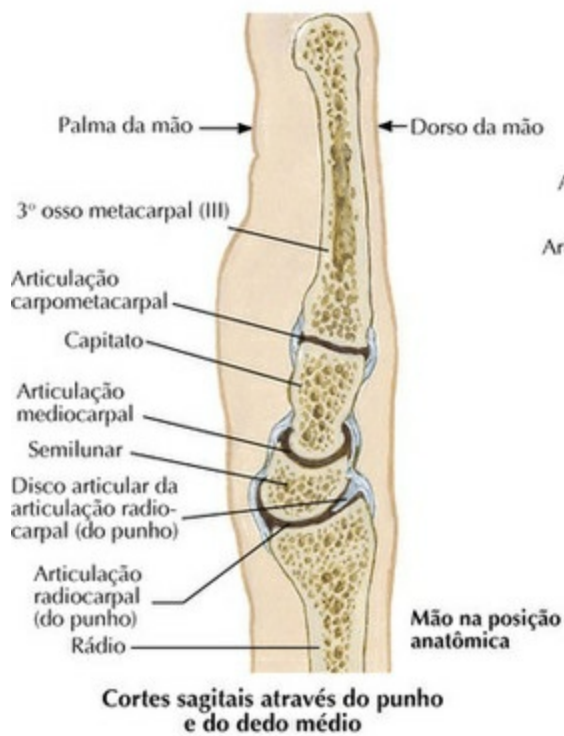
Movimentos no Punho



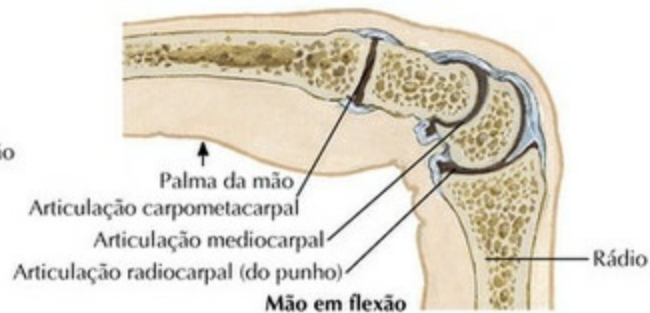
Posição dos ossos carpais com a mão em abdução: vista anterior (palmar)



Posição dos ossos carpais com a mão em adução: vista anterior (palmar)

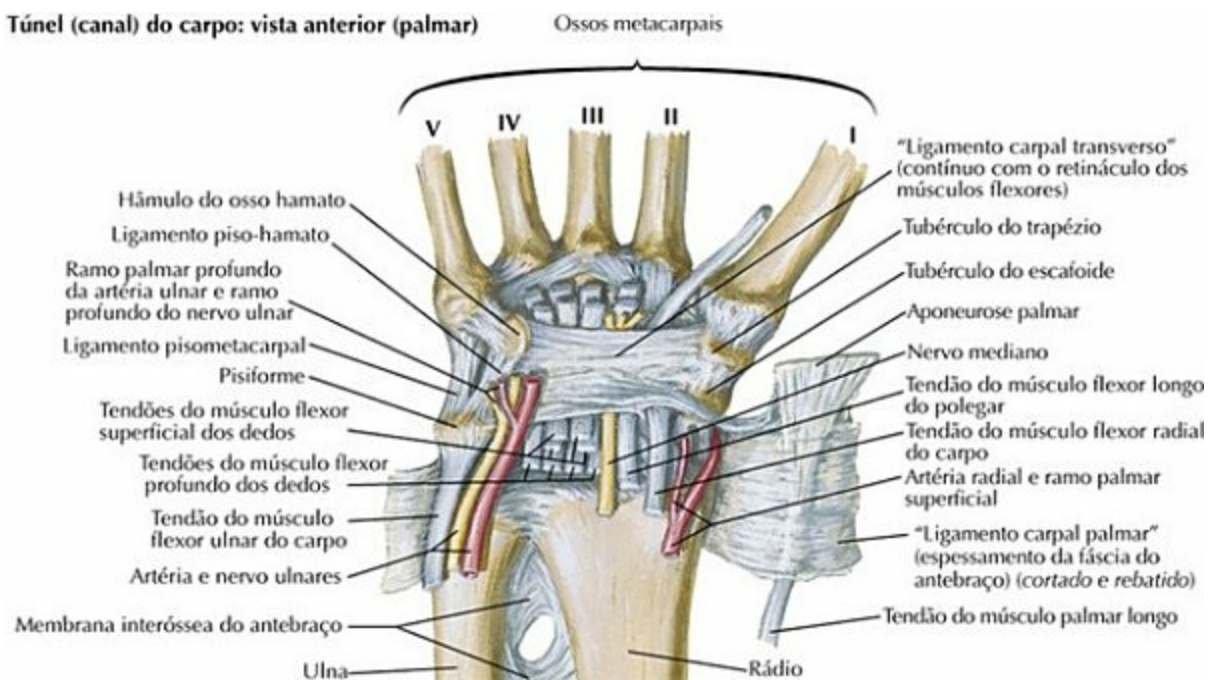


PRANCHA 440 Punho e Mão

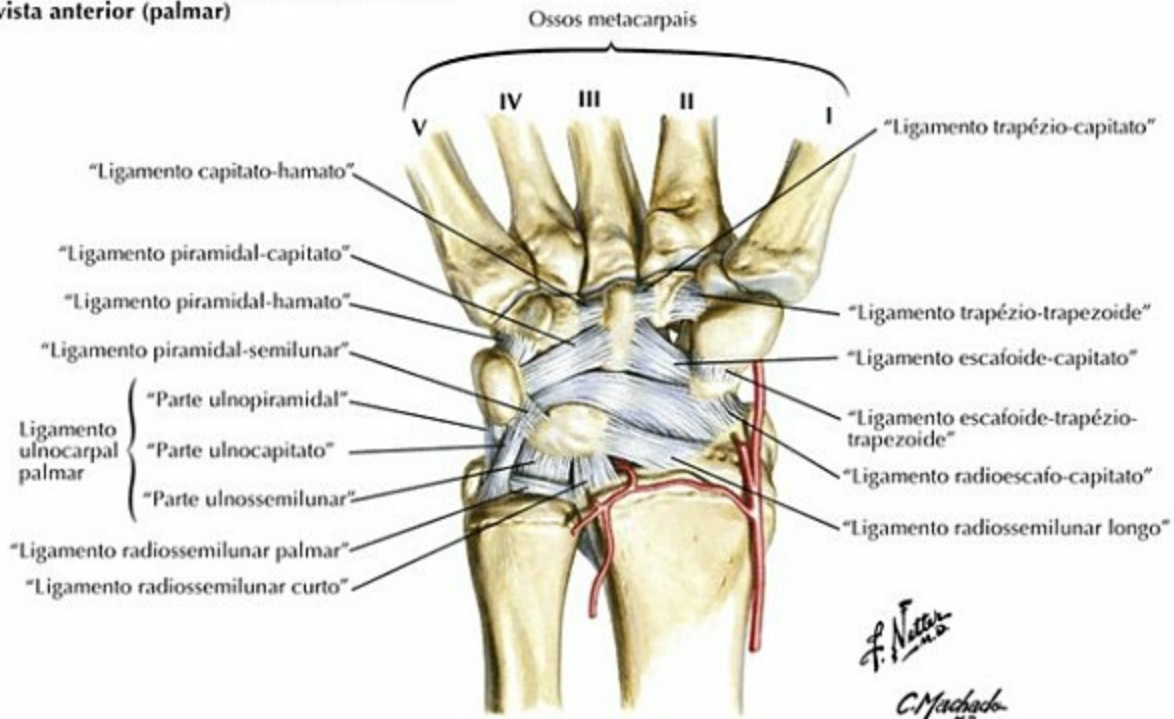


Ligamentos do Punho

Túnel (canal) do carpo: vista anterior (palmar)



Retináculo dos músculos flexores removido: vista anterior (palmar)



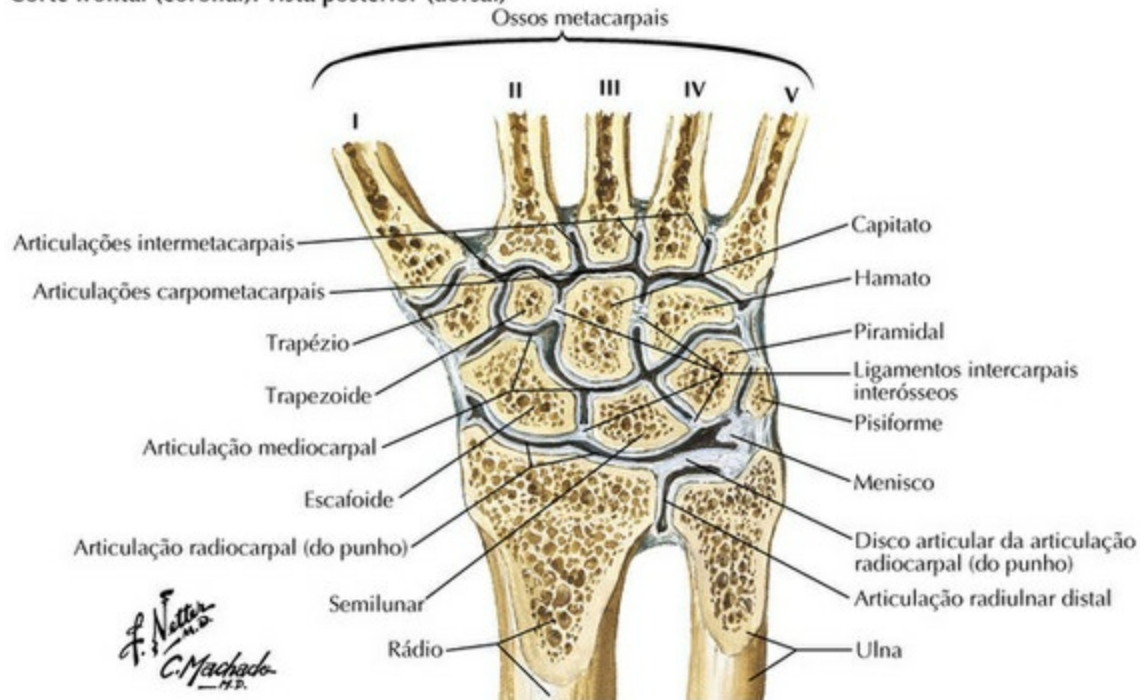
PRANCHA 441 Punho e Mão

Ligamentos do Punho (continuação)

Vista posterior (dorsal)



Corte frontal (coronal): vista posterior (dorsal)



PRANCHA 442 Punho e Mão

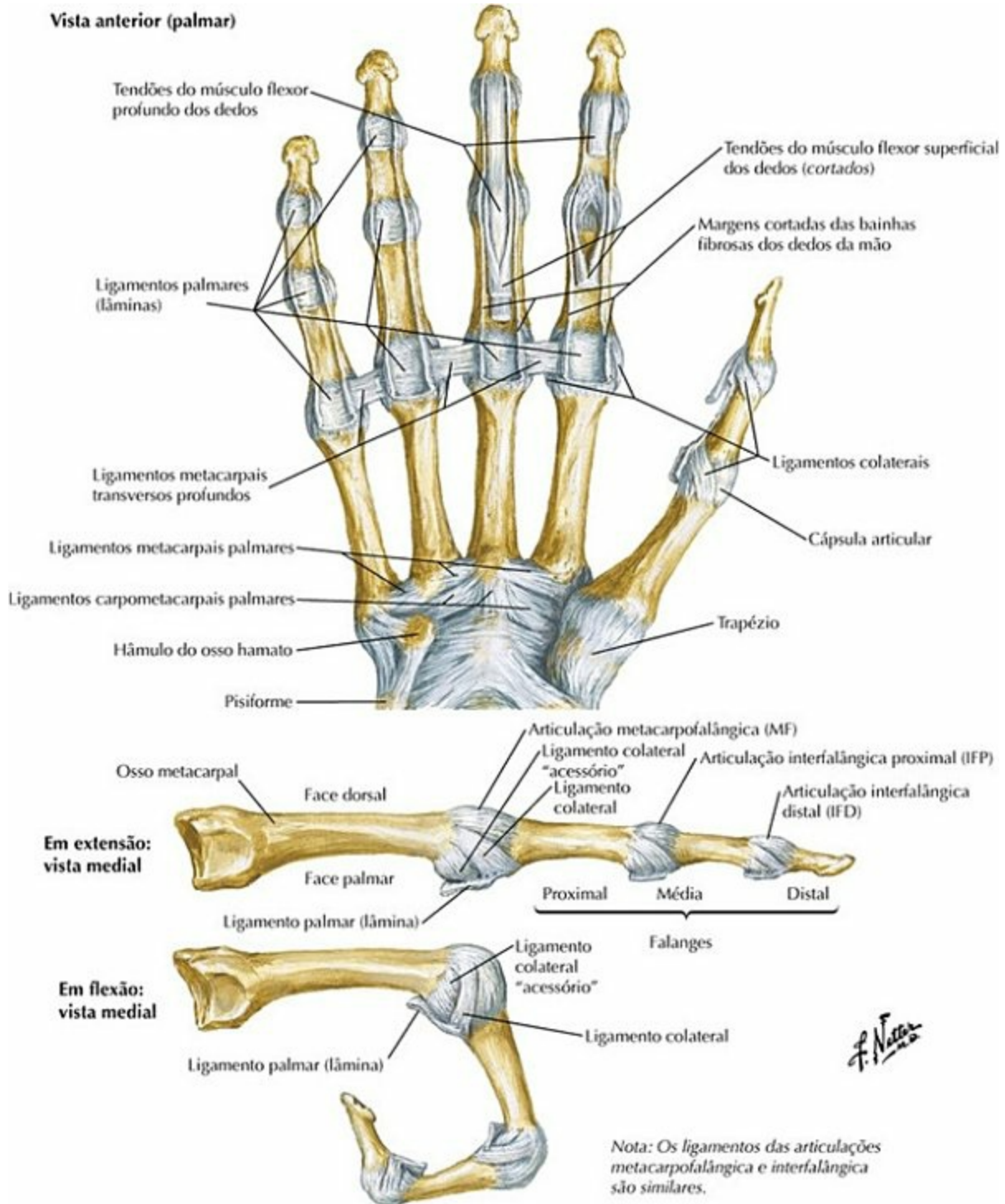
Veja também **Prancha 425**

Ossos da Mão



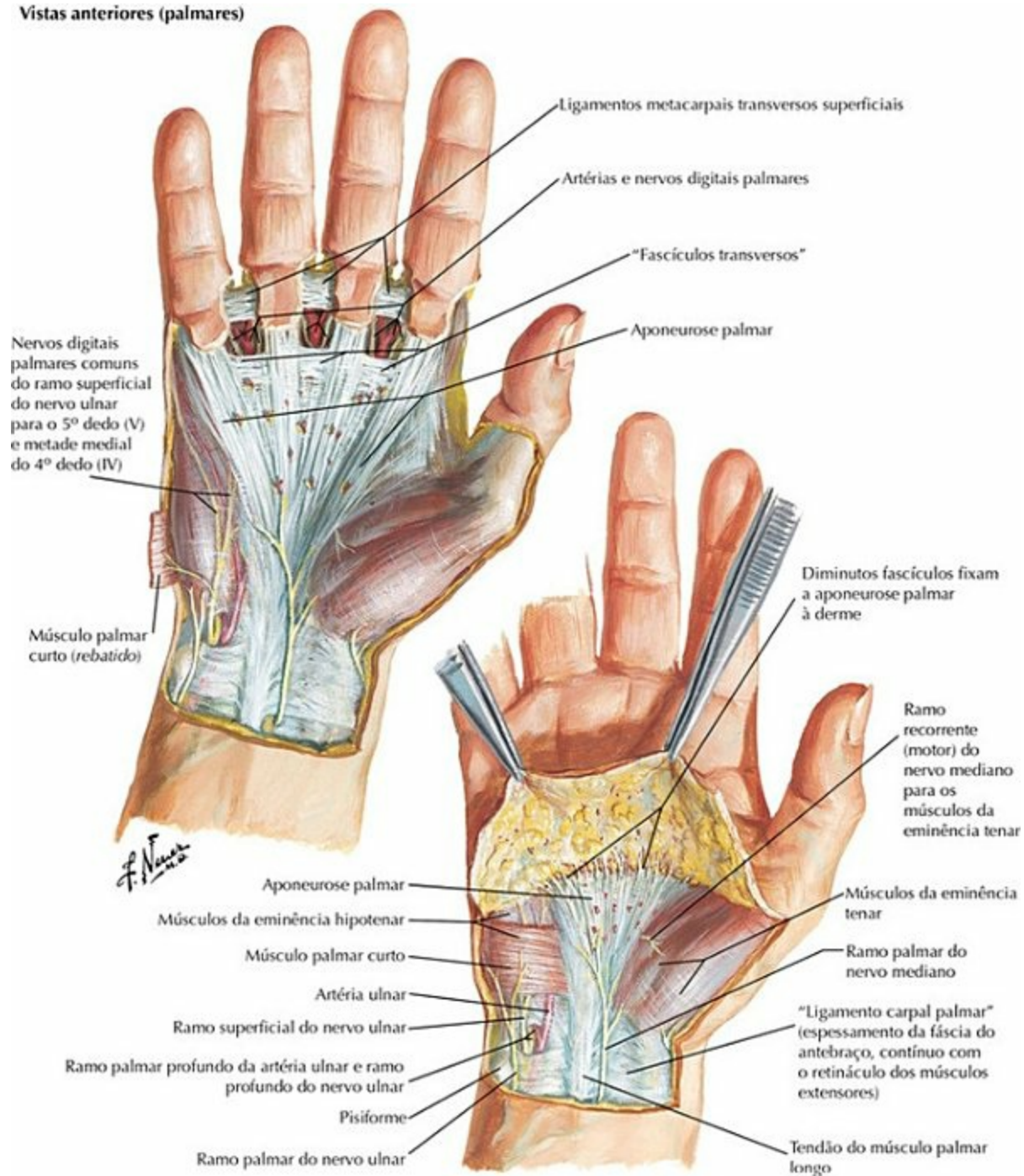
PRANCHA 444 Punho e Mão
 Veja também **Prancha 456**

Ligamentos Metacarpofalângicos e Interfalângicos



PRANCHA 445 Punho e Mão
Veja também **Pranchas 448, 451**

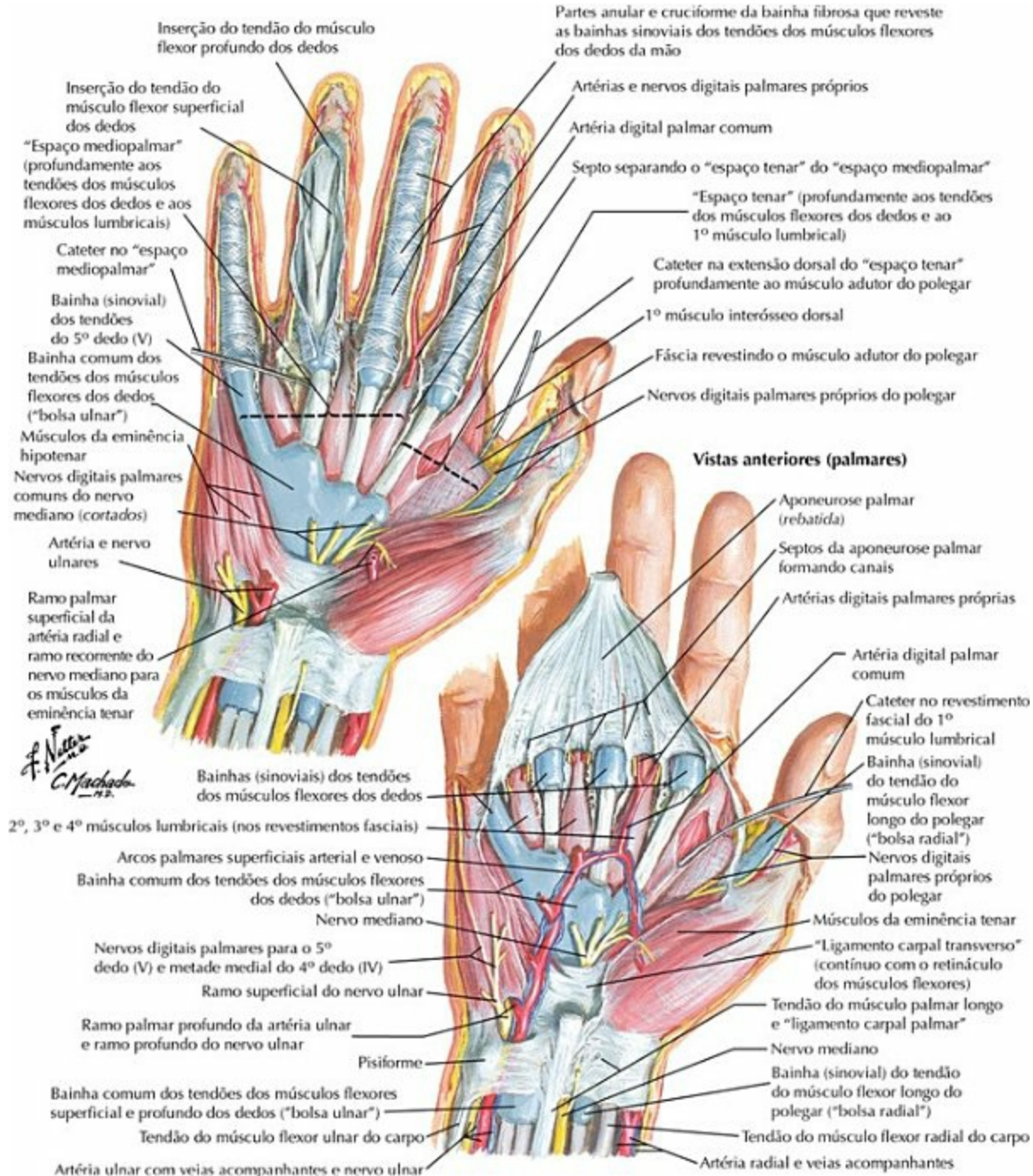
Punho e Mão: Dissecações Superficiais da Palma da Mão



PRANCHA 446 Punho e Mão

Veja também **Prancha 459**

Punho e Mão: Dissecações Profundas da Palma da Mão



PRANCHA 447 Punho e Mão

Músculos Lumbricais e Bolsas, Espaços e Bainhas: Esquema

Variação comum

"Bolsa intermédia"
(comunicação entre a bainha comum dos tendões dos músculos flexores dos dedos ["bolsa ulnar"] e a bainha do tendão do músculo flexor longo do polegar ["bolsa radial"])



Organização habitual

Bainhas sinoviais dos tendões dos músculos flexores dos dedos da mão

Músculos lumbricais (nos revestimentos fasciais)

"Espaço mediopalmar"

"Espaço tenar"

Bainha comum dos tendões dos músculos flexores dos dedos ("bolsa ulnar")

Bainha do tendão do músculo flexor longo do polegar ("bolsa radial")



Músculos lumbricais: esquema

Tendões do músculo flexor superficial dos dedos (cortados)

Quiasma tendíneo (de Camper)

Tendões dos músculos lumbricais se inserem distalmente no sistema da "expansão extensora"

3º e 4º músculos lumbricais (peniformes ou bipeniformes)

Inserções proximais dos músculos lumbricais nos tendões do músculo flexor profundo dos dedos

1º e 2º músculos lumbricais (semipeniformes ou unipeniformes)

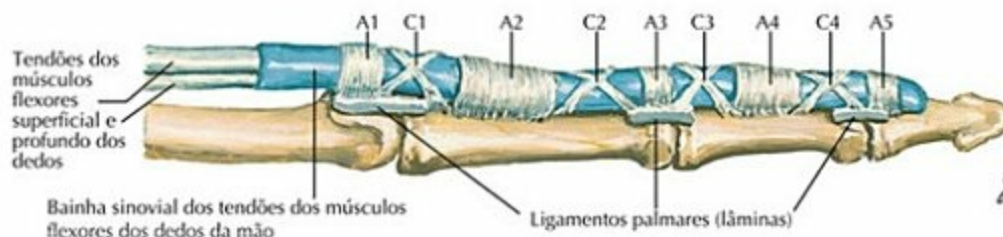
Nota: Os tendões dos músculos flexores superficial e profundo dos dedos estão envolvidos por bainhas sinoviais fixadas às falanges por meio de bainhas fibrosas dos dedos da mão, formadas alternadamente por fortes partes anulares (A) e frágeis partes cruciformes (C) (como roldanas).

Tendões do músculo flexor profundo dos dedos

Tendões dos músculos flexores superficial e profundo dos dedos

Bainha sinovial dos tendões dos músculos flexores dos dedos da mão

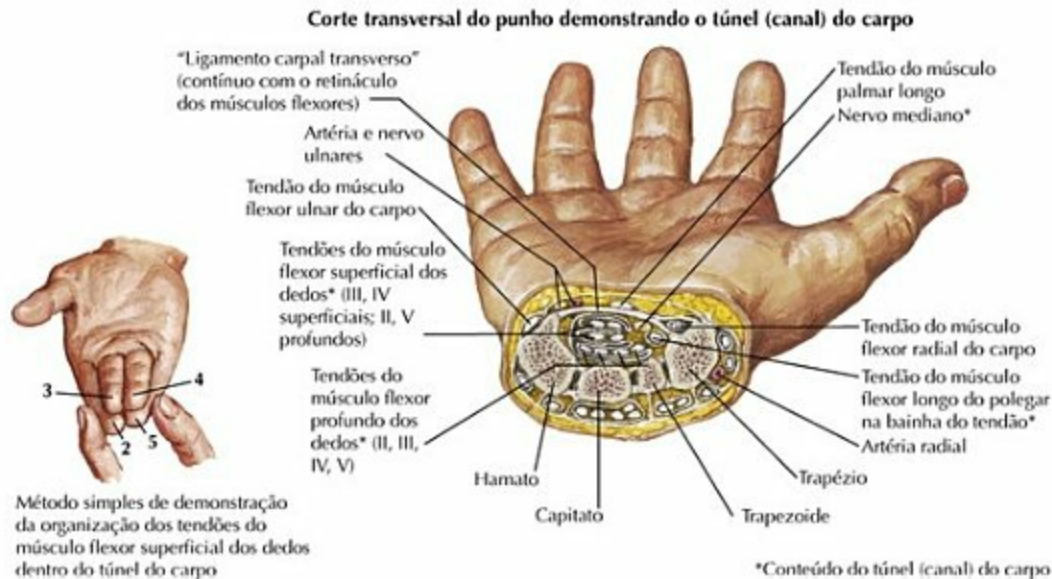
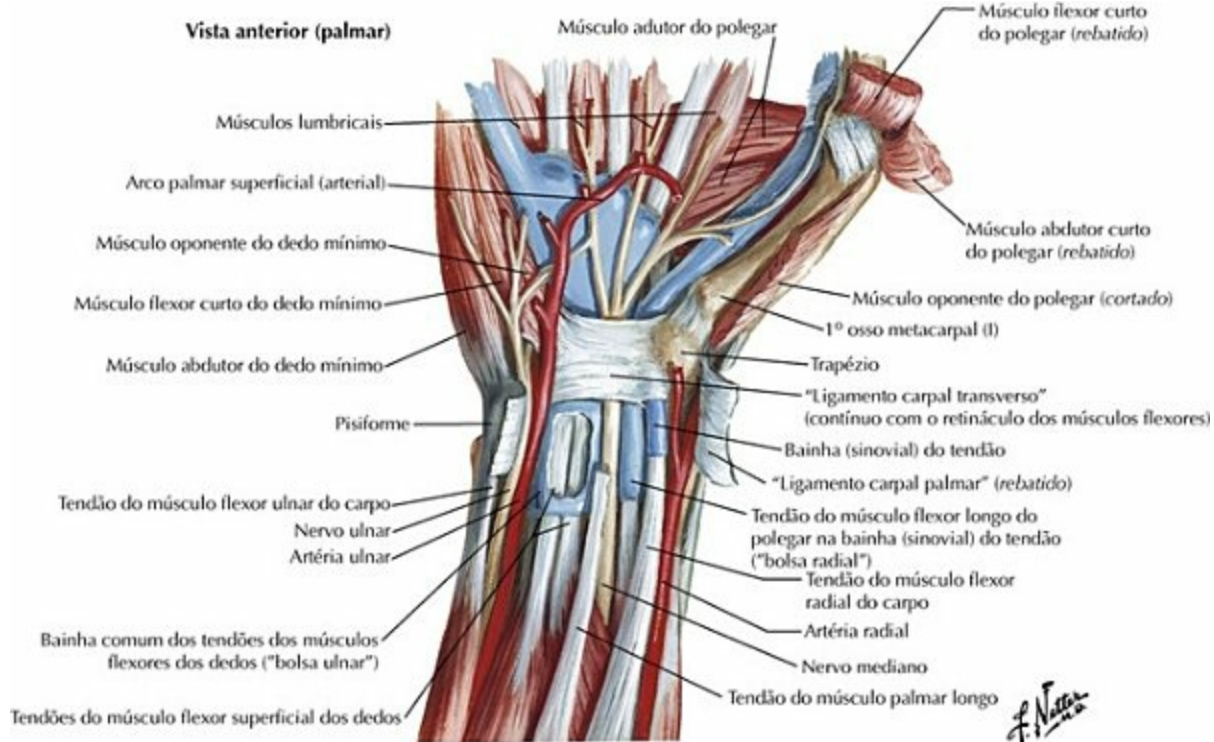
Ligamentos palmares (lâminas)



PRANCHA 448 Punho e Mão

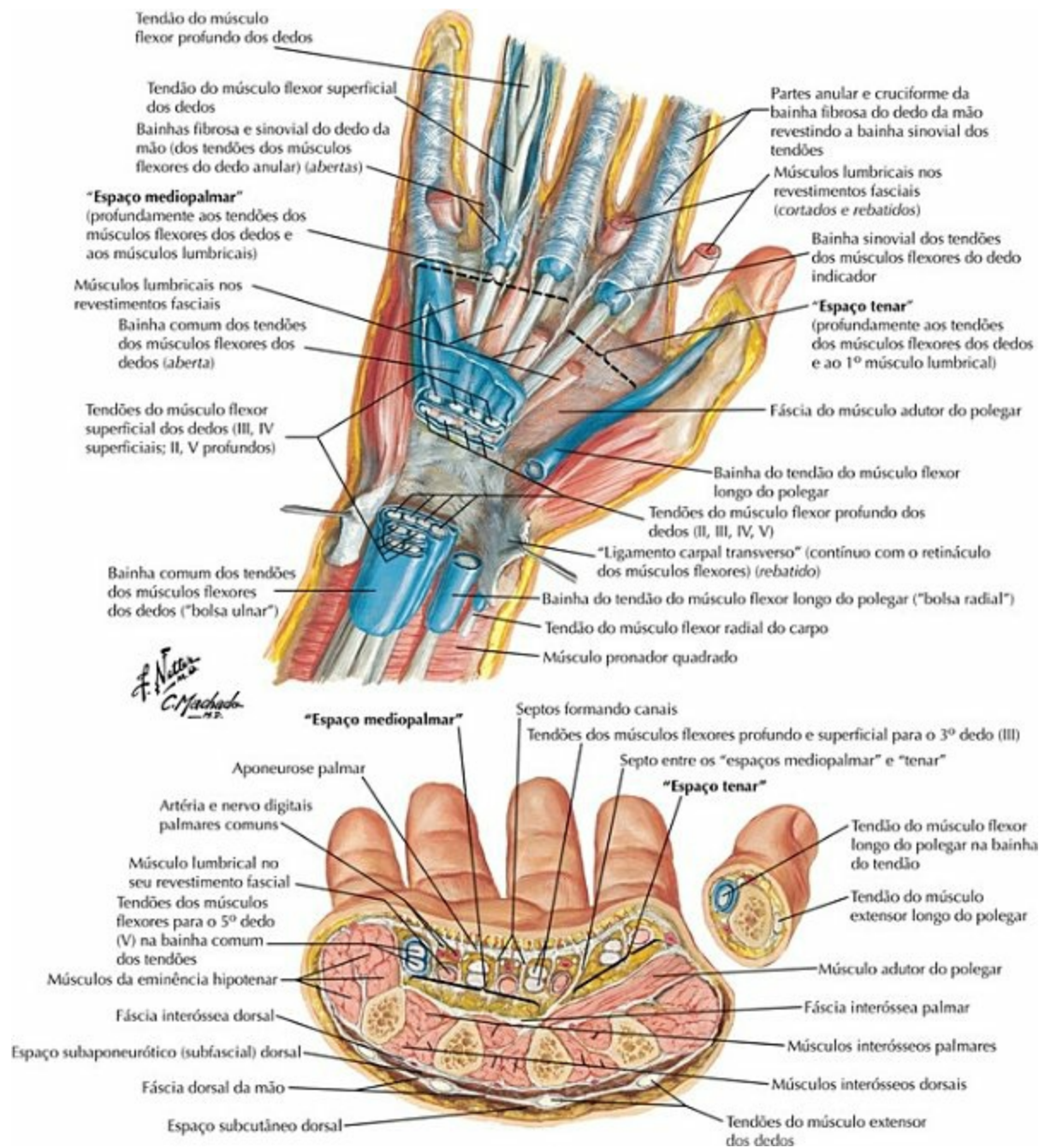
Veja também **Prancha 445**

Tendões dos Músculos Flexores, Artérias e Nervos no Punho e na Mão



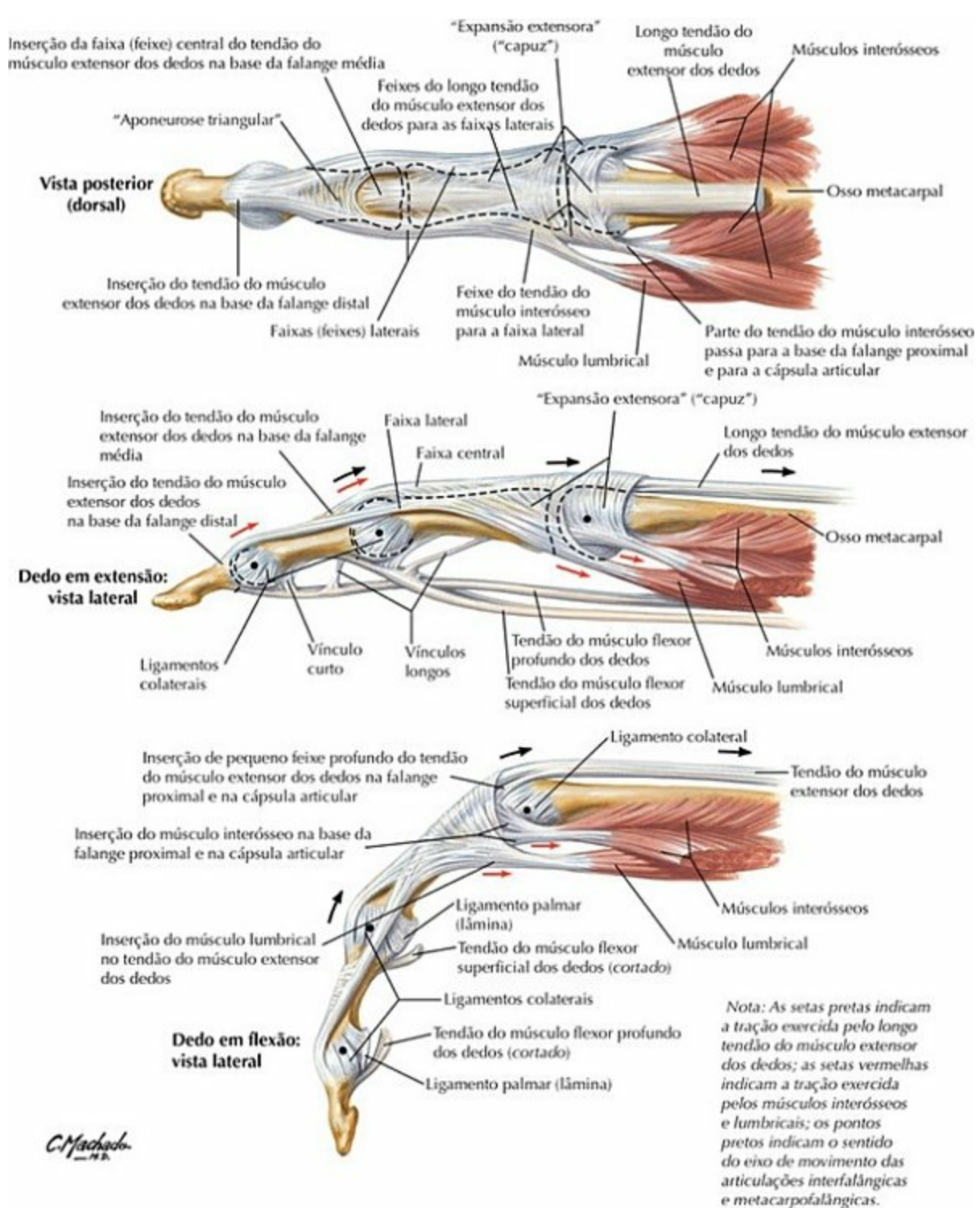
PRANCHA 449 Punho e Mão
 Veja também **Pranchas 459, 460**

Bolsas, Espaços e Bainhas dos Tendões na Mão



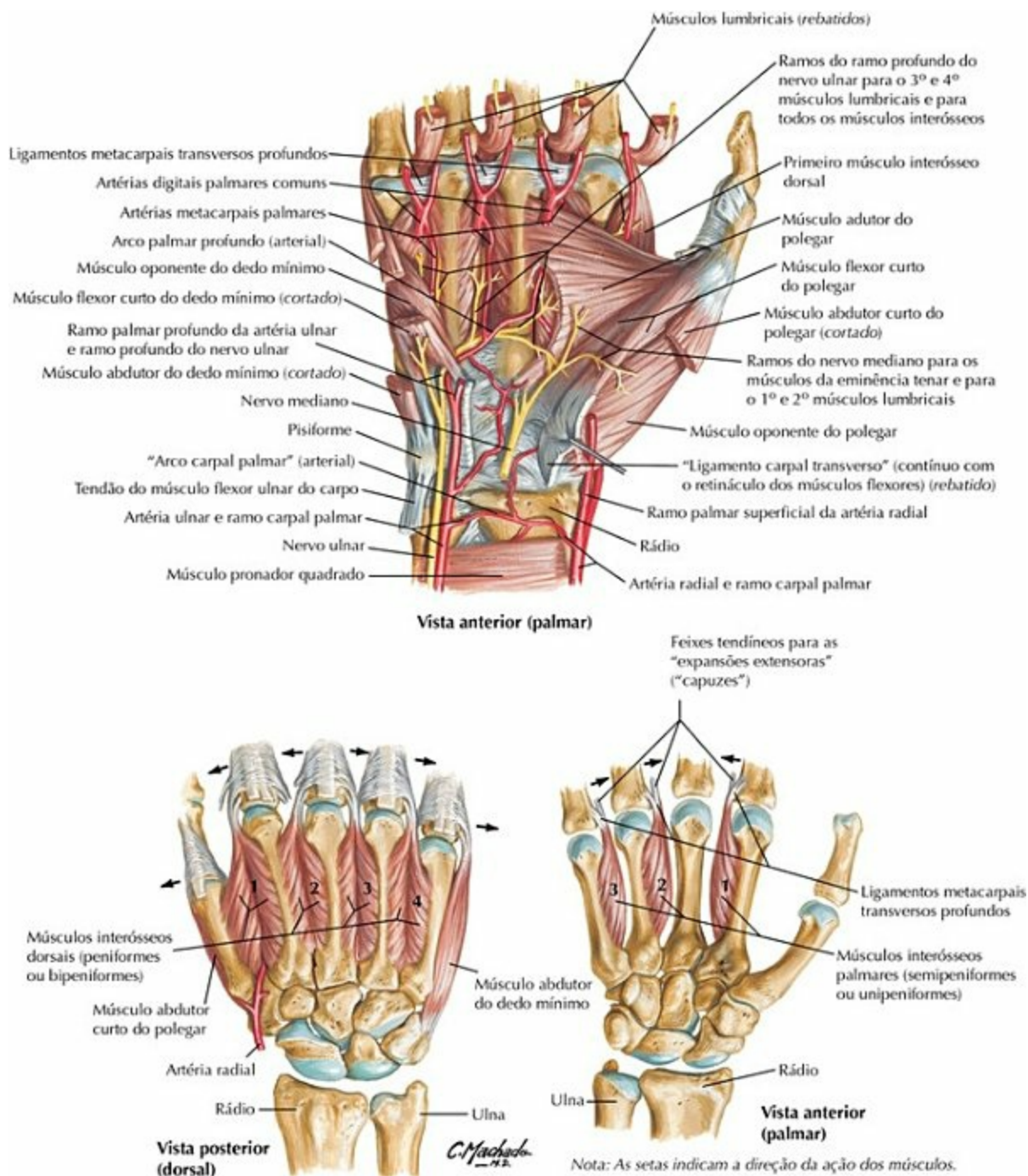
PRANCHA 450 Punho e Mão

Tendões dos Músculos Flexores e Extensores dos Dedos



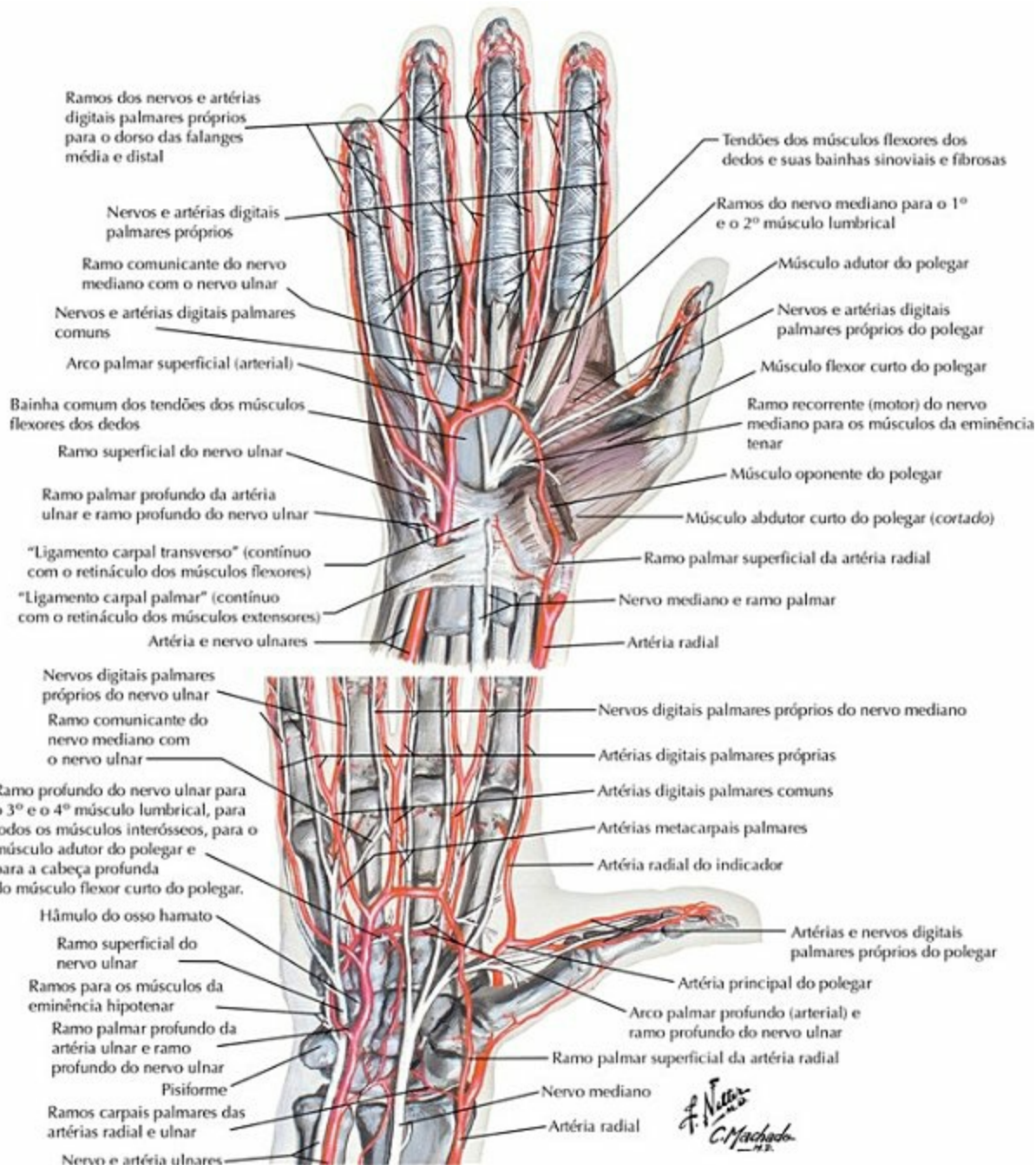
PRANCHA 451 Punho e Mão
 Veja também **Prancha 445**

Músculos Intrínsecos da Mão



PRANCHA 452 Punho e Mão

Artérias e Nervos da Mão: Vistas Anteriores (Palmares)

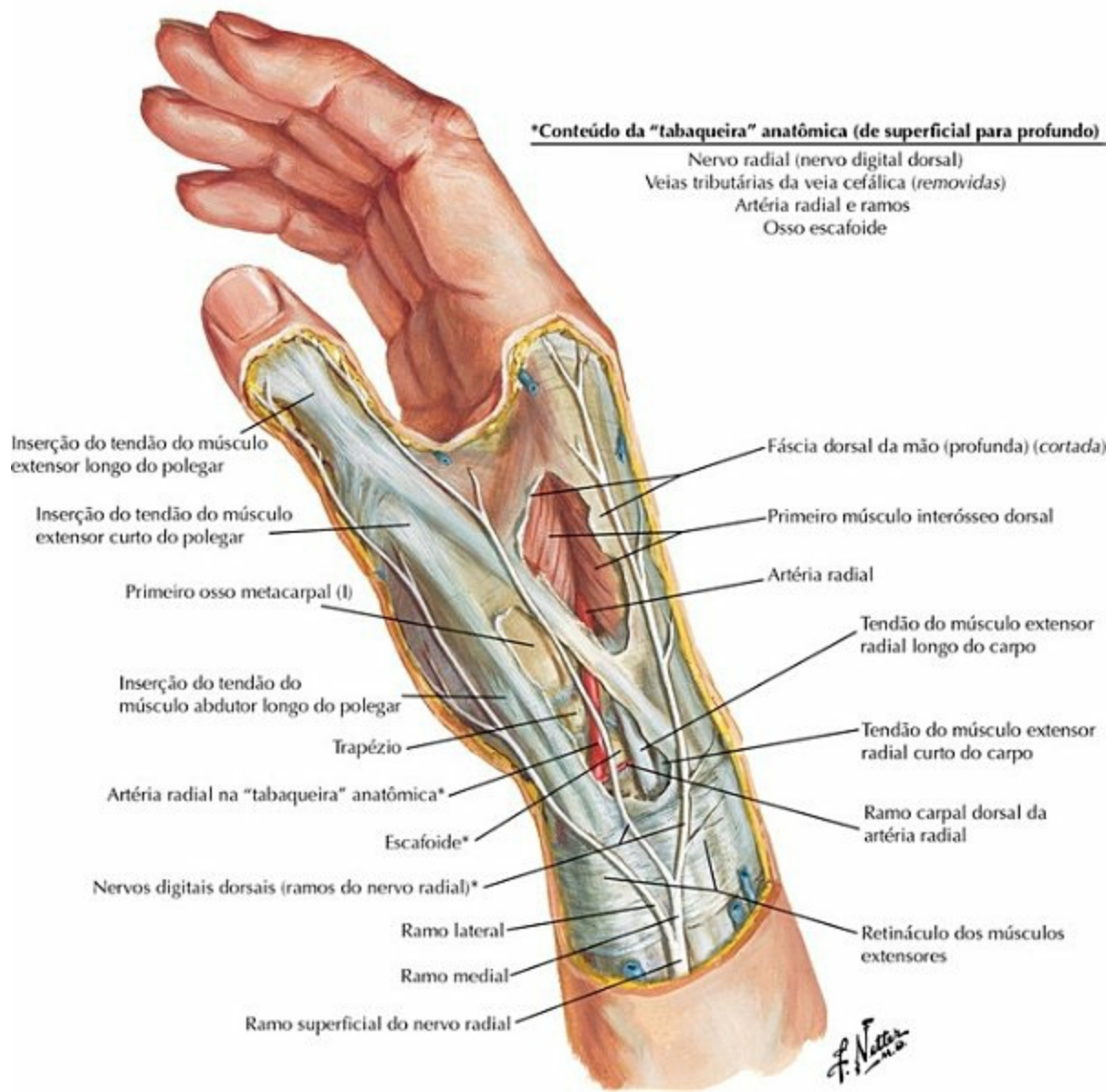


PRANCHA 453 Punho e Mão

Veja também **Prancha 420**

Punho e Mão: Dissecção Superficial da Região Lateral (Radial)

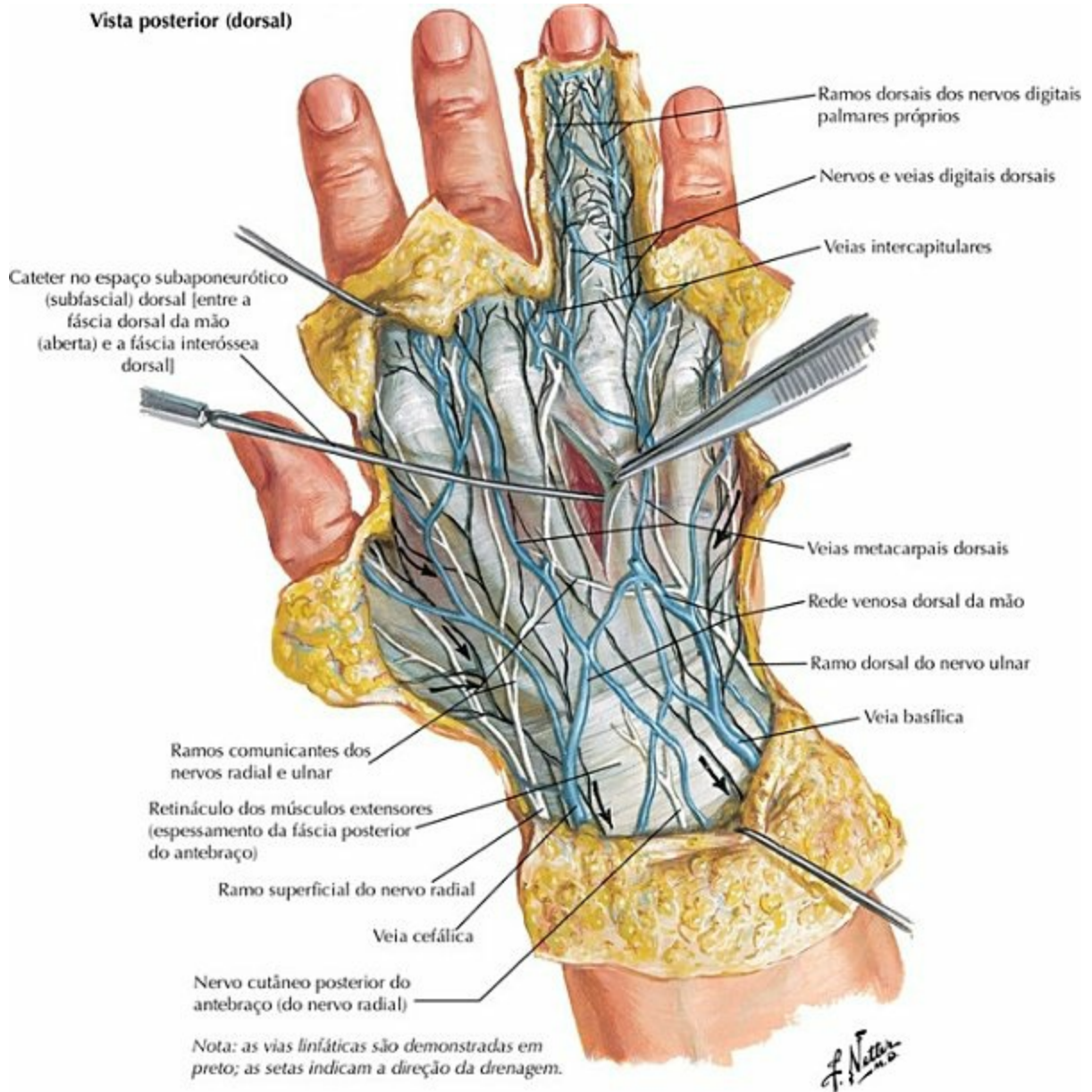
Vista lateral (radial)



PRANCHA 454 Punho e Mão
Veja também **Prancha 466**

Punho e Mão: Dissecação Superficial da Região Posterior (Dorsal)

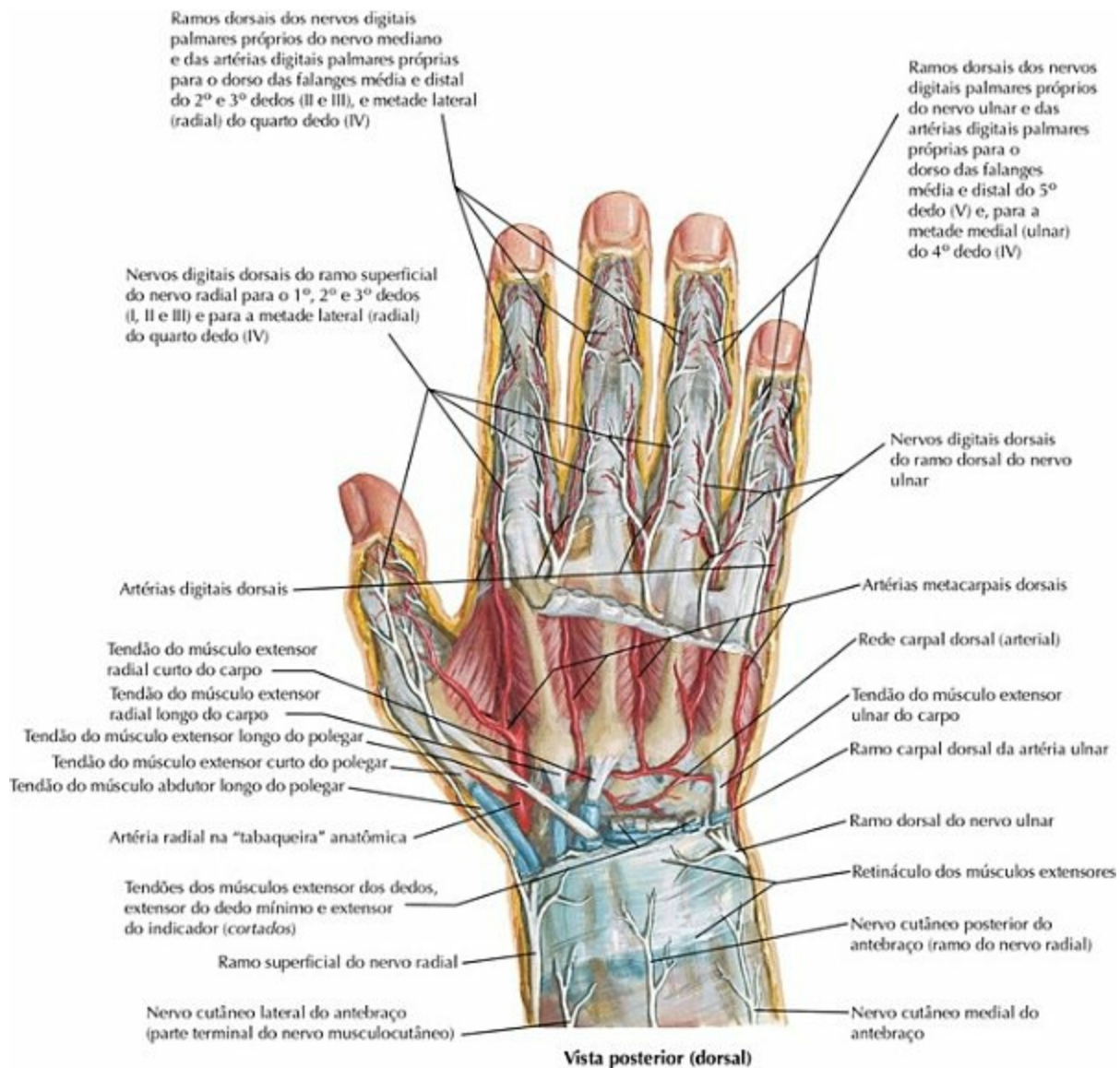
Vista posterior (dorsal)



PRANCHA 455 Punho e Mão

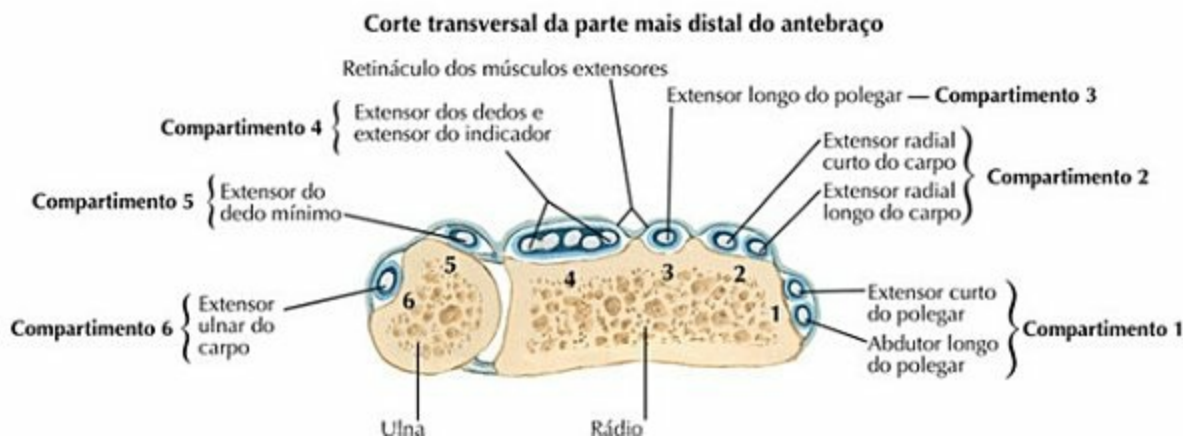
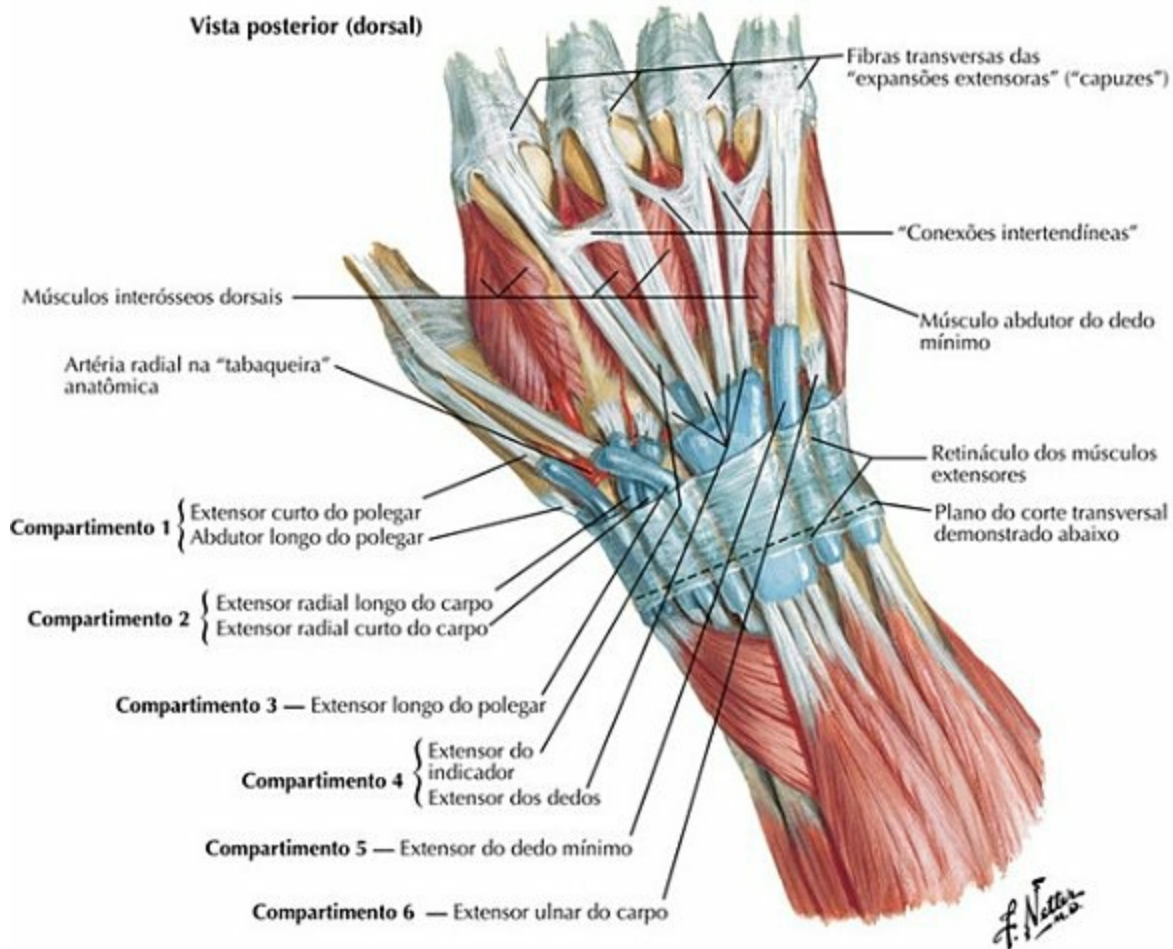
Veja também **Pranchas 402, 403**

Punho e Mão: Dissecção Profunda da Região Posterior (Dorsal)



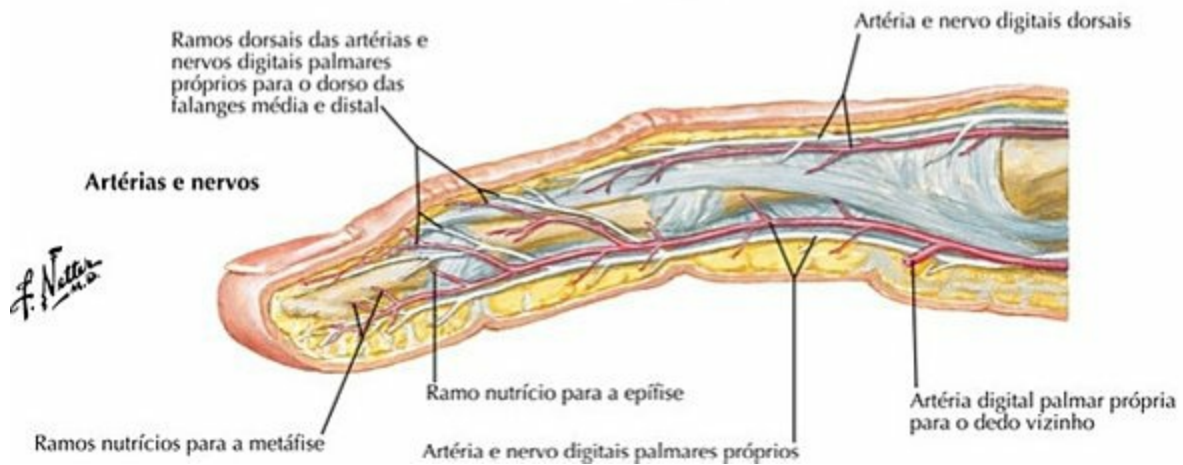
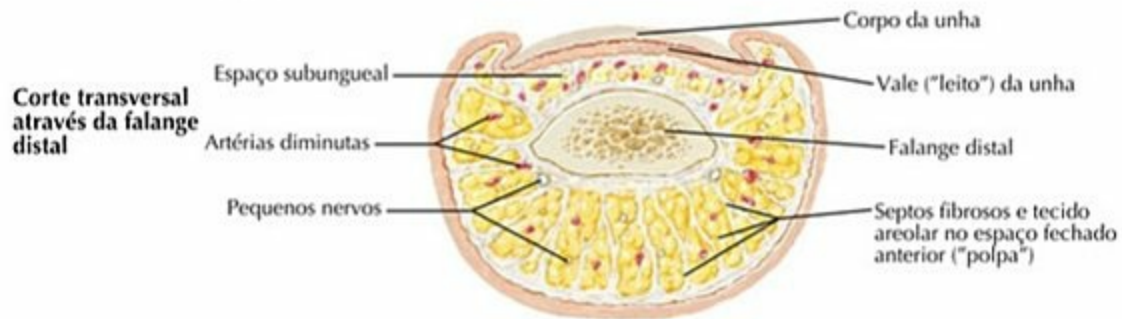
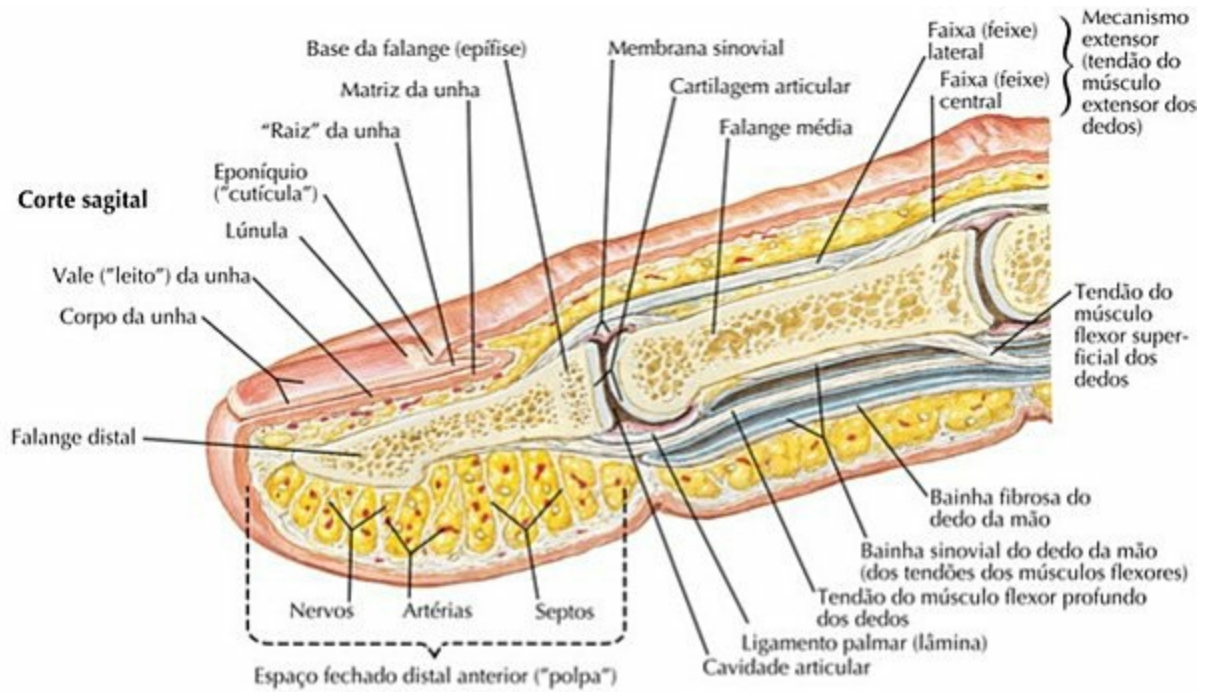
PRANCHA 456 Punho e Mão
Veja também **Prancha 445**

Tendões dos Músculos Extensores no Punho



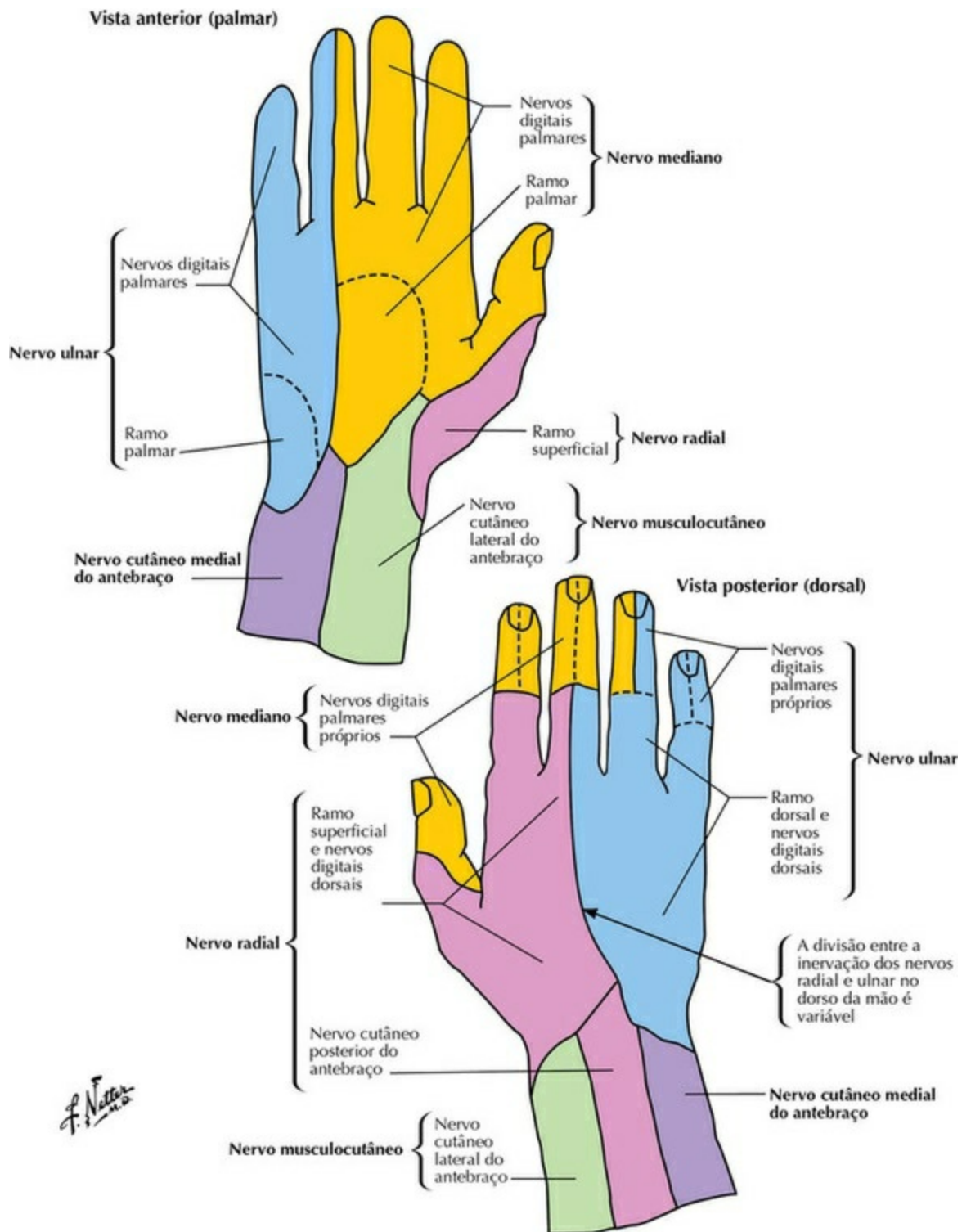
PRANCHA 457 Punho e Mão
Veja também **Pranchas 430, 431**

Dedos



PRANCHA 458 Punho e Mão

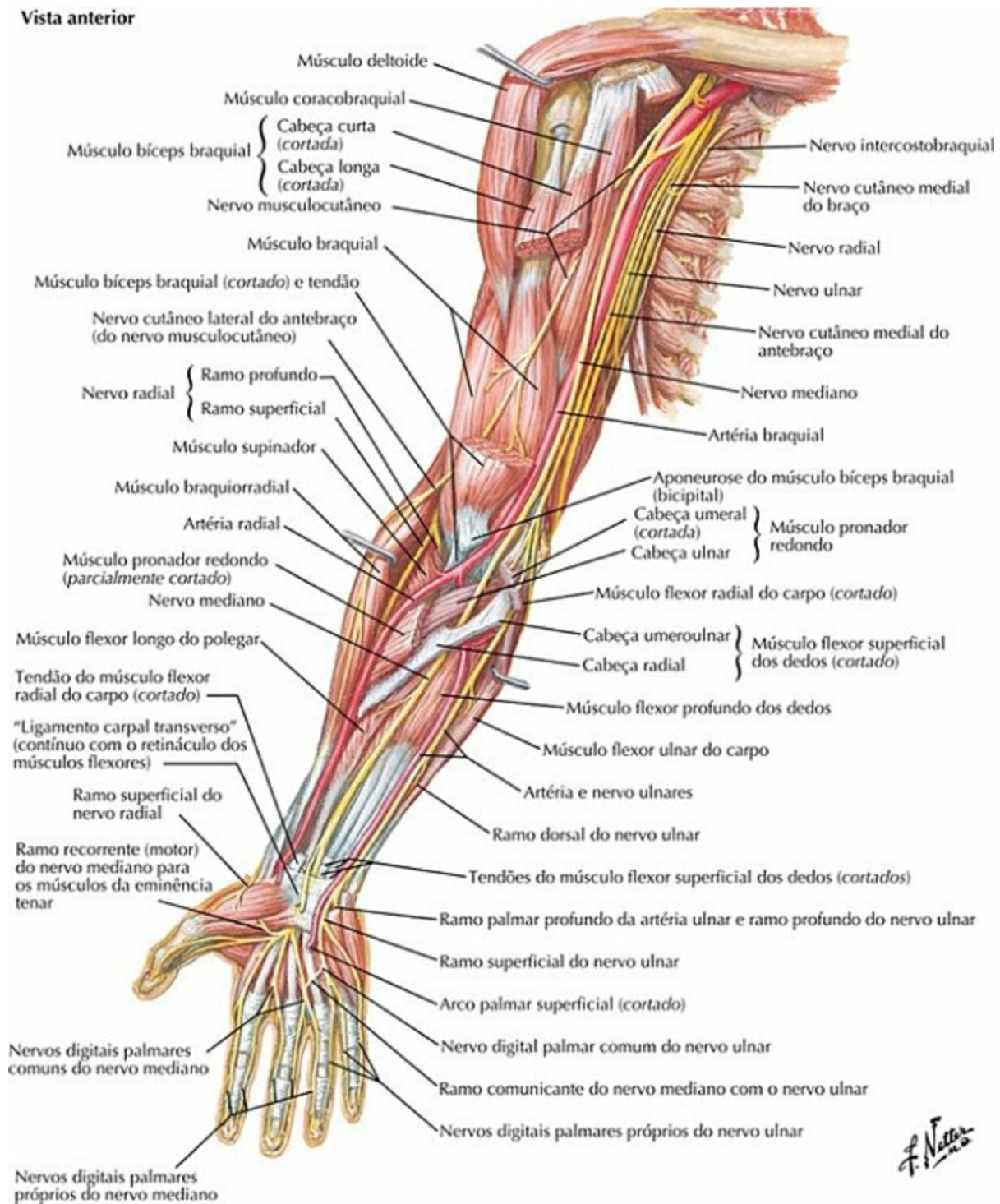
Inervação Cutânea do Punho e da Mão



PRANCHA 459 Vascularização e Inervação
 Veja também **Pranchas 400, 449**

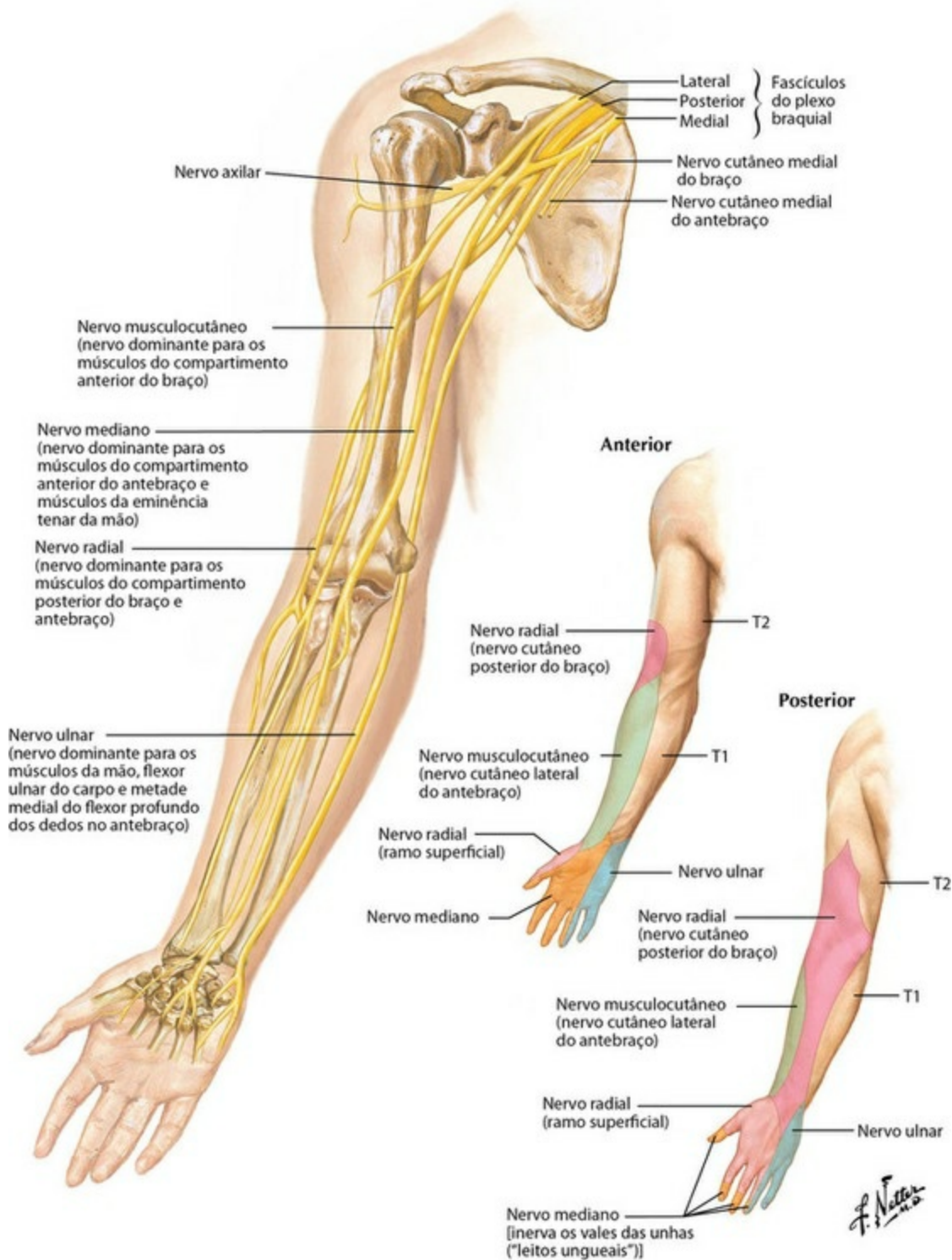
Artérias e Nervos do Membro Superior

Vista anterior



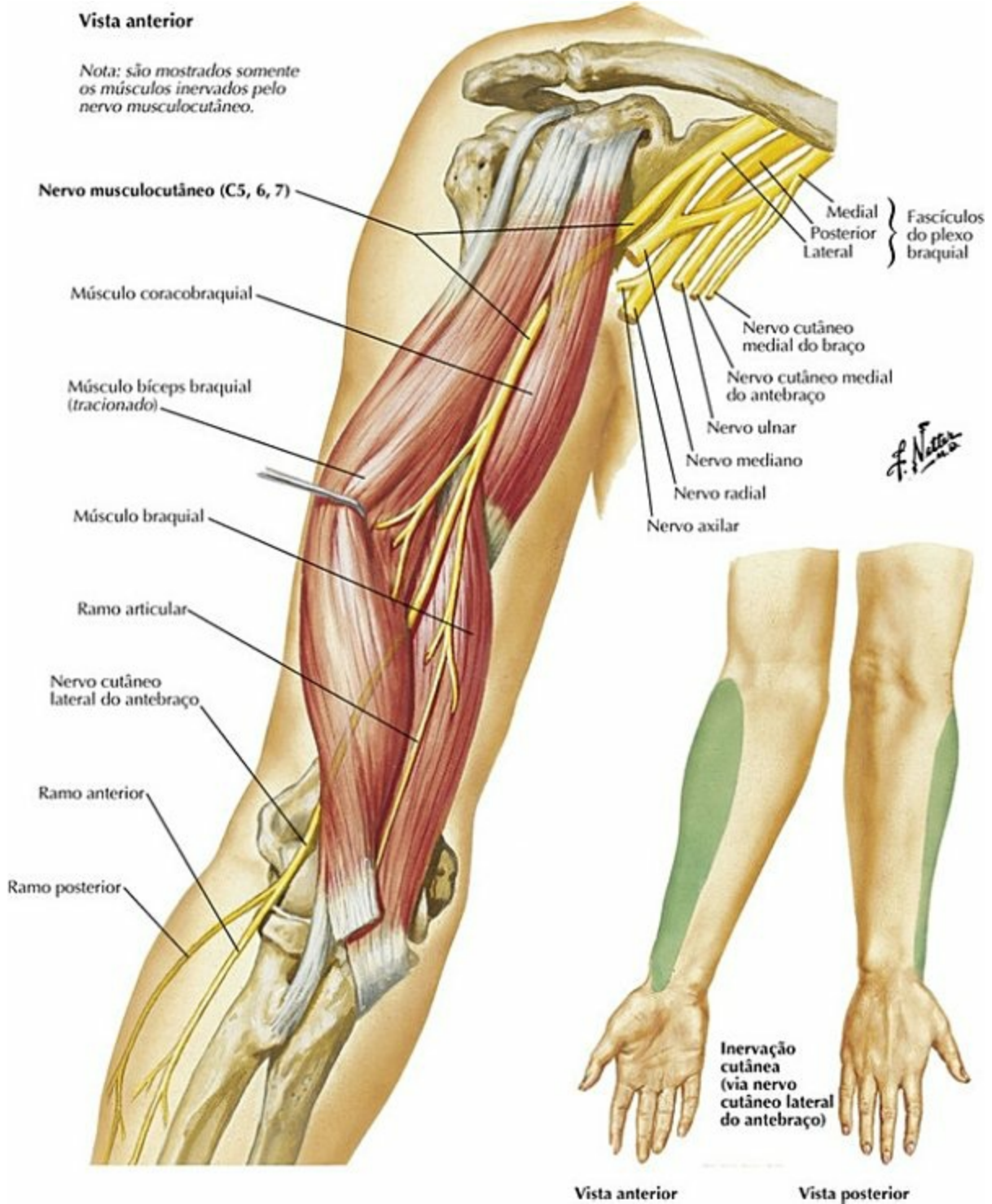
PRANCHA 460 Vascularização e Inervação
Veja também **Prancha 416**

Nervos do Membro Superior



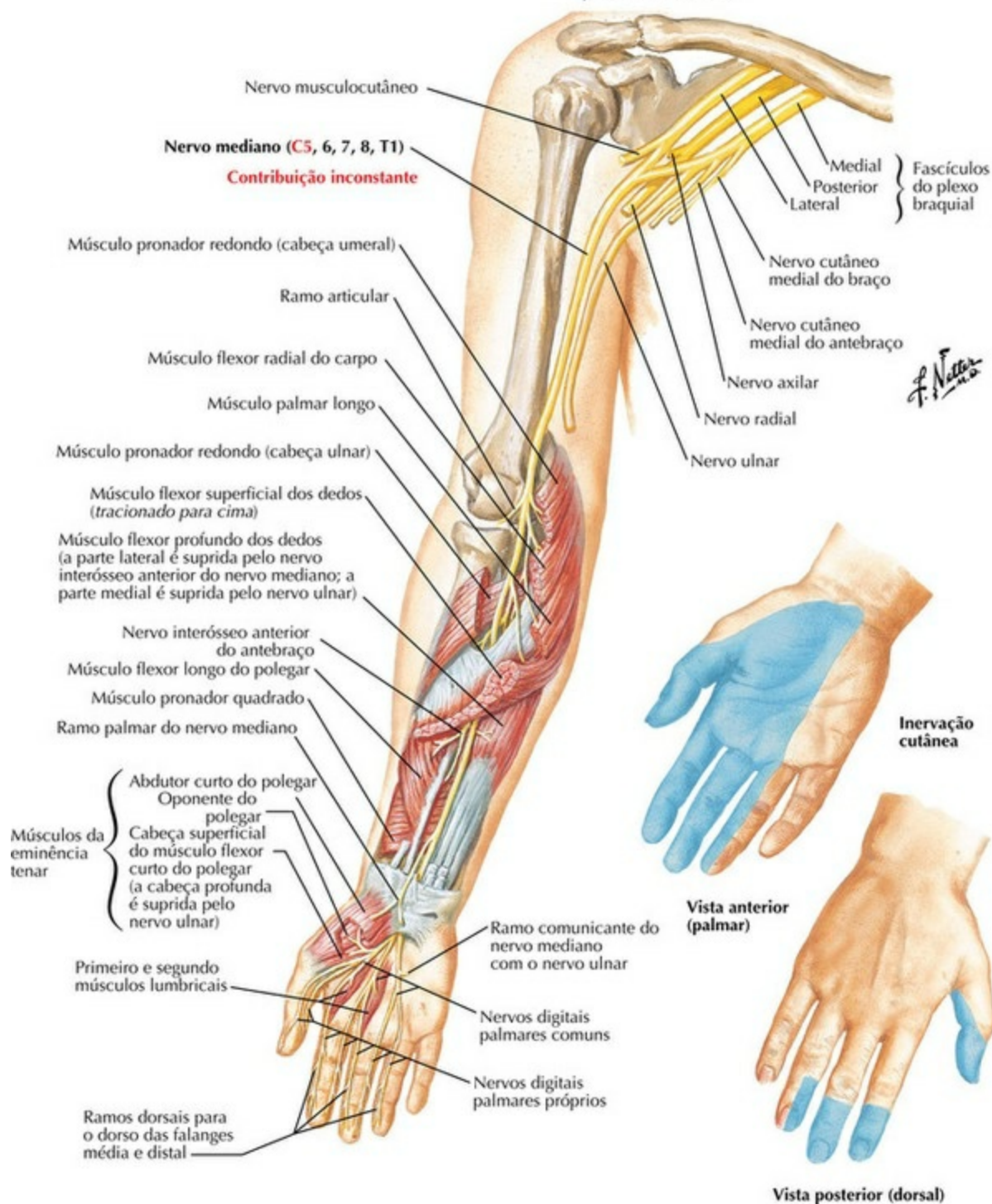
PRANCHA 461 Vascularização e Inervação
Veja também **Pranchas 400, 410, 416**

Nervo Musculocutâneo



PRANCHA 462 Vascularização e Inervação
Veja também **Prancha 417**

Nervo Mediano

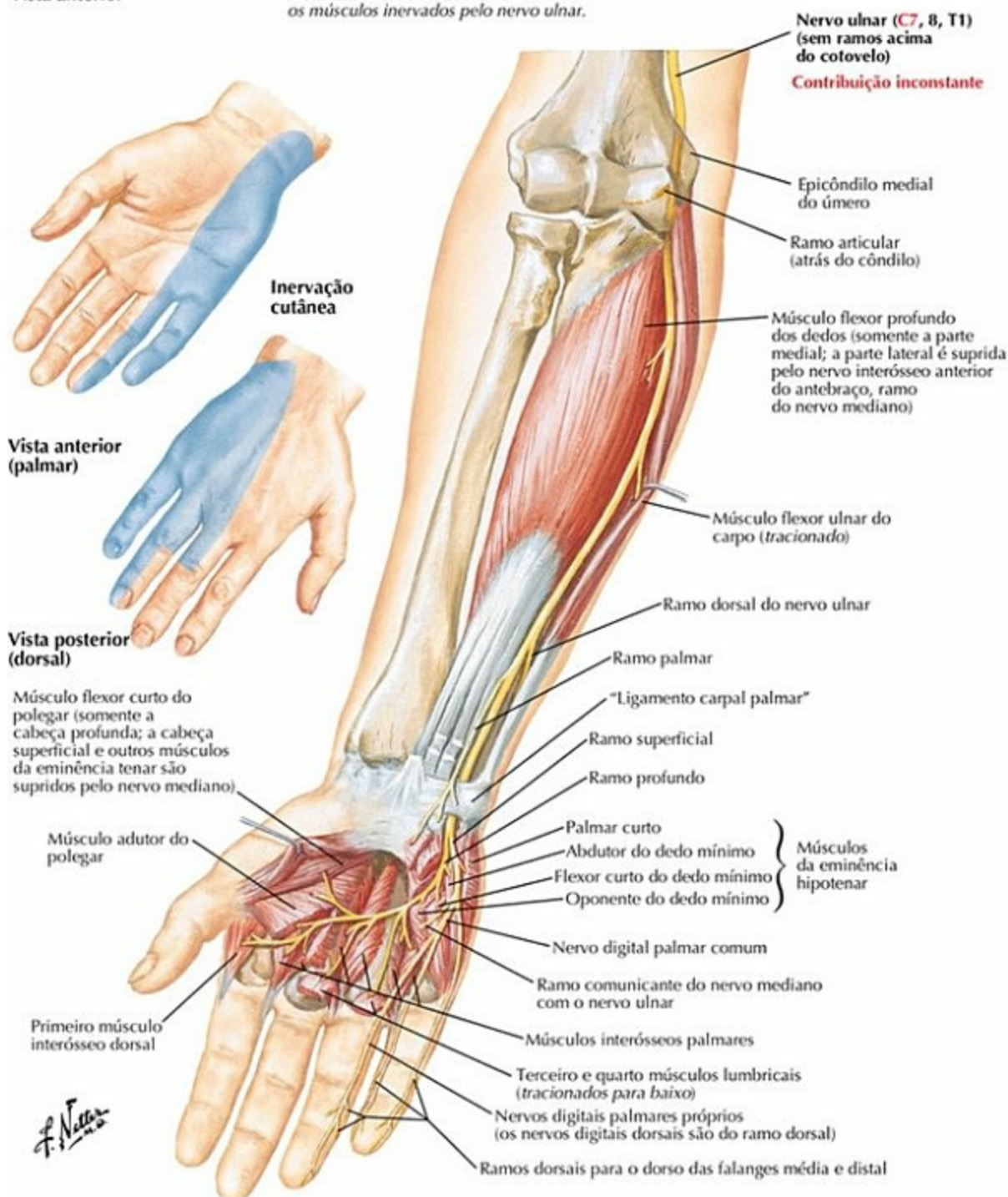


PRANCHA 463 Vascularização e Inervação
Veja também **Pranchas 400, 432, 433**

Nervo Ulnar

Vista anterior

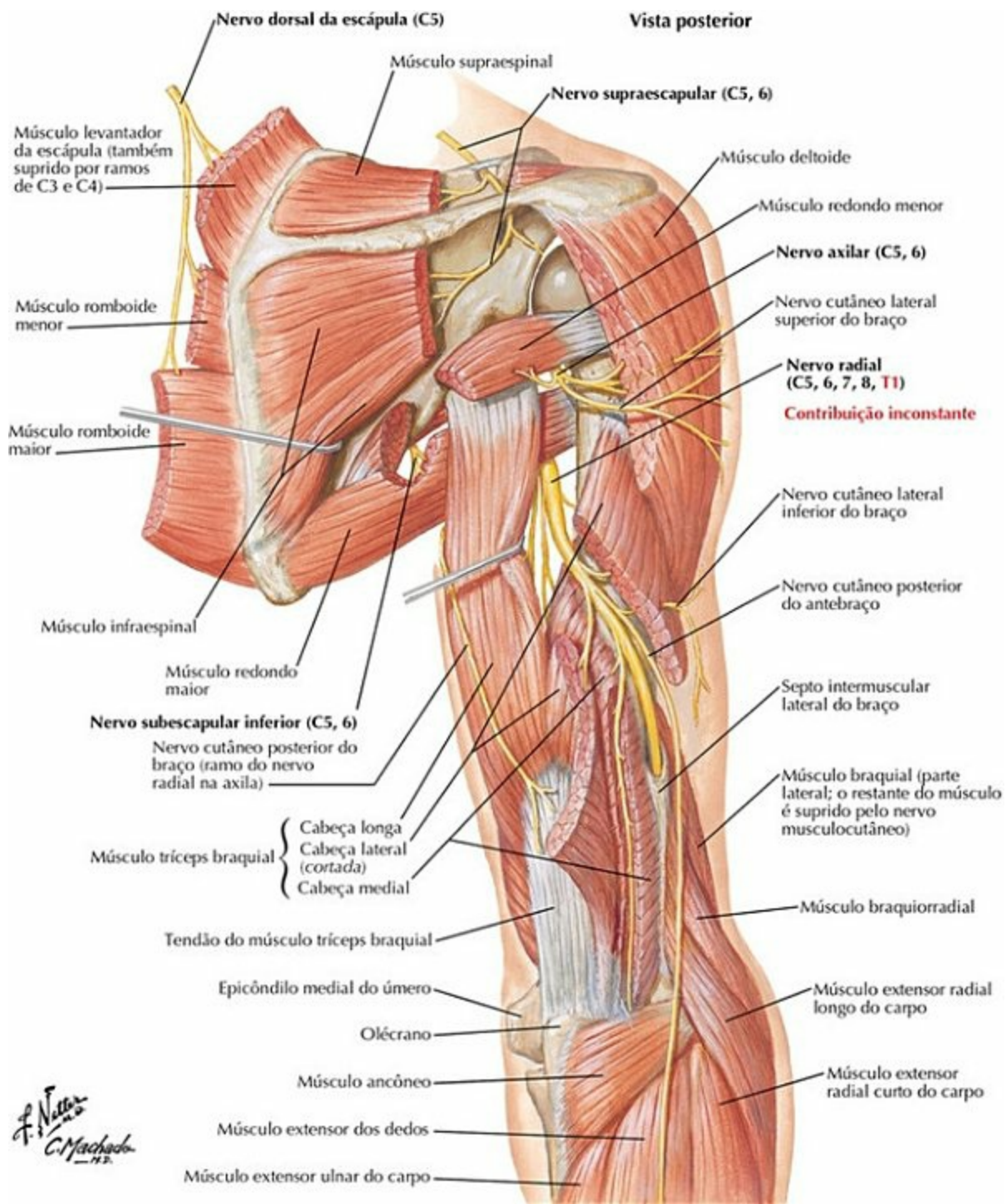
Nota: são mostrados somente os músculos inervados pelo nervo ulnar.



PRANCHA 464 Vascularização e Inervação

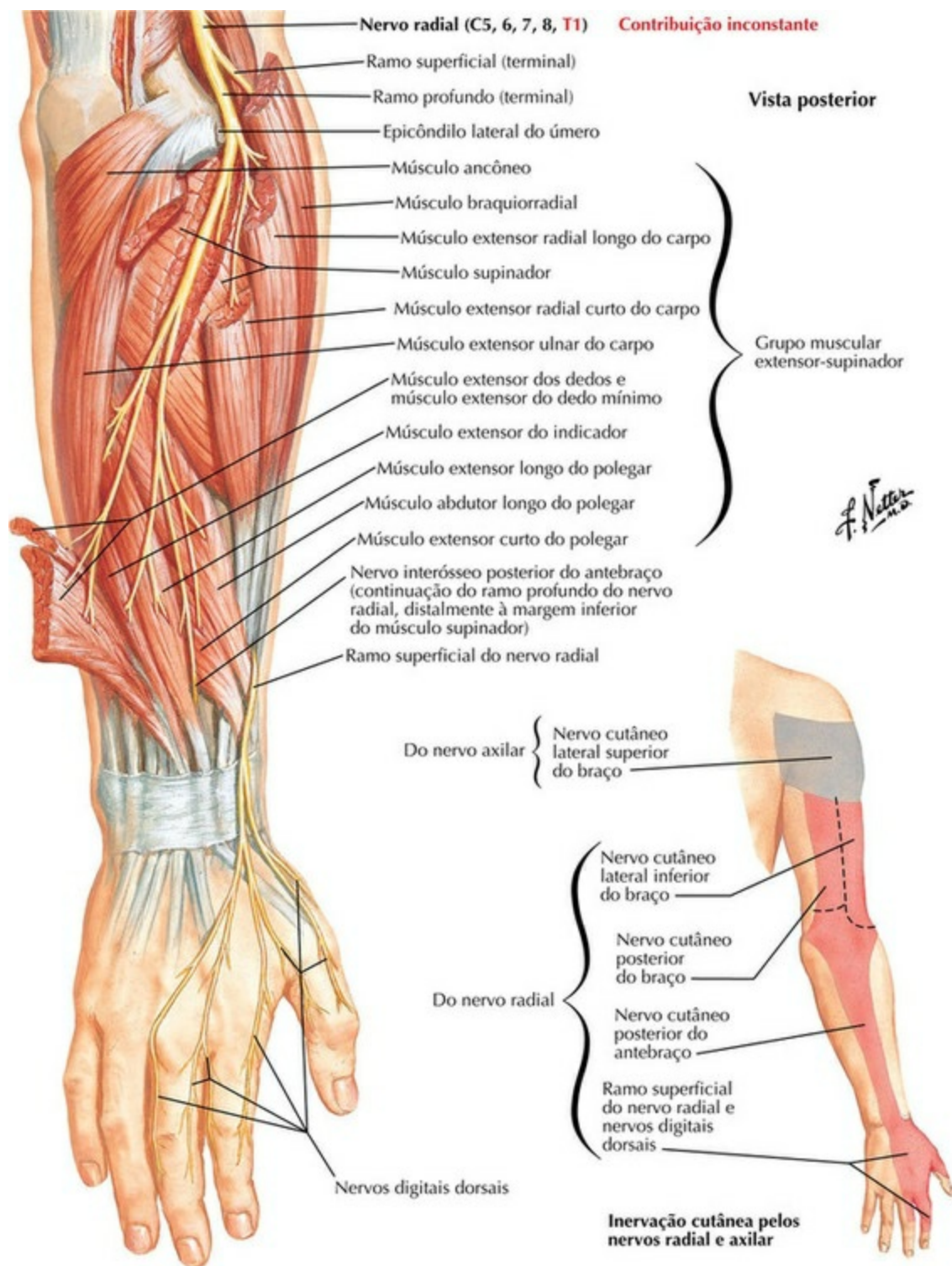
Veja também **Pranchas 432, 434**

Nervo Radial no Braço e Nervos da Região Posterior do Ombro



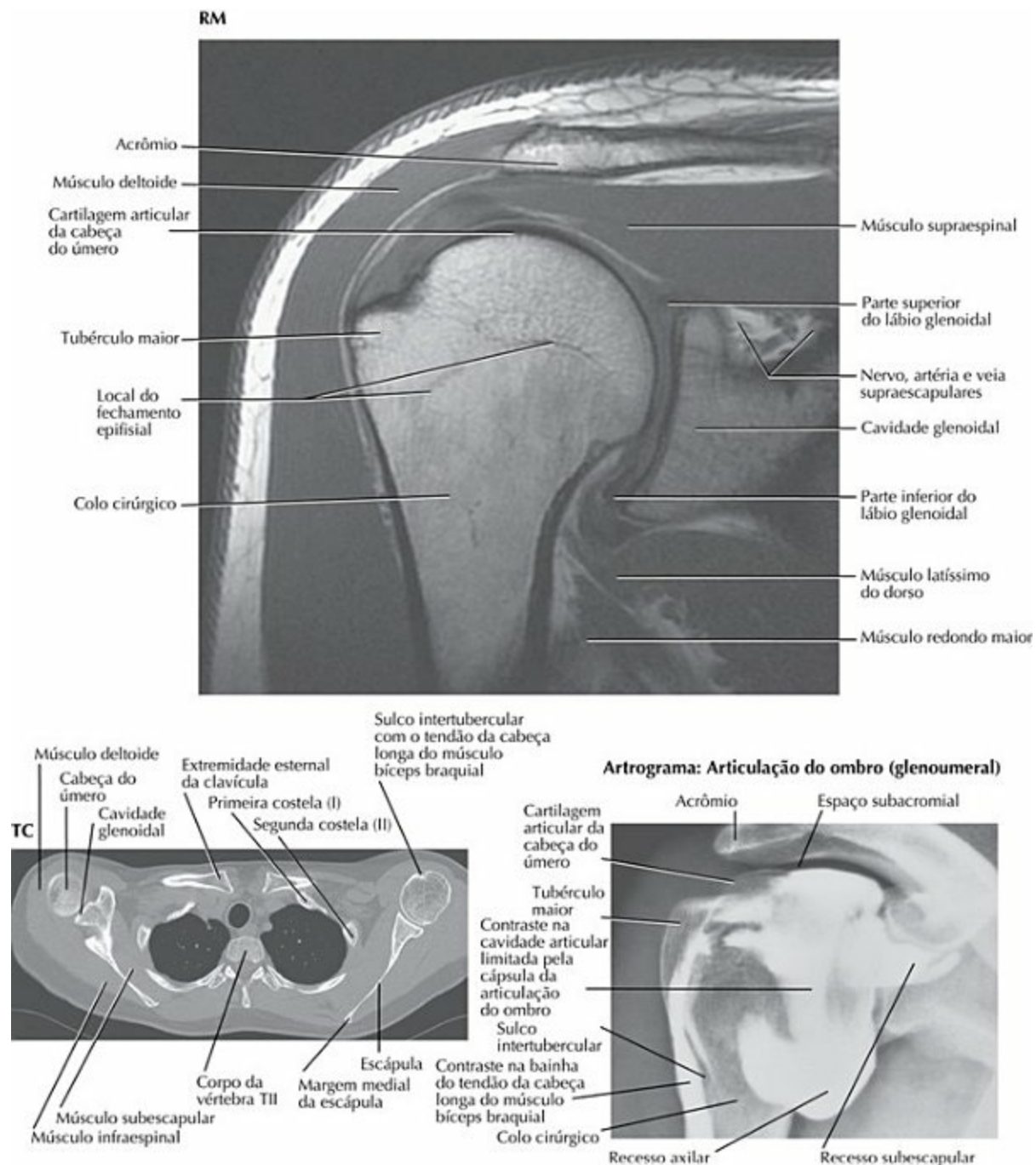
PRANCHA 465 Vascularização e Inervação
 Veja também **Pranchas 413, 418**

Nervo Radial no Antebraço



PRANCHA 466 Vascularização e Inervação
Veja também **Pranchas 430, 454**

Artrografia, Ressonância Magnética (RM) e Tomografia Computadorizada (TC) Computadorizada (TM) do Ombro



PRANCHA 467 Imagens Regionais
Veja também **Prancha 408**

Tabelas de Músculos

Tabela 6-1

Tabela de Músculos

MÚSCULO	INSERÇÃO PROXIMAL (ponto fixo)	INSERÇÃO DISTAL (ponto móvel)	INERVAÇÃO	AÇÕES PRINCIPAIS	SUPRIMEN SANGUÍ
---------	--------------------------------	-------------------------------	-----------	------------------	-----------------

Abdutor do dedo mínimo	Osso pisiforme e tendão do músculo flexor ulnar do carpo	Superfície medial da base da falange proximal do dedo mínimo (5° dedo)	Nervo ulnar (ramo profundo)	Abduz o dedo mínimo	Ramo palmar profundo artéria ulnar
Abdutor curto do polegar	Retináculo dos músculos flexores, tubérculo do escafoide e do trapézio	Superfície lateral da base da falange proximal do polegar	Nervo mediano (ramo muscular)	Abduz o polegar	Ramo palmar superficial artéria radial
Abdutor longo do polegar	Face posterior da ulna, do rádio e da membrana interóssea do antebraço	Base do 1° osso metacarpal (I)	Nervo radial (nervo interósseo posterior do antebraço)	Abduz e estende o polegar na articulação carpometacarpal	Artéria interossea posterior
Adutor do polegar	<i>Cabeça oblíqua:</i> base do 2° e do 3° ossos metacarpais, capitato e ossos adjacentes <i>Cabeça transversa:</i> superfície anterior do 3° osso metacarpal	Superfície medial da base da falange proximal do polegar	Nervo ulnar (ramo profundo)	Aduz o polegar	Arco palmar profundo
Ancôneo	Superfície posterior do epicôndilo lateral do úmero	Superfície lateral do olécrano e face posterior da parte proximal da ulna	Nervo radial (C5-T1)	Auxilia o músculo tríceps braquial na extensão do braço (articulação do cotovelo); abduz a ulna na pronação	Artéria braquial profunda
Bíceps braquial	<i>Cabeça longa:</i> tubérculo supraglenoidal da escápula <i>Cabeça curta:</i> extremidade do processo coracoide da escápula	Tuberosidade do rádio, fáscia do antebraço via aponeurose do músculo bíceps braquial (bicipital)	Nervo musculocutâneo (C5, C6)	Flexiona e supina o antebraço na articulação do cotovelo	Ramos musculares artéria braquial
Braquial	Face anterior da metade distal do úmero	Processo coronoide e tuberosidade da ulna	Nervos musculocutâneo e radial (C7)	Flexiona o antebraço no cotovelo	Artéria recorrente radial, ramo musculares artéria braquial
Braquiorradial	2/3 proximais da	Face lateral da	Nervo radial	Fraco flexor do	Artéria recorrente

suprimento arterial, nos seus locais de inserção e em suas ações são de ocorrência comum na anatomia humana. Portanto, existem diferenças entre os textos e devemos considerar que a variação anatômica é normal.

Tabela 6-2

Tabela de Músculos

MÚSCULO	INSERÇÃO PROXIMAL (ponto fixo)	INSERÇÃO DISTAL (ponto móvel)	INERVAÇÃO	AÇÕES PRINCIPAIS	SUPRIMENTO SANGUÍNEO
Extensor ulnar do carpo	Epicôndilo lateral do úmero e margem posterior da ulna	Dorso da base do 5° osso metacarpal (V)	Nervo radial (nervo interósseo posterior do antebraço)	Estende e aduz a mão na articulação radiocarpal (do punho)	Artéria interóssea posterior
Extensor do dedo mínimo	Epicôndilo lateral do úmero	“Expansão extensora” do 5° dedo (V)	Nervo radial (nervo interósseo posterior do antebraço)	Estende o 5° dedo (dedo mínimo)	Artéria interóssea posterior
Extensor dos dedos	Epicôndilo lateral do úmero	“Expansão extensora” dos quatro dedos mediais	Nervo radial (nervo interósseo posterior do antebraço)	Estende os quatro dedos mediais, auxilia a extensão da articulação radiocarpal (do punho)	Artéria interóssea posterior
Extensor do indicador	Face posterior da ulna e da membrana interóssea do antebraço	“Expansão extensora” do 2° dedo (II)	Nervo radial (nervo interósseo posterior do antebraço)	Estende o 2° dedo e auxilia a extensão da mão na articulação radiocarpal (do punho)	Artéria interóssea posterior
Extensor curto do polegar	Face posterior do rádio e da membrana interóssea do antebraço	Dorso da base da falange proximal do polegar	Nervo radial (nervo interósseo posterior do antebraço)	Estende a falange proximal do polegar na articulação carpometacarpal	Artéria interóssea posterior
Extensor longo do polegar	Face posterior do terço médio da ulna e da membrana interóssea do	Dorso da base da falange distal do polegar	Nervo radial (nervo interósseo posterior do antebraço)	Estende a falange distal do polegar nas articulações interfalângica e metacarpofalângica	Artéria interóssea posterior

	antebraço				
Flexor radial do carpo	Epicôndilo medial do úmero	Base do 2° osso metacarpal (II)	Nervo mediano	Flexiona e abduz a mão na articulação radiocarpal (do punho)	Artéria radial
Flexor ulnar do carpo	<i>Cabeça umeral:</i> epicôndilo medial do úmero <i>Cabeça ulnar:</i> olécrano e margem posterior da ulna	Osso pisiforme, hâmulos do osso hamato, base do 5° osso metacarpal (V)	Nervo ulnar	Flexiona e aduz a mão na articulação radiocarpal (do punho)	Artéria recorrente ulnar (ramo posterior)
Flexor curto do dedo mínimo	Retináculo dos músculos flexores e hâmulos do osso hamato	Superfície medial da base da falange proximal do dedo mínimo	Nervo ulnar (ramo profundo)	Flexiona a falange proximal do dedo mínimo	Ramo palmar profundo da artéria ulnar
Flexor profundo dos dedos	Faces anterior e medial dos 3/4 proximais da ulna e da membrana interóssea do antebraço	Superfície palmar da base das falanges distais dos quatro dedos mediais	<i>Parte medial:</i> nervo ulnar <i>Parte lateral:</i> nervo mediano	Flexiona as falanges distais dos quatro dedos mediais e auxilia a flexão da mão na articulação radiocarpal (do punho)	Artéria interóssea anterior, ramos musculares da artéria ulnar
Flexor superficial dos dedos	<i>Cabeça umeroulnar:</i> epicôndilo medial do úmero e processo coronoide da ulna <i>Cabeça radial:</i> face anterior da metade proximal do rádio	Corpos (diáfises) das falanges médias dos quatro dedos mediais	Nervo mediano	Flexiona as falanges proximais e médias dos quatro dedos mediais; flexiona a mão na articulação radiocarpal (do punho)	Artérias radial e ulnar
Flexor curto do polegar	Retináculo dos músculos flexores e tubérculo do trapézio	Superfície lateral da base da falange proximal do polegar	Nervo mediano (ramo muscular)	Flexiona a falange proximal do polegar	Ramo palmar superficial da artéria radial

Flexor longo do polegar	Face anterior do rádio e da membrana interóssea do antebraço	Superfície palmar da base da falange distal do polegar	Nervo mediano (nervo interósseo anterior do antebraço)	Flexiona as falanges do polegar	Artéria interóssea anterior
Infraespinal	Fossa infraespinal da escápula e fáscia do braço	Superfície lateroposterior do tubérculo maior do úmero	Nervo supraescapular	Rotação lateral do braço (com o músculo redondo menor)	Artéria supraescapular

Tabela 6-3

Tabela de Músculos

MÚSCULO	INSERÇÃO PROXIMAL (ponto fixo)	INSERÇÃO DISTAL (ponto móvel)	INERVAÇÃO	AÇÕES PRINCIPAIS	SUPRIMENTO SANGUÍNEO
Latíssimo do dorso	Processos espinhosos das vértebras TVII –LV, aponeurose (fáscia) toracolombar, crista ilíaca e últimas três costelas (X- XII)	Sulco intertubercular do úmero	Nervo toracodorsal	Estende, aduz e roda medialmente o braço na articulação do ombro	Artéria toracodorsal; ramos dorsais das 9ª, 10ª e 11ª artérias intercostais posteriores; da artéria subcostal e das três primeiras artérias lombares
Levantador da escápula	Tubérculos posteriores dos processos transversos das vértebras CI - CIV	Margem medial da escápula, desde o ângulo superior até a espinha da escápula	Ramos anteriores dos nervos espinais C3 e C4 e nervo dorsal da escápula	Eleva medialmente a escápula e roda inferiormente a cavidade glenoidal	Artéria dorsal da escápula; artéria cervica transversa; artéria cervica ascendente
Lumbrical, primeiro e segundo	Dois tendões laterais do músculo flexor profundo dos dedos	Superfícies laterais das “expansões extensoras” dos dedos II e III	Nervo mediano (nervos digitais)	Estende os dedos nas articulações interfalângicas e flexiona os dedos nas articulações metacarpofalângicas	Arcos palmares profundo e superficial
Lumbrical, terceiro e quatro	Três tendões mediais do músculo flexor	Superfícies laterais das “expansões extensoras”	Nervo ulnar (ramo profundo)	Estende os dedos nas articulações interfalângicas e flexiona os dedos nas	Arcos palmares profundo e superficial

	profundo dos dedos	dos dedos IV e V		articulações metacarpofalângicas	
Oponente do dedo mínimo	Retináculo dos músculos flexores e hâmulo do osso hamato	Superfície palmar do 5° osso metacarpal (V)	Nervo ulnar (ramo profundo)	Move anteriormente o dedo mínimo e roda esse dedo em direção ao polegar	Ramo palmar profundo da artéria ulnar
Oponente do polegar	Retináculo dos músculos flexores e tubérculo do trapézio	Superfície lateral do 1° osso metacarpal (I)	Nervo mediano (ramo muscular)	Move anteriormente o polegar e roda esse dedo medialmente	Ramo palmar superficial da artéria radial
Músculos interósseos palmares	Superfícies laterais dos ossos metacarpais II, IV e V	Bases das falanges proximais e “expansão extensora” dos dedos II, IV e V	Nervo ulnar (ramo profundo)	Aduz os dedos na direção do plano mediano da mão (3° dedo); flexiona os dedos na articulação metacarpofalângica e estende os dedos nas articulações interfalângicas	Arco palmar profundo
Palmar curto	Aponeurose palmar e retináculo dos músculos flexores	Pele da margem medial da palma da mão	Ramo palmar do nervo ulnar	Aprofunda a curvatura da mão e auxilia o movimento em garra	Arco palmar superficial
Palmar longo	Epicôndilo medial do úmero	Metade distal do retináculo dos músculos flexores e aponeurose palmar	Nervo mediano	Flexiona a mão na articulação radiocarpal (do punho) e tensiona a aponeurose palmar	Artéria recorrente ulnar (ramo posterior)
Peitoral maior	Metade esternal da clavícula, esterno até a 7ª costela (VII), cartilagens costais das costelas verdadeiras, aponeurose do músculo oblíquo externo do abdome	Lábio lateral do sulco intertubercular do úmero	Nervos peitorais lateral e medial	Flexiona, aduz e roda medialmente o braço	Ramos peitorais da artéria toraco- acromial, ramos perfurantes d artéria torácic interna
Peitoral menor	Superfície externa da margem superior das costelas III -V	Processo coracoide da escápula	Nervo peitoral medial	Abaixa o ângulo lateral e faz a protrusão da escápula	Ramos peitorais da artéria toraco- acromial e artéria torácic

					lateral
Pronador quadrado	Face anterior do quarto distal da ulna	Face anterior do quarto distal do rádio	Nervo mediano (nervo interósseo anterior do antebraço)	Pronação do antebraço	Artéria interóssea anterior
Pronador redondo	Duas cabeças: epicôndilo medial do úmero e processo coronoide da ulna	À meia distância, ao longo da face lateral do rádio	Nervo mediano	Pronação do antebraço e auxilia na flexão do antebraço na articulação do cotovelo	Artéria recorrente ulnar (ramo anterior)

Tabela 6-4
Tabela de Músculos

MÚSCULO	INSERÇÃO PROXIMAL (ponto fixo)	INSERÇÃO DISTAL (ponto móvel)	INERVAÇÃO	AÇÕES PRINCIPAIS	SUPRIMENTO SANGUÍNEO	GRUPO MUSCULAR
Romboide maior	Processo espinhoso das vértebras TII - TV	Margem medial da escápula inferior à espinha da escápula	Nervo dorsal da escápula	Fixa a escápula na parede do tórax. Faz sua retração e rotação, abaixando a cavidade glenoidal da escápula	Artéria dorsal da escápula ou ramo profundo da artéria cervical transversa; ramos dorsais das cinco ou seis primeiras artérias intercostais posteriores	Dorsal
Romboide menor	Ligamento nuczal, processos espinhosos das vértebras CVII e TI	Margem medial da escápula, no nível da espinha da escápula	Nervo dorsal da escápula	Fixa a escápula na parede do tórax. Faz sua retração e rotação, abaixando a cavidade glenoidal da escápula	Artéria dorsal da escápula ou ramo profundo da artéria cervical transversa; ramos dorsais das cinco ou seis primeiras artérias intercostais posteriores	Dorsal
Serrátil anterior	Superfícies laterais das 8-9 primeiras	Face costal da margem medial da	Nervo torácico longo	Faz a protrusão e rotação da escápula e a	Artéria torácica lateral	Or

	costelas	escápula		mantém contra a parede do tórax		
Subclávio	Margem posterior da 1ª costela (I) e sua cartilagem costal	Superfície inferior do terço médio da clavícula	Nervo subclávio	Fixa e abaixa a clavícula	Ramo clavicular da artéria toracoacromial	O
Subescapular	Fossa subescapular	Tubérculo menor do úmero	Nervos subescapulares superior e inferior	Roda medialmente e aduz o braço na articulação do ombro. Auxilia na manutenção da cabeça do úmero na cavidade glenoidal	Artéria subescapular; artéria torácica lateral	O
Supinador	Epicôndilo lateral do úmero; crista do músculo supinador na ulna	Faces anterior, posterior e lateral do terço proximal do rádio	Nervo radial (ramo profundo)	Supinação do antebraço	Artéria recorrente radial; artéria interóssea posterior	P
Supraespinal	Fossa supraespinal da escápula e fáscia do braço	Superfície superior do tubérculo maior do úmero	Nervo supra-escapular	Inicia a abdução do braço e age com os músculos do “manguito rotador” do ombro	Artéria supraescapular	O
Redondo maior	Face posterior do ângulo inferior da escápula	Lábio medial do sulco intertubercular do úmero	Nervo subescapular inferior	Aduz e roda medialmente o braço	Artéria circunflexa da escápula	O
Redondo menor	2/3 superiores da face posterior da margem lateral da escápula	Superfície inferior do tubérculo maior do úmero	Nervo axilar	Roda lateralmente o braço	Artéria circunflexa da escápula	O
Trapézio	Linha nugal superior, protuberância occipital externa, ligamento	Terço lateral da clavícula, acrômio e espinha da escápula	Nervo acessório (NC XI)	Eleva, retrai e roda a escápula; as fibras musculares da parte	Artéria cervical transversa, ramos dorsais das artérias intercostais posteriores	D

	nucal, processos espinhosos de CVII -TXII			ascendente abaixam a escápula		
Triceps braquial	<i>Cabeça longa:</i> tubérculo infraglenoidal da escápula <i>Cabeça lateral:</i> metade superior da face posterior do úmero <i>Cabeça medial:</i> 2/3 distais das faces medial e posterior do úmero	Superfície posterior do olécrano	Nervo radial	Estende o antebraço na articulação do cotovelo; a cabeça longa estabiliza a cabeça do úmero abduzido e estende e aduz o braço na articulação do ombro	Ramo da artéria braquial profunda	Br.

Membro inferior

Anatomia Topográfica

Prancha 468

468. Membro Inferior: Anatomia de Superfície

Anatomia Cutânea

Pranchas 469-472

469. Dermátomos do Membro Inferior

470. Nervos Cutâneos e Veias Superficiais do Membro Inferior: Vista Anterior

471. Nervos Cutâneos e Veias Superficiais do Membro Inferior: Vista Posterior

472. Vasos Linfáticos e Linfonodos do Membro Inferior

Quadril e Coxa

Pranchas 473-492

473. Osso do Quadril

474. Articulação do Quadril

475. Articulação do Quadril: Radiografia Anteroposterior

476. Fêmur

477. Inserções Ósseas dos Músculos do Quadril e da Coxa: Vista Anterior

478. Inserções Ósseas dos Músculos do Quadril e da Coxa: Vista Posterior

479. Músculos da Coxa: Vistas Anteriores

480. Músculos da Coxa: Vistas Anteriores (continuação)

481. Músculos do Quadril e da Coxa: Vista Lateral

482. Músculos do Quadril e da Coxa: Vistas Posteriores

483. Músculos Psoas e Ilíaco

484. Plexos Lombossacral e Coccígeo

485. Plexo Lombar

486. Plexos Sacral e Coccígeo

487. Artérias e Nervos da Coxa: Vistas Anteriores

- 488. Artérias e Nervos da Coxa: Vista Anterior (continuação)
- 489. Artérias e Nervos da Coxa: Vista Posterior
- 490. Nervos do Quadril e da Região Glútea (Nádegas)
- 491. Artérias da Cabeça e do Colo do Fêmur
- 492. Coxa: Cortes Transversais Seriados

Joelho

Pranchas 493-499

- 493. Joelho: Vistas Lateral e Medial
- 494. Joelho: Vistas Anteriores
- 495. Joelho: Vista Interna
- 496. Joelho: Ligamentos Cruzados e Colaterais
- 497. Joelho: Radiografia Anteroposterior e Vista Posterior
- 498. Joelho: Vistas Posterior e do Corte Sagital
- 499. Artérias da Coxa e do Joelho: Esquema

Perna

Pranchas 500-510

- 500. Tíbia e Fíbula
- 501. Tíbia e Fíbula (continuação)
- 502. Inserções dos Músculos da Perna
- 503. Músculos da Perna (Dissecação Superficial): Vista Posterior
- 504. Músculos da Perna (Dissecação Média): Vista Posterior
- 505. Músculos da Perna (Dissecação Profunda): Vista Posterior
- 506. Músculos da Perna: Vista Lateral
- 507. Músculos da Perna (Dissecação Superficial): Vista Anterior
- 508. Músculos da Perna (Dissecação Profunda): Vista Anterior
- 509. Artérias do Joelho, Perna e Pé
- 510. Perna: Cortes Transversais e Compartimentos Fasciais

Tornozelo e Pé

Pranchas 511-524

- 511. Ossos do Pé
- 512. Ossos do Pé (continuação)
- 513. Calcâneo
- 514. Ligamentos e Tendões do Tornozelo e do Pé
- 515. Ligamentos e Tendões do Pé: Vista Inferior (Plantar)
- 516. Bainhas dos Tendões do Tornozelo e do Pé
- 517. Músculos do Dorso do Pé: Dissecação Superficial
- 518. Dorso do Pé: Dissecação Profunda

- 519. Planta do Pé: Dissecção Superficial
- 520. Músculos da Planta do Pé: Primeira Camada
- 521. Músculos da Planta do Pé: Segunda Camada
- 522. Músculos da Planta do Pé: Terceira Camada
- 523. Músculos Interósseos e Artérias Profundas do Pé
- 524. Músculos Interósseos do Pé

Vascularização e Inervação

Pranchas 525-529

- 525. Nervo Femoral e Nervo Cutâneo Femoral Lateral
- 526. Nervo Obturatório
- 527. Nervo Isquiático e Nervo Cutâneo Femoral Posterior
- 528. Nervo Tibial
- 529. Nervo Fibular Comum

Imagens Regionais

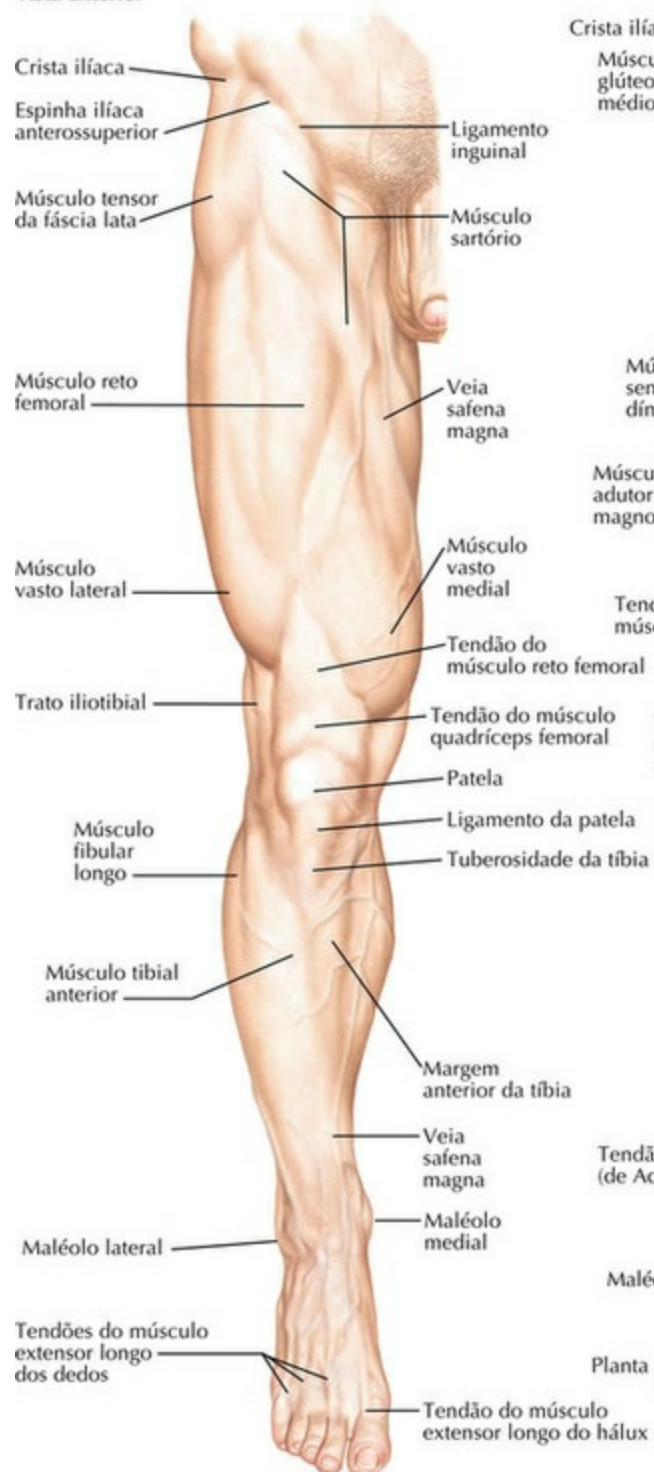
Pranchas 530-531

- 530. Radiografia, Artrograma e Ressonância Magnética (RM) do Quadril
- 531. Tornozelo: Radiografias

Tabelas de Músculos

Membro Inferior: Anatomia de Superfície

Vista anterior



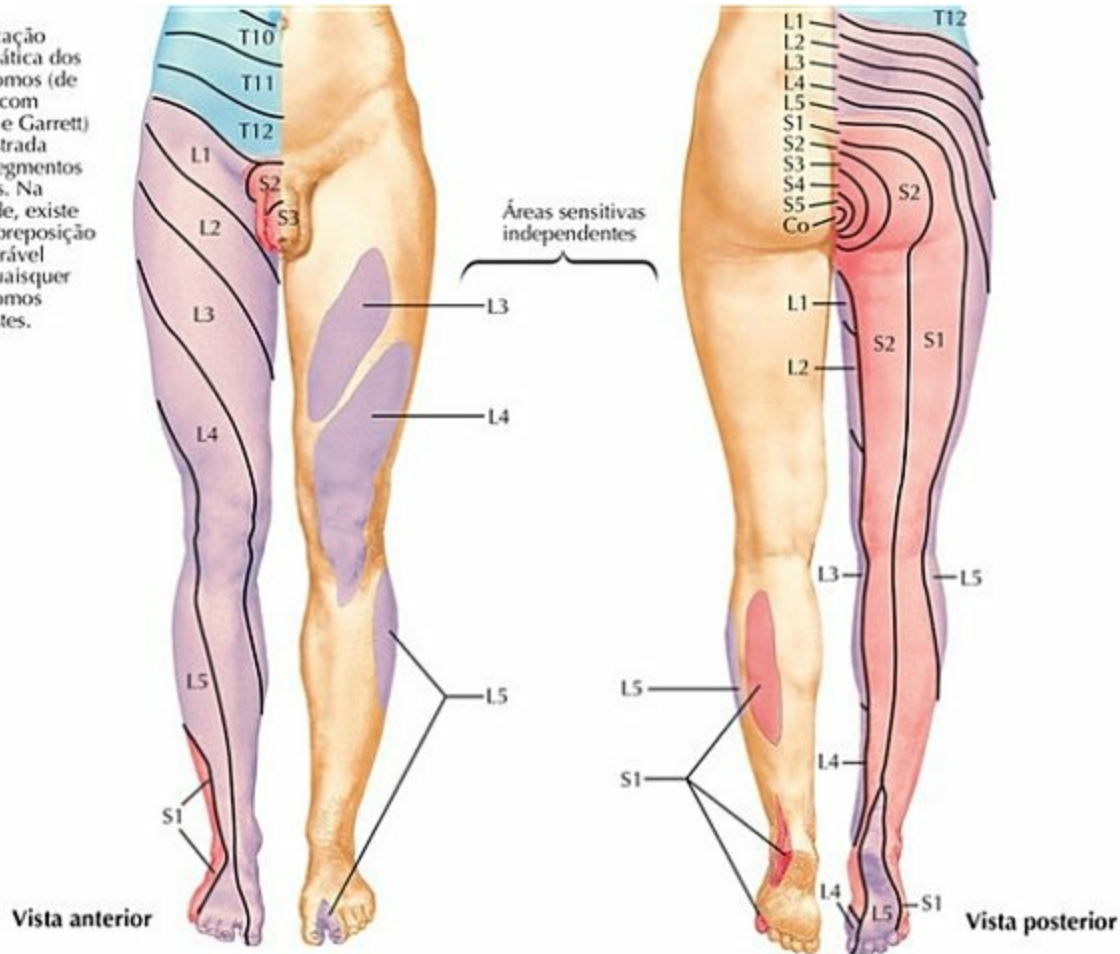
Vista posterior



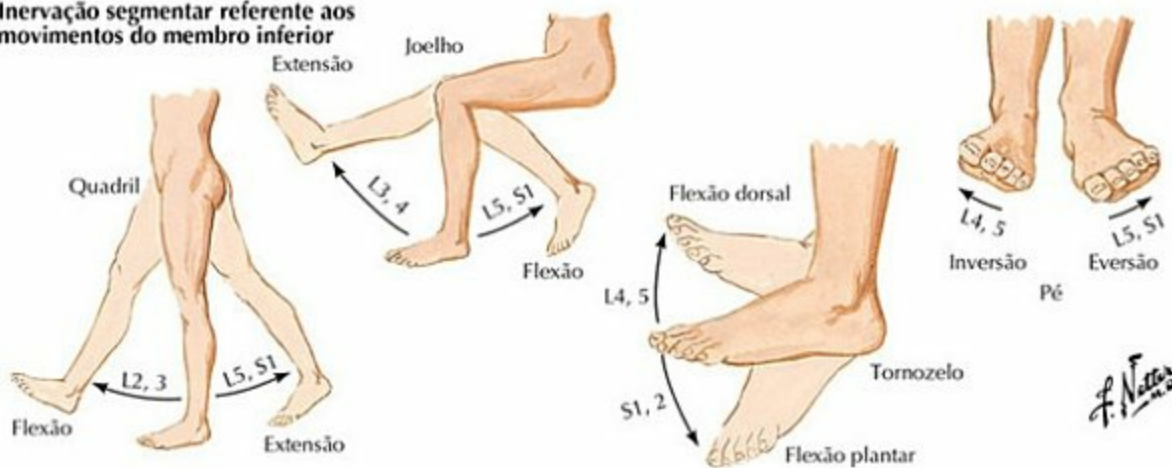
PRANCHA 468 Anatomia Topográfica
Veja também **Pranchas 470, 471**

Dermátomos do Membro Inferior

Demarcação esquemática dos dermatômos (de acordo com Keegan e Garrett) demonstrada como segmentos distintos. Na realidade, existe uma sobreposição considerável entre quaisquer dermatômos adjacentes.

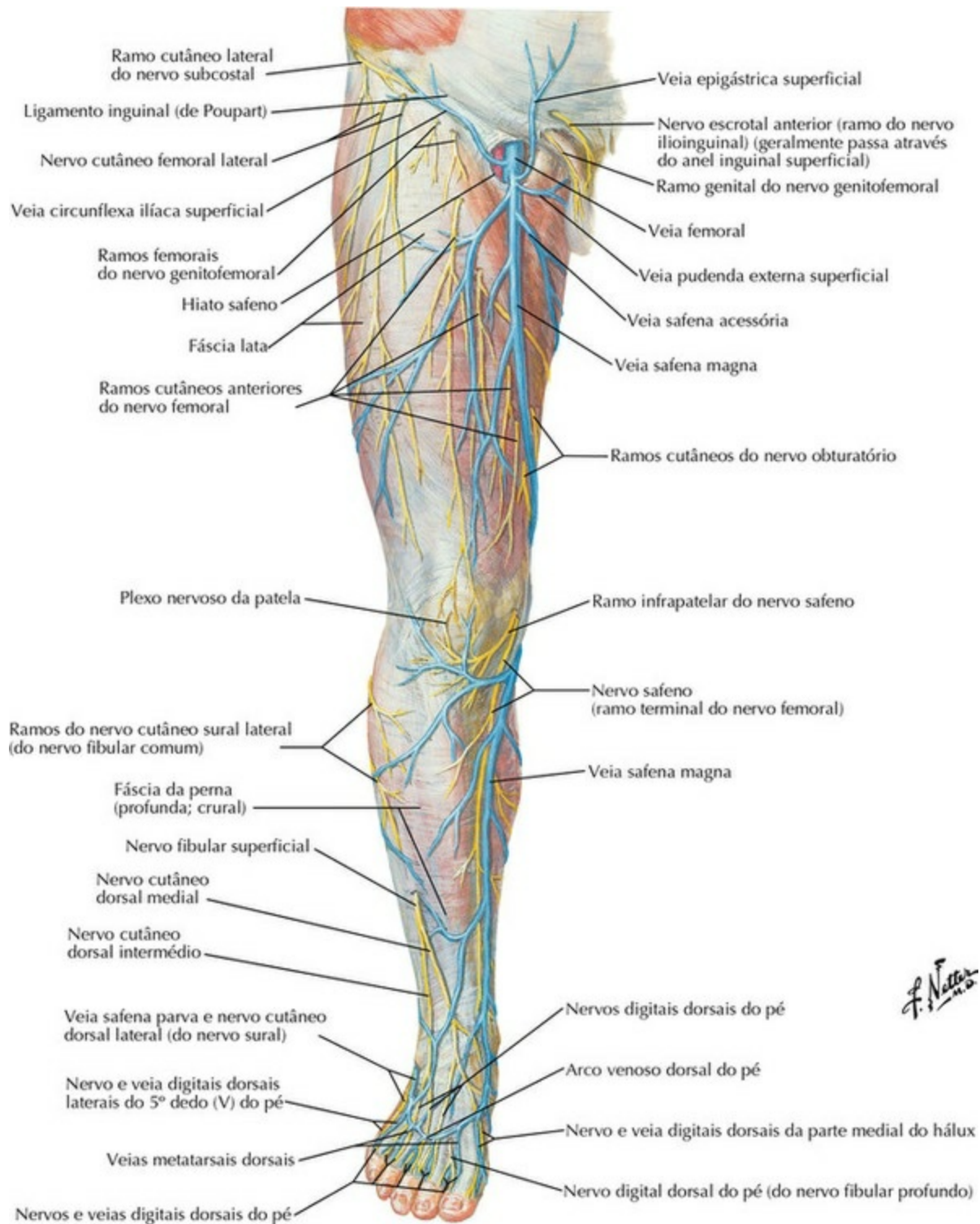


Inervação segmentar referente aos movimentos do membro inferior



PRANCHA 469 Anatomia Cutânea
Veja também **Prancha 162**

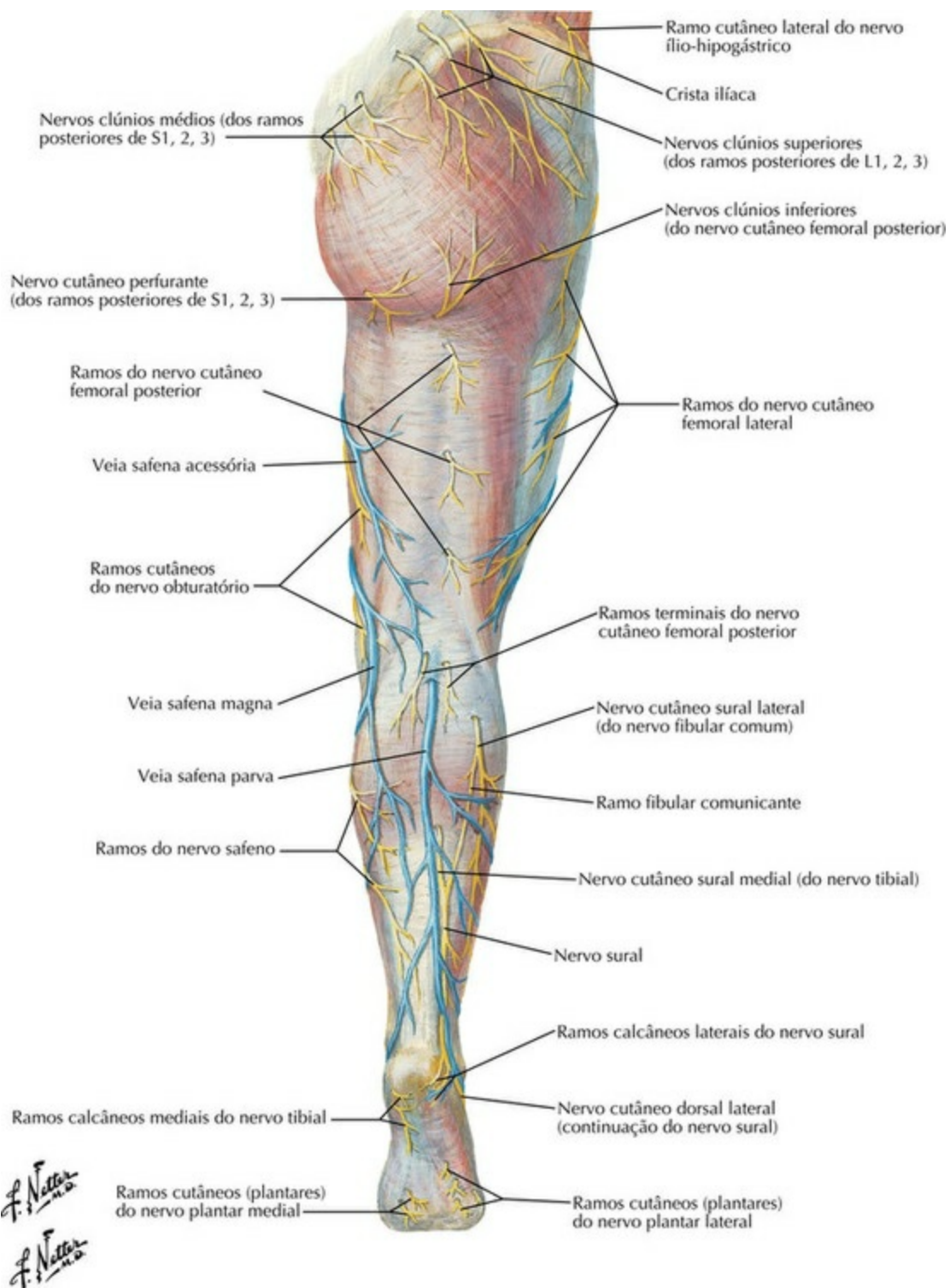
Nervos Cutâneos e Veias Superficiais do Membro Inferior: Vista Anterior



PRANCHA 470 Anatomia Cutânea

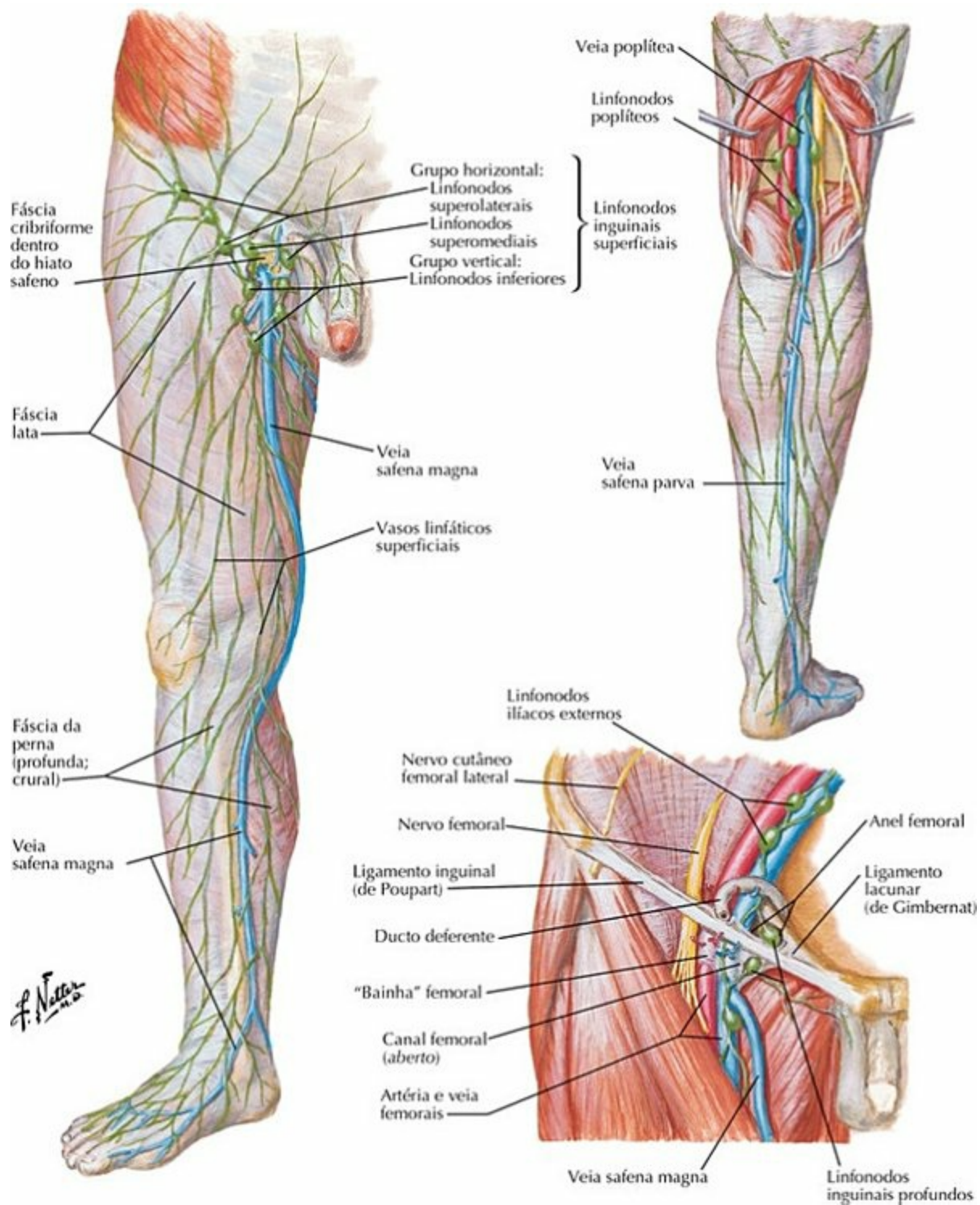
Veja também **Pranchas 525, 526, 529**

Nervos Cutâneos e Veias Superficiais do Membro Inferior: Vista Posterior



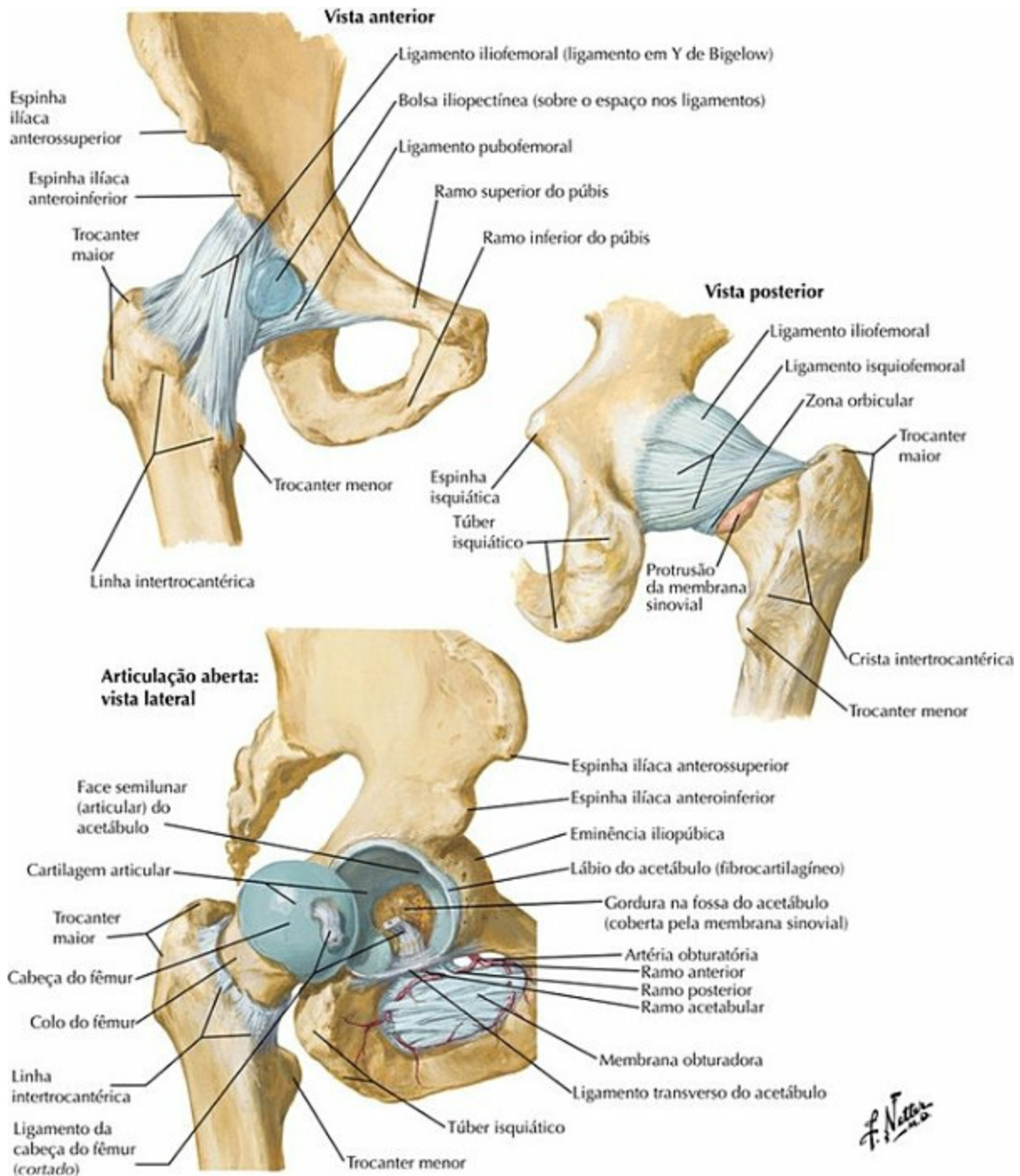
PRANCHA 471 Anatomia Cutânea
Veja também **Pranchas 527, 528**

Vasos Linfáticos e Linfonodos do Membro Inferior



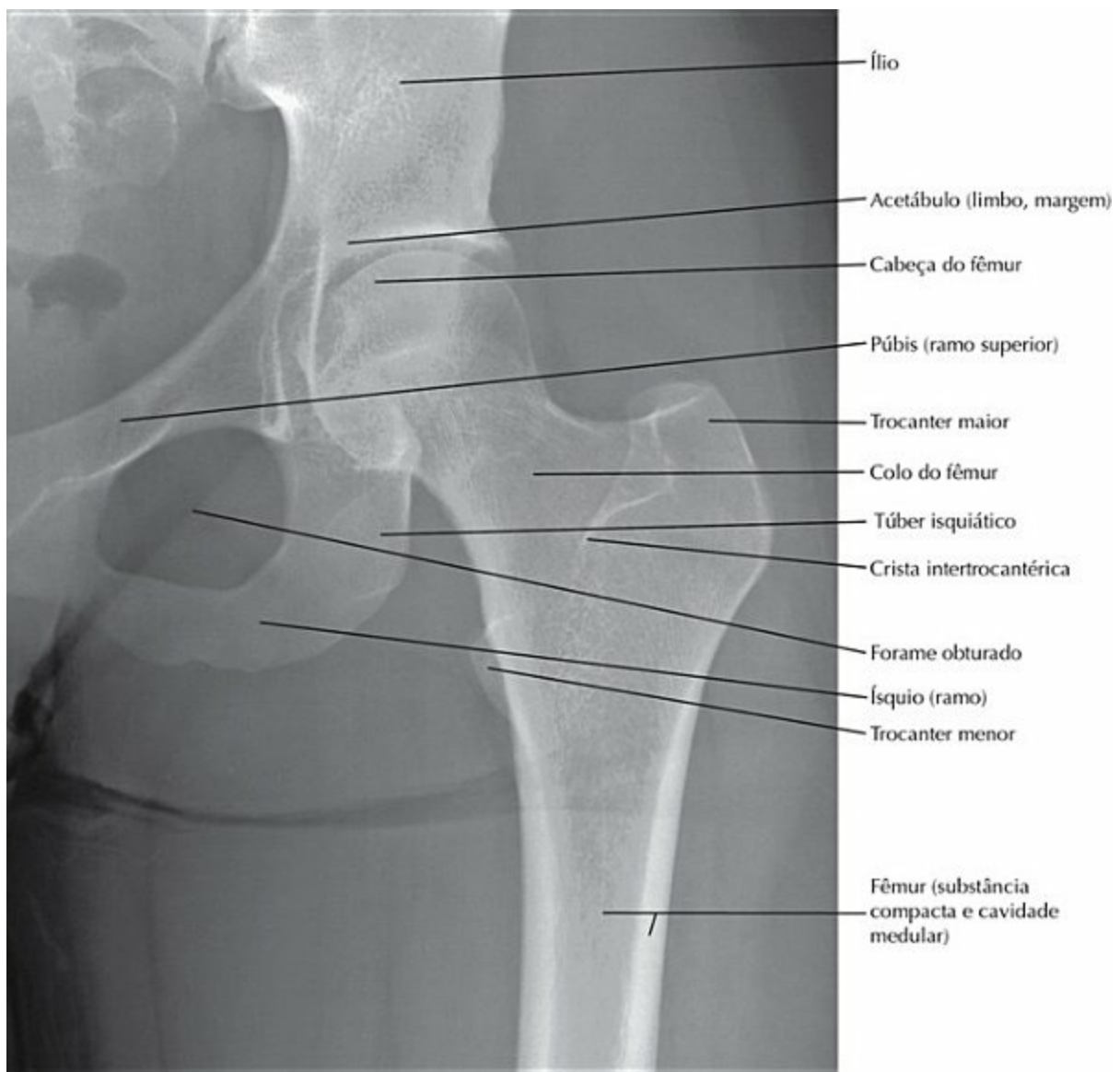
PRANCHA 472 Anatomia Cutânea
Veja também **Pranchas 385, 386**

Osso do Quadril



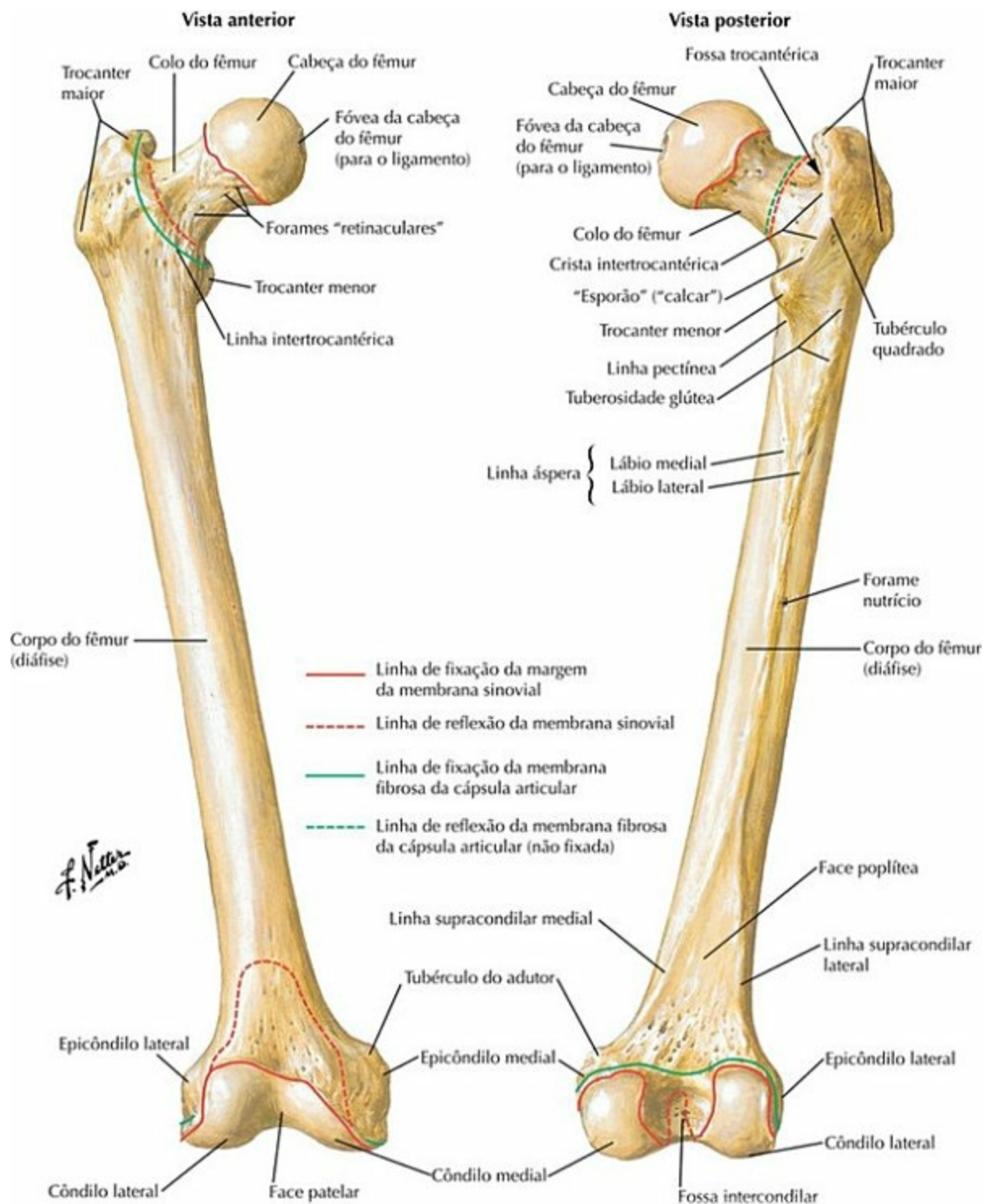
PRANCHA 474 Quadril e Coxa
 Veja também **Pranchas 330, 334**

Articulação do Quadril: Radiografia Anteroposterior



PRANCHA 475 Quadril e Coxa
Veja também **Pranchas 331474, 478**

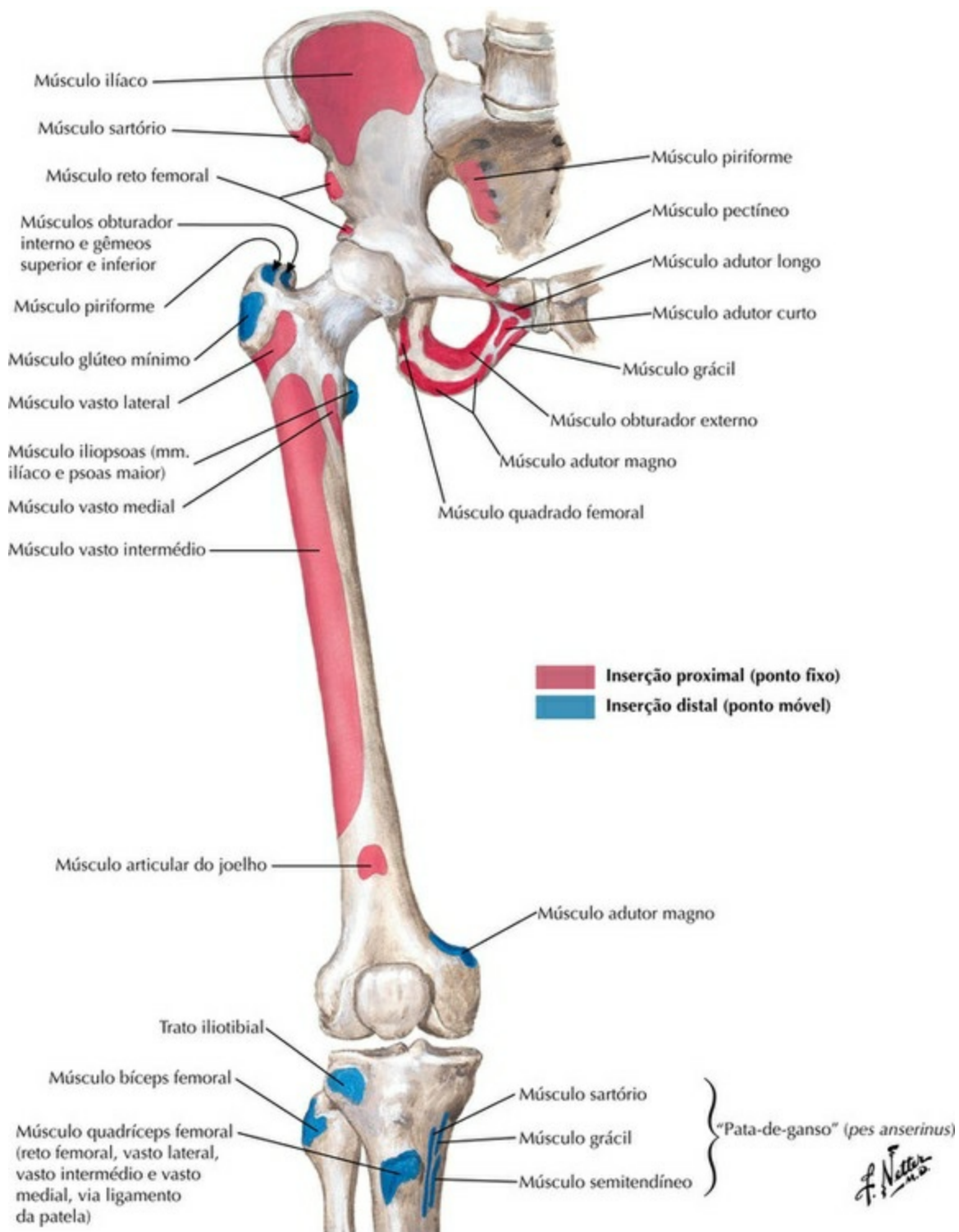
Fêmur



PRANCHA 476 Quadril e Coxa

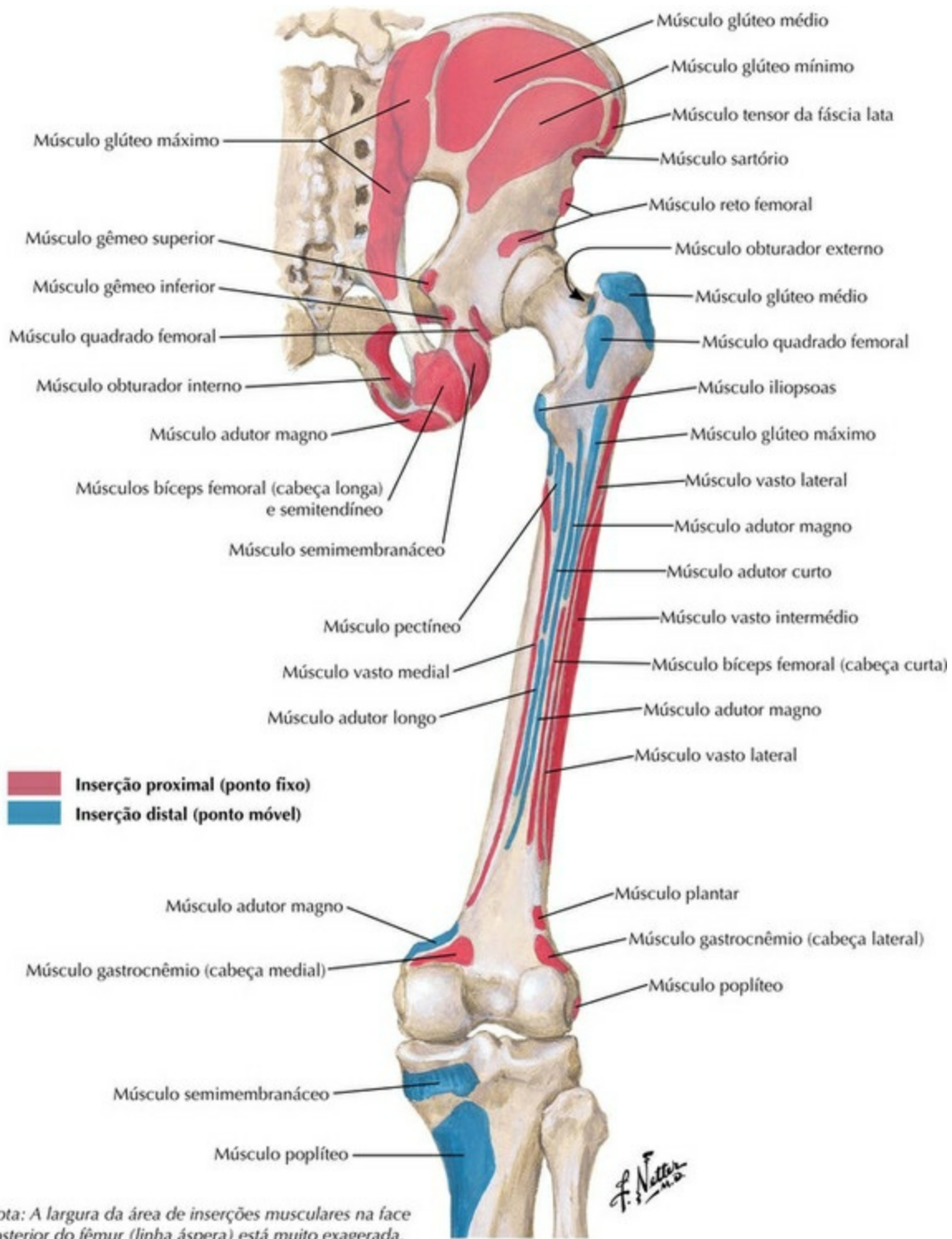
Veja também **Prancha 491**

Inserções Ósseas dos Músculos do Quadril e da Coxa: Vista Anterior



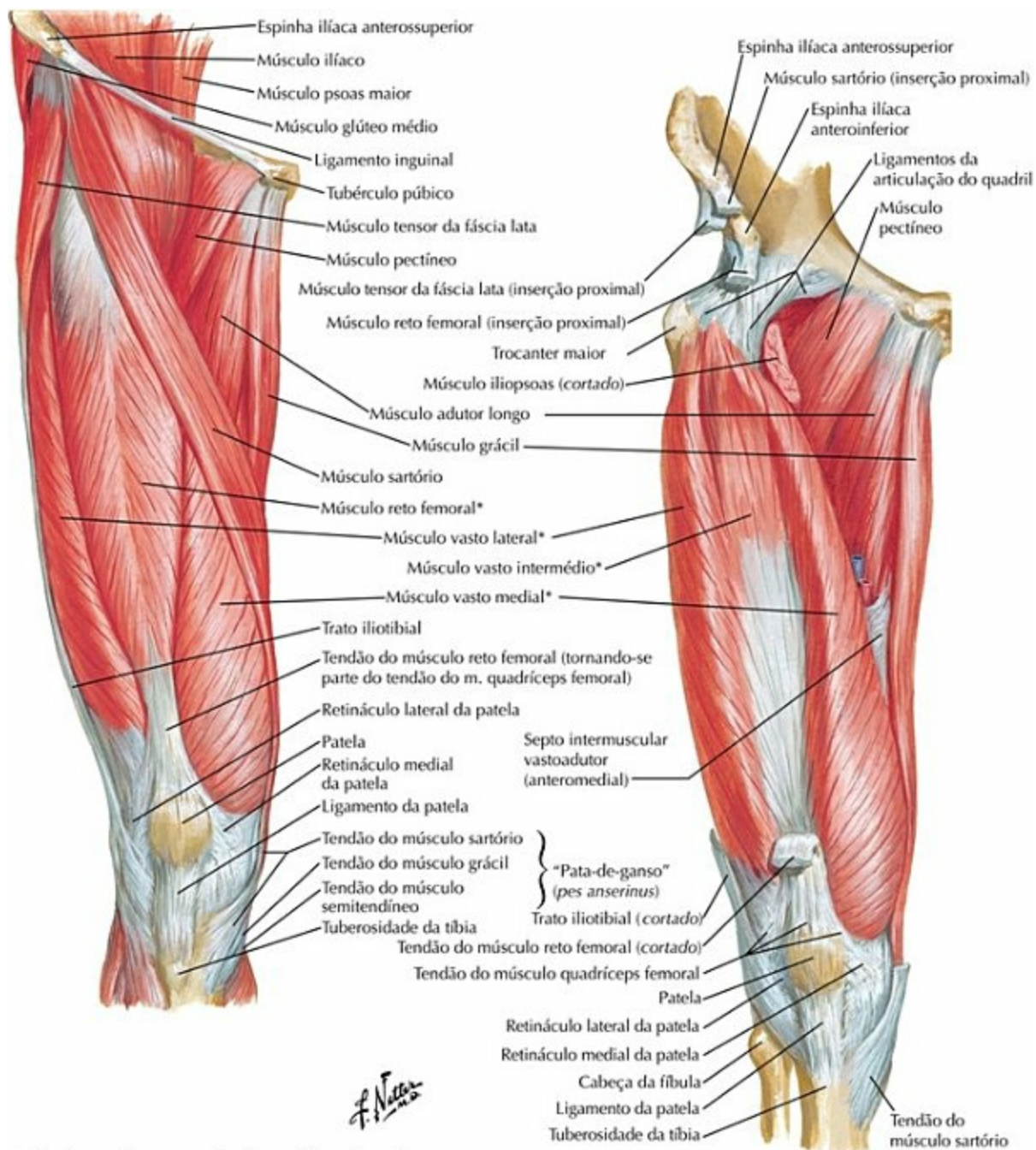
PRANCHA 477 Quadril e Coxa
 Veja também **Prancha 530**

Inserções Ósseas dos Músculos do Quadril e da Coxa: Vista Posterior



PRANCHA 478 Quadril e Coxa
Veja também **Prancha 475**

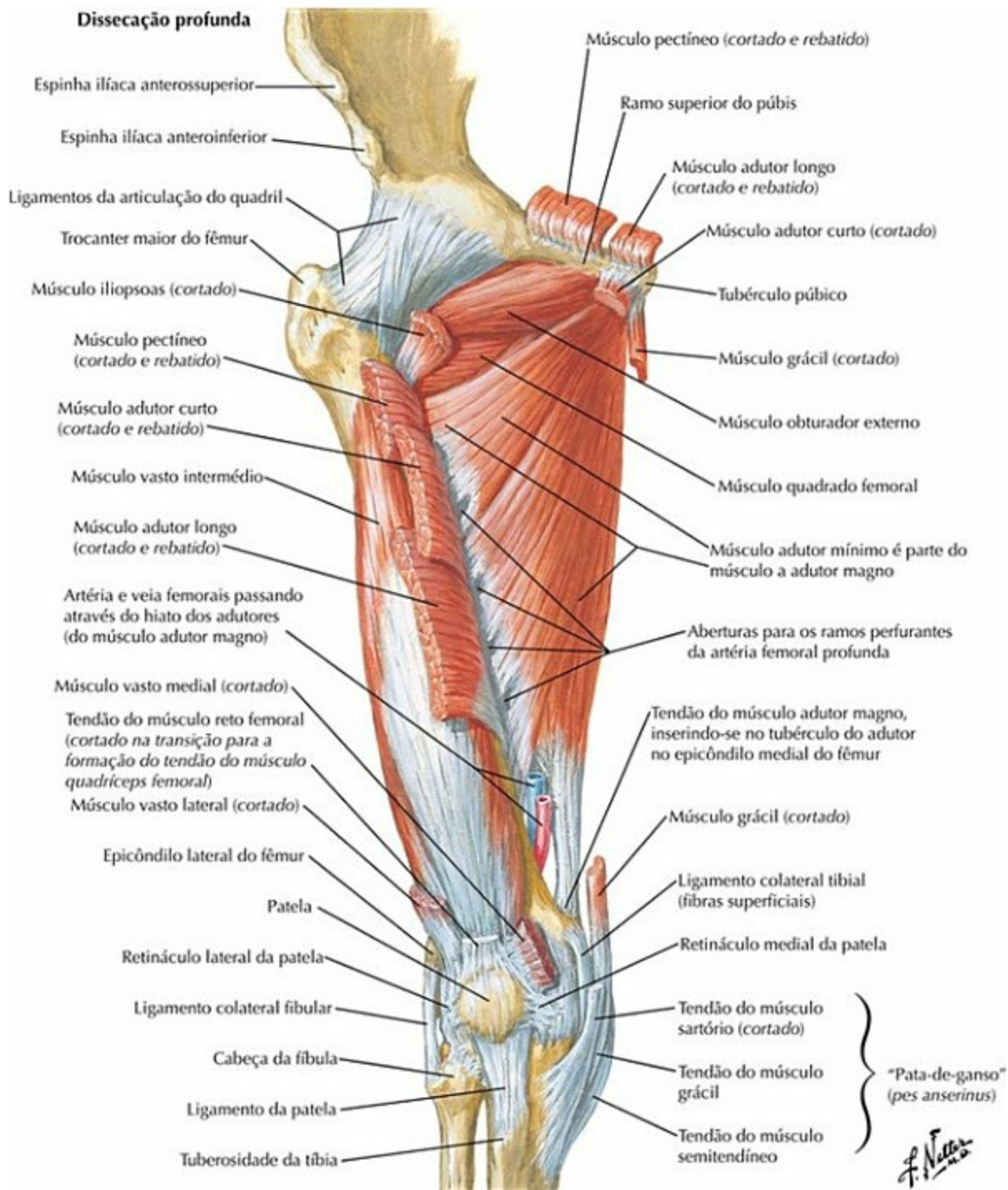
Músculos da Coxa: Vistas Anteriores



PRANCHA 479 Quadril e Coxa

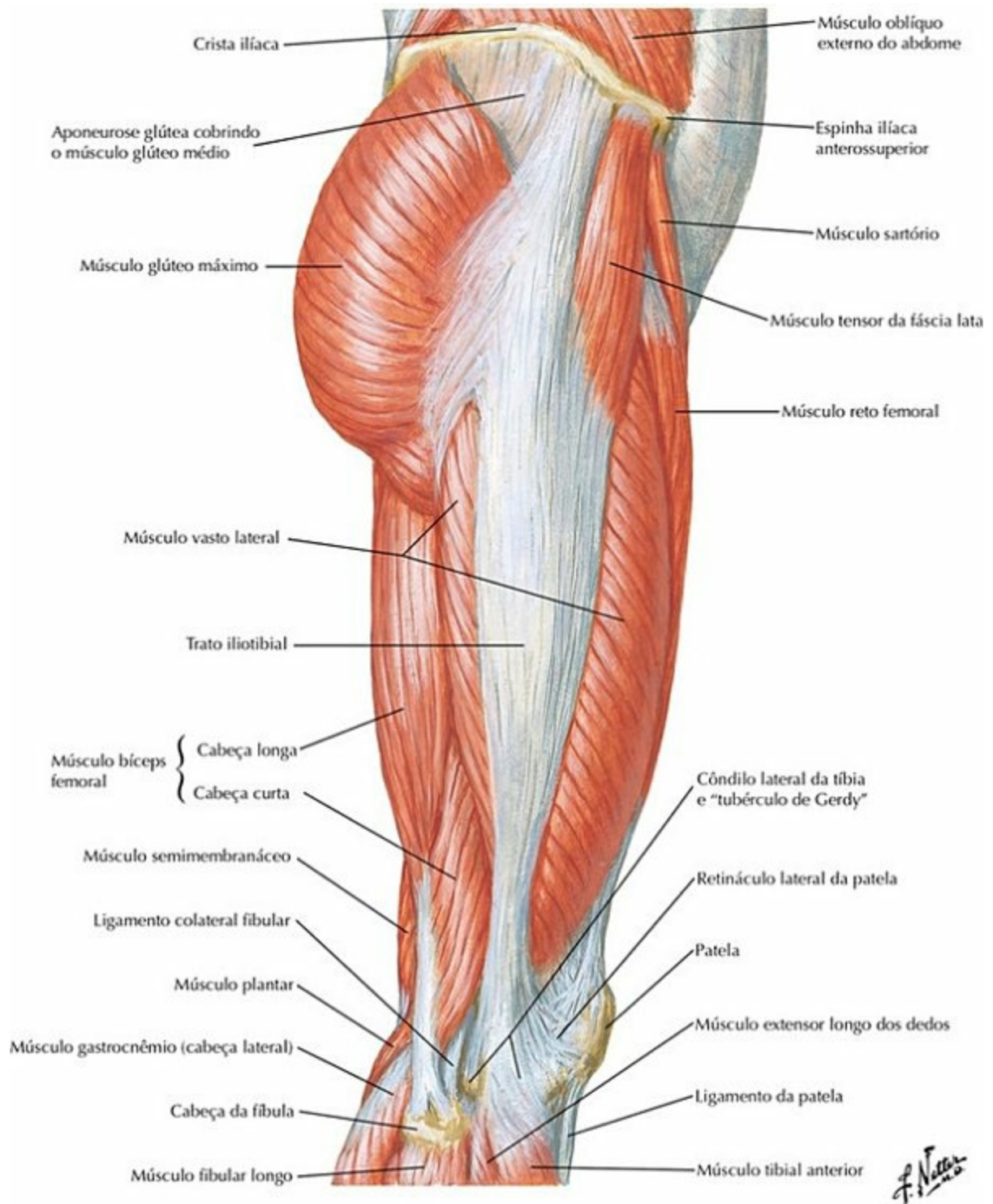
Veja também **Prancha 258**

Músculos da Coxa: Vistas Anteriores (continuação)



PRANCHA 480 Quadril e Coxa

Músculos do Quadril e da Coxa: Vista Lateral

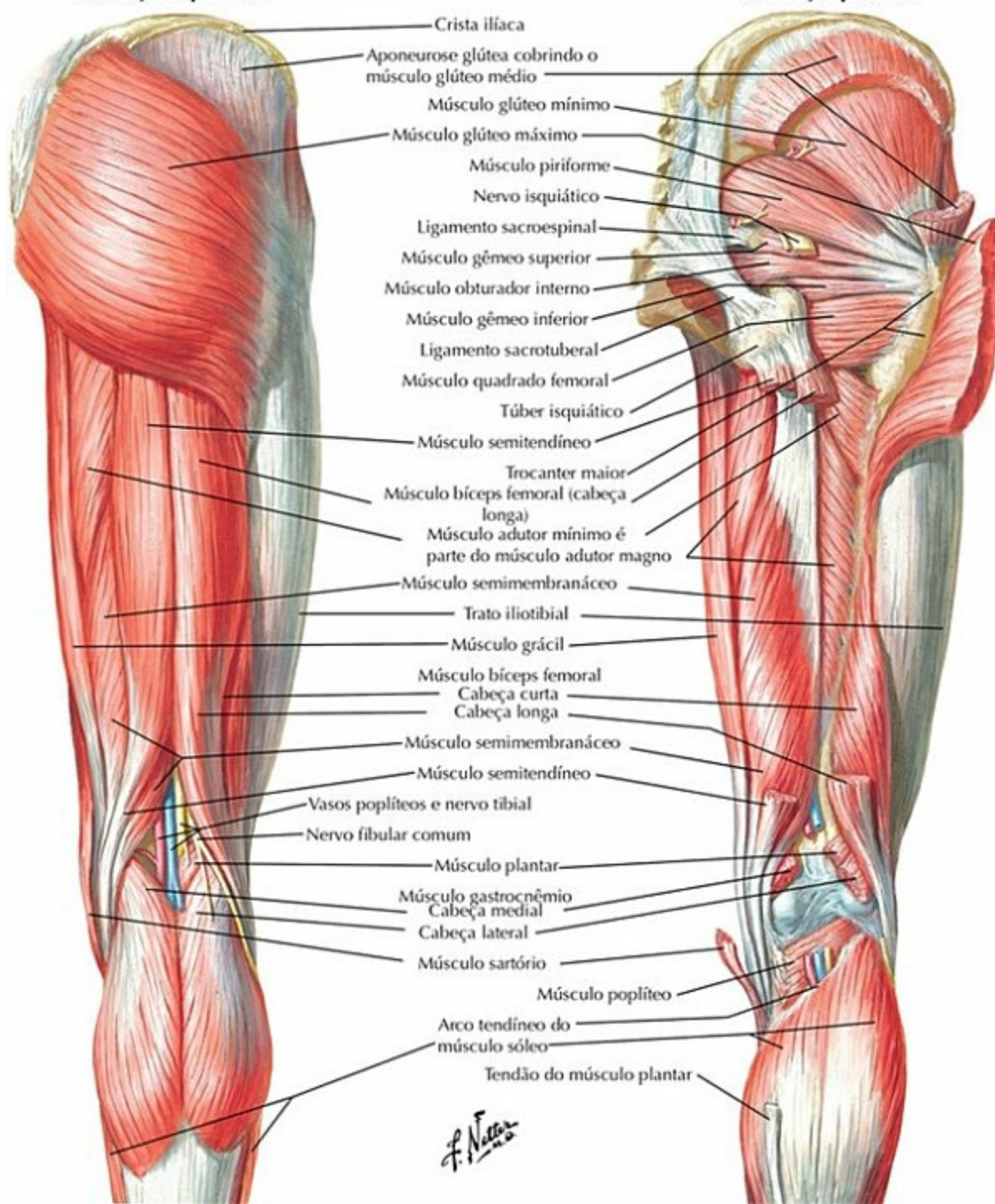


PRANCHA 481 Quadril e Coxa
 Veja também **Prancha 468**

Músculos do Quadril e da Coxa: Vistas Posteriores

Dissecação superficial

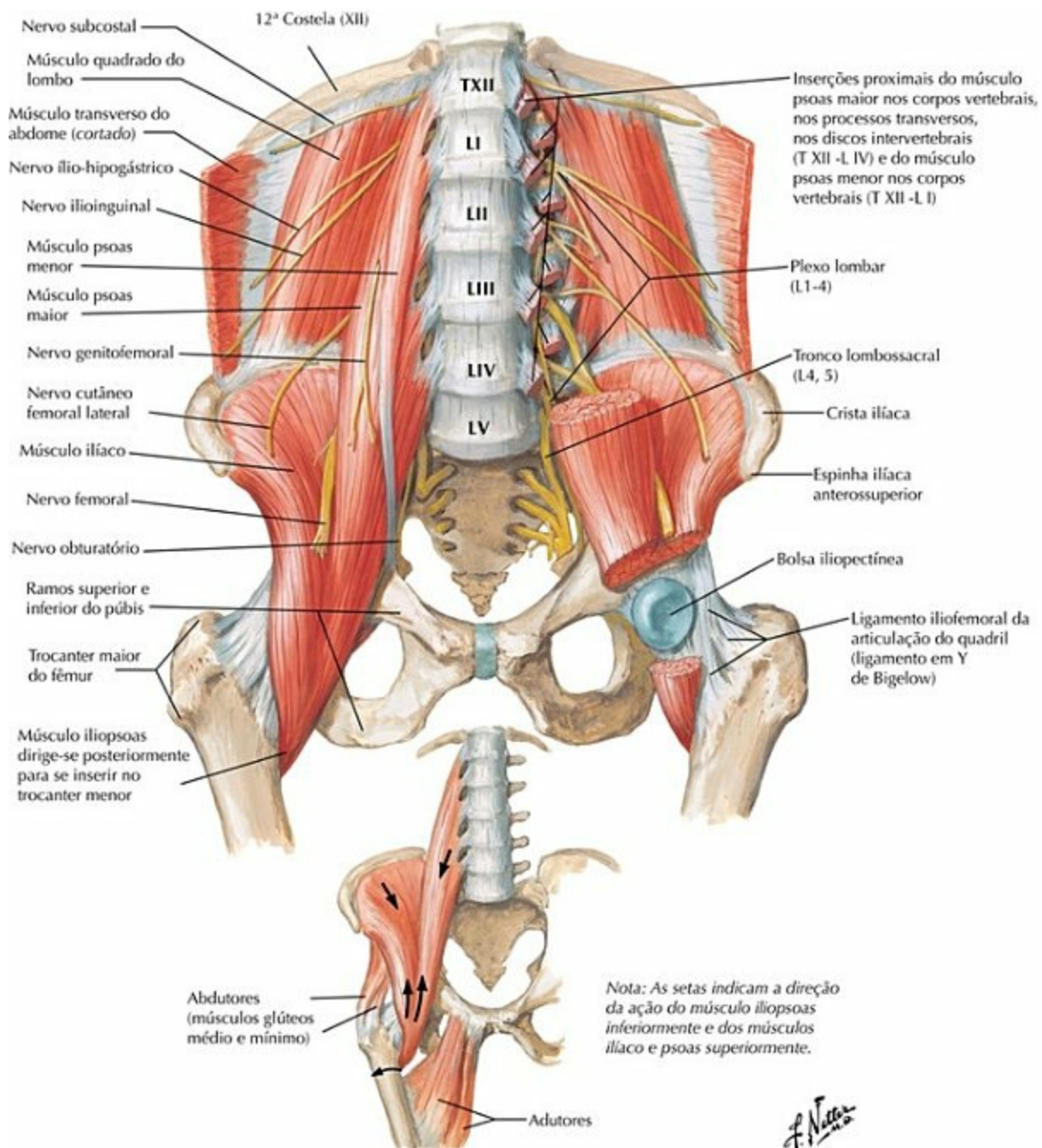
Dissecação profunda



PRANCHA 482 Quadril e Coxa

Veja também **Pranchas 338, 339, 488**

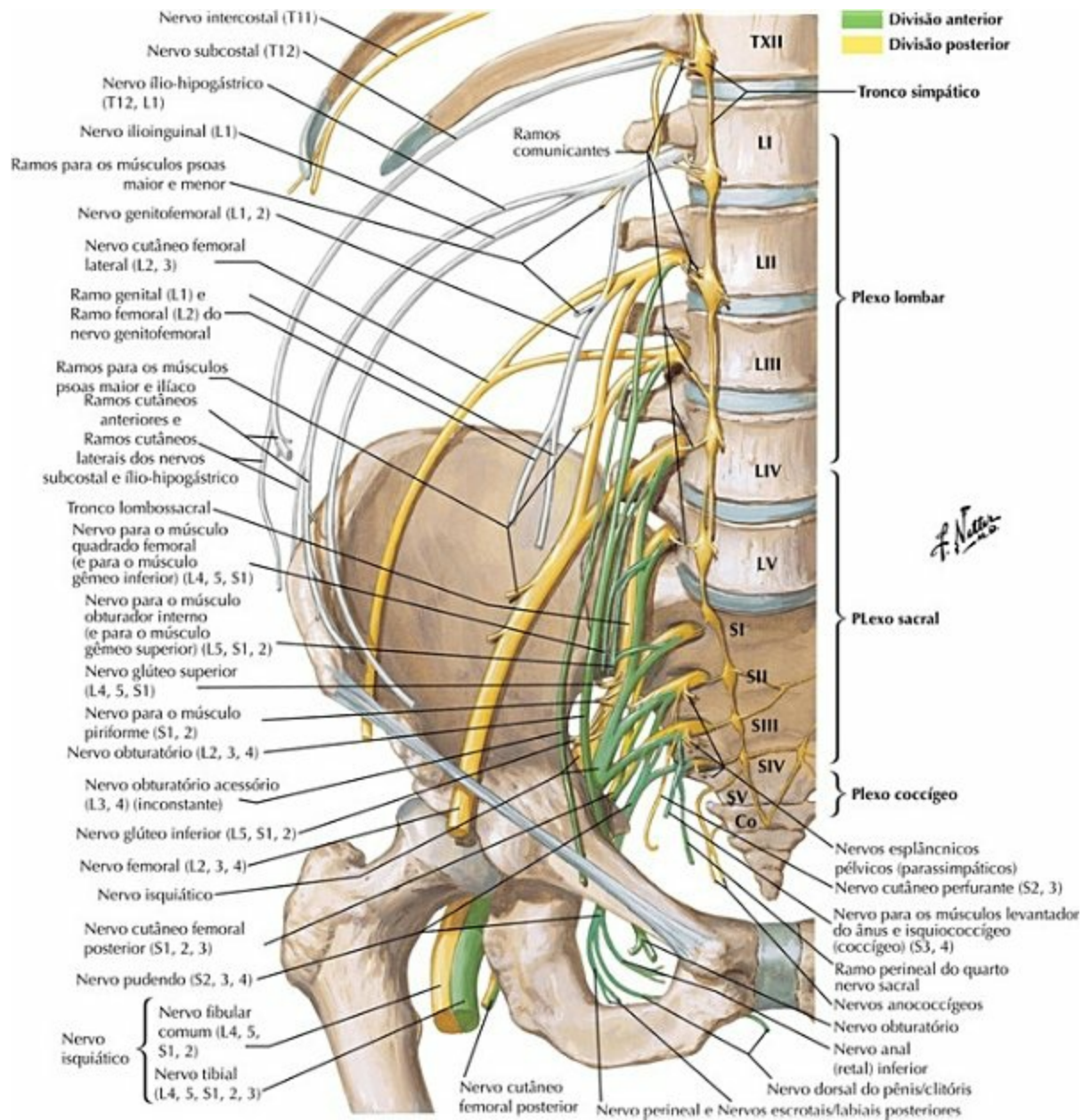
Músculos Psoas e Ilíaco



PRANCHA 483 Quadril e Coxa

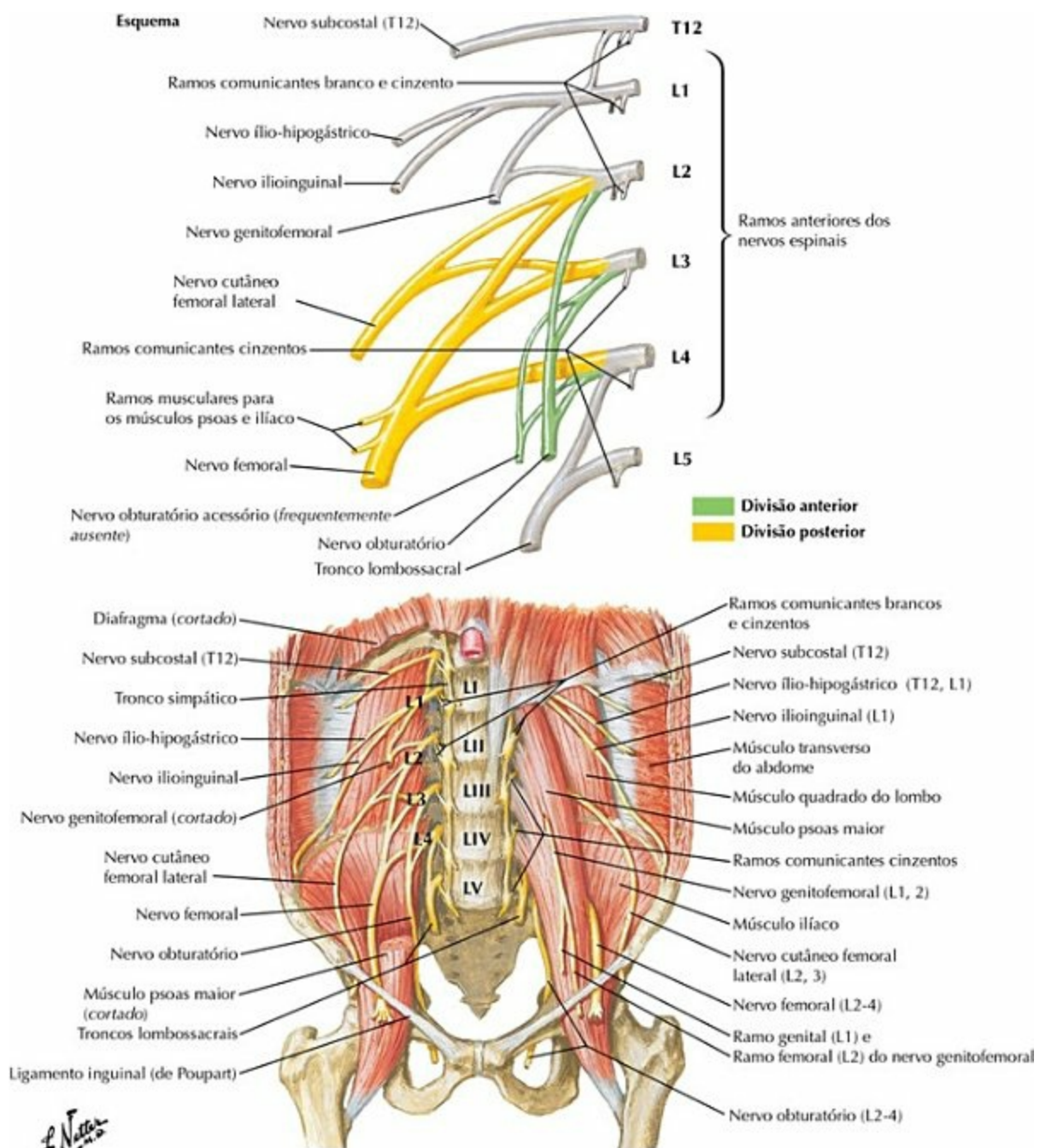
Veja também [Pranchas 253, 258, 262](#)

Plexos Lombossacral e Coccígeo



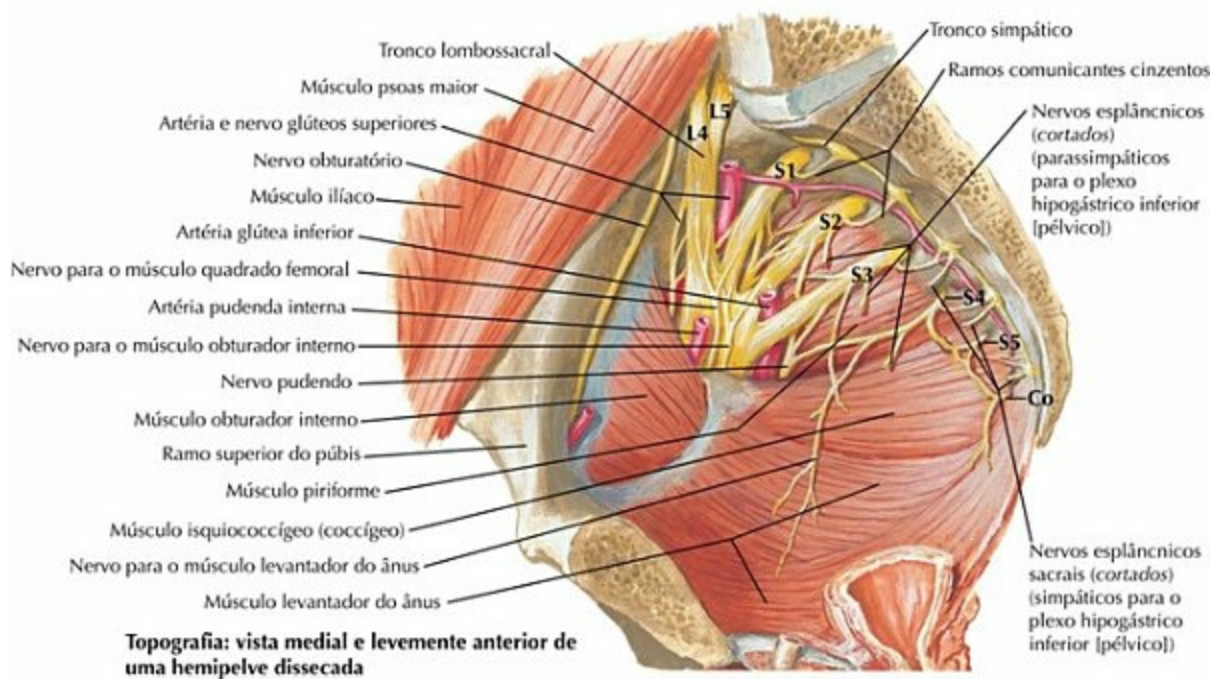
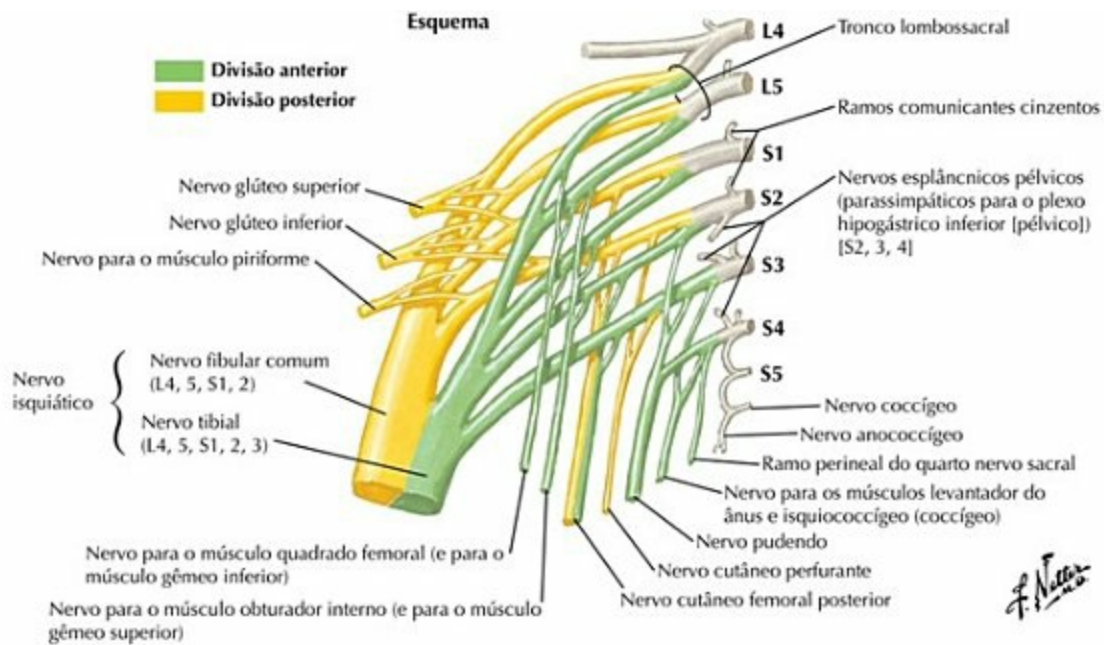
PRANCHA 484 Quadril e Coxa
Veja também **Prancha 262**

Plexo Lombar



PRANCHA 485 Quadril e Coxa
 Veja também **Prancha 262**

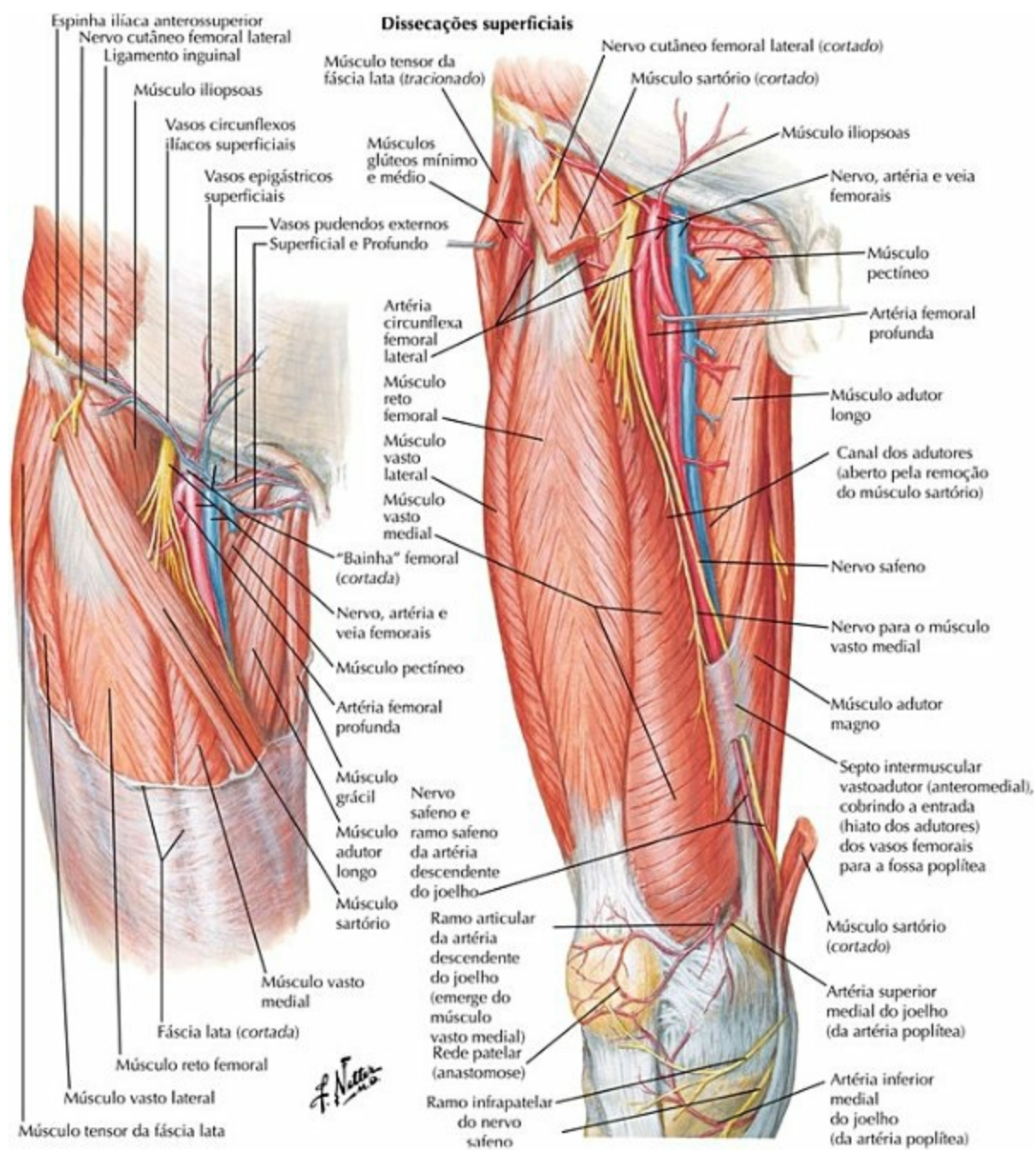
Plexos Sacral e Coccígeo



PRANCHA 486 Quadril e Coxa

Veja também **Prancha 262**

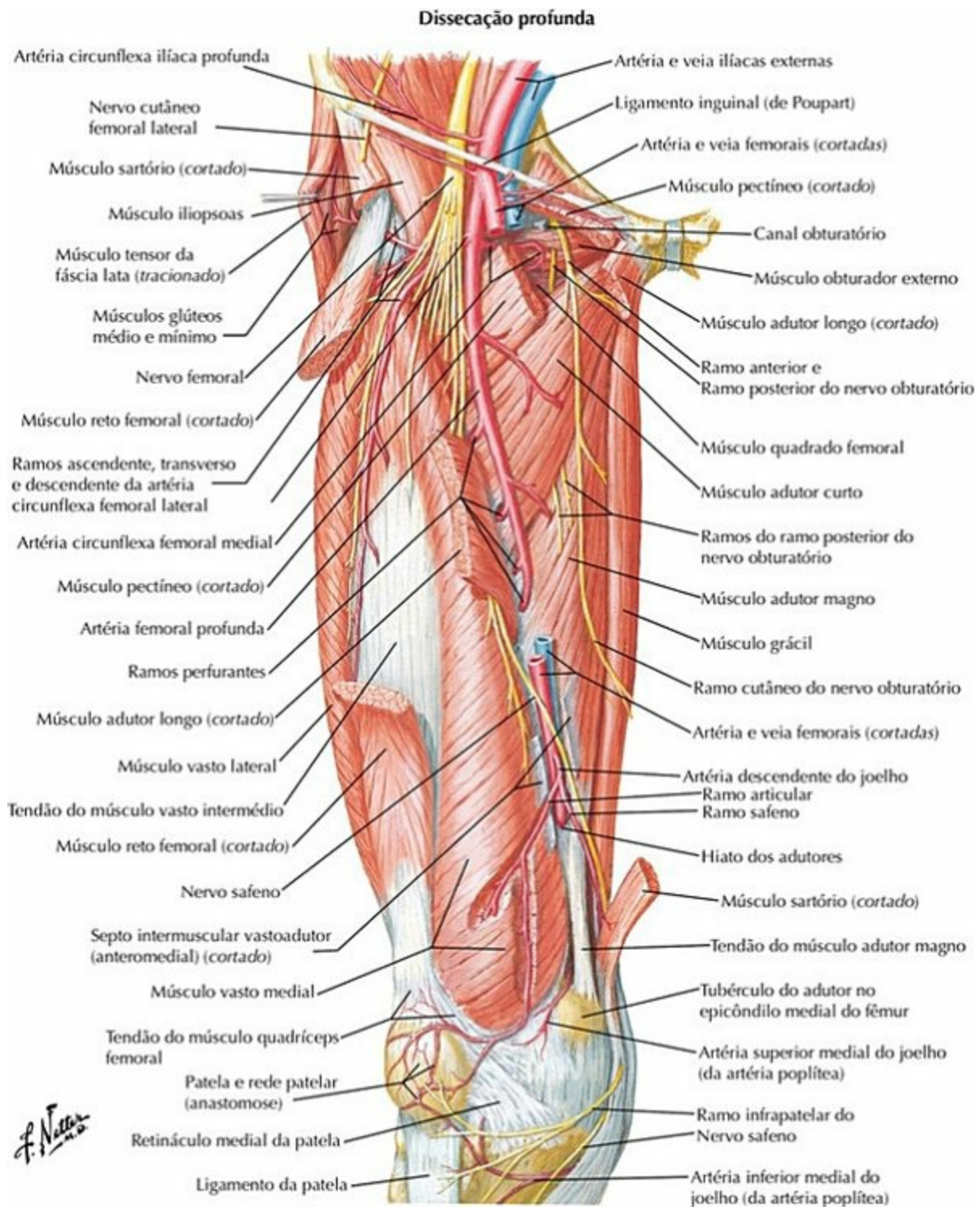
Artérias e Nervos da Coxa: Vistas Anteriores



PRANCHA 487 Quadril e Coxa

Veja também **Prancha 525**

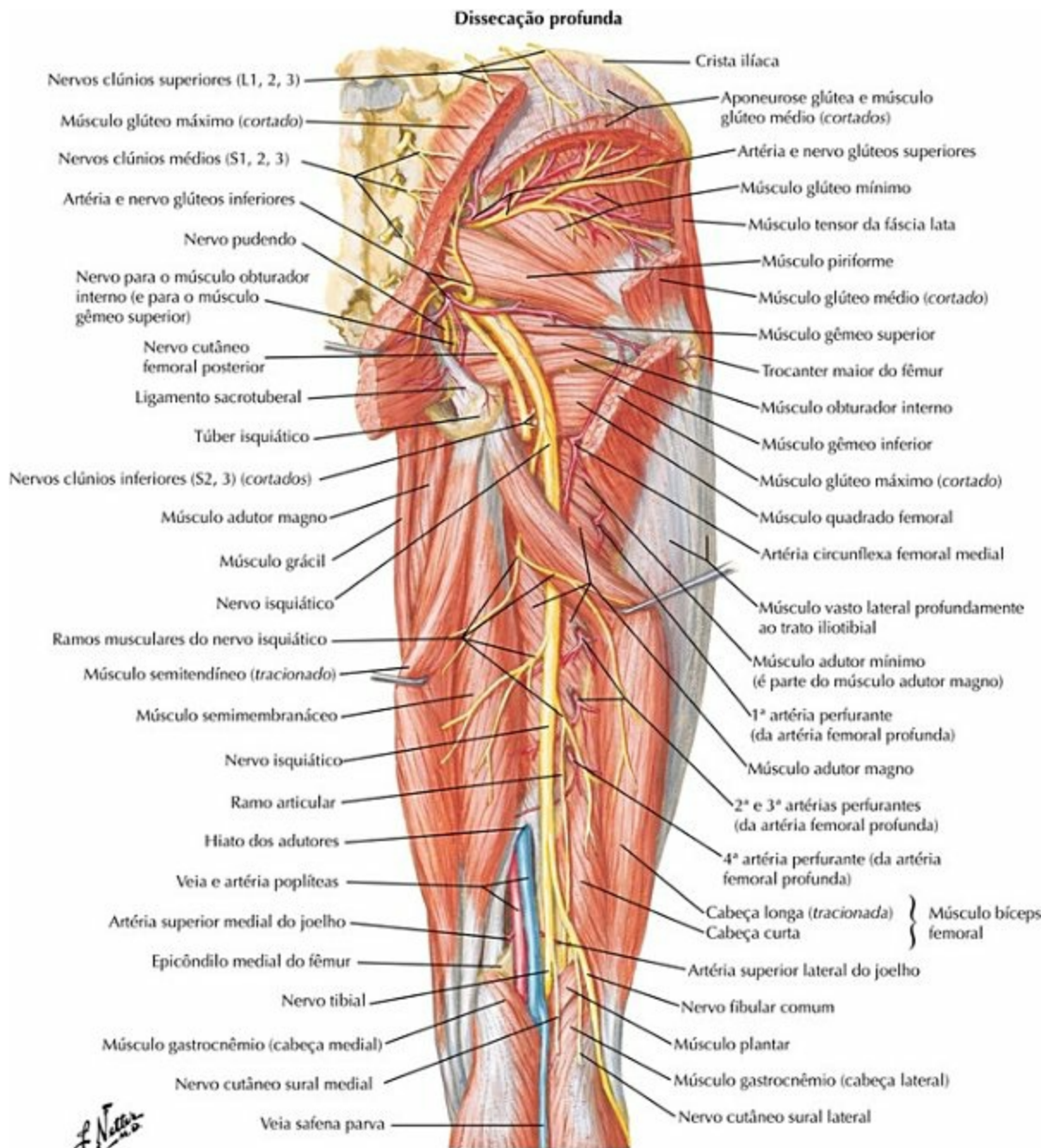
**Artérias e Nervos da Coxa: Vista Anterior
(continuação)**



PRANCHA 488 Quadril e Coxa

Veja também **Pranchas 525, 526**

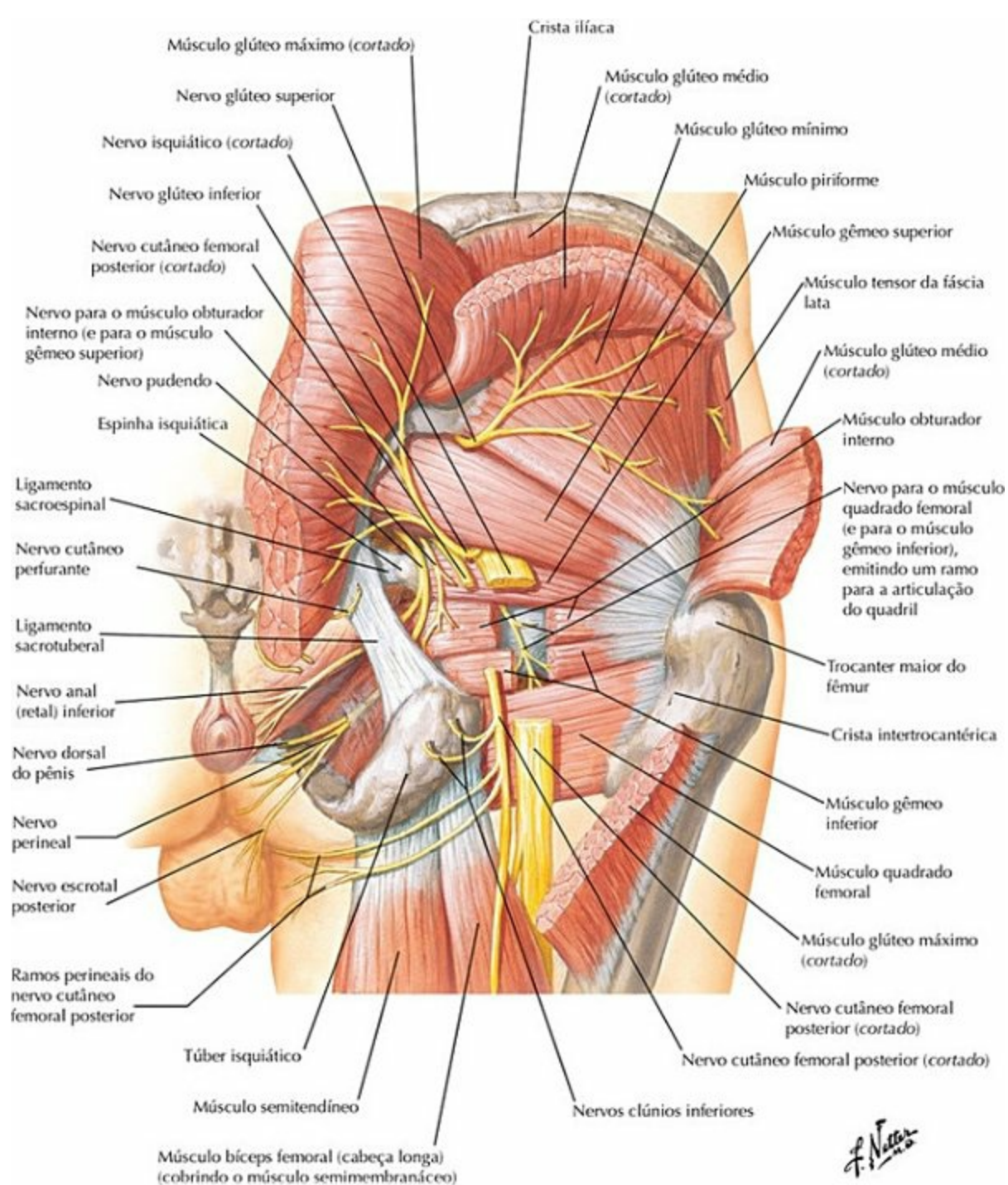
Artérias e Nervos da Coxa: Vista Posterior



PRANCHA 489 Quadril e Coxa

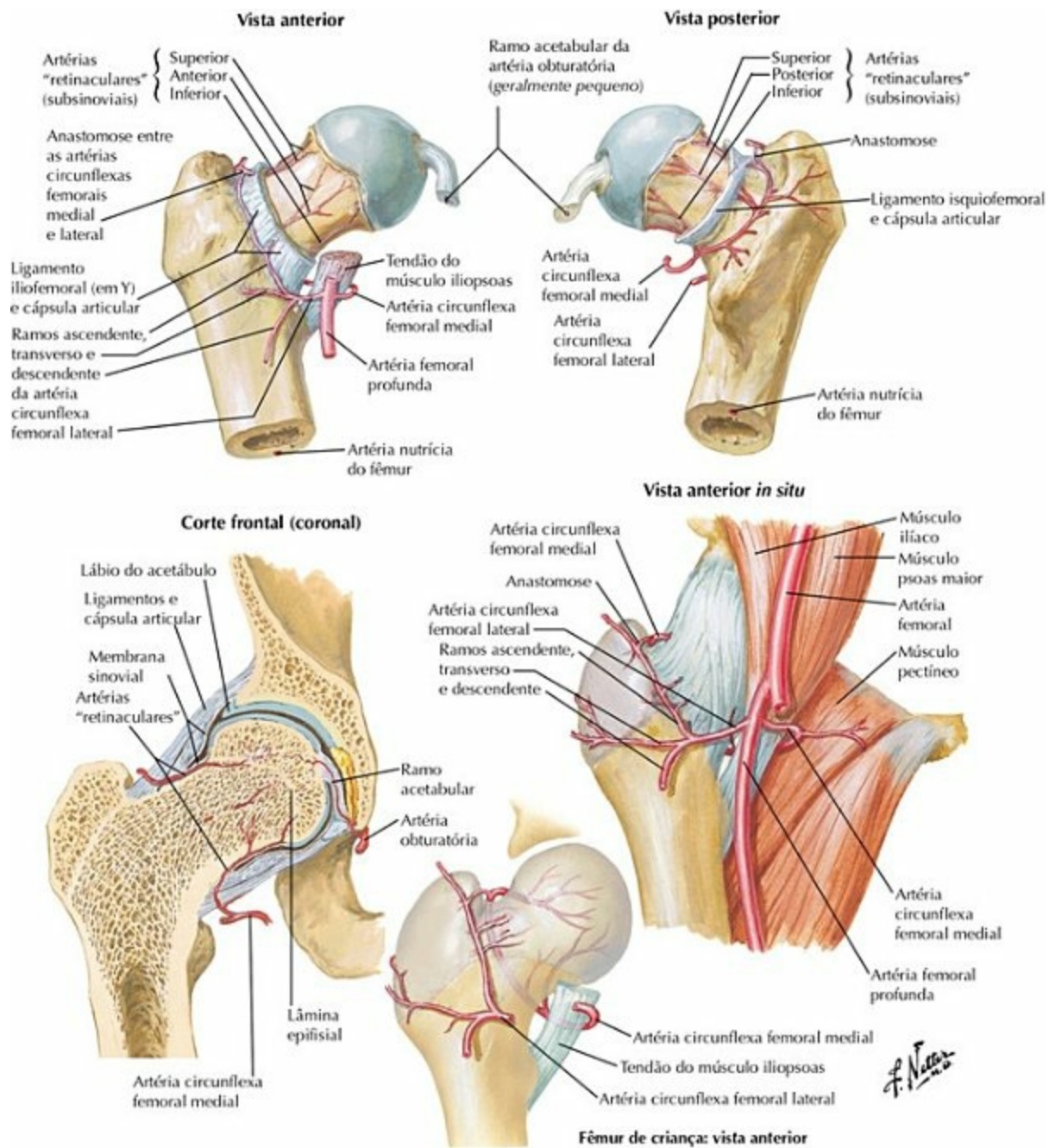
Veja também **Prancha 527**

Nervos do Quadril e da Região Glútea (Nádegas)



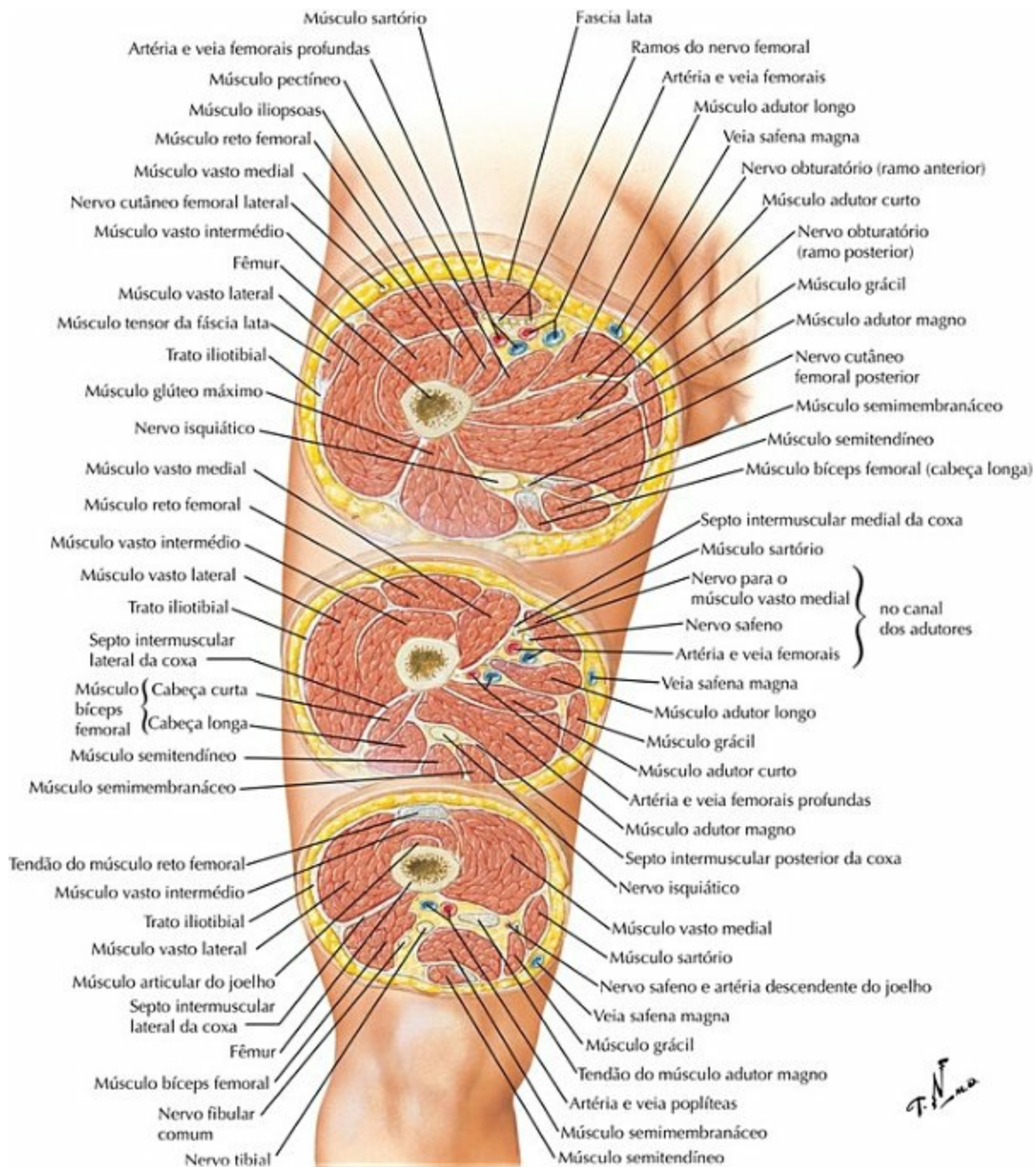
PRANCHA 490 Quadril e Coxa
 Veja também **Prancha 333**

Artérias da Cabeça e do Colo do Fêmur



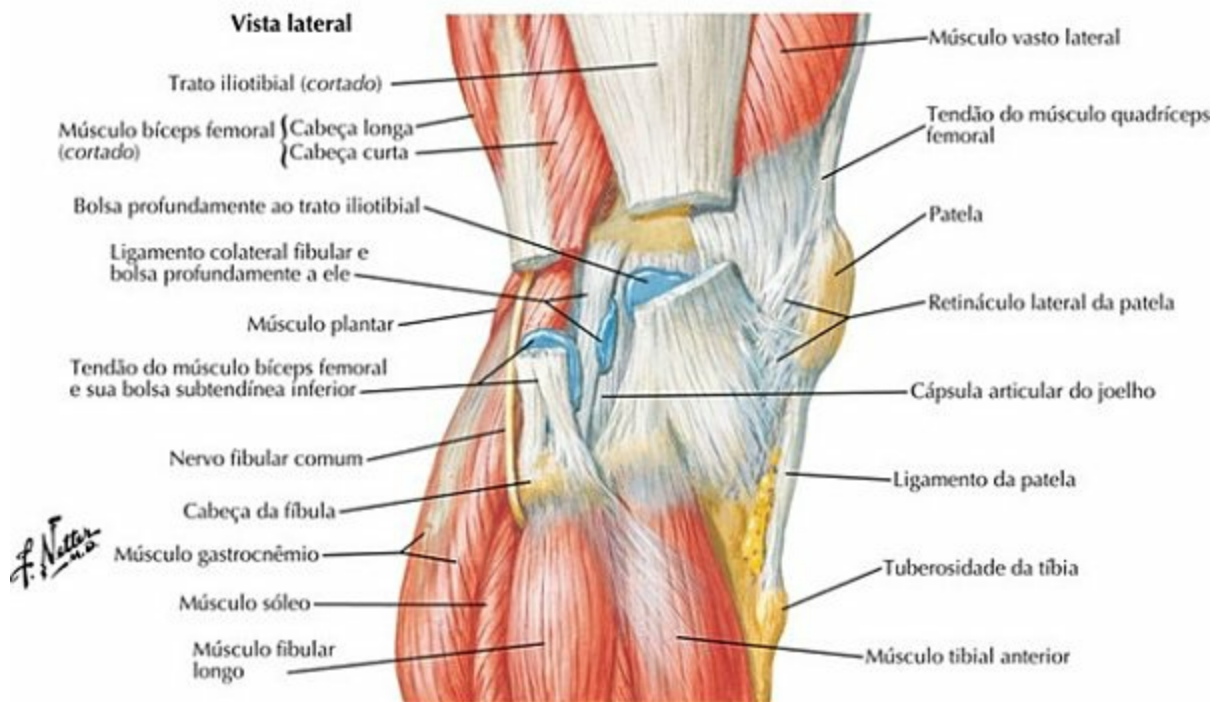
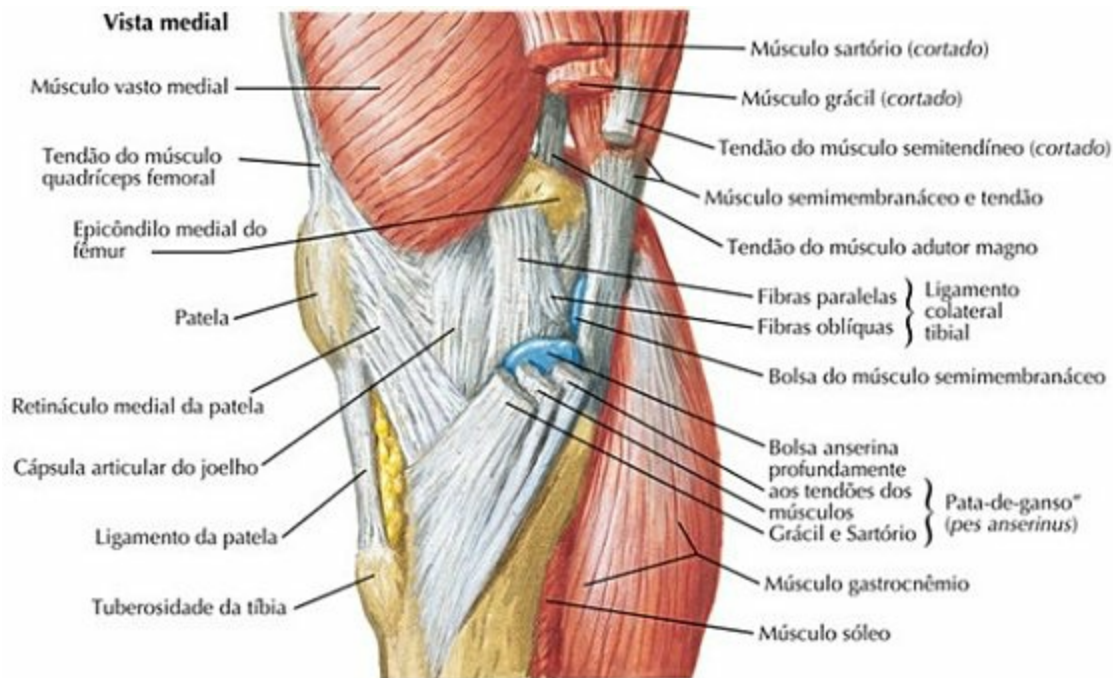
PRANCHA 491 Quadril e Coxa
 Veja também **Pranchas 499, 530**

Coxa: Cortes Transversais Seriados



PRANCHA 492 Quadril e Coxa

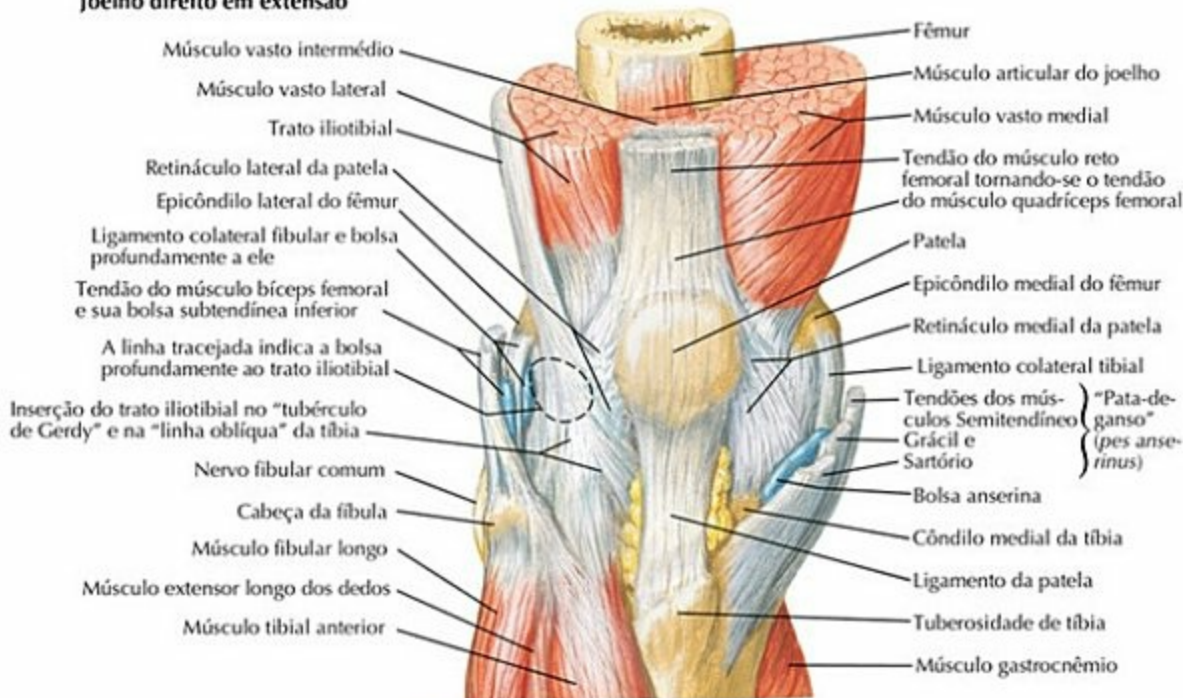
Joelho: Vistas Lateral e Medial



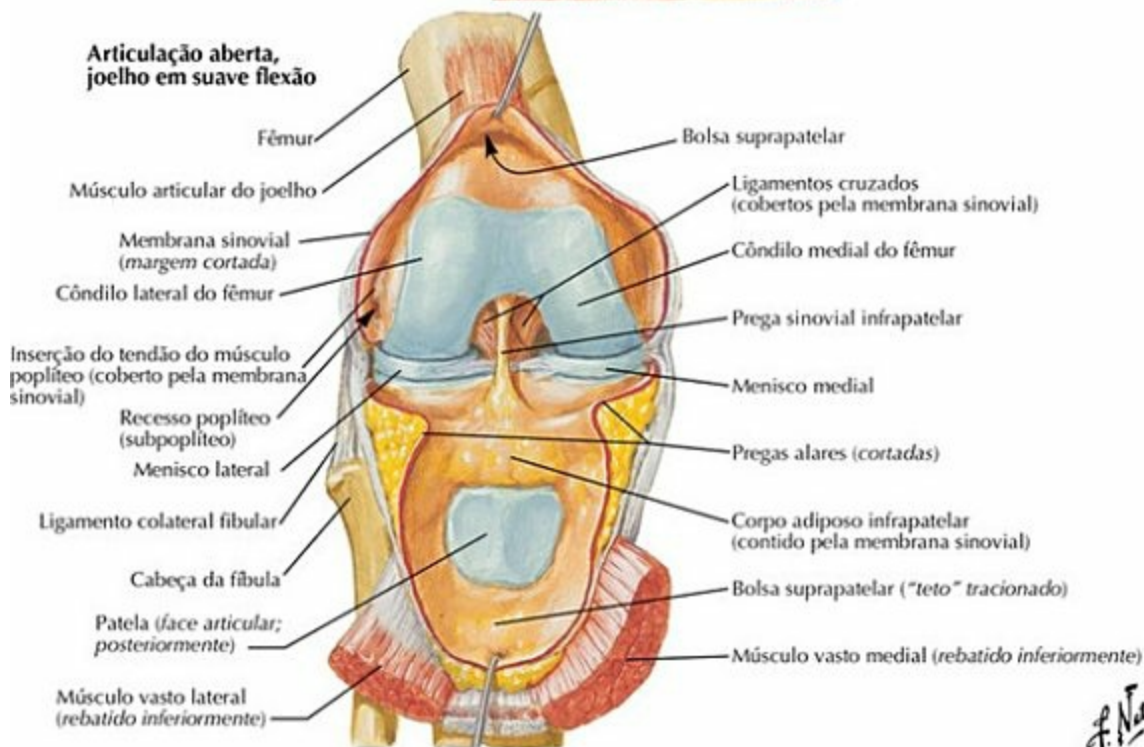
PRANCHA 493 Joelho

Joelho: Vistas Anteriores

Joelho direito em extensão



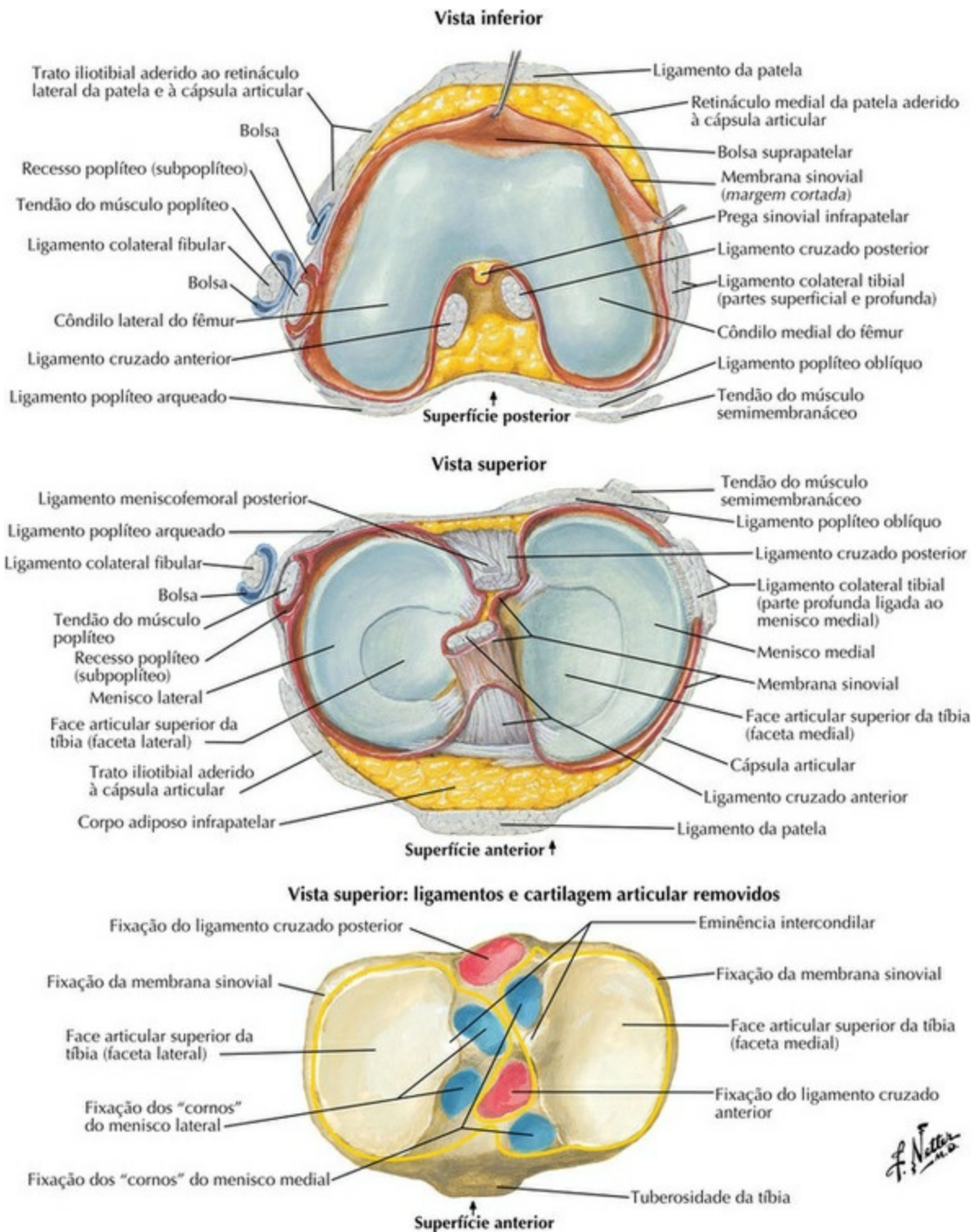
Articulação aberta, joelho em suave flexão



PRANCHA 494 Joelho

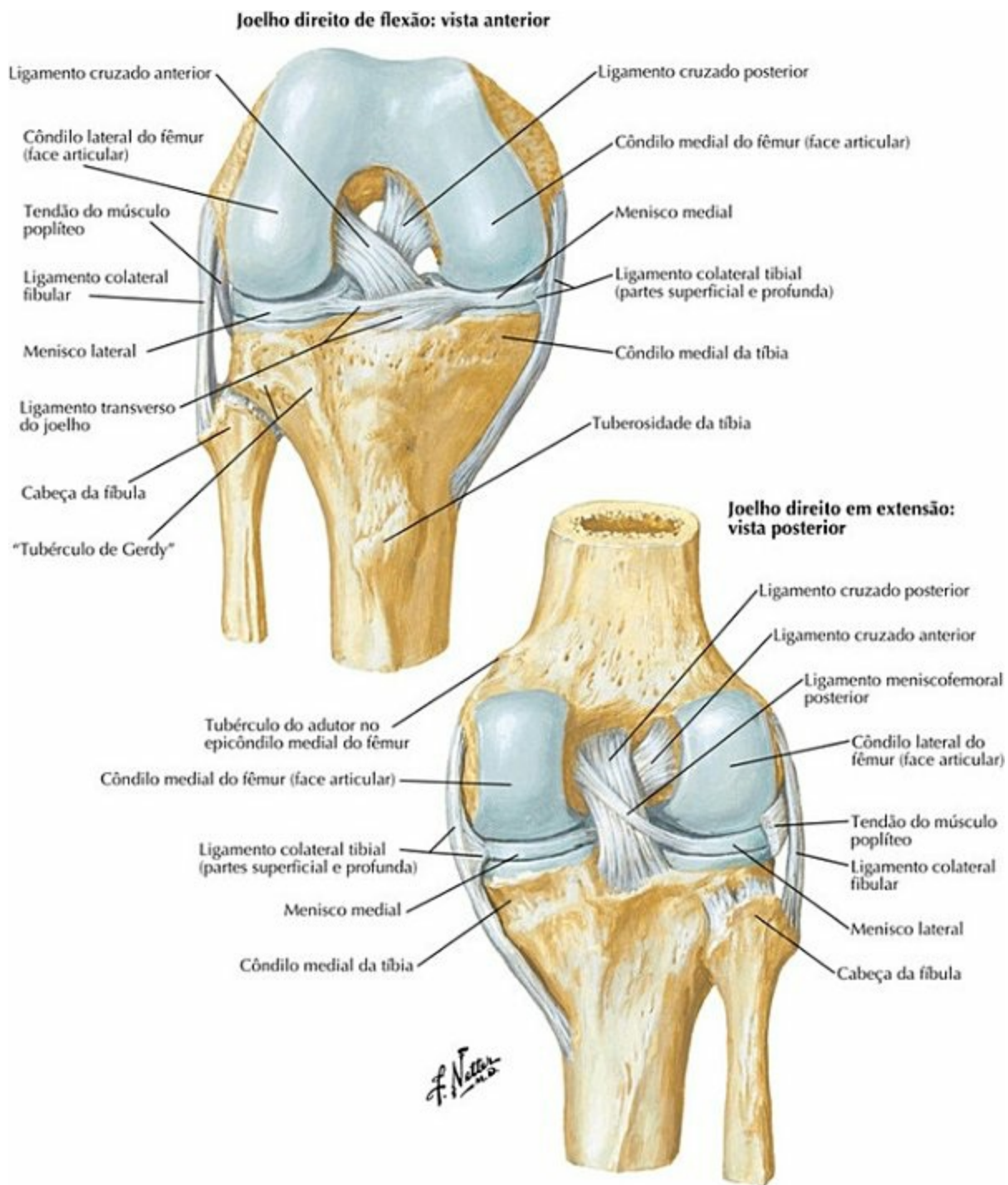
Veja também **Prancha 497**

Joelho: Vista Interna



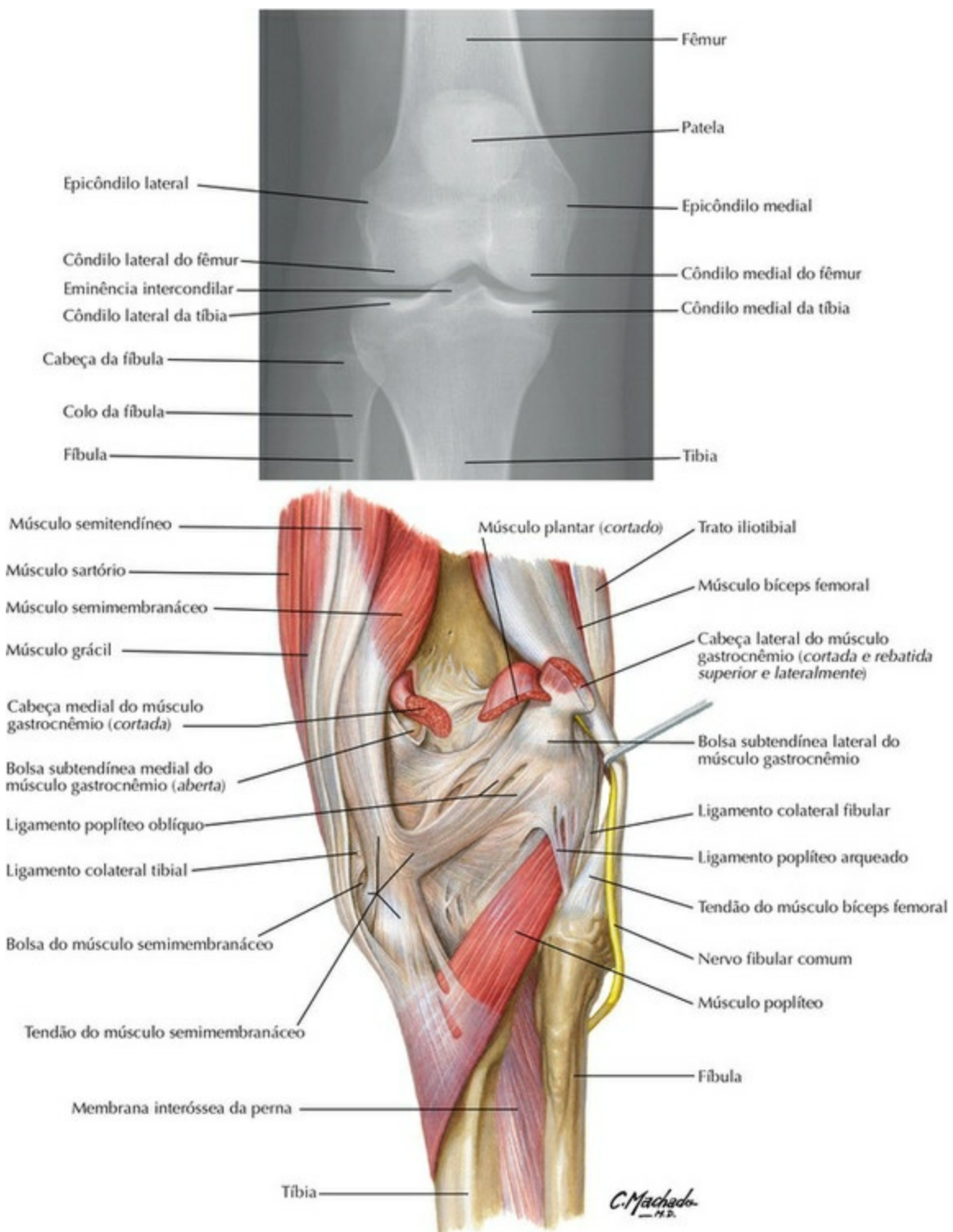
PRANCHA 495 Joelho
Veja também **Prancha 501**

Joelho: Ligamentos Cruzados e Colaterais



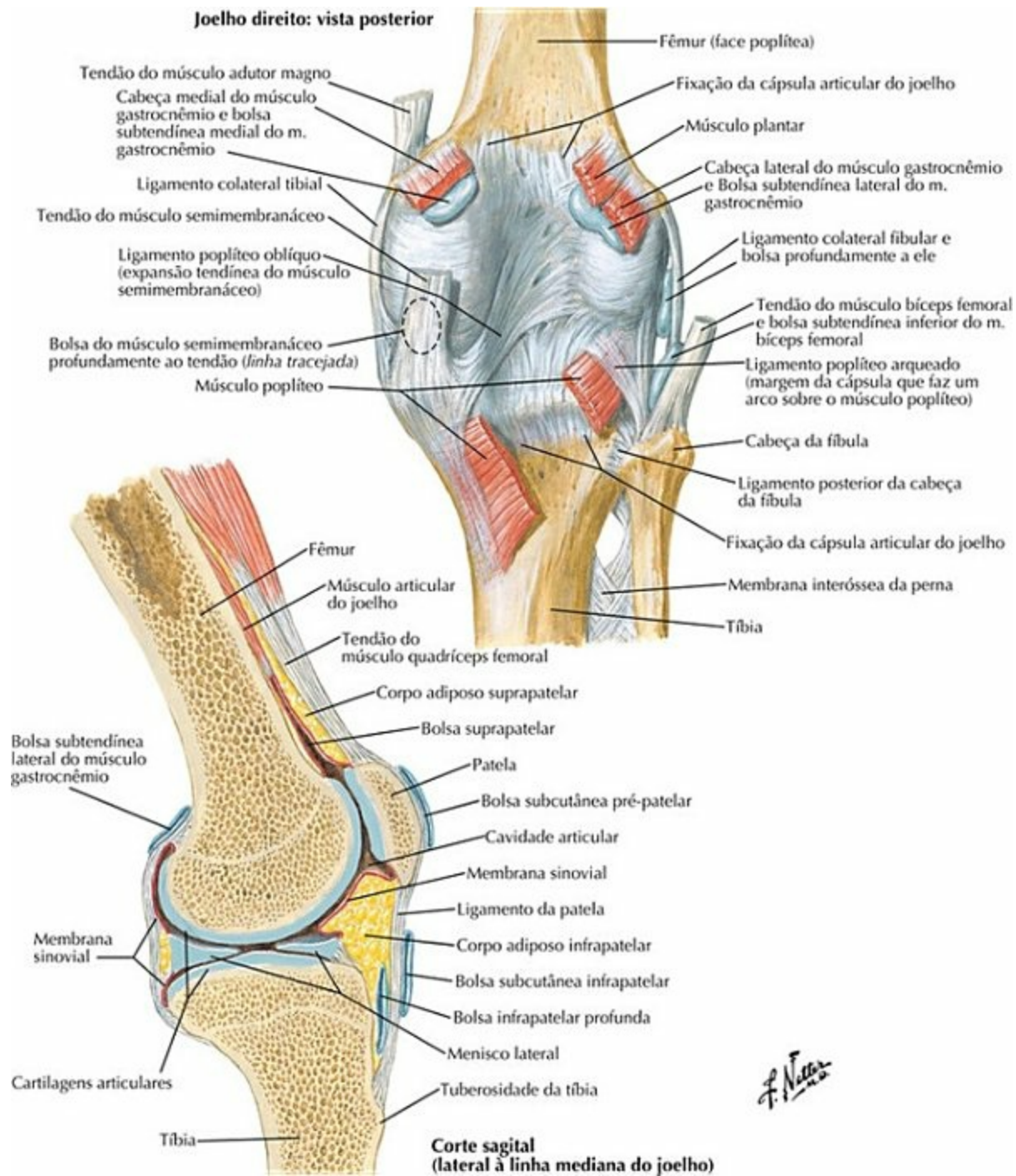
PRANCHA 496 Joelho

Joelho: Radiografia Anteroposterior e Vista Posterior



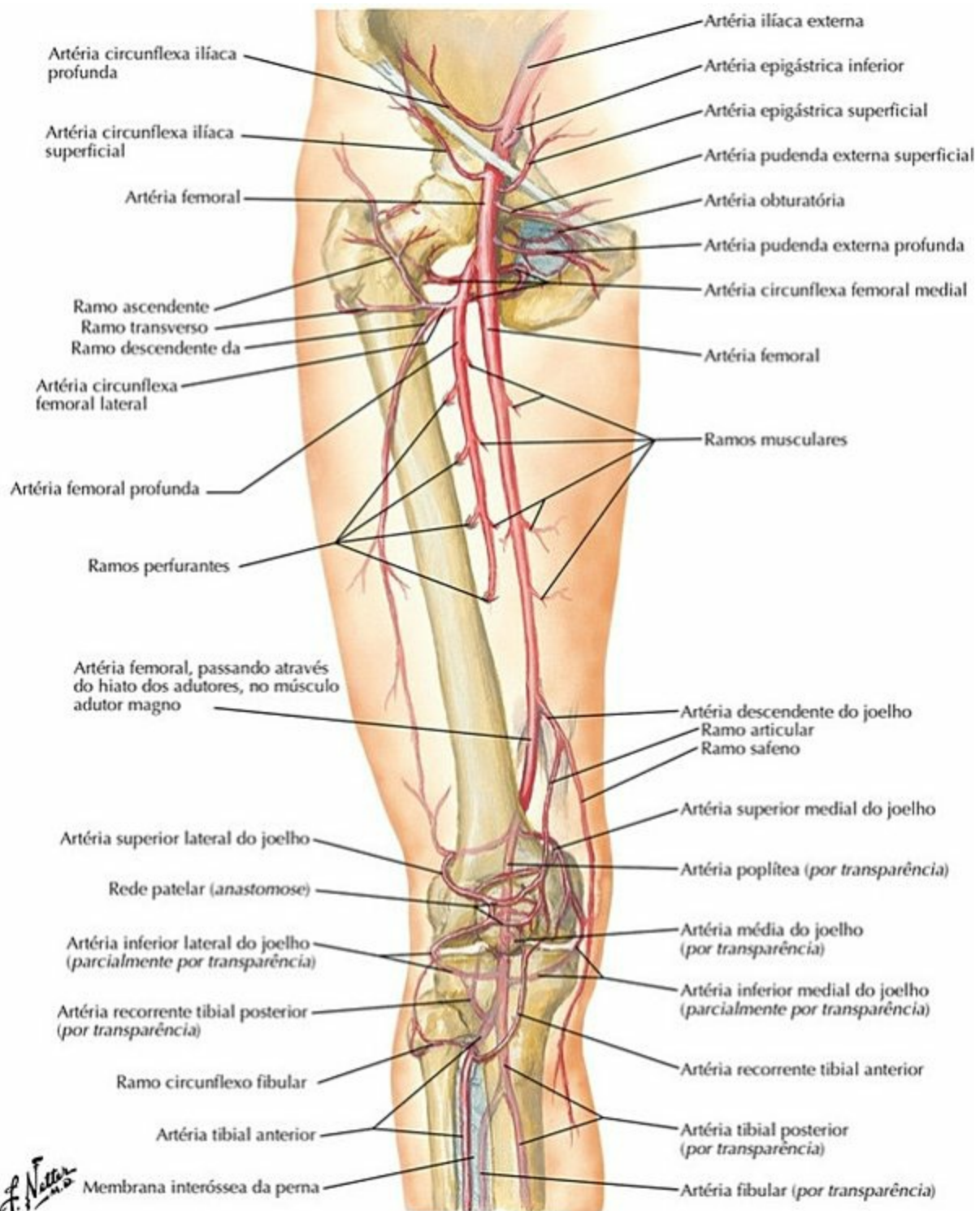
PRANCHA 497 Joelho
 Veja também **Prancha 494**

Joelho: Vistas Posterior e do Corte Sagital



PRANCHA 498 Joelho

Artérias da Coxa e do Joelho: Esquema

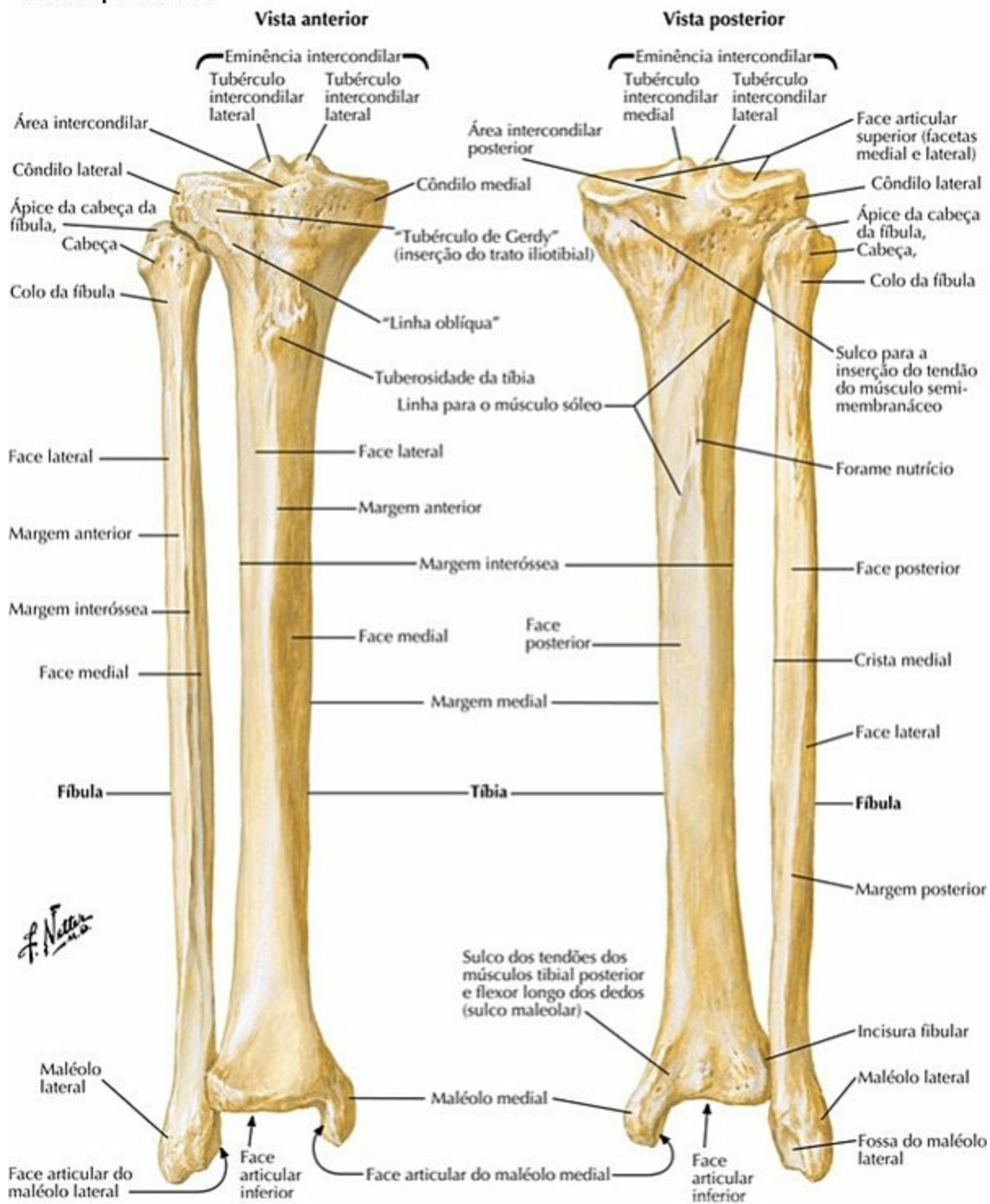


PRANCHA 499 Joelho

Veja também **Pranchas 491, 508, 509, 518**

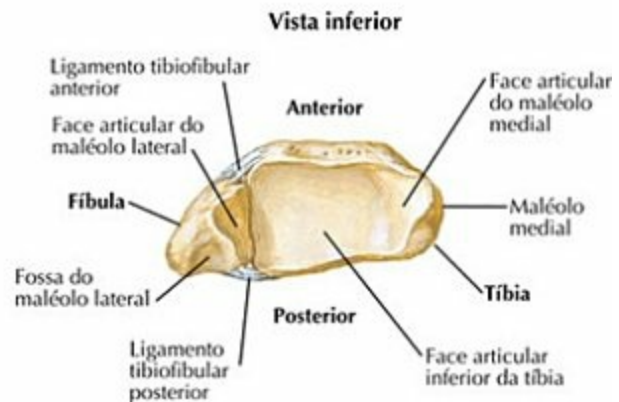
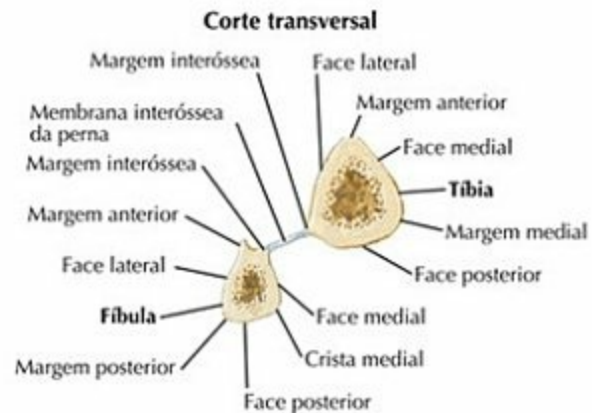
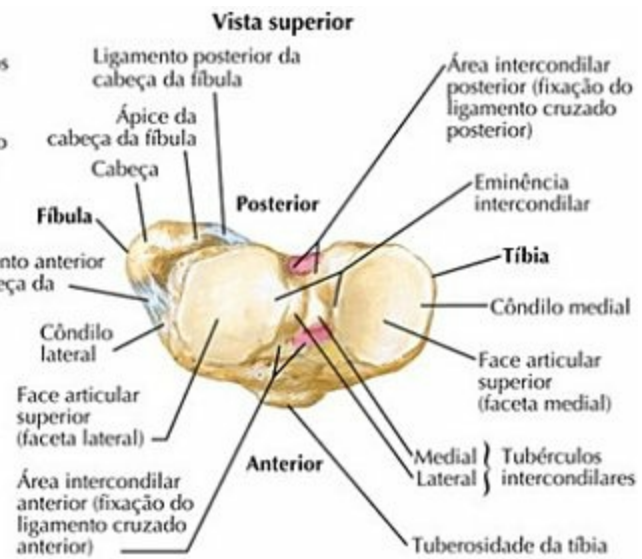
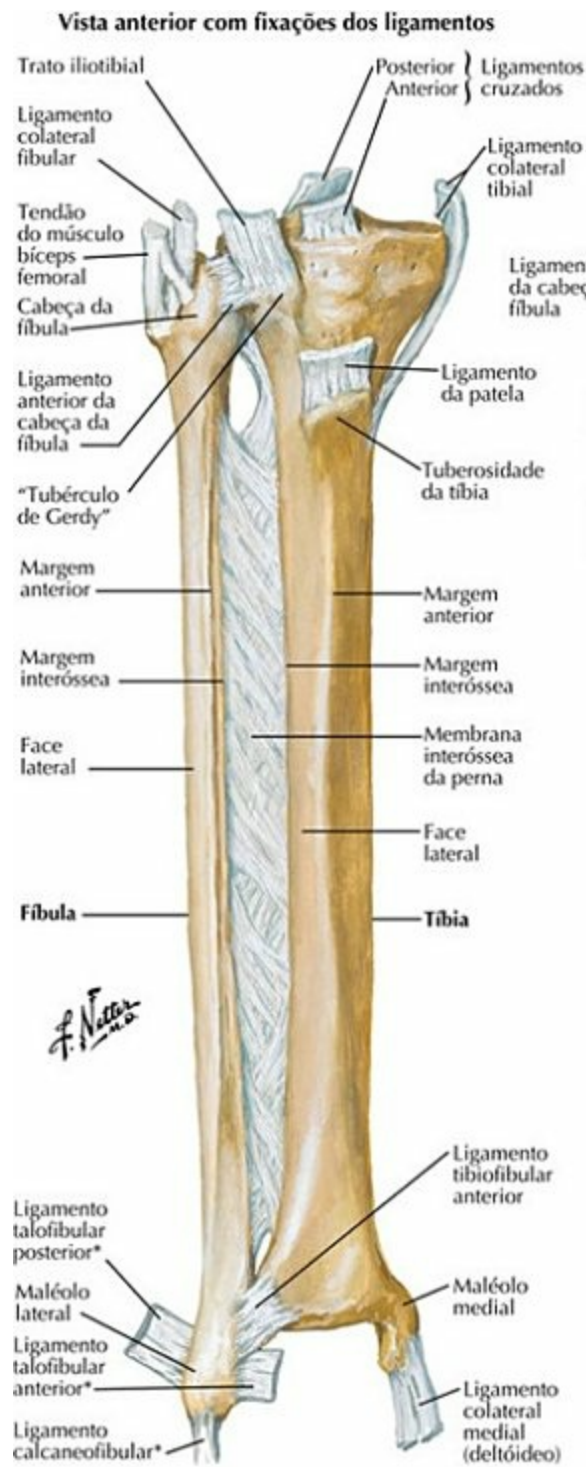
Tíbia e Fíbula

Ossos da perna direita



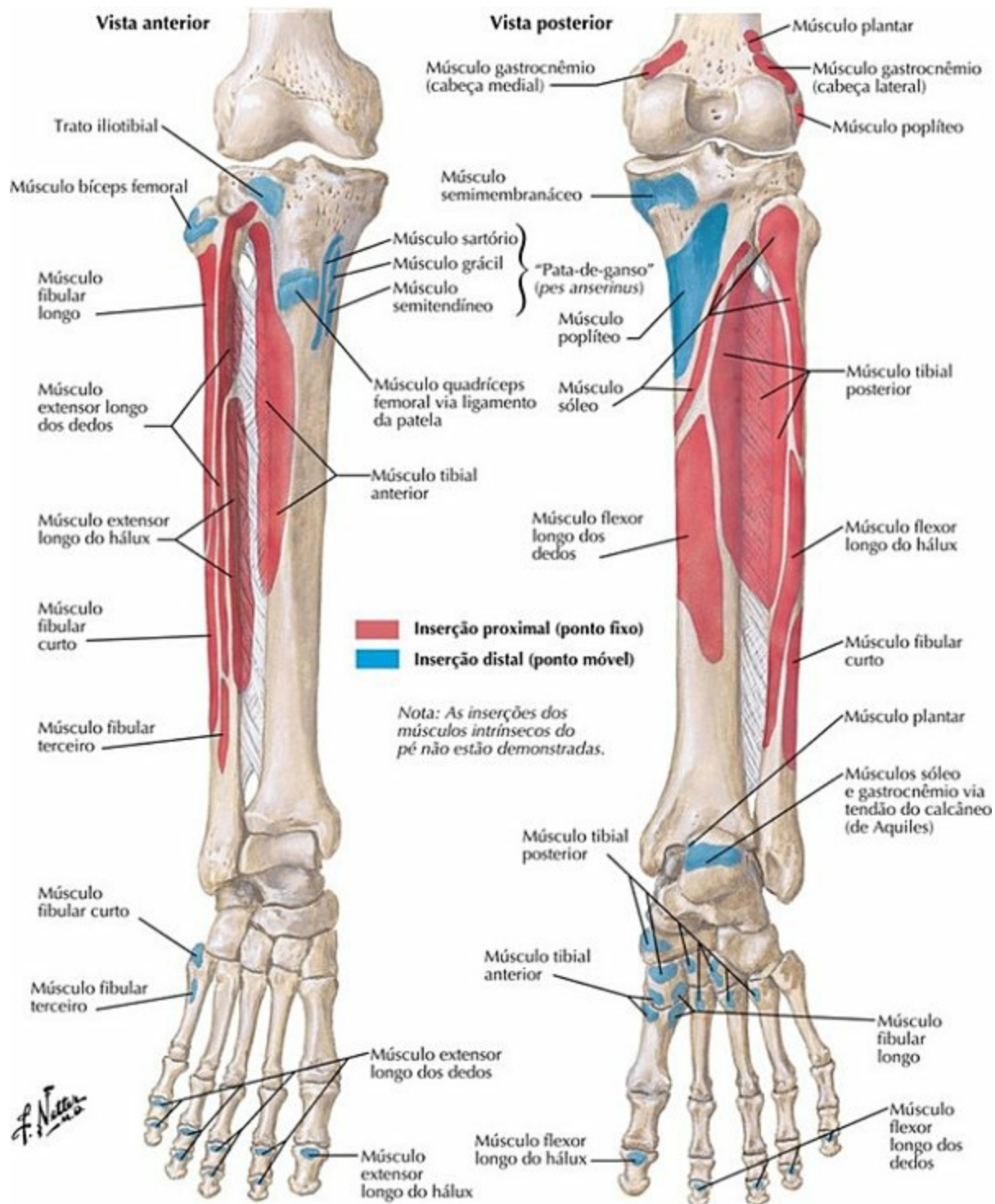
PRANCHA 500 Perna

Tíbia e Fíbula (continuação)



PRANCHA 501 Perna
Veja também **Prancha 495**

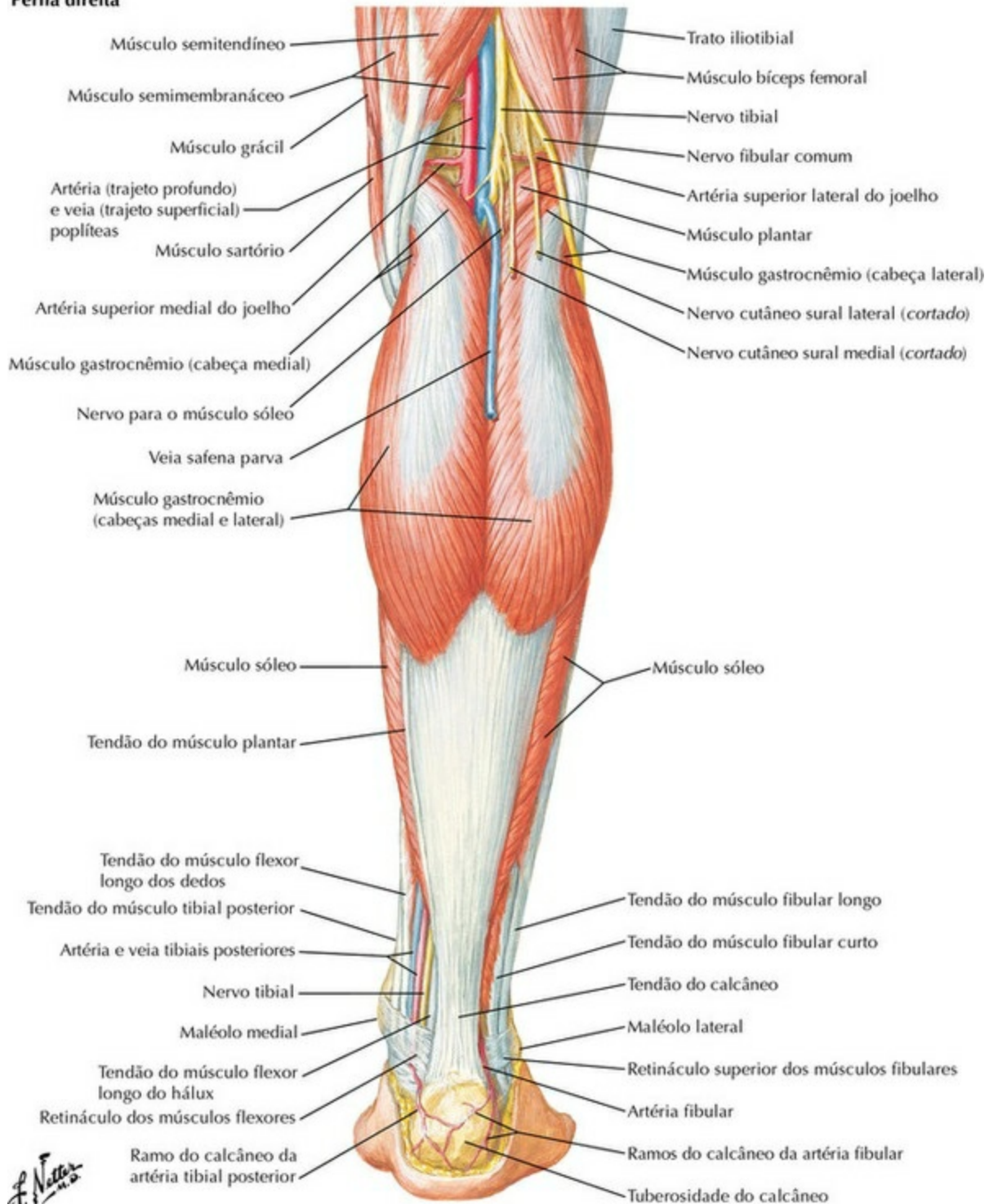
Inserções dos Músculos da Perna



PRANCHA 502 Perna
Veja também **Pranchas 505, 508**

Músculos da Perna (Dissecação Superficial): Vista Posterior

Perna direita

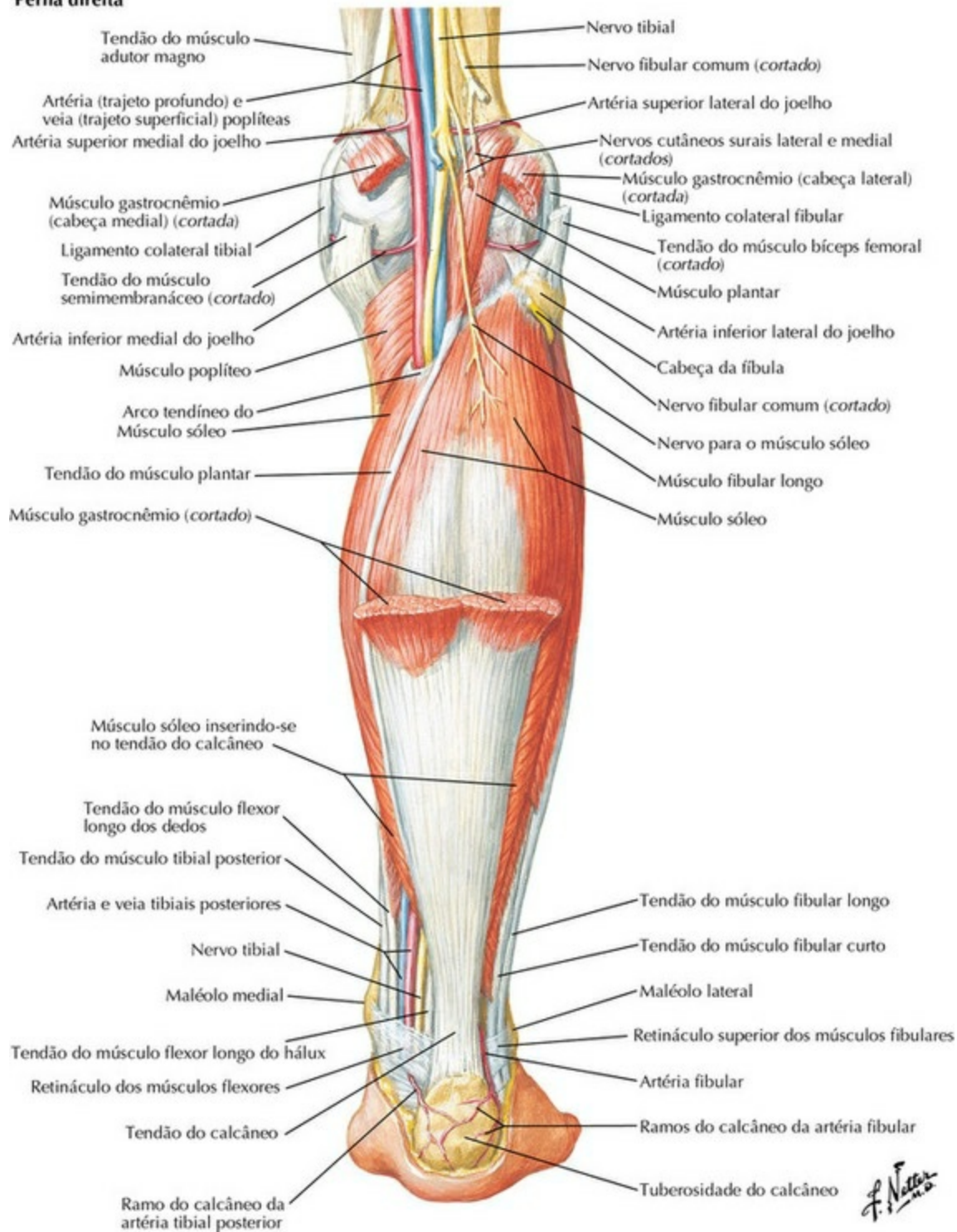


PRANCHA 503 Perna

Veja também **Prancha 528**

Músculos da Perna (Dissecação Média): Vista Posterior

Perna direita

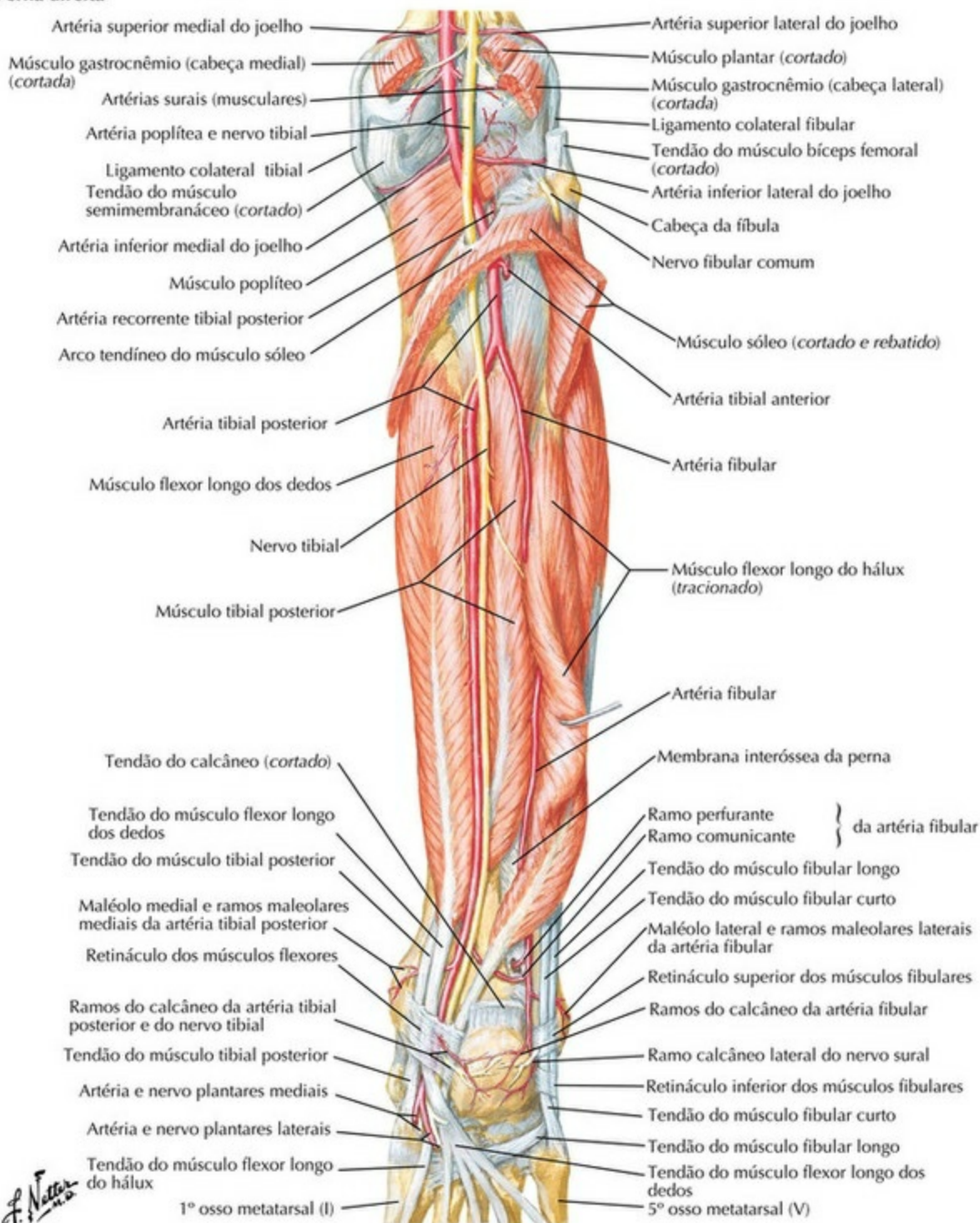


PRANCHA 504 Perna

Veja também **Prancha 528**

Músculos da Perna (Dissecação Profunda): Vista Posterior

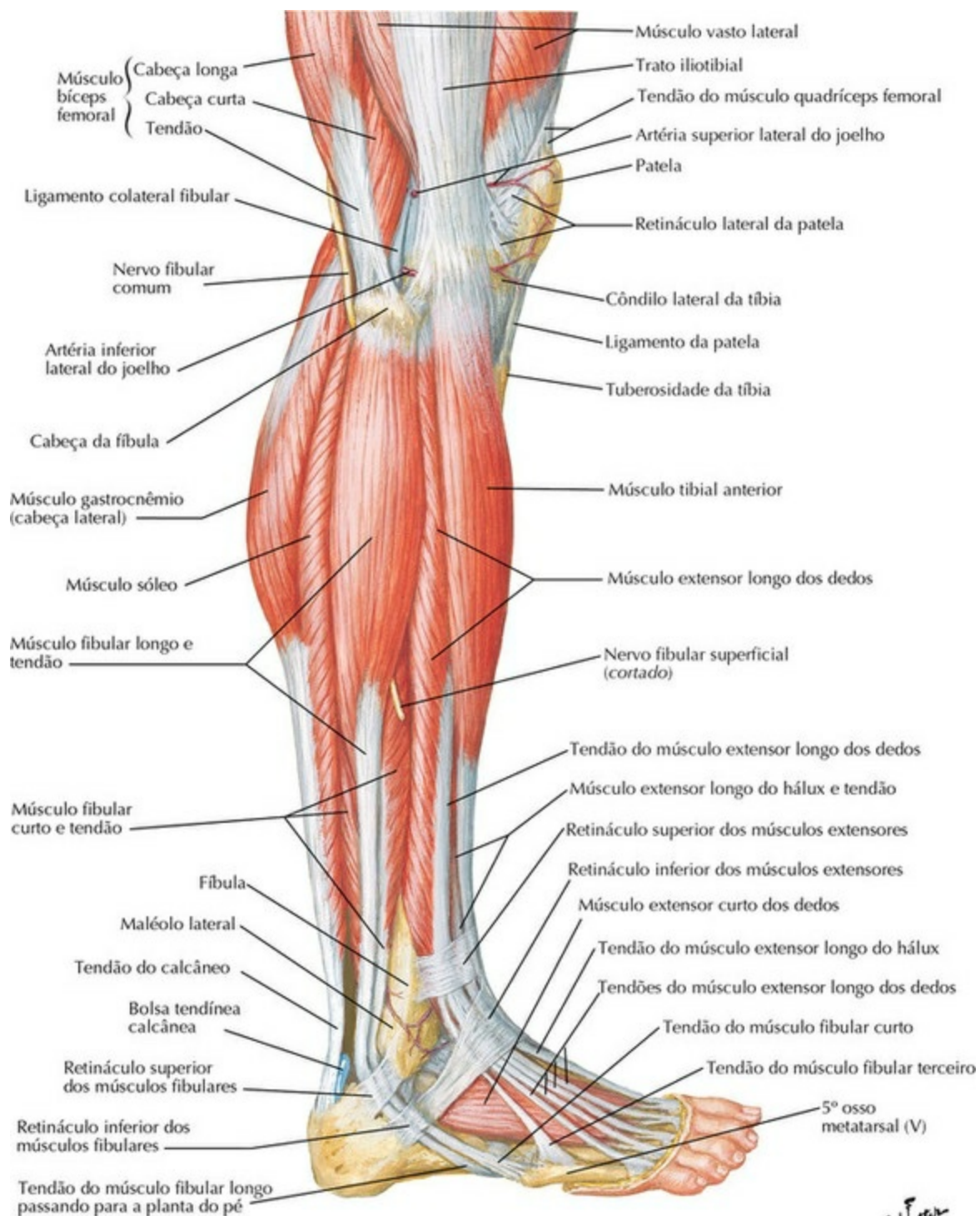
Perna direita



PRANCHA 505 Perna

Veja também **Prancha 528**

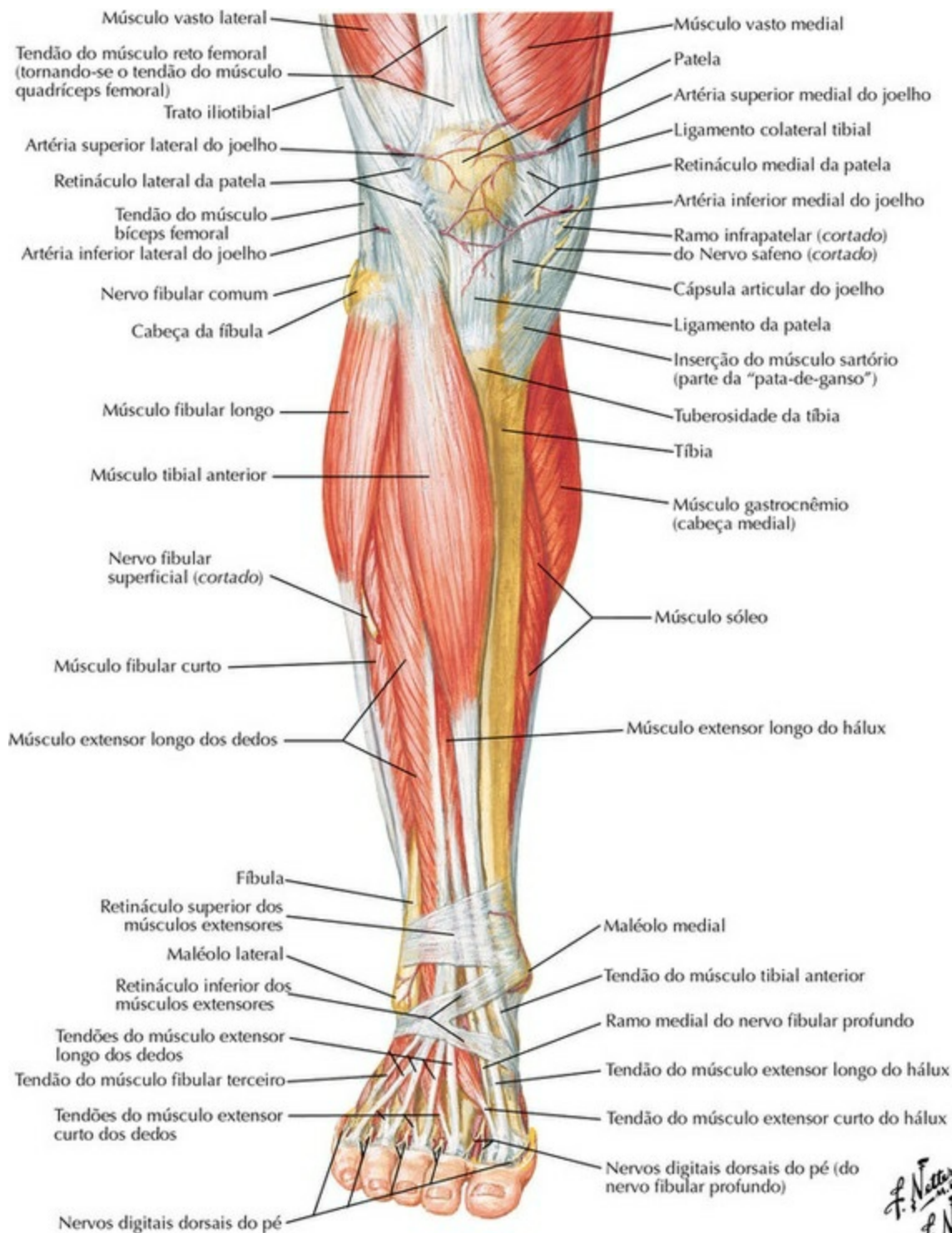
Músculos da Perna: Vista Lateral



PRANCHA 506 Perna

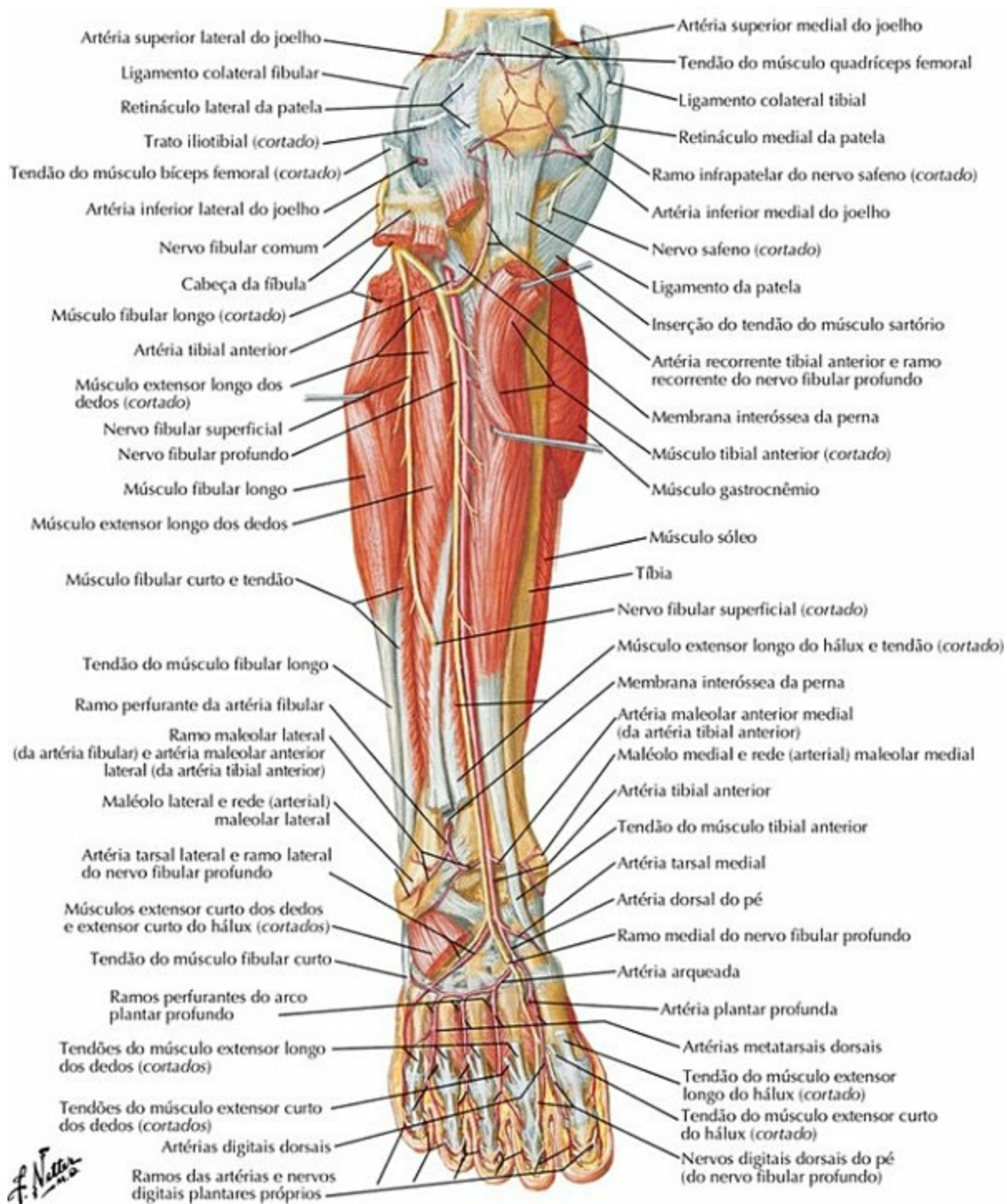
Veja também **Pranchas 516, 529**

Músculos da Perna (Dissecação Superficial): Vista Anterior



PRANCHA 507 Perna
Veja também **Prancha 529**

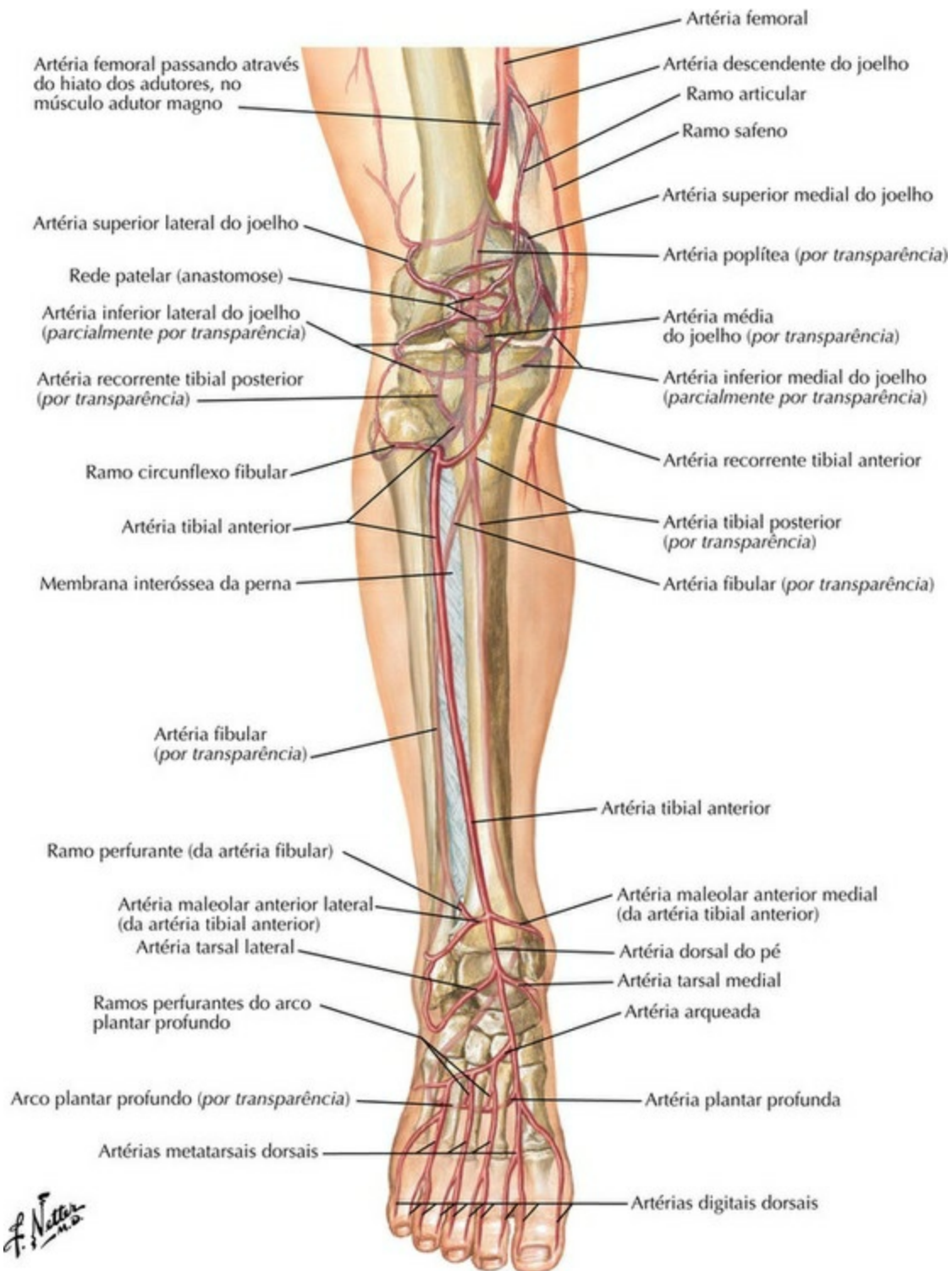
Músculos da Perna (Dissecação Profunda): Vista Anterior



PRANCHA 508 Perna

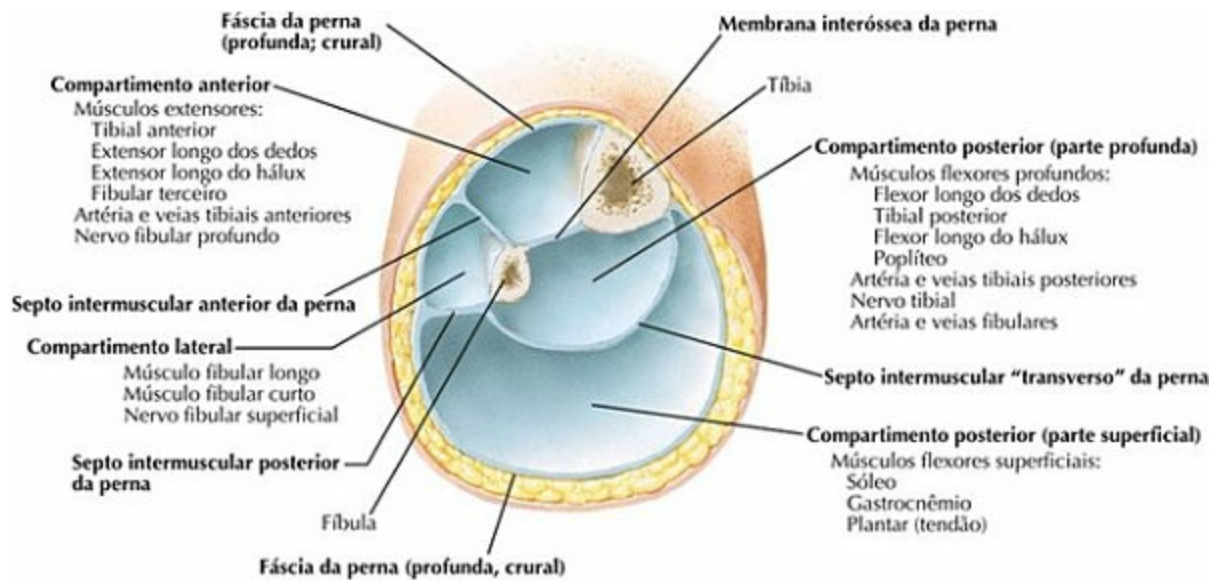
Veja também **Pranchas 499, 523, 529**

Artérias do Joelho, Perna e Pé

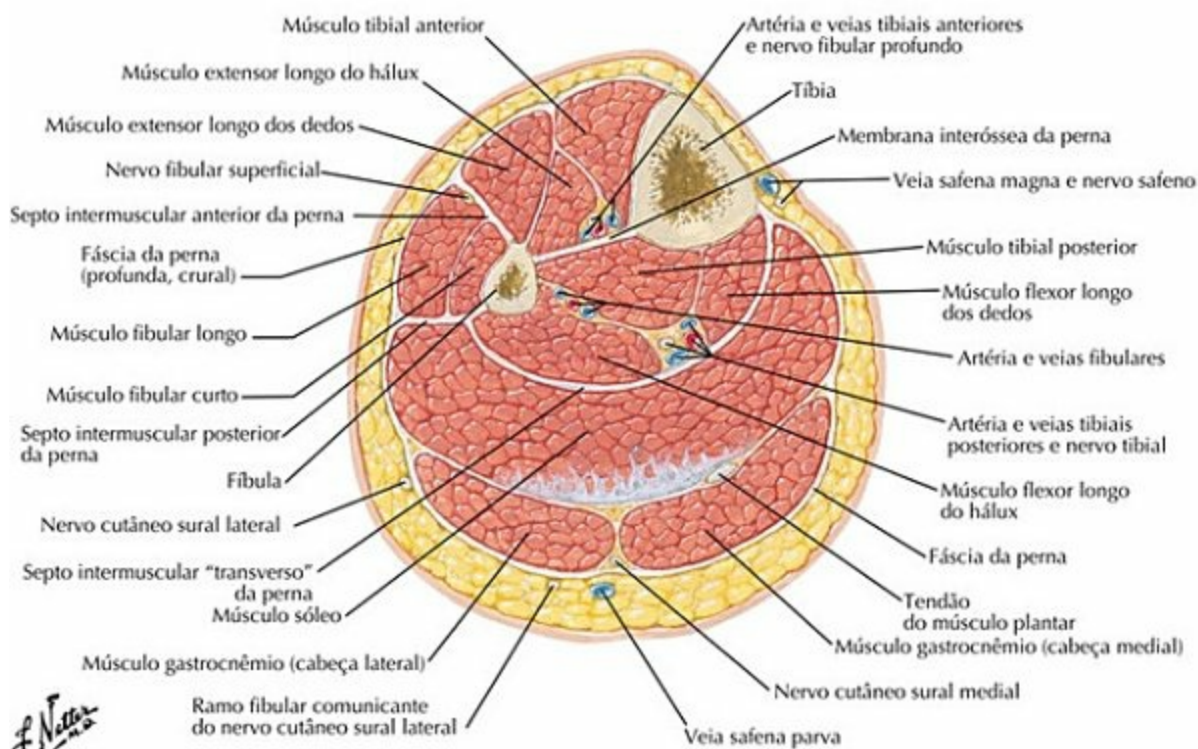


PRANCHA 509 Perna
Veja também **Prancha 531**

Perna: Cortes Transversais e Compartimentos Fasciais

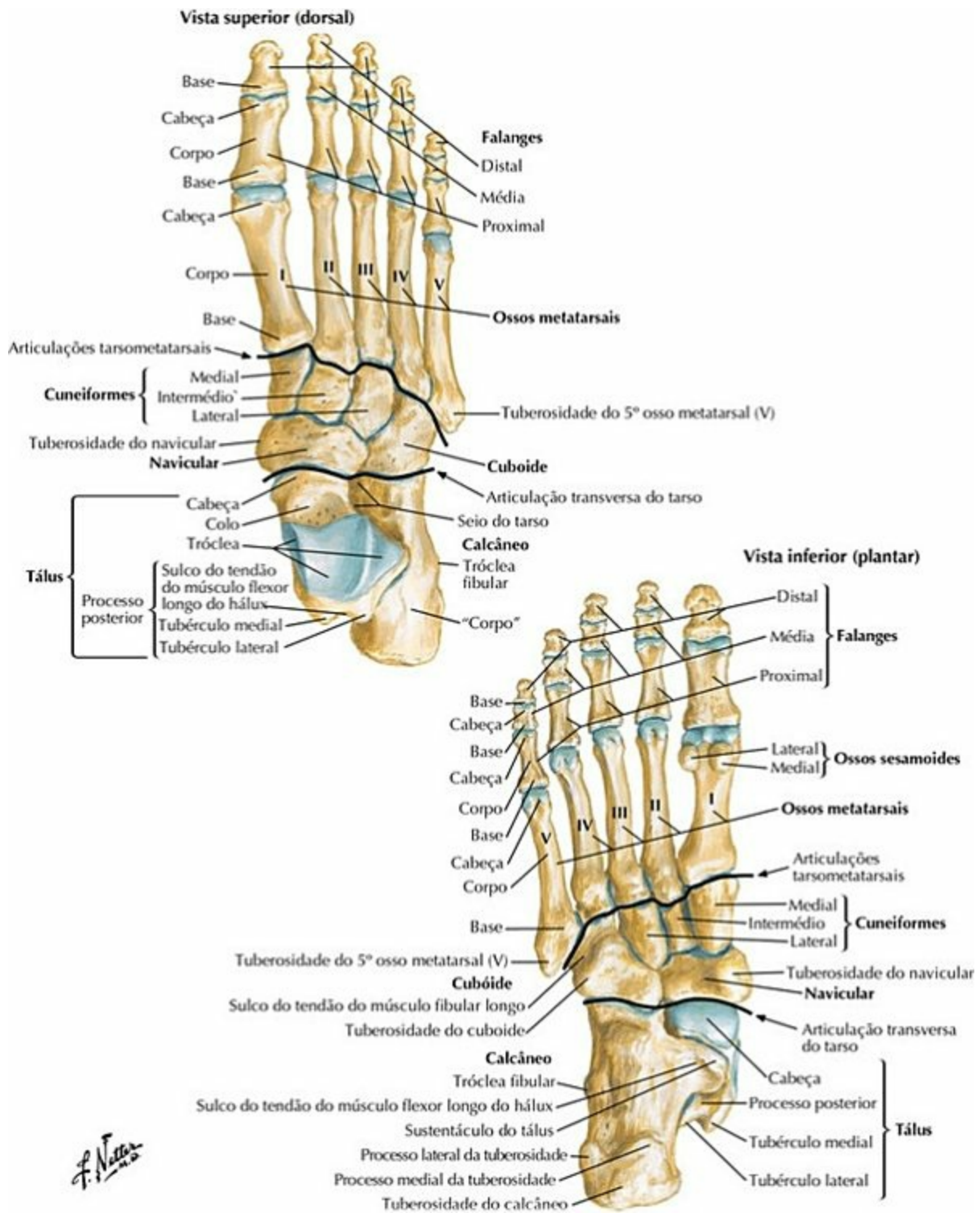


Corte transversal exatamente acima da metade da perna



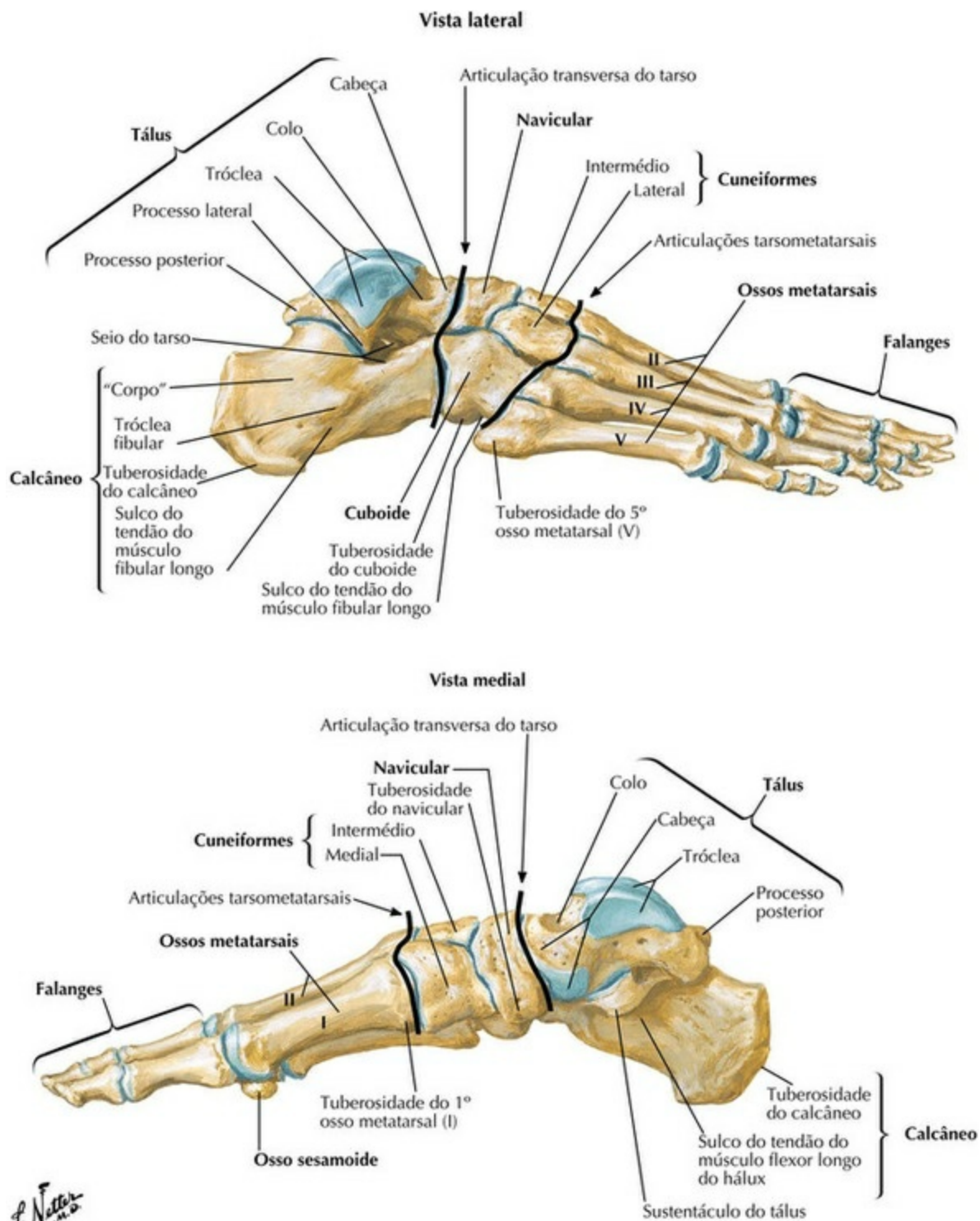
PRANCHA 510 Perna

Ossos do Pé



PRANCHA 511 Tornozelo e Pé

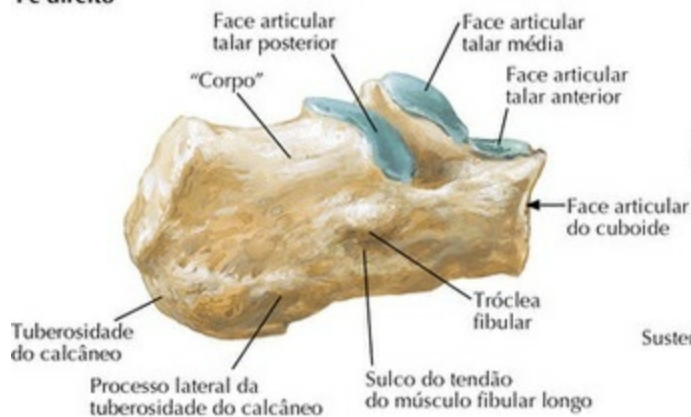
Ossos do Pé (continuação)



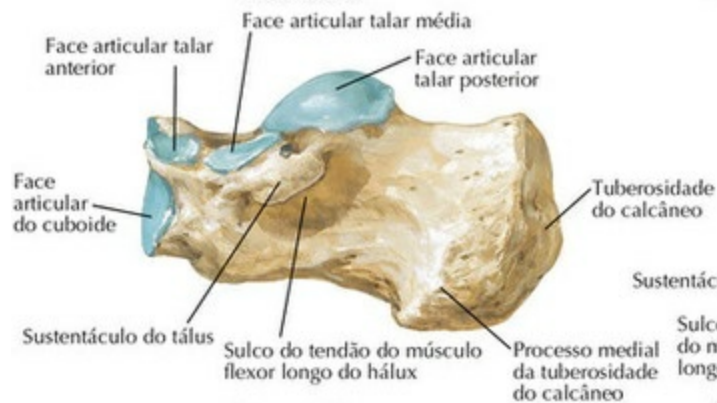
PRANCHA 512 Tornozelo e Pé

Calcâneo

Pé direito



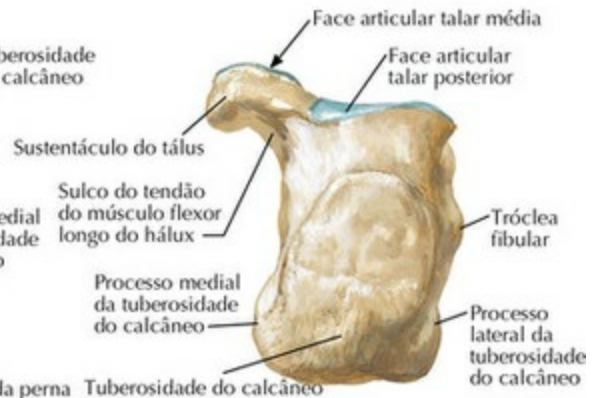
Vista lateral



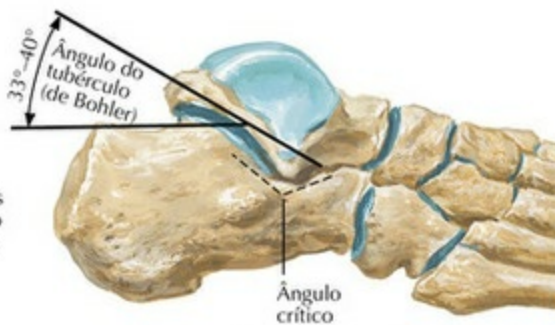
Vista medial



Vista superior



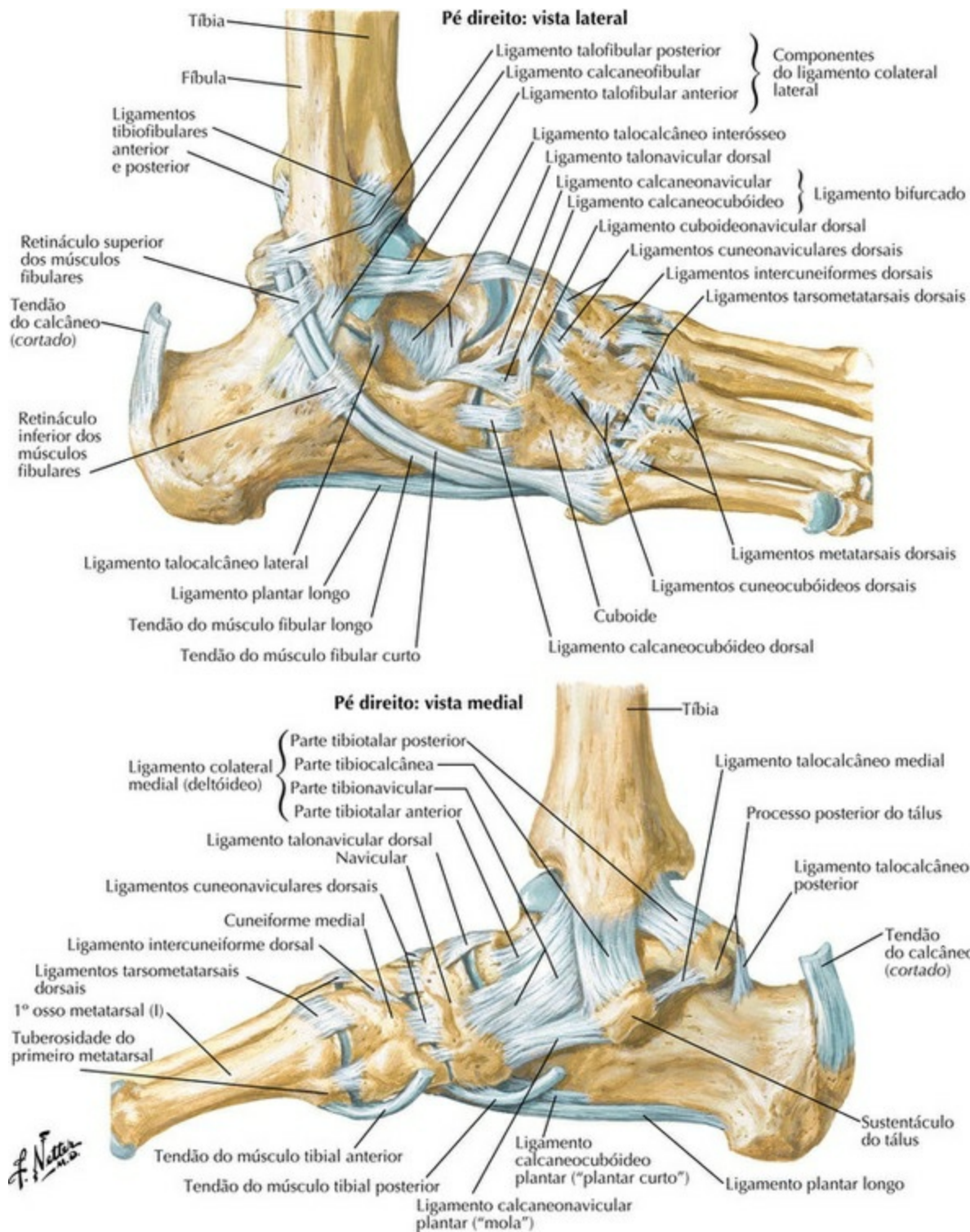
Vista posterior



Relações funcionais do calcâneo

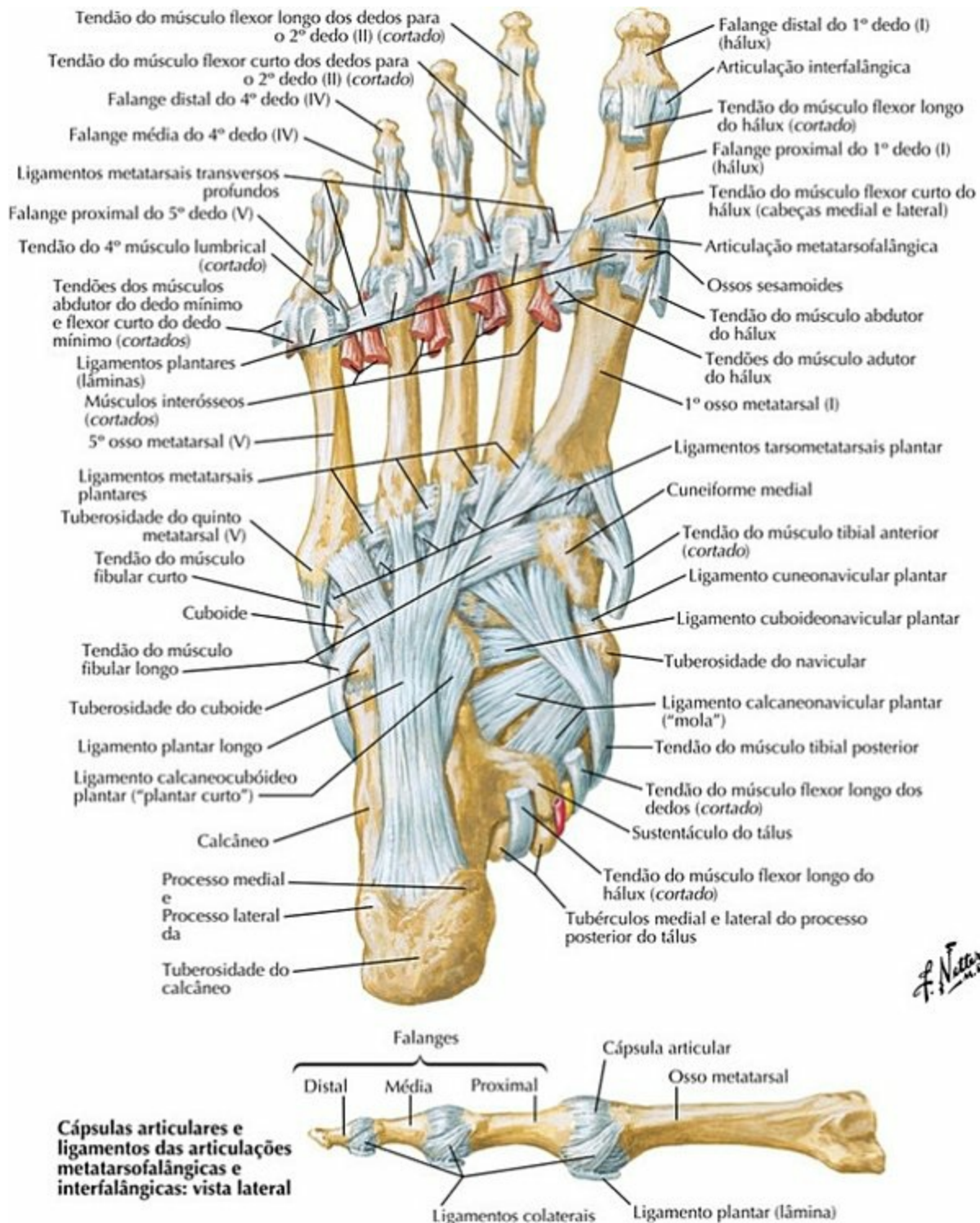
PRANCHA 513 Tornozelo e Pé
Veja também **Prancha 531**

Ligamentos e Tendões do Tornozelo e do Pé



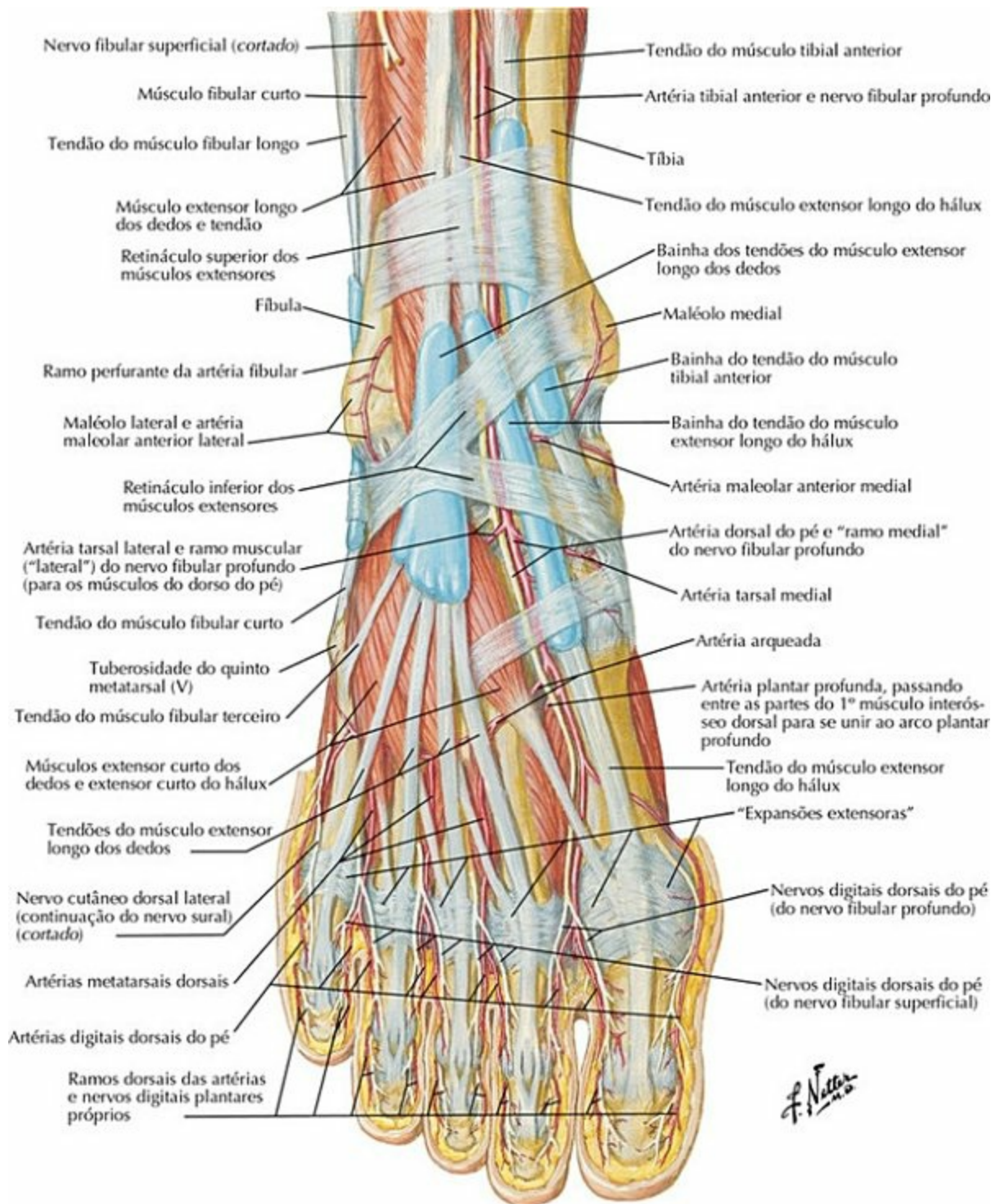
PRANCHA 514 Tornozelo e Pé
 Veja também **Prancha 531**

Ligamentos e Tendões do Pé: Vista Inferior (Plantar)



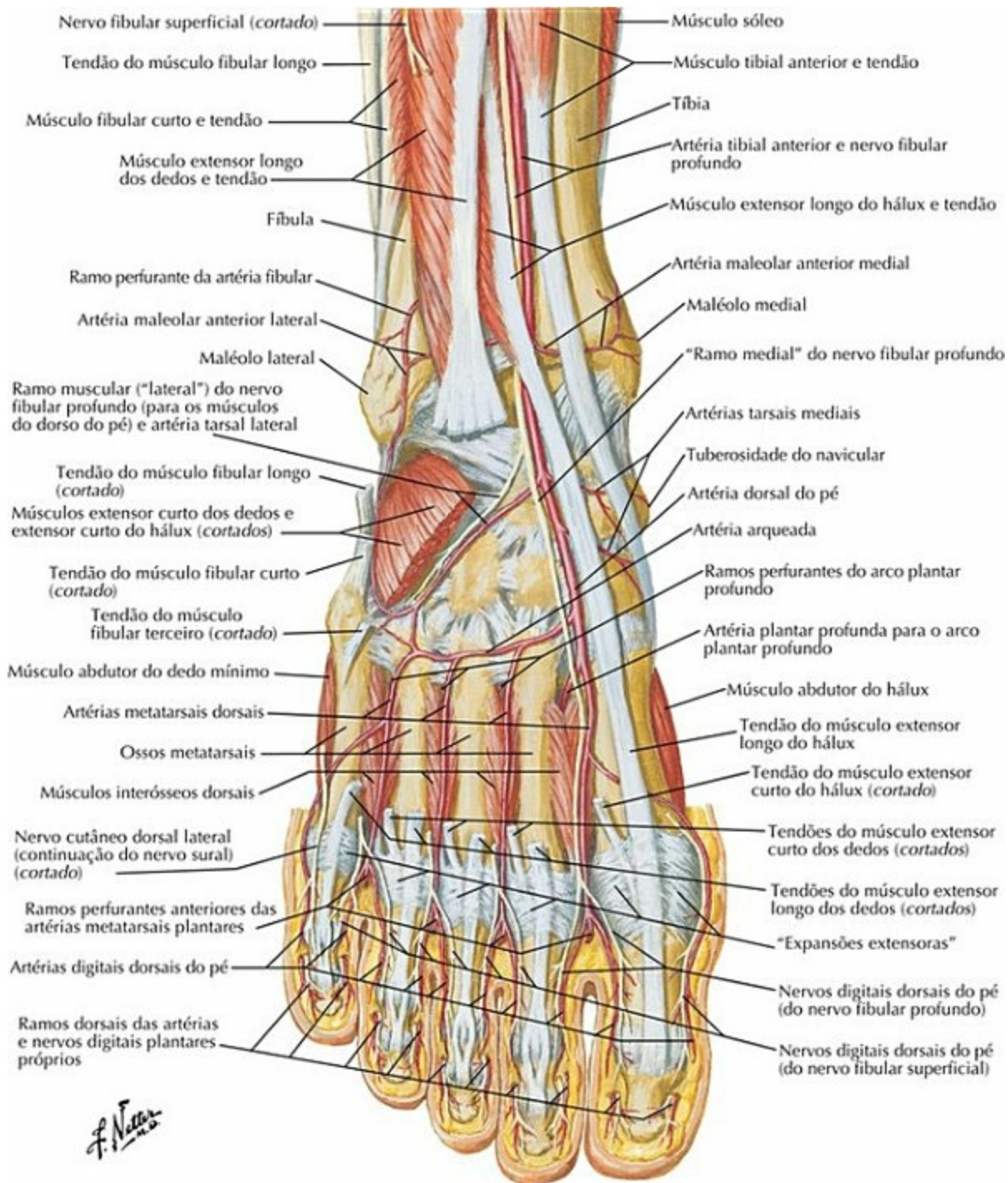
PRANCHA 515 Tornozelo e Pé

Bainhas dos Tendões do Tornozelo e do Pé



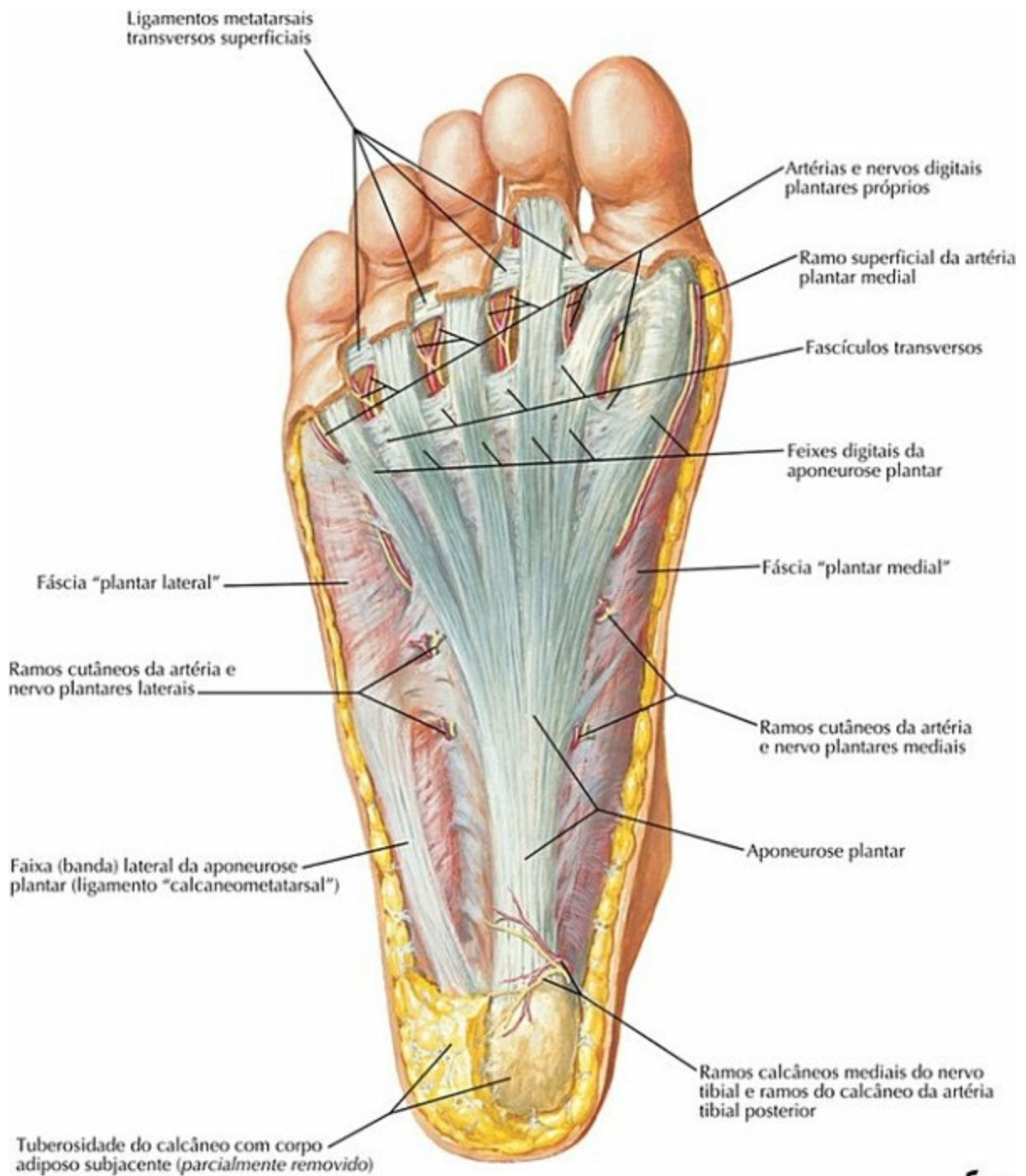
PRANCHA 517 Tornozelo e Pé
Veja também **Prancha 529**

Dorso do Pé: Dissecação Profunda



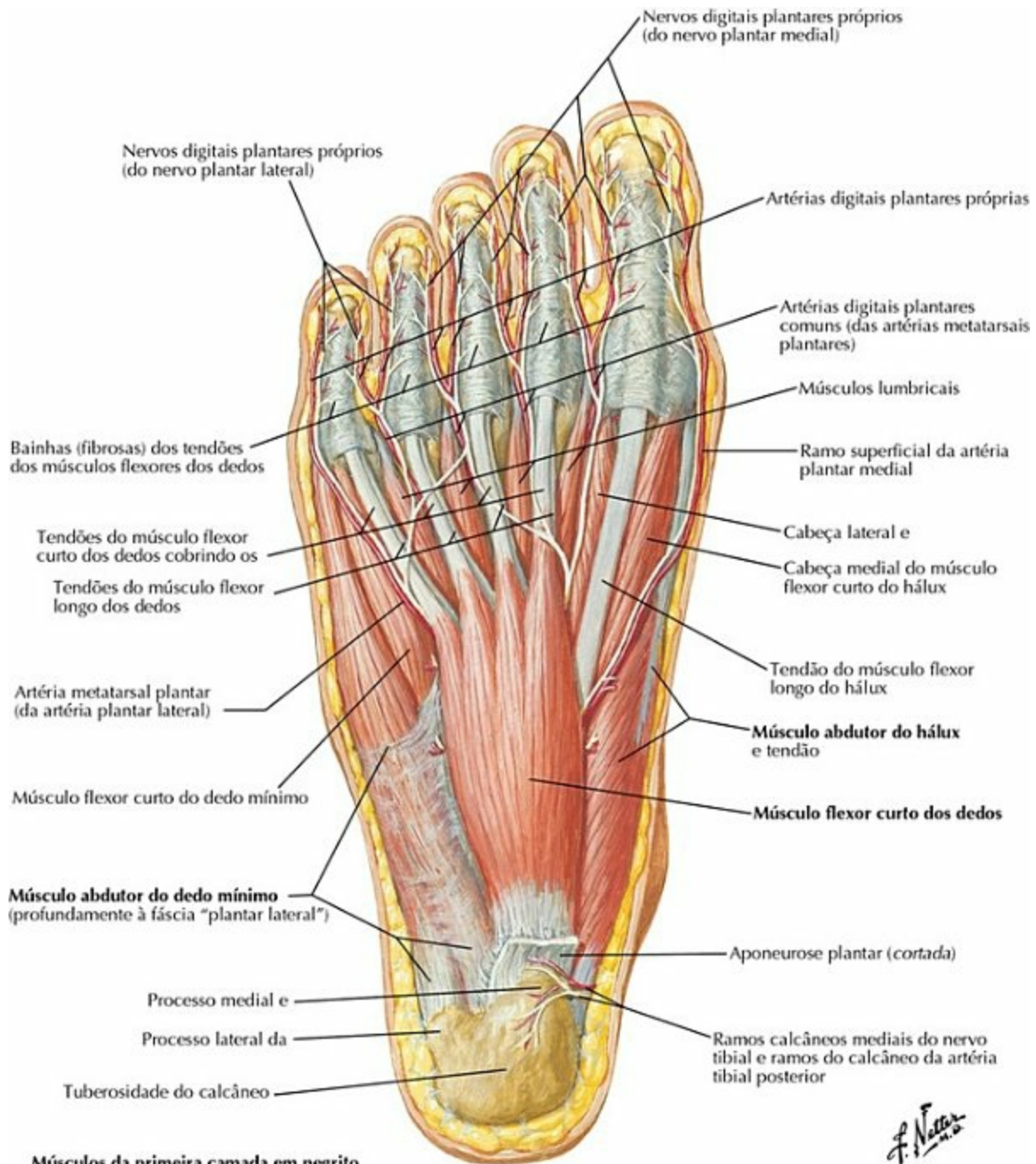
PRANCHA 518 Tornozelo e Pé
 Veja também **Pranchas 509, 523**

Planta do Pé: Dissecação Superficial



PRANCHA 519 Tornozelo e Pé

Músculos da Planta do Pé: Primeira Camada

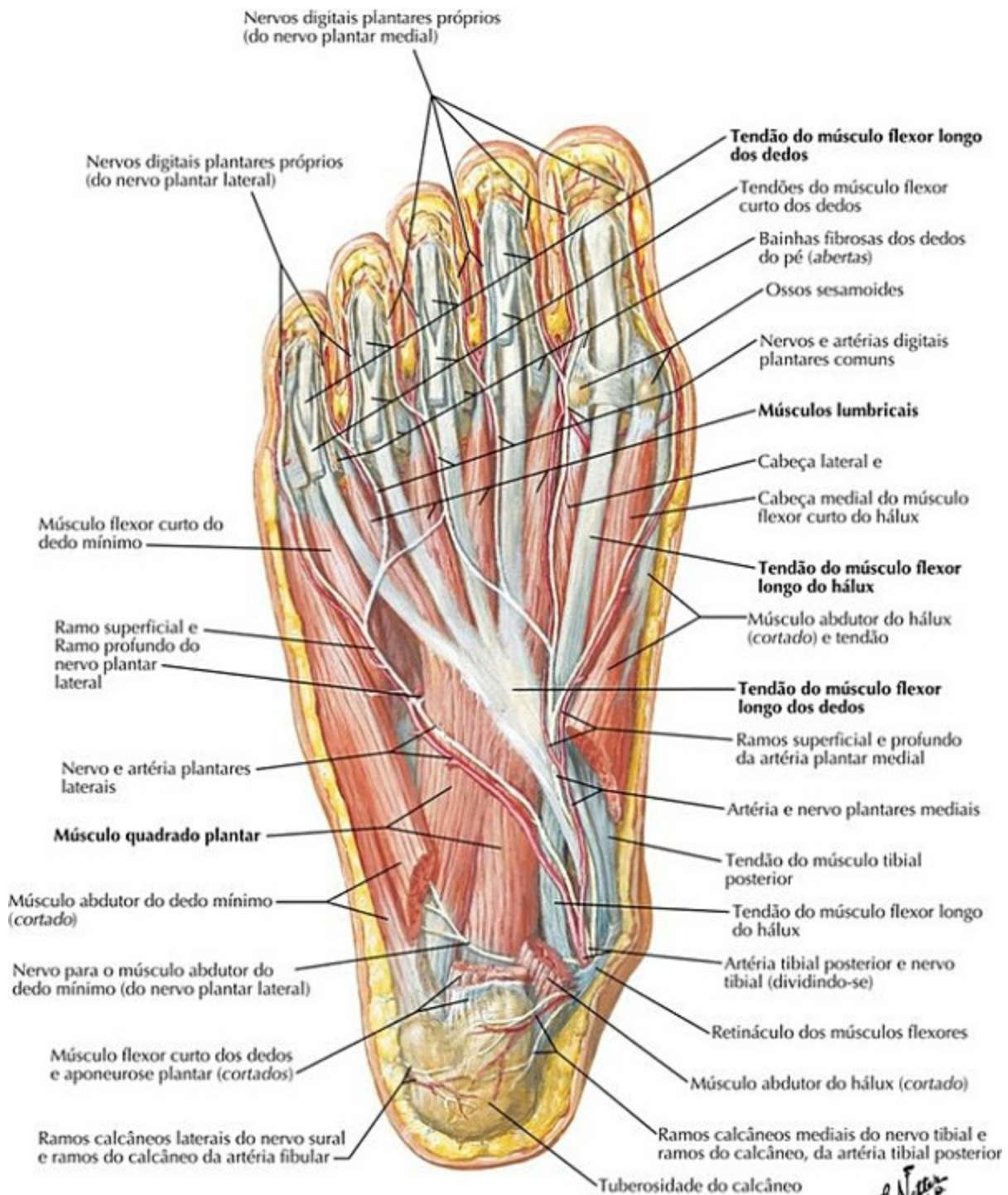


Músculos da primeira camada em negrito

PRANCHA 520 Tornozelo e Pé

Veja também **Prancha 528**

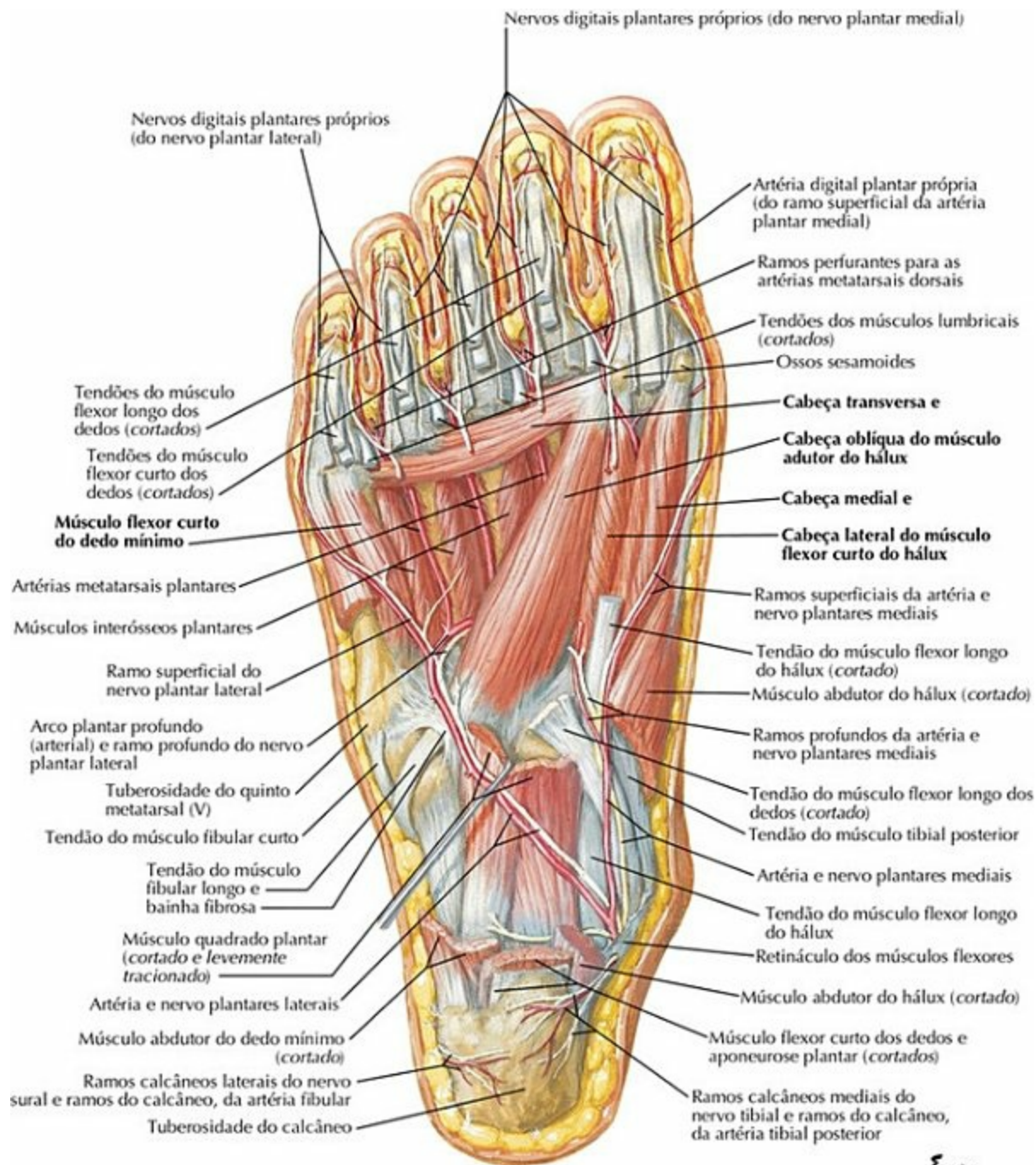
Músculos da Planta do Pé: Segunda Camada



Músculos e tendões da segunda camada em negrito

PRANCHA 521 Tornozelo e Pé
Veja também **Prancha 528**

Músculos da Planta do Pé: Terceira Camada

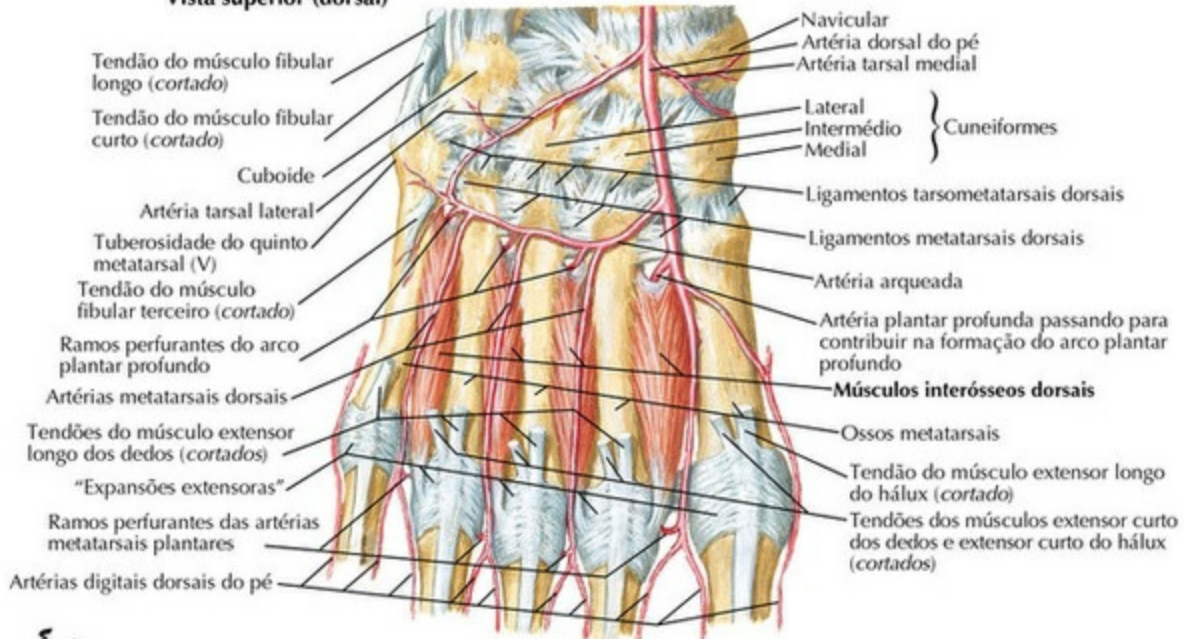


Músculos da terceira camada em **negrito**

PRANCHA 522 Tornozelo e Pé

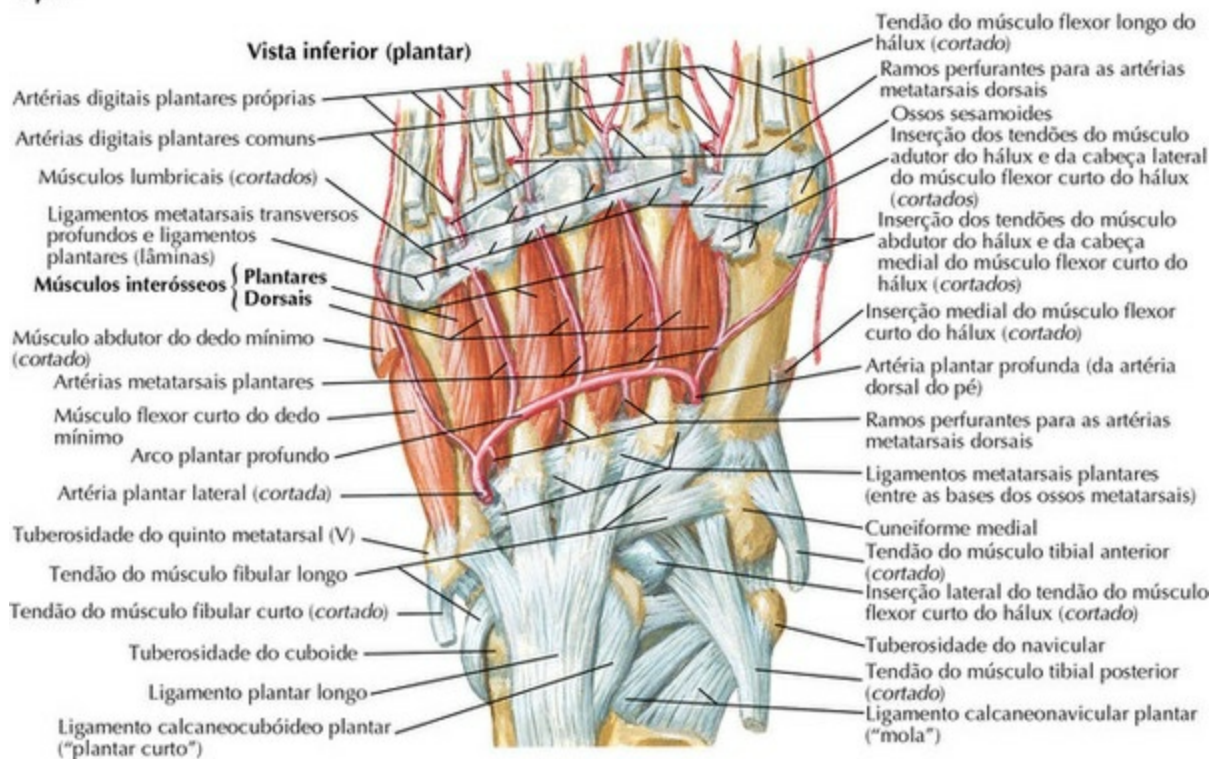
Músculos Interósseos e Artérias Profundas do Pé

Vista superior (dorsal)



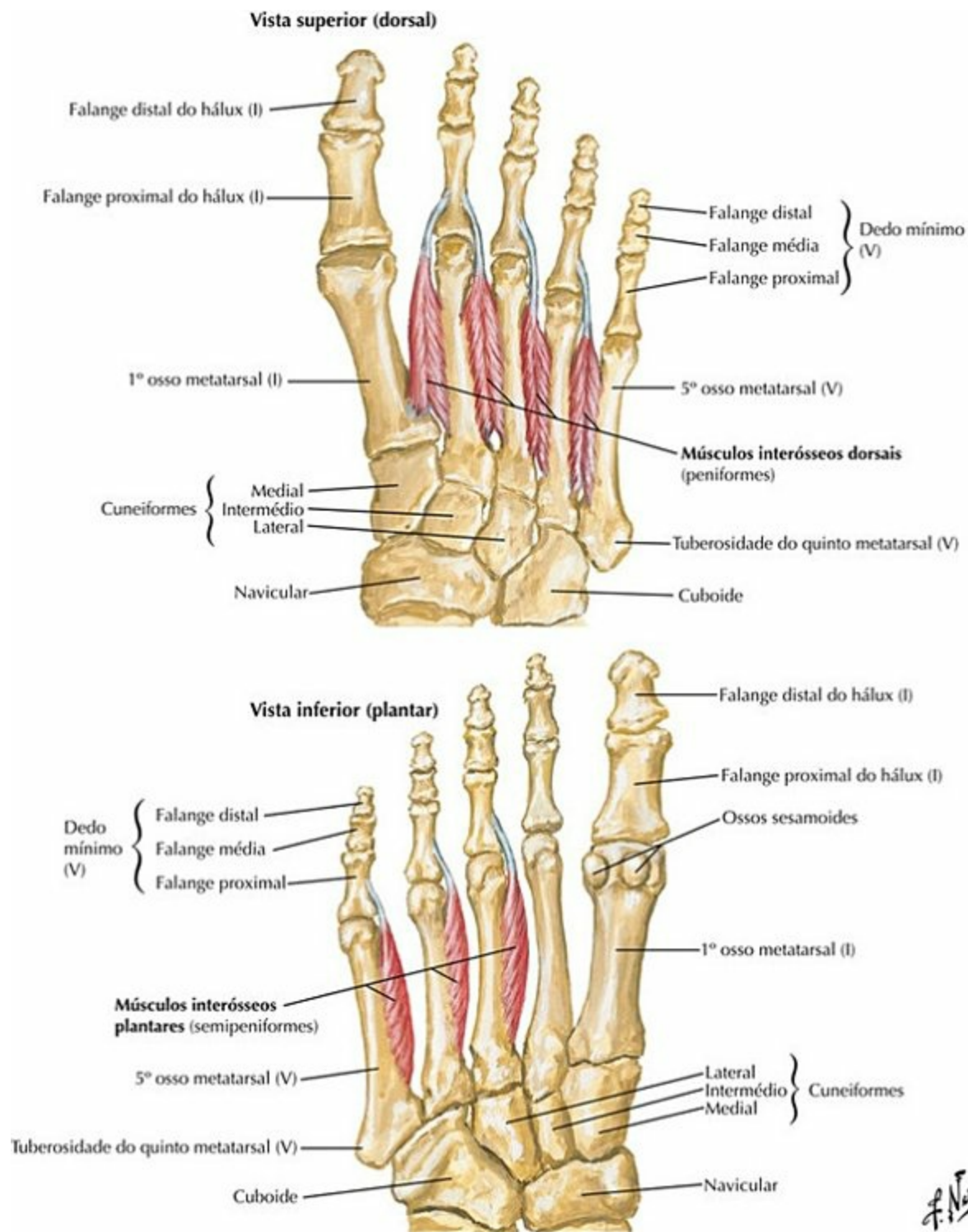
F. Netter

Vista inferior (plantar)



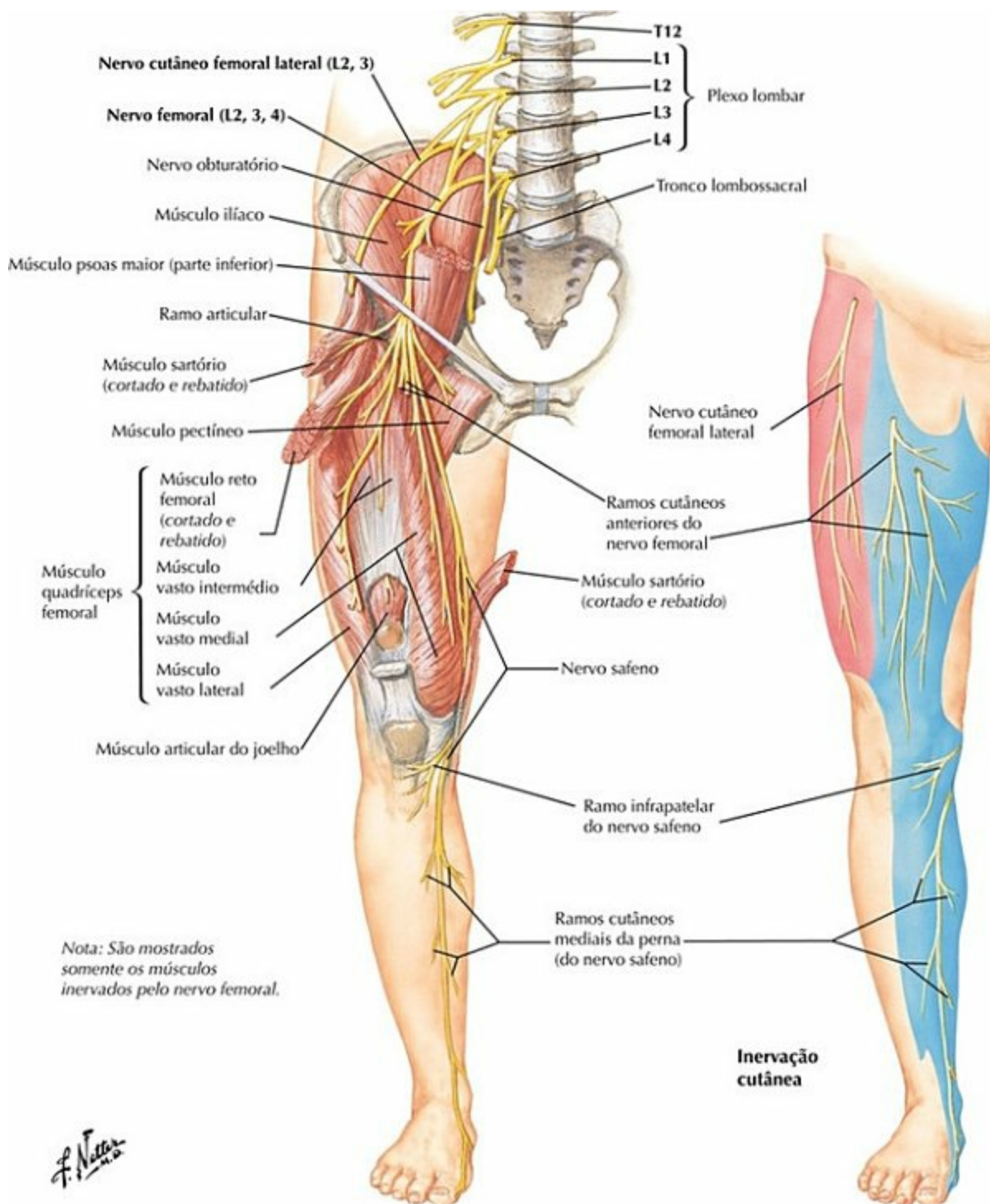
PRANCHA 523 Tornozelo e Pé
Veja também **Pranchas 508, 518**

Músculos Interósseos do Pé



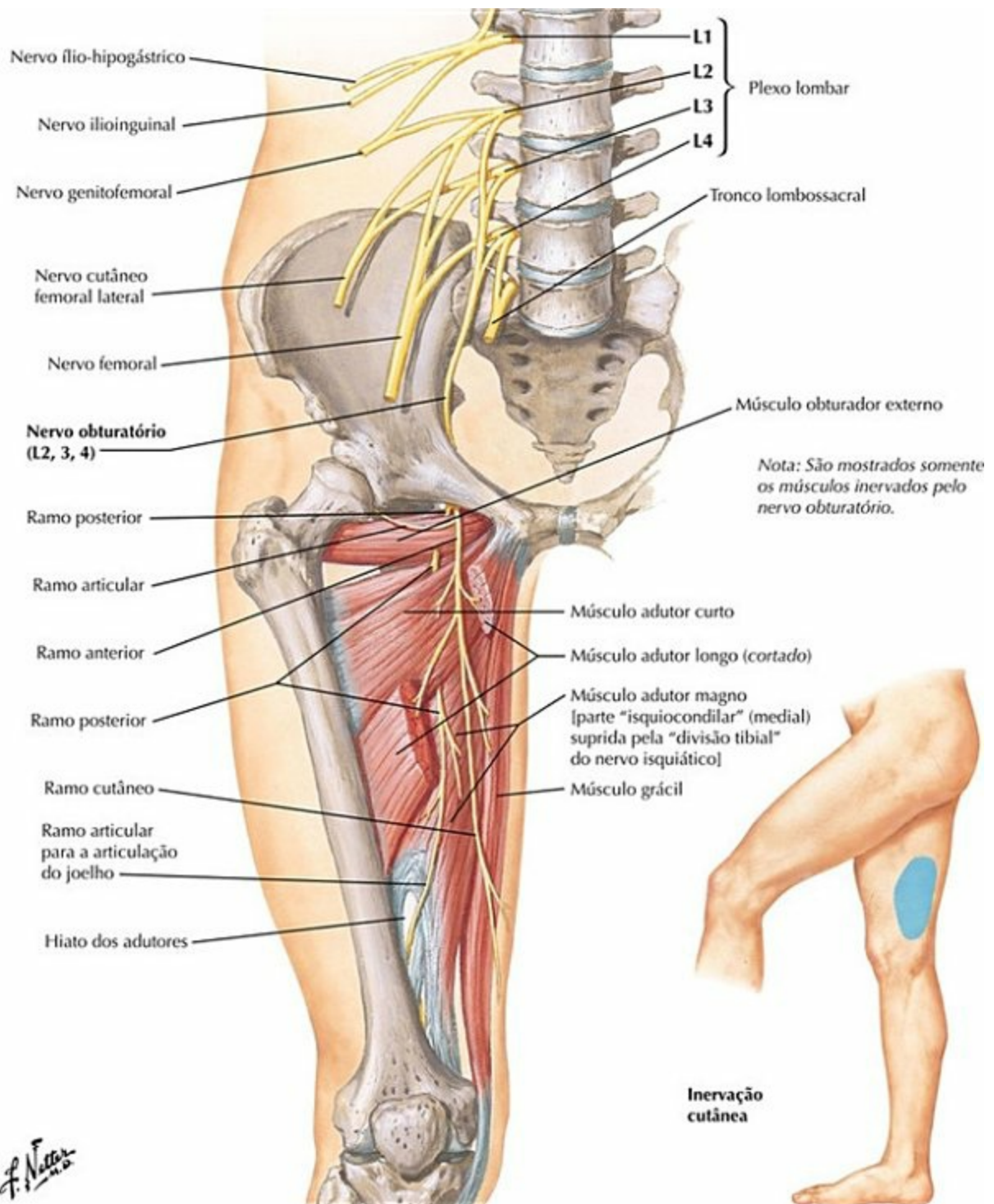
PRANCHA 524 Tornozelo e Pé
Veja também **Prancha 452**

Nervo Femoral e Nervo Cutâneo Femoral Lateral



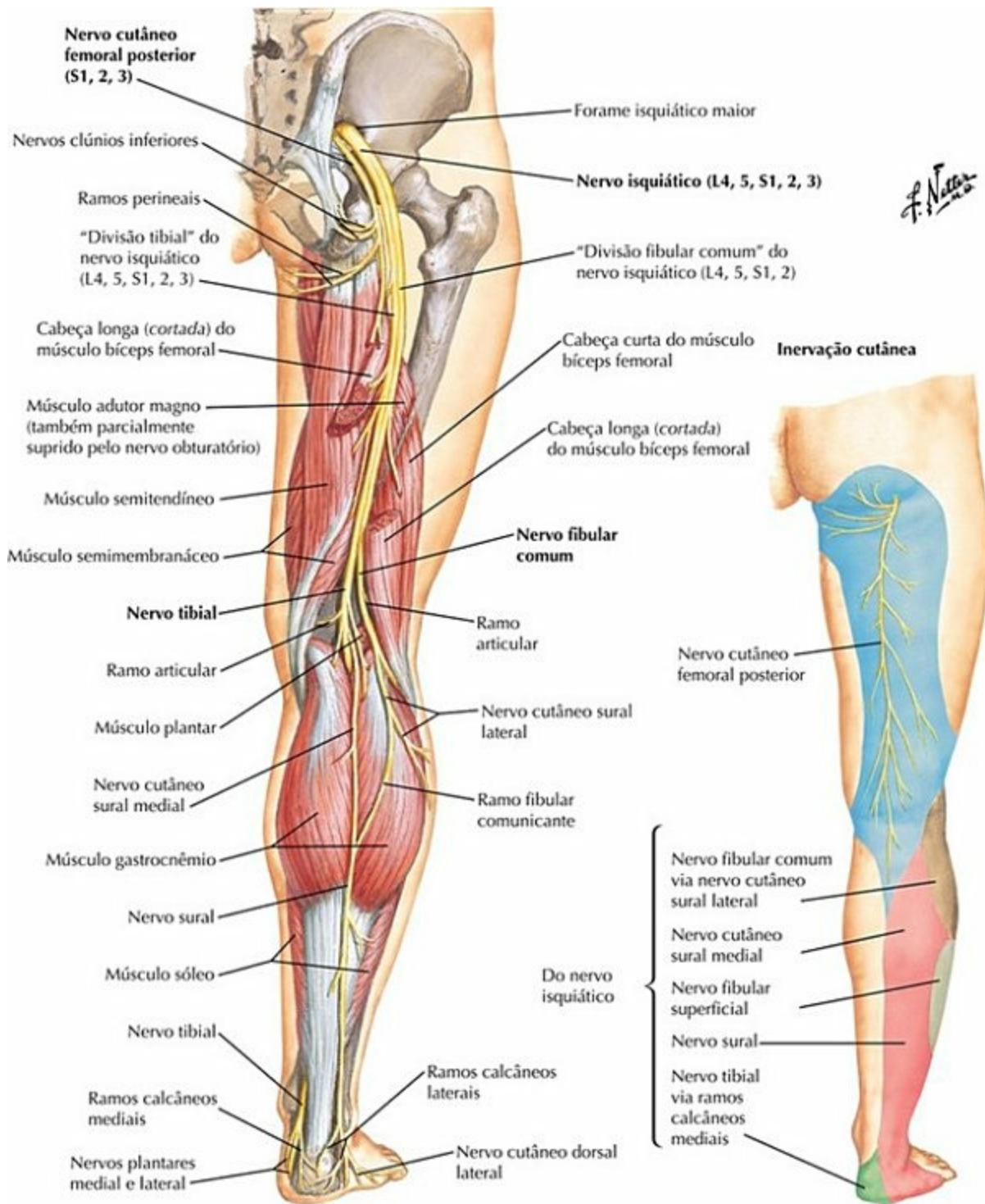
PRANCHA 525 Vascularização e Inervação
Veja também **Pranchas 262, 487, 488**

Nervo Obturatório



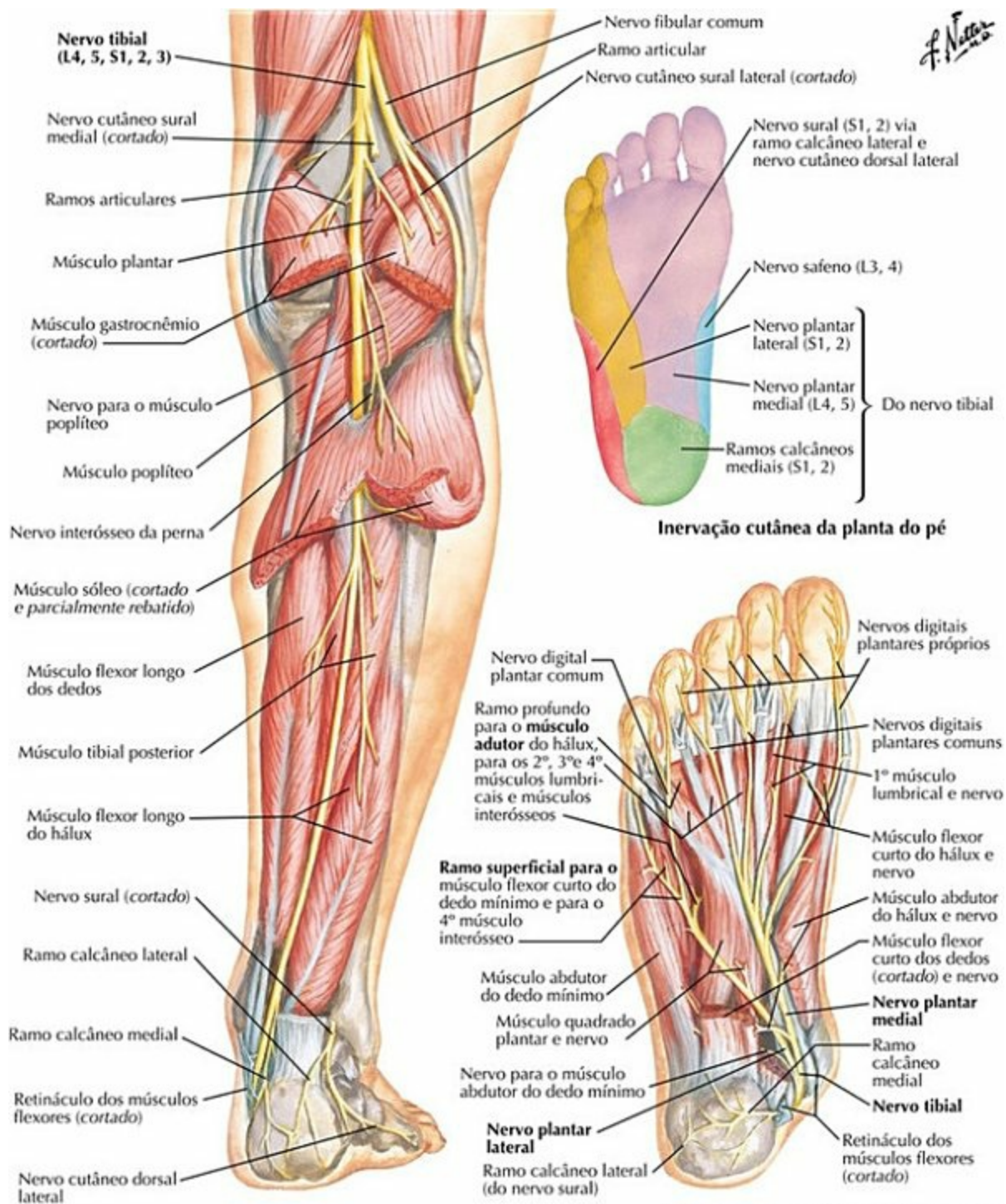
PRANCHA 526 Vascularização e Inervação
Veja também **Prancha 488**

Nervo Isquiático e Nervo Cutâneo Femoral Posterior



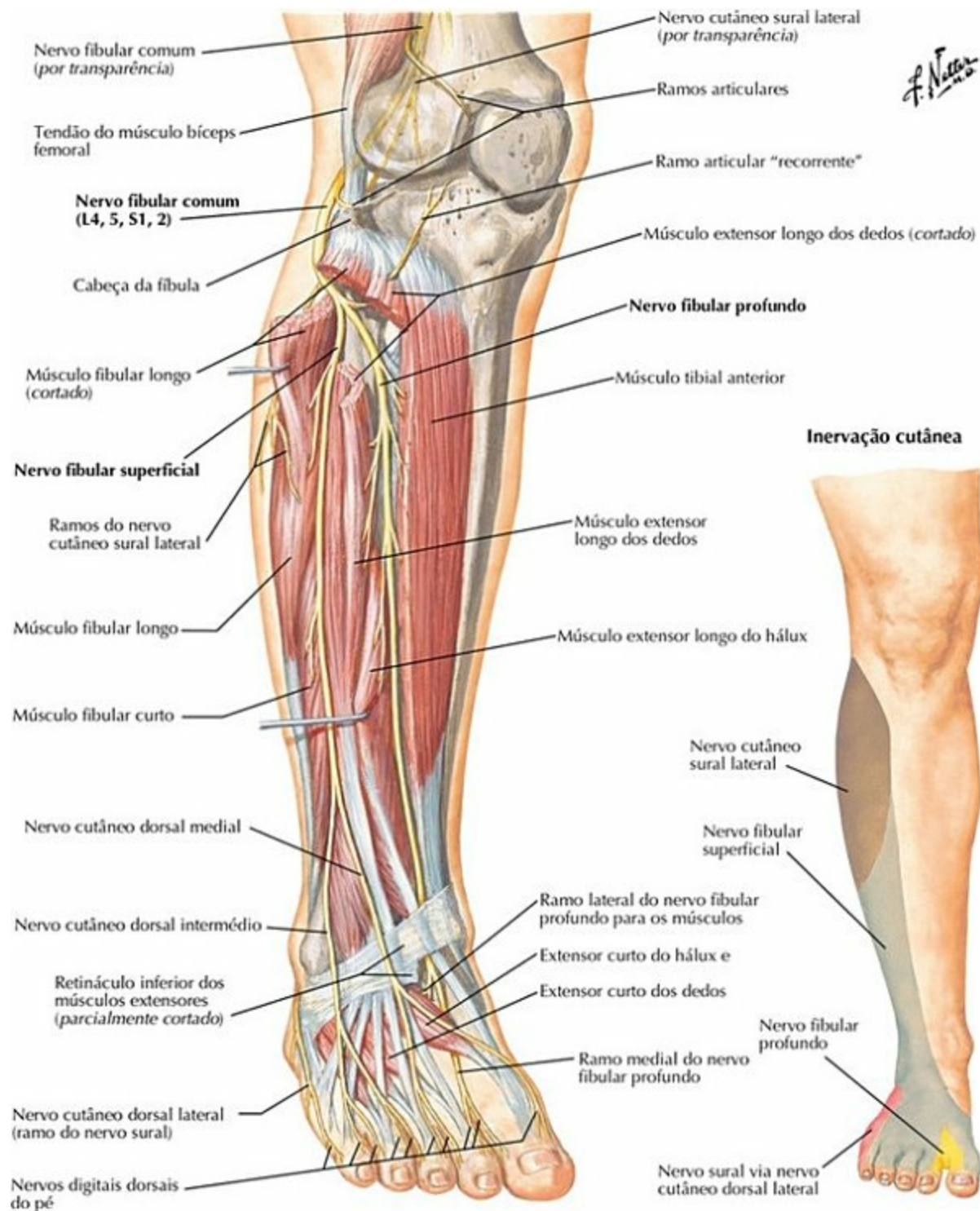
PRANCHA 527 Vascularização e Inervação
Veja também **Prancha 489**

Nervo Tibial



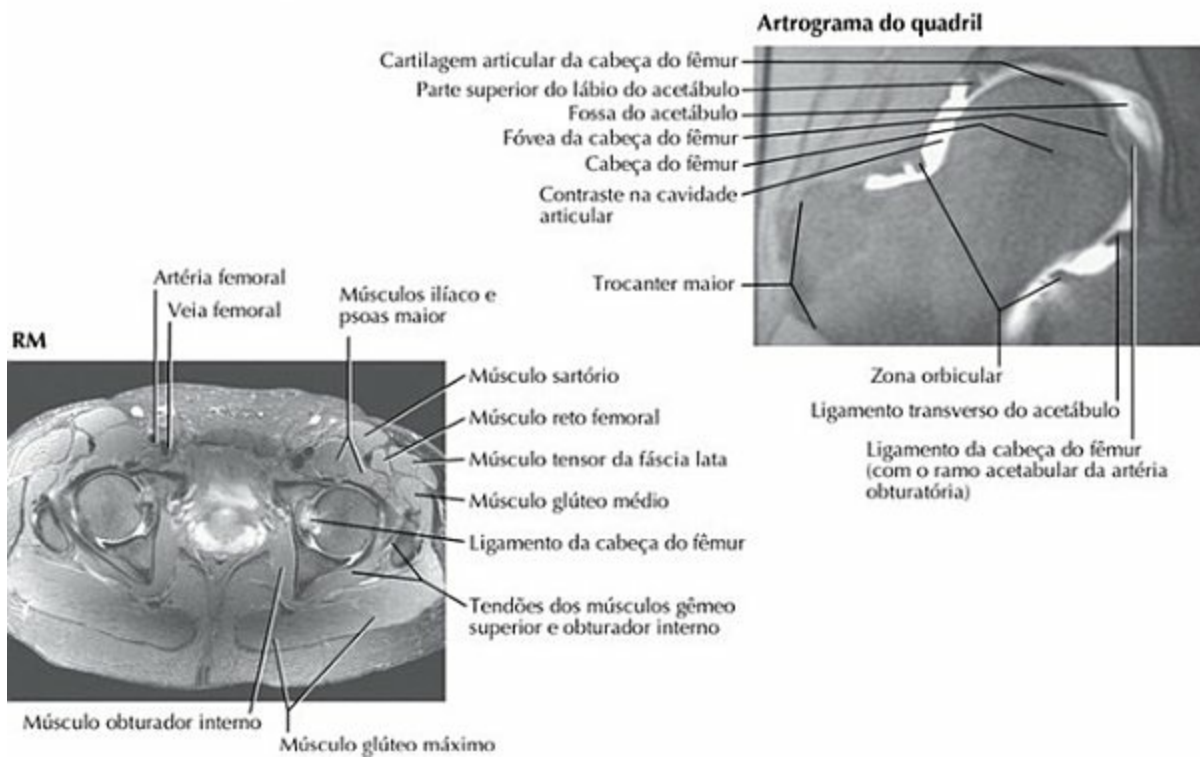
PRANCHA 528 Vascularização e Inervação
 Veja também **Pranchas 503, 520, 521**

Nervo Fibular Comum



PRANCHA 529 Vascularização e Inervação
 Veja também **Pranchas 506, 508, 516**

Radiografia, Artrograma e Ressonância Magnética (RM) do Quadril



PRANCHA 530 Imagens Regionais
 Veja também **Pranchas 330, 477, 491**

Tornozelo: Radiografias



PRANCHA 531 Imagens Regionais
 Veja também **Pranchas 506, 513, 514**

Tabelas de Músculos

Tabela 7-1

Tabelas de Músculos

MÚSCULO	INSERÇÃO PROXIMAL (PONTO FIXO)	INSERÇÃO DISTAL (PONTO MÓVEL)	INERVAÇÃO	AÇÕES PRINCIPAIS	SUPRIMENT SANGUÍNI
Abdutor do dedo mínimo	Processos lateral e medial da tuberosidade do calcâneo; aponeurose plantar e septo intermuscular	Superfície lateral da base da falange proximal do 5º dedo (dedo mínimo)	Nervo plantar lateral	Abduz e flexiona o 5º dedo	Artéria planta lateral-me artérias metatarsal plantar e digital pla para o 5º c
Abdutor do hálux	Processo medial da tuberosidade do calcâneo; retináculo dos músculos flexores e aponeurose plantar	Superfície medial da base da falange proximal do 1º dedo (hálux)	Nervo plantar medial	Abduz e flexiona o 1º dedo	Artéria planta medial e 1ª artéria metatarsal plantar
Adutor curto	Corpo e ramo inferior do púbis	Linha pectínea e parte proximal da linha áspera do fêmur	Nervo obturatório	Aduz a coxa na articulação do quadril; fraco flexor da coxa	Artérias femoi profunda, circunflexa femoral m e obturató
Adutor do hálux	<i>Cabeça oblíqua:</i> base do 2º ao 4º osso metatarsal <i>Cabeça transversa:</i> ligamentos das articulações metatarsofalângicas dos dedos III - V	Tendões de ambas as cabeças na superfície lateral da base da falange proximal do 1º dedo (hálux)	Ramo profundo do nervo plantar lateral	Aduz o 1º dedo, sustenta o arco transverso do pé	Artérias planta medial e lateral e ar plantar; artérias metatarsai plantares
Adutor longo	Corpo do púbis, inferiormente à crista púbica	Terço médio da linha áspera do fêmur	Nervo obturatório (ramo anterior)	Aduz a coxa na articulação do quadril	Artérias femoi profunda e circunflexa femoral m
Adutor magno	Ramo inferior do púbis, ramo do ísquio	<i>“Parte adutora”:</i> Tuberosidade glútea, linha áspera, linha supracondilar medial <i>“Parte do jarrete”:</i> tubérculo do adutor do fêmur	<i>“Parte adutora”:</i> nervo obturatório <i>“Parte do jarrete”:</i> nervo isquiático (“divisão tibial”)	<i>“Parte adutora”:</i> aduz e flexiona a coxa <i>“Parte do jarrete”:</i> estende a coxa	Artérias femoi femoral profunda e obturatóri
Articular do joelho	Superfície anterior da parte distal do fêmur	Bolsa suprapatelar	Nervo femoral	Traciona superiormente a bolsa suprapatelar, durante a extensão	Artéria femora

				do joelho	
Bíceps femoral	<i>Cabeça longa:</i> túber isquiático <i>Cabeça curta:</i> linha áspera e linha supracondilar lateral do fêmur	Superfície lateral da cabeça da fibula	<i>Cabeça longa:</i> nervo isquiático (“divisão tibial”), (L5-S2) <i>Cabeça curta:</i> nervo isquiático (“divisão fibular comum”)	Flexiona e roda lateralmente a perna; estende a coxa na articulação do quadril	Ramos perfurante das artéria femoral profunda, glútea infe e circunfle femoral m
Interósseos dorsais (quatro músculos)	Superfícies adjacentes do 1° ao 5° osso metatarsal	1°: superfície medial da falange proximal do 2° dedo (II) 2° ao 4°: superfícies laterais dos dedos II - IV	Nervo plantar lateral	Abdução do 2° ao 4° dedo; flexão nas articulações metatarsofalângicas; extensão das falanges	Artéria arquea artérias metatarsai dorsais e plantares
Extensor curto dos dedos e extensor curto do hálux	Superfície superolateral do calcâneo; ligamento talocalcâneo lateral, retináculo inferior dos músculos extensores	Primeiro tendão na superfície dorsal da base da falange proximal do hálux; outros 3 tendões nas superfícies laterais dos tendões do músculo extensor longo dos dedos II - IV	Nervo fibular profundo	Auxilia o músculo extensor longo dos dedos na extensão dos 4 dedos mediais nas articulações metatarsofalângicas e interfalângicas	Artérias dorsa pé, tarsal lateral, arqueada e fibular

Variações nas contribuições dos nervos espinais na inervação dos músculos, no seu suprimento arterial, nos seus locais de inserção e em suas ações são de ocorrência comum na anatomia humana. Portanto, existem diferenças entre os textos e devemos considerar que a variação anatômica é normal.

Tabela 7-2
Tabelas de Músculos

INSERÇÃO	INSERÇÃO
----------	----------

MÚSCULO	PROXIMAL (ponto fixo)	DISTAL (ponto móvel)	INERVAÇÃO	AÇÕES PRINCIPAIS	SUPRIMENTO SANGUÍNEO	GRUPO MUSCULAR
Extensor longo dos dedos	Côndilo lateral da tíbia; superfície anterior dos 3/4 proximais da membrana interóssea e da fíbula	Falanges média e distal dos quatro dedos laterais (II-V)	Nervo fibular profundo	Estende os quatro dedos laterais; flexão dorsal (dorsiflexão) do pé na articulação do tornozelo	Artéria tibial anterior	Anterior peroneal
Extensor longo do hálux	Parte média da superfície anterior da fíbula e da membrana interóssea da perna	Superfície dorsal da base da falange distal do hálux	Nervo fibular profundo	Estende o hálux; flexão dorsal do pé na articulação do tornozelo	Artéria tibial anterior	Anterior peroneal
Fibular curto	Face lateral dos 2/3 distais da fíbula	Tuberosidade do 5º metatarsal (superfície dorsal)	Nervo fibular superficial	Everte o pé; fraco flexor plantar do pé na articulação do tornozelo	Artérias tibial anterior e fibular	Lateral peroneal
Fibular longo	Cabeça e face lateral dos 2/3 proximais da fíbula	Superfície plantar da base do 1º osso metatarsal e cuneiforme medial	Nervo fibular superficial	Everte o pé; fraco flexor plantar do pé na articulação do tornozelo	Artérias tibial anterior e fibular	Lateral peroneal
Fibular terceiro	Superfície anterior do terço distal da fíbula e da membrana interóssea da perna	Superfície dorsal da base do 5º osso metatarsal	Nervo fibular profundo	Auxilia na flexão dorsal do pé na articulação do tornozelo e na eversão do pé	Artéria tibial anterior	Anterior peroneal
Flexor curto do dedo mínimo	Base do 5º osso metatarsal	Superfície lateral da base da falange proximal do 5º dedo (dedo mínimo)	Ramo superficial do nervo plantar lateral	Flexiona a falange proximal do 5º dedo	Artéria plantar lateral; artéria digital plantar para o 5º dedo; artéria arqueada	Pé
Flexor curto dos dedos	Processo medial da tuberosidade	Ambos os lados das falanges médias dos	Nervo plantar medial	Flexiona os dedos II - V	Artérias plantares lateral e medial; arco plantar;	Pé

	do calcâneo, aponeurose plantar e septo intermuscular	quatro dedos laterais (II-V)			artérias metatarsais plantares e digitais plantares	
Flexor longo dos dedos	Parte medial da face posterior da tibia, inferiormente à linha para o músculo sóleo	Superfície plantar da base das falanges distais dos quatro dedos laterais (II-V)	Nervo tibial	Flexiona os quatro dedos laterais; flexão plantar do pé na articulação do tornozelo; sustenta o arco longitudinal do pé	Artéria tibial posterior	Posterior
Flexor curto do hálux	Superfícies plantares dos ossos cuboide e cuneiforme lateral	Ambos os lados da base da falange proximal do hálux (I)	Nervo plantar medial	Flexiona a falange proximal do hálux	Artéria plantar medial, 1ª artéria metatarsal plantar	Pé
Flexor longo do hálux	Face posterior dos 2/3 distais da fíbula e da membrana interóssea da perna	Base da falange distal do hálux	Nervo tibial	Flexiona todas as articulações do hálux; fraco flexor plantar do pé na articulação do tornozelo	Artéria fibular	Posterior
Gastrocnêmio	<i>Cabeça lateral:</i> superfície lateral do côndilo lateral do fêmur <i>Cabeça medial:</i> face poplíteia acima do côndilo medial do fêmur	Superfície posterior do calcâneo, por meio do tendão do calcâneo	Nervo tibial	Flexor plantar do pé na articulação do tornozelo; auxilia a flexão do joelho; eleva o calcanhar durante a marcha	Artérias poplíteia e tibial posterior	Posterior
Glúteo máximo	Ílio, posteriormente à linha glútea posterior; face dorsal do sacro e do cóccix; ligamento sacrotuberal	A maioria das fibras termina no trato iliotibial que se insere no côndilo lateral da tibia;	Nervo glúteo inferior	Estende a coxa quando flexionada; auxilia na rotação lateral e abduz a coxa	Artéria glútea inferior (principalmente) e artéria glútea superior (ocasionalmente)	Região

		algumas fibras inserem-se na tuberosidade glútea do fêmur				
--	--	-----------------------------------------------------------------------------	--	--	--	--

Tabela 7-3

Tabelas de Músculos

MÚSCULO	INSERÇÃO PROXIMAL (ponto fixo)	INSERÇÃO DISTAL (ponto móvel)	INERVAÇÃO	AÇÕES PRINCIPAIS	SUPRIMENTAÇÃO SANGÜÍNEA
Glúteo médio	Face glútea do ílio entre as linhas glúteas anterior e posterior	Superfície lateral do trocanter maior do fêmur	Nervo glúteo superior	Abduz e roda medialmente a coxa na articulação do quadril; estabiliza a pelve no lado do apoio, quando o outro membro inferior deixa o solo	Artéria glútea superior
Glúteo mínimo	Face glútea do ílio entre as linhas glúteas anterior e inferior	Superfície anterior do trocanter maior do fêmur	Nervo glúteo superior	Abduz e roda medialmente a coxa na articulação do quadril; estabiliza a pelve no lado do apoio, quando o outro membro inferior deixa o solo	Tronco principal do ramo profundo da artéria glútea superior
Grácil	Corpo e ramo inferior do púbis	Parte superior da face medial da tíbia	Nervo obturatório	Aduz a coxa; flexiona e roda medialmente a perna	Artéria femoral profunda, artéria circunflexa da femoral e artéria tibial anterior
Íliaco (Iliopsoas)	2/3 superiores da fossa ilíaca, crista ilíaca, asa do sacro, ligamento sacro-ilíaco anterior	Trocanter menor do fêmur e parte do corpo (diáfise) logo abaixo, unindo-se ao tendão do músculo psoas maior	Nervo femoral	Flexiona a coxa e estabiliza a articulação do quadril; atua junto com o músculo psoas maior	Ramo ilíaco do tronco da artéria iliolumbal
Gêmeo inferior	Túber isquiático	Superfície medial do trocanter maior do fêmur	Nervo para o músculo quadrado femoral	Roda lateralmente a coxa estendida na articulação do quadril	Artéria circunflexa da femoral e artéria tibial anterior
Lumbricais	Tendões do	Parte medial das	Um medial: nervo	Flexionam as falanges	Artéria plantar lateral

	músculo flexor longo dos dedos	“expansões” digitais dorsais dos 4 dedos laterais (II-V)	plantar medial <i>Três laterais:</i> nervo plantar lateral	proximais na articulação MTF; estendem as falanges nas articulações IFP e IFD	lateral e artérias metatarsais plantares
Obturador externo	Margens do forame obturado; membrana obturadora	Fossa trocantérica do fêmur	Nervo obturatório	Roda lateralmente a coxa; estabiliza a cabeça do fêmur no acetábulo	Artéria circunfemoral medial, a obturatória
Obturador interno	Superfície pélvica da membrana obturadora e osso ao redor	Superfície medial do trocanter maior do fêmur	Nervo para o músculo obturador interno	Roda lateralmente a coxa estendida; abduz a coxa flexionada na articulação do quadril	Artérias pudenda interna e obturatória
Pectíneo	Ramo superior do púbis	Linha pectínea do fêmur	Nervo femoral e, ocasionalmente, o nervo obturatório	Aduz e flexiona a coxa na articulação do quadril	Artéria circunfemoral medial; a obturatória
Piriforme	Face pélvica do sacro (vértebras sacrais II - IV); ligamento sacrotuberal	Margem superior do trocanter maior do fêmur	Ramos anteriores de L5, S1, S2	Roda lateralmente a coxa estendida; abduz a coxa flexionada na articulação do quadril	Artérias glútea superior e inferior; a pudenda interna
Interósseos plantares (três músculos)	Base e superfície medial dos ossos metatarsais III-V	Superfície medial da base das falanges proximais dos dedos III-V	Nervo plantar lateral	Aduzem e flexionam os dedos (II - IV) nas articulações metatarsofalângicas e estendem as falanges	Artéria plantar lateral e a plantar; artérias metatarsais plantares digitais plantares
Plantar	Extremidade inferior da linha supracondilar lateral do fêmur e ligamento poplíteo oblíquo	Região posterior do calcâneo, por meio do tendão do calcâneo	Nervo tibial	Fraco colaborador do músculo gastrocnêmio	Artéria poplítea
Poplíteo	Região lateral do côndilo lateral do fêmur; menisco lateral	Face posterior da tíbia, superiormente à linha para o músculo sóleo	Nervo tibial (L4-S1)	Fraco flexor do joelho e “destranca” o joelho por meio da rotação do fêmur em relação à tíbia fixada	Artérias inferomedial e lateral do joelho

Psoas maior (Iliopsoas)	Processos costiformes das vértebras lombares, superfícies laterais dos corpos das vértebras TXII -LV, unindo-se às fibras dos discos intervertebrais	Trocanter menor do fêmur	Ramos anteriores dos primeiros nervos espinais lombares	Atuando superiormente junto com o músculo ilíaco, flexiona o quadril; agindo inferiormente, flexiona lateralmente a coluna vertebral; acionado para o equilíbrio do tronco na posição sentada; agindo inferiormente com o músculo ilíaco, flexiona o tronco	Ramos lomb. da artéria iliolumba
Quadrado femoral	Margem lateral do túber isquiático	Tubérculo quadrado na crista intertrocantérica do fêmur	Nervo para o músculo quadrado femoral	Roda lateralmente a coxa na articulação do quadril	Artéria circunferencial femoral r

Tabela 7-4

Tabelas de Músculos

MÚSCULO	INSERÇÃO PROXIMAL (ponto fixo)	INSERÇÃO DISTAL (ponto móvel)	INERVAÇÃO	AÇÕES PRINCIPAIS	SUPRIMENTO SANGUÍNEO	COMENTÁRIOS
Quadrado plantar	Regiões medial e lateral da superfície plantar do calcâneo	Margem posterolateral do tendão do músculo flexor longo dos dedos	Nervo plantar lateral	Reorienta a tração oblíqua do tendão do músculo flexor longo dos dedos, auxiliando, assim, a flexão dos dedos	Artérias plantares lateral e medial e arco plantar profundo	
Reto femoral (quadríceps femoral)	Espinha ilíaca anteroinferior e ílio acima do acetábulo	Base da patela e tuberosidade da tíbia, por meio do ligamento da patela	Nervo femoral	Estende a perna na articulação do joelho e flexiona a coxa na articulação do quadril	Artérias femoral profunda e circunflexa femoral lateral	

Sartório	Espinha ilíaca anterossuperior e parte superior da incisura abaixo dela	Parte superior da face medial da tíbia	Nervo femoral	Abduz, roda lateralmente e flexiona a coxa; flexão na articulação do joelho	Artéria femoral
Semimembranáceo	Túber isquiático	Região posterior do côndilo medial da tíbia	Nervo isquiático (“divisão” tibial)	Flexiona a perna; estende a coxa	Ramo perfurante das artérias femoral profunda e circunflexa femoral medial
Semitendíneo	Túber isquiático	Parte superior da face medial da tíbia	Nervo isquiático (“divisão” tibial)	Flexiona a perna; estende a coxa	Ramo perfurante das artérias femoral profunda e circunflexa femoral medial
Sóleo	Região posterior da cabeça da fíbula; 1/4 proximal da face posterior da fíbula; linha para o músculo sóleo da tíbia	Região posterior do calcâneo, por meio do tendão do calcâneo	Nervo tibial	Flexor plantar do pé na articulação do tornozelo; estabiliza a perna sobre o pé	Artérias poplítea, tibial posterior e fibular
Gêmeo superior	Superfície externa da espinha isquiática	Superfície medial do trocanter maior do fêmur	Nervo para o músculo obturador interno	Roda lateralmente a coxa estendida na articulação do quadril	Artérias glútea inferior e pudenda interna
Tensor da fáscia lata	Espinha ilíaca anterossuperior e parte anterior da crista ilíaca	Trato iliotibial que se fixa no côndilo lateral da tíbia	Nervo glúteo superior	Abduz, roda medialmente e flexiona a coxa na articulação do quadril; auxilia na manutenção do joelho estendido	Ramo ascendente da artéria circunflexa femoral lateral
Tibial anterior	Côndilo lateral, metade proximal da face lateral da tíbia; membrana interóssea da perna	Região medial da superfície plantar do cuneiforme medial e da base do 1º osso metatarsal	Nervo fibular profundo	Flexor dorsal do pé na articulação do tornozelo e inversor do pé	Artéria tibial anterior

Tibial posterior	Face posterior da tíbia, abaixo da linha para o músculo sóleo; membrana interóssea da perna, metade proximal da face posterior da fíbula	Tuberosidade do navicular, todos os cuneiformes, cuboide; base dos ossos metatarsais II-IV	Nervo tibial	Flexor plantar do pé na articulação do tornozelo e inversor do pé	Artéria fibular
Vasto intermédio (quadríceps femoral)	Superfícies anterior e lateral do corpo (diáfise) do fêmur	Base da patela e tuberosidade da tíbia, por meio do ligamento da patela	Nervo femoral	Estende a perna na articulação do joelho	Artérias circunflexa femoral lateral e femoral profunda
Vasto lateral (quadríceps femoral)	Trocanter maior, lábio lateral da linha áspera do fêmur	Base da patela e tuberosidade da tíbia, por meio do ligamento da patela	Nervo femoral	Estende a perna na articulação do joelho	Artérias circunflexa femoral lateral e femoral profunda
Vasto medial (quadríceps femoral)	Linha intertrocanterica, lábio medial da linha áspera do fêmur	Base da patela e tuberosidade da tíbia, por meio do ligamento da patela	Nervo femoral	Estende a perna na articulação do joelho	Artérias femoral e femoral profunda

Referências

Pranchas 8, 36-38, 43-45

Lang, J. *Clinical Anatomy of the Nose, Nasal Cavity, and Paranasal Sinuses*. New York: Thieme Medical Publishers; 1989.

Pranchas 19-21

Baccetti, T., Franchi, L., McNamara, J., Jr. The cervical vertebral maturation (CVM) method for the assessment of optimal treatment timing in dentofacial orthopedics. *Semin Orthod*. 2005; 11:119–129.

Roman, P. S. Skeletal maturation determined by cervical vertebrae development. *Eur J Orthod*. 2002; 24:303–311.

Prancha 23

Tubbs, R. S., Kelly, D. R., Humphrey, E. R., et al. The tectorial membrane: anatomical, biomechanical, and histological analysis. *Clin Anat*. 2007; 20:382–386.

Pranchas 25, 27-29, 48, 49, 58, 67, 70

Noden, D. M., Francis-West, P. The differentiation and morphogenesis of craniofacial muscles. *Dev Dyn*. 2006; 235:1194–1218.

Pranchas 32, 34, 126-132

Tubbs, R. S., Salter, E. G., Oakes, W. J. Anatomic landmarks for nerves of the neck: a vade mecum for neurosurgeons. *Neurosurgery*. 2005; 56:256–260.

Prancha 48

Benninger, B., Lee, B. I. Clinical importance of morphology and nomenclature of distal attachment of temporalis tendon. *J Maxillofac Surg*. 2012; 70:557–561.

Pranchas 50, 58

Benninger, B., Kloenne, J., Horn, J. L. Clinical anatomy of the lingual nerve and identification with ultrasonography. *Br J Oral Maxillofac Surg*. 2013; 51:541–544.

Pranchas 57, 62

Benninger, B., Andrew, K., Carter, B. Clinical measurements of hard palate and implications for subepithelial connective tissue grafts with suggestions for palatal nomenclature. *J Oral Maxillofac Surg*. 2012; 70:149–153.

Pranchas 65, 95, 96

Kierner, A. C., Mayer, R., v Kirschlhofer, K. Do the tensor tympani and tensor veli palatini muscles of man form a functional unit? A histochemical investigation of their putative connections. *Hear Res*. 2002; 165:48–52.

Pranchas 74, 75

Benninger, B., Barrett, R. A head and neck lymph node classification using an anatomical grid system while maintaining clinical relevance. *J Oral Maxillofac Surg*. 2011; 69:2670–2673.

Pranchas 80-82

Ludlow, C. L. Central nervous system control of the laryngeal muscles in humans. *Respir Physiol Neurobiol*. 2005; 147:205–222.

Pranchas 102-116

Rhoton, A. L. *Cranial Anatomy and Surgical Approaches*. Schaumburg, IL: Congress of Neurological Surgeons; 2003.

Pranchas 105, 141

Tubbs, R. S., Hansasuta, A., Loukas, M., et al. Branches of the petrous and cavernous segments of the internal carotid artery. *Clin Anat*. 2007; 20:596–601.

Pranchas 117-119, 125

Schrott-Fischer, A., Kammen-Jolly, K., Scholtz, A. W., et al. Patterns of GABA-like immunoreactivity in efferent fibers of the human cochlea. *Hear Res*. 2002; 174:75–85.

Pranchas 160, 175

Tubbs, R. S., Loukas, M., Slappy, J. B., et al. Clinical anatomy of the C1 dorsal root, ganglion, and ramus: a review and anatomical study. *Clin Anat.* 2007; 20:624–627.

Prancha 162

Lee, M. W.L., McPhee, R. W., Stringer, M. D. An evidence-based approach to human dermatomes. *Clin Anat.* 2008; 21:363–373.

Pranchas 162, 399, 469, 513

Forester, O. The dermatomes in man. *Brain.* 1933; 56:1–39.

Garrett, F. D. The segmental distribution of the cutaneous nerves in the limbs of man. *Anat Rec.* 1948; 102:409–437.

Keegan, J. J. Dermatome hypalgesia with posterolateral herniation of lower cervical intervertebral disc. *J Neurosurg.* 1947; 4:115–139.

Prancha 168

Turnball, I.M.Vinken P.J., Bruyn G.W., eds. Bloody supply of the spinal cord. *Handbook of Clinical Neurology*, XII: Amsterdam, 1972:478–491.

Prancha 169

Stringer, M. D., Restieaux, M., Fisher, A. L., Crosado, B. The vertebral venous plexuses: the internal veins are muscular and external veins have valves. *Clin Anat.* 2012; 25:609–618.

Pranchas 174, 175

Tubbs, R. S., Mortazavi, M. M., Loukas, M., et al. Anatomical study of the third occipital nerve and its potential role in occipital headache/neck pain following midline dissections of the craniocervical junction. *J Neurosurg Spine.* 2011; 15:71–75.

Pranchas 179-181

Hassiotou, F., Geddes, D. Anatomy of the human mammary gland: current status of knowledge. *Clin Anat.* 2013; 26:29–48.

Pranchas 197, 198

Jackson, C. L., Huber, J. F. Correlated applied anatomy of the bronchial tree and lungs with a system of nomenclature. *Dis Chest*. 1943; 9:319–326.

Prancha 200

Ikeda, S., Ono, Y., Miyazawa, S., et al. Flexible bronchofiberscope. *Otolaryngology (Tokyo)*. 1970; 42:855.

Prancha 215

Angelini, P., Velasco, J. A., Flamm, S. Coronary anomalies: incidence, pathophysiology, and clinical relevance. *Circulation*. 2002; 105:2449–2454.

Pranchas 215, 216

Chiu, I. S., Anderson, R. H. Can we better understand the known variations in coronary arterial anatomy? *Ann Thorac Surg*. 2012; 94:1751–1760.

Prancha 222

James, T. N. The internodal pathways of the human heart. *Prog Cardiovasc Dis*. 2001; 43:495–535.

Pranchas 222-224

Hildreth, V., Anderson, R. H., Henderson, D. J. Autonomic innervation of the developing heart: origins and function. *Clin Anat*. 2009; 22:36–46.

Prancha 236

Ang, H. J., Gill, Y. C., Lee, W. J., et al. Anatomy of thoracic splanchnic nerves for surgical resection. *Clin Anat*. 2008; 21:171–177.

Prancha 279

Elias H. Morphology of the Liver. New York, Academic Press, 1969. MacSween RNM, Anthony PP, Scheuer PJ, et al (eds). Pathology of the Liver. London, Churchill Livingstone, 2002. Robinson PJ. MRI of the Liver: A Practical Guide. New York, Taylor & Francis, 2006.

Pranchas 283, 284

Odze, R. D. *Surgical Pathology of the GI Tract, Liver, Biliary Tract, and Pancreas*. Philadelphia: Saunders; 2004.

Prancha 305

Thomas MD. In The Ciba Collection of Medical Illustrations, vol 3, part II. Summit, NJ, CIBA, p 78.

Pranchas 321, 344, 362, 374, 392

Stormont, T. J., Cahill, D. R., King, B. F., Myers, R. P. Fascias of the male external genitalia and perineum. *Clin Anat.* 1994; 7:115–124.

Pranchas 335, 340, 346, 350, 355, 356

Oelrich, T. M. The striated urogenital sphincter muscle in the female. *Anat Rec.* 1983; 205:223–232.

Pranchas 339, 344

Myers, R. P., Goellner, J. R., Cahill, D. R. Prostate shape, external striated urethral sphincter, and radical prostatectomy: the apical dissection. *J Urol.* 1987; 138:543–550.

Pranchas 339, 344, 361, 362

Oelrich, T. M. The urethral sphincter muscle in the male. *Am J Anat.* 1980; 158:229–246.

Prancha 381

Flocks, R. H., Kerr, H. D., Elkins, H. B., et al. Treatment of carcinoma of the prostate by interstitial radiation with radio-active gold (Au 198): A preliminary report. *J Urol.* 1952; 68:510–522.

Prancha 399

Keegan, J. J., Garrett, F. D. The segmental distribution of the cutaneous nerves in the limbs of man. *Anat Rec.* 1948; 102:409.

Prancha 469

Keegan, J. J. Neurological interpretation of dermatome hypalgesia with herniation of the lumbar intervertebral disc. *J Bone Joint Surg Am.* 1944; 26:238–248.

Last, R. J. Innervation of the limbs. *J Bone Joint Surg Br.* 1949; 31:452.

Índice

As referências são os números das pranchas. Na maioria dos casos, as estruturas são listadas no singular.

A

Abdome

- anatomia de superfície do, [242](#)
- estrato membranáceo do, [245](#)
- estrutura óssea, [243](#)
- imagens axiais de CT do, [322-323](#)
- nervos e gânglios autônomos do, [297](#)
- quadrante inferior direito, [244](#)
- quadrante inferior esquerdo, [244](#)
- quadrante superior direito, [244](#)
- quadrante superior esquerdo, [244](#)
- regiões e planos do, [244](#)
- tela subcutânea, [245](#)
- ureteres no, [313](#)

Abertura inferior da pelve

- diâmetro ântero-posterior, [332](#)
- diâmetro transversal, [332](#)

Abertura lateral, [110](#)

- do quarto ventrículo, [147](#)
- esquerda, [109](#)

Abertura lateral do 4º ventrículo (forame de Luschka), [109-110](#)

Abertura mediana, [109-110](#), [116](#), [118](#)

Abertura mediana do 4º ventrículo (forame de Magendie), [109-110](#), [116](#), [118](#)

Abertura superior da pelve, [350](#)

parte sacral da, [157](#)

Abertura superior da pelve, radiografia da, [331](#)

Acetábulo, [334](#), [473](#)

face semilunar do, [396](#), [473-474](#)

margem do, [473](#)

radiografia do, [331](#), [475](#)

Ácino, [201](#)

Acrômio, [29](#), [185](#), [398](#), [408-409](#), [411](#), [413-415](#), [417](#), [467](#)

da escápula, [183](#), [405-407](#)

Adeno-hipófise, [141](#), [148-149](#)

Aderência intertalâmica, [107](#), [109](#), [111-112](#), [116](#), [147-148](#)

Ádito da laringe (entrada da laringe), [64](#), [66](#), [69](#)

Alça cervical, [31](#), [129-130](#)

raiz inferior da, [32](#), [34](#), [71](#), [76](#), [129-130](#)

raiz superior da, [32](#), [34](#), [71](#), [76](#), [129-130](#)

Alça peitoral, [415](#)

Alça subclávia, [131](#), [206](#), [223-224](#), [236](#)

Alças anastomóticas, [287](#), [290](#)

das artérias ileais, [272](#)

das artérias jejunais, [272](#)

para a artéria espinhal anterior, [167](#)

para a artéria espinhal posterior, [167](#)

Álveo do hipocampo, [113](#)

Alvéolos, [201](#)

Ampola

da orelha, [94](#), [98](#)

anterior, [97](#)

lateral, [97](#)

posterior, [97](#)

da tuba auditiva, [352-353](#)

do ducto deferente, [362](#)

do reto, [346](#)

dos ductos semicirculares

lateral, [125](#)

posterior, [125](#)

superior, [125](#)

Ampola hepatopancreática (de Vater), [280](#)

esfíncter da, [280](#), [306](#)

Anastomose acromial, [414](#)

Anastomoses

entre as artérias carótidas interna e externa, [138](#)

entre as artérias do encéfalo, [139](#)

paravertebrais, [168](#)

pré-vertebrais, [168](#)

Anastomoses portocava, [292](#)

Anel adiposo sub-hiatal, [232](#)

Anel do triângulo da bexiga urinária, [347](#)

Anel femoral, [255](#), [257](#), [341](#), [343](#), [345](#), [472](#)

Anel fibroso, [21](#), [155](#), [159](#)

lamelas de colágeno do, [159](#)

Anel inguinal

pilar lateral, [255](#)

pilar medial, [255](#)

profundo, [245](#), [249](#), [255-256](#), [341-343](#), [345](#), [364](#)

superficial, [245](#), [255-256](#), [355](#), [359](#), [364-365](#)

Anel tendíneo comum (de Zinn), [85-86](#), [88](#), [122](#)

Anexos, [353](#)

Ângulo da mandíbula, [1](#), [15](#), [17](#), [66](#)

Ângulo do acrômio, [405-406](#)

Ângulo do tubérculo de Bohler, [513](#)

Ângulo iridocorneal, [89-90](#), [92](#)

trama trabecular e espaços do, [90](#)

Ângulo mastóideo, [11](#)

Ângulo subpúbico, [331](#)

Antebraço

artérias do, [435](#)

cortes transversais em série do, [436](#)

músculos do

camada intermédia, [433](#)

camada profunda, [431](#), [434](#)

camada superficial, [430](#), [432](#)

extensores do punho e dos dedos, [427](#)

fixações, [437-438](#)

flexores do punho, [428](#)

flexores dos dedos, [429](#)

rotadores do rádio, [426](#)

nervo radial no, [466](#)

nervos cutâneos do, [402](#), [461-462](#)

ossos do, [425](#)

proximal, artérias do, [420](#)

veias superficiais do, [402](#)

Antélice, [1](#), [95](#)

ramos da, [95](#)

Antitrango, [1](#), [95](#)

Antro mastóideo, [96](#)

Antro pilórico, [269](#)

Ânus, [337](#), [340](#), [354](#), [358](#), [360](#), [366](#), [373](#)

Aorta, [26](#), [204](#), [216-217](#), [226](#), [258](#), [306](#), [309](#), [320](#)

imagens axiais de CT da, [322](#)

parte abdominal da, [176](#), [192](#), [229](#), [259](#), [264](#), [267-268](#), [271](#), [283-284](#), [303](#), [308](#), [310](#), [314-315](#),
[320-321](#), [341-342](#), [345](#), [376](#), [378-381](#), [390](#)

arteriografia da, [285](#)

imagens axiais de CT da, [323](#)

seção transversal da, [326-328](#)

parte ascendente, [139](#), [212](#), [214](#), [217](#), [220-222](#), [237](#), [240](#)

seção frontal da, [214](#)

parte torácica (descendente), [139](#), [168](#), [188](#), [191](#), [213](#), [228-229](#), [233](#), [237](#), [240-241](#)

seção transversal da, [324-325](#)

sulco pulmonar para a, [196](#)

ramos uretéricos da, [314](#)

Aorta, parte torácica (descendente), [139](#), [168](#), [188](#), [191](#), [213](#), [228-229](#), [233](#), [237](#), [240-241](#)

seção transversal da, [324-325](#)

sulco de pulmão para a, [196](#)

Aparelho lacrimal, [84](#)

Apêndice(s), [127](#), [275](#)

do epidídimo, [365](#), [367](#)

do testículo, [365](#), [367](#)

hepático fibroso, [277](#)

omentais (epiplóico), [265](#)

vermiforme, [265](#), [273-276](#)

óstio do, [274](#)

vesiculososo, [352](#), [367](#)

Apêndice hepático fibroso, [277](#)

Apêndice vermiforme, [275](#)

Apêndices vesiculosos (hidátide de Morgagni), [352](#)

Aponeurose do músculo bíceps braquial, [402](#), [417](#), [419](#), [432](#), [460](#)

Aponeurose epicrânica, [3](#), [25](#), [103](#), [175](#)

Aponeurose faríngea, [65](#), [67](#), [69](#)

Aponeurose glútea, [309](#), [481-482](#), [489](#)

sobre o músculo glúteo médio, [250](#)

Aponeurose palatina, [57](#), [65](#)

Aponeurose palmar, [402](#), [428](#), [432](#), [441](#), [446-447](#), [450](#)

Aponeurose plantar, [516](#), [519-522](#)

Aponeurose triangular, [451](#)

Aqueduto da cóclea, [98](#)

Aqueduto do mesencéfalo, [107-110](#), [116](#), [118](#), [147-148](#)

Aqueduto do vestíbulo

abertura do, [8](#), [13](#), [99](#)

abertura interna do, [97](#)

ducto endolinfático no, [98](#)

Aracnoide, [101](#), [103](#), [110](#)

entrada da veia cerebral superior, [103](#)

interface com a dura-máter, [103](#)

Aracnoide-máter, [165-166](#)

Arco carpal palmar, [452](#)

Arco da aorta, [76-77](#), [139](#), [193](#), [203](#), [207-212](#), [218](#), [222](#), [228-230](#), [233](#), [239](#)

sulco pulmonar para o, [196](#)

Arco palatofaríngeo, [47](#), [56](#), [60](#), [66](#), [68](#)

Arco palatoglosso, [47](#), [56](#), [60](#), [68](#)

Arco palmar

profundo, [435](#), [452](#)

superficial, [435](#), [449](#), [453](#)

Arco plantar profundo, [509](#), [523](#)

ramos perfurantes dorsais do, [508-509](#), [518](#)

Arco púbico, [243](#), [330](#)

medições do, [332](#)

Arco superciliar, [1](#)

Arco tendíneo, [70](#)

do músculo levantador do ânus, [370](#)

Arco tendíneo da fásia da pelve, [351](#)

Arco venoso dorsal, [470](#)

Arco zigomático, [6](#), [15-16](#), [48](#)

Arcos palpebrais

inferior, [87](#)

superior, [87](#)

Área em forma de V (de Laimer), [69](#), [231](#)

Área hipotalâmica lateral, [136](#)

Área septal, [120](#)

Área subcalosa, [107](#), [120](#)

Área vestibular, [116](#)

Áreas de ausculta precordial, [210](#)

Aréola, [179](#)

Artéria alveolar

inferior, [40](#), [47](#), [51](#), [58](#), [73](#)

ramo lingual, [72](#)

ramo mentual, [51](#), [72](#)

ramo milo-hióideo, da, [18](#), [72](#)

superior

anterior, [51](#), [54](#)

média, [51](#), [54](#)

posterior, [51](#), [54](#), [72](#)

ramos dentais da, [54](#)

Artéria angular, [3](#), [35](#), [51](#), [72](#), [87](#), [139](#)

Artéria apendicular, [273](#), [287-288](#), [301-302](#)

Artéria auricular

anterior, [3](#)

posterior, [3](#), [34](#), [51](#), [72](#), [96](#), [102](#), [137](#), [139](#), [175](#)

profunda, [51](#), [72](#), [96](#)

Artéria axilar, [180](#), [186](#), [195](#), [214](#), [251](#), [412](#), [414-415](#), [419](#)

direita, [190](#)

esquerda, [190](#)

ramo acromial da, [420](#)

ramo clavicular da, [420](#)

ramo deltoideo da, [420](#)

Artéria basilar, [137](#), [139-142](#), [144](#), [167](#)

imagem da, [150-151](#)

Artéria braquial, [180](#), [414-415](#), [417](#), [419-421](#), [432-435](#), [460](#)

circunflexa anterior, [413-415](#), [417](#), [419-420](#)

circunflexa posterior, [413-415](#), [418-420](#)

in situ, [419](#)

ramo muscular da, [419](#)

ramos da, [431](#)

ramo colateral médio da, [431](#)

Artéria braquial profunda, [415](#), [418-421](#)

lateral superior, [413](#)

Artéria bronquial, [202](#), [204](#)

direita, [196](#), [204](#), [227](#), [233](#)

esquerda, [196](#), [228](#)

inferior, [204](#), [233](#)

superior, [204](#), [233](#)

ramo esofágico da, [204](#), [233](#)

Artéria bucal, [51](#), [72](#)

Artéria calosomarginal, [142-143](#)

Artéria caroticotimpânica, [96](#), [138](#)

Artéria carótida, [34](#)

comum, [3](#), [26](#), [30-31](#), [33-34](#), [55](#), [71-73](#), [76-78](#), [126](#), [129](#), [131-132](#), [134-135](#), [137](#), [139](#), [187](#), [195](#), [207](#), [229](#), [233](#)

direita, [170](#), [190](#), [203](#), [210](#)

esquerda, [170](#), [190](#), [203](#), [208-211](#), [214](#), [238](#)

externa, [3](#), [27-28](#), [31](#), [34](#), [46-47](#), [51](#), [54-55](#), [59](#), [71-73](#), [76-78](#), [96](#), [102](#), [126](#), [131-132](#), [134-135](#),

137, 139

esquema da, 34

interno para, 138

ramo indireto da, 138

interna, 3, 13, 34, 42, 47, 49, 53, 55, 71-72, 76-78, 87-88, 96, 100, 102, 124, 126, 129, 131-135, 137, 139-142

à esquerda, 143-144

direita, 143

imagem da, 150

na parte petrosa do osso temporal, 138

no canal carótico, 12

para a externa, 138

parte cerebral da, 138

parte cervical da, 138

parte petrosa da, 138

plexo nervoso da, 122

ramocaroticotimpânico da, 139

ramo meníngeo da, 138

segmento cavernoso, 105, 138

tronco meningohipofisário da, 102

Artéria cecal, 302

anterior, 273, 287-288

posterior, 273, 287-288

Artéria cerebelar

inferior

anterior, 137, 139-142, 144, 167

ramo corióideo da, 144

posterior, 137, 139-140, 142, 144, 167

ramo tonsilar, 144

ramo lateral da, 144

ramo vermiano da, 144

superior, [137](#), [139-142](#), [144](#), [167](#)

Artéria cística, [283-284](#)

Artéria colateral

média, [418](#), [420-421](#)

radial, [418](#), [420-421](#)

ulnar

inferior, [419-420](#), [431](#), [435](#)

superior, [419-421](#), [430-431](#), [435](#)

Artéria colateral radial, [418](#), [420-421](#)

Artéria colateral ulnar

inferior, [419-420](#), [431](#), [435](#)

superior, [419-421](#), [430-431](#), [435](#)

Artéria cólica

ascendente ramo da, [288](#), [376](#)

direita, [287-288](#), [302](#), [313](#)

esquerda, [259](#), [288](#), [297](#), [302](#), [313](#), [376](#)

média, [281](#), [284](#), [287-288](#), [301-302](#), [321](#)

ramo descendente da, [265](#), [268](#), [288](#), [376](#)

Artéria comunicante

anterior, [137-143](#)

imagem da, [150](#)

posterior, [105](#), [137-144](#)

imagem da, [150](#)

Artéria coriídea

anterior, [138](#), [140-142](#), [144](#)

posterior lateral, [144](#)

posterior medial, [140](#), [144](#)

Artéria cremastérica, [251](#), [256-257](#), [379](#)

Artéria da retina, [92](#)

central, [87](#), [89](#), [92-93](#)

Artéria descendente

anterior, [215-216](#)

posterior, [211](#), [215-216](#), [219](#)

Artéria digital

dorsal, [456](#), [458](#), [508-509](#), [517](#), [523](#)

palmar, [435](#)

comum, [435](#)

própria, [435](#)

própria, [453](#)

Artéria do labirinto, [13](#), [96](#), [140-142](#), [144](#)

esquerda, [137](#)

Artéria do ramo posterior do estribo, [96](#)

Artéria do sulco

central, [142-143](#), [168](#)

pós-central, [142](#)

pré-central, [142-143](#)

pré-frontal, [143](#)

Artéria do sulco pós-central, [142](#)

Artéria do sulco pré-central, [142-143](#)

Artéria dorsal

do clitóris, [357](#), [382](#)

do pênis, [359](#), [361](#), [383](#)

Artéria dorsal do pé, [508](#), [517-518](#), [523](#)

Artéria epigástrica

inferior, [245](#), [247](#), [249](#), [251](#), [255-257](#), [259](#), [268](#), [314](#), [341](#), [343](#), [345](#), [376](#), [378-379](#), [381](#), [499](#)

ramo cremastérico da, [247](#), [249](#), [259](#)

ramo púbico da, [247](#), [249](#), [255](#), [259](#), [343](#), [345](#)

seção transversal da, [328](#)

superficial, [186](#), [208](#), [245](#), [247](#), [251](#), [259](#), [487](#), [499](#)

superior, [185](#), [187-188](#), [247](#), [251](#)

Artéria episcleral, [92](#)

Artéria esfenopalatina, [40](#), [51](#), [54](#), [72](#)

ramos nasais posteriores laterais da, [40](#), [54](#)

ramos septais posteriores do de, [40](#), [51](#)

anastomose com a artéria palatina maior, [54](#)

Artéria esofágica, [204](#)

Artéria esplênica, [259](#), [268](#), [271](#), [281-284](#), [286-287](#), [297-300](#), [306-307](#), [321](#)

arteriografia, [285](#)

imagens axiais de CT de, [322](#)

ramos esplênicos da, [283](#)

seção transversal da, [325](#)

Artéria estilomastóidea, [96](#)

ramo do estapédio da, [96](#)

ramo timpânico posterior da, [96](#)

Artéria estriada distal medial (artéria recorrente de Heubner), [138](#), [140-143](#)

Artéria etmoidal

anterior, [13](#), [87](#)

ramo meníngeo anterior da, [102](#)

ramo nasal anterior lateral da, [40](#)

ramo nasal externo da, [40](#)

ramo septal anterior da, [40](#)

posterior, [13](#), [87](#), [102](#)

ramos nasais septais e laterais, [40](#)

Artéria facial, [3](#), [31](#), [34-35](#), [42](#), [46-47](#), [51](#), [72-73](#), [77](#), [87](#), [132](#), [134](#), [137](#), [139](#)

ramo do septo nasal da, [40](#)

ramo labial inferior da, [35](#)

ramo labial superior da, [35](#)

ramo nasal lateral, ramos alares da, [3](#)

ramo tonsilar da, [68](#)

transversa, [3](#), [34-35](#), [46](#), [72](#), [87](#)

Artéria faríngea, [51](#)

artéria da, [54](#)

ascendente, [34](#), [51](#), [55](#), [72](#), [96](#), [137](#), [139](#)

ramo faríngeo da, [68](#)

ramo tonsilar da, [68](#)

ramos meníngeos da, [13](#), [102](#), [137](#)

Artéria femoral, [247](#), [251](#), [256](#), [259](#), [358](#), [379](#), [385](#), [396-397](#), [472](#), [480](#), [487-488](#), [492](#), [499](#), [509](#), [530](#)

abertura para a, [258](#)

circunflexa lateral, [487-488](#), [491](#), [499](#)

circunflexa medial, [488-489](#), [491](#), [499](#)

na bainha femoral, [257](#)

profunda, [397](#)

ramos musculares da, [499](#)

ramos perfurantes da, [499](#)

Artéria femoral profunda, [487-489](#), [491-492](#), [499](#)

ramos perfurantes da, [480](#), [488](#)

Artéria fibular, [499](#), [503-505](#), [509-510](#), [521](#)

ramo comunicante da, [505](#)

ramo maleolar lateral, [505](#)

ramo perfurante da, [505](#), [508](#), [517-518](#)

ramos calcâneos da, [503-505](#)

Artéria frênica inferior, [229](#), [233](#), [236](#), [259](#), [283](#), [297-298](#), [320](#), [388](#)

direita, [192](#), [284](#), [299](#), [310](#), [319](#)

esquerda, [192](#), [266](#), [268](#), [284](#), [299](#), [310](#), [319-320](#)

ramo anterior do lado esquerdo, [192](#)

ramo lateral esquerdo, [192](#)

ramo recorrente da, [259](#), [283](#)

Artéria gástrica

curtas, [268](#), [282-284](#), [300](#)

direita, [272](#), [280](#), [283-284](#), [298-300](#)

arteriografia da, [285](#)

esquerda, [233](#), [259](#), [266](#), [268](#), [283-284](#), [297-300](#), [388](#)

arteriografia da, [285](#)

ramo esofágico da, [233](#), [236](#), [283](#)

Artéria gastroduodenal, [272](#), [280](#), [283-284](#), [286-287](#), [300-301](#), [306](#)

arteriografia da, [285](#)

plexos ao redor da, [299](#)

Artéria gastromental (gastroepiploica), [268](#), [282](#)

anastomose da, [266](#)

direita, [266](#), [283-284](#), [286-287](#), [289](#), [292](#), [300](#)

esquerda, [283-284](#), [289](#), [292](#), [300](#)

plexos ao redor da, [298-299](#)

Artéria glútea

inferior, [259](#), [314](#), [376](#), [380-381](#), [486](#), [489](#)

superior, [259](#), [314](#), [376](#), [380-381](#), [486](#), [489](#)

Artéria hepática, [278](#), [280](#), [283-284](#)

comum, [259](#), [266](#), [272](#), [280-281](#), [283-284](#), [286-287](#), [297](#), [300](#), [306](#)

arteriografia da, [285](#)

intermedia, [284](#)

própria, [267-268](#), [271-272](#), [277-278](#), [280-281](#), [283-284](#), [286](#), [300](#), [321](#)

arteriografia da, [285](#)

seção transversal da, [325](#)

ramo da, [279](#)

Artéria hipofisária

inferior, [138](#), [141](#), [149](#)

superior, [138](#), [141](#), [149](#)

Artéria ileocólica, [273](#), [287-288](#), [301-302](#), [313](#)

Artéria ilíaca

circunflexa profundo, [249](#), [257](#), [343](#), [381](#), [488](#), [499](#)

ascendente ramo da, [251](#), [259](#)

circunflexa superficial, [245](#), [247](#), [251](#), [259](#), [487](#), [499](#)

comum, [259](#), [265](#), [268](#), [297](#), [308](#), [313-314](#), [376](#), [378-381](#), [390](#)

ramo uretérico da, [314](#)

externa, [249](#), [255-257](#), [259](#), [268](#), [273](#), [291](#), [297](#), [308](#), [313](#), [340-345](#), [350](#), [353](#), [370](#), [376](#), [378-381](#), [390](#), [488](#), [499](#)

interna, [259](#), [288](#), [297](#), [308](#), [313-314](#), [343](#), [376](#), [378-381](#), [390](#)

Artéria iliolumbar, [259](#), [314](#), [380-381](#)

Artéria infraorbital, [3](#), [35](#), [51](#), [54](#), [72](#), [83](#), [87](#)

Artéria intercostal, [188](#)

anterior, [187-188](#), [251](#)

inferior, anastomoses com, [251](#)

posterior, [167-168](#), [185-186](#), [188](#), [227-228](#)

direita, [188](#)

ramo cutâneo lateral do, [188](#)

ramo dorsal para o, [168](#), [188](#)

ramo espinal do, [168](#), [188](#)

ramo para o corpo vertebral e a dura-máter, [168](#)

ramos mamários laterais laterais dos ramos cutâneos laterais, [180](#)

terceiro direito, [204](#), [233](#)

ramos colaterais, [187](#)

suprema, [137](#), [139](#)

Artéria interóssea

anterior, [420](#), [431](#), [433-436](#)

comum, [420](#), [433-436](#)

posterior, [431](#), [434-436](#)

Artéria lacrimal, [87](#), [139](#)

ramo meníngeo recorrente da, [102](#)

Artéria laríngea

inferior, [82](#)

superior, [34](#), [72](#), [76-78](#), [137](#)

forame para a, [80](#)

ramo interno da, [69](#)

Artéria lingual, [3](#), [34](#), [47](#), [51](#), [59](#), [72](#), [77](#), [134](#), [137](#), [139](#)

dorsal, [59](#)

ramo tonsilar, [68](#)

profunda, [56](#), [59](#)

Artéria lombar, [167](#), [259](#)

anastomoses com a, [251](#)

Artéria maleolar

anterior lateral, [508-509](#), [517-518](#)

anterior medial, [508-509](#), [517-518](#)

Artéria marginal, [288](#), [302](#), [376](#)

direita, [216](#)

esquerda (obtusa), [215](#)

Artéria massetérica, [6](#), [49](#), [51](#), [72](#)

Artéria maxilar, [18](#), [34](#), [40](#), [49-51](#), [54-55](#), [71-72](#), [96](#), [102](#), [132](#), [134-135](#), [137](#), [139](#)

ramos nasais posteriores laterais, [51](#)

Artéria medular, segmentar, [167-168](#)

Artéria medular segmentar

inferior, [312](#)

anterior, [312](#)

posterior, [312](#)

superior, [312](#)

anterior, [312](#)

Artéria mesentérica

inferior, [259](#), [264](#), [271](#), [288](#), [297](#), [302](#), [308](#), [310](#), [313-314](#), [376](#), [378-379](#), [388](#)

superior, [176](#), [226](#), [259](#), [264](#), [268](#), [271-273](#), [281](#), [284](#), [286-288](#), [290](#), [294](#), [298-301](#), [307-308](#), [310](#), [313-315](#), [321](#), [388](#)

arteriografia da, [285](#)

imagens axiais de CT da, [322-323](#)

seção transversal da, [327-328](#)

Artéria muscular, [92-93](#)

Artéria musculofrênica, [186-187](#), [195](#), [208](#), [251](#)

Artéria nasal

dorsal, [3](#), [35](#), [51](#), [72](#), [83](#), [87](#), [139](#)

externa, [35](#)

lateral, [35](#)

Artéria nutrícia do fêmur, [491](#)

forames nutritivos, do fêmur, [476](#)

Artéria obturatória, [249](#), [255](#), [259](#), [313-314](#), [342-343](#), [376](#), [378](#), [380-381](#), [388](#), [396](#), [491](#), [499](#)

acessória, [255](#), [257](#), [376](#), [380](#)

direita, [381](#)

ramo acetabular da, [474](#), [491](#)

ramo anterior da, [474](#)

ramo posterior da, [474](#)

Artéria occipital, [3](#), [34](#), [72-73](#), [102](#), [137](#), [139](#), [175](#)

medial, [143](#)

ramo descendente da, [34](#), [175](#)

ramo esternocleidomastóideo da, [34](#), [72](#)

ramo mastoideo da, [102](#), [137](#)

ramo meníngeo da, [3](#)

sulco para a, [10](#)

Artéria oftálmica, [13](#), [51](#), [55](#), [72](#), [85](#), [87](#), [133](#), [137-139](#), [141](#), [144](#)

continuação da, [87](#)

inferior, [87](#)

ramo muscular da, [87](#)

ramo supra-orbital da, [72](#)

ramosupratrocLEAR da, [72](#)

ramos zigomáticos da, [87](#)

Artéria orbitofrontal

lateral, [140](#), [142-143](#)

medial, [138](#), [140](#), [142-143](#)

Artéria palatina

ascendente, [51](#), [68](#), [72](#)

ramos tonsilares, [51](#), [68](#)

descendente, [54-55](#), [72](#)

maior, [40](#), [51](#), [54-55](#), [57](#)

anastomose da artéria esfenopalatina com, [54](#)

menor, [40](#), [51](#), [54-55](#), [68](#)

ramo tonsilar da, [68](#)

Artéria palpebral

lateral, [87](#)

inferior, [87](#)

superior, [87](#)

medial, [87](#)

inferior, [87](#)

superior, [87](#)

Artéria pancreaticoduodenal

inferior anterior, [284](#), [286](#), [300](#)

plexo sobre a, [298-299](#)

inferior posterior, [284](#), [286](#), [300](#)

plexo sobre a, [299](#)

inferior, [284](#), [286-288](#), [301](#)

superior anterior, [266](#), [283-284](#), [286-287](#), [300](#)

plexo sobre a, [298-299](#)

superior posterior, [283-284](#), [286-287](#), [300](#)

plexo sobre a, [299](#)

Artéria parietal, [3](#)

anterior, [142-143](#)

posterior, [142-143](#)

Artéria pericalosa, [142-143](#)

posterior, [144](#)

Artéria pericardiacofrênica, [187](#), [203](#), [208-209](#), [213](#), [227](#), [251](#)

esquerda, [190-191](#), [228](#)

direita, [190-191](#)

Artéria perineal, [350](#), [357](#), [381-383](#)

transversa, [383](#)

Artéria petrosa superficial, [96](#)

ramo descendente da, [96](#)

Artéria plantar

lateral, [505](#), [516](#), [519](#), [522-523](#)

ramo metatarsal plantar da, [520](#)

medial, [516](#), [519](#), [521-522](#)

ramificações profundas da, [521-522](#)

ramo digital plantar próprio da, [522](#)

ramo superficial do, [520-521](#)

profunda, [508-509](#), [517](#), [523](#)

Artéria polar frontal, [142-143](#)

Artéria poplítea, [482](#), [487](#), [489](#), [492](#), [499](#), [503-505](#), [509](#)

Artéria pré-frontal, [140](#), [142](#)

Artéria principal do polegar, [435](#), [453](#)

Artéria profunda

do clitóris, [357](#), [382](#)

do pênis, [359](#), [363](#), [383](#)

Artéria pudenda, [370](#)

externa

profunda, [251](#), [259](#), [379](#), [487](#), [499](#)

superficial, [245](#), [251](#), [259](#), [379](#), [487](#), [499](#)

interna, [259](#), [314](#), [357](#), [361](#), [376](#), [380-383](#), [396-397](#), [486](#)

ramo perineal da, [361](#)

Artéria radial, [419-420](#), [431-436](#), [441](#), [447](#), [449](#), [452-454](#), [456-457](#), [460](#)

ramo carpal dorsal da, [454](#)

ramo palmar da, [433](#), [453](#)

superficial, [434-435](#), [441](#), [447](#), [452-453](#)

ramos carpais palmares da, [434](#), [452](#)

Artéria radial do indicador, [435](#), [453](#)

Artéria radicular

anterior, [167-168](#)

posterior, [168](#)

Artéria radicular anterior, [167](#)

Artéria radicular posterior, [167](#)

Artéria recorrente

do forame lacerado, [138](#)

estriada distal medial (de Heubner), [138](#), [140-143](#)

tibial

anterior, [499](#), [508-509](#)

posterior, [499](#), [505](#), [509](#)

Artéria recorrente interóssea, [435](#)

Artéria recorrente radial, [419-420](#), [433-435](#)

Artéria recorrente ulnar

anterior, [420](#), [433-435](#)

posterior, [420](#), [431](#), [434-435](#)

Artéria renal, [297](#), [311-312](#), [314](#), [318](#), [321](#), [378-379](#), [395](#)

direita, [259](#), [300](#), [308](#), [310](#)

ramo ureteral da, [310](#)

esquerda, [259](#), [302](#), [308](#), [310](#), [315](#), [320](#), [388](#)

arteriografia da, [285](#)

ramo ureteral da, [310](#)

seção transversal da, [327](#)

in situ, [310](#)

ramo anterior da, [312](#)

ramo pélvico da, [312](#)

ramo posterior da, [312](#)

ramo ureteral da, [312](#), [314](#)

ramos capsulares da, [312](#)

ramos perirrenal da, [312](#)

Artéria retal

inferior, [288](#), [376](#), [380-383](#)

média, [259](#), [288](#), [302](#), [313](#), [343](#), [376](#), [378](#), [380-381](#)

superior, [259](#), [268](#), [288](#), [297](#), [302-303](#), [313](#), [376](#), [378](#)

ramo da, [288](#)

Artéria sacral

lateral, [167](#), [259](#), [314](#), [380-381](#)

ramos espinais da, [167](#)

mediana, [259](#), [288](#), [314](#), [342-343](#), [376](#), [378](#), [380-381](#)

Artéria sigmóidea, [259](#), [268](#), [288](#), [302](#), [376](#)

Artéria subclávia, [30](#), [32-33](#), [71-73](#), [76](#), [78](#), [131](#), [137](#), [139](#), [167](#), [180](#), [186-187](#), [195](#), [208-209](#), [229](#), [233](#), [251](#), [413-415](#)

direita, [77](#), [127](#), [170](#), [203](#), [227](#)

esquerda, [77](#), [170](#), [203](#), [211](#), [228](#), [238](#)

sulco de pulmão para a, [196](#)

Artéria subcostal, [259](#)

anastomoses com a, [251](#)

Artéria subescapular, [413-415](#), [420](#)

Artéria sublingual, [46](#), [59](#)

Artéria submentual, [51](#), [72](#)

Artéria supra-escapular, [32-33](#), [76-78](#), [139](#), [413-415](#), [467](#)

ramo Infra-espinal da, [414](#)

Artéria supraduodenal, [283-284](#), [286-287](#)

Artéria supratroclear, [3](#), [35](#), [51](#), [72](#), [83](#), [87](#), [139](#)

Artéria talamotuberal (“pré-mamilar”), [141](#)

Artéria tarsal

lateral, [508](#), [517](#), [523](#)

medial, [508](#), [517-518](#), [523](#)

Artéria tibial

anterior, [499](#), [505](#), [508-510](#), [517-518](#)

ramo circunflexo fibular da, [499](#), [509](#)

ramo tarsal lateral, [509](#)

posterior, [499](#), [503-505](#), [509-510](#), [516](#), [520-521](#)

ramo calcâneo da, [503-504](#)

ramos calcâneos mediais da, [505](#), [519](#)

ramo maleolar medial da, [505](#)

Artéria timpânica

anterior, [51](#), [72](#), [96](#), [139](#)

inferior, [55](#), [96](#)

superior, [96](#)

Artéria tireóidea

inferior, [34](#), [72](#), [76-78](#), [137](#), [139](#), [223](#), [414](#)

ramo esofágico da, [233](#)

superior, [31](#), [34](#), [72](#), [76-78](#), [137](#), [139](#)

ramo laríngeo da, [34](#)

Artéria tonsilar, [51](#), [72](#)

Artéria torácica

interna, [77](#), [139](#), [180](#), [186-188](#), [195](#), [203](#), [208-209](#), [213](#), [229](#), [233](#), [239-241](#), [251](#), [414](#)

direito, [190](#), [227](#)

esquerda, [190-191](#), [228](#)

ramo perfurante da, [180](#), [185](#), [187-188](#), [413](#)

ramos intercostais anteriores da, [186](#)

ramos mamários medial, [180](#)

lateral, [180](#), [185-186](#), [251](#), [413-415](#), [420](#)

ramos mamários laterais da, [180](#)

superior, [186](#), [413-415](#), [420](#)

Artéria tóracoacromial, [186](#), [412](#), [414-415](#), [420](#)

ramo acromial da, [414-415](#)

ramo clavicular da, [414-415](#)

ramo deltoide da, [409](#), [414-415](#)

ramo peitoral da, [185](#), [414-415](#)

Artéria toracodorsal, [413-415](#), [420](#)

Artéria ulnar, [419-420](#), [432-436](#), [441](#), [446-447](#), [449](#), [452-453](#), [460](#)

ramo carpal da, [456](#)

ramo palmar da, [453](#)

ramo palmar profundo da, [433-435](#), [441](#), [446-447](#), [452-453](#), [460](#)

ramos carpal palmar da, [434](#), [452](#)

Artéria umbilical, [226](#), [249](#), [259](#), [313](#), [376](#), [381](#)

esquerda, [249](#)

parte oclusa da, [245](#), [257](#), [259](#), [268](#), [313](#), [343](#), [345](#), [378](#), [380-381](#)

parte patente da, [314](#), [378](#), [380-381](#)

Artéria uretral, [361](#), [383](#)

Artéria uterina, [313-314](#), [342](#), [350](#), [352-353](#), [378](#), [380](#), [382](#)

ramos da, [382](#)

ramos ovarianos da, [353](#)

ramos vaginais da, [382](#)

Artéria vaginal, [313](#), [350](#), [353](#), [378](#), [380](#), [382](#)

inferior, [343](#), [346](#)

Artéria vesical

inferior, [259](#), [313-314](#), [343](#), [346](#), [376](#), [378](#), [380-381](#)

ramo uretérico da, [314](#)

ramos prostáticos da, [381](#)

ramo uretérico da, [314](#)

superior, [249](#), [259](#), [313-314](#), [343](#), [376](#), [378](#), [380-381](#)

Artéria zigomático-orbital, [3](#), [87](#)

Artérias *veja também as artérias específicas*

da bexiga urinária, [314](#)

- da cabeça do pâncreas, [286](#)
- da cabeça e do colo do fêmur, [491](#)
- da cavidade nasal, [40](#)
- da coxa, [499](#)
 - vista anterior, [487-488](#)
 - vista posterior, [489](#)
- da face, [3](#)
- da fossa posterior do crânio, [144](#)
- da glândula mamária, [180](#)
- da íris, [93](#)
- da mão, [453](#)
- da medula espinal
 - distribuição intrínseca das, [168](#)
 - esquema das, [167](#)
- da órbita e das pálpebras, [87](#)
- da parede abdominal
 - anterior, [251](#)
 - posterior, [259](#)
- da pelve
 - feminina, [380](#)
 - masculina, [381](#)
- da perna, [509](#)
- das glândulas suprarrenais, [320](#)
- das regiões oral faríngea, [72](#)
- do antebraço, [435](#)
- do baço, [283-284](#)
- do braço, [420](#)
- do canal anal, masculino, [376](#)
- do duodeno, [284](#), [286](#)
- do encéfalo, [137](#)

- esquema do, [139](#)
- seção frontal do, [142](#)
- vista frontal do, [142](#)
- vista inferior do, [140](#)
- vista lateral, [143](#)
- vista medial, [143](#)
- do esôfago, [233](#)
- do estômago, [283](#)
- do fígado, [283-284](#)
- do hipotálamo e da hipófise, [149](#)
- do intestino delgado, [287](#)
- do intestino grosso, [288](#)
- do joelho, [499](#), [509](#)
- do membro superior, [460](#)
- do olho, intrínsecas, [92](#)
- do pâncreas, [284](#)
- do pé, [509](#)
 - profundas, [523](#)
- do períneo, [382](#)
 - masculino, [383](#)
- do punho, [449](#)
- do reto, masculino, [376](#)
 - do couro cabeludo, [3](#)
- do testículo, [379](#)
- do útero, [382](#)
- dos órgãos pélvicos, femininos, [378](#)
- dos ureteres, [314](#)
- intrarrenais, [312](#)
- para as meninges, [137](#)
- da parte proximal do antebraço, [420](#)

Artérias “retinaculares”, [491](#)

Artérias “retossigmóideas”, [376](#)

Artérias arqueadas, [312](#), [517-518](#), [523](#)

vasos linfáticos ao longo das, [316](#)

Artérias centrais anterolaterais, [138](#), [140-142](#), [144](#)

Artérias centrais anterolaterais (“lenticuloestriadas”), [138](#), [140-142](#), [144](#)

Artérias centrais anteromediais, [141](#)

Artérias centrais posteromediais (“paramedianas”), [141](#)

Artérias centrais posteromediais (paramedianas), [141](#)

Artérias centrais posteromediais (perfurantes), [141](#)

Artérias ciliares

anterior, [92-93](#)

ramo recorrente das, [93](#)

posterior, [87](#)

curta, [92-93](#)

longa, [92-93](#)

Artérias coronárias, [215](#), [221](#)

direita, [209](#), [211](#), [215-216](#), [219-220](#)

ramo do nó SA da, [215-216](#)

ramo interventricular posterior da (artéria descendente posterior), [211](#), [215-216](#), [219](#)

ramo marginal direito da, [215-216](#)

ramos atriais da, [215](#)

ramos do nó AV da, [216](#), [219](#)

ramos interventriculares septais da, [215](#)

esquerda, [215-216](#), [220](#)

ramo circunflexo da, [215-216](#), [219](#)

ramo interventricular anterior da (ramo da artéria coronária esquerda), [215-216](#)

ramo interventricular da, [209](#)

ramo marginal esquerdo (obtuso) da, [215-216](#)

ramo posterior do ventrículo esquerdo da, [215](#)

ramos interventriculares septais, [215-216](#)

ramos póstero-laterais da, [216](#)

imagem das, [216](#)

Artérias da escápula

circunflexa, [413-415](#), [417](#), [420](#)

sulco para a, [406](#)

posterior, [32-33](#), [170](#), [414-415](#)

Artérias da ponte, [140-142](#), [144](#)

Artérias digitais palmares, [435](#), [446](#), [453](#), [456](#)

comum, [435](#), [447](#), [450](#), [452-453](#)

própria, [435](#), [447](#), [458](#)

Artérias digitais plantares, [519-521](#), [523](#)

ramos das, [508](#), [517-518](#)

Artérias do joelho

descendente, [487-488](#), [492](#), [499](#), [509](#)

inferior

lateral, [499](#), [504-509](#)

medial, [488](#), [499](#), [504-505](#), [507-509](#)

média, [499](#), [509](#)

superior

lateral, [489](#), [499](#), [503-509](#)

medial, [487-489](#), [499](#), [503-505](#), [507-509](#)

Artérias espinais

anterior, [139-140](#), [142](#), [144](#), [167-168](#)

alças anastomóticas para a, [167](#)

ramos medulares segmentares, [139](#)

posterior, [140](#), [142](#), [167-168](#)

alças anastomóticas para a, [167](#)

direita, [168](#)

esquerda, [144](#), [168](#)

Artérias ileais, [287-288](#), [290](#)

alças anastomóticas das, [272](#)

Artérias interlobares, [312](#)

linfáticos acompanhantes, [316](#)

Artérias interlobulares, [312](#)

linfáticos acompanhantes, [316](#)

Artérias intrarrenais, [312](#)

Artérias jejunais, [287-288](#), [290](#)

alças anastomóticas das, [272](#)

Artérias labiais

inferior, [35](#), [72](#)

posterior, [357](#), [382](#)

superior, [35](#), [72](#)

ramo do septo nasal da, [40](#)

Artérias meníngeas, [102](#)

acessória, [12-13](#), [51](#), [96](#), [102](#)

anterior, [87](#)

média, [13](#), [18](#), [49-51](#), [71-72](#), [96](#), [101-103](#), [105](#), [132](#), [137-139](#)

esquerda, [137](#)

ramos da, [103](#)

ramos frontais da, [102](#)

posterior, [138](#)

ramos parietais das, [102](#)

posterior, [3](#), [13](#)

no forame mastóideo, [12](#)

Artérias metacarpais

dorsal, [456](#)

palmar, [435](#), [452](#)

Artérias metatarsais dorsais, [509](#), [517-518](#), [523](#)

Artérias metatarsais plantares, [520](#), [522-523](#)

ramos perfurantes das, [518](#)

Artérias ováricas, [313-314](#), [341-343](#), [378](#), [382](#), [390](#), [393](#)

ramo ureteral da, [314](#)

ramos tubários das, [382](#)

Artérias pancreáticas, [284](#)

dorsal, [283-284](#), [286-287](#)

inferior, [284](#), [286-287](#)

maior, [284](#), [286](#)

ramo anastomóticos, [284](#)

Artérias perfurantes, [489](#)

ântero-medial, [141](#)

póstero-medial, [141](#)

Artérias perfurantes do tálamo, [141](#), [144](#)

Artérias perfurantes radiadas (capsulares), [312](#)

Artérias pré-centrais, [142-143](#)

Artérias pulmonares, [202](#)

direita, [196](#), [203](#), [209](#), [211](#), [217-218](#), [226-227](#), [240](#)

esquerda, [196](#), [203](#), [210-211](#), [218](#), [226](#), [228](#), [240](#)

Artérias retais, [288](#), [305](#)

Artérias retas, [287-288](#)

ramo das, [305](#)

Artérias suprarrenais

inferior, [259](#), [310](#), [312](#), [320](#)

média, [259](#), [310](#), [320](#)

ramos da, [320](#)

superior, [259](#), [310](#), [320](#)

esquerda, [192](#)

Artérias talamogeniculadas, [144](#)

Artérias testiculares, [251](#), [255-257](#), [259](#), [268](#), [313](#), [345](#), [365](#), [379](#), [381](#), [387](#), [394](#)

direita, [291](#), [297](#), [310](#)

esquerda, [291](#), [308](#), [310](#)

no funículo espermático, [379](#)

seção transversal das, [328](#)

Artérias vertebrais, [13](#), [22](#), [32-34](#), [71](#), [77-78](#), [131](#), [139-142](#), [167](#), [170](#), [175](#), [223](#), [233](#), [414](#)

direita, [170](#)

esquerda, [144](#), [170](#)

imagem das, [150-151](#)

no forame magno, [12](#)

parte cervical das, [137](#)

parte intracraniana das, [137](#)

plexo venoso ao redor, das, [170](#)

ramos meníngeos da, [13](#)

anterior, [102](#), [137](#), [144](#)

posterior, [102](#), [137](#), [144](#)

Arteriola intralobular, [279](#)

Arteriola macular

inferior, [92](#)

superior, [92](#)

Arteriola periportal, [279](#)

Arteriola portal, [279](#)

Arteriolas

nasal da retina

inferior, [92](#)

superior, [92](#)

temporal

inferior, [92](#)

superior, [92](#)

Articulação acromioclavicular, [408](#), [411](#)

Articulação atlantoaxial

lateral, [22](#)

cápsula, [22-23](#)

mediana, [23](#)

Articulação atlantooccipital, cápsula da, [22-23](#)

Articulação carpometacarpal, [439](#), [442](#)

Articulação costotransversária, [238](#)

Articulação cricótireóidea, [79](#), [81](#)

Articulação do ombro, [408](#), [467](#)

cápsula da, [418](#)

Articulação do quadril, [474](#)

ligamentos do, [479-480](#)

radiografia anteroposterior, [475](#)

ramo articular para o, [490](#)

Articulação esternoclavicular, [193](#), [238](#), [404](#)

Articulação esternocostal, [404](#)

Articulação interfalângica (IF), [515](#)

Articulação interfalângica distal (IFD), [398](#), [445](#)

Articulação interfalângica proximal (IFP), [398](#), [445](#)

Articulação mediocarpal, [439](#), [442](#)

Articulação metacarpofalângica, [445](#)

Articulação radiocarpal (do punho), [439](#), [442](#)

disco articular da, [439](#), [442](#)

Articulação radiulnar distal, [442](#)

Articulação sacroilíaca, [338](#), [530](#)

medições da, [332](#)

radiografia da, [331](#)

Articulação temporomandibular, [18](#), [49](#)

cápsula articular da, [18](#)

disco articular da, [48-49](#)

Articulação transversa do tarso, [512](#)

Articulação uncovertebral (fenda de Luschka), [21](#)

Articulações costovertebrais, 184

Articulações dos processos articulares, 22, 241

cápsula das, 22-23, 159

Articulações esternocostais

vista anterior das, 184

vista ântero-lateral esquerda das, 184

vista pósterio-direita das, 184

Articulações intercondrais, 184

Articulações intermetacarpais, 442

Articulações metatarsofalângicas, 515

Articulações tarsometatarsais, 512

Articulações uncovertebrais, 21

Árvore bronquial, 207

Asa, 10, 157

do ílio, 243, 330, 334, 338, 473

do nariz, 1

do sacro, radiografia da, 331

Astério, 6

Atlas (C1), 15, 22-23, 160

arco do

anterior, 7, 19, 21, 64

posterior, 19, 151, 175

dente, faceta articular para o, 19

faceta articular para o

anterior, 19

superior, 19

forame transversal do, 19

forame vertebral do, 19

ligamento transversal do, 23

massa lateral, 19

nervos espinhais, relação com o, [161](#)

processo transversal do, [19](#), [22](#), [30](#), [173](#)

sulco da artéria vertebral, [19](#)

superfície articular superior da massa lateral para o côndilo occipital, [19](#)

tubérculo do

anterior, [19](#), [21](#), [23](#)

posterior, [19](#), [172-173](#)

vista anterior do, [21](#), [153](#)

vista inferior, [19](#)

vista lateral, [153](#)

vista posterior, [153](#)

vista superior do, [19](#)

Átrio, [221](#)

direito, [209-214](#), [217](#), [220-221](#), [227](#), [241](#)

esquerdo, [211-213](#), [218](#), [220-221](#), [241](#)

veia oblíqua (de Marshall), [211-212](#), [215](#), [218](#)

Aurícula

direita, [209](#), [211](#), [217](#), [221](#)

esquerda, [209](#), [211-212](#), [215-216](#), [218](#), [221-222](#)

Auscultação do coração, [210](#)

áreas precordiais de, [210](#)

Axila, [178](#)

ligamento suspensor, [412](#)

parede posterior, [410](#)

vista anterior, [415](#)

Áxis (C2), [15](#), [22-23](#), [47](#), [160](#)

faceta articular inferior para o, [19](#)

parte interarticular do, [19](#)

vista lateral do, [153](#)

pedículo do, [19](#)

vista posterior, [153](#)

vista pósterio-superior, [19](#)

nervos espinhais relacionados ao, [161](#)

processo espinhoso, [171](#), [173](#)

processo transverso, [19](#)

tubérculo posterior, [30](#)

dente do, [7](#), [19](#), [21](#), [64](#)

vista anterior do, [19](#), [21](#), [153](#)

corpo do, [19](#), [22](#)

B

Baço, [193-194](#), [267](#), [269](#), [278](#), [281-282](#), [320](#)

artérias do, [283-284](#)

hilo do, [282](#)

imagens axiais de CT do, [322-323](#)

margem inferior do, [282](#)

margem superior do, [282](#)

polo anterior do, [282](#)

polo posterior do, [282](#)

seção transversal do, [324-326](#)

veias do, [289](#)

Bainha carótica, [26-27](#)

Bainha comum dos tendões dos músculos flexores, [447-450](#), [453](#)

Bainha comum dos tendões dos músculos flexores dos dedos (bolsa ulnar), [449-450](#), [453](#)

Bainha do bulbo do olho (cápsula de Tenon), [85](#), [89](#)

Bainha do músculo reto do abdome, [186](#), [245-246](#)

a secção transversal da, [328](#)

camada anterior, [7](#), [185](#), [245-246](#), [253](#), [255](#), [344](#), [355](#)

camada posterior, [7](#), [247](#), [251](#), [253](#), [255](#)

seção transversal da, [7](#)

Bainha do tendão

da mão, [450](#)

de dedo da mão, [450](#)

do punho, [449](#)

do tornozelo, [516](#)

Bainha femoral, [246-247](#), [249](#), [257](#), [472](#), [487](#)

vasos femorais na, [257](#)

Bainha fibrosa, [450](#), [453](#), [458](#), [521](#)

Bainha hipogástrica (neurovascular), [343](#)

Bainha meníngea, [85-86](#), [93](#)

Bainha tendínea intertubercular, [408](#), [413](#), [417](#)

Bainhas sinoviais, [453](#), [458](#)

Bainhas sinoviais dos tendões dos músculos flexores, [447](#)

Base do crânio

forames e canais da

vista inferior dos, [12](#)

vista superior dos, [13](#)

nervos da, [55](#)

vasos da, [55](#)

vista inferior da, [10](#)

vista superior da, [11](#)

Bastonetes, [98](#), [121](#)

Bexiga urinária, [249](#), [256-257](#), [263](#), [268](#), [302](#), [308](#), [313](#), [321](#), [340](#), [342](#), [361-362](#), [364](#), [369](#), [378](#), [390](#), [395-396](#)

alça muscular posterior da, [347](#)

ápice da, [344](#), [346](#)

artérias da, [314](#)

colo da, [344](#), [346](#), [348](#)

corpo da, [344](#), [346](#)

esfíncter interno da uretra (alça de Heiss), [347](#)

fáscia da, [344](#)

feminino, [341](#), [343](#), [348](#)

crescimento da, [347](#)

fundo da, [344](#), [346](#), [348](#)

imagens sagitais de CT da, [375](#)

inervação da, [163-164](#), [395](#)

ligamento lateral da, [343](#)

linfonodos e vasos linfáticos da, [316](#)

masculino, [344-345](#), [348](#)

nervos autônomos da, [317](#)

orientação e sustentação da, [346](#)

óstio ureteral da, [346](#)

trígono da, [344](#), [346](#), [348](#), [362-363](#)

trígono da, [347](#)

úvula da, [348](#), [362-363](#)

Bigorna, [94-95](#), [98](#), [125](#)

processo lenticular da, [95](#)

ramo curto da, [95](#)

ramo longo da, [95](#)

Bolha etmoidal, [36-37](#)

Bolsa anserina, [493-494](#)

Bolsa de Rathke, [45](#)

Bolsa do músculo semimembráceo, [493](#), [498](#), [502-503](#), [527](#)

Bolsa iliopectínea, [474](#), [483](#)

Bolsa infrapatelar

profunda, [498](#)

subcutânea, [498](#)

Bolsaintermédia, [448](#)

Bolsa omental

bolsa omental, [267](#), [321](#)

estômago rebatido, [266](#)

recesso superior da, [266](#), [268](#), [277](#), [321](#)

seção transversal da, [267](#)

Bolsa subacromial, [408](#), [417](#)

Bolsa subcutânea calcânea, [516](#)

Bolsa subcutânea do olécrano, [424](#)

Bolsa subcutânea e maléolo lateral, [516](#)

Bolsa subcutânea pré-patelar, [498](#)

Bolsa subdeltóidea, [408](#)

Bolsa subtendínea, [493-494](#), [498](#), [516](#)

abertura da, [408](#)

do músculo gastrocnêmio, [497](#)

do subescapular, [408](#)

lateral, [498](#)

medial, [497](#)

Bolsa suprapatelar, [494](#), [498](#)

Bolsa suprapatelar, [495](#)

Bolsa tendínea calcânea, [506](#)

Braço

artérias do, [420](#)

músculos do

vista anterior do, [417](#)

vista posterior do, [418](#)

nervo radial no, [465](#)

nervos cutâneos do, [401](#)

cortes transversais em série do, [421](#)

veias superficiais do, [401](#)

Braços

dos colículos inferior, [112](#)

dos colículos superior, [112](#)

Bregma, [9](#)

Brônquio segmentar, [201](#)

Bronquíolos, [201](#)

respiratórios, [201-202](#)

terminais, [201-202](#)

fibras elásticas dos, [201](#)

músculo liso dos, [201](#)

Brônquios, [201](#)

cartilagens, [201](#)

direito, [210](#)

- divisão superior, [199-200](#)
 - anterior, [200](#)
 - apicoposterior, [200](#)
- extrapulmonar, [199](#)
- grande calibre, [199](#)
- inervação, [119](#), [163-164](#)
- intrapulmonar, [199](#)
- intrassegmentar maior, [201](#)
- intrassegmentar menor, [201](#)
- lingular, [199-200](#)
 - inferior, [200](#)
 - superior, [200](#)
- lobar inferior, [199-200](#)
 - basilar anterior, [200](#)
 - basilar ântero-medial, [200](#)
 - basilar lateral, [200](#)
 - basilar medial, [200](#)
 - basal posterior, [200](#)
- lobar médio, [199-200](#)
 - lateral, [200](#)
 - medial, [200](#)
- lobares superiores (epi-arterial), [199-200](#)
 - anterior, [200](#)
 - apical, [200](#)
 - direito, [196](#), [203](#)
 - posterior, [200](#)
- médio, [196](#)
- nomenclatura dos, esquema, [200](#)
- principal
 - direito, [199-200](#), [204](#), [213](#), [227](#), [229](#), [237](#), [240](#)

esquerdo, [196](#), [199-200](#), [203-204](#), [213](#), [228-231](#), [237](#), [240](#)

segmentar, [201](#)

superior, [200](#)

Bulbo (medula oblonga), [13](#), [42](#), [53](#), [107](#), [116](#), [125](#), [135](#), [164](#), [224](#), [303](#), [318](#)

camada nuclear do, [114](#)

do pênis, [360-361](#), [363](#)

artéria do, [361](#), [383](#)

do vestíbulo, [350](#), [356-357](#), [382](#)

artéria do, [350](#), [357](#), [382](#)

no forame magno, [12](#)

parte inferior, [136](#)

Bulbo do olho, [43](#), [89](#)

bainha do, [85](#), [89](#)

fáscia do, [85](#)

Bulbo do vestíbulo, [348](#)

Bulbo olfatório, [39](#), [43](#), [108](#), [120](#)

células do, [120](#)

fibras aferentes do, [120](#)

fibras eferentes para o, [120](#)

Bulbo superior da veia jugular, [12](#)

C

Cabeça

anatomia de superfície da, [1](#)

do martelo, [95](#)

estrutura óssea da, [15](#)

linfonodos e vasos linfáticos da, [74](#)

nervos autônomos da, [132](#)

nervos cutâneos da, [2](#)

pele da, [103](#)

Cabo do martelo, [95-96](#)

Cacidade da articulação acromioclavicular, [407](#)

Calcâneo, [511-513](#), [515-516](#), [531](#)

tuberosidade do, [515](#), [519-522](#), [531](#)

Calcar avis, [112-113](#)

Cálice renal

maiores, [311](#)

seção transversal dos, [327](#)

menores, [311](#)

Calvaria, [103](#)

vista inferior da, [9](#)

vista superior da, [9](#)

Camada circular da túnica muscular, [305](#)

de junção anorretal, [339](#)

do apêndice vermiforme, [275](#)

do colo, [274](#)

do duodeno, [270](#), [280](#)

do estômago, [232](#), [270](#)

do íleo, [272](#), [274](#)

do jejuno, [272](#)

do reto, [371-372](#)

Camada circular da túnica muscular do esôfago, [65](#), [67](#), [69](#), [231-232](#)

área em forma de V, de Laimer, [69](#), [77](#)

Camada longitudinal da túnica muscular do esôfago, [65](#), [69](#), [77](#), [231-232](#)

fixações à cartilagem cricóidea, [65](#), [67](#)

fixações do, [69](#)

Camada odontoblástica, [63](#)

Câmara anterior do bulbo do olho, [83](#), [89-92](#)

endotélio da, [90](#)

Câmara posterior do bulbo do olho, [83](#), [89-92](#)

Câmara postrema vítrea, [92](#)

Campos monoculares, [121](#)

Canais semicirculares

anterior, [55](#), [97-98](#)

plano do, [99](#)

lateral, [97-99](#)

proeminência do, [94](#)

posterior, [97-98](#)

plano do, [99](#)

Canal “frontonasal”

abertura do, [37](#)

infundíbulo levando ao, [37](#)

Canal anal, [371](#)

artérias do, no sexo masculino, [376](#)

muscular da mucosa do, [371-372](#)

músculo longitudinal do, [338-339](#)

veias do, no sexo feminino, [377](#)

Canal carótico, [10](#), [12](#), [100](#)

maior, [13](#)

Canal central da medula espinal, [109-110](#), [116](#), [118](#)

Canal condilar, [10](#), [13](#)

Canal da mandíbula, [47](#)

Canal do colo do útero, [352](#)

Canal do nervo facial, [125](#)

proeminência do, [95](#)

Canal do nervo hipoglosso, [8](#), [10](#), [12](#), [129](#)

Canal do pudendo (de Alcock), [291](#), [370](#), [376](#), [380](#), [382-383](#), [389](#), [391](#)

Canal dos adutores, [487](#), [492](#)

Canal femoral, [472](#)

linfonodos no, [257](#)

Canal hialóideo, [89](#)

Canal incisivo, [8](#), [36-39](#), [41](#), [64](#)

anastomose, [40](#), [51](#), [54](#)

comunicação através do, [41](#)

Canal Infraorbital, entrada do nervo infra-orbital, [52](#)

Canal inguinal, [256-257](#)

Canal lacrimonasal, abertura do, [37](#)

Canal obturatório, [334-336](#), [338](#), [342-343](#), [346](#), [380](#), [488](#)

Canal óptico, [4](#), [8](#), [13](#), [85](#)

Canal pilórico, [269](#)

seção transversal do, [325](#)

Canal pterigóideo, [54](#)

artéria do, [51](#), [54-55](#), [96](#), [138](#)

Canal sacral, [157](#), [338](#)

Canal vertebral, [154-155](#)

Canalículo mastóideo, [10](#), [12](#)

Canalículo timpânico, [10](#), [12](#)

Canalículos bilíferos, [279](#)

Canalículos lacrimais, [84](#)

Capilares subpleurais, [202](#)

Capitato, [439](#), [442-443](#), [449](#)

radiografias do, [444](#)

Capítulo, [405](#), [422-423](#)

Cápsula articular

das mão e dos dedos, [424](#), [445](#)

de tornozelo, [515](#)

do fêmur, [491](#)

do joelho, [493](#), [495](#), [507](#)

fixações da, [498](#)

do ombro, [413](#)

Cápsula externa, [111](#)

Cápsula extrema, [111](#)

Cápsula fibrosa, [282](#), [315](#)

Cápsula fibrosa perivascular, [278](#)

Cápsula interna, [109](#), [142](#)

fenda para a, [111](#)

joelho da, [111](#)

parte retrolentiforme da, [111](#)

ramo anterior da, [111](#)

ramo posterior da, [111](#)

Cápsula ótica, [97-98](#)

Cartilagem alar

maior, [37-38](#), [42](#)

ramo lateral, [35](#)

ramo medial, [35](#), [38](#)

menor, [35](#)

Cartilagem aritenóidea, [79](#)

processo muscular, [79-80](#)

processo vocal, [79-80](#)

Cartilagem articular, [424](#), [458](#), [467](#), [474](#), [498](#), [530](#)

Cartilagem corniculada, [79](#)

Cartilagem cricóidea, [15](#), [27-28](#), [64](#), [69-70](#), [76](#), [79-80](#), [82](#), [193](#), [203](#), [230-231](#)

arco da, [79](#)

lâmina da, [79-80](#)

proeminência sobre a, [66](#)

superfície articular da aritenoide, [79](#)

Cartilagem do septo nasal, [35](#)

processo lateral da, [35](#), [37-38](#)

Cartilagem nasal acessória, [35](#)

Cartilagem tireóidea, [1](#), [15](#), [27-28](#), [31](#), [64](#), [69-70](#), [76](#), [82](#), [193](#), [199](#), [203](#), [230-231](#)

cornio inferior, [79](#)

corno superior da, [67](#), [69-70](#), [79](#)

proeminência causada pelo, [66](#)

lâmina da, [79-80](#)

margem posterior da, [67](#)

linha oblíqua da, [28](#), [79](#)

proeminência laríngea da, [79](#)

Cartilagem tritícea, [79](#)

Cartilagens costais, [183-184](#), [243](#), [404](#)

primeira, [193](#), [238](#)

quinta, [191](#), [213](#)

seção transversal de, [324](#)

segunda, [240](#)

sétima, [195](#)

sexta, [409](#)

Cartilagens traqueais, [199](#)

Carúncula himenal, [350](#), [354](#)

Carúncula lacrimal, [83-84](#)

Carúncula sublingual, [46](#), [56](#)

Cauda equina, [160-161](#), [166](#), [176](#)

seção transversal da, [327](#)

Cavidade do septo pelúcido, [101](#)

Cavidade glenoidal da escápula, [183](#), [405](#), [407-408](#), [467](#)

Cavidade infraglótica, [82](#)

Cavidade nasal, [43](#), [84-85](#)

artérias da, [40](#)

crescimento da, [45](#)

fibras pós-sináptico para a, [53](#)

inervação autonômica da, [53](#)

inervação da, [119](#)

nervos da, [39](#), [41](#)

ossos da, [45](#)

parede lateral da, [36-37](#), [40-41](#)

parede medial da, [38](#)

soalho da, [36](#)

Cavidade oral, [38](#), [43](#), [64](#)

inervação aferente da, [61](#)

inspeção da, [56](#)

soalho da, [58](#)

teto da, [57](#)

Cavidade pericárdica, [213](#)

Cavidade pleural, [213](#)

direita, [191](#)

esquerda, [191](#)

recesso costodiafragmático da, [193-195](#), [227-228](#)

recesso costomediastinal da, [193](#)

Cavidade timpânica, [53](#), [94-96](#), [98](#), [125-126](#)

Cavidades articulares, [184](#), [458](#), [498](#)

da articulação esternoclavicular, [404](#)

Cavidades sinoviais, [23](#)

Ceco, [127](#), [263](#), [265](#), [273](#), [275-276](#), [341](#), [345](#)

prega vascular do, [273](#)

Célula granular, [120](#)

Célula mitral, [120](#)

Célula periglomerular, [120](#)

Células amácrinas, [121](#)

Células bipolares, [121](#)

Células ciliadas

externas, [98](#)

internas, [98](#)

Células etmoidais, [43-44](#), [85](#)

anteriores

aberturas das, [36-37](#)

do recém-nascido, [45](#)

médias

aberturas das, [36-37](#)

do recém-nascido, [45](#)

posteriores

abertura das, [36-37](#)

do recém-nascido, [45](#)

Células ganglionares, [121](#)

Células horizontais, [121](#)

Células mastóideas, [7](#), [42](#), [55](#), [96](#)

Células olfatórias, [120](#)

Células pigmentadas, [121](#)

Células tufosa, [120](#)

Cimento, [63](#)

Cerebelo, [99](#), [107](#), [112](#), [114](#), [147](#)

fissura horizontal do, [114](#)

fissura pós-clival do, [114](#)

fissura póstero-lateral (dorsolateral) do, [114](#)

fissura primária do, [114](#)

fissura retrotonsilar do, [114](#)

fissura secundária (pós-piramidal), [114](#)

flóculo do, [114-115](#)

imagem do, [151](#)

lobo anterior, [114](#)

lobo posterior do, [114](#)

lóbulo biventre do, [114](#)

lóbulo central do, [114](#)

lóbulo floculonodular do, [114](#)

lóbulo quadrangular do, [114](#)

lóbulo semilunar

inferior, [114](#)

superior, [114](#)

lóbulo simples do, [114](#)

núcleo denteado do, [116](#)

quarto ventrículo e, [114](#), [116](#)

tonsila do, [114](#), [116](#)

verme do, [114](#)

cúlmen do, [114](#), [116](#)

declive do, [114](#), [116](#)

folha do, [114](#), [116](#)

lígula do, [114](#), [116](#)

lóbulo central, [114](#), [116](#)

nódulo do, [114](#), [116](#)

pirâmide do, [114](#), [116](#)

túber do, [114](#), [116](#)

úvula do, [114](#), [116](#)

véu medular do

inferior, [114](#)

superior, [114](#)

Cérebro, [43](#)

artérias do, [137](#)

esquema, [139](#)

secção frontal, [142](#)

vista frontal, [142](#)

vista inferior, [140](#)

vista lateral, [143](#)

vista medial, [143](#)

lobo frontal, [106](#)

lobo occipital do, [106](#)

lobo parietal do, [106](#)

lobo temporal do, [106](#), [142](#)

margem inferior, [108](#)

polo frontal do hemisfério cerebral, [106](#), [108](#)

polo occipital do hemisfério cerebral, [106](#)

polo temporal do hemisfério cerebral, [106](#), [108](#)

veias do

profundas, [146](#)

subependimárias, [147](#)

ventrículos do, [109](#)

Cílios, [83](#)

Circulação pós-natal, [226](#)

Circulação pré-natal, [226](#)

Circulação sanguínea intrapulmonar, esquema da, [202](#)

Círculo arterial do cérebro (de Willis), [140-141](#)

Círculo arterioso da íris

maior, [90](#), [92-93](#)

menor, [90](#), [92-93](#)

Cisterna

colicular (quadrigênea), [110](#)

interpeduncular, [110](#)

pericalosa, [110](#)

pontina, [110](#)

quiasmática, [110](#)

Cisterna “pré-pontina”, [110](#)

Cisterna cerebelobulbar, veia da, [145](#)

Cisterna colicular, [110](#)

imagem da, [151](#)

Cisterna do quilo, [261](#), [295](#), [297](#), [316](#)

Cisterna interpeduncular, [110](#)

Cisterna lombar, [156](#)

Cisterna quiasmática, [110](#)

Claustro, [111](#)

Clavícula, [1](#), [25](#), [27-29](#), [31](#), [178-179](#), [183-187](#), [193-195](#), [210](#), [214](#), [227-228](#), [238](#), [398](#), [404-405](#), [408-412](#), [414-415](#)

diáfise, [404](#)

extremidade acromial da, [404](#)

extremidade esternal da, [404](#), [467](#)

faceta acromial da, [404](#)

faceta esternal da, [404](#)

linha trapezóidea da, [404](#)

radiografia ântero-posterior da, [407](#)

sulco da subclávia, [404](#)

tubérculo conoide, [404](#)

Clitóris, [356](#), [373](#)

artéria dorsal do, [357](#), [382](#)

artéria profunda do, [357](#), [382](#)

corpo do, [340](#), [366](#)

frênulo do, [354](#)

glande do, [354](#), [366](#)

ligamento suspensor do, [355-357](#)

nervo dorsal do, [357](#), [391-392](#), [484](#)

prepúcio do, [354](#)

ramo do, [340](#), [348](#), [350](#), [356-357](#)

veia dorsal, profunda, [335-337](#), [340](#), [343](#), [346](#), [357](#)

Clivo, [11](#), [23](#)

Cóanos, [10](#), [16](#), [36](#), [38](#), [49](#), [57](#), [66-67](#), [100](#)

Cóccix, [157-158](#), [160-161](#), [243](#), [330](#), [333-336](#), [356](#), [369](#)

ápice do, [337](#), [339](#), [358](#), [360](#), [373](#), [396](#)

medidas do, [332](#)

processo transversal do, [157](#)

radiografia do, [156](#)

vista anterior de, [153](#)

vista lateral, [153](#)

vista posterior, [153](#)

Cóclea, [55](#), [94](#), [97](#), [99](#)

gânglio espiral da, [98](#)

órgão espiral da, [94](#), [98](#)

helicotrema de, [94](#), [98](#)

modíolo da, [98](#)

rampa do tímpano da, [94](#)

rampa do vestíbulo da, [94](#)

seção através da, [98](#)

Colar de Helvetius, [232](#)

Colículo

inferior, [107](#), [112](#), [115-116](#)

braço do, [112](#)

braço dos, [115](#)

esquerdo, [145](#)

superior, [107-108](#), [112](#), [115-117](#), [133](#), [144](#)

braço do, [112](#)

braços do, [115](#)

esquerdo, [145](#)

Colículo facial, [116](#)

Colículo seminal, [348](#), [362](#)

Colo, [351](#), [393](#)

ascendente, [127](#), [265](#), [268](#), [271](#), [276](#), [309](#), [341](#), [345](#)

descendente, [265](#), [271](#), [276](#), [302](#), [315](#), [341](#), [345](#)

imagens axiais de CT do, [322-323](#)

inervação do, [163-164](#)

seção transversal do, [325-328](#)

inervação do, [163](#)

músculo circular do, [274](#)

radiografia do, [156](#)

seção transversal do, [326-328](#)

sigmoide, [263](#), [265](#), [276](#), [302](#), [341-342](#), [345](#), [369-372](#), [390](#)

inervação do, [163-164](#)

transverso, [263-265](#), [267](#), [271](#), [276](#), [281-282](#), [290](#), [321](#)

imagens axiais de CT do, [322-323](#)

seção transversal do, [325-328](#)

tributárias do, [291](#)

Colo do útero, [340](#), [342-343](#), [350](#), [352](#)

Colo sigmoide, [263](#), [265](#), [276](#), [302](#), [341-342](#), [345](#), [369-372](#), [390](#)

inervação do, [163-164](#)

Coluna intermédia, [319](#)

Coluna renal (de Bertin), [311](#)

Coluna vertebral, [153](#)

veias da, [169-170](#)

Colunas anais, [371](#)

Comissura

anterior, [107](#), [116](#), [120](#), [147-148](#)

do fórnice, [113](#)

dos lábios maiores

anterior, [354](#)

posterior, [354](#)

dos lábios, [1](#)

habenular, [107](#), [112](#), [116](#)

posterior, [107](#), [112](#), [116](#), [366](#)

Comissura habenular, [107](#), [112](#), [116](#)

Complexo estimulante (do sistema de condução) do coração, [222](#)

Complexo olivar inferior, [118](#)

Concha da orelha, [95](#)

Concha esfenoidal do recém-nascido, [45](#)

Concha nasal

suprema, [37](#)

no recém-nascido, [45](#)

média, [4](#), [8](#), [36-37](#), [43-44](#), [84](#)

crescimento da, [45](#)

no recém-nascido, [45](#)

inferior, [4-5](#), [8](#), [36-37](#), [42-44](#), [66](#), [84](#)

crescimento da, [45](#)

processo etmoidal, [37](#)

superior, [8](#), [36-37](#)

no recém-nascido, [45](#)

Côndilo occipital, [8](#), [10-11](#), [16](#), [30](#), [100](#), [129](#)

massa lateral para, [19](#)

superfície articular superior para, [19](#)

Côndilos

da mandíbula, [7](#)

da tíbia

lateral, [481](#), [497](#), [500-501](#), [506](#)

medial, [494](#), [496-497](#), [500-501](#)

do fêmur

lateral, [476](#), [494-497](#)

medial, [476](#), [494-497](#)

Cone arterial, [209](#), [217-219](#)

Cone de luz, [95](#)

Cone elástico, [80](#), [82](#)

Cone medular, [156](#), [160-161](#)

seção transversal do, [327](#)

Conexões ascendentes, [224](#)

Conexões intertendíneas, [457](#)

Conjuntiva, [93](#)

Constrição diafragmática, [230](#)

Constrição faringoesofágica, [230](#)

Coração, [127](#), [230](#)

ápice do, [209](#), [211](#), [241](#)

aspecto anterior do, [209](#)

base e face diafragmática do, [211](#)

complexo estimulante do, [222](#)

esqueleto fibroso do, [219-220](#)

face diafragmática do, [215](#)

face esternocostal do, [215](#)

in situ, [208](#)

inervação do, [119](#), [163-164](#)

margem direita do, [193](#)

margem esquerda (margem obtusa) do, [193](#), [209](#)

margem inferior (margem aguda) do, [209](#)

nervos do, [223-224](#)

radiografia do, [156](#)

radiologia e ausculta do, [210](#)

seção coronal do, [214](#)

Corda do tímpano do nervo, [12](#), [50](#), [61](#), [71](#), [95](#), [123-125](#), [132](#), [134-136](#)

Corda do tímpano do nervo facial (VII), [12](#)

Cordão epitelial, [366](#)

Cordão genital, [367](#)

Corioide, [89](#), [91-92](#)

Córnea, [83](#), [85](#), [89-90](#), [92-93](#)

Corno coccígeo, [157](#)

Corno frontal (anterior), [109](#)

Corno occipital, [109-113](#), [144](#), [147](#)

Corno sacral, [157](#)

Corno temporal, [109](#), [112-113](#), [147](#)

Coroa de dente, [63](#)

Corpo adiposo da órbita, [84](#)

Corpo adiposo infrapatelar, [494-495](#), [498](#)

Corpo adiposo suprapatelar, [498](#)

Corpo albicante, [352](#)

Corpo amigdalóide, [111](#), [113](#), [120](#), [136](#)

Corpo caloso, [107](#), [109](#), [112](#), [142](#), [144](#)

artéria cerebral posterior para, [143](#)

cisterna do, [110](#)

esplênio do, [107-108](#), [111](#), [113](#), [116](#), [144-147](#)

imagem do, [151](#)

imagem do, [151](#)

joelho do, [107-108](#), [111](#), [113](#), [147](#)

imagem do, [151](#)

rosto do, [107](#), [142](#), [146](#)

sulco do, [107](#)

tronco do, [107](#), [142](#)

veia dorsal do, [145](#), [147](#)

Corpo carótico, [34](#), [126](#), [131](#), [137](#), [207](#)

Corpo cavernoso, [344](#), [359](#), [361](#), [363](#)

túnica albugínea do, [359](#), [363](#)

Corpo cavernoso (do ramo do pênis), [361](#)

Corpo ciliar, [89-92](#)

orbículo ciliar do, [91](#)

vasos sanguíneos, [92](#)

Corpo da unha, [458](#)

Corpo do períneo, [339](#), [344](#), [346](#), [355-356](#), [360-362](#), [369](#), [373](#), [383](#)

crescimento do, [347](#)

Corpo esponjoso, [344](#), [348](#), [359-361](#), [363](#)

túnica albugínea do, [359](#), [363](#)

Corpo estriado, [111](#), [142](#)

Corpo geniculado

lateral, [108](#), [111-112](#), [115-117](#), [121](#), [133](#), [140](#), [144-146](#)

medial, [108](#), [111-112](#), [115-116](#), [140](#), [144-146](#)

Corpo lúteo, [352](#)

Corpo mamilar, [107-109](#), [113](#), [115](#), [148](#)

Corpo vertebral, [237](#)

cervical, [20-21](#), [156](#)

faceta articular para o

inferior, [184](#)

superior, [184](#)

processo transversal do, [184](#)

lombar, [155](#), [159](#), [176](#), [267](#), [334](#), [341](#), [345](#)

ramo posterior da artéria intercostal para, [168](#)

torácico, [154](#), [166](#), [227](#), [238](#), [241](#), [324](#)

Corpo vítreo, [89](#)

Corpos celulares de neurônios pré-ganglionares simpáticos, [53](#), [133-135](#)

Córtex sensitivo, [136](#)

Costelas, [210](#), [237](#), [239-240](#)

ângulo das, [183-184](#)

articulações associadas às, [184](#)

cabeça das, [183-184](#)

ligamento intra-articular da, [184](#)

ligamento radiado da, [184](#)

colo da, [183-184](#)

corpo das, [183](#)

décima primeira, [183](#), [309](#)

décima segunda, [160](#), [171](#), [183](#), [192](#), [243](#), [309](#), [315](#)

radiografia da, [156](#)

décima, [183](#)

falsa, [183](#)

flutuantes, [183](#)

nona, [183](#), [282](#)

oitava, [183-184](#), [213](#)

primeira, [15](#), [21](#), [30](#), [76](#), [160](#), [183-184](#), [189](#), [193-194](#), [208](#), [210](#), [227-229](#), [238](#), [404](#), [415](#), [467](#)

sulco do pulmão para a, [196](#)

quarta, [183-184](#)

quinta, [183-184](#), [210](#)

segunda, [179](#), [183-184](#), [404](#), [467](#)

sétima, [154](#), [183-184](#), [241](#)

sexta, [179](#), [183-184](#)

sulco costal, [184](#)

terceira, [183-184](#), [210](#)

tubérculo das, [183-184](#)

verdadeiras, [183](#)

vista posterior, [184](#)

Costelas falsas, [183](#)

Costelas flutuantes, [183](#)

Costelas verdadeiras, [183](#)

Cotovelo

ligamentos do, [424](#)

ossos do, [422](#)

radiografias do, [423](#)

Couro cabeludo

artérias e veias superficiais do, [3](#)

pele do, [3](#), [25](#), [103](#)

tela subcutânea do, [25](#)

Coxa

artérias da, [499](#)

vista anterior, [487-488](#)

vista posterior, [489](#)

fáscia lata da, [350](#), [355](#), [358-359](#)

músculos da, [479-480](#)

fixações dos, [477-478](#)

vista lateral, [481](#)

visões posteriores, [482](#)

nervo cutâneo posterior da, [527](#)

nervos da

cutâneo lateral, [525](#)

femoral, [525](#)

vista anterior, [487-488](#)

série de cortes transversais da, [492](#)

vista posterior, [489](#)

Crânio

base do, [66](#)

do recém-nascido, [14](#)

interface da dura-máter com o, [101](#), [103](#)

linha nugal superior do, [171-173](#)

radiografia ântero-posterior, [5](#)

radiografia lateral do, [7](#)

seção sagital mediana do, [8](#)

tecido conectivo do, [103](#)

vista anterior do, [4](#)

vista lateral do, [6](#)

Cripta anal, [371](#)

Criptas de Lieberkühn, [275](#)

Crista da mandíbula para o músculo bucinador, [70](#)

Crista etmoidal, [5](#), [8](#), [11](#), [38](#)

Crista frontal, [9](#), [11](#)

Crista íliaca, [152](#), [158](#), [171-174](#), [242-243](#), [250](#), [308-309](#), [315](#), [329-330](#), [333](#), [468](#), [471](#), [481-483](#), [489-490](#), [530](#)

lábio externo da, [243](#), [330](#), [334](#), [473](#)

lábio interno da, [243](#), [330](#), [334](#), [473](#)

linha intermédia da, [243](#), [330](#), [334](#), [473](#)

tubérculo íliaco, [243](#), [330](#), [473](#)

Crista infratemporal, [6](#)

Crista intertrocantérica, [474-476](#), [490](#)

Crista nasal, [38](#)

Crista obturatória, [334](#), [473](#)

Crista occipital

externa, [10](#), [16](#)

interna, [11](#)

Crista púbica, [255](#), [338](#)

Crista sacral

lateral, [157](#)

medial, [157](#)

mediana, [157](#), [334-335](#)

Crista supraepicondilar

lateral, [405-406](#), [422](#)

medial, [405-406](#), [422](#)

Crista supramastóidea, [6](#)

Crista supraventricular, [217](#), [221](#)

Crista terminal, [217](#), [222](#)

Crista uretral, [362-363](#)

Cuboide, [511-512](#), [514](#), [523-524](#), [531](#)

superfície articular para o, [513](#)

tuberosidade do, [515](#), [523](#)

Cúlmen, [114](#), [116](#)

Cuneiformes, [511-512](#), [523-524](#), [531](#)

intermédio, [523-524](#)

lateral, [523-524](#)

medial, [514-515](#), [523-524](#)

Cúneo, [107](#)

“ápice” do, [108](#)

Cúpula da cóclea, [97](#)

Cúpula da pleura, [76](#)

Cúpula da pleura parietal, [193-194](#), [227-228](#)

Curvatura cervical, [153](#)

Curvatura lombar, [153](#)

Cúspides dos dentes *See* [Dentes Caninos](#)

D

Declive, [114](#), [116](#)

Dedos, [458](#)

artérias dos, [458](#)

bainha fibrosa dos tendões dos, [458](#)

bainhas dos tendões dos, [448](#)

cavidade articular dos, [458](#)

direita, [244](#)

dorso, vasos linfáticos passando para os, [403](#)

em extensão, [451](#)

em flexão, [451](#)

espaço fechado anterior dos, [458](#)

espaço subungueais dos, [458](#)

esquerda, [244](#)

extensores dos, [427](#)

flexores dos, [429](#)

nervos dos, [458](#)

nervos dos, [458](#)

- pequenas artérias, [458](#)
- região lateral do abdome
- seção transversal através dos, [458](#)
- septos fibroso nos, [458](#)
- tecido areolar nos, [458](#)
- tendões extensores nos, [451](#)
- tendões flexores nos, [451](#)
- vista posterior dos, [451](#)

Dente

- articulação com o atlas, [19](#)
- camada de odontoblastos, [63](#)
- canais da raiz do, [63](#)
- colo do, [63](#)
- crescimento do, [45](#)
- dentina, [63](#)
- do eixo, [7](#), [19](#), [21](#), [64](#)
- esmalte, [63](#)
- espaços interglobulares dos, [63](#)
- espaços interproximais dos, [63](#)
- faceta articular posterior do, [23](#)
- incisivos, [62-63](#), [230](#)
- incluso, [5](#)
- ligamento apical do, [23](#), [64-65](#)
- molar, [62-63](#)
- permanente, [62-63](#)
- polpa do, [63](#)
- pré-molar, [62-63](#)
- primário, [62](#)
- raízes do, [44](#), [63](#)
- túbulos dentinários, [63](#)

Dentes, [62-63](#)

cimento do, [63](#)

coroa do, [63](#)

forame apical do, [63](#)

óssea ao redor do, [63](#)

Dentes caninos, [62-63](#)

Dentes decíduos, [62](#)

Dentes incisivos, [62-63](#), [230](#)

Dentes inclusos, [5](#)

Dentes molares, [62-63](#)

crescimento dos, [45](#)

Dentes permanentes, [62-63](#)

Dentes pré-molares, [62-63](#)

Dentina, [63](#)

Dermátomos

do membro inferior, [469](#)

do membro superior, [399](#)

esquema das delimitações, [162](#)

níveis dos, [162](#)

Diafragma, [187](#), [195](#), [203](#), [206](#), [208](#), [210](#), [214](#), [227-230](#), [232-234](#), [241](#), [249](#), [251](#), [258](#), [260](#), [266-267](#), [269](#), [277](#), [282](#), [306](#), [308-309](#), [315](#), [321](#), [328](#), [388](#), [485](#)

cúpula

direita, [193-194](#)

esquerda, [193-194](#)

da pelve, [369](#)

fáscia inferior do, [355-356](#), [360](#), [370](#)

fáscia interior do, [372](#)

fáscia superior do, [343](#), [346](#), [355](#), [370](#), [372](#)

no sexo feminino, [335-337](#), [340](#)

no sexo masculino, [338-339](#), [344](#)

folheto direito do centro tendíneo do, [191-192](#), [258](#)

origem costal do, feixes do, [187](#)

parte costal do, [192](#)

parte esternal do, [187](#), [192](#)

parte lombar do, [192](#)

pilares do, [176](#), [315](#)

 direito, [192](#), [229](#), [258](#), [264](#)

 esquerdo, [192](#), [229](#), [264](#)

seção transversal do, [324](#)

seção transversal do, [324-327](#)

superfície abdominal do, [192](#)

superfície torácica do, [191](#)

Diafragma da pelve, [369](#)

 fáscia inferior do, [355-356](#), [360](#), [370](#), [383](#)

 fáscia interior do, [372](#)

 fáscia superior, [343](#), [346](#), [355](#), [370](#), [372](#)

 feminina, [335-337](#), [340](#)

 masculina, [338-339](#), [344](#)

Diagonal (conjugado), [332](#)

Díploe, [9](#)

Disco articular, [184](#)

 da articulação do punho, [439](#), [442](#)

 da articulação esternoclavicular, [404](#)

 da articulação temporomandibular, [48-49](#)

 inferior, [18](#)

Disco do nervo óptico, [85](#), [92](#)

Disco intervertebral lombossacral, [334](#)

 processo transversal, [192](#)

Discos intervertebrais, [158-159](#)

 cervical, [21-22](#)

 lombar, [155](#)

radiografia dos, [156](#)

lombossacral, [192](#), [334](#)

seção transversal dos, [326-328](#)

torácico, [191](#), [239-240](#)

Dissecação escapulotorácica, [413](#)

Dissecação escapuloumeral, [413](#)

Divisão cervicofacial, [24](#)

Dorso

anatomia de superfície do, [152](#)

músculos do

camadas profundas, [173](#)

camadas intermédias, [172](#)

camadas superficiais, [171](#)

nervos do, [174](#)

região lombar, [176](#)

Dorso do pé, [518](#)

Drenagem linfática da mama, [182](#)

Ducto arterial, [226](#)

Ducto bilífero/biliar, [279](#)

Ducto cístico, [277](#), [280](#), [283-284](#)

Ducto coclear, [94](#), [97-99](#)

Ducto de união, [98](#)

Ducto deferente (vaso deferente), [249](#), [255-257](#), [259](#), [313](#), [344-345](#), [348](#), [362](#), [364-365](#), [367-369](#), [387](#), [394](#), [472](#)

ampola do, [362](#)

artéria do, [251](#), [259](#), [365](#), [376](#), [379](#), [381](#)

inferior, [381](#)

Ducto do epidídimo, [368](#)

Ducto ejaculatório

abertura do, [362-363](#), [367](#), [396](#)

início do, [362](#)

Ducto endolinfático, [13](#), [97-99](#)

Ducto lacrimonasal, [36](#)

abertura do, [44](#)

abertura do, [36](#), [84](#)

no recém-nascido, [45](#)

Ducto lactífero, [179](#)

Ducto linfático direito, [182](#), [295](#)

Ducto mesonéfrico (de Gartner), [367](#)

Ducto mesonéfrico (de Wolff), [364](#), [367](#)

Ducto pancreático, [280](#)

Ducto pancreático acessório (de Santorini), [272](#), [281](#)

Ducto pancreático principal (de Wirsung), [272](#), [280-281](#)

Ducto paramesonéfrico (de Müller), [367](#)

Ducto parotídeo, [24](#), [46](#), [48-49](#), [72](#)

abertura do, [56](#)

Ducto submandibular (de Wharton), [46-47](#), [56](#), [58-59](#)

aberturas do, [46](#), [56](#)

Ducto torácico, [74](#), [186](#), [191](#), [195](#), [203](#), [205-206](#), [208](#), [213](#), [228-229](#), [234-235](#), [238-241](#), [258](#), [261](#), [295](#), [297](#), [316](#)

seção transversal do, [324](#)

Ducto venoso, [226](#)

Ductos bilíferos, [127](#), [267-268](#), [271-272](#), [277-279](#), [281](#), [283-284](#), [286](#)

esfíncter dos, [280](#)

inervação, [163-164](#)

seção transversal dos, [325-326](#)

Ductos bilíferos extra-hepáticos, [280](#)

Ductos hepáticos, [280](#)

comum, [277-278](#), [280-281](#), [284](#)

Ductos mesonéfricos caudais, [367](#)

resíduos dos, [367](#)

Ductos parauretrais (de Skene), [367](#)

aberturas dos, [354](#)

primórdios dos, [367](#)

Ductos semicirculares, [94](#)

anterior, [97-99](#)

lateral, [97-99](#)

ampola dos, [125](#)

posterior, [97-99](#)

ampola dos, [125](#)

superior, ampola do, [125](#)

Ductos sublinguais, aberturas dos, [46](#), [56](#)

Dúctulos aberrante, [368](#)

Dúctulos alveolares, [201](#)

Dúctulos eferentes do testículo, [367-368](#)

Dúctulos prostáticos, óstio dos, [362-363](#)

Duodeno, [127](#), [267-269](#), [271](#), [277-278](#), [281](#), [308](#), [313](#), [315](#), [320](#)

artérias, [284](#), [286](#)

in situ, [271](#)

músculo suspensor do, [264](#)

nervos autônomos do, [298-300](#)

parte ascendente, [264](#), [271-272](#)

parte descendente, [176](#), [264](#), [266](#), [271-272](#), [280](#)

seção transversal da, [326](#)

parte horizontal, [264](#), [271-272](#), [321](#)

parte superior, [270-272](#)

seção transversal da, [325](#)

seção transversal do, [327](#)

túnica mucosa e musculatura, [272](#)

veias do, [289](#)

Dura-máter, [38](#), [95](#), [98](#), [102-103](#), [110](#), [120](#)

camada endosteal, [103](#)

camada meníngea, [101](#), [103](#)

camada endosteal, [101](#)

espinal, [160](#), [165-166](#), [170](#), [176](#)

ramo posterior da artéria intercostal para a, [168](#)

Interface com a aracnoide-máter, [103](#)

interface do crânio com a, [101](#), [103](#)

veias cerebrais superiores perfurantes, [103](#)

Dura-máter (parte espinal), [160](#), [165-166](#), [170](#), [176](#)

ramo posterior da artéria intercostal para a, [168](#)

E

Eminência arqueada, [11](#), [94](#)

Eminência colateral, [112](#)

Eminência hipotenar, [398](#)

Eminência iliopúbica, [243](#), [330](#), [333-334](#), [338](#), [473-474](#)

Eminência intercondilar, [495](#), [497](#), [500-501](#)

Eminência medial, [116](#)

Eminência piramidal, [96](#)

Eminência tenar, [398](#)

Endométrio, [352](#)

Epêndima, [109](#)

Epicôndilos

do fêmur

lateral, [476](#), [480](#), [497](#)

medial, [476](#), [488-489](#), [493-494](#), [496-497](#)

do úmero

lateral, [405-406](#), [417-418](#), [422-424](#), [426](#), [428-429](#), [431](#), [434](#), [466](#)

medial, [405-406](#), [417-419](#), [422-424](#), [426-434](#), [464-465](#)

Epidídimo, [364](#), [368](#), [394](#)

apêndice do, [365](#), [367](#)

cabeça do, [365](#), [368](#)

cauda do, [368](#)

corpo do, [365](#), [368](#)

seio do, [368](#)

Epífise, [458](#)

ramos nutritícios para a, [458](#)

Epigástrico, [244](#)

Epiglote, [15](#), [60](#), [64](#), [66-69](#), [78-80](#), [82](#), [136](#), [230](#)

Epitélio gengival, [63](#)

Eponíquio, [458](#)

Epoóforo, [352](#), [367](#)

Escápula, [177](#), [188](#), [210](#), [238-240](#), [413](#), [467](#)

acrômio da, [183](#), [405-407](#)

anastomoses ao redor da, [414](#)

ângulo do acrômio da, [405-406](#)

ângulo inferior da, [152](#), [241](#), [405-406](#)

ângulo superior, [405-406](#)

margem superior da, [405-406](#), [411](#)

cavidade glenoidal da, [183](#), [405](#), [407-408](#), [467](#)

colo da, [183](#), [405-406](#)

corpo da, [412](#)

espinha da, [152](#), [171](#), [174](#), [183](#), [194](#), [406-407](#), [409](#), [411-414](#)

fossa infra-espinal da, [183](#), [406](#)

fossa subescapular, [183](#), [405](#)

fossa supra-espinal da, [183](#), [406](#)

incisura da, [183](#), [405-406](#)

margem lateral da, [405-407](#)

margem medial da, [152](#), [405-406](#)

margem vertebral da, [467](#)

processo coracoide da, [183](#), [405-407](#)

sulco para os vasos circunflexos da escápula, [406](#)

tubérculo infraglenoidal da, [405-406](#)

tubérculo supraglenoidal da, [405](#)

vista anterior da, [405](#)

vista posterior da, [406](#)

Escavação retouterina (de Douglas), [340](#), [342](#), [352](#), [369](#)

Escavação retovesical, [321](#), [344-345](#), [369](#)

Escavação vesicouterina

Esclera, [83](#), [85](#), [89-93](#)

 esporão da esclera, [89-90](#)

 lâmina crivosa da, [89](#)

 Seio venoso da esclera, [89-90](#), [92-93](#)

 veias de drenagem da, [93](#)

Escroto, [329](#), [364](#), [366](#)

 conteúdo do, [365](#)

 fáscia superficial do, [245-247](#), [344](#), [358](#), [365](#), [383](#)

 imagens sagitais de CT do, [375](#)

 pele do, [365](#), [368](#)

 septo do, [344](#), [365](#), [368](#), [373](#), [383](#)

Esfíncter esofágico inferior, [230](#)

Esfíncter interno da uretra (alça de Heiss), [347](#)

Esfíncter palatofaríngeo, [65](#)

Esfincter palatofaríngeo” (crista de Passavant), [65](#)

Esmalte, [63](#)

Esôfago, [26](#), [64](#), [66](#), [70](#), [78](#), [80](#), [127](#), [191](#), [203-204](#), [213-214](#), [227-228](#), [232-234](#), [236](#), [238-241](#), [258](#), [260](#), [264](#), [268](#), [302](#), [308](#), [310](#), [321](#)

 área de pulmão para o

 à direita, [196](#)

 à esquerda, [196](#)

 artéria frênica inferior, ramo recorrente para, [259](#)

 artérias, [233](#)

in situ, [229](#)

musculatura, [231](#)

músculo longitudinal, [270](#)

nervos, [236](#)

parte abdominal, [230](#), [233](#), [269](#)

sulco do pulmão para

à direita, [196](#)

à esquerda, [196](#)

topografia e constrições de, [230](#)

vasos linfáticos e linfonodos do, [235](#)

veias, [234](#)

zona de fibras musculares esparsas, [69-70](#)

Espaço da parótida, [34](#)

Espaço epidural, gordura no, [166](#)

Espaço episcleral, [85](#), [89](#)

Espaço extraperitoneal, [370](#)

Espaço mediopalmar, [447-448](#), [450](#)

Espaço perianal, [370-371](#), [374](#)

Espaço pericorióideo, [89-90](#)

Espaço periportal, [279](#)

Espaço porta, lâmina limitante do, [279](#)

Espaço pós-anal

profundo, [374](#)

superficial, [374](#)

Espaço pré-sacral, [343](#), [374](#)

Espaço pré-vesical, [374](#)

Espaço quadrangular, [413-414](#)

Espaço retovaginal, [342-343](#)

Espaço retovesical, [374](#)

Espaço retrofaríngeo, [26](#), [47](#), [64-65](#)

Espaço retropúbico (de Retzius), [321](#), [343](#), [346](#), [374](#)

tecido areolar no, [344](#)

gordura no, [247](#), [339](#)

plexo venoso vesical no, [344](#)

Espaço subacromial, [467](#)

Espaço subaponeurótico, posterior, [450](#)

Espaço subaracnóideo, [89](#), [101](#), [103](#), [110](#), [166](#)

imagem do, [151](#)

Espaço subcutâneo, posterior, [450](#)

Espaço submucoso, [370-371](#), [374](#)

Espaço supraesternal (de Burns), [26-27](#), [64](#)

Espaço tenar, [447-448](#)

Espaço triangular, [413](#)

Espaço vesicocervical, [343](#)

Espaço vesicovaginal, [343](#)

Espaços do períneo

feminino

profundo, [357](#)

superficial, [357](#)

masculino, [361](#)

superficial, [344](#), [350](#), [355-356](#), [359-361](#), [382-383](#)

fáscia inferior do, [344](#)

Espaços interglobulares, [63](#)

Espaços interproximais, [63](#)

Espaços perissinusoidais, [279](#)

Espaços potenciais, gênero feminino, [343](#)

Espinha geniana, [58](#)

Espinha ilíaca

anterior

inferior, [243](#), [258](#), [330](#), [333-334](#), [338](#), [473-474](#), [479-480](#)

superior, [242-243](#), [245-246](#), [255-256](#), [258](#), [329-330](#), [333-334](#), [355](#), [358](#), [468](#), [473-474](#), [479-481](#), [483](#), [487](#)

posterior

inferior, [158](#), [334](#), [473](#)

superior, [152](#), [158](#), [333-334](#), [473](#)

Espinha isquiática, [158](#), [243](#), [258](#), [330](#), [333-338](#), [376](#), [389](#), [473-474](#), [490](#), [530](#)

medições da, [332](#)

radiografia da, [331](#)

Espinha nasal, [37-38](#)

anterior, [4](#), [6](#), [8](#), [37-38](#)

posterior, [10](#), [37-38](#)

Esplênio, do corpo caloso, [107-108](#), [111](#), [113](#), [116](#), [144-147](#)

imagem da, [151](#)

Esterno, [25](#), [177](#), [188](#), [191](#), [213](#), [237](#), [241](#), [409](#)

ângulo do, [183](#)

corpo do, [178](#), [183](#), [185](#), [187](#), [189](#), [242-243](#)

incisura jugular do, [183](#)

manúbrio do, [26-27](#), [29](#), [64](#), [183-184](#), [187](#), [195](#), [238-239](#)

processo xifoide do, [178](#), [183](#), [185](#)

Estômago, [193](#), [214](#), [229](#), [232-233](#), [263](#), [266-267](#), [277-278](#), [280-282](#), [321](#)

ar no, [210](#)

artérias do, [283](#)

cardia do, [230](#), [232](#), [269-270](#)

corpo do, [269](#)

imagens axiais de CT do, [322](#)

epigástrico (zona gástrica), [270](#)

fundo do, [230](#), [232](#), [269-270](#)

seção transversal do, [324](#)

imagens axiais de CT do, [322](#)

in situ, [269](#)

inervação do, [163-164](#)

linfonodos e vasos linfáticos do, [293](#)

mucosa do, [270](#)

nervos autônomos do, [298-300](#)

parte pilórica do, [269](#), [298](#)

radiografia do, [156](#)

ramos vagais para o, [236](#)

seção transversal do, [325](#)

veias do, [289](#)

Estrato membranáceo (fáscia de Scarpa), [245](#), [321](#), [344](#), [358-359](#)

fixação na fáscia lata, [245](#)

Estria malear, ramos arteriais da, [96](#)

Estria medular, [112](#), [116](#)

do tálamo, [107](#)

Estria olfatória

lateral, [120](#)

medial, [120](#)

Estria terminal, [109](#), [112-113](#)

Estriado, [111](#)

Estribo, [95-96](#)

base do, [95](#)

base, na janela do vestíbulo, [94](#)

ramos do, [94](#)

Estroma fibromuscular, [362](#)

Estroma intermuscular, [305](#)

Eversão, do pé, [469](#)

Extensão

do joelho, [469](#), [494](#)

do quadril, [469](#)

Extensões musculofasciais

par a vagina, [337](#)

para a uretra, [337](#)

F

Face

artérias e veias superficiais, [3](#)

fontes de suprimento arterial da, [3](#)

músculos da, [124](#)

inervação, [119](#)

Face articular

cervical

anterior, [19](#)

inferior, [20](#)

superior, [19-20](#)

do dente, posterior, [23](#)

para o corpo vertebral

do processo transversal, [184](#)

inferior, [184](#)

superior, [184](#)

para o sacro, [155](#), [157](#)

torácica

inferior, [154](#)

superior, [154](#)

Face sinfisial, [334](#), [473](#)

do púbis, [390](#)

Falanges

da mão, [445](#)

distal, [443-444](#), [458](#)

média, [443-444](#), [458](#)

proximal, [443-444](#)

do pé, [511-512](#)

distal, [511](#), [515](#), [524](#)

média, [511](#), [515](#), [524](#)

proximal, [511](#), [515](#), [524](#)

Faringe

inervação aferente da, [61](#)

inervação da, [119](#)

linfonodos e vasos linfáticos da, [75](#)

músculos

seção sagital, [65](#)

vista lateral, [70](#)

vista posterior parcialmente aberta de, [67](#)

parede posterior, [56](#)

seção média da, [64](#)

vista posterior, [77](#)

vista posterior, aberta, [66](#)

zona de fibras musculares esparsas, [69](#), [77](#)

Fáscia

da mão, [450](#)

da órbita e do bulbo do olho, [85](#)

das pernas, [510](#)

Fáscia bucofaríngea, [26](#), [47](#), [64-65](#)

Fáscia cervical, [185](#)

camada de revestimento da, [25-27](#)

camada pré-traqueal da, [27](#)

camada pré-vertebral da, [26](#)

camada superficial da, [26](#)

profunda

camada de revestimento da, [409](#)

camada superficial da, [64](#)

Fáscia clavipeitoral, [185](#), [412](#)

Fáscia cremastérica, [247](#), [365](#), [368](#)

no funículo espermático, [256](#)

Fáscia cribriforme

na entrada da veia safena, [252](#)

no interior da entrada da safena, [472](#)

Fáscia da pelve, arco tendíneo da, [343](#), [346](#), [348](#)

Fáscia de revestimento, [358](#)

Fáscia diafragmática, [232](#), [315](#)

Fáscia do antebraço, [436](#)

profunda, [441](#)

Fáscia do músculo genio-hióideo, [26](#)

Fáscia do músculo serrátil anterior, [412](#)

Fáscia do pênis (de Buck), [245-247](#), [321](#), [344](#), [358-361](#), [365](#), [373-374](#), [381](#), [383](#)

septo intercavernoso da, [359-360](#), [363](#)

Fáscia do períneo

profunda, [344](#), [348](#), [350](#), [355-356](#), [359-361](#), [369](#), [374](#)

superficial, [344](#), [348](#), [350](#), [355](#), [357-361](#), [369](#), [373-374](#), [382-383](#), [389](#)

transversa, profunda, [362](#), [369](#)

Fáscia do psoas, [176](#), [315](#)

Fáscia endopélvica paravesical, [348](#)

Fáscia espermática

externa, [246-247](#), [256](#), [344](#), [358-360](#), [365](#), [368](#), [383](#)

do funículo espermático, [245](#), [253](#), [255-256](#)

interna, [245](#), [247](#), [256](#), [365](#), [368](#)

no funículo espermático, [257](#)

Fáscia extraperitoneal, [7](#), [176](#), [245](#), [256-257](#), [390](#)

Fáscia faringobasilar, [57](#), [59](#), [65](#), [67](#), [70](#), [75](#)

Fáscia Ilíaca, [257](#), [343](#)

Fáscia ilíaca, [370](#)

Fáscia iliopsoas, [257](#), [487](#)

Fáscia infraespinal, [171](#), [174](#), [250](#), [409](#)

Fáscia interóssea, [450](#)

Fáscia lata, [245-246](#), [385](#), [470](#), [472](#), [487](#), [492](#)

da coxa, [350](#), [355](#), [358-359](#)

fixações do estrato membranáceo na, [245](#)

Fáscia massetérica, [25](#)

Fáscia obturatória, [335-336](#), [338](#), [342](#), [346](#), [350](#), [356](#), [370](#), [380](#)

Fáscia parotídea, [25](#)

Fáscia pectínea, [247](#)

Fáscia peitoral, [179](#), [412](#)

Fáscia pré-sacral, [343](#), [374](#)

Fáscia profunda da coxa, [470](#), [510](#)

Fáscia renal (de Gerota), [315](#), [320](#)

camada anterior, [176](#), [315](#)

camada posterior, [176](#), [315](#)

seção transversal da, [327](#)

Fáscia retal, [342-343](#), [355](#), [362](#), [369-372](#), [374](#)

Fáscia superficial do períneo (de Gallaudet), [344](#), [348](#), [350](#), [355-356](#), [359-361](#), [369](#)

Fáscia superior do diafragma, [232](#)

Fáscia temporal, [25](#), [48](#), [50](#)

camada profunda, [48](#)

camada superficial, [48](#)

Fáscia toracolombar, [171](#), [174](#)

camada anterior, [173](#), [176](#)

camada média, [176](#)

camada posterior, [172-173](#), [176](#), [250](#), [309](#)

seção transversal da, [328](#)

Fáscia transversal, [7](#), [176](#), [245](#), [249](#), [255-257](#), [259](#), [315](#), [321](#), [341](#), [343-344](#), [346](#), [355](#)

no interior do triângulo inguinal, [255](#)

seção transversal da, [328](#)

Fáscia umbilical (“pré-vesical”), [249](#), [256](#), [343-344](#), [346](#)

Fáscia uterina, [343](#)

Fáscia uterovaginal, [342](#), [350](#), [355](#)

Fáscia vaginal, [369](#)

Fáscia vesical, [342-344](#), [348](#), [355](#), [374](#)

Fascículo

longitudinal

medial, [114](#), [116](#)

posterior, [148](#)

Fascículo atrioventricular, [222](#)

Fascículo atrioventricular (AV) (de His), [222](#)

Fascículo cuneiforme, [115-116](#)

Fascículo grácil, [115-116](#)

Fascículo longitudinal

dorsal, [148](#)

medial, [114](#), [116](#)

Fascículo mamilotalâmico (de Vicq d'Azyr), [107](#), [148](#)

Fascículos diminutos, [446](#)

Fascículos transversos, [446](#), [519](#)

Fauces, [68](#)

Fechamento epifisal, [467](#)

Feixe longitudinal, [280](#)

Feixes tendíneos, [452](#)

Fêmur, [476](#), [492](#), [494](#), [498](#)

artéria nutrícia, [491](#)

cabeça do, [396](#), [474-476](#), [530](#)

artérias, [491](#)

ligamento da, [474](#), [476](#)

radiografia da, [331](#)

colo do, [396-397](#), [474-476](#)

artérias do, [491](#)

côndilos do

lateral, [476](#), [494-497](#)

medial, [476](#), [494-497](#)

crista intertrocanterica do, [476](#)

diáfise do, [476](#)

epicôndilos do

lateral, [476](#), [480](#), [497](#)

medial, [476](#), [488-489](#), [493-494](#), [496-497](#)

forame nutricos no, [476](#)

forames retinaculares do, [476](#)

fossa intercondilar do, [476](#)

fossa trocanterica do, [476](#)

ligamentos do, [491](#)

linha áspera do, [476](#)

linha intertrocanterica de, [476](#)

linha pectínea do, [476](#)

linha supracondiliana lateral do, [476](#)

radiografia do, [331](#)

radiografia do, [331](#), [475](#), [497](#), [530](#)

superfície patelar do, [476](#)

superfície poplíteia do, [476](#), [498](#)

trocânter do, [475](#)

maior, [152](#), [243](#), [330](#), [468](#), [474](#), [476](#), [479-480](#), [483](#), [489-490](#), [530](#)

menor, [243](#), [258](#), [330](#), [474-476](#), [530](#)

tubérculo adutor do, [476](#)

tubérculo quadrado do, [476](#)

tuberosidade glútea, [476](#)

Fenda interglútea, [152](#)

Fenda nasal, [13](#)

Fibras aferentes, [117-118](#), [122-126](#), [128-130](#), [133](#)

da árvore bronquial, [207](#)

da bexiga urinária e da parte inferior dos ureteres, [395](#)

das vias reflexas autônomas, [304](#)

do bulbo olfatório, [120](#)

do fígado e das vias biliares, [306](#)

do pâncreas, [307](#)

dos órgãos genitais, [393-394](#)

dos rins e parte superior dos ureteres, [318](#)

Fibras circulares, [90](#)

Fibras eferentes, [117-118](#), [122-124](#), [126](#), [128-130](#)

da vias reflexas autônomas, [304](#)

para o bulbo olfatório, [120](#)

Fibras fasciais vaginorretais, [343](#)

Fibras fasciais vesicouterinas (vesicocervicais), [343](#)

Fibras intercrurais, [245](#), [255-256](#)

Fibras meridionais, [90](#)

Fibras musculares do duodeno, [280](#)

Fibras musculares pré-retais (de Luschka), [339](#)

Fibras parassimpáticas, [122-124](#), [126](#), [133](#), [135](#)

da árvore bronquial, [207](#)

da bexiga urinária e da parte inferior dos ureteres, [395](#)

das vias reflexas autônomas, [304](#)

do fígado e da via biliar, [306](#)

do pâncreas, [307](#)

dos órgãos genitais, [393-394](#)

dos rins e da parte superior dos ureteres, [318](#)

Fibras pós-ganglionares, [53](#), [133](#), [135](#)

Fibras pré-ganglionares, [53](#), [133](#), [135](#)

Fibras proprioceptivas, [123](#)

Fibras simpáticas, [122-124](#), [133](#), [135](#)

da árvore bronquial, [207](#)

da bexiga urinária e parte inferior dos ureteres, [395](#)

de fígado e da via biliar, [306](#)

do pâncreas, [307](#)

dos órgãos genitais, [393-394](#)

dos rins e da parte superior dos ureteres, [318](#)

vias reflexas autônomas, [304](#)

Fibras vagais, [127](#)

Fibras zonulares da zônula ciliar, [89-92](#)

equatorial, [91](#)

pós-equatorial, [91](#)

pré-equatorial, [91](#)

Fíbula, [497](#), [500-501](#), [506-507](#), [513-514](#), [517-518](#)

ápice da, [500-501](#)

cabeça da, [479-481](#), [493-494](#), [496-498](#), [500-501](#), [504-508](#), [529](#)

ligamento anterior da, [501](#)

ligamento posterior da, [498](#)

colo da, [497](#), [500](#)

ligamento anterior da, [501](#)

ligamento posterior da, [501](#)

maléolo lateral da, [468](#), [500-501](#), [503-508](#), [517-518](#), [531](#)

margem anterior da, [500-501](#)

margem interóssea da, [500-501](#)

membrana interóssea da, [501](#)

radiografias da, [497](#), [531](#)

superfície lateral da, [500-501](#)

superfície medial da, [500](#)

Fígado, [127](#), [193-194](#), [210](#), [214](#), [226](#), [234](#), [237](#), [266](#), [271](#), [315](#), [320-321](#)

apêndice fibroso do, [277](#)

área nua do, [315](#), [321](#)

- artérias do, [283-284](#)
- caudado do lobo do, [266](#), [269](#), [277-278](#)
- duto, [278](#)
- estrutura do, [279](#)
- imagens sagitais de CT do, [375](#)
- in situ*, [278](#)
- inervação do, [163-164](#)
- ligamento coronário do, [268](#)
- ligamento falciforme do, [251](#), [292](#)
- ligamento redondo do, [249](#), [269](#), [277-278](#), [292](#), [313](#)
 - seção transversal do, [328](#)
 - veias para-umbilical no, [252](#)
- ligamento triangular esquerdo do, [268](#)
- lobo direito do, [263](#), [269](#), [277-278](#)
 - imagens axiais de CT de, [322](#)
- lobo esquerdo do, [263](#), [277-278](#)
 - imagens axiais de CT do, [322](#)
- lobo quadrado do, [269](#), [277-278](#)
- margem inferior do, [269](#)
- nervos autônomos do, [306](#)
- seção transversal do, [324-327](#)
- superfícies e leito do, [277](#)
- tecido conectivo do, [279](#)
- vasos, [278](#)
- via para o, [181](#)

Filamento terminal, parte pial, [160](#), [166](#)

Filtro, [56](#)

Fímbrias, [111](#)

- da tuba uterina, [352-353](#)

Fissura “retrotonsilar”, [114](#)

Fissura horizontal, [114](#)

do pulmão, direito, [193-196](#)

Fissura longitudinal do cérebro, [108](#), [144](#), [146](#)

imagem da, [151](#)

Fissura oblíqua do pulmão

direita, [193-196](#)

esquerda, [193-194](#), [196](#), [239](#)

Fissura orbital

inferior, [4](#), [6](#), [16](#), [85](#)

superior, [4-5](#), [13](#), [85](#)

ramo para a, [138](#)

Fissura petroescamosa, [14](#)

Fissura petrotimpânica, [10](#), [12](#)

Fissura pós-clival, [114](#)

Fissura posterolateral, [114](#)

Fissura primária, [114](#)

Fissura pterigomaxilar, [6](#)

Fissura secundária (pós-piramidal), [114](#)

Flexão

do joelho, [469](#)

do quadril, [469](#)

Flexão dorsal, do tornozelo, [469](#)

Flexão plantar, do tornozelo, [469](#)

Flexura do duodeno

inferior do, [272](#)

superior do, [272](#)

Flexura duodenojejunal, [264](#), [271-272](#), [281](#), [315](#), [320](#)

Flexura perineal, [396](#)

Flexuras do colo

direita (hepática), [263](#), [265-266](#), [269](#), [271](#), [276](#), [278](#), [281](#), [315](#)

esquerda (esplênica), [263-266](#), [269](#), [271](#), [276](#), [278](#), [281](#), [302](#), [320](#)

imagens axiais de CT da, [322](#)

seção transversal das, [325](#)

Flóculo, [114-115](#)

Foice do cerebelo, [104](#), [145](#)

Foice do cérebro, [38](#), [43](#), [103-105](#), [142](#), [145](#)

Foice inguinal, [246-247](#), [249](#), [255-256](#)

Folha, [114](#), [116](#)

Folheto direito do centro tendíneo do diafragma, [191-192](#)

Folículo ovárico (de Graaf), [352](#)

Fontículo

anterior, [14](#)

posterior, [14](#)

Fontículo anterolateral, do recém-nascido, [14](#)

Forame alveolar, [6](#)

Forame cego, [11](#), [13](#), [60](#), [64](#)

Forame da mandíbula, [17](#), [58](#)

entrada do nervo alveolar inferior, [50](#)

Forame da veia cava, [192](#), [258](#)

Forame esfenopalatino, [6](#), [8](#), [16](#), [37](#), [40-41](#), [51](#)

abertura do, [37](#)

Forame espinhoso, [10](#), [13](#), [16](#), [50](#), [100](#)

acessório, [12](#)

ramo para o, [138](#)

Forame estilomastóideo, [10](#), [12](#), [100](#), [124](#), [126](#)

nervo facial no, 24 de

Forame infraorbital, [4](#), [6](#), [35](#)

do recém-nascido, [14](#)

Forame interventricular (de Monro), [107](#), [109-110](#), [112](#), [116](#), [146-147](#)

Forame intervertebral, [21](#), [154-155](#), [157-159](#)

raiz posterior, [177](#)

Forame isquiático

maior, [158](#), [333-335](#), [527](#)

menor, [158](#), [333-334](#)

Forame jugular, [8](#), [10](#), [13](#), [104-105](#), [126-128](#)

Forame lacerado, [10](#), [13](#), [100](#)

artéria recorrente do, [138](#)

Forame lacrimonasal, [45](#)

Forame magno, [8](#), [10](#), [12-13](#), [100](#), [128](#)

Forame mastóideo, [10](#), [12-13](#), [16](#)

Forame mental, [4](#), [6](#), [17](#)

Forame obturado, [243](#), [330](#), [473](#), [475](#)

radiografia do, [331](#)

Forame omental (epiplóico) (de Winslow), [266-267](#), [269](#), [278](#), [321](#)

Forame oval, [6](#), [10](#), [12-13](#), [16](#), [49-50](#), [100](#), [226](#)

ramo para o, [138](#)

válvula do, [218](#)

Forame palatino

maior, [10](#), [12](#), [37-38](#), [40](#), [57](#), [62](#)

menor, [10](#), [12](#), [37-38](#), [40](#), [57](#), [62](#)

Forame parietal, [9](#)

lobo parietal, [106](#)

lóbulo parietal, inferior

giro angular do, [106](#)

giro supramarginal do, [106](#)

Forame redondo, [5](#), [13](#), [52](#)

entrada do nervo maxilar no, [53](#)

ramo para o, [138](#)

Forame transversário, [19](#), [20-21](#)

espícula óssea dividindo o, [20](#)

septado, [20](#)

Forame venoso (de Vesalius) (inconstante) (“emissário esfenoidal”), [13](#)

Forame vertebral, [19](#)

cervical, [20](#)

lombar, [155](#)

torácico, [154](#)

Forame zigomaticofacial, [4](#), [6](#), [14](#)

Forames

abertura lateral do 4º ventrículo (de Luschka), [109-110](#)

abertura mediana do 4º ventrículo (de Magendie), [109-110](#), [116](#), [118](#)

interventricular (de Monro), [107](#), [109-110](#), [112](#), [116](#), [146-147](#)

Forames etmoidais

anterior, [4](#), [13-14](#)

posterior, [4](#), [13](#)

Forames sacrais, [530](#)

anterior, [157](#), [333](#), [338](#)

posterior, [157](#), [333](#)

radiografia dos, [331](#)

Fórnice, [107](#), [113](#), [148](#)

anterior, [351](#)

colunas do, [107](#), [111-113](#), [146](#)

comissura do, [113](#)

conjuntival

inferior, [83](#)

superior, [83](#)

corpo do, [107](#), [109](#), [113](#), [116](#)

da vagina, [352](#)

anterior, [340](#)

posterior, [340](#)

imagem do, [151](#)

ramos do, [107](#), [111](#), [113](#), [144](#)

Fórnice da conjuntiva

inferior, [83](#)

superior, [83](#)

Fossa axilar, [238-240](#)

Fossa condilar, [10](#)

Fossa coronóidea, [405](#), [422](#)

Fossa cubital, [398](#)

Fossa digástrica, [17](#)

Fossa do acetábulo, [396](#), [474](#), [530](#)

Fossa do olecrano, [406](#), [422](#)

radiografias da, [423](#)

Fossa do vestíbulo, [354](#)

Fossa escafóidea, [95](#), [100](#)

Fossa hipofisial, [7](#)

do recém-nascido, [45](#)

Fossa ilíaca, [333-334](#), [341](#)

Fossa incisiva, [10](#), [12](#), [16](#), [57](#), [62](#)

Fossa infraespinal, [406](#)

da escápula, [183](#)

Fossa infratemporal, [6](#), [16](#)

Fossa intercondilar, [476](#)

Fossa interpeduncular, na substância perfurada posterior, [108](#)

Fossa ísquioanal, [356](#), [359-360](#), [370](#), [373](#)

comunicação na, [374](#)

corpo adiposo da, [355](#), [358](#), [370](#), [396](#)

pus na, [374](#)

recesso anterior da, [249](#), [348](#), [350](#), [374](#)

recesso posterior da, [374](#)

septo fibroso transversal da, [370](#), [372](#)

Fossa jugular, [10](#), [12](#)

Fossa mandibular, [6](#), [10](#), [14](#), [100](#)

inferior, [18](#)

Fossa navicular, [344](#), [363](#)

Fossa oval, [214](#), [217](#), [226](#), [470](#)

limbo da, [217](#)

Fossa pararretal, [341-342](#), [345](#), [370](#)

Fossa paravesical, [342](#)

Fossa paravesical, [350](#)

Fossa poplítea, [468](#), [487](#)

Fossa pterigóidea

vista inferolateral da, [16](#)

vista posterior, [16](#)

Fossa pterigopalatina, [6](#), [54](#)

gânglio pterigopalatino na, [53](#)

ramos nasais na, [53](#)

Fossa radial, [405](#), [422](#)

Fossa retromolar, [17](#)

Fossa romboide do quarto ventrículo, [115](#)

Fossa subescapular, [405](#)

da escápula, [183](#)

Fossa supraespinal, [183](#), [406](#)

Fossa supratonsilar, [68](#)

Fossa supravesical, [249](#)

Fossa temporal, [6](#), [15](#)

Fossa triangular, [95](#)

Fossa trocantérica, [476](#)

Fossas do crânio

anterior, [11](#)

média, [11](#)

posterior, [11](#)

artérias das, [144](#)

veias das, [145](#)

Fóvea central na mácula lútea, [89](#), [92](#)

Fóvea costal, [154](#)

do processo transversal, [154](#), [184](#)

inferior, [154](#), [184](#)

superior, [154](#), [184](#)

Fóvea da cabeça do fêmur, [530](#)

Fóvea inferior, [116](#)

Fóvea pterigóidea, [17](#)

Fóvea sublingual, [17](#)

Fóvea submandibular, [17](#)

Fovéolas granulares, [9](#), [101](#), [103](#)

Frênulo, [274](#)

artéria do, [59](#)

da língua, [46](#), [56](#)

do clitóris, [354](#)

do lábio inferior, [56](#)

do lábio superior, [56](#)

do pênis, [360](#)

dos lábios menores, [354](#)

Frênulo dos lábios do pudendo, [354](#)

Fundo

da bexiga urinária, [344](#), [346](#), [348](#)

da vesicular biliar, imagens axiais de CT da, [323](#)

do estômago, [230](#), [232](#), [269-270](#)

seção transversal do, [324](#)

do útero, [340](#), [342](#), [346](#), [352](#)

imagens sagitais de CT do, [375](#)

papilas fungiformes, [60](#), [136](#)

Funículo espermático, [249](#), [256](#), [359-360](#), [383](#), [396](#)

artéria do ducto deferente no, [251](#)

fáscia cremastérica no, [256](#)

fáscia espermática externa sobre o, [245](#), [253](#), [255-256](#)

fáscia espermática interna sobre o, [257](#)

músculo cremaster sobre o, [253](#), [256](#)

vasos testiculares no, [379](#)

Funículo lateral, [116](#)

G

Gânglio celíaco, [163-164](#), [236](#), [262](#), [297-304](#), [306-307](#), [317-319](#), [387-388](#), [392-395](#)

Gânglio cervical

médio, [71](#), [129](#), [223-224](#), [236](#)

superior, [53](#), [55](#), [163](#), [223-224](#), [236](#)

Gânglio cervicotorácico (estrelado), [131](#), [206](#), [223-224](#), [236](#)

Gânglio ciliar, [52](#), [55](#), [88](#), [122-123](#), [132-133](#), [164](#)

esquema, [133](#)

raiz nasociliar (sensitiva), [88](#), [122-123](#), [132-133](#)

raiz oculomotora (parassimpática), [88](#), [122](#), [132-133](#)

raiz simpática do, [88](#), [122](#), [132-133](#)

Gânglio coclear (espiral da cóclea), [125](#)

Gânglio frênico, [192](#), [299](#)

Gânglio geniculado, [50](#), [53](#), [96](#), [99](#), [117](#), [124-126](#), [132](#), [136](#)

Gânglio inferior

do nervo glossofaríngeo, [55](#), [96](#), [126](#), [135-136](#), [207](#)

do nervo vago, [55](#), [127-129](#), [136](#), [207](#)

Gânglio lombar, [297](#)

primeiro, [163](#)

Gânglio ótico, [18](#), [49-50](#), [96](#), [123](#), [126](#), [132](#), [134-136](#), [164](#)

esquema do, [135](#)

Gânglio pterigopalatino, [39](#), [41](#), [52](#), [54-55](#), [61](#), [71](#), [122-124](#), [126](#), [132](#), [134](#), [136](#), [164](#)

esquema do, [134](#)

na fossa pterigopalatina, [53](#)

ramo faríngeo do, [61](#)

ramos ganglionares para o, [52](#)

Gânglio renal, [317-319](#), [394](#)

Gânglio sacral, primeiro, [163](#), [297](#)

Gânglio semilunar *See* [gânglio trigeminal](#)

Gânglio sensitivo do nervo espinal, [129](#), [133](#), [166](#), [177](#), [188](#), [254](#), [300](#), [303-304](#), [306-307](#), [318](#), [395](#)

Gânglio simpático, [166](#), [177](#), [188](#), [317](#), [388](#), [394](#)

cervical

médio, [33](#), [131](#)

superior, [47](#), [126](#), [129](#), [131-134](#)

Gânglio submandibular, [46](#), [50](#), [59](#), [71](#), [123](#), [132](#), [134](#), [164](#)

esquema do, [134](#)

Gânglio Superior

do nervo glossofaríngeo, [126](#)

do nervo vago, [127-128](#)

Gânglio torácico

primeiro, [163](#)

quarto, [223-224](#)

segundo, [224](#)

sexto, [206](#)

terceiro, [223](#), [236](#)

Gânglio torácico do tronco

inferior, [225](#)

superior, [225](#)

Gânglio trigeminal, [105](#), [117-118](#)

Gânglio vertebral, [131](#), [223-224](#)

Gânglio vestibular (de Scarpa), [97](#)

Gânglios aorticorrenais, [163](#), [262](#), [297](#), [299-303](#), [317-319](#), [387](#), [392-393](#), [395](#)
esquerdo, [388](#), [394](#)

Gânglios mesentéricos, [297](#)

inferiores, [163](#), [297](#), [302-303](#), [317](#), [387-388](#), [392-395](#)

superiores, [127](#), [163-164](#), [262](#), [299-304](#), [307](#), [317-319](#), [387-388](#), [392-395](#)

Giro

angular, [106](#)

ramo para o, [142-143](#)

dentado, [107](#), [109](#), [113](#), [120](#)

do cíngulo, [107](#)

istmo do, [107](#)

frontal

inferior, [106](#)

medial, [107](#)

médio, [106](#)

superior, [106](#)

lingual, [107](#)

longo, [106](#)

occipitotemporal

lateral, [107-108](#)

medial, [107-108](#)

orbital, [108](#)

parahipocampal, [107-109](#), [120](#)

pós-central, [106](#)

pré-central, [106](#)

reto, [108](#)

subcaloso, [107](#)

supramarginal, [106](#)

temporal

inferior, [106](#), [108](#)

médio, [106](#)

superior, [106](#)

Giro angular, [106](#)

ramo para o, [142-143](#)

Giro denteado, [107](#), [109](#), [112-113](#), [120](#)

Giro do cíngulo, [107](#)

istmo, [107-108](#)

Giro frontal

inferior

parte opercular do, [106](#)

parte orbital do, [106](#)

parte triangular do, [106](#)

medial, [107](#)

superior, [106](#)

Giro lingual, [107](#)

Giro longo, [106](#)

Giro occipitotemporal

lateral, [107-108](#)

medial, [107-108](#)

Giro orbital, [108](#)

Giro pós-central, [106](#)

Giro pré-central, [106](#)

Giro reto, [108](#)

Giro supramarginal, [106](#)

Giro temporal

inferior, [106](#), [108](#)

médio, [106](#)

superior, [106](#)

Glabela, [1](#), [4](#), [6](#)

Glande do clitoris, [354](#), [366](#)

Glândula do pênis, [329](#), [344](#), [360](#), [363](#), [366](#)

colo do, [360](#)

coroa da, [360](#)

Glândula bulbouretral (de Cowper), [249](#), [321](#), [344](#), [348](#), [361-363](#), [367](#)

ducto da, [361](#)

primórdio da, [367](#)

Glândula lacrimal, [85](#), [87-88](#), [134](#)

ductos excretores da, [84](#)

inervação da, [119](#), [163-164](#)

parte orbital da, [84](#)

parte palpebral da, [84](#)

Glândula mamária

artérias da, [180](#)

dissecação ântero-lateral, [179](#)

linfonodos da, [181](#)

seção sagital da, [179](#)

vasos linfáticos da, [181](#)

Glândula paratireoide, [78](#)

inferior, [77-78](#)

superior, [77-78](#)

Glândula parótida, [24](#), [27](#), [29](#), [31](#), [42](#), [46-47](#), [66](#), [94](#), [126](#), [135](#)

acessória, [46](#)

inervação da, [163-164](#)

leito da, [47](#)

Glândula pineal, [107](#), [111-112](#), [115-116](#)

imagens da, [151](#)

Glândula salivar menor (lingual), [56](#)

Glândula seminal, [249](#), [344-345](#), [362](#), [367](#), [369](#)

Glândula submandibular, [1](#), [27](#), [29](#), [31](#), [46-47](#), [50](#), [58](#), [66](#), [72-73](#), [124](#), [134](#)

inervação da, [119](#), [163-164](#)

Glândula tireoide, [26](#), [28](#), [31](#), [33](#), [64](#), [76-78](#), [82](#), [193](#), [195](#), [203](#), [214](#)

cápsula fibrosa ade, [78](#)

istmo (lobo piramidal) da, [76](#)

lobo direito da, [76](#), [78](#)

lobo esquerdo da, [76](#), [78](#)

vista anterior da, [76](#)

vista posterior da, [77](#)

Glândula vestibular maior (de Bartholin), [356-357](#), [367](#), [382](#)

abertura da, [354](#)

primórdio da, [367](#)

Glândulas anais, [371](#)

Glândulas areolares (de Montgomery), [179](#)

Glândulas intestinais, [305](#)

Glândulas linguais, [60](#)

Glândulas mucosas, [60](#)

criptas das, [60](#)

dutos das, [60](#)

inervação das, [164](#)

Glândulas palatinas, [57](#), [64](#), [68](#)

Glândulas salivares, [46-47](#) *See also* [Glândulas sublingual](#) [Glândula submandibular](#)

linguais menores, [56](#)

molares menores, [57](#)

Glândulas salivares menores (molares), [57](#)

Glândulas sebáceas, [83](#)

Glândulas serosas de von Ebner, [60](#)

Glândulas sublinguais, [43](#), [47](#), [50](#), [56](#), [58](#), [124](#), [134](#)

inervação das, [119](#), [163-164](#)

Glândulas submucosas, [305](#)

Glândulas sudoríparas

inervação, [163](#)

na pele peri-anal, [371](#)

Glândulas suprarrenais, [271](#), [277](#), [281-282](#), [315](#), [320](#), [364](#)

artérias das, [320](#)

direita, [194](#), [268](#), [308](#), [319](#)

esquerda, [194](#), [266](#), [308](#), [319](#)

seção transversal da, [325-326](#)

inervação das, [163](#)

nervos autônomos das, [319](#)

seção transversal da, [325-326](#)

seção transversal das, [320](#)

veias da, [320](#)

Glândulas tarsais (de Meibomio), [83](#)

aberturas das, [83](#)

Glândulas uretrais (de Littre), [363](#)

Glândula prepucial (de Tyson), abertura das, [360](#)

Globo pálido, [109](#), [111](#)

Glomérulo, [120](#)

Gônadas, [364](#), [367](#)

Gordura na região cervical posterior, [26](#)

Granulações aracnóideas, [101-103](#), [110](#)

fovéolas granulares das, [9](#)

Gubernáculo, [364](#), [367](#)

H

Habênula, [111](#)

Hálux

falange do, [515](#), [524](#)

veia e nervo digital dorsal do, [470](#)

Hamato, [440](#), [442-443](#), [449](#)

hámulo do osso, [428](#), [434](#), [439](#), [441](#), [443-445](#), [453](#)

radiografias do, [444](#)

Hâmulo do osso hamato, [428](#), [434](#), [439](#), [441](#), [443](#), [445](#), [453](#)

radiografias do, [444](#)

Hâmulo pterigóideo, [6](#), [10](#), [16](#), [37](#), [49-50](#), [57](#), [65](#), [68](#), [70](#), [100](#)

no recém-nascido, [45](#)

Hélice, [1](#), [95](#)

ramo da, [95](#)

Helicotrema, [94](#), [97-98](#)

Hemisfério cerebral, [103](#)

Hérnia inguinal, [255](#)

Hiato anorretal, [338](#)

Hiato aórtico, [192](#)

Hiato dos adutores, [488-489](#), [499](#), [509](#), [526](#)

Hiato esofágico, [192](#), [264](#)

Hiato sacral, [157](#)

Hiato semilunar, [36-37](#), [44](#)

no recém-nascido, [45](#)

Hiato urogenital, crescimento do, [347](#)

Hilo, [196](#), [282](#), [311](#)

dos pulmões

esquerdo, [209](#)

direito, [209](#)

Hipocampo, [111-113](#)

álveo do, [113](#)

fímbrias do, [107](#), [109](#), [112-113](#), [120](#)

Hipocôndrio

esquerdo, [244](#)

Hipófise, [105](#), [107-108](#), [148](#)

artérias e veias da, [149](#)

na sela turca, [36](#)

Hipófise, [36](#), [105](#), [107-108](#), [148](#)

adenohipófise (lobo anterior da), [141](#), [148-149](#)

fenda hipofisária, [148](#)

imagem da, [151](#)

neurohipófise, (lobo posterior da), [141](#), [148-149](#)

Hipogástrico, [244](#)

Hipotálamo, [109](#), [148](#), [303](#)

artérias e veias do, [149](#)

núcleo principal do, [148](#)

arqueado (infundibular), [148](#)

corpo mamilar, [148](#)

dorsomedial, [148](#)

paraventricular, [148](#)

posterior, [148](#)

supra-óptico, [148](#)

ventromedial, [148](#)

Histerossalpingograma do útero, [353](#)

I

Íleo, [263](#), [272](#), [276](#)

fibras para o, [274](#)

parte terminal do, [265](#), [273-274](#), [341](#)

seção transversal do, [327-328](#)

Íleo, parte terminal, [265](#), [273-274](#), [341](#), [345](#)

Ílio

asa do, [243](#), [330](#), [334](#), [338](#), [473](#)

corpo do, [334](#), [473](#)

linha arqueada do, [336](#)

radiografia do, [156](#), [331](#)

Impressão cardíaca, [196](#)

Impressão cólica, [277](#), [282](#)

Impressão do duodeno, [277](#)

Impressão esofágica, [277](#)

Impressão gástrica, [277](#), [282](#)

Impressão renal, [277](#), [282](#)

Impressão suprarrenal, [277](#)

Impressão trigeminal, [11](#)

Impressões cólica, [277](#)

Incisura angular, [269](#)

Incisura anterior da orelha, [95](#)

Incisura cardíaca, [232](#), [269](#)

do pulmão de esquerdo, [195](#)

Incisura cerebelar

anterior, [114](#)

posterior, [114](#)

Incisura da escápula, [183](#), [405-406](#), [413](#)

Incisura da escápula, [408](#), [411](#), [413-414](#)

Incisura da mandíbula, [6](#), [15](#), [17](#)

Incisura do acetábulo, [334](#), [473](#)

Incisura fibular, [500](#)

Incisura interarritenoídea, [66](#)

Incisura isquiática

maior, [243](#), [330](#), [473](#)

menor, [243](#), [330](#), [473](#)

Incisura jugular, [1](#), [27](#), [178](#), [193](#)

do esterno, [183](#)

Incisura mastoídea, [10](#)

Incisura pancreática, [281](#)

Incisura pré-occipital, [106](#)

Incisura radial da ulna, [422](#), [425](#)

Incisura supraorbital, [1](#), [4](#), [6](#)

do recém-nascido, [14](#)

Incisura tireóidea superior, [79](#)

Incisura troclear, da ulna, [425](#)

Incisuravertebral

inferior, [154-155](#)

superior, [154](#)

Infundíbulo, [115](#), [141](#), [148](#)

da tuba uterina, [352-353](#)

levando ao canal frontonasal, [37](#)

Intersecção tendínea, [178](#), [242](#), [246](#), [329](#)

Intestino delgado, [127](#), [263](#), [321](#)

artérias do, [287](#)

inervação do, [163-164](#)

linfonodos e vasos linfáticos do, [295](#)

nervos autônomos do, [301](#), [303](#)

seção transversal do, [328](#)

veias do, [290](#)

Intestino grosso

artérias do, [288](#)

inervação do, [163-164](#)

linfonodos e vasos linfáticos do, [296](#)

nervos autônomos do, [302-303](#)

túnica mucosa e musculatura do, [276](#)

veias do, [291](#)

Intestinos, [226](#) *See also* [intestino grosso](#) [intestino delgado](#)

inervação dos, [163-164](#)

plexos autonômicos intrínsecos dos, [305](#)

relações (peritoneais) mesentéricas dos, [264-265](#)

Intumescimento (saliência) labioescrotal, [366](#)

Inversão, [469](#)

Iris, [83](#), [89](#), [91-92](#)

artérias e veias da, [93](#)

círculo arterial maior da, [90](#), [92-93](#)

círculo arterial menor da, [90](#), [92-93](#)

pregas da, [90](#)

Ísquio, [397](#), [475](#)

corpo do, [473](#)

radiografia do, [331](#)

ramo do, [473](#)

Istmo

da tuba uterina, [352](#)

do giro do cóngulo, [107-108](#)

do útero, [352](#)

J

Janela da cóclea (redonda), [14](#), [94](#), [97-98](#)

fossa da, [95](#)

Janela do vestíbulo, [14](#), [97](#)

estribo na, [98](#)

base, [94](#)

Jejuno, [263-265](#), [271-272](#), [281](#)

imagens axiais de CT do, [323](#)

seção transversal do, [325-328](#)

Joelho

artérias do, [499](#), [509](#)

bolsas do, [495](#)

da cápsula interna, [111](#)

do corpo caloso, [107-108](#), [111](#), [113](#), [147](#)

imagem do, [151](#)

extensão do, [469](#), [494](#)

flexão do, [469](#), [494](#)

interior do, [495](#)

interno, do nervo facial, [118](#)

ligamento transverso do, [496](#)

ligamentos cruzados e colaterais do, [496](#)

radiografia do, [497](#)

vista anterior do, [494](#)

vista lateral do, [493](#)

vista medial do, [493](#)

vista posterior do, [497-498](#)

vista sagital do, [498](#)

Joelho do nervo facial, [50](#), [53](#), [99](#), [117](#), [125-126](#), [132](#)

Jugo esfenoidal, [11](#)

Junção anorretal

camada muscular circular da, [339](#)

músculo longitudinal conjunto da, [339](#)

Junção duodenojejunal, [176](#)

Junção esclerocorneal, [83](#)

Junção esofagogástrica, [214](#), [232](#)

seção transversal da, [324](#)

Junção faringoesofágica, [69](#)

Junção ileocecal, [274](#)

Junção pelve renal-ureter, seção transversal, [327](#)

Junção retossigmóidea, [276](#), [369](#), [371-372](#)

Junção vesicoprostática, [396](#)

L

Lábio

comissura do, [1](#)

filtro, [1](#)

frênulo inferior do, [56](#)

margem vermelhona, [1](#)

superior

frênulo do, [56](#)

tubérculo do, [56](#)

tubérculo superior, [1](#)

Lábio do acetábulo, [334](#), [474](#), [491](#), [530](#)

Lábio glenoidal, [408](#), [467](#)

Lábio maior do pudendo, [340](#), [346](#), [350](#), [354](#), [366](#)

Lábio menor do pudendo, [340](#), [346](#), [350](#), [354](#), [357](#), [366](#)

Lábio superior, tubérculo do, [1](#)

Lábios ileocólico, [274](#)

Labirinto ósseo, [97-98](#)

espícula óssea, [20](#)

orientação do, [99](#)

Labirintos

membranáceo, [97](#)

orientação do, [99](#)

ósseo, [97](#)

Lacuna lateral, [101-102](#)

Lacunas uretrais (de Morgagni), [363](#)

Lago lacrimal, [83-84](#)

Lambda, [9](#)

Lamela costal, [20](#)

Lamelas de colágeno do anel fibroso, [159](#)

Lâmina (membrana) basilar, [98](#)

Lâmina afixa, [112](#)

Lâmina cribriforme, [8](#), [11](#), [36-39](#), [120](#)

Lâmina do teto (quadrigêmea), [107](#), [116](#)

Lâmina espiral

hámulo da, [97](#)

Lâmina espiral óssea, [97-98](#)

Lâmina horizontal, [8](#), [10](#), [16](#), [36-38](#), [57](#), [62](#), [100](#)

Lâmina limitante posterior (membrana de Descemet), [90](#)

Lâmina medular

lateral, [112](#)

medial, [112](#)

Lâmina perpendicular, [8](#), [37-38](#)

Lâmina pré-traqueal, [26](#), [64](#)

camada visceral da, [199](#)

Lâmina pré-vertebral, [26](#), [47](#), [64-65](#)

Lâmina própria da gengiva, [63](#)

Lâmina terminal, [107-108](#), [116](#), [148](#)

Lâminas

cervical, [20](#)

do mesovário, [353](#)

lombar, [155-156](#), [158-159](#)

torácica, [154](#)

Lâminas peritoneais do mesentério, [305](#)

Laringe, [136](#), [207](#)

cartilagens, [79](#)

cavidade infraglótica, [82](#)

inervação da, [119](#), [163-164](#)

músculos da, [80](#)

ação dos músculos intrínsecos, [81](#)

nervos da, [82](#)

ramos sensitivos para a, [82](#)

vestíbulo da, [82](#)

Leito ungueal, [458](#)

Lente, [83](#), [85](#), [89-92](#)

cápsula da, [89-91](#)

córtex da, [91](#)

eixo da, [91](#)

equador da, [91](#)

estruturas de suporte da, [91](#)

ligamento suspensor da, [89-90](#)

núcleo da, [90-91](#)

Levantador da costela, [241](#)

Ligamento amarelo, [158-159](#)

seção transversal do, [328](#)

Ligamento anococcígeo, [337](#), [355-356](#), [360](#), [373-374](#)

Ligamento anular do rádio, [424](#)

Ligamento arqueado

lateral, [192](#), [258](#)

medial, [192](#), [258](#)

mediano, [192](#), [258](#)

radial dorsal metafisial, [442](#)

Ligamento arterial, [203](#), [209](#), [218](#), [226](#), [228](#)

linfonodo do arco da aorta, [205](#)

Ligamento atlantoaxial, [23](#)

Ligamento atlantoccipital anterior, [23](#)

Ligamento bifurcado, [514](#)

Ligamento calcaneocubóideo, [514](#), [523](#)

dorsal, [514](#)

Ligamento calcaneofibular, [501](#), [513-514](#)

Ligamento calcaneonavicular, [514](#)

Ligamento calcaneonavicular plantar, [514-515](#), [523](#)

Ligamento capito-hamato, [441-442](#)

Ligamento carpal palmar, [402](#), [432-433](#), [441](#), [446-447](#), [449](#), [453](#), [464](#)

Ligamento coccígeo, [160](#)

Ligamento colateral radial, [424](#)

Ligamento colateral ulnar, [424](#)

Ligamento conoide, [404](#), [408](#), [411](#)

Ligamento coracoacromial, [408](#), [411](#), [413](#), [417](#)

Ligamento coracoclavicular, [408](#), [411](#)

Ligamento coracoumeral, [408](#)

Ligamento coronário, [277](#), [321](#)

do fígado, [268](#)

ligamento hepatorrenal do, [277](#)

Ligamento costoclavicular, [184](#), [404](#), [412](#)

impressão do, [404](#)

Ligamento costocoracóideo, [412](#)

Ligamento costotransversário, [184](#)

lateral, [184](#)

superior, [184](#)

Ligamento costoxifóideo, [184](#)

Ligamento cricótireóideo, [76](#), [79](#)

mediano, [28](#), [70](#), [76](#), [79](#), [199](#)

Ligamento cuboideonavicular

dorsal, [514](#)

plantar, [515](#)

Ligamento da patela, [468](#), [479-481](#), [488](#), [493-495](#), [498](#), [501-502](#), [506-508](#)

Ligamento de contenção, [85](#)

Ligamento denticulado, [165-166](#)

Ligamento do carpo transverso, [433](#), [441](#), [447](#), [449](#)

Ligamento do martelo

anterior, [95](#)

superior, [95](#)

Ligamento escafoide-capitato, [441](#)

Ligamento escafoide-semilunar, [442](#)

Ligamento escafoide-trapézio-trapezoide, [441](#)

Ligamento escrotal (gubernáculo), [367](#)

Ligamento esfenomandibular, [18](#), [49](#), [51](#)

inferior, [18](#)

Ligamento espiral, [98](#)

Ligamento esplenorrenal (lienorenal), [266](#), [268](#), [282](#), [308](#)

Ligamento esternocostal intra-articular, [184](#)

Ligamento esternocostal radiado, [184](#), [404](#)

Ligamento estilo-hióideo, [15](#), [59](#), [65](#), [68](#), [70](#)

Ligamento estilomandibular, [15](#), [18](#)

inferior, [18](#)

Ligamento falciforme, [7](#), [249](#), [263](#), [268-269](#), [277](#)

do fígado, [251](#), [292](#)

Ligamento frenicoesofágico, [232](#)

Ligamento frenocólico, [266](#), [268](#)

Ligamento fundiforme, [245](#), [255](#), [344](#)

Ligamento gastrocólico, [266](#)

lâminas anteriores do, [266](#)

lâminas posteriores do, [266](#)

Ligamento gastroesplênico (gastrolienal), [266-267](#), [282](#)

Ligamento gastrofrênico, [266](#), [268](#), [308](#)

Ligamento glenoumeral

inferior, [408](#)

médio, [408](#)

superior, [408](#)

Ligamento hepatoduodenal, [266-267](#), [269](#), [278](#)

seção transversal do, [325](#)

Ligamento hepatogástrico, [267](#), [269](#), [278](#)

Ligamento hioepiglótico, [64](#), [79](#)

Ligamento iliofemoral, [474](#), [483](#), [491](#)

Ligamento iliolumbar, [158](#), [309](#), [333](#)

Ligamento inguinal (de Poupart), [242](#), [245-247](#), [255-258](#), [329](#), [336](#), [355](#), [358-359](#), [385](#), [468](#), [470](#), [472](#), [479](#), [485](#), [488](#)

refletido, [246-247](#), [255](#)

Ligamento intercarpal dorsal, [442](#)

Ligamento interclavicular, [184](#), [404](#)

Ligamento interespinal, [158-159](#)

Ligamento interfoveolar, [249](#)

Ligamento intertransversário, [184](#)

Ligamento intraarticular da cabeça da costela, [184](#)

Ligamento isquiofemoral, [474](#), [491](#)

Ligamento lacunar (de Gimbernat), [246-247](#), [249](#), [255](#), [257-258](#), [472](#)

Ligamento largo, [313](#), [340-342](#), [350](#), [367](#)

lâmina anterior, [353](#)

lamina posterior do, [353](#)

mesométrio do, [352](#)

mesosalpinge do, [342](#), [352](#)

mesovário do, [352](#)

Ligamento lateral

da bexiga urinária, [343](#)

do tornozelo, [514](#)

Ligamento lombocostal, [309](#)

Ligamento longitudinal

anterior, [22](#), [64-65](#), [158-159](#), [176](#), [184](#), [333](#), [341](#), [345](#)

posterior, [23](#), [158-159](#)

Ligamento meniscofemoral, posterior, [495-496](#)

Ligamento nugal, [22](#), [152](#)

Ligamento palpebral

lateral, [83](#), [85](#)

medial, [83](#), [85](#)

Ligamento pectíneo (de Cooper), [246-247](#), [249](#), [255](#), [257-258](#)

Ligamento piso-hamato, [441](#)

Ligamento pisometacarpal, [441](#)

Ligamento poplíteo

arqueado, [495](#), [497-498](#)

oblíquo, [495](#), [497-498](#)

Ligamento púbico inferior, [243](#), [330](#), [336-339](#), [343-344](#), [346](#), [355](#), [361](#)

Ligamento pubofemoral, [474](#)

Ligamento pulmonar, [195-196](#), [205](#), [227-228](#)

Ligamento quadrado, [424](#)

Ligamento radiado da cabeça da costela, [184](#)

Ligamento radiocarpal dorsal, [442](#)

Ligamento radioescafo-capitato, [441](#)

Ligamento rádiosemilunar curto, [441](#)

Ligamento rádiosemilunar longo, [441](#)

Ligamento rádiosemilunar palmar, [441](#)

Ligamento radiulnar dorsal, [442](#)

Ligamento redondo

do fígado, [249](#), [269](#), [277-278](#), [292](#), [313](#)

seção transversal do, [328](#)

do útero, [260](#), [340-342](#), [350-351](#), [353](#), [355](#), [367](#), [378](#), [382](#)

parte terminal do, [350](#)

veias paraumbilicais no, [252](#)

Ligamento retouterino, [342](#)

Ligamento sacrococcígeo

anterior, [333](#), [336](#), [338](#), [343-344](#)

lateral, [158](#), [333-334](#)

posterior, [158](#), [334](#)

profundo, [333](#)

superficial, [333](#)

Ligamento sacroespinal, [158](#), [333-335](#), [337](#), [339](#), [388](#), [482](#), [490](#)

Ligamento sacroilíaco

anterior, [333](#)

posterior, [158](#), [333-334](#)

Ligamento sacrotuberal, [158](#), [333-335](#), [337](#), [339](#), [356](#), [374](#), [380](#), [388-389](#), [391](#), [396](#), [482](#), [489-490](#)

Ligamento supraespinal, [22](#), [158-159](#), [176](#), [333-334](#)

Ligamento suspensor

da axila, [412](#)

da lente, [89](#)

da mama, [179](#)

diafragmática, [364](#)

do clitóris, [355-357](#)

do ovário, [340-343](#), [352-353](#), [367](#), [378](#)

do pênis, [246](#), [344](#)

Ligamento talocalcâneo, [513](#)

lateral, [514](#)

medial, [514](#)

posterior, [514](#)

Ligamento talocalcâneo Interósseo, [514](#)

Ligamento talofibular

anterior, [501](#), [514](#)

posterior, [501](#), [514](#)

Ligamento talonavicular dorsal, [514](#)

Ligamento tibiofibular

anterior, [501](#), [514](#)

posterior, [514](#)

Ligamento tireoepiglótico, [79](#)

Ligamento transverso

do atlas, [23](#)

do joelho, [496](#)

Ligamento transverso do acetábulo, [334](#), [474](#)

Ligamento transverso do colo do útero (cardinal) (de Mackenrodt), [342-343](#), [350-351](#)

Ligamento transverso do períneo, [336](#), [343-344](#), [346](#), [355](#), [361](#), [383](#)

espessamento anterior do, [338](#)

Ligamento transverso do úmero, [408](#)

Ligamento transverso superior da escápula, [408](#), [410-411](#), [413-414](#)

Ligamento trapézio-capitato, [441-442](#)

Ligamento trapézio-trapezoide, [441-442](#)

Ligamento trapezoide, [404](#), [408](#), [411](#)

Ligamento triangular

direito, [268](#), [277](#)

esquerdo, [268](#), [277](#)

Ligamento ulnocarpal palmar, [441](#)

Ligamento umbilical

medial, [226](#), [245](#), [249](#), [255-257](#), [259](#), [313-314](#), [341](#), [343](#), [345](#), [378](#), [380-381](#)

mediano, [256-257](#), [321](#), [341](#), [343](#), [345-346](#), [378](#), [381](#)

Ligamento útero-ovárico, [340](#), [343](#), [351-352](#)

Ligamento venoso, [226](#)

fissura para o, [277](#)

Ligamento vocal, [79-80](#)

Ligamentos

da pelve, [333-334](#)

do punho, [441-442](#)

do cotovelo, [424](#)

do tornozelo, [514](#)

Ligamentos alares, [23](#)

Ligamentos anulares, [199](#)

Ligamentos capsulares, [408](#)

Ligamentos carpometacarpais palmares, [445](#)

Ligamentos colaterais, [445](#), [451](#), [496](#)

acessório, [445](#)

do pé, [515](#)

fibular, [480-481](#), [493-496](#), [498](#), [501](#), [504-506](#), [508](#)

lateral, [497](#)

radial, [424](#)

tibial, [480](#), [493-498](#), [501](#), [504-505](#), [507-508](#)

ulnar, [424](#)

Ligamentos craniocervicais

externos, [22](#)

internos, [23](#)

Ligamentos cruzados, [23](#), [494](#), [496](#)

anterior, [495-496](#), [501](#)

fixações do, [495](#)

fixações do, [495](#)

posterior, [495-496](#), [501](#)

Ligamentos cuneonaviculares

dorsal, [514](#)

plantar, [515](#)

Ligamentos fasciais, do útero, [351](#)

Ligamentos Intercarpais interósseos, [442](#)

Ligamentos Intercuneiformos dorsais, [514](#)

Ligamentos interfalângicos, [445](#)

Ligamentos metacarpais

palmares, [445](#)

transverso profundo, [445](#), [452](#)

transverso superficial, [402](#), [446](#)

Ligamentos metacarpofalângicos, [445](#)

Ligamentos metatarsais

dorsal, [514](#), [523](#)

transversal profundo, [515](#), [523](#)

transversal superficial, [519](#)

Ligamentos metatarsais plantares, [515](#), [523](#)

Ligamentos palmares, [445](#), [448](#), [451](#), [458](#)

Ligamentos pélvicos, [353](#)

Ligamentos plantares, [515](#), [523](#)

curto, [514](#)

do pé, [515](#)

longo, [514-515](#), [523](#)

Ligamentos tarsometatarsais

dorsal, [514](#), [523](#)

plantar, [515](#)

Ligamentos vertebrais

região lombar, [159](#)

região lombossacral, [158](#)

Limbo (margem do acetábulo), [333-334](#), [338](#)

Limbo da córnea, [83](#)

Limiar (límen), da insula, [106](#)

Limiar do nariz (nasal), [36](#)

Linfonodo axilar, [412](#)

anterior, [181-182](#)

apical, [181-182](#)

central, [181-182](#)

lateral, [181-182](#), [403](#)

posterior, [181-182](#)

Linfonodo cístico, [294](#)

Linfonodo deltopeitoral, [403](#)

Linfonodo do promontório, [316](#), [384](#), [386](#)

Linfonodo inguinal

profundo, [384-386](#), [472](#)

superficial, [261](#), [296](#), [384-386](#), [472](#)

superior, [261](#), [384-386](#)

Linfonodo inguinal profundo mais superior (de Cloquet ou Rosenmüller), [261](#)

Linfonodo intercalado, [74-75](#)

Linfonodo jugulo-omo-hióideo, [74-75](#)

Linfonodo jugulodigástrico, [74-75](#)

Linfonodo nasolabial, [74](#)

Linfonodo obturatório, [384](#)

Linfonodos

da bexiga urinária, [316](#)

da cabeça e do pescoço, [74](#)

da faringe e da língua, [75](#)

da genitália

feminina, [384](#)

masculina, [386](#)

da glândula mamária, [181](#)

da parede posterior do abdome, [261](#)

da pelve

feminina, [384](#)

masculina, [386](#)

do esôfago, [235](#)

do estômago, [293](#)

do intestino delgado, [295](#)

do intestino grosso, [296](#)

do membro inferior, [472](#)

do membro superior, [403](#)

do pâncreas, [294](#)

do períneo, no sexo feminino, [385](#)

do pulmão, [205](#)

dos rins, [316](#)

no canal femoral, [257](#)

seção transversal dos, [328](#), [397](#)

Linfonodos aórticos laterais, [261](#), [316](#), [384](#)

Linfonodos apendiculares, [296](#)

Linfonodos broncopulmonares (“hilares”), [196](#), [205](#), [227-228](#)

Linfonodos celíacos, [235](#), [261](#), [293-295](#)

Linfonodos cervicais

anteriores profundos, [74](#)

anteriores superficiais, [74](#)

cadeia transversal, [74](#)

inferiores profundos, [205](#), [235](#)

laterais profundos inferiores, [74](#)

laterais profundos superiores, [74](#)

laterais profundos, [75](#)

lateral superficiais posteriores, [74](#)

lateral superficiais superiores, [74](#)

Linfonodos cervicais profundos inferiores, [205](#), [235](#)

Linfonodos cólicos

direitos, [296](#)

esquerdos, [296](#)

médio, [296](#)

Linfonodos cubitais, [403](#)

Linfonodos da face, [74](#)

Linfonodos esplênicos, [293-294](#)

Linfonodos esternocleidomastóideos, [74](#)

Linfonodos frênicos

inferior, [261](#)

justaesofágicos, [235](#)

superior, [235](#)

trajeto para os, [181](#)

Linfonodos gástricos, [235](#), [293-294](#)

Linfonodos gastromentais, [293](#)

Linfonodos hepáticos, [293-294](#)

Linfonodos ileocólicos, [296](#)

Linfonodos ilíacos

comum, [261](#), [296](#), [316](#), [384](#), [386](#)

externo, [261](#), [296](#), [316](#), [386](#), [472](#)

lateral, [384](#)

medial, [384](#)

interno, [261](#), [296](#), [316](#), [384](#), [386](#)

Linfonodos intercostais, [235](#)

Linfonodos interpeitorais (de Rotter), [181-182](#)

Linfonodos intrapulmonares, [205](#)

Linfonodos jugulares

anteriores, [74](#)

externos, [74](#)

internos, [74-75](#)

Linfonodos lombares, [261](#), [384](#)

Linfonodos mandibulares, [74](#)

Linfonodos mastóideos, [74](#)

Linfonodos mesentéricos

inferiores, [261](#), [296](#)

superiores, [261](#), [293-296](#)

Linfonodos occipitais, [74](#)

Linfonodos pancreaticoduodenais, [294](#)

Linfonodos pancreáticos, [294](#)

direito superior, [293](#)

Linfonodos paracólicos, [296](#)

Linfonodos paraesternais, [181-182](#)

Linfonodos paratraqueais, [235](#)

direito, [205](#)

esquerdo, [205](#)

Linfonodos parietais posteriores, [235](#)

opérculo parietal, [106](#)

peritônio parietal, [257](#), [265](#), [267-268](#), [321](#), [341](#), [344-346](#), [348](#)

parte diafragmática do, [306](#)

seção transversal do, [328](#)

Linfonodos parotídeos

superficiais, [74](#)

Linfonodos parotídeos profundos, [74](#)

Linfonodos pilóricos, [294](#)

Linfonodos poplíteos, [472](#)

Linfonodos pré-aórticos, [296](#), [384](#), [386](#)

Linfonodos pré-cecais, [296](#)

Linfonodos pré-traqueais, [76](#)

Linfonodos retais

médios, [296](#)

superiores, [296](#)

Linfonodos retrofaríngeos, [75](#)

Linfonodos sacrais, [384](#), [386](#)

lateral, [261](#)

mediano, [261](#), [386](#)

Linfonodos sigmóideos, [296](#)

Linfonodos submandibulares, [74-75](#)

Linfonodos submentuais, [74-75](#)

Linfonodos subpilóricos, [293](#)

Linfonodos supra-hióideos, [74](#)

Linfonodos supraclaviculares, [74](#)

Linfonodos suprapilóricos, [293](#)

Linfonodos tireóideos superiores, [74](#)

Linfonodos vesicais laterais, [316](#)

Linfonodos viscerais (pré-aórticos), [261](#)

Língua, [38](#), [46-47](#), [59-60](#), [68](#)

ápice da, [60](#)

corpo da, [43](#), [60](#), [64](#)

dorso da, [60](#)

folículos linfáticos da, [60](#)

frênulo da, [46](#), [56](#)

glândulas linguais, [60](#)

glândulas mucosas da, [60](#)

inervação da, [119](#)

linfonodos e vasos linfáticos da, [75](#)

músculo longitudinal

inferior, [47](#), [151](#)

superior, [47](#), [151](#)

músculo longitudinal inferior da, [59](#)

músculo transverso da, [151](#)

músculo vertical da, [151](#)

músculos intrínsecos da, [60](#), [129](#)

longitudinal inferior, [129](#)

longitudinal superior, [129](#)

transversal, [129](#)

vertical, [129](#)

papilas gustativas da, [60](#)

raiz da, [60](#), [64](#), [66-67](#), [69](#), [80](#)

Língua, [17](#), [58](#), [196](#)

do lobo superior, do pulmão esquerdo, [195](#)

do verme do cerebelo, [114](#), [116](#)

Linha alba, [7](#), [178](#), [185](#), [242](#), [245-246](#), [254-255](#), [329](#), [341](#), [345](#)

seção transversal da, [328](#)

Linha anocutânea, [370](#)

Linha anocutânea, [370-372](#)

Linha arqueada, [243](#), [247](#), [249](#), [251](#), [255](#), [330](#), [334-335](#), [338](#), [473](#)

do ílio, [336](#)

Linha de Schwalbe, [90](#)

Linha de Shenton, [530](#)

Linha em ziguezague, [232](#), [270](#)

Linha espinoumbilical, [275](#)

Linha iliopectínea, [370](#)

Linha intertrocantérica, [474](#)

Linha medioclavicular

direita, [244](#)

esquerda, [244](#)

Linha milo-hióidea, [17](#)

Linha nugal

inferior, [10](#), [16](#)

superior, [10](#), [16](#), [171-173](#)

Linha pectínea, [243](#), [330](#), [334](#), [473](#)

Linha pectínea do púbis, [243](#), [330](#), [334](#), [338](#), [473](#)

Linha semilunar, [242](#), [329](#)

direita, [244](#)

esquerda, [244](#)

Linha temporal

inferior, [6](#)

superior, [6](#)

Linha terminal, [157](#), [350](#)

da pelve, [343](#), [345](#)

Linhas glúteas

anterior, [334](#), [473](#)

inferior, [334](#), [473](#)

posterior, [334](#), [473](#)

Líquido cerebrospinal, circulação do, [110](#)

Lobo flóculo-nodular, [114](#)

Lobo frontal, [106](#)

Lobo insular (ilha de Reil), [106](#), [111](#), [142](#)

giro longo da, [106](#)

giros curtos da, [106](#)

límen da, [106](#)

sulco central da, [106](#)

sulco circular da, [106](#)

Lobo occipital, [106](#)

projecção sobre o, [121](#)

Lobo piramidal, [76](#)

Lobo piriforme, [120](#)

Lobo temporal, [106](#), [115](#), [142](#)

imagem do, [151](#)

Lóbulo, [1](#), [201](#)

biventre, [114](#)

central, [114](#), [116](#)

da orelha, [95](#)

intraparietal, [106](#)

paracentral, [107](#)

parietal inferior

giro angular do, [106](#)

giro supramarginal do, [106](#)

quadrangular, [114](#)

semilunar

inferior, [114](#)

superior, [114](#)

simples, [114](#)

Locus ceruleus, [116](#)

Lúnula, [458](#)

Lúnula da válvula semilunar, [220](#)

Luz (cavidade), [305](#)

M

Mácula lútea, [89](#), [92](#)

Maléolo

lateral, [468](#), [500-501](#), [503-508](#), [517-518](#), [531](#)

medial, [468](#), [500-501](#), [503-505](#), [507-508](#), [516-518](#), [531](#)

Mama

drenagem linfática da, [182](#)

ligamento suspensor da, [179](#)

via de/para lado oposto, [181](#)

Mandíbula

, [4](#), [6](#), [15](#), [26](#), [64](#)

ângulo da, [1](#), [15](#), [17](#), [66](#)

base da, [17](#)

bucinador, crista do, [70](#)

cabeça da, [17](#)

colo da, [17](#), [42](#)

corpo da, [4](#), [6](#), [15](#), [17](#), [29](#), [43](#)

espinhas genianas da, [17](#)

forame da mandíbula, [17](#)

forame mental da, [4](#), [6](#), [17](#)

fossa digástrica da, [17](#)

fossa retromolar da, [17](#)

fossa sublingual da, [17](#)

fossa submandibular, [17](#)

fóvea pterigoidea da, [17](#)

incisura da mandíbula, [6](#), [17](#)

indivíduo idoso, [17](#)

línghula da, [17](#)

linha milohióidea da, [17](#)

linha oblíqua da, [6](#), [17](#), [70](#)

parte alveolar, [17](#)

processo condilar da, [15](#), [17](#)

 cabeça da, [6](#)

cabeça da da, [7](#)

processo coronoide da, [6-7](#), [15](#), [17](#), [42](#)

protuberância mental da, [1](#), [4](#), [17](#)

ramo da, [4-6](#), [15](#), [17](#), [24](#), [29](#), [47](#)

 inserção do músculo temporal no, [6](#)

septos interalveolares da, [17](#)

sulco milohióideo da, [17](#)

tubérculo mental da, [4](#)

Manguito rotador, [411](#)

Manúbrio do esterno, [26-27](#), [29](#), [64](#), [183-184](#), [187](#), [195](#), [238-239](#), [404](#)

Mão

artérias da, [453](#)

bainhas tendíneas da, [450](#)

bolsas da, [450](#)

disseção dorsal profunda da, [456](#)

dissecação dorsal superficial da, [455](#)

dissecação radial superficial da, [454](#)

dissecções palmares

 profunda, [447](#)

 superficial, [446](#)

espaços da, [450](#)

fáscia da, [450](#)

músculo intrínsecos da, [452](#)

nervos cutâneos da, [459](#), [463-464](#)

nervos da, [453](#)

ossos da, [443](#)

radiografias da, [444](#)

vasos linfáticos passando no dorso da, [403](#)

Margem “vermelhona”, [1](#)

Margem infraorbital, [1](#)

Martelo, [94-95](#), [98](#)

cabeça do, [95](#), [125](#)

cabo do, [95-96](#)

ligamento anterior do, [95](#)

ligamento superior do, [95](#)

processo lateral do, [95](#)

Mastigação, músculos da, [48-49](#)

inervação dos, [119](#)

Matriz da unha, [458](#)

Maxila, [4](#), [6](#), [8](#), [10](#)

canal incisivo da, [8](#), [37-38](#)

crista nasal da, [38](#)

espinha nasal anterior, [4](#), [6](#), [8](#), [37](#)

espinha nasal da, anterior, [35](#), [38](#)

forame infra-orbitais da, [4](#), [6](#)

fossa incisiva da, [10](#)

no recém-nascido, [14](#), [45](#)

processo alveolar da, [4](#), [6](#), [8](#), [16](#), [37](#), [43](#)

processo frontal da, [4](#), [6](#), [35](#), [37](#), [83](#)

processo palatino da, [7-8](#), [10](#), [16](#), [36-38](#), [57](#), [62](#), [100](#)

processo zigomático da, [4](#), [10](#)

superfície infratemporal da, [6](#)

superfície nasal da, [8](#)

superfície orbital da, [4](#)

sutura intermaxila, [10](#)

tuberosidade da, [6](#), [16](#)

Meato acústico

externo, [6](#), [10](#), [15](#), [94-95](#), [98](#)

interno, [8](#), [13](#), [94](#), [124-125](#)

Meato nasal

inferior, [36](#), [43](#), [84](#)

médio, [36](#), [43](#)

abertura no, [44](#)

átrio do, [36](#)

no recém-nascido, [45](#)

superior, [36](#)

no recém-nascido, [45](#)

Mediastino

anterior, [191](#)

área do pulmão no, [196](#)

seção transversal do, [213](#)

superior, grandes vasos do, [203](#)

vista lateral da

direita, [227](#)

esquerda, [228](#)

Mediastino do testículo, [368](#)

Medula espinal, [53](#), [238-239](#), [319](#)

artérias da

distribuição intrínseca de, [168](#)

esquema da, [167](#)

canal central da, [109-110](#), [116](#), [118](#)

coluna posterior da, [165](#)

substância cinzenta da, [165-166](#)

tratos descendentes da, [207](#)

Medula espinal, parte torácica, [134-135](#), [207](#), [303](#)

Medula espinal, parte tóraco-lombar da, [303](#)

coluna anterior da, [165](#)

coluna lateral da, [165-166](#), [319](#)

imagem da, [151](#)

in situ, [160](#)

parte lombar da, [395](#)

parte sacral da, [303](#), [395](#)

parte torácica da, [133](#), [207](#), [304](#), [306-307](#)

parte toracolombar da, [303](#)

pia-máter sobrejacente, [165](#)

radiografia da, [156](#)

substância branca da, [165](#)

término da, [161](#)

veias da, [169](#)

Medula espinhal, parte sacral, [303](#)

Membrana atlantoccipital

anterior, [22](#), [64-65](#)

posterior, [22](#)

Membrana costocoracóidea, [412](#)

Membrana do períneo, [249](#), [258](#), [321](#), [335](#), [339-340](#), [344](#), [346](#), [348](#), [350](#), [355-357](#), [359-362](#), [373-374](#), [382-383](#), [389](#)

espessamento anterior da, [343-344](#), [346](#)

vista superior da, [381](#)

Membrana intercostal

externa, [177](#), [185-186](#), [188](#), [254](#), [413](#)

interna, [177](#), [188](#), [227-228](#), [254](#), [413](#)

Membrana interóssea, [425](#), [429](#), [436](#), [441](#), [497-499](#), [505](#), [508-510](#)

Membrana obturadora, [334](#), [350](#), [474](#)

Membrana sinovial, [408](#), [424](#), [458](#), [491](#), [494-495](#)

do joelho, [498](#)

fixações da, [495](#)

protrusão da, [474](#)

Membrana suprapleural (fáscia de Sibson), [228](#)

Membrana tectória, [23](#), [98](#)

parte mais profunda, [23](#)

Membrana timpânica, [94-96](#), [98](#)

Membrana tireo-hióidea, [28](#), [64](#), [67](#), [69-70](#), [76](#), [78-79](#), [82](#)

Membro inferior

anatomia de superfície do, [468](#)

dermatômos, [469](#)

linfonodos e vasos linfáticos do, [472](#)

movimentos do, [469](#)

nervos superficiais do, [470-471](#)

veias superficiais do, [470-471](#)

Membro superior

artérias do, [460](#)

inervação cutânea do, [400](#)

dermatômos do, [399](#)

linfonodos e vasos linfáticos do, [403](#)

nervos do, [460-461](#)

anatomia de superfície do, [398](#)

Meninges, [13](#), [101](#), [103](#)

artérias para, [137](#)

Meninges espinais, [304](#)

Menisco, [442](#)

lateral, [494-496](#), [498](#)

fixação dos cornos do, [495](#)

medial, [494-496](#)

fixação dos cornos do, [495](#)

Mesencéfalo, imagens do, [151](#)

Mesentério, [176](#), [265](#), [272](#), [321](#)

camadas peritoniais do, [305](#)

raiz do, [268](#), [271](#), [281](#), [313](#), [341](#), [345](#)

seção transversal do, [328](#)

Mesoapêndice, [273](#), [275](#), [301](#)

Mesocolo

sigmoide, [265](#), [268](#), [276](#), [288](#), [308](#), [313](#), [369](#)

transverso, [263-268](#), [271](#), [276](#), [281](#), [288](#), [290](#), [308](#), [321](#)

fixação do, [281-282](#)

Mesométrio (do ligamento largo), [352](#)

Mesossalpinge

do ligamento largo do útero, [342](#), [352](#)

lâminas do, [353](#)

Mesovário, [350](#)

do ligamento largo do útero, [352](#)

lâminas do, [353](#)

Metáfise, ramos de nutrientes para, [458](#)

Miométrio, [352](#)

Modíolo do ângulo da boca, [25](#)

da cóclea, [98](#)

Monte do púbis, [354](#)

Mucosa, [305](#)

do duodeno, [272](#)

do esôfago, [69](#), [232](#)

do estômago, [270](#)

do íleo, [272](#)

do intestino grosso, [276](#)

olfatória, [120](#)

distribuição da, [39](#)

Mucosa do estômago, pregas longitudinais da, [270](#)

Musculatura anorretal, [372](#)

Músculo(s)

anorretais, [372](#)

da coxa, [479-480](#)

fixações dos, [477-478](#)

vista lateral, [481](#)

vista posterior, [482](#)

da face, [25](#), [47](#), [124](#)

inervação dos, [119](#)

da faringe

corte sagital, [65](#)

vista lateral, [70](#)

parede posterior parcialmente aberta, [67](#)

da laringe, [80](#)

ação dos músculo intrínsecos, [81](#)

da língua, [60](#), [129](#)

longitudinal inferior, [129](#)

longitudinal superior, [129](#)

transverso, [129](#)

vertical, [129](#)

da mão, [452](#)

da mastigação, [48-49](#)

inervação dos, [119](#)

da perna

dissecação média, [504](#)

dissecação profunda, [505](#), [508](#)

dissecção superficial, [503](#), [507](#)

fixações dos, [502](#)

vista lateral dos, [506](#)

da região plantar

primeira camada, [520](#)

segunda camada, [521](#)

terceira camada, [522](#)

do antebraço

camada intermédia, [433](#)

camada profunda, [431](#), [434](#)

camada superficial, [430](#), [432](#)

extensores do punho e dos dedos, [427](#)

fixações dos, [437-438](#)

flexores do punho, [428](#)

flexores dos dedos, [429](#)

rotadores do rádio, [426](#)

do braço

vista anterior de, [417](#)

vista posterior, [418](#)

do dorso

camadas intermédia, [172](#)

camadas profunda, [173](#)

camadas superficial, [171](#)

do dorso do pé, [517](#)

do duodeno, [272](#)

do esôfago, [231](#)

do intestino grosso, [276](#)

do manguito rotador, [411](#)

do olho, extrínsecos, [86](#)

do ombro, [409](#)

do palato mole, [65](#)

do pescoço

escalenos e pré-vertebrais, [30](#)

infra-hióideos e supra-hióideos, [28](#)

vista anterior dos, [27](#)

vista lateral, [29](#)

do quadril

fixações dos, [477-478](#)

vista lateral, [481](#)

vista posterior, [482](#)

Músculo (liso) tarsal superior (de Müller), [83](#)

Músculo abaixador do ângulo da boca, [25](#), [48](#), [124](#)

Músculo abaixador do lábio inferior, [25](#), [48](#), [124](#), [151](#)

Músculo abaixador do septo nasal, [25](#), [35](#), [124](#), [151](#)

Músculo abdutor curto do polegar, [427](#), [430](#), [449](#), [452-453](#), [463](#), [467](#)

Músculo abdutor do dedo mínimo, [449](#), [452](#), [457](#), [464](#), [467](#), [516](#), [518](#), [520-523](#), [528](#), [531](#)

nervo para o, [521](#)

Músculo abdutor do hálux, [516](#), [518](#), [520-523](#), [528](#), [531](#)

Músculo abdutor longo do polegar, [427](#), [430-431](#), [436-438](#), [466-467](#)

area radial para o, [425](#)

Músculo adutor curto, [477-478](#), [480](#), [488](#), [492](#), [526](#), [531](#)

Músculo adutor do hálux, [522-523](#), [528](#), [531](#)

Músculo adutor do polegar, [447](#), [449-450](#), [453](#), [464](#), [467](#)

fáscia do, [450](#)

Músculo adutor longo, [396](#), [477-480](#), [487-488](#), [492](#), [526](#), [531](#)

Músculo adutor magno, [468](#), [477-478](#), [480](#), [482](#), [487-489](#), [492](#), [499](#), [509](#), [526-527](#), [531](#)

adutor mínimo, parte do, [480](#), [482](#), [489](#)

Músculo ancôneo, [406](#), [418](#), [430-431](#), [436](#), [438](#), [465-467](#)

nervo para o, [418](#)

Músculo aritenóideo

ação do, [81](#)

ação do, [81](#)

oblíquo, [67](#), [69](#), [80](#), [82](#), [151](#)

parte ariepiglótica do, [80](#), [82](#)

transversal, [64](#), [67](#), [69](#), [80](#), [82](#), [151](#)

Músculo articular do joelho, [477](#), [492](#), [494](#), [498](#), [525](#), [531](#)

Músculo auricular

anterior, [25](#), [151](#)

inervação do, [119](#)

posterior, [25](#), [151](#)

superior, [25](#), [151](#)

Músculo bíceps braquial, [178](#), [239-240](#), [398](#), [405](#), [409-410](#), [412-413](#), [415](#), [417](#), [419](#), [421](#), [432-434](#), [437-438](#), [460](#), [462](#), [467](#)

Músculo bíceps femoral, [468](#), [477-478](#), [481-482](#), [489-490](#), [492-493](#), [497](#), [502-503](#), [506](#), [527](#), [531](#)

Músculobraquial, [405-406](#), [415](#), [417](#), [419](#), [421](#), [432-434](#), [437](#), [460](#), [462](#), [465](#), [467](#)

inserção do, [424](#)

Músculo braquiorradial, [398](#), [405](#), [417-419](#), [421](#), [430-433](#), [436-438](#), [460](#), [465](#)

Músculo bucinador, [25](#), [43](#), [46-50](#), [57](#), [65](#), [70](#), [72](#), [124](#), [151](#)

Músculo bulboesponjoso, [321](#), [344](#), [348](#), [350](#), [355-357](#), [359](#), [361](#), [373-374](#), [382-383](#), [395](#), [397](#)

Músculo ciliar, [89-90](#), [122](#), [133](#), [151](#)

fibras circulares, [90](#)

fibras meridionais do, [90](#)

inervação, [119](#)

Músculo compressor da uretra, [335](#), [350](#), [356-357](#), [382](#), [397](#)

crescimento do, [347](#)

Músculo constritor da faringe, [64](#), [82](#)

inferior, [29](#), [65](#), [67](#), [69-70](#), [77-78](#), [82](#), [127](#), [151](#), [231](#)

médio, [29](#), [59](#), [65](#), [67-70](#), [77](#), [127](#), [151](#)

parte cricofaríngea do, [69](#), [230-231](#)

superior, [47](#), [49](#), [51](#), [57](#), [59](#), [65](#), [67-70](#), [72](#), [77](#), [127](#), [151](#)

parte glossofaríngea do, [59](#), [65](#)

Músculo coracobraquial, [239-240](#), [405](#), [410](#), [412-413](#), [415](#), [417](#), [419](#), [421](#), [460](#), [462](#), [467](#)

Músculo corrugador da pele anal, [371-372](#)

Músculo corrugador do supercílio, [25](#), [124](#), [151](#)

Músculo cremaster, [247](#), [256](#), [365](#), [397](#)

no funículo espermático, [253](#), [256](#)

origem lateral, [246](#), [255](#)

origem medial, [246](#), [255](#)

Músculo cricoaritenóideo

ação do, [81](#)

ação do, [81](#)

lateral, [80](#), [82](#), [151](#)

posterior, [67](#), [69](#), [80](#), [82](#), [151](#)

Músculo cricótireóideo, [28](#), [70](#), [76](#), [80](#), [82](#), [127](#), [151](#)

ação do, [81](#)

parte oblíqua do, [80](#)

parte reta do, [80](#)

Músculo da úvula, [57](#), [151](#)

Músculo deltoide, [27](#), [29](#), [152](#), [171](#), [174](#), [178](#), [214](#), [238-240](#), [398](#), [404-406](#), [408-410](#), [412-413](#), [415](#), [417-419](#), [421](#), [460](#), [465](#), [467](#)

Músculo digástrico, [27](#), [151](#)

incisura mastoidea, para o, [10](#)

inervação do, [119](#)

por transparência, [34](#)

ventre anterior do, [28-29](#), [31](#), [34](#), [43](#), [46](#), [50](#), [58](#), [70](#)

ventre posterior fazer, [27-29](#), [34](#), [46-47](#), [50-51](#), [58-59](#), [67](#), [70](#), [75](#), [124](#)

inervação do, [119](#)

nervo para o, [24](#)

Músculo dilatador da pupila, [90](#), [122](#), [133](#), [151](#)

Músculo escaleno, [27-28](#), [30](#)

anterior, [26](#), [29-33](#), [71-73](#), [76](#), [151](#), [186-187](#), [190](#), [195](#), [203](#), [208](#), [214](#), [227-229](#), [413-415](#)

feixes de origem do, [30](#)

comunicação com o plexo cervical, [33](#)

inervação do, [416](#)

médio, [26](#), [29-30](#), [32](#), [71-73](#), [151](#), [186](#), [413](#)

nervos para o, [130](#)

posterior, [26](#), [29-30](#), [151](#), [186](#), [229](#), [413](#)

feixes de origem do, [30](#)

Músculo esfíncter da pupila, [90](#), [122](#), [133](#), [151](#)

inervação do, [119](#)

Músculo esfíncter do ânus

externo, [276](#), [303](#), [321](#), [335](#), [340](#), [346](#), [355-356](#), [359-360](#), [370](#), [376](#), [382](#), [397](#)

fixação do, [337](#)

profundo, [344](#), [369](#), [371-374](#)

subcutâneo, [344](#), [369](#), [371-374](#)

superficial, [344](#), [369](#), [371-374](#)

vista perineal do, [373](#)

interno, [370-372](#)

Músculo esfíncter uretrovaginal, [346](#), [350](#), [355-357](#), [397](#)

Músculo espinal, [172](#)

Músculo espinal do pescoço, [172](#)

Músculo espinal do tórax, [172](#)

Músculo esplênio da cabeça, [29](#), [171-172](#), [175](#), [177](#)

Músculo esplênio do pescoço, [171-172](#), [175](#), [177](#)

Músculo estapédio, [55](#), [96](#), [151](#)

eminência piramidal e tendão do, [95](#)

inervação do, [119](#), [124](#)

Músculo esternal (inconstante), [185](#)

Músculo esterno-hióideo, [26-29](#), [31](#), [58](#), [129](#), [151](#), [185](#), [187](#), [195](#), [404](#)

comunicação com plexo cervical, [33](#)

fáscia do, [185](#)

nervos do, [71](#)

Músculo esternocleidomastóideo, [26-27](#), [29](#), [31-32](#), [34](#), [46-47](#), [75](#), [128](#), [130](#), [151](#), [171](#), [175](#), [185](#), [195](#), [404](#), [409-410](#), [415](#)

inervação do, [119](#)

margem medial do, [76](#)

nervo acessório para o, [128](#)

parte clavicular do, [1](#), [178](#)

parte esternal do, [1](#), [178](#)

Músculo esternotireóideo, [26-29](#), [31](#), [82](#), [129-130](#), [151](#), [185](#), [187](#), [195](#)

comunicação com plexo cervical, [33](#)

fáscia do, [185](#)

nervos do, [71](#)

Músculo estilo-hióideo, [27-29](#), [34](#), [42](#), [46-47](#), [50-51](#), [58-59](#), [67](#), [70](#), [124](#)

inervação do, [119](#)

nervos para o, [24](#)

Músculo estilofaríngeo, [47](#), [59](#), [65](#), [67-70](#), [126-127](#), [151](#)

Músculo estiloglosso, [42](#), [47](#), [51](#), [59](#), [65](#), [70](#), [129](#), [151](#)

Músculo extensor curto do hálux, [508](#), [517-518](#), [529](#), [531](#)

Músculo extensor curto do polegar, [431](#), [438](#), [466-467](#)

área radial para o, [425](#)

Músculo extensor curto dos dedos, [506](#), [508](#), [516-518](#), [529](#), [531](#)

Músculo extensor do indicador, [427](#), [431](#), [436](#), [438](#), [466-467](#)

Músculo extensor dos dedos, [418](#), [427](#), [430](#), [436-438](#), [465-467](#)

Músculo extensor longo do hálux, [506-508](#), [510](#), [518](#), [529](#), [531](#)

Músculo extensor longo do polegar, [431](#), [436](#), [438](#), [466-467](#)

área radial para o, [425](#)

Músculo extensor longo dos dedos, [506-508](#), [510](#), [516-518](#), [529](#), [531](#)

Músculo extensor radial curto do carpo, [398](#), [418](#), [427](#), [430-431](#), [436-438](#), [465-467](#)

Músculo extensor radial longo do carpo, [398](#), [405](#), [418](#), [421](#), [427](#), [430-431](#), [436-438](#), [465-467](#)

sulco para o, [425](#)

Músculo extensor ulnar do carpo, [398](#), [427](#), [430](#), [436-438](#), [465-467](#)

Músculo fibular curto, [506-508](#), [510](#), [516-518](#), [529](#), [531](#)

Músculo fibular longo, [468](#), [481](#), [493-494](#), [502-504](#), [506-508](#), [510](#), [516](#), [529](#), [531](#)

Músculo fibular terceiro, [502](#), [531](#)

Músculo flexor curto do dedo mínimo, [449](#), [452](#), [464](#), [467](#), [520-523](#), [528](#), [531](#)

Músculo flexor curto do hálux, [520-523](#), [528](#), [531](#)

Músculo flexor curto do polegar, [449](#), [452-453](#), [463-464](#), [467](#)

Músculo flexor curto dos dedos, [516](#), [520-522](#), [528](#), [531](#)

Músculo flexor longo do hálux, [502](#), [505](#), [510](#), [528](#), [531](#)

Músculo flexor longo do polegar, [405](#), [429](#), [433-434](#), [436-437](#), [447](#), [460](#), [463](#), [467](#)
bainha tendínea do, [448](#), [450](#)

Músculo flexor longo dos dedos, [502](#), [505](#), [510](#), [528](#), [531](#)

Músculo flexor profundo dos dedos, [429](#), [434](#), [436-438](#), [460](#), [463-464](#), [467](#)

Músculo flexor radial do carpo, [417](#), [419](#), [428](#), [432](#), [434](#), [436-437](#), [460](#), [463](#), [467](#)

Músculo flexor superficial dos dedos, [429](#), [432-434](#), [436-437](#), [460](#), [463](#), [467](#)

Músculo flexor ulnar do carpo, [398](#), [418](#), [430-434](#), [436-438](#), [460](#), [464](#), [467](#)

Músculo gastrocnêmio, [478](#), [481](#), [489](#), [493-494](#), [502-508](#), [510](#), [527-528](#), [531](#)

cabeça lateral do, [468](#), [482](#), [497-498](#), [503](#)

bolsa subtendínea lateral da, [498](#)

cabeça medial do, [468](#), [482](#), [497-498](#), [503](#)

Músculo gêmeo, [530](#)

inferior, [396-397](#), [477-478](#), [482](#), [489-490](#), [531](#)

nervo para o, [490](#)

superior, [477-478](#), [482](#), [489-490](#), [531](#)

nervo para o, [484](#), [489](#)

Músculo genio-hióideo, [26](#), [43](#), [58-59](#), [64](#), [129-130](#), [151](#)

comunicação com o plexo cervical, [33](#)

Músculo genioglosso, [43](#), [47](#), [59](#), [64](#), [129](#), [151](#)

espinha geniana superior para a origem do, [58](#)

Músculo glúteo máximo, [152](#), [171](#), [174](#), [250](#), [309](#), [339](#), [356](#), [359-360](#), [373-374](#), [388-389](#), [391](#),
[396](#), [468](#), [478](#), [481-482](#), [489-490](#), [492](#), [530-531](#)

Músculo glúteo médio, [152](#), [309](#), [396-397](#), [468](#), [478-479](#), [482-483](#), [487-490](#), [530-531](#)

aponeurose glútea, recobrando o, [250](#)

Músculo glúteo mínimo, [477](#), [482-483](#), [487-490](#), [531](#)

Músculo grácil, [477](#), [480](#), [482](#), [487-489](#), [492-493](#), [497](#), [502-503](#), [526](#), [531](#)

Músculo hioglosso, [28-29](#), [34](#), [47](#), [58-59](#), [68](#), [70](#), [73](#), [129](#), [151](#)

origem do, [58](#)

Músculo ilíaco, [255](#), [258](#), [308](#), [328](#), [343](#), [370](#), [396-397](#), [477](#), [479](#), [483](#), [485-486](#), [491](#), [525](#), [530-531](#)

nervos para o, [484-485](#)

Músculo Iliococcígeo, [335-339](#), [350](#), [373](#)

Músculo iliopsoas, [249](#), [396-397](#), [477-480](#), [487-488](#), [492](#)

Músculo infraespinal, [152](#), [171](#), [177](#), [188](#), [238-240](#), [406](#), [409](#), [411-414](#), [418](#), [465](#), [467](#)

Músculo interespinal do lombo, [173](#), [177](#)

Músculo interespinal do pescoço, [173](#), [177](#)

Músculo isquiocavernoso, [340](#), [348](#), [350](#), [355-357](#), [359-361](#), [369](#), [373](#), [382-383](#), [397](#)

Músculo isquiococcígeo (coccígeo), [258](#), [335-339](#), [380](#), [388-390](#), [397](#), [486](#)

nervo para o, [484](#), [486](#)

Músculo latíssimo do dorso, [152](#), [171](#), [174](#), [176-178](#), [185](#), [241](#), [245-246](#), [250](#), [253-254](#), [309](#), [405-406](#), [409-410](#), [412-413](#), [415](#), [417](#), [419](#), [421](#), [467](#)

digitações da origem costal do, [250](#)

secção transversal do, [324](#), [328](#)

Músculo levantador da costela, [173](#)

Músculo levantador da escápula, [26](#), [29](#), [32](#), [171](#), [174](#), [177](#), [406](#), [409](#), [413-414](#), [465](#), [467](#)

comunicação com plexo cervical, [33](#)

nervos para o, [130](#)

Músculo levantador da pálpebra superior, [83](#), [85-86](#), [88](#), [122](#), [151](#)

inserção do, [83](#)

Músculo levantador do ângulo da boca, [48](#), [124](#), [151](#)

Músculo levantador do ânus, [249](#), [258](#), [276](#), [292](#), [303](#), [321](#), [340](#), [344](#), [348](#), [350](#), [355-356](#), [359-361](#), [369-372](#), [374](#), [380](#), [382](#), [388](#), [396-397](#), [486](#)

arco tendíneo do, [258](#), [335-339](#), [343](#), [346](#), [348](#), [350](#), [356](#), [370](#)

crescimento do, [347](#)

esquerdo, [335](#)

extensões fibromusculares do, [339](#)

fibras musculares do, [338-339](#)

fibras musculares pré-retais (de Luschka) do, [339](#)

margem medial (pilar) do, [339](#)

músculo iliococcigeo do, [335-339](#), [373](#)

músculo pubococcígeo do, [335-339](#), [373](#)

músculo puborretal do, [335](#), [337-339](#), [369](#), [373](#)

nervo para o, [484](#), [486](#)

placa do levantador (rafe mediana) do, [336](#)

rafe mediana do, [337](#)

seção transversal do, [397](#)

Músculo levantador do lábio superior, [25](#), [48](#), [124](#), [151](#)

Músculo levantador do lábio superior e da asa do nariz, [25](#)

Músculo levantador do véu palatino, [42](#), [49](#), [57](#), [65](#), [67-68](#), [70](#), [127](#), [151](#)

 fibras interdigitadas do, [57](#)

 prega do, [66](#)

Músculo longitudinal, [305](#)

 conjunto, [370-372](#)

 da junção anorretal, [339](#)

 do apêndice vermiforme, [275](#)

 do canal anal, [338-339](#)

 do duodeno, [270](#), [280](#)

 do esôfago, [270](#)

 do íleo, [272](#), [274](#)

 do jejuno, [272](#)

 do reto, [371-372](#)

 externo, do estômago, [232](#), [270](#)

 inferior, [47](#), [151](#)

 superior, [47](#), [151](#)

Músculo longo da cabeça, [29-30](#), [42](#), [47](#), [151](#)

 comunicação com plexo cervical, [33](#)

 nervos do, [130](#)

Músculo longo do pescoço, [26](#), [30](#), [151](#), [229](#)

 comunicação com plexo cervical, [33](#)

 inervação do, [416](#)

 nervos para o, [130](#)

Músculo longuíssimo, 172

Músculo longuíssimo da cabeça, 172, 175

Músculo longuíssimo do pescoço, 172

Músculo longuíssimo do tórax, 172

Músculo masseter, 24, 27, 29, 42, 46-48, 151

inserção do, 6

lâmina profunda do, 48

lâmina superficial do, 48

Músculo mental, 25, 48, 124, 151

Músculo milo-hióideo, 27-29, 31, 34, 43, 46-47, 50, 58-59, 64, 70, 151

inervação do, 119

nervo para o, 49-50, 58, 123

rafe mediana entre os, 58

Músculo nasal, 124, 151

parte alar do, 25, 35

parte transversal do, 25, 35

Músculo oblíquo

externo, 7, 171-172, 174, 176, 178-179, 185, 188, 242, 245-247, 249-251, 253-256, 258, 309, 328-329, 341, 345, 409-410, 481

aponeurose do, 7, 245-247, 253, 255, 257, 355, 359

fáscia profunda sobre o, 358

seção transversal do, 326, 328

ventre muscular do, 245

inervação do, 119

inferior, 85-86, 122, 151

interno, 7, 171-172, 176, 185, 246-247, 249-251, 255-256, 258, 309, 328, 341, 345

aponeurose do, 7, 247, 253

no triângulo lombar inferior (de Petit), 171

parte aponeurótica do, 7, 247, 253

seção transversal do, 328

tendão de origem do, 176

superior, [85-86](#), [88](#), [122](#), [151](#)

Músculo oblíquo inferior da cabeça, [172](#), [175](#), [177](#)

Músculo oblíquo superior da cabeça, [172-173](#), [175](#), [177](#)

Músculo obturador externo, [397](#), [477-478](#), [480](#), [488](#), [526](#), [531](#)

Músculo obturador interno, [249](#), [258](#), [335-339](#), [343](#), [346](#), [348](#), [350](#), [361](#), [370](#), [376](#), [380](#), [389](#), [396-397](#), [477-478](#), [482](#), [486](#), [489-490](#), [530-531](#)

nervos para o, [484](#), [486](#), [489-490](#)

seção transversal do, [397](#)

Músculo occipitofrontal

ventre frontal do, [25](#), [35](#), [124](#), [151](#)

ventre occipital do, [25](#), [124](#), [175](#)

Músculo omo-hióideo, [26](#), [28](#), [31](#), [58](#), [151](#), [185](#), [195](#), [405](#), [409](#), [412](#), [415](#)

fáscia do, [185](#)

por transparência, [34](#)

ventre superior, [27-29](#), [31](#), [129-130](#)

comunicação com o plexo cervical, [33](#)

nervos para o, [71](#)

ventre inferior do, [1](#), [27-29](#), [32](#), [129-130](#)

comunicação com o plexo cervical, [33](#)

nervos para o, [71](#)

Músculo oponente do dedo mínimo, [452](#), [464](#), [467](#)

Músculo oponente do polegar, [449](#), [452-453](#), [463](#), [467](#)

Músculo orbicular da boca, [6](#), [25](#), [35](#), [47-48](#), [124](#), [151](#)

Músculo orbicular do olho, [124](#), [151](#)

parte orbital do, [25](#)

parte palpebral do, [25](#), [83](#)

Músculo palatofaríngeo, [47](#), [57](#), [59-60](#), [65](#), [67-69](#), [127](#), [151](#)

Músculo palatoglosso, [47](#), [57](#), [59-60](#), [68](#), [127](#), [151](#)

Músculo palmar curto, [446](#), [464](#), [467](#)

Músculo palmar longo, [428](#), [432](#), [434](#), [436](#), [463](#), [467](#)

Músculo papilar, [213](#), [241](#)

anterior, [217-218](#), [220-222](#)

posterior, [217-218](#), [220-222](#)

Músculo papilar septal, [217](#), [220-221](#)

Músculo pectíneo, [396-397](#), [477-480](#), [487-488](#), [491-492](#), [525](#), [531](#)

Músculo peitoral maior, [27](#), [29](#), [31](#), [179](#), [182](#), [185-186](#), [188](#), [195](#), [213-214](#), [238-242](#), [245-246](#), [398](#), [405](#), [409-410](#), [412](#), [415](#), [417](#), [419](#), [421](#), [467](#)

fáscia do, [412](#)

fascia peitoral e, [179](#), [412](#)

parte abdominal do, [409](#)

parte clavicular do, [178](#), [214](#), [409](#)

parte esternal do, [178](#)

parte esternocostal do, [214](#), [409](#)

Músculo peitoral menor, [182](#), [185-186](#), [195](#), [214](#), [238-241](#), [405](#), [410](#), [412-413](#), [415](#), [417](#), [419](#), [467](#)

fáscia do, [185](#), [412](#)

Músculo petrofaríngeo, [67](#)

Músculo piramidal, [246](#), [256](#), [328](#)

Músculo piriforme, [258](#), [335-338](#), [380](#), [388-389](#), [397](#), [477](#), [482](#), [486](#), [489-490](#), [531](#)

nervo para o, [484](#), [486](#)

Músculo plantar, [478](#), [481-482](#), [489](#), [493](#), [498](#), [502-505](#), [527-528](#), [531](#)

Músculo platisma, [25-27](#), [31](#), [124](#), [151](#)

Músculo poplíteo, [478](#), [482](#), [497-498](#), [502](#), [504-505](#), [528](#), [531](#)

nervos para o, [528](#)

Músculo prócero, [25](#), [35](#), [124](#), [151](#)

Músculo pronador quadrado, [426](#), [434](#), [436-437](#), [450](#), [452](#), [463](#), [467](#)

Músculo pronador redondo, [405](#), [417](#), [419](#), [426](#), [431-434](#), [436-438](#), [460](#), [463](#), [467](#)

Músculo psoas maior, [176](#), [192](#), [255](#), [258-260](#), [262](#), [271](#), [308-309](#), [315](#), [328](#), [341](#), [343](#), [345](#), [378](#), [479](#), [483](#), [485-486](#), [525](#), [530-531](#)

nervos para o, [484-485](#)

origem do, [483](#)

seção transversal do, [327-328](#)

Músculo psoas menor, [258](#), [328](#), [341](#), [345](#), [483](#)

nervos para o, [484-485](#)

origem do, [483](#)

Músculo pterigóideo

lateral, [6](#), [42](#), [49-51](#), [151](#)

medial, [24](#), [42](#), [47](#), [49-51](#), [57](#), [67](#), [71](#), [151](#)

Músculo pubococcígeo, [335-339](#), [350](#), [373](#)

Músculo puborretal, [321](#), [335](#), [337-339](#), [373](#), [397](#)

esquerdo, [335](#)

Músculo quadrado do lombo, [176](#), [192](#), [258-260](#), [262](#), [308](#), [315](#), [328](#), [341](#), [345](#)

seção transversal do, [328](#)

Músculo quadrado femoral, [477-478](#), [480](#), [482](#), [488-490](#), [531](#)

nervo para o, [484](#), [486](#), [490](#)

Músculo quadrado plantar, [521-522](#), [528](#), [531](#)

Músculo quadríceps femoral, [502](#), [525](#)

Músculo redondo maior, [152](#), [171](#), [174](#), [177](#), [239-240](#), [405-406](#), [409-410](#), [412-415](#), [417-419](#), [421](#), [465](#), [467](#)

Músculo redondo menor, [171](#), [174](#), [188](#), [238-239](#), [406](#), [409-414](#), [418](#), [465](#), [467](#)

Músculo reto

inferior, [85-86](#), [122](#), [151](#)

ramos para o, [88](#)

lateral, [85-86](#), [88](#), [151](#)

contenção do, [85](#)

inervação do, [119](#)

nervo abducente e, [122](#)

tendão do, [89](#)

medial, [85-86](#), [88](#), [122](#), [151](#)

contensão do, [85](#)

ramos para o, [88](#)

tendão do, [89](#)

superior, [85-86](#), [88](#), [122](#), [151](#)

tendão, [93](#)

Músculo reto, da cabeça

anterior, [30](#), [42](#), [75](#), [151](#)

comunicação com plexo cervical, [33](#)

nervos para o, [130](#)

lateral, [30](#), [151](#)

comunicação com plexo cervical, [33](#)

nervos, [130](#)

posterior

maior, [172-173](#), [175](#), [177](#)

menor, [172-173](#), [175](#), [177](#)

Músculo reto do abdome, [7](#), [178](#), [185-186](#), [188](#), [242](#), [246-247](#), [249](#), [251](#), [253-256](#), [321](#), [328-329](#), [341](#), [343-345](#), [355](#)

imagens axiais de CT do, [322](#)

imagens sagitais de CT do, [375](#)

seção transversal do, [324](#), [328](#)

Músculo reto femoral, [396-397](#), [468](#), [477](#), [479](#), [481](#), [487-488](#), [492](#), [525](#), [530-531](#)

Músculo retococcígeo, [258](#)

Músculo risório, [25](#), [124](#), [151](#)

Músculo romboide maior, [171](#), [174](#), [177](#), [188](#), [238-240](#), [250](#), [406](#), [409](#), [465](#), [467](#)

Músculo romboide menor, [171](#), [177](#), [406](#), [409](#), [465](#), [467](#)

Músculo salpingofaríngeo, [65](#), [67-68](#), [127](#), [151](#)

Músculo sartório, [396-397](#), [468](#), [477](#), [479](#), [481-482](#), [487-488](#), [492-493](#), [497](#), [502-503](#), [507](#), [525](#), [530-531](#)

Músculo semiespinal da cabeça, [171-173](#), [175](#), [177](#)

Músculo semiespinal do pescoço, [173](#), [175](#), [177](#)

Músculo semimembráceo, [478](#), [481-482](#), [489-490](#), [492-493](#), [497-498](#), [531](#)

bolsa do, [497](#)

Músculo semitendíneo, [468](#), [477-478](#), [482](#), [489-490](#), [492-493](#), [497](#), [502-503](#), [527](#), [531](#)

Músculo serrátil

anterior, [171](#), [177-179](#), [188](#), [214](#), [238-242](#), [245-246](#), [250](#), [253-254](#), [329](#), [398](#), [405](#), [409-410](#),

[413](#), [415](#), [467](#)

digitações do, [185-186](#)

secção transversal do, [324](#)

posterior

inferior, [171-172](#), [176-177](#), [241](#), [250](#), [309](#)

superior, [171-172](#), [177](#), [241](#)

Músculo sóleo, [482](#), [493](#), [502-508](#), [510](#), [516](#), [518](#), [527-528](#), [531](#)

arco do, [482](#)

arco tendíneo do, [504-505](#)

nervos do, [503-504](#)

Músculo subclávio, [151](#), [179](#), [185-186](#), [214](#), [227-228](#), [404](#), [410](#), [412](#), [415](#), [467](#)

fáscia do, [185](#), [412](#)

Músculo subescapular, [177](#), [188](#), [238-240](#), [405](#), [408](#), [410-413](#), [417](#), [419](#), [467](#)

Músculo supinador, [405](#), [426](#), [431](#), [433-434](#), [436-438](#), [460](#), [466-467](#)

Músculo supraespinal, [171](#), [174](#), [405-406](#), [408-414](#), [418](#), [465](#), [467](#)

Músculo suspensor do duodeno (ligamento de Treitz), [264](#)

Músculo temporal, [48](#), [50](#), [101](#), [103](#), [151](#)

nervos temporais profundos para o, [123](#)

inserção do, [48](#)

Músculo tensor da fáscia lata, [396-397](#), [468](#), [479](#), [481](#), [487-490](#), [492](#), [530-531](#)

Músculo tensor do tímpano, [50](#), [95-96](#), [151](#)

inervação do, [119](#)

tendão do, [95-96](#)

Músculo tensor do véu palatino, [49-50](#), [57](#), [65](#), [68](#), [70](#), [95](#), [151](#)

aponeurose palatina do, [57](#), [65](#)

inervação do, [119](#)

Músculo tibial anterior, [468](#), [481](#), [493-494](#), [502](#), [506-507](#), [510](#), [518](#), [529](#), [531](#)

bainha tendínea do, [516](#)

Músculo tibial posterior, [502](#), [505](#), [510](#), [528](#), [531](#)

Músculo tireo-hióideo, [27-29](#), [31](#), [58](#), [82](#), [129-130](#), [151](#)

comunicação com plexo cervical, [33](#)

nervo para o, [71](#), [130](#)

ramo para o, [34](#)

Músculo tireoaritenóide, [80](#), [82](#), [151](#)

ação do, [81](#)

parte tireoepiglótica do, [80](#), [82](#)

Músculo transverso do abdome, [7](#), [172-173](#), [176](#), [186-187](#), [245](#), [247](#), [249](#), [251](#), [253-256](#), [258](#), [262](#), [308-309](#), [328](#), [341](#), [345](#)

aponeurose do, [7](#), [251](#), [309](#)

seção transversal do, [328](#)

tendão de origem do, [172-173](#), [176](#), [250](#)

Músculo transverso do tórax, [177](#), [186-188](#), [213](#), [241](#)

Músculo transversoespinal, [238](#)

Músculo trapézio, [1](#), [26-29](#), [31](#), [128](#), [130](#), [152](#), [171](#), [174-175](#), [177](#), [185-186](#), [188](#), [238-241](#), [250](#), [398](#), [404-406](#), [409-410](#), [412](#), [415](#), [467](#)

inervação do, [119](#)

nervo acessório para o, [128](#)

Músculo tríceps braquial, [152](#), [178](#), [405-406](#), [409-410](#), [413-415](#), [418-419](#), [421](#), [438](#), [465](#), [467](#)

cabeça curta do, [152](#), [239-240](#), [398](#)

cabeça longa do, [152](#), [238-240](#), [398](#)

tendão da, [152](#), [398](#)

Músculo vasto intermédio, [477-480](#), [488](#), [492](#), [494](#), [525](#), [531](#)

Músculo vasto lateral, [397](#), [468](#), [477-481](#), [487](#), [489](#), [492-494](#), [506-507](#), [525](#), [531](#)

Músculo vasto medial, [468](#), [477-478](#), [480](#), [487-488](#), [492-494](#), [507](#), [525](#), [531](#)

nervo para o, [492](#)

Músculo vocal, [80](#), [82](#), [151](#)

ação do, [81](#)

Músculo zigomático maior, [25](#), [48](#), [124](#), [151](#)

Músculo zigomático menor, [25](#), [48](#), [124](#), [151](#)

Músculos auriculares, ramos para os, [124](#)

Músculos da eminência tenar, [446-447](#), [453](#), [460](#), [463](#)

Músculos da faringe, longitudinal, [65](#), [67](#), [69](#)

Músculos da uretra

compressor, [335](#), [350](#), [356-357](#), [382](#), [397](#)

crescimento do, [347](#)

esfíncter, [335](#), [339](#), [356](#), [374](#), [395](#), [397](#)

crescimento do, [347](#)

Músculos do esôfago, [64](#), [199](#)

circular, [65](#), [67](#), [69](#)

na forma de V, na área de Laimer, [69](#), [77](#)

longitudinal, [65](#), [67](#), [69](#), [77](#)

fixação cricóidea, [65](#), [67](#)

fixações do, [69](#)

Músculos eretores da espinha, [152](#), [171-173](#), [176-177](#), [188](#), [238](#), [254](#), [309](#)

seção transversal dos, [324](#), [328](#)

Músculos eretores dos pelos, inervação dos, [163](#)

Músculos flexores, superficiais, [432](#)

Músculos infra-hióideos, [28](#)

fáscia dos, [26](#), [412](#)

Músculos intercostais, [179](#), [195](#), [214](#), [238-240](#)

externos, [173](#), [177](#), [185-186](#), [188](#), [227-228](#), [241](#), [246](#), [251](#), [254](#), [413](#)

internos, [177](#), [185-188](#), [241](#), [251](#), [254](#)

íntimos, [177](#), [187-188](#), [227-228](#), [241](#), [251](#), [254](#)

Músculos interósseos, [451](#), [515](#), [523](#)

do pé, [523-524](#)

dorsais, [447](#), [450](#), [452](#), [454](#), [457](#), [464](#), [467](#), [518](#), [523](#), [531](#)

primeiro, [431](#)

fixações dos, [451](#)

palmar, [450](#), [452](#), [464](#), [467](#)

plantar, [522](#), [531](#)

Músculos intrínsecos, [60](#), [129](#)

Músculos levantadores das costelas, [173](#)

curto, [173](#)

longo, [173](#)

Músculos longitudinais da faringe, [65](#), [67](#), [69](#)

Músculos lumbricais, [448-452](#), [463-464](#), [467](#), [520-521](#), [523](#), [528](#), [531](#)

tendões dos, [522](#)

Músculos multífidos, [176-177](#)

Músculos multífidos do lombo, [173](#)

Músculos multífidos do tórax, [173](#)

Músculos psoas, [491](#)

Músculos rotadores do pescoço, [173](#), [177](#)

curto, [173](#)

longo, [173](#)

Músculos rotadores do tórax, [173](#), [177](#)

curto, [173](#)

longo, [173](#)

N

Narinas, [1](#)

Nariz, [35](#)

asa do, [1](#)

inervação do, [164](#)

seção transversal do, [42](#)

Násio, [4](#)

Navicular, [511-512](#), [514](#), [523-524](#), [531](#)

tuberosidade do, [515](#), [518](#), [523](#)

Nervo(s) *Veja também os nervos específicos*

da bexiga urinária, [395](#)

da cabeça, [2](#)

da cavidade nasal, [39](#), [41](#)

da coxa

vista anterior, [487-488](#)

vista posterior, [489](#)

da laringe, [82](#)

da mão, [453](#)

da órbita, [88](#)

da parede abdominal

anterior, [253](#)

posterior, [262](#)

da parte inferior do ureter, [395](#)

da região glútea, [490](#)

das regiões da boca e da faringe, [71](#)

das vísceras pélvicas

feminina, [390](#)

masculina, [388](#)

do coração, [223-224](#)

do dorso, [174](#)

do esôfago, [236](#)

do membro superior, [400](#), [460-461](#)

do ombro, [465](#)

do períneo

feminino, [391](#)

masculino, [389](#)

do pescoço, [2](#), [32-33](#)

do punho, [449](#)

do quadril, [490](#)

dos dentes, [63](#)

dos órgãos genitais

feminino, [393](#)

masculino, [394](#)

dos órgãos genitais externos

feminino, [391](#)

masculino, [387](#)

Nervo abducente (VI), [13](#), [55](#), [85-86](#), [88](#), [105](#), [115](#), [118](#), [122](#)

distribuição do, [119](#)

esquema, [122](#)

músculo reto lateral e, [122](#)

Nervo acessório (XI), [32-34](#), [42](#), [55](#), [71](#), [74-75](#), [105](#), [115](#), [117-118](#), [128](#), [130](#), [174](#)

distribuição do, [119](#)

esquema, [128](#)

inferior, [13](#)

na fossa jugular, [12](#)

raiz craniana do, [128](#)

raízes espinais do, [13](#), [128](#)

no forame magno, [12](#)

Nervo alveolar (V₂)

inferior, [18](#), [47](#), [49-51](#), [58](#), [61](#), [71](#), [123](#), [132](#), [135](#)

superior, [61](#)

anterior, [52](#), [71](#)

médio, [52](#), [54](#), [71](#)

posterior, [52-54](#), [71](#)

ramo nasal do, [18](#)

ramos dentais do, [54](#)

ramos gengivais do, [54](#)

Nervo anococcígeo, [389](#), [391](#), [484](#), [486](#)

Nervo auricular

anterior, [123](#)

magno, [2](#), [31-33](#), [130](#), [174-17](#)

posterior, [24](#), [50](#), [124](#)

ramo occipital do, [124](#)

ramos para os músculos, [124](#)

Nervo auriculotemporal, [2](#), [18](#), [46](#), [49-51](#), [71-72](#), [123](#), [126](#), [135](#)

Nervo axilar, [400](#), [410-411](#), [413](#), [415-416](#), [418](#), [461-463](#), [465-466](#)

nervo cutâneo braquial lateral superior, do, [174](#), [400-401](#)

ramos do, [410](#)

Nervo bucal (V3), [2](#), [50-51](#), [61](#), [71](#), [123](#)

Nervo cardíaco simpático cervical

inferior, [131](#)

médio, [131](#)

superior, [131-132](#)

Nervo carótico

externo, [163](#)

interno, [53](#), [55](#), [131-132](#), [134](#), [163](#), [225](#)

Nervo caroticotimpânico, [96](#), [124](#), [126](#)

Nervo cervical transverso, [2](#), [31-32](#), [130](#)

Nervo coccígeo, [160-161](#), [486](#)

Nervo coclear, [94](#), [97-99](#), [119](#), [125](#)

Nervo cutâneo perfurante, [389](#), [391](#)

Nervo do canal pterigóideo (vidiano), [39](#), [41](#), [52-53](#), [55](#), [96](#), [123-124](#), [126](#), [132](#), [134](#), [136](#)

Nervo dorsal da escápula, [415-416](#), [465](#)

Nervo etmoidal (V1)

anterior, [13](#), [52](#), [88](#), [122-123](#)

ramo nasal interna medial, [39](#), [41](#)

ramo nasal lateral interna do, [39](#), [41](#)

ramos nasais externos do, [2](#), [39](#), [41](#), [52](#), [123](#)

ramos nasais internos do, [123](#)

posterior, [13](#), [52](#), [88](#), [122-123](#)

Nervo facial (VII), [13](#), [34](#), [42](#), [47](#), [50-51](#), [53](#), [55](#), [71](#), [94](#), [96](#), [99](#), [105](#), [115](#), [118](#), [123-124](#), [132](#), [135-136](#)

comunicação do, [126](#)

distribuição do, [119](#)

esquema do, [124](#)

forame estilomastóideo e, [12](#), [24](#)

joelho do, [50](#), [53](#), [99](#), [117](#), [125-126](#), [132](#)

joelho interno do, [118](#)

nervo intermédio (de Wrisberg), [61](#), [105](#), [115](#), [124-125](#), [132](#), [134](#), [136](#)

distribuição do, [119](#)

núcleo motor do, [124-125](#)

ramo cervical do, [24](#)

ramo marginal da mandíbula do, [24](#), [31](#)

ramos do, [24](#), [46](#), [164](#)

ramos temporais do, [24](#)

ramos vestibulares do, [24](#)

ramos zigomáticos do, [24](#)

tronco do, [24](#)

Nervo faríngeo, [134](#)

Nervo femoral, [160](#), [249](#), [255](#), [262](#), [385](#), [387](#), [396-397](#), [472](#), [483-485](#), [487-488](#), [525-526](#)

da coxa, [525](#)

profundo à fáscia do iliopsoas, [257](#)

ramos cutâneos anteriores do, [387](#), [470](#), [525](#)

ramos do, [492](#)

Nervo fibular, [529](#)

comum, [482](#), [484](#), [486](#), [489](#), [492-494](#), [497](#), [503-508](#), [527-529](#)

ramo articular do, [527-529](#)

ramo comunicante sural do, [527](#)

profundo, [508](#), [510](#), [517-518](#), [529](#)

ramo digital dorsal do pé do, [470](#), [507-508](#), [517-518](#)

ramo lateral do, [508](#), [517-518](#), [529](#)

ramo medial do, [507-508](#), [517-518](#), [529](#)

ramo recorrente do, [508](#)

superficial, [470](#), [506-508](#), [510](#), [517-518](#), [527](#), [529](#)

ramo cutâneo dorsal intermédio, [470](#)

ramo cutâneo dorsal medial, [470](#)

ramos digitais dorsal do pé do, [517-518](#)

Nervo frênico, [26](#), [30-33](#), [71-72](#), [76](#), [130-131](#), [186-187](#), [190](#), [195](#), [203](#), [208-209](#), [213](#), [223](#), [227-229](#), [238](#), [251](#), [297](#), [319](#), [413](#), [415-416](#)

direito, [190-191](#), [212](#), [239](#), [306](#), [319](#)

ramo anterior do, [192](#)

esquerdo, [190-192](#), [212](#), [228](#)

ramo anterior, [192](#)

fibras aferentes, [190](#)

fibras eferentes, [190](#)

ramo pericárdico do, [190](#)

ramos frenicoabdominais do, [190](#)

Nervo frontal, [13](#), [52](#), [85](#), [88](#), [122-123](#), [132](#)

Nervo genitofemoral, [257](#), [262](#), [308](#), [313](#), [387](#), [483](#), [485](#), [526](#)

nervos na formação do, [484](#)

ramo genital do, [253](#), [255-257](#), [262](#), [365](#), [387](#), [470](#), [484-485](#)

ramos femorais do, [253](#), [257](#), [262](#), [387](#), [470](#), [484-485](#)

seção transversal do, [328](#)

Nervo glossofaríngeo (IX), [34](#), [42](#), [55](#), [61](#), [71-72](#), [105](#), [115](#), [117-118](#), [124](#), [126-127](#), [131-132](#), [134-136](#), [207](#)

distribuição do, [119](#)

esquema do, [126](#)

gânglio inferior (petroso) do, [55](#), [96](#), [126](#), [135-136](#), [207](#)

gânglio superior do, [126](#)

inferior, [13](#)

na bainha carótica, [47](#)

na fossa jugular, [12](#)

nervo petroso menor do, [123](#)

ramo carótico do, [34](#), [127](#), [132](#)

ramo do, [164](#)

ramo para o seio carótico (de Hering), [71](#), [126](#), [131](#)

ramo timpânico do, [12](#)

ramos faríngeos do, [126](#)

ramos linguais do, [61](#), [126](#)

ramos tonsilares do, [61](#), [68](#), [71](#), [126](#)

Nervo hipoglosso (XII), [33-34](#), [42](#), [47](#), [50](#), [55](#), [59](#), [71-73](#), [75](#), [105](#), [115](#), [118](#), [129-130](#)

distribuição do, [119](#)

esquema do, [129](#)

na bainha carótica, [47](#)

no canal do nervo hipoglosso, [12](#)

ramo meníngeo do, [129](#)

veia acompanhante do, [47](#), [59](#), [73](#)

Nervo ílio-hipogástrico, [160](#), [174](#), [262](#), [308-309](#), [387](#), [392](#), [483-485](#), [526](#)

ramo anterior, [253](#)

ramos cutâneos do

anterior, [253](#), [262](#), [387](#)

lateral, [250](#), [253](#), [471](#)

seção transversal do, [328](#)

Nervo ilioinguinal, [160](#), [253](#), [256](#), [262](#), [308-309](#), [387](#), [391-392](#), [470](#), [483-485](#), [526](#)

Nervo infraorbital (V_2), [2](#), [35](#), [52-55](#), [71](#), [83](#), [85](#), [122-123](#)

entrando no canal infra- orbital, [52](#)

ramos alveolares superiores do, [123](#)

ramos nasais internos do, [41](#)

Nervo infratroclear, [2](#), [35](#), [83](#), [88](#)

do nervo nasociliar, [52](#)

Nervo intercostobraquial, [186](#), [253](#), [400-401](#), [413](#), [415](#), [460](#)

Nervo intermédio, [96](#)

Nervo intermédio (de Wrisberg), [61](#), [105](#), [115](#), [124-125](#), [132](#), [134](#), [136](#)

distribuição do, [119](#)

Nervo interósseo

anterior, [434](#), [436](#), [463](#)

da perna, [528](#)

posterior, [431](#), [436](#), [466](#)

Nervo isquiático, [160](#), [397](#), [482](#), [484](#), [489-490](#), [492](#), [527](#)

direito, [396](#)

divisão fibular comum do, [527](#)

esquerdo, [396](#)

ramo articular do, [489](#)

ramos musculares do, [489](#)

Nervo jugular, [131](#)

Nervo labial

anterior, [391](#)

Nervo lacrimal (V_1), [13](#), [52](#), [54](#), [85](#), [88](#), [122-123](#), [132](#)

ramo comunicante do, [52](#)

ramo cutâneo do, [52](#)

ramo palpebral do, [2](#)

Nervo laríngeo

inferior, [82](#)

ramos anteriores do, [82](#)

ramos posteriores do, [82](#)

recorrente, [26](#), [33](#), [69](#), [71](#), [82](#), [131](#), [229](#), [236](#)

direito, [76-78](#), [82](#), [127](#), [209](#), [223](#), [236](#)

esquerdo, [76-78](#), [127](#), [190](#), [203](#), [206-209](#), [223](#), [228-229](#), [236](#), [238-239](#)

superior, [76](#), [82](#), [131-132](#), [136](#), [207](#), [236](#)

prega sobre o ramo interno do, [66](#)

ramo externo do, [71](#), [76-78](#), [82](#), [127](#)

ramo interno, [61](#), [65](#), [67](#), [69](#), [71](#), [76-78](#), [80](#), [82](#), [127](#)

Nervo lingual, [46-47](#), [49-51](#), [56](#), [58-59](#), [61](#), [71](#), [123-124](#), [132](#), [134-136](#)

inferior, [18](#)

Nervo mandibular (V_3), [2](#), [12-13](#), [18](#), [50](#), [71](#)

divisão anterior do, [50](#)

divisão posterior, [50](#)

raiz motora, [50](#)

raiz sensitiva, [50](#)

ramo articular do, [123](#)

ramo meníngeo do, [12-13](#), [50](#), [123](#)

ramos da parótida, [123](#)

ramos temporais superficiais do, [123](#)

vista lateral, [50](#)

vista medial, [50](#)

Nervo massetérico (V_3), [6](#), [49-51](#), [71](#), [123](#)

Nervo maxilar (V_2), [13](#), [39](#), [50](#), [52](#), [54-55](#), [71](#), [88](#), [105](#), [122-123](#), [132](#), [134-136](#)

entrada no forame redondo, [53](#)

nervo faríngeo do, [39](#), [123](#)

ramo meníngeo da, [88](#), [123](#)

ramos nasais da

nasopalatino, [123](#)

ramos posteriores ínfero-laterais, [39](#), [54](#)

ramosposteriores superiores, [53](#)

ramos posteriores súpero-laterais, [39](#), [41](#), [54](#), [123](#)

ramos posteriores súpero-mediais, [123](#)

Nervo mediano, [400](#), [415-417](#), [419](#), [421](#), [432-434](#), [436](#), [441](#), [447](#), [449](#), [452-453](#), [459-463](#)

ramo articular do, [463](#)

ramo comunicante do, [453](#), [460](#), [463-464](#)

ramo digital do, [400](#)

ramo palmar do, [400](#), [402](#), [432-433](#), [446](#), [453](#), [459](#), [463](#)

ramo recorrente do, [446-447](#), [453](#), [460](#)

ramos palmares digitais do, [400](#), [456](#), [459](#)

comum, [447](#), [460](#)

próprio, [460](#)

Nervo mentual, [2](#), [50](#), [71](#), [123](#)

Nervo milo-hióideo, [18](#), [47](#), [51](#), [71](#)

para a artéria milo-hióidea, [51](#)

Nervo musculocutâneo, [415-417](#), [419](#), [421](#), [433-434](#), [436](#), [459-463](#)

parte terminal do, [400-401](#), [432](#)

ramo anterior do, [462](#)

ramo articular do, [462](#)

ramo posterior do, [462](#)

Nervo nasociliar (V₁), [13](#), [52](#), [85](#), [88](#), [122-123](#), [132-133](#)

Nervo nasopalatino (V₂), [39](#), [41](#), [53](#), [61](#)

comunicação com os nervos palatinos maiores, [54](#)

na fossa incisiva, [12](#)

ramo septal do, [54](#)

sulco para o, [38](#)

Nervo occipital

maior, [2](#), [130](#), [174-175](#)

menor, [2](#), [32-33](#), [130](#), [174-175](#)

terceiro, [2](#), [174-175](#)

Nervo oculomotor (III), [55](#), [86](#), [88](#), [105](#), [115](#), [117-118](#), [122](#), [132](#), [145](#)

distribuição do, [119](#)

esquema do, [122](#)

ramo do, [164](#)

ramo inferior do, [85](#), [88](#), [122](#)

ramo superior do, [13](#), [85](#), [88](#), [122](#)

Nervo oftálmico (V₁), [2](#), [50](#), [52](#), [55](#), [88](#), [105](#), [122-123](#), [132-136](#)

ramo frontal do, [13](#)

ramo lacrimal do, [13](#)

ramo nasociliar do, [13](#)

ramo do tentório do, [88](#), [123](#)

Nervo óptico (II), [13](#), [43](#), [55](#), [85](#), [88-89](#), [92](#), [105](#), [107-108](#), [133](#), [144-145](#)

bainha interna, vasos do, [93](#)

bainha externa/meníngea do, [86](#), [93](#)

direito, [138](#)

distribuição do, [119](#)

esquema do, [121](#)

esquerdo, [138](#)

Nervo para o músculo estapédio, [96](#)

Nervo para o músculo tensor do tímpano, [50](#), [123](#)

Nervo peitoral

lateral, [185](#), [412](#), [415-416](#)

medial, [185](#), [412](#), [415-416](#)

Nervo perineal, [357](#), [370](#), [388-389](#), [391](#), [484](#), [490](#)

ramificações profundas do, [357](#), [389](#), [391](#)

ramos superficiais do, [357](#), [389](#), [391](#)

Nervo petroso

profundo, [39](#), [53](#), [124](#), [126](#), [132](#), [134](#)

menor, [12-13](#), [50](#), [88](#), [95-96](#), [123-124](#), [126](#), [135](#)

hiato do, [13](#)

sulco para o, [11](#)

maior, [13](#), [39](#), [53](#), [55](#), [61](#), [88](#), [96](#), [124-126](#), [132](#), [134](#), [136](#)

hiato do, [13](#)

no forame lacerado, [12](#)

sulco para o, [11](#), [99](#)

Nervo plantar

lateral, [505](#), [516](#), [519](#), [521-522](#), [527-528](#)

ramo superficial do, [522](#)

ramos cutâneos plantares do, [471](#)

ramos digitais plantares do, [520-522](#)

medial, [516](#), [519](#), [521-522](#), [527-528](#)

ramos cutâneos plantares do, [471](#)

ramos digitais plantares do, [520-521](#)

ramos profundos, [522](#)

Nervo pterigóideo (V₃)

lateral, [50](#), [71](#), [123](#)

medial, [49-50](#), [71](#), [123](#)

Nervo pudendo, [160](#), [262](#), [303](#), [370](#), [383](#), [388-397](#), [484](#), [486](#), [489-490](#)

Nervo radial, [400](#), [410](#), [413](#), [415-416](#), [418](#), [421](#), [433-434](#), [454](#), [459-463](#), [465](#)

nervo cutâneo lateral inferior do, [400-401](#)

nervo cutâneo posterior do antebraço do, [400-401](#), [459](#)

nervo cutâneo posterior do braço do, [400-401](#)

no antebraço, [466](#)

no braço, [465](#)

ramo lateral do, [454](#)

ramo medial do, [454](#)

ramo profundo do, [433](#), [436](#), [460](#), [466](#)

ramo superficial do, [400](#), [402](#), [430](#), [433](#), [436](#), [454-456](#), [459-460](#), [466](#)

ramos comunicantes do, [455](#)

ramos digitais dorsais do, [400](#), [454](#), [459](#), [466](#)

Nervo sacral, ramo perineal do quarto, [484](#)

Nervo safeno, [487-488](#), [492](#), [508](#), [525](#), [528](#)

ramo infrapatelar do, [470](#), [487-488](#), [507-508](#), [525](#)

ramos do, [471](#)

Nervo subclávio, [416](#)

Nervo subcostal, [160](#), [262](#), [308-309](#), [387](#), [392](#), [483-485](#)

ramo cutâneo lateral do, [470](#)

direito, [308](#)

ramos cutâneos do

anterior, [253](#)

lateral, [250](#), [253](#), [262](#)

Nervo subescapular

inferior, [410](#), [413](#), [415-416](#), [465](#)

superior, [410](#), [415](#)

Nervo sublingual, [50](#)

Nervo suboccipital, [22](#), [175](#)

Nervo supraescapular, [413](#), [415-416](#), [465](#), [467](#)

superior, [416](#)

Nervo supraorbital, [2](#), [35](#), [52](#), [83](#), [88](#), [123](#)

ramo lateral, [88](#)

ramo medial, [88](#)

Nervo supratroclear, [2](#), [35](#), [52](#), [83](#), [88](#), [123](#)

Nervo sural, [470-471](#), [521](#), [527-529](#)

ramos calcâneos do, [528](#)

lateral, [471](#), [505](#), [528](#)

medial, [528](#)

Nervo tibial, [482](#), [484](#), [486](#), [489](#), [492](#), [503-505](#), [510](#), [521](#), [527-528](#)

posterior, [516](#)

ramo de articular do, [527-528](#)

ramos calcâneos laterais do, [527](#)

ramos calcâneos mediais do, [471](#), [519-520](#), [527-528](#)

Nervo timpânico, [55](#), [95](#), [124](#), [126](#), [135](#)

inferior, [96](#)

Nervo timpânico (de Jacobson), [124](#), [126](#), [135](#)

Nervo torácico

longo, [180](#), [185-186](#), [253](#), [413](#), [415-416](#)

ramo lateral do, [188](#)

ramo medial, [188](#)

ramo posterior do, [188](#)

Nervo toracodorsal, [410](#), [413](#), [415-416](#)

Nervo trigêmeo (V), [52](#), [55](#), [61](#), [99](#), [115](#), [123](#), [134-135](#), [145](#), [207](#)

distribuição do, [119](#)

divisão mandibular do, [61](#)

divisão maxilar do, [61](#)

esquema do, [123](#)

gânglio do, [117-118](#), [123](#), [132](#)

núcleo espinal do, [117-118](#), [123](#), [126-127](#)

núcleo mesencefálico do, [117-118](#), [123](#), [136](#)

núcleo motor do, [117-118](#), [123](#), [132](#), [136](#)

núcleos do, [123](#)

raiz sensitiva do, [115](#), [117-118](#), [123](#), [132](#)

trato espinal do, [117-118](#), [123](#), [126-127](#)

Nervo troclear (IV), [55](#), [85-86](#), [88](#), [105](#), [115-118](#), [122](#), [145](#)

distribuição do, [119](#)

esquema do, [122](#)

superior, [13](#)

Nervo ulnar, [400](#), [415-416](#), [418-419](#), [421](#), [430-434](#), [436](#), [441](#), [447](#), [449](#), [452-453](#), [459-464](#)

arco palmar superficial, [460](#)

ramo articular do, [464](#)

ramo digital dorsal do, [400](#), [459](#)

ramo digital palmar do, [400](#), [456](#), [459-460](#)

ramo dorsal do, [400](#), [402](#), [430](#), [433-434](#), [436](#), [455-456](#), [459-460](#), [464](#)

ramo palmar do, [400](#), [402](#), [433](#), [446](#), [459](#), [464](#)

ramo palmar profundo do, [453](#)

ramo profundo do, [434](#), [441](#), [446-447](#), [452-453](#), [460](#), [464](#)

ramo superficial do, [433](#), [446-447](#), [453](#), [460](#), [464](#)

ramos comunicantes do, [455](#)

sulco para o, [406](#), [422](#)

Nervo vago (X), [26](#), [32-34](#), [42](#), [55](#), [61](#), [71-72](#), [76-78](#), [105](#), [115](#), [117-118](#), [126-128](#), [131-132](#), [136](#), [164](#), [203](#), [206-208](#), [224](#), [229](#), [236](#), [303-304](#), [318](#)

comunicação com o plexo cervical, [33](#)

direito, [77](#), [190](#), [203](#), [209](#), [223](#), [227](#), [238](#)

distribuição do, [119](#)

esquema do, [127](#)

esquerdo, [77](#), [190](#), [203](#), [209](#), [223](#), [228](#), [238-239](#)

gânglio do

inferior, [55](#), [127-129](#), [236](#)

superior, [127-128](#), [236](#)

gânglio inferior (nodoso) do, [136](#), [207](#)

inferior, [13](#)

na bainha carótica, [47](#)

na fossa jugular, [12](#)

núcleo posterior do, [117](#), [118](#), [127](#), [303](#)

núcleo posterior do, [224](#), [318](#)

raiz craniana do, [127](#)

ramo auricular do, [2](#), [12](#), [127](#)

comunicação com o, [126](#)

ramo cardíaco cervical do

inferior, [127](#)

superior, [71-72](#), [127](#), [131-132](#)

ramo cardíaco torácico do, [127](#), [206](#), [223-224](#)

ramo celiaco do, [300](#)

ramo comunicante do, [127](#)

ramo faríngeo do, [126-127](#), [131-132](#), [236](#)

ramo meníngeo do, [127](#)

ramos vagais do, [236](#)

tronco simpático e, [73](#), [126](#)

Nervo vestibular, [94](#), [97](#), [99](#), [119](#), [125](#)

parte inferior, [97](#), [99](#), [125](#)

parte superior, [97](#), [99](#), [125](#)

Nervo vestibulococlear (VIII), [13](#), [94](#), [97](#), [99](#), [105](#), [115](#), [117-118](#), [125](#), [132](#)

distribuição do, [119](#)

esquema do, [125](#)

Nervo zigomático (V₂), [52](#), [54](#), [122-123](#)

ramo zigomaticofacial do, [71](#), [123](#)

ramo zigomaticotemporal do, [71](#), [123](#)

Nervos anais (retais)

inferior, [388-389](#), [391-392](#), [484](#), [490](#)

Nervos autônomos

da bexiga urinária, [317](#)

da via biliar, [306](#)

das glândulas suprarrenais, [319](#)

do abdome, [297](#)

do duodeno, [298-300](#)

do estômago, [298-300](#)

do fígado, [306](#)

do intestino delgado, [301](#), [303](#)

do intestino grosso, [302-303](#)

do membro inferior, [469](#)

do pâncreas, [307](#)

dos rins, [317-318](#)

dos ureteres, [317-318](#)

na cabeça, [132](#)

no pescoço, [131](#)

no tórax, [206](#)

Nervos cardíacos cervicais, [206](#), [225](#), [236](#)

inferiores, [223-224](#)

médios, [223-224](#)

superiores, [223](#)

Nervos cavernosos do pênis, [388](#), [394](#)

Nervos ciliares

curto, [52](#), [88](#), [122-123](#), [132-133](#)

longo, [52](#), [88](#), [122-123](#), [132-133](#)

Nervos clúnios

inferior, [174](#), [389](#), [391](#), [471](#), [489-490](#), [527](#)

medial, [471](#), [489](#)

médio, [174](#)

superior, [174](#), [250](#), [471](#), [489](#)

Nervos cranianos

distribuição motora e sensitiva dos, [119](#)

núcleos dos, no tronco encefálico, [117-118](#)

Nervos cutâneos

braquial

anterior, [410](#)

lateral inferior, [400-401](#), [418](#), [465-466](#)

lateral superior, [174](#), [400-401](#), [410](#), [413](#), [418](#), [465-466](#)

medial, [253](#), [400-401](#), [415-416](#), [419](#), [421](#), [460-463](#)

posterior, [400](#)

posterior, [401](#), [410](#), [418](#), [465-466](#)

crural medial, [525](#)

da cabeça, [2](#)

da mão, [459](#), [463-464](#)

do antebraço

lateral, [400-402](#), [417](#), [421](#), [433-434](#), [436](#), [456](#), [459-460](#), [462](#)

medial, [400-402](#), [415-416](#), [419](#), [421](#), [436](#), [456](#), [459-463](#)

posterior, [400-402](#), [418](#), [421](#), [436](#), [455-456](#), [459](#), [465-466](#)

do antebraço, [402](#), [461-462](#)

do braço, [401](#)

do ombro, [401](#)

do pescoço, [2](#), [31](#)

do punho, [459](#)

dorsal

intermédio, [529](#)

lateral, [470-471](#), [517-518](#), [527-529](#)

medial, [529](#)

femoral

lateral, [253](#), [257](#), [262](#), [308](#), [387](#), [470-472](#), [483-485](#), [487-488](#), [492](#)

posterior, [160](#), [174](#), [389](#), [391](#), [471](#), [484](#), [486](#), [489-490](#), [492](#), [527](#)

lateral

de coxa, [525](#)

do antebraço, [432](#)

perfurante, [389](#), [391](#), [471](#), [484](#), [486](#), [490](#)

sural

lateral, [470-471](#), [489](#), [503-504](#), [510](#), [527-529](#)

medial, [471](#), [489](#), [503-504](#), [510](#), [527-528](#)

Nervos cutâneos braquiais

lateral inferior, [400-401](#)

lateral superior, [174](#), [400-401](#)

medial, [253](#), [400-401](#)

posterior, [400-401](#)

Nervos cutâneos do antebraço

lateral, [400-401](#)

ramos dos, [401](#)

medial, [400](#)

ramos dos, [401](#)

posterior, [400-401](#)

Nervos cutâneos femorais

lateral, [253](#), [257](#), [262](#), [308](#), [387](#), [525-526](#)

posterior, [160](#), [174](#), [389](#), [527](#)

ramo perineal do, [391](#), [527](#)

Nervos digitais dorsais, [402](#), [458](#), [466](#), [470](#), [507](#), [529](#)

Nervos digitais palmares, [402](#), [446-447](#), [453](#), [464](#)

comum, [450](#), [463-464](#)

próprios, [447](#), [453](#), [458](#), [463](#)

Nervos digitais plantares, [519](#), [521](#), [528](#)

ramos dos, [508](#)

Nervos dorsais

do clitóris, [357](#), [391-392](#), [484](#)

do pênis, [359](#), [361](#), [383](#), [387-389](#), [394](#), [484](#), [490](#)

Nervos escrotais

anterior, [387](#)

posterior, [388-389](#), [490](#)

Nervos espinais, [26](#), [166](#), [177](#), [225](#), [304](#) *See also* [nervos espinais cervicais](#) [nervos espinais torácicos](#) [nervos espinais lombares](#) [nervos espinais sacrais](#)

formação dos, [166](#)

seção transversal da, [166](#)

radículas anteriores dos, [165](#)

radículas posteriores do, [160](#), [165](#)

raiz anterior dos, [165-166](#), [188](#), [304](#), [395](#)

raiz posterior do, [165-166](#), [188](#), [304](#), [395](#)

ramo anterior dos, [165-166](#)

ramoposterior do, [165-166](#)

ramo lateral, [166](#)

ramo medial, [166](#)

ramos meníngeos recorrentes do, [166](#)

sulco dos, [20-21](#)

Nervos espinais cervicais

C1, [128](#), [160](#)

raízes posteriores de, [115](#)

ramos anteriores de, [71](#), [129](#)

ramos posteriores de, [175](#)

relação das vértebras com, [161](#)

C2, [128](#)

dermátomo de, [162](#)

ramos anteriores de, [32](#), [71](#), [129](#), [174](#)

ramos posteriores de, [174-175](#)

relação das vértebras com, [161](#)

C3, [128](#)

dermátomo de, [162](#)

ramos anteriores de, [32](#), [129](#), [174](#), [190](#)

ramos posteriores de, [174-175](#)

relação das vértebras com, [161](#)

C4, [128](#)

dermátomo de, [162](#)

C5

dermátomo de, [162](#)

ramos anteriores de, [32](#), [190](#)

ramos posteriores de, [174-175](#)

relação das vértebras com, [161](#)

C6

processo transversal de, [137](#)

ramos posteriores de, [174-175](#)

relação das vértebras com, [161](#)

C7

ramos posteriores de, [174](#)

relação das vértebras com, [161](#)

C8, [160](#)

alargamento de, [161](#)

ramos posteriores de, [174](#)

ramos posteriores, [2](#), [22](#)

relação das vértebras com, [161](#)

sulco para, [20-21](#)

ramos anteriores de, [71](#), [190](#)

ramos posteriores de, [174-175](#)

relação das vértebras com, [161](#)

Nervos espinais lombares, [176](#)

dermatomo de, [162](#)

intumescência dos, [161](#)

L1, [160](#)

dermatomo de, [162](#)

processo espinhoso de, [176](#)

ramo anterior de, [174](#), [388](#)

ramo posterior de, [174](#)

ramos posteriores de, [250](#)

relação vertebral de, [161](#)

L2

dermatomo de, [162](#)

gânglio de, [390](#)

ramo anterior de, [158](#)

ramo posterior de, [174](#)

ramos posteriores de, [250](#)

relação vertebral de, [161](#)

L3

dermatomo de, [162](#)

ramo anterior de, [393](#)

ramo posterior de, [174](#)

ramos posteriores de, [250](#)

relação vertebral de, [161](#)

L4, [158](#)

dermatomo de, [162](#)

relação vertebral de, [161](#)

L5, [160](#), [390](#)

raízes posterior e anterior dos, [166](#)

ramo anterior de, [388](#)

ramo anterior de, [485](#)

ramo posterior de, [158](#)

relação vertebral de, [161](#)

Nervos espinais sacrais

raízes posterior e anterior dos, [166](#)

S1, [160](#)

dermatomo de, [162](#)

ramo anterior de, [388](#), [392](#)

ramo posterior de, [174](#)

S2

dermatomo de, [162](#)

ramo posterior de, [174](#)

S3

dermatomo de, [162](#)

ramo posterior de, [174](#)

S4, dermatomo de, [162](#)

S5, [160](#)

dermatomo de, [162](#)

Nervos espinais torácicos

raiz anterior dos, [134-135](#), [177](#)

raiz posterior do, [134-135](#), [177](#)

ramo anterior dos, [177](#), [188](#)

ramo posterior do, [177](#)

T1, [133-135](#), [160](#)

dermatomo de, [162](#)

ramo posterior de, [174](#)

relação vertebral de, [161](#)

T2, [134-135](#)

dermatomo de, [162](#)

ramo posterior de, [174](#)

relação vertebral de, [161](#)

T3

dermatomo de, [162](#)

ramo posterior de, [174](#)

relação vertebral de, [161](#)

T4

dermatomo de, [162](#)

ramo posterior de, [174](#)

relação vertebral de, [161](#)

T5

dermatomo de, [162](#)

ramo posterior de, [174](#)

relação vertebral de, [161](#)

T6

dermatomo de, [162](#)

ramo posterior de, [174](#)

relação vertebral de, [161](#)

T7

- dermatomo de, [162](#)
- radículas posteriores de, [160](#)
- ramo anterior de, [392](#)
- ramo posterior de, [174](#), [250](#)
- relação vertebral de, [161](#)

T8

- dermatomo de, [162](#)
- radículas posteriores de, [160](#)
- ramo posterior do, [174](#)
- relação vertebral de, [161](#)

T9

- dermatomo de, [162](#)
- ramo posterior de, [174](#)
- relação vertebral de, [161](#)

típico, [177](#)

T10, [388](#)

- dermatomo de, [162](#)
- ramo anterior de, [388](#)
- ramo posterior de, [174](#)
- relação vertebral da, [161](#)

T11

- dermatomo de, [162](#)
- ramo anterior de, [392](#)
- ramo posterior de, [174](#)
- relação vertebral de, [161](#)

T12, [160](#)

- dermatomo de, [162](#)
- ramo anterior de, [174](#)
- ramo anterior de, [250](#)

ramo posterior de, [174](#)

relação vertebral de, [161](#)

Nervos esplâncnicos

ímo, [163](#), [192](#), [206](#), [262](#), [297](#), [299-304](#), [317-319](#), [387-388](#), [392-394](#)

lombares, [163](#), [297](#), [302-303](#), [317-319](#), [387-388](#), [390](#), [392-395](#)

maior, [163](#), [192](#), [206](#), [227-228](#), [236](#), [254](#), [262](#), [297-304](#), [306-307](#), [317](#), [319](#), [387-388](#), [392-394](#)

direito, [191](#), [236](#)

esquerdo, [191](#), [213](#), [236](#)

menor, [163](#), [192](#), [206](#), [254](#), [262](#), [297-304](#), [317-319](#), [387-388](#), [392-394](#)

pélvicos, [164](#), [302-303](#), [317-318](#), [388](#), [390](#), [392](#), [394-395](#), [484](#), [486](#)

sacrais, [163](#), [303](#), [317](#), [388](#), [486](#)

torácicos, [225](#), [319](#)

Nervos glúteos

inferior, [160](#), [484](#), [486](#), [489-490](#)

superior, [160](#), [484](#), [486](#), [489-490](#)

Nervos hipogástricos, [297](#), [302-303](#), [317-318](#), [387-388](#), [392-395](#)

direito, [390](#)

esquerdo, [390](#)

Nervos intercostais, [160](#), [179](#), [186-188](#), [225](#), [227-228](#), [484](#)

inferior, [190](#)

oitavo, [206](#)

primeiro, [224](#), [416](#)

ramo anterior do, [177](#)

ramo anterior dos, [177](#), [254](#)

ramo lateral, [177](#)

ramo medial, [177](#)

ramo posterior do, [177](#)

ramo posterior, [177](#), [413](#)

ramos cutâneos dos

anterior, [177](#), [185](#), [187-188](#), [253](#), [413](#)

lateral, [174](#), [177](#), [185-186](#), [188](#), [253](#), [413](#)

posterior, [177](#)

ramo anterior, do lateral, [188](#)

sexto, [206](#)

terceiro, [236](#)

Nervos obturatórios, [249](#), [262](#), [313](#), [378](#), [388](#), [396](#), [483-486](#), [525-526](#)

acessório, [262](#), [484-485](#)

ramo anterior do, [488](#), [492](#), [526](#)

ramo articular do, [526](#)

ramo posterior do, [488](#), [492](#), [526](#)

ramos do, [488](#)

ramos cutâneos do, [471](#), [488](#), [526](#)

Nervos olfatórios (I), [13](#), [39](#), [41](#)

distribuição dos, [119](#)

esquema dos, [120](#)

fibras dos, [120](#)

Nervos palatinos (V₂)

descendente, [134](#)

maior, [39](#), [41](#), [53-55](#), [57](#), [61](#), [71](#), [123](#), [132](#), [134](#)

no forame palatino maior, [12](#)

nervo nasopalatino, comunicação com, [54](#)

menor, [39](#), [41](#), [53-55](#), [61](#), [71](#), [123](#), [132](#), [134](#)

nos forames palatinos menores, [12](#)

ramos nasais póstero-inferiores, [41](#)

Nervos retais

inferior, [303](#), [388-389](#), [391-392](#), [484](#), [490](#)

superior, [303](#)

Nervos simpáticos

da árvore bronquial, [207](#)

Nervos simpáticos torácicos, [131](#)

Nervos supraclaviculares, [31-33](#), [400](#)

intermédio, [130](#), [400-401](#)

lateral, [130](#), [400-401](#)

medial, [130](#), [400-401](#)

Nervos temporais (V₃), profundo, [50-51](#), [71](#), [123](#)

Neuro-hipófise, [141](#), [148-149](#)

Nó atrioventricular (AV), [222](#)

Nódulos linfáticos agregados (placas de Peyer), [272](#), [275](#)

Núcleo ambíguo, [117-118](#), [126-128](#)

núcleo da lente, [90-91](#)

Núcleo arqueado (infundibular), [148](#)

Núcleo caudado, [111](#), [142](#)

cabeça do, [111-113](#), [144](#), [146](#)

imagem da, [151](#)

cauda do, [109](#), [111](#), [113](#)

corpo do, [109](#), [111](#)

veia anterior do, [146-147](#)

veia posterior do, [146](#)

terminal, [147](#)

veias transversais do, [146-147](#)

Núcleo denteado do cerebelo, [116](#)

Núcleo do nervo abducente, [117-118](#), [122](#)

Núcleo do nervo facial, [117-118](#)

Núcleo do nervo hipoglosso, [117-118](#), [129](#)

Núcleo do nervo oculomotor, [117-118](#), [122](#)

acessório do, [117-118](#), [122](#), [133](#)

Núcleo do nervo troclear, [117-118](#), [122](#)

Núcleo do trato solitário, [117-118](#), [124](#), [126-127](#), [224](#), [318](#)

parte rostral do, [136](#)

Núcleo dorsal do geniculado lateral

direito, [121](#)

esquerdo, [121](#)

Núcleo infundibular, [148](#)

Núcleo intermediolateral, na coluna intermédia (corno lateral) da substância cinzenta, [53](#), [133-135](#)

Núcleo lentiforme, [109](#), [111](#), [142](#)

globo pálido do, [109](#), [111](#)

putame do, [109](#), [111](#)

Núcleo mesencefálico do nervo trigêmeo, [117-118](#), [123](#), [136](#)

Núcleo olfatório anterior, [120](#)

Núcleo posterior do nervo vago, [117](#)

posterior, [118](#)

Núcleo pulposo, [21](#), [155](#), [159](#)

Núcleo reticular, [112](#)

Núcleo rubro, [108](#), [117-118](#)

imagem do, [151](#)

Núcleo salivatório

inferior, [117-118](#), [126](#), [135](#)

superior, [53](#), [117-118](#), [124](#), [134](#)

Núcleos acessórios, [117](#), [118](#)

oculomotor, [117-118](#), [122](#), [133](#)

Núcleos acessórios do nervo oculomotor (de Edinger-Westphal), [117-118](#), [122](#), [133](#)

Núcleos cocleares

anterior, [117-118](#), [125](#)

posterior, [117-118](#), [125](#)

Núcleos da base, [111](#)

Núcleos do cerebelo

denteado, [114](#)

do fastígio, [114](#)

emboliforme, [114](#)

globoso, [114](#)

Núcleos intralaminares, [112](#)

Núcleos medianos, [112](#)

Núcleos motores

do nervo facial, [124-125](#)

do nervo trigêmeo, [117-118](#), [123](#), [136](#)

Núcleos septais, [120](#)

Núcleos vestibulares, [117-118](#)

inferior, [125](#)

lateral, [125](#)

medial, [125](#)

superior, [125](#)

O

Óbex, [116](#)

Olécrano da ulna, [418](#), [422](#), [425](#), [427](#), [430-431](#), [465](#)

radiografias do, [423](#)

Olho

artérias e veias de intrínsecas do, [92](#)

câmara anterior do, [83](#), [89-92](#)

endotélio da, [90](#)

câmara posterior do, [83](#), [89-92](#)

inervação do, [119](#), [163-164](#)

suprimento vascular do, [93](#)

Oliva, [115](#)

Ombro

articulação do ombro, [408](#)

artrografia do, [467](#)

cápsula articular do, [413](#)

músculos do, [409](#)

nervos cutâneos do, [401](#)

nervos do, [465](#)

- radiografia ântero-posterior do, [407](#)
- ressonância magnética do, [467](#)
- tomografia computadorizada do, [467](#)
- veias superficiais do, [401](#)

Omento

- maior, [262](#), [265](#), [267](#), [269](#), [276](#), [278](#), [321](#)
- menor, [267-269](#), [278](#), [299](#), [321](#)
 - lâmina anterior do, [280](#), [298](#)
 - lâmina posterior do, [298](#)
 - margem direita livre do, [271-272](#), [281](#)
- seção transversal do, [327-328](#)

Opérculo

- orbital, [106](#)
- parietal, [106](#)
- temporal, [106](#)

Ora serrata, [89](#), [91-92](#)

Orbículo ciliar, [91](#)

Órbita, [44](#)

- artérias e veias da, [87](#)
- crescimento da, [45](#)
- fáscia da, [85](#)
- nervos da, [88](#)
- parede medial da, [43](#)
- superfície da, [4](#)
- vista frontal e levemente lateral da, [4](#)

Orelha, [94](#), [99](#)

- ampola da, [94](#), [98](#)
- cavidade timpânica da, [96](#)
- concha da, [95](#)
- externa, [95](#)

inervação, [119](#)

labirintos ósseo e membranoso da, [97-98](#)

orientação da, [99](#)

lóbulo da, [95](#)

vestíbulo da, [94](#), [97-98](#)

Órgão espiral (de Corti), [94](#), [98](#)

Órgão vomeronasal, [36](#)

Órgãos genitais

externos

feminino, [354](#)

homólogos, [366](#)

inervação do, [163-164](#)

homólogos internos dos, [367](#)

linfonodos e vasos linfáticos dos

feminino, [384](#)

masculino, [386](#)

masculino, [358-359](#)

nervos dos

feminino, [391](#)

masculino, [387](#)

Órgãos genitais, inervação dos

femininos, [393](#)

masculinos, [394](#)

Ossos(s)

ao redor dos dentes, [63](#)

da cavidade nasal, [45](#)

da mão, [443](#)

da pelve, [333-334](#)

de tórax, [183](#)

do antebraço, [425](#)

do cotovelo, [422](#)

do pé, [511-512](#)

do punho, [439](#), [443](#)

dos seios paranasais, [45](#)

Ossos do quadril, [473](#)

Ossos escafoide, [439](#), [442-443](#), [454](#)

radiografias do, [444](#)

tubérculo do, [439](#), [441](#), [443](#)

Ossos esfenoides, [4](#), [6](#), [8](#), [10-11](#), [15](#), [42](#)

asa maior do, [4](#), [6-8](#), [10-11](#)

 sulco dos vasos meníngeos médios, [11](#)

 superfície orbital do, [4](#)

asa menor do, [4-5](#), [8](#), [11](#)

canal óptico do, [8](#)

clivo do, [11](#)

corpo do, [8](#), [11](#), [38](#)

 jugo esfenoidal, [11](#)

 sela turca, [11](#)

 sulco pré-quiasmático, [11](#)

crista do, [38](#)

crista infratemporal do, [6](#)

espinha do, [10](#), [16](#), [100](#)

forame espinhoso do, [10](#)

forame oval do, [10](#)

hámulo pterigoideo do, [6](#), [10](#), [16](#), [37](#)

no recém-nascido, [45](#)

processo clinoide anterior, [8](#), [11](#)

processo pterigoide do, [10](#)

 fossa pterigoide do, [10](#)

 fossa escafóidea do, [10](#)

hámulo do, [6](#), [10](#), [16](#), [37](#)

lâmina lateral, [6](#), [8](#), [10](#), [16](#), [37-38](#)

lâmina medial, [6](#), [8](#), [10](#), [16](#), [37-38](#)

seio esfenoidal, [8](#), [37-38](#)

sela turca do, [8](#), [11](#)

dorso da sela, [11](#)

fossa hipofisial, [11](#)

processo clinoide posterior, [11](#)

tubérculo da sela, [11](#)

sulco carótico, [11](#)

Osso etmoide, [4](#), [6](#), [8](#), [11](#)

forame etmoidal anterior do, [14](#)

processo uncinado do, [36-37](#), [44](#)

do recém-nascido, [45](#)

concha nasal do

média, [4](#), [8](#), [37](#)

superior, [8](#), [37](#)

suprema, [37](#)

lâmina orbital do, [4](#), [6](#), [14](#)

lâmina perpendicular do, [4](#), [8](#), [38](#)

lâmina cribriforme do, [8](#), [11](#), [36-38](#), [120](#)

crista etmoidal do, [8](#), [11](#), [38](#)

Osso frontal, [1](#), [4](#), [6](#), [8-11](#), [35](#), [37](#), [83-84](#)

crescimento do, [45](#)

crista frontal, [11](#)

do recém-nascido, [14](#)

espinha nasal do, [37-38](#)

forame cego do, [11](#)

glabela do, [4](#), [6](#)

incisura supra-orbital, [4](#), [6](#)

escama frontal, [14](#), [37-38](#)

seio do, [8](#), [37-38](#)

sulco para o seio sagital superior, [11](#)

sulco para vasos meníngeos anteriores, [11](#)

superfície orbital, [4](#)

superfície superior da parte orbital, [11](#)

vista lateral, [14](#)

vista superior, [14](#)

Ossos hioide, [15](#), [27-29](#), [31](#), [34](#), [46-47](#), [59](#), [64](#), [67](#), [70](#), [76](#), [78-79](#), [82](#)

corpo do, [15](#), [58](#)

cornos maiores do, [15](#), [58](#), [70](#)

extremidade do, [67](#), [77](#)

prominência causada pela, [66](#)

cornos menores do, [15](#), [58](#)

Ossos lacrimais, [4](#), [6](#), [8](#), [37](#)

no recém-nascido, [14](#), [45](#)

Ossos nasais, [1](#), [4](#), [6](#), [8](#), [35](#), [37-38](#)

do recém-nascido, [14](#), [45](#)

Ossos occipitais, [6](#), [8-11](#), [22](#), [160](#)

canal do hipoglosso do, [8](#), [10](#)

canal e fossa condilar do, [10](#)

clivo, [11](#)

crista occipital

externa, [10](#)

interna, [11](#)

do recém-nascido, [14](#)

forame jugular do, [8](#)

forame magno do, [8](#), [10](#)

linha nuchal do

inferior, [10](#)

superior, [10](#)

parte basilar do, [8](#), [10-11](#), [22](#), [30](#), [36-38](#), [57](#), [65-68](#)

processo jugular do, [30](#)

protuberância occipital

externa, [8](#), [10](#)

interna, [11](#)

seio transversal do, sulco para, [8](#)

sulco dos vasos meníngeos posteriores, [11](#)

sulco para o seio occipital, [11](#)

sulco para o seio petroso inferior, [8](#), [11](#)

sulco para o seio sagital superior, [11](#)

sulco para o seio transversal, [11](#)

tubérculo faríngeo do, [10](#), [64](#)

vista lateral, [14](#)

vista superior do, [14](#)

Osso palatino, [8](#), [10](#), [37](#)

crista nasal do, [38](#)

espinha nasal do, posterior, [10](#), [38](#)

espinha nasalposterior do, [37](#)

forame palatino

maior, [10](#), [12](#), [37-38](#)

menor, [10](#), [12](#), [37-38](#)

lâmina horizontal do, [8](#), [10](#), [16](#), [36-38](#), [57](#), [62](#), [100](#)

lâmina perpendicular do, [8](#), [37-38](#)

no recém-nascido, [14](#), [45](#)

processo esfenoidal do, [37](#)

processo orbital do, [4](#), [37](#)

processo piramidal do, [10](#), [14](#), [16](#)

Osso parietal, [4](#), [6](#), [8-11](#)

ângulo mastóideo, [11](#)

no recém-nascido, [14](#)

sulco dos vasos meníngeos médios, [11](#)

tubérculo articular do, [14](#)

vista lateral, [14](#)

vista superior, [14](#)

Oso pisiforme, [428](#), [432-434](#), [439-443](#), [445-447](#), [449](#), [452](#)

radiografias do, [444](#)

Oso semilunar, [439](#), [442-443](#)

radiografias do, [444](#)

Oso sesamoide

da mão, [439](#), [443](#)

do pé, [511](#), [515](#), [521-523](#)

Oso sutural, [6](#), [9](#)

Oso temporal, [4](#), [6](#), [8](#), [10-11](#), [15](#)

aqueduto do vestíbulo, abertura do, [8](#)

artéria carótida interna, [138](#)

canal carótico do, [10](#)

canalículo mastoideo do, [10](#)

canalículo timpânico do, [10](#)

crista supramastóidea do, [6](#)

do recém-nascido, [14](#)

fissura petroescamosa do, [14](#)

fissura petrotimpânica do, [10](#)

forame estilomastóideo do, [10](#)

forame mastóideo do, [10](#)

fossa jugular para, [10](#)

fossa mandibular do, [6](#), [10](#), [14](#)

impressão trigeminal, [11](#)

Incisura mastóidea do, [10](#)

inferior, [6](#)

janela da cóclea, [14](#)

janela do vestíbulo (oval), [14](#)

meato acústico do

externo, [6](#), [10](#)

interno, [8](#)

parte escamosa do, [6](#), [8](#), [11](#), [14](#)

parte petrosa do, [8](#), [10-11](#), [14](#), [99-100](#)

eminência arqueada, [11](#)

feixe muscular acessório de, [67](#)

sulco para nervo petroso maior, [11](#)

sulco para nervo petroso menor, [11](#)

sulco para seio petroso superior, [11](#)

sulco para seio sigmóideo, [11](#)

parte timpânica do, [14](#)

processo estiloide do, [6](#), [10](#), [14](#)

processo mastóide, [6](#), [10](#)

processo zigomático do, [6](#), [10](#), [14](#)

seio petroso superior, sulco para, [8](#)

seio sigmóideo, sulco para, [8](#)

sulco occipital, [10](#)

sulco para artéria temporal profunda posterior do, [6](#)

sutura lambdóidea, [6](#)

tubérculo articular, [6](#), [10](#)

Ossos zigomáticos, [1](#), [4](#), [6](#), [10](#), [83](#)

do recém-nascido, [14](#)

face orbital do, [4](#)

forame zigomaticofacial do, [4](#), [6](#), [14](#)

processo frontal do, [4](#)

processo temporal do, [4](#), [6](#)

Ossos carpais, [439](#), [443](#)

Ossos metacarpais, [439-443](#), [445](#), [451](#)

primeiro, [431](#), [434](#), [449](#), [454](#)

quinto, [430-431](#), [434](#)

radiografias dos, [444](#)

segundo, [431](#)

Ossos metatarsais, [511-512](#), [515](#), [523-524](#)

primeiro, [505](#), [514](#)

quinto, [505-506](#)

tuberosidades dos, [516-517](#), [522-523](#), [531](#)

Óstio abdominal, [352](#)

Óstio cárdico, [270](#)

plexo cardíaco, [127](#), [206](#), [223-224](#), [236](#)

ramos para, [206](#)

Óstio da vagina, [340](#), [354](#), [357](#), [366](#)

Óstio do ureter, [362](#)

direito, [348](#)

esquerdo, [348](#)

Óstio externo da uretra, [329](#), [340](#), [354](#), [357](#), [360](#), [363](#), [366](#), [373](#)

Óstio ileal, [276](#)

Óstio pilórico, [272](#)

Óstio uterino, [352](#)

Óstios glandulares, [280](#)

Ovário, [313](#), [340-342](#), [350](#), [352](#), [367](#), [378](#), [390](#), [393](#)

corpo albicante do, [352](#)

corpo lúteo do, [352](#)

direito, [353](#)

folículo ovariano (de De Graaf), [352](#)

ligamento do, [340-342](#), [350-352](#), [367](#)

ligamento suspensor do, [340-343](#), [352-353](#), [367](#), [378](#)

P

Paladar

nervos do, [61](#)

vias do paladar, [136](#)

Palato

crescimento do, [45](#)

fibras pós-sinápticas para o, [53](#)

inervação do, [119](#), [164](#)

Palato duro, [64](#), [68](#)

Palato mole, [36](#), [38](#), [56](#), [64](#), [66](#), [68](#)

inervação do, [119](#)

músculos do, [65](#)

Pálpebras, [83](#)

artérias e veias das, [87](#)

tarso das, [85](#)

Pâncreas, [127](#), [176](#), [267-268](#), [281](#), [320-321](#)

cabeça do, [266](#), [271-272](#), [281](#)

artérias, [286](#)

imagens axiais de CT do, [323](#)

cauda do, [266](#), [281-282](#), [308](#)

artéria da, [284](#)

colo do, [281](#)

corpo do, [266](#), [281](#)

imagens axiais de CT de, [322](#)

imagens axiais de CT do, [322](#)

in situ, [281](#)

inervação do, [163-164](#)

linfonodos e vasos linfáticos do, [294](#)

nervos autônomos do, [307](#)

processo uncinado do, [281](#)

seção transversal do, [327](#)

seção transversal do, [325](#)

Papila, [63](#)

da parótida, [56](#)

extremidade queratinizada da, [60](#)

fibras para a, [274](#)

filiformes, [60](#)

folhadas, [60](#), [136](#)

fungiformes, [60](#), [136](#)

ileal, [274](#)

incisiva, [57](#)

lacrimal

inferior, [83-84](#)

superior, [83-84](#)

renal, [311](#)

valadas, [60](#), [136](#)

Papila do ducto parotídeo, [56](#)

Papila do duodeno

maior, [272](#), [280](#)

menor, [272](#), [280](#)

Papila ileal, [274](#)

Papila incisiva, [57](#)

Papila lacrimal

inferior, [83-84](#)

superior, [83-84](#)

Papila mamária, [178-179](#), [329](#)

Papila renal, [311](#)

Papilas circunvaladas, [60](#), [136](#)

Papilas filiformes, [60](#)

Papilas folhadas, [60](#), [136](#)

Paradídimo, [367](#)

Paraoóforo, [367](#)

Parede (membrana) vestibular (de Reissner), [98](#)

Parede abdominal

anterior

artérias, [251](#)

dissecação profunda da, [247](#)

dissecação média da, [246](#)

dissecação superficial da, [245](#)

nervos, [253](#)

veias da, [252](#)

vista interna, [249](#)

posterior

artérias, [259](#)

nervos, [262](#)

peritônio da, [268](#)

vasos linfáticos e linfonodos da, [261](#)

veias, [260](#)

vista interna, [258](#)

posterolateral, [250](#)

seção paramediana, [321](#)

Parede alveolar

leito capilar no interior da, [202](#)

plexos capilares no interior da, [202](#)

Parede da vagina, [350-351](#)

Parede do tórax

anterior, [185-186](#)

vista interna, [187](#)

internas, veias, [189](#)

Parênquima renal, [311](#)

Parte abdominal da aorta, [176](#), [192](#), [229](#), [259](#), [264](#), [267-268](#), [271](#), [283-284](#), [303](#), [308](#), [310](#), [314-315](#), [320-32](#), [341-342](#), [345](#), [376](#), [378-381](#), [390](#)

arteriografia da, [285](#)

imagens axiais de CT da, [323](#)

seção transversal da, [326-328](#)

Parte ascendente da aorta, [139](#), [212](#), [214](#), [217](#), [20-2222](#), [237](#), [240](#)

secção frontal, [214](#)

Parte clavicular, [27](#), [29](#)

do músculo esternocleidomastóideo, [1](#)

Parte distal, [148](#)

Parte ectodérmica do canal anal, [371](#)

Parte esternal, [27](#), [29](#)

do músculo esternocleidomastóideo, [1](#)

Parte flácida, [95](#)

Parte interarticular, [155](#)

Parte intermédia, [148](#)

Parte laríngea da faringe, [64](#), [66](#)

Parte mediastinal da pleura parietal, [191](#), [209](#)

Parte nasal da faringe, [64](#), [66](#), [94](#), [105](#)

vias aéreas na, [36](#)

Parte oral da faringe, [26](#), [64](#), [66](#), [68](#), [230](#)

Parte tensa, [95](#)

Parte tuberal, [148](#)

Parte ulnocapitato, [441](#)

Parte ulnopiramidal, [441-442](#)

Parte ulnossemilunar, [441](#)

Parto, vias nervedosas relacionadas ao, [392](#)

Pata de ganso (*pes anserinus*), [477](#), [479-480](#), [493-494](#), [502](#)

Patela, [468](#), [479-481](#), [488](#), [493-494](#), [498](#), [506-507](#)

radiografia da, [497](#)

artérias do, [509](#)

artérias profundas do, [523](#)

dorso do, [518](#)

 músculos do, [517](#)

eversão do, [469](#)

inversão do, [469](#)

ligamentos do, [515](#)

músculos interósseos do, [523-524](#)

músculos plantares

 primeira camada, [520](#)

 segunda camada, [521](#)

 terceira camada, [522](#)

ossos do, [511-512](#)

planta, [519](#)

superfície plantar, [468](#)

tendões do, [515](#)

Pé do hipocampo, [112-113](#)

Pécten anal, [371](#)

Pedículo

 cervical, [20](#)

 lombar, [155-156, 158-159](#)

 torácico, [154](#)

Pedúnculo cerebral, [107, 116](#)

Pedúnculos cerebelares

 inferior, [114-116, 125, 145](#)

 médio, [114-116, 145](#)

 superior, [114-116, 145](#)

 decussação do, [114](#)

Pele

 do couro cabeludo, [3, 25, 103](#)

do escroto, [365](#), [368](#)

do pênis, [358-360](#), [365](#)

do pescoço, [26](#)

Pele perianal, [371-372](#)

Pelve

anatomia de superfície da, [329](#)

estrutura óssea da, [330](#)

feminina, [397](#)

artérias da, [380](#)

conteúdo da, [341](#)

diafragma da, [335-337](#), [340](#)

linfonodos e vasos linfáticos da, [384](#)

medições da, [332](#)

radiografia da, [331](#)

imagens sagitais de CT de, [375](#)

ligamentos da, [333-334](#)

linha terminal da, [343](#), [345](#)

maior, [334](#), [341](#)

masculina

artérias da, [381](#)

conteúdo da, [345](#)

diafragma da, [338-339](#)

junção vésico-próstática, [396](#)

linfonodos e vasos linfáticos da, [386](#)

medições da, [332](#)

radiografia da, [331](#)

veias da, [381](#)

vísceras da, [344](#)

menor, [334](#)

ossos da, [333-334](#)

ureteres na, [313](#)

vísceras da, [340](#), [342](#)

Pelve maior, [334](#), [341](#)

Pelve menor, [334](#)

Pelve renal, [311](#)

seção transversal da, [327](#)

Pênis, [360](#)

artéria dorsal do, [359](#), [361](#), [383](#)

profunda, [379](#), [383](#)

artériaprofunda do, [359](#), [363](#), [383](#)

bulbo do, [360-361](#), [363](#)

artéria do, [361](#), [383](#)

corpo cavernoso do, [359-360](#), [363](#)

corpo do, [329](#), [366](#)

corpo esponjoso do, [359](#), [363](#)

fáscia superficial do, [245-247](#), [344](#), [358-360](#), [365](#)

frênulo do, [360](#)

glândade do, [329](#), [344](#), [360](#), [363](#), [366](#)

colo da, [360](#)

coroa da, [360](#)

imagens sagitais de CT do, [375](#)

ligamento fundiforme do, [245](#), [255](#), [344](#)

ligamento suspensor do, [246](#), [344](#)

nervo dorsal do, [359](#), [361](#), [383](#), [387-389](#), [394](#), [484](#), [490](#)

nervos cavernosos do, [388](#), [394](#)

pele do, [358-360](#), [365](#)

profunda fáscia (de Buck) do, [245-247](#), [321](#), [344](#), [358-361](#), [365](#), [373-374](#), [381](#), [383](#)

septo intercavernous da, [359-360](#), [363](#)

rafe do, [366](#)

ramo do, [348](#), [359-361](#), [363](#)

seção transversal através do, [359](#)

túnica albugínea do, [359](#), [363](#)

veia dorsal do

hiato para a, [338](#)

profunda, [245](#), [339](#), [344](#), [359](#), [361](#), [379](#), [381](#)

superficial, [245](#), [252](#), [329](#), [359](#), [381](#)

veia lateral superficial do, [359](#)

Pericárdio, [26](#), [191](#), [203](#), [208-209](#), [212](#), [229-230](#)

área nua do, [193](#)

no local da reflexão dos grandes vasos, [209](#)

parte diafragmática do, [212](#)

parte esternocostal do, [212](#)

Pericárdio fibroso, [195](#), [208](#), [212](#), [227-228](#)

Pericrânio, [103](#)

Períneo

anatomia de superfície do, [329](#)

artérias do, [382](#)

masculino, [383](#)

feminino, [340](#), [354](#)

dissecação superficial do, [355](#)

fibras interdigitantes do, [337](#)

períneo profundo e, [356](#)

linfonodos e vasos linfáticos, sexo feminino, do, [385](#)

masculino, [344](#)

dissecação profunda, [359](#)

dissecação superficial, [358](#)

masculino, [383](#)

nervos do

feminino, [391](#)

masculino, [389](#)

veias do, [382](#)

Periodonto, [63](#)

Periórbita, [85](#)

Periósteeo alveolar, [63](#)

Periósteeo mandibular, [63](#)

Peritônio, [7](#), [176](#), [232](#), [249](#), [256](#), [276](#), [301](#), [308](#), [315](#), [320](#), [340](#), [355](#), [378](#) *Veja também o*
peritônio específico

da fossa pararretal, [370](#)

da parede posterior do abdome, [268](#)

das vísceras pélvicas, [390](#)

prolongamento inferior do, [393-394](#)

Peritônio visceral, [267](#), [272](#), [305](#), [374](#)

Perna

artérias da, [509](#)

compartimentos fasciais da, [510](#)

dissecação média dos, [504](#)

dissecação superficial da, [503](#), [507](#)

fáscia profunda da, [470](#), [472](#), [510](#)

músculos da

dissecação profunda dos, [505](#), [508](#)

fixações dos, [502](#)

cortes transversais da, [510](#)

vista lateral da, [506](#)

Pescoço

anatomia de superfície do, [1](#)

lâminas fasciais do, [26](#)

da escápula, [183](#)

estrutura óssea do, [15](#)

linfonodos e vasos linfáticos do, [74](#)

músculos do

escalenos e pré-vertebrais, [30](#)

infra-hióideos e supra-hióideos, [28](#)

vista anterior dos, [27](#)

vista lateral dos, [29](#)

nervos autônomos no, [131](#)

nervos cutâneos do, [31](#)

nervos do, [32-33](#)

pele do, [26](#)

tela subcutânea do, [26](#)

trígono do, [175](#)

posterior, [171](#), [185](#)

vasos do, [32-33](#)

veias superficiais do, [31](#)

Pia-máter, [101](#), [103](#), [109](#), [166](#)

medula espinal sobrejacente, [165](#)

Pilar membranáceo comum, [97-98](#)

Pilar ósseo comum, [97-98](#)

Piloro, [269-271](#)

seção transversal do, [325](#)

Pirâmides, [115](#)

da parte inferior do verme, [114](#), [116](#)

decussação das, [115-116](#)

Placa terminal da cartilagem, [159](#)

Plano interespinal, [244](#)

Plano intertubercular, [244](#)

Plano subcostal, [244](#)

Plano transpilórico, [244](#)

Pleura parietal, [208](#)

cúpula (cervical), [193-194](#), [227-228](#)

parte costal da, [190-191](#), [195](#), [203](#), [208](#), [227-229](#)

margem direita, [194](#)

margem esquerda da, [194](#)

parte diafragmática, [190-191](#), [195](#), [203](#), [208](#), [229](#)

Pleura visceral, [202](#)

Pleuras, [166](#), [196](#), [309](#)

mediastinal, [191](#), [209](#)

parietal, [208](#)

cúpula (cervical) da, [193-194](#), [227-228](#)

parte costal da, [190-191](#), [194-195](#), [203](#), [208](#), [227-229](#)

parte diafragmática da, [190-191](#), [195](#), [203](#), [208](#), [229](#)

parte mediastinal da, [190-191](#), [195](#), [203](#), [208-209](#), [212-213](#), [227-229](#)

visceral, [202](#)

Plexo aórtico, [300](#)

Plexo aórtico torácico, [236](#)

Plexo arterial pial, [168](#)

Plexo braquial, [1](#), [29-32](#), [71](#), [160](#), [180](#), [186](#), [190](#), [195](#), [203](#), [208](#), [225](#), [227-229](#), [412-413](#), [415](#)

comunicação, [130](#)

cordões do, [461-463](#)

lateral, [416](#), [419](#), [461-463](#)

medial, [416](#), [419](#), [461-463](#)

posterior, [416](#), [461-463](#)

fascículo lateral, [214](#)

ramos anteriores do, [416](#)

ramos posteriores do, [416](#)

esquema, [416](#)

raízes do, [416](#)

ramos terminais do, [416](#)

tronco médio do, [71](#), [410](#), [416](#)

troncos inferiores do, [71](#), [410](#), [416](#)

troncos superiores do, [71](#), [410](#), [416](#)

Plexo capilar da parte nervosa, [149](#)

Plexo carótico

comum, [131-132](#)

externo, [131-132](#), [134](#), [163](#)

interno, [13](#), [53](#), [88](#), [96](#), [124](#), [132-133](#), [163](#)

Plexo cavernoso, [122](#)

Plexo celíaco, [127](#), [236](#), [298-299](#), [301-302](#), [317-319](#), [388](#), [393](#)

Plexo cervical, [174-175](#)

alça cervical do, [129](#)

esquema do, [33](#), [130](#)

ramos do, [2](#)

Plexo coccígeo, [484](#)

Plexo corioide, [112-113](#), [116](#)

do quarto ventrículo, [107](#), [110](#), [115-116](#), [145](#)

do terceiro ventrículo, [107](#), [109-110](#), [144](#)

dos ventrículos laterais, [101](#), [109-111](#), [140](#), [144](#), [146](#)

Plexo dental inferior, [123](#)

Plexo esofágico, [127](#), [203](#), [206](#), [213](#), [227-229](#), [234](#), [236](#), [300](#)

ramo simpático para o, [206](#)

ramos nervosos para o, [236](#)

Plexo faríngeo, [61](#), [71](#), [126-127](#), [131-132](#)

Plexo frênico inferior, [297-298](#), [388](#)

direito, [299](#), [319](#)

esquerdo, [299](#), [319](#)

Plexo hepático, [298-299](#), [301](#), [306](#)

comum, [297](#)

ramo pilórico do, [127](#)

ramo vagal do, [298](#)

ramo vagal para o, [236](#)

Plexo hipogástrico, [486](#)

inferior, [163](#), [297](#), [302-303](#), [317-318](#), [387-388](#), [390](#), [392-395](#)

superior, [163](#), [297](#), [302-303](#), [317-318](#), [341](#), [345](#), [387](#), [390](#), [392-395](#)

Plexointermesentérico, [262](#), [297](#), [301-303](#), [317-318](#), [388](#), [390](#), [392-395](#)

ramos renais do, [317](#)

ramos uretéricos superiores do, [317](#)

seção transversal do, [328](#)

Plexo intramuscular circular, [305](#)

Plexo intramuscular longitudinal, [305](#)

Plexo linfático subcapsular, [316](#)

Plexo linfático subpleural, [205](#)

Plexo lombar, [160](#), [225](#), [483-485](#), [525-526](#)

ramos musculares do, [262](#)

Plexo lombossacral, [262](#), [317](#), [484](#)

Plexo maxilar, [132](#)

Plexo meníngeo médio, [132](#)

Plexo mesentérico

inferior, [297](#), [302](#), [388](#)

superior, [297-299](#), [301](#), [307](#), [388](#)

Plexo mioentérico (de Auerbach), [305](#)

Plexo nervoso patelar, [470](#)

Plexo pampiniforme, [252](#), [365](#), [379](#), [381](#)

Plexo periglandular, [305](#)

Plexo pial, [167](#)

ramos periféricos do, [168](#)

Plexo pré-vesical, [386](#)

Plexo prostático, [317](#), [388](#), [394-395](#)

Plexo pterigóideo, [73](#), [87](#)

veia facial profunda do, [3](#)

Plexo pulmonar, [127](#), [207](#), [236](#)

anterior, [206](#)

posterior, [206](#)

ramos para o, [206](#)

Plexo renal, [297](#), [317-319](#), [395](#)

esquerdo, [302](#), [388](#)

Plexo retal, [302-303](#), [317](#), [388](#), [390](#)

conexão entre, [377](#)

externo, [377](#)

interno, [377](#)

médio, [302](#)

superior, [297](#), [302](#)

Plexo sacral, [160](#), [225](#), [318](#), [388](#), [393-395](#), [484](#), [486](#)

direito, [302](#)

Plexo simpático, [55](#)

Plexo submucoso (de Meissner), [305](#)

Plexo subseroso, [305](#)

Plexo suprarrenal, [297](#), [302](#)

Plexo timpânico, [96](#), [124](#), [126](#), [133](#), [135](#)

promontório com o, [95](#)

ramo tubário do, [126](#)

Plexo uretérico, [388](#)

Plexo uterovaginal, [390](#), [392-393](#)

Plexo venoso, [353](#)

artéria vertebral, em torno da, [170](#)

basilar, [104-105](#)

da artéria carótida interna, [55](#)

externo, [370](#)

comunicação com o, [377](#)

interno, [370](#)

comunicação com o, [377](#)

no forame magno, [12](#)

pampiniforme, [252](#), [365](#), [379](#), [381](#)

prostático, [344](#), [381](#)

retal, [260](#)

externo, [291](#)

perimuscular, [291](#)

vaginal, [377](#), [397](#)

vertebral (de Batson), [104](#)

interno, [166](#)

vesical, [381](#)

Plexo venoso areolar, [252](#)

Plexo venoso pial, [169](#)

Plexo venoso prostático, [381](#)

Plexo venoso retal, [260](#)

externo, [291](#), [371-372](#)

interno, [371-372](#)

perimuscular, [291](#)

Plexo venoso retal perimuscular, [291](#), [377](#)

Plexo venoso útero-vaginal, [260](#)

Plexo venoso vaginal, [377](#), [397](#)

Plexo venoso vertebral, [104](#)

externo, [169](#)

anterior, [170](#)

interna, [166](#), [169](#)

anterior, [170](#)

Plexo venoso vesical, [260](#), [348](#), [381](#)

no espaço retropúbico, [344](#)

Plexo vertebral, [131](#)

Plexo vesical, [302](#), [317](#), [388](#), [390](#), [392](#), [394-395](#)

Plexos autônomos intrínsecos, dos intestinos, [305](#)

Polo frontal, [106](#), [108](#)

Polo occipital, [106](#)

Polo temporal, [106](#), [108](#)

Polpa do dente, [63](#)

Polpa esplênica branca, [282](#)

Polpa esplênica vermelha, [282](#)

Ponta queratinizada, da papila, [60](#)

Ponte, [107](#), [115-116](#), [135-136](#)

imagem da, [151](#)

Ponto de McBurney, [275](#)

Ponto lacrimal

inferior, [83-84](#)

superior, [83-84](#)

Poros acústico interno, [99](#)

Poros alveolares (de Kohn), [201](#)

Porta do fígado, [277](#)

Pré-cúneo, [107](#)

Prega ariepiglótica, [66-67](#), [80](#)

Prega axilar

anterior, [178](#)

posterior, [178](#)

Prega duodenal

inferior, [264](#), [271](#)

superior, [264](#)

Prega faringoepiglótica, [67](#), [69](#)

fibras para a, [65](#)

Prega franjada, [56](#)

Prega gastropancreática, [266](#)

Prega glossoepiglótica

lateral, [60](#)

mediana, [60](#)

Prega ileocecal (prega avascular de Treves), [273](#)

Prega inguinal, [367](#)

Prega interuretérica, [348](#)

Prega lacrimal, [84](#)

Prega malear

anterior, [95](#)

posterior, [95](#)

Prega peritoneal, [266](#), [345](#)

Prega retouterina, [268](#), [345](#), [370](#)

Prega salpingofaríngea, [66](#), [68](#)

Prega semilunar, [83-84](#)

Prega sinovial infrapatelar, [494-495](#)

Prega sublingual, [46](#), [56](#)

Prega triangular, [68](#)

Prega umbilical

lateral, [249](#), [268](#), [341](#), [345](#)

medial direita, [249](#)

medial, [268](#), [341](#), [345](#), [378](#)

mediana, [249](#), [268](#), [341](#), [345](#)

Prega uretérica, [341-342](#), [345](#)

Prega uretral, [366](#)

Prega urogenital, [366](#)

Prega vesical transversa, [249](#), [341](#), [345](#), [353](#)

Prega vestibular, [82](#)

Pregas alares, [494](#)

Pregas circulares (valvas de Kerkring), [272](#), [280](#)

Pregas da íris, [90](#)

Pregas longitudinais, [280](#)

do estômago, [270](#)

Pregas palatinas transversas, [57](#)

Pregas palmadas, [352](#)

Pregas transversas do reto (válvulas de Houston), [371](#)

Pregas vocais, [64](#), [80](#), [82](#)

Prepúcio, [344](#), [366](#)

do clitóris, [354](#)

Processo acessório, [155](#)

Processo alveolar, [4](#), [6](#), [8](#), [16](#), [37](#)

da maxila, [43](#)

Processo articular

cervical

inferior, [20-21](#)

superior, [20-21](#)

lombar

inferior, [155-156](#), [158-159](#)

superior, [155](#), [158-159](#)

sacral, superior, [157](#)

torácica

inferior, [154](#)

superior, [154](#)

Processo caudado, [277](#)

Processo clinoide

anterior, [8](#), [11](#)

posterior, [11](#)

Processo condilar da mandíbula, [15](#), [17](#)

cabeça, da, [6](#)

Processo coracoide, [185-186](#), [405-408](#), [410-415](#), [417](#), [419](#)

da escápula, [183](#)

Processo coronoide

da mandíbula, [6-7](#), [15](#), [17](#), [42](#)

da ulna, [422](#), [425](#), [429](#)

inserção do músculo temporal no, [6](#)

radiografias do, [423](#)

Processo esfenoidal, [37](#)

Processo espinhoso, [237](#)

cervical, [20](#), [22](#), [152](#), [171-173](#), [409](#)

lombar, [155-156](#), [158-159](#), [176](#)

seção transversal da, [328](#)

torácico, [154](#), [156](#), [171-172](#), [174](#), [194](#), [409](#)

Processo espinhoso bífido, [20](#)

Processo estiloide, [6](#), [10](#), [14-16](#), [18](#), [29-30](#), [34](#), [42](#), [58-59](#), [66-67](#), [70](#), [96](#)

da ulna, [425](#), [439](#)

radiografias do, [444](#)

do rádio, [425](#), [439](#)

radiografias do, [444](#)

Processo etmoidal, da concha nasal inferior, [37](#)

Processo infundibular, [148](#)

plexo capilar do, [149](#)

Processo lateral

da cartilagem do septo nasal, [35](#), [37-38](#)

do martelo, [95](#)

do tálus, [512](#)

Processo lateral da mama, [180](#)

Processo lenticular da bigorna, [95](#)

Processo mamilar, [155](#)

Processo mastoide, [6](#), [10](#), [15-16](#), [24](#), [27](#), [29-30](#), [58-59](#), [100](#), [173](#)

Processo orbital, do osso palatino, [4](#), [37](#)

Processo palatino, [7-8](#), [10](#), [16](#)

da maxila, [36-38](#), [57](#), [62](#), [100](#)

Processo piramidal, [10](#), [14](#), [16](#)

Processo pterigoide

hámulo do, [6](#), [10](#), [16](#), [37](#)

lâmina lateral, [6](#), [8](#), [10](#), [16](#), [37-38](#)

lateral, [15-16](#), [42](#), [49](#), [70](#), [100](#)

fossa pterigóidea do, [10](#)

fossa escafóidea do, [10](#)

lâmina medial, [6](#), [8](#), [10](#), [16](#), [37-38](#)

no recém-nascido, [45](#)

medial, [16](#), [49](#), [57](#), [65](#), [68](#), [100](#)

direito, [55](#)

hâmulo pterigóideo da lâmina medial do, [15](#)

Processo recorrente, [120](#)

Processo transverso, [176](#), [184](#)

cervical, [19](#), [22](#), [30](#), [173](#)

C6, [137](#)

tubérculo anterior do, [20](#), [30](#)

tubérculo posterior do, [20](#), [30](#)

do cóccix, [157](#)

do corpo vertebral, faceta articular para o, [184](#)

lombar, [155-156](#), [158-159](#), [243](#), [330](#)

lombossacral, L1, [192](#)

torácico, [154](#)

Processo uncinado

cervical, [20](#)

do osso etmoide, [36-37](#), [44](#)

no recém-nascido, [45](#)

do pâncreas, [281](#)

seção transversal do, [327](#)

Processo vaginal, [364](#)

Processo zigomático, [14](#)

da maxila, [4](#), [10](#)

do osso temporal, [6](#), [10](#)

Processos ciliares, [89-91](#)

Proeminência esofágica, [212](#)

Proeminência laríngea, [79](#)

Promontório, [94](#)

com o plexo timpânico, [95](#)

da base do sacro, [157](#), [330](#), [333-334](#), [336](#), [340](#), [342](#), [345](#), [390](#)

medições do, [332](#)

Promontório do sacro, [157](#), [330](#), [333-334](#), [336](#), [340](#), [342](#), [345](#), [390](#)

medições do, [332](#)

Próstata, [249](#), [321](#), [339](#), [344](#), [348](#), [361-363](#), [367](#), [369](#)

ápice da, [362](#)

base da, [362](#)

cápsula da, [348](#)

drenagem linfática a partir da, [386](#)

estroma fibromuscular da, [362](#)

inervação da, [163-164](#)

primórdios da, [367](#)

zona central da, [362](#)

zona de transição da, [362](#)

zona periférica da, [362](#)

Protuberância mentual, [1](#), [4](#), [17](#)

Protuberância occipital externa (ínio), [6](#), [8](#), [10](#), [16](#), [152](#)

Protuberância occipital interna, [11](#)

Ptério, [6](#)

Púbis, [321](#), [335-336](#), [361](#)

crescimento do, [347](#)

corpo do, [396](#)

face sinfisial do, [390](#)

imagens sagitais de CT do, [375](#)

radiografia do, [331](#), [475](#)

seção transversal do, [397](#)

Pudendo, [354](#)

Pulmões, [179](#), [315](#)

ápice dos, [193](#)

direito, [196](#), [208](#), [210](#), [214](#), [238-240](#)

ápice, [196](#)

área esofágica do, [196](#)

área traqueal do, [196](#)

face diafragmática do, [196](#)

fissura horizontal do, [193-196](#)

fissura oblíqua do, [193-196](#)

hilo do, [209](#)

impressão cardíaca do, [196](#)

linfonodos e vasos linfáticos do, [205](#)

lobo inferior do, [195-198](#), [324](#)

lobo médio do, [195-198](#), [213](#)

lobo superior do, [195-198](#), [237](#)

margem anterior, [196](#)

margem inferior do, [193-194](#), [196](#)

raiz do, [190](#)

segmentos broncopulmonares de, [197-198](#)

esquerdo, [196](#), [208](#), [212](#), [214](#), [238-240](#)

ápice do, [194](#), [196](#)

área esofágica do, [196](#)

face diafragmática do, [196](#)

fissura oblíqua do, [193-194](#), [196](#), [239](#)

hilo do, [209](#)

impressão cardíaca do, [196](#)

incisura cardíaca do, [193](#), [195](#)

linfonodos e vasos linfáticos do, [205](#)

- lobo inferior do, [195-198](#), [324](#)
- margem anterior do, [196](#)
- margem inferior do, [193-194](#), [196](#)
- raiz do, [190](#)
- segmentos broncopulmonares, [197-198](#)
- in situ*, vista anterior dos, [195](#)
- inervação dos, [119](#), [163-164](#)
- linfonodos dos, [205](#)
- lobo superior do, [195-198](#), [213](#), [237](#)
 - área traqueal do, [196](#)
- radiografia do, [156](#)
- topografia
 - vista anterior dos, [193](#)
 - vista posterior dos, [194](#)
- vasos linfáticos dos, [205](#)
- vias de drenagem linfática dos, [205](#)
- visualizações mediais do, [196](#)

Pulvinar, [111-112](#)

- direito, [145](#)
- do tálamo, [108](#), [112](#), [115-116](#), [140](#), [146](#)
- esquerdo, [145](#)

Punho

- artérias do, [449](#)
- dissecação dorsal profunda do, [456](#)
- dissecação dorsal superficial, [455](#)
- dissecação radial superficial, [454](#)
- dissecções palmares
 - profunda, [447](#)
 - superficial, [446](#)
- extensores do, [427](#)

flexores do, [428](#)

ligamentos do, [441-442](#)

movimentos do, [440](#)

nervos cutâneos do, [459](#)

nervos do, [449](#)

ossos do, [443](#)

radiografias do, [444](#)

tendões extensores do, [457](#)

tendões flexores do, [449](#)

Pupila, [83](#)

Putame, [109](#), [111](#)

Q

Quadril

artrografia do, [530](#)

extensão do, [469](#)

flexão do, [469](#)

imagem de ressonância magnética do, [530](#)

músculos do

fixações dos, [477-478](#)

vista lateral do, [481](#)

visões posteriores do, [482](#)

nervos do, [490](#)

radiografia do, [530](#)

Quiasma óptico, [43](#), [105](#), [107-108](#), [115](#), [121](#), [138](#), [141-142](#), [146-148](#)

Quiasma tendíneo (de Camper), [448](#)

R

Radiação óptica, [121](#)

Radículas posteriores, dos nervos espinais, [160](#)

Rádio, [422](#), [426-429](#), [431](#), [434](#), [436-439](#), [441-442](#), [452](#)

cabeça do, [417](#), [422-423](#), [425](#)

colo do, [422-423](#), [425](#)

face posterior do, [425](#)

margem anterior, [425](#)

margem interóssea do, [425](#)

margem posterior do, [425](#)

membrana interóssea do, [425](#), [429](#)

processo estiloide do, [425](#), [439](#)

radiografias do, [444](#)

radiografia do, [423](#)

rotadores do, [426](#)

superfície anterior, [425](#)

tubérculo dorsal (de Lister), [425](#)

Rafe da farínge, [36](#), [64-65](#), [67-68](#), [77](#), [231](#)

Rafe do palato, [57](#)

Rafe do períneo, [354](#), [366](#)

Rafe mediana

do músculo levantador do ânus, [337](#)

entre os músculos milo-hióideos, [58](#)

placa do levantador, [336](#)

Rafe pterigomandibular, [15](#), [47](#), [49](#), [51](#), [57](#), [65](#), [68](#), [70](#)

Raiz craniana

do nervo do acessório, [128](#)

Raiz da unha, [458](#)

Raízes dos nervos espinais, [300](#)

relação das vértebras com as, [161](#)

vista posterior, [165](#)

Ramo comunicante com o nervo laríngeo recorrente, [82](#)

Ramo cricótireóideo, [72](#), [76](#)

Ramo da hélice, [95](#)

Ramo direito, [222](#)

 fibras subendocárdicas (de Purkinje) do, [222](#)

 ramos subendocárdicos do, [222](#)

Ramo do nó sinoatrial, [215](#), [222](#)

Ramo esquerdo, [222](#)

 ramos subendocárdicos do, [222](#)

Ramo hipotalâmico, [141](#)

Ramo infra-hióideo, [76](#)

Ramo interventricular anterior, [215](#)

Ramo isquiopúbico do osso do quadril, [333-334](#), [339](#), [344](#), [350](#), [355-356](#), [358](#), [360-362](#), [373](#)

Ramo milo-hióideo, [51](#)

 nervo para, [51](#), [58](#)

Ramo nasal

 externo, [35](#)

 lateral

 inferior, [132](#)

 posterior, [132](#)

 superior, [132](#)

 posterior, [134](#)

Ramo para o seio carótico (de Hering), [71](#), [126](#), [131](#)

Ramo paracentral, [142-143](#)

Ramo pré-culneal, [143](#)

Ramo simpático laringofaríngeo, [131](#)

Ramo supra-hióideo, [59](#), [72](#)

Ramo zigomaticofacial, [2](#), [3](#), [52](#), [54](#), [71](#), [87](#), [123](#)

Ramo zigomaticotemporal, [2](#), [3](#), [52](#), [54](#), [71](#), [87](#), [123](#)

Ramos (pedúnculos, pilares)

 de antélice, [95](#)

 do clitóris, [340](#), [348](#), [350](#), [356-357](#)

 do fórnice, [107](#), [111](#), [113](#), [144](#)

do pênis, [348](#), [359-361](#), [363](#)

pedúnculo cerebral, [108](#), [114-115](#), [140](#), [146](#)

pilares do diafragma, [176](#), [315](#)

direito, [229](#), [258](#), [264](#)

esquerdo, [229](#), [264](#)

seção transversal dos, [324-327](#)

Ramos anteriores

dos nervos espinais cervicais, [32](#), [71](#), [129](#), [174](#), [190](#)

dos nervos espinais lombares, [158](#), [174](#), [388](#), [393](#), [485](#)

dos nervos espinais sacrais, [388](#), [392](#)

dos nervos espinais torácicos, [174](#), [177](#), [388](#), [392](#)

dos nervos espinais, [165-166](#)

in situ, [160](#)

Ramos arteriais da tuba auditiva, [96](#), [382](#)

Ramos calcâneos

lateral, [521-522](#)

medial, [521-522](#)

Ramos comunicantes brancos, [131](#), [133-135](#), [163](#), [166](#), [177](#), [188](#), [206](#), [224-225](#), [227-228](#), [236](#), [254](#), [262](#), [297](#), [300](#), [303-304](#), [318](#), [388](#), [390](#), [393-395](#), [485](#)

de e para o tronco simpático, [165](#)

dos nervos espinais, [165](#)

Ramos comunicantes cinzentos, [131](#), [133-135](#), [163](#), [166](#), [177](#), [188](#), [206](#), [224-225](#), [227-228](#), [236](#), [254](#), [262](#), [297](#), [300](#), [303-304](#), [317-318](#), [388](#), [390](#), [393-395](#), [485-486](#)

dos nervos espinais, [165](#)

para e do tronco simpático, [165](#)

Ramos do calcâneo

lateral, [521-522](#)

medial, [521-522](#)

Ramos do estribo, [94](#)

Ramos do púbis, [530](#)

inferior, [243](#), [330](#), [337](#), [340](#), [348](#), [473-474](#), [483](#)

superior, [243](#), [330](#), [333-334](#), [338](#), [340](#), [344](#), [360](#), [473-474](#), [480](#), [483](#), [486](#)

radiografia dos, [331](#)

Ramos dorsais, [254](#)

de nervos espinais torácicos, [174](#), [177](#), [250](#)

dos nervos espinais cervicais, [22-24](#)

dos nervos espinais lombares, [158](#), [174](#)

dos nervos espinais sacrais, [174](#)

dos nervos espinais, [165-166](#)

Ramos escrotais posteriores, [381](#), [383](#)

Ramos subendocárdicos (fibras de Purkinje)

do ramo direito, [222](#)

do ramo esquerdo, [222](#)

Ramos temporais do nervo facial, [24](#)

Ramos vagais do coração, [131](#)

Rampa do tímpano, [94](#), [97-98](#)

Rampa do vestíbulo, [94](#), [97-98](#)

Recém-nascido, crânio do, [14](#)

Recepção da onda sonora, trajeto da, [94](#)

Receptores da tosse, [207](#)

Receptores de estiramento, [207](#)

Recesso “mesentericoparietal”, [264](#)

Recesso axilar, [408](#), [467](#)

Recesso coclear, [9](#)

Recesso costodiafragmático, [193-195](#), [210](#), [214](#), [227-228](#), [309](#), [315](#)

seção transversal do, [324](#)

Recesso costomediastinal, [195](#)

Recesso duodenal

inferior, [264](#), [271](#)

superior, [264](#)

Recesso duodenal inferior, [264](#)

Recesso elíptico, [97](#)

Recesso epitimpânico, [94-95](#)

Recesso esenoetmoidal, [36-37](#)

Recesso esférico, [97](#)

Recesso faríngeo, [36](#), [42](#), [66](#), [68](#)

Recesso ileocecal

inferior do peritônio, [273](#)

superior do peritônio, [273](#)

Recesso lateral, [116](#)

esquerdo, [109](#)

veia do, [145](#)

Recesso pineal, [109](#)

Recesso piriforme, [66](#), [80](#), [230](#)

Recesso retrocecal, [265](#), [273](#)

Recesso sigmóideo, [265](#), [313](#)

Recesso supraóptico, [107](#), [109](#)

Recesso suprapineal, [109](#)

Rede arterial marginal, [96](#)

Rede do testículo, [368](#)

Rede patelar (anastomose), [487-488](#), [499](#), [509](#)

Rede venosa dorsal, [402](#), [455](#)

Reflexão da pleura, [193-195](#)

Reflexão do pericárdio, [211](#), [217-218](#)

Reflexão peritoneal, [369](#), [371](#)

Reflexo de Hering-Breuer, [207](#)

Região da faringe

artérias da, [72](#)

nervos da, [71](#)

veias da, [73](#)

Região ileocecal, [273-274](#)

Região inguinal

direita, [244](#)

dissecções da, [255](#)

esquerda, [244](#)

Região lombar, [176](#)

direito, [244](#)

esquerdo, [244](#)

ligamentos vertebrais, [159](#)

Região lombossacral, ligamentos vertebrais, [158](#)

Região oral

artérias da, [72](#)

nervos da, [71](#)

veias da, [73](#)

Região pilórica, [270](#)

Região plantar, [519](#)

Região púbica, [244](#)

Região umbilical, [244](#)

Retículo trabecular e espaços do ângulo iridocorneal, [90](#)

Retina, [92](#)

epitélio pigmentar da, [90](#)

estrutura da, [121](#)

parte ciliar, [89-91](#)

parte óptica da, [89](#), [91](#)

regiões pigmentadas e não pigmentadas da, [93](#)

Retináculo da patela, [495](#)

lateral, [479-481](#), [493-494](#), [506-508](#)

medial, [479-480](#), [488](#), [493-495](#), [507-508](#)

Retináculo dos músculos extensores, [402](#), [430-433](#), [454-457](#)

inferior, [506-507](#), [516-517](#), [529](#)

superior, [506-507](#), [516-517](#)

Retináculo dos músculos fibulares

inferior, [505-506](#), [514](#), [516](#)

superior, [503-506](#), [514](#), [516](#)

Retináculo dos músculos flexores, [433](#), [441](#), [447](#), [449-450](#), [452-453](#), [460](#), [503-505](#), [516](#), [521-522](#), [528](#)

Reto, [258](#), [265](#), [268](#), [276](#), [308](#), [321](#), [335-337](#), [340-341](#), [343-346](#), [362](#), [371](#), [378](#), [390](#)

ampola do, [346](#)

artérias, do sexo masculino, [376](#)

camada muscular circular do, [371-372](#)

camada muscular longitudinal do, [371-372](#)

imagens sagitais de CT do, [375](#)

in situ, [369](#)

inervação do, [163-164](#)

muscular da mucosa do, [372](#)

pregas transversas do, [371](#)

radiografia do, [156](#)

seção transversal do, [397](#)

veias, sexo feminino, [377](#)

Rima do pudendo, [354](#)

Rins, [176](#), [226](#), [266](#), [271](#), [278](#), [364](#), [378](#)

anatomia macroscópica dos, [311](#)

cálices maiores dos, [311](#)

seção transversal dos, [327](#)

cálices menores dos, [311](#)

cápsula fibrosa dos, [315](#)

cápsula renal, [311](#)

córtex dos, [311](#)

seção transversal dos, [326](#)

direito, [194](#), [267-269](#), [277](#), [281](#), [308-309](#), [313](#), [315](#), [320](#)

imagens axiais de CT do, [322](#)

seção transversal do, [327](#)

esquerdo, [194](#), [267](#), [281-282](#), [308](#), [313](#), [315](#), [320](#)

imagens axiais de CT do, [322](#)

seção transversal do, [326-327](#)

hilo dos, [311](#)

in situ

vista anterior de, [308](#)

vista posterior, [309](#)

inervação dos, [163-164](#)

linfonodos e vasos linfáticos dos, [316](#)

margem lateral dos, [311](#)

margem medial, [311](#)

medula (pirâmides) dos, [311](#)

a seção transversal da, [326](#)

nervos autônomos dos, [317-318](#)

papila renal, [311](#)

pelve renal, [311](#)

seção transversal da, [327](#)

pólo inferior dos, [311](#)

pólo superior, [311](#)

seção transversal do, [325-326](#)

segmentos vasculares renais, [312](#)

seio renal, [311](#)

Rostro do corpo caloso, [107](#), [142](#), [146](#)

S

Saco dural, terminação do, [160-161](#)

Saco endolinfático, [98](#)

Saco lacrimal, [83-84](#)

fossa do, [4](#), [6](#)

Saco pericárdico, [212](#)

Sacos alveolares, [201](#)

Sacro, [152](#), [153](#), [158](#), [160-161](#), [243](#), [330](#), [337-338](#)

ápice do, [157](#)

artérias do, [167](#)

articulação para o, [155](#)

asa do, radiografia da, [331](#)

base do, [157](#)

face articular do, [158](#)

imagens sagitais de CT do, [375](#)

radiografia do, [156](#), [331](#)

vista anterior do, [153](#)

vista lateral do, [153](#)

vista posterior do, [153](#)

Sáculo, [94](#), [97-98](#), [125](#)

Safena, abertura, [246](#), [252](#), [355](#), [358](#), [470](#)

margem falciforme da, [257](#)

na fáscia cribiforme, [252](#)

Segmentos broncopulmonares, [197-198](#)

anterior, [197-198](#)

apical, [197-198](#)

apicoposterior, [197-198](#)

basilar anterior, [197-198](#)

basilar ântero-medial, [197-198](#)

basilar lateral, [197-198](#)

basilar medial, [197-198](#)

basilar posterior, [197-198](#)

lateral, [197-198](#)

lingular inferior, [197-198](#)

lingular superior, [197-198](#)

medial, [197-198](#)

posterior, [197-198](#)

superior, [197-198](#)

Segmentos renais, [312](#)

Seio anal, [371](#)

Seio carótico, [126](#), [131-132](#), [137](#), [207](#)

Seio cavernoso, [87](#), [105](#), [137](#), [141](#)

inferior, artéria para o, [138](#)

veia eferente hipofisária para o, [149](#)

veia emissária comunicante com o, [73](#)

Seio coronário, [211-213](#), [215](#), [218](#), [241](#)

óstio do, [214](#), [217](#), [220](#)

válvula (de Thebesius) do, [217](#)

Seio da aorta, [210](#), [220](#)

Seio esfenoidal, [8](#), [36-38](#), [43-44](#), [55](#), [64](#), [68](#), [85](#), [105](#), [138](#)

abertura do, [8](#), [36-37](#), [44](#)

do recém-nascido, [45](#)

Seio esfenoparietal, [104-105](#)

drenagem da veia cerebral média para o, [146](#)

Seio frontal, [7](#), [36-38](#), [43-44](#), [64](#)

crescimento do, [45](#)

Seio maxilar, [5](#), [7](#), [42](#), [44](#), [53](#), [55](#), [86](#)

abertura do, [36-37](#), [43-44](#)

crescimento do, [45](#)

fibras pós-sinápticas para o, [53](#)

médio, [43](#)

no recém-nascido, [45](#)

parede do, [54](#)

recessos do, [43](#)

seção transversal do, [42](#)

Seio occipital, [104](#), [145](#)

sulco para o, [11](#)

Seio petroso

inferior, [13](#), [104-105](#)

sulco para o, [8](#), [11](#)

superior, [55](#), [99](#), [104-105](#), [145](#)

sulco para o, [8](#), [11](#)

Seio prostático, [362-363](#)

Seio renal, [311](#)

gordura no, [311](#)

Seio reto, [99](#), [104-105](#), [110](#), [145-147](#)

imagens do, [150](#)

no tentório do cerebelo, [107](#)

Seio sagital

inferior, [101](#), [104-105](#), [145-147](#)

superior, [101-105](#), [107](#), [110](#), [146](#)

imagem do, [150-151](#)

sulco do, [9](#), [11](#)

veia emissária para, [13](#)

veias cerebrais superiores, entrada, [103](#)

Seio sigmoide, [55](#), [99](#), [104-105](#)

imagens do, [150](#)

inferior, [13](#)

sulco para o, [8](#), [11](#)

Seio transverso, [99](#), [104-105](#), [146](#)

continuação do seio sigmoide, [105](#)

imagem do, [150](#)

sulco para o, [8](#), [11](#)

Seio transverso do pericárdio, [209](#), [212](#), [217-218](#)

Seio urogenital, [367](#)

Seio venoso da esclera (canal deSchlemm), [89-90](#), [92-93](#)

Seios, [44](#) *Veja também os seios específicos*

confluência dos seios, [99](#), [104-105](#), [146](#)

no recém-nascido, [45](#)

Seios do pericárdio

oblíquo, [212-213](#), [241](#)

transverso, [209](#), [212](#), [217-218](#)

Seios intercavernosos

anterior, [104-105](#)

posterior, [104-105](#)

Seios lactíferos, [179](#)

Seios paranasais

alterações com a idade dos, [45](#)

dissecação lateral, [44](#)

inervação dos, [164](#)

ossos dos, [45](#)

seção frontal, [43](#)

seção sagital, [44](#)

seção transversal, [43](#)

Sela turca, [7-8](#), [11](#), [38](#), [64](#)

dorso da sela, [11](#)

fossa hipofisial da, [11](#)

glândula hipófise na, [36](#)

processo clinoide posterior da, [11](#)

tubérculo da sela, [11](#)

Septo

abaulamento do, [36](#)

das veias pulmonares, [202](#)

do escroto, [344](#), [365](#), [368](#), [373](#), [383](#)

Septo da fáscia (profunda) do pênis, [359-360](#), [363](#)

Septo fibroso, [372](#)

transverso, [371-373](#)

Septo interatrial, [217](#), [241](#)

Septo intermuscular

anterior, [510](#)

ântero-medial, [479](#), [487-488](#)

lateral, [417-418](#), [421](#), [431](#), [434](#), [465](#), [492](#)

medial, [417-419](#), [421](#), [431](#), [433-434](#), [492](#)

transversal, [510](#)

Septo interventricular, [221](#), [241](#)

parte membranácea, [217](#)

parte muscular, [213](#), [217-218](#), [220-222](#)

Septo membranoso

parte atrioventricular do, [213](#), [217-222](#)

parte interventricular do, [213](#), [218-222](#)

Septo nasal, [5](#), [16](#), [38](#), [40-41](#), [43](#), [64](#), [66](#)

crescimento do, [45](#)

esquema da organização do, [40-41](#)

nervos do, [39](#)

ósseo, [8](#)

Septo nasal protuberante, [36](#)

Septo orbital, [83](#)

Septo pelúcido, [107](#), [109](#), [111-113](#), [142](#), [144](#), [146](#), [148](#)

veia anterior do, [146-147](#)

veias posteriores do, [147](#)

Septo retovesical (fáscia retoprostática) (de Denonvilliers), [321](#), [339](#), [344](#), [362](#), [369](#), [374](#)

Septos formando canais, [450](#)

Septos interalveolares, [17](#)

Serosa (peritônio visceral), [272](#), [275](#), [282](#), [305](#)

Sincondrose da primeira costela, [404](#)

Sincondrose esfenoccipital, [64](#)

Sincondrose manubriesternal, [404](#)

Sínfise manubrioesternal, [184](#), [240](#)

Sínfise púbica, [242-243](#), [255-256](#), [258](#), [329-330](#), [333](#), [336-340](#), [343-344](#), [346](#), [355](#), [357-358](#), [361](#), [380](#), [397](#), [530](#)

medições da, [332](#)

porção superior da, [396](#)

radiografia da, [331](#)

Sinusoides, [278-279](#)

Sistema nervoso parassimpático, esquema do, [164](#)

Sistema nervoso simpático, esquema do, [163](#)

Submucosa, [305](#)

do esôfago, [69](#), [232](#)

do íleo, [272](#)

do jejuno, [272](#)

Substância branca

dos nervos espinais, [165](#)

imagem da, [151](#)

Substância cinzenta

coluna lateral da, [165-166](#), [319](#)

corpos celulares dos neurônios simpáticos na, [53](#), [133-135](#)

dos nervos espinais, [165](#)

imagem da, [151](#)

núcleo intermediolateral da, pré-ganglionar

Substância negra, [108](#), [118](#)

Substância perfurada

anterior, [108](#), [115](#), [120](#)

masculina, [343](#)

posterior, [108](#), [115](#)

Sulco(s)

calcarino, [106-108](#), [112](#), [121](#)

central

central (de Rolando), [106-107](#)

- da ínsula, [106](#)
- circular, [106](#)
- colateral, [107-108](#)
- do cíngulo, [107](#)
- do corpo caloso, [107](#)
- frontal
 - inferior, [106](#)
 - superior, [106](#)
- hipocampal, [113](#)
- hipotalâmico, [107](#), [116](#), [148](#)
- intertubercular, [405](#)
- lateral (de Sylvius), [108](#)
 - ramo anterior do, [106](#)
 - ramo ascendente do, [106](#)
 - ramo posterior do, [106](#)
- marginal, [107](#)
- mediano, [60](#)
 - posterior, [116](#)
- nasolabial, [1](#)
- occipital, transverso, [106](#)
- occipitotemporal, [107-108](#)
- olfatório, [108](#)
- orbital, [108](#)
- paracentral, [107](#)
- parietoccipital, [106-107](#)
- pós-central, [106](#), [143](#)
- rinal, [107-108](#)
- semilunar, [106](#)
- temporal
 - inferior, [106](#), [108](#)

superior, [106](#)

terminal, [60](#)

Sulco calcarino, [106-108](#), [112](#), [121](#)

Sulco carótico, [11](#)

Sulco central

da ínsula, [106](#)

do cérebro, [106-107](#)

Sulco central (da Rolando), [106-107](#)

Sulco circular, [106](#)

Sulco colateral, [107-108](#)

Sulco coronário, [209](#), [211](#)

Sulco costal, [184](#)

Sulco da artéria subclávia, [404](#)

Sulco deltopeitoral, [398](#)

Sulco do calcâneo, [513](#)

Sulco do cíngulo, [107](#)

Sulco do nervo radial, [406](#)

Sulco frontal

inferior, [106](#)

superior, [106](#)

Sulco gengival, [63](#)

Sulco hipocampal, [113](#)

Sulco hipotalâmico, [107](#), [116](#), [148](#)

Sulco infraorbital, [4](#)

Sulco interesfinctérico do canal anal, [370-372](#)

Sulco intertubercular, [405](#)

Sulco interventricular

anterior, [209](#), [241](#)

posterior, [211-212](#)

Sulco lateral (de Sylvius), [108](#)

ramo anterior do, [106](#)

ramo ascendente do, [106](#)

ramo posterior do, [106](#)

Sulco lateral do cérebro, [142](#)

Sulco longitudinal radial, [398](#)

Sulco marginal, [107](#)

Sulco mediano, [60](#)

posterior, [116](#)

Sulco milo-hióideo, [17](#)

Sulco nasolabial, [1](#)

Sulco obturatório, [473](#)

Sulco occipital, [10](#)

Sulco occipital transverso, [106](#)

Sulco occipitotemporal, [107-108](#)

Sulco olfatório, [108](#)

Sulco paracentral, [107](#)

Sulco parietoccipital, [106-107](#)

Sulco pós-central, [106](#), [143](#)

Sulco pré-quiasmático, [11](#)

Sulco rinal, [107-108](#)

Sulco semilunar, [106](#)

Sulco temporal

inferior, [106](#), [108](#)

superior, [106](#)

Sulco terminal, [60](#)

Sulco terminal do coração, [211](#)

Sulco traqueoesofágico, [70](#)

Sulco urogenital, [366](#)

Sulcos orbitais, [108](#)

Sulcos paracólicos

direito, [265](#), [273](#), [341](#), [345](#)

seção transversal do, [328](#)

esquerdo, [265](#), [341](#), [345](#)

seção transversal do, [328](#)

Superfície articular da cartilagem tireóidea, [80](#), [82](#)

Superfície articular do tálus, [513](#)

Superfície auricular, [473](#)

do sacro, [157-158](#)

Superfície plantar, [468](#)

Sutura coronal, [4-9](#), [14](#)

Sutura escamosa, [14](#)

Sutura frontal (metópica), [14](#)

Sutura intermaxilar, [10](#), [35](#)

Sutura lambdoide, [5-9](#), [14](#)

Sutura occipitomastóidea, [16](#)

Sutura palatina transversa, [10](#)

Sutura sagital, [5](#), [9](#), [14](#)

T

Tabaqueira anatômica, [398](#), [430](#), [454](#), [456-457](#)

Tálamo, [109](#), [111-113](#), [115](#), [146](#), [148](#), [303](#)

3º ventrículo e, [107](#), [112](#), [116](#)

corpos geniculados do, [144](#)

esquerdo, [145](#)

estria medular do, [107](#)

núcleo do, [112](#)

núcleo ventral pósteromedial do, [136](#)

pulvinar do, [108](#), [112](#), [115-116](#), [140](#), [146](#)

representação esquemática do, [112](#)

Talamoestriada, superior, [101](#)

Tálus, [511-513](#), [531](#)

processo posterior do, [514](#), [531](#)

Tálus, [512-515](#), [531](#)

Tarso

da pálpebra, [85](#)

inferior, [83](#)

superior, [83](#), [86](#)

Tecido adiposo, [179](#), [397](#)

Tecido areolar, [245](#), [344](#)

frouxo, [103](#)

Tecido conectivo do crânio, [103](#)

Tecido conectivo subseroso, [305](#)

Tecido fibroadiposo alar, [35](#), [37](#)

Tecidos perianais, [366](#)

Tegme timpânico, [94-95](#)

Tela corioide, do 3º ventrículo, [109](#), [112](#), [146](#)

Tela subcutânea

panículo adiposo da, [179](#), [245](#), [321](#), [344](#), [355](#), [358](#)

do abdome, [7](#)

do couro cabeludo, [3](#)

do pescoço, [26](#)

estrato membranáceo (fáscia de Scarpa), [245](#), [321](#), [344](#), [355](#), [359](#)

estrato membranáceo da, [321](#), [344](#), [355](#), [358-359](#)

Tela subcutânea do períneo (de Colles) (camada membranácea), [344](#), [348](#), [350](#), [355-361](#), [369](#), [373-374](#), [382-383](#), [389](#)

superficial, [359](#)

Tela submucosa do esôfago, [69](#), [232](#)

Tendão comum dos dedos, [406](#)

Tendão conjunto, [246](#), [249](#), [255-256](#)

Tendão coracobraquial, [410](#), [413](#)

Tendão cricoesofágico, [69](#)

Tendão digástrico, intermédio, [47](#), [59](#)

alça fibrosa para o, [27-28](#), [58-59](#)

Tendão do abdutor do dedo mínimo, [515](#)

Tendão do abdutor do hálux, [515](#), [520-521](#)

Tendão do abdutor longo do polegar, [430](#), [434](#), [436](#), [454](#), [456-457](#)

Tendão do adutor do hálux, [515](#)

Tendão do adutor magno, [492-493](#), [498](#), [504](#)

Tendão do bíceps braquial, [238-239](#), [408](#), [411](#), [413](#), [417](#), [424](#)

Tendão do bíceps femoral, [333](#), [493-494](#), [497-498](#), [501](#), [504-505](#), [507-508](#), [529](#)

Tendão do braquiorradial, [434](#), [436](#)

Tendão do calcâneo (Aquiles), [468](#), [502-506](#), [514](#), [516](#)

Tendão do extensor curto do hálux, [507-508](#), [518](#), [523](#)

Tendão do extensor curto do polegar, [430](#), [434](#), [436](#), [454](#), [456-457](#)

Tendão do extensor curto dos dedos, [507-508](#), [518](#), [523](#)

Tendão do extensor do indicador, [398](#), [430](#), [436](#), [456-457](#)

Tendão do extensor dos dedos, [398](#), [427](#), [430-431](#), [436](#), [456-457](#)

Tendão do extensor longo do hálux, [468](#), [502](#), [506-508](#), [517-518](#), [523](#)

bainha tendínea, [516-517](#)

Tendão do extensor longo do polegar, [398](#), [430](#), [450](#), [454](#), [456-457](#)

Tendão do extensor longo dos dedos, [468](#), [481](#), [494](#), [502](#), [506-508](#), [517-518](#), [523](#)

bainha tendínea do, [517](#)

Tendão do extensor radial curto do carpo, [430-431](#), [436](#), [454](#), [456-457](#)

Tendão do extensor radial longo do carpo, [430-431](#), [436](#), [454](#), [456-457](#)

Tendão do extensor ulnar do carpo, [430-431](#), [436](#), [456-457](#)

Tendão do fibular curto, [468](#), [502-506](#), [508](#), [514-518](#), [522-523](#)

bainha tendínea comum, [516](#)

Tendão do fibular longo, [468](#), [504-506](#), [508](#), [514-518](#), [522-523](#)

bainha tendínea comum, [516](#)

Tendão do fibular terceiro, [506-507](#), [516-518](#), [523](#)

Tendão do flexor curto do dedo mínimo, [515](#)

Tendão do flexor curto do hálux, [523](#)

Tendão do flexor curto dos dedos, [515](#), [520-522](#)

Tendão do flexor longo do hálux, [503-505](#), [515](#), [520-523](#)

bainha tendínea do, [516](#)

sulco para o, [513](#)

Tendão do flexor longo do polegar, [434](#), [436](#), [441](#), [449-450](#)

Tendão do flexor longo dos dedos, [503-505](#), [515](#), [520-522](#)

bainha tendínea do, [516](#)

Tendão do flexor profundo dos dedos, [429](#), [436](#), [445](#), [447-451](#), [458](#)

Tendão do flexor radial do carpo, [398](#), [433-434](#), [436](#), [441](#), [447](#), [449-450](#), [460](#)

Tendão do flexor superficial, [450](#)

Tendão do flexor superficial dos dedos, [398](#), [405](#), [429](#), [432](#), [436](#), [441](#), [445](#), [447-451](#), [458](#), [460](#)

Tendão do flexor ulnar do carpo, [398](#), [434](#), [436](#), [441](#), [447](#), [449](#), [452](#)

Tendão do glúteo mínimo, [396](#)

Tendão do grácil, [468](#), [477](#), [479-480](#), [493-494](#)

Tendão do grande dorsal, [239-240](#)

Tendão do iliopsoas, [491](#)

Tendão do infra-espinal, [408](#), [411](#), [413](#), [418](#)

Tendão do músculo lumbrical, [448](#), [515](#)

Tendão do músculo plantar, [482](#), [503-504](#), [510](#)

Tendão do músculo temporal, [46](#)

Tendão do músculo tensor do véu palatino, [57](#), [65](#), [68](#)

Tendão do obturador interno, [337](#), [530](#)

Tendão do palmar longo, [398](#), [433](#), [436](#), [441](#), [446-447](#), [449](#)

Tendão do peitoral maior, [419](#), [421](#)

Tendão do peitoral menor, [410](#), [415](#)

Tendão do quadríceps femoral, [468](#), [477](#), [488](#), [493-494](#), [498](#), [506-508](#)

Tendão do redondo maior, [418](#)

Tendão do redondo menor, [408](#), [411](#), [418](#)

Tendão do reto femoral, [468](#), [479-480](#), [494](#), [507](#)

Tendão do sartório, [479-480](#), [493-494](#), [508](#)

Tendão do semimembráceo, [493](#), [495](#), [497-498](#), [504-505](#)

 sulco para o, [500](#)

Tendão do semitendíneo, [479-480](#), [493-494](#)

Tendão do subescapular, [408](#), [411](#), [413](#)

 bolsa subtendínea do, [408](#)

Tendão do tibial anterior, [508](#), [514-518](#), [523](#)

 bainha tendínea do, [517](#)

Tendão do tibial posterior, [503-504](#), [514-516](#), [521-523](#)

Tendão do tríceps braquial, [424](#), [430-431](#), [465](#)

Tendão dos extensores do dedo mínimo, [427](#), [430-431](#), [456-457](#)

Tendão dos interósseos, [451](#)

Tendão fibroso, [458](#)

Tendão flexor, [450](#), [453](#)

 bainhas fibrosas, [520](#)

 comum, [405-406](#), [428-429](#), [432](#), [437-438](#)

 no punho, [449](#)

nos dedos, [451](#)

Tendão poplíteo, [495-496](#)

Tendões

de pé, [515](#)

do tornozelo, [514](#)

Tendões extensores, [450-451](#)

comum, [405](#), [427](#), [430-431](#), [437](#)

longo, [451](#)

no punho, [457](#)

nos dedos, [451](#)

Tênia

fibras para a, [274](#)

do 4º ventrículo, [116](#)

Tênia livre do colo, [265](#), [273-274](#), [276](#), [369](#), [372](#)

Tênia mesocólica, [273-274](#), [276](#)

Tênia omental, [273](#), [276](#)

Tentório do cerebelo, [88](#), [104-105](#), [145-146](#)

no seio reto no, [107](#)

Testículo, [321](#), [365](#), [367-368](#), [383](#), [394](#)

apêndice do, [365](#), [367](#)

artérias do, [379](#)

descida do, [364](#)

lóbulos do, [368](#)

mediastino do, [368](#)

rede do, [368](#)

septos do, [368](#)

túnica albugínea do, [359](#), [363](#), [368](#)

túnica vaginal do, [321](#)

veias do, [379](#)

Teto mesencefálico, imagem do, [151](#)

Tibia, [497-498](#), [500-501](#), [507-508](#), [510](#), [513-514](#), [516-518](#)

área intercondilar da, [500](#)

anterior, [501](#)

posterior, [501](#)

área intercondilar posterior da, [500](#)

côndilos

lateral, [481](#), [497](#), [500-501](#), [506](#)

medial, [494](#), [496-497](#), [500-501](#)

forames nutritícios da, [500](#)

incisura fibular da, [500](#)

linha oblíqua da, [500](#)

maléolo medial da, [468](#), [500-501](#), [503-505](#), [507-508](#), [516-518](#), [531](#)

margem anterior, [468](#), [500-501](#)

margem interóssea da, [500-501](#)

margem medial da, [500](#)

membrana interóssea, [501](#)

radiografias da, [497](#), [531](#)

superfície articular superior da, [495](#), [501](#)

superfície lateral da, [500-501](#)

superfície medial da, [500](#)

tubérculo de Gerdy, [481](#), [494](#), [496](#), [500-501](#)

tubérculos intercondilares da

lateral, [500-501](#)

medial, [500-501](#)

Timo, [208](#), [227-228](#), [239](#)

área do pulmão para o, [196](#)

Tonsila

do cerebelo, [114](#), [116](#)

faríngea, [64](#), [66-68](#)

imagem da, [151](#)

lingual, [60](#), [64](#), [68](#), [80](#)

palatina, [47](#), [56-57](#), [60](#), [64](#), [66](#), [68](#)

Tonsila faríngea, [36](#), [38](#), [64](#), [66-68](#)

imagem da, [151](#)

Tonsila lingual, [60](#), [64](#), [68](#), [80](#)

Tonsilas palatinas, [47](#), [56-57](#), [60](#), [64](#), [66](#), [68](#)

Tórax

anatomia de superfície do, [178](#)

estrutura óssea do, [183](#)

nervos autônomos no, [206](#)

seção coronal do coração e da parte ascendente da aorta, [214](#)

secção transversal do

no nível de T3, [238](#)

no nível de T7, [241](#)

no nível do disco T3-4, [239](#)

no nível do disco T4-5, [240](#)

Tornozelo

bainhas tendíneas do, [516](#)

flexão dorsal do, [469](#)

flexão plantar do, [469](#)

ligamento medial do, [501](#)

ligamentos do, [514](#)

radiografias do, [531](#)

tendões do, [514](#)

Toro do levantador, [66](#)

Toro tubário, [36](#), [38](#), [66](#), [68](#)

posterior, a abertura do, [36](#)

Trabécula, [149](#)

artéria da, [149](#)

Trabécula fibrosa, [148](#)

Trabécula septomarginal (banda moderadora), [217](#), [221-222](#)

Trabéculas cárneas, [217](#)

Trabéculas esplênicas, [282](#)

Trago, [1](#), [95](#)

Trapézio, [439](#)

Trapézio, [439](#), [442-443](#), [445](#), [449](#), [454](#)

radiografias do, [444](#)

tubérculo do, [439](#), [441](#), [443](#)

Trapezoide, [439](#), [442-443](#), [449](#)

radiografias do, [444](#)

Trato hipotalamohipofisial, [148](#)

Trato iliopúbico, [255](#), [341](#), [343](#), [345](#)

Trato iliotibial, [468](#), [477](#), [479](#), [481-482](#), [489](#), [492-495](#), [497](#), [501-503](#), [506-508](#)

Trato olfatório, [39](#), [107-108](#), [115](#), [120](#)

núcleo lateral, [120](#)

Trato óptico, [108-109](#), [113](#), [115](#), [121](#), [140](#), [145](#)

Trato supra-óptico hipofisial, [148](#)

Trato tetospinal, [133](#)

Trato túbero-hipofisial, [148](#)

Tríade portal, [267](#), [271](#), [278](#), [281](#)

seção transversal da, [325](#)

Trígono

colateral, [112](#)

da bexiga urinária, [344](#), [346](#), [348](#), [362-363](#)

do hipoglosso, [116](#)

do nervo vago, [116](#)

habenular, [112](#), [116](#)

olfatório, [120](#)

Trígono (triângulo)

anal, [358](#)

cervical, [175](#)

posterior, [171](#), [185](#)

da ausculta, [250](#)

cisto-hepático (de Calot), [280](#), [284](#)

clavipeitoral, [409](#)

de ausculta, [241](#), [409](#)

esternocostal, [187](#)

inguinal (de Hesselbach), [249](#), [255](#)

fáscia transversal no interior do, [255](#)

lombar inferior (de Petit), [152](#), [250](#)

músculo oblíquo interno no, [171](#)

lombocostal, [192](#)

suboccipital, [175](#)

urogenital, [358](#)

Trígono anal, [358](#)

Trígono cisto-hepático (de Calot), [280](#), [284](#)

Trígono clavipeitoral, [409](#)

Trígono colateral, [112](#)

Trígono da ausculta, [152](#), [241](#), [250](#)

Trígono do nervo hipoglosso, [116](#)

Trígono do nervo vago, [116](#)

Trígono esternocostal, [187](#)

Trígono fibroso

esquerdo, [219](#)

direito, [219](#)

Trígono habenular, [112](#), [116](#)

Trígono inguinal (de Hesselbach), [249](#), [255](#)

fáscia transversal no interior do, [255](#)

Trígono lombar inferior (de Petit), [152](#), [250](#)

músculo oblíquo interno do abdome no, [171](#)

Trígono lombocostal, [192](#), [258](#)

Trígono olfatório, [120](#)

Trígono suboccipital, [175](#)

Trígono urogenital, [358](#)

Trocâter do fêmur

maior, [152](#), [243](#), [330](#), [396-397](#), [468](#), [474-476](#), [479-480](#), [483](#), [489-490](#), [530](#)

radiografia do, [331](#)

menor, [243](#), [258](#), [330](#), [474-476](#), [530](#)

radiografia do, [331](#)

Tróclea, [86](#), [405-406](#), [422](#)

do tálus, [512](#), [531](#)

fibular, [512-513](#)

radiografias da, [423](#)

Tronco braquiocefálico, [33](#), [76-78](#), [137](#), [139](#), [187](#), [190](#), [203](#), [208-211](#), [214](#), [229](#), [233](#), [238](#)

Tronco celíaco, [192](#), [226](#), [229](#), [233](#), [259](#), [264](#), [268](#), [271](#), [281](#), [283-284](#), [286-287](#), [300](#), [303](#), [307-308](#), [310](#), [321](#), [388](#)

arteriografia do, [285](#)

imagens axiais de CT do, [322](#)

seção transversal do, [325-326](#)

Tronco comum, [46](#), [73](#)

Tronco costocervical, [33](#), [137](#), [139](#), [170](#)

Tronco do nervo espinal, [254](#)

Tronco encefálico

corte sagital mediano do, [116](#)

núcleos dos nervos cranianos no, [117-118](#)

vista posterior do, [116](#)

Tronco inferolateral, [138](#)

Tronco intestinal linfático, [295](#)

Tronco jugular, [74](#)

direito, [295](#)

Tronco linfático broncomediastinal, [205](#)

Tronco linfático intestinal, [295](#)

Tronco linfático subclávio, [205](#)

Tronco lombar

direito, [261](#)

esquerdo, [261](#)

Tronco meningo-hipofisário, [102](#), [138](#)

ramos do seio cavernoso do, [102](#)

ramos meníngeos do, [102](#)

ramos tentoriais do, [102](#), [138](#)

Tronco pulmonar, [203](#), [209-210](#), [212](#), [217](#), [221-222](#), [226](#), [237](#), [240](#)

bifurcação do, [214](#)

Tronco simpático, [26](#), [42](#), [53](#), [71-73](#), [126](#), [134-135](#), [188](#), [192](#), [206-207](#), [227-228](#), [236](#), [254](#), [258](#), [262](#), [303-304](#), [306](#), [317](#), [341](#), [345](#), [388](#), [390](#), [393-395](#), [485-486](#)

cervical, [132](#)

direito, [191](#), [297](#), [307](#), [319](#), [390](#)

esquerdo, [191](#), [213](#), [297](#), [307](#), [319](#)

lombar, [302](#)

seção transversal do, [328](#)

gânglio do, [304](#), [318](#), [387](#), [392-393](#)

nono torácica, [300](#)

primeira torácico, [133](#)

sexto torácica, [300](#)

na região lombossacral e coccígea, [484](#)

sacral, [302](#)

Tronco simpático cervical, [132](#), [236](#)

Tronco simpático torácico, [236](#)

Tronco subclávio, [74](#)

direito, [261](#), [295](#)

esquerdo, [295](#)

Tronco tireocervical, [32-34](#), [71-72](#), [76-78](#), [137](#), [139](#), [229](#), [233](#), [414](#)

direito, [170](#)

esquerdo, [170](#)

Tronco vagal, [258, 297](#)

anterior, [127, 206, 229, 236, 298-302, 306-307, 317, 319, 388](#)

ramo celíaco do, [127, 298-299, 301](#)

ramo vagal do plexo hepático do, [127, 298-299, 302, 306](#)

ramos gástricos do, [127, 298](#)

posterior, [236, 299-302, 306-307, 317, 319, 388](#)

ramo celíaca do, [127, 298-301, 388](#)

ramos gástricos do, [299](#)

Troncos intestinais, [261](#)

Troncos linfáticos lombares, [316](#)

Troncos lombossacrais, [262, 317, 388, 483-486, 525-526](#)

Tuba auditiva (de Eustáquio), [94-96, 98, 100, 127](#)

abertura da, [36](#)

abertura na faringe da, [64, 66, 68, 126](#)

parte cartilaginosa da, [42, 49, 57, 65, 67-68, 100](#)

lâmina lateral, [100](#)

lâmina medial, [100](#)

sulco para a, [10](#)

Tuba uterina (trompa de Falópio), [340-342, 350-352, 367, 378, 390, 393](#)

ampola da, [352-353](#)

fímbrias da, [352-353](#)

infecção da, [353](#)

infundíbulo da, [352-353](#)

istmo da, [352](#)

óstio abdominal da, [352](#)

parte uterina da, [352](#)

pregas da, [352](#)

Túber cinéreo, [107-108, 115](#)

eminência mediana do, [148](#)

Túber isquiático, [158](#), [243](#), [330](#), [333-334](#), [337](#), [339](#), [355-356](#), [358-361](#), [370](#), [373](#), [473-475](#), [482](#), [489-490](#), [530](#)

medições do, [332](#)

Tubérculo anal, [366](#)

Tubérculo articular, [6](#), [10](#), [49](#)

inferior, [18](#)

Tubérculo auricular (de Darwin), [95](#)

Tubérculo carótico ((de Chassaignac)), [21-22](#)

Tubérculo conoide, [404](#)

Tubérculo corniculado, [66-67](#), [80](#)

Tubérculo cuneiforme, [66-67](#), [80](#), [115-116](#)

Tubérculo de Gerdy, [481](#), [494](#), [496](#), [500-501](#)

Tubérculo do adutor do fêmur, [476](#), [488](#), [496](#)

Tubérculo dorsal (de Lister), [425](#), [439](#)

Tubérculo faríngeo, [10](#), [38](#), [64-65](#), [67-68](#)

parte basilar do, [22](#)

Tubérculo genital

área da glândula do, [366](#)

cordão epitelial do, [366](#)

orifício anal do, [366](#)

parte lateral do, [366](#)

prega urogenital do, [366](#)

tubérculo anal do, [366](#)

Tubérculo grácil, [115-116](#)

Tubérculo Ilíaco, [333-334](#)

Tubérculo infraglenoidal, [405-406](#)

Tubérculo olfatório, [120](#)

Tubérculo púbico, [242-243](#), [246-247](#), [256](#), [258](#), [329-330](#), [333-334](#), [338-339](#), [355](#), [360](#), [473](#), [479-480](#)

Tubérculo quadrado, [476](#)

Tubérculo sublime, [422](#)

Tubérculo supraglenoidal, [405](#)

Tubérculo trigeminal, [116](#)

Tuberosidade da tíbia, [468](#), [479-480](#), [493-496](#), [498](#), [500-501](#), [506-507](#)

Tuberosidade da ulna, [417](#), [422](#), [425](#)

Tuberosidade do calcâneo, [468](#), [503-504](#)

Tuberosidade do deltoide, [405-406](#)

Tuberosidade do rádio, [417](#), [422](#), [425](#)

radiografia da, [423](#)

Tuberosidade Ilíaca, [330](#), [473](#)

Tuberosidade sacral, [157](#)

Túbulo mesonéfrico vestigial, [368](#)

Túbulos dentinários, [63](#)

Túbulos mesonéfricos, [367](#)

Túbulos seminíferos, [368](#)

Túnica albugínea, [359](#), [363](#), [368](#)

Túnica conjuntiva da pálpebra, [83](#), [85](#)

inferior, [83](#)

superior, [83](#)

Túnica conjuntiva do bulbo do olho, [83](#), [85](#), [89-90](#), [92](#)

Túnica dartos, [245](#), [344](#), [358-360](#), [365](#), [368](#), [373](#), [383](#)

Túnica mucosa do esôfago, [69](#), [232](#)

Túnica vaginal

cavidade da, [364](#)

lâmina parietal da, [365](#), [368](#)

lâmina visceral da, [365](#), [368](#)

testículo, [321](#)

U

Ulna, [422](#), [426-429](#), [431](#), [436-439](#), [441-442](#), [452](#)

corda oblíqua da, [425](#)

face anterior da, [425](#)

incisura radial da, [422](#), [425](#)

radiografias do, [423](#)

incisura troclear da, [425](#)

margem anterior da, [425](#)

margem interóssea da, [425](#)

membrana interóssea, [425](#), [429](#)

olécrano da, [398](#), [418](#), [422](#), [425](#), [427](#), [430-431](#), [465](#)

radiografias do, [423](#)

processo coronoide da, [422](#), [425](#), [429](#)

radiografias do, [423](#)

processo estilóide da, [425](#), [439](#)

radiografias do, [444](#)

Umbigo, [242](#), [249](#), [292](#), [329](#)

imagens sagitais de CT do, [375](#)

Umbigo da membrana timpânica, [95](#), [98](#)

Úmero, [419](#), [421](#), [429](#)

cabeça do, [405-407](#), [467](#)

capítulo do, [405](#), [422-423](#)

colo anatômico do, [405-407](#)

colo cirúrgico do, [238](#), [405-407](#), [467](#)

crista supra-epicondilar lateral, [405-406](#)

crista supra-epicondilar medial, [405-406](#), [422](#)

diáfise do, [238-240](#)

epicôndilos do

lateral, [405-406](#), [417-418](#), [422-424](#), [426](#), [428-429](#), [431](#), [434](#), [466](#)

medial, [405-406](#), [417-419](#), [422-424](#), [426-434](#), [464-465](#)

fossa coronoide do, [405](#), [422](#)

fossa do olecrano, [406](#), [422-423](#)

fossa radial do, [405](#)

radiografia anteroposterior do, [407](#)

sulco do nervo ulnar, [406](#), [422](#)

sulco intertubercular do, [405](#)

sulco radial do, [406](#)

tróclea do, [405-406](#), [422-423](#)

tubérculo maior do, [405-407](#), [413](#), [417](#), [467](#)

 crista do, [405](#)

tubérculo menor do, [405-407](#), [417](#)

 crista do, [405](#)

tuberosidade do deltoide do, [405-406](#)

vista anterior do, [405](#)

vista posterior do, [406](#)

Unco, [107-108](#), [120](#)

Úraco, [249](#), [256-257](#), [268](#), [321](#), [341](#), [343-344](#), [346](#), [355](#), [378](#)

 mediano, [346](#)

Ureteres, [249](#), [257](#), [260](#), [265](#), [268](#), [297](#), [308](#), [311](#), [313-314](#), [340-346](#), [350](#), [352](#), [362](#), [369-370](#), [378-382](#), [388](#), [390](#), [395](#)

 artérias dos, [314](#)

 direito, [313](#), [353](#)

 esquerdo, [313](#)

 seção transversal dos, [328](#)

 inervação dos, [395](#)

 nervos autônomos dos, [317-318](#)

 no abdome e na pelve, [313](#)

 no sexo feminino, [313](#)

 no sexo masculino, [313](#)

 retroperitoneal, [313](#)

Uretra, [258](#), [335-337](#), [339-340](#), [346](#), [348](#), [351](#), [356](#), [359](#), [361-363](#), [367](#), [396](#)

 crescimento da, [347](#)

 extensões musculofasciais para a, [337](#)

 hiato da, [338](#)

 parte esponjosa da, [363](#)

- porção bulbar da, [349](#)
- parte membranácea da, [363](#)
- parte prostática da, [348](#), [363](#)
- porção bulbar da parte esponjosa da, [363](#)
- seção transversal da, [397](#)
- soalho da, [363](#)
- teto da, [363](#)

Uretra, parte esponjosa, [363](#)

- porção bulbar da, [348](#)

Uretra, parte prostática, [348](#), [363](#)

Útero, [341](#), [346](#), [350](#), [367](#), [369](#), [378](#), [390](#), [393](#)

- anexos do, [352](#)
- artérias do, [382](#)
- colo do, [340](#), [342-343](#), [350](#), [352](#)
- corpo do, [340](#), [342](#), [352](#)
- crescimento do, [349](#)
- estruturas de sustentação do, [350](#)
- fundo do, [340](#), [342](#), [346](#), [352](#)
 - imagens sagitais de CT do, [375](#)
- histerossalpingografia, [353](#)
- istmo do, [352](#)
- ligamento redondo do, [260](#), [340-342](#), [350-351](#), [353](#), [355](#), [367](#), [378](#), [382](#)
 - parte terminal do, [350](#)
- ligamentos fasciais do, [351](#)
- veias do, [382](#)

Utrículo, [94](#), [97-98](#), [125](#)

Utrículo prostático, [362-363](#), [367](#)

Úvula, [56](#), [66-68](#)

- da bexiga urinária, [348](#), [362-363](#)
- da parte inferior do verme, [114](#), [116](#)

V

Vagina, [335-337](#), [340](#), [346](#), [350](#), [352](#), [356](#), [367](#), [369](#), [373](#), [378](#), [393](#)

crescimento da, [347](#)

estruturas de sustentação da, [350](#)

extensões musculofasciais para a, [337](#)

imagens sagitais de CT da, [375](#)

parte horizontal da, [351](#)

parte vertical da, [351](#)

seção transversal da, [397](#)

vestíbulo da, [350](#), [354](#), [367](#)

Valécula, [60](#), [68](#)

Valva atrioventricular direita (tricúspide), [210](#), [213-214](#), [219-221](#), [241](#)

anel fibroso direito da, [219](#), [222](#)

cúspide septal da, [213](#), [217](#), [219-221](#)

válvula anterior da, [213](#), [217](#), [219-221](#)

válvula posterior da, [213](#), [217](#), [219-221](#)

Valva atrioventricular esquerda (mitral), [210](#), [213-214](#), [218-222](#)

anel fibroso esquerdo da, [219](#)

folheto da, [241](#)

válvula anterior da, [213](#), [218-221](#)

válvula comissural da, [219-220](#)

válvula posterior da, [213](#), [218-221](#)

Valva da aorta, [210](#), [214](#), [218-222](#)

válvula semilunar direita, [218-222](#)

válvula semilunar esquerda, [218-222](#)

válvula semilunar posterior, [218-222](#)

Valva do tronco pulmonar, [217](#), [219](#), [222](#)

válvula semilunar anterior da, [217](#), [219](#)

válvula semilunar esquerda da, [217](#), [219](#)

válvula semilunar direita da, [217](#), [219](#)

Valvas do coração, [219-220](#)

atrioventricular direita, [210](#), [213-214](#), [217](#), [219-222](#), [241](#)

atrioventricular esquerda, [210](#), [213-214](#), [218-222](#), [241](#)

da aorta, [210](#), [214](#), [218-222](#)

do tronco pulmonar, [217](#), [219](#), [222](#)

pulmonar, [210](#)

Válvulas anais, [371](#)

Vasos

do corpo ciliar, [92](#)

do pescoço, [32-33](#)

dos dentes, [63](#)

inervação dos, [225](#)

Vasos coletores apicais, [75](#)

Vasos coletores basais, [75](#)

Vasos coletores centrais, [75](#)

Vasos coletores marginais, [75](#)

Vasos conjuntivais, [92](#)

Vasos de grande calibre

no local de reflexão do pericárdio, [209](#)

do mediastino superior, [203](#)

Vasos esfenopalatinos, na fossa incisiva, [12](#)

Vasos hipotalâmicos, [149](#)

Vasos intercostais, [179](#)

Vasos linfáticos

da bexiga urinária, [316](#)

da cabeça e do pescoço, [74](#)

da faringe e da língua, [75](#)

da genitália

feminina, [384](#)

masculina, [386](#)

da glândula mamária, [181](#)

da medula renal, [316](#)

da pelve

feminina, [384](#)

masculina, [386](#)

do córtex renal, [316](#)

do esôfago, [235](#)

do estômago, [293](#)

do intestino delgado, [295](#)

do intestino grosso, [296](#)

do membro inferior, [472](#)

do membro superior, [403](#)

do pâncreas, [294](#)

do períneo, no sexo feminino, [385](#)

do pulmão, [205](#)

dos rins, [316](#)

parede posterior do abdome, [261](#)

Vasos linfáticos corticais, [316](#)

Vasos linfáticos Interlobares, [205](#)

Vasos linfáticos medulares, [316](#)

Vasos linfáticos perineais, [296](#)

Vasos meníngeos

anterior, sulco dos, [11](#)

sulco para o posterior, [11](#)

médio, [12](#)

sulcos dos, [11](#)

sulcos dos ramos dos, [8-9](#)

Vasos nasopalatinos, sulco para, [38](#)

Vasos palatinos, [12](#)

Vasos pericardiacofrênicos, [212](#)

Veia(s) *Veja* também as veias específicas

da coluna vertebral, [169-170](#)

da face, [3](#)

da fossa posterior do crânio, [145](#)

da íris, [93](#)

da medula espinal, [169](#)

da órbita e das pálpebras, [87](#)

da parede do abdome

anterior, [252](#)

posterior, [260](#)

da parede interna do tórax, [189](#)

da pelve, do sexo masculino, [381](#)

da região do períneo, [382](#)

masculino, [383](#)

das glândulas suprarrenais, [320](#)

das regiões da boca e da faringe, [73](#)

do baço, [289](#)

do canal anal, sexo feminino, [377](#)

do encefálo

profundas, [146](#)

do couro cabeludo, [3](#)

do duodeno, [289](#)

do esôfago, [234](#)

do estômago, [289](#)

do hipotálamo e da hipófise, [149](#)

do intestino delgado, [290](#)

do intestino grosso, [291](#)

do olho, intrínsecas, [92](#)

do pâncreas, [289](#)

do reto, do sexo feminino, [377](#)

do testículo, [379](#)

do útero, [382](#)

dos órgãos pélvicos, do sexo feminino, [378](#)

subependimárias, [147](#)

Veia acompanhante do nervo hipoglosso, [47](#), [59](#), [73](#)

Veia alveolar

inferior, [47](#), [73](#)

posterior superior, [73](#)

Veia anastomótica

inferior (de Labbé), [103](#), [146](#)

Veia anastomótica superior (de Trolard), [103](#)

Veia angular, [3](#), [73](#), [87](#)

Veia apendicular, [291-292](#)

Veia auricular, posterior, [3](#), [32](#), [73](#)

Veia axilar, [186](#), [195](#), [214](#), [252](#), [403](#), [412](#)

tributárias intercostais da, [252](#)

Veia ázigo, [189](#), [191](#), [203-204](#), [206](#), [213](#), [227](#), [229](#), [234](#), [237](#), [239-241](#)

secção transversal da, [324](#)

sulco do pulmão para a, [196](#)

Veia basilar (de Rosenthal), [145-147](#)

Veia basílica, [398](#), [401-403](#), [415](#), [421](#), [436](#), [455](#)

mediana, [402](#)

Veia braquial, circunflexa posterior, ramos superficiais da, [401](#)

Veia braquiocefálica, [73](#), [76](#), [187](#), [205](#)

direita, [77](#), [170](#), [189](#), [203](#), [208-209](#), [227](#), [234](#), [238](#)

esquerda, [77](#), [170](#), [189](#), [203](#), [208-209](#), [214](#), [227-229](#), [234](#), [238](#)

sulco de pulmão da, [196](#)

Veia cardiac magna, [215](#)

Veia cava, [380](#)

inferior, [176](#), [203](#), [206](#), [211-212](#), [214](#), [217-218](#), [220](#), [222](#), [226-227](#), [229](#), [234](#), [237](#), [260](#), [266-268](#), [271](#), [277](#), [281](#), [286](#), [289](#), [308-310](#), [315](#), [320](#), [341](#), [345](#), [376](#), [378-379](#), [381](#), [390](#)

imagens axiais de CT da, [322-323](#)

seção transversal da, [324-328](#)

sulco do pulmão para, [196](#)

sulco para, [277](#)

válvula da veia cava inferior (de Eustáquio), [217](#)

superior, [76-77](#), [190](#), [203](#), [208-214](#), [217](#), [221-222](#), [226-227](#), [234](#), [237](#), [239-241](#)

sulco do pulmão a, [196](#)

Veia cecal

anterior, [291-292](#)

posterior, [291-292](#)

Veia cefálica, [178](#), [185-186](#), [214](#), [252](#), [398](#), [401-403](#), [409](#), [412](#), [415](#), [421](#), [436](#), [455](#)

acessória, [401-402](#)

mediana, [402](#)

Veia central, [278-279](#)

Veia cerebelar

pré-central, [145](#)

superior, [145](#)

Veia cerebelar pré-central, [145](#)

Veia cerebral magna (de Galeno), [104-105](#), [107](#), [116](#), [145-147](#)

imagem da, [150](#)

Veia cerebral superficial média (de Labbé), [103](#), [146](#)

Veia cervical, profunda

direita, [170](#)

esquerda, [170](#)

Veia ciliar, anterior, [90](#), [92-93](#)

veias que drenam para as, [93](#)

Veia circunflexa da escápula, sulco para a, [406](#)

Veia cólica

esquerda, [291-292](#)

média, [281](#), [290](#), [292](#)

direita, [290-292](#)

Veia comunicante, [31](#), [170](#)

Veia conjuntival, posterior, [93](#)

Veia corióidea, superior, [146-147](#)

Veia da retina, [92](#)

central, [89](#), [92-93](#)

Veia de distribuição, [279](#)

Veia direta lateral, [146-147](#)

Veia do antebraço, mediana, [401-402](#), [436](#)

Veia do períneo, [383](#)

Veia do sulco central

anterior, [169](#)

posterior, [169](#)

Veia do úncu, [146](#)

Veia do verme

inferior, [145](#)

superior, [145](#), [147](#)

Veia dorsal

do clitóris, profunda, [335-337](#), [340](#), [343](#), [346](#), [357](#)

do corpo caloso, [145](#), [147](#)

do pênis

profunda, [245](#), [339](#), [344](#), [359](#), [361](#), [379](#), [381](#)

superficial, [245](#), [252](#), [329](#), [359](#), [381](#)

Veia emissária mastóidea, [3](#)

no forame mastóideo, [12](#)

Veia emissária parietal, [3](#)

Veia episcleral, [92-93](#)

segmento da, [93](#)

Veia espinal

anterior, [145](#), [169](#)

posterior, [145](#), [169](#)

Veia esplênica, [234](#), [267-268](#), [282](#), [287](#), [289-292](#), [320-321](#)

imagens axiais de CT da, [322-323](#)

seção transversal da, [325-326](#)

Veia etmoidal

anterior, [13](#)

posterior, [13](#)

Veia facial, [3](#), [31-32](#), [42](#), [46-47](#), [59](#), [73](#), [87](#)

comum, [3](#), [32](#)

profunda, [3](#), [73](#), [87](#)

transversa, [3](#), [73](#)

tronco comum para a, [46](#), [59](#), [73](#)

Veia femoral, [246-247](#), [252](#), [256](#), [260](#), [358](#), [379](#), [385](#), [396-397](#), [470](#), [472](#), [480](#), [487-488](#), [492](#), [530](#)

abertura para a, [258](#)

na bainha femoral, [257](#)

Veia femoral profunda, [492](#)

Veia frontal, [3](#)

Veia gastromental (gastroepiplóica), [268](#), [282](#)

direita, [234](#), [289](#), [291](#)

esquerda, [234](#)

Veia glútea, superior, [260](#), [291](#)

Veia hemiázigo, [189](#), [191](#), [213](#), [234](#)

acessória, [189](#), [204](#), [228](#), [234](#), [240](#)

Veia hemiázigo acessória, [189](#), [204](#), [228](#), [234](#), [240](#)

Veia ileal, [290-291](#)

Veia ileocólica, [290-292](#)

Veia ilíaca

circunflexa profunda, [249](#), [257](#), [260](#), [343](#)

tributárias da, [252](#)

circunflexa superficial, [242](#), [245](#), [252](#), [260](#), [329](#), [470](#), [487](#)

comum, [260](#), [265](#), [379](#), [381](#), [390](#)

externa, [249](#), [255-257](#), [260](#), [273](#), [291](#), [340-345](#), [350](#), [353](#), [370](#), [377](#), [379](#), [381](#), [488](#)

interna, [260](#), [343](#), [377](#), [379](#), [381](#)

Veia iliolumbar, [260](#)

Veia infraorbital, [3](#), [73](#)

Veia intermédia do antebraço, [398](#), [401](#), [403](#)

Veia intervertebral, [169](#)

Veia intraculminar do cerebello, [145](#)

Veia jejunal, [290-291](#)

Veia jugular

anterior, [31](#), [73](#), [76](#)

interna, [3](#), [26-28](#), [30-31](#), [33-34](#), [42](#), [46-47](#), [55](#), [59](#), [73](#), [75-78](#), [94](#), [96](#), [99](#), [129](#), [182](#), [186-187](#),
[195](#), [208](#), [229](#), [234](#)

bulbo inferior da, [77](#), [170](#)

bulbo superior da, [170](#)

direita, [203](#)

esquerda, [209](#), [214](#)

imagens da, [150](#)

na fossa jugular, [12](#)

externa, [3](#), [31-32](#), [46](#), [73](#), [76](#), [195](#), [203](#), [208](#), [214](#), [234](#)

Veia jugular externa, [1](#)

Veia labial

inferior, [73](#)

superior, [73](#)

Veia laríngea, superior, [73](#)

forame para a, [80](#)

tributária interna da, [69](#)

Veialingual, [3](#), [59](#), [73](#)

dorsal, [59](#), [73](#)

profunda, [56](#)

tronco comum para a, [46](#), [59](#), [73](#)

veia comunicante da, [47](#)

Veia medular

ântero-mediana, [145](#)

segmentar, [169](#)

anterior, [169](#)

posterior, [169](#)

Veia meníngea, média, [13](#), [101](#), [103](#)

Veia mental, [73](#)

Veia mesentérica

inferior, [234](#), [264](#), [281](#), [289](#), [291-292](#), [294](#), [377](#)

superior, [176](#), [234](#), [268](#), [271-272](#), [281](#), [287](#), [289-292](#), [294](#), [315](#)

seção transversal da, [326-328](#)

Veia muscular, [92](#)

Veia musculofrênica, [186-187](#), [252](#)

Veia nasal

dorsal, [3](#)

externa, [73](#)

Veia nasofrontal, [3](#), [73](#), [87](#)

Veia oblíqua do átrio esquerdo, [211](#)

Veia obturatória, [249](#), [255](#), [260](#), [291](#), [377](#), [396](#)

acessória, [255](#), [257](#)

direita, [381](#)

Veia occipital, [3](#), [73](#)

interna, [147](#)

Veia oftálmica

inferior, [93](#)

superior, [13](#), [73](#), [85](#), [87](#), [93](#), [105](#)

Veia palatina, [73](#)

externa, [73](#)

Veia pancreaticoduodenal

inferior anterior, [289](#), [291-292](#)

inferior posterior, [289](#), [291](#)

superior anterior, [289](#), [291-292](#)

superior posterior, [289](#), [292](#)

Veia parietal, [3](#)

Veia pericardiacofrênica, [187](#), [203](#), [208-209](#), [213](#), [227](#)

direita, [191](#)

esquerda, [191](#), [228](#)

Veia petrosa, [105](#), [145](#)

Veia pontomesencefálica anterior, [145](#)

Veia poplítea, [472](#), [482](#), [489](#), [492](#), [503-504](#)

Veia porta, [278](#)

hepática, [214](#), [226](#), [234](#), [267](#), [271-272](#), [277-278](#), [281](#), [283-284](#), [289-291](#), [294](#), [321](#)

tributárias da, [292](#)

hipofisária curta, [149](#)

hipofisária longa, [141](#), [149](#)

imagens axiais de CT da, [322-323](#)

ramos da, [279](#)

seção transversal da, [325](#)

Veia porta do fígado, [214](#), [226](#), [234](#), [267](#), [271-272](#), [277-278](#), [281](#), [283-284](#), [289-291](#), [294](#), [321](#)

tributárias da, [292](#)

Veia pré-culminar, [145](#)

Veia pré-pilórica, [289](#), [291](#)

Veia pudenda, [370](#)

externa, [252](#), [260](#)

profunda, [379](#), [487](#)

superficial, [245](#), [379](#), [470](#), [487](#)

interna, [260](#), [291](#), [377](#), [383](#), [396-397](#)

Veia radicular segmentar, [169](#)

anterior, [169](#)

posterior, [169](#)

Veia renal, [311](#), [314](#), [321](#), [378-379](#)

direita, [234](#), [260](#), [308](#), [310](#)

imagens axiais de CT da, [323](#)

seção transversal da, [327](#)

esquerda, [234](#), [260](#), [308](#), [310](#), [315](#), [320](#)

imagens axiais de CT da, [323](#)

seção transversal da, [327](#)

in situ, [310](#)

Veia retal

inferior, [292](#), [377](#)

direita, [291](#)

médio, [260](#), [291-292](#), [377](#)

direita, [291](#)

superior, [268](#), [291-292](#), [377](#)

Veia retromandibular, [3](#), [31-32](#), [42](#), [46-47](#), [59](#), [87](#)

ramo anterior da, [32](#), [46](#), [73](#)

tronco comum para o, [46](#), [73](#)

ramo posterior, [32](#), [46](#), [73](#)

tronco comum para a, [59](#)

Veia retrotonsillar

da cisterna de cerebelobulbar, [145](#)

superior, [145](#)

Veia sacral

lateral, [260](#)

mediana, [260](#), [291](#), [342](#), [378](#), [381](#)

Veia safena, [487](#)

acessória, [470-471](#)

magna, [245-246](#), [252](#), [260](#), [358](#), [397](#), [468](#), [470-472](#), [492](#), [510](#)

parva, [468](#), [470-472](#), [489](#), [503](#), [510](#)

Veia sigmóidea, [268](#), [291-292](#), [377](#)

Veia subclávia, [30](#), [32-33](#), [73](#), [76](#), [186-187](#), [195](#), [205](#), [208-209](#), [229](#), [234](#), [252](#), [413](#), [415](#)

direita, [77](#), [170](#), [203](#), [227](#)

esquerda, [77](#), [170](#), [203](#), [228](#)

Veia subcostal, [260](#)

Veia sublingual, [46](#), [59](#)

Veia sublobular, [278-279](#)

Veia submental, [31](#), [73](#)

Veia supraescapular, [467](#)

Veia supraorbital, [3](#), [73](#), [87](#)

Veia suprarrenal, [320](#)

direita, [310](#)

esquerda, [234](#), [260](#), [310](#)

inferior, direita, [260](#)

Veia supratroclear, [3](#), [73](#), [87](#)

Veia talamoestriada

inferior, [145](#), [147](#)

parte posterior, [147](#)

superior, [109](#), [112](#), [146-147](#)

Veiatemporal

média, [3](#), [101](#)

profunda, [101](#)

superficial, [46](#), [73](#), [101](#)

ramo frontal da, [3](#), [101](#)

ramo parietal da, [3](#), [101](#)

tributária da, [103](#)

Veia tibial

anterior, [510](#)

posterior, [503-504](#), [510](#)

Veia tireóidea

inferior, [31](#), [73](#), [76-78](#), [195](#), [208](#), [234](#)

média, [31](#), [73](#), [76](#), [78](#)

superior, [31](#), [73](#), [76](#), [78](#), [82](#)

Veia torácica

interna, [77](#), [186-187](#), [189](#), [195](#), [209](#), [213](#), [239-241](#)

esquerda, [191](#)

ramo perfurante da, [187](#)

tributários perfurantes da, [252](#)

lateral, [252](#)

Veia tóraco-acromial, ramos acromiais, [401](#)

Veia tóraco-epigástrica, [245](#), [252](#)

Veia umbilical, [226](#), [269](#)

Veia uterina, [260](#), [342](#), [350](#), [352](#), [382](#)

ramos ovarianos da, [353](#)

superior, [377](#)

Veia vaginal, [377](#)

Veia vertebral, [234](#)

acessória, [170](#)

anterior, [170](#)

direita, [170](#)

esquerda, [170](#)

Veia vesical superior, [260](#), [377](#)

Veia zigomaticofacial, [3](#)

Veia zigomaticotemporal, [3](#)

Veias acompanhantes, [59](#), [447](#)

Veias braquiais, [415](#), [421](#)

Veias brônquicas, [204](#)

direito, [204](#)

esquerda, [204](#)

Veias cardíacas, [215](#)

anterior, [215](#)

magna, [215](#)

média, [211](#), [215](#)

mínimas, [215](#)

Veias cerebrais, [101](#)

anterior, [145-146](#)

inferior, [103](#), [105](#), [146](#)

interna, [101](#), [109](#), [112](#), [145-147](#)

imagem das, [150](#)

magna (de Galeno), [104-105](#), [107](#), [116](#), [145-147](#)

imagem das, [150](#)

média

profunda, [101](#), [145-147](#)

superficial, [101](#), [103](#), [105](#), [146](#)

superficial, [103](#)

superior, [103](#)

abertura do, [102](#)

Veias coróideas, superior, [101](#)

Veias cremastéricas, [256](#), [379](#)

Veias da ponte

lateral, [145](#)

transversal, [145](#)

Veias digitais dorsais, [402](#), [470](#)

Veias digitais palmares, [402](#)

Veias diplóicas, [101](#), [103](#)

frontal, [101](#)

occipital, [101](#)

temporal

anterior, [101](#)

posterior, [101](#)

Veias do hemisfério cerebelar, inferiores, [145](#)

Veias em ponte, [101](#), [103-104](#), [110](#)

imagem das, [150](#)

Veias emissárias, [13](#), [73](#), [101](#), [103](#)

condilares, [170](#)

forame parietal para as, [9](#)

mastóideas, [3](#), [101](#), [170](#)

no forame mastóideo, [12](#)

occipitais, [101](#)

para o seio sagital superior, [13](#)

parietais, [3](#), [101](#)

Veias epigástricas

inferior, [245](#), [247](#), [249](#), [252](#), [255-257](#), [260](#), [268](#), [341](#), [345](#), [378-379](#), [381](#)

ramo púbico da, [255](#)

seção transversal da, [328](#)

superficial, [186](#), [242](#), [245](#), [252](#), [260](#), [329](#), [470](#), [487](#)

superior, [187](#), [189](#), [247](#), [252](#)

Veias escrotais, anteriores, [252](#)

Veias esofágicas, [292](#)

Veias estreladas, [311](#)

Veias fibulares, [510](#)

Veias frênicas, inferiores, [260](#), [310](#)

Veias gástricas

curtas, [234](#), [268](#), [282](#), [289](#), [292](#)

direita, [234](#), [289-290](#), [292](#)

esquerda, [234](#), [289-292](#)

tributárias esofágicas das, [289](#)

Veias hepáticas, [226](#), [234](#), [260](#), [268](#), [277-278](#)

Veias hipofisárias, eferentes, [141](#), [149](#)

Veias Intercapitulares, [402](#)

Veias intercostais

anteriores, [187](#), [189](#)

internas, [252](#)

posteriores, [189](#), [227-228](#), [234](#)

superiores

direitas, [189](#), [227](#), [234](#)

esquerdas, [228](#), [234](#)

tributárias colaterais, [187](#)

tributárias para a veia axilar, [252](#)

Veias lombares, [310](#)

ascendente, [260](#), [310](#)

direita, [260](#)

Veias maxilares, [73](#), [87](#)

Veias mesencefálicas

lateral, [145](#)

posterior, [147](#)

Veias metacarpais dorsais, [455](#)

Veias metatarsais dorsais, [470](#)

Veias omentais (epiplóicas), [234](#)

Veias ováricas, [260](#), [313](#), [341-343](#), [378](#), [382](#)

ramos tubários das, [382](#)

Veias pancreáticas, [289](#), [291](#)

magna, [289](#)

Veias paraumbilicais, [249](#), [292](#)

no ligamento redondo do fígado, [252](#)

tributárias, [252](#)

Veias perfurantes, [401-402](#)

anterior, [189](#)

Veias porto-hipofisárias

curtas, [149](#)

longas, [141](#), [149](#)

plexo primário das, [149](#)

plexo secundário das, [149](#)

Veias públicas, [260](#)

Veias pulmonares, [202](#)

direita, [203](#), [212](#), [218](#), [222](#), [226-227](#)

esquerda, [203](#), [212](#), [218](#), [221](#), [226](#), [228](#)

inferior

direita, [196](#), [211](#), [213](#), [217](#), [241](#)

esquerda, [196](#), [211](#), [213](#)

septo das, [202](#)

superior

direita, [196](#), [209](#), [211](#), [217](#), [221](#)

esquerda, [196](#), [209](#), [211](#), [218](#)

Veias retais, [290](#)

Veias retas, [290](#)

Veias superficiais

do antebraço, [402](#)

do braço, [401](#)

do membro inferior, [470-471](#)

do ombro, [401](#)

lateral, [359](#)

Veias talâmicas superior, [147](#)

Veias testiculares, [255-257](#), [260](#), [268](#), [313](#), [345](#), [379](#)

direita, [291](#), [310](#)

esquerda, [291](#), [308](#), [310](#)

no funículo espermático, [379](#)

seção transversal das, [328](#)

Veias ventriculares

hipocampais, [147](#)

inferior, [147](#)

Veias vorticosas, [87](#), [92-93](#)

tributárias anteriores das, [93](#)

bulbo das, [93](#)

tributárias posteriores das, [93](#)

tributárias supra-corióideas formando as, [93](#)

Ventrículos (do coração), [221](#)

direito, [209](#), [211-214](#), [217](#), [221](#), [237](#), [241](#)

esquerda, [209-214](#), [216](#), [218](#), [221](#), [237](#), [241](#)

ramos da artéria coronária direita, contornando o, [216](#)

veia posterior do, [215](#)

Ventrículos (encefálicos), [109](#)

aderência intertalâmica do, [109](#)

forame interventricular (de Monro), [109-110](#)

imagem do, [151](#)

lateral, [109](#), [111](#), [113](#), [140](#), [147](#)

corno (anterior) frontal do, [109](#)

corno occipital (posterior) dos, [109-113](#), [144](#), [147](#)

cornos temporais (inferiores) dos, [109](#), [112-113](#), [147](#)

imagem do, [151](#)

parte central do, [109](#)

plexo corioide do, [101](#), [109-111](#), [140](#), [144](#), [146](#)

veia lateral dos, [147](#)

veia medial dos, [147](#)

plexo corioide do, [107](#), [109-110](#), [144](#)

quarto, [109](#), [116](#), [144](#), [147](#)

abertura lateral esquerda, [109](#)

abertura mediana do, [109](#), [147](#)

aberturas laterais do, [147](#)

cerebelo e o, [114](#), [116](#)

fossa romboide do, [115](#)

imagem do, [151](#)

plexo corioide do, [107](#), [110](#), [115-116](#), [145](#)

ramo corioide para o, [144](#)

recesso lateral esquerda, [109](#), [116](#)

tênias do, [116](#)

veia do recesso lateral do, [145](#)

recesso infundibular do, [109](#)

recesso pineal do, [109](#)

recesso supra-óptico do, [109](#)

recesso suprapineal do, [109](#)

tálamo e, [107](#), [112](#), [116](#)

tela de corioide do, [109](#), [112](#), [146](#)

terceiro, [109](#), [111-112](#), [116](#), [147](#)

Vênula

artéria do verme, inferior, [144](#)

macular

inferior, [92](#)

superior, [92](#)

retina nasal

inferior, [92](#)

superior, [92](#)

retina temporal

inferior, [92](#)

superior, [92](#)

Vênula macular

inferior, [92](#)

superior, [92](#)

Vênulas da retina

nasal

inferior, [92](#)

superior, [92](#)

temporal

inferior, [92](#)

superior, [92](#)

Vênulas de entrada (veia porta), [279](#)

células ciliadas internas, [98](#)

Verme

folha do, [114](#), [116](#)

inferior

nódulo do, [114](#), [116](#)

pirâmide do, [114](#), [116](#)

túber do, [114](#), [116](#)

úvula do, [114](#), [116](#)

língua do, [114](#), [116](#)

superior, [114](#)

cúlmen do, [114](#), [116](#)

declive do, [114](#), [116](#)

lóculo central do, [114](#), [116](#)

Vértebras, relação com as raízes nervosas, [161](#)

Vértebras cervicais

anel fibroso das, [21](#)

artérias das, [167](#)

articulações uncovertebrais, [21](#)

C1 *See* ([Atlas \(C1\)](#))

C2 *See* ([Áxis \(C2\)](#))

C3, [15](#), [19](#)

corpo vertebral de, [20](#)

faceta articular inferior para, [19-20](#)

forame intervertebral para, [21](#)

- forame transversário de, [20](#)
- forame vertebral de, [20](#)
- lamela costal, [20](#)
- lâmina de, [20](#)
- pedículo de, [20](#)
- processo articular inferior para, [21](#)
- processo espinhoso bífido, [20](#)
- processo transverso de, [20](#), [30](#)
- relação com os nervos espinhais, [161](#)
- vista inferior, [20](#)

C4, [19](#)

- corpo de, [20](#)
- faceta articular inferior de, [20](#)
- faceta articular superior de, [20](#)
- forame transversário de, [20](#)
- lâmina de, [20](#)
- processo articular inferior de, [20](#)
- processo articular superior de, [30-21](#)
- processo espinhoso de, [20](#)
- processo transverso de, [20](#)
- relação com os nervos espinhais, [161](#)
- sulco do nervo espinhal de, [20](#)
- superfície articular de, [20](#)
- unco do corpo vertebral, [20](#)
- vista anterior de, [20](#)
- vista superior de, [20](#)

C5, relação com os nervos espinhais, [161](#)

C6

- relação com os nervos espinhais, [161](#)
- tubérculo anterior de, [22](#)

C7, [15](#), [26](#), [160](#)

corpo de, [20](#)

espícula óssea de, [20](#)

forame transversário de, [20](#)

forame vertebral de, [20](#)

lamela costal de, [20](#)

lâmina de, [20](#)

pedículo de, [20](#)

processo articular superior e faceta de, [20](#)

processo espinhoso de, [20](#), [22](#), [152](#), [171-173](#), [409](#)

processo transverso de, [20](#), [30](#)

relação com os nervos espinhais, [161](#)

superfície articular de, [20](#)

únco do corpo vertebral de, [20](#)

vista anterior de, [20](#), [153](#)

vista lateral de, [153](#)

vista posterior de, [153](#)

corpos das, [20-21](#), [156](#)

disco intervertebral, [21-22](#)

núcleo pulposo do, [21](#)

processo transverso de, [21](#)

superior, [19](#)

únco do corpo da vértebra de, [21](#)

vista anterior das, [21](#)

Vértebras lombares, [155](#), [243](#)

artérias, [167](#)

corpo de, [334](#)

relação com o nervo espinhal, [161](#)

vista posterior, [155](#)

corpos das, [155](#), [159](#)

L1, [160](#)

corpo de, [158](#), [267](#)

relação com o nervo espinhal, [161](#)

L2

corpo de, [176](#)

relação com o nervo espinhal, [161](#)

vista superior, [155](#)

L3

corpo de, [341](#), [345](#)

relação com o nervo espinhal, [161](#)

vista posterior, [155](#)

L4

L5, [160](#)

corpo de, [156](#), [158](#), [334](#)

imagens sagitais de CT de, [375](#)

radiografia de, [331](#)

relação com o nervo espinhal, [161](#)

processo espinhoso, seção transversal, [328](#)

processos transversais das, [243](#), [330](#)

radiografia das, [156](#)

secção através das, [166](#)

vértebras articuladas, vista lateral, [155](#)

Vértebras sacrais

S1, radiografia de, [156](#)

vista anterior de, [153](#)

vista lateral de, [153](#)

vista posterior de, [153](#)

Vértebras torácicas, [154](#), [167](#), [227](#), [243](#)

artérias das, [167](#)

corpo das, [154](#), [166](#), [238](#), [241](#)

radiografia das, [156](#)

seção através das, [166](#)

T1, [15](#), [22](#), [160](#)

 faceta articular inferior para, [15](#)

 processo espinhoso de, [194](#)

 relação com o nervo espinal, [161](#)

 vista anterior de, [153](#)

 vista lateral de, [153](#)

 vista posterior de, [153](#)

T2, relação com o nervo espinal, [161](#)

T3, relação com o nervo espinal, [161](#)

T4, relação com o nervo espinal, [161](#)

T5

 relação com o nervo espinal, [161](#)

 vista anterior de, [153](#)

 vista lateral, [153](#)

 vista posterior, [153](#)

T6

 relação com o nervo espinal, [161](#)

 vista lateral, [154](#)

 vista superior, [154](#)

T7

 relação com o nervo espinal, [161](#)

 vista posterior, [154](#)

T8, [213](#)

 relação com o nervo espinal, [161](#)

 vista posterior, [154](#)

T9

 relação com o nervo espinal, [161](#)

 vista posterior, [154](#)

T10

corpo de, [324](#)

relação com o nervo espinal, [161](#)

T11, relação com o nervo espinal, [161](#)

T12, [160](#)

processo espinhoso de, [152](#), [171-172](#), [174](#), [409](#)

relação com o nervo espinal, [161](#)

vista anterior, [153](#)

vista lateral, [153-154](#)

vista posterior, [153](#)

Vesícula biliar, [127](#), [193](#), [263](#), [266](#), [269](#), [277-278](#), [280-281](#), [284](#)

fundo da, imagens axiais de CT da, [323](#)

imagens axiais de CT da, [322](#)

inervação da, [163-164](#)

seção transversal da, [325](#)

Vestíbulo

bulbo do, [348](#), [350](#), [356-357](#), [382](#)

artéria do, [350](#), [357](#), [382](#)

da laringe, [82](#)

da orelha, [94](#), [97-98](#)

da vagina, [350](#), [354](#), [367](#)

nasal, [36](#), [38](#), [42](#)

Vestíbulo do nariz, [36](#), [38](#), [42](#)

Véu medular

inferior, [107](#), [114](#), [116](#)

superior, [107](#), [114-116](#)

Via aérea intrapulmonar

esquema, [201](#)

estrutura da, [201](#)

subdivisões, da, [201](#)

Via biliar, nervos autônomos da, [306](#)

Via visual, [133](#)

Vias aéreas intrapulmonares

esquema das, [201](#)

estrutura das, [201](#)

subdivisões das, [201](#)

Vias de drenagem linfática, do pulmão, [205](#)

Vias descendentes, [133](#)

Vias reflexas autônomas, [304](#)

da bexiga urinária e do ureter inferior, [395](#)

de fígado e da via biliar, [306](#)

do pâncreas, [307](#)

dos órgãos genitais, [393-394](#)

dos rins e da parte superior dos ureteres, [318](#)

Vínculos curtos, [451](#)

Vínculos longos, [451](#)

Vínculos palmares, proximais, [398](#)

Vísceras abdominais, [263](#)

Vísceras pélvicas

femininas, [340](#), [342](#)

masculinas, [344](#)

nervos das

feminina, [390](#)

masculina, [388](#)

Vômer, [4](#), [10](#), [38](#), [42](#)

Z

Zona macular, [121](#)

Zona orbicular, [474](#), [530](#)

Instruções para acesso on-line

Se você comprou um e-book da Elsevier, você adquiriu também, gratuitamente, o código de acesso a materiais complementares on-line em português e/ou inglês.

Para obter seu código de acesso, basta enviar um e-mail para pin@elsevier.com.br, informando:

- o seu nome,
- o ISBN deste livro: número de treze dígitos que está na página de copyright do livro, iniciado por 978-85-352-....
- o nome da loja em que adquiriu este e-book,
- o número do seu pedido.

Pronto! Você receberá um e-mail com o código de acesso e todas as informações sobre como ativá-lo.

Esse acesso é de uso exclusivo do comprador, limitando-se a um usuário por código de acesso. O compartilhamento de senha é rigorosamente proibido, e qualquer tentativa dessa natureza invalidará a senha. O acesso não pode ser compartilhado, revendido ou divulgado.

Se você está acessando a Biblioteca Digital E-volution da Elsevier, os materiais complementares em português, tais como: CDs e/ou DVDs ou recursos on-line, mencionados na capa ou dentro do livro estão disponíveis em **Recursos Extras** dentro da própria Biblioteca Digital. Não é necessário acessar nenhum site externo.

Os materiais complementares em inglês, eventualmente anunciados na capa ou dentro do livro estão disponíveis exclusivamente no e-book ou no livro impresso até o lançamento da próxima edição em inglês e/ou português, ou até que esta edição em inglês e/ou português não esteja mais disponível para venda pela Elsevier, o que ocorrer primeiro.

